



This is a digital copy of a book that was preserved for generations on library shelves before it was carefully scanned by Google as part of a project to make the world's books discoverable online.

It has survived long enough for the copyright to expire and the book to enter the public domain. A public domain book is one that was never subject to copyright or whose legal copyright term has expired. Whether a book is in the public domain may vary country to country. Public domain books are our gateways to the past, representing a wealth of history, culture and knowledge that's often difficult to discover.

Marks, notations and other marginalia present in the original volume will appear in this file - a reminder of this book's long journey from the publisher to a library and finally to you.

### Usage guidelines

Google is proud to partner with libraries to digitize public domain materials and make them widely accessible. Public domain books belong to the public and we are merely their custodians. Nevertheless, this work is expensive, so in order to keep providing this resource, we have taken steps to prevent abuse by commercial parties, including placing technical restrictions on automated querying.

We also ask that you:

- + *Make non-commercial use of the files* We designed Google Book Search for use by individuals, and we request that you use these files for personal, non-commercial purposes.
- + *Refrain from automated querying* Do not send automated queries of any sort to Google's system: If you are conducting research on machine translation, optical character recognition or other areas where access to a large amount of text is helpful, please contact us. We encourage the use of public domain materials for these purposes and may be able to help.
- + *Maintain attribution* The Google "watermark" you see on each file is essential for informing people about this project and helping them find additional materials through Google Book Search. Please do not remove it.
- + *Keep it legal* Whatever your use, remember that you are responsible for ensuring that what you are doing is legal. Do not assume that just because we believe a book is in the public domain for users in the United States, that the work is also in the public domain for users in other countries. Whether a book is still in copyright varies from country to country, and we can't offer guidance on whether any specific use of any specific book is allowed. Please do not assume that a book's appearance in Google Book Search means it can be used in any manner anywhere in the world. Copyright infringement liability can be quite severe.

### About Google Book Search

Google's mission is to organize the world's information and to make it universally accessible and useful. Google Book Search helps readers discover the world's books while helping authors and publishers reach new audiences. You can search through the full text of this book on the web at <http://books.google.com/>



## Über dieses Buch

Dies ist ein digitales Exemplar eines Buches, das seit Generationen in den Regalen der Bibliotheken aufbewahrt wurde, bevor es von Google im Rahmen eines Projekts, mit dem die Bücher dieser Welt online verfügbar gemacht werden sollen, sorgfältig gescannt wurde.

Das Buch hat das Urheberrecht überdauert und kann nun öffentlich zugänglich gemacht werden. Ein öffentlich zugängliches Buch ist ein Buch, das niemals Urheberrechten unterlag oder bei dem die Schutzfrist des Urheberrechts abgelaufen ist. Ob ein Buch öffentlich zugänglich ist, kann von Land zu Land unterschiedlich sein. Öffentlich zugängliche Bücher sind unser Tor zur Vergangenheit und stellen ein geschichtliches, kulturelles und wissenschaftliches Vermögen dar, das häufig nur schwierig zu entdecken ist.

Gebrauchsspuren, Anmerkungen und andere Randbemerkungen, die im Originalband enthalten sind, finden sich auch in dieser Datei – eine Erinnerung an die lange Reise, die das Buch vom Verleger zu einer Bibliothek und weiter zu Ihnen hinter sich gebracht hat.

## Nutzungsrichtlinien

Google ist stolz, mit Bibliotheken in partnerschaftlicher Zusammenarbeit öffentlich zugängliches Material zu digitalisieren und einer breiten Masse zugänglich zu machen. Öffentlich zugängliche Bücher gehören der Öffentlichkeit, und wir sind nur ihre Hüter. Nichtsdestotrotz ist diese Arbeit kostspielig. Um diese Ressource weiterhin zur Verfügung stellen zu können, haben wir Schritte unternommen, um den Missbrauch durch kommerzielle Parteien zu verhindern. Dazu gehören technische Einschränkungen für automatisierte Abfragen.

Wir bitten Sie um Einhaltung folgender Richtlinien:

- + *Nutzung der Dateien zu nichtkommerziellen Zwecken* Wir haben Google Buchsuche für Endanwender konzipiert und möchten, dass Sie diese Dateien nur für persönliche, nichtkommerzielle Zwecke verwenden.
- + *Keine automatisierten Abfragen* Senden Sie keine automatisierten Abfragen irgendwelcher Art an das Google-System. Wenn Sie Recherchen über maschinelle Übersetzung, optische Zeichenerkennung oder andere Bereiche durchführen, in denen der Zugang zu Text in großen Mengen nützlich ist, wenden Sie sich bitte an uns. Wir fördern die Nutzung des öffentlich zugänglichen Materials für diese Zwecke und können Ihnen unter Umständen helfen.
- + *Beibehaltung von Google-Markenelementen* Das "Wasserzeichen" von Google, das Sie in jeder Datei finden, ist wichtig zur Information über dieses Projekt und hilft den Anwendern weiteres Material über Google Buchsuche zu finden. Bitte entfernen Sie das Wasserzeichen nicht.
- + *Bewegen Sie sich innerhalb der Legalität* Unabhängig von Ihrem Verwendungszweck müssen Sie sich Ihrer Verantwortung bewusst sein, sicherzustellen, dass Ihre Nutzung legal ist. Gehen Sie nicht davon aus, dass ein Buch, das nach unserem Dafürhalten für Nutzer in den USA öffentlich zugänglich ist, auch für Nutzer in anderen Ländern öffentlich zugänglich ist. Ob ein Buch noch dem Urheberrecht unterliegt, ist von Land zu Land verschieden. Wir können keine Beratung leisten, ob eine bestimmte Nutzung eines bestimmten Buches gesetzlich zulässig ist. Gehen Sie nicht davon aus, dass das Erscheinen eines Buchs in Google Buchsuche bedeutet, dass es in jeder Form und überall auf der Welt verwendet werden kann. Eine Urheberrechtsverletzung kann schwerwiegende Folgen haben.

## Über Google Buchsuche

Das Ziel von Google besteht darin, die weltweiten Informationen zu organisieren und allgemein nutzbar und zugänglich zu machen. Google Buchsuche hilft Lesern dabei, die Bücher dieser Welt zu entdecken, und unterstützt Autoren und Verleger dabei, neue Zielgruppen zu erreichen. Den gesamten Buchtext können Sie im Internet unter <http://books.google.com> durchsuchen.



AKA  
0427  
.b

Library of the Museum  
OF  
COMPARATIVE ZOÖLOGY,  
AT HARVARD COLLEGE, CAMBRIDGE, MASS.

The gift of the *K. Akademie der  
Wissenschaften*

No. 132  
January 8 - October 28, 1895















**SITZUNGSBERICHTE**  
**DER**  
**KAISERLICHEN AKADEMIE DER WISSENSCHAFTEN**  
  
**MATHEMATISCH-NATURWISSENSCHAFTLICHE CLASSE.**  
  
**HUNDERTDRITTER BAND.**



**WIEN, 1894.**  
**AUS DER KAISERLICH-KÖNIGLICHEN HOF- UND STAATSDRUCKEREI.**  
**IN COMMISSION BEI F. TEMPSKY,**  
**BUCHHÄNDLER DER KAISERLICHEN AKADEMIE DER WISSENSCHAFTEN.**

SITZUNGSBERICHTE  
DER  
MATHEMATISCH-NATURWISSENSCHAFTLICHEN CLASSE  
DER KAISERLICHEN  
AKADEMIE DER WISSENSCHAFTEN.

CIII. BAND. ABTHEILUNG II. a.  
JAHRGANG 1894. — HEFT I BIS X.  
✓  
(MIT 8 TAFELN UND 72 TEXTFIGUREN.)



<sup>Sm</sup> WIEN, 1894.  
AUS DER KAISERLICH-KÖNIGLICHEN HOF- UND STAATSDRUCKEREI.  
IN COMMISSION BEI F. TEMPSKY,  
BUCHHÄNDLER DER KAISERLICHEN AKADEMIE DER WISSENSCHAFTEN.



# INHALT.

	Seite
I. Sitzung vom 4. Jänner 1894: Übersicht . . . . .	3
II. Sitzung vom 11. Jänner 1894: Übersicht . . . . .	41
III. Sitzung vom 18. Jänner 1894: Übersicht . . . . .	105
IV. Sitzung vom 1. Februar 1894: Übersicht . . . . .	129
V. Sitzung vom 8. Februar 1894: Übersicht . . . . .	131
VI. Sitzung vom 15. Februar 1894: Übersicht . . . . .	133
VII. Sitzung vom 1. März 1894: Übersicht . . . . .	203
VIII. Sitzung vom 8. März 1894: Übersicht . . . . .	223
IX. Sitzung vom 5. April 1894: Übersicht . . . . .	227
X. Sitzung vom 12. April 1894: Übersicht . . . . .	277
XI. Sitzung vom 19. April 1894: Übersicht . . . . .	278
XII. Sitzung vom 4. Mai 1894: Übersicht . . . . .	281
XIII. Sitzung vom 10. Mai 1894: Übersicht . . . . .	283
XIV. Sitzung vom 25. Mai 1894: Übersicht . . . . .	337
XV. Sitzung vom 7. Juni 1894: Übersicht . . . . .	341
XVI. Sitzung vom 14. Juni 1894: Übersicht . . . . .	611
XVII. Sitzung vom 21. Juni 1894: Übersicht . . . . .	612
XVIII. Sitzung vom 5. Juli 1894: Übersicht . . . . .	617
XIX. Sitzung vom 12. Juli 1894: Übersicht . . . . .	773
XX. Sitzung vom 11. October 1894: Übersicht . . . . .	779
XXI. Sitzung vom 18. October 1894: Übersicht . . . . .	981
XXII. Sitzung vom 2. November 1894: Übersicht . . . . .	985
XXIII. Sitzung vom 8. November 1894: Übersicht . . . . .	986
XXIV. Sitzung vom 16. November 1894: Übersicht . . . . .	1066
XXV. Sitzung vom 29. November 1894: Übersicht . . . . .	1067
XXVI. Sitzung vom 6. December 1894: Übersicht . . . . .	1103
XXVII. Sitzung vom 13. December 1894: Übersicht . . . . .	1105

*Bobek K.*, Die Invarianten der allgemeinen Fläche dritter Ordnung.

[Preis: 10 kr. = 20 Pfg.] . . . . . 887

*Bryan G. H.* und *Boltzmann L.*, Über die mechanische Analogie  
des Wärmegleichgewichtes zweier sich berührender Körper.

(Mit 1 Textfigur.) [Preis: 15 kr. = 30 Pfg.] . . . . . 1125

	Seite
✓ <i>Czermak P.</i> , Über die Temperaturvertheilung längs eines dünnen Drahtes, der von einem constanten Strome durchflossen wird. (Mit 1 Tafel und 1 Textfigur.) [Preis: 30 kr. = 60 Pfg.]	1107
<i>Czuber E.</i> , Zur Theorie der partiellen Differentialgleichungen erster Ordnung. [Preis 25 kr. = 50 Pfg.]	295
<i>Exner F.</i> , Elektrochemische Untersuchungen. (IV. Mittheilung.) (Mit 3 Textfiguren.) [Preis: 30 kr. = 60 Pfg.]	845
<i>Finger J.</i> , Das Potential der inneren Kräfte und die Beziehungen zwischen den Deformationen und den Spannungen in elastisch isotropen Körpern bei Berücksichtigung von Gliedern, die bezüglich der Deformationselemente von dritter, beziehungsweise zweiter Ordnung sind. [Preis: 40 kr. = 80 Pfg.]	163
— Das Potential der inneren Kräfte und die Beziehungen zwischen den Deformationen und den Spannungen in elastisch isotropen Körpern bei Berücksichtigung von Gliedern, die bezüglich der Deformationselemente von dritter, beziehungsweise zweiter Ordnung sind. (II. Theil.) [Preis: 25 kr. = 50 Pfg.]	231
— Über das Kriterion der Coaxialität zweier Mittelpunktsflächen zweiter Ordnung. [Preis: 10 kr. = 20 Pfg.]	1061
— Über die allgemeinsten Beziehungen zwischen endlichen Deformationen und den zugehörigen Spannungen in aelotropen und isotropen Substanzen. [Preis: 25 kr. = 50 Pfg.]	1073
<i>Garvanoff J. G.</i> , Über die innere Reibung in Ölen und deren Änderung mit der Temperatur. (Mit 2 Textfiguren.) [Preis: 15 kr. = 30 Pfg.]	873
<i>Gegenbauer L.</i> , Über die Anzahl der Darstellungen einer ganzen Zahl durch gewisse Formen [Preis: 15 kr. = 30 Pfg.]	115
— Einige Bemerkungen zum quadratischen Reciprocitätsgesetze. [Preis: 15 kr. = 30 Pfg.]	285
<i>Haerdil E. Frh. v.</i> , Zur Frage der Perihelsbewegung des Planeten Mercur. [Preis: 15 kr. = 30 Pfg.]	713
<i>Hann J.</i> , Beiträge zum täglichen Gange der meteorologischen Elemente in den höheren Luftschichten [Preis: 45 kr. = 90 Pfg.]	51
— Die tägliche Periode der Windstärke auf dem Sonnblickgipfel und auf Berggipfeln überhaupt. [Preis: 60 kr. = 1 Mk. 20 Pfg.]	619
<i>Herz N.</i> , Über eine unter den Ausgrabungen auf Rhodos gefundene astronomische Inschrift. (Mit 1 Tafel.) [Preis: 25 kr. = 50 Pfg.]	1135
<i>Jäger G.</i> , Über die Beziehung zwischen Helligkeit und Eigenbewegung der Fixsterne. (Mit 4 Textfiguren.) [Preis: 20 kr. = 40 Pfg.]	145



	Seite
<i>Jäger G.</i> , Über die innere Reibung der Lösungen. (Mit 1 Textfigur.) [Preis: 25 kr. = 50 Pfg.] . . . . .	251
<i>Jaumann G.</i> , Zur Kenntniss des Ablaufes der Lichtemission. (Mit 3 Textfiguren.) [Preis: 15 kr. = 30 Pfg.] . . . . .	317
<i>Jüllig M.</i> , Über die Gestalt der Kraftlinien eines magnetischen Drehfeldes. (Mit 4 Tafeln und 9 Textfiguren.) [Preis: 50 kr. = 1 Mk.] . . . . .	691
<i>Klemenčič I.</i> , Über die Magnetisirung von Eisen- und Nickeldraht durch schnelle elektrische Schwingungen. [Preis: 20 kr. = 40 Pfg.] . . . . .	205
— Über die circulare Magnetisirung von Eisendrähten. (Mit 6 Textfiguren.) [Preis: 35 kr. = 70 Pfg.] . . . . .	891
<i>Lecher E.</i> , Eine Studie über unipolare Induction. (Mit 17 Text- figuren.) [Preis: 50 kr. = 1 Mk.] . . . . .	949
<i>Liznar J.</i> , Eine neue magnetische Aufnahme Österreichs (V. und letzter vorläufiger Bericht) [Preis: 10 kr. = 20 Pfg.] . . .	43
— Ein Beitrag zur Kenntniss der 26 tägigen Periode des Erd- magnetismus. (Mit 1 Tafel.) [Preis: 25 kr. = 50 Pfg.] . . .	726
<i>Mahler E.</i> , Die Apisperiode der alten Ägypter. [Preis: 20 kr. = 40 Pfg.] . . . . .	832
<i>Mertens F.</i> , Über die Fundamentalgleichung eines Gattungs- bereiches algebraischer Zahlen [Preis: 35 kr. = 70 Pfg.] .	5
— Über die Äquivalenz der reducirten binären quadratischen Formen von positiver Determinante. [Preis: 15 kr. = 30 Pfg.]	995
— Über den quadratischen Reciprocitätssatz und die Summen von Gauss. [Preis: 20 kr. = 40 Pfg.] . . . . .	1005
<i>Obermayer A. v. und Schindler A.</i> , Die trigonometrische Höhen- bestimmung des Hohen Sonnblicks in der Goldberggruppe der Hohen Tauern [Preis: 10 kr. = 20 Pfg.] . . . . .	107
<i>Piesch B.</i> , Änderungen des elektrischen Widerstandes wässriger Lösungen und der galvanischen Polarisation mit dem Drucke. (Mit 2 Textfiguren.) [Preis: 25 kr. = 50 Pfg.] . .	784
<i>Puschl C.</i> , Folgerungen aus Amagat's Versuchen. [Preis: 25 kr. = 50 Pfg.] . . . . .	343
— Aktinische Wärmetheorie und chemische Äquivalenz. [Preis: 25 kr. = 50 Pfg.] . . . . .	809
— Bemerkungen über Wärmeleitung. [Preis: 10 kr. = 20 Pfg.]	989
<i>Sahulka J.</i> , Untersuchungen über den elektrischen Lichtbogen. (Mit 3 Textfiguren.) [Preis: 25 kr. = 50 Pfg.] . . . . .	925
<i>Smoluchowski M. v.</i> , Akustische Untersuchungen über die Elastici- tät weicher Körper. (Mit 7 Textfiguren.) [Preis: 40 kr. = 80 Pfg.] . . . . .	739
<i>Streintz F.</i> , Über eine Beziehung zwischen der elektromotorischen Kraft des Daniell-Elementes und dem Verhältnisse des Salzgehaltes seiner Lösungen [Preis: 10 kr. = 20 Pfg.] . .	98

# VIII

	Seite
<i>Streintz F.</i> , Über die thermochemischen Vorgänge im Secundär- Elemente. [Preis: 15 kr. = 30 Pfg.] . . . . .	327
<i>Suchanek E.</i> , Dyadische Coordination der bis 100.000 vorkommen- den Primzahlen zur Reihe der ungeraden Zahlen. [Preis: 1 fl. 30 kr. = 2 Mk. 60 Pfg.] . . . . .	443
<i>Trabert W.</i> , Zur Theorie der elektrischen Erscheinungen unserer Atmosphäre. (Mit 2 Textfiguren.) Preis: 35 kr. = 70 Pfg.]	1023
<i>Tumlirz O.</i> , Über die Unterkühlung von Flüssigkeiten. (II. Mit- theilung.) (Mit 1 Textfigur.) [Preis: 20 kr. = 40 Pfg.] . . .	266
<i>Voigt W.</i> , Einige Bemerkungen zu Herrn Jos. Finger's Abhand- lung »Das Potential der inneren Kräfte etc.« [Preis: 5 kr. = 10 Pfg.] . . . . .	1069
<i>Weyr E.</i> , Über einen symbolischen Calcul auf Trägern vom Ge- schlechte Eins und seine Anwendung. (Mit 7 Textfiguren.) [Preis: 70 kr. = 1 Mk. 40 Pfg.] . . . . .	365
<i>Zsigmondy K.</i> , Über die Anzahl derjenigen ganzen ganzzahligen Functionen $n^{\text{ten}}$ Grades von $x$ , welche in Bezug auf einen gegebenen Primzahlmodul eine vorgeschriebene Anzahl von Wurzeln besitzen [Preis: 15 kr. = 30 Pfg.] . . . . .	135
✓ <i>Zuchristian J.</i> , Experimentelle Darstellung von Magnetfeldern. (Mit 1 Tafel und 3 Textfiguren.) [Preis: 30 kr. = 60 Pfg.]	943



SITZUNGSBERICHTE  
DER  
KAISERLICHEN AKADEMIE DER WISSENSCHAFTEN.

---

MATHEMATISCH-NATURWISSENSCHAFTLICHE CLASSE.

---

CIII. BAND. I. HEFT.

---

ABTHEILUNG II. a.

ENTHÄLT DIE ABHANDLUNGEN AUS DEM GEBIETE DER MATHEMATIK, ASTRONOMIE,  
PHYSIK, METEOROLOGIE UND DER MECHANIK.

---



## I. SITZUNG VOM 4. JÄNNER 1894.

Der Vorsitzende gibt Nachricht von dem am 1. Jänner l. J. erfolgten Ableben des ausländischen correspondirenden Mitgliedes dieser Classe Herrn Professor Dr. Heinrich Hertz in Bonn.

Die anwesenden Mitglieder geben ihrem Beileide durch Erheben von den Sitzen Ausdruck.

Der Secretär legt die aus dem erschienenen 60. Band (Jahrgang 1893) veranstaltete Collectiv-Ausgabe der Berichte der Commission für Erforschung des östlichen Mittelmeeres (Zweite Reihe), ferner das Heft X (December 1893) der Monatshefte für Chemie vor.

Das k. k. Ministerium für Cultus und Unterricht übermittelt ein im Gesandtschaftswege für die Bibliothek der kaiserl. Akademie eingelangtes Druckwerk: »Études des Gîtes Minéraux de la France«, publicirt im Auftrage des französischen Ministeriums der öffentlichen Arbeiten.

Das Präsidium der mathematischen Gesellschaft an der kaiserl. Universität in Moskau ladet die kaiserl. Akademie zur Theilnahme an der aus Anlass des 25jährigen Bestandes dieser Gesellschaft am 21. Jänner l. J. daselbst stattfindenden feierlichen Sitzung ein.

Das ungarische Central-Bureau für ornithologische Beobachtungen in Budapest zeigt an, dass diese neugegründete Anstalt mit 1. Jänner 1894 ihre Thätigkeit in der Organisirung des Beobachtungsnetzes begonnen hat.

Das w. M. Herr Prof. L. Pfaundler übersendet eine Arbeit aus dem physikalischen Institute der k. k. Universität in Graz von Prof. Dr. F. Streintz: »Über eine Beziehung zwischen der elektromotorischen Kraft des Daniell-Elementes und dem Verhältnisse des Salzgehaltes seiner Lösungen.«



Das c. M. Herr Regierungsrath Prof. F. Mertens in Graz übersendet eine Abhandlung: »Über die Fundamentalgleichung eines Gattungsbereiches algebraischer Zahlen.«

Herr Prof. Dr. C. Nicoladoni in Innsbruck übersendet eine Abhandlung, betitelt: »Die Skoliose des Lendensegmentes.« (Fortsetzung.)

Das w. M. Herr Hofrath C. Claus überreicht eine für die Denkschriften bestimmte Abhandlung unter dem Titel: »Zoologische Ergebnisse der Tiefsee-Expedition im östlichen Mittelmeere auf S. M. Schiff »Pola«. III. Die Holocypriden und ihre Entwicklungsstadien. Gesammelt 1890, 1891, 1892, 1893.«

Das c. M. Herr Prof. L. Gegenbauer überreicht eine Mittheilung von Dr. R. Daublebsky v. Sterneck: »Abzählung der Primzahlen von der Form  $100n+1$ «.

Der Secretär Herr Hofrath J. Hann überreicht eine Abhandlung unter dem Titel: »Beiträge zum täglichen Gange der meteorologischen Elemente in den höheren Luftschichten.«

---

**Selbständige Werke oder neue, der Akademie bisher nicht zugekommene Periodica sind eingelangt:**

Loewy, M., Recherches sur la détermination des constantes des clichés photographiques du ciel. Paris, 1893; 4<sup>o</sup>.

Ministère des Travaux publics, Études des Gîtes Minéraux de la France. Publiées sous les auspices de M. le Ministre de Travaux publics par le Service des Topographies souterraines. Bassin houiller et permin d'Autun et d'Épinac. Fascicule IV. Flore Fossile. II<sup>me</sup> Partie par B. Renault. (Atlas). Paris, 1893; 4<sup>o</sup>.

Mayor, A., Louis Agassiz, sa vie et sa correspondance. Traduit de l'Anglais. (Orné d'un portrait d'Agassiz.) Neuchâtel, 1887; 8<sup>o</sup>.

Vincenti Giuseppe. La Fonografia universale Michela e la Fono-Telegrafia universale Vincenti. Torino 1893; Folio.

---

# Über die Fundamentalgleichung eines Gattungsbereiches algebraischer Zahlen

von

**F. Mertens,**

c. M. k. Akad.

## 1.

Ist

$$x^n + c_1 x^{n-1} + c_2 x^{n-2} + \dots + c_n = 0 \quad (1)$$

eine gegebene irreductibele Gleichung  $n^{\text{ten}}$  Grades mit rationalen Coëfficienten und  $\xi$  eine Wurzel derselben, so wird die Gesammtheit aller ganzen rationalzahligen Functionen von  $\xi$  nach Kronecker<sup>1</sup> ein Gattungsbereich genannt, welcher hier mit  $\mathfrak{G}$  bezeichnet werden soll.

Jede solche Function

$$\eta = b_0 + b_1 \xi + b_2 \xi^2 + \dots$$

welche immer unter den Grad  $n$  in  $\xi$  gebracht werden kann, genügt einer rationalzahligen Gleichung  $n^{\text{ten}}$  Grades

$$y^n + c'_1 y^{n-1} + c'_2 y^{n-2} + \dots + c'_n = 0,$$

deren linke Seite die Norm von

$$y - b_0 - b_1 \xi - b_2 \xi^2 - \dots$$

oder die Resultante von

$$y - b_0 - b_1 x - b_2 x^2 - \dots$$

---

<sup>1</sup> Festschrift »Grundzüge einer arithmetischen Theorie der algebraischen Grössen«, Crelle's Journal, Bd. 92.

und

$$x^n + c_1 x^{n-1} + c_2 x^{n-2} + \dots + c_n$$

ist. Sind insbesondere in dieser Gleichung die Coëfficienten

$$c'_1, c'_2, \dots, c'_n$$

ganze Zahlen, so wird  $\eta$  eine ganze algebraische Zahl des Gattungsbereiches  $\mathfrak{G}$  genannt.

Es gibt unendlich viele Systeme von  $n$  ganzen algebraischen Zahlen

$$\omega_1, \omega_2, \dots, \omega_n$$

des Gattungsbereiches  $\mathfrak{G}$ , welche die Eigenschaft haben, dass jede ganze algebraische Zahl dieses Bereiches als Vielfachsumme<sup>1</sup> von  $\omega_1, \omega_2, \dots, \omega_n$  darstellbar ist. Ein solches System wird ein Fundamentalsystem von  $\mathfrak{G}$  genannt.

Sind

$$\begin{array}{cccc} \omega'_1, & \omega'_2, & \dots & \omega'_n \\ \omega''_1, & \omega''_2, & \dots & \omega''_n \\ \dots & \dots & \dots & \dots \\ \omega^{(n-1)}_1, & \omega^{(n-1)}_2, & \dots & \omega^{(n-1)}_n \end{array}$$

die conjugirten Werthe der Zahlen  $\omega_1, \omega_2, \dots, \omega_n$ , welche aus letzteren hervorgehen, wenn  $\xi$  nach und nach durch alle anderen Wurzeln der Gleichung (1) ersetzt wird, so heisst das Quadrat der Determinante

$$\Omega = \begin{vmatrix} \omega_1, & \omega_2, & \dots & \omega_n \\ \omega'_1, & \omega'_2, & \dots & \omega'_n \\ \dots & \dots & \dots & \dots \\ \omega^{(n-1)}_1, & \omega^{(n-1)}_2, & \dots & \omega^{(n-1)}_n \end{vmatrix},$$

welches für alle Fundamentalsysteme denselben Werth hat, die Discriminante des Gattungsbereiches  $\mathfrak{G}$ .

Sind ferner  $u_1, u_2, \dots, u_n$  Unbestimmte und setzt man

$$\begin{array}{rcl} \omega_1 u_1 + \omega_2 u_2 & + \dots + & \omega_n u_n = u \\ \omega'_1 u_1 + \omega'_2 u_2 & + \dots + & \omega'_n u_n = u' \\ \dots & \dots & \dots \\ \omega^{(n-1)}_1 u_1 + \omega^{(n-1)}_2 u_2 & + \dots + & \omega^{(n-1)}_n u_n = u^{(n-1)}, \end{array}$$

<sup>1</sup> Ich erlaube mir hier eine ganze ganzzahlige linear-homogene Function mehrerer Grössen kurz als Vielfachsumme dieser Grössen zu bezeichnen.

so ist das Product

$$(t-u)(t-u') \dots (t-u^{(n-1)})$$

in den Wurzeln der Gleichung (1) symmetrisch und daher als ganze Function von  $t$  von der Form

$$F(t) = t^n - C_1 t^{n-1} + C_2 t^{n-2} - \dots \pm C_n$$

darstellbar, in welcher

$$C_1, C_2, \dots C_n,$$

beziehungsweise ganze ganzzahlige homogene Functionen der Unbestimmten  $u_1, u_2, \dots u_n$  vom Grade 1, 2,  $\dots n$  sind. Die Gleichung

$$F(t) = 0,$$

welche die Wurzeln

$$u, u', \dots u^{(n-1)}$$

hat und irreductibel ist, wird die Fundamentalgleichung des Gattungsbereiches  $\mathfrak{G}$  genannt.

Es soll hier das Verhalten der Function  $F(t)$  in Bezug auf einen gegebenen Primzahlmodul untersucht werden.<sup>1</sup> Zu diesem Zwecke sollen jedoch behufs grösserer Klarheit einige Sätze und Bemerkungen vorausgeschickt werden.

## 2.

I. Unter einer Function einer oder mehrerer Veränderlichen oder Unbestimmten werde hier in diesem Abschnitte immer eine ganze ganzzahlige Function dieser Veränderlichen und unter  $p$  eine gegebene Primzahl verstanden. Das Zeichen  $\Gamma$  soll immer eine ganze ganzzahlige Function vorstellen.

Jede Function  $G$  ist in Bezug auf den Modul  $p$  einer Function  $G_0$  congruent, deren Coëfficienten nicht negativ und  $< p$  sind. Denn man braucht nur, um  $G_0$  zu erhalten, jeden Coëfficienten von  $G$  durch seinen kleinsten nicht negativen Rest in Bezug auf den Modul  $p$  zu ersetzen. Unter der Gradzahl der Function  $G$  in Bezug auf eine der in derselben vorkommenden Veränderlichen wird die betreffende Gradzahl von  $G_0$ , unter der

<sup>1</sup> V. Kronecker's Festschrift, §. 25.

Gradzahl in Bezug auf mehrere Veränderliche die Summe der auf die einzelnen Veränderlichen sich beziehenden Gradzahlen verstanden. Wenn  $G_0$  identisch  $\equiv 0$  ist oder alle Coëfficienten von  $G$  durch  $p$  theilbar sind, so hat  $G$  keine Gradzahlen in Bezug auf den Modul  $p$ .

II. Man sagt, dass eine Function  $A$  durch eine Function  $M$ , welche jedoch nicht durch  $p$  theilbar sein darf, in Bezug auf den Modul  $p$  theilbar ist oder dass  $M$  in  $A$  aufgeht oder ein Theiler von  $A$  ist, wenn

$$A \equiv \Gamma M \pmod{p}$$

ist.

Wenn  $A$  nicht durch  $p$  theilbar ist und  $M$  in Bezug auf  $p$  in  $A$  aufgeht, so hat  $M$  keine höheren Gradzahlen als  $A$ .

Wenn jede der Functionen  $M, N$  durch die andere in Bezug auf den Modul  $p$  theilbar ist, so ist

$$N \equiv aM \pmod{p},$$

wo  $a$  eine nicht durch  $p$  theilbare Zahl bezeichnet. Denn man hat

$$N \equiv QM \pmod{p}$$

$$M \equiv Q_1 N \pmod{p},$$

wo  $Q, Q_1$  ganze ganzzahlige Functionen bezeichnen. Aus diesen Congruenzen folgt

$$M(1 - QQ_1) \equiv 0 \pmod{p},$$

also auch

$$1 - QQ_1 \equiv 0 \pmod{p}.$$

Wenn aber

$$QQ_1 \equiv 1 \pmod{p}$$

ist, so müssen alle Gradzahlen von  $Q$  und  $Q_1 = 0$  sein und  $Q$  ist eine nicht durch  $p$  theilbare Zahl  $a$ .

III. Wenn die Producte einer Function  $G$  der Veränderlichen

$$x_1, x_2, \dots, x_n$$

in  $n$  Functionen

$$f_1, f_2, \dots, f_n$$

derselben Veränderlichen, welche jedoch beziehungsweise in  $x_1, x_2, \dots, x_n$  in Bezug auf  $p$  vom Grade 0 sind, durch die Function  $M$  in Bezug auf den Modul  $p$  theilbar sind, so ist  $G$  selbst in Bezug auf  $p$  durch  $M$  theilbar.

Gesetzt, man kenne eine Function  $\omega$  der Veränderlichen  $x_1, x_2, \dots, x_n$ , welche  $k$  verschwindende Gradzahlen besitzt, aber  $x_m$  in höherem als dem  $0^{\text{ten}}$  Grade enthält und deren Product in  $G$  durch  $M$  nach dem Modul  $p$  theilbar ist. Man hat dann

$$\omega G \equiv AM \pmod{p}$$

$$f_m G \equiv BM \pmod{p},$$

also auch

$$M(Af_m - \omega B) \equiv 0 \pmod{p},$$

wo  $A, B$  ganze ganzzahlige Functionen bezeichnen. Hieraus folgt

$$Af_m - \omega B \equiv 0 \pmod{p}$$

oder

$$\omega B = Af_m + p\Gamma.$$

Ist nun  $\phi x_m^r$  der die höchste Potenz von  $x_m$  enthaltende Bestandtheil von  $\omega$ ,  $P_{h-1}$  ein Product von irgend  $h-1$  Coëfficienten, welche in  $\omega$  bei den einzelnen Potenzen von  $x_m$  stehen, und  $b, C$  jeder Coëfficient einer Potenz von  $x_m$  in  $B$  und  $Af_m + p\Gamma$ , so gibt es einen Exponenten  $h$  von der Art,<sup>1</sup> dass sich jedes Product  $\phi^h b$  als Vielfachsumme aller Producte  $P_{h-1} C$  darstellen lässt. Da aber jeder Coëfficient  $C$  durch  $f_m$  in Bezug auf den Modul  $p$  theilbar ist, so wird

$$\phi^h b \equiv \Gamma f_m \pmod{p}$$

und demzufolge auch

$$\phi^h B \equiv \Gamma f_m \pmod{p}.$$

Hieraus folgt

$$\phi^h BM \equiv \phi^h f_m G \equiv \Gamma f_m M \pmod{p}$$

oder

$$f_m(\phi^h G - \Gamma M) \equiv 0 \pmod{p}$$

---

<sup>1</sup> Vergl. Mertens: »Über einen algebraischen Satz«, diese Sitzungsber., Bd. CI, Abth. II. a.

und also auch

$$\psi^h G - \Gamma M \equiv 0 \pmod{p}.$$

Die Function  $\psi^h$  hat daher wieder dieselbe Eigenschaft wie  $\omega$ , dass ihr Product in  $G$  nach dem Modul  $p$  durch  $M$  theilbar ist, besitzt aber eine verschwindende Gradzahl mehr als  $\omega$ . Da man nun eine Function kennt, welche eine verschwindende Gradzahl besitzt und deren Product in  $G$  durch  $M$  nach dem Modul  $p$  theilbar ist, z. B.  $f_1$ , so können durch das vorstehende Verfahren nach und nach Functionen hergestellt werden, welche immer mehr verschwindende Gradzahlen aufweisen und deren Product in  $G$  durch  $M$  nach dem Modul  $p$  theilbar ist. Man gelangt daher auch zu einer Function mit lauter verschwindenden Gradzahlen oder zu einer nicht durch  $p$  theilbaren Zahl  $a$ , für welche

$$aG \equiv \Gamma M \pmod{p}$$

ist. Bestimmt man dann  $a'$  aus der Congruenz

$$aa' \equiv 1 \pmod{p},$$

so wird

$$aa'G \equiv G \equiv a'\Gamma M \pmod{p}.$$

IV. Wenn  $A, B$  gegebene Functionen von  $x_1, x_2, \dots, x_n$  sind, deren keine durch  $p$  theilbar ist, so kann man eine nicht durch  $p$  theilbare Function  $M$  derselben Veränderlichen bestimmen, welche den Congruenzen

$$f_i A \equiv \mathfrak{A} M \pmod{p}$$

$$g_i B \equiv \mathfrak{B} M \pmod{p}$$

$$M \equiv A_0 A + B_0 B \pmod{p}$$

genügt, wo  $f_i, g_i, \mathfrak{A}, \mathfrak{B}, A_0, B_0$  Functionen von  $x_1, x_2, \dots, x_n$  bezeichnen, von welchen insbesondere  $f_i, g_i$  in Bezug auf  $x_i$  verschwindende Gradzahlen haben.

Man kann ähnlich wie bei dem Verfahren Euclid's eine Reihe von Functionen

$$A, B, C, \dots, M, 0 \tag{2}$$

der Veränderlichen  $x_1, x_2, \dots, x_n$  aufstellen, welche folgende Eigenschaften hat. Sie fängt mit den gegebenen Functionen

$A, B$  an und besteht mit Ausnahme der letzten Function, welche  $\equiv 0$  ist, aus lauter durch  $p$  nicht theilbaren Functionen. Sind  $P, Q, R$  drei Glieder der Reihe, von welchen  $Q$  auf  $P$  und  $R$  auf  $Q$  folgt, so erreicht  $R$  in  $x_i$  den Grad von  $Q$  nicht, und es besteht eine Congruenz von der Form

$$\varphi_i P \equiv \Gamma Q + R \pmod{p},$$

wo die Function  $\varphi_i$  in  $x_i$  vom Grade 0 ist.

Sind zwei benachbarte Glieder  $P, Q$  der Reihe gegeben, welche nicht durch  $p$  theilbar sind, so findet man das auf  $Q$  folgende Glied  $R$  folgendermassen. Es sei

$$P \equiv a_0 x_i^\mu + a_1 x_i^{\mu-1} + \dots + a_\mu \pmod{p}$$

$$Q \equiv b_0 x_i^\nu + b_1 x_i^{\nu-1} + \dots + b_\nu \pmod{p},$$

wo  $a_0, b_0$  nicht durch  $p$  theilbar sind. Man darf annehmen, dass  $\mu \geq \nu$  ist, da diese Bedingung bei den ersten zwei Gliedern der Reihe eventuell durch Vertauschung von  $A$  und  $B$  herbeigeführt werden kann und bei den späteren Gliedern von selbst erfüllt ist. Man hat dann durch algebraische Division

$$b_0^{\mu-\nu+1} (a_0 x_i^\mu + a_1 x_i^{\mu-1} + \dots + a_\mu) = \Gamma (b_0 x_i^\nu + b_1 x_i^{\nu-1} + \dots + b_\nu) + \Re,$$

wo  $\Re$  ganzzahlig ist und in  $x_i$  den Grad  $\nu$  nicht erreicht. Geht der Ausdruck  $\Re$  nach Ersetzung aller seiner Coëfficienten durch ihre kleinsten nicht negativen Reste in Bezug auf den Modul  $p$  in  $R$  über, so wird

$$b_0^{\mu-\nu+1} P \equiv \Gamma Q + R \pmod{p}.$$

Bestimmt man in der dargelegten Weise zuerst aus den beiden ersten Gliedern  $A, B$  der Reihe das dritte Glied  $C$ , hierauf, wofern  $C$  noch nicht  $\equiv 0$  ist, aus  $B$  und  $C$  das vierte Glied  $D$  u. s. f., so gelangt man nach einigen Schritten zu der Function 0, da die Gradzahlen der Functionen  $B, C, \dots$  in Bezug auf  $x_i$  eine fallende Reihe bilden, und die gesuchte Reihe ist gebildet.

Gibt es nun für zwei benachbarte Functionen  $Q, R$  der Reihe (2) zwei nicht durch  $p$  theilbare und  $x_i$  nicht enthaltende Functionen  $\chi_i, \omega_i$  von der Art, dass die Producte  $\chi_i Q, \omega_i R$  in Bezug auf den Modul  $p$  durch die vorletzte Function  $M$  der



Reihe theilbar sind, so findet dasselbe für die Functionen  $P$  und  $Q$  statt, wenn  $P$  der Function  $Q$  in der Reihe (2) unmittelbar vorangeht. Denn man hat

$$\varphi_i P \equiv \Gamma Q + R \pmod{p}$$

und daher auch

$$\begin{aligned} \omega_i \chi_i \varphi_i P &\equiv \Gamma \omega_i \chi_i Q + \chi_i \omega_i R \pmod{p} \\ &\equiv \Gamma M \pmod{p}. \end{aligned}$$

Da aber die beiden letzten Glieder der Reihe durch  $M$  theilbar sind, so gibt es auch zwei nicht durch  $p$  theilbare und  $x_i$  nicht enthaltende Functionen  $f_i, g_i$  von der Art, dass die Producte  $f_i A, g_i B$  in Bezug auf den Modul  $p$  durch  $M$  theilbar sind.

Ist anderseits  $M$  durch die zwei benachbarten Functionen  $Q, R$  in der Gestalt

$$M = UQ + VR + p\Gamma$$

darstellbar, so findet dasselbe auch für die Functionen  $P$  und  $Q$  statt, da

$$\begin{aligned} M &\equiv UQ + V(\varphi_i P - \Gamma Q) \pmod{p} \\ &\equiv \varphi_i VP + (U - \Gamma V)Q \pmod{p} \end{aligned}$$

wird.  $M$  ist also auch durch die beiden Functionen  $A$  und  $B$  in derselben Weise darstellbar.

Die vorletzte Function  $M$  der Reihe (2) erfüllt mithin alle gewünschten Bedingungen.

#### V. Zwei Reihen von Functionen

$$A, B, \dots E$$

und

$$A', B', \dots E'$$

der Veränderlichen  $x_1, x_2, \dots x_n$  sollen kurz gleichstimmig in Bezug auf den Modul  $p$  genannt werden, wenn sich für jede Veränderliche  $x_i$  und jede Function  $\Phi$  der ersten Reihe und jede Function  $\Phi'$  der zweiten Reihe Functionen  $f_i, f'_i$  von der Art angeben lassen, dass die auf  $x_i$  sich beziehenden Gradzahlen derselben  $\equiv 0$  sind und die Producte  $f_i \Phi, f'_i \Phi'$  sich beziehungsweise in der Gestalt

$$f_i \Phi \equiv A'_0 A' + B'_0 B' + \dots + E'_0 E' \pmod{p}$$

$$f'_i \Phi' \equiv A_0 A + B_0 B + \dots + E_0 E \pmod{p}$$

darstellen lassen, wo  $A_0, B_0, \dots, A'_0, B'_0, \dots$  ganze ganzzahlige Functionen von  $x_1, x_2, \dots, x_n$  bezeichnen.

Zwei Functionenreihen sind gleichstimmig, wenn sie mit einer und derselben dritten Functionenreihe gleichstimmig sind.

VI. Es gibt immer eine Function  $T$ , welche mit einer Reihe gegebener Functionen

$$A, B, \dots, E,$$

die nicht alle durch  $p$  theilbar sind, in Bezug auf den Modul  $p$  gleichstimmig ist. Die Function  $T$  ist bis auf einen Zahlenfactor bestimmt, da jede mit  $A, B, \dots, E$  gleichstimmige Function  $T'$  auch mit einer bestimmten Function  $T$  dieser Art gleichstimmig sein, also in der Beziehung

$$T' \equiv aT \pmod{p}$$

stehen muss. Die Function  $T$  geht nach III in allen Functionen  $A, B, \dots, E$  in Bezug auf den Modul  $p$  auf und ist durch jeden gemeinschaftlichen Theiler dieser Functionen nach  $p$  theilbar. Sie wird der grösste gemeinschaftliche Theiler der Functionen  $A, B, \dots, E$  in Bezug auf den Modul  $p$  genannt.

Ist  $T$  der grösste gemeinschaftliche Theiler der Functionen  $A, B, \dots, E$  in Bezug auf den Modul  $p$  und

$$A \equiv A_1 T, B \equiv B_1 T, \dots, E \equiv E_1 T \pmod{p},$$

so ist 1 der grösste gemeinschaftliche Theiler der Functionen  $A_1, B_1, \dots, E_1$ . Denn aus der Congruenz

$$f_i T \equiv A_0 A + B_0 B + \dots + E_0 E \pmod{p}$$

folgt

$$f_i T \equiv (A_0 A_1 + B_0 B_1 + \dots + E_0 E_1) T \pmod{p}$$

und demzufolge

$$f_i \equiv A_0 A_1 + B_0 B_1 + \dots + E_0 E_1 \pmod{p}.$$

Sind  $\varphi, \psi$  ganze Functionen der Veränderlichen  $v, \dots$ , deren Coëfficienten Functionen von  $x_1, x_2, \dots, x_n$  sind und haben die Coëfficienten von  $\varphi$ , von welchen vorausgesetzt wird, dass sie

nicht alle durch  $p$  theilbar sind, den grössten gemeinschaftlichen Theiler  $T$  in Bezug auf  $p$ , so sind die Coëfficienten von  $T\psi$  mit denen von  $\varphi\psi$  gleichstimmig in Bezug auf den Modul  $p$ .

Es seien, um dies darzuthun,

$$A_1, A_2, \dots$$

$$B_1, B_2, \dots$$

$$C_1, C_2, \dots$$

beziehungsweise die Coëfficienten der verschiedenen Potenzproducte der Unbestimmten  $v, \dots$  in den Functionen  $\varphi, \psi$  und  $\varphi\psi$ ,  $P_\mu$  irgend ein Product von  $\mu$  Coëfficienten von  $\varphi$  und  $m$  die Anzahl der Coëfficienten von  $\varphi$ . Es gibt einen Exponenten  $h$  von der Art,<sup>1</sup> dass jedes Product  $A_\alpha^h B_\beta$  sich als Vielfachsumme aller Producte  $P_{h-1} C_\gamma$  darstellen lässt. Ist nun

$$f_i T \equiv \mathfrak{A}_1 A_1 + \mathfrak{A}_2 A_2 + \dots + \mathfrak{A}_m A_m \pmod{p},$$

wo  $f_i$  die Veränderliche  $x_i$  nicht enthält und nicht durch  $p$  theilbar ist, so wird

$$f_i^{hm} T^{hm} \equiv (\mathfrak{A}_1 A_1 + \mathfrak{A}_2 A_2 + \dots + \mathfrak{A}_m A_m)^{hm} \pmod{p}.$$

Da aber die Potenz

$$(\mathfrak{A}_1 A_1 + \mathfrak{A}_2 A_2 + \dots)^{hm}$$

eine Vielfachsumme von Ausdrücken  $\mathfrak{P} P_{hm}$  ist, in welchen  $\mathfrak{P}$  ein Product von Ausdrücken  $\mathfrak{A}_1, \mathfrak{A}_2, \dots, \mathfrak{A}_m$  bezeichnet, und da jedes Product  $P_{hm}$  die Gestalt  $P_{hm-h} A_r^h$  hat, so ist  $f_i^{hm} T^{hm} B_\beta$  als Vielfachsumme von Ausdrücken  $\mathfrak{P} P_{hm-1} C_\gamma$  und daher auch in der Gestalt

$$T^{hm-1} (\mathfrak{C}_1 C_1 + \mathfrak{C}_2 C_2 + \dots) + p\Gamma$$

darstellbar, wo  $\mathfrak{C}_1, \mathfrak{C}_2, \dots$  ganze ganzzahlige Functionen bezeichnen. Man hat also auch für jedes  $i$

$$f_i^{mh} T B_\beta \equiv \mathfrak{C}_1 C_1 + \mathfrak{C}_2 C_2 + \dots \pmod{p}.$$

<sup>1</sup> L. c.

Andererseits ist  $C_1$  eine Vielfachsumme von Producten  $A_\alpha B_\beta$  und somit in der Form

$$T(\mathfrak{B}_1 B_1 + \mathfrak{B}_2 B_2 + \dots) + p\mathfrak{l}'$$

darstellbar, wo  $\mathfrak{B}_1, \mathfrak{B}_2, \dots$  ganzzahlige Functionen bezeichnen.

Der Beweis für die Existenz des grössten gemeinschaftlichen Theilers in Bezug auf den Modul  $p$  lässt sich zunächst für Functionen einer Veränderlichen unmittelbar und dann für Functionen mehrerer Veränderlichen durch den Schluss von  $n$  auf  $n+1$  führen. Hiebei können die etwa durch  $p$  theilbaren Functionen der gegebenen Functionenreihe weggelassen werden.

Es seien also

$$A, B, \dots E$$

gegebene Functionen einer Veränderlichen  $x$ .

Besteht die Reihe aus nur einem Gliede  $A$ , so ist  $T = A$ .

Besteht die Reihe aus zwei Functionen  $A, B$ , so gibt es nach IV eine Function  $M$ , welche den Bedingungen

$$aA \equiv HM \pmod{p}$$

$$bB \equiv KM \pmod{p}$$

$$M \equiv A_0 A + B_0 B \pmod{p}$$

genügt, wo  $a, b$  nicht durch  $p$  theilbare Zahlen und  $H, K, A_0, B_0$  ganze ganzzahlige Functionen von  $x$  bezeichnen. Ist

$$aa' \equiv 1 \quad bb' \equiv 1 \pmod{p},$$

so wird

$$aa'A \equiv A \quad bb'B \equiv B \pmod{p}$$

und daher

$$A \equiv a'HM \pmod{p}$$

$$B \equiv b'KM \pmod{p}.$$

Man kann also  $T = M$  setzen.

Bei drei Functionen  $A, B, C$  suche man zunächst den grössten gemeinschaftlichen Theiler  $M$  zweier Functionen  $A$  und  $B$  in Bezug auf  $p$  und hierauf den von  $M$  und  $C$ . U. s. f.<sup>1</sup>

<sup>1</sup> V. Gauss' Werke, Bd. II, Analysis residuorum, Dedekind, Abriss einer Theorie der höheren Congruenzen in Bezug auf einen  $r$ . Primzahlmodulus, Crêlle, Bd. 54.

Es werde nun angenommen, dass die Existenz des grössten gemeinschaftlichen Theilers in Bezug auf  $p$  für Functionen von  $n$  Veränderlichen  $x_1, x_2, \dots, x_n$  bereits feststeht. Es ist zu zeigen, wie man den grössten gemeinschaftlichen Theiler  $T$  einer gegebenen Reihe  $A, B, \dots, E$  von Functionen von  $n+1$  Veränderlichen  $x, x_1, x_2, \dots, x_n$  in Bezug auf den Modul  $p$  finden kann.

Für eine Function  $A$  ist  $T = A$ .

Für zwei Functionen  $A, B$  gibt es nach IV eine Function  $M$ , welche den Congruenzen

$$\varphi A \equiv \mathfrak{A}M \pmod{p}$$

$$\phi B \equiv \mathfrak{B}M \pmod{p}$$

$$M \equiv A_0 A + B_0 B \pmod{p}$$

genügt, wo  $\varphi, \phi$  nicht durch  $p$  theilbare Functionen von  $x_1, x_2, \dots, x_n$  sind, welche  $x$  nicht enthalten. Ist  $g$  der grösste gemeinschaftliche Theiler aller Coëfficienten der einzelnen Potenzen von  $x$  in  $M$  in Bezug auf  $p$  und  $M \equiv gM_1 \pmod{p}$ , so sind die Coëfficienten der Potenzen von  $x$  in  $g\mathfrak{A}$  und  $M\mathfrak{A}$  oder  $\varphi A$  gleichstimmig, und es ist daher  $g\mathfrak{A}$  durch  $\varphi$  in Bezug auf  $p$  theilbar. Man kann also

$$g\mathfrak{A} \equiv \varphi \mathfrak{A}_1 \pmod{p}$$

und aus ähnlichen Gründen

$$g\mathfrak{B} \equiv \phi \mathfrak{B}_1 \pmod{p}$$

setzen und hat

$$A \equiv \mathfrak{A}_1 M_1 \pmod{p}$$

$$B \equiv \mathfrak{B}_1 M_1 \pmod{p}.$$

Ist noch  $f$  der grösste gemeinschaftliche Theiler aller Coëfficienten der Potenzen von  $x$  in  $\mathfrak{A}_1$  und  $\mathfrak{B}_1$  zusammengekommen und setzt man

$$\mathfrak{A}_1 \equiv fP \quad \mathfrak{B}_1 \equiv fQ \pmod{p}$$

$$fM_1 = T,$$

so wird

$$A \equiv PT \pmod{p}$$

$$B \equiv QT \pmod{p}$$

$$gT \equiv fA_0 A + fB_0 B \pmod{p},$$

(3)

wo alle Coëfficienten der einzelnen Potenzen von  $x$  in  $P$  und  $Q$  zusammengenommen in Bezug auf  $p$  den grössten gemeinschaftlichen Theiler 1 haben.

$T$  ist nun der gesuchte grösste gemeinschaftliche Theiler von  $A$  und  $B$  in Bezug auf  $p$ . Verfährt man nämlich mit  $P$  und  $Q$  in Bezug auf  $x$ , so wie vorher mit  $A$  und  $B$  in Bezug auf  $x$ , so findet man eine Function  $U$ , welche den Congruenzen

$$\begin{aligned} P &\equiv P_0 U \pmod{p} \\ Q &\equiv Q_0 U \pmod{p} \\ g_i U &\equiv P_1 P + Q_1 Q \pmod{p} \end{aligned}$$

genügt, wo  $g_i$  nicht durch  $p$  theilbar ist und die Veränderliche  $x$  nicht enthält. Aus (3) folgt dann

$$\begin{aligned} gT &\equiv fA_0 P_0 TU + fB_0 Q_0 TU \pmod{p} \\ &\equiv \Gamma TU \pmod{p}, \end{aligned}$$

und es ist also

$$g \equiv \Gamma U \pmod{p}.$$

Diese Congruenz zeigt, dass  $U$  die Veränderliche  $x$  nicht enthält. Dann muss aber  $U$  in allen Coëfficienten der einzelnen Potenzen von  $x$  in  $P$  und  $Q$  aufgehen und somit  $\equiv 1$  sein. Es ist also

$$g_i \equiv P_1 P + Q_1 Q \pmod{p}$$

und demzufolge auch

$$\begin{aligned} g_i T &\equiv P_1 P T + Q_1 Q T \\ &\equiv P_1 A + Q_1 B \pmod{p}. \end{aligned}$$

Bei drei Functionen  $A, B, C$  suche man zunächst den grössten gemeinschaftlichen Theiler  $M$  zweier Functionen  $A, B$  in Bezug auf  $p$  und hierauf den von  $M$  und  $C$ . U. s. f.

VII. Eine Function wird reductibel oder irreductibel in Bezug auf den Modul  $p$  genannt, je nachdem sie in Bezug auf diesen Modul als Product zweier Functionen, welche beide von höherem als dem  $0$ ten Grade sind, darstellbar ist oder nicht. Die Irreductibilität, beziehungsweise Reductibilität einer gegebenen Function lässt sich immer durch eine endliche Anzahl von Ver-

suchen feststellen, da die Gradzahlen und Coëfficienten jedes etwaigen Theilers einer solchen Function nur eine endliche Anzahl von Werthen haben können.

## 3.

Unter einer ganzen algebraischen Form des Gattungsbereiches  $\mathfrak{G}$  versteht man eine ganze Function von Unbestimmten, in welcher die bei den einzelnen verschiedenen Potenzproducten der Unbestimmten stehenden Coëfficienten ganze algebraische Zahlen von  $\mathfrak{G}$  sind.

Der grösste gemeinschaftliche Theiler aller Coëfficienten der Norm  $N\varphi$  einer ganzen algebraischen Form  $\varphi$  von  $\mathfrak{G}$  soll die numerische Norm von  $\varphi$  genannt werden. Eine ganze algebraische Form heisst primitiv, wenn ihre numerische Norm  $= 1$  ist.

Von einer ganzen algebraischen Form  $\psi$  von  $\mathfrak{G}$  soll gesagt werden, dass sie durch eine andere ebensolche Form  $\varphi$  theilbar ist, wenn es eine ganze ganzzahlige primitive Form  $E$  von der Art gibt, dass der Quotient  $\frac{E\psi}{\varphi}$  eine ganze algebraische Form von  $\mathfrak{G}$  ist. Wenn die Form  $\psi$  durch  $\varphi$  theilbar ist, so ist jeder einzelne Coëfficient von  $\psi$  durch  $\varphi$  theilbar.<sup>1</sup> Zwei Formen heissen absolut äquivalent, wenn jede durch die andere theilbar ist.

Eine ganze algebraische Form  $\varphi$  von  $\mathfrak{G}$  heisst irreductibel oder unzerfällbar, wenn es keine ganze algebraische Form von  $\mathfrak{G}$  gibt, welche in  $\varphi$  aufgeht und deren numerische Norm kleiner als die von  $\varphi$  und grösser als 1 ist.

Eine ganze algebraische Form  $\varphi$  von  $\mathfrak{G}$  wird nach Kronecker<sup>2</sup> eine Grundform genannt, wenn alle Coëfficienten der Formen

$$\omega_1\varphi, \omega_2\varphi, \dots, \omega_n\varphi$$

als Vielfachsummen der Coëfficienten der Form  $\varphi$  darstellbar sind. Eine nicht identisch verschwindende Grundform kann nicht weniger als  $n$  Coëfficienten besitzen.

<sup>1</sup> Festschrift §. 14.

<sup>2</sup> Ebendasselbst §. 24.





Sind nun

$$\varphi', \varphi'', \dots$$

$$\omega'_i, \omega''_i, \dots$$

$$\gamma'_i, \gamma''_i, \dots$$

$$B'_i, B''_i, \dots$$

die conjugirten Werthe von  $\varphi$ ,  $\omega_i$ ,  $\gamma_i$ ,  $B_i$ , und setzt man zur Abkürzung

$$\begin{vmatrix} \varphi_{1\alpha} \varphi_{1\beta} \dots \varphi_{1\varepsilon} \\ \varphi_{2\alpha} \varphi_{2\beta} \dots \varphi_{2\varepsilon} \\ \dots \dots \dots \dots \\ \varphi_{n\alpha} \varphi_{n\beta} \dots \varphi_{n\varepsilon} \end{vmatrix} = \Phi_{\alpha\beta\dots\varepsilon}$$

$$\begin{vmatrix} \gamma_\alpha \gamma_\beta \dots \gamma_\varepsilon \\ \gamma'_\alpha \gamma'_\beta \dots \gamma'_\varepsilon \\ \gamma''_\alpha \gamma''_\beta \dots \gamma''_\varepsilon \\ \dots \dots \dots \dots \end{vmatrix} = \Gamma_{\alpha\beta\dots\varepsilon}$$

$$\begin{vmatrix} b_{1\alpha} b_{1\beta} \dots b_{1\varepsilon} \\ b_{2\alpha} b_{2\beta} \dots b_{2\varepsilon} \\ \dots \dots \dots \dots \\ b_{n\alpha} b_{n\beta} \dots b_{n\varepsilon} \end{vmatrix} = B_{\alpha\beta\dots\varepsilon},$$

so wird nach (4)

$$\Omega N\varphi = \Omega \varphi \varphi' \varphi'' \dots$$

$$\begin{aligned} &= \begin{vmatrix} \omega_1 \varphi, & \omega_2 \varphi, & \dots & \omega_n \varphi \\ \omega'_1 \varphi', & \omega'_2 \varphi', & \dots & \omega'_n \varphi' \\ \dots & \dots & \dots & \dots \\ \omega''_1 \varphi'', & \omega''_2 \varphi'', & \dots & \omega''_n \varphi'' \end{vmatrix} \\ &= \Sigma \Phi_{\alpha\beta\dots\varepsilon} \Gamma_{\alpha\beta\dots\varepsilon} \end{aligned}$$

und der Gleichung

$$\Gamma_{\alpha\beta\dots\varepsilon} = \Omega C_{\alpha\beta\dots\varepsilon}$$

zufolge

$$N\varphi = \Sigma \Phi_{\alpha\beta\dots\varepsilon} C_{\alpha\beta\dots\varepsilon}, \quad (5)$$

wo die Summen über alle Combinationen  $n^{\text{ter}}$  Classe  $\alpha\beta\dots\varepsilon$  der Zahlen  $1, 2, \dots, m$  zu erstrecken sind.

Anderseits ist nach (3)

$$\begin{aligned}
 E^n \Gamma_{\alpha\beta\dots\varepsilon} &= \begin{vmatrix} E\gamma_\alpha, E\gamma_\beta, \dots, E\gamma_\varepsilon \\ E\gamma'_\alpha, E\gamma'_\beta, \dots, E\gamma'_\varepsilon \\ \dots \dots \dots \end{vmatrix} \\
 &= \begin{vmatrix} \varphi B_\alpha, \varphi B_\beta, \dots, \varphi B_\varepsilon \\ \varphi' B'_\alpha, \varphi' B'_\beta, \dots, \varphi' B'_\varepsilon \\ \dots \dots \dots \end{vmatrix} \\
 &= \begin{vmatrix} B_\alpha, B_\beta, \dots, B_\varepsilon \\ B'_\alpha, B'_\beta, \dots, B'_\varepsilon \\ \dots \dots \dots \end{vmatrix} \varphi \varphi' \varphi'' \dots \\
 &= B_{\alpha\beta\dots\varepsilon} \Omega N \varphi
 \end{aligned}$$

und man hat

$$E^n C_{\alpha\beta\dots\varepsilon} = B_{\alpha\beta\dots\varepsilon} N \varphi. \quad (6)$$

Nach (5), (6) sind sowohl die Coëfficienten von  $N\varphi$  Vielfachsummen der Determinanten  $C_{\alpha\beta\dots\varepsilon}$  als auch umgekehrt diese Vielfachsummen jener. Die grössten gemeinschaftlichen Theiler der Coëfficienten von  $N\varphi$  und der Determinanten  $C_{\alpha\beta\dots\varepsilon}$  fallen daher zusammen.

Jede ganze algebraische Form  $\varphi$  von  $\mathfrak{G}$  ist einer linearen Grundform absolut äquivalent. Sind nämlich  $\alpha, \beta, \dots$  die Coëfficienten der Form  $\varphi$ , so braucht man nur eine lineare Form zu bilden, deren Coëfficienten sämtliche Producte

$$\begin{aligned}
 &\omega_1 \alpha, \omega_2 \alpha, \dots, \omega_n \alpha \\
 &\omega_1 \beta, \omega_2 \beta, \dots, \omega_n \beta \\
 &\dots \dots \dots
 \end{aligned}$$

sind. Die so gebildete Form ist eine Grundform und hat dieselben Coëfficienten wie die Form

$$(s_1 \omega_1 + s_2 \omega_2 + \dots + s_n \omega_n) \varphi,$$

wenn die Unbestimmten  $s_1, s_2, \dots, s_n$  in  $\varphi$  nicht vorkommen, ist also mit dieser Form und daher auch mit  $\varphi$  absolut äquivalent, weil die Form  $s_1 \omega_1 + s_2 \omega_2 + \dots + s_n \omega_n$  primitiv ist.

## 4.

Ist

$$F(t) = 0$$

die Fundamentalgleichung des Gattungsbereiches  $\mathfrak{G}$ , so hat jeder Theiler  $f$  von  $F(t)$  in Bezug auf den Primzahlmodul  $p$  die Gestalt

$$f = a_0 t^v + a_1 t^{v-1} + a_2 t^{v-2} + \dots + a_v,$$

wo  $a_0$  eine nicht durch  $p$  theilbare Zahl und  $a_i$  in den Unbestimmten  $u_1, u_2, \dots, u_n$  ganz, ganzzahlig, homogen und vom Grade  $i$  ist. Ist  $a_0$  nicht  $\equiv 1$  und  $a_0 a' \equiv 1 \pmod{p}$ , so ist

$$a' f \equiv t^v + a' a_1 t^{v-1} + \dots + a' a_v$$

und die Function

$$t^v + a' a_1 t^{v-1} + \dots + a' a_v$$

ebenfalls ein Theiler von  $F(t)$ , durch welchen sich  $f$  mittelst der Congruenz

$$f \equiv a_0 (t^v + a' a_1 t^{v-1} + \dots + a' a_v) \pmod{p}$$

ausdrücken lässt. Man erhält daher alle möglichen Theiler von  $F(t)$  in Bezug auf den Modul  $p$ , wenn man die Theiler von der Form

$$t^v + a_1 t^{v-1} + a_2 t^{v-2} + \dots + a_v$$

aufsucht und jeden derselben mit den Zahlen  $1, 2, \dots, p-1$  multiplicirt.

## 5.

Es sei  $P(t)$  irgend ein irreductibeler Theiler der Function  $F(t)$  in Bezug auf den Primzahlmodul  $p$  von der Form

$$P(t) = t^v + a_1 t^{v-1} + a_2 t^{v-2} + \dots + a_v, \quad (7)$$

und man setze

$$P(t) + p = \varphi(t) \\ u_1 \omega_1 + u_2 \omega_2 + \dots + u_n \omega_n = u.$$

Es gelten dann folgende Sätze:

I. Die numerische Norm  $h$  von  $\varphi(u)$  ist eine Potenz von  $p$ , deren Exponent  $\geq v$  ist.

Man hat

$$F(t) \equiv \Gamma P(t) \pmod{p}$$

und es besteht daher eine Identität von der Form

$$F(t) = \Gamma \varphi(t) + pG(t),$$

wo  $\Gamma, G$  ganze ganzzahlige Functionen von  $t, u_1, u_2, \dots, u_n$  bezeichnen. Die Norm von  $\varphi(u)$  oder die Resultante von  $\varphi(t)$  und  $F(t)$  fällt hienach mit der Resultante von  $\varphi(t)$  und  $pG(t)$  zusammen und hat also die Gestalt  $p^v H$ , wo  $H$  die Resultante von  $\varphi(t)$  und  $G(t)$  ist. Der grösste gemeinschaftliche Theiler aller Coëfficienten von  $\varphi(u)$  ist demnach durch  $p^v$  theilbar. Anderseits geht derselbe in dem die Unbestimmten  $u_1, u_2, \dots, u_n$  nicht enthaltenden Gliede  $p^v$  von  $N\varphi(u)$  auf.

II. Es sei  $g(t)$  eine ganze ganzzahlige Function von  $t, u_1, u_2, \dots, u_n$  und eventuell noch anderen Unbestimmten und  $f(t)$  der Rest, welcher bei der Division von  $g(t)$  durch  $P$  in Bezug auf  $t$  bleibt und den Grad  $v$  in  $t$  nicht erreicht. Ist  $f(t)$  nicht durch  $p$  theilbar, so ist weder die — in Bezug auf  $t$  zu bildende — Resultante  $S$  von  $g(t)$  und  $P(t)$  durch  $p$ , noch  $g(u)$  durch  $\varphi(u)$  theilbar.

Der grösste gemeinschaftliche Theiler von  $P(t)$  und  $f(t)$  in Bezug auf den Modul  $p$  kann nur  $= 1$  sein. Denn man kann denselben in der Gestalt

$$t^p + b_1 t^{p-1} + \dots + b_p$$

annehmen, und es muss  $p > v$  sein, da  $f(t)$  den Grad  $v$  in  $t$  nicht erreicht. Wäre nun  $p > 0$ , so wäre  $P$  gegen die Annahme reducibel.

Man hat also eine Identität von der Form

$$U = AP(t) + Bf(t) + pI'$$

und daher auch eine solche von der Form

$$U = AP(t) + Bg(t) + pG(t), \quad (8)$$

wo  $A, B, \Gamma, G, U$  ganze ganzzahlige Functionen von  $t, u_1, u_2, \dots, u_n$  bezeichnen, deren letzte insbesondere  $t$  nicht enthält und nicht durch  $p$  theilbar ist.

Aus dieser Identität folgt zunächst, dass die Resultante  $U^v$  von  $U$  und  $P(t)$  in Bezug auf  $t$  mit der von  $Bg(t) + pG(t)$  und  $P(t)$  zusammenfällt und daher der Resultante von  $Bg$  und  $P$  in Bezug auf den Modul  $p$  congruent ist. Bezeichnet also  $L$  die Resultante von  $B$  und  $P$ , so hat man

$$U^v \equiv LS \pmod{p}$$

und es erhellt, dass  $S$  nicht durch  $p$  theilbar sein kann, weil  $p$  nicht in  $U^v$  aufgeht.

Aus der Identität (8) folgt ferner, wenn  $t = u$  gesetzt wird,

$$U \equiv A(u)P(u) + B(u)g(u) \pmod{p}.$$

Da  $\varphi(u)$  in  $p$  und  $P(u)$  aufgeht, so müsste, wenn  $g(u)$  durch  $\varphi(u)$  theilbar wäre, auch  $U$  durch  $\varphi(u)$  theilbar sein und man hätte eine Identität von der Form

$$EU = v \cdot \varphi(u),$$

wo  $E$  eine ganze ganzzahlige primitive und  $v$  eine ganze algebraische Form bezeichnen. Die Norm  $E^n U^n$  von  $v\varphi(u)$  müsste dann durch die Norm von  $\varphi(u)$  und also auch durch  $p$  theilbar sein, was nicht der Fall ist.

Durch Umkehrung schliesst man, dass  $f(t)$  durch  $p$  theilbar sein muss, wenn entweder die Resultante  $S$  durch  $p$  oder die Function  $g(u)$  durch  $\varphi(u)$  theilbar ist, und dass  $S$  durch  $p$  theilbar sein muss, wenn  $\varphi(u)$  in  $g(u)$  aufgeht, weil die Resultante einer Function von der Form  $\Gamma P(t) + f(t)$  und der Function  $P(t)$  durch  $p$  theilbar ist, wenn  $p$  in  $f(t)$  aufgeht.

III. Die Function  $P'(t) = \frac{\partial P}{\partial t}$  ist nicht durch  $p$  theilbar.

Es sei

$$\frac{\partial P}{\partial u_i} = P_i(t).$$

Da  $\varphi(u)$  in den bei den einzelnen Potenzproducten der Unbestimmten  $u_1, u_2, \dots, u_n$  in  $P(u)$  stehenden Coëfficienten aufgeht, so ist auch die Ableitung

$$\frac{\partial P(u)}{\partial u_i} = \omega_i P'(u) + P_i(u)$$

durch  $\varphi(u)$  theilbar und man hat für alle Werthe  $1, 2, \dots, n$  von  $i$

$$P'(u)\omega_i + P_i(u) \equiv 0 \pmod{\varphi(u)}. \quad (9)$$

Wäre nun  $P'(t)$  durch  $p$  theilbar, so wäre  $P'(u)$  durch  $p$  und also auch durch  $\varphi u$  theilbar, und  $\varphi(u)$  müsste der vorstehenden Identität zufolge in  $P_i(u)$  aufgehen. Nach II müsste dann die Function  $P_i(t)$ , da sie in  $t$  den Grad  $\nu$  nicht erreicht, durch  $p$  theilbar sein. Wenn aber alle Ableitungen

$$P', P_1, P_2, \dots, P_n$$

von  $P$  durch  $p$  theilbar sind, so ist  $P$  einer ganzen ganzzahligen Function

$$\psi(t^p, u_1^p, u_2^p, \dots, u_n^p)$$

in Bezug auf den Modul  $p$  congruent, und man hätte die mit der Irreductibilität von  $P$  in Widerspruch stehende Congruenz

$$P \equiv \psi(t, u_1, u_2, \dots, u_n)^p \pmod{p}.$$

Nach II ist also auch die Resultante von  $P'(t)$  und  $P(t)$  nicht durch  $p$  theilbar. Bezeichnet  $R$  diese Resultante, so besteht eine Identität von der Form

$$R = Q(t)P'(t) + Q_1(t)P(t),$$

wo  $Q, Q_1$  ganze ganzzahlige Functionen von  $t, u_1, u_2, \dots, u_n$  sind, und man hat für  $t = u$

$$\begin{aligned} R &= Q(u)P'(u) + Q_1(u)P(u) \\ &\equiv Q(u)P'(u) \pmod{\varphi(u)}. \end{aligned}$$

Nach (9) folgt hieraus

$$R\omega_i \equiv -Q(u)P_i(u) \pmod{\varphi(u)}.$$

Setzt man daher

$$\begin{aligned} -Q(t)P_i(t) &= g_i(t) + \Gamma P(t) \\ g_i(t) &= g_{1i} + g_{2i}t + \dots + g_{\nu i}t^{\nu-1}, \end{aligned}$$

wo  $g_i(t)$  den bei der Division von  $-QP_i$  durch  $P$  in Bezug auf  $t$  sich ergebenden und den Grad  $\nu$  in  $t$  nicht erreichenden Rest bezeichnet, so wird

$$R\omega_i \equiv g_i(u) \pmod{\varphi u}. \quad (10)$$

IV. Die numerische Norm  $h$  von  $\varphi(u)$  ist  $p^\nu$ .

Es sei, wie in III,  $R$  die Resultante von  $P'$  und  $P$  und

$$u^{m-1} = \psi_{m1}\omega_1 + \psi_{m2}\omega_2 + \dots + \psi_{mn}\omega_n,$$

wo  $\psi_{m1}, \psi_{m2}, \dots$  ganze ganzzahlige Functionen der Unbestimmten  $u_1, u_2, \dots$  bezeichnen. Nach (10) wird

$$Ru^{m-1} - \psi_{m1}g_1(u) - \psi_{m2}g_2(u) - \dots - \psi_{mn}g_n(u) \equiv 0 \pmod{\varphi u},$$

und es folgt hieraus nach II, wenn  $m \leq \nu$  ist,

$$Rt^{m-1} - \psi_{m1}g_1(t) - \psi_{m2}g_2(t) - \dots - \psi_{mn}g_n(t) \equiv 0 \pmod{p}.$$

Setzt man daher

$$e_{\mu m} = \psi_{m1}g_{\mu 1} + \psi_{m2}g_{\mu 2} + \dots + \psi_{mn}g_{\mu n}$$

und versteht unter dem Symbol  $m_\mu$  die Einheit oder Null, je nachdem  $m$  und  $\mu$  gleich oder ungleich sind, so ist

$$e_{\mu m} \equiv m_\mu R \pmod{p}$$

und demzufolge

$$\begin{vmatrix} e_{11} & e_{12} & \dots & e_{1\nu} \\ e_{21} & e_{22} & \dots & e_{2\nu} \\ \cdot & \cdot & \cdot & \cdot \\ e_{\nu 1} & e_{\nu 2} & \dots & e_{\nu\nu} \end{vmatrix} \equiv R^\nu \pmod{p}.$$

Setzt man aber anderseits für jede Combination  $\nu$ ter Classe  $\alpha\beta \dots \epsilon$  der Zahlen  $1, 2, \dots n$

$$\begin{vmatrix} g_{1\alpha} g_{1\beta} \dots g_{1\epsilon} \\ g_{2\alpha} g_{2\beta} \dots g_{2\epsilon} \\ \cdot & \cdot & \cdot & \cdot \\ g_{\nu\alpha} g_{\nu\beta} \dots g_{\nu\epsilon} \end{vmatrix} = G_{\alpha\beta \dots \epsilon}$$

$$\begin{vmatrix} \psi_{1\alpha} \psi_{1\beta} \dots \psi_{1\epsilon} \\ \psi_{2\alpha} \psi_{2\beta} \dots \psi_{2\epsilon} \\ \cdot & \cdot & \cdot & \cdot \\ \psi_{\nu\alpha} \psi_{\nu\beta} \dots \psi_{\nu\epsilon} \end{vmatrix} = \Psi_{\alpha\beta \dots \epsilon},$$

so wird, über alle Combinationen  $\alpha\beta\dots\varepsilon$  erstreckt,

$$\begin{vmatrix} e_{11}e_{12}\dots e_{1\nu} \\ e_{21}e_{22}\dots e_{2\nu} \\ \dots\dots\dots \\ e_{\nu 1}e_{\nu 2}\dots e_{\nu\nu} \end{vmatrix} = \Sigma G_{\alpha\beta\dots\varepsilon} \Psi_{\alpha\beta\dots\varepsilon}$$

und man hat

$$\Sigma G_{\alpha\beta\dots\varepsilon} \Psi_{\alpha\beta\dots\varepsilon} \equiv R^\nu \pmod{p}.$$

Diese Congruenz lehrt, dass wenigstens eine der Determinanten  $G_{\alpha\beta\dots\varepsilon}$  nicht durch  $p$  theilbar ist.

Es sei also  $\rho\sigma\dots\tau$  eine bestimmte Combination, für welche  $G_{\rho\sigma\dots\tau}$  nicht durch  $p$  theilbar ist, und man setze zur Abkürzung

$$RG_{\rho\sigma\dots\tau} = H;$$

es seien ferner  $\kappa, \lambda, \dots, \mu$  die Stellenzeiger, welche die Zahlen  $\rho, \sigma, \dots, \tau$  zu  $1, 2, \dots, n$  ergänzen, und

$$\begin{aligned} \pi_1 &= c_{11} \omega_1 + c_{21} \omega_2 + \dots + c_{n1} \omega_n \\ \pi_2 &= c_{12} \omega_1 + c_{22} \omega_2 + \dots + c_{n2} \omega_n \\ &\dots\dots\dots \\ \pi_m &= c_{1m} \omega_1 + c_{2m} \omega_2 + \dots + c_{nm} \omega_n \end{aligned}$$

die Coëfficienten einer mit  $\varphi u$  absolut äquivalenten Grundform. Man hat für jeden Stellenzeiger  $r$  nach (10)

$$\begin{aligned} R\omega_r - g_{1r} - g_{2r}u - \dots - g_{\nu r}u^{\nu-1} &\equiv 0 \\ R\omega_\rho - g_{1\rho} - g_{2\rho}u - \dots - g_{\nu\rho}u^{\nu-1} &\equiv 0 \\ \dots\dots\dots \\ R\omega_\tau - g_{1\tau} - g_{2\tau}u - \dots - g_{\nu\tau}u^{\nu-1} &\equiv 0 \pmod{\varphi u} \end{aligned}$$

und erhält nach Fortschaffung von  $1, u, u^2, \dots, u^{\nu-1}$

$$\begin{vmatrix} R\omega_r g_{1r} g_{2r} \dots g_{\nu r} \\ R\omega_\rho g_{1\rho} g_{2\rho} \dots g_{\nu\rho} \\ \dots\dots\dots \\ R\omega_\tau g_{1\tau} g_{2\tau} \dots g_{\nu\tau} \end{vmatrix} \equiv 0 \pmod{\varphi u},$$

oder

$$H\omega_r - RG_{r1\dots\tau} \omega_\rho + \dots \equiv 0 \pmod{\varphi u}.$$



Aus dieser Congruenz folgt, dass der Ausdruck

$$H\omega_r - RG_{rs\dots r}\omega_r + \dots$$

als linear-homogene Function  $f_r$  von  $\pi_1, \pi_2, \dots, \pi_m$  mit in  $u_1, u_2, \dots$  ganzen und ganzzahligen Coëfficienten darstellbar ist.

Es lassen sich also auch, wenn  $r = \kappa, \lambda, \dots, \mu$  gesetzt wird, die  $n - \nu$  Producte

$$H\omega_\kappa, H\omega_\lambda, \dots, H\omega_\mu$$

und die  $\nu$  Zahlen

$$\omega_\rho, \omega_\sigma, \dots, \omega_\tau$$

als linear-homogene Functionen von

$$\omega_\rho, \omega_\sigma, \dots, \omega_\tau, f_\kappa, f_\lambda, \dots, f_\mu$$

mit in  $u_1, u_2, \dots, u_n$  ganzen und ganzzahligen Coëfficienten darstellen, und es wird demzufolge, wenn die conjugirten Werthe von  $\omega_i, \pi_i, f_i$  mit  $\omega'_i, \omega''_i, \dots, \pi'_i, \pi''_i, \dots, f'_i, f''_i, \dots$  bezeichnet werden,

$$H^{n-\nu}\Omega = \Gamma \begin{vmatrix} \omega_\rho, \omega_\sigma, \dots, \omega_\tau, f_\kappa, f_\lambda, \dots, f_\mu \\ \omega'_\rho, \omega'_\sigma, \dots, \omega'_\tau, f'_\kappa, f'_\lambda, \dots, f'_\mu \\ \dots \dots \dots \dots \dots \dots \end{vmatrix},$$

wo  $\Gamma$  in  $u_1, u_2, \dots, u_n$  ganz und ganzzahlig ist. Nach Multiplication mit  $p^\nu$  folgt hieraus

$$p^\nu H^{n-\nu}\Omega = \Gamma \begin{vmatrix} p\omega_\rho, p\omega_\sigma, \dots, p\omega_\tau, pf_\kappa, pf_\lambda, \dots, pf_\mu \\ p\omega'_\rho, p\omega'_\sigma, \dots, p\omega'_\tau, pf'_\kappa, pf'_\lambda, \dots, pf'_\mu \\ \dots \dots \dots \dots \dots \dots \end{vmatrix}.$$

Da  $\varphi(u)$  in den Zahlen  $p\omega_\rho, p\omega_\sigma, \dots, p\omega_\tau$  aufgeht, so sind dieselben Vielfachsummen oder ganzzahlige linear-homogene Functionen  $f_\rho, f_\sigma, \dots, f_\tau$  von  $\pi_1, \pi_2, \dots, \pi_m$ , und man hat, wenn die conjugirten Werthe von  $f_\rho, f_\sigma, \dots$  mit  $f'_\rho, f'_\sigma, \dots, f''_\rho, f''_\sigma, \dots$  bezeichnet werden,

$$p^\nu H^{n-\nu}\Omega = \pm \Gamma \begin{vmatrix} f_1, f_2, \dots, f_n \\ f'_1, f'_2, \dots, f'_n \\ \dots \dots \dots \dots \end{vmatrix}.$$

Setzt man nun

$$f_i = b_{i1}\pi_1 + b_{i2}\pi_2 + \dots + b_{im}\pi_m$$

und für jede Combination  $n^{\text{ter}}$  Classe  $\alpha\beta\dots e$  der Zahlen  $1, 2, \dots m$

$$\begin{vmatrix} b_{1\alpha} b_{1\beta} \dots b_{1e} \\ b_{2\alpha} b_{2\beta} \dots b_{2e} \\ \dots \dots \dots \\ b_{n\alpha} b_{n\beta} \dots b_{ne} \end{vmatrix} = B_{\alpha\beta\dots e}$$

$$\begin{vmatrix} c_{1\alpha} c_{1\beta} \dots c_{1e} \\ c_{2\alpha} c_{2\beta} \dots c_{2e} \\ \dots \dots \dots \\ c_{n\alpha} c_{n\beta} \dots c_{ne} \end{vmatrix} = C_{\alpha\beta\dots e}$$

$$\begin{vmatrix} \pi_{\alpha} \pi_{\beta} \dots \pi_e \\ \pi'_{\alpha} \pi'_{\beta} \dots \pi'_e \\ \pi''_{\alpha} \pi''_{\beta} \dots \pi''_e \\ \dots \dots \dots \end{vmatrix} = \Pi_{\alpha\beta\dots e},$$

so wird, über alle Combinationen  $\alpha\beta\dots e$  erstreckt,

$$\begin{vmatrix} f_1, f_2, \dots f_n \\ f'_1, f'_2, \dots f'_n \\ f''_1, f''_2, \dots f''_n \end{vmatrix} = \Sigma B_{\alpha\beta\dots e} \Pi_{\alpha\beta\dots e} \\ = \Omega \Sigma B_{\alpha\beta\dots e} C_{\alpha\beta\dots e}$$

und man hat

$$p^{\nu} H^{n-\nu} = \pm \Gamma \Sigma B_{\alpha\beta\dots e} C_{\alpha\beta\dots e}.$$

Da  $H$  nicht durch  $p$  theilbar ist, so folgt aus dieser Gleichung, dass der grösste gemeinschaftliche Theiler  $h$  aller Determinanten  $C_{\alpha\beta\dots e}$ , welcher nach I eine Potenz von  $p$  ist, in  $p^{\nu}$  aufgehen muss. Da aber auch anderseits  $p^{\nu}$  in  $h$  aufgeht, so ist  $h = p^{\nu}$ .

V. Die Form  $\varphi(u)$  ist unzerfällbar.

Es seien  $\psi, \chi$  irgend zwei ganze algebraische Formen von  $\mathfrak{G}$ , deren Product mit  $\varphi(u)$  absolut äquivalent ist. Setzt man

$$\begin{aligned} \psi &= \psi_1 \omega_1 + \psi_2 \omega_2 + \dots + \psi_n \omega_n \\ \chi &= \chi_1 \omega_1 + \chi_2 \omega_2 + \dots + \chi_n \omega_n \\ \psi_1 g_1(t) + \psi_2 g_2(t) + \dots + \psi_n g_n(t) &= f(t) \\ \chi_1 g_1(t) + \chi_2 g_2(t) + \dots + \chi_n g_n(t) &= f_1(t), \end{aligned}$$

so sind  $f, f_1$  ganze ganzzahlige Functionen, und es wird nach (10)

$$R\psi \equiv f(u) \pmod{\varphi u}$$

$$R\chi \equiv f_1(u) \pmod{\varphi u}$$

und demzufolge

$$R^2\psi\chi \equiv f(u)f_1(u) \pmod{\varphi u}.$$

Da  $\psi\chi$  durch  $\varphi(u)$  theilbar ist, so folgt hieraus

$$f(u)f_1(u) \equiv 0 \pmod{\varphi u}.$$

Bezeichnet  $M$  die Resultante von  $f(t)$  und  $P(t)$ ,  $M_1$  die von  $f_1(t)$  und  $P(t)$ , so muss also nach II die Resultante  $MM_1$  von  $f(t)$ ,  $f_1(t)$  und  $P(t)$  durch  $p$  theilbar sein. Dann muss aber  $p$  in einer der Functionen  $M$ ,  $M_1$  und daher auch in  $f(t)$  oder  $f_1(t)$  aufgehen. Ist etwa

$$f(t) \equiv 0 \pmod{p}$$

so ist  $f(u)$  durch  $\varphi(u)$  theilbar. Dasselbe gilt dann auch, wenn  $s$  eine Unbestimmte bezeichnet, von  $(R+ps)\psi$ , und es ist also  $\psi$  durch  $\varphi(u)$  theilbar, weil  $R+ps$  eine primitive Form ist. Dann sind aber  $\psi$  und  $\varphi(u)$  absolut äquivalent, und  $\chi$  muss die numerische Norm 1 haben.

## 6.

Man denke sich  $F(t)$  in Bezug auf den Primzahlmodul  $p$  als Potenzproduct von irreductibelen Functionen

$$P_1, P_2, \dots, P_m$$

von der Form (7) dargestellt, und es sei

$$F(t) \equiv P_1^{\mu_1} P_2^{\mu_2} \dots P_m^{\mu_m} \pmod{p}. \quad (11)$$

Es ist dann auch identisch

$$F(t) = (P_1 + p)^{\mu_1} (P_2 + p)^{\mu_2} \dots (P_m + p)^{\mu_m} - p\Theta(t),$$

wo  $\Theta(t)$  eine ganze ganzzahlige Function von  $t, u_1, u_2, \dots, u_n$  bezeichnet. Da  $F(t)$  für  $t = u$  verschwindet, so folgt hieraus

$$p\Theta(u) = (P_1(u) + p)^{\mu_1} (P_2(u) + p)^{\mu_2} \dots (P_m(u) + p)^{\mu_m}. \quad (12)$$

Nimmt man auf beiden Seiten die Normen, so wird

$$p^n N\Theta(u) = N(P_1(u)+p)^{\mu_1} \cdot N(P_2(u)+p)^{\mu_2} \dots N(P_m(u)+p)^{\mu_m};$$

es ist aber nach 5, IV

$$\begin{aligned} N(P_1(u)+p) &= p^{\nu_1} E_1 \\ N(P_2(u)+p) &= p^{\nu_2} E_2 \\ &\dots \dots \dots \\ N(P_m(u)+p) &= p^{\nu_m} E_m, \end{aligned}$$

wo  $\nu_i$  den Grad von  $P_i$  in  $t$  und  $E_1, E_2, \dots, E_m$  ganze ganzzahlige primitive Formen von  $u_1, u_2, \dots, u_n$  bezeichnen, und nach (11)

$$\mu_1 \nu_1 + \mu_2 \nu_2 + \dots + \mu_m \nu_m = n.$$

Man hat also

$$N\Theta(u) = E_1^{\mu_1} E_2^{\mu_2} \dots E_m^{\mu_m}.$$

Die Form  $\Theta(u)$  ist demnach primitiv und die Gleichung (12) liefert eine Zerlegung der Primzahl  $p$  in unzerfällbare Formen.

Eine ganze ganzzahlige Function  $f(t)$  von  $t, u_1, u_2, \dots, u_n$ , welche in  $t$  den Grad  $n$  nicht erreicht, ist durch  $p$  theilbar, wenn  $f(u)$  durch  $p$  theilbar ist.

Es sei

$$\begin{aligned} P_1(t)+p &= \varphi_1(t) \\ P_2(t)+p &= \varphi_2(t) \\ &\dots \dots \dots \\ P_m(t)+p &= \varphi_m(t) \end{aligned}$$

und

$$\psi(t) = P_1^{\alpha_1} P_2^{\alpha_2} \dots P_m^{\alpha_m}$$

jedes Potenzproduct der irreductibelen Theiler  $P_1, P_2, \dots$  von  $F(t)$ , in welchem die Exponenten  $\alpha_1, \alpha_2, \dots, \alpha_m$  beziehungsweise die Zahlen  $\mu_1, \mu_2, \dots, \mu_m$  nicht übersteigen. Nennt man den Rest, welcher sich bei der Division einer ganzen Function von  $t$  durch  $\psi(t)$  in Bezug auf  $t$  ergibt und den Grad von  $\psi(t)$  in  $t$  nicht erreicht, kurz den echten Rest dieser Function in Bezug auf den Theiler  $\psi(t)$ , so ist der echte Rest von  $f(t)$  in Bezug auf alle Functionen  $\psi(t)$  durch  $p$  theilbar.

Ist nämlich zunächst

$$\psi(t) = P_1,$$

so wird der Congruenz

$$f(u) \equiv 0 \pmod{p}$$

zufolge

$$f(u) \equiv 0 \pmod{\varphi_1(u)}$$

und die Behauptung folgt aus 5, II. Steht ferner die Behauptung bereits für eine bestimmte Function  $\psi(t)$  fest, in welcher nicht alle Exponenten  $\alpha_1, \alpha_2, \dots, \alpha_m$  die Grenzen  $\mu_1, \mu_2, \dots, \mu_m$  erreichen und etwa  $\alpha_x < \mu_x$  ist, so gilt sie auch für die Function  $\psi(t)P_x$ . Es seien  $Q(t), R(t)$  der Quotient und echte Rest, welche sich bei der Division von  $f(t)$  durch  $\psi(t)$  in Bezug auf  $t$  ergeben, so dass identisch

$$f(t) = Q(t)\psi(t) + R(t)$$

ist. Man hat dann, da  $R$  nach der Annahme durch  $p$  theilbar ist,

$$f(t) \equiv Q(t)\varphi_1(t)^{\alpha_1}\varphi_2(t)^{\alpha_2}\dots\varphi_m(t)^{\alpha_m} \pmod{p}$$

und erhält für  $t = u$

$$Q(u)\varphi_1(u)^{\alpha_1}\varphi_2(u)^{\alpha_2}\dots\varphi_m(u)^{\alpha_m} \equiv 0 \pmod{p}.$$

Da aber  $p$  nach (12) durch

$$\varphi_x(u) \cdot \varphi_1(u)^{\alpha_1}\varphi_2(u)^{\alpha_2}\dots\varphi_m(u)^{\alpha_m}$$

theilbar ist, so muss  $\varphi_x(u)$  in  $Q(u)$  aufgehen. Bezeichnet also  $R_1(t)$  den echten Rest von  $Q(t)$  in Bezug auf den Theiler  $P_x$ , so geht  $p$  nach 5, II in  $R_1(t)$  und also auch in dem echten Rest

$$R_1(t)\psi(t) + R(t)$$

von  $f(t)$  in Bezug auf den Theiler  $\psi P_x$  auf.

Es muss daher auch der echte Rest von  $f(t)$  in Bezug auf den Theiler

$$P_1^{\mu_1}P_2^{\mu_2}\dots P_m^{\mu_m}$$

durch  $p$  theilbar sein. Dieser Rest ist aber  $f(t)$  selbst.

## 7.

Es sei  $\Delta$  die Discriminante von  $F(t)$  und

$$\Delta = Q(t)F'(t) + Q_1(t)F(t) \quad (13)$$

die Identität, welcher sie genügt und in welcher  $Q, Q_1$  ganze ganzzahlige Functionen von  $t, u_1, u_2, \dots u_n$  sind. Differentiirt man die in  $u_1, u_2, \dots u_n$  identische Gleichung

$$F(u) = 0$$

nach  $u_i$  und bezeichnet zu diesem Ende die Ableitung  $\frac{\partial F(t)}{\partial u_i}$  mit  $F_i(t)$ , so ergibt sich

$$F'(u)\omega_i + F_i(u) = 0. \quad (14)$$

Setzt man daher

$$-Q(t)F_i(t) = f_i(t) + \Gamma F(t),$$

wo  $f_i$  in  $t$  den Grad  $n$  nicht erreicht, so hat man für  $t = u$

$$\begin{aligned} \Delta &= Q(u)F'(u) \\ -Q(u)F_i(u) &= f_i(u) \end{aligned}$$

und daher nach (14)

$$\Delta\omega_i = f_i(u).$$

Ist nun  $h$  der grösste gemeinschaftliche Theiler aller Coefficienten von  $\Delta$  und

$$\Delta = hE,$$

wo  $E$  eine ganze ganzzahlige primitive Form von  $u_1, u_2, \dots u_n$  bezeichnet, so wird

$$E\omega_i = \frac{1}{h}f_i(u).$$

Da hienach  $\frac{1}{h}f_i(u)$  eine ganze algebraische Form von  $\mathfrak{G}$  ist, so ist  $f_i(u)$  durch alle Primfactoren von  $h$  theilbar. Dasselbe muss also nach 6 auch mit  $f_i(t)$  der Fall sein und man kann

$$f_i(t) = h\psi_i(t)$$

setzen, wo  $\psi_i(t)$  ganz und ganzzahlig in  $t, u_1, u_2, \dots u_n$  ist. Es wird dann

$$E\omega_i = \psi_i(u). \quad (15)$$

## 8.

Es sei, wie in 5, IV,

$$u^{n-1} = \psi_{m1}\omega_1 + \psi_{m2}\omega_2 + \dots + \psi_{mn}\omega_n$$

und

$$\Sigma \pm \psi_{11}\psi_{22} \dots \psi_{nn} = \Psi;$$

es bezeichne ferner  $\Delta$  die Discriminante von  $F(t)$ ,  $D$  die des Gattungsbereiches  $\mathfrak{G}$  und  $\Pi$  das Differenzen- oder alternirende Product der conjugirten Functionen

$$u, u', u'', \dots u^{(n-1)}.$$

Man hat

$$\Pi = \Psi \Omega$$

$$D = \Omega^2$$

$$\Delta = (-1)^{\frac{1}{2}n(n-1)} \Pi^2$$

und demzufolge

$$\Delta = (-1)^{\frac{1}{2}n(n-1)} D \Psi^2. \quad (16)$$

Anderseits ergibt sich aus (15), wenn

$$\psi_i(t) = a_{i1} + a_{i2}t + a_{i3}t^2 + \dots + a_{in}t^{n-1}$$

$$\Sigma \pm a_{11}a_{22} \dots a_{nn} = A$$

gesetzt wird,

$$E^n \Omega = \begin{vmatrix} \psi_1(u), & \psi_2(u), & \dots & \psi_n(u) \\ \psi_1(u'), & \psi_2(u'), & \dots & \psi_n(u') \\ \vdots & \vdots & \ddots & \vdots \end{vmatrix}$$

$$= A \Pi,$$

und es wird

$$E^{2n} D = (-1)^{\frac{1}{2}n(n-1)} \Delta A^2. \quad (17)$$

Aus (16) und (17) folgt

$$E^{2n} = A^2 \Psi^2,$$

und es muss also  $\Psi$  eine primitive Form sein.

Nach Kronecker's Festschrift blieb es unentschieden, ob  $\Psi$  Theiler zulässt, welche in der Reihe  $2, 3, \dots n-2$  enthalten sind und in  $D$  aufgehen.<sup>1</sup>

## 9.

Sind  $\mu_1, \mu_2, \dots \mu_m$  die Exponenten, welche in der Zerlegung von  $F(t)$  in irreductibele Factoren

$$F(t) \equiv P_1^{\mu_1} P_2^{\mu_2} \dots P_m^{\mu_m} \pmod{p}$$

in Bezug auf den Primzahlmodul  $p$  auftreten, so stimmen dieselben genau mit den Exponenten überein, welche bei der Zerlegung (12) von  $p$  in unzerfällbare Formen des Gattungsbereiches  $\mathfrak{G}$  oder nach H. Dedekind's Auffassung bei der Zerlegung von  $p$  in Primideale vorkommen.

Es ist leicht zu zeigen, dass unter den genannten Exponenten dann und nur dann solche vorkommen, welche  $> 1$  sind, wenn  $p$  in der Discriminante  $D$  des Gattungsbereiches aufgeht.

Man hat nach (13), (16)

$$\Delta = \pm D\Psi^2 = Q(t)F'(t) + Q_1(t)F(t).$$

Ist nun

$$F(t) \equiv H(t)P^2(t) \pmod{p},$$

wo  $P$  einen irreductibelen Theiler von  $F(t)$  in Bezug auf den Modul  $p$  bezeichnet, so hat man

$$F'(t) \equiv (2HP' + HP)P \pmod{p}$$

und daher

$$\pm D\Psi^2 \equiv (QHP + 2QHP' + Q_1HP)P \pmod{p}.$$

Weil aber  $D\Psi^2$  die Veränderliche  $t$  nicht enthält, so folgt hieraus

$$D\Psi^2 \equiv 0 \pmod{p}$$

und infolge der Primitivität von  $\Psi$

$$D \equiv 0 \pmod{p}.$$

---

<sup>1</sup> Vergl. Dedekind, Über die Discriminanten endlicher Körper. Abh. der k. Ges. d. W. zu Göttingen, Bd. XXIX.



Ist umgekehrt  $D$  durch  $p$  theilbar,  $P$  ein irreductibeler Theiler von  $F(t)$  in Bezug auf den Modul  $p$  und

$$F(t) \equiv \Gamma P \pmod{p},$$

so kann  $\Gamma$  nicht  $\equiv 1$  sein. Denn es wäre dann  $F' \equiv P' \pmod{p}$  und daher  $\Delta$  der Resultante von  $P'$  und  $P$  in Bezug auf  $p$  congruent. Diese Resultante müsste daher durch  $p$  theilbar sein, was nicht der Fall ist. Zerlegt man also  $F$  in irreductibele Factoren  $P_1, P_2, P_3 \dots$  in Bezug auf den Modul  $p$ , so ist die Anzahl derselben wenigstens  $= 2$  und aus den Congruenzen

$$F \equiv P_1 P_2 \dots \pmod{p}$$

$$F' \equiv P'_1 P_2 P_3 \dots + P'_2 P_1 P_3 \dots + \dots \pmod{p}$$

folgt, dass  $\pm \Delta$  nach dem Modul  $p$  dem Producte der Resultanten von  $P_1$  und  $P'_1$ , von  $P_2$  und  $P'_2$  u. s. w. in die Quadrate der Resultanten von  $P_1$  und  $P_2$ ,  $P_1$  und  $P_3$  u. s. w. congruent ist. Da aber  $p$  in  $\Delta$  aufgeht, in den Resultanten von  $P_1$  und  $P'_1$ ,  $P_2$  und  $P'_2$  u. s. w. aber nicht, so muss eine der Resultanten von  $P_1$  und  $P_2$ ,  $P_1$  und  $P_3$  u. s. w. durch  $p$  theilbar sein. Es sei etwa die von  $P_1$  und  $P_2$  durch  $p$  theilbar. Die Function  $P_2$  muss dann nach 5, II durch  $P_1$  nach dem Modul  $p$  theilbar sein und demzufolge mit  $P_1$  zusammenfallen, da sie irreductibel ist.  $F(t)$  lässt also den Theiler  $P_1$  mindestens zweimal zu.

## 10.

Ich will hier noch den Fermat'schen Satz für eine unzerfällbare Form des Gattungsbereiches  $\mathfrak{G}$  beweisen. Jede solche Form ist einer Form  $P(u) + p$  absolut äquivalent, wo  $p$  eine Primzahl und  $P(t)$  einen irreductibelen Theiler von  $F(t)$  in Bezug auf den Modul  $p$  bezeichnen. Man setze, wie in (5)

$$P(t) + p = \varphi(t)$$

und bezeichne den Grad von  $P(t)$  in  $t$  mit  $\nu$ .

Es sei

$$u_1 \omega_1^{p^\nu} + u_2 \omega_2^{p^\nu} + \dots + u_n \omega_n^{p^\nu} = \varphi_\nu$$

und man bezeichne die Functionen, welche aus  $\varphi_x, P(t)$  hervorgehen, wenn man  $u_1, u_2, \dots u_n$  der Reihe nach durch  $u_1^{p^m}, u_2^{p^m}, \dots u_n^{p^m}$  ersetzt, mit  $\varphi_x^{(m)}, P^{(m)}(t)$ . Setzt man

$$P(\varphi_x) = \gamma \mathfrak{P} + \gamma_1 \mathfrak{P}_1 + \dots,$$

wo  $\mathfrak{P}, \mathfrak{P}_1, \dots$  verschiedene Potenzproducte der Unbestimmten  $u_1, u_2, \dots$  und  $\gamma, \gamma_1, \dots$  ganze algebraische Zahlen von  $\mathfrak{G}$  sind, so ergibt sich einerseits

$$P^{(x)}(\varphi_x^{(x)}) = \gamma \mathfrak{P}^{p^x} + \gamma_1 \mathfrak{P}_1^{p^x} + \dots$$

und anderseits

$$P^{p^x}(u) \equiv P^{(x)}(u^{p^x}) \equiv P^{(x)}(\varphi_x^{(x)}) \pmod{p}.$$

Es ist also  $P^{(x)}(\varphi_x^{(x)})$  durch  $\varphi(u)$  theilbar. Dasselbe muss dann auch wegen der Verschiedenheit der Potenzproducte  $\mathfrak{P}^{p^x}, \mathfrak{P}_1^{p^x}, \dots$  von den Coëfficienten  $\gamma, \gamma_1, \dots$  und also auch von  $P(\varphi_x)$  gelten. Hienach hat die Congruenz

$$P(t) \equiv 0 \pmod{\varphi(u)}$$

die Wurzeln

$$\varphi_0, \varphi_1, \varphi_2, \dots$$

Eine solche Congruenz kann aber nicht mehr als  $v$  in Bezug auf  $\varphi(u)$  incongruente Wurzeln haben. Sind nämlich

$$x_1, x_2, \dots x_{v+1}, v_0, v_1, \dots v_v$$

Unbestimmte und setzt man

$$\begin{aligned} (t-x_1)(t-x_2) \dots (t-x_{v+1}) &= (t-x_i) \pi_i(t) \\ v_0 + v_1 t + \dots + v_v t^v &= f(t) \\ (x_1-x_2)(x_1-x_3) \dots (x_1-x_{v+1}) \\ (x_2-x_3) \dots (x_2-x_{v+1}) \\ &\dots (x_v-x_{v+1}) = \Theta \\ &= \pi_i(x_i) \Theta_i, \end{aligned}$$

so ist nach der Lagrange'schen Interpolationsformel

$$\Theta f(t) = \Theta_1 f(x_1) \pi_1(t) + \Theta_2 f(x_2) \pi_2(t) + \dots + \Theta_{v+1} f(x_{v+1}) \pi_{v+1}(t).$$

Setzt man in dieser Identität

$$x_1 = \varphi_0, x_2 = \varphi_1, \dots x_{v+1} = \varphi_v \\ f(t) = P(t),$$

so ergibt sich, dass das Product

$$(\varphi_0 - \varphi_1)(\varphi_0 - \varphi_2) \dots (\varphi_v - \varphi_{v+1}) P(t)$$

und daher auch der Coëfficient

$$(\varphi_0 - \varphi_1)(\varphi_0 - \varphi_2) \dots (\varphi_v - \varphi_{v+1})$$

von  $t'$  in demselben durch  $\varphi(u)$  theilbar sein muss. Dann muss aber wegen der Unzerfällbarkeit von  $\varphi(u)$  eine der Differenzen

$$\varphi_0 - \varphi_1, \varphi_0 - \varphi_2, \dots \varphi_v - \varphi_{v+1}$$

durch  $\varphi(u)$  theilbar sein.

Ist  $\varphi_r$  die erste Function der Reihe  $\varphi_0, \varphi_1, \varphi_2, \dots$ , welche einer vorhergehenden Function  $\varphi_i$  nach dem Modul  $\varphi(u)$  congruent ist, so hat man

$$\begin{aligned} (\varphi_0 - \varphi_1)(\varphi_0 - \varphi_2) \dots (\varphi_0 - \varphi_r)]^{p^i} &\equiv (\varphi_0^{p^i} - \varphi_1^{p^i})(\varphi_0^{p^i} - \varphi_2^{p^i}) \dots (\varphi_0^{p^i} - \varphi_r^{p^i}) \\ &\equiv (\varphi_i^{(i)} - \varphi_{i+1}^{(i)})(\varphi_i^{(i)} - \varphi_{i+2}^{(i)}) \dots \\ &\dots (\varphi_i^{(i)} - \varphi_{i+r}^{(i)}) \pmod{p}. \end{aligned} \quad (18)$$

Aus der Congruenz

$$\varphi_r \equiv \varphi_i \pmod{\varphi(u)}$$

folgt aber

$$\varphi_r^{(i)} \equiv \varphi_i^{(i)} \pmod{\varphi(u)}$$

und also auch

$$(\varphi_i^{(i)} - \varphi_{i+1}^{(i)})(\varphi_i^{(i)} - \varphi_{i+2}^{(i)}) \dots (\varphi_i^{(i)} - \varphi_{i+r}^{(i)}) \equiv 0 \pmod{\varphi(u)}.$$

Nach (18) wird dann

$$[(\varphi_0 - \varphi_1)(\varphi_0 - \varphi_2) \dots (\varphi_0 - \varphi_r)]^{p^i} \equiv 0 \pmod{\varphi(u)},$$

und es muss demzufolge

$$\varphi_0 - \varphi_r \equiv 0 \pmod{\varphi(u)}$$

oder  $i = 0$  sein.

Setzt man

$$(t - \varphi_0)(t - \varphi_1) \dots (t - \varphi_{r-1}) = L(t)$$

und entwickelt  $L(t)$  nach Potenzproducten  $\mathfrak{P}, \mathfrak{P}_1, \dots$  der Veränderlichen  $t, u_1, u_2, \dots, u_n$ , so ergibt sich

$$L(t) = \gamma \mathfrak{P} + \gamma_1 \mathfrak{P}_1 + \dots,$$

wo  $\gamma, \gamma_1, \dots$  ganze algebraische Zahlen von  $\mathfrak{G}$  bezeichnen. Nun ist einerseits

$$\begin{aligned} L(t)^p &\equiv (t^p - \varphi_0^p)(t^p - \varphi_1^p) \dots (t^p - \varphi_{r-1}^p) \pmod{p} \\ &\equiv (t^p - \varphi_1^{(1)})(t^p - \varphi_2^{(1)}) \dots (t^p - \varphi_r^{(1)}) \pmod{p} \\ &\equiv (t^p - \varphi_0^{(1)})(t^p - \varphi_1^{(1)}) \dots (t^p - \varphi_{r-1}^{(1)}) \pmod{\varphi u} \\ &\equiv \gamma \mathfrak{P}^p + \gamma_1 \mathfrak{P}_1^p + \dots \pmod{\varphi u} \end{aligned}$$

und andererseits

$$L(t)^p \equiv \gamma^p \mathfrak{P}^p + \gamma_1^p \mathfrak{P}_1^p + \dots \pmod{p}.$$

Hieraus folgt

$$0 \equiv (\gamma^p - \gamma) \mathfrak{P}^p + (\gamma_1^p - \gamma_1) \mathfrak{P}_1^p + \dots \pmod{\varphi u},$$

und man hat wegen der Verschiedenheit der Potenzproducte  $\mathfrak{P}^p, \mathfrak{P}_1^p, \dots$

$$\gamma^p - \gamma \equiv 0, \gamma_1^p - \gamma_1 \equiv 0, \dots \pmod{\varphi u}.$$

Da aber

$$\gamma^p - \gamma \equiv \gamma(\gamma - 1)(\gamma - 2) \dots (\gamma - p + 1) \pmod{p}$$

ist, so wird

$$\gamma(\gamma - 1)(\gamma - 2) \dots (\gamma - p + 1) \equiv 0 \pmod{\varphi u},$$

und es muss  $\gamma$  einer gewöhnlichen Zahl nach dem Modul  $\varphi(u)$  congruent sein. Dasselbe gilt von  $\gamma_1$  und allen Coëfficienten von  $L(t)$ . Das Product  $L(t)$  ist daher einer ganzen ganzzahligen Function  $g(t)$  von  $t, u_1, u_2, \dots, u_n$  von der Form

$$t^r + b_1 t^{r-1} + \dots + b_r$$

in Bezug auf  $\varphi(u)$  congruent.

Da die Differenz  $P(t) - t^{\nu-r}g(t)$  in  $t$  den Grad  $\nu$  nicht erreicht und für  $t = u$  durch  $\varphi(u)$  theilbar wird, so ist sie nach 5, II durch  $p$  theilbar und man hat

$$P(t) \equiv t^{\nu-r}g(t) \pmod{p}.$$

Die Irreductibilität von  $P$  erfordert dann, dass  $r = \nu$  ist, und es wird

$$g(t) \equiv P(t) \pmod{p}.$$

Hienach ist für jeden Stellenzeiger  $i$

$$\omega_i^{p''} \equiv \omega_i \pmod{\varphi u}$$

und daher auch für jede ganze algebraische Zahl

$$\gamma = g_1\omega_1 + g_2\omega_2 + \dots + g_n\omega_n$$

des Gattungsbereiches  $\mathfrak{G}$

$$\begin{aligned} \gamma^{p''} &\equiv g_1^{p''}\omega_1^{p''} + g_2^{p''}\omega_2^{p''} + \dots + g_n^{p''}\omega_n^{p''} \pmod{p} \\ &\equiv g_1\omega_1^{p''} + g_2\omega_2^{p''} + \dots + g_n\omega_n^{p''} \pmod{p} \\ &\equiv g_1\omega_1 + g_2\omega_2 + \dots + g_n\omega_n \pmod{\varphi u} \\ &\equiv \gamma \pmod{\varphi u}. \end{aligned}$$


---

## II. SITZUNG VOM 11. JÄNNER 1894.

---

Das k. k. Finanzministerium übermittelt ein Exemplar der von demselben verfassten Tabellen zur Währungs-Statistik.

Das w. M. Herr Hofrath Prof. J. Wiesner übersendet eine Abhandlung, betitelt: »Pflanzenphysiologische Mittheilungen aus Buitenzorg.« I. II.

Herr Professor Dr. L. Weinek, Director der k. k. Sternwarte in Prag, übermittelt weitere Fortsetzungen seiner neuesten Mondarbeiten.

Herr Prof. Dr. J. Finger in Wien übersendet eine Abhandlung unter dem Titel: »Das Potential der inneren Kräfte und die Beziehungen zwischen den Deformationen und den Spannungen in elastisch isotropen Körpern bei Berücksichtigung von Gliedern, die bezüglich der Deformationselemente von dritter, beziehungsweise zweiter Ordnung sind«.

Die Herren Professoren Dr. J. Mauthner und Dr. W. Suida in Wien übersenden eine gemeinsam ausgeführte Arbeit unter dem Titel: »Beiträge zur Kenntniss des Cholesterins« (I. Abhandlung).

Herr Prof. Dr. R. v. Lendenfeld in Czernowitz übersendet als Anhang zu seiner Abhandlung: »Tetrationelliden der Adria« eine Mittheilung über die Lithistiden.

Das w. M. Herr Prof. H. Weidel überreicht eine im I. chemischen Universitäts - Laboratorium in Wien von den

Herren Dr. J. Herzig und Th. v. Smoluchowski ausgeführte Arbeit: »Zur Kenntniss des Aurins«.

Das c. M. Herr Prof. L. Gegenbauer in Wien überreicht eine Abhandlung: »Über die Anzahl der Darstellungen einer ganzen Zahl durch gewisse Formen«.

Herr J. Liznar, Adjunct der k. k. Centralanstalt für Meteorologie und Erdmagnetismus in Wien, überreicht den fünften und zugleich letzten vorläufigen Bericht über die im verflossenen Sommer von ihm ausgeführten erdmagnetischen Messungen.

---

# Eine neue magnetische Aufnahme Österreichs

(V. und letzter vorläufiger Bericht)

von

**J. Liznar.**

Mit dieser Mittheilung schliesst die Reihe der vorläufigen Berichte, welche ich über die von mir in Cisleithanien ausgeführten erdmagnetischen Messungen seit 1889 veröffentlicht habe. Sie enthält die Werthe der erdmagnetischen Elemente, welche aus den Messungen des verflossenen Sommers resultiren. Während des Zeitraumes vom 15. Juni bis 14. September 1893 habe ich 21 Stationen besucht und an jeder derselben, genau so wie in den früheren Jahren, 5 Declinations-, 10 Intensitäts- und 10 Inclinations-Messungen ausgeführt. Von diesen 21 Stationen liegen 2 in Nieder-Österreich, 10 in Steiermark, 3 in Kärnten, 3 in Krain und 3 in Istrien. Die Station Triest, wo bereits Laschober und Kesslitz beobachtet haben, wurde von mir nur deshalb gewählt, um mit ihnen nebst Pola noch einen zweiten Punkt gemeinsam zu haben.

Die Beobachtungen geschahen mit denselben Instrumenten und nach denselben Methoden wie in den Vorjahren. Eine besondere Sorgfalt habe ich auch diesmal auf die Vergleichung der Reiseinstrumente verwendet, da eine strenge Vergleichbarkeit der erhaltenen Resultate nur dann erzielt wird, wenn eine etwaige Änderung in den Angaben der Reiseinstrumente in Rechnung gebracht werden kann. Um die Beobachtungsergebnisse, welche von dem leider bereits verstorbenen Fregatten-Capitän Laschober und den Herren Linienschiffsleutnant Kesslitz



und Linienschiffsfähnrich von Schluet an den Küsten der Adria und in Bosnien und der Herzegowina erhalten worden sind, mit den meinigen verbinden zu können, habe ich mich nicht damit begnügt, dass ihre Reiseinstrumente mit den von mir bei den Reisebeobachtungen verwendeten in Wien verglichen worden sind, sondern ich habe auch am k. und k. hydrographischen Amte in Pola die Vergleichen wiederholt. Bei dieser Arbeit haben mich die Herren Schiffslieutenant Kesslitz und Schiffsfähnrich von Schluet in liebenswürdigster Weise unterstützt, wofür ich ihnen meinen verbindlichsten Dank sage. Zum besonderen Danke hat mich der Director des k. und k. hydrographischen Amtes Herr R. Müller verpflichtet, da er in freundlichster Weise die Benützung der Beobachtungsräume und der Instrumente gestattet hat. Auf die Resultate der vielen Vergleichsbeobachtungen, welche ich während der fünf Beobachtungsjahre ausgeführt habe, werde ich in der später erscheinenden ausführlichen Publication meiner Messungen zurückkommen. Das Eine kann ich aber jetzt schon sagen, dass eine nennenswerthe Änderung in den Angaben der Instrumente nicht stattgefunden hat, was der guten Verpackung und dem sorgfältigen Transporte derselben zugeschrieben werden muss.

Die am Schlusse folgenden Tabellen enthalten nebst den geographischen Coordinaten die Werthe der erdmagnetischen Elemente, und zwar stehen in Tabelle II unter  $D$  (1890) die von mir beobachteten und auf das »Augustmittel 1890« reducirten Werthe der Declination; die entsprechenden Werthe der Horizontalintensität findet man in Tabelle III unter  $H$  (1890). Die Inclination unter  $J$  (1890) in Tabelle IV ist zwar nicht auf die angegebene Epoche reducirt, doch beträgt der Unterschied der daselbst angeführten Werthe gegen die reducirten kaum drei Minuten. Unter  $D_1$  (1850),  $H_1$  (1850) und  $J_1$  (1850) sind die von Kreil nach seinen Beobachtungen auf die Epoche 1850·0 reducirten Daten beigesetzt. Die dritte Zahlencolumne enthält die Differenz meiner und Kreil's Werthe.

Die Unregelmässigkeit der Differenzen ist, wie auch an den früheren Stationen, bei der Declination am grössten, weil Kreil's Werthe nicht hinreichend genau sind. Wenn man z. B.

die Declination von Laibach und Rudolfswert vergleicht, so ergeben meine Messungen eine Differenz von  $17'2''$ , während aus jenen Kreil's ein Unterschied von  $1^\circ 4'2''$  folgt. Betrachtet man eine Isogonenkarte, so sieht man sogleich, dass nach der Lage der beiden Orte die Differenz unmöglich so gross sein könne, wie sie die Messungen Kreil's ergaben, wenn nicht ein bedeutender localer Einfluss vorhanden ist. Auch die Daten des Stationspaares Admont-Eisenerz zeigen, dass Kreil's Werthe mit bedeutenden Unsicherheiten behaftet sind. Während nach seinen Beobachtungen die Declination in Eisenerz um mehr als  $\frac{1}{4}^\circ$  grösser ist als in Admont, zeigen meine Werthe gerade umgekehrt die Declination in Eisenerz um  $11'$  kleiner als in Admont, was auch der Lage der Stationen gegeneinander entspricht, da Admont westlicher liegt als Eisenerz. Einige Gründe für die Unsicherheit der Declinationswerthe Kreil's habe ich in meinen letzten zwei Berichten angeführt, hier möchte ich nur noch erwähnen, dass an mancher Station der Aufstellungsort local beeinflusst gewesen sein dürfte.

Relativ viel genauer sind die Messungen der Horizontalintensität und der Inclination, obwohl gerade das letzte Element viel schwieriger zu bestimmen ist als die Declination. Bei den letzt erwähnten Elementen kann man daher auch aus den Differenzen der Werthe für 1850 und 1890 eine gesetzmässige Abhängigkeit der secularen Änderung von der geographischen Lage erkennen, während dies bei der Declination nicht möglich ist. Da ich bei der Bearbeitung des neuen Beobachtungsmaterials die Verhältnisse ausführlicher zu besprechen gedenke, so mögen hier die wenigen Andeutungen genügen.

Meine nächste Aufgabe wird es nun sein, eine detaillirte Darstellung der von mir an 108 Orten ausgeführten Messungen zu geben. Eine endgiltige Verarbeitung aller Daten kann ich aber erst dann vornehmen, wenn mir auch die Beobachtungsergebnisse von Ungarn, wo seit 1892 der Vicedirector der königl. Centralanstalt für Meteorologie und Erdmagnetismus in Budapest Herr Ignaz Kurländer Messungen vornimmt, zur Verfügung stehen werden.

Nach den neuen Daten werden wir im Grossen und Ganzen ein richtiges Bild über die Vertheilung der erdmagnetischen Kraft

in Österreich-Ungarn erhalten. Die Anzahl der Stationen ist jedoch viel zu klein, um auch eine Darstellung der Störungsgebiete geben zu können; dies muss einer späteren Zeit vorbehalten werden, wo es möglich sein wird, wenigstens über die Störungsgebiete ein dichtes Stationsnetz zu ziehen. Frankreich ist in dieser Beziehung mit gutem Beispiel vorangegangen; es wäre zu wünschen, dass andere Staaten demselben folgen möchten.

Jetzt nachdem ich der übernommenen Verpflichtung mit grösster Gewissenhaftigkeit nachgekommen bin, kann ich mit grosser Befriedigung auf die erhaltenen Resultate blicken, und selbst die Erinnerung an die vielen Strapazen und Widerwärtigkeiten der Reisezeit ist nicht im Stande, dies erhebende Gefühl herabzudrücken. Berücksichtigt man, dass ich jeden nothwendigen Schritt selbst thun und jede Zahl selbst beobachten oder berechnen musste, so wird man mir das Zeugniß nicht versagen können, dass ich mit Aufgebot meiner ganzen physischen und moralischen Kräfte an der Lösung der Aufgabe gearbeitet habe. Man wird mir aber auch nicht verübeln, wenn ich dem Wunsche Ausdruck gebe, dass solche Arbeiten in Fachkreisen eine bessere Anerkennung finden möchten als dies bisher der Fall war. Sie gebührt ihnen in um so höheren Masse, da sie Daten von bleibendem Werthe liefern, welche wichtige Bausteine für eine aufzubauende Theorie des Erdmagnetismus bilden.

Zum Schlusse kann ich es nicht unterlassen, der kaiserlichen Akademie der Wissenschaften, welche nicht nur die Ausführung der neuen magnetischen Aufnahme in Cisleithanien ermöglicht, sondern auch ihre Ausdehnung auf Ungarn befürwortet hat, den ehrerbietigsten Dank auszusprechen für das Vertrauen, welches sie in meine Leistungsfähigkeit gesetzt hat. Meinem hochverehrten Vorstande, Herrn Hofrath Prof. Dr. Hann, bin ich aber zu tiefstem Danke verpflichtet, dass er mich mit der Ausführung der Messungen betraut hat und mir dadurch Gelegenheit bot, einen kleinen Beitrag zur Erforschung der physikalischen Verhältnisse des Vaterlandes liefern zu können. Mein wärmster Dank gebührt endlich allen k. k. Behörden und jenen Herren, welche zur Förderung meiner Arbeit beigetragen haben.

# I. Geographische Coordinaten der magnetischen Stationen (der Beobachtungspunkte).

Nr.	Station	$\varphi$	$\lambda$ E v. Gr.
1	Wr. Neustadt .....	47° 48' 4	16° 15' 7
2	Schottwien .....	47 39' 4	15 52' 5
3	Bruck a./M. ....	47 24' 8	15 16' 3
4	Aflenz .....	47 32' 7	15 14' 7
5	Liezen .....	47 34' 2	14 14' 8
6	Admont .....	47 35' 1	14 27' 8
7	Eisenerz .....	47 32' 7	14 53' 9
8	Graz ..	47 4' 8	15 27' 2
9	Gleichenberg.....	46 52' 7	15 54' 5
10	Marburg .....	46 34' 0	15 38' 2
11	St. Paul .....	46 41' 8	14 52' 1
12	Gmünd.....	46 54' 3	13 32' 3
13	Klagenfurt.....	46 37' 8	14 18' 3
14	St. Lambrecht.....	47 4' 2	14 18' 2
15	Laibach.....	46 2' 7	14 30' 6
16	Rudolfswert....	45 48' 5	15 10' 0
17	Cilli .....	46 13' 9	15 15' 2
18	Adelsberg .....	45 46' 4	14 12' 4
19	Görz .....	45 57' 8	13 38' 2
20	Triest.....	45 38' 7	13 45' 9
21	Pola .....	44 51' 8	13 50' 8

## II. Declination (West).

Nr.	Station	$D$ (1890)	$D_1$ (1850)	$D_1 - D$
1	Wr. Neustadt.....	9° 13' 9 <sup>1</sup>	—	—
2	Schottwien .....	9 31' 0	13° 53' 1	4° 22' 1
3	Bruck a./M. ....	9 46' 1	13 51' 5	4 5' 4
4	Aflenz .....	9 43' 3	13 51' 7	4 8' 4
5	Liezen .....	10 11' 9	14 35' 1	4 23' 2
6	Admont .....	10 6' 3	14 13' 1	4 6' 8
7	Eisenerz .....	9 55' 0	14 30' 0	4 35' 0
8	Graz.....	9 37' 4	14 12' 0	4 34' 6
9	Gleichenberg.....	9 13' 5	13 45' 8	4 32' 3
10	Marburg .....	9 28' 0	13 51' 1	4 23' 1

<sup>1</sup> In Wr. Neustadt hat Kreil nicht beobachtet.

Nr.	Station	$D$ (1890)	$D_1$ (1850)	$D_1 - D$
11	St. Paul .....	9° 52'17	14° 18'6	4° 25'9
12	Gmünd.....	10 28·5	15 6·4	4 37·9
13	Klagenfurt.....	10 13·0	14 28·2	4 15·2
14	St. Lambrecht .....	10 22·9	14 58·6	4 35·7
15	Laibach.....	10 2·7	14 22·8	4 20·1
16	Rudolfswert.....	9 45·5	13 18·6	3 33·1
17	Cilli .....	9 41·7	13 40·9	3 59·2
18	Adelsberg .....	10 9·4	13 49·6	3 40·2
19	Görz .....	10 25·3	13 58·5	3 33·2
20	Triest.....	10 22·7	14 31·8	4 9·1
21	Pola .....	10 13·1	14 16·0	4 2·9

### III. Horizontale Intensität.

Nr.	Station	$H$ (1890) <sup>1</sup>	$H_1$ (1850)	$H - H_1$
1	Wr. Neustadt.....	2·0800	—	—
2	Schottwien .....	2·0852	2·0090	0·0762
3	Bruck a./M. ....	2·0933	2·0158	0·0775
4	Aflenz ....	2·0830	2·0081	0·0749
5	Liezen .....	2·0747	1·9944	0·0803
6	Admont .....	2·0730	2·0046	0·0684
7	Eisenerz .....	2·0800	2·0086	0·0714
8	Graz .....	2·1074	2·0380	0·0694
9	Gleichenberg.....	2·1145	2·0453	0·0692
10	Marburg .....	2·1273	2·0529	0·0744
11	St. Paul .....	2·1169	2·0454	0·0715
12	Gmünd.....	2·1047	2·0163	0·0884
13	Klagenfurt.....	2·1120	2·0440	0·0680
14	St. Lambrecht .....	2·0846	2·0197	0·0649
15	Laibach.....	2·1515	2·0707	0·0808
16	Rudolfswert.....	2·1614	2·0759	0·0855
17	Cilli .....	2·1434	2·0775	0·0659
18	Adelsberg .....	2·1554	2·0813	0·0741
19	Görz.....	2·1440	2·0687	0·0753
20	Triest.....	2·1602	2·0810	0·0792
21	Pola .....	2·1922	2·1122	0·0800
22	Rattenberg <sup>2</sup> .....	2·0664	1·9737	0·0927

<sup>1</sup> Die hier mitgetheilten Intensitäten sind um circa 0·0040 zu klein, wie dies auch in den früheren Berichten hervorgehoben wurde.

<sup>2</sup> Diese Station ist aus Versehen im vorigen Berichte ausgeblieben und wird deshalb hier nachgetragen.

#### IV. Inclination.

Nr.	Station	$J(1890)$	$J_1(1850)$	$J_1 - J$
1	Wr. Neustadt.....	62° 51' 0	—	—
2	Schottwien .....	62 46·8	63° 55'	1° 8'
3	Bruck a. M. ....	62 34·3	63 51	1 17
4	Aflenz .....	62 46·3	63 54	1 8
5	Liezen .....	62 54·6	64 9	1 15
6	Admont .....	62 54·3	64 0	1 6
7	Eisenerz .....	62 49·1	63 55	1 6
8	Graz.....	62 16·9	63 30	1 13
9	Gleichenberg.....	62 22·7	63 28	1 5
10	Marburg .....	61 57·1	63 13	1 16
11	St. Paul .....	62 7·8	63 21	1 13
12	Gmünd.....	62 21·6	63 43	1 21
13	Klagenfurt.....	62 8·8	63 27	1 18
14	St. Lambrecht .....	62 38·7	63 49	1 10
15	Laibach .....	61 32·0	62 54	1 22
16	Rudolfswert.....	61 18·6	62 39	1 20
17	Cilli .....	61 41·3	62 53	1 12
18	Adelsberg .....	61 23·4	62 44	1 21
19	Görz .....	61 34·7	62 57	1 22
20	Triest.....	61 18·2	62 44	1 26
21	Pola .....	60 38·6	62 14	1 35
22	Znaim <sup>1</sup> .....	63 50	64 48	0 58

<sup>1</sup> In meinem zweiten Berichte steht infolge eines Druckfehlers für  $J(1890)$  der Werth 64°50' statt des oben angeführten richtigen. Dass es nur ein Druckfehler ist, kann man aus der Differenz  $J_1 - J$  ersehen.



## Beiträge zum täglichen Gange der meteorologischen Elemente in den höheren Luftschichten

von

**J. Hann,**

w. M. k. Akad.

Im Nachfolgenden sollen einige stündliche und zweistündliche meteorologische Aufzeichnungen auf hohen Berggipfeln, die kürzlich zu meiner Kenntniss gelangt sind, einer Discussion unterzogen werden.

Die eine dieser Beobachtungsreihen bezieht sich auf den Gipfel des Ontake in Japan (3055 *m*). Die Ergebnisse derselben sind vom meteorologischen Central-Observatorium in Tokio publicirt worden unter dem Titel: »Meteorological Observations on the Summit of Ontake (Tokio 1893).« Der Text dieser Publication, circa 28 Seiten umfassend, ist leider nur in japanischer Sprache gedruckt,<sup>1</sup> die Zahlentabellen, 40 Seiten (Kleinfolio), haben Aufschriften in englischer und japanischer Sprache.

Die Beobachtungen auf dem Gipfel des Ontake sind zweistündlich gemacht vom 1. August bis 12. September 1891, also durch 43 Tage. Es werden sowohl die Mittel für den Monat August, als auch für die ganze Periode von 43 Tagen mitgetheilt. Die Beobachtungen erstrecken sich auf Luftdruck, Lufttemperatur, deren Maximum und Minimum, Maximum in der Sonne, Minimum unter dem Einfluss der Wärmeausstrahlung,

---

<sup>1</sup> Die Publication scheint desshalb nicht nach Europa versendet worden zu sein; ich erhielt selbe auf specielles Ansuchen durch die Güte des Directors des Met. Central-Observ. in Tokio, Herrn K. Kobayashi, dem ich hiefür auch an dieser Stelle meinen Dank ausspreche.



Bodentemperatur an der Erdoberfläche vierstündlich angestellt und in 0·3 *m* Tiefe um 10<sup>h</sup> a. und 10<sup>h</sup> p., Dampfdruck und relative Feuchtigkeit zweistündlich, Niederschlagsmenge vierstündlich, Windrichtung und Stärke (m. s.), Bewölkung nach Grad und Art, Witterungsverhältnisse gleichfalls zweistündlich.

Als Basisstation diente Kurosawa, das in 830 *m* Seehöhe und 22·5 *km* Entfernung östlich von Ontake liegt. Die Beobachtungen an dieser Station wurden correspondierend und genau nach dem gleichen Schema wie auf dem Gipfel des Ontake angestellt. Der einzige Unterschied besteht darin, dass zu Kurosawa der Niederschlag in zweistündigen Intervallen gemessen wurde.

Da zudem der »Annual Report of the Central Met. Observatory of Japan for the year 1891, Part I« (Meteorological Observations in Japan) die Resultate stündlicher Aufzeichnungen an zehn Stationen in Japan zwischen 32°48' und 43°20' N. Br. und 130°42' und 145°35' E. von Greenwich enthält, so befindet man sich in der glücklichen Lage, auch von diesen die nächste Station zur Vergleichung herbeiziehen zu können. Die Wissenschaft schuldet der Leitung des meteorologischen Dienstes in Japan gewiss grossen Dank einerseits für die Unternehmung zweistündlicher Beobachtungen auf den Gipfeln der höchsten Berge des Landes<sup>1</sup> und der raschen und ausführlichen Publication der Ergebnisse derselben, anderseits für die Veröffentlichung stündlicher Beobachtungen aller Elemente an so zahlreichen und ziemlich gleichmässig vertheilten Punkten des Landes. Es gibt nur wenige meteorologische Beobachtungsnetze auf der Erde, die sich in ihren Leistungen mit jenen des japanischen Netzes gegenwärtig vergleichen können.

Als zweite und unterste Basisstation habe ich Nagoya gewählt, das südwestlich vom Ontaki in der Owari-Ebene, nahe der See an der Owari-Bai liegt. Die Lage dieser und der beiden anderen Stationen habe ich den Karten entnommen, welche sich im Ergänzungsheft 59 zu Peterm. Geogr. Mitth. (Gotha 1880:

---

<sup>1</sup> Die Ergebnisse der Beobachtungen auf dem Gipfel des Fuji, 3733 *m*, und des Gozaishogatake, 1201 *m*, habe ich discutirt in diesen Sitzungsberichten, Bd. C, Abth. II. a., December 1891.

»Der Nakasendô in Japan von E.-Knipping u. J. J. Rein«) befinden. Die Seehöhen der Station auf dem Ontake und jener zu Kurosawa habe ich aus den correspondirenden Luftdruck-, Temperatur- und Dampfdruck-Mitteln des August nach Rühlmann's hypsometrischen Tafeln berechnet. Als Basisstationen dienten dabei Kioto und Tokio, zwischen welchen die gedachten Orte liegen.

Ontake . . . . .	35°54' N. Br.	137°30' E. von Gr.	3055 <i>m</i>
Kurosawa . . . .	35 50	137 45	834
Nagoya . . . . .	35 10	136 55	15

Kurosawa liegt nach der Karte in einem, wie es scheint, ziemlich tiefen Thale am Flusse Kisogawa, Nagoya dagegen liegt am Rande einer ziemlich weiten Ebene an der See. Dies ist für die Beurtheilung der Unterschiede im täglichen Gange der meteorologischen Elemente an diesen beiden Orten von wesentlicher Bedeutung.

Die correspondirenden Mittelwerthe (August 1891) der meteorologischen Elemente dieser drei Stationen sind:

	Luft- druck	Temp.	Dampf- druck	Rel. Feucht.	Regen- menge	Mittlere	
						Windg. <sup>1</sup>	Bewölk.
Ontake . . . . .	531·80	8·6	6·6	78·5	600	11·7	6·6
Kurosawa . . . .	690·36	20·3	14·4	83·0	268	0·9	6·3
Nagoya . . . . .	758·15	26·1	19·6	79·3	276	2·2	6·1

Die Mittel für die beiden ersten Stationen sind aus den zweistündlichen Beobachtungen, jene von Nagoya aus stündlichen Aufzeichnungen gebildet.

Berechnet man die Seehöhe der beiden ersteren Stationen nach den correspondirenden Mittelwerthen der letzten nach Rühlmann's hypsometrischen Tafeln, so erhält man:

Ontake 3058·5 *m*, Kurosawa 835·9 *m*.

Ich möchte das früher angegebene Resultat der Berechnung nach Kioto—Tokio vorziehen, weil den etwaigen ost-westlichen und nordsüdlichen Druckgradienten dabei mehr

<sup>1</sup> Meter pro Secunde.

Rechnung getragen ist. Gifu, das auch dem Ontake recht nahe liegt ( $35^{\circ}27'$ ,  $136^{\circ}46'$ ,  $15\cdot0\text{ m}$ ), gibt als Seehöhe desselben (respective des Barometers der temporären Station auf demselben)  $3056\cdot0\text{ m}$ .

Die Ergebnisse der Dampfdruckbeobachtungen auf dem Ontake stimmen genau mit meiner Formel<sup>1</sup> für die Abnahme des Wasserdampfgehaltes mit der Höhe überein, welche bekanntlich lautet:

$$\log e_h = \log e_0 - \frac{h}{6500};$$

$e_0$  ist in unserem Falle (Mittel Tokio  $19\cdot3$ , Kioto  $19\cdot2$ , Nagoya  $19\cdot6$ )  $19\cdot4\text{ mm}$ . Daraus erhält man:

Dampfdruck auf dem Ontake berechnet  $6\cdot63$ , beobachtet  $6\cdot62$   
 » zu Kurosawa »  $14\cdot56$ , »  $14\cdot42$

Der Dampfdruck auf dem Ontake, berechnet aus den 43-tägigen Beobachtungen zu Kurosawa allein ( $e_0 = 14\cdot60$ ), ergibt sich zu  $6\cdot65$ , beobachtet wurde  $6\cdot78$ .

Für den Fujigipfel ( $3733\text{ m}$ ) habe ich nach derselben Formel erhalten  $5\cdot43\text{ mm}$  (August 1889  $e_0 = 20\cdot3\text{ mm}$  am Meeresniveau) die Beobachtungen aber haben ergeben  $5\cdot49\text{ mm}$ .

Man kann also obige Formel als den Ausdruck eines empirischen Gesetzes betrachten, nach welchem unter mittleren Verhältnissen der Dampfdruck mit der Höhe abnimmt.

Bevor wir auf den eigentlichen Gegenstand der vorliegenden Untersuchung, den täglichen Gang der meteorologischen Elemente, näher eingehen, lohnt es sich wohl, noch einige bemerkenswerthe Ergebnisse der correspondirenden Beobachtungen auf dem Gipfel des Ontake und zu Kurosawa hier übersichtlich nebeneinander zu stellen.

	Maximum		Minimum		Differenz
	Luftdruck				
Ontake . . .	536·4	3. IX.	523·8	17. VIII.	12·6
Kurosawa .	694·7	3. IX.	683·5	17. VIII.	11·2

<sup>1</sup> Die Abnahme des Wasserdampfgehaltes in der Atmosphäre mit der Höhe. Zeitschrift für Met., Bd. IX, 1874, S. 193.

	Maximum		Minimum		Differenz	
	Temperatur					
Ontake ...	19·2	1. IX.	1·3	19. VIII.	17·9	
Kurosawa .	31·2	3. IX.	9·0	27. VIII.	22·2	
	Mittlere tägl. Extreme		Differenz	Absolute Extreme		Differenz
Ontake ...	14·7	5·1	9·6	22·0	0·8	21·2
Kurosawa .	28·0	14·9	13·1	32·2	8·4	23·8

Tiefster Stand des der Wärmeausstrahlung ausgesetzten Thermometers:

Ontake .....26. August —4°8

Kurosawa.....27. August 5·3

Die mittlere Bodentemperatur an der Erdoberfläche war auf dem Ontake 10°1 (Luft 8°6), zu Kurosawa 24°2 (Luft 20°3), die Temperatur in 0·3 *m* Tiefe auf dem Ontake 8°9, der Lufttemperatur sehr nahe kommend. Den täglichen Gang der Temperatur an der Erdoberfläche habe ich auch für die correspondirenden Tage oben und unten (20 an der Zahl) berechnet (es fehlen nämlich oben wie unten einzelne Tage) und für die vierstündlichen Intervalle derart erhalten:

Täglicher Gang der Temperatur an der Erdoberfläche.

	Zeit <sup>1</sup>						Mittel
	2 <sup>h</sup> a.	6 <sup>h</sup>	10 <sup>h</sup>	2 <sup>h</sup> p.	6 <sup>h</sup>	10 <sup>h</sup>	
Ontake ....	4·9	4·8	15·4	17·8	10·3	5·2	9·7
Kurosawa ..	16·5	16·3	33·8	36·6	23·9	17·8	24·1

Die Extreme waren auf dem Ontake 27°4 und —1°1, zu Kurosawa 51°0 und 10°0.

Die Gleichungen für den täglichen Gang der Bodentemperatur an der Erdoberfläche aus allen Beobachtungen, die einen vollen Tag umfassen, abgeleitet, sind (Ortszeit, von Mitternacht an gezählt):

Ontake 33 Tage.....  $10^{\circ}40 + 6\cdot38 \sin(279^{\circ}6 + x) + 2\cdot51 \sin(131^{\circ}6 + 2x)$

Kurosawa 28 Tage.....  $24\cdot39 + 9\cdot51 \sin(282^{\circ}8 + x) + 3\cdot50 \sin(138^{\circ}8 + 2x)$

<sup>1</sup> Mittlere Japan Zeit, d. i. Zeit von 135° E. von Greenwich.

Die Beobachtungen auf dem Ontake sind in vierstündigen, jene zu Kurosawa in zweistündigen Intervallen angestellt; diese letzteren sind auch für Kurosawa zur Ableitung der obigen Formel benützt worden. Die Übereinstimmung des Ganges der Bodentemperatur an den beiden Stationen ist eine fast vollständige, nur die Amplitude ist an der unteren Station viel grösser.

Der Regenfall ist auf dem Ontake in vierstündigen Intervallen gemessen worden, zu Kurosawa aber in zweistündigen Zeiträumen. Der Vergleichbarkeit wegen habe ich in der folgenden übersichtlichen Zusammenstellung der Resultate dieser Messungen während 43 Tagen überall vierstündige Intervalle genommen.

#### Tägliche Periode des Regenfalles.

	Gemessen um						Summe
	2 <sup>h</sup>	6 <sup>h</sup>	10 <sup>h</sup>	2 <sup>h</sup>	6 <sup>h</sup>	10 <sup>h</sup>	
Ontake . . . . .	142	147	<b>149</b>	146	102	82*	768
Kurosawa . . . . .	67	77	<b>79</b>	40	34	30*	327

Die grösste Regenmenge ist an beiden Orten von 6<sup>h</sup>—10<sup>h</sup> Morgens gefallen, die kleinste von 6<sup>h</sup>—10<sup>h</sup> Abends. Der Regenfall auf dem Ontake war 2·35 mal grösser als unten zu Kurosawa. Die grösste Tagessumme auf dem Ontake war 142 *mm* am 9. September, zu Kurosawa 109·5 *mm* am 17. August.

In Bezug auf die Luftfeuchtigkeit zeigt der Gipfel des Ontake auffallenden Wechsel zwischen hoher relativer Feuchtigkeit bis zu 100% und grosser Trockenheit. Am 30. August war das Tagesmittel der relativen Feuchtigkeit 36·5%, in der Nacht vom 29./30. August wurden nur 2% und 4% beobachtet. Der dabei herrschende Wind war W und NW von geringer Stärke. Das Tagesmittel des 20. August war gar nur 31·7%, das Minimum ging aber nur auf 14% herab. Der Wind war schwach zwischen WSW, W und WNW.

Zu Kurosawa war das niedrigste Tagesmittel der relativen Feuchtigkeit 73% am 1. August, das absolute Minimum 41%.

Die vom 1. August bis 12. September auf dem Gipfel des Ontake vorherrschenden Winde waren WNW bis WSW. Die

heftigsten Winde waren SSW und S. Am 3. August war die mittlere Windgeschwindigkeit  $22.1 \text{ m}$  pro Secunde bei SSW, Maximum  $37.3 \text{ m}$ ; am 16. August erreichte das Tagesmittel bei Südwind  $24.0 \text{ m}$ . Das Maximum pro Stunde war  $33.5 \text{ m}$ , zwischen  $11^{\text{h}}10^{\text{m}}$  und  $11^{\text{h}}30^{\text{m}}$  sogar  $45.2 \text{ m}$ . Die kleinste Windgeschwindigkeit hatte der 6. September mit  $4.5 \text{ m}$ ; Calmen fehlten fast vollständig. Zu Kurosawa dagegen waren sie weitaus vorherrschend.

Zur Zeit der Terminbeobachtungen ( $43 \times 12$ ) gab es auf dem Ontake 128mal Regen, zu Kurosawa nur 117mal. Auf die Zeit von  $6^{\text{h}}$  Abends bis  $6^{\text{h}}$  Morgens (Nacht) kommen auf den Ontake 64, zu Kurosawa 49 Regenbeobachtungen, auf die Tageshälfte dagegen auf dem Ontake gleichfalls 64, dagegen zu Kurosawa 68. Auf dem Berggipfel war die Vertheilung der Regenstunden eine fast ganz gleichmässige über alle 24 Stunden, dagegen zeigte sich zu Kurosawa eine grössere Tendenz zu Nachmittagsregen.

Nach diesem kurzen Resumé der allgemeineren Beobachtungsergebnisse gehen wir nun über zu einer specielleren Untersuchung der täglichen Periode des Luftdruckes, der Temperatur, Luftfeuchtigkeit, Bewölkung und Windgeschwindigkeit auf Grund der correspondirenden zweistündlichen Beobachtungen. Man findet die Ergebnisse derselben in den nachfolgenden kleinen Tabellen übersichtlich zusammengestellt. (Siehe S. 58).

Der tägliche Gang des Luftdruckes zeigt die charakteristischen Eigenthümlichkeiten einer Gipfelstation (Ontake), einer Thalstation (Kurosawa) und einer Station in der Ebene (Nagoya) in vollem Umfange. Am deutlichsten lässt sich dies aus den Gleichungen des täglichen Ganges erkennen. (Ortszeit von Mitternacht an gezählt. Die Correction auf Localzeit beträgt für Ontake im Zeitmass  $-10'$ , für die Winkelconstanten  $-2^{\circ}5$  und  $-5^{\circ}0$ ; für Kurosawa in Zeit  $-11'$ , für die erste Winkelconstante  $-2^{\circ}7$ , für die zweite  $-5.4$ ; für Nagoya in Zeit  $-8'$ , für die beiden ersten Winkelconstanten  $-2^{\circ}$  und  $-4^{\circ}$ .)

Ontake	.....	$0.282 \sin (221^{\circ}8+x)+0.232 \sin (142^{\circ}5+2x)$
Kurosawa	.....	$0.679 \sin (35^{\circ}2+x)+0.364 \sin (169^{\circ}2+2x)$
Nagoya	.....	$0.563 \sin (6^{\circ}3+x)+0.412 \sin (154^{\circ}5+2x)$

Übersicht des täglichen Ganges der meteorologischen  
Elemente. August 1891.

	Ontake 3055	Kuro- sawa 834	Nagoya 15	Ontake 3055	Kuro- sawa 834	Nagoya 15
	Luftdruck			Temperatur		
	Abweichungen vom Mittel					
Mitternacht	— ·14	·48	·25	—1°75	—3°23	—2°09
2	— ·39	·25	·05	—1°97	—3°83	—2°67
4	— ·50	·32	·07	—2°21	—4°47	—3°06
6	— ·26	·61	·48	—1°75	—4°38	—3°13
8	— ·01	·53	·69	0°14	—0°93	—0°58
10	·27	·20	·57	2°41	3°18	1°70
Mittag	·33	— ·42	·05	3°52	5°45	3°19
2	·24	— ·86	— ·58	3°36	5°64	3°76
4	·04	— ·92	— ·87	1°79	4°69	3°34
6	— ·04	— ·74	— ·82	—0°49	1°70	1°40
8	·28	·10	— ·16	—1°52	—1°33	—0°45
10	·21	·47	·22	—1°54	—2°46	—1°40
Mittel	531·80	690·36	758·15	8·61	20·26	26·05
	Relative Feuchtigkeit (%)			Dampfdruck (mm)		
Mitternacht	74	96	89	5·64	13·91	19·73
2	74	96	91	5·61	13·54	19·53
4	80	97	92	5·93	13·01	19·18
6	81	96	91	6·09	13·04	19·14
8	79	84	80	6·53	14·23	19·33
10	78	70	70	7·38	14·97	19·23
Mittag	76	62	64	7·82	15·02	19·17
2	80	62	63	8·13	15·00	19·33
4	83	67	65	7·71	15·31	19·42
6	82	80	75	6·63	15·55	20·42
8	78	92	85	6·00	14·99	20·67
10	77	95	87	5·92	14·47	20·06
Mittel	78·5	83·0	79·3	6·62	14·42	19·60

	Ontake 3055	Kuro- sawa 834	Nagoya 15	Ontake 3055	Kuro- sawa 833	Nagoya 15
	<b>Bewölkung</b> (Scale 0—10)			<b>Windgeschwindigkeit</b> (Meter pro Secunde)		
Mitternacht	5·4	5·5	5·3	14·9	0·5	1·7
2	6·0	6·2	5·7	15·5	0·2	1·4
4	6·0	6·0	5·3	15·5	0·4	1·3
6	6·4	7·5	6·5	14·5	0·4	1·1
8	6·7	6·7	6·0	11·9	0·6	1·8
10	7·2	6·4	7·2	9·8	1·4	2·4
Mittag	8·1	7·1	7·3	8·1	1·9	2·9
2	8·5	7·2	6·8	7·6	2·1	3·6
4	8·2	6·7	6·3	7·8	2·0	3·4
6	6·5	6·7	6·3	10·0	1·0	3·1
8	4·4	5·1	4·7	11·7	0·3	2·0
10	5·4	5·1	5·4	13·1	0·3	1·9
Mittel	6·6	6·3	6·1	11·7	0·9	2·2

Die einmalige tägliche Barometerschwankung folgt auf dem Ontake in ihren Phasenzeiten, wie zu erwarten, nur mehr dem täglichen Wärmegange; die doppelte tägliche Oscillation bleibt in der Phasenzeit etwas zurück gegen jene in der benachbarten Niederung und hat zugleich eine etwas kleinere Amplitude (0·23 statt 0·28), als sie dem mittleren Barometerstande auf dem Ontake entsprechen würde. Die wahrscheinliche Ursache dieser allen Gipfelstationen gemeinsamen Eigenthümlichkeit habe ich an einer anderen Stelle eingehender erörtert.<sup>1</sup>

Beim täglichen Barometergange zu Kurosawa fällt die grosse Amplitude der einmaligen täglichen Luftdruckschwankung auf, die Phasenzeiten derselben sind etwas verfrüht (4<sup>h</sup> a. statt 6<sup>h</sup>), dagegen zu Nagoya normal. Dass zwischen den

<sup>1</sup> Weitere Untersuchungen über die tägliche Oscillation des Barometers. Denkschriften der Wiener Akad., Bd. LIX, 1892.



Phasenzeiten der doppelten täglichen Oscillation zu Kurosawa und Nagoya ein Unterschied von einer halben Stunde besteht, ist wohl nur ein zufälliges Resultat der bloss 31-tägigen Beobachtungsreihe. Sonst ist die Übereinstimmung in ähnlichen Fällen viel grösser.

Versucht man aus dem täglichen Gange des Luftdruckes auf dem Ontake und zu Kurosawa im Augustmittel den täglichen Gang der Lufttemperatur in der atmosphärischen Schichte von 2220 *m* Mächtigkeit zwischen den beiden Stationen zu berechnen, so erhält man

$$1^{\circ}60 \sin (220^{\circ}2 + x) + 0^{\circ}25 \sin (50^{\circ}0 + 2x).$$

Nach dem Gange des Luftdruckes auf dem Ontake wäre demnach nur auf eine tägliche Wärmeschwankung von  $3^{\circ}2$  in der Luftschichte unterhalb desselben zu schliessen.

Täglicher Gang der Temperatur. Auf dem Gipfel des Ontake und zu Kurosawa tritt das Maximum der Temperatur im täglichen Gange näher dem Mittage ein, als in der Ebene, namentlich auf dem Ontake liegt das Wärmemaximum dem Mittage sehr nahe; zu Nagoya tritt das Temperaturmaximum erst gegen 3<sup>h</sup> Nachmittags auf, wie dies im Sommer normal ist. Der frühe Eintritt des Wärmemaximums zu Kurosawa scheint eine für Thalstationen ziemlich charakteristische Erscheinung zu sein, wie wir später noch sehen werden. Die Gleichungen für den täglichen Wärmegang sind:

$$\begin{aligned} \text{Ontake} & \dots\dots\dots 2^{\circ}77 \sin (253^{\circ}7 + x) + 1^{\circ}01 \sin (88^{\circ}6 + 2x) \\ \text{Kurosawa} & \dots\dots\dots 5^{\circ}13 \sin (236^{\circ}8 + x) + 1^{\circ}21 \sin (94^{\circ}1 + 2x) \\ \text{Nagoya} & \dots\dots\dots 3^{\circ}41 \sin (232^{\circ}5 + x) + 0^{\circ}65 \sin (92^{\circ}6 + 2x). \end{aligned}$$

Auf dem Ontake entfernt sich der tägliche Temperaturgang am meisten von einer einfachen täglichen Wärmewelle, das zweite Glied hat fast die halbe Amplitude des ersten, also einen sehr grossen Einfluss. Der Eintritt der Extreme ist verfrüht gegenüber den unteren Stationen. An der Thalstation ist die tägliche Amplitude sehr gross, viel grösser als in der Ebene, auch hat das zweite Glied noch einen erheblicheren Einfluss, die Phasenzeiten stimmen aber an beiden Orten (Kurosawa, Nagoya) fast vollkommen überein.

Der tägliche Gang der absoluten und der relativen Feuchtigkeit, sowie jener der Bewölkung tritt an den drei Stationen in sehr charakteristischer Form auf. Auf dem Berggipfel haben die Nachmittagsstunden die grösste relative Feuchtigkeit, wenn gleichzeitig in den Thälern und in der Ebene die Luftfeuchtigkeit noch dem Minimum der Sättigung nahe ist. Die trockenste Tageszeit auf dem Gipfel fällt auf Mitternacht bis 2<sup>h</sup>, wenn unten in den Thälern die Luft am feuchtesten ist.

Der Wasserdampfgehalt der Luft erreicht in der täglichen Variation auf dem Berggipfel sein Maximum um 2<sup>h</sup> Nachmittag, in der Thallage zu Kurosawa etwa um 5<sup>h</sup> Nachmittag und zu Nagoya in der Ebene draussen erst um 7<sup>h</sup>. Zu Nagoya zeigt sich auch die gewöhnliche Erscheinung eines ersten secundären Maximums des Dampfdruckes um 8<sup>h</sup>—9<sup>h</sup> Vormittag, dem rasch eine Abnahme folgt, die gewöhnlich und wohl mit Recht durch die tägliche Periode der Luftbewegung erklärt wird, dann folgt wieder eine Zunahme des Dampfdruckes bis zum Abende.

Der tägliche Gang der Bewölkung zeigt an allen drei Stationen eine grössere Übereinstimmung, als jener der Feuchtigkeit, was ja auch erklärlich ist, da die Himmelsansicht für alle Stationen nahe dieselbe ist, nur die localen Wolkenhauben der Berggipfel machen eine Ausnahme, die auch an der viel stärkeren Bewölkung auf dem Gipfel des Ontake in den ersten Nachmittagsstunden zum Ausdrucke kommt. Charakteristisch ist die rasche Abnahme der Bewölkung nach 6<sup>h</sup>, so dass etwa um 8<sup>h</sup> Abends das Minimum der Bewölkung eintritt.

Die Gleichungen des täglichen Ganges für die eben besprochenen meteorologischen Elemente folgen später.

Der tägliche Gang der Windgeschwindigkeit auf dem Gipfel des Ontake steht in vollkommener Übereinstimmung mit den bisherigen Erfahrungen. Das Maximum der Windstärke tritt um 3<sup>h</sup> Morgens ein, das Minimum um 3<sup>h</sup> Nachmittags. Zu Nagoya in der Ebene trat das Minimum um 6<sup>h</sup> Morgens ein, das Maximum von 3<sup>h</sup> Nachmittags gleichzeitig mit dem Minimum der Windstärke auf dem Berggipfel. Die mittlere Windgeschwindigkeit war auf letzterem mehr als fünfmal grösser als in der Ebene, in der Thalstation war sie, wie zu erwarten, noch viel kleiner.

Die Gleichungen für den täglichen Gang der Windgeschwindigkeit sind folgende (Mitternacht  $x = 0$ ,<sup>1</sup> Localzeit, Meter pro Secunde, Augustmittel 1891):

$$\begin{aligned}\text{Ontake} & \dots\dots\dots 4 \cdot 07 \sin (53 \cdot 6 + x) + 0 \cdot 33 \sin (262 \cdot 4 + 2x) \\ \text{Kurosawa} & \dots\dots\dots 0 \cdot 90 \sin (243 \cdot 9 + x) + 0 \cdot 38 \sin (47 \cdot 1 + 2x) \\ \text{Nagoya} & \dots\dots\dots 0 \cdot 97 \sin (228 \cdot 9 + x) + 0 \cdot 26 \sin (25 \cdot 5 + 2x)\end{aligned}$$

Auffallend ist die grosse Amplitude in der täglichen Variation der Windstärke auf dem Gipfel des Ontake. Die Phasenzeiten des täglichen Ganges sind auf dem Ontake fast genau die entgegengesetzten von jenen zu Nagoya in der Niederung. Auch die mittlere Windgeschwindigkeit war auf dem Ontake ganz ungewöhnlich gross.

Ich will den täglichen Gang der Windgeschwindigkeit für einige Gipfelstationen, für welche ich die entsprechenden Gleichungen berechnet habe, hier zusammenstellen nebst Angabe der Seehöhe in Meter (Windgeschwindigkeit in Meter pro Secunde, Localzeit,  $x = 0$  für Mitternacht.)

$$\begin{aligned}\text{Pikes Peak} & \quad 4308 \dots\dots 9 \cdot 26 + 1 \cdot 11 \sin (69 \cdot 2 + x) + 0 \cdot 30 \sin (301^\circ 0 + 2x) \\ \text{Fuji Gipfel} & \quad 3733 \dots\dots 8 \cdot 79 + 2 \cdot 04 \sin (65 \cdot 1 + x) + 0 \cdot 54 \sin (44 \cdot 3 + 2x) \\ \text{Ontake}^2 & \quad 3055 \dots\dots 11 \cdot 41 + 3 \cdot 84 \sin (53 \cdot 1 + x) + 0 \cdot 53 \sin (247 \cdot 6 + 2x) \\ \text{Gozaishagatake} & \quad 1205 \dots\dots 7 \cdot 76 + 1 \cdot 50 \sin (84 \cdot 6 + x) + 0 \cdot 59 \sin (281 \cdot 3 + 2x)\end{aligned}$$

Für die japanischen Stationen habe ich hier überall angenommen, dass die für Mitternacht angegebene Windgeschwindigkeit auch dieser Stunde entspricht, und nicht etwa dem Mittel des Intervalls 10<sup>h</sup>—Mitternacht, also für 11<sup>h</sup> p. gelte. An den japanischen Stationen wurde nur je einen (Sommer-) Monat oder wenig darüber beobachtet, für Pikes Peak dagegen bezieht sich die Formel auf ein mehrjähriges Mittel. Die Übereinstimmung im täglichen Gange der Windstärke aller Gipfelstationen ist eine sehr grosse.

In der nachfolgenden Tabelle habe ich die Mittelwerthe der zweistündigen Terminbeobachtungen für den ganzen Zeit-

<sup>1</sup> Ich nehme an, dass die unter Mitternacht stehende Windgeschwindigkeit dieser Stunde entspricht, nicht dem Mittel aus 10<sup>h</sup>—Mitternacht.

<sup>2</sup> Hier ist der mittlere Gang für 43 Tage, d. i. die ganze Beobachtungsperiode eingestellt.

raum vom 1. August bis 12. September inclusive (also für 43 Tage) zusammengestellt und zwar in anderer Form, indem für jede Station alle meteorologischen Elemente beisammenstehen und so unter sich auf gegenseitige Beziehungen verglichen werden können.

Täglicher Gang der meteorologischen Elemente  
1. August bis inclusive 12. September 1891 (43 Tage).

	Luftdruck	Temperatur	Feuchtigkeit		Bewölkung	Windstärke
			absolut	relativ		
Ontake 3055 m						
Mitternacht	532·02	7·19	5·93	76	5·6	14·2
2	1·76	6·93	5·81	76	5·7	14·6
4	1·64	6·72	6·04	81	5·6	15·1
6	1·84	7·07	6·22	82	6·0	14·3
8	2·10	8·93	6·66	79	6·3	11·8
10	2·40	11·52	7·43	76	7·1	9·7
Mittag	2·42	12·60	8·02	76	8·4	7·8
2	2·33	12·38	8·17	78	8·7	7·3
4	2·17	10·72	7·82	82	8·3	7·9
6	2·11	8·47	6·86	83	6·5	9·7
8	2·43	7·41	6·26	80	4·3	11·7
10	2·32	7·43	6·19	79	5·3	12·8
Mittel	532·13	8·95	6·78	79·0	6·5	11·4
Kurosawa 834 m						
Mitternacht	691·03	17·23	14·11	96	5·1	0·4
2	90·84	16·60	13·66	96	5·5	0·2
4	90·89	15·96	13·17	97	5·7	0·4
6	91·19	15·98	13·11	96	7·9	0·4
8	91·11	19·52	14·37	84	6·1	0·5
10	90·77	23·92	15·19	69	6·2	1·6
Mittag	90·13	26·20	15·13	61	6·6	2·1
2	89·69	26·35	15·29	61	6·6	2·2
4	89·61	25·37	15·49	66	6·2	2·2
6	89·81	22·00	15·80	81	6·1	0·9
8	90·71	19·13	15·23	92	4·5	0·3
10	91·02	18·03	14·71	95	5·0	0·3
Mittel	690·57	20·52	14·60	82·9	6·0	0·95

In derselben Anordnung sollen hier auch die Gleichungen für den täglichen Gang aller Elemente zusammengestellt werden. Die Zeit ist auch in diesen Gleichungen Localzeit, und  $x = 0$  für Mitternacht.

### Täglicher Gang der meteorologischen Elemente.

#### A. Auf dem Gipfel des Ontake 3055 m.

Luftdruck . . . . .	$0.275 \sin (227^{\circ}4+x) + 0.229 \sin (143^{\circ}2+2x)$
Temperatur . . . .	$2.83 \sin (253.2+x) + 1.10 \sin (74.0+2x)$
Dampfdruck . . . .	$1.12 \sin (246.7+x) + 0.28 \sin (43.6+2x)$
Rel. Feuchtigkeit	$0.88 \sin (168.4+x) + 3.28 \sin (272.5+2x)$
Bewölkung . . . .	$1.57 \sin (257.3+x) + 0.89 \sin (24.8+2x)$
Windgeschw. . . .	$3.84 \sin (53.6+x) + 0.53 \sin (247.6+2x)$

#### B. Zu Kurosawa 834 m.

Luftdruck . . . . .	$0.685 \sin (35^{\circ}7+x) + 0.373 \sin (170^{\circ}4+2x)$
Temperatur . . . .	$5.27 \sin (237.4+x) + 1.57 \sin (64.9+2x)$
Dampfdruck . . . .	$1.17 \sin (208.3+x) + 0.33 \sin (156.2+2x)$
Rel. Feuchtigk.	$19.17 \sin (67.2+x) + 5.63 \sin (233.6+2x)$
Bewölkung . . . .	$0.89 \sin (299.0+x) + 0.45 \sin (309.6+2x)$
Windgeschw. . . .	$1.00 \sin (245.6+x) + 0.43 \sin (34.9+2x)$

Temperatur, Dampfdruck und Bewölkung zeigen in ihrem täglichen Gange die meiste Übereinstimmung, auf dem Ontake noch mehr als unten im Thale. Die relative Feuchtigkeit hat auf dem Gipfel der Hauptsache nach nur eine doppelte tägliche Periode, unten im Thale dagegen nur eine einfache und zwar mit excessiver Amplitude. Die Windgeschwindigkeit schliesst sich unten in ihrem täglichen Gange ganz der Temperatur an, nur treten die Extreme früher ein bei der Windstärke als bei der Temperatur; auf dem Gipfel ist, wie schon bemerkt, der Gang der entgegengesetzte.

Aus den Gleichungen des täglichen Ganges der Temperatur unten und oben erhält man unmittelbar auch jene des täglichen Ganges der Wärmeabnahme mit der Höhe durch einfache Subtraction der numerischen Coëfficienten und Division der Amplituden durch den Höhenunterschied der beiden Stationen. Die Rechnung stellt sich dann so:

Coëfficienten					
	$p$	$p_1$	$q_1$	$p_2$	$q_2$
Kurosawa 834 $m$ .. 20°52	—4°57	—2°63	+1°48	+0°53	
Ontake 3055 . . . 8°95	—2°74	—0°70	+1°08	+0°21	
Differenz 2221 . . 11°57	—1°83	—1°93	+0°40	+0°32	

Täglicher Gang der Temperatur-Differenz:

$$11\cdot57 + 2\cdot660 \sin(223\cdot5+x) + 0\cdot512 \sin(51\cdot3+2x)$$

Täglicher Gang der Wärmeabnahme pro 100  $m$ :

$$0\cdot520 + 0\cdot120 \sin(223\cdot5+x) + 0\cdot023 \sin(51\cdot3+2x)$$

Täglicher Gang der Wärmeabnahme pro 100  $m$  (August allein):

$$0\cdot524 + 0\cdot117 \sin(221\cdot7+x) + 0\cdot010 \sin(127\cdot9+2x)$$

Coëfficienten					
	$p$	$p_1$	$q_1$	$p_2$	$q_2$
Nagoya 15 $m$ .. 26°05	—2°78	—1°98	+0°65	—0°075	
Kurosawa 834 . . 20°26	—4°42	—2°60	+1°19	—0°200	
Differenz 819 . . 5°79	+1°64	+0°62	—0°54	+0°125	

Täglicher Gang der Temperatur-Differenz:

$$5\cdot79 + 1\cdot753 \sin(69\cdot3+x) + 0\cdot554 \sin(283\cdot0+2x)$$

Täglicher Gang der Wärmeabnahme pro 100  $m$ :

$$0\cdot709 + 0\cdot215 \sin(69\cdot3+x) + 0\cdot068 \sin(283\cdot0+2x)$$

Derselbe zwischen Nagoya—Ontake:

$$0\cdot574 + 0\cdot044 \sin(183\cdot9+x) + 0\cdot012 \sin(268\cdot3+2x)$$

Die mittlere Wärmeabnahme pro 100  $m$  zwischen dem Gipfel des Ontake und Kurosawa ist 0°52, zwischen Kurosawa und Nagoya dagegen viel grösser, 0°71; Nagoya mit dem Ontake verglichen gibt 0°57 pro 100  $m$ , d. i. eine verhältnissmässig geringe Wärmeabnahme für den Sommer. Freilich fällt die Beobachtungszeit in die Zeit des Regenmonsuns. Es kann aber auch die mittlere Temperatur auf dem Ontake ein wenig zu hoch gefunden worden sein, doch spricht die grosse mittlere Windgeschwindigkeit gegen die Annahme, dass die Wärmestrahlung des kahlen besonnten Gipfels die Angaben der Thermometer erheblich beeinflusst haben mag.

Der tägliche Gang der Wärmeabnahme zwischen der Thalstation und dem Gipfel des Ontake nimmt gerade den umgekehrten Verlauf wie jener zwischen Kurosawa und dem in der Niederung ausserhalb des Gebirges gelegenen Nagoya. Die nächtliche Abkühlung der Thalstation ist so gross, dass der Wärmeunterschied gegen Nagoya um diese Zeit grösser wird, als er am Nachmittag ist, wo umgekehrt die Thalstation einen Wärmeexcess zeigt. So entsteht das ganz abnorme Verhältniss einer raschen nächtlichen und langsamen nachmittägigen Wärmeabnahme mit der Höhe. Strenger genommen sollte man diesen letzteren Ausdruck im vorliegenden Falle gar nicht anwenden, denn sicherlich handelt es sich hier nur um locale Temperaturunterschiede, und nicht um jene in der zwischenliegenden Luftschichte selbst. Die Luftschichte oberhalb Nagoya in der Seehöhe von Kurosawa hat ganz unzweifelhaft nicht die extreme tägliche Wärmeschwankung, wie wir sie in diesem Niveau an der Erdoberfläche in dem wahrscheinlich ziemlich engen Gebirgsthale finden. Man sollte daher nur von dem täglichen Gange des Wärmeunterschiedes zwischen Nagoya und Kurosawa sprechen und nicht von einer Wärmeabnahme mit der Höhe zwischen beiden. Da wir später einen ganz analogen Fall zu betrachten haben werden, der das Interesse an dieser Erscheinung sehr erhöht, da er derselben eine grössere Tragweite gibt, so wollen wir bloss als Rechnungsgrösse doch die Zahlen der Wärmeabnahme mit der Höhe zum Vergleiche beibehalten.

Wärmeabnahme pro 100 m											
Mittn.	2	4	6	8	10	Mittag	2	4	6	8	10
Kurosawa—Ontake (43 Tage):											
·456	·426	·407*	·415	·465	·545	·620	·655	·639	·589	·533	·489
Nagoya—Kurosawa (August):											
·844	·891	·921	·851	·694	·527	·442*	·487	·589	·699	·764	·799
Nagoya—Ontake (August):											
·559	·544	·541*	·543	·544	·549	·565	·592	·619	·629	·616	·587

Wegen der übermässigen localen täglichen Temperaturvariation im Gebirgsthale von Kurosawa haben wohl die Zahlen

für den täglichen Gang der Wärmeänderung mit der Höhe zwischen Nagoya und Ontake eine allgemeinere Bedeutung, als jene für Kurosawa—Ontake, trotz der geringen horizontalen Entfernung dieser letztgenannten Stationen.

In der Wärmeabnahme zwischen der Station in der Ebene am Meeresufer und jener auf dem Gipfel des Ontake ist die tägliche Variation eine sehr geringe; die Amplitude der letzteren ist dagegen sehr gross zwischen der Ebene und dem Gebirgsthale.

## II.

Eine zweite Beobachtungsreihe stündlicher Werthe der meteorologischen Elemente auf einem hohen Berggipfel verdanken wir Herrn J. Vallot, der kürzlich zweimonatliche Beobachtungsergebnisse auf dem Gipfel des Montblanc, bei den Grands Mulets und zu Chamonix veröffentlicht hat.<sup>1</sup> Dieselben sollen hier einer kurzen Discussion unterzogen werden, namentlich auch im Vergleiche mit den eben vorher besprochenen correspondirenden Beobachtungen auf dem Ontake und an dessen Fuss zu Kurosawa.

Herr Vallot hat in seiner Publication den täglichen Gang der meteorologischen Elemente an den oben genannten Stationen, der mit Hilfe von öfter controlirten Registrirapparaten von Richard erhalten worden ist, bloss in Form von Curven mitgetheilt; die Zahlenwerthe selbst sollen im Jahrgang 1892 des »Annales du bureau central Mét. de France« zur Veröffentlichung gelangen, der eben erst zum Drucke kommt. Ich habe einstweilen den von Herrn Vallot veröffentlichten Diagrammen des täglichen Ganges die numerischen Werthe der meteorologischen Elemente entnommen, was, wie Controlversuche ergeben haben, mit hinlänglicher Genauigkeit geschehen konnte. Herr J. Vallot hat den Aufzeichnungen der Richard'schen Autographen die numerischen Werthe nur für dreistündige Intervalle entnommen, wahrscheinlich desshalb, weil er die Zeitscala sehr klein nehmen musste, um an den oberen, schwer zugänglichen Punkten die Autographen längere Zeit sich selbst

---

<sup>1</sup> Annales de l'Observ. Mét. du Montblanc, Paris, G. Steinheil, 1893.



überlassen zu können. Dagegen verdoppelte sein Barograph die Änderungen des Luftdruckes gegenüber den Angaben eines Quecksilberbarometers.

Es braucht hier nur bemerkt zu werden, dass die nachstehend mitgetheilten Beobachtungsergebnisse das vollste Vertrauen verdienen, was mir auch Herr Angot, der sich speciell mit diesen Registrirungen und ihrer Reduction beschäftigte, bestätigt hat. In Bezug auf nähere Information darüber, wie die Registrirungen erhalten worden sind, und in welcher Weise für die Richtigkeit der Aufzeichnungen gesorgt wurde, und die nöthigen Reductionen ermöglicht worden sind, müssen wir auf die leicht zugängliche Publication des Herrn J. Vallot verweisen, dem die Wissenschaft für seine mit grossen Kosten und ausserordentlichen Strapazen verbundenen Bemühungen zu grossem Danke verpflichtet ist.

Die Registrirungen des Luftdruckes auf dem Montblanc-Gipfel, circa 3 *m* unterhalb desselben in 4807 *m* Seehöhe umfassen 54 Tage, vom 17. Juli bis 9. September 1877, jene der Temperatur nur 28 Tage, vom 18. Juli bis 14. August. An die Reduction der Barographenzeichnungen (Richard, grosses Modell) wurden die Temperaturcorrectionen angebracht.

Bei den Grands Mulets (3010 *m*) zeichnete der Barograph 55 Tage, der Thermograph 47 und der Hygrograph 53 Tage (beginnend mit dem 16. Juli 1887, mit Unterbrechungen, die ergänzt werden konnten). Da an die Angaben des Barographen keine Temperaturcorrection angebracht worden ist, wurden dieselben hier nicht verwendet.

Zu Chamonix (1035 *m*) registrirten Barograph, Thermograph und Hygrograph ununterbrochen vom 11. Juli bis 11. September. Thermograph und Hygrograph befanden sich in einer Jalousiehütte im Garten des Hôtel Montblanc, die Hütte wurde noch besonders durch Schirme aus Segeltuch gegen die Sonnenstrahlung geschützt. Dieselbe Vorsicht wurde auch nach Möglichkeit bei den Thermometeraufstellungen auf dem Montblanc-Gipfel und bei den Grands Mulets beobachtet.

Ausserdem werden von Herrn Vallot die Ergebnisse der correspondirenden Aufzeichnungen und Registrirungen der

meteorologischen Elemente zu Genf, Observatorium (Seehöhe 407 *m*) und auf dem grossen St. Bernhard (Seehöhe 2476 *m*) ebenfalls in Form von Diagrammen zum Vergleiche mitgetheilt.

Wie weit die von Herrn Vallot in Form von Diagrammen mitgetheilten Beobachtungsergebnisse wirklich correspondirend sind, ist aus der Publication nicht zu ersehen. Einen Einfluss auf die nachstehenden Erörterungen dürften etwaige Abweichungen von einer absoluten Gleichzeitigkeit der verglichenen täglichen Perioden der meteorologischen Elemente nicht haben.

In den nachfolgenden zwei Tabellen (siehe S. 70 und 71) habe ich die höchst interessanten Ergebnisse der durch Herrn Vallot's Bemühungen zu Stande gekommenen correspondirenden Beobachtungsreihen in einem verticalen Höhenintervall von fast  $4\frac{1}{2}$  *km*, übersichtlich zusammengestellt. Die Ergebnisse ähnlicher Aufzeichnungen in den folgenden Jahren 1890, 1891 und 1892 beim Observatorium Vallot 4365 *m*, bei den Grands Mulets und zu Chamonix sind noch nicht veröffentlicht worden.

Ich will zuerst den täglichen Gang der Luftfeuchtigkeit besprechen, weil am wenigsten darüber zu bemerken ist. Die relative Feuchtigkeit hat bei den Grands Mulets (3010 *m*) ihr Minimum um 10<sup>h</sup> Vormittag und ihr Maximum um 6<sup>h</sup> Abends. Der Gang ist also ein anderer wie auf dem Ontake in gleicher Seehöhe, wahrscheinlich weil wir es hier nicht mit einer Gipfelstation zu thun haben, sondern mit einem vergletscherten Bergabhang. Der Gegensatz zwischen der Trockenheit der ersten Morgenstunden bei den Grands Mulets und der gleichzeitigen fast völligen Sättigung der Luft mit Wasserdampf im Thale unten tritt auch hier auffallend genug zu Tage. Die tägliche Variation der relativen Feuchtigkeit ist zu Chamonix viel grösser als bei den Grands Mulets.

Der Gang der absoluten Feuchtigkeit bei den Grands Mulets ist jenem auf dem Ontake (in gleicher Seehöhe und gleicher Jahreszeit) sehr ähnlich, aber der Eintritt der Extreme erfolgt um einige Stunden später bei den Grands Mulets.

Täglicher Gang des Luftdruckes und der Temperatur  
(1887).

	Luftdruck 2 Monate		Temperatur 1 Monat Juli/August				
	Genf	Mont-blanc	Genf	Chamonix	St. Bernhard	Grands Mulets	Mont-blanc
	407 m	4807 m	407 m	1035 m	2470 m	3010 m	4807 m
	Mittel:						
	727·34	423·85	21·0	16·8	8·6	5·8	—6·5
Abweichungen vom Mittel							
Mitternacht	·22	·00	—3·1	—4·6	—1·3	—1·2	—1·1
1	·17	—·15	—3·8	—5·1	—1·4	—1·4	—1·2
2	·13	—·25	—4·4	—5·6	—1·5	—1·6	—1·3
3	·06	—·35	—5·1	—5·9	—1·6	—1·7	—1·4
4	·01	—·44	—5·4	—6·2	—1·8	—1·9	—1·5
5	·08	—·49	—5·2	—6·8	—1·7	—1·8	—1·3
6	·26	—·53	—4·1	—5·0	—1·5	—1·5	—1·1
7	·36	—·52	—2·5	—3·0	—1·0	—0·9	—0·7
8	·46	—·39	—1·0	—0·6	—0·3	—0·1	—0·2
9	·54	—·24	0·8	2·4	0·7	0·7	0·4
10	·56	—·06	2·2	5·1	1·6	1·4	1·0
11	·43	09	3·3	6·3	2·1	2·2	1·5
Mittag	·06	·22	4·2	7·2	2·5	2·8	1·8
1	—·26	·33	4·7	7·4*	2·6*	3·0*	2·0*
2	—·46	·38	5·0	7·1	2·4	2·8	2·0*
3	—·60	·39	5·2*	6·4	2·1	2·2	1·8
4	—·65	·38	4·9	5·2	1·5	1·5	1·5
5	—·64	·33	4·0	3·9	0·9	0·9	1·1
6	—·55	·26	2·9	2·0	0·1	0·2	0·5
7	—·43	·20	1·8	0·2	—0·3	—0·5	0·0
8	—·24	·19	0·2	—1·2	—0·8	—0·8	—0·5
9	—·03	·22	—0·8	—2·6	—1·0	—1·0	—0·8
10	·18	·23	—1·6	—3·6	—1·1	—1·1	—1·0
11	·24	·15	—2·3	—4·0	—1·2	—1·1	—1·0
Mittel	·317	·283	3·27	4·44	1·29	1·43	1·11

Täglicher Gang der Temperatur und Feuchtigkeit  
2 Monate (1887).

	Temperatur			Dampfdruck <i>mm</i>			Relative Feuchtigkeit <i>%</i>		
	Genf	Cha- monix	Grands Mulets	Genf	Cha- monix	Grands Mulets	Genf	Cha- monix	Grands Mulets
	407 <i>m</i>	1035 <i>m</i>	3010 <i>m</i>	407 <i>m</i>	1035 <i>m</i>	3010 <i>m</i>	407 <i>m</i>	1035 <i>m</i>	3010 <i>m</i>
Mittn.	16·0	11·3	3·3	11·2	9·6	4·1	84	92	71
1	15·5	10·9	3·2						
2	15·0	10·4	3·1	10·9	9·3	4·0	87	93	70
3	14·3	10·0	3·0						
4	14·1	9·8	3·0	10·6	8·8	3·9	88	96	68
5	14·4	9·9	3·1						
6	15·0	10·2	3·2	11·0	9·3	3·8	86	93	65
7	16·0	11·5	3·4						
8	17·9	14·0	4·0	11·8	9·9	3·7	78	83	60
9	19·3	16·7	4·9						
10	20·8	19·3	5·6	12·5	10·5	4·0	70	64	59
11	22·0	21·0	6·3						
Mittag	23·0	22·0	6·9	12·8	10·7	4·6	63	56	61
1	23·4	22·2	7·2						
2	23·7	22·1	7·3	12·6	10·4	5·0	58	54	66
3	23·7	21·7	7·1						
4	23·3	20·6	6·7	12·3	9·8	5·4	58	57	73
5	22·3	18·9	6·0						
6	21·1	17·0	5·1	12·3	10·5	5·1	65	71	77
7	20·0	15·7	4·3						
8	19·0	14·3	4·0	12·2	10·6	4·6	74	85	76
9	18·0	13·0	3·7						
10	17·2	12·4	3·4	11·7	10·0	4·1	80	93	74
11	16·6	11·8	3·3						
Mittel	18·8	15·3	4·6	11·8	9·9	4·4	74	78	68

Die Gleichungen des täglichen Ganges der Luftfeuchtigkeit bei den Grands Mulets und zu Chamonix sind:

#### Relative Feuchtigkeit

Grands Mulets . . .  $7 \cdot 98 \sin (138 \cdot 2 + x) + 2 \cdot 60 \sin (296 \cdot 5 + 2x)$

Chamonix . . . . .  $21 \cdot 60 \sin (62 \cdot 9 + x) + 5 \cdot 45 \sin (228 \cdot 4 + 2x)$

#### Dampfdruck

Grands Mulets . . .  $0 \cdot 71 \sin (201 \cdot 5 + x) + 0 \cdot 29 \sin (344 \cdot 1 + 2x)$

Chamonix . . . . .  $0 \cdot 66 \sin (221 \cdot 6 + x) + 0 \cdot 43 \sin (153 \cdot 2 + 2x)$

Der tägliche Gang der relativen Feuchtigkeit zu Chamonix stimmt in den Amplituden und Phasenzeiten völlig überein mit jenem zu Kurosawa, ist also charakteristisch für Thalstationen und den Sommer. Desgleichen ist auch der Gang des Dampfdruckes fast völlig übereinstimmend, weist aber eine kleinere Amplitude auf.

Die Abnahme des absoluten Wasserdampfgehaltes der Luft erfolgt nach der früher erwähnten Formel, wie folgende mittelst derselben erhaltene Rechnungsergebnisse zeigen:

Dampfdruck bei den Grands Mulets berechnet nach jenem zu Genf 4·7, nach jenem zu Chamonix 4·8, beobachtet 4·4 *mm*.

Für den Montblanc-Gipfel erhält man als Dampfdruck (Mitte Juli bis 10. September) aus den Beobachtungen zu Genf 2·5, zu Chamonix 2·6, bei den Grands Mulets 2·3, Mittel 2·5 *mm*.

Der tägliche Gang der Lufttemperatur zeigt zwischen Chamonix und Genf genau dieselben Unterschiede, wie wir sie zwischen Kurosawa und Nagoya vorhin gefunden haben. In dem engen Gebirgsthale von Chamonix ist die tägliche Amplitude der Temperaturvariation viel grösser als zu Genf, und das Maximum liegt viel näher dem Mittage, ganz wie zu Kurosawa. In ähnlicher Weise hat die Station Kolm Saigurn das Temperaturmaximum dem Mittage sehr nahe, und das gleiche zeigen die Stationen in den Hochthälern der Rocky Mountains, von denen ich seinerzeit stündliche Temperatur- und Luftdruck-

aufzeichnungen discutirt habe.<sup>1</sup> Folgende kleine Tabelle zeigt diese Übereinstimmung des Temperaturganges in den Thälern und deren Verschiedenheit von jenem ausserhalb des Gebirges.

Täglicher Wärmegang. Abweichungen vom Mittel.

Ort	Höhe in hm	Zeit							
		9 <sup>h</sup>	10 <sup>h</sup>	11 <sup>h</sup>	Mittag	1 <sup>h</sup>	2 <sup>h</sup>	3 <sup>h</sup>	4 <sup>h</sup>
Kurosawa . . . . .	8·3	1·1	3·2	4·3	5·5	5·7*	5·6	5·1	4·7
Chamonix . . . . .	10·3	2·4	5·1	6·3	7·2	7·4*	7·1	6·4	5·2
Kolm Saigurn . . . .	16·0	1·5	2·1	2·6	2·9	3·1*	3·0	2·6	2·2
Rocky Mountains .	20·2	3·7	6·3	7·4	8·0	8·0*	7·8	7·3	6·4
Nagoya . . . . .	0·1	0·7	1·7	2·5	3·1	3·6	3·7*	3·6	3·3
Genf . . . . .	4·0	0·8	2·2	3·3	4·2	4·7	5·0	5·2*	4·9

An den letzteren Stationen ist um 4<sup>h</sup> Nachmittag die Temperatur noch nahe dem Maximum und höher als um Mittag; an den ersteren Stationen in tieferen Gebirgsthälern ist die Mittagstemperatur höher als jene um 4<sup>h</sup> Nachmittag.

Ich möchte hier nur auf diese bemerkenswerthe Eigenthümlichkeit des täglichen Ganges hinweisen, wie sie die hier verglichenen Stationen zeigen, um dadurch vielleicht Anregung zu speciellerer Prüfung über die Tragweite derselben zu geben. Zeigt sich, dass die Verfrühung im Eintritt des Temperaturmaximums in Gebirgsthälern eine allgemeine Erscheinung ist, dann erst wird es an der Zeit sein, über die Ursachen derselben (ob es in der absoluten Höhenlage oder Beschränkung des Horizontes, Eingeschlossenheit, begründet) nachzuforschen. Nichts ist für den Fortschritt der Wissenschaft bedenklicher, als für jede neue auffallende Naturerscheinung auch gleich mit einer supponirten Erklärung bei der Hand zu sein.

Die Constanten der Sinusreihen für den täglichen Wärmegang sind:

<sup>1</sup> Über den täglichen Gang des Luftdruckes, der Temperatur, der Feuchtigkeit, Bewölkung und Windstärke in den Rocky Mountains. Diese Sitzungsberichte, Bd. LXXXIII, Märzheft 1881.

## Täglicher Wärmegang.

	$p_1$	$q_1$	$p_2$	$q_2$	$A_1$	$A_2$	$a_1$	$a_2$
Erster Monat								
Genf.....	-3.88	-3.31	+0.57	+0.01	229.5	89.5	5.10	0.57
Chamonix ..	-6.09	-3.03	+1.40	+0.15	243.6	83.9	6.80	1.41
St. Bernhard.	-1.90	-0.78	+0.63	+0.18	247.7	74.1	2.05	0.65
Gr. Mulets ..	-2.00	-0.82	+0.72	+0.21	247.7	73.7	2.16	0.75
Montblanc ..	-1.52	-0.76	+0.32	+0.20	243.4	58.0	1.70	0.38
Zwei Monate								
Genf.....	-3.21	-2.93	+0.71	+0.22	227.6	72.8	4.35	0.74
Chamonix ..	-5.03	-3.13	+1.45	+0.46	238.1	72.4	5.92	1.52
Gr. Mulets ..	-1.92	-1.02	+0.46	+0.44	242.0	46.3	2.17	0.64

Die hochgelegenen Stationen Grands Mulets, St. Bernhard und Montblanc-Gipfel zeigen sämmtlich die Eigenthümlichkeit, dass das Wärmemaximum dem Mittage recht nahe liegt.

Da meine Daten erst wieder aus den Diagrammen des Herrn J. Vallot zurück abgeleitet worden sind, und möglicher Weise dadurch kleine Abweichungen gegenüber den unmittelbar beobachteten Temperaturen entstanden sein könnten, so schadet es nicht, diesbezüglich einen Vergleich anzustellen. Durch die Güte des Herrn A. Angot, der mir die unmittelbar den Thermographenzeichnungen auf dem Montblanc-Gipfel entnommenen Temperaturmittel für die 28 Tage, vom 18. Juli bis 14. August (1887), mitgetheilt hat, bin ich in der Lage, diesen Vergleich wenigstens für eine Station vornehmen zu können.

## Temperatur auf dem Montblanc-Gipfel.

	1 <sup>h</sup>	4 <sup>h</sup>	7 <sup>h</sup>	10 <sup>h</sup> a.	1 <sup>h</sup>	4 <sup>h</sup>	7 <sup>h</sup>	10 <sup>h</sup> p.	Mittel
Beobachtung ..	-7.7	-8.1	-7.2	-5.5	-4.3	-4.8	-6.3	-7.5	-6.44
Diagramm <sup>1</sup> ..	-7.7	-8.0	-7.2	-5.5	-4.5	-5.0	-6.5	-7.5	-6.48

<sup>1</sup> Aus dem Diagramm des Herrn J. Vallot entnommene Temperaturen.

Man sieht, die Unterschiede sind ganz unbedeutend. Noch weniger einflussreich werden sie aber bei den tieferen Stationen mit grösseren Temperaturamplituden sein.

Die Gleichung des täglichen Wärmeganges nach den dreistündigen, den Registrirungen entnommenen Temperaturen ist:

$$-6 \cdot 44 + 1 \cdot 83 \sin (241 \cdot 1 + x) + 0 \cdot 40 \sin (57^\circ 1 + 2x)$$

Aus diesen Gleichungen des täglichen Wärmeganges erhalten wir auch unmittelbar jene für den täglichen Gang der Wärmeabnahme mit der Höhe. Der grösste directe Höhenunterschied, für welche dieselbe je berechnet werden konnte, ist nun der zwischen Genf und dem Montblanc-Gipfel, fast  $4\frac{1}{2}$  km. Die Rechnung steht so:<sup>1</sup>

	$p$	$p_1$	$q_1$	$p_2$	$q_2$
Genf 407 m . . . . .	21·04	—3·88	—3·31	+0·57	+0·005
Montblanc 4807 m . . .	6·44	—1·78	—0·44	+0·40	+0·02
Differenz 4400 m . . .	27·48	—2·10	—2·87	+0·17	—0·015

Daraus folgt als täglicher Gang der Wärmeabnahme mit der Höhe pro 100 m zwischen Genf und dem Montblanc-Gipfel (für Ende Juli):

$$0^\circ 624 + 0^\circ 081 \sin (216^\circ 2 + x) + 0^\circ 004 \sin (95^\circ 1 + 2x).$$

Diese tägliche Periode hat also eine ziemlich kleine Amplitude. Die nach dieser Formel für zweistündliche Intervalle berechneten Werthe finden sich später mit anderen ähnlichen zusammengestellt.

Für die Wärmeabnahme mit der Höhe zwischen Chamonix und Montblanc findet man auf gleiche Weise folgende Gleichung:

Chamonix 1035 m — Montblanc 4807 m

$$0^\circ 616 + 0^\circ 133 \sin (239^\circ 0 + x) + 0^\circ 027 \sin (82^\circ 6 + 2x).$$

Hier hat der tägliche Gang schon eine viel grössere Amplitude in Folge der grossen täglichen Wärmeschwankung im Thale von Chamonix.

<sup>1</sup> Die Bedeutung der Constanten  $p$ ,  $p_1$ ,  $q_1$ ,  $p_2$ ,  $q_2$  ergibt sich aus der bekannten Form der harmonischen Reihe

$$p + p_1 \cos x + q_1 \sin x + p_2 \cos 2x + q_2 \sin 2x.$$



Ich habe mittelst der auf S. 74 mitgetheilten Constanten des täglichen Wärmeganges noch folgende Gleichungen für den täglichen Gang der Wärmeabnahme mit der Höhe abgeleitet:

Grands Mulets (3010)—Montblanc (4807)

$$0.684 + 0.027 \sin(262.9 + x) + 0.022 \sin(88.6 + 2x)$$

St. Bernhard (2476)—Montblanc (4807)

$$0.647 + 0.016 \sin(267.0 + x) + 0.013 \sin(113.7 + 2x)$$

Chamonix (1035)—Grands Mulets (3010)

$$0.554 + 0.235 \sin(241.6 + x) + 0.036 \sin(94.8 + 2x)$$

Genf (407)—Chamonix (1035)

$$0.564 + 0.292 \sin(83.7 + x) + 0.124 \sin(252.0 + 2x)$$

Die letztere Gleichung ist aus den correspondirenden Aufzeichnungen von zwei Monaten (11. Juli bis 11. September) abgeleitet, alle übrigen aus Aufzeichnungen von einem Monate.

Die tägliche Variation der Wärmeabnahme mit der Höhe zwischen hochgelegenen Punkten (mit Ausschluss von Thalstationen) hat eine sehr geringe Amplitude, wie die ersten beiden Gleichungen zeigen. Die Wärmeabnahme zwischen Genf und Chamonix hat genau den gleichen Charakter wie jene zwischen Nagoya und Kurosawa, das Maximum tritt in der Nacht ein, das Minimum am Nachmittage.

Ich habe schon oben bemerkt, dass ich diesem Resultate keine reelle Bedeutung zugestehen mag, weil dasselbe keineswegs sich wirklich auf die Luftschichte zwischen Genf und Chamonix bezieht. Die excessive Erwärmung am Nachmittage und Erkaltung bei Nacht bleibt sicherlich auf die der Thalsole von Chamonix aufliegenden Luftschichten beschränkt. Mit der üblichen abgekürzten Bezeichnung können wir sagen, dass diese Zahlen die »klimatische« Wärmeabnahme zwischen Genf und Chamonix ausdrücken. Die Übereinstimmung mit den für Nagoya—Kurosawa erhaltenen Zahlen zeigt aber, dass wir es hier mit einer Erscheinung von allgemeinerer Bedeutung zu thun haben:

## Täglicher Gang der Wärmeabnahme.

	$a_0$	$a_1$	$A_1$	$a_2$	$A_2$
Nagoya—Kurosawa . . .	0·709	0·215	69·3	0·068	283·0
Genf—Chamonix . . . . .	0·564	0·292	83·7	0·124	252·0

Aus den vorhergehenden Gleichungen habe ich die folgenden Zahlenwerthe berechnet:

Täglicher Gang der Wärmeabnahme mit der Höhe  
(pro 100 *m*).

	Genf Mont- blanc 4400 <i>m</i>	Chamonix Mont- blanc 3772 <i>m</i>	Grands Mulets Mont- blanc 1800 <i>m</i>	St. Bern- hard Mont- blanc 2330 <i>m</i>	Chamonix Grands Mulets 1975 <i>m</i>	Genf Chamonix 628 <i>m</i>
	1 Monat					2 Monate
Mittern.	·580	·528	·679	·644	·383	·736
2	·551	·499	·671	·638	·335	·739
4	·542*	·489*	·657*	·631*	·333*	·763
6	·555	·521	·659	·633	·406	·714
8	·590	·577	·682	·647	·604	·539
10	·635	·691	·716	·668	·698	·303
Mittag	·676	·756	·783	·677	·797	·156*
2	·699	·765	·721	·667	·805	·205
4	·702	·723	·689	·649	·733	·417
6	·685	·659	·665	·635	·630	·650
8	·656	·623	·662	·634	·472	·773
10	·617	·561	·674	·641	·452	·778
Mittel	·624	·616	·684	·647	·554	·564

Die aus den Temperaturregistrierungen des Herrn Vallot auf dem Gipfel des Montblanc folgende tägliche Wärmeschwankung dürfte jedenfalls etwas zu gross sein in Folge der Unmöglichkeit, das registrirende Thermometer genügend gegen die Insolation und die Wärmereflexion des Schnees zu schützen. Das geht wohl schon aus einer Vergleichung mit dem täglichen Wärmegange auf dem Obirgipfel und Sonnblickgipfel in viel geringerer Seehöhe hervor.

#### Täglicher Wärmegang im Sommer.

Obirgipfel 2140 *m* . . . . .  $1.65 \sin(238.1 + x) + 0.25 \sin(24.3 + 2x)$   
 Sonnblickgipfel 3100 *m* . . .  $1.04 \sin(224.0 + x) + 0.12 \sin(16.9 + 2x)$   
 Montblanc-Gipfel 4807 *m* .  $1.70 \sin(243.4 + x) + 0.38 \sin(58.0 + 2x)$

Man darf wohl annehmen, dass die wahre Amplitude der täglichen Temperaturvariation auf dem Montblanc-Gipfel nur halb so gross (oder noch kleiner) ist, als man sie hier angegeben findet.

Herr Nilson Ekholm hat während seines Aufenthaltes auf Spitzbergen bei Cap Thordsen 1882/1883 sehr interessante und instructive Untersuchungen gemacht über den Einfluss der directen Insolation und der Wärmereflexion des Schnees auf die Thermometer in einer dieselben möglichst gegen Wärmestrahlung schützenden Hütte mit doppelten Jalousiewänden. In den Monaten April und Mai zeigten dieselben trotzdem öfter eine bis zu 4° höhere Temperatur als ein Schleuderthermometer.

Stündliche Vergleichsbeobachtungen vom 5.—25. Mai ergaben, dass nach dem Schleuderthermometer das Maximum der Lufttemperatur erst gegen 1½<sup>h</sup> p. eintrat, in der Hütte dagegen schon vor Mittag. Die tägliche Temperaturamplitude in der Hütte war 3°4, das Schleuderthermometer ergab dieselbe für die Luft ausserhalb bloss zu 2°9. Und auch diese Amplitude ist wohl noch etwas zu gross. Die mittlere Temperatur in der Hütte war um etwas mehr als einen halben Grad zu hoch.

Für die Zeit vom 18. Juli bis 14. August 1887 ergaben die Beobachtungen auf dem Sonnblickgipfel eine mittlere Temperatur von +3.0, d. i. eine Abweichung vom (30-jährigen) Mittel

von  $+1.5$ . Darf man annehmen, dass dieselbe auch für den Montblanc Giltigkeit hatte, so erhält man als normale Temperatur desselben für diese Periode  $-8^{\circ}$ . Die Beobachtungen auf dem Theodulpass (3330 *m*) stimmen damit sehr gut überein.

Als wahrscheinliches Jahresmittel der Wärme auf dem Montblanc-Gipfel möchte ich die auf verschiedenen Wegen ziemlich übereinstimmend gefundene Temperatur von  $-14^{\circ}$  annehmen (für den Jänner  $-20^{\circ}$  rund). Die von Herrn Vallot im Innern des Eistunnels auf dem Gipfel gefundene Mitteltemperatur von  $-16^{\circ}5$  ist wohl, wofür er ja selbst triftige Gründe angibt, erheblich niedriger als die äussere Lufttemperatur auf dem Gipfel.

Die Luftdruckbeobachtungen des Herrn Vallot auf dem Montblanc-Gipfel haben wohl den grössten Werth, weil die grösste Tragweite. Durch Berechnung der Seehöhe des Montblanc-Gipfels auf Grund derselben hat Herr A. Angot schon gezeigt, dass sie dieselbe zu 4810.5 *m* ergeben (Mittel nach Säntis und Puy de Dôme) in bester Übereinstimmung mit der trigonometrischen Messung.<sup>1</sup> Am interessantesten ist aber die Constatirung des täglichen Ganges des Luftdruckes auf einem Gipfel von nahe 5 *km* Seehöhe. Nach den Ergebnissen der Registrirungen auf dem Sonnblickgipfel hätte man geneigt sein können, anzunehmen, dass in einer 1700 *m* grösseren Seehöhe der tägliche Gang des Barometers nur mehr ein Minimum am frühen Morgen und ein Maximum am Abend haben möchte. Die früheren vorläufigen Mittheilungen über die Ergebnisse der Beobachtungen des Herrn Vallot lauteten auch in der That so. Herr Rotch, der mit Herrn Vallot auf dem Montblanc war und in die Ergebnisse der Registrirungen auf demselben Einsicht hatte, sagte noch kürzlich, dass auf dem Gipfel des Montblanc der Luftdruck bloss ein Maximum um 1<sup>h</sup> p. und ein einziges Minimum um 4<sup>h</sup> Morgens habe mit einer blossen Tendenz zu einem zweiten Minimum am späten Nachmittag.<sup>2</sup>

---

<sup>1</sup> Comptes rendus, tome CXVII, p. 786, 4. dec. 1893.

<sup>2</sup> The highest Met. Station in the world. American Met. Journal, October 1893.

Die jetzt veröffentlichten Ergebnisse der Aneroidregistrierungen auf dem Montblanc-Gipfel zeigen aber in der That noch ein ganz ausgesprochenes zweites Minimum am späten Nachmittage. Ich lasse zunächst die mir von Herrn A. Angot freundlichst mitgetheilten Ergebnisse der Reductionen der Aufzeichnungen vom 18. Juli bis 14. August hier folgen.

Luftdruckmittel Montblanc 4807 *m*.

1 <sup>h</sup> a.	4 <sup>h</sup>	7 <sup>h</sup>	10 <sup>h</sup>	1 <sup>h</sup> p.	4 <sup>h</sup>	7 <sup>h</sup>	10 <sup>h</sup> p.	Mittel
426·42	26·22	26·12	26·59	27·02	27·07	26·73	26·78	426·62

Diesen Luftdruckmitteln entspricht die Gleichung:

$$426·62 + 0·429 \sin (203^{\circ}5 + x) + 0·151 \sin (67·6 + 2x)$$

Nach dem von Herrn J. Vallot nach den Mitteln für die Zeit vom 18. Juli bis 9. September gezeichneten Diagramme des täglichen Ganges verspätete sich das »Vormittagsmaximum« des Luftdruckes auf dem Montblanc bis 3<sup>h</sup> Nachmittags, das Nachmittagsminimum tritt um 7<sup>1/2</sup><sup>h</sup> Abends ein (das Barometer sinkt doch noch um 0·19 *mm*), das Abendmaximum fällt ganz normal auf 9<sup>1/2</sup><sup>h</sup> Abends (+0·23), das Hauptminimum am Morgen tritt um 6<sup>h</sup> früh ein (—0·53). Die folgende Zusammenstellung des täglichen Barometerganges auf dem Schafberg, Obir, Säntis, Sonnblick und Montblanc zeigt recht deutlich die continuirliche Verspätung des »Vormittagsmaximums« mit zunehmender Seehöhe, womit die Verspätung des Nachmittagsminimums gleichen Schritt hält. Auch die zunehmende Vertiefung des Morgenminimums tritt sehr charakteristisch hervor.

Täglicher Gang des Barometers im Sommer auf hohen  
Alpengipfeln.

Zeit	Schafberg 1780 <i>m</i>	Obir 2040 <i>m</i>	Säntis 2500 <i>m</i>	Sonnblick 3100 <i>m</i>	Montblanc 4810 <i>m</i>
Mitternacht	·17	·20	·16	·18	·00
1	·03	·07	—·03	·00	—·15
2	—·13	—·09	—·18	—·15	—·25
3	—·28	—·25	—·30	—·32	—·35
4	—·35*	—·36	—·41	—·45	—·44
5	—·33	—·38*	—·44*	—·50*	—·49
6	—·29	—·33	—·39	—·45	—·53*
7	—·13	—·23	—·30	—·37	—·52
8	—·03	—·11	—·20	—·27	—·39
9	·06	·02	—·11	—·17	—·24
10	·14	·13	·00	—·04	—·06
11	·19	·22	·11	·08	·09
Mittag	·17	·24	·15	·16	·22
1	·13	·21	·17	·19	·33
2	·07	·13	·15	·21	·38
3	·03	·06	·14	·22	·39
4	—·04	—·02	·11	·19	·38
5	—·09*	—·08	·07*	·14	·33
6	—·08	—·12*	·08	·12*	·26
7	—·02	—·09	·13	·14	·20
8	·08	·04	·21	·19	·19*
9	·21	·21	·30	·30	·22
10	·24	·28	·30	·33	·23
11	·24	·27	·25	·29	·15

Die folgende kleine Tabelle enthält in übersichtlicher Zusammenstellung die Gleichungen des täglichen Ganges des Barometers für verschiedene Seehöhen. Diese letzteren sind relativ genommen, indem die mittlere Seehöhe der Basisstationen Genf und Salzburg (407m und 430m) von den absoluten Höhen abgezogen worden ist. Namentlich für das erste Glied, die einmalige tägliche Barometerschwankung, ist ja fast nur die relative Seehöhe massgebend. Die Zeit ist stets von Mitternacht an gezählt.

Ort	Relative Höhe hm	Täglicher Gang des Barometers im Sommer
Genf <sup>1</sup> . . . . .	0	$0.417 \sin (6.9+x) + 0.326 \sin (148.8+2x)$
Salzburg . . . . .	0	$0.388 \sin (26.5+x) + 0.276 \sin (137.5+2x)$
Wendelstein . . . .	13.1	$0.076 \sin (187.8+x) + 0.187 \sin (130.8+2x)$
Schafberg . . . . .	13.6	$0.123 \sin (195.0+x) + 0.214 \sin (127.1+2x)$
Obir . . . . .	16.2	$0.141 \sin (194.3+x) + 0.246 \sin (115.2+2x)$
Säntis . . . . .	20.8	$0.266 \sin (183.1+x) + 0.178 \sin (122.4+2x)$
Sonnblick . . . . .	26.8	$0.318 \sin (181.7+x) + 0.179 \sin (110.3+2x)$
Montblanc . . . . .	43.9	$0.425 \sin (194.3+x) + 0.130 \sin (82.9+2x)$

Von der absoluten Seehöhe der Gipfelstationen in Hectometern ist gleichmässig 4.2 abgezogen worden, um die »beiläufige« relative Höhe einigermaßen anzudeuten. Man sieht aus dieser Zusammenstellung die anfängliche Abnahme der Amplitude der einmaligen täglichen Barometerschwankung und die dann wieder folgende Zunahme derselben mit entgegengesetzten Phasenzeiten. Die Ursache dieser Erscheinung habe ich in meiner Abhandlung: »Weitere Untersuchungen über die tägliche Oscillation des Barometers« eingehender nachgewiesen.<sup>2</sup>

<sup>1</sup> Mitte Juli bis Anfang September 1877 correspondirend mit Montblanc; die übrigen Mittel mehrjährig.

<sup>2</sup> Denkschriften der Wiener Akademie, LIX. Band, Wien 1892. Tempsky.

Die Phasenzeiten der einmaligen täglichen Oscillation auf den hohen Alpengipfeln scheinen von der Seehöhe fast unabhängig zu sein. Der mittlere Werth der Winkelconstante ist  $191^\circ$ . Das Maximum fällt demnach auf  $6\frac{3}{4}^h$  Abends, das Minimum auf  $6\frac{3}{4}^h$  Morgens. Das Maximum des Luftdruckes tritt demnach viel später ein, als das der Temperatur. Für diese liegt die Winkelconstante bei  $240^\circ$ , das Maximum wie das Minimum tritt demnach mindestens drei Stunden früher ein.

Die Amplitude der doppelten täglichen Oscillation nimmt ziemlich regelmässig im Verhältniss mit dem Luftdrucke mit der Höhe ab, aber auch die Winkelconstante wird mit der Höhe kleiner, was eine Verspätung der Phasenzeiten der doppelten täglichen Oscillation mit der Höhe bedeutet, auf deren Ursache ich in meiner citirten Abhandlung gleichfalls hingewiesen habe.

Den allmäligen Übergang der Amplituden und der Phasenzeiten der einmaligen täglichen Barometerschwankung von der Erdoberfläche bis zu jener relativen Höhe, in welcher die Phasenzeit in die entgegengesetzte umschlägt, vermag man aus den oben und ebenso aus den von mir früher mitgetheilten Beobachtungen nicht ersehen, weil die Zwischenstationen bisher fehlten. Es ist das Verdienst der königlich baierischen meteorologischen Centralstation in München, solche Zwischenstationen mit registrirenden Barometern versehen zu haben.

In dem Jahrgang 1892 der »Beobachtungen der meteorologischen Stationen im Königreich Baiern« finden sich mit Juni beginnend die Ergebnisse zweistündlicher Reductionen dieser Aufzeichnungen bereits mitgetheilt.<sup>1</sup> Ich habe Mittel für die drei Sommermonate Juni, Juli, August gebildet und die correspondirenden Mittel für Obir, Säntis und Sonnblick zum Vergleiche beigegeben. So erhält man ein höchst lehrreiches Bild der allmäligen Modification des täglichen Barometerganges mit zunehmender Seehöhe, wie man ein solches bisher noch nie besessen hat. Die Station Hirschberg ist wohl keine eigentliche Gipfelstation, sondern nimmt eine Mittelstellung ein zwischen

---

<sup>1</sup> F. Erk, Die Resultate der Barometerregistrirung in München und Wendelstein, sowie in Hirschberg und Hohenpeissenberg im Jahre 1892. S. 147 und 148.



einer Gehängstation und einer Gipfelstation. Der etwas auffallende tägliche Gang des Barometers an derselben stimmt vollständig überein mit jenem zu Kolm Saigurn, einer Thalstation (mehr Gehängstation) in 1600 *m* absoluter Seehöhe; die relative Seehöhe aber stimmt wohl sehr nahe mit jener der Station Hirschberg überein. Diese beiden Stationen repräsentiren einen ganz aparten Typus des täglichen Barometerganges.

Täglicher Barometergang im Sommer 1892.

	München	Hohen- Peissen- berg	Hirsch- berg <sup>1</sup>	Wendel- stein	Obir	Säntis	Sonn- blick
Breite . . . . .	48° 9'	47° 48'	47° 40'	47° 42'	46° 30'	47° 15'	47° 3'
Höhe . . . . .	526·4	993·9	1512·0	1727·22	2044·0	2500·0	3106·5
Luftdruck . . .	716·8	678·4	638·2	622·1	598·4	566·5	525·1
Temperatur .	16·7	14·9	11·4	9·7	8·3	4·9	0·6
Mitternacht	·30	·26	·24	·18	—·15	·17	·12
2	·11	·04	—·05	—·10	—·10	—·17	—·17
4	·01	—·16	—·26	—·31	—·29	—·45	—·40
6	·20	—·07	—·15	—·21	—·27	—·38	—·36
8	·36	·12	·01	·00	—·06	—·17	—·20
10	·33	·22	·07	·10	·11	—·01	·05
Mittag	·08	·08	·01	·10	·18	·14	·15
2	—·32	—·17	—·12	—·02	·11	·16	·24
4	—·62	—·31	—·20	—·12	·03	·11	·14
6	—·55	—·31	—·12	—·10	—·08	·08	·04
8	—·13	—·02	·19	·15	·00	·20	·14
10	·19	·28	·37	·30	·20	·31	·24

<sup>1</sup> Täglicher Gang des Barometers zu Kolm Saigurn, 1600 *m*:

Mittn.	2 <sup>h</sup>	4 <sup>h</sup>	6 <sup>h</sup>	8 <sup>h</sup>	10 <sup>h</sup>	Mittg.	2 <sup>h</sup>	4 <sup>h</sup>	6 <sup>h</sup>	8 <sup>h</sup>	10 <sup>h</sup>
·27	—·13	—·32	—·24	—·05	·07	·03	—·07	—·11	—·05	·23	·41

Diesen Zahlenwerthen entsprechen folgende Gleichungen:

München . . . . .	$0\cdot346 \sin (15^{\circ}1+x)+0\cdot289 \sin (141\cdot8+2x)$
Peissenberg . . . . .	$0\cdot117 \sin (36\cdot7+x)+0\cdot251 \sin (133\cdot6+2x)$
Hirschberg . . . . .	$0\cdot118 \sin (120\cdot1+x)+0\cdot225 \sin (144\cdot4+2x)$
Wendelstein . . . . .	$0\cdot095 \sin (163\cdot5+x)+0\cdot214 \sin (138\cdot0+2x)$
Obir . . . . .	$0\cdot124 \sin (202\cdot1+x)+0\cdot179 \sin (114\cdot7+2x)$
Säntis . . . . .	$0\cdot267 \sin (182\cdot6+x)+0\cdot181 \sin (122\cdot8+2x)$
Sonnblick . . . . .	$0\cdot249 \sin (192\cdot3+x)+0\cdot167 \sin (111\cdot5+2x)$

Die vorstehende Tabelle und die darauf gegründeten Gleichungen des täglichen Ganges zeigen in sehr instructiver Weise den Übergang der Phasenzeiten der einmaligen täglichen Oscillation des Barometers von einem Maximum am Morgen bis zu einem Maximum am Nachmittage auf den hohen Gipfelstationen. Die Winkelconstante geht allmählig aus dem ersten Quadranten in den dritten über. Zugleich nimmt die Amplitude zuerst ab und dann wieder zu (dass Peissenberg eine so kleine Amplitude der einmaligen täglichen Schwankung hat, ist wohl nur eine Zufälligkeit des Mittels von bloss drei Monaten). Für diese Verhältnisse ist der Natur der Sache nach nur die relative Seehöhe massgebend, d. i. die Mächtigkeit der unterhalb der Station befindlichen Luftschichte. Man darf nach den Ergebnissen der baierischen Stationen wohl annehmen, dass in einer relativen Seehöhe von 1300—1400 *m* die Amplitude der einmaligen täglichen Barometerschwankung im Sommer nahezu verschwunden ist und die Phasenzeiten darüber hinaus in die entgegengesetzten von jenen am Erdboden übergehen. Das hängt aber natürlich nicht bloss von der Mächtigkeit der unterlagernden Luftschichte, sondern auch von der Grösse der täglichen Temperaturschwankung in derselben ab. Wenn die normale einmalige Barometerschwankung am Erdboden nicht genau die entgegengesetzten Phasenzeiten hat von jenen des Temperaturganges in der überlagernden Luftschichte, so wird die Combination derselben mit der rein »thermischen« Barometerschwankung in 1300—1400 *m* Seehöhe keineswegs die Barometerschwankung daselbst ganz aufheben, sondern es wird eine solche von geringer Amplitude mit zwischenliegenden Phasenzeiten übrigbleiben. Auf solche Verhältnisse scheint die

tägliche Barometerschwankung auf dem Wendelstein hinzu-  
deuten.

Es ist interessant zu bemerken, wie in einer relativen Seehöhe von etwa 1000 *m* das Vormittagsmaximum des Barometers zwar zur normalen Zeit eintritt, aber ausserordentlich abgeschwächt erscheint.

Die vorstehenden Erörterungen gelten selbstverständlich nur für den Sommer oder für die Zeit, wo die »thermische« Druckschwankung in der Höhe am grössten ist. Im Winter reicht die normale einmalige tägliche Barometerschwankung bis zu viel grösseren Höhen hinauf.

Das Nachmittagsminimum und Abendmaximum auf sehr hohen Berggipfeln. Es hat einiges Interesse, sich specieller Rechenschaft darüber zu geben, wie es kommt, dass selbst auf dem Montblanc-Gipfel in nahe 5 *km* Seehöhe das zweite Minimum im täglichen Gange des Barometers noch nicht verschwunden ist, und wesshalb das Abendmaximum des Barometers mit der Höhe zunimmt.

Renou hat die Ansicht ausgesprochen, dass in sehr grosser Höhe der Atmosphäre der tägliche Gang des Barometers bloss ein Maximum um 4<sup>h</sup> Nachmittags und ein Minimum um 4<sup>h</sup> Morgens haben dürfte.<sup>1</sup> Nach den neueren Ergebnissen der Luftdruckregistrirungen auf den hohen Alpengipfeln scheint es mir zweifelhaft geworden zu sein, ob dies für die Tropengegenden mit ihrer grossen doppelten täglichen Barometerschwankung in der That noch angenommen werden darf. Jedenfalls werden aber diese Extreme nach den neueren Erfahrungen näher bei der Stunde 6<sup>h</sup> als 4<sup>h</sup> zu finden sein.

Um diesem Problem etwas näher zu treten, habe ich mir zunächst die Frage vorgelegt: wie müsste der Temperaturgang in der 1700 *m* mächtigen Luftschicht zwischen Montblanc- und Sonnblickgipfel beschaffen sein, damit auf ersterem der tägliche Gang des Barometers nur mehr ein Maximum und ein Minimum haben würde?

Zu diesem Zwecke wurde der Gang des Luftdruckes auf dem Sonnblickgipfel (Mittel Juli—August von 4 Jahren) auf die

<sup>1</sup> De l'oscillation diurne du baromètre par E. Renou. Comptes rendus de l'Acad. d. Sc. 1878, I. Sem., tome 86.

Höhe des Montblanc-Gipfels reducirt (d. h. die Amplituden im Verhältniss von 426:525 *mm* Luftdruck verkleinert). Man erhält derart

$$0\cdot241 \sin (182^{\circ} + x) + 0\cdot145 \sin (111^{\circ} + 2x);$$

das wäre die Gleichung des täglichen Ganges des Luftdruckes auf dem Montblanc-Gipfel, wenn es in der Luftschichte zwischen 3100 *m* und 4800 *m* gar keine tägliche Temperaturvariation geben würde. Aus dieser Gleichung ergeben sich folgende Luftdruckabweichungen für zweistündige Intervalle:

	0 <sup>h</sup>	2 <sup>h</sup>	4 <sup>h</sup>	6 <sup>h</sup>	8 <sup>h</sup>	10 <sup>h</sup>
Vormittag						
Einfache Welle . . . . .	—·008	—·128	—·213	—·241	—·205	—·113
Doppelte Welle . . . . .	·136	·022	—·113	—·136	—·022	·113
Summe ..	·128	—·106	—·326	—·377	—·227	·000
Nachmittag						
Einfache Welle . . . . .	·008	·128	·213	·241	·205	·113
Doppelte Welle . . . . .	·136	·022	—·113	—·136	—·022	·113
Summe ..	·144	·150	·100	·105	·183	·226

Man sieht zunächst aus dieser kleinen Tabelle, wie das hohe Maximum der Hochstationen am Abende zustande kommt, d. i. durch die Auflagerung des Maximums der doppelten täglichen Oscillation auf einen Theil des Wellenberges der einmaligen täglichen Schwankung. Da die Amplitude der letzteren mit der Höhe zunimmt, die Phasenzeit sich aber dabei fast gleich bleibt, so wächst die Summe beider Wellen für die Stunde 10<sup>h</sup> etwas schneller, als sie beide vermöge der Druckabnahme mit der Höhe kleiner werden; freilich nur bis zu einer gewissen, aber schon sehr grossen Höhe.

Die erste Welle erreicht ihren Scheitelpunkt etwas vor 6<sup>h</sup> Abends, gleichzeitig tritt aber bei der doppelten täglichen Oscillation das Wellenthal ein. Die Superposition der entgegengesetzten Phasen der beiden Wellen erzeugt das späte Nachmittagsminimum auf den hohen Berggipfeln.

Sollte dieses Minimum ausbleiben, so müsste mindestens folgende Ungleichheit bestehen, wenn wir mit  $x$  die gesuchte Amplitude der einmaligen täglichen Schwankung bezeichnen, welche diesen Effect zu erzielen im Stande wäre:

$$x - 0.136 > 0.113 + x \sin 30^\circ, \text{ d. i. } > 113 + \frac{x}{2},$$

$$x > 272 + 226, \text{ d. i. } > 498.$$

Wenn also die Amplitude der einmaligen täglichen Schwankung auf dem Montblanc-Gipfel  $0.50 \text{ mm}$  wäre, so würde der Gang des Barometers auf demselben nur mehr ein Maximum und ein Minimum zeigen. Der tägliche Gang des Barometers in  $4810 \text{ m}$  würde dann sein:

Mittn.	2 <sup>h</sup>	4 <sup>h</sup>	6 <sup>h</sup>	8 <sup>h</sup>	10 <sup>h</sup>	Mittag	2 <sup>h</sup>	4 <sup>h</sup>	6 <sup>h</sup>	8 <sup>h</sup>	10 <sup>h</sup>
·06	·24	·55	·64	·45	·12	·21	·29	·33	·36	·40	·35

Das Abendmaximum würde dann auf  $8^h$  fallen. Wie man leicht findet, würde eine tägliche Wärmeschwankung von  $0.76^\circ$  in der Luftschichte zwischen  $3100 \text{ m}$  und  $4800 \text{ m}$  genügen, um die Amplitude der einmaligen thermischen Druckschwankung auf  $0.5 \text{ mm}$  zu erhöhen und so den obigen Effect hervorzu-  
bringen.

Aus dem correspondirenden täglichen Gange des Barometers auf dem Sonnblick- und Montblanc-Gipfel (16. Juli bis 10. September 1887) findet man für den täglichen Wärmegang in der zwischenliegenden Luftschichte von  $1700 \text{ m}$  die Gleichung

$$0.49 \sin (189^\circ + x) + 0.23 \sin (354 + 2x).$$

Die einfache tägliche Wärmewelle hat also nur eine Amplitude von  $\frac{1}{2}^\circ$  statt  $\frac{3}{4}^\circ \text{ C.}$ , wie sie zur Unterdrückung des secundären Abendminimums nöthig wäre.

Wenn man den früher berechneten täglichen Gang des Barometers auf dem Sonnblickgipfel reducirt auf Montblanc-höhe graphisch darstellt und dann durch eine Curve aus freier Hand das Abendminimum unterdrückt und der Curve nur ein Abendmaximum gibt, was sich in der That nur auf eine Weise ungezwungen erzielen lässt, so erhält man auf einem anderen Wege die Ordinaten der einmaligen thermischen Welle, welche den täglichen Barometergang auf dem Montblanc-Gipfel zu einer einfachen Welle gestalten würde. Die Amplitude fällt dann etwas grösser aus und das Abendmaximum verlagert

sich auf  $5\frac{1}{2}^h$  p. Die Gleichung dieses Barometerganges wäre:

$$0\cdot599 \sin (191^\circ + x) + 0\cdot145^\circ \sin (111^\circ + 2x).$$

Die Amplitude der täglichen Wärmeschwankung in der Luftschichte zwischen Montblanc und Sonnblick müsste dann  $1^\circ05$  sein, d. i. mehr als zweimal so gross als sie aus dem beobachteten Barometergang in 4800 *m* zu erschliessen ist, aber immer noch viel kleiner als die Registrirungen der Lufttemperatur auf dem Montblanc-Gipfel ergeben haben.

Unterdrückt man in der von Herrn Vallot mitgetheilten Curve des täglichen Barometerganges auf dem Montblanc das kleine secundäre Abendminimum durch freie Ergänzung der Curve, die sich auch ganz ungezwungen ergibt, so erhält man ein Maximum um  $6^h$  p. etwa mit der Ordinate  $+0\cdot50$  und ein Minimum um  $6\frac{1}{2}^h$  Morgens mit  $-0\cdot60$ . Diese Curve stellt aber keinen reellen Barometergang mehr vor, weil die doppelte tägliche Oscillation fast völlig aufgehoben erscheint, was ganz unnatürlich wäre.<sup>1</sup> Der vorhin eingeschlagene Weg zur Kenntniss der Bedingungen zu gelangen, unter denen auf dem Montblanc-Gipfel der tägliche Barometergang nur ein Maximum und ein Minimum haben würde, ist desshalb der richtigere.

Die Luftdruckregistrirungen auf dem Montblanc-Gipfel durch Herrn Vallot beweisen abermals, dass die tägliche Temperaturschwankung in den freien höheren Schichten der Atmosphäre viel kleiner ist, als man sie auf Grund der directen Beobachtungen annehmen müsste. Es scheint mir, dass die Luftdruckregistrirungen auf Berggipfeln gerade dadurch ein besonderes Interesse erlangen, dass sie uns gestatten, Schlüsse auf die tägliche Temperaturvariation in den freien atmosphärischen Luftschichten zu ziehen, die auf einem anderen Wege kaum zu erzielen wären. Um die Anwendbarkeit meiner Methode der Berechnung des täglichen Wärmeganges in der freien Atmosphäre aus dem täglichen Gange des Barometers auf Berggipfel zu zeigen, habe ich für einige Höhengschichten

---

<sup>1</sup> Die Gleichung dieser Curve ist:

$$0\cdot543 \sin (205^\circ + x) + 0\cdot048 \sin (128^\circ2 + 2x).$$

den täglichen Wärmegang aus dem Barometergang passend gewählter Gipfelstationen berechnet, wozu mir namentlich als Mittelglieder die bairischen Stationen besonders dienlich waren. Dieselben gestatten die Abnahme der Amplituden der täglichen Temperaturvariation mit der Höhe in der freien Atmosphäre aufs Deutlichste vor Augen zu führen. Ich halte die nachfolgenden Rechnungsergebnisse mehr nur als Proben für die Anwendbarkeit der Methode als für irgend definitive oder absolute Werthe. Um solche zu erhalten, müssten erstlich gleichzeitige Registrirungen verwendet werden, und dann müssten noch manche Fehlerquellen eliminirt werden, die den jetzigen Luftdruckregistrirungen auf Berggipfeln und deren Reductionen noch anhaften und die sich störend erweisen, wo, wie im vorliegenden Falle, äusserste Genauigkeit erforderlich erscheint.<sup>1</sup>

Die Berechnung des Temperaturganges in der verticalen Luftschichte zwischen zwei Stationen verschiedener Seehöhe aus dem bekannten täglichen Gange des Barometers an denselben wurde in folgender Weise geführt.

Z. B. München. Luftdruck 716·8, Temperatur 16·7, Seehöhe 526·4. Hohenpeissenberg. Luftdruck 678·4, Temperatur 14·9, Seehöhe 993·9.  $\Delta h = 467·5$ ;  $678·4 : 716·8 = 0·946$ ; Factor zur Reduction der Druckschwankungen auf Temperaturschwankung in der zwischenliegenden Luftschichte, d. i. der Quotient.  $R T^2 : b \Delta h = 7·44$  (wobei  $T_0$ , um der Luftfeuchtigkeit Rechnung zu tragen  $= 263^\circ$  oder  $\alpha = 0·0038$  und  $R$  dementsprechend  $= 30·37$  gesetzt wurde; bei Temperaturen unter Null wurde  $T = 273$  und  $R = 29·3$  gesetzt).

Bezeichnet man ferner, wie schon früher, die Coëfficienten der harmonischen Reihen mit  $p_1 q_1$ ;  $p_2 q_2$ , so steht die Rechnung wie folgt:

---

<sup>1</sup> Wenn Herr Richard seinen registirenden Aneroiden (grosses Modell) eine Temperaturregistrirung (auf demselben Papierblatte) begeben würde, was leicht ausführbar wäre und den Preis der Instrumente nur wenig erhöhen dürfte, so würde der tägliche Gang des Luftdruckes mittelst derselben mit viel grösserer Sicherheit abgeleitet werden können.

## Täglicher Gang des Barometers (Sommer 1892).

	$P_1$	$q_1$	$q_2$	$P_2$
<i>A</i> München . . . . .	+0·090	+0·334	+0·179	—0·227
<i>Ar</i> red. auf Peissenb. +0·085	+0·085	+0·316	+0·169	—0·215
<i>B</i> Peissenb. (beob.) . +0·070	+0·070	+0·094	+0·182	—0·173
<i>B—Ar</i> (thermische Druckschwankung) —0·015	—0·015	—0·222	+0·013	+0·042

Gleichung der thermischen Druckschwankung somit:

$$0\cdot222 \sin (183\cdot9+x) + 0\cdot044 \sin (17\cdot2+x).$$

Daraus folgt durch Multiplication der Coëfficienten mit 7·44 als Gleichung der täglichen Temperaturvariation in der Luftschichte zwischen München und Hohenpeissenberg:

$$1\cdot66 \sin (183\cdot9+x) + 0\cdot33 \sin (17\cdot2+2x).$$

In analoger Weise wurden auch die nachfolgenden Gleichungen des täglichen Wärmeganges erhalten. Jene für das Höhenintervall Paris—Eiffelthurm ist aus den Beobachtungen im Sommer 1890 abgeleitet worden. Als beiläufige mittlere Seehöhe der Luftschichte, für welche die angegebene tägliche Temperaturvariation gilt, ist die mittlere relative Höhe (über dem Erdboden) derselben eingestellt. Z. B. Peissenberg hat circa 470 *m* relative Höhe, Wendelstein 1200 *m*; die Luftschichte zwischen den Stationen hat demnach circa 840 *m* relative Höhe; München—Peissenberg 240 *m* etc.

Stationspaare	Relative Höhe der Luftschichte	Gleichung des täglichen Wärmeganges in derselben im Sommer
Paris—Eiffelthurm . . . . .	140 <i>m</i>	$2\cdot16 \sin (207^\circ + x) + 0\cdot45 \sin (54 + 2x)$
München—Peissenberg . .	240	$1\cdot66 \sin (184 + x) + 0\cdot33 \sin (17 + 2x)$
München—Wendelstein <sup>1</sup> .	630	$1\cdot10 \sin (197 + x) + 0\cdot18 \sin (13 + 2x)$
Peissenberg—Hirschberg.	730	$1\cdot06 \sin (166 + x) + 0\cdot31 \sin (243 + 2x)$
Peissenberg—Wendelst. .	840	$0\cdot87 \sin (192 + x) + 0\cdot01 \sin (270 + 2x)$
Schafberg <sup>2</sup> —Sonnblick . .	2000	$0\cdot72 \sin (174 + x) + 0\cdot12 \sin (18 + 2x)$
Säntis—Montblanc . . . . .	3200	$0\cdot52 \sin (204 + x) + 0\cdot19 \sin (5 + 2x)$

<sup>1</sup> München, Salzburg, als untere Station genommen und verglichen mit Wendelstein Schafberg.

<sup>2</sup> Mittel aus Schafberg und Obir.



Ich habe auch versucht, die mittlere Temperaturvariation in der ganzen Luftschichte zwischen dem Montblanc-Gipfel und der Erdoberfläche zu berechnen. Als untere Stationen nahm ich Genf einerseits, Mailand und Turin anderseits.<sup>1</sup> Auf diese Weise erhielt ich folgenden täglichen Temperaturgang in der circa 4400 *m* mächtigen Luftschichte:

$$0^{\circ}98 \sin (203^{\circ} + x) + 0^{\circ}17 \sin (15^{\circ} + 2x).$$

Das Resultat stimmt sehr gut mit dem partiell berechneten täglichen Wärmegang in den einzelnen Höhenstufen.<sup>2</sup>

Die Amplitude der aus dem täglichen Barometergang auf den Gipfelstationen von verschiedener Seehöhe berechneten täglichen Temperaturvariation nimmt demnach mit der Höhe ziemlich regelmässig ab, wie es sein muss, wenn dem Rechnungsergebnisse eine reelle Bedeutung zugesprochen werden soll.

Die Winkelconstante des ersten massgebenden Gliedes ist im Mittel der ersten drei Stationen  $196^{\circ}$ , im Mittel der drei letzten  $190^{\circ}$ , also so gut wie übereinstimmend für alle See-

<sup>1</sup> Der tägliche Barometergang im Mittel dieser Stationen ist:

$$0^{\circ}45 \sin (357^{\circ} + x) + 0^{\circ}33 \sin (144^{\circ}4 + 2x)$$

<sup>2</sup> Das seitliche Ausweichen der Luft bei der thermischen Ausdehnung der Luft in den Thälern kann bewirken, dass auf den umgebenden Berghöhen die Drucksteigerung am Nachmittage nicht mit dem vollen Betrage, d. i. der Temperaturamplitude entsprechend, zur Geltung kommt. Der mögliche Maximal-effect dieser Abstumpfung der täglichen thermischen Druckvariation auf den Berggipfeln lässt sich aber leicht beurtheilen aus der abnormen Amplitude der einmaligen täglichen Barometerschwankung in den Thälern unten. Nehmen wir z. B. an, dieselbe betrüge zu Chamonix und Courmayeur 1.0 *mm* statt 0.45 *mm* wie draussen im Vorlande der Alpen. Die Differenz 0.55 *mm* kommt auf Rechnung des seitlichen Abfliessens der Luft gegen die geneigten Bergabhänge. Für den Montblanc-Gipfel könnte dies eine Verringerung der thermischen Druckschwankung um 0.32 bewirken und die Amplitude derselben könnte deshalb, wenn der Montblanc auf einer freien Ebene liegen würde, 0.75 statt wie jetzt 0.43 betragen. Hätten wir oben Chamonix und Courmayeur als untere Stationen gewählt, so würden wir die Temperaturamplitude 1.73 statt 0.98 gefunden haben, unter der gegebenen Voraussetzung. Auf die Berechnung der Temperaturamplituden in den Luftschichten zwischen Gipfelstationen hat diese Bemerkung keine Geltung.

höhen.<sup>1</sup> Nehmen wir  $195^{\circ}$  rund im Mittel, so würde in den freien Luftschichten der Hauptsache nach (im Sommer) das Temperatur-Minimum um 5<sup>h</sup> Morgens und das Maximum um 5<sup>h</sup> Abends eintreten, was durchaus nicht unwahrscheinlich ist. Die Winkelconstante des zweiten Gliedes liegt, wie bei dem Temperaturgang an der Erdoberfläche, im ersten Quadranten. Man erhält also aus den Unterschieden des täglichen Barometerganges an den Gipfelstationen verschiedener Seehöhe einen täglichen Temperaturgang, welcher grosse Wahrscheinlichkeit für sich hat.

Theoretisch besteht kein Zweifel darüber, dass so lange man die barometrische Höhenformel anwenden darf, man auch aus den Druckunterschieden in den verschiedenen Niveaux die Temperatur der zwischen liegenden Luftschichte berechnen kann. Da zur Ableitung der Temperaturvariationen in denselben die Kenntniss der Barometercorrectionen und die genaue Seehöhe der Stationen nicht erforderlich ist, so kann selbe mit grosser Genauigkeit erfolgen, wenn die Registrirbarometer die Druckvariationen genau liefern. Da auf den täglichen Gang des Wasserdampfgehaltes der Luft nur angenähert Rücksicht genommen werden konnte, so kann derselbe noch einigen Einfluss auf die obigen Rechnungsergebnisse haben, der aber gewiss sehr geringfügig sein dürfte.

Wenn wir auch durch mancherlei Erfahrungen darauf vorbereitet sein müssen, dass die Amplituden der täglichen Temperaturvariation in der freien Atmosphäre viel kleiner sein werden, als sie sich aus den Beobachtungen an festen Stationen an der Erdoberfläche und auf Berggipfeln direct ergeben, so sind doch die überraschend kleinen täglichen Temperaturschwankungen, wie sie sich aus den Luftdruckschwankungen berechnen lassen, geeignet, stutzig zu machen und Bedenken gegen deren Richtigkeit einzuflössen.

Solche Bedenken hat jüngst Herr A. Angot geäussert in einer kurzen Discussion jener Registrirungen des Luft-

---

<sup>1</sup> Peissenberg—Hirschberg bleibt am besten unberücksichtigt, da Hirschberg Eigenthümlichkeiten zeigt, wie sie vielleicht nur den Stationen an Bergabhängen zukommen.

druckes auf dem Montblanc-Gipfel, die wir vorhin auch benutzt haben.<sup>1</sup>

Aus den dreistündigen Temperaturbeobachtungen auf dem Montblanc, zu Bern, Genf und Lyon leitet er für die tägliche Temperaturvariation in der zwischenliegenden Luftschichte die Gleichung ab:

$$\Delta T = 3^{\circ}11 \sin (230^{\circ} + x) + 0^{\circ}32 \sin (69^{\circ} + 2x).$$

Daraus ergibt sich, wie er bemerkt, als Luftdruckvariation auf dem Montblanc-Gipfel:

$$2^{\circ}55 \sin (230^{\circ} + x) + 0^{\circ}26 \sin (69^{\circ} + 2x).$$

Die wirklich beobachtete Druckvariation bleibt nun, wie wir bereits wissen, weit hinter dieser berechneten Variation zurück, was wir eben dadurch erklären, dass die beobachteten täglichen Temperaturvariationen viel zu gross sind.<sup>2</sup> Herr Angot glaubt das nicht gelten lassen zu dürfen, indem er das arithmetische Mittel der unten und oben beobachteten Temperaturvariation für die zwischenliegende Luftschicht als giltig annehmen zu müssen vermeint.

<sup>1</sup> Sur la variation diurne de la pression au sommet du mont Blanc. Comptes rendus. 11. déc. 1893. Tome CXVII, p. 847.

<sup>2</sup> Ein, soweit man den directen Beobachtungen folgen darf, genauerer Ausdruck für die tägliche Temperaturvariation zwischen Montblanc-Gipfel und dem Niveau von Genf wäre folgender:

Täglicher Temperaturgang:

	$p_1$	$q_1$	$p_2$	$q_2$
Genf 407 <i>m</i> .....	—3·88	—3·31	+0·57	+0·01
Chamonix—Grands Mulets				
2020 <i>m</i> .....	—4·05	—1·93	+1·06	+0·18
Montblanc 4807 <i>m</i> .....	—1·78	—0·44	+0·40	+0·02
Mittel .....	—3·24	—1·89	+0·68	+0·07

Daraus folgt als Gleichung des täglichen Wärmeganges in der Luftschichte von 4400 *m* Mächtigkeit

$$\Delta T = 3^{\circ}75 \sin (239^{\circ}8 + x) + 0^{\circ}68 \sin (84^{\circ}1 + 2x),$$

welche natürlich eine noch grössere Druckvariation auf dem Montblanc ergeben würde.

Um aber dem Widerspruch mit den daraus folgenden grossen Druckvariationen auf den Berggipfeln zu begegnen, glaubt Herr Angot annehmen zu können, dass in Folge der Erwärmung Luft seitlich abfliesst, wodurch dann die Druckvariationen auf den Bergen kleiner werden. Er sagt »Eine andere Erklärung der Widersprüche« (als die meine) »zwischen Rechnung und Beobachtung scheint einfacher. Man hat für die Rechnung angenommen, dass die Luft wie in einem verticalen Cylinder sich ausdehnt, ohne seitliche Bewegung. Aber in der Masse, als die Luft sich in einer Gegend ausdehnt, fliesst sie wahrscheinlich seitlich nach minder erwärmten Gegenden ab, so dass nicht die ganze Luftmasse emporsteigt, die in Rechnung gestellt wird; der wirkliche Effect wird daher auch nur ein Bruchtheil des berechneten Effectes sein.«

Auf den ersten Eindruck hin könnte Manchem diese Erklärung zureichend scheinen, darum ist es wohl nöthig, darauf aufmerksam zu machen, dass sie physikalisch nicht haltbar ist und auf einem Übersehen oder auf einem Missverständniss beruht. Ob Luft horizontal zufliesst oder abfliesst hat auf die Giltigkeit meiner Berechnungen der Temperaturvariationen aus den Druckvariationen keinen Einfluss. Wenn durch ein Abfliessen der Luft der Druck unten (Barometerstand  $B$ ) um  $\Delta B$  sinkt, so sinkt er auch oben (Barometerstand  $b$ ) um  $\Delta B \times (b:B)$  und die Druckdifferenz beider Stationen bleibt wie früher nur eine Function der Temperatur (und des Wasserdampfgehaltes) der zwischenliegenden Luftschichte. Durch ein Abfliessen der erwärmten Luft kann man demnach die aus der Rechnung sich ergebenden kleinen Temperaturamplituden nicht erklären.

Übrigens ist ein solches tägliches periodisches Abfliessen und Zufliesen der Luft in der Masse, dass dadurch tägliche Druckschwankungen von  $4\text{ mm}$  in  $4800\text{ m}$  Seehöhe entstehen, respective unterdrückt werden, im höchsten Grade unwahrscheinlich und widerspricht allen Beobachtungen. Man müsste ja doch an den Orten, wohin die Luft abfliesst, eine entsprechend grosse Druckzunahme am Nachmittage (bis zu  $3\frac{1}{2}\text{ mm}$ ) beobachten können in Form einer totalen Umkehrung des täglichen Barometerganges. Davon ist aber nirgend wo etwas zu bemerken.

Man kann leicht berechnen, welchen Effect das von Herrn Angot angenommene tägliche Abfließen der Luft (am Nachmittage und Wiederzuströmen bei Nacht) in der Umgebung des Montblanc auf den täglichen Barometergang zu Genf haben müsste.

Die von Herrn Angot aufgestellte tägliche Barometervariation auf dem Montblanc-Gipfel ergibt:

	$p_1$	$q_1$	$p_2$	$q_2$
Thermische Druckschwankung auf dem Montblanc .....	—1·954	—1·639	+0·243	+0·093
Beobachtete Druckschwankung...	—0·267	—0·336	+0·150	—0·020
Differenz .....	—1·687	—1·303	+0·093	+0·113
Reducirt auf Genf (728 : 426).....	—2·879	—2·224	+0·159	+0·193

Der Ausdruck für die periodische tägliche Abnahme und Zunahme des Druckes, welche nöthig wäre, um die durch die beobachteten täglichen Temperaturamplituden hervorgerufenen Druckschwankungen auf dem Montblanc-Gipfel bis zu der beobachteten Grösse herabzumindern, wäre demnach:

Tägliche Druckschwankung in Genf in Folge des vorausgesetzten periodischen Abfließens und Zuströmens der Luft

$$3\cdot64 \sin (232\cdot3 + x) + 0\cdot25 \sin (39\cdot5 + 2x).$$

Es würde also in Genf eine tägliche Druckvariation von mindestens 7 *mm* nöthig sein, um die Druckschwankungen auf dem Montblanc-Gipfel auf die beobachtete Amplitude herabzudrücken, wenn die tägliche Variation der Lufttemperatur in der That dem arithmetischen Mittel der unten und oben beobachteten Temperaturvariation gleich wäre.

Durch die Annahme eines periodischen Abströmens und Zufließens der Luft kann man desshalb die beobachteten geringen thermischen Druckschwankungen auf den Berggipfeln nicht verträglich machen mit den beobachteten Temperaturschwankungen, wenn man selbe für die freie Atmosphäre gelten lassen will. Dass die von mir für letztere berechneten Temperaturvariationen nicht völlig richtig sein werden, gebe ich gerne zu und habe auch schon auf eine der Ursachen hin-

gewiesen,<sup>1</sup> welche die täglichen Druckvariationen auf Berggipfeln von jenen der freien Atmosphäre etwas abweichend gestalten mögen.

Nur Stationen wie jene auf dem Eiffelthurm sind von jedem derartigen Einwurfe frei, denn die von Herrn Teisserenc de Bort angenommenen dynamischen Druckschwankungen scheinen mir, wenigstens in dem angenommenen Betrage, vorläufig noch höchst unwahrscheinlich zu sein. Sollte die tägliche Windperiode in Folge der saugenden Wirkung des Windes auf den täglichen Barometergang einen merklichen Einfluss haben, so würde derselbe, da ja das Maximum der Windstärke in der Höhe auf die Nachtstunden fällt, dem Sinne nach mit der thermischen Druckschwankung übereinstimmen, sich zu selber addiren und die aus dem Luftdrucke berechneten Temperaturamplituden noch vergrößern, statt sie zu verkleinern. Und doch weist selbst auf dem Eiffelthurm die tägliche Barometerschwankung auf eine tägliche Temperaturamplitude der unterhalb liegenden Luftschichte von kaum  $2^{\circ}2$  hin, während selbe nach den Thermometerständen unten und oben  $3^{\circ}3$  sein würde.<sup>2</sup>

Die Ergebnisse der Luftdruckregistrirungen auf dem Montblanc-Gipfel stehen also in vollkommener Übereinstimmung mit jenen auf anderen Gipfelstationen und auch jenen auf dem Eiffelthurm, indem sie dafür sprechen, dass in den höheren Schichten der freien Atmosphäre die tägliche Wärmeschwankung viel kleiner ist, als die directen Temperaturmessungen sie zu ergeben scheinen.

<sup>1</sup> Weitere Untersuchungen über die tägliche Oscillation des Barometers. Denkschriften Bd. LIX.

<sup>2</sup> Täglicher Temperaturgang zwischen Eiffelthurm und Paris ( $\Delta h$  279 m):

Beobachtet . . . . .  $3.34 \sin (229^{\circ} + x) + 0.37 \sin (66^{\circ} + 2x)$

Aus der Druckschwankung berechnet  $2.16 \sin (207^{\circ} + x) + 0.45 \sin (54^{\circ} + 2x)$

# Über eine Beziehung zwischen der elektromotorischen Kraft des Daniell-Elementes und dem Verhältnisse des Salzgehaltes seiner Lösungen

von

**Franz Streintz.**

Aus dem physikalischen Institute der k. k. Universität in Graz.

Die beiden Salzlösungen im Daniell-Elemente beeinflussen dasselbe bekanntlich in einer Weise, dass die Vergrößerung der Concentration des  $\text{ZnSO}_4$  mit einer Abnahme, die des  $\text{CuSO}_4$  hingegen mit einer Zunahme der elektromotorischen Kraft verbunden ist. In den einschlägigen Arbeiten von Kittler<sup>1</sup> und G. Meyer<sup>2</sup> sind die Concentrationen der Lösungen aus ihren specifischen Gewichten oder nach Gewichtsprocenten bestimmt worden.

Mit Rücksicht auf den Entwicklungsgang der Elektrochemie erscheint es von Bedeutung, die Lösungen so herzustellen, dass sie in molecular einfachen Verhältnissen stehen. Derartige Versuche an Elementen, welche aus zwei Metallen in den entsprechenden Salzlösungen bestanden, sind von A. Wright und C. Thompson<sup>3</sup> angestellt worden; das Daniell-Element war mit äquimolecularen Lösungen von Zink- und Kupfersulfat nach dem Schema  $m\text{MSO}_4 \cdot 100\text{H}_2\text{O}$  beschickt worden;

<sup>1</sup> Kittler, Wied. Ann., 17. S. 894, 1882.

<sup>2</sup> G. Meyer, Wied. Ann., 33, S. 277, 1888.

<sup>3</sup> A. Wright und C. Thompson, Phil. Mag., V, S. 19, p. 17 und 209, 1885.

dabei wurde  $m$  innerhalb der Grenzen von 0·1 bis 2·25 verändert. Es ergab sich eine von  $m$  unabhängige elektromotorische Kraft von 1·114 Volt. Löst man also je ein Gramm-Molekül der beiden wasserfreien Salze in gleichen Mengen Wasser auf, so bleibt die elektromotorische Kraft constant, wenn die Verdünnung von 0·8 l bis 18 l fortschreitet.

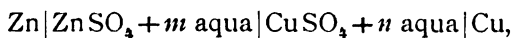
Zweck der vorliegenden Mittheilung ist der Nachweis, dass dieser Satz in weitem Umfange besteht und nicht nur für äquimoleculare Lösungen gilt, sondern auch dann, wenn das Verhältniss des Salzgehaltes derselben einen beliebigen constanten Werth besitzt.

Das Element bestand aus einem kleinen Becherglase, welches einen Kupferstreifen und eine Thonzelle enthielt; in die letztere wurde ein Stäbchen von amalgamirtem Zink gesenkt. Durch Auflösen eines Gramm-Moleküls  $\text{ZnSO}_4$ , beziehungsweise  $\text{CuSO}_4$  in je einem Liter Wasser, die Krystallwasser eingerechnet, wurden zweifach normale Lösungen hergestellt, welche beliebigen Verdünnungen unterworfen werden konnten. Die Salze waren als chemisch rein bezogen.

Zu den Messungen diente ein tadellos functionirendes Quadrantenelektrometer. Es wurden regelmässig die ersten Ausschläge nach beiden Seiten der Ruhelage beobachtet. Ein Normal-Clark-Element rief einen solchen von 160  $mm$  an einer über 300  $cm$  vom Spiegel des Instrumentes entfernt aufgestellten Scala hervor. Zehntel eines Millimeters konnten noch mit Sicherheit geschätzt werden.

Selbstverständlich wurde auf das Reinigen der verwendeten Gefässe und der Metalle besondere Aufmerksamkeit gerichtet; zudem gebrauchte man die Vorsicht, das Element mit den neuen Lösungen gefüllt durch einige Minuten zunächst sich selbst zu überlassen, dann jene abzuhebern und durch gleichartige zu ersetzen. Dann erst wurden die Bestimmungen vorgenommen.

Bezeichnet man die Combination durch



wobei  $m$  und  $n$  in Litern ausgedrückt werden, so ergeben sich nachstehende Resultate:



1.  $\frac{m}{n} = 1$ . (Äquimoleculare Lösungen.)

$m$	$E_1$	$m$	$E_1$
1	1·114 V.	16	1·114 V.
2	1·114	32	1·114
4	1·113	64	1·112
8	1·114	128	1·107
		256	1·099

Die Zahlen stehen in vollständiger Übereinstimmung mit den Beobachtungen von Wright und Thompson. Innerhalb des Intervalles von  $m = 1$  bis 64 ist E. K. vollkommen constant und ergibt einen Mittelwerth  $E_1 = 1·1136$  V. Über diese Verdünnungsgrenze hinaus nimmt  $E_1$  ab.

2.  $\frac{m}{n} = 2$ .

$n$	$E_2$	$n$	$E_2$
8	1·107 V.	64	1·108 V.
16	1·106	128	1·105
32	1·105	256	1·105
	1·107		

Eine Veränderung der elektromotorischen Kraft ist hier auch bei grossen Verdünnungen nicht aufgetreten. Der Mittelwerth  $E_2$  beträgt 1·1061 V.

3.  $\frac{m}{n} = 8$ .

$n$	$E_8$	$n$	$E_8$
8	1·099 V.	64	1·098 V.
16	1·098	128	1·099
32	1·097	256	1·101

Für  $n = 8$  bis 128 ist im Mittel  $E_8 = 1·0982$  V.

4.  $\frac{m}{n} = 32$ .

$n$	$E_{32}$	$n$	$E_{32}$
32	1·092 V.	256	1·093
64	1·091	512	1·095
128	1·091		

Mittel für  $n = 32$  bis 256,  $E_{32} = 1.0917$  V.

Es sei hervorgehoben, dass die Werthe für  $E$  bei grossen Verdünnungen des Kupfervitriols sich einem Grenzwerthe nähern, welcher bei 1.100 V. gelegen ist.

Bei den unter 2., 3. und 4. mitgetheilten Beobachtungen stand einer concentrirteren Zinklösung eine verdünntere Kupferlösung gegenüber. Verfährt man in entgegengesetzter Weise, so ergibt sich:

$$5. \quad \frac{m}{n} = \frac{1}{2}.$$

$m$	$E_{1/2}$	$m$	$E_{1/2}$
2	1.119 V.	32	1.120 V.
4	1.119	64	1.118
8	1.120	128	1.100
16	1.120		

Mittel  $E_{1/2} = 1.1193$  von  $m = 2$  bis 64.

$$6. \quad \frac{m}{n} = \frac{1}{8}.$$

$m$	$E_{1/8}$	$m$	$E_{1/8}$
8	1.129 V.	64	1.125 V.
16	1.128	128	1.124
32	1.124	256	1.115

Mittel  $E_{1/8} = 1.1260$  V. für  $m = 8$  bis  $m = 128$ .

$$7. \quad \frac{m}{n} = \frac{1}{32}.$$

$m$	$E_{1/32}$	$m$	$E_{1/32}$
32	1.143 V.	128	1.136 V.
64	1.141	256	1.130

Mittel  $E_{1/32} = 1.1425$  V. für  $m = 32$  und  $m = 64$ .

Aus den mitgetheilten Zahlen folgt:

Die elektromotorische Kraft des Daniell-Elementes hängt nur von dem Verhältnisse des Salzgehaltes seiner Lösungen ab; sie ist mithin unabhängig von der Stärke der Einzelconcentrationen.

Nach F. Kohlrausch<sup>1</sup> besitzt das moleculare Leitungsvermögen der beiden Salzlösungen in der gleichen beliebigen Verdünnung fast denselben Werth. Der von Arrhenius<sup>2</sup> eingeführte Activitätscoëfficient ist somit für beide Sulfate von gleicher Grösse, und weiters haben die Zink- und Kupferjonen dieselbe Wanderungszahl. Für die elektromotorische Kraft eines Elementes, dessen Metalle zweiwerthig sind und dessen Lösungen die bezeichneten Bedingungen erfüllen, hat Nernst<sup>3</sup> die Gleichung abgeleitet:

$$E = \frac{p_0}{2} \left( \log \frac{P_1 p_2}{P_2 p_1} + \frac{u-v}{u+v} \log \frac{p_1}{p_2} \right) + A.$$

Darin bedeuten  $P_1$  und  $P_2$  die elektrolytischen Lösungstensionen der Metalle Zn und Cu,  $p_1$  und  $p_2$  die Diffusionstensionen (osmotischen Drucke) der entsprechenden Salzlösungen; ferner stellt  $u$  die gemeinsame Beweglichkeit der Cu- und Zn-Jonen und  $v$  diejenige des gemeinsamen Jons  $\text{SO}_4$  der beiden Lösungen dar. Endlich bezeichnet  $p_0$  die elektrolytische Gasconstante multiplicirt mit der absoluten Temperatur, bei welcher  $E$  beobachtet wurde, und  $A$  eine etwaige bei Berührung der Elektroden hervorgerufene Potentialdifferenz.

Das Verhältniss der Diffusionsdrucke  $\frac{p_1}{p_2}$  entspricht der Zahl  $\frac{m}{n}$  in den vorliegenden Beobachtungen; die Unabhängigkeit der elektromotorischen Kraft des Daniell-Elementes von der Stärke der Einzelconcentrationen seiner Lösungen ergibt sich daher als eine erste Consequenz der Nernst'schen Theorie.

Die für die verschiedenen  $\frac{m}{n}$  gefundenen Werthe von  $E$  lassen sich jedoch auch unter einander in Beziehung bringen durch eine Gleichung

$$E = A - B \log \left( \frac{m}{n} \right).$$

<sup>1</sup> F. Kohlrausch, Wied. Ann., 26, S. 196, 1885.

<sup>2</sup> Arrhenius, Ostw. Zeitschr., 1, S. 633, 1887.

<sup>3</sup> Nernst, Ostw. Zeitschr., 4, S. 179, 1889.

Die Rechnung ergibt für den Coëfficienten  $A$  den Werth 1·1139 V., für  $B = 0·0177$  V. Der Grad der Übereinstimmung zwischen den beobachteten und den berechneten Werthen wird aus nachstehender Tabelle ersichtlich:

$\frac{m}{n}$	$E$ beob.	$E$ ber.	$\Delta$
$\frac{m}{n} = 1$	1·1136 V.	1·1139 V.	—0·0003
2	1·1061	1·1086	—0·0025
8	1·0982	1·0979	+0·0003
32	1·0917	1·0873	+0·0044
$\frac{1}{2}$	1·1193	1·1192	+0·0001
$\frac{1}{8}$	1·1260	1·1299	—0·0039
$\frac{1}{32}$	1·1425	1·1405	+0·0020

Für zwei Einzelbestimmungen, bei welchen  $\frac{m}{n}$  die Werthe 4, beziehungsweise  $\frac{1}{4}$  besass, ergaben sich:

$\frac{m}{n}$	$E$ beob.	$E$ ber.	$\Delta$
4	1·1050 V.	1·1032 V.	+0·0018
$\frac{1}{4}$	1·1257	1·1246	+0·0011

Man überzeugt sich nun leicht, dass den beiden Coëfficienten  $A$  und  $B$  nach Nernst folgende Bedeutung zukommen muss:

$$A = \frac{p_0}{2} \cdot \log n \frac{P_1}{P_2} + A, \quad B = p_0 \frac{u}{u+v} \cdot \frac{1}{\log e}.$$

Für  $p_0$  ist  $0·860 \cdot T \cdot 10^{-4}$  einzusetzen; da die Beobachtungen von  $E$  bei  $18^\circ$  C. erfolgten, ergibt sich  $p_0$  zu 0·0250. Die gemeinsame Wanderungszahl für die Zn- und Cu-Jonen,  $\frac{u}{u+v}$ , wurde von Hittorf zu 0·360 bestimmt. Daraus folgt

$$B = 0·0207 \text{ V.}$$

Mit Rücksicht auf die mannigfachen Schwierigkeiten, welche sich aus der Natur der Theorie<sup>1</sup> ergeben, weiters mit Rücksicht auf die Thatsache, dass der Grad der Dissociation bei den angewendeten Lösungen ein mässiger ist, wird man die Übereinstimmung mit dem durch den Versuch gefundenen Werth  $B = 0.0177$  als genügend bezeichnen können.

---

<sup>1</sup> Vergl. Nernst, a. a. O., 144, 145.

### III. SITZUNG VOM 18. JÄNNER 1894.

---

Der Secretär legt das erschienene Heft VIII (October 1893) des 102. Bandes der Abtheilung II. a. der Sitzungsberichte vor.

Das k. k. Ackerbau-Ministerium übermittelt ein Exemplar des von demselben veröffentlichten Werkes: »Geologisch-bergmännische Karten mit Profilen von Idria nebst Bildern von den Quecksilber-Lagerstätten in Idria.«

Herr Prof. Dr. R. v. Wettstein übersendet eine im botanischen Institute der k. k. deutschen Universität Prag ausgeführte Arbeit von Dr. Friedrich Czapek, betitelt: »Zur Kenntniss des Milchsafsystems der Convolvulaceen«.

Herr Dr. Stanislaus Klemensiewicz, Professor am k. k. Gymnasium in Rzeszow, übersendet eine Abhandlung: »Beiträge zur geographischen Verbreitung der Schmetterlinge in Galizien.«

Das w. M. Herr Hofrath Prof. C. Claus überreicht eine Abhandlung des Herrn Carl Grafen Attems in Wien, betitelt: »Die Copulationsfüsse der Polydesmiden.«

Ferner überreicht Herr Hofrath Claus eine Arbeit des Herrn A. König in Wien, unter dem Titel: »*Hemispeiropsis comatulae*, eine neue Gattung der Urceolariden.«

Das c. M. Herr Oberst A. v. Obermayer überreicht den Bericht über die im vorigen Jahre in Gemeinschaft mit Herrn Hauptmann A. Schindler im Auftrage der kaiserl. Akademie ausgeführte »Trigonometrische Höhenbestimmung des hohen Sonnblick, in der Goldberggruppe der hohen Tauern«.

Das c. M. Herr Prof. L. Gegenbauer überreicht eine Mittheilung des Herrn Prof. Dr. E. Kobald in Leoben über eine »Verallgemeinerung eines Appel'schen Satzes aus der Theorie der Wärmeleitung«.

Das c. M. Herr Prof. K. Grobben in Wien überreicht eine Abhandlung: »Zur Kenntniss der Morphologie, der Verwandtschaftsverhältnisse und des Systems der Mollusken.«

Herr Prof. Dr. Ed. Lippmann in Wien überreicht eine Abhandlung: »Über ein isomeres Jodmethyl-Brucin.«

Herr Dr. Gustav Jäger in Wien überreicht eine Abhandlung: »Über die Beziehung zwischen Helligkeit und Eigenbewegung der Fixsterne«.

---

# Die trigonometrische Höhenbestimmung des Hohen Sonnblicks in der Goldberggruppe der Hohen Tauern

von

Oberst **A. v. Obermayer**,

c. M. k. Akad.

und

Hauptmann **Anton Schindler**.

Da der Sonnblickgipfel kein Hauptpunkt des Triangulierungsnetzes ist, so liegt auch keine hinreichend genaue Bestimmung seiner Höhe auf trigonometrischem Wege vor.

Die Höhenangaben differiren sehr erheblich. In der vom k. und k. Militärgeographischen Institute herausgegebenen Original-Aufnahme section im Massstabe 1:25.000 vom Jahre 1871 findet sich für den Sonnblick die Höhengöte 3090 *m*; in der Specialkarte im Massstabe 1:750.000 die Höhengöte 3103 *m* angegeben.

Bei der Unsicherheit, welche den umliegenden von der trigonometrischen Triangulierung des Katasters aus den Dreissiger Jahren dieses Jahrhunderts herrührenden Punkten anhaftet, sind solche abweichende Angaben nicht zu verwundern.

Durch den Bestand des Observatoriums auf dem Sonnblick wurde es Herrn Hofrath Hann möglich (1891),<sup>1</sup> aus correspondirenden, corrigirten Luftdruckmitteln nach der barohypsometrischen Formel, aus den Beobachtungen der vier Jahrgänge 1887—1890 die Höhe des Sonnblickgipfels zu berechnen.

---

<sup>1</sup> Diese Sitzungsber., Bd. C, April 1891, S. 451.



Es wurden so aus den unten angeführten Vergleichsstationen, von denen Ischl—Lienz an das Präcisionsnivelement angeschlossen sind, gefunden:

Vergleichsstation	Seehöhe	Höhendifferenz	Sonnblickgipfel
Schafberggipfel . . . . .	1776·1	1327·0	3103·1
Obir . . . . .	2044	1064·7	3108·7
Säntis . . . . .	2464	645·5	3109·9
Ischl—Lienz . . . . .	573·2	2531·2	3104·4

Wird aus den so berechneten Höhen des Sonnblickgipfels das Mittel genommen, so ergibt sich für diese Höhe:

$$3106·5 \pm 1·6 \text{ m}$$

bis zum Gefäss des in der Gelehrtenstube aufgehängenen Fortin'schen Barometers. Dasselbe dürfte sich nach ungefährer Schätzung 60 *cm* über dem äusseren Boden befinden.

Bei der Bedeutung, welche der genauen Kenntniss der Höhe des Sonnblicks zukommt, hat die kaiserliche Akademie der Wissenschaften Einen von uns aufgefordert, eine trigonometrische Höhenbestimmung auszuführen.

Überdies wurden vom Sonnblick-Verein die Kosten des Transportes der Instrumente, der Führer etc. mit einem Betrage von circa 60 fl. bestritten.

Zu dem Zwecke der soliden Aufstellung der Instrumente wurde Peter Lechner der Auftrag ertheilt, zwei Pfeiler in Stein in einer Höhe von etwa 1·1 *m* mit möglichst ebenen oberen Platten aufzumauern. Peter Lechner hat die Aufstellungsorte der Pfeiler so gut gewählt, dass dieselben nicht nur gegenseitig sichtbar sind, sondern auch jeder für sich die grösstmögliche Rundsicht gewähren. Allerdings hat dies eine Regulirung der Ostseite des Gipfels nöthig gemacht.

Die Kosten der Bauführung, die sich aus dem letzteren Grunde auf etwa 47 fl. stellten, hat auch der Sonnblick-Verein getragen und dadurch einem, bei wissenschaftlichen Specialuntersuchungen sehr fühlbaren Bedürfnisse Rechnung getragen.

Die Pfeiler, nach ihrer Lage Ost- und Westpfeiler genannt, sind auf ihren Platten, die gerade nicht sehr eben ausfielen,

mit eingemeisselten Kreuzen versehen und dadurch der Aufstellungsort der Instrumente bezeichnet worden.

Die Distanz zwischen den so festgelegten Mitten der Pfeiler wurde mittelst Latten gemessen und gleich  $36.81 \pm 0.02 m$  gefunden.

Der Höhenunterschied der Platten wurde allerdings nicht mit genügender Sicherheit gemessen. Die Platte des Westpfeilers dürfte nahe  $0.19 m$  höher sein, als jene des Ostpfeilers. Die Höhe der Platte des Westpfeilers über dem Erdboden ist  $1.14 m$ , jene der Platte des Ostpfeilers  $1.12 m$ .

Eine Beobachtungsreihe wurde anfangs Juli von uns beiden angestellt. Dieselbe umfasst die eben angeführten Messungen, die Bestimmung der Horizontalwinkel zwischen einer Reihe von Punkten und die Bestimmung der Höhenwinkel dieser Punkte. Das Wetter war um diese Zeit ziemlich veränderlich. Die ersten Tage waren zum Theil trüb und vergingen mit der Rectification des Instrumentes. Am 4. Juli Vormittag konnte gemessen werden. Am 5. Juli war es vollständig rein, am 6. Juli war Nebel, am 7. war es rein, am 8. theilweise rein, am 9. vollkommen rein, am 10. war Nebel, am 11. war es zum Theil rein, dann folgte ein Wetterumschlag.

Eine zweite Beobachtungsreihe wurde von Einem von uns, Hauptmann A. Schindler, in der Zeit vom 14. bis 17. September ausgeführt und dabei ausschliesslich Höhenwinkel gemessen. Das Wetter war um diese Zeit beständig.

Von den sichtbaren und bezeichneten Punkten haben wir in die Messung einbezogen: den Grossglockner mit Pyramide,  $3798.4 m$ ; den Unholden mit grossem Steinmandl auf dem einen Gipfel,  $2870 m$ ; das Böse Weibl mit Steinmandl,  $3110 m$ ; den Sandkopf mit Steinmandl und Stange,  $3084 m$ ; die Stanziwurtten mit Steinmandl und Stange,  $2704 m$ ; den Ziethenkopf mit schöner und hoher Pyramide,  $2484.8 m$ ; den Stellkopf mit Steinmandl,  $2846 m$ ; das Alteck mit charakteristischem Gipfel,  $2939 m$ ; den Ankogel mit charakteristischer Gipfelform,  $3262.7 m$ ; den Silberpfennig mit Steinmandl und vertikaler und schiefer, ausspreizender, weisser Latte,  $2597 m$ ; den Hochnarr mit Steinmandl und Stange,  $3258 m$ . Von allen diesen Punkten konnten wir aber bloss die vom k. u. k. Militär-

geographischen Institute bestimmten Punkte Grossglockner, Ziethenkopf und Ankogel der Rechnung zu Grunde legen. Die Coordinaten der übrigen, von der schon erwähnten Katastralvermessung herrührenden Punkte erwiesen sich so wenig in Übereinstimmung, dass wir die zahlreichen darauf bezüglichen Messungen unbenützt lassen mussten.

Zu den Messungen hatte uns das k. u. k. Militärgeographische Institut einen Theodolithen zur Landesvermessung von Starke & Kammerer (Nr. 250) zur Verfügung gestellt, welcher am Horizontalkreise und am Höhenkreise mittelst Mikroskopen mit Ocularmikrometern 2 Sekunden abzulesen gestattet. Beide Theilkreise sind mit Reibung drehbar, um verschiedene Stellen der Kreise zur Ablesung benützen zu können.

#### Die Bestimmung der Lage des Sonnblicks nach dem Pothenot'schen Verfahren.

Hiezu wurde, wie schon erwähnt, die aus den Triangulierungsarbeiten des Militärgeographischen Institutes folgenden Coordinaten von Grossglockner, Ankogl und Ziethenkopf benützt. Der Coordinatenanfangspunkt ist in der Nähe des Hochnarrs angenommen worden, die  $x$ -Axe läuft von W gegen E und die  $y$ -Axe von N nach S.

Diese Coordinaten sind:

	$x$	$y$
A Ankogl . . . . .	+23710·8	+ 3153·3
B Ziethenkopf. . . . .	+ 176·7	+30180·9
C Grossglockner. . . . .	—18371·7	+ 0·4

Denselben entsprechen die Dreieckseiten:

$$c = 35837 \cdot 77 \text{ m}, \quad a = 35424 \cdot 65 \text{ m}, \quad b = 42200 \cdot 50 \text{ m}$$

und die Winkel:

$$C = 54^\circ 8' 28 \cdot 0'', \quad A = 53^\circ 14' 13 \cdot 7'', \quad B = 72^\circ 37' 18 \cdot 3''.$$

Wird der Ostpfeiler mit  $E$ , der Westpfeiler mit  $W$  bezeichnet, so ergab die Messung folgende Mittelwerthe der Winkel bei einer Anzahl  $n$  Messungen:

$$\sphericalangle CWB = 94^{\circ} 25' 16.9'' \pm 0.73'' \quad n = 8$$

$$\sphericalangle AWB = 91 \quad 20 \quad 44.9 \pm 1.90 \quad n = 6$$

$$\sphericalangle CEB = 94^{\circ} 20' 34.0'' \pm 2.34'' \quad n = 6$$

$$\sphericalangle AEB = 91 \quad 25 \quad 37.9 \pm 2.17 \quad n = 8$$

Damit wurden folgende Abstände der Pfeiler von den Punkten berechnet:

Entfernung von	<i>E</i>	<i>W'</i>
<i>C</i> Grossglockner.....	20140.8 <i>m</i>	20104.6 <i>m</i>
<i>B</i> Ziethenkopf.....	22113.1	22149.2
<i>A</i> Ankogl.....	27656.7	27658.2

Hieraus folgen die Coordinaten der beiden Pfeiler:

	<i>x</i>	<i>y</i>
<i>E</i> .....	1605.6 <i>m</i>	2561.1 <i>m</i>
<i>W'</i> .....	1569.6	2557.7

Aus den Coordinaten ist es möglich, den Abstand der Pfeilermitten zu ermitteln. Dieser wird so gefunden: 36.1 *m*, was gegen die directe Messung um 0.7 *m* differirt und eine nützliche Controle der Messungen bietet.

Ein Fehler der gemessenen Winkel *CWB* und *AWB* z. B., um je 2 Secunden bringt eine Änderung in der Länge *WC*, *WB* und *WA* hervor, welche bloss in den Centimetern liegt, daher kaum in Betracht kommt.

### Die trigonometrische Höhenmessung.

Von den drei gewählten Fixpunkten ist insbesondere der Grossglockner durch den Herrn Oberstlieutenant H. Hartl des k. u. k. Militärgeographischen Institutes, mit Hilfe von Zwischenpunkten in kleinen Distanzen, an das Präcisionsnivellement im Pusterthale angeschlossen. Ebenso sind der Ziethenkopf und der Ankogl sorgfältig bestimmt worden. Die Höhen sind auf den Erdboden des Gipfels bezogen.

Grossglockner.....	3798.4 <i>m</i>
Ankogl.....	3262.7
Ziethenkopf.....	2484.8

Zur Höhenberechnung wurde die von Oberstlieutenant H. Hartl benützte Formel<sup>1</sup> verwendet, welche der Krümmung der Erde und dem Einflusse der Refraction Rechnung trägt. Dieselbe lautet:

$$U = S \cot z + S^2 q, \quad q = \frac{1-K}{2\rho}.$$

Darin sind:  $U$  die gesuchte Höhendifferenz in Metern zwischen dem Vergleichsgipfel und dem Mittelpunkte des Höhenkreises,  $S$  die Entfernung vom Vergleichsgipfel,  $z$  der Zenithwinkel,  $\rho$  der Erdhalbmesser.

Für  $K$  ist zu setzen:

$$K = 0.1470 - 0.00080 h,$$

worin  $h$  die beiläufige Höhendifferenz in Hectometern bedeutet. Ferner wurde genommen:

$$\log \frac{1}{2} \rho = 2.8942233 - 10.$$

Die Instrumentenhöhe beträgt beim Ostpfeiler 1.38 *m*, beim Westpfeiler 1.40 *m*. Der Mittelpunkt des Höhenkreises steht nahe 0.26 *m* über der Aufstellungsebene.

Wegen der Veränderlichkeit der Refraction wurden die Messungen der Höhenwinkel hauptsächlich um die Mittagszeit ausgeführt. Um aber doch den Einfluss der Refraction kennen zu lernen, haben wir auch in den Vormittagsstunden und am späten Nachmittage Messungen ausgeführt. Insbesondere die letzteren gaben auffallend abweichende Werthe.

In der folgenden Tabelle sind die gemessenen Höhenwinkel unter  $z$  angesetzt und dazu angeführt: das Datum, die Versuchszeit, die Anzahl  $n$  der Messungen, die Pfeilerbezeichnung und die Höhe  $H$  in Metern.

---

<sup>1</sup> Mittheilungen des k. und k. Militärgeographischen Institutes, Bd. IV, S. 173.

## Ankogel.

			<i>Z</i>	<i>n</i>	<i>H</i>
7. Juli	1 <sup>h</sup> 25—2 <sup>h</sup> 10	....	<i>E</i> 89° 40' 49·0'' ±0·67''	10	3105·37 ±0·10
7. »	2 12—2 25	....	<i>E</i> 89 40 50·1 ±1·47	8	3105·49 ±0·16
8. »	10 40—11 0	....	<i>W</i> 89 41 14·0 ±0·89	6	3107·53 ±0·10
8. »	12 50—1 10	....	<i>W</i> 89 40 59·4 ±2·22	7	3105·96 ±0·24
15. Sept.	10 50—11 30	....	<i>W</i> 89 40 51·6 ±2·12	5	3105·14 ±0·24
16. »	11 40—1 10	....	<i>W</i> 89 40 58·8 ±2·44	7	3105·93 ±0·25

Aus diesen 43 Beobachtungen ergibt sich:

$$H = 3106·09 \pm 0·21 \text{ m.}$$

## Ziethenkopf.

			<i>Z</i>	<i>n</i>	<i>H</i>
8. Juli	10 <sup>h</sup> 15—12 <sup>h</sup> 0	....	<i>W</i> 91° 24' 13·0'' ±5·4 ''	16	3110·24 ±0·73
8. »	12 20—12 40	...	<i>W</i> 91 24 52·1 ±0·83	5	3107·43 ±0·10
14. Sept.	9 30—3 30	....	<i>W</i> 91 24 13·2 ±0·13	10	3110·27 ±0·18
15. »	11 50—12 0	...	<i>W</i> 91 24 20·1 ±5·18	2	3111·21 ±0·77
16. »	10 0—12 31	....	<i>W</i> 91 24 9·5 ±7·20	5	3109·78 ±0·96
7. Juli	12 40—1 10	....	<i>E</i> 91 24 10·2 ±1·11	15	3110 05 ±0·16
15. Sept.	2 5—2 35	....	<i>E</i> 91 24 3·5 ±2·47	3	3107·15 ±0·32

Aus diesen 56 Beobachtungen ergibt sich:

$$H = 3108·84 \pm 0·62 \text{ m.}$$

## Grossglockner.

			<i>Z</i>	<i>n</i>	<i>H</i>
5. Juli	10 <sup>h</sup> 30—11 <sup>h</sup> 15	....	<i>W</i> 88° 6' 30·3'' ±3·44''	7	3105·84 ±0·38
5. »	11 15—11 50	....	<i>W</i> 88 6 34·8 ±2·81	6	3106·28 ±0·31
8. »	11 0—11 30	....	<i>W</i> 88 6 31·1 ±1·16	9	3105·90 ±0·13
8. »	12 30—12 50	....	<i>W</i> 88 6 43·5 ±1·52	8	3107·12 ±0·17
8. »	1 10—1 30	....	<i>W</i> 88 6 54·6 ±1·66	7	3108·22 ±0·18
9. »	1 45—2 15	....	<i>W</i> 88 7 5·1 ±2·05	10	3109·23 ±0·20
14. Sept.	9 50—10 0	....	<i>W</i> 88 6 31·3 ±1·04	4	3108·73 ±0·11
15. »	9 40—10 30	....	<i>W</i> 88 6 32·4 ±1·58	5	3106·04 ±0·17
16. »	11 30—12 0	....	<i>W</i> 88 6 41·7 ±1·68	6	3106·95 ±0·18
15. »	2 45—3 0	....	<i>E</i> 88 6 49·8 ±0·94	5	3106·63 ±0·10

Aus diesen 67 Beobachtungen folgt unter Berücksichtigung der Genauigkeit und der Anzahl der Messungen, aus denen die Werthe abgeleitet sind:

$$H = 3106·47 \pm 0·12 \text{ m.}$$

Alle Beobachtungen sind auf den Erdboden beim Westpfeiler bezogen.

Die Genauigkeit der Beobachtungen des Ziethenkopfes ist geringer wie jene der anderen Beobachtungen, da dieser Gipfel fast genau in der Mittagslinie liegt und dadurch das Visiren um die Mittagszeit sehr erschwert ist.

Unter Berücksichtigung der Genauigkeit der Mittelwerthe und der Anzahl der Beobachtungen, aus denen sie abgeleitet sind, ergibt sich:

$$H = 3106.47 \pm 0.10 \text{ m.}$$

Weiter ist unter Berücksichtigung der früher angegebenen Höhenmessungen der Pfeiler etc.:

Platte des Westpfeilers .....	3107.61 m
Platte des Ostpfeilers .....	3107.42
Beiläufige Höhe des Barometergefäßes ....	3106.9
Durch Hann aus Barometermitteln .....	3106.5 $\pm 1.6 \text{ m}$ ,

wonach unsere Bestimmung der Höhe des Barometergefäßes innerhalb der Fehlergrenze des Mittels aus den Hann'schen Werthen liegt.

# Über die Anzahl der Darstellungen einer ganzen Zahl durch gewisse Formen

von

**Leopold Gegenbauer,**

c. M. k. Akad.

Der Zweck der folgenden Zeilen ist die Mittheilung einiger neuer Sätze über die Anzahl aller, sowie der eigentlichen Darstellungen einer ganzen Zahl durch bestimmte Formen. Zu dem Behufe soll zunächst im ersten Paragraphe eine auf den grössten gemeinschaftlichen Theiler eines Systems von ganzen Zahlen bezügliche Formel ermittelt und gelegentlich auf mehrere specielle Fälle angewendet werden, während im zweiten die mit Hilfe einiger der gefundenen Beziehungen und von bekannten Theoremen Jacobi's, Eisenstein's und Liouville's leicht zu beweisenden Theoreme aufgestellt werden.

I. In der Summe

$$\sum_{\substack{x_1, x_2, \dots, x_s = n \\ x_1, x_2, \dots, x_s = 1}} F([n, x_1, x_2, \dots, x_s])$$

tritt das Glied  $F(d)$ , wo  $d$  irgend ein Theiler von  $n$  ist, so oft auf, als es Werthsysteme  $x_1, x_2, \dots, x_s$  gibt, welche den Beziehungen

$$x_1 = dy_1, x_2 = dy_2, \dots, x_s = dy_s \quad (y_\lambda = \text{ganze Zahl})$$

$$\left[ \frac{n}{d}, y_1, y_2, \dots, y_s \right] = 1$$

genügen, d. i. also so vielmal, als dem Intervalle  $1 \dots \frac{n}{d}$  angehörige Systeme von  $s$  ganzen Zahlen existiren, deren grösster



gemeinsamer Theiler zu  $n$  theilerfremd ist, und demnach hat man die Relation

$$\sum_{\substack{x_1, x_2, \dots, x_s = n \\ x_1, x_2, \dots, x_s = 1}} F([n, x_1, x_2, \dots, x_s]) = \sum_d F(d) \varphi_s\left(\frac{n}{d}\right),$$

in welcher die Summation nach  $d$  über alle Theiler von  $n$  zu erstrecken ist.

Berücksichtigt man, dass

$$\varphi_s(n) = \sum_d d^s \mu\left(\frac{n}{d}\right)$$

ist, so kann man derselben sofort eine der zwei folgenden Gestalten geben:

$$\sum_{\substack{x_1, x_2, \dots, x_s = n \\ x_1, x_2, \dots, x_s = 1}} F([n, x_1, x_2, \dots, x_s]) = \sum_d d^s f\left(\frac{n}{d}\right)$$

$$\sum_{\substack{x_1, x_2, \dots, x_s = n \\ x_1, x_2, \dots, x_s = 1}} F([n, x_1, x_2, \dots, x_s]) = \sum_d \chi(d) \mu\left(\frac{n}{d}\right),$$

wo

$$\sum_d f(d) = F(n)$$

$$\sum_d F\left(\frac{n}{d}\right) d^s = \chi(n)$$

ist.

Setzt man in diesen Gleichungen

$$f(x) = \mu \sqrt[r]{x}, \quad \lambda_r(x), \quad \alpha(x),$$

so erhält man für die Anzahl  $\varphi_{r,s}(n)$  derjenigen Systeme von  $s$  beliebigen ganzen Zahlen des Intervalles  $1 \dots n$ , deren grösster gemeinsamer Theiler mit  $n$  keine  $r$ te Potenz (ausser 1) gemein hat, die Ausdrücke

$$\begin{aligned}
 \varphi_{r,s}(n) &= \sum_{d_r} d_r^s \mu \left( \sqrt[r]{\frac{n}{d_r}} \right) \\
 &= \sum_d \mu_r(d) \varphi_s \left( \frac{n}{d} \right) \\
 &= \sum_d \bar{\psi}_{r,s}(d) \mu \left( \frac{n}{d} \right)
 \end{aligned}$$

für die Anzahl  $\bar{\chi}_{r,s}(n)$  derjenigen Systeme von  $s$  dem Intervalle  $1 \dots n$  beliebig entnommenen ganzen Zahlen, welche mit  $n$  ein  $(s+1)$ -gliedriges Zahlensystem bilden, dessen grösster gemeinsamer Theiler eine  $r$ te Potenz ist, die Werthe

$$\begin{aligned}
 \bar{\chi}_{r,s}(n) &= \sum_{d_r} \varphi_s(d_r) \\
 &= \sum_d \lambda_r(d) \varphi_s \left( \frac{n}{d} \right) \\
 &= \sum_d \rho_{s,r}(d) \mu \left( \frac{n}{d} \right),
 \end{aligned}$$

und für die Summe  $A_s(n)$  derjenigen Werthe, welche die Function  $f_1(x)$  annimmt, wenn ihr Argument jene grössten gemeinsamen Theiler von  $s$  beliebig herauszugreifenden ganzen Zahlen des Bereiches  $1 \dots n$  durchläuft, welche Primfactoren von  $n$  sind, die Werthe

$$\begin{aligned}
 A_s(n) &= \sum_d \alpha \left( \frac{n}{d} \right) d^s \\
 &= \sum_p f_1(p) \varphi_s \left( \frac{n}{p} \right)
 \end{aligned}$$

und speciell für die  $A_s^{(0)}(n)$  Anzahl der zuletzt genannten  $s$ -gliedrigen Zahlensysteme

$$\begin{aligned}
 A_s^{(0)}(n) &= \sum_d \alpha_0 \left( \frac{n}{d} \right) d^s \\
 &= \sum_p \varphi_s \left( \frac{n}{p} \right) \\
 &= \sum_d \mu \left( \frac{n}{d} \right) p_s(d),
 \end{aligned}$$

wo die Summationen nach  $d$  über alle, jene nach  $d_r$  aber nur über diejenigen Theiler von  $n$  zu erstrecken sind, deren complementärer Divisor eine  $r^{\text{te}}$  Potenz ist, die Summationen nach  $p$  sich auf alle Primtheiler von  $n$  beziehen, mit  $\bar{\psi}_{r,s}(x)$  die Summe der  $s^{\text{ten}}$  Potenzen derjenigen Theiler von  $x$  bezeichnet wird, deren complementärer Divisor durch keine  $r^{\text{te}}$  Potenz theilbar ist, und  $p_s(x)$  die Summe der  $s^{\text{ten}}$  Potenzen jener Theiler von  $x$  vorstellt, deren complementärer Divisor eine Primzahl ist.

Es mag bei dieser Gelegenheit nur erwähnt werden, dass aus den obigen Erörterungen die Beziehungen

$$\sum_{n=1}^{n=\infty} \frac{\varphi_{r,s}(n)}{n^s} = \frac{\zeta(s-s)}{\zeta(rs)}$$

$$\sum_{n=1}^{n=\infty} \frac{\chi_{r,s}(n)}{n^s} = \frac{\zeta(rs)\zeta(s-s)}{\zeta(s)}$$

$$\sum_{n=1}^{n=\infty} \frac{\bar{\psi}_{r,s}(n)}{n^s} = \frac{\zeta(s)\zeta(s-s)}{\zeta(rs)}$$

folgen.

Die Substitutionen

$$f(x) = x^t, \quad \left(\frac{\Delta}{x}\right) \quad (\Delta = \text{Fundamentaldiscriminante}),$$

$$\varphi_t(x), \quad f_{\beta-1}(x), \quad \frac{f_{\beta-2}(x) \psi(x^2 \pi^{\beta-3}(x))}{(\beta-2)^{\psi(x)}}$$

liefern die Relationen

$$\begin{aligned} \sum_{\substack{x_1, x_2, \dots, x_s = n \\ x_1, x_2, \dots, x_s = 1}} \psi_t([n, x_1, x_2, \dots, x_s]) &= \sum_d \psi_t(d) \varphi_s\left(\frac{n}{d}\right) \\ &= \sum_d \psi_s(d) \varphi_t\left(\frac{n}{d}\right) \\ &= n^t \psi_{s-t}(n) \end{aligned}$$

$$\begin{aligned}
& \sum_{x_1, x_2, \dots, x_s = 1}^{\Delta, x_1, \dots, x_s = n} \varphi([n, x_1, x_2, \dots, x_s], \Delta) = \tau n^s \sum_d \left(\frac{\Delta}{d}\right)^{\frac{1}{s}} \quad (\tau = \text{Anzahl der Transformationen einer Form der Discriminante } \Delta \text{ in sich selbst}) \\
& \quad = \sum_d \varphi(d, \Delta) \varphi_s\left(\frac{n}{d}\right) \\
& \sum_{x_1, x_2, \dots, x_s = 1}^{\Delta, x_1, \dots, x_s = n} [n, x_1, x_2, \dots, x_s]^t = \sum_d d^t \varphi_s\left(\frac{n}{d}\right) \\
& \quad = \sum_d d^s \varphi_t\left(\frac{n}{d}\right) \\
& \sum_{x_1, x_2, \dots, x_s = 1}^{\Delta, x_1, \dots, x_s = n} f_{\beta}([n, x_1, x_2, \dots, x_s]) = \sum_d f_{\beta}(d) \varphi_s\left(\frac{n}{d}\right) \\
& \quad = \sum_d f_{\beta-1}\left(\frac{n}{d}\right) d^s \\
& \sum_{x_1, x_2, \dots, x_s = 1}^{\Delta, x_1, \dots, x_s = n} \frac{f_{\beta-1}([n, x_1, x_2, \dots, x_s])}{(\beta-1)^{\bar{\omega}([n, x_1, x_2, \dots, x_s])}} = \sum_d \frac{f_{\beta-2}\left(\frac{n}{d}\right) \psi\left(\frac{n^2}{d^2} \pi^{\beta-3}\left(\frac{n}{d}\right)\right)}{(\beta-2)^{\bar{\omega}\left(\frac{n}{d}\right)}} d^s \\
& \quad = \sum_d \frac{f_{\beta-1}(d) \psi(d^2 \pi^{\beta-2}(d))}{(\beta-1)^{\bar{\omega}(d)}} \varphi_s\left(\frac{n}{d}\right)
\end{aligned}$$

und speciell

$$\sum_{\substack{x_1, x_2, \dots, x_s = n \\ x_1, x_2, \dots, x_s = 1}} \omega([n, x_1, x_2, \dots, x_s]) = \sum_d \omega(d) \varphi_s\left(\frac{n}{d}\right) \\ = \sum_d \mu_s\left(\frac{n}{d}\right) d^s$$

$$\sum_{\substack{x_1, x_2, \dots, x_s = n \\ x_1, x_2, \dots, x_s = 1}} \psi([n, x_1, x_2, \dots, x_s]) = \sum_d \psi(d) \varphi_s\left(\frac{n}{d}\right) \\ = \sum_d \omega\left(\frac{n}{d}\right) d^s$$

$$\sum_{\substack{x_1, x_2, \dots, x_s = n \\ x_1, x_2, \dots, x_s = 1}} \psi([n, x_1, x_2, \dots, x_s]^2) = \sum_d \psi(d^2) \varphi_s\left(\frac{n}{d}\right) \\ = \sum_d \psi^2\left(\frac{n}{d}\right) d^s,$$

aus denen u. A. die folgenden Formeln sich ergeben:

$$\sum_{\substack{x_1, x_2, \dots, x_s = n \\ x_1, x_2, \dots, x_s = 1}} \psi_t([n, x_1, x_2, \dots, x_s]) = \sum_{\substack{x_1, x_2, \dots, x_t = n \\ x_1, x_2, \dots, x_t = 1}} \psi_s([n, x_1, x_2, \dots, x_t]) \\ \sum_{\substack{x_1, x_2, \dots, x_s = n \\ x_1, x_2, \dots, x_s = 1}} [n, x_1, x_2, \dots, x_s] = \sum_{\substack{x_1, x_2, \dots, x_t = n \\ x_1, x_2, \dots, x_t = 1}} [n, x_1, x_2, \dots, x_t]^s.$$

§. 2. Auf Grund der im vorigen Paragraphen aufgestellten Formeln kann man nun für die Anzahl aller, sowie der eigentlichen Darstellungen einer ganzen Zahl durch gewisse Formen eine Reihe von Sätzen aufstellen, deren grösster Theil einen merkwürdigen Zusammenhang zwischen dieser Anzahl und einer für jede Form besonderen Function der grössten gemeinschaftlichen Theiler der dargestellten Zahl mit den einzelnen demjenigen Bereiche, dessen Grenzen 1 und die dargestellte Zahl sind, beliebig entnehmbaren Zahlensystemen von einer Elementenanzahl, die von der darstellenden Form abhängt,

aufdeckt. Von diesen Theoremen mögen hier die folgenden angeführt werden:

Die Anzahl aller Darstellungen einer ungeraden Zahl durch eine Summe von vier Quadraten ist gleich der achtfachen Anzahl der Theiler, welche die einzelnen grössten gemeinschaftlichen Theiler der dargestellten Zahl mit allen dieselbe nicht überschreitenden ganzen Zahlen besitzen.

Die Anzahl aller Darstellungen einer ungeraden Zahl durch eine Summe von vier Quadraten ist gleich der achtfachen Summe der Producte, welche man erhält, wenn man die Anzahl der Theiler jedes Divisors der dargestellten Zahl mit der Anzahl der den complementären Divisor nicht überschreitenden, zu demselben theilerfremden ganzen Zahlen multiplicirt.

Die Anzahl der eigentlichen Darstellungen einer ungeraden Zahl durch eine Summe von vier Quadraten ist gleich der achtfachen Anzahl der Zerlegungen der einzelnen grössten gemeinschaftlichen Theiler der dargestellten Zahl mit allen dieselbe nicht überschreitenden ganzen Zahlen in zwei theilerfremde Factoren.

Die Anzahl der eigentlichen Darstellungen einer ungeraden Zahl durch eine Summe von vier Quadraten ist gleich der achtfachen Summe der Producte, welche man erhält, wenn man die Anzahl der Zerlegungen jedes Theilers der dargestellten Zahl in zwei theilerfremde Factoren mit der Anzahl der den complementären Divisor nicht überschreitenden zu demselben theilerfremden ganzen Zahlen multiplicirt.

Die Anzahl aller Darstellungen einer ungeraden Zahl durch eine Summe von acht Quadraten ist gleich der sechzehnfachen Anzahl der Theiler, welche die einzelnen grössten gemeinschaftlichen Theiler der dargestellten Zahl mit allen dreigliedrigen Zahlensystemen, deren Elemente dem durch 1 und die dargestellte Zahl begrenzten Bereiche beliebig entnommen werden, besitzen.

Die Anzahl aller Darstellungen einer ungeraden Zahl durch eine Summe von acht Quadraten ist gleich der sechzehnfachen Summe der Producte, welche man erhält, wenn man die Anzahl der Theiler jedes Divisors der dargestellten Zahl mit der Anzahl derjenigen dreigliedrigen Zahlensysteme multiplicirt, deren

Elemente den complementären Divisor nicht überschreiten und ein zu demselben theilerfremdes System bilden.

Die Anzahl der eigentlichen Darstellungen einer ungeraden Zahl durch eine Summe von acht Quadraten ist gleich der sechzehnfachen Anzahl der Zerlegungen der einzelnen grössten gemeinschaftlichen Theiler der dargestellten Zahl mit allen dreigliedrigen Zahlensystemen, deren Elemente dem durch 1 und die dargestellte Zahl begrenzten Bereiche beliebig entnommen werden, in zwei theilerfremde Factoren.

Die Anzahl der eigentlichen Darstellungen einer ungeraden Zahl durch eine Summe von acht Quadraten ist gleich der sechzehnfachen Summe der Producte, welche man erhält, wenn man die Anzahl der Zerlegungen jedes Theilers der dargestellten Zahl in zwei theilerfremde Factoren mit der Anzahl derjenigen dreigliedrigen Zahlensysteme multiplicirt, deren Elemente den complementären Divisor nicht überschreiten und einen zu diesem theilerfremden grössten gemeinsamen Divisor besitzen.

Die Anzahl der eigentlichen Darstellungen einer ungeraden Zahl durch eine Summe von acht Quadraten ist gleich der sechzehnfachen über alle Theiler der dargestellten Zahl ausgedehnte Summe der Anzahlen derjenigen einem Intervalle, dessen Grenzen 1 und der bezügliche Divisor sind, beliebig entnommenen dreigliedrigen Zahlensysteme, deren grösster gemeinsamer Theiler mit diesem Divisor kein Quadrat (ausser 1) gemein hat.

Die Anzahl aller Darstellungen einer einfachgeraden Zahl durch eine Summe von zwölf Quadraten ist gleich der zweihundertvierundsechzigfachen Anzahl der Theiler, welche die einzelnen grössten gemeinschaftlichen Theiler der dargestellten Zahl mit allen fünfgliedrigen Zahlensystemen, deren Elemente dem durch 1 und die dargestellte Zahl begrenzten Bereiche beliebig entnommen sind, besitzen.

Die Anzahl aller Darstellungen einer einfach geraden Zahl durch eine Summe von zwölf Quadraten ist gleich der zweihundertvierundsechzigfachen Summe der Producte, welche man erhält, wenn man die Anzahl der Theiler jedes Divisors der dargestellten Zahl mit der Anzahl derjenigen fünfgliedrigen

Zahlensysteme multiplicirt, deren Elemente den complementären Divisor nicht überschreiten und einen zu diesem theilerfremden grössten gemeinschaftlichen Theiler besitzen.

Die Anzahl der eigentlichen Darstellungen einer einfach geraden Zahl durch eine Summe von zwölf Quadraten ist gleich der zweihundertvierundsechzigfachen Anzahl der Zerlegungen der einzelnen grössten gemeinschaftlichen Theiler der dargestellten Zahl mit allen fünfgliedrigen Zahlensystemen, deren Elemente dem durch 1 und die dargestellte Zahl begrenzten Bereiche beliebig entnommen werden, in zwei theilerfremde Factoren.

Die Anzahl der eigentlichen Darstellungen einer einfachgeraden Zahl durch eine Summe von zwölf Quadraten ist gleich der zweihundertvierundsechzigfachen Summe der Producte, welche man erhält, wenn man die Anzahl der Zerlegungen jedes Theilers der dargestellten Zahl in zwei theilerfremde Factoren mit der Anzahl derjenigen fünfgliedrigen Zahlensysteme multiplicirt, deren Elemente den complementären Divisor nicht überschreiten und einen zu diesem theilerfremden grössten gemeinsamen Divisor besitzen.

Die Anzahl der eigentlichen Darstellungen einer einfachgeraden Zahl durch eine Summe von zwölf Quadraten ist gleich der zweihundertvierundsechzigfachen über alle Theiler der dargestellten Zahl ausgedehnten Summe der Anzahlen derjenigen einem Intervalle, dessen Grenzen 1 und der betreffende Divisor sind, beliebig entnommenen fünfgliedrigen Zahlensysteme, deren grösster gemeinsamer Theiler mit diesem Divisor keinen quadratischen Factor (ausser 1) gemein hat.

Die Anzahl aller, beziehungsweise der eigentlichen Darstellungen einer ungeraden Zahl durch eine Summe von sechs Quadraten ist gleich der zwölffachen Anzahl aller, beziehungsweise der eigentlichen Darstellungen der grössten gemeinschaftlichen Divisoren der dargestellten Zahl mit allen zweigliedrigen Zahlensystemen, deren Elemente dem durch 1 und die dargestellte Zahl begrenzten Bereiche beliebig entnommen sind, durch eine Summe von zwei Quadraten.

Die Anzahl aller, beziehungsweise der eigentlichen Darstellungen einer ungeraden Zahl durch eine Summe von sechs



Quadraten ist gleich der zwölffachen Summe der Producte, welche man erhält, wenn man die Anzahl aller, beziehungsweise der eigentlichen Darstellungen jedes Divisors der erwähnten Zahl durch eine Summe von zwei Quadraten mit der Anzahl derjenigen zweigliedrigen Zahlensysteme multiplicirt, deren Elemente den complementären Divisor nicht überschreiten und einen zu demselben theilerfremden grössten gemeinsamen Theiler besitzen.

Die Anzahl aller, beziehungsweise der eigentlichen Darstellungen einer Zahl von der Form  $4s+3$  durch eine Summe von zehn Quadraten ist gleich der zwölffachen Anzahl aller, beziehungsweise der eigentlichen Darstellungen der grössten gemeinschaftlichen Divisoren der dargestellten Zahl mit allen viergliedrigen Zahlensystemen, deren Elemente dem durch 1 und die dargestellte Zahl begrenzten Gebiete beliebig entnommen werden, durch eine Summe von zwei Quadraten.

Die Anzahl aller, beziehungsweise der eigentlichen Darstellungen einer Zahl von der Form  $4s+3$  durch eine Summe von zehn Quadraten ist gleich der zwölffachen Summe der Producte, welche man erhält, wenn man die Anzahl aller, beziehungsweise der eigentlichen Darstellungen jedes Theilers der erwähnten Zahl durch eine Summe von zwei Quadraten mit der Anzahl derjenigen viergliedrigen Zahlensysteme multiplicirt, deren Elemente den complementären Divisor nicht überschreiten und einen zu demselben theilerfremden grössten gemeinsamen Theiler besitzen.

Die Anzahl aller, beziehungsweise der eigentlichen Darstellungen einer ungeraden Zahl  $n$  durch eine Summe von drei einfachen und einem doppelten Quadrate ist gleich der  $2 \left\{ 4 - \left( \frac{2}{n} \right) \right\}$ -fachen Anzahl aller, beziehungsweise der eigentlichen, den Bedingungen  $y \geq 0$ ,  $2x > 3y$  genügenden Darstellungen der einzelnen grössten gemeinsamen Theiler der dargestellten Zahl und aller dieselbe nicht übertreffenden ganzen Zahlen durch die binäre quadratische Form  $(1, 0, -2)$ .

Die Anzahl aller, beziehungsweise der eigentlichen Darstellungen einer ungeraden Zahl  $n$  durch eine Summe von drei einfachen und einem doppelten Quadrate ist gleich der

$2 \left\{ 4 - \left( \frac{2}{n} \right) \right\}$ -fachen Summe der Producte, welche man erhält, wenn man die Anzahl aller, beziehungsweise der eigentlichen, die Bedingungen  $y \geq 0$ ,  $2x > 3y$  erfüllenden Darstellungen jedes Divisors der dargestellten Zahl durch die binäre quadratische Form  $(1, 0, -2)$  mit der Anzahl der den complementären Divisor nicht übertreffenden, zu demselben theilerfremden ganzen Zahlen multiplicirt.

Die Anzahl aller, beziehungsweise der eigentlichen Darstellungen einer ungeraden Zahl  $n$  durch eine Summe von fünf einfachen und einem doppelten Quadrate ist gleich der  $\frac{1}{6} \left\{ 4 - \left( \frac{-2}{n} \right) \right\}$ -fachen Anzahl aller, beziehungsweise der eigentlichen Darstellungen der einzelnen grössten gemeinsamen Theiler der dargestellten Zahl mit allen zweigliedrigen Zahlensystemen, deren Elemente dem durch 1 und die dargestellte Zahl begrenzten Bereiche beliebig entnehmbar sind, durch die binäre quadratische Form  $(1, 0, 2)$ .

Die Anzahl aller, beziehungsweise der eigentlichen Darstellungen einer ungeraden Zahl  $n$  durch eine Summe von fünf einfachen und einem doppelten Quadrate ist gleich der  $\frac{1}{6} \left\{ 4 - \left( \frac{-2}{n} \right) \right\}$ -fachen Summe der Producte, welche man erhält, wenn man die Anzahl aller, beziehungsweise der eigentlichen Darstellungen jedes Divisors der dargestellten Zahl durch die binäre quadratische Form  $(1, 0, 2)$  mit der Anzahl derjenigen zweigliedrigen Zahlensysteme multiplicirt, welche den complementären Divisor nicht überschreiten und einen zu demselben theilerfremden grössten gemeinsamen Divisor besitzen.

Ich will bei dieser Gelegenheit als Berichtigung eines sinnstörenden Druckfehlers meiner im Decemberhefte 1893 dieser Sitzungsberichte enthaltenen Mittheilung »Eine Anwendung der Zahlentheorie auf die Integralrechnung« bemerken, dass der Coëfficient des auf der rechten Seite der vorletzten Gleichung

auf S. 13 stehenden Integrales zu lauten hat  $\frac{\arccos \frac{b}{2\sqrt{ac}}}{\sqrt{4ac - b^2}}$ .

---



SITZUNGSBERICHTE  
DER  
KAISERLICHEN AKADEMIE DER WISSENSCHAFTEN.

---

MATHEMATISCH - NATURWISSENSCHAFTLICHE CLASSE.

---

CIII. BAND. II. HEFT.

---

ABTHEILUNG II. a.

ENTHÄLT DIE ABHANDLUNGEN AUS DEM GEBIETE DER MATHEMATIK, ASTRONOMIE,  
PHYSIK, METEOROLOGIE UND DER MECHANIK.

---



#### IV. SITZUNG VOM 1. FEBRUAR 1894.

---

Der Vorsitzende gedenkt des Verlustes, welchen die kaiserliche Akademie und speciell diese Classe durch das am 25. Jänner l. J. erfolgte Ableben des wirklichen Mitgliedes Herrn Hofrath Prof. Dr. Emil Weyr erlitten hat.

Die anwesenden Mitglieder geben ihrem Beileide über diesen Verlust durch Erheben von den Sitzen Ausdruck.

Das Curatorium der Schwestern Fröhlich-Stiftung in Wien übermittelt die diesjährige Kundmachung über die Verleihung von Stipendien aus dieser Stiftung zur Unterstützung bedürftiger und hervorragender schaffender Talente auf dem Gebiete der Kunst, Literatur und Wissenschaft.

Herr Prof. Dr. A. Adamkiewicz in Wien übersendet eine Arbeit unter dem Titel: »Die Stauungspapille und ihre Bedeutung als eines Zeichens von gesteigertem Druck in der Höhle des Schädels«.

Herr Dr. Alfred Nalepa, Professor am k. k. Staatsgymnasium in Wien (IV. Bezirk), übersendet eine vorläufige Mittheilung über »Neue Gallmilben« (9. Fortsetzung).

Der Secretär legt folgende behufs Wahrung der Priorität eingesendete versiegelte Schreiben vor, und zwar:

Von Herrn Dr. Alexander Marmorek in Wien

1. »Neues Heilverfahren gegen die septischen Krankheiten«,
2. »Über den Ersatz der chirurgischen Drainage«;

ferner von Herrn Friedrich Strohmayer, Vorstand der chemisch-technischen Versuchsstation des Centralvereines für

Rübenzucker-Industrie in der österreichisch-ungarischen Monarchie in Wien

3. »Beitrag zur Prophylaxis parasitärer Krankheiten der landwirthschaftlichen Culturpflanzen«.

Das w. M. Herr Prof. H. Weidel überreicht zwei im pharmacognostischen Institute der Universität Lemberg ausgeführte Arbeiten:

1. »Über die  $\alpha$ -Epichlorhydrin-Verbindungen« von Prof. L. Niemiłowicz.
  2. »Über eine neue pyknometrische Dichtebestimmungsmethode der weichen Fette« von Z. Zawalkiewicz.
- 

**Selbständige Werke oder neue, der Akademie bisher nicht zugekommene Periodica sind eingelangt:**

Obermayer, A. v., Zur Erinnerung an Josef Stefan, k. k. Hofrath und Professor der Physik an der Universität in Wien. Wien und Leipzig, 1893; 8°.

---

## V. SITZUNG VOM 8. FEBRUAR 1894.

---

In Verhinderung des Herrn Vicepräsidenten führt Herr Intendant Hofrath Ritter v. Hauer den Vorsitz.

Der Vorsitzende gedenkt des Verlustes, welchen die kaiserliche Akademie und speciell diese Classe durch das am 6. Februar l. J. in Abbazia erfolgte Ableben des wirklichen Mitgliedes Herrn Hofrath Prof. Dr. Theodor Billroth erlitten hat.

Die anwesenden Mitglieder geben ihrem Beileide über diesen Verlust durch Erheben von den Sitzen Ausdruck.

Das w. M. Herr Hofrath Prof. Wiesner übersendet die dritte pflanzenphysiologische Mittheilung aus Buitenzorg unter dem Titel: »Über den vorherrschend ombrophilen Charakter des Laubes der Tropengewächse«.

Von dem k. u. k. Oberlieutenant Herrn Victor Dziubiński in Peterwardein wird ein versiegeltes Schreiben behufs Wahrung der Priorität eingesendet, welches die Aufschrift führt: »Gaskraft-Motor«.

Das w. M. Herr Hofrath A. Kerner v. Marilaun bespricht eine Abhandlung von Dr. E. v. Halácsy, welche den Titel führt: »Beiträge zur Flora von Epirus«.

---



**Selbständige Werke oder neue, der Akademie bisher nicht  
zugekommene Periodica sind eingelangt:**

Wilhelm Webers Werke, herausgegeben von der königlichen Gesellschaft der Wissenschaften zu Göttingen. IV. Bd. Galvanismus und Elektrodynamik. II. Theil. Besorgt durch Heinrich Weber. (Mit 4 Tafeln und Abbildungen im Texte.) Berlin, 1894; 8<sup>o</sup>. — VI. Bd. Mechanik der menschlichen Gehwerkzeuge. Besorgt durch Friedrich Merkel und Otto Fischer. (Mit 17 Tafeln und Abbildungen im Texte.) Berlin, 1894; 8<sup>o</sup>.

---

## VI. SITZUNG VOM 15. FEBRUAR 1894.

---

Das Executiv-Comité des unter dem Allerhöchsten Protectorate Sr. k. und k. apost. Majestät stehenden VIII. Internationalen Congresses für Hygiene und Demographie ladet die kaiserliche Akademie zur Theilnahme an diesem Congress, welcher vom 1. bis 9. September d. J. in Budapest tagen wird, ein und übermittelt ein hierauf bezügliches vorläufiges Programm.

Das w. M. Herr Hofrath Ad. Lieben überreicht eine Abhandlung von Dr. Ad. Jolles in Wien, betitelt: »Das Margarin, seine Verdaulichkeit und sein Nährwerth im Vergleich zu reiner Naturbutter«.

Das w. M. Herr Prof. H. Weidel überreicht eine im I. chemischen Laboratorium der k. k. Universität in Wien von Dr. J. Herzig ausgeführte Arbeit: »Über Brasilin und Hämatoxylins«.

Das c. M. Herr Prof. L. Gegenbauer überreicht eine Abhandlung von Dr. K. Zsigmondy in Wien: »Über die Anzahl derjenigen ganzen ganzzahligen Functionen  $n$ -ten Grades von  $x$ , welche in Bezug auf einen gegebenen Primzahlmodul eine vorgeschriebene Anzahl von Wurzeln besitzen«.

---

**Selbständige Werke oder neue, der Akademie bisher nicht zugewommene Periodica sind eingelangt:**

Denkschriften der medicinisch - naturwissenschaftlichen Gesellschaft zu Jena. (3. Bd. II. Theil). Vergleichend-anatomische und entwicklungsgeschichtliche Untersuchungen

an Walthieren, von W. Kükenenthal. (Mit 12 Tafeln und 115 Abbildungen im Text.) Jena, 1893; 4°.

Mitscherlich Alexander, Erinnerung an Eilhard Mitscherlich 1794—1863. Berlin, 1894; 8°.

The collected Papers of Sir W. Bowman. (Vol. I and II.) Edited for the Committee of the »Bowman Testimonial Fund« by J. Burdon-Sanderson and J. W. Hulke. Presented by Harriet Lady Bowman. London, 1892; 4°.

---

# Über die Anzahl derjenigen ganzen ganzzahligen Functionen $n^{\text{ten}}$ Grades von $x$ , welche in Bezug auf einen gegebenen Primzahlmodul eine vorgeschriebene Anzahl von Wurzeln besitzen

von

K. Zsigmondy in Wien.

## 1.

Im Folgenden werden wie gewöhnlich zwei Polynome von  $x$  mit ganzzahligen Coëfficienten nur dann als nach dem Primzahlmodul  $p$  wesentlich von einander verschieden angesehen, wenn wenigstens ein Coëfficient in dem einen modulo  $p$  nicht congruent ist dem entsprechenden Coëfficienten derselben Potenz von  $x$  in dem anderen Polynom.

Ferner wird der Coëfficient der höchsten Potenz von  $x$  in jeder Congruenz gleich der Einheit angenommen, was stets durch Multiplication mit einem geeigneten Factor erreicht werden kann.

In einer Congruenz  $\nu^{\text{ten}}$  Grades bleiben mithin  $\nu$  Coëfficienten willkürlich; da jeder ein vollständiges Restsystem modulo  $p$  durchlaufen kann, erkennt man, dass es nur  $p^\nu$  verschiedene Congruenzen  $\nu^{\text{ten}}$  Grades gibt.

## 2.

Um die Anzahl derjenigen Congruenzen  $n^{\text{ten}}$  Grades zu finden, welche die  $x$  vorgegebenen verschiedenen Zahlen

$$a_1, a_2, \dots, a_x \tag{I}$$

als Wurzeln nach dem Modul  $p$  nicht besitzen, hat man aus der Gesamtheit  $S$  der  $p^n$  verschiedenen Congruenzen

$$f_n(x) \equiv 0 \pmod{p}$$

diejenigen auszuschneiden, welche durch einen der linearen Factoren  $x - a_j$  ( $j = 1, 2, \dots, x$ ) theilbar sind.

Es kann dies nach einem Verfahren, das ich bereits bei einer anderen Gelegenheit verwendet habe, leicht durchgeführt werden.<sup>1</sup>

Bekanntlich lässt sich die linke Seite jeder Congruenz

$$f_n(x) \equiv 0 \pmod{p},$$

welche die Wurzeln  $\alpha_1, \alpha_2, \dots, \alpha_i$  besitzt, nur auf eine Weise modulo  $p$  in die Form

$$f_n(x) \equiv (x - \alpha_1)(x - \alpha_2) \dots (x - \alpha_i) f_{n-i}(x) \quad (\text{II})$$

bringen, wo  $f_{n-i}(x)$  ein Polynom  $n-i$ ten Grades bedeutet, in welchem der Coëfficient der höchsten Potenz von  $x$  wieder gleich der Einheit ist. Nimmt man für  $f_{n-i}(x)$  alle  $p^{n-i}$  modulo  $p$  verschiedenen Functionen  $n-i$ ten Grades, so liefern die zugehörigen  $f_n(x)$  ein bestimmtes in  $S$  enthaltenes System von Congruenzen  $S(\alpha_1, \alpha_2, \dots, \alpha_i)$ .

Fügt man zu dem Systeme  $S$  alle diejenigen Systeme  $S(\alpha_1, \alpha_2, \dots, \alpha_i)$  hinzu, bei welchen  $\alpha_1, \alpha_2, \dots, \alpha_i$  irgend eine Combination aus einer geraden Anzahl der Elemente der Reihe  $a_1, a_2, \dots, a_x$  bedeutet und scheidet man hierauf alle diejenigen Systeme aus, bei denen  $\alpha_1, \alpha_2, \dots, \alpha_i$  eine Combination aus einer ungeraden Anzahl von den genannten Elementen darstellt, so bleibt in dem schliesslich sich ergebenden Systeme die Gesamtheit derjenigen Congruenzen  $n$ ten Grades übrig, welche die  $x$  Zahlen  $a_1, a_2, \dots, a_x$  als Wurzeln nicht besitzen.

Es lässt sich nämlich, wie schon erwähnt, jede Congruenz  $f_n(x) \equiv 0$ , welche die verschiedenen, der Reihe (I) angehörigen Wurzeln  $\alpha_1, \alpha_2, \dots, \alpha_i$  zulässt und für keinen weiteren

---

<sup>1</sup> Zur Verallgemeinerung der Function  $\psi(m)$  in der Zahlentheorie. Journ. für r. und ang. Math., Bd. 111.

Werth der Reihe (I) verschwindet, eindeutig modulo  $p$  in die Form (II) bringen, wo dann  $f_{n-i}(x)$  durch keinen von  $x - \alpha_j$  ( $j = 1, 2, \dots, i$ ) verschiedenen linearen Factor  $x - \alpha_\rho$  ( $\rho = 1, 2, \dots, x$ ) theilbar ist. Die Congruenz  $f_n(x) \equiv 0$  wurde somit

$$\binom{i}{2} + \binom{i}{4} + \dots \text{mal}$$

hinzugefügt und

$$\binom{i}{1} + \binom{i}{3} + \dots \text{mal}$$

ausgeschieden, kommt daher im Ganzen

$$1 - \binom{i}{1} + \binom{i}{2} - \binom{i}{3} + \dots = (1-1)^i \text{mal},$$

d. h. überhaupt nicht vor.

Da den  $p^n$  Congruenzen  $f_n(x) \equiv 0 \pmod{p}$  im Ganzen

$$\binom{x}{2} p^{n-2} + \binom{x}{4} p^{n-4} + \dots$$

Congruenzen hinzugefügt, und hingegen

$$\binom{x}{1} p^{n-1} + \binom{x}{3} p^{n-3} + \dots$$

Congruenzen weggenommen wurden, erhält man das folgende Theorem:

Die Anzahl  $\psi(n, x)$  derjenigen Congruenzen  $n$ ten Grades nach einem Primzahlmodul  $p$ , welche  $x$  vorgegebene verschiedene Zahlen als Wurzeln nicht besitzen, wird bestimmt durch den Ausdruck

$$\psi(n, x) = p^n - \binom{x}{1} p^{n-1} + \binom{x}{2} p^{n-2} - \dots + (-1)^n \binom{x}{n}. \quad (\text{III})$$

### 3.

Der eben für  $\psi(n, x)$  gefundene Ausdruck nimmt im Falle  $n \geq x$  die besonders einfache Gestalt

$$\psi(n, \kappa) = p^{n-\kappa}(p-1)^\kappa \quad (\text{IV})$$

an, während für jeden möglichen Werth von  $n$  die Recursionsformel

$$\psi(n, \kappa) = p\psi(n-1, \kappa) + (-1)^n \binom{\kappa}{n}$$

besteht.

Ferner folgt unmittelbar aus der Gleichung (III) die Relation

$$\psi(n, \kappa+1) = \psi(n, \kappa) - \psi(n-1, \kappa), \quad (\text{V})$$

welche ihrerseits wieder im Zusammenhalte mit dem Anfangswerthe  $\psi(n, 0) = p^n$  die Function  $\psi(n, \kappa)$  charakterisirt. Man erhält nämlich durch wiederholte Anwendung von (V) die Gleichung

$$\psi(n, \kappa+i) = \psi(n, \kappa) - \binom{i}{1} \psi(n-1, \kappa) + \binom{i}{2} \psi(n-2, \kappa) - \dots, \quad (\text{VI})$$

welche in der That für  $\kappa = 0$  in den Ausdruck (III) übergeht.

Endlich lässt sich auf Grund der Beziehung (V) die Relation

$$p^n = \psi(n, \kappa) + \binom{\kappa}{1} \psi(n-1, \kappa-1) + \binom{\kappa}{2} \psi(n-2, \kappa-2) + \dots$$

mittels des Schlusses von  $\kappa$  auf  $\kappa+1$  bewahrheiten.

#### 4.

Von besonderem Interesse ist der Fall  $\kappa = p$ . Man erhält alsdann für die Anzahl  $\psi(n)$  derjenigen Congruenzen  $n$ ten Grades nach einem Primzahlmodul  $p$ , die überhaupt keine Wurzeln besitzen, gemäss der Gleichung (III) den Ausdruck

$$\psi(n) = p^n - \binom{p}{1} p^{n-1} + \binom{p}{2} p^{n-2} - \dots$$

Einen Zusammenhang zwischen den Functionen  $\psi(n)$  und  $\psi(n, \kappa)$  vermittelt die Relation (VI). Wird in derselben  $i = p - \kappa$  gesetzt, so ergibt sich die Gleichung

$$\phi(n) = \phi(n, x) - \binom{p-x}{1} \phi(n-1, x) + \binom{p-x}{2} \phi(n-2, x) - \dots,$$

welche, wie eine einfache auf die Bedeutung von  $\phi(n, x)$  gegründete Überlegung lehrt, in folgender Art umgekehrt werden kann:

$$\begin{aligned} \phi(n, x) = \phi(n) + \binom{\overline{p-x+1}-1}{1} \phi(n-1) + \\ + \binom{\overline{p-x+2}-1}{2} \phi(n-2) + \dots \quad (\text{VII}) \end{aligned}$$

Die folgenden Sätze fließen unmittelbar aus der Bedeutung der Function  $\phi(n)$ :

1. Die Anzahl derjenigen Congruenzen  $n^{\text{ten}}$  Grades modulo  $p$ , welche überhaupt Wurzeln zulassen, wird durch die Differenz

$$p^n - \phi(n)$$

bestimmt.

2. Die Anzahl derjenigen Congruenzen  $n^{\text{ten}}$  Grades, die genau  $i$  verschiedene Wurzeln besitzen, wird durch das Product

$$\binom{p}{i} \phi(n-i)$$

bestimmt.

3. Die Anzahl derjenigen Congruenzen  $n^{\text{ten}}$  Grades, die  $i$  verschiedene und gleiche Wurzeln haben, wird durch das Product

$$\binom{p+i-1}{i} \phi(n-i)$$

bestimmt.

Nach dem Satze 2 (beziehungsweise 3) erhält man als die Gesamtzahl derjenigen Congruenzen  $n^{\text{ten}}$  Grades, die bloss verschiedene, beziehungsweise verschiedene und gleiche Wurzeln besitzen, die Summe

$$\sum_{i=1}^n \binom{p}{i} \phi(n-i),$$



beziehungsweise

$$\sum_{i=1}^n \binom{p+i-1}{i} \psi(n-i).$$

Das letztere Resultat liefert im Zusammenhalte mit dem Satze 1 die Recursionsformel

$$\psi(n) = p^n - \sum_{i=1}^n \binom{p+i-1}{i} \psi(n-i),$$

welche sich auch aus der Gleichung (VII) für den speciellen Werth  $x = 0$  ergibt. Übrigens kann die zuletzt gefundene Formel auch in der folgenden Art verallgemeinert werden:

$$\psi(n, x) = p^n - \sum_{i=1}^n \binom{x+i-1}{i} \psi(n-i, x).$$

### 5.

Wird im Falle  $x = p$  noch ausserdem  $n \geq p$  vorausgesetzt, so besteht gemäss der Relation (IV) die Gleichung

$$\psi(n) = p^{n-p}(p-1)^p.$$

Versteht man unter dem Quotienten  $\frac{\psi(n)}{p^n}$  die mittlere Dichte derjenigen Congruenzen  $n^{\text{ten}}$  Grades, die keine Wurzeln besitzen, so kann man das folgende Theorem aussprechen:

Die mittlere Dichte derjenigen Congruenzen  $n^{\text{ten}}$  Grades modulo  $p$ , welche keine Wurzeln zulassen, besitzt für  $n \geq p$  den von  $n$  unabhängigen Werth  $\left(1 - \frac{1}{p}\right)^p$  und nähert sich mit wachsendem Modul der Grenze  $e^{-1}$ .

Dieser Satz gewährt einen Einblick in die Wahrscheinlichkeit, dass eine willkürlich angenommene Congruenz  $n^{\text{ten}}$  Grades Wurzeln besitzt, im Falle, als  $n \geq p$  ist und  $p$  einen grossen Werth hat; sie ist etwas kleiner als  $\frac{2}{3}$ .

## 6.

Die vorstehenden Betrachtungen gestatten auch eine Anwendung auf den von Kronecker eingeführten Begriff des Ranges eines Systems von Grössen, worauf mein hochverehrter Lehrer Herr Prof. Gegenbauer mich aufmerksam zu machen die Güte hatte.

Nach einem Satze von Herrn Julius König, den Herr Gustav Rados bewiesen hat,<sup>1</sup> besitzt die Congruenz

$$a_0 x^{p-2} + a_1 x^{p-3} + \dots + a_{p-2} = 0 \pmod{p} \quad (\text{VIII})$$

unter der Voraussetzung, dass  $a_{p-2}$  nicht durch die ungerade Primzahl  $p$  theilbar ist, dann und nur dann genau  $p-1-i$  verschiedene Wurzeln, wenn alle Subdeterminanten  $(i+1)$ ter Ordnung der Determinante

$$|a_{j+\kappa}| \quad \left( \begin{array}{l} j, \kappa = 0, 1, \dots, p-2 \\ a_{j+p-1} = a_j \end{array} \right),$$

aber nicht alle Subdeterminanten  $i$ ter Ordnung modulo  $p$  verschwinden, wenn also nach der Definition Kronecker's<sup>2</sup> das System der  $(p-1)^2$  Grössen

$$a_{j+\kappa}$$

den Rang  $i$  bezüglich des Moduls  $p$  besitzt.

Bezeichnet nun  $a_{r-1}$  die erste durch  $p$  nicht theilbare Zahl der Reihe

$$a_0, a_1, \dots, a_{p-2},$$

so soll gesagt werden, das Grössensystem

$$a_{j+\kappa} \quad \left( \begin{array}{l} j, \kappa = 0, 1, \dots, p-2 \\ a_{j+p-1} = a_j \end{array} \right)$$

habe die Ordnung  $r$  modulo  $p$ .

<sup>1</sup> Rados, Zur Theorie der Congruenzen höheren Grades. Journ. f. r. und ang. Math., Bd. 99, S. 258–280.

Vergl. z. B. Kronecker, Periodensyst. von Functionen reeller Var., Berliner Sitzungsber., 1884, XLVI.

In diesem Falle besitzt die Congruenz (VIII) den Grad  $p-1-r$  und der Coëfficient  $a_{r-1}$  kann nach Multiplication der Congruenz mit einer geeigneten Zahl gleich der Einheit angenommen werden. Die Grössen  $a_{j+\kappa}$  erleiden hiedurch nur insofern eine Veränderung, als alle mit einem und demselben durch  $p$  nicht theilbaren Factor multiplicirt erscheinen. Zwei Grössensysteme aber, welche sich bloss in der angegebenen Art unterscheiden, haben augenscheinlich denselben Rang und sollen als nicht wesentlich von einander verschieden betrachtet werden.

Nach einem dem Satze 2 in Nr. 4 analogen Satz ist die Anzahl derjenigen Congruenzen vom Grade  $p-1-r$ , welche genau  $p-1-i$  verschiedene Wurzeln (den Werth 0 ausgeschlossen) besitzen, gleich dem Producte

$$\binom{p-1}{p-1-i} \psi(\overline{p-1-r-p-1-i}).$$

Man ist mithin zu dem folgenden Theorem gelangt:

Es gibt  $\binom{p-1}{i} \psi(i-r)$  wesentlich von einander verschiedene Systeme  $a_{j+\kappa}$  vom Range  $i$  und der Ordnung  $r$  modulo  $p$ .

$$\left( \begin{array}{l} j, \kappa = 0, 1, \dots, p-2, \\ a_{j+\overline{p-1}} = a_j, \quad a_{p-2} \not\equiv 0 \pmod{p} \end{array} \right)^1.$$

## 7.

Zum Schlusse mögen noch folgende Bemerkungen Platz finden.

Zu der Gleichung (III) hätte man auch noch auf einem anderen Wege successive gelangen können.

Scheidet man nämlich zunächst aus der Gesammtheit der  $p^n$  Congruenzen  $f_n(x) \equiv 0 \pmod{p}$  alle  $p^{n-1}$  Congruenzen,

<sup>1</sup> Man vergleiche hiezu den Ausdruck für die Anzahl aller möglichen modulo  $p$  verschiedenen Systeme vom Range  $i$  mit bestimmter Zeilen- und Colonnenzahl, welchen Herr Georg Landsberg im Journ. f. r. und ang. Math. Bd. 111, S. 87 angibt.

welche den Factor  $x-a_1$  besitzen, aus, so bleiben  $\psi(n, 1) = p^n - p^{n-1}$  Congruenzen übrig. Von diesen hat man wieder diejenigen, welche den Factor  $x-a_2$ , also die Form  $(x-a_2) \cdot f_{n-1}(x) \equiv 0$  haben, zu entfernen, wo jedoch das im Übrigen beliebige Polynom  $(n-1)$ ten Grades  $f_{n-1}(x)$  nicht durch  $x-a_1$  theilbar ist. Die Anzahl der zulässigen Functionen  $f_{n-1}(x)$  wurde aber eben ermittelt; sie wird ausgedrückt durch  $\psi(n-1, 1)$ . Es bleiben mithin  $\psi(n, 2) = \psi(n, 1) - \psi(n-1, 1)$  Congruenzen stehen, welche weder durch  $x-a_1$ , noch durch  $x-a_2$  theilbar sind. Von diesen hat man wieder diejenigen wegzunehmen, welche den Factor  $x-a_3$ , also die Form  $(x-a_3)f_{n-1}(x) \equiv 0$  besitzen, deren Anzahl eben als  $\psi(n-1, 2)$  ermittelt wurde u. s. f.

Man gelangt auf diese Art allgemein zu der Relation (V), deren wahre Bedeutung hier in Evidenz tritt und beweist auf Grund derselben mittelst vollständiger Induction die Gleichung (III).

Schliesslich sei ausdrücklich hervorgehoben, dass das in Nr. 2 auseinandergesetzte Verfahren wesentlich auf der Eindeutigkeit der Form (II) modulo  $p$  beruht, und dass dasselbe auch in anderen Fällen, wo ebenfalls eine eindeutige Zerlegung stattfindet, angewendet werden kann.

Beispielsweise ist bekanntlich die Zerlegung von  $f(x)$  überhaupt in irreductible Factoren modulo  $p$  nur auf eine Weise möglich. Bezeichnet man demnach mit  $\chi(i)$  die Anzahl der irreductiblen Functionen  $i$ ten Grades modulo  $p$ , so wird die Anzahl derjenigen Congruenzen  $n$ ten Grades, die keinen irreductiblen Factor  $i$ ten Grades zulassen, auf Grund des angegebenen Verfahrens durch den Ausdruck

$$\Psi(n, \chi(i)) = p^n - \binom{\chi(i)}{1} p^{n-i} + \binom{\chi(i)}{2} p^{n-2i} - \dots + \dots$$

bestimmt werden.

Es leuchtet ein, dass  $\Psi(n, \chi(i))$  analogen Formeln, wie sie in Nr. 3 für  $\psi(n, \kappa)$  entwickelt wurden, genügen wird. Hier sei bloss das eine Resultat hervorgehoben:

Die mittlere Dichte derjenigen Functionen  $n$ ten Grades, die modulo  $p$  durch keinen irreductiblen Factor  $i$ ten Grades theilbar sind, nähert sich mit wachsendem Modul der Grenze  $e^{-\frac{1}{i}}$  ( $n > i \cdot \chi(i)$ )

Man gelangt zu diesem Satze auf dem nämlichen Wege, der in Nr. 4 eingeschlagen wurde, unter Benutzung des in der Literatur<sup>1</sup> vorfindlichen Ausdrucks für

$$\chi(i) = \frac{\sum_d p^d \mu\left(\frac{i}{d}\right)}{i},$$

wo die Summe sich auf alle Theiler von  $i$  zu erstrecken hat und  $\mu(x)$  die bekannte zahlentheoretische Function bedeutet.

---

<sup>1</sup> Serret, Algebra II, deutsche Ausgabe, 1868, S. 111.

# Über die Beziehung zwischen Helligkeit und Eigenbewegung der Fixsterne

von

Dr. Gustav Jäger.

(Mit 4 Textfiguren.)

(Vorgelegt in der Sitzung am 18. Jänner 1894.)

In seiner Abhandlung »Zählung der nördlichen Sterne im Bonner Verzeichnisse nach Grössen«<sup>1</sup> zeigt K. v. Littrow, dass die Folgerungen aus der Annahme, die Sterne haben im Allgemeinen dieselbe Entfernung von einander und dieselbe Helligkeit, zu keinem Widerspruche mit den thatsächlichen Verhältnissen führen, wenn man sich auf die Sterne erster bis zwölfter Grösse beschränkt. Dabei verfährt er folgendermassen. Bezeichnen wir mit  $z_m$  die Zahl der Sterne bis inclusive einer gewissen Grössenklasse, und nennen wir analog  $r_{m+1}$  den Radius der betreffenden Kugel, so ist, wenn  $k$  eine Constante bedeutet,

$$z_m = k r_{m+1}^3 \quad (1)$$

oder

$$r_{m+1} = \sqrt[3]{\frac{z_m}{k}}. \quad (2)$$

Alle Sterne der  $m$ -Grösse befinden sich in der Hohlkugel zwischen den Radien  $r_m$  und  $r_{m+1}$ . Die Helligkeit der Sterne an der inneren Grenze einer solchen Hohlkugel kann durch  $\frac{c}{r_m^2}$ , wo  $c$  wieder eine Constante, an der äusseren durch  $\frac{c}{r_{m+1}^2}$  ausgedrückt werden, somit die mittlere Helligkeit  $H_m$  der Sterne dieser Hohlkugel durch

<sup>1</sup> Wiener Ber., LIX, S. 569 ff, 1869.

$$H_m = \frac{1}{r_{m+1} - r_m} \int_{r_m}^{r_{m+1}} \frac{cd r}{r^2} = \frac{c}{r_m r_{m+1}}. \quad (3)$$

Nach dem Sinne, in welchem man die Schätzung von Sterngrössen gewöhnlich auffasst, ist ferner

$$\frac{H_{m+1}}{H_m} = \frac{r_m}{r_{m+2}} = \sqrt[3]{\frac{z_{m-1}}{z_{m+1}}} = \delta, \quad (4)$$

eine Constante. Indem man nun für  $z_{m-1}$  und  $z_{m+1}$  die bekannten Zahlen von  $z_6$  und  $z_8$  einsetzt, ferner  $H_1 = 1$  und  $r_2 = 1$  macht, lassen sich aus den vorhandenen Gleichungen die Werthe für  $k$ ,  $c$  und  $\delta$  finden. Da nun weiter

$$\frac{r_m}{r_{m+1}} = \frac{r_{m+1}}{r_{m+2}},$$

so folgt nach Gleichung (4)

$$\frac{r_m}{r_{m+1}} = \sqrt[3]{\frac{z_{m-1}}{z_m}} = \sqrt{\delta},$$

folglich

$$z_{m-1} = z_m \sqrt{\delta^3}. \quad (5)$$

Die Zahl der Sterne  $m^{\text{ter}}$  Grösse allein ist gegeben durch

$$Z_m = z_m - z_{m-1} = z_m (1 - \sqrt{\delta^3}). \quad (6)$$

Berechnet man nach dieser Formel die Zahl der Sterne der verschiedenen Grössenklassen, so ist die Übereinstimmung mit der directen Zählung eine sehr befriedigende.

Wie man annehmen kann, die Helligkeit der Fixsterne sei durch deren Entfernung bedingt, so liegt es auch nahe, die wahren Eigenbewegungen der Sterne als durchschnittlich gleich und die scheinbare Verschiedenheit bloss als Folge der verschiedenen Entfernung zu betrachten. Auf Grund dieser Annahme findet Struve<sup>1</sup> folgende Tabelle.

<sup>1</sup> Siehe Klein, Fixsternhimmel, S. 123.

1. und 2. Classe;	Entfernung	1·00
3. »	»	1·32
4. »	»	1·62
5. »	»	2·00
6. »	»	2·45
7. »	»	2·56

Nimmt man hingegen die wahre Helligkeit als gleich gross an, so erhält man

1. und 2. Classe;	Entfernung	1·00
3. »	»	1·89
4. »	»	2·76
5. »	»	4·00
6. »	»	5·78
7. »	»	8·32

Diese beiden Zahlenreihen lassen sich nicht vereinen, und infolge dessen können die beiden Annahmen über die gleiche Vertheilung der Fixsterne, sowohl der Helligkeit, als auch der Eigenbewegung nach nicht gleichzeitig bestehen.

In neuerer Zeit hat nun O. Stumpe in seiner Abhandlung »Untersuchungen über die Bewegung des Sonnensystems«<sup>1</sup> gezeigt, dass sich die gleichmässige Vertheilung der Eigenbewegungen der Fixsterne aufrecht erhalten lässt. Er vereinigt zu dem Zwecke die Sterne in vier Gruppen, wie folgt:

1. Gruppe.	Jährliche Eigenbewegung	0'16—0'32..551 Sterne
2. »	»	0'32—0'64..340 »
3. »	»	0'64—1'28..105 »
4. »	»	1'28—∞ .. 58 »

Stumpe folgert nun: »Da das Mittel der Eigenbewegungen für die vier Sterngruppen der Reihe nach

0'23, 0'43, 0'85, 2'39

ist, so erhält nicht nur die allerdings von vorneherein plausible Annahme, dass die Sterne mit grösserer Eigenbewegung uns

<sup>1</sup> Astr. Nachr. CXXV, S. 385 ff.



näher sind, als die mit geringerer, ihre volle Berechtigung, sondern es scheint sich sogar direct das Gesetz auszusprechen, dass die Entfernungen der Sterne umgekehrt proportional sind der Grösse ihrer Eigenbewegung.

Bemerkenswerth ist ferner, dass sich für die vier Sterngruppen ein Gang nach den Helligkeitsgruppen nicht zeigt. Es sind im Mittel die Helligkeiten der Sterne in den vier Gruppen

$$6.0^m, \quad 6.7^m, \quad 6.1^m, \quad 6.5^m.$$

Hieraus scheint hervorzugehen, dass die Grösse der Eigenbewegung ein sichereres Kriterium, die Entfernungsverhältnisse der Fixsterne zu bestimmen, bietet als die Helligkeit.

So sehen wir denn, dass sowohl die eine Annahme, die Eigenbewegungen seien für alle Sterne gleich gross, als auch die Annahme, die Leuchtstärke sei im Allgemeinen für alle Sterne dieselbe, während eine die andere ausschliesst, eine jede für sich wohl bestehen kann. Zweck der folgenden Untersuchung ist nun, diese beiden Annahmen so zu verallgemeinern, dass nicht nur jede für sich als Bild der wirklichen Verhältnisse gelten kann, sondern gleichzeitig die eine durch die andere bedingt wird.

Wir lassen die Voraussetzung, dass die Lichtstärke für alle Sterne dieselbe sei, fallen, jedoch wollen wir die Annahme beibehalten, dass die Sterne ein und derselben Leuchtkraft im Raume gleichmässig vertheilt seien. Die scheinbare Helligkeit lässt sich dann wiederum, wenn wir die K. v. Littrow'sche Bezeichnungsweise beibehalten, nach Gleichung (3) darstellen durch

$$H_m = \frac{c'}{r_m' r_{m+1}'} = \frac{c''}{r_m'' r_{m+1}''} = \dots = \frac{c^{(n)}}{r_m^{(n)} r_{m+1}^{(n)}}.$$

Dabei sind also die verschiedenen  $c$  proportional der Lichtmenge, welche die entsprechenden Sterne in Wirklichkeit ausstrahlen. Es folgt weiter

$$\frac{H_{m+1}}{H_m} = \frac{r_m'}{r_{m+2}'} = \frac{r_m''}{r_{m+2}''} = \dots = \frac{r_m^{(n)}}{r_{m+2}^{(n)}} = \delta.$$

Bezeichnen wir nun mit  $z_m'$  die Zahl jener Sterne, welche innerhalb des Kugelraumes vom Radius  $r_{m+1}$  liegen und in

ihrer wahren Leuchtstärke der Constanten  $c'$  entsprechen, in gleicher Weise mit  $z_m''$  die Zahl jener Sterne, welche sich auf  $c''$  und  $r_{m+1}''$  beziehen u. s. f., so ergibt sich

$$z_m' = k' r_{m+1}'^3, z_m'' = k'' r_{m+1}''^3, \dots z_m^{(n)} = k^{(n)} r_{m+1}^{(n)3}.$$

Hiebei sind die verschiedenen  $k$  Constanten, welche lediglich von der Zahl der Sterne einer jeden Classe in einem bestimmten Volumen abhängen.

Nennen wir nun die Zahl sämmtlicher Sterne, deren Helligkeit gleich oder grösser als  $H_m$  ist,  $z_m$ , so ist

$$z_m = z_m' + z_m'' + \dots + z_m^{(n)} = k' r_{m+1}'^3 + k'' r_{m+1}''^3 + \dots + k^{(n)} r_{m+1}^{(n)3}.$$

Ferner erhalten wir

$$\frac{H_{m+1}}{H_m} = \sqrt[3]{\frac{z_{m-1}'}{z_{m+1}'}} = \sqrt[3]{\frac{z_{m-1}''}{z_{m+1}''}} = \dots = \sqrt[3]{\frac{z_{m-1}^{(n)}}{z_{m+1}^{(n)}}} = \sqrt[3]{\frac{z_{m-1}}{z_{m+1}}} = \delta.$$

Das ist aber dieselbe Gleichung, wie Gleichung (4). Wir können daher auch hier dieselben Folgerungen machen, wie dort. Es ist ebenfalls

$$\sqrt[3]{\frac{z_{m-1}}{z_m}} = \sqrt{\delta}, \quad z_{m-1} = z_m \sqrt{\delta^3},$$

und es ist die Zahl der Sterne  $m^{\text{ter}}$  Grösse durch die Gleichung

$$Z_m = z_m - z_{m-1} = z_m (1 - \sqrt{\delta^3})$$

gegeben.

Wie wir schon erwähnt haben, entspricht diese Gleichung den thatsächlichen Verhältnissen. Es hindert uns also gar nichts anzunehmen, dass die Lichtmengen, welche die verschiedenen Sterne aussenden, innerhalb des Intervalls  $0 - \infty$  variiren können. Bedingung ist nur, dass die Sterne verschiedener Lichtstärke über den ganzen Himmelsraum gleichmässig vertheilt sind, was nach dem Obigen für die Sterne erster bis zwölfter Grösse zutrifft.

Wiederum finde ich hier, wie ich schon seinerzeit auf anderem Wege in der Abhandlung »Folgerungen aus den Eigenbewegungen der Fixsterne« <sup>1</sup> gezeigt habe, die grosse Analogie

<sup>1</sup> Monatsh. für Math. und Phys. II.

zwischen dem gasförmigen und dem Zustande des Weltalls. Nur sind hier die Sterne das, was wir dort Molekeln nennen. In einem Gase können wir nicht annehmen, dass einer jeden Molekel dieselbe Temperatur zukommt, sondern das, was wir die Temperatur eines Gases nennen, ist nur das Mittel der Temperaturen der einzelnen Molekeln, welche, nach der absoluten Temperaturscala gemessen, zwischen 0 und  $\infty$  variiren können. Es ergibt sich das unmittelbar aus dem Maxwell'schen Vertheilungsgesetz der Geschwindigkeiten der Molekeln in einem Gase, indem ja die Temperatur einer Molekel von der jeweiligen Geschwindigkeit derselben abhängig ist.

In gleicher Weise fanden wir nun auch für die Himmelskörper, dass die Temperaturen derselben — denn nach diesen richten sich ja die ausgestrahlten Lichtmengen — nach einem bestimmten Gesetze vertheilt sein müssen. Welcher Art jedoch dieses Gesetz ist, können wir aus dem Bisherigen nicht erschliessen, indem ja zwischen den verschiedenen Werthen von  $c$  und  $k$  die willkürlichsten Beziehungen angenommen werden können, ohne dass dadurch das Resultat unserer Untersuchung gestört wird.

Desgleichen ist ersichtlich, dass, wenn die wahren Eigenbewegungen der Himmelskörper im Allgemeinen gleich und die scheinbaren nur durch die verschiedene Entfernung der Sterne bedingt wären, die gleich grossen scheinbaren Eigenbewegungen sich auf die verschiedensten Sternklassen vertheilen müssten, da ja aus ein und derselben Entfernung von den verschiedenen Sternen uns ganz verschiedene Lichtmengen zugesandt werden können.

Damit wäre eigentlich schon der Widerspruch gelöst, welcher sich in den eingangs erwähnten Annahmen zeigt. Doch wir wollen uns damit noch nicht begnügen, sondern es soll auch für die Eigenbewegungen nachgewiesen werden, dass eine jede Annahme bezüglich der Vertheilung der wahren Eigenbewegungen für das Resultat vollständig willkürlich ist, wenn nur wiederum das angenommene Vertheilungsgesetz auf den ganzen Himmelsraum ausgedehnt wird.

Die scheinbare Eigenbewegung eines Sternes rührt zum Theil von der wahren Eigenbewegung desselben, zum Theil

von der Eigenbewegung des Sonnensystems her. Wir wollen demnach unsere Untersuchung in zwei Theile zerlegen. Zuerst wollen wir annehmen, alle Sterne stehen still und die scheinbaren Eigenbewegungen rühren nur von der Bewegung des Sonnensystems her. Im zweiten Falle lassen wir das Sonnensystem stillstehen und nur die Sterne sich bewegen. Bewegt sich nur die Sonne in  $O$  (Fig. 1) in der Richtung  $OR$  mit der absoluten Geschwindigkeit  $v$ , so hat das für das Auge dieselbe Wirkung, als würde sich der Stern  $S$  mit derselben Geschwindigkeit, aber in entgegengesetzter Richtung bewegen. Die Entfernung des Sternes von der Sonne sei  $r$ , und es schliesse die Verbindungsgerade Sonne — Stern mit der Bewegungsrichtung der Sonne den Winkel  $\alpha$  ein, so ist die scheinbare laterale Eigenbewegung  $c$  des Sternes durch die Gleichung

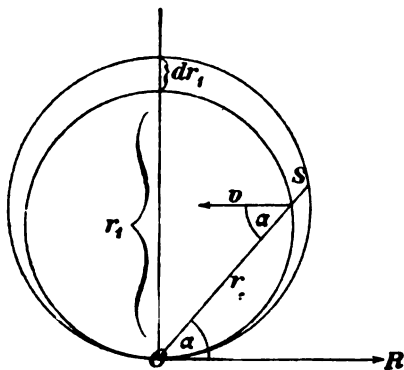


Fig. 1.

$$c = \frac{v \sin \alpha}{r}$$

gegeben. Das ist, wie Fig. 1 zeigt, die Gleichung eines Kreises, welcher von der  $OR$ -Achse tangirt wird. Lassen wir diesen Kreis um die Achse rotiren, so erhalten wir eine wulstförmige Fläche und es haben alle Sterne, welche sich auf dieser Fläche befinden, dieselbe Eigenbewegung. Daraus ist schon ersichtlich, dass die Eigenbewegung des Sternes nicht nur von seiner Entfernung, sondern auch von seiner Lage gegen das Sonnensystem abhängt. Es kann für ein und dieselbe Eigenbewegung  $c$  die Entfernung des Sternes von  $O$  bis  $r_1$  wachsen, wenn wir mit  $r_1$  den Durchmesser des Kreises bezeichnen, und zwar sei unter  $r_1$  jener Durchmesser verstanden, welcher auf  $OR$  senkrecht steht.

Wächst  $r$  um  $dr$  bei constantem  $\alpha$ , so nimmt  $r_1$  um  $dr_1$  zu und es ist  $dr = dr_1 \sin \alpha$ , da ja  $r = r_1 \sin \alpha$ . Lassen wir noch  $\alpha$  um  $d\alpha$  wachsen, so erhalten wir ein Volumelement der Wulstes von der Grösse

$$2 \pi r^2 \sin \alpha d\alpha dr = 2 \pi r_1^2 \sin^3 \alpha d\alpha dr_1.$$

Ist ferner die Zahl der Sterne in der Volumeinheit  $\Lambda$ , so resultirt für die Zahl der Sterne in unserem Volumelemente

$$2 \pi N r_1^2 dr_1 \sin^3 \alpha d\alpha. \quad (I)$$

Integriren wir diesen Ausdruck für die Variable  $\alpha$  von 0 bis  $\pi$ , so erhalten wir die Zahl jener Sterne, welche die Eigenbewegung  $c$  besitzen. Dieselbe ist, da

$$\int_0^\pi \sin^3 \alpha d\alpha = \frac{3}{8} \pi,$$

$$Z' = \frac{3}{4} \pi^2 N r_1^2 dr_1. \quad (7)$$

Bedenken wir nun, dass  $c = \frac{v}{r_1}$ , so ergibt sich in gleicher Weise für eine andere Eigenbewegung  $c' = \frac{v}{r'_1}$ , oder

$$r_1 = \frac{v}{c}, \quad r'_1 = \frac{v}{c'}.$$

Die Zahl  $Z$  sämtlicher Sterne, deren Eigenbewegungen zwischen  $c$  und  $c'$  liegen, erhalten wir nun, wenn wir Gleichung (7) von  $r_1$  bis  $r'_1$ , d. i. von  $\frac{v}{c}$  bis  $\frac{v}{c'}$  integriren. Dies ergibt dann

$$Z = \frac{3}{4} \pi^2 N \int_{r_1}^{r'_1} r_1^2 dr_1 = \frac{\pi^2 N}{4} (r_1'^3 - r_1^3) = \frac{\pi^2 N v^3}{4} \left( \frac{1}{c'^3} - \frac{1}{c^3} \right), \quad (8)$$

wobei natürlich  $c > c'$  ist.

Wir wollen nun den zweiten Fall untersuchen. Zur Vereinfachung nehmen wir an, sämtliche Sterne hätten dieselbe wahre Eigenbewegung, doch seien die Bewegungsrichtungen

regelmässig im Raume vertheilt, während das Sonnensystem still stehe. Wiederum erhalten wir für  $c$ , wie aus Fig. 1 ersichtlich,

$$c = \frac{u \sin \alpha}{r}.$$

Nur ist  $OR$  jetzt eine willkürlich gelegte Coordinatenachse, während  $u$  die wirkliche Geschwindigkeit der Sterne sein soll. In gleicher Weise gestaltet sich jede weitere Rechnung genau so, wie für den früheren Fall, so dass wir auch hier schliesslich für die Zahl der Sterne, deren Eigenbewegungen zwischen zwei bestimmten Grenzen liegen, die Gleichung (8) erhalten. Wir können also ohneweiters die Eigenbewegung der Sonne auf die Sterne und umgekehrt übertragen, ohne dass wir an der Erscheinung etwas ändern. Daraus folgt, dass, wenn sowohl die Sterne mit einer Geschwindigkeit  $u$  begabt sind, als auch die Sonne mit einer Geschwindigkeit  $v$  sich bewegt, das wahre Resultat für die Zahl der Sterne, deren Eigenbewegung zwischen  $c$  und  $c'$  liegt, durch die Gleichung

$$\begin{aligned} Z &= \frac{\pi^2 N}{4} (r_1'^3 - r_1^3) = \frac{\pi^2 N (u+v)^3}{4} \left( \frac{1}{c'^3} - \frac{1}{c^3} \right) = \\ &= \frac{\pi^2 N w^3}{4} \left( \frac{1}{c'^3} - \frac{1}{c^3} \right) = k \left( \frac{1}{c'^3} - \frac{1}{c^3} \right) \quad (9) \end{aligned}$$

gefunden wird, wobei natürlich

$$c = \frac{u+v}{r_1}, \quad c' = \frac{u+v}{r_1'}$$

zu setzen ist.

Wir wollen nun die Annahme, dass  $w$  für alle Sterne gleich sei, fallen lassen, und wie seinerzeit für die Lichtstärken, soll jetzt für die Eigenbewegungen angenommen werden, dass dieselben nach einem bestimmten Gesetze vertheilt sind, welches für den ganzen Himmelsraum gilt. Die verschiedenen Geschwindigkeiten seien  $w_1, w_2, \dots, w_n$ , die verschiedenen Werthe von  $r_1$  seien jetzt dargestellt durch  $\rho_1, \rho_2, \dots, \rho_n$ , so dass

$$c_1 = \frac{w_1}{\rho_1} = \frac{w_2}{\rho_2} = \dots = \frac{w_n}{\rho_n}$$

wird. Sind die zugehörigen Zahlen der Sterne in der Volumeneinheit  $N_1, N_2, \dots, N_n$ , so erhalten wir nach Gleichung (8), indem wir  $c' = c_1$ ,  $c = \infty$  setzen, für die Zahl sämtlicher Sterne, deren Eigenbewegung grösser als  $c_1$  ist,

$$\begin{aligned} Z_1 &= \frac{\pi^2}{4} (N_1 \rho_1^3 + N_2 \rho_2^3 + \dots + N_n \rho_n^3) = \\ &= \frac{\pi^2}{4 c_1^3} (N_1 w_1^3 + N_2 w_2^3 + \dots + N_n w_n^3). \end{aligned}$$

In gleicher Weise ergibt sich für die Zahl sämtlicher Sterne, deren Eigenbewegung grösser als  $c'_1$  ist, da nun

$$c'_1 = \frac{w_1}{\rho'_1} = \frac{w_2}{\rho'_2} = \dots = \frac{w_n}{\rho'_n},$$

$$Z'_1 = \frac{\pi^2}{4 c'^3_1} (N_1 w_1^3 + N_2 w_2^3 + \dots + N_n w_n^3).$$

Daraus folgt für die Zahl der Sterne, deren Eigenbewegung zwischen  $c$  und  $c'$  liegt,

$$\begin{aligned} Z &= Z'_1 - Z_1 = \frac{\pi^2}{4} (N_1 w_1^3 + N_2 w_2^3 + \dots + N_n w_n^3) \left( \frac{1}{c'^3_1} - \frac{1}{c^3_1} \right) = \\ &= k \left( \frac{1}{c'^3_1} - \frac{1}{c^3_1} \right). \end{aligned}$$

Indem wir nun

$$\frac{\pi^2}{4} (N_1 w_1^3 + N_2 w_2^3 + \dots + N_n w_n^3) = \frac{\pi^2 N w^3}{4} = k$$

setzen, erhalten wir wiederum die Gleichung (9), so dass wir auch bei der Annahme verschiedener Sternengeschwindigkeiten für die Vertheilung der scheinbaren Eigenbewegungen dasselbe Gesetz erhalten müssen, wie für die Annahme gleicher Geschwindigkeiten aller Sterne. Wiederum lässt sich über die Art des Gesetzes gar nichts aussagen, da eine jede Annahme zum selben Resultate führt.

Schon für den Fall, dass wir annehmen, Leuchtkraft und wahre Eigenbewegung sei für alle Sterne gleich gross, kommen

wegen der Gleichung  $c = \frac{w \sin \alpha}{r}$  den Sternen gleicher scheinbarer Eigenbewegung ganz verschiedene Entfernungen zu. Wie vielmehr muss das der Fall sein, wenn wir Leuchtkraft und wahre Eigenbewegung nach willkürlichen Gesetzen vertheilt annehmen. Es nimmt daher gar nicht Wunder, dass die vier Gruppen, in welche Stumpe die Sterne nach ihrer Eigenbewegung eingetheilt hat, so ziemlich dieselbe mittlere Helligkeit besitzen, und dass umgekehrt die mittlere Eigenbewegung der verschiedenen Grössenklassen der Sterne viel weniger varriert, als man von vornherein erwartet hat.

Man kann natürlich auch nach unserer neuen Anschauungsweise von der mittleren Entfernung der Sterne 1., 2. . . .  $n$ . Grösse sprechen. Nur ist dabei zu überlegen, dass diese Grössenklassen sich jetzt nicht mehr in getrennten Kugelschichten vorfinden, sondern dass die Sterne einer jeden Grössenklasse über den ganzen Raum vertheilt sein können.

Um die mittlere Entfernung einer bestimmten Grössenklasse zu finden, haben wir die Summe sämmtlicher Entfernungen durch die Zahl der Sterne dieser Classe zu dividiren. Somit ist die mittlere Entfernung

$$r_m = \frac{N' r'_m + N'' r''_m + \dots + N^{(n)} r^{(n)}_m}{N},$$

wenn wir

$$N = N' + N'' + \dots + N^{(n)}$$

setzen. In gleicher Weise ist

$$r_{m+2} = \frac{N' r'_{m+2} + N'' r''_{m+2} + \dots + N^{(n)} r^{(n)}_{m+2}}{N}.$$

Da nun

$$\frac{H_{m+1}}{H_m} = \frac{r'_m}{r'_{m+2}} = \frac{r''_m}{r''_{m+2}} = \dots = \frac{r^{(n)}_m}{r^{(n)}_{m+2}},$$

so ist auch

$$\frac{H_{m+1}}{H_m} = \frac{N' r'_m + N'' r''_m + \dots + N^{(n)} r^{(n)}_m}{N' r'_{m+2} + N'' r''_{m+2} + \dots + N^{(n)} r^{(n)}_{m+2}} = \frac{r_m}{r_{m+2}}.$$



Das heisst es stehen die mittleren Entfernungen der einzelnen Grössenklassen der Fixsterne im selben Verhältnisse, wie wir es nach Gleichung (4) erhalten haben, welche aus der Annahme gleicher wirklicher Helligkeit für alle Fixsterne entsprang.

Auf ganz analoge Weise lässt sich natürlich auch bei den Eigenbewegungen verfahren. Auch da ändert sich für das Verhältniss der mittleren Entfernung der Sterne verschiedener scheinbarer Eigenbewegung durch unsere erweiterte Annahme nichts.

Bei einem Vergleich von Zählung und Rechnung muss natürlich immer vorausgesetzt werden, dass die Zählung erschöpfend ist. Das ist bei den verschiedenen Grössenklassen der Sterne als sicher anzunehmen, da man es ja hier nur mit Sternen zu thun hat, die man auch thatsächlich sieht. Nicht so ist es bei den Eigenbewegungen, zumal wenn man zu kleineren Werthen derselben herabsteigt. Da ist es sehr wahrscheinlich, dass viele Sterne wegen ihrer geringen Helligkeit vollständig übersehen werden. Man hat ja die Bestimmung der Eigenbewegung nur etwa auf Sterne 1. bis 7. Grösse ausgedehnt. Das hat zur Folge, dass sich das Gesetz, welches durch Gleichung (8) dargestellt wird, nur für die grösseren Eigenbewegungen prüfen lässt, wie es Stumpe gethan hat. Hier dürfte die Zahl der Sterne, welche einer jeden Gruppe zukommt, ziemlich vollständig sein. Die Beschränkung auf grössere Eigenbewegungen führt aber wieder den Nachtheil mit sich, dass die Zahl der Sterne eine geringe wird. So beträgt dieselbe bei Stumpe z. B. nur 1055. Würde man sich bei der Prüfung des Helligkeitsgesetzes auf dieselbe Anzahl beschränken, so wäre die Übereinstimmung zwischen Zählung und Rechnung eine ungemein rohe. Es sei erwähnt, dass K. v. Littrow seine Untersuchungen über eine Zahl von fast 60.000 Sternen ausdehnte.

Wir wollen daher untersuchen, welche Vertheilung der scheinbaren Eigenbewegungen sich ergibt, wenn wir unsere Zählung nur auf einen bestimmten Raum beziehen. Wir stellen z. B. die ganz bestimmte Frage: Wie vertheilen sich die scheinbaren Eigenbewegungen über die Sterne 1. bis 4. Grösse? Beschränken wir uns bloss auf Verhältnisszahlen, so ist es für

die Rechnung, wie schon wiederholt gezeigt wurde, ganz gleichgiltig, welches Vertheilungsgesetz der wahren Helligkeiten und Eigenbewegungen wir annehmen. Wir setzen deshalb der Einfachheit halber voraus, die wahre Helligkeit und die wahre Eigenbewegung  $w$  sei für alle Sterne dieselbe. Unsere Aufgabe ist dann die, für eine bestimmte scheinbare Eigenbewegung  $c$  die Zahl der Sterne zu finden, welche innerhalb einer Kugel liegen, deren Radius  $\rho$  bis zur Grenze der Sterne 4. Grösse reicht. Es lässt sich dann der Ausdruck (I)

nicht ohneweiters über  $\alpha$  von 0 bis  $\frac{\pi}{2}$  und über  $r_1$  von 0 bis  $r_1$  integrieren, sondern wir haben dann verschiedene Fälle zu unterscheiden, für welche verschiedene Integrationsgrenzen einzusetzen sind.

Ist  $r_1 = \frac{w}{c}$  kleiner als  $\rho$ , so ist die Zahl der Sterne, deren Eigenbewegung zwischen 0 und  $c$  liegt, proportional dem Volumen, welches von der Kugel mit dem Radius  $\rho$  und von der Oberfläche des Wulstes begrenzt wird, welcher durch Rotation eines Kreises vom Durchmesser  $r_1$  um die Achse  $OR$  als Tangente entsteht. In Fig. 2 ist dieser Raum durch Schraffen gekennzeichnet. Dieses Volumen entspricht dem Ausdrucke

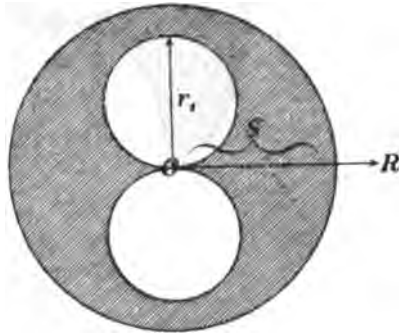


Fig. 2.

$$\frac{4\pi}{3} \rho^3 - \frac{\pi^2}{4} r_1^3.$$

Der zweite Fall ist derjenige, dass

$$\rho < r_1 < \sqrt{2} \rho.$$

Für diesen Fall haben wir an der erzeugenden Curve unseres Rotationskörpers, wie Fig. 3 zeigt, drei Stücke zu unterscheiden, nämlich  $OA$ ,  $AB$  und  $BC$ .  $A$  ist der Durchschnittpunkt des Kreises mit der Senkrechten, welche von  $B$



daher ist das zugehörige Volumen gleich

$$\pi \int_{x_1}^{\rho} (\rho^2 - x^2) dx.$$

Das Volumen, welches von dem Kreissegmente  $AB$  erzeugt wird, wollen wir nach dem Guldin'schen Theorem berechnen, indem wir die Fläche des Segments

$$2 \int_{x_1}^{r_1} \sqrt{r_1^2 - x^2} dx$$

mit  $2\pi$  und der Ordinate des Schwerpunktes  $\frac{r_1}{2}$  multipliciren, wodurch wir

$$2\pi r_1 \int_{x_1}^{r_1} \sqrt{r_1^2 - x^2} dx$$

erhalten.

Es ist somit das Volum, innerhalb dessen sich unsere Sterne befinden, gleich

$$2\pi \int_0^{x_1} \left( \frac{r_1^2}{2} - r_1 \sqrt{\frac{r_1^2}{4} - x^2} - x^2 \right) dx + \\ + 2\pi \int_{x_1}^{\rho} (\rho^2 - x^2) dx + 4\pi r_1 \int_{x_1}^{r_1} \sqrt{r_1^2 - x^2} dx.$$

Multipliciren wir diesen Ausdruck mit der Zahl der Sterne in der Volumeinheit  $N$ , so ergibt sich die Zahl jener Sterne, deren Eigenbewegungen zwischen 0 und  $c$  liegen.

Der dritte Fall ist nun der, dass

$$r_1 > \sqrt{2}\rho$$

ist. Wir erhalten dann nach Analogie des Vorhergehenden, wie aus Fig. 4 zu ersehen ist, für das entsprechende Volumen

$$2\pi \int_0^{x_1} \left( \frac{r_1^2}{2} - r_1 \sqrt{\frac{r_1^2}{4} - x^2} - x^2 \right) dx + 2\pi \int_{x_1}^{\rho} (\rho^2 - x^2) dx.$$

Welcher von den drei Fällen bei einer bestimmten Aufgabe in Rechnung zu ziehen ist, muss sich aus der Art der

Aufgabe ergeben. Man sieht, dass man es dabei im Allgemeinen mit sehr verwickelten Rechnungen zu thun hat.

Für die Frage, welche wir uns oben stellten, die Vertheilung der Eigenbewegungen der Sterne 1. bis 4. Grösse zu bestimmen, genügt die Beziehung des ersten Falles. Es ist

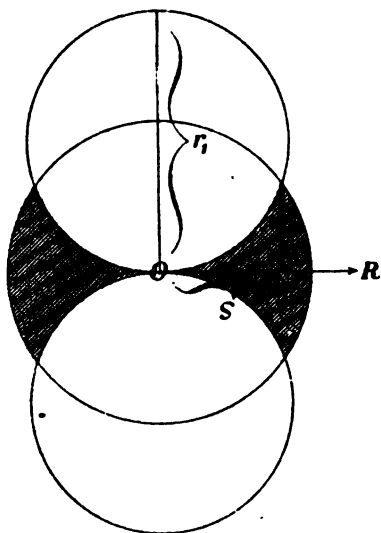


Fig. 4.

daher die Zahl der Sterne mit einer Eigenbewegung zwischen 0 und  $c$  gegeben durch

$$N\left(\frac{4\pi}{3}\rho^3 - \frac{\pi^2}{4}r_1^3\right) = \frac{4\pi}{3}N\rho^3 - \frac{\pi^2 N w^3}{4c^3} = a - \frac{b}{c^3},$$

wenn wir

$$\frac{4\pi}{3}N\rho^3 = a, \quad \frac{\pi^2 N w^3}{4} = b$$

setzen, wobei  $a$  und  $b$  Constanten sind.

In folgender Tabelle sind die Sterne 1. bis 4. Grösse, deren Eigenbewegungen zwischen 0 und  $c$  liegen, zusammengestellt, wie sie sich bei »Mädler, Untersuchungen über die Fixsternsysteme« vorfinden. Dabei ist  $c$  in Secunden für das Jahrhundert angegeben.

$c$	Zahl der Sterne
10	318
20	485
30	537
40	563

Setzen wir

$$a = 540, \quad b = 222000,$$

und berechnen wir daraus die verschiedenen Sternzahlen, so ergibt sich folgende Tabelle.

$c$	Zählung	Rechnung	Quotient
10	318	318	1·00
20	485	512	0·95
30	537	532	1·01
40	563	537	1·05

In der That stimmen Zählung und Rechnung so weit überein, wie man es bei der geringen Sternzahl erwarten kann.

Wenn wir für die Sterne 1. bis 4. Grösse die Annahme einer gleichen Vertheilung der Eigenbewegungen aufrecht halten können, so ist dies natürlich nicht massgebend für die übrigen Grössenklassen. Ja es dürfte mit Gewissheit anzunehmen sein, dass die lichtärmeren Sterne, d. h. die in Wahrheit kleineren Sterne im Durchschnitt eine grössere wahre Eigenbewegung haben, als die grösseren. Denn denkt man sich diese infolge der Vereinigung kleinerer Himmelskörper entstanden, so ist leicht einzusehen, dass wegen der Erhaltung des Schwerpunktes diese grösseren Massen sich langsamer fortbewegen müssen als die kleineren. Und darauf weisen ja auch thatsächlich die Beobachtungen hin.



Das Potential der inneren Kräfte und die Beziehungen zwischen den Deformationen und den Spannungen in elastisch isotropen Körpern bei Berücksichtigung von Gliedern, die bezüglich der Deformationselemente von dritter, beziehungsweise zweiter Ordnung sind

(I. Theil)

von

**Jos. Finger.**

(Vorgelegt in der Sitzung am 11. Jänner 1894.)

Das vor mehr als zwei Jahrhunderten aufgestellte Hooke'sche<sup>1</sup> Gesetz: »Ut tensio, sic vis«, d. i. das Gesetz der Proportionalität der Spannungen und der gleichzeitigen Deformationen bildet noch heute die gewöhnliche Grundlage der Elasticitätstheorie, denn die innerhalb der Elasticitätsgrenzen gewöhnlich als allgemein gültig angenommenen Elasticitätsgrundgesetze, die bekanntlich für isotrope Substanzen zuerst von Navier,<sup>2</sup> Poisson,<sup>3</sup> Cauchy<sup>4</sup> aus der Wechselwirkung der Moleküle theoretisch deducirt worden sind, setzen voraus, dass die

---

<sup>1</sup> Robert Hooke, »Lectures de potentia restitutiva or of Spring« (Philosophical tracts and collections, 1678). Das bekannte Anagramm *ceiiniossstluu* dieses Gesetzes findet sich schon in Hooke's »Decription of Helioscopes« (1676) vor.

<sup>2</sup> Navier, »Mémoire sur les lois de l'équilibre et du mouvement des corps solides élastiques« (Mémoires de l'Académie des sciences, 1824, Tome VII, p. 375 e. s.).

<sup>3</sup> Poisson, »Mémoire sur l'équilibre et le mouvement des corps élastiques« (Mémoires de l'Académie des sciences. Tome VIII, 1828, p. 357 e. s.).

<sup>4</sup> Cauchy, »Exercices de mathém.« Tome III, p. 188 (1828) und Tome IV, p. 129 (1829).



Spannungen lineare Functionen der Deformationsgrößen sind, indem Glieder, welche in Bezug auf die letzteren von höherer Ordnung sind, vernachlässigt werden. Nur das fragliche Verhältniss der beiden Elasticitätsconstanten, welches nach der Moleculartheorie sich für sämtliche isotrope Körper im Gegensatze zu den Beobachtungsergebnissen als constant ergab, war der Anlass von mannigfachen theoretischen und experimentellen Untersuchungen. Zwar wurde hie und da durch manche Beobachtungsergebnisse der Zweifel wachgerufen, ob das in den meisten Fällen wohl durch die Beobachtungen (von Wertheim, Edlund, Morin u. A.) bestätigte Proportionalitätsgesetz eine unbeschränkte Giltigkeit habe. Doch erst in neuerer Zeit ist durch genaue Beobachtungen von A. Miller<sup>1</sup> und von J. O. Thompson<sup>2</sup> festgestellt worden, dass selbst vollkommen elastische feste Körper das Proportionalitätsgesetz nicht genau befolgen, sondern dass dasselbe nur ein Näherungsgesetz ist und dass dementsprechend der sogenannte Elasticitätsmodul nicht als eine Elasticitätsconstante anzusehen ist, sondern dass derselbe mit zunehmender Belastung abnimmt. Diese Beobachtungsergebnisse und überdies gewisse theoretische, mit den Erfahrungsthatfachen nicht in Einklang zu bringende Folgerungen, zu welchen die Anwendung der derzeit herrschenden Elasticitätsgrundgesetze auf Untersuchungen aus dem Gebiete der mechanischen Wärmetheorie geführt haben, bewogen den Verfasser, auf theoretischem Wege die bei der Berechnung der Spannungen in isotropen Substanzen zu den bekannten linearen Gliedern hinzuzufügenden Glieder, die bezüglich der Deformationselemente von zweiter Ordnung sind, zu ermitteln, beziehungsweise das Potential der inneren Kräfte bis auf Glieder dritter Ordnung genau zu berechnen, und diese theoretischen Untersuchungen bilden den Gegenstand dieser Abhandlung.

<sup>1</sup> A. Miller, »Über die Grundlagen der Bestimmungsmethode des longitudinalen Elasticitätsmoduls« (Abhandlungen der königl. bayr. Akademie der Wissenschaften, II. Classe, Bd. 16, Jahrg. 1888).

<sup>2</sup> Jos. Osgood Thompson, »Über das Gesetz der elastischen Dehnung« (Wiedemann's Annalen, Bd. 44, Jahrg. 1891, S. 555—576).

Ein Element irgend eines festen oder flüssigen Körpers werde unter dem Einflusse irgend welcher Kräfte bei constant bleibender Temperatur deformirt. Infolge dieser Deformation erlangen die anfänglichen, zur Zeit  $t_0$  bestehenden und auf ein an der Deformation des Körpers nicht theilnehmendes, orthogonales Axensystem sich beziehenden Coordinaten  $xyz$  eines beliebigen Punktes  $m$ , welcher durch diese Deformation zur beliebigen Zeit  $t$  in die Lage  $M$  gelangt, zu dieser Zeit  $t$  die Werthe  $XYZ$ . Durch  $\xi\eta\zeta$  seien die als einwerthige und stetige Functionen von  $xyz$  und  $t$  vorausgesetzten Coordinatenänderungen (Componenten der Verschiebung) bezeichnet, so dass

$$\left. \begin{aligned} X &= x + \xi \\ Y &= y + \eta \\ Z &= z + \zeta \end{aligned} \right\} \quad (1)$$

ist.

Da in diesen Gleichungen die Grössen  $xyz$  von  $t$  unabhängig sind, während  $XYZ$  Functionen von  $xyz$  und  $t$  sind, so sind die Geschwindigkeitscomponenten  $u_x u_y u_z$  des Punktes  $M$  zur Zeit  $t$  durch die partiellen Differentialquotienten

$$\left. \begin{aligned} u_x &= \frac{\partial X}{\partial t} = \frac{\partial \xi}{\partial t} \\ u_y &= \frac{\partial Y}{\partial t} = \frac{\partial \eta}{\partial t} \\ u_z &= \frac{\partial Z}{\partial t} = \frac{\partial \zeta}{\partial t} \end{aligned} \right\} \quad (2)$$

bestimmt, welche gleichfalls Functionen der vier von einander unabhängigen Variablen  $xyz t$  sind. Die in der Elasticitätstheorie allgemein betrachteten Verschiebungsderivationen (shift-fluxions) für das dem Punkte  $M$  unmittelbar benachbarte, unendlich kleine Körperelement, dessen ursprüngliches Volum durch  $dv$  bezeichnet sei, sind zur Zeit  $t$

$$\left. \begin{aligned} \lambda_x &= \frac{\partial \xi}{\partial x}, \quad \lambda_y = \frac{\partial \eta}{\partial y}, \quad \lambda_z = \frac{\partial \zeta}{\partial z} \\ \mu_x &= \frac{\partial \zeta}{\partial y}, \quad \mu_y = \frac{\partial \xi}{\partial z}, \quad \mu_z = \frac{\partial \eta}{\partial x} \\ \nu_x &= \frac{\partial \eta}{\partial z}, \quad \nu_y = \frac{\partial \zeta}{\partial x}, \quad \nu_z = \frac{\partial \xi}{\partial y} \end{aligned} \right\} \quad (3)$$

Den Gleichungen (2) und (3) zufolge ist

$$\left. \begin{aligned} \frac{\partial u_x}{\partial x} &= \frac{\partial \lambda_x}{\partial t}, \quad \frac{\partial u_y}{\partial y} = \frac{\partial \lambda_y}{\partial t}, \quad \frac{\partial u_z}{\partial z} = \frac{\partial \lambda_z}{\partial t} \\ \frac{\partial u_z}{\partial y} &= \frac{\partial \mu_x}{\partial t}, \quad \frac{\partial u_x}{\partial z} = \frac{\partial \mu_y}{\partial t}, \quad \frac{\partial u_y}{\partial x} = \frac{\partial \mu_z}{\partial t} \\ \frac{\partial u_y}{\partial z} &= \frac{\partial \nu_x}{\partial t}, \quad \frac{\partial u_z}{\partial x} = \frac{\partial \nu_y}{\partial t}, \quad \frac{\partial u_x}{\partial y} = \frac{\partial \nu_z}{\partial t} \end{aligned} \right\} \quad (4)$$

Die Geschwindigkeitscomponenten eines dem Punkte  $m$  benachbarten Punktes  $m'$ , dessen anfänglichen Coordinaten  $x+dx, y+dy, z+dz$  sind und welcher durch die stattgehabte Deformation zur Zeit  $t$  in die Lage  $M'$  gelangt, haben zu dieser Zeit  $t$  die Werthe

$$\left. \begin{aligned} u_x + du_x &= u_x + \frac{\partial u_x}{\partial x} dx + \frac{\partial u_x}{\partial y} dy + \frac{\partial u_x}{\partial z} dz = \\ &= u_x + \frac{\partial \lambda_x}{\partial t} dx + \frac{\partial \nu_z}{\partial t} dy + \frac{\partial \mu_y}{\partial t} dz \\ u_y + du_y &= u_y + \frac{\partial u_y}{\partial x} dx + \frac{\partial u_y}{\partial y} dy + \frac{\partial u_y}{\partial z} dz = \\ &= u_y + \frac{\partial \mu_z}{\partial t} dx + \frac{\partial \lambda_y}{\partial t} dy + \frac{\partial \nu_x}{\partial t} dz \\ u_z + du_z &= u_z + \frac{\partial u_z}{\partial x} dx + \frac{\partial u_z}{\partial y} dy + \frac{\partial u_z}{\partial z} dz = \\ &= u_z + \frac{\partial \nu_y}{\partial t} dx + \frac{\partial \mu_x}{\partial t} dy + \frac{\partial \lambda_z}{\partial t} dz \end{aligned} \right\} \quad (5)$$

und die Coordinaten dieses Punktes  $M'$  zu derselben Zeit  $t$  sind  $X+dX, Y+dY, Z+dZ$ , wo

$$\left. \begin{aligned} dX &= d(x+\xi) = (1+\lambda_x) \cdot dx + \nu_z \cdot dy + \mu_y \cdot dz \\ dY &= d(y+\eta) = \mu_z \cdot dx + (1+\lambda_y) \cdot dy + \nu_x \cdot dz \\ dZ &= d(z+\zeta) = \nu_y \cdot dx + \mu_x \cdot dy + (1+\lambda_z) \cdot dz \end{aligned} \right\} \quad (6)$$

ist.

Da diese Gleichungen in Bezug auf  $dx dy dz$  linear sind, so ist die Deformation eines unendlich kleinen Elementes eine homogene, und es müssen daher sämtliche unendlich nahe an  $M$  gelegenen Punkte  $M'$ , die ursprünglich innerhalb irgend eines Tetraëders  $dv$  gelegen sind, nach der Deformation in ihrer Gesamtheit ein zweites Tetraëder  $dV$  bilden.

Dasjenige elementare Tetraëder nun, dessen Eckpunkte  $m_1 m_2 m_3$  ursprünglich die bezüglichen Coordinaten  $(x, y, z)$ ,  $(x+dx, y, z)$ ,  $(x, y+dy, z)$ ,  $(x, y, z+dz)$  besitzen und dessen anfängliches Volum  $dv = \frac{1}{6} dx \cdot dy \cdot dz$  ist, erlangt durch die Deformation zur Zeit  $t$  eine durch die neue Lage  $MM_1M_2M_3$  dieser Eckpunkte bestimmte Lage und Gestalt, für welche zufolge (6) die Coordinaten dieser vier Eckpunkte beziehungsweise  $[X, Y, Z]$ ,  $[X+(1+\lambda_x)dx, Y+\mu_x dx, Z+\nu_x dx]$ ,  $[X+\nu_y dy, Y+(1+\lambda_y)dy, Z+\mu_y dy]$ ,  $[X+\mu_z dz, Y+\nu_z dz, Z+(1+\lambda_z)dz]$  sind. Demgemäss ist das Volum  $dV$  des Tetraëders  $MM_1M_2M_3$  bestimmt durch

$$dV = D \cdot dv, \quad (7)$$

wofern  $D$  die Determinante

$$D = \begin{vmatrix} 1+\lambda_x & \mu_z & \nu_y \\ \nu_z & 1+\lambda_y & \mu_x \\ \mu_y & \nu_x & 1+\lambda_z \end{vmatrix} \quad (8)$$

bedeutet. Die Grösse der cubischen Dilatation  $\nu$  in der unmittelbaren Nachbarschaft des Punktes  $M$  ist demnach

$$\nu = \frac{dV - dv}{dv} = D - 1. \quad (9)$$

Die Componenten jener im Punkte  $M$  herrschenden Spannung, die sich auf ein Flächenelement bezieht, welches zur Zeit  $t$  im deformirten Körperelemente zur  $x$ -Axe, beziehungsweise  $y$ -Axe, beziehungsweise  $z$ -Axe normal ist, seien  $(X_x Y_x Z_x)$ , beziehungsweise  $(X_y Y_y Z_y)$ , beziehungsweise  $(X_z Y_z Z_z)$ , während  $p_x p_y p_z$  die Componenten der beschleunigenden äusseren Kraft zu derselben Zeit  $t$  bedeuten mögen. Die normalen Componenten  $X_x Y_y Z_z$  der Spannungen seien positiv oder negativ

in Rechnung gezogen, je nachdem dieselben Druck- oder Zugspannungen sind. Es sei vorausgesetzt, dass zum mindesten in der unmittelbaren Nachbarschaft des Punktes  $M$  die Componenten  $p_x p_y p_z$  und die cubische Dichtigkeit  $\delta$  stetige Functionen der Punktcoordinaten und der Zeit  $t$  sind, so dass auch innerhalb desselben Bereiches die früher erwähnten Componenten der Spannung und die Glieder der Gleichungen (4) als stetige Functionen derselben Variablen angesehen werden können. Zur selben Zeit  $t$  ist dann den Gleichungen (4) zufolge beim Übergange von einem Punkte zum anderen das Differential der componentalen Beschleunigung der Bewegung parallel zu irgend einer Axe, etwa parallel zur  $x$ -Axe, nämlich

$$d \frac{\partial u_x}{\partial t} = \frac{\partial^2 \lambda_x}{\partial t^2} \cdot dx + \frac{\partial^2 v_z}{\partial t^2} \cdot dy + \frac{\partial^2 \mu_y}{\partial t^2} \cdot dz$$

jedenfalls unendlich klein, so dass die Annahme gerechtfertigt ist, dass diese Beschleunigung  $\frac{\partial u_x}{\partial t}$  innerhalb der ganzen Ausdehnung eines Parallelepipeds, dessen vom Punkte  $M$  ausgehende Kanten mit den drei Coordinatenaxen gleichgerichtet sind und die Längen  $\Delta X, \Delta Y, \Delta Z$  haben, dasselbe Qualitätszeichen besitzt, wofern diese Kanten entsprechend klein gewählt werden. Es hat sonach auch  $P_x = \mu \cdot \frac{\partial u_x}{\partial t}$ , d. i. die  $X$ -Componente der Resultanten sämmtlicher Kräfte, die auf irgend einen innerhalb dieses Parallelepipeds befindlichen materiellen Punkt von der Masse  $\mu$  zur Zeit  $t$  einwirken, für alle Punkte des Parallelepipeds dasselbe Qualitätszeichen. Es kann demnach die auf alle diese Punkte sich erstreckende Summe  $\Sigma[P_x \cdot u_x]$ , d. i. der Gesamteffect der auf dieselben einwirkenden Kräftecomponenten  $P_x$  gleichgesetzt werden dem Producte aus  $\Sigma P_x$  und irgend einem Mittelwerthe der diesen einzelnen Punkten entsprechenden Geschwindigkeitscomponenten, der durch  $v_x$  bezeichnet sei. Anderseits ist, wenn  $e_x$  den mittleren Effect dieser Kräfte pro Volumeinheit des deformirten Körpers bedeutet, dieser Gesamteffect auch durch  $e_x \cdot \Delta X \cdot \Delta Y \cdot \Delta Z$  ausdrückbar, demnach

$$e_x \cdot \Delta X \cdot \Delta Y \cdot \Delta Z = \Sigma[P_x \cdot u_x] = v_x \cdot \Sigma P_x. \quad (10)$$

Für die zwischen den einzelnen materiellen Punkten  $\mu$  des Parallelepipeds gegenseitig wirkenden, anziehenden, beziehungsweise abstossenden inneren Kräfte ist  $\Sigma P_x = 0$ , so dass bei der Bildung von  $\Sigma P_x$  bloss die  $X$ -Componenten der auf dieses Parallelepiped wirkenden äusseren Kräfte zu berücksichtigen sind, nämlich die auf die Masse  $\bar{\delta} \cdot \Delta X \Delta Y \Delta Z$  des Parallelepipeds einwirkende äussere Kraft  $\bar{\delta} \cdot \Delta X \Delta Y \Delta Z \cdot \bar{p}_x$  (wo durch die oberhalb einer Bezeichnung beigefügten Querstriche hier und in der Folge die Mittelwerthe angedeutet sein mögen), ferner die Druckkräfte, welche auf die zur  $x$ -Axe senkrechten Seitenflächen  $\Delta Y \cdot \Delta Z$  seitens der das Parallelepiped umschliessenden Masse ausgeübt werden, nämlich

$$\bar{X}_x \cdot \Delta Y \Delta Z \quad \text{und} \quad -(\bar{X}_x + \frac{\Delta_x \bar{X}_x}{\Delta X} \cdot \Delta X) \cdot \Delta Y \Delta Z,$$

ferner die auf die Seitenflächen  $\Delta Z \Delta X$  wirkenden Schubkräfte

$$\bar{X}_y \cdot \Delta Z \Delta X \quad \text{und} \quad -(\bar{X}_y + \frac{\Delta_y \bar{X}_y}{\Delta Y} \cdot \Delta Y) \cdot \Delta Z \Delta X$$

und schliesslich die auf die Fläche  $\Delta X \Delta Y$  entfallenden Schubkräfte

$$\bar{X}_z \cdot \Delta X \Delta Y \quad \text{und} \quad -(\bar{X}_z + \frac{\Delta_z \bar{X}_z}{\Delta Z} \cdot \Delta Z) \cdot \Delta X \Delta Y.$$

Sonach ist der Gleichung (10) zufolge

$$e_x = v_x \left[ \bar{\delta} \cdot \bar{p}_x - \frac{\Delta_x \bar{X}_x}{\Delta X} - \frac{\Delta_y \bar{X}_y}{\Delta Y} - \frac{\Delta_z \bar{X}_z}{\Delta Z} \right].$$

Um nun den auf die Volumeinheit des deformirten Körpers entfallenden Effect der inneren Kräfte, die zwischen den einzelnen Punkten des Parallelepipeds wirken, zu bestimmen, hat man zunächst den Effect der Kraft  $\bar{\delta} \cdot \Delta X \Delta Y \Delta Z \cdot \bar{p}_x$  und die Effecte der oberwähnten, auf die Seitenflächen wirkenden sechs Kräfte, nämlich die Effecte  $\bar{X}_x \cdot \Delta Y \Delta Z \cdot \bar{u}_x = \Delta Y \Delta Z \cdot (\bar{X}_x \bar{u}_x)$  und

$$-\Delta Y \Delta Z \cdot (\bar{X}_x \bar{u}_x + \frac{\Delta_x (\bar{X}_x \bar{u}_x)}{\Delta X} \cdot \Delta X)$$

u. s. w. von  $e_x \cdot \Delta X \Delta Y \Delta Z$  in Abzug zu bringen und hierauf durch  $\Delta X \cdot \Delta Y \cdot \Delta Z$  zu dividiren, wodurch beim Übergange zu den Grenzwerten für  $\Delta X = \Delta Y = \Delta Z = 0$  nach Einsetzung von  $u_x$  statt  $v_x$  sich als Effect  $e_1$  der  $X$ -Componenten der inneren Kräfte pro Volumeinheit des deformirten Körpers in der unmittelbaren Nachbarschaft des Punktes  $M$  offenbar der Werth ergibt:

$$e_1 = \left[ \frac{\partial (X_x u_x)}{\partial X} - u_x \frac{\partial X_x}{\partial X} \right] + \left[ \frac{\partial (X_y u_x)}{\partial Y} - u_x \frac{\partial X_y}{\partial Y} \right] + \\ + \left[ \frac{\partial (X_z u_x)}{\partial Z} - u_x \frac{\partial X_z}{\partial Z} \right] = X_x \frac{\partial u_x}{\partial X} + X_y \frac{\partial u_x}{\partial Y} + X_z \frac{\partial u_x}{\partial Z}. \quad (11)$$

Auf gleiche Art kann man für den Effect  $e_2$  der  $Y$ -Componenten und den Effect  $e_3$  der  $Z$ -Componenten der inneren Kräfte pro Volumeinheit des deformirten Körpers die Werthe bestimmen:

$$\left. \begin{aligned} e_2 &= Y_x \frac{\partial u_y}{\partial X} + Y_y \frac{\partial u_y}{\partial Y} + Y_z \frac{\partial u_y}{\partial Z} \\ e_3 &= Z_x \frac{\partial u_z}{\partial X} + Z_y \frac{\partial u_z}{\partial Y} + Z_z \frac{\partial u_z}{\partial Z} \end{aligned} \right\}. \quad (12)$$

Sonach ist der Gesamteffect  $dE$  der in dem dem Punkte  $M$  unmittelbar benachbarten unendlich kleinen Volumelemente  $dV$  zur Zeit  $t$  wirkenden inneren Kräfte bestimmt durch

$$dE = (e_1 + e_2 + e_3) dV. \quad (13)$$

Demgemäss ist die elementare mechanische Arbeit  $da_i$  dieser inneren Kräfte, die in dem der Zeit  $t$  unmittelbar angrenzenden Zeitelemente  $dt$  geleistet wird, bestimmbar aus der Gleichung

$$da_i = dE \cdot dt = (e_1 + e_2 + e_3) \cdot dV \cdot dt. \quad (14)$$

Da die Coordinatenänderungen  $\xi \eta \zeta$  einwerthige Functionen der Variablen  $xyz$  und  $t$  sind, so können auch, wofern man die drei Gleichungen (1) berücksichtigt, auch  $xyz$  als Functionen von  $XYZ$  und  $t$  betrachtet werden, und es sind dann auch  $\xi = X - x$ ,  $\eta = Y - y$ ,  $\zeta = Z - z$  und daher auch die

Geschwindigkeitscomponenten  $u_x = \frac{\partial \xi}{\partial t}$ ,  $u_y = \frac{\partial \eta}{\partial t}$ ,  $u_z = \frac{\partial \zeta}{\partial t}$  als Functionen derselben Variablen  $XYZ$  und  $t$  anzusehen, wie dies die Glieder der Gleichungen (11) und (12) erheischen.

Ist also  $u$  irgend eine dieser drei Geschwindigkeitscomponenten, so ist, da  $u$  bei gleich bleibendem  $t$  bloss eine Function von  $XYZ$  ist, welche letzteren wiederum Functionen von  $xyz$  sind, die durch die Gleichungen (1) bestimmt sind,

$$\frac{\partial u}{\partial x} = \frac{\partial u}{\partial X} \cdot \frac{\partial X}{\partial x} + \frac{\partial u}{\partial Y} \cdot \frac{\partial Y}{\partial x} + \frac{\partial u}{\partial Z} \cdot \frac{\partial Z}{\partial x}.$$

Demnach ist den Gleichungen (1) und (3) zufolge

$$\frac{\partial u}{\partial x} = \frac{\partial u}{\partial X} \cdot (1 + \lambda_x) + \frac{\partial u}{\partial Y} \cdot \mu_z + \frac{\partial u}{\partial Z} \cdot \nu_y$$

$$\frac{\partial u}{\partial y} = \frac{\partial u}{\partial X} \cdot \nu_z + \frac{\partial u}{\partial Y} \cdot (1 + \lambda_y) + \frac{\partial u}{\partial Z} \cdot \mu_x$$

$$\frac{\partial u}{\partial z} = \frac{\partial u}{\partial X} \cdot \mu_y + \frac{\partial u}{\partial Y} \cdot \nu_x + \frac{\partial u}{\partial Z} \cdot (1 + \lambda_z)$$

Bezeichnet man durch  $l_x, m_z, n_y \dots$  die den einzelnen Gliedern  $1 + \lambda_x, \mu_z, \nu_y \dots$  der durch (8) bestimmten Determinante  $D$  adjungirten Unterdeterminanten, so ist den letzten drei Gleichungen zufolge

$$D \cdot \frac{\partial u}{\partial X} = l_x \frac{\partial u}{\partial x} + n_z \frac{\partial u}{\partial y} + m_y \frac{\partial u}{\partial z}$$

$$D \cdot \frac{\partial u}{\partial Y} = m_z \frac{\partial u}{\partial x} + l_y \frac{\partial u}{\partial y} + n_x \frac{\partial u}{\partial z}$$

$$D \cdot \frac{\partial u}{\partial Z} = n_y \frac{\partial u}{\partial x} + m_x \frac{\partial u}{\partial y} + l_z \frac{\partial u}{\partial z}$$

Wendet man diese Gleichungen der Reihe nach auf die Geschwindigkeitscomponenten  $u_x, u_y, u_z$  an, so nehmen die Gleichungen (11) und (12) nach ihrer Multiplication mit  $D$  bei Beachtung von (4) folgende Gestalt an:



$$\begin{aligned}
 e_1 \cdot D &= (l_x \cdot X_x + m_z \cdot X_y + n_y \cdot X_z) \cdot \frac{\partial \lambda_x}{\partial t} + (n_z \cdot X_x + l_y \cdot X_y + m_x \cdot X_z) \cdot \frac{\partial v_z}{\partial t} + \\
 &\quad + (m_y \cdot X_x + n_x \cdot X_y + l_z \cdot X_z) \cdot \frac{\partial \mu_y}{\partial t} \\
 e_2 \cdot D &= (l_x \cdot Y_x + m_z \cdot Y_y + n_y \cdot Y_z) \cdot \frac{\partial \mu_z}{\partial t} + (n_z \cdot Y_x + l_y \cdot Y_y + m_x \cdot Y_z) \cdot \frac{\partial \lambda_y}{\partial t} + \\
 &\quad + (m_y \cdot Y_x + n_x \cdot Y_y + l_z \cdot Y_z) \cdot \frac{\partial v_x}{\partial t} \\
 e_3 \cdot D &= (l_x \cdot Z_x + m_z \cdot Z_y + n_y \cdot Z_z) \cdot \frac{\partial v_y}{\partial t} + (n_z \cdot Z_x + l_y \cdot Z_y + m_x \cdot Z_z) \cdot \frac{\partial \mu_x}{\partial t} + \\
 &\quad + (m_y \cdot Z_x + n_x \cdot Z_y + l_z \cdot Z_z) \cdot \frac{\partial \lambda_z}{\partial t}
 \end{aligned} \tag{15}$$

Substituirt man nun die aus diesen Gleichungen sich ergebenden Werthe von  $e_1, e_2, e_3$  in die Gleichung (14), so nimmt dieselbe, da nach (7)  $dV = D \cdot dv$  ist, die Form an:

$$da_i = [(L_x \cdot d\lambda_x + N_z \cdot dv_z + M_y \cdot d\mu_y) + (M_z \cdot d\mu_z + L_y \cdot d\lambda_y + N_x \cdot dv_x) + (N_y \cdot dv_y + M_x \cdot d\mu_x + L_z \cdot d\lambda_z)] \cdot dv, \tag{16}$$

wo

$$\begin{aligned}
 L_x &= l_x \cdot X_x + m_z \cdot X_y + n_y \cdot X_z & M_z &= l_x \cdot Y_x + m_z \cdot Y_y + n_y \cdot Y_z \\
 N_z &= n_z \cdot X_x + l_y \cdot X_y + m_x \cdot X_z & L_y &= n_z \cdot Y_x + l_y \cdot Y_y + m_x \cdot Y_z \\
 M_y &= m_y \cdot X_x + n_x \cdot X_y + l_z \cdot X_z & N_x &= m_y \cdot Y_x + n_x \cdot Y_y + l_z \cdot Y_z \\
 N_y &= l_x \cdot Z_x + m_z \cdot Z_y + n_y \cdot Z_z \\
 M_x &= n_z \cdot Z_x + l_y \cdot Z_y + m_x \cdot Z_z \\
 L_z &= m_y \cdot Z_x + n_x \cdot Z_y + l_z \cdot Z_z
 \end{aligned} \tag{17}$$

Setzt man nun für diese inneren Kräfte ein Potential  $dU$  voraus, (indem man etwa annimmt, dass die zwischen je zwei Massenpunkten des betrachteten Massenelementes wirkenden inneren Kräfte anziehende oder abstossende Kräfte sind, die von den constant bleibenden Massen dieser Massenpunkte oder überhaupt von gewissen, für jeden einzelnen Massenpunkt charakteristischen Constanten und überdies bloß von der variablen Entfernung der beiden auf einander einwirkenden Massenpunkte abhängen) und bezeichnet man durch  $f$  den Potential-

werth für die Volumeinheit des anfänglichen Volums  $dv$  des betrachteten Massenelementes, so ist

$$dU = f \cdot dv. \quad (18)$$

Für den ganzen Körper wäre das Potential durch das auf das ganze anfängliche (primitive) Volum  $v$  desselben auszu-  
dehnende Integral  $U = \int f \cdot dv$  bestimmt.

Da für ein gegebenes Körperelement das Potential  $dU$  blos von der veränderlichen relativen Lage der einzelnen Punkte dieses Elementes, sonach blos von den einzelnen relativen Coordinaten  $dX, dY, dZ$  dieser Punkte abhängig ist, und da ferner diese Grössen  $dX, dY, dZ$  den Gleichungen (6) zufolge bei einem gegebenen Körperelement (bei welchem die den einzelnen Punkten desselben ursprünglich zukommenden Werthe von  $dx, dy, dz$ , wie auch  $dv$  als constante Grössen anzusehen sind) lediglich Functionen der 9 Verschiebungsderivationen  $\lambda_x \lambda_y \lambda_z \mu_x \dots$  sind, so ist nothwendigerweise auch das Potential  $dU$  und der Gleichung (18) gemäss auch  $f$  blos eine Function dieser 9 variablen, von einander unabhängigen Verschiebungsderivationen.

Dem Begriffe des Potentials entsprechend muss aber das dem Zeitelemente  $dt$  entsprechende Differential dieser Function  $dU$ , nämlich  $df \cdot dv$ , der elementaren Arbeit  $da_i$  der inneren Kräfte, die durch (16) bestimmt ist, stets gleich<sup>1</sup> sein, was, wie aus der Form des Ausdrucks (16) ersichtlich ist, nur dann möglich ist, wenn

$$\left. \begin{aligned} \frac{\partial f}{\partial \lambda_x} &= L_x, & \frac{\partial f}{\partial \mu_z} &= M_z, & \frac{\partial f}{\partial \nu_y} &= N_y \\ \frac{\partial f}{\partial \nu_z} &= N_z, & \frac{\partial f}{\partial \lambda_y} &= L_y, & \frac{\partial f}{\partial \mu_x} &= M_x \\ \frac{\partial f}{\partial \mu_y} &= M_y, & \frac{\partial f}{\partial \nu_x} &= N_x, & \frac{\partial f}{\partial \lambda_z} &= L_z \end{aligned} \right\} \quad (19)$$

ist. Setzt man diese Werthe von  $L_x N_z \dots$  in (17) ein und bestimmt aus diesen linearen Gleichungen die unbekannten Span-

<sup>1</sup> Identificirt man, was häufig geschieht, das Potential mit der potenziellen Energie, so muss es hier heissen: entgegengesetzt gleich. Es ist in diesem Falle, wenn man nämlich diesen letzteren Begriff des Potentials festhalten will, in der ganzen Abhandlung nur statt  $f$  durchwegs zu setzen ( $-f$ ).

nungscomponenten  $X_x X_y \dots$ , so findet man das folgende für unsere Zwecke wichtige System von Gleichungen:

$$\left. \begin{aligned} D.X_x &= (1+\lambda_x) \cdot \frac{\partial f}{\partial \lambda_x} + \nu_z \cdot \frac{\partial f}{\partial \nu_z} + \mu_y \cdot \frac{\partial f}{\partial \mu_y} \\ D.X_y &= \mu_z \cdot \frac{\partial f}{\partial \lambda_x} + (1+\lambda_y) \cdot \frac{\partial f}{\partial \nu_z} + \nu_x \cdot \frac{\partial f}{\partial \mu_y} \\ D.X_z &= \nu_y \cdot \frac{\partial f}{\partial \lambda_x} + \mu_x \cdot \frac{\partial f}{\partial \nu_z} + (1+\lambda_z) \cdot \frac{\partial f}{\partial \mu_y} \\ D.Y_x &= (1+\lambda_x) \cdot \frac{\partial f}{\partial \mu_z} + \nu_z \cdot \frac{\partial f}{\partial \lambda_y} + \mu_y \cdot \frac{\partial f}{\partial \nu_x} \\ D.Y_y &= \mu_z \cdot \frac{\partial f}{\partial \mu_z} + (1+\lambda_y) \cdot \frac{\partial f}{\partial \lambda_y} + \nu_x \cdot \frac{\partial f}{\partial \nu_x} \\ D.Y_z &= \nu_y \cdot \frac{\partial f}{\partial \mu_z} + \mu_x \cdot \frac{\partial f}{\partial \lambda_y} + (1+\lambda_z) \cdot \frac{\partial f}{\partial \nu_x} \\ D.Z_x &= (1+\lambda_x) \cdot \frac{\partial f}{\partial \nu_y} + \nu_z \cdot \frac{\partial f}{\partial \mu_x} + \mu_y \cdot \frac{\partial f}{\partial \lambda_z} \\ D.Z_y &= \mu_z \cdot \frac{\partial f}{\partial \nu_y} + (1+\lambda_y) \cdot \frac{\partial f}{\partial \mu_x} + \nu_x \cdot \frac{\partial f}{\partial \lambda_z} \\ D.Z_z &= \nu_y \cdot \frac{\partial f}{\partial \nu_y} + \mu_x \cdot \frac{\partial f}{\partial \mu_x} + (1+\lambda_z) \cdot \frac{\partial f}{\partial \lambda_z} \end{aligned} \right\} \quad (20)$$

Aus diesen streng richtigen Gleichungen ist zu ersehen, dass die allgemein übliche Identificirung der Spannungscomponenten  $X_x X_y \dots$  mit den partiellen Differentialquotienten  $\frac{\partial f}{\partial \lambda_x}, \frac{\partial f}{\partial \nu_z} \dots$  strenge genommen unstatthaft ist und nur dann gestattet ist, wenn man in erster Annäherung bei der Bestimmung der Spannungscomponenten von allen Gliedern, welche irgend ein Product aus diesen Differentialquotienten und den Verschiebungsderivationen  $\lambda_x \nu_z \dots$  enthalten, absieht.

Die hier mit  $f$  bezeichnete, auf die Volumeinheit bezogene Potentialfunction  $f$  wird allgemein in allen den vielen Hand- und Lehrbüchern, welche die Theorie elastischer Körper behandeln, wie auch bei sämtlichen für die Praxis so überaus wichtigen technischen Anwendungen als eine bezüglich der Verschiebungsderivationen  $\lambda_x \mu_z \nu_y \dots$  rationale homogene Function zweiten Grades angenommen, die lediglich Glieder zweiter

Ordnung enthält. Diese willkürliche Annahme ist nicht vollkommen gerechtfertigt. Zunächst liegt nach der Ansicht des Verfassers kein zwingender Grund vor, von den linearen Gliedern ganz abzusehen oder, was dasselbe besagt, anzunehmen, dass in jenem als deformationslos angenommenen anfänglichen Zustande, von welchem aus die in Rechnung gebrachte Deformation in Betracht gezogen wird, absolut keine Spannung im Innern eines Körpers vorhanden ist, — eine Annahme, die umsoweniger gerechtfertigt ist, als dieser Zustand nicht stets derselbe ist, sondern wesentlich von der Temperatur des Körpers abhängt, deren Änderung stets eine Deformation zur Folge hat (ausser man würde, was gewöhnlich nicht geschieht, die Deformation auf jenen Nullpunkt der Temperatur, für welchen eine jegliche Spannung den Werth Null hat, als Ausgangspunkt einer jeden in Betracht gezogenen Deformation beziehen). Für manche Untersuchungen ist es überdies nicht gestattet, die höheren Potenzen der Verschiebungsderivationen  $\lambda_x \mu_z \dots$  zu vernachlässigen, da diese letzteren von demselben Grade sind, wie das Verhältniss der Deformationen zu den ursprünglichen Raumgrössen, das, wenn auch die Dimensionen eines unendlich kleinen Körperelementes nach der Deformation unendlich klein bleiben, dennoch in manchen Fällen nicht so klein ist, dass von höheren Potenzen desselben abgesehen werden kann.

Es soll demnach der im Vorworte gestellten Aufgabe gemäss in dieser Abhandlung die Potentialfunction  $f$  als eine ganze rationale Function dritter Ordnung vorausgesetzt werden, und zwar soll von nun an die Betrachtung sich bloß auf ein im anfänglichen Zustande elastisch isotropes Körperelement  $dv$  beschränken.

Die bedungene elastische Isotropie soll lediglich die Bedeutung haben, dass die mechanische Arbeit der inneren Kräfte bei denselben Coordinatenänderungen von der Lage des als orthogonal vorausgesetzten Coordinatensystems zum Körperelemente unabhängig ist, so zwar, dass, wenn man in dem früher betrachteten elementaren Tetraëder  $mm_1m_2m_3$ , welches durch die Deformation die Gestalt  $MM_1M_2M_3$  erlangt, die senkrechten Kanten  $mm_1$ ,  $mm_2$  und  $mm_3$  als gleich voraussetzt, die mechanische Arbeit der inneren Kräfte bei dieser Deformation,

daher auch das Potential  $dU = f \cdot dv$  denselben Werth beibehält, wie in dem Falle, in welchem das Tetraëder  $m_1 m_2 m_3$  durch die Deformation im Körper jene Lage und Gestalt erhält, die sich durch Drehung des Tetraëders  $M_1 M_2 M_3$  etwa um die gegen alle drei Coordinatenachsen gleichgeneigte, von  $M$  ausgehende Mittellinie, sei es in einem oder dem anderen Sinne bei einer Amplitude von  $120^\circ$  als Schlusslage ergeben würde, durch welche Drehung die Axen  $xyz$  in die Lage  $yzx$ , beziehungsweise  $zxy$  gelangen und die durch (6) bestimmten Grössen  $dX, dY, dZ$  die Werthe  $dY, dZ, dX$ , beziehungsweise  $dZ, dX, dY$  annehmen würden. Mit anderen Worten, durch die Isotropie ist hier vorausgesetzt, dass die Potentialfunction  $f$  ihren Werth nicht ändert, wenn man die Indices der beliebig angenommenen Verschiebungsderivationen (3) cyclisch permutirt. Wenn man demgemäss diese Function  $f$  der Variabeln  $\lambda_x \mu_y \nu_z \dots$  in eine Reihe von der Form einer ganzen rationalen Function der letzteren entwickelt, so müssen die Coëfficienten  $A, B, C \dots$  jener Glieder, die sich in ihrem variablen Theile nur dadurch von einander unterscheiden, dass die Indices  $xyz$  der Verschiebungsderivationen (3) cyclisch permutirt sind, einander gleich sein, so dass diese Function  $f$ , wofern man von Gliedern höherer Ordnung als der dritten absieht, folgende Form annehmen muss:

$$f = A_0 + [A_1 \alpha_1 + A_2 \alpha_2 + A_3 \alpha_3] + \\ + [B_1 \beta_1 + B_2 \beta_2 + B_3 \beta_3 + C_1 \gamma_1 + C_2 \gamma_2 + C_3 \gamma_3 + D_1 \delta_1 + D_2 \delta_2 + D_3 \delta_3 + E_1 \varepsilon_1 + E_2 \varepsilon_2 + E_3 \varepsilon_3] + \\ + [A'_1 \alpha'_1 + A'_2 \alpha'_2 + A'_3 \alpha'_3 + B'_1 \beta'_1 + B'_2 \beta'_2 + B'_3 \beta'_3 + C'_1 \gamma'_1 + C'_2 \gamma'_2 + C'_3 \gamma'_3 + D'_1 \delta'_1 + D'_2 \delta'_2 + D'_3 \delta'_3 + E'_1 \varepsilon'_1 + E'_2 \varepsilon'_2 + E'_3 \varepsilon'_3 + \\ + A_{12} \alpha_{12} + A_{21} \alpha_{21} + A_{23} \alpha_{23} + A_{32} \alpha_{32} + A_{31} \alpha_{31} + A_{13} \alpha_{13} + B_{12} \beta_{12} + B_{21} \beta_{21} + B_{23} \beta_{23} + B_{32} \beta_{32} + B_{31} \beta_{31} + B_{13} \beta_{13} + \\ + C_{12} \gamma_{12} + C_{21} \gamma_{21} + C_{23} \gamma_{23} + C_{32} \gamma_{32} + C_{31} \gamma_{31} + D_{12} \delta_{12} + D_{21} \delta_{21} + D_{23} \delta_{23} + D_{32} \delta_{32} + D_{31} \delta_{31} + D_{13} \delta_{13}] \quad (21)$$

wo die Coëfficienten  $A, B, C, D, \dots$  von den Verschiebungsderivationen und von der Wahl der Axenrichtungen  $xyz$  unabhängig sind und die 54 variablen Factoren  $\alpha_1 \alpha_2 \dots$  folgende Werthe haben:

(22)

$$\alpha_1 = \lambda_x + \lambda_y + \lambda_z, \quad \alpha_2 = \mu_x + \mu_y + \mu_z, \quad \alpha_3 = v_x + v_y + v_z$$

$$\beta_1 = \lambda_x^2 + \lambda_y^2 + \lambda_z^2, \quad \beta_2 = \mu_x^2 + \mu_y^2 + \mu_z^2, \quad \beta_3 = v_x^2 + v_y^2 + v_z^2$$

$$\gamma_1 = \lambda_y \lambda_z + \lambda_z \lambda_x + \lambda_x \lambda_y, \quad \gamma_2 = \mu_y \mu_z + \mu_z \mu_x + \mu_x \mu_y, \quad \gamma_3 = v_y v_z + v_z v_x + v_x v_y$$

$$\delta_1 = \mu_x v_x + \mu_y v_y + \mu_z v_z, \quad \delta_2 = v_x \lambda_x + v_y \lambda_y + v_z \lambda_z, \quad \delta_3 = \lambda_x \mu_x + \lambda_y \mu_y + \lambda_z \mu_z$$

$$\varepsilon_1 = \mu_x (v_y + v_z) + \mu_y (v_z + v_x) + \mu_z (v_x + v_y), \quad \varepsilon_2 = v_x (\lambda_y + \lambda_z) + v_y (\lambda_z + \lambda_x) + v_z (\lambda_x + \lambda_y),$$

$$\varepsilon_3 = \lambda_x (\mu_y + \mu_z) + \lambda_y (\mu_z + \mu_x) + \lambda_z (\mu_x + \mu_y)$$

$$\alpha'_1 = \lambda_x^3 + \lambda_y^3 + \lambda_z^3, \quad \alpha'_2 = \mu_x^3 + \mu_y^3 + \mu_z^3, \quad \alpha'_3 = v_x^3 + v_y^3 + v_z^3$$

$$\beta'_1 = \lambda_x^2 (\lambda_y + \lambda_z) + \lambda_y^2 (\lambda_z + \lambda_x) + \lambda_z^2 (\lambda_x + \lambda_y), \quad \beta'_2 = \mu_x^2 (\mu_y + \mu_z) + \mu_y^2 (\mu_z + \mu_x) + \mu_z^2 (\mu_x + \mu_y),$$

$$\beta'_3 = v_x^2 (v_y + v_z) + v_y^2 (v_z + v_x) + v_z^2 (v_x + v_y)$$

$$\gamma'_1 = \lambda_x \lambda_y \lambda_z, \quad \gamma'_2 = \mu_x \mu_y \mu_z, \quad \gamma'_3 = v_x v_y v_z$$

$$\gamma' = \lambda_x \mu_x v_x + \lambda_y \mu_y v_y + \lambda_z \mu_z v_z$$

$$\varepsilon = \lambda_x \mu_y v_z + \lambda_y \mu_z v_x + \lambda_z \mu_x v_y, \quad \varepsilon' = \lambda_x \mu_z v_y + \lambda_y \mu_x v_z + \lambda_z \mu_y v_x$$

$$\varepsilon'_1 = \mu_x v_x (\lambda_y + \lambda_z) + \mu_y v_y (\lambda_z + \lambda_x) + \mu_z v_z (\lambda_x + \lambda_y), \quad \varepsilon'_2 = v_x \lambda_x (\mu_y + \mu_z) + v_y \lambda_y (\mu_z + \mu_x) + v_z \lambda_z (\mu_x + \mu_y),$$

$$\varepsilon'_3 = \lambda_x \mu_x (v_y + v_z) + \lambda_y \mu_y (v_z + v_x) + \lambda_z \mu_z (v_x + v_y)$$

$$\alpha_{12} = \lambda_x^2 \mu_x + \lambda_y^2 \mu_y + \lambda_z^2 \mu_z, \quad \alpha_{23} = \mu_x^2 v_x + \mu_y^2 v_y + \mu_z^2 v_z, \quad \alpha_{31} = v_x^2 \lambda_x + v_y^2 \lambda_y + v_z^2 \lambda_z$$

$$\alpha_{21} = \mu_x^2 \lambda_x + \mu_y^2 \lambda_y + \mu_z^2 \lambda_z, \quad \alpha_{32} = v_x^2 \mu_x + v_y^2 \mu_y + v_z^2 \mu_z, \quad \alpha_{13} = \lambda_x^2 v_x + \lambda_y^2 v_y + \lambda_z^2 v_z$$

$$\beta_{12} = \lambda_x^2 (\mu_y + \mu_z) + \lambda_y^2 (\mu_z + \mu_x) + \lambda_z^2 (\mu_x + \mu_y), \quad \beta_{23} = \mu_x^2 (v_y + v_z) + \mu_y^2 (v_z + v_x) + \mu_z^2 (v_x + v_y),$$

$$\beta_{31} = v_x^2 (\lambda_y + \lambda_z) + v_y^2 (\lambda_z + \lambda_x) + v_z^2 (\lambda_x + \lambda_y)$$

$$\beta_{21} = \mu_x^2 (\lambda_y + \lambda_z) + \mu_y^2 (\lambda_z + \lambda_x) + \mu_z^2 (\lambda_x + \lambda_y), \quad \beta_{32} = v_x^2 (\mu_y + \mu_z) + v_y^2 (\mu_z + \mu_x) + v_z^2 (\mu_x + \mu_y),$$

$$\beta_{13} = \lambda_x^2 (v_y + v_z) + \lambda_y^2 (v_z + v_x) + \lambda_z^2 (v_x + v_y)$$

$$\gamma_{12} = \lambda_y \lambda_z \mu_x + \lambda_z \lambda_x \mu_y + \lambda_x \lambda_y \mu_z, \quad \gamma_{23} = \mu_y \mu_z v_x + \mu_z \mu_x v_y + \mu_x \mu_y v_z, \quad \gamma_{31} = v_y v_z \lambda_x + v_z v_x \lambda_y + v_x v_y \lambda_z$$

$$\gamma_{21} = \mu_y \mu_z \lambda_x + \mu_z \mu_x \lambda_y + \mu_x \mu_y \lambda_z, \quad \gamma_{32} = v_y v_z \mu_x + v_z v_x \mu_y + v_x v_y \mu_z, \quad \gamma_{13} = \lambda_y \lambda_z v_x + \lambda_z \lambda_x v_y + \lambda_x \lambda_y v_z$$

$$\delta_{12} = \lambda_y \lambda_z (\mu_y + \mu_z) + \lambda_z \lambda_x (\mu_z + \mu_x) + \lambda_x \lambda_y (\mu_x + \mu_y), \quad \delta_{23} = \mu_y \mu_z (v_y + v_z) + \mu_z \mu_x (v_z + v_x) + \mu_x \mu_y (v_x + v_y),$$

$$\delta_{31} = v_y v_z (\lambda_y + \lambda_z) + v_z v_x (\lambda_z + \lambda_x) + v_x v_y (\lambda_x + \lambda_y)$$

$$\delta_{21} = \mu_y \mu_z (\lambda_y + \lambda_z) + \mu_z \mu_x (\lambda_z + \lambda_x) + \mu_x \mu_y (\lambda_x + \lambda_y), \quad \delta_{32} = v_y v_z (\mu_y + \mu_z) + v_z v_x (\mu_z + \mu_x) + v_x v_y (\mu_x + \mu_y),$$

$$\delta_{13} = \lambda_y \lambda_z (v_y + v_z) + \lambda_z \lambda_x (v_z + v_x) + \lambda_x \lambda_y (v_x + v_y)$$

Nun bestehen bekanntlich, da die Spannungen den ursprünglichen Annahmen zufolge stetige Functionen der Coordinaten sind, zwischen den Schubspannungen die von der Constitution des Körpers, von der Art der Bewegung und von der Form der Potentialfunction  $f$  vollkommen unabhängigen, allgemein giltigen Gleichungen:

$$\left. \begin{aligned} Y_z - Z_y &= 0 \\ Z_x - X_z &= 0 \\ X_y - Y_x &= 0 \end{aligned} \right\} \quad (23)$$

Multiplicirt man diese Gleichungen mit der Determinante  $D$  und substituirt hierauf die Werthe aus (20), nachdem man die in (20) vorkommenden partiellen Derivationen der Function  $f$  mit Hilfe der Gleichungen (21) und (22) bestimmt hat, so ergeben sich nach der Methode der unbestimmten Coëfficienten zwischen den letzteren folgende Beziehungen:

Zunächst verschwinden die Coëfficienten:

$$A_2 = A_3 = C_2 = C_3 = D_2 = D_3 = E_1 = E_2 = E_3 = 0. \quad (24)$$

Ferner bestehen folgende Gleichungen:

$$\left. \begin{aligned} B_3 &= B_2, \quad A_{32} = A_{23} \\ A'_3 &= A'_2 = \frac{1}{3} A_{32} = \frac{1}{3} A_{23} \\ B'_3 &= B'_2 = \frac{1}{2} D_{23} = \frac{1}{2} D_{32} = B_{32} = B_{23} \\ A_{13} &= A_{12}, \quad B_{13} = B_{12}, \quad C_{13} = C_{12}, \quad D_{13} = D_{12} \\ D_1 &= 2B_2 - A_1, \quad C_{32} = C_{23}, \quad A_{31} = A_{21}, \quad B_{31} = B_{21} \\ C'_3 &= C'_2 = C_{32} - D_1 = C_{23} - (2B_2 - A_1) \\ B_1 &= B_2 + \frac{1}{2} (C_1 + D_1) = 2B_2 + \frac{1}{2} C_1 - \frac{1}{2} A_1 \\ E &= E' = C_{31} = C_{21} \\ E'_3 &= E'_2 = D_{31} = D_{21} \\ C' &= 2A_{21} - C_1 \\ E'_1 &= 2(B_{21} - B_1 + B_2) = 2B_{21} - C_1 - 2B_2 + A_1 \end{aligned} \right\} \quad (25)$$

Aus dem Umstande, dass die erstgenannten Coëfficienten  $A_2$  und  $A_3$  verschwinden, muss, wie aus (20), (21) und (22)

sofort zu ersehen ist, gefolgert werden, dass, wenn die durch (3) bestimmten Deformationselemente sämmtlich den Werth Null haben, auch alle Schubspannungen den Werth Null annehmen und dass überdies  $X_x = Y_y = Z_z = A_1$  ist, d. h. die im anfänglichen (primitiven) Zustande vorausgesetzte Isotropie bedingt die Abwesenheit jeglicher Schubspannung und die Gleichheit der normalen Spannungen nach allen Richtungen des Raumes im Elemente  $dv$  vor der betrachteten Deformation.

Drückt man mittelst der Gleichungen (24) und (25) alle Coëfficienten in (21) durch die 18 Coëfficienten  $A_0, A_1, C_1, B_2, A'_1, B'_1, C'_1, A_{12}, B_{12}, C_{12}, D_{12}, A_{21}, B_{21}, C_{21}, D_{21}, A_{23}, B_{23}, C_{23}$  aus, substituirt man hierauf diese Werthe in (21) und berechnet schliesslich mit Hilfe der Gleichungen (20) die Componenten der Spannungen, so gelangt man bei Berücksichtigung der Werthe (22), wenn kürzshalber durch  $\varepsilon_x, \varepsilon_y, \varepsilon_z$  die Summen

$$\left. \begin{aligned} \varepsilon_x &= \mu_x + \nu_x = \frac{\partial \zeta}{\partial y} + \frac{\partial \gamma_1}{\partial z} \\ \varepsilon_y &= \mu_y + \nu_y = \frac{\partial \xi}{\partial z} + \frac{\partial \zeta}{\partial x} \\ \varepsilon_z &= \mu_z + \nu_z = \frac{\partial \gamma_1}{\partial x} + \frac{\partial \xi}{\partial y} \end{aligned} \right\} \quad (26)$$

bezeichnet werden, zu folgenden Beziehungen:

$$\left. \begin{aligned} D \cdot X_x &= A_1 + 4B_2 \cdot \lambda_x + C_1 (\lambda_x + \lambda_y + \lambda_z) \\ &\quad + 2B_2 \cdot (\mu_y^2 + \nu_z^2) - C_1 (\mu_x \nu_x + \mu_y \nu_y + \mu_z \nu_z) \\ &\quad + (4B_2 + C_1 - A_1 + 3A'_1) \cdot \lambda_x^2 + B'_1 (\lambda_y^2 + \lambda_z^2) \\ &\quad + C'_1 \cdot \lambda_y \lambda_z + (C_1 + 2B'_1) \cdot \lambda_x (\lambda_y + \lambda_z) \\ &\quad + 2A_{12} \cdot \lambda_x \varepsilon_x + 2B_{12} \cdot \lambda_x (\varepsilon_y + \varepsilon_z) + C_{12} \cdot (\lambda_y \varepsilon_z + \lambda_z \varepsilon_y) \\ &\quad + D_{12} \cdot [\lambda_y \varepsilon_y + \lambda_z \varepsilon_z + (\lambda_y + \lambda_z) \varepsilon_x] \\ &\quad + A_{21} \cdot \varepsilon_x^2 + B_{21} \cdot (\varepsilon_y^2 + \varepsilon_z^2) + C_{21} \cdot \varepsilon_y \varepsilon_z + D_{21} \cdot \varepsilon_x (\varepsilon_y + \varepsilon_z) \\ D \cdot Y_z &= 2B_2 \cdot \varepsilon_x + 2B_2 \cdot (\mu_x \lambda_y + \nu_x \lambda_z + \nu_y \mu_z) \\ &\quad + A_{12} \cdot \lambda_x^2 + B_{12} \cdot (\lambda_y^2 + \lambda_z^2) + C_{12} \cdot \lambda_y \lambda_z + D_{12} \cdot \lambda_x (\lambda_y + \lambda_z) \\ &\quad + 2A_{21} \cdot \lambda_x \varepsilon_x + 2B_{21} \cdot (\lambda_y + \lambda_z) \varepsilon_x + C_{21} (\lambda_y \varepsilon_z + \lambda_z \varepsilon_y) \\ &\quad + D_{21} \cdot [\lambda_y \varepsilon_y + \lambda_z \varepsilon_z + \lambda_x (\varepsilon_y + \varepsilon_z)] \\ &\quad + A_{23} \cdot \varepsilon_x^2 + B_{23} [\varepsilon_y^2 + \varepsilon_z^2 + 2\varepsilon_x (\varepsilon_y + \varepsilon_z)] + C_{23} \cdot \varepsilon_y \varepsilon_z \end{aligned} \right\} \quad (27)$$



Die anderen Spannungscomponenten ergeben sich durch cyclische Permutation von  $xyz$  und von  $XYZ$ .

Wie aus diesen Gleichungen zu ersehen ist, sind die Longitudinalspannungen  $X_x Y_y Z_z$  von dem Werthe der Coëfficienten  $A_{23}$ ,  $B_{23}$  und  $C_{23}$ , dagegen die Schubspannungen  $Y_z Z_x X_y$  von den Coëfficienten  $A_1 C_1 A'_1 B'_1 C'_1$  vollkommen unabhängig.

Nun lässt sich bekanntlich in allen Fällen die durch die Gleichungen (6) bestimmte räumliche Änderung (Deformation) des betrachteten Körperelementes  $dv$ , wenn man von der translatorischen Verschiebung ( $\xi \eta \zeta$ ) absieht, als zusammengesetzt ansehen aus einer reinen (rotationslosen) Deformation, bei welcher drei zu einander senkrechte Axen — die Deformationshauptaxen — ihre Lage im Raume nicht ändern, und aus einer Rotation dieses Körperelementes um den Punkt  $M$ .

Sind nun  $(\alpha_x \alpha_y \alpha_z)$ ,  $(\beta_x \beta_y \beta_z)$ ,  $(\gamma_x \gamma_y \gamma_z)$  die Richtungscosinus der Deformationshauptaxen  $abc$  vor dieser Rotation, dagegen  $(\alpha'_x \alpha'_y \alpha'_z)$ ,  $(\beta'_x \beta'_y \beta'_z)$ ,  $(\gamma'_x \gamma'_y \gamma'_z)$  die schliesslichen Richtungscosinus derselben Axen nach erfolgter Rotation, durch welche sie die Lagen  $a'b'c'$  erlangen, sind ferner durch  $\lambda_1 \lambda_2 \lambda_3$  die linearen Dilatationen (Elongationen) in der Richtung dieser drei Axen, d. i. die Hauptdilatationen (Hauptelongationen) bezeichnet, so dass die Halbaxen jenes Ellipsoids — des Deformationsellipsoids —, in welches eine Kugel vom Radius  $dl$  infolge der Deformation des Elementes  $dv$  übergeht, die Längen

$$\left. \begin{aligned} a &= \mu_1 \cdot dl = (1 + \lambda_1) \cdot dl \\ b &= \mu_2 \cdot dl = (1 + \lambda_2) \cdot dl \\ c &= \mu_3 \cdot dl = (1 + \lambda_3) \cdot dl \end{aligned} \right\} \quad (28)$$

erhalten, so bestehen bekanntlich stets folgende, aus (6) leicht deducirbare Beziehungen:

$$\left. \begin{aligned} 1 + \lambda_x &= (1 + \lambda_1) \cdot \alpha_x \alpha'_x + (1 + \lambda_2) \cdot \beta_x \beta'_x + (1 + \lambda_3) \cdot \gamma_x \gamma'_x \\ \nu_z &= (1 + \lambda_1) \cdot \alpha_z \alpha'_x + (1 + \lambda_2) \cdot \beta_z \beta'_x + (1 + \lambda_3) \cdot \gamma_z \gamma'_x \\ \mu_y &= (1 + \lambda_1) \cdot \alpha_z \alpha'_y + (1 + \lambda_2) \cdot \beta_z \beta'_y + (1 + \lambda_3) \cdot \gamma_z \gamma'_y \\ \mu_z &= (1 + \lambda_1) \cdot \alpha_x \alpha'_y + (1 + \lambda_2) \cdot \beta_x \beta'_y + (1 + \lambda_3) \cdot \gamma_x \gamma'_y \\ 1 + \lambda_y &= (1 + \lambda_1) \cdot \alpha_y \alpha'_y + (1 + \lambda_2) \cdot \beta_y \beta'_y + (1 + \lambda_3) \cdot \gamma_y \gamma'_y \\ \nu_x &= (1 + \lambda_1) \cdot \alpha_z \alpha'_y + (1 + \lambda_2) \cdot \beta_z \beta'_y + (1 + \lambda_3) \cdot \gamma_z \gamma'_y \\ \nu_y &= (1 + \lambda_1) \cdot \alpha_x \alpha'_z + (1 + \lambda_2) \cdot \beta_x \beta'_z + (1 + \lambda_3) \cdot \gamma_x \gamma'_z \\ \mu_x &= (1 + \lambda_1) \cdot \alpha_y \alpha'_z + (1 + \lambda_2) \cdot \beta_y \beta'_z + (1 + \lambda_3) \cdot \gamma_y \gamma'_z \\ 1 + \lambda_z &= (1 + \lambda_1) \cdot \alpha_z \alpha'_z + (1 + \lambda_2) \cdot \beta_z \beta'_z + (1 + \lambda_3) \cdot \gamma_z \gamma'_z \end{aligned} \right\} \quad (29)$$

Wenn durch  $\varphi\chi\psi$  die auf die ursprünglichen Lagen  $abc$  der Deformationshauptaxen bezogenen Richtungscosinus jener Rotationsaxe  $A$  bezeichnet sind, um welche das Körperelement  $dv$  rotiren muss, damit  $abc$  in die Lage  $a'b'c'$  nach der Drehung um den Winkel  $\vartheta$  gelangt, und wenn  $(\alpha\beta\gamma)$ ,  $(\alpha'\beta'\gamma')$ ,  $(\alpha''\beta''\gamma'')$  die auf dieselben Axen  $abc$  bezogenen Richtungscosinus der Axen  $a'b'c'$  bedeuten, so ist <sup>1</sup>

$$\begin{aligned}\alpha &= \varphi^2 (1 - \cos \vartheta) + \cos \vartheta \\ \beta &= \varphi\chi (1 - \cos \vartheta) + \psi \sin \vartheta \\ \gamma &= \varphi\psi (1 - \cos \vartheta) - \chi \sin \vartheta \\ \alpha' &= \chi\varphi (1 - \cos \vartheta) - \psi \sin \vartheta \\ \beta' &= \chi^2 (1 - \cos \vartheta) + \cos \vartheta \\ \gamma' &= \chi\psi (1 - \cos \vartheta) + \varphi \sin \vartheta \\ \alpha'' &= \psi\varphi (1 - \cos \vartheta) + \chi \sin \vartheta \\ \beta'' &= \psi\chi (1 - \cos \vartheta) - \varphi \sin \vartheta \\ \gamma'' &= \psi^2 (1 - \cos \vartheta) + \cos \vartheta\end{aligned}$$

Sind sonach  $\varphi_x\varphi_y\varphi_z$  die auf die ursprünglichen Coordinatenaxen  $xyz$  bezogenen Richtungscosinus der Rotationsaxe  $A$ , so ist

$$\begin{aligned}\varphi &= \varphi_x\alpha_x + \varphi_y\alpha_y + \varphi_z\alpha_z = \varphi_x\alpha'_x + \varphi_y\alpha'_y + \varphi_z\alpha'_z \\ \chi &= \varphi_x\beta_x + \varphi_y\beta_y + \varphi_z\beta_z = \varphi_x\beta'_x + \varphi_y\beta'_y + \varphi_z\beta'_z \\ \psi &= \varphi_x\gamma_x + \varphi_y\gamma_y + \varphi_z\gamma_z = \varphi_x\gamma'_x + \varphi_y\gamma'_y + \varphi_z\gamma'_z\end{aligned}$$

und

$$\left. \begin{aligned}\alpha_x &= \alpha'_x + \alpha'\beta'_x + \alpha''\gamma'_x = (\varphi_x\alpha'_x + \varphi_y\alpha'_y + \varphi_z\alpha'_z) \cdot \varphi_x \cdot (1 - \cos \vartheta) + \\ &\quad + \alpha'_x \cdot \cos \vartheta + (\varphi_z\alpha'_y - \varphi_y\alpha'_z) \cdot \sin \vartheta \\ \alpha_y &= \alpha'_y + \alpha'\beta'_y + \alpha''\gamma'_y = (\varphi_x\alpha'_x + \varphi_y\alpha'_y + \varphi_z\alpha'_z) \cdot \varphi_y \cdot (1 - \cos \vartheta) + \\ &\quad + \alpha'_y \cdot \cos \vartheta + (\varphi_x\alpha'_z - \varphi_z\alpha'_x) \cdot \sin \vartheta \\ \alpha_z &= \alpha'_z + \alpha'\beta'_z + \alpha''\gamma'_z = (\varphi_x\alpha'_x + \varphi_y\alpha'_y + \varphi_z\alpha'_z) \cdot \varphi_z \cdot (1 - \cos \vartheta) + \\ &\quad + \alpha'_z \cdot \cos \vartheta + (\varphi_y\alpha'_x - \varphi_x\alpha'_y) \cdot \sin \vartheta \\ \beta_x &= \beta'_x + \beta'\beta'_x + \beta''\gamma'_x = (\varphi_x\beta'_x + \varphi_y\beta'_y + \varphi_z\beta'_z) \cdot \varphi_x \cdot (1 - \cos \vartheta) + \\ &\quad + \beta'_x \cdot \cos \vartheta + (\varphi_z\beta'_y - \varphi_y\beta'_z) \cdot \sin \vartheta \\ \beta_y &= \beta'_y + \beta'\beta'_y + \beta''\gamma'_y = (\varphi_x\beta'_x + \varphi_y\beta'_y + \varphi_z\beta'_z) \cdot \varphi_y \cdot (1 - \cos \vartheta) + \\ &\quad + \beta'_y \cdot \cos \vartheta + (\varphi_x\beta'_z - \varphi_z\beta'_x) \cdot \sin \vartheta \\ \beta_z &= \beta'_z + \beta'\beta'_z + \beta''\gamma'_z = (\varphi_x\beta'_x + \varphi_y\beta'_y + \varphi_z\beta'_z) \cdot \varphi_z \cdot (1 - \cos \vartheta) + \\ &\quad + \beta'_z \cdot \cos \vartheta + (\varphi_y\beta'_x - \varphi_x\beta'_y) \cdot \sin \vartheta\end{aligned} \right\} (30)$$

<sup>1</sup> Siehe Jacobi, »Euleri formulae de transformatione coordinatorum (Crelle's Journal, II. Bd., II. Heft. S. 188).

$$\begin{aligned}
 \gamma_x &= \gamma \alpha'_x + \gamma' \beta'_x + \gamma'' \gamma'_x = (\varphi_x \gamma'_x + \varphi_y \gamma'_y + \varphi_z \gamma'_z) \cdot \varphi_x \cdot (1 - \cos \vartheta) + \\
 &\quad + \gamma'_x \cdot \cos \vartheta + (\varphi_x \gamma'_y - \varphi_y \gamma'_x) \cdot \sin \vartheta \\
 \gamma_y &= \gamma \alpha'_y + \gamma' \beta'_y + \gamma'' \gamma'_y = (\varphi_x \gamma'_x + \varphi_y \gamma'_y + \varphi_z \gamma'_z) \cdot \varphi_y \cdot (1 - \cos \vartheta) + \\
 &\quad + \gamma'_y \cdot \cos \vartheta + (\varphi_x \gamma'_z - \varphi_z \gamma'_x) \cdot \sin \vartheta \\
 \gamma_z &= \gamma \alpha'_z + \gamma' \beta'_z + \gamma'' \gamma'_z = (\varphi_x \gamma'_x + \varphi_y \gamma'_y + \varphi_z \gamma'_z) \cdot \varphi_z \cdot (1 - \cos \vartheta) + \\
 &\quad + \gamma'_z \cdot \cos \vartheta + (\varphi_y \gamma'_x - \varphi_x \gamma'_y) \cdot \sin \vartheta
 \end{aligned} \quad (30)$$

Durch Substitution dieser Werthe in (29) ergeben sich, wenn kürzshalber durch  $\alpha_x \alpha_y \alpha_z \tau_x \tau_y \tau_z$  die mit den Dilatationen gleichartigen Grössen

$$\begin{aligned}
 \alpha_x &= \lambda_1 \alpha'^2_x + \lambda_2 \beta'^2_x + \lambda_3 \gamma'^2_x \\
 \alpha_y &= \lambda_1 \alpha'^2_y + \lambda_2 \beta'^2_y + \lambda_3 \gamma'^2_y \\
 \alpha_z &= \lambda_1 \alpha'^2_z + \lambda_2 \beta'^2_z + \lambda_3 \gamma'^2_z \\
 \tau_x &= \lambda_1 \alpha'_x \alpha'_z + \lambda_2 \beta'_x \beta'_z + \lambda_3 \gamma'_x \gamma'_z \\
 \tau_y &= \lambda_1 \alpha'_z \alpha'_x + \lambda_2 \beta'_z \beta'_x + \lambda_3 \gamma'_z \gamma'_x \\
 \tau_z &= \lambda_1 \alpha'_x \alpha'_y + \lambda_2 \beta'_x \beta'_y + \lambda_3 \gamma'_x \gamma'_y
 \end{aligned} \quad (31)$$

bezeichnet werden, folgende Gleichungen für die Derivationen der Verschiebungen  $\xi \eta \zeta$

$$\begin{aligned}
 \lambda_x &= \alpha_x + \sin \vartheta \cdot [\tau_z \varphi_z - \tau_y \varphi_y] \\
 &\quad - 2 \sin^2 \frac{\vartheta}{2} \cdot [1 - \varphi_x^2 + \alpha_x - \varphi_x (\alpha_x \varphi_x + \tau_z \varphi_y + \tau_y \varphi_z)] \\
 \nu_z &= \tau_z - \sin \vartheta [\varphi_z + \alpha_x \varphi_z - \tau_y \varphi_x] \\
 &\quad - 2 \sin^2 \frac{\vartheta}{2} [-\varphi_x \varphi_y + \tau_z - \varphi_y (\alpha_x \varphi_x + \tau_z \varphi_y + \tau_y \varphi_z)] \\
 \mu_1 &= \tau_y + \sin \vartheta (\varphi_y + \alpha_x \varphi_y - \tau_z \varphi_x) \\
 &\quad - 2 \sin^2 \frac{\vartheta}{2} [-\varphi_x \varphi_z + \tau_y - \varphi_z (\alpha_x \varphi_x + \tau_z \varphi_y + \tau_y \varphi_z)] \\
 \mu_z &= \tau_z + \sin \vartheta [\varphi_z + \alpha_y \varphi_z - \tau_x \varphi_y] \\
 &\quad - 2 \sin^2 \frac{\vartheta}{2} [-\varphi_y \varphi_x + \tau_z - \varphi_x (\tau_z \varphi_x + \alpha_y \varphi_y + \tau_x \varphi_z)] \\
 \lambda_y &= \alpha_y + \sin \vartheta [\tau_x \varphi_x - \tau_z \varphi_z] \\
 &\quad - 2 \sin^2 \frac{\vartheta}{2} [1 - \varphi_y^2 + \alpha_y - \varphi_y (\tau_z \varphi_x + \alpha_y \varphi_y + \tau_x \varphi_z)] \\
 \nu_x &= \tau_x - \sin \vartheta [\varphi_x + \alpha_y \varphi_x - \tau_z \varphi_y] \\
 &\quad - 2 \sin^2 \frac{\vartheta}{2} [-\varphi_y \varphi_z + \tau_x - \varphi_z (\tau_z \varphi_x + \alpha_y \varphi_y + \tau_x \varphi_z)]
 \end{aligned} \quad (32)$$

$$\left. \begin{aligned}
 \nu_y &= \tau_y - \sin \vartheta [\varphi_y + \tau_z \varphi_x - \tau_x \varphi_z] \\
 &\quad - 2 \sin^2 \frac{\vartheta}{2} [-\varphi_z \varphi_x + \tau_y - \varphi_x (\tau_y \varphi_x + \tau_x \varphi_y + \tau_z \varphi_z)] \\
 \mu_x &= \tau_x + \sin \vartheta [\varphi_x + \tau_z \varphi_y - \tau_y \varphi_z] \\
 &\quad - 2 \sin^2 \frac{\vartheta}{2} [-\varphi_z \varphi_y + \tau_x - \varphi_y (\tau_y \varphi_x + \tau_x \varphi_y + \tau_z \varphi_z)] \\
 \lambda_z &= \tau_z + \sin \vartheta [\tau_y \varphi_y - \tau_x \varphi_x] \\
 &\quad - 2 \sin^2 \frac{\vartheta}{2} [1 - \varphi_z^2 + \tau_z - \varphi_z (\tau_y \varphi_x + \tau_x \varphi_y + \tau_z \varphi_z)]
 \end{aligned} \right\} (32)$$

Für die Verschiebungsderivationen in den schliesslichen Richtungen  $a'b'c'$  der Deformationshauptachsen ist in den Gleichungen (31) und (32) zu setzen  $\alpha'_x = \beta'_y = \gamma'_z = 1$  und  $\alpha_y = \alpha'_z = \beta'_x = \beta'_z = \gamma'_x = \gamma'_y = 0$ , und es ist sonach für dieselben  $\tau_x = \lambda_1$ ,  $\tau_y = \lambda_2$ ,  $\tau_z = \lambda_3$ ,  $\tau_x = \tau_y = \tau_z = 0$  und

$$\left. \begin{aligned}
 \lambda_x &= \lambda_1 - 2 \sin^2 \frac{\vartheta}{2} (1 + \lambda_1) (1 - \varphi_x^2) \\
 \nu_z &= -\sin \vartheta (1 + \lambda_1) \varphi_z + 2 \sin^2 \frac{\vartheta}{2} (1 + \lambda_1) \varphi_x \varphi_y \\
 \mu_y &= \sin \vartheta (1 + \lambda_1) \varphi_y + 2 \sin^2 \frac{\vartheta}{2} (1 + \lambda_1) \varphi_x \varphi_z \\
 \mu_z &= \sin \vartheta (1 + \lambda_2) \varphi_z + 2 \sin^2 \frac{\vartheta}{2} (1 + \lambda_2) \varphi_y \varphi_x \\
 \lambda_y &= \lambda_2 - 2 \sin^2 \frac{\vartheta}{2} (1 + \lambda_2) (1 - \varphi_y^2) \\
 \nu_x &= -\sin \vartheta (1 + \lambda_2) \varphi_x + 2 \sin^2 \frac{\vartheta}{2} (1 + \lambda_2) \varphi_y \varphi_z \\
 \nu_y &= -\sin \vartheta (1 + \lambda_3) \varphi_y + 2 \sin^2 \frac{\vartheta}{2} (1 + \lambda_3) \varphi_z \varphi_x \\
 \mu_x &= \sin \vartheta (1 + \lambda_3) \varphi_x + 2 \sin^2 \frac{\vartheta}{2} (1 + \lambda_3) \varphi_z \varphi_y \\
 \lambda_z &= \lambda_3 - 2 \sin^2 \frac{\vartheta}{2} (1 + \lambda_3) (1 - \varphi_z^2)
 \end{aligned} \right\} (33)$$

Setzt man in diesen Gleichungen, da bei der Berechnung der Componenten der Spannungen Potenzen von  $\lambda_1 \lambda_2 \lambda_3$  und  $\vartheta$ , welche höher sind, als die zweite, zu vernachlässigen sind,

$\sin \vartheta = \vartheta$  und  $\sin \frac{\vartheta}{2} = \frac{\vartheta}{2}$  und substituirt die Werthe aus (33) und (26) in (27), so findet man folgende bis auf Glieder zweiter Ordnung genaue Relationen für die zu den Axen  $a'b'c'$  parallelen Componenten  $(S_1 T_3 T_2), (T_3 S_2 T_1), (T_2 T_1 S_3)$  der Spannungen in den zu den Dilatationshauptaxen  $a'b'c'$  in ihrer schliesslichen Lage senkrechten Flächenelementen, wenn kürzshalber

$$D'_1 = 4B_2 + C_1 - A_1 + 3A'_1 \quad (34)$$

gesetzt wird:

$$\left. \begin{aligned} D \cdot S_1 &= A_1 + 4B_2 \lambda_1 + C_1 (\lambda_1 + \lambda_2 + \lambda_3) + D'_1 \lambda_1^2 + \\ &\quad + B'_1 (\lambda_2^2 + \lambda_3^2) + C'_1 \lambda_2 \lambda_3 + (C_1 + 2B'_1) \lambda_1 (\lambda_2 + \lambda_3) \\ D \cdot T_1 &= A_{12} \lambda_1^2 + B_{12} (\lambda_2^2 + \lambda_3^2) + C_{12} \lambda_2 \lambda_3 + D_{12} \lambda_1 (\lambda_2 + \lambda_3) \\ D \cdot S_2 &= A_1 + 4B_2 \lambda_2 + C_1 (\lambda_1 + \lambda_2 + \lambda_3) + D'_1 \lambda_2^2 + \\ &\quad + B'_1 (\lambda_3^2 + \lambda_1^2) + C'_1 \lambda_3 \lambda_1 + (C_1 + 2B'_1) \lambda_2 (\lambda_3 + \lambda_1) \\ D \cdot T_2 &= A_{12} \lambda_2^2 + B_{12} (\lambda_3^2 + \lambda_1^2) + C_{12} \lambda_3 \lambda_1 + D_{12} \lambda_2 (\lambda_3 + \lambda_1) \\ D \cdot S_3 &= A_1 + 4B_2 \lambda_3 + C_1 (\lambda_1 + \lambda_2 + \lambda_3) + D'_1 \lambda_3^2 + \\ &\quad + B'_1 (\lambda_1^2 + \lambda_2^2) + C'_1 \lambda_1 \lambda_2 + (C_1 + 2B'_1) \lambda_3 (\lambda_1 + \lambda_2) \\ D \cdot T_3 &= A_{12} \lambda_3^2 + B_{12} (\lambda_1^2 + \lambda_2^2) + C_{12} \lambda_1 \lambda_2 + D_{12} \lambda_3 (\lambda_1 + \lambda_2) \end{aligned} \right\} \quad (35)$$

Da nun die Determinante  $D$ , wie dies die Substitution von (29) in (8) sofort lehrt, auch in der Form

$$\begin{aligned} D &= (1 + \lambda_1)(1 + \lambda_2)(1 + \lambda_3) \cdot \begin{vmatrix} \alpha_x \beta_x \gamma_x \\ \alpha_y \beta_y \gamma_y \\ \alpha_z \beta_z \gamma_z \end{vmatrix} \cdot \begin{vmatrix} \alpha'_x \beta'_x \gamma'_x \\ \alpha'_y \beta'_y \gamma'_y \\ \alpha'_z \beta'_z \gamma'_z \end{vmatrix} = \\ &= (1 + \lambda_1)(1 + \lambda_2)(1 + \lambda_3) \quad (36) \end{aligned}$$

ausdrückbar ist, so ist aus (35) zu entnehmen, dass die Spannungen  $S_1 S_2 S_3 T_1 T_2 T_3$  bei einem gegebenen ursprünglich elastisch isotropen Körper von dem Rotationswinkel  $\vartheta$  und den Richtungscosinus  $\varphi_x \varphi_y \varphi_z$  der Rotationsaxe nicht abhängen, sondern lediglich Functionen der drei Hauptdilatationen  $\lambda_1 \lambda_2 \lambda_3$  sind.

Da sich aus diesen sechs Spannungen und aus den auf die Dilatationshauptaxen  $a'b'c'$  bezogenen Richtungscosinus  $\alpha'_x \beta'_x \gamma'_x$  der beliebig gewählten Richtung  $x$  in bekannter Weise die Spannungscomponenten  $X_x Y_x Z_x$  berechnen lassen, so besteht

diese Unabhängigkeit von  $\vartheta, \varphi_x, \varphi_y, \varphi_z$  auch für die letzteren Kräfte. Übrigens zeigt dies auch die Substitution von (32) in (27), welche, wenn man abermals Glieder von höherer Ordnung als der zweiten vernachlässigt, bei Beachtung von (34) und (26) zu folgendem Werthe von  $D \cdot X_x$  führt:

$$\begin{aligned}
 D \cdot X_x = & A_1 + 4B_2 \cdot \tau_x + C_1(\tau_x + \tau_y + \tau_z) \\
 & + 2B_2 \cdot (\tau_y^2 + \tau_z^2) - C_1(\tau_x^2 + \tau_y^2 + \tau_z^2) \\
 & + D'_1 \cdot \tau_x^2 + B'_1 \cdot (\tau_y^2 + \tau_z^2) + C'_1 \cdot \tau_y \tau_z + \\
 & \quad + (C_1 + 2B'_1) \cdot \tau_x(\tau_y + \tau_z) \\
 & + 4A_{12} \cdot \tau_x \tau_y + 4B_{12} \cdot \tau_x(\tau_y + \tau_z) + 2C_{12}(\tau_y \tau_z + \tau_z \tau_y) + \\
 & \quad + 2D_{12}[\tau_y \tau_y + \tau_z \tau_z + (\tau_y + \tau_z) \tau_x] \\
 & + 4A_{21} \cdot \tau_x^2 + 4B_{21} \cdot (\tau_y^2 + \tau_z^2) + 4C_{21} \cdot \tau_y \tau_z + \\
 & \quad + 4D_{21} \cdot \tau_x(\tau_y + \tau_z)
 \end{aligned} \quad (37)$$

worin für  $\tau_x, \tau_y, \tau_z, \tau_x \tau_y, \tau_x \tau_z$  die Werthe aus (31) einzusetzen sind.

Anderseits ist bekanntlich die normale Spannung für die Richtung  $x$ , da  $\alpha'_x \beta'_x \gamma'_x$  die Richtungs cosinus derselben in Bezug auf die Axen  $a'b'c'$  sind, aus der allgemein giltigen Gleichung bestimmbar:

$$X_x = S_1 \alpha_x'^2 + S_2 \beta_x'^2 + S_3 \gamma_x'^2 + 2T_1 \beta'_x \gamma'_x + 2T_2 \gamma'_x \alpha'_x + 2T_3 \alpha'_x \beta'_x.$$

Sonach ist den Gleichungen (35) zufolge auch

$$\begin{aligned}
 D \cdot X_x = & A_1 + 4B_2(\lambda_1 \alpha_x'^2 + \lambda_2 \beta_x'^2 + \lambda_3 \gamma_x'^2) + C_1(\lambda_1 + \lambda_2 + \lambda_3) \\
 & + D'_1(\lambda_1^2 \alpha_x'^2 + \lambda_2^2 \beta_x'^2 + \lambda_3^2 \gamma_x'^2) + \\
 & \quad + B'_1[(\lambda_2^2 + \lambda_3^2) \alpha_x'^2 + (\lambda_3^2 + \lambda_1^2) \beta_x'^2 + (\lambda_1^2 + \lambda_2^2) \gamma_x'^2] \\
 & + C'_1(\lambda_2 \lambda_3 \alpha_x'^2 + \lambda_3 \lambda_1 \beta_x'^2 + \lambda_1 \lambda_2 \gamma_x'^2) + \\
 & \quad + (C_1 + 2B'_1)[\lambda_1(\lambda_2 + \lambda_3) \alpha_x'^2 + \lambda_2(\lambda_3 + \lambda_1) \beta_x'^2 + \\
 & \quad \quad + \lambda_3(\lambda_1 + \lambda_2) \gamma_x'^2] \\
 & + 2A_{12}(\lambda_1^2 \beta'_x \gamma'_x + \lambda_2^2 \gamma'_x \alpha'_x + \lambda_3^2 \alpha'_x \beta'_x) + \\
 & \quad + 2B_{12}[(\lambda_2^2 + \lambda_3^2) \beta'_x \gamma'_x + (\lambda_3^2 + \lambda_1^2) \gamma'_x \alpha'_x + \\
 & \quad \quad + (\lambda_1^2 + \lambda_2^2) \alpha'_x \beta'_x] \\
 & + 2C_{12}(\lambda_2 \lambda_3 \beta'_x \gamma'_x + \lambda_3 \lambda_1 \gamma'_x \alpha'_x + \lambda_1 \lambda_2 \alpha'_x \beta'_x) + \\
 & \quad + 2D_{12}[\lambda_1(\lambda_2 + \lambda_3) \beta'_x \gamma'_x + \lambda_2(\lambda_3 + \lambda_1) \gamma'_x \alpha'_x + \\
 & \quad \quad + \lambda_3(\lambda_1 + \lambda_2) \alpha'_x \beta'_x]
 \end{aligned} \quad (38)$$

Da die Gleichheit der Ausdrücke (37) und (38) für jede Lage der Dilatationshauptaxen  $a'b'c'$  und für alle Werthe der Hauptdilatationen  $\lambda_1\lambda_2\lambda_3$  besteht, so muss sicher auch der Coëfficient von  $\lambda_1^2$  in (37) jenem in (38) gleich sein, also ihre Differenz verschwinden, so dass sich nach Einsetzung der Werthe (31) in (37) und entsprechender Reduction folgende für alle möglichen Werthe der Richtungs cosinus  $\alpha'_x\alpha'_y\alpha'_z\beta'_x\dots$  gültige Gleichung ergibt:

$$\begin{aligned} & [2B_2 - D'_1 + B'_1 + 4B_{21}] \alpha'^2_x (\alpha'^2_y + \alpha'^2_z) \\ & + [-C_1 - 2B'_1 + C'_1 + 4A_{21}] \alpha'^2_y \alpha'^2_z + 2A_{12} \cdot (2\alpha'_x \alpha'_y \alpha'_z - \beta'_x \gamma'_x) \Bigg| \\ & + 2B_{12} \cdot \alpha'_x [2\alpha'^2_x (\alpha'_y + \alpha'_z) - \beta'_x - \gamma'_x] + 2C_{12} \cdot \alpha'_x (\alpha'^3_y + \alpha'^3_z) \quad (39) \\ & + 2D_{12} \cdot \alpha'_y \alpha'_z [\alpha'^2_y + \alpha'^2_z + \alpha'_x (\alpha'_y + \alpha'_z)] + 4C_{21} \cdot \alpha'^2_x \alpha'_y \alpha'_z + \\ & \qquad \qquad \qquad + 4D_{21} \cdot \alpha'_x \alpha'_y \alpha'_z (\alpha'_y + \alpha'_z) = 0 \end{aligned}$$

Da diese Gleichung für alle möglichen Richtungen der drei zu einander senkrechten Dilatationshauptaxen  $a'b'c'$  erfüllt werden muss und da die Coëfficienten dieser Gleichung von diesen Axenrichtungen unabhängig sind, so müssen alle diese Coëfficienten verschwinden, wie dies etwa aus folgender Schlussfolgerung hervorgeht: Nimmt man etwa  $a'$  parallel zur  $z$ -Axe und  $b'$ , beziehungsweise  $c'$  parallel zu jener Lage an, in welche die Axe  $x$ , beziehungsweise  $y$  durch eine Drehung in ihrer Ebene um den beliebigen Winkel  $\varphi$  gelangt, so ist  $\alpha'_z = 1$ ,  $\alpha'_x = \alpha'_y = \beta'_z = \gamma'_z = 0$ ,  $\beta'_x = \gamma'_y = \cos \varphi$ ,  $\beta'_y = -\gamma'_x = \sin \varphi$  zu setzen, wodurch die Gleichung (39) sich auf  $A_{12} \cdot \sin 2\varphi = 0$  reducirt, so dass  $A_{12} = 0$  ist. Setzt man diesen Werth in (39) ein und nimmt nunmehr etwa  $\alpha'_x = 0$ , also  $\alpha'^2_y + \alpha'^2_z = 1$  an, so erhält man eine bezüglich  $\alpha'_y\alpha'_z$  quadratische Gleichung, deren Coëfficienten verschwinden müssen, da  $\alpha'_y\alpha'_z$  jeden zwischen  $-\frac{1}{2}$  und  $+\frac{1}{2}$  gelegenen Werth annehmen kann, und es ist sonach  $D_{12} = 0$  und ebenso der Coëfficient von  $\alpha'^2_y \alpha'^2_z$  in (39). Dividirt man die derart reducirte Gleichung (39) durch  $\alpha'_x$  und setzt wie früher  $\alpha'_z = 1$ ,  $\beta'_x = \cos \varphi$  u. s. w., so wird  $2B_{12} \cdot (\sin \varphi - \cos \varphi) + 2C_{12} = 0$ , also, da  $\varphi$  beliebig ist,  $B_{12} = C_{12} = 0$ . Nimmt man nun abermals  $\alpha'_x = 0$  an, so findet man  $D_{21} = 0$  und wenn man die übrig bleibende Gleichung durch  $\alpha'_x$  dividirt

und hierauf  $\alpha'_x = 0$ ,  $\alpha'_y = \cos \varphi$ ,  $\alpha'_z = \sin \varphi$  setzt, so ersieht man, dass auch die übrig gebliebenen Coëfficienten verschwinden müssen. Zu genau denselben Folgerungen würde man durch Gleichsetzung etwa der Coëfficienten von  $\lambda_2 \lambda_3$  in (37) und (38) gelangen.

Da sonach alle Coëfficienten der Gleichung (39) sich auf Null reduciren müssen, so ist nach Einführung des Werthes von  $D'_1$  aus (34)

$$\left. \begin{aligned} B'_1 &= -A_1 + C_1 + 2B_2 + 3A'_1 - 4B_{21} \\ C'_1 &= C_1 + 2B'_1 - 4A_{21} = -2A_1 + 3C_1 + 4B_2 + \\ &\quad + 6A'_1 - 8B_{21} - 4A_{21} \\ A_{12} &= B_{12} = C_{12} = D_{12} = C_{21} = D_{21} = 0 \end{aligned} \right\} \quad (40)$$

Aus dem Verschwinden der letztgenannten Coëfficienten muss zunächst zufolge (35) gefolgert werden, dass  $T_1 = T_2 = T_3 = 0$  ist, d. h. dass keine Schubspannungen in den zu den Dilatationshauptaxen  $a'b'c'$  senkrechten Flächenelementen vorhanden sind, oder mit anderen Worten, dass die Dilatationshauptaxen in ihrer schliesslichen Lage zugleich auch die Hauptdruckaxen (Reactionshauptaxen) und  $S_1 S_2 S_3$  die Hauptdruckspannungen sind. Es besteht demnach für die Schubspannung  $Y_z$ , indem  $(\alpha'_y \beta'_y \gamma'_y)$  die auf die Hauptdruckaxen  $a'b'c'$  bezogenen Richtungscosinus der Axe  $y$  und  $(\alpha'_z \beta'_z \gamma'_z)$  jene der Axe  $z$  sind, die bekannte allgemein giltige Beziehung

$$Y_z = S_1 \cdot \alpha'_y \alpha'_z + S_2 \cdot \beta'_y \beta'_z + S_3 \cdot \gamma'_y \gamma'_z. \quad (41)$$

Setzt man nun in den in (27) ausgedrückten Werth von  $Y_z$  die Werthe aus (26), (32) und (40) ein, so findet man bei Vernachlässigung von Gliedern dritter Ordnung

$$\left. \begin{aligned} D \cdot Y_z &= 4B_2 \cdot \tau_x + 2B_2 \cdot [\tau_y \tau_z + (\tau_y + \tau_z) \tau_x] \\ &\quad + 4A_{21} \cdot \tau_x \tau_x + 4B_{21} \cdot (\tau_y + \tau_z) \tau_x \\ &\quad + 4A_{22} \cdot \tau_x^2 + 4B_{23} \cdot [\tau_y^2 + \tau_z^2 + 2\tau_x (\tau_y + \tau_z)] + 4C_{23} \cdot \tau_y \tau_z \end{aligned} \right\} \quad (42)$$

Anderseits ergibt die Substitution der Werthe (40) und des aus (40) und (34) resultirenden Werthes  $D'_1 = 2B_2 + B'_1 + 4B_{21}$  in die Gleichungen (35)



$$\begin{aligned}
 D.S_1 &= A_1 + 4B_2 \cdot \lambda_1 + C_1 \cdot (\lambda_1 + \lambda_2 + \lambda_3) + \\
 &\quad + (2B_2 + 4B_{21}) \cdot \lambda_1^2 + B'_1 (\lambda_1^2 + \lambda_2^2 + \lambda_3^2) - 4A_{21} \cdot \lambda_2 \lambda_3 + \\
 &\quad + (C_1 + 2B'_1) (\lambda_2 \lambda_3 + \lambda_3 \lambda_1 + \lambda_1 \lambda_2) \\
 D.S_2 &= A_1 + 4B_2 \cdot \lambda_2 + C_1 \cdot (\lambda_1 + \lambda_2 + \lambda_3) + \\
 &\quad + (2B_2 + 4B_{21}) \cdot \lambda_2^2 + B'_1 (\lambda_1^2 + \lambda_2^2 + \lambda_3^2) - 4A_{21} \cdot \lambda_3 \lambda_1 + \\
 &\quad + (C_1 + 2B'_1) (\lambda_2 \lambda_3 + \lambda_3 \lambda_1 + \lambda_1 \lambda_2) \\
 D.S_3 &= A_1 + 4B_2 \cdot \lambda_3 + C_1 \cdot (\lambda_1 + \lambda_2 + \lambda_3) + \\
 &\quad + (2B_2 + 4B_{21}) \cdot \lambda_3^2 + B'_1 (\lambda_1^2 + \lambda_2^2 + \lambda_3^2) - 4A_{21} \cdot \lambda_1 \lambda_2 + \\
 &\quad + (C_1 + 2B'_1) (\lambda_2 \lambda_3 + \lambda_3 \lambda_1 + \lambda_1 \lambda_2)
 \end{aligned} \quad (43)$$

Aus den Gleichungen (31) lassen sich nun leicht folgende Beziehungen ableiten:

$$\begin{aligned}
 \tau_z \tau_y + \tau_y \tau_x + \tau_x \tau_z &= \lambda_1^2 \cdot \alpha'_y \alpha'_z + \lambda_2^2 \cdot \beta'_y \beta'_z + \lambda_3^2 \cdot \gamma'_y \gamma'_z \\
 \tau_y \tau_z - \tau_x \tau_x &= \lambda_2 \lambda_3 \cdot \alpha'_y \alpha'_z + \lambda_3 \lambda_1 \cdot \beta'_y \beta'_z + \lambda_1 \lambda_2 \cdot \gamma'_y \gamma'_z \\
 \sigma_x^2 + \tau_z^2 + \tau_y^2 &= \lambda_1^2 \cdot \alpha'^2_x + \lambda_2^2 \cdot \beta'^2_x + \lambda_3^2 \cdot \gamma'^2_x \\
 \tau_y \tau_z - \tau_x^2 &= \lambda_2 \lambda_3 \cdot \alpha'^2_x + \lambda_3 \lambda_1 \cdot \beta'^2_x + \lambda_1 \lambda_2 \cdot \gamma'^2_x \\
 \tau_x \tau_y \tau_z + 2\tau_x \tau_y \tau_z - (\tau_x \tau_x^2 + \sigma_y \tau_y^2 + \tau_z \tau_z^2) &= \lambda_1 \lambda_2 \lambda_3
 \end{aligned} \quad (44)$$

Setzt man nunmehr die Werthe aus (43) in die Gleichung (41) ein und beachtet ausser (33) auch die zwei ersten Gleichungen in (44), so ergibt sich für  $D.Y_z$  ausser dem Werthe (42) auch folgender zweiter Werth:

$$\begin{aligned}
 D.Y_z &= 4B_2 \cdot \tau_x + (2B_2 + 4B_{21}) \cdot [\tau_y \tau_z + (\tau_y + \tau_z) \tau_x] \\
 &\quad + 4A_{21} (\tau_x \tau_x - \tau_y \tau_z)
 \end{aligned} \quad (45)$$

Da demgemäss die rechten Glieder dieser Gleichung und der Gleichung (42) für jeden beliebigen Werth der sechs Grössen  $\tau_x \tau_y \tau_z \tau_x \tau_y \tau_z$ , durch welche den Gleichungen (31) zufolge die Hauptdilatationen  $\lambda_1 \lambda_2 \lambda_3$  und die Lagen der Hauptdruckaxen eindeutig bestimmt sind, einander gleich sein müssen, so folgt aus (42) und (45) nothwendigerweise

$$\begin{aligned}
 C_{23} &= B_{21} - A_{21} \\
 A_{23} &= B_{23} = 0
 \end{aligned} \quad (46)$$

Substituirt man die gefundenen Werthe (46), (40), (25) und (24) in (21), so wird

$$\begin{aligned}
 f = & A_0 + A_1 \alpha_1 + A_1 \left( -\frac{1}{2} \beta_1 - \delta_1 \right) + 2B_2 \left( \beta_1 + \frac{\beta_2 + \beta_3}{2} + \delta_1 \right) \\
 & + \frac{1}{2} C_1 (\beta_1 + 2\gamma_1) + A'_1 (\alpha'_1 + 3\beta'_1 + 6\gamma'_1) \\
 & + (A_1 - 2B_2) (-\beta'_1 - 2\gamma'_1 + \gamma'_2 + \gamma'_3 + \varepsilon'_1) + C_1 (\beta'_1 + 3\gamma'_1 - \gamma' - \varepsilon'_1) \\
 & + A_{21} (\alpha_{21} + \alpha_{31} + 2\gamma'_1 - \gamma'_2 - \gamma'_3 - \gamma'_{23} - \gamma'_{32} - 4\gamma'_1) \\
 & + B_{21} (\beta_{21} + \beta_{31} + 2\varepsilon'_1 + \gamma'_2 + \gamma'_3 + \gamma'_{23} + \gamma'_{32} - 4\beta'_1 - 8\gamma'_1).
 \end{aligned}$$

Setzt man hierin die Werthe aus (22) und (26) ein und beachtet, dass  $\beta_1 = \lambda_x^2 + \lambda_y^2 + \lambda_z^2 = (\lambda_x + \lambda_y + \lambda_z)^2 - 2\gamma_1$  ist, so findet man für die gesuchte Potentialfunction  $f$  folgenden Werth:

$$\begin{aligned}
 f = & A_0 + A_1 (\lambda_x + \lambda_y + \lambda_z) + \frac{C_1 - A_1}{2} \cdot (\lambda_x + \lambda_y + \lambda_z)^2 \\
 & + A_1 (\lambda_y \lambda_z + \lambda_z \lambda_x + \lambda_x \lambda_y - \mu_x \nu_x - \mu_y \nu_y - \mu_z \nu_z) \\
 & + 2B_2 [\lambda_x^2 + \lambda_y^2 + \lambda_z^2 + \frac{1}{2} (\varepsilon_x^2 + \varepsilon_y^2 + \varepsilon_z^2)] \\
 & + A'_1 (\lambda_x + \lambda_y + \lambda_z)^3 + (A_1 - 2B_2) \cdot [ -(\lambda_y + \lambda_z) (\lambda_z + \lambda_x) (\lambda_x + \lambda_y) + \mu_x \mu_y \mu_z + \nu_x \nu_y \nu_z + \mu_x \nu_x (\lambda_y + \lambda_z) + \\
 & + C_1 (\lambda_x + \lambda_y + \lambda_z) (\lambda_y \lambda_z + \lambda_z \lambda_x + \lambda_x \lambda_y - \mu_x \nu_x - \mu_y \nu_y - \mu_z \nu_z) \\
 & - A_{21} (\lambda_x \varepsilon_x^2 + \lambda_y \varepsilon_y^2 + \lambda_z \varepsilon_z^2 - \varepsilon_x \varepsilon_y \varepsilon_z - 4\lambda_x \lambda_y \lambda_z) \\
 & + B_{21} [(\lambda_y + \lambda_z) \varepsilon_x^2 + (\lambda_z + \lambda_x) \varepsilon_y^2 + (\lambda_x + \lambda_y) \varepsilon_z^2 + \varepsilon_x \varepsilon_y \varepsilon_z - 4(\lambda_y + \lambda_z) (\lambda_z + \lambda_x) (\lambda_x + \lambda_y)] \quad (47)
 \end{aligned}$$

In die Augen springend ist der Zusammenhang der Glieder dieses Ausdruckes mit den vier Determinanten

$$\left. \begin{aligned} \alpha &= \begin{vmatrix} \lambda_x & \mu_z & \nu_y \\ \nu_z & \lambda_y & \mu_x \\ \mu_y & \nu_x & \lambda_z \end{vmatrix}, & \beta &= \begin{vmatrix} \lambda_x & \frac{\mu_z + \nu_z}{2} & \frac{\mu_y + \nu_y}{2} \\ \frac{\mu_z + \nu_z}{2} & \lambda_y & \frac{\mu_x + \nu_x}{2} \\ \frac{\mu_y + \nu_y}{2} & \frac{\mu_x + \nu_x}{2} & \lambda_z \end{vmatrix}, \\ \gamma &= \begin{vmatrix} -(\lambda_y + \lambda_z) & \mu_z & \nu_y \\ \nu_z & -(\lambda_z + \lambda_x) & \mu_x \\ \mu_y & \nu_x & -(\lambda_x + \lambda_y) \end{vmatrix}, & \delta &= \begin{vmatrix} -(\lambda_y + \lambda_z) & \frac{\mu_z + \nu_z}{2} & \frac{\mu_y + \nu_y}{2} \\ \frac{\mu_z + \nu_z}{2} & -(\lambda_z + \lambda_x) & \frac{\mu_x + \nu_x}{2} \\ \frac{\mu_y + \nu_y}{2} & \frac{\mu_x + \nu_x}{2} & -(\lambda_x + \lambda_y) \end{vmatrix} \end{aligned} \right\} \quad (18)$$

J. Finger,

Bezeichnet man nämlich durch  $\alpha'$ , beziehungsweise  $\beta'$  die Summe der zu  $\lambda_x \lambda_y \lambda_z$  adjungirten Unterdeterminanten der Determinante  $\alpha$ , beziehungsweise  $\beta$ , durch  $\gamma''$  die Summe der Quadrate sämtlicher Glieder der Determinante  $\beta$  und durch  $\lambda$  die Summe aus  $\lambda_x \lambda_y \lambda_z$ , also

$$\left. \begin{aligned} \lambda &= \lambda_x + \lambda_y + \lambda_z \\ \alpha' &= (\lambda_y \lambda_z - \mu_x \nu_x) + (\lambda_z \lambda_x - \mu_y \nu_y) + (\lambda_x \lambda_y - \mu_z \nu_z) \\ \beta' &= \lambda_y \lambda_z + \lambda_z \lambda_x + \lambda_x \lambda_y - \frac{1}{4} [(\mu_x + \nu_x)^2 + (\mu_y + \nu_y)^2 + (\mu_z + \nu_z)^2] \\ \gamma'' &= \lambda_x^2 + \lambda_y^2 + \lambda_z^2 + \frac{1}{2} [(\mu_x + \nu_x)^2 + (\mu_y + \nu_y)^2 + (\mu_z + \nu_z)^2] = \lambda^2 - 2\gamma' \end{aligned} \right\} \quad (19)$$

so ist den Gleichungen (47) und (26) gemäss

$$\left. \begin{aligned} f &= A_0 + A_1 \lambda + \frac{C_1 - A_1}{2} \lambda^2 + A_1 \alpha' + 2 B_2 \beta'' \\ &\quad + A_1' \lambda^3 + (A_1 - 2 B_2) \gamma + C_1 \lambda \alpha' - 4 A_{21} \beta + 4 B_{21} \delta \end{aligned} \right\} \quad (50)$$

wo auch  $\gamma = -\lambda \alpha' + \alpha$  und  $\delta = -\lambda \beta' + \beta$  gesetzt werden kann.

Der Ausdruck (47), beziehungsweise (50) für die Potentialfunction  $f$  ist bis auf Glieder dritter Ordnung genau.

Die Werthe der Spannungscomponenten ergeben sich entweder aus (47) mit Zuhilfenahme der Gleichungen (20) oder durch Einsetzung der Werthe aus (46) und (40) in die Gleichungen (27). Man erhält so nach entsprechender Reduction und nach Einführung der Werthe (26) und bei Beachtung des Werthes von  $B_1'$  in (40) folgende Gleichungen, die bis auf Glieder zweiter Ordnung richtig sind:

$$\left. \begin{aligned} D \cdot X_x &= A_1 + 4 B_2 \lambda_x + C_1 (\lambda_x + \lambda_y + \lambda_z) \\ &\quad + B_1' (\lambda_x + \lambda_y + \lambda_z)^2 + 2 B_2 (\lambda_x^2 + \lambda_y^2 + \lambda_z^2) \\ &\quad + C_1 (\lambda_y \lambda_z + \lambda_z \lambda_x + \lambda_x \lambda_y - \mu_x \nu_x - \mu_y \nu_y - \mu_z \nu_z) \\ &\quad - 4 A_{21} \left[ \lambda_y \lambda_z - \left( \frac{\mu_x + \nu_x}{2} \right)^2 \right] + \\ &\quad \quad + 4 B_{21} \left[ \lambda_x^2 + \left( \frac{\mu_z + \nu_z}{2} \right)^2 + \left( \frac{\mu_y + \nu_y}{2} \right)^2 \right] \\ D \cdot Y_z &= 2 B_2 (\mu_x + \nu_x) + 2 B_2 [\mu_z \nu_y + \lambda_y \mu_x + \nu_x \lambda_z] \\ &\quad - 4 A_{21} \left[ \frac{\mu_y + \nu_y}{2} \cdot \frac{\mu_z + \nu_z}{2} - \lambda_x \cdot \frac{\mu_x + \nu_x}{2} \right] \\ &\quad + 4 B_{21} \left[ \frac{\mu_z + \nu_z}{2} \cdot \frac{\mu_y + \nu_y}{2} + \lambda_y \cdot \frac{\mu_x + \nu_x}{2} + \frac{\mu_x + \nu_x}{2} \lambda_z \right] \end{aligned} \right\} \quad (51)$$

Der innige Zusammenhang der Factoren von  $2 B_2$  und  $C_1$  mit den entsprechenden Gliedern der Determinante  $\alpha$  in (48) und der Factoren von  $4 A_{21}$  und  $4 B_{21}$  mit den entsprechenden Gliedern der Determinante  $\beta$  ist derart ersichtlich, dass er einer näheren Auseinandersetzung nicht bedarf.

Da nach (8) die cubische Dilatation

$$\left. \begin{aligned} D - 1 &= \lambda_x + \lambda_y + \lambda_z + \lambda_y \lambda_z + \lambda_z \lambda_x + \lambda_x \lambda_y - \mu_x \nu_x - \mu_y \nu_y - \mu_z \nu_z \\ &\quad + \lambda_x \lambda_y \lambda_z + \mu_x \mu_y \mu_z + \nu_x \nu_y \nu_z \\ &\quad - \lambda_x \mu_x \nu_x - \lambda_y \mu_y \nu_y - \lambda_z \mu_z \nu_z = \lambda + \alpha' + \alpha \end{aligned} \right\} \quad (52)$$

so ist, wenn man Glieder dritter Ordnung vernachlässigt

$$\left. \begin{aligned} \frac{1}{D} &= 1 - (\lambda_x + \lambda_y + \lambda_z) + (\lambda_x + \lambda_y + \lambda_z)^2 - \\ &\quad - (\lambda_y \lambda_z + \lambda_z \lambda_x + \lambda_x \lambda_y - \mu_x \nu_x - \mu_y \nu_y - \mu_z \nu_z) = 1 - \lambda + \lambda^2 - \alpha' \end{aligned} \right\} \quad (53)$$

sonach zufolge (51) und (40) bis auf Glieder zweiter Ordnung genau

$$\left. \begin{aligned} X_x &= A_1 + 4B_2 \lambda_x + (C_1 - A_1)(\lambda_x + \lambda_y + \lambda_z) \\ &\quad + (3A'_1 - 4B_{21})(\lambda_x + \lambda_y + \lambda_z)^2 + 2B_2[(\lambda_y + \lambda_z)^2 + \nu_z^2 + \mu_y^2] \\ &\quad + (C_1 - A_1)(\lambda_y \lambda_z + \lambda_z \lambda_x + \lambda_x \lambda_y - \mu_x \nu_x - \mu_y \nu_y - \mu_z \nu_z) \\ &\quad - 4A_{21} \left[ \lambda_y \lambda_z - \left( \frac{\mu_x + \nu_x}{2} \right)^2 \right] + \\ &\quad + 4B_{21} \left[ \lambda_x^2 + \left( \frac{\mu_z + \nu_z}{2} \right)^2 + \left( \frac{\mu_y + \nu_y}{2} \right)^2 \right] \end{aligned} \right\} \quad (54)$$

$$\left. \begin{aligned} Y_z &= 2B_2(\mu_x + \nu_x) + 2B_2[\mu_z \nu_y - (\lambda_z + \lambda_x)\mu_x - \nu_x(\lambda_x + \lambda_y)] \\ &\quad - 4A_{21} \left[ \frac{\mu_y + \nu_y}{2} \cdot \frac{\mu_z + \nu_z}{2} - \lambda_x \cdot \frac{\mu_x + \nu_x}{2} \right] \\ &\quad + 4B_{21} \left[ \frac{\mu_z + \nu_z}{2} \cdot \frac{\mu_y + \nu_y}{2} + \lambda_y \cdot \frac{\mu_x + \nu_x}{2} + \frac{\mu_x + \nu_x}{2} \cdot \lambda_z \right] \end{aligned} \right\}$$

Die Factoren von  $2B_2$  entsprechen in diesen beiden für unsere Zwecke wichtigsten Schlussgleichungen nicht mehr wie in (51) den Gliedern der Determinante  $\alpha$ , sondern den analogen Gliedern der Determinante  $\gamma$  in (48). Der Factor von  $C_1 - A_1$  in (54), nämlich  $\lambda + \alpha'$ , ist zufolge (52) der cubischen Dilatation ( $D-1$ ) gleich, während in derselben Gleichung der Factor von  $3A'_1 - 4B_{21}$ , nämlich  $(\lambda_x + \lambda_y + \lambda_z)^2$ , dem Quadrate dieser cubischen Dilatation gleichgesetzt werden kann.

Durch cyclische Permutation von  $XYZ$ , beziehungsweise  $xyz$  ergeben sich aus (54) die Werthe aller übrigen Spannungscomponenten.

Wie aus den gefundenen Hauptgleichungen (47) und (54) zu ersehen ist, hat man, wenn bei der Berechnung des Potentials der inneren Kräfte Glieder dritter, sonach bei der Bestimmung der Spannungen (54) Glieder zweiter Ordnung berücksichtigt werden sollen, ausser der Integrationsconstanten  $A_0$  der Potentialfunction und der ursprünglichen, von der herrschenden Temperatur abhängigen Spannung  $A_1$  fünf Elasticitätsconstanten

— die jedoch keineswegs nothwendigerweise von einander unabhängig sein müssen und deren eventuelle Beziehungen zu einander festzustellen eine (im folgenden zweiten Theile zu behandelnde) Aufgabe der Moleculartheorie und experimenteller Untersuchungen ist — in Betrachtung zu ziehen, und zwar sind dies, wenn die zu Grunde gelegten Gleichungen die Form (47) und (54) haben sollen, die Constanten  $B_2, C_1, A'_1, A_{21}$  und  $B_{21}$ , sonach ausser den bisher in der Elasticitätstheorie stets zur Betrachtung kommenden Constanten  $B_2$  und  $C_1$  noch die drei Constanten  $A'_1, A_{21}$  und  $B_{21}$ . Würde man etwa in ähnlicher Weise, wie dies in dieser Untersuchung geschehen ist, auch Glieder der nächst höheren Ordnung in die Rechnung einführen, so müsste man vier weitere Elasticitätsconstanten in die Rechnung einbeziehen. Begnügt man sich, wie dies allgemein geschieht, bei der Berechnung des Potentials der inneren Kräfte mit Gliedern zweiter Ordnung, so dass die Spannungen als lineare Functionen der Verschiebungsderivationen angesehen werden dürfen und setzt überdies in den Gleichungen (47) und (54)  $A_0 = 0$  und  $A_1 = 0$  und etwa  $2B_2 = -K$  und  $C_1 = -2K\Theta$ , wo dann  $K$  den sogenannten Modulus der Starrheit (Schubspannungsmodul) und  $E = 2K \frac{1+3\Theta}{1+2\Theta}$  den sogenannten Elasticitätsmodulus, beziehungsweise  $W = \frac{2}{3}K(1+3\Theta)$  den sogenannten Compressionswiderstand bedeutet, so nehmen die Gleichungen (47) und (54) die bekannte gebräuchliche Form (nach Kirchhoff) an:

$$f = -K[\lambda_x^2 + \lambda_y^2 + \lambda_z^2 + \frac{1}{2}(\epsilon_x^2 + \epsilon_y^2 + \epsilon_z^2) + \Theta(\lambda_x + \lambda_y + \lambda_z)^2]$$

$$X_x = -2K[\lambda_x + \Theta(\lambda_x + \lambda_y + \lambda_z)]$$

$$Y_z = -K(\mu_x + \nu_x)$$

Setzt man in (47) die Werthe (32) und (31) ein, so erhält man

$$\left. \begin{aligned} f = & A_0 + A_1(\lambda_1 + \lambda_2 + \lambda_3) + \frac{C_1 - A_1}{2}(\lambda_1 + \lambda_2 + \lambda_3)^2 \\ & + A_1(\lambda_2\lambda_3 + \lambda_3\lambda_1 + \lambda_1\lambda_2) + 2B_2(\lambda_1^2 + \lambda_2^2 + \lambda_3^2) \\ & + A'_1(\lambda_1 + \lambda_2 + \lambda_3)^3 - (A_1 - 2B_2)(\lambda_2 + \lambda_3)(\lambda_3 + \lambda_1)(\lambda_1 + \lambda_2) \\ & + C_1(\lambda_1 + \lambda_2 + \lambda_3)(\lambda_2\lambda_3 + \lambda_3\lambda_1 + \lambda_1\lambda_2) - 4A_{21}\lambda_1\lambda_2\lambda_3 \\ & - 4B_{21}(\lambda_2 + \lambda_3)(\lambda_3 + \lambda_1)(\lambda_1 + \lambda_2) \end{aligned} \right\} \quad (55)$$

und für die Hauptspannungen ergeben sich aus (35) oder (54) die Werthe

$$\left. \begin{aligned} S_1 &= A_1 + 4B_2\lambda_1 + (C_1 - A_1)(\lambda_1 + \lambda_2 + \lambda_3) \\ &\quad + (3A'_1 - 4B_{21})(\lambda_1 + \lambda_2 + \lambda_3)^2 + 2B_2(\lambda_2 + \lambda_3)^2 \\ &\quad + (C_1 - A_1)(\lambda_2\lambda_3 + \lambda_3\lambda_1 + \lambda_1\lambda_2) - 4A_{21}\lambda_2\lambda_3 + 4B_{21}\lambda_1^2 \\ S_2 &= A_1 + 4B_2\lambda_2 + (C_1 - A_1)(\lambda_1 + \lambda_2 + \lambda_3) + \\ &\quad + (3A'_1 - 4B_{21})(\lambda_1 + \lambda_2 + \lambda_3)^2 \\ &\quad + 2B_2(\lambda_3 + \lambda_1)^2 + (C_1 - A_1)(\lambda_2\lambda_3 + \lambda_3\lambda_1 + \lambda_1\lambda_2) - \\ &\quad - 4A_{21}\lambda_3\lambda_1 + 4B_{21}\lambda_2^2 \\ S_3 &= A_1 + 4B_2\lambda_3 + (C_1 - A_1)(\lambda_1 + \lambda_2 + \lambda_3) + \\ &\quad + (3A'_1 - 4B_{21})(\lambda_1 + \lambda_2 + \lambda_3)^2 \\ &\quad + 2B_2(\lambda_1 + \lambda_2)^2 + (C_1 - A_1)(\lambda_2\lambda_3 + \lambda_3\lambda_1 + \lambda_1\lambda_2) - \\ &\quad - 4A_{21}\lambda_1\lambda_2 + 4B_{21}\lambda_3^2 \end{aligned} \right\} \quad (56)$$

Die Gleichungen (47) und (54) lassen sich in mannigfacher Weise umformen. Nicht ohne Interesse ist folgende in einfacher Weise deducirbare Form dieser Gleichungen: Bezeichnet man durch  $\nu$  die cubische Dilatation  $\nu = D - 1 = \lambda + \alpha' + \alpha$ , durch  $\tau$  die um 3 verminderte Summe der Quadrate sämmtlicher Glieder der ursprünglichen Determinante (8), so dass

$$\tau = (1 + \lambda_x)^2 + (1 + \lambda_y)^2 + (1 + \lambda_z)^2 + \mu_x^2 + \mu_y^2 + \mu_z^2 + \nu_x^2 + \nu_y^2 + \nu_z^2 - 3$$

von derselben Dimension ist wie die Dilatationen, so ist, wenn  $\varepsilon_x \varepsilon_y \varepsilon_z C_{23} \beta \beta''$  und  $\lambda$  die in (26), (46), (48) und (49) angeführten Werthe bedeuten und wenn kürzshalber

$$\left. \begin{aligned} f_1 &= A_0 + (A_1 - 2B_2)\nu + \left(\frac{C_1 - A_1}{2} + B_2\right)\nu^2 + (A'_1 - 2B_{21})\nu^3 \\ f_2 &= 4(B_{21} - A_{21})\beta + 2B_{21}\lambda\beta'' = 4C_{23}\beta + 2B_{21}\nu\beta'' \end{aligned} \right\} \quad (57)$$

gesetzt wird,

$$\left. \begin{aligned} f &= f_1 + f_2 + B_2\tau \\ X_x &= \frac{\partial f_1}{\partial \nu} + \frac{\partial f_2}{\partial \lambda_x} + 2B_2 \frac{(1 + \lambda_x)^2 + \nu_z^2 + \mu_y^2}{D} \\ Y_z &= \frac{\partial f_2}{\partial \varepsilon_x} + 2B_2 \frac{\mu_z \nu_y + (1 + \lambda_y)\mu_x + \nu_x(1 + \lambda_z)}{D} \end{aligned} \right\} \quad (58)$$

wodurch ein verhältnissmässig einfacher Zusammenhang mit der ursprünglichen Determinante  $D$  und der Determinante  $\beta$  ausgedrückt ist.

Die geometrische Bedeutung der Zähler der beiden letzten Brüche in den Ausdrücken (58) für  $X_x$  und  $Y_z$  lässt sich aus folgender Betrachtung entnehmen:

Jene Punkte  $m'$ , die anfangs in einer Kugelfläche gelegen sind, deren Mittelpunkt  $m$ , deren Radius  $dl$  und deren Gleichung  $dx^2 + dy^2 + dz^2 = dl^2$  ist, liegen zur Zeit  $t$  bekanntlich, wie sofort aus (6) zu entnehmen ist, wenn man aus diesen Gleichungen  $dx, dy, dz$  bestimmt und diese Werthe in die Gleichung der Kugelfläche einsetzt, in jenem Ellipsoid — dem Deformationsellipsoid (Dilatationsellipsoid, Verschiebungsellipsoid) —, dessen Halbaxen  $(1 + \lambda_1)dl, (1 + \lambda_2)dl, (1 + \lambda_3)dl$  die Richtungen  $a'b'c'$  der Dilatationshauptaxen haben, und dessen Gleichung, wenn man wieder, wie früher, durch  $l_x m_x n_y \dots$  die Subdeterminanten der Determinante (8) bezeichnet, lautet:

$$(l_x \cdot dX + m_z \cdot dY + n_y \cdot dZ)^2 + (n_z \cdot dX + l_y \cdot dY + m_x \cdot dZ)^2 + (m_y \cdot dX + n_x \cdot dY + l_z \cdot dZ)^2 = D^2 \cdot dl^2.$$

Die Kanten  $MM_1, MM_2, MM_3$  des früher betrachteten Tetraëders (7) sind conjugirte Radien dieses Ellipsoids, wofern die zu einander senkrechten, dem ursprünglichen Tetraëder  $dV$  angehörigen Kanten  $mm_1 = mm_2 = mm_3 = dl$  gewählt werden.

Jenes dem Deformationsellipsoid adjungirte Ellipsoid, dessen Halbaxen mit den Halbaxen des ersteren gleichgerichtet und diesen invers proportional sind, also etwa die Längen

$\frac{dl}{1 + \lambda_1}, \frac{dl}{1 + \lambda_2}, \frac{dl}{1 + \lambda_3}$  haben, hat die Gleichung<sup>1</sup>

$$[(1 + \lambda_x) \cdot x + \mu_z \cdot y + \nu_z \cdot z]^2 + [\nu_z x + (1 + \lambda_y) y + \mu_x z]^2 + [\mu_y x + \nu_x y + (1 + \lambda_z) z]^2 = dl^2.$$

Die zu den Seitenflächen  $f_1 = \overline{M_2 M M_3}, f_2 = \overline{M_3 M M_1}$  und  $f_3 = \overline{M_1 M M_2}$  des Tetraëders  $dV$  senkrechten Radien dieses

<sup>1</sup> Siehe Finger, »Über die gegenseitigen Beziehungen gewisser, in der Mechanik mit Vortheil anwendbaren Flächen zweiter Ordnung, nebst Anwendungen auf Probleme der Astatik«. Diese Sitzungsberichte, Bd. 101, Abth. II. a, S. 1108 und 1112.



Ellipsoids sind conjugirte Radien desselben und deren Längen sind den mit diesen gleichgerichteten Höhen des Tetraëders  $dV$  invers, also den Dreiecksflächen  $f_1 f_2 f_3$  direct proportional.<sup>1</sup>

Bringt man die letzte Gleichung auf die Form  $a_x x^2 + a_y y^2 + a_z z^2 + 2b_x yz + 2b_y zx + 2b_z xy = dl^2$ , so ersieht man sofort, dass  $a_x a_y a_z b_x b_y b_z$  die gesuchten Zähler in den durch (58) ausgedrückten Werthen von  $X_x Y_y Z_z Y_z Z_x X_y$  sind.

Es verdient ferner bemerkt zu werden, dass sich nicht nur der erste und letzte Summand von  $f$  in der Gleichung (58), sondern auch der mittlere Summand  $f_2$  als Function von  $v$  und  $\sigma$  ausdrücken lässt, wofern nur noch ausser der cubischen Dilatation  $v = D - 1$  und der Summe  $(\sigma + 3)$  der Quadrate sämtlicher Glieder der Determinante  $D$  auch die Summe der Quadrate sämtlicher Subdeterminanten  $l_x m_z n_y \dots$  von  $D$  in die Rechnung einbezogen wird. Ist nämlich  $s$  die um 3 verminderte letztere Summe, also  $s = l_x^2 + l_y^2 + l_z^2 + m_x^2 + m_y^2 + m_z^2 + n_x^2 + n_y^2 + n_z^2 - 3$ , so ist, wie aus (48) und (49) leicht zu deduciren ist,

$$\beta = \frac{1}{4} v + \frac{1}{8} (\sigma - s + v^2)$$

$$\lambda \beta'' = (\lambda_x + \lambda_y + \lambda_z) \beta'' = \frac{1}{2} \left[ \frac{\sigma^2}{4} - v^2 + v^3 \right],$$

so dass, wenn man diese Werthe in (57) und (58) einsetzt, sich auch die Potentialfunction  $f$  als Function der drei Variablen  $v$ ,  $\sigma$  und  $s$  darstellen lässt.

Um Missdeutungen zu verhüten, sei schliesslich bemerkt, dass zwar, wenn man von Gliedern höheren Grades als des ersten absieht, die sogenannten Deformationsgrössen durch  $\lambda_x, \lambda_y, \lambda_z, \epsilon_x = \mu_x + v_x, \epsilon_y = \mu_y + v_y, \epsilon_z = \mu_z + v_z$  bestimmt sind, und zwar bekanntlich durch  $\lambda_x \lambda_y \lambda_z$  die linearen Dilatationen parallel zu den Coordinatenachsen und durch  $\epsilon_x \epsilon_y \epsilon_z$  die Grössen der Schiebungen in den zu den drei Coordinatenebenen parallelen Ebenen, dass dies jedoch bei Berücksichtigung von Gliedern zweiter Ordnung nicht der Fall ist. Es lässt sich nämlich leicht einsehen, dass bei Vernachlässigung von Gliedern

<sup>1</sup> L. c.

höherer Ordnung als der zweiten die linearen Dilatationen  $\Lambda_x \Lambda_y \Lambda_z$  parallel zu den Coordinatenachsen den Gleichungen

$$\Lambda_x = \lambda_x + \frac{1}{2} (\mu_z^2 + \nu_y^2)$$

$$\Lambda_y = \lambda_y + \frac{1}{2} (\mu_x^2 + \nu_z^2)$$

$$\Lambda_z = \lambda_z + \frac{1}{2} (\mu_y^2 + \nu_x^2)$$

entsprechen müssen, dass ferner unter derselben Voraussetzung, wenn durch  $E_x E_y E_z$  die Änderungen der Kantenwinkel des ursprünglichen Tetraëders  $dv$  bezeichnet sind, also der Winkel  $(M_2 M M_3) = \frac{\pi}{2} + E_x$ ,  $(M_3 M M_1) = \frac{\pi}{2} + E_y$ ,  $(M_1 M M_2) = \frac{\pi}{2} + E_z$  ist,

$$-E_x = \varepsilon_x + \mu_y \nu_z - \lambda_y \mu_x - \lambda_z \nu_x$$

$$-E_y = \varepsilon_y + \mu_z \nu_x - \lambda_z \mu_y - \lambda_x \nu_y$$

$$-E_z = \varepsilon_z + \mu_x \nu_y - \lambda_x \mu_z - \lambda_y \nu_z$$

während, wenn  $H_x H_y H_z$  die Änderungen der Seitenwinkel der Ecke  $M$  des Tetraëders bedeuten, so dass, wenn  $N_1 N_2 N_3$  die von  $M_1 M_2 M_3$  auf die Gegenflächen  $M_2 M M_3$ ,  $M_3 M M_1$ ,  $M_1 M M_2$  gefällten Höhen bedeuten, die Winkel  $(N_2 N_3) = \frac{\pi}{2} + H_x$ ,  $(N_3 N_1) = \frac{\pi}{2} + H_y$ ,  $(N_1 N_2) = \frac{\pi}{2} + H_z$  sind,

$$H_x = \varepsilon_x - \mu_z \nu_y - \lambda_y \mu_x - \lambda_z \nu_x - \mu_y \mu_z - \nu_y \nu_z$$

$$H_y = \varepsilon_y - \mu_x \nu_z - \lambda_z \mu_y - \lambda_x \nu_y - \mu_z \mu_x - \nu_z \nu_x$$

$$H_z = \varepsilon_z - \mu_y \nu_x - \lambda_x \mu_z - \lambda_y \nu_z - \mu_x \mu_y - \nu_x \nu_y$$

also z. B.  $-E_x - H_x = (\mu_y + \nu_y)(\mu_z + \nu_z) = \varepsilon_y \varepsilon_z$  u. s. w. ist.

---

Nach Abschluss dieser Abhandlung ist mir eine in der Sitzung der königlichen Gesellschaft der Wissenschaften zu Göttingen am 8. Juli 1893 vorgelegte Abhandlung von Prof.

W. Voigt,<sup>1</sup> welche zufälligerweise denselben Gegenstand behandelt, in die Hand gekommen. Nichtsdestoweniger habe ich mich bestimmt gefunden, meine Untersuchungen zu publiciren, da Prof. Voigt, der gleichfalls durch die Beobachtungsergebnisse O. Thompson's zu dieser Arbeit veranlasst wurde, durch seine theoretischen Untersuchungen zu Ergebnissen gelangt ist, die von den meinen verschieden sind. Setzt man nämlich, um den Zusammenhang zwischen meiner Bezeichnungsweise und jener Voigt's herzustellen,  $f = -F$ , ferner  $\lambda_x = x_x$ ,  $\lambda_y = y_y$ ,  $\lambda_z = z_z$ ,  $\varepsilon_x = \mu_x + \nu_x = y_z$ ,  $\varepsilon_y = z_x$  und  $\varepsilon_z = x_y$ ,\* und bezeichnet kürzshalber durch  $\delta$  und  $\vartheta$  die Ausdrücke  $\delta = x_x + y_y + z_z$ ,  $\vartheta = x_x^2 + y_y^2 + z_z^2 + \frac{1}{2}(y_z^2 + z_x^2 + x_y^2)$ , so lauten die von Prof. Voigt gefundenen Formeln:

$$\begin{aligned} 2F &= c_1 \delta^2 + c_2 \vartheta + \frac{2c'_1}{3} \delta^3 + c'_2 \cdot \delta \vartheta \\ -X_x &= c_1 \delta + c_2 x_x + c'_1 \delta^2 + c'_2 \cdot \delta \vartheta \\ -Y_z &= \frac{c_2}{2} y_z + \frac{c'_2}{2} y_z \delta, \end{aligned}$$

welche anders lauten als die von mir gefundenen Formeln (47) und (54). Prof. Voigt wendet dann diese bloß zwei neue Elasticitätsconstanten  $c'_1$  und  $c'_2$  enthaltenden Formeln auf verschiedene besondere Fälle, nämlich die Dehnung, Torsion und Biegung eines cylindrischen isotropen Körpers an. Leider kann ich jedoch nicht die Bemerkung unterdrücken, dass nach meiner Überzeugung die zwei Voraussetzungen, von welchen Prof. Voigt bei der Ableitung seiner Formeln ausgeht, nicht stich-

<sup>1</sup> W. Voigt, »Über eine anscheinend nothwendige Erweiterung der Theorie der Elasticität.« Göttinger Nachrichten Nr. 13 (vom 2. August 1893), S. 534—552.

\* Trotzdem ich diese von Kirchhoff gewählte Bezeichnungsweise als sehr zweckentsprechend ansehe und ich daher auch ursprünglich beabsichtigte, die Verschiebungsderivationen  $\lambda_x \lambda_y \lambda_z \mu_x \mu_y \mu_z \nu_x \nu_y \nu_z$  entsprechend ihren Werthen (3) durch  $x_x y_y z_z z_y x_x y_x y_z z_x x_y$  zu bezeichnen, so bin ich doch von dieser Absicht abgekommen, um Missverständnissen vorzubeugen, die durch den Umstand leicht hätten herbeigeführt werden können, dass man fast allgemein z. B. durch  $\nu$  nicht  $\frac{\partial \eta}{\partial z}$ , sondern die Summe  $\frac{\partial \eta}{\partial z} + \frac{\partial \zeta}{\partial y}$  zu bezeichnen pflegt.

hältig sind. Zunächst sind die nach meinem Dafürhalten viel zu willkürlichen Annahmen nicht begründet, dass die Spannungen bloß Functionen der Grössen  $\lambda_x \lambda_y \lambda_z \varepsilon_x \varepsilon_y \varepsilon_z$  sind (in dem besonderen Falle, dass die Deformation eine reine, von keiner Rotation begleitete, also etwa eine Potentialdeformation, sonach

$$\mu_x = \nu_x = \frac{1}{2} \varepsilon_x, \quad \mu_y = \nu_y = \frac{1}{2} \varepsilon_y, \quad \text{und} \quad \mu_z = \nu_z = \frac{1}{2} \varepsilon_z \text{ ist, ist diese}$$

Annahme wohl streng richtig) ebensowenig wie die Annahme, dass die Potentialfunction  $f$  bloß eine Function von  $\delta$  und  $\vartheta$  ist.

Dass diese Annahmen nothwendige »Folgerungen der Grundannahme seien, derzufolge die elastischen Drucke an einer Stelle nur von dem Zustande in der unmittelbaren Umgebung des Punktes abhängen« ist nicht einzusehen, da ja die Deformation in dem unmittelbar angrenzenden Körperelement, wofern auch Glieder zweiter Ordnung in Rechnung gezogen werden, nicht nur, wie früher gezeigt wurde, von  $\lambda_x \lambda_y \lambda_z \varepsilon_x \varepsilon_y \varepsilon_z$ , sondern auch von  $\mu_x \nu_x \mu_y \dots$  abhängig sind. Die Potentialfunction  $F$ , die Prof. Voigt als eine Function der zwei Grössen  $\delta$  und  $\vartheta$  annimmt, lässt sich in dem betrachteten Falle nach meiner Überzeugung nicht als eine Function von zwei Variabeln, wohl aber, wie ich gezeigt habe, als Function von drei Variabeln darstellen. Und ebenso ist die weitere Voraussetzung, dass auch bei Berücksichtigung der Glieder höherer Ordnung »die Formeln bestehen bleiben, welche die Druckcomponenten mit

dem elastischen Potential  $F$  verbinden, nämlich  $X_x = -\frac{\partial F}{\partial x_x}$ ,  $X_y = -\frac{\partial F}{\partial x_y}$  u. s. w.«, nicht gerechtfertigt, wie dies die streng-

giltigen Gleichungen (20) lehren. So dürfte auch der »Widerspruch« zu erklären sein, »in welchem«, wie Prof. Voigt selbst gesteht, »scheinbar die von O. Thompson bei Längsdehnung gefundenen Resultate mit den von mir (Prof. Voigt) bei Biegung und Torsion erhaltenen stehen«. Dass die Berücksichtigung der in der bisherigen Elasticitätstheorie nicht berücksichtigten Glieder höherer Ordnung auch nach der Meinung des Prof. Voigt (der sich durch seine Arbeiten um die Ausgestaltung der Theorie der Elasticität, besonders jener der krystallinischen Substanzen, unbestrittene Verdienste erworben hat) in manchen

Fällen von Wichtigkeit ist, ist aus folgender Bemerkung des Prof. Voigt in der citirten Abhandlung zu entnehmen: »Die von mir (Voigt) gefundenen Resultate zeigen, dass der Einfluss, den die nicht genaue Giltigkeit des gewöhnlichen elastischen Potentials auf die verschiedenen beobachteten Deformationen hat, eine ganz verschiedene Grössenordnung besitzt, z. B. bei Längsdehnung in einem Gliede erster, bei Biegung und Drillung in einem Gliede zweiter Ordnung auftritt, im ersten Falle also unter Umständen sehr merklich sein kann, wo er in den letzteren kaum nachweisbar ist«.

---

SITZUNGSBERICHTE  
DER  
KAISERLICHEN AKADEMIE DER WISSENSCHAFTEN.

---

**MATHEMATISCH - NATURWISSENSCHAFTLICHE CLASSE.**

---

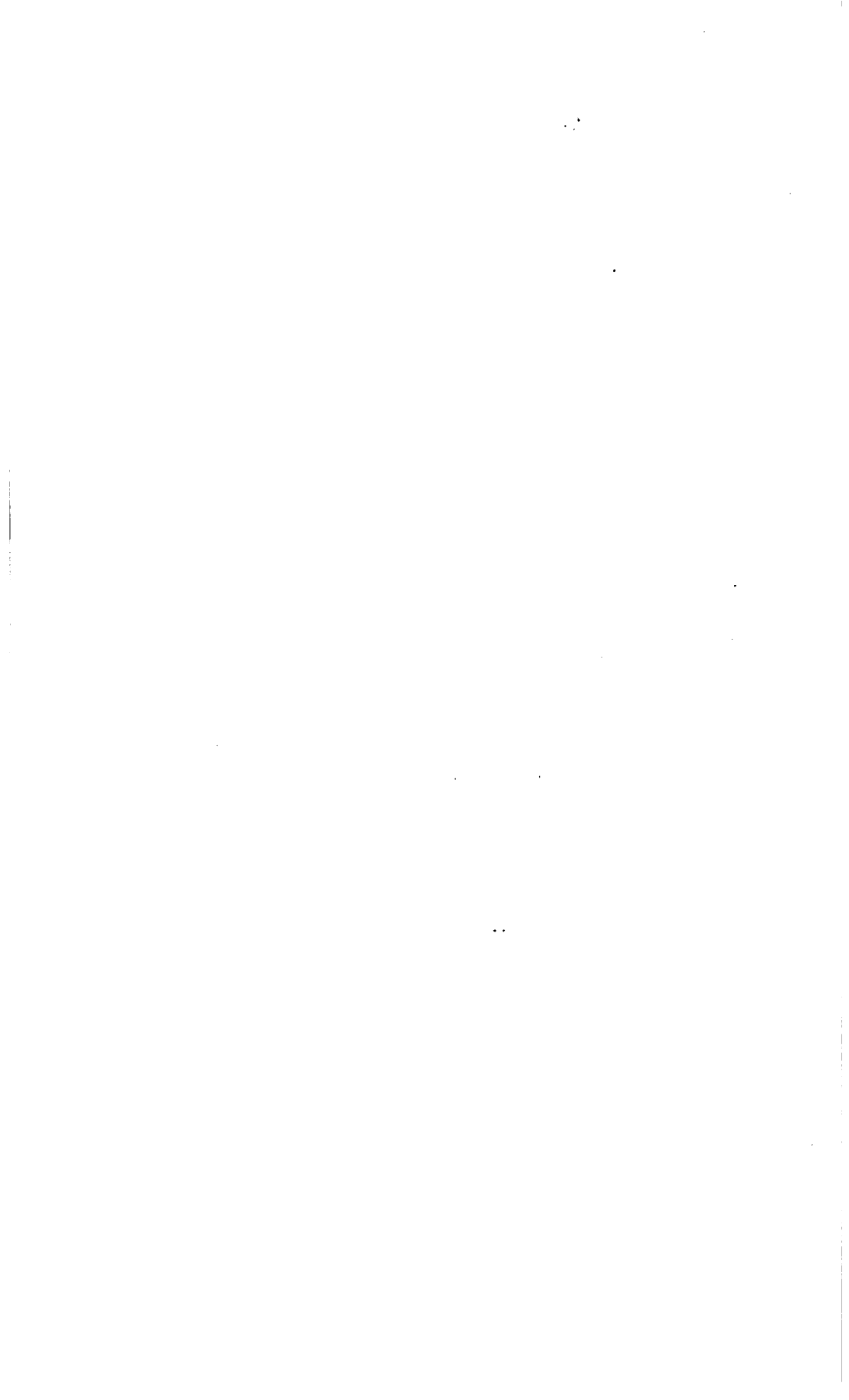
**CIII. BAND. III. HEFT.**

---

**ABTHEILUNG II. a.**

**ENTHÄLT DIE ABHANDLUNGEN AUS DEM GEBIETE DER MATHEMATIK, ASTRONOMIE,  
PHYSIK, METEOROLOGIE UND DER MECHANIK.**

---



## VII. SITZUNG VOM 1. MÄRZ 1894.

Der Secretär legt das erschienene Heft I (Jänner 1894) des 15. Bandes der Monatshefte für Chemie, ferner das Register zum 14. Bande (Jahrgang 1893) dieser Monatshefte vor.

Das w. M. Herr Prof. L. Pfaundler übersendet eine Arbeit aus dem physikalischen Institute der k. k. Universität in Graz von Prof. Dr. I. Klemenčič: »Über die Magnetisirung von Eisen- und Nickeldraht durch schnelle elektrische Schwingungen«.

Das c. M. Herr Regierungsrath Prof. A. Weiss in Prag übersendet eine Arbeit von Dr. A. Nestler, Assistenten am pflanzenphysiologischen Institute der k. k. deutschen Universität daselbst, unter dem Titel: »Über Ringfasciation«.

Das c. M. Herr Director Th. Fuchs übersendet eine Abhandlung: »Über von der österreichischen Tiefsee-Expedition S. M. Schiffes „Pola“ in bedeutenden Tiefen gedredete *Cylindrites*-ähnliche Körper und deren Verwandtschaft mit *Gyrolithes*«.

Das w. M. Herr Hofrath Director F. Steindachner überreicht eine Abhandlung des Herrn Friedrich Siebenrock, Assistenten am k. k. naturhistorischen Hofmuseum in Wien, betitelt: »Das Skelet der *Lacerta Simonyi* Steind. und der Lacertidenfamilie überhaupt«.

Das w. M. Prof. H. Weidel überreicht eine im I. chemischen Laboratorium der k. k. Universität in Wien von Herrn Hans Meyer ausgeführte Untersuchung: »Über einige Derivate



der Picolinsäure und die Überführung derselben in  $\alpha$ -Amidopyridin«.

Das w. M. Herr Prof. A. Schrauf überreicht eine in seinem Institute ausgeführte Arbeit des Herrn Adolf Stengel über die Krystallformen einiger neuen organischen Verbindungen, und zwar von Picolinsäureamid; Jodäthylpicolinsäureäthylester; Äthylpyridinchloridchloroplatinat; Amidopyridinchloroplatinat; Mesoweinsäurenitril; Bromlacton, Dibromid, Amid und Baryumsalz der Oxypropilidenbuttersäure.

---

**Selbständige Werke oder neue, der Akademie bisher nicht zugekommene Periodica sind eingelangt:**

Statistischer Bericht über die volkswirtschaftlichen Zustände des Erzherzogthums Österreich unter der Enns im Jahre 1890, erstattet an das k. k. Handelsministerium von der Handels- und Gewerbekammer in Wien. I. Bd. Gewerbestatistik. Wien, 1893.

---

# Über die Magnetisirung von Eisen- und Nickeldraht durch schnelle elektrische Schwingungen

von

**Ignaz Klemenčič.**

Aus dem physikalischen Institute der k. k. Universität in Graz.

In neuerer Zeit ist von verschiedenen Beobachtern festgestellt worden, dass elektrische Schwingungen in Eisendrähten viel stärker gedämpft werden, als in anderen nicht magnetisierbaren Metallen. Die stärkere Dämpfung erklärt sich aus der circularen oder transversalen Magnetisirung, infolge welcher die elektrischen Schwingungen noch viel mehr wie bei anderen Drähten in die Oberflächenschichten zusammengedrängt werden. Der Widerstand eines magnetisierbaren Leiters ist daher für Oscillationen viel grösser als der eines anderen Drahtes von gleicher Leitungsfähigkeit. Die Wärmeentwicklung in einem Leiter ist proportional dem Widerstand; man kann daher aus der Wärmeentwicklung beim Durchleiten elektrischer Schwingungen einen Schluss auf die Grösse des Widerstandes ziehen und hieraus mit Hilfe der von Lord Rayleigh<sup>1</sup> und Stefan<sup>2</sup> entwickelten Formeln den Werth der Permeabilität für diesen Fall berechnen. Bei der vorliegenden Untersuchung wurde die Wärmeentwicklung in den Eisen- und Nickeldrähten so wie bei früheren Messungen durch ein in der Nähe des Versuchsdrahtes aufgestelltes Thermoelement bestimmt und mit der

---

<sup>1</sup> Phil. Mag. Vol. 21, Jahrg. 1886.

<sup>2</sup> Diese Sitzungsber., Bd. XCIX, Jahrg. 1890.

Wärmeentwicklung in einem ebenso dicken Messingdrahte verglichen, welcher in dieselbe Leitung eingeschaltet war. Die Versuche ergaben folgende Werthe für die Permeabilität  $\mu$ : Weiches Eisen 118, Stahl (Klaviersaitendraht) weich 106, hart 115, Bessemerstahl weich 77, hart 74, Nickel 27.

Diese Werthe stimmen ganz gut mit jenen, welche Baur<sup>1</sup> und Lord Rayleigh<sup>2</sup> für sehr schwache magnetisirende Kräfte gefunden haben. Wie die Versuche der beiden genannten Forscher lehren, ist die Permeabilität bis zu gewissen Werthen der magnetisirenden Kraft eine constante Grösse, während sie dann rasch ansteigt.

Die vorliegenden Beobachtungen zeigen, dass wir uns bei diesen Versuchen in einem Gebiete constanter  $\mu$  bewegen. Diese Thatsache kann nun so gedeutet werden, dass die hier verwendeten magnetisirenden Kräfte sehr schwach sind und der Grössenordnung nach in den Bereich jener Feldstärken fallen, bei welchen  $\mu$  wirklich constant ist, oder auch so, dass wir es hier zwar mit viel grösseren magnetisirenden Kräften zu thun haben, dass aber die Magnetisirung dem raschen Wechsel derselben nicht so schnell folgen kann, um hiebei je den Theil der Magnetisirungscurve zu erreichen, welcher den variablen und viel grösseren Werthen von  $\mu$  entspricht. Man hat ja sogar ursprünglich bezweifelt, ob sehr rasche elektrische Schwingungen überhaupt magnetisirend wirken könnten. Eine beiläufige Schätzung der hier in Betracht kommenden Feldstärken aus den bei den Schwingungen auftretenden Maximalstromstärken ergibt nun wenigstens für die Oberfläche der Drähte und für den Beginn der Oscillationen Werthe der magnetisirenden Kräfte, welche jene Grenze, innerhalb welcher  $\mu$  constant ist, mehr als hundertmal überschreiten. Darnach würde hier thatsächlich ein Fall des Zurückbleibens der Magnetisirung<sup>3</sup> vorliegen. Hiebei muss freilich vorausgesetzt werden, dass die Resultate der Beobachtungen Baur's und Lord Rayleigh's,

---

<sup>1</sup> Wied. Ann., 11, 1880.

<sup>2</sup> Phil. Mag. Vol. 23, 1887.

<sup>3</sup> Dieses Zurückbleiben darf mit der Hysteresis nicht verwechselt werden.

welche sich auf die longitudinale Magnetisirung beziehen, auch auf die circulare anwendbar sind.

In den Grenzen, innerhalb welcher  $\mu$  constant ist, gibt es keinen remanenten Magnetismus; die Magnetisirung in diesem Gebiete ist den Deformationen eines Körpers innerhalb der Elasticitätsgrenze ähnlich, während die weiteren Stadien der Magnetisirung mit dauernden Deformationen zu vergleichen sind, ein Analogon, auf welches schon Maxwell hingewiesen hat.

Der technisch verwendbare Theil der Magnetisirung liegt in dem Gebiete, welches den dauernden Deformationen entspricht; es ist nun sehr wahrscheinlich, und diese Annahme wird auch durch die Erfahrung gestützt, dass die Magnetisirung bei schnellen Feldwechseln dieses Gebiet nicht mehr erreicht, während die Moleküle innerhalb der Grenzen der constanten  $\mu$  noch viel rascheren Schwingungen folgen können, wie die hier verwendeten. Weitere Versuche, welche vielleicht am besten mit Condensatorentladungen bei directer Beobachtung der Schwingungsdauer und der Dämpfung anzustellen wären, müssen darüber entscheiden.

### Die Versuchsanordnung.

Bezüglich der Versuchsanordnung verweise ich auf eine frühere Abhandlung.<sup>1</sup> Der Primär- und Secundärinductor hatten dieselbe Grösse wie bei früheren Messungen und die Wärmeentwicklung wurde ebenfalls mit Hilfe eines in der Nähe des Versuchsdrahtes angebrachten feinen Thermoelements (Eisen-Constanten) gemessen; nur waren die beiden Drähte, in denen die Wärmeentwicklung verglichen werden sollte, nicht in einem Gehäuse befestigt, sondern es war jeder Versuchsdraht separat montirt. Die Länge der untersuchten Drähte betrug in allen Fällen 6cm, ihre Dicke wechselte zwischen 0·45 und 0·18mm, doch hatten die beiden Vergleichsdrähte immer gleiche Dicke. Der Secundärinductor war auf diese Weise aus mehreren Stücken zusammengesetzt; die aneinanderstossenden Stellen waren behufs besseren Contacts gut amalgamirt.

---

<sup>1</sup> Diese Sitzungsber., Bd. CII, 1893, und Wied. Ann., Bd. 50.

### Die Resultate.

In den nachfolgenden Tabellen bedeutet:

$\alpha$  den Ausschlag des Thomson-Carpentier-Galvanometers, durch welchen die Wärmeentwicklung im Versuchsdraht gemessen wird;

$\beta$  den Ausschlag des Galvanometers, welches mit dem Standardinductor verbunden war;

$\bar{\alpha}$  den auf  $\beta = 100$  reducirten Werth von  $\alpha$ ;

$\psi$  die Ablenkung des Thomson-Carpentier-Galvanometers, durch welche die Wärmeentwicklung im Versuchsdrahte beim Durchgange eines constanten Stromes gemessen wird. Die Stärke des Stromes war immer für beide Drähte gleich und ist bei jeder Tabelle angegeben.

*C* Die in dieser Rubrik angeführten Zahlen geben die Empfindlichkeit des Thomson-Carpentier-Galvanometers an. Bei dem hier verwendeten Instrument ändert sich die Empfindlichkeit im Verlaufe des Tages, vermuthlich infolge von Temperaturschwankungen, ziemlich beträchtlich. Zur Controle konnte in den Galvanometerkreis eine schwache elektromotorische Kraft von  $0.052/50000 \times 1.438$  Volt eingeschaltet werden. Die hierauf beobachtete Doppelablenkung ist unter *C* eingetragen. Der Widerstand im Galvanometerkreise betrug  $6.8$  Ohm.

*D* bedeutet die Entfernung des Primär- vom Secundärinductor in *cm* und

*V* das Verhältniss der Wärmeentwicklung in den Vergleichsdrähten durch die elektrischen Schwingungen.

Jeder Werth von  $\alpha$  ist das Mittel aus vier Beobachtungen, wovon zwei bei einer und zwei bei entgegengesetzter Richtung des Primärstromes im Inductorium erhalten wurden. Auch hier konnte man die Beobachtung machen, dass die Primärfunken manchmal bei einer Richtung viel activer waren, als bei der entgegengesetzten.

Die Erwärmung mit constantem Strom geschah durch Einschaltung der Versuchsdrähte in einen Stromkreis, in welchem sich ein Accumulator und ein passender Widerstand befand. In manchen Fällen war die Erwärmung des Eisens durch die

elektrischen Schwingungen sehr stark und es musste bei der Beobachtung derselben in den Kreis des Thomson-Carpen-  
tier-Galvanometers ein Widerstand eingeschaltet werden,  
welcher bei der Beobachtung an dem Vergleichsdraht wieder  
entfernt wurde. Die entsprechenden, für Eisen erhaltenen  
Zahlen müssen daher mit einem constanten Factor  $F$  multipli-  
cirt werden;  $F$  ist bei jeder Tabelle angegeben; die Werthe  
von  $\bar{\alpha}$  sind schon mit  $F$  multiplicirt.

Zum Vergleiche wurde immer ein Messingdraht ver-  
wendet.

### Eisen—Messing.

Diese Combination wurde bei zwei verschiedenen Dicken  
untersucht. Das Eisen war ausgeglüht.

1.

Eisen- und Messingdraht 0·452 *mm* dick.

Widerstand pro Längeneinheit  $\left\{ \begin{array}{l} \text{Eisen} = 0\cdot0082 \text{ S. E.} \\ \text{Messing} = 0\cdot0053 \end{array} \right.$

Verhältniss der spec. Wid. = 1·55.

Constanter Strom = 0·135 Amp.;  $F = 3\cdot15$  für  $D = 20$   
und 40.

Tabelle I.

$D$	$C$	Eisen				Messing				$V$
		$\psi$	$\alpha$	$\beta$	$\bar{\alpha}$	$\psi$	$\alpha$	$\beta$	$\bar{\alpha}$	
20	78·4	57·2	373	82	1447	40·0	97	77	126	11·5
	70·3	53·6	297	74	1269	35·0	72	85	108	11·9
40			220	86	815		53	86	62	13·2
			245	108	758		53	57	57	13·4
60			386	67	577		23	53	44	13·0
			450	89	508		34	92	36	13·9

Mittel . . . . 12·9

Das Verhältniss von  $\psi = 1\cdot48$ .

## 2.

Eisen- und Messingdraht 0·175 *mm* dick.

Widerstand pro Längeneinheit  $\left\{ \begin{array}{l} \text{Eisen} = 0\cdot055 \text{ S. E.} \\ \text{Messing} = 0\cdot036 \end{array} \right.$

Verhältniss der spec. Wid. = 1·51.

Constanter Strom = 0·066 Amp.;  $F = 5\cdot2$  für die oberen Werthe von  $\alpha$  und 8·1 für die unteren, und zwar diesmal für alle drei Distanzen.

Tabelle II.

<i>D</i>	<i>C</i>	Eisen				Messing				<i>V</i>
		$\psi$	$\alpha$	$\beta$	$\bar{\alpha}$	$\psi$	$\alpha$	$\beta$	$\bar{\alpha}$	
20	73·8	239	674	48	7332	160	499	54	914	8·0
	70·7	235	344	39	7250	159	234	29	805	9·0
40			413	57	3791		354	88	400	9·5
			260	51	4148		168	43	387	10·5
60			445	78	2960		194	67	291	10·2
			203	52	3142		165	55	297	10·5
Mittel . . . .										9·6

Das Verhältniss von  $\psi = 1\cdot49$ .

### Stahl (Klaviersaitendraht)—Messing.

## 1.

Der Draht wurde von 0·5 *mm* auf 0·45 *mm* ausgezogen und dann untersucht.

Stahl- und Messingdraht 0·452 *mm* dick.

Widerstand pro Längeneinheit  $\left\{ \begin{array}{l} \text{Stahl} = 0\cdot0083 \text{ S. E.} \\ \text{Messing} = 0\cdot0053 \end{array} \right.$

Verhältniss der spec. Widerstände = 1·57.

Constanter Strom = 0·135 Amp.;  $F = 3\cdot2$  für  $D = 20$  und 40.

Tabelle III.

D	C	Stahl (weich)				Messing				V
		$\psi$	$\alpha$	$\beta$	$\bar{\alpha}$	$\psi$	$\alpha$	$\beta$	$\bar{\alpha}$	
20	74·0	59·5	265	68	1253	38·6	60	58	103	12·1
	73 0	55·0	182	52	1107	35·3	45	46	97	11·4
40			125	54	749		31	61	51	14·6
			92	42	694		35	67	53	13·2
60			248	45	546		20	48	41	13·2
			331	62	534		27	63	42	12·6

Mittel . . . . 12·8

Das Verhältniss von  $\phi = 1·54$ .

2.

Der Draht wurde bis zur Rothgluth erhitzt und hierauf in Wasser abgelöscht. Er war hart, doch nicht glashart.

Die Dicke wie vorher.

Widerstand pro Längeneinheit  $\left\{ \begin{array}{l} \text{Stahl} = 0·0098 \text{ S. E.} \\ \text{Messing} = 0·0053 \end{array} \right.$

Verhältniss der spec. Widerstände = 1·85;  $F = 3 \ 2$  für  $D = 20$  und 40. Constanter Strom = 0·135 Amp.

Tabelle IV.

D	C	Stahl (hart)				Messing				V
		$\psi$	$\alpha$	$\beta$	$\bar{\alpha}$	$\psi$	$\alpha$	$\beta$	$\bar{\alpha}$	
20	76	71	300	66	1480	39	78	71	111	13·4
	72	66	307	67	1486	36	69	68	101	14·7
40			183	71	842		44	79	56	15 0
			161	68	771		35	65	53	14 5
60			454	77	590		31	77	40	14·6
			436	74	593		28	73	38	15·5

Mittel . . . . 14·6

Das Verhältniss von  $\phi = 1·83$ .



**Bessemerstahl—Messing.**

1.

Weicher Draht in dem Zustande, wie er den Zug verlässt.  
Stahl- und Messingdraht 0·396 mm dick.

Widerstand pro Längeneinheit  $\left\{ \begin{array}{l} \text{Stahl} = 0\cdot0152 \text{ S. E.} \\ \text{Messing} = 0\cdot0064 \text{ „} \end{array} \right.$

Verhältniss der spec. Widerstände = 2·37;  $F = 3\cdot15$  für alle  $D$ .

Constanter Strom = 0·135 Amp.

Tabelle V.

$D$	$C$	Bessemerstahl (weich)				Messing				$\bar{r}$
		$\psi$	$\alpha$	$\beta$	$\bar{\alpha}$	$\psi$	$\alpha$	$\beta$	$\bar{\alpha}$	
20	68·8	146	251	32	2495	54	55	27	168	14·8
	76·5	154	568	66	2709	57	124	63	196	13·8
40			150	34	1399		29	33	87	16·1
			180	36	1588		50	52	97	16·0
60			128	37	1087		23	34	66	16·3
			137	37	1175		27	36	75	15·7

Mittel . . . . 15·4

Das Verhältniss von  $\psi = 2\cdot70$ .

2.

Bessemerstahldraht, glashart.

Dicke wie vorhergehend.

Widerstand pro Längeneinheit  $\left\{ \begin{array}{l} \text{Stahl} = 0\cdot0252 \text{ S. E.} \\ \text{Messing} = 0\cdot0064 \text{ „} \end{array} \right.$

Verhältniss der spec. Widerstände = 3·94;  $F = 3\cdot15$  für  $D = 20$  und 40.

Constanter Strom = 0·135 Amp.

Tabelle VI.

D	C	Bessemerstahl (hart)				Messing				V
		$\psi$	$\alpha$	$\beta$	$\bar{\alpha}$	$\psi$	$\alpha$	$\beta$	$\bar{\alpha}$	
20	75	208	498	82	1915	54	96	78	122	15·7
	69	189	407	51	2535	52	79	47	167	15·1
40			332	100	1046		62	101	62	16·9
			262	62	1327		38	45	85	15·7
60			600	77	780		46	112	41	18·9
			677	67	1014		32	50	64	15·8

Mittel . . . . 16·3

Das Verhältniss von  $\psi = 3·75$ .**Nickel—Messing.**

Der Nickeldraht wurde von 0·5 *mm* auf 0·452 *mm* ausgezogen und dann untersucht. Der Vergleichsdraht aus Messing hatte ebenfalls diesen Durchmesser.

Widerstand pro Längeneinheit  $\left\{ \begin{array}{l} \text{Nickel} = 0·0109 \text{ S. E.} \\ \text{Messing} = 0·0052 \end{array} \right.$

Verhältniss der spec. Widerstände = 2·10.

Constanter Strom = 0·135 Amp.

Tabelle VII.

D	C	Nickel				Messing				V
		$\psi$	$\alpha$	$\beta$	$\bar{\alpha}$	$\psi$	$\alpha$	$\beta$	$\bar{\alpha}$	
20	74	81	603	50	1201	37	64	43	148	8·1
	73	81	484	42	1160	37	63	43	144	8·1
40			388	59	653		50	62	81	8·1
			284	45	635		43	54	79	8·0
40			149	32	462		28	46	61	7·6
			124	28	442		25	42	60	7·4

Mittel . . . . 7·9

Das Verhältniss von  $\psi = 2·20$ .

Von diesen Beobachtungen sind nicht alle bei gleicher Empfindlichkeit des Standardinductors gemacht worden. Bei einer Gelegenheit wurde dieser durch einen Stoss stark erschüttert und dadurch seine Empfindlichkeit geändert, da die Drähte des Thermoelements nach einem früher angewandten Verfahren nur gekreuzt und nicht verlöthet waren. Tabelle VI zeigt den Einfluss dieses Unfalls, indem die oberen Werthe von  $\bar{\alpha}$  durchwegs viel grösser sind, als die unteren, ein Unterschied, der nur durch eine Änderung im Standardinductor erklärt werden kann. Nebst den unteren Zahlen der Tabelle VI gehören hieher auch die Werthe der Tabelle V und VII.

### Berechnung von $\mu$ .

Lord Rayleigh und Stefan (l. c.) haben für den Widerstand  $w'$  eines Drahtes gegen schnelle elektrische Schwingungen folgende Formel berechnet

$$w' = n\pi a \sqrt{\frac{n\mu}{\sigma}}. \quad 1)$$

Darin bedeutet  $w$  den Widerstand für constante Ströme,  $a$  den Radius,  $\sigma$  den specifischen Widerstand,  $\mu$  die Permeabilität des Drahtes und  $n$  die Zahl der Schwingungen pro Secunde. Über den Werth von  $\mu$  bei verschiedenen Eisensorten sind bekanntlich schon viele ausführliche Untersuchungen gemacht worden;  $\mu$  ist keine constante Grösse, sondern eine Function der magnetisirenden Kraft und kann für weiches Eisen Werthe annehmen, die zwischen 100 und 3000 liegen. Nur bei den allerschwächsten Feldstärken ist  $\mu$  constant, wie das die Untersuchungen von Lord Rayleigh und Baur (l. c.) lehren. Alle bisherigen Messungen von  $\mu$  beziehen sich auf eine longitudinale Magnetisirung.

Der Verlauf von  $\mu$  bei circularer oder transversaler Magnetisirung ist mit Ausnahme einer Untersuchung von Herwig über die circulare Magnetisirung von Eisenröhren bisher nicht studirt worden.

Als Grundlage der hier gezogenen Schlüsse wird nun angenommen, dass der Verlauf der Magnetisirung in circularer Richtung nahezu der nämliche ist, wie in der longitudinalen.

Die Wärmeentwicklung in einem von elektrischen Schwingungen durchflossenen Drahte ist proportional dem entsprechenden Widerstande und hängt also bei magnetisirbaren Drähten von  $\mu$  ab. Wenn wir nun die Resultate unserer Beobachtungen ansehen, so finden wir, dass der Werth von  $V$  für dieselbe Drahtsorte bei allen Werthen von  $D$  nahezu gleich ist; die Stärke der inducirten Schwingung und hiemit die Grösse der magnetisirenden Kraft nimmt jedoch mit zunehmendem  $D$  sicher ab, was ja die auf Messing bezüglichen Zahlenangaben bestätigen.<sup>1</sup> Zwar ist in einigen Tabellen der Werth von  $V$  für  $D = 20$  etwas kleiner wie die beiden anderen, doch geht dieser Unterschied kaum über die Beobachtungsfehler hinaus.

Aber auch bei demselben  $D$  war die Stärke der inducirten Schwingung manchmal sehr verschieden je nach der Activität der Primärfunken, und doch ergab die Beobachtung beinahe immer gleiche Werthe von  $V$ .

Allerdings sind bei diesen Versuchen die Grenzen, innerhalb welcher die magnetisirende Kraft schwankt, nicht gross, doch müssten wir auch bei diesen Schwankungen viel grössere Differenzen in den Werthen von  $V$  bekommen, wenn sich die Magnetisirung in unserem Falle auf einem Theile der Magnetisirungscurve bewegen würde, welcher steil ansteigt und den rasch veränderlichen Werthen von  $\mu$  entspricht. Dass wir uns bei unseren Versuchen in einem Gebiete constanter  $\mu$  bewegen, wird auch durch die absoluten Werthe von  $\mu$  bekräftigt, welche wir mit Hilfe der Formel 1 aus den vorliegenden Beobachtungen berechnen können. Obige Formel habe ich schon in einer früheren Arbeit nach einer Richtung geprüft und mit der Erfahrung in guter Übereinstimmung gefunden; aber auch die Versuche von Bjerknes, wovon später die Rede sein wird, sprechen sehr dafür, dass die den Formeln zu Grunde gelegten Annahmen vollkommen zutreffend sind.

---

<sup>1</sup> Es sei bemerkt, dass die Werthe von  $\bar{\alpha}$  für Messing dem Werthe von  $D$  nahezu verkehrt proportional sind, doch drückt sich in den Zahlen auch der Einfluss der Umgebung aus; es waren nämlich in der Nähe der Inductoren mehrere ausgedehnte Metallmassen vorhanden.

Werden zwei gleich dicke Drähte von denselben elektrischen Schwingungen durchflossen, so ist das Verhältniss der Wärmeentwicklung

$$V = \frac{w}{w_1} \sqrt{\frac{\mu \sigma_1}{\mu_1 \sigma}}.$$

Setze ich  $\mu_1 = 1$  und führe auch für  $w$  und  $w_1$  die spec. Widerstände ein, so ist

$$V = \sqrt{\frac{\mu \sigma}{\sigma_1}}.$$

Daraus könnte man sogleich  $\mu$  berechnen, wenn die beiden Thermoelemente, welche uns ein Maass der Wärmeentwicklung angeben sollen, gleich wirksam, respective empfindlich wären. Um diesen Umstand zu controliren, wurden die Drähte auch durch einen constanten Strom erwärmt, bei welchem es ja bekannt ist, dass die Wärmeentwicklung proportional dem spec. Widerstande geschehen muss. In den meisten Fällen stimmt das Verhältniss von  $\phi$  mit jenem der spec. Widerstände nahe überein; in anderen Fällen ist an  $V$  eine kleine Correction anzubringen; wir schreiben also

$$qV = \sqrt{\frac{\mu \sigma}{\sigma_1}},$$

wo  $q = \frac{\sigma}{\sigma_1} \cdot \frac{\phi_1}{\phi}$  ist.

Wir haben also

$$\mu = q^2 V^2 \frac{\sigma_1}{\sigma}.$$

Bei dieser Berechnung wollen wir die Resultate der Tabelle II ausschliessen, weil die dort verwendeten Drähte nur 0.175 mm dick waren und die Formel 1 vielleicht für diese feinen Drähte nicht anwendbar ist.

In der nachfolgenden Tabelle sind die beobachteten ( $V$ ) und die corrigirten Werthe ( $qV$ ) des Verhältnisses der Wärmeentwicklung, sowie die absoluten Werthe von  $\mu$  eingetragen.

Tabelle VIII.

Drahtsorte		$V$	$qV$	$\mu$
Eisen weich		12·9	13·5	118
Stahl (Klaviersaite)	weich	12·8	13·1	106
	hart	14·6	14·7	115
Bessemerstahl	weich	15·4	13·5	77
	hart	16·3	17·1	74
Nickel		7·9	7·5	27

**Bemerkungen über die Stärke der magnetisirenden Kräfte.**

Um eine Schätzung der im Eisendrahte beim Durchgange elektrischer Schwingungen erregten magnetisirenden Kräfte zu erhalten, muss man vor Allem einen Überblick über die während der Oscillationen herrschenden Stromstärkeverhältnisse erlangen. Wir betrachten zu diesem Zwecke die Wärmeentwicklung durch den constanten Strom und durch die Schwingungen. Bedeuten  $J$  und  $i$  die entsprechenden Stromstärken in einem bestimmten Zeitmoment, so ist die im Zeitelement  $dt$  entwickelte Wärmemenge gegeben durch  $MwJ^2dt$  und  $Mw'i^2dt$ , und während des Verlaufes einer ganzen Entladung ist sie  $= Mw \int_0^\infty i^2 dt$ . Man kann annehmen, dass die

Schwingungen einer Entladung vollkommen ablaufen, bevor die nächste beginnt. Die Wärmeentwicklung pro Secunde ist  $N$ -mal so gross, wenn  $N$  Entladungen in der Zeiteinheit auftreten und wenn man annimmt, dass sich die Wärmewirkungen einfach superponiren.

Wir wollen als concretes Beispiel die Daten über den Messingdraht aus Tabelle I nehmen. Da ist  $\phi = 37.5$  und  $\alpha = 94.5$  für  $D = 20$ ; also die Wärmeentwicklung durch die Schwingungen ungefähr 2.5mal so gross, als durch den constanten Strom; doch nehmen wir an, da es sich nur um eine Schätzung handelt, sie wäre gleich, so ist zu setzen

$$nJ^2 = Nn' \int_0^\infty i^2 dt. \quad 2)$$

Bei der Schätzung der magnetisirenden Kräfte kommen die Maximalstromstärken der Oscillation in Betracht. Wir wollen nun den Verlauf einer Oscillation in der Form einer gedämpften Pendelschwingung annehmen, was ja angenähert richtig sein dürfte. Der erste maximale Ausschlag des Pendels, welches mit einer gewissen Geschwindigkeit die Ruhelage verlässt, repräsentirt uns hier die erste maximale Stromstärke  $i_m$ . Wir schreiben daher

$$i = Ai_m e^{-\frac{\lambda t}{T}} \sin \frac{\pi t}{T}, \quad 3)$$

wo

$$A = e^{\frac{\lambda}{\pi} \operatorname{arctg} \frac{\pi}{\lambda}} \frac{\sqrt{\pi^2 + \lambda^2}}{\pi^2}.$$

$\lambda$  bedeutet auch hier das logarithmische Decrement und  $T$  die Schwingungsdauer. Setzen wir diesen Werth in 2 ein, so ist

$$nJ^2 = Nn'A^2 i_m^2 \int_0^\infty e^{-\frac{2\lambda t}{T}} \sin^2 \frac{\pi t}{T} dt$$

und daher

$$nJ^2 = Nn'A^2 i_m^2 \frac{T}{4} \left( \frac{1}{\lambda} - \frac{\pi}{\lambda^2 + \pi^2} \right).$$

• Wir können  $\lambda^2$  gegen  $\pi^2$  und ebenso  $\frac{1}{\pi}$  gegen  $\frac{1}{\lambda}$  vernachlässigen und haben also

$$nJ^2 = Nn'A^2 i_m^2 \frac{T}{4\lambda}.$$

Setzen wir für  $n'$  den Werth aus 1) ein, so ist

$$\frac{i_m^2}{J^2} = \frac{1}{\pi a} \sqrt{\frac{n\sigma}{\mu}} \frac{4\lambda}{NA^2}. \quad 4)$$

Je grösser die Dämpfung, desto stärker muss die Oscillation einsetzen, damit dieselbe Wärmewirkung erzeugt wird wie beim constanten Strom. Für Werthe von  $\lambda$ , welche sich der Null nähern, verliert die Gleichung ihre Richtigkeit; sie entspricht aber dann auch nicht mehr den Bedingungen, unter welchen wir sie aufgestellt haben. Wir machen den Vergleich an dem Messingdrahte; es ist  $a = 0.0226 \text{ cm}$ ,  $\sigma = 8000$ ,  $N = 23$ ,  $n = 9 \times 10^7$  (nach einer früheren Bestimmung),  $\mu = 1$ .

Für die Beurtheilung der Dämpfung der Schwingungen im Secundärinductor muss der Umstand massgebend sein, dass hier ein Eisendraht eingeschaltet ist; eine theoretische Schätzung von  $\lambda$  aus Selbstinduction und Widerstand des Secundärinductors führt nahe auf den Werth  $\lambda = 0.03$ , welchen wir in unsere Berechnung einführen wollen.

Unter Zugrundelegung obiger Daten ergibt sich

$$\frac{i_m^2}{J^2} = 58000.$$

Wird ein Draht von einem constanten Strome durchflossen, so ist die circular wirkende magnetisirende Kraft  $H$  im Drahte und in einem Abstände  $a$  von der Axe desselben nach Kirchhoff<sup>1</sup>

$$H = 2\pi n a,$$

wo  $n$  die Stromdichtigkeit bedeutet.

Die gleiche Formel wurde später auch von H. Streintz<sup>2</sup> und Lorenz<sup>3</sup> aufgestellt. In jedem Punkte tragen zur magnetisirenden Kraft nur jene Stromfäden bei, welche innerhalb des Kreises liegen, auf dessen Peripherie sich der Punkt befindet, und zwar ist die Wirkung so, als wenn alle Stromfäden in der

<sup>1</sup> Pogg. Ann., Ergänzungsbd. V.

<sup>2</sup> Diese Sitzungsber., Bd. 76, 1877.

<sup>3</sup> Wied. Ann., Bd. VII.



Axe vereinigt wären. Man kann also obige Formel auch so schreiben

$$H = \frac{2i}{a},$$

wo  $i$  ganz einfach die Stromstärke innerhalb des Kreises vom Radius  $a$  bedeutet. Ist  $r$  der Radius des Drahtes, so kann man für einen Punkt der Oberfläche

$$H = \frac{2i}{r}$$

setzen. In unserem Falle ist zwar der Strom nicht gleichmässig über den ganzen Querschnitt, wohl aber symmetrisch um die Axe vertheilt, also die Formel noch anwendbar. Dabei ist noch ein Umstand zu berücksichtigen. Die Strömung, welche ohnehin nur in einer dünnen Schichte nahe an der Oberfläche auftritt, besitzt gegen die Tiefe zu eine Phasenverschiebung. Die magnetisirende Kraft der oberen Schichten erfährt also eine Gegenkraft durch die unteren Schichten. Diese Gegenwirkung ist allerdings sehr klein.

Nach den Berechnungen von Stefan (l. c.) ist in einem Eisendrahte unter der Annahme von  $\mu = 150$  bei  $50 \times 10^6$  Schwingungen in der Secunde die Amplitude in einer Tiefe von  $0.0058 \text{ mm}$  in der Phase um eine halbe Schwingungsdauer gegen die Amplitude an der Oberfläche verzögert. Die Amplitude ist in dieser Tiefe 23mal kleiner als an der Oberfläche. Es ist bemerkenswerth, dass die Versuche von Bjerknes<sup>1</sup> mit den Berechnungen Stefan's sehr gut übereinstimmen. Nach Bjerknes verleiht eine auf Kupferdraht aufgetragene Eischichte von  $0.006 \text{ mm}$  dem Draht ganz den Charakter eines Eisendrahtes.

Mit Rücksicht auf diese Umstände ist also die Darstellung der Stromschwankungen durch Gleichung 3) auch nicht

---

<sup>1</sup> Wied. Ann., Bd. 48. In der betreffenden Tabelle ist für die Dicke der Eischichte von  $0.0124 \text{ mm}$  ein Werth für den Elektrometerausschlag eingetragen, der sich von dem für die Schichtdicke von  $0.0057 \text{ mm}$  nur sehr wenig unterscheidet. Die Beobachtungen von Bjerknes beziehen sich auf Drähte von  $0.5 \text{ mm}$  Durchmesser.

ganz correct und es ist zur Bestimmung von  $i_m$  nicht ohne Weiteres die Quadratwurzel aus 4 zu ziehen; mit Rücksicht auf die sehr starke Dämpfung der nach der Tiefe verlaufenden Strömung können wir uns jedoch erlauben

$$i_m = J \sqrt{58000} = 240 J$$

zu nehmen. Nun ist  $J = 0.135$  Amp., also  $i_m = 32$  Amp. Mit dieser Stärke muss die Strömung ihr erstes Maximum erreichen;<sup>1</sup> für diesen Moment und für die Oberfläche ergibt sich also

$$H = 290 \text{ abs. E.}$$

Diese Zahl gibt allerdings nur den grössten möglichen Werth an; es nimmt  $H$  sowohl nach der Tiefe als auch im Verlaufe der Schwingung ab. Wenn man jedoch berücksichtigt dass  $\mu$  auch mit abnehmender magnetisirender Kraft einen endlichen Werth beibehält, dann muss man wohl zugeben, dass sich diese extremen Werthe der magnetisirenden Kräfte bemerkbar machen müssten, wenn die Moleküle oder Molekülgruppen im Stande wären, ihrem raschem Wechsel zu folgen. Es liegt nahe anzunehmen, dass die Magnetisirung eines Körpers bei sehr rasch wechselndem Felde überhaupt nicht über jene Grenzen hinausgeht, innerhalb welcher  $\mu$  constant ist und welche ihr Analogon in den elastischen Deformationen eines Körpers hat. Eine stärkere Magnetisirung über dieses Gebiet hinaus nimmt wahrscheinlich mit zunehmender Wechselzahl rasch ab, wenigstens scheint die Erfahrung dafür zu sprechen.

Beobachtungen in dieser Richtung wären gewiss von Interesse.

Vielleicht würde sich eine solche Untersuchung direct mit Condensatorentladungen führen lassen. Legt man Eisendrähte in eine Rolle und schickt durch diese eine Condensatorentladung, welche oscillatorisch verläuft, so werden die Oscillationen in doppelter Weise durch die Eisendrähte beeinflusst.

---

<sup>1</sup> Man muss dabei bedenken, dass diese hohe Stromstärke nur eine ausserordentlich kurze Zeit anhält.

Erstens wird die Dauer der Oscillation verlängert, da die Eisendrähte den Selbstinductionscoëfficienten des Entladungskreises erhöhen, und zweitens wird auch die Dämpfung der Schwingungen vermehrt, insoferne als in den Eisendrähten infolge der Hysteresis ein Theil der Schwingungsenergie absorbirt wird.<sup>1</sup> Mit Hilfe des von Hiecke<sup>2</sup> construirten Apparates kann die Schwingungsdauer einer Entladung ziemlich genau bestimmt werden und man kann dabei auch die Dämpfung messen. Auf diese Weise könnte man einigen Aufschluss über das Verhalten des Eisens bei Schwingungen erhalten, deren Zahl zwischen 500 und 10000 liegt.

---

<sup>1</sup> Die Foucault'schen Ströme müssten eliminirt werden.

<sup>2</sup> Diese Sitzungsber., Bd. 96, 1887.

---

## VIII. SITZUNG VOM 8. MÄRZ 1894.

---

Der Secretär legt das erschienene Heft IX und X (November und December 1893) des 102. Bandes der Abtheilung II. b. der Sitzungsberichte vor.

Das c. M. Herr Prof. Skraup in Graz übersendet zwei im chemischen Institute der k. k. Universität in Graz ausgeführte Untersuchungen:

1. »Über propionylirte Schleimsäureester«, von P. Fortner und Zd. H. Skraup.
2. »Über die Umwandlung der Citraconsäure in Mesaconsäure«, von Dr. R. Franz.

Das w. M. Herr Prof. Sigm. Exner überreicht eine von Dr. J. Weidenfeld im physiologischen Institute der Wiener Universität ausgeführte Untersuchung, die den Titel trägt: »Versuche über die respiratorische Function der Intercostalmuskeln. II. Abhandlung. Sind die Intercostalmuskeln bei der Athmung thätig?«

Herr Dr. Gustav Jäger, Privatdocent an der k. k. Universität in Wien, überreicht eine Abhandlung: »Über die innere Reibung der Lösungen«.

---



**SITZUNGSBERICHTE**  
**DER**  
**KAISERLICHEN AKADEMIE DER WISSENSCHAFTEN.**

---

**MATHEMATISCH-NATURWISSENSCHAFTLICHE CLASSE.**

---

**CIIL. BAND. IV. HEFT.**

---

**ABTHEILUNG II. a.**

**ENTHÄLT DIE ABHANDLUNGEN AUS DEM GEBIETE DER MATHEMATIK, ASTRONOMIE,  
PHYSIK, METEOROLOGIE UND DER MECHANIK.**

---

THE UNIVERSITY OF CHICAGO

CHICAGO, ILL.

1911

1911

## IX. SITZUNG VOM 5. APRIL 1894.

Der Vorsitzende gibt Nachricht von dem am 17. März l. J. erfolgten Ableben des inländischen correspondirenden Mitgliedes dieser Classe, Herrn Regierungsrath Prof. Dr. Gustav Adolph Weiss in Prag.

Die anwesenden Mitglieder geben ihrem Beileide durch Erheben von den Sitzen Ausdruck.

Der Secretär legt das erschienene Heft VIII—X (October bis December 1893), Abtheilung I, und das Heft IX—X (November und December 1893), Abtheilung II. a., des 102. Bandes der Sitzungsberichte, ferner das Heft II (Februar 1894) des 15. Bandes der Monatshefte für Chemie vor.

Der Magistrat der k. k. Reichshaupt- und Residenzstadt Wien spricht der kaiserl. Akademie den Dank aus für das demselben übermittelte Gutachten über den neuesten Stand der Blitzableiterfrage.

Herr Prof. Dr. V. Hilber in Graz dankt für die ihm zu einer zweiten geologischen Forschungsreise nach Thessalien und Macedonien bewilligte Subvention; desgleichen dankt Herr Custos Dr. Günther Ritter Beck v. Mannagetta für die ihm bewilligte Reisesubvention zur Durchführung seiner botanischen Forschungen im nordwestlichen Theile der Balkanhalbinsel.

Das c. M. Herr Regierungsrath Prof. C. Freiherr v. Ettlinghausen übersendet eine Arbeit aus dem phyto-paläontologi-



schen Institute der k. k. Universität in Graz: »Über atavistische Blattformen des Tulpenbaumes«, von Adolf Noé v. Archenegg.

Der Secretär legt folgende eingesendete Abhandlungen vor:

1. »Das Potential der inneren Kräfte und die Beziehungen zwischen den Deformationen und den Spannungen in elastisch isotropen Körpern bei Berücksichtigung von Gliedern, die bezüglich der Deformationselemente von dritter, beziehungsweise zweiter Ordnung sind« (II. Theil), von Prof. Dr. J. Finger an der k. k. technischen Hochschule in Wien.
2. »Über die Unterkühlung von Flüssigkeiten« (II. Mittheilung), von Prof. Dr. O. Tumlirz an der k. k. Universität in Czernowitz.
3. »Zur Theorie der partiellen Differentialgleichungen erster Ordnung«, von Prof. Em. Czuber an der k. k. technischen Hochschule in Wien.
4. »Über die Integration der partiellen Differentialgleichungen erster Ordnung«, von A. J. Stodolkie-witz, Gymnasialprofessor in Plotzk (Polen).

Ferner legt der Secretär zwei versiegelte Schreiben behufs Wahrung der Priorität vor, und zwar:

1. Von Herrn Franz Müller in Siegenfeld, mit der Aufschrift: »Neuerung an Verkehrsmitteln«;
2. von Prof. Dr. A. Wassmuth in Graz mit der Aufschrift: »Über die Anwendung des Principis des kleinsten Zwanges auf die Elektrodynamik«.

Herr Dr. Alfred Nalepa, Professor am k. k. Staatsgymnasium im IV. Bezirke in Wien, übersendet eine vorläufige Mittheilung: »Eine neue Phytoptiden-Gattung«.

Das w. M. Herr Hofrath Prof. Ad. Lieben überreicht eine von Herrn Prof. Dr. R. Přibram übersandte Arbeit aus dem

chemischen Laboratorium der Universität zu Czernowitz: »Zur Kenntniss des Resacetophenons«, von A. Wechsler.

Ferner überreicht Herr Hofrath Lieben zwei von Herrn Prof. Dr. Guido Goldschmiedt übersendete Arbeiten aus dem chemischen Laboratorium der k. k. deutschen Universität in Prag:

1. »Über einige Derivate der Veratrumsäure und des Veratrols«, von Dr. Wilhelm Heinisch.
2. »Über die trockene Destillation des Kalksalzes der Diäthylprotocatechusäure«, von Dr. Wilhelm Heinisch.

Endlich überreicht Herr Hofrath Lieben eine von dem Director der Versuchsanstalt für Photographie, Herrn J. M. Eder, eingesandte Arbeit des Herrn Eduard Valenta: »Über die Löslichkeit des Chlor-, Brom- und Jodsilbers in verschiedenen anorganischen und organischen Lösungsmitteln«.

Das w. M. Herr Prof. A. Schrauf überreicht eine in seinem Institute ausgeführte Arbeit des Herrn Adolf Stengel: »Über die Krystallform des Tetramethylbrasilin  $[C_{16}H_{10}O_3(CH_3)_4]$ «.

Das w. M. Herr Hofrath Prof. C. Toldt legt eine Abhandlung vor, betitelt: »Die Formbildung des menschlichen Blinddarmes und die *Valvula coli*«.

Das c. M. Herr Prof. L. Gegenbauer überreicht eine Mittheilung des Herrn F. Hasenöhr: »Über das quadratische Reciprocitätsgesetz«

Herr Dr. Eduard Freiherr v. Haerdtl, Professor an der k. k. Universität zu Innsbruck, überreicht eine Abhandlung unter dem Titel: »Entdeckung der Ursache der Nichtübereinstimmung zwischen Theorie und Beobachtungen des Mondes«

---

**Selbständige Werke oder neue, der Akademie bisher nicht  
zugekommene Periodica sind eingelangt:**

Adamkiewicz, A., Tafeln zur Orientirung an der Gehirnoberfläche des lebenden Menschen bei chirurgischen Operationen und klinischen Vorlesungen. (Mit deutschem, französischem und englischem Text.) Zweite unveränderte Auflage. Wien, 1894; Folio.

Staggemeier, A., First Part of the General-Maps for the Illustration of Physical Geography. (Contain five tables marked: I—V.) Copenhagen, 1893; Folio.

---

# Das Potential der inneren Kräfte und die Beziehungen zwischen den Deformationen und den Spannungen in elastisch isotropen Körpern bei Berücksichtigung von Gliedern, die bezüglich der Deformationselemente von dritter, beziehungsweise zweiter Ordnung sind

(II. Theil)

von

Dr. Jos. Finger.

In dem ersten Theile dieser Abhandlung<sup>1</sup> wurden die Beziehungen zwischen den Componenten der Spannung und den Deformationen, sowie auch der Ausdruck für das Potential der elastischen Kräfte lediglich aus zwei Grundannahmen deducirt. Es wurde nämlich vorausgesetzt, dass erstens das in Betracht gezogene Körperelement vor der betrachteten Deformation isotrop ist, und zweitens, dass für die inneren Kräfte, die innerhalb dieses Körperelements wirksam sind, ein Potential existirt, ohne dass jedoch über die Art der zwischen den einzelnen materiellen Punkten dieses Elements wirkenden Kräfte irgend eine Annahme gemacht worden wäre.

Es ergab sich hiedurch, wofern man bei der Bestimmung des Potentials, beziehungsweise der Spannungen von Gliedern absieht, die in Bezug auf die 9 Verschiebungsderivationen von höherer als der dritten, beziehungsweise zweiten Ordnung sind, die Nothwendigkeit, bei jeder isotropen Substanz ausser der Integrationsconstanten  $A_0$  der Potentialfunction noch 6 constante, bloss von dem anfänglichen Zustande des betrachteten

---

Diese Sitzungsberichte, Bd. CIII., Abth. II a., Jänner 1894.

Körperelements abhängige Coëfficienten, also 6 Elasticitätsconstanten in Rechnung zu ziehen. In aller Kürze wurde jedoch bemerkt, dass diese 6 Constanten nicht von einander unabhängig sein müssen, sondern dass zwischen denselben noch gewisse Beziehungen stattfinden können, deren Ermittlung eine Aufgabe der Moleculartheorie ist.

Es soll nunmehr gezeigt werden, dass in der That bei der Beschränkung auf die oberwähnten Glieder sich diese 6 Coëfficienten durch bloss drei Elasticitätsconstanten ausdrücken lassen, wofern man von der üblichen besonderen Annahme ausgeht, dass die zwischen je zwei materiellen Punkten  $m$  und  $\mu$  wirkenden inneren Kräfte entweder attractiv oder repulsiv wirken und lediglich Functionen der variablen Entfernung  $R$  dieser Punkte, also auch bestimmte Functionen des Quadrats  $R^2$  dieser Entfernung sind, so dass jedenfalls für diese gegenseitige Einwirkung der beiden materiellen Punkte  $m$  und  $\mu$  ein Potential  $u$  existirt, welches sich zudem in der Form

$$u = m\mu F(R^2) \quad (1)$$

ausdrücken lässt, wo  $F$  irgend eine, wenn auch unbekannte continuirliche Function und  $m$  und  $\mu$  die Massen der beiden materiellen Punkte bedeuten.

Um dies nachzuweisen, sei vorläufig ein Körper vorausgesetzt, der in seinem anfänglichen Zustande, in welchem Isotropie in jedem Körperelemente stattfindet, in seiner ganzen Ausdehnung homogen ist und dessen Punkte durch irgend welche Ursachen eine endliche homogene Lagenänderung (eine homogene Deformation) erfahren haben. Dieser Annahme zufolge ist, wenn  $x'y'z'$  die zur beliebigen Zeit  $t$  stattfindenden Coordinaten des Punktes  $\mu$ , und  $\xi\eta\zeta$  die gleichzeitigen Coordinaten des Punktes  $m$  in Bezug auf ein an der Bewegung der einzelnen Punkte des Körpers nicht theilnehmendes orthogonales Axensystem, und wenn ferner  $xyz$  die anfänglichen Werthe der relativen Coordinaten  $x' - \xi, y' - \eta, z' - \zeta$  des Punktes  $\mu$  bezeichnen,

$$\left. \begin{aligned} x' &= \xi + a_{11}x + a_{21}y + a_{31}z \\ y' &= \eta + a_{12}x + a_{22}y + a_{32}z \\ z' &= \zeta + a_{13}x + a_{23}y + a_{33}z \end{aligned} \right\} \quad (2)$$

wo  $a_{11}a_{21}\dots a_{33}$  gewisse vorläufig unbestimmt gelassene Grössen bedeuten, die von  $xyz$  unabhängig sind.

Durch  $D$  sei die Determinante

$$D = \begin{vmatrix} a_{11} & a_{21} & a_{31} \\ a_{12} & a_{22} & a_{32} \\ a_{13} & a_{23} & a_{33} \end{vmatrix} \quad (3)$$

und durch  $A_{11}A_{21}A_{31}\dots$  die zu  $a_{11}a_{21}a_{31}\dots$  adjungirten Unterdeterminanten bezeichnet.

Jenes Tetraëder, dessen eine Spitze stets der seine Lage stetig ändernde Punkt  $m$  bildet und dessen zu den Axen  $xyz$  parallelen, von  $m$  ausgehenden Kanten in der anfänglichen Lage die Länge 1 haben, erlangt durch die homogene Deformation (2) zur Zeit  $t$  die Lage und Gestalt jenes Tetraëders, dessen Eckpunkte  $m, \mu_1, \mu_2, \mu_3$  in Bezug auf das zu  $xyz$  parallele bewegliche Axensystem, dessen Anfangspunkt  $m$  ist, die Coordinaten  $(000), (a_{11}a_{12}a_{13}), (a_{21}a_{22}a_{23}), (a_{31}a_{32}a_{33})$  haben, und dessen sechsfaches Volum der Determinante (3) gleicht, und zwar sind die Kanten  $\overline{m\mu_1} = R_1, \overline{m\mu_2} = R_2, \overline{m\mu_3} = R_3$  und ihre gegenseitige Lage durch die Gleichungen

$$\left. \begin{aligned} R_1^2 &= a_{11}^2 + a_{12}^2 + a_{13}^2 = a_x \\ R_2^2 &= a_{21}^2 + a_{22}^2 + a_{23}^2 = a_y \\ R_3^2 &= a_{31}^2 + a_{32}^2 + a_{33}^2 = a_z \\ R_2R_3 \cos(R_2R_3) &= a_{21}a_{31} + a_{22}a_{32} + a_{23}a_{33} = b_x \\ R_3R_1 \cos(R_3R_1) &= a_{31}a_{11} + a_{32}a_{12} + a_{33}a_{13} = b_y \\ R_1R_2 \cos(R_1R_2) &= a_{11}a_{21} + a_{12}a_{22} + a_{13}a_{23} = b_z \end{aligned} \right\} \quad (4)$$

bestimmt.

Jene Punkte  $\mu$ , welche zur Zeit  $t$  in einer Kugelfläche gelegen sind, deren Mittelpunkt der bewegliche Punkt  $m$  und deren Radius 1 ist, bilden in der primitiven Lage zufolge (2) ein Ellipsoid, dessen Gleichung in Bezug auf ein zu den früheren Coordinatenaxen paralleles Axensystem mit dem Anfangspunkte  $m$

$$\begin{aligned} (a_{11}x + a_{21}y + a_{31}z)^2 + (a_{12}x + a_{22}y + a_{32}z)^2 + (a_{13}x + a_{23}y + a_{33}z)^2 = \\ = a_x x^2 + a_y y^2 + a_z z^2 + 2b_x yz + 2b_y zx + 2b_z xy = 1 \end{aligned} \quad (5)$$

ist. Dieses Ellipsoid ist den Gleichungen (4) zufolge bloss von der Gestalt, nicht auch von der Lage des Tetraëders  $m\mu_1\mu_2\mu_3$  abhängig. Sind ferner  $abc$  die reciproken Werthe der Halbaxen dieses Ellipsoids und  $F_1F_2F_3$  die drei in  $m$  zusammenstossenden Grenzflächen jenes Parallelopipeds, dessen Kanten  $m\mu_1$ ,  $m\mu_2$ ,  $m\mu_3$  sind und dessen Volum  $D$  ist, so ist, wenn  $\sigma$  und  $s$  die Summen  $a^2 + b^2 + c^2 - 3$  und  $b^2c^2 + c^2a^2 + a^2b^2 - 3$  bedeuten,

$$\left. \begin{aligned} \sigma &= a^2 + b^2 + c^2 - 3 = R_1^2 + R_2^2 + R_3^2 - 3 = a_x + a_y + a_z - 3 = \\ &= a_{11}^2 + a_{21}^2 + a_{31}^2 + a_{12}^2 + a_{22}^2 + a_{32}^2 + a_{13}^2 + a_{23}^2 + a_{33}^2 - 3 \\ s &= b^2c^2 + c^2a^2 + a^2b^2 - 3 = F_1^2 + F_2^2 + F_3^2 - 3 = \\ &= (a_y a_z - b_x^2) + (a_z a_x - b_y^2) + (a_x a_y - b_z^2) - 3 = \\ &= A_{11}^2 + A_{21}^2 + A_{31}^2 + A_{12}^2 + A_{22}^2 + A_{32}^2 + A_{13}^2 + A_{23}^2 + A_{33}^2 - 3 \end{aligned} \right\} (6)^1$$

$$D = 1 + v = abc$$

wofern  $v$  die cubische Dilatation bezeichnet.

Das der Fläche (5) congruente und derselben conjugirte<sup>1</sup> Ellipsoid, dessen Gleichung in Bezug auf dasselbe Axensystem

$$(a_{11}x + a_{12}y + a_{13}z)^2 + (a_{21}x + a_{22}y + a_{23}z)^2 + (a_{31}x + a_{32}y + a_{33}z)^2 = 1 \quad (7)$$

und dessen Mittelpunkt gleichfalls der Punkt  $m$  ist, hängt wesentlich von der Lage des Triëders  $m\mu_1\mu_2\mu_3$  ab. Es sind nämlich die mit den drei Höhen  $N_1, N_2, N_3$  dieses Triëders parallelen Kanten  $\frac{1}{N_1}, \frac{1}{N_2}, \frac{1}{N_3}$  des demselben adjungirten<sup>1</sup> Triëders conjugirte Radien des Ellipsoids (7).

Das mit der letzten Fläche (7) coaxiale, derselben adjungirte<sup>1</sup> Ellipsoid, dessen Gleichung bezüglich desselben Axensystems

$$(A_{11}x + A_{12}y + A_{13}z)^2 + (A_{21}x + A_{22}y + A_{23}z)^2 + (A_{31}x + A_{32}y + A_{33}z)^2 = D^2 \quad (8)$$

<sup>1</sup> Siehe Finger: Über die gegenseitigen Beziehungen gewisser in der Mechanik mit Vortheil anwendbaren Flächen zweiter Ordnung nebst Anwendungen auf Probleme der Astatik. Diese Sitzungsber., Bd. CI, S. 1105–1142 (1892).

lautet, ist zugleich zufolge (2) jenes Deformationsellipsoid, in welches zur Zeit  $t$  jene Kugelfläche übergeht, deren Mittelpunkt in der primitiven Lage der Punkt  $m$  und deren Radius 1 ist. Die Halbaxen dieser Fläche (8) sind  $abc$  und die Kanten  $R_1 R_2 R_3$  des Triäders  $M\mu_1\mu_2\mu_3$  sind conjugirte Radien derselben.

Die durch (2) charakterisirte homogene Deformation lässt sich bekanntlich — abgesehen von der durch  $\xi\eta\zeta$  bestimmten fortschreitenden Bewegung, die durch die Bewegung des Mittelpunktes  $m$  der Flächen (5), (7), (8) bedingt ist — als zusammengesetzt ansehen *a)* aus einer reinen Deformation, d. i. aus einer Ausdehnung nach den Richtungen der drei Axen der Fläche (5) — den Dilatationshauptaxen — deren Richtungen vorläufig von nun an als die bisher unbestimmt gelassenen Axenrichtungen  $xyz$  angenommen seien, und *b)* aus einer Rotation des Körpers um den Punkt  $m$ , durch welche nach einer Drehung  $\vartheta$  das Ellipsoid (5) in die Lage des conjugirten Ellipsoids (7) gelangt, dessen mit dem Deformationsellipsoid (8) gleichgerichteten Axen durch  $XYZ$  bezeichnet seien. Sind demgemäss nunmehr durch  $xyz$  die anfänglichen Coordinaten des Punktes  $\mu$  in Bezug auf die Axen des Ellipsoids (5) und durch  $XYZ$  die Coordinaten der Lage desselben Punktes  $\mu$  zur Zeit  $t$  in Bezug auf die Axen des Ellipsoids (7) oder (8) bezeichnet und bedeuten  $\lambda_1 \lambda_2 \lambda_3$  die Hauptdilatationen, so ist

$$\left. \begin{aligned} a &= 1 + \lambda_1 \\ b &= 1 + \lambda_2 \\ c &= 1 + \lambda_3 \\ \sigma &= (1 + \lambda_1)^2 + (1 + \lambda_2)^2 + (1 + \lambda_3)^2 - 3 \\ s &= (1 + \lambda_2)^2(1 + \lambda_3)^2 + (1 + \lambda_3)^2(1 + \lambda_1)^2 + (1 + \lambda_1)^2(1 + \lambda_2)^2 - 3 \\ v &= D - 1 = (1 + \lambda_1)(1 + \lambda_2)(1 + \lambda_3) - 1 \end{aligned} \right\} (9)$$

und es reduciren sich die Gleichungen (2) auf folgende einfache Relationen:

$$\left. \begin{aligned} X &= ax = (1 + \lambda_1)x \\ Y &= by = (1 + \lambda_2)y \\ Z &= cz = (1 + \lambda_3)z \end{aligned} \right\} (10)$$



Da nun  $r = \sqrt{x^2 + y^2 + z^2}$  die anfängliche und  $R = \sqrt{X^2 + Y^2 + Z^2}$  die schliessliche Entfernung der beiden Punkte  $m$  und  $\mu$  ist, so muss, wenn durch  $\rho$  die Differenz

$$\rho = R^2 - r^2 \quad (11)$$

und durch  $ABC$  die Grössen

$$\left. \begin{aligned} A &= a^2 - 1 = 2\lambda_1 + \lambda_1^2 \\ B &= b^2 - 1 = 2\lambda_2 + \lambda_2^2 \\ C &= c^2 - 1 = 2\lambda_3 + \lambda_3^2 \end{aligned} \right\} \quad (12)$$

welche von derselben Grössenordnung sind, wie die Dilatationen  $\lambda_1 \lambda_2 \lambda_3$ , bezeichnet werden, der Gleichung (10) zufolge

$$\rho = Ax^2 + By^2 + Cz^2 \quad (13)$$

sein.

Ferner ersieht man aus den Gleichungen (12) und aus den durch (9) dargestellten Werthen von  $\sigma$ ,  $s$  und  $v$  sofort, dass zwischen diesen drei Grössen und den Grössen  $ABC$  folgende Beziehungen stattfinden:

$$\left. \begin{aligned} A+B+C &= \sigma \\ A^2+B^2+C^2 &= \sigma^2 + 4\sigma - 2s \\ BC+CA+AB &= -2\sigma + s \\ A^3+B^3+C^3 &= \sigma^3 + 6\sigma^2 - 3s\sigma + 3v^2 + 3\sigma - 3s + 6v \\ A^2(B+C)+B^2(C+A)+C^2(A+B) &= \\ &= -2\sigma^2 + s\sigma - 3v^2 - 3\sigma + 3s - 6v \\ ABC &= v^2 + \sigma - s + 2v \end{aligned} \right\} \quad (14)$$

Das Potential der gesammten zur Zeit  $t$  auf das Massenelement  $m$  einwirkenden inneren Kräfte ist zufolge (1) und (11)

$$\Sigma u = m \cdot \Sigma_{\mu} F(R^2) = m \cdot \Sigma_{\mu} F(r^2 + \rho) \quad (15)$$

wobei sich die Summe  $\Sigma$  auf sämmtliche Massentheilchen  $\mu$  des Körpers erstreckt, die auf  $m$  — sei es eine anziehende oder eine abstossende Wirkung ausüben.

Da den Gleichungen (12) und (13) gemäss  $\rho$  bezüglich der Hauptdilatationen  $\lambda_1 \lambda_2 \lambda_3$  von der ersten Ordnung ist, so ist, wenn man bei der Bildung des Potentials der inneren

Kräfte von nun an von allen Gliedern absieht, die bezüglich dieser Hauptdilatationen, also auch bezüglich der durch (12) bestimmten Grössen  $A, B, C$  von höherer Ordnung sind, als der dritten,

$$F(r^2 + \rho) = F(r^2) + F'(r^2) \cdot \rho + \frac{1}{2} F''(r^2) \cdot \rho^2 + \frac{1}{6} F'''(r^2) \cdot \rho^3,$$

und zwar besteht diese Relation, wie gross auch immer die ob erwähnte Drehung des Körpers sein möge, durch welche das Ellipsoid (5) in die Lage (7) gelangt.

Setzt man in die letzte Gleichung den Werth (13) ein, so ergibt sich

$$\begin{aligned} F(r^2 + \rho) &= F(r^2) + F'(r^2) \cdot (Ax^2 + By^2 + Cz^2) \\ &+ \frac{1}{2} F''(r^2) \cdot [A^2x^4 + B^2y^4 + C^2z^4 + 2BCy^2z^2 + 2CAz^2x^2 + 2ABx^2y^2] \\ &+ \frac{1}{6} F'''(r^2) \cdot [A^3x^6 + B^3y^6 + C^3z^6 + 3A^2x^4(By^2 + Cz^2) + \\ &\quad + 3B^2y^4(Cz^2 + Ax^2) + 3C^2z^4(Ax^2 + By^2) + 6ABCx^2y^2z^2]. \end{aligned}$$

Substituirt man diesen Werth in die Gleichung (15) und berücksichtigt man, dass durch die in der anfänglichen Lage des Körpers vorausgesetzte Isotropie der Substanz die gleiche Massenlagerung bezüglich dreier beliebiger orthogonaler Axen des Körpers, also auch bezüglich der von der Rotation  $\vartheta$  des Körpers unabhängigen Richtungen der drei Axen des Ellipsoids (5) bedungen ist, so erhält man, wofern durch  $a_0, a_1, a_2, a_3$  kürzshalber die auf alle wirksamen Massenelemente  $\mu$  sich erstreckenden Summen

$$\left. \begin{aligned} a_0 &= \sum \frac{\mu}{2} F(r^2) \\ a_1 &= \sum [\mu F'(r^2) \cdot x^2] = \sum [\mu F'(r^2) \cdot y^2] = \sum [\mu F'(r^2) \cdot z^2] \\ a_2 &= \sum [\mu F''(r^2) \cdot y^2 z^2] = \sum [\mu F''(r^2) \cdot z^2 x^2] = \sum [\mu F''(r^2) \cdot x^2 y^2] \\ a_3 &= \sum [2 \mu F'''(r^2) \cdot x^2 y^2 z^2] \end{aligned} \right\} (16)$$

bezeichnet werden, so dass in Folge der bedungenen Isotropie auch

$$\begin{aligned}
\Sigma[\mu F''(r^2) \cdot x^3] &= \Sigma[\mu F''(r^2) \cdot y^3] = \Sigma[\mu F''(r^2) \cdot z^3] = 3a_2 \\
\Sigma[\mu F'''(r^2) \cdot x^3 y^2] &= \Sigma[\mu F'''(r^2) \cdot x^3 z^2] = \Sigma[\mu F'''(r^2) \cdot y^3 x^2] = \\
&= \Sigma[\mu F'''(r^2) \cdot y^3 z^2] = \Sigma[\mu F'''(r^2) \cdot z^3 x^2] = \Sigma[\mu F'''(r^2) \cdot z^3 y^2] = \frac{3}{2} a_3 \\
\Sigma[\mu F'''(r^2) \cdot x^6] &= \Sigma[\mu F'''(r^2) \cdot y^6] = \Sigma[\mu F'''(r^2) \cdot z^6] = \frac{15}{2} a_3
\end{aligned}$$

ist, als das Potential  $\Sigma u$  aller auf den materiellen Punkt  $m$  zur Zeit  $t$  einwirkenden inneren Kräfte einen Ausdruck von der Form

$$\Sigma u = m \left[ 2a_0 + a_1 \cdot \alpha_1 + \frac{1}{2} a_2 \alpha_2 + \frac{1}{4} a_3 \alpha_3 \right],$$

wo

$$\left. \begin{aligned}
\alpha_1 &= A + B + C \\
\alpha_2 &= 3(A^2 + B^2 + C^2) + 2(BC + CA + AB) \\
\alpha_3 &= 5(A^3 + B^3 + C^3) + \\
&\quad + 3[A^2(B + C) + B^2(C + A) + C^2(A + B)] + 2ABC
\end{aligned} \right\} \quad (17)$$

Bildet man, um das Gesamtpotential sämmtlicher innerer Kräfte, die zwischen den Massenpunkten des deformirten Körpers thätig sind, zu ermitteln, auf dieselbe Weise das Potential für jeden einzelnen Punkt  $m$  des Punktsystems und summirt die so erhaltenen Werthe, so erhält man, da bei der Bildung dieser Summe die gegenseitige Einwirkung je zweier Punkte zweimal in Rechnung gezogen ist, für dieses Potential  $U$  der sämmtlichen inneren Kräfte des Punktsystems den letzten Gleichungen zufolge den Werth

$$U = \frac{1}{2} \Sigma m \left( 2a_0 + a_1 \alpha_1 + \frac{1}{2} a_2 \alpha_2 + \frac{1}{4} a_3 \alpha_3 \right).$$

Demgemäss ist, wenn  $\delta_0$  die primitive Dichtigkeit und  $dv$  das anfängliche Volum des Massenelementes  $m$  bedeuten, so dass  $m = \delta_0 \cdot dv$  ist, und wofern durch  $A_0, A_1, A_2, A_3$  jene von der anfänglichen — als isotrop vorausgesetzten — Massenslagerung abhängigen Werthe bezeichnet werden, die durch

$$\frac{A_0}{a_0} = \frac{A_1}{a_1} = \frac{A_2}{a_2} = \frac{A_3}{a_3} = \delta_0 \quad (18)$$

bestimmt sind,

$$U = \int f \cdot dv, \quad (19)$$

wo  $f$  die Potentialfunction

$$f = A_0 + \frac{1}{2} A_1 \alpha_1 + \frac{1}{4} A_2 \alpha_2 + \frac{1}{8} A_3 \alpha_3 \quad (20)$$

bedeutet.

Die in dieser Gleichung ausser den constanten, vom anfänglichen Zustande des Körpers abhängigen Grössen  $A_0, A_1, A_2, A_3$  vorkommenden Variablen  $\alpha_1, \alpha_2, \alpha_3$  sind den Gleichungen (17) und (12) zufolge bloss Functionen der Hauptdilatationen  $\lambda_1, \lambda_2, \lambda_3$ , und zwar ist  $\alpha_1$  von der ersten,  $\alpha_2$  von der zweiten und  $\alpha_3$  von der dritten Grössenordnung.

Die Substitution von (17) und (12) führt, wenn kürzshalber durch  $\alpha \beta \gamma \alpha' \beta' \gamma'$  die Summen

$$\left. \begin{aligned} \alpha &= \lambda_1 + \lambda_2 + \lambda_3, & \beta &= \lambda_1^2 + \lambda_2^2 + \lambda_3^2, & \gamma &= \lambda_2 \lambda_3 + \lambda_3 \lambda_1 + \lambda_1 \lambda_2 \\ \alpha' &= \lambda_1^3 + \lambda_2^3 + \lambda_3^3, & \beta' &= \lambda_1^2(\lambda_2 + \lambda_3) + \lambda_2^2(\lambda_3 + \lambda_1) + \lambda_3^2(\lambda_1 + \lambda_2), \\ & & \gamma' &= \lambda_1 \lambda_2 \lambda_3 \end{aligned} \right\} \quad (21)$$

bezeichnet werden, zu folgendem Werthe der Potentialfunction:

$$\left. \begin{aligned} f &= A_0 + A_1 \left( \alpha + \frac{1}{2} \beta \right) + A_2 (3\beta + 2\gamma + 3\alpha' + \beta') \\ &\quad + A_3 (5\alpha' + 3\beta' + 2\gamma') \end{aligned} \right\} \quad (22)$$

Es lässt sich aber auch die Potentialfunction  $f$  leicht als Function der den Gleichungen (6) gemäss durch die Form des ursprünglich betrachteten Tetraëders  $m \mu_1 \mu_2 \mu_3$  genau bestimmen, jedoch von der Lage desselben vollkommen unabhängigen Grössen  $s, \sigma$  und  $\nu$  ausdrücken, von welchen  $s$  die um 3 verringerte Summe der Quadrate der drei in  $m$  zusammenstossenden Seitenkanten  $R_1, R_2, R_3$ , ferner  $\sigma$  die um 3 verringerte vierfache Summe der Quadrate der drei in demselben Punkte zusammenstossenden Seitendreiecke und  $D$  das sechsfache Volum dieses Tetraëders bedeuten. Substituirt man nämlich (14) in (17) und diese Werthe in (20), so findet man

$$f = A_0 + \frac{1}{2} A_1 \cdot \sigma + \frac{1}{4} A_2 \cdot (3\sigma^2 + 8\sigma - 4s) + \left. \begin{aligned} &+ \frac{1}{8} A_3 (5\sigma^3 + 24\sigma^2 - 12\sigma s + 8\sigma^2 + 8\sigma - 8s + 16v) \end{aligned} \right\} \quad (23)$$

Die in dieser Gleichung ausser der cubischen Dilatation  $v = D - 1$  vorkommenden Grössen  $\sigma$  und  $s$  lassen sich auch unmittelbar aus den Gliedern der Determinante (3) berechnen, und zwar ist den Gleichungen (6) und (4) gemäss  $\sigma$  die um 3 verringerte Summe der Quadrate dieser sämtlichen Glieder, beziehungsweise der Coëfficienten von  $x^2$ ,  $y^2$  und  $z^2$  in der Gleichung des dem Deformationsellipsoid (8) adjungirten Ellipsoids (5), und  $s$  ist den Gleichungen (6) und (4) zufolge die um 3 verringerte Summe der Quadrate sämtlicher Unterdeterminanten von  $D$ , beziehungsweise der Coëfficienten von  $x^2$ ,  $y^2$  und  $z^2$  in der Gleichung des Deformationsellipsoids (8), nämlich

$$\left. \begin{aligned} \sigma &= a_x + a_y + a_z - 3 = a_{11}^2 + a_{12}^2 + a_{13}^2 + a_{21}^2 + a_{22}^2 + a_{23}^2 + \\ &\quad + a_{31}^2 + a_{32}^2 + a_{33}^2 - 3 \\ s &= a_y a_z + a_z a_x + a_x a_y - b_x^2 - b_y^2 - b_z^2 - 3 = \\ &= A_{11}^2 + A_{12}^2 + A_{13}^2 + A_{21}^2 + A_{22}^2 + A_{23}^2 + A_{31}^2 + A_{32}^2 + A_{33}^2 - 3 \end{aligned} \right\} \quad (24)$$

Bisher wurde vorausgesetzt, dass die Deformation des ganzen, im anfänglichen Zustande als isotrop angenommenen Körpers eine homogene sei. Findet diese Voraussetzung nicht statt, so kann bekanntlich dennoch die Deformation eines unendlich kleinen Elementes, dessen anfängliches Volum  $dv$  sei, stets als eine homogene Deformation angesehen werden, und zwar müssen, wenn nunmehr  $x, y, z$  die anfänglichen und  $x + \xi, y + \eta, z + \zeta$  die schliesslichen Coordinaten irgend eines Punktes  $m$  dieses Elements in Bezug auf irgend ein fixes orthogonales Axensystem bedeuten, behufs Erzielung der Übereinstimmung mit den Gleichungen (2), da dieselben nunmehr auf ein paralleles Axensystem zu beziehen sind, dessen Anfangspunkt die anfängliche Lage des Punktes  $m$  ist, in (2) statt  $(x, y, z)$  die dem benachbarten Punkte  $\mu$  anfänglich zukommenden Werthe  $(dx, dy, dz)$  eingesetzt werden, und es ist ferner, wofern die Bezeichnungsweise des ersten Theiles dieser Abhandlung beibehalten wird, gleichzusetzen:

$$\left. \begin{aligned} a_{11} &= 1 + \frac{\partial \xi}{\partial x} = 1 + \lambda_x, & a_{21} &= \frac{\partial \xi}{\partial y} = \nu_z, & a_{31} &= \frac{\partial \xi}{\partial z} = \mu_y \\ a_{12} &= \frac{\partial \eta}{\partial x} = \mu_z, & a_{22} &= 1 + \frac{\partial \eta}{\partial y} = 1 + \lambda_y, & a_{32} &= \frac{\partial \eta}{\partial z} = \nu_x \\ a_{13} &= \frac{\partial \zeta}{\partial x} = \nu_y, & a_{23} &= \frac{\partial \zeta}{\partial y} = \mu_x, & a_{33} &= 1 + \frac{\partial \zeta}{\partial z} = 1 + \lambda_z \end{aligned} \right\} (25)$$

Demgemäss sind die Subdeterminanten von (3)

$$\left. \begin{aligned} A_{11} &= 1 + \lambda_y + \lambda_z + (\lambda_y \lambda_z - \mu_x \nu_x) \\ A_{21} &= -\mu_z + (\nu_x \nu_y - \lambda_z \mu_z) \\ A_{31} &= -\nu_y + (\mu_z \mu_x - \lambda_y \nu_y) \\ A_{12} &= -\nu_z + (\mu_x \mu_y - \lambda_z \nu_z) \\ A_{22} &= 1 + \lambda_z + \lambda_x + (\lambda_z \lambda_x - \mu_y \nu_y) \\ A_{32} &= -\mu_x + (\nu_y \nu_z - \lambda_x \mu_x) \\ A_{13} &= -\mu_y + (\nu_z \nu_x - \lambda_y \mu_y) \\ A_{23} &= -\nu_x + (\mu_y \mu_z - \lambda_x \nu_x) \\ A_{33} &= 1 + \lambda_x + \lambda_y + (\lambda_x \lambda_y - \mu_z \nu_z) \end{aligned} \right\} (26)$$

Setzt man diese Werthe in die früheren Formeln ein, so lässt sich, wofern nur der anfängliche Zustand des Körperelements  $dv$  ein isotroper ist, das Potential  $dU$  der innerhalb dieses Körperelements wirkenden inneren Kräfte nach der in Betracht gezogenen Deformation mittelst der Gleichung

$$dU = f \cdot dv \quad (27)$$

berechnen, wo für  $f$  der Werth aus (22) oder (20), beziehungsweise (23) einzuführen ist. Das Potential  $dU$  ist hiebei bis auf Glieder, die bezüglich der Hauptdilatationen von dritter Ordnung sind, genau bestimmt.

Substituirt man die Werthe aus (25) und (26) in die Gleichungen (24) und (3), bezeichnet man ferner kürzshalber durch  $\lambda$  die Summe  $\lambda_x + \lambda_y + \lambda_z$  und durch  $\eta$  die Summe der Quadrate der eingeklammerten Binome in (26), so findet man, wofern man im Übrigen die durch die Formeln (22) des ersten Theiles dieser Abhandlung bestimmte Bezeichnungsweise zur Anwendung bringt,

$$\left. \begin{aligned} \sigma &= 2\lambda + \beta_1 + (\beta_2 + \beta_3) \\ s &= 4\lambda + 2\beta_1 + (\beta_2 + \beta_3) + 4\gamma_1 - 2\delta_1 + \\ &\quad + 2\beta'_1 + 2(\alpha_{21} + \alpha_{31}) - 2(\gamma_{23} + \gamma_{32}) - 2\varepsilon'_1 + \eta \\ v &= D - 1 = \lambda + \gamma_1 - \delta_1 + \gamma'_1 + \gamma'_2 + \gamma'_3 - \gamma' \end{aligned} \right\} (28)$$

wo

$$\left. \begin{aligned} \lambda &= \lambda_x + \lambda_y + \lambda_z \\ \beta_1 &= \lambda_x^2 + \lambda_y^2 + \lambda_z^2 \\ \beta_2 &= \mu_x^2 + \mu_y^2 + \mu_z^2 \\ \beta_3 &= \nu_x^2 + \nu_y^2 + \nu_z^2 \\ \gamma_1 &= \lambda_y \lambda_z + \lambda_z \lambda_x + \lambda_x \lambda_y \\ \delta_1 &= \mu_x \nu_x + \mu_y \nu_y + \mu_z \nu_z \\ \alpha'_1 &= \lambda_x^3 + \lambda_y^3 + \lambda_z^3 \\ \beta'_1 &= \lambda_x^2 (\lambda_y + \lambda_z) + \lambda_y^2 (\lambda_z + \lambda_x) + \lambda_z^2 (\lambda_x + \lambda_y) \\ \gamma'_1 &= \lambda_x \lambda_y \lambda_z, \quad \gamma'_2 = \mu_x \mu_y \mu_z, \quad \gamma'_3 = \nu_x \nu_y \nu_z \\ \gamma' &= \lambda_x \mu_x \nu_x + \lambda_y \mu_y \nu_y + \lambda_z \mu_z \nu_z \\ \varepsilon'_1 &= \mu_x \nu_x (\lambda_y + \lambda_z) + \mu_y \nu_y (\lambda_z + \lambda_x) + \mu_z \nu_z (\lambda_x + \lambda_y) \\ \alpha_{21} &= \mu_x^2 \lambda_x + \mu_y^2 \lambda_y + \mu_z^2 \lambda_z \\ \alpha_{31} &= \nu_x^2 \lambda_x + \nu_y^2 \lambda_y + \nu_z^2 \lambda_z \\ \beta_{21} &= \mu_x^2 (\lambda_y + \lambda_z) + \mu_y^2 (\lambda_z + \lambda_x) + \mu_z^2 (\lambda_x + \lambda_y) \\ \beta_{31} &= \nu_x^2 (\lambda_y + \lambda_z) + \nu_y^2 (\lambda_z + \lambda_x) + \nu_z^2 (\lambda_x + \lambda_y) \\ \gamma_{23} &= \mu_y \mu_z \nu_x + \mu_z \mu_x \nu_y + \mu_x \mu_y \nu_z \\ \gamma_{32} &= \nu_y \nu_z \mu_x + \nu_z \nu_x \mu_y + \nu_x \nu_y \mu_z \end{aligned} \right\} (29)$$

Durch Einsetzung der Werthe (28) in (14) findet man zunächst, wenn man von nun an solche Glieder, die bezüglich der Verschiebungsderivationen  $\lambda_x \mu_x \dots$  von höherer Ordnung, als der dritten sind, also auch das Glied  $\eta$  vernachlässigt,

$$\begin{aligned} A+B+C &= 2\lambda + \beta_1 + \beta_2 + \beta_3 \\ A^2+B^2+C^2 &= 4\beta_1 + 2(\beta_2 + \beta_3) + 4\delta_1 + 4\alpha'_1 + 4(\beta_{21} + \beta_{31}) + \\ &\quad + 4(\gamma_{23} + \gamma_{32}) + 4\varepsilon'_1 \\ BC+CA+AB &= 4\gamma_1 - (\beta_2 + \beta_3) - 2\delta_1 + 2\beta'_1 + \\ &\quad + 2(\alpha_{21} + \alpha_{31}) - 2(\gamma_{23} + \gamma_{32}) - 2\varepsilon'_1 \end{aligned}$$

$$A^3 + B^3 + C^3 = 8\alpha'_1 + 6(\beta_{21} + \beta_{31}) + 6(\gamma_{23} + \gamma_{32}) + 6(\gamma'_2 + \gamma'_3) + 12\varepsilon'_1$$

$$A^2(B+C) + B^2(C+A) + C^2(A+B) = 8\beta'_1 + 4(\alpha_{21} + \alpha_{31}) - \\ - 2(\beta_{21} + \beta_{31}) - 6(\gamma_{23} + \gamma_{32}) - 6(\gamma'_2 + \gamma'_3) + 8\gamma' - 4\varepsilon'_1$$

$$ABC = 8\gamma'_1 - 2(\alpha_{21} + \alpha_{31}) + 2(\gamma_{23} + \gamma_{32}) + 2(\gamma'_2 + \gamma'_3) - 4\gamma'.$$

Demgemäss ist den Gleichungen (17) zufolge

$$\frac{1}{2}\alpha_1 = \lambda + \frac{1}{2}(\beta_1 + \beta_2 + \beta_3)$$

$$\frac{1}{4}\alpha_2 = 3\beta_1 + \beta_2 + \beta_3 + 2\gamma_1 + 2\delta_1 + 3\alpha'_1 + \beta'_1 + \\ + (\alpha_{21} + \alpha_{31}) + 3(\beta_{21} + \beta_{31}) + 2(\gamma_{23} + \gamma_{32}) + 2\varepsilon'_1$$

$$\frac{1}{8}\alpha_3 = 5\alpha'_1 + 3\beta'_1 + 2\gamma'_1 + (\alpha_{21} + \alpha_{31}) + 3(\beta_{21} + \beta_{31}) + \\ + 2(\gamma_{23} + \gamma_{32}) + 2(\gamma'_2 + \gamma'_3) + 2\gamma' + 6\varepsilon'_1$$

$\alpha_1$  enthält bloss Glieder erster und zweiter Ordnung,  $\alpha_2$  solche der zweiten und dritten,  $\alpha_3$  dagegen bloss Glieder dritter Ordnung.

Die Potentialfunction  $f$  ist, wie die Substitution in (20) lehrt, durch die aus den Verschiebungsderivationen gebildeten Ausdrücke (29) in folgender Weise bestimmt:

$$f = A_0 + A_1 \left[ \lambda + \frac{1}{2}(\beta_1 + \beta_2 + \beta_3) \right] + \left. \begin{aligned} &+ A_2 [3\beta_1 + \beta_2 + \beta_3 + 2\gamma_1 + 2\delta_1 + 3\alpha'_1 + \beta'_1 + \\ &+ \alpha_{21} + \alpha_{31} + 3(\beta_{21} + \beta_{31}) + 2(\gamma_{23} + \gamma_{32}) + 2\varepsilon'_1] + \\ &+ A_3 [5\alpha'_1 + 3\beta'_1 + 2\gamma'_1 + \alpha_{21} + \alpha_{31} + 3(\beta_{21} + \beta_{31}) + \\ &+ 2(\gamma_{23} + \gamma_{32}) + 2(\gamma'_2 + \gamma'_3) + 2\gamma' + 6\varepsilon'_1] \end{aligned} \right\} \quad (30)$$

Vergleicht man diese Gleichung mit der Gleichung (47) des ersten Theiles, beziehungsweise mit der dieser unmittelbar vorangehenden Gleichung und beachtet überdies den Werth von  $B'_1$  aus (40), so ergibt sich unmittelbar

$$\left. \begin{aligned} 2B_2 &= A_1 + 2A_2 \\ C_1 &= 2A_2 \\ A'_1 &= 3A_2 + 5A_3 \\ B_{21} &= 3(A_2 + A_3) \\ A_{21} &= A_2 + A_3 \\ B'_1 &= A_2 + 3A_3 \end{aligned} \right\} \quad (31)$$



Es lassen sich sohin sämmtliche in dem ersten Theile betrachteten Elasticitätsconstanten, wofern man bei der Bestimmung des Potentialwerthes der elastischen Kräfte von allen Gliedern absieht, die bezüglich der Hauptdilatationen von höherer Ordnung sind, als der dritten, und wofern man von der Annahme ausgeht, dass die inneren Kräfte nur anziehende oder abstossende Kräfte sind, welche Functionen der Entfernung der sich anziehenden oder abstossenden Massenpunkte sind, abgesehen von der Potentialconstanten  $A_0$ , auf die drei Elasticitätsconstanten  $A_1$ ,  $A_2$  und  $A_3$  zurückführen.

Würde man auch Glieder vierter Ordnung berücksichtigen, so würde, wie sich leicht zeigen lässt, eine weitere Constante hinzutreten, ausser man würde bezüglich der oberwähnten Function der Entfernung eine besondere Annahme machen. Es unterliegt gar keiner Schwierigkeit, die bisherige Untersuchung in gleicher Weise auf solche Glieder vierter Ordnung auszudehnen.

Die Gleichungen (31) ergeben sich auch unmittelbar sofort aus der Vergleichung des Werthes (22) mit der Gleichung (55) des ersten Theiles.

Die Gleichung (30) für die Potentialfunction lässt sich in mannigfacher Weise umformen, wie dies unter Anderem die Substitution der Werthe (31) in die Gleichungen (47), (50), (57), (58) des ersten Theiles lehrt.

Vernachlässigt man in der Gleichung (30) alle Glieder, welche bezüglich der Verschiebungsderivationen von der dritten Ordnung sind, so erhält man den von C. Neumann deducirten Potentialwerth,<sup>1</sup> der die zwei Elasticitätsconstanten  $A_1$  und  $A_2$  enthält.

Setzt man die in (31) gefundenen Werthe von  $2B_2$ ,  $C_1$  . . . in die Gleichungen (51) und (54) des ersten Theiles ein, oder berechnet man aus der Potentialfunction (30) mittelst der allgemeinen Gleichungen (20) des ersten Theiles unmittelbar die Spannungscomponenten, so gelangt man bei Berücksichtigung des Werthes (52) für die cubische Dilatation  $v = D - 1$ , und wofern man kürzshalber, wie früher, durch  $\epsilon_x \epsilon_y \epsilon_z$  die Summen

---

<sup>1</sup> Carl Neumann, Zur Theorie der Elasticität. (Borchardt's Journal für die reine und angewandte Mathematik, 1860, Bd. 57, S. 281—318.)

$$\left. \begin{aligned} \varepsilon_x &= \mu_x + \nu_x \\ \varepsilon_y &= \mu_y + \nu_y \\ \varepsilon_z &= \mu_z + \nu_z \end{aligned} \right\} \quad (32)$$

bezeichnet, zu folgenden wichtigen Gleichungen, welche bis auf Glieder zweiter Ordnung genau sind:

$$\left. \begin{aligned} D \cdot X_x &= A_1 + (2A_1 + 4A_2) \cdot \lambda_x + 2A_2 \cdot \nu + (A_2 + 3A_3) \cdot \nu^2 + \\ &\quad + (A_1 + 2A_2)(\lambda_x^2 + \nu_z^2 + \mu_y^2) - \\ &\quad - 4(A_2 + A_3)[\lambda_y \lambda_z - \varepsilon_x^2 - 3(\lambda_x^2 + \varepsilon_z^2 + \varepsilon_y^2)] \\ D \cdot Y_z &= (A_1 + 2A_2) \cdot \varepsilon_x + (A_1 + 2A_2)(\mu_z \nu_y + \lambda_y \mu_x + \nu_x \lambda_z) - \\ &\quad - 4(A_2 + A_3)[\varepsilon_y \varepsilon_z - \lambda_x \varepsilon_x - 3(\varepsilon_z \varepsilon_y + \lambda_y \varepsilon_x + \varepsilon_x \lambda_z)] \end{aligned} \right\} \quad (33)$$

$$\left. \begin{aligned} X_x &= A_1 + 2(2A_2 + A_1) \cdot \lambda_x + (2A_2 - A_1) \cdot \nu + 3(A_3 - A_2) \cdot \nu^2 + \\ &\quad + (2A_2 + A_1) \cdot [(\lambda_y + \lambda_z)^2 + \nu_z^2 + \mu_y^2] - \\ &\quad - 4(A_3 + A_2) \cdot [\lambda_y \lambda_z - \varepsilon_x^2 - 3(\lambda_x^2 + \varepsilon_z^2 + \varepsilon_y^2)] \\ Y_y &= A_1 + 2(2A_2 + A_1) \cdot \lambda_y + (2A_2 - A_1) \cdot \nu + 3(A_3 - A_2) \cdot \nu^2 + \\ &\quad + (2A_2 + A_1) \cdot [\mu_z^2 + (\lambda_z + \lambda_x)^2 + \nu_x^2] - \\ &\quad - 4(A_3 + A_2) \cdot [\lambda_z \lambda_x - \varepsilon_y^2 - 3(\varepsilon_z^2 + \lambda_y^2 + \varepsilon_x^2)] \\ Z_z &= A_1 + 2(2A_2 + A_1) \cdot \lambda_z + (2A_2 - A_1) \cdot \nu + 3(A_3 - A_2) \cdot \nu^2 + \\ &\quad + (2A_2 + A_1) \cdot [\nu_y^2 + \mu_x^2 + (\lambda_x + \lambda_y)^2] - \\ &\quad - 4(A_3 + A_2) \cdot [\lambda_x \lambda_y - \varepsilon_z^2 - 3(\varepsilon_y^2 + \varepsilon_x^2 + \lambda_z^2)] \\ Y_z &= Z_y = (2A_2 + A_1) \cdot \varepsilon_x + \\ &\quad + (2A_2 + A_1) \cdot [\mu_z \nu_y - (\lambda_z + \lambda_x) \cdot \mu_x - \nu_x (\lambda_x + \lambda_y)] - \\ &\quad - 4(A_3 + A_2) \cdot [\varepsilon_y \varepsilon_z - \lambda_x \varepsilon_x - 3(\varepsilon_z \varepsilon_y + \lambda_y \varepsilon_x + \varepsilon_x \lambda_z)] \\ Z_x &= X_z = (2A_2 + A_1) \varepsilon_y + \\ &\quad + (2A_2 + A_1) \cdot [-\nu_y (\lambda_y + \lambda_z) + \mu_x \nu_z - (\lambda_x + \lambda_y) \cdot \mu_y] - \\ &\quad - 4(A_3 + A_2) \cdot [\varepsilon_z \varepsilon_x - \lambda_y \varepsilon_y - 3(\varepsilon_y \lambda_x + \varepsilon_x \varepsilon_z + \lambda_z \varepsilon_y)] \\ X_y &= Y_x = (2A_2 + A_1) \varepsilon_z + \\ &\quad + (2A_2 + A_1) \cdot [-(\lambda_y + \lambda_z) \cdot \mu_z - \nu_z (\lambda_z + \lambda_x) + \mu_y \nu_x] - \\ &\quad - 4(A_3 + A_2) \cdot [\varepsilon_x \varepsilon_y - \lambda_z \varepsilon_z - 3(\lambda_x \varepsilon_z + \varepsilon_z \lambda_y + \varepsilon_y \varepsilon_x)] \end{aligned} \right\} \quad (34)$$

Würde man in diesen Gleichungen  $A_1 = 0$  setzen und die Glieder zweiter Ordnung vernachlässigen, so würde man die

bekannten, von Navier und Poisson gefundenen Grundgleichungen erhalten.

Durch Substitution von (31) in die Gleichungen (56) des ersten Theiles findet man folgende Werthe für die bloss von den Hauptdilatationen abhängigen Hauptspannungen  $S_1, S_2, S_3$ :

$$\left. \begin{aligned} S_1 &= A_1 + (2A_2 + A_1) \cdot [2\lambda_1 + (\lambda_2 + \lambda_3)^2] + \\ &\quad + (2A_2 - A_1) \cdot [\lambda_1 + \lambda_2 + \lambda_3 + \lambda_2\lambda_3 + \lambda_3\lambda_1 + \lambda_1\lambda_2] + \\ &\quad + 3(A_3 - A_2) \cdot (\lambda_1 + \lambda_2 + \lambda_3)^2 - 4(A_3 + A_2) \cdot (\lambda_2\lambda_3 - 3\lambda_1^2) \\ S_2 &= A_1 + (2A_2 + A_1) \cdot [2\lambda_2 + (\lambda_3 + \lambda_1)^2] + \\ &\quad + (2A_2 - A_1) \cdot [\lambda_1 + \lambda_2 + \lambda_3 + \lambda_2\lambda_3 + \lambda_3\lambda_1 + \lambda_1\lambda_2] + \\ &\quad + 3(A_3 - A_2) \cdot (\lambda_1 + \lambda_2 + \lambda_3)^2 - 4(A_3 + A_2) \cdot (\lambda_3\lambda_1 - 3\lambda_2^2) \\ S_3 &= A_1 + (2A_2 + A_1) \cdot [2\lambda_3 + (\lambda_1 + \lambda_2)^2] + \\ &\quad + (2A_2 - A_1) \cdot [\lambda_1 + \lambda_2 + \lambda_3 + \lambda_2\lambda_3 + \lambda_3\lambda_1 + \lambda_1\lambda_2] + \\ &\quad + 3(A_3 - A_2) \cdot (\lambda_1 + \lambda_2 + \lambda_3)^2 - 4(A_3 + A_2) \cdot (\lambda_1\lambda_2 - 3\lambda_3^2) \end{aligned} \right\} \quad (35)$$

Der Grad der Genauigkeit reicht in diesen drei Gleichungen bis zu den Gliedern, die bezüglich der Hauptdilatationen  $\lambda_1\lambda_2\lambda_3$  von zweiter Ordnung sind.

Aus der früheren Untersuchung ist klar zu ersehen, dass zwar nicht die Gleichung (30), jedoch die Gleichung (22) und (23) den Werth der Potentialfunction  $f$  auch für den allgemeineren Fall ausdrückt, in welchem die Drehung, die das betrachtete Körperelement während seiner Deformation erfährt, also auch der Drehungswinkel  $\vartheta$  in den Gleichungen (30) bis (33) des ersten Theiles, was immer für einen Werth hat, so dass auch einige oder alle Verschiebungsderivationen  $\lambda_x\lambda_y\lambda_z \dots$  beliebig grosse Werthe annehmen können, wenn nur die ursprüngliche Annahme der Kleinheit der Hauptdilatationen  $\lambda_1\lambda_2\lambda_3$  erfüllt ist. Es ist dies jener Fall, auf dessen Wichtigkeit für die Anwendung auf specielle Probleme schon Saint-Venant, Kirchhoff und in neuerer Zeit Todhunter aufmerksam machte, die jedoch bei ihrer Untersuchung dieses Falles bloss unendlich kleine Hauptdilatationen voraussetzen, indem stets schon solche Glieder, die bezüglich dieser Dilatationen von zweiter Ordnung sind, Gliedern erster Ordnung gegenüber

vernachlässigt werden. St. Venant gelangt für diesen Fall<sup>1</sup> zu folgenden aus (4) und (25) leicht deducirbaren Gleichungen für die Dilatation  $\Lambda_x$  in der Richtung der  $x$ -Axe und die zugehörige Schiebung  $M_x$

$$\Lambda_x = R_1 - 1 = \sqrt{a_x} - 1 = \frac{\partial \xi}{\partial x} + \frac{1}{2} \left[ \left( \frac{\partial \xi}{\partial x} \right)^2 + \left( \frac{\partial \eta}{\partial x} \right)^2 + \left( \frac{\partial \zeta}{\partial x} \right)^2 \right] = \frac{1}{2} (a_x - 1)$$

$$M_x = \cos(R_2 R_3) = b_x = \frac{\partial \eta}{\partial z} + \frac{\partial \zeta}{\partial y} + \left[ \frac{\partial \xi}{\partial y} \frac{\partial \xi}{\partial z} + \frac{\partial \eta}{\partial y} \frac{\partial \eta}{\partial z} + \frac{\partial \zeta}{\partial y} \frac{\partial \zeta}{\partial z} \right]$$

und stellt für die lineare Dilatation  $\Lambda$  in jener Richtung, deren ursprüngliche Richtungscosinus  $l, m, n$  sind, die aus (2) und (4) resultirende Gleichung auf:

$$\Lambda = \Lambda_x \cdot l^2 + \Lambda_y \cdot m^2 + \Lambda_z \cdot n^2 + M_x \cdot mn + M_y \cdot nl + M_z \cdot lm.$$

Mit Zuhilfenahme dieses Werthes sucht Kirchhoff<sup>2</sup> unter denselben Voraussetzungen die Componenten der Spannung für ein beliebiges Flächenelement als Functionen der Verschiebungsderivationen zu bestimmen.

Todhunter und Pearson<sup>3</sup> bezweifeln die Richtigkeit der von Kirchhoff aufgestellten Gleichungen, erwähnen jedoch in ihrer kritischen Untersuchung nicht den schwerwiegendsten Irrthum Kirchhoff's, der darin besteht, dass Kirchhoff (wie dies die Vergleichung der Gleichungen auf S. 769<sup>2</sup> mit jener auf S. 766<sup>2</sup> sofort zeigt) die Richtungscosinus der Hauptdilatationsrichtungen in ihrer anfänglichen Lage (die im ersten Theile dieser Abhandlung durch  $\alpha_x, \alpha_y, \alpha_z \dots$  bezeichnet

<sup>1</sup> St. Venant, Mémoire sur l'équilibre des corps solides dans les limites de leur élasticité et sur les conditions de leur résistance, quand les déplacements éprouvés par leurs points ne sont pas très-petits. Comptes rendus, vol. XXIV (1847), p. 260—263. (Siehe auch Moigno, Statique, p. 670 und Todhunter and Pearson, A History of the Theory of Elasticity (Cambridge, 1886—1893) vol. I, p. 864—867.

<sup>2</sup> Kirchhoff, Über die Bedingungen des Gleichgewichts eines elastischen Körpers bei nicht unendlich kleinen Verschiebungen seiner Theile. Diese Sitzungsber., Bd. IX (1852), S. 762—773.

<sup>3</sup> Todhunter and Pearson, l. c., vol. II, part II, p. 50—53.

wurden) mit den Richtungscosinus der Hauptdruckaxen, d. i. der Richtungen der Hauptdilatationen in ihrer schliesslichen Lage (die von mir durch  $\alpha'_x, \alpha'_y, \alpha'_z \dots$  bezeichnet wurden) identificirt, wodurch stillschweigend vorausgesetzt ist, dass das betrachtete Körperelement keine Drehung erfahren hat, oder dass mit anderen Worten die stattgehabte Deformation eine reine (rotationslose) Deformation ist, während die ganze Untersuchung geradezu bezweckt, den gegentheiligen Fall einer endlichen Drehung des Körperelements zu behandeln, indem zwar die Hauptdilatationen als unendlich klein, jedoch mit dieser Einschränkung die Verschiebungsderivationen als beliebige endliche Grössen vorausgesetzt sind.

Um die Componenten  $X_x X_y \dots$  der Spannung für einen beliebigen Werth des Rotationswinkels  $\vartheta$ , und zwar mit einer Genauigkeit, die sich bis auf Glieder erstreckt, die bezüglich der Hauptdilatationen, also auch bezüglich irgend einer Dilatation und irgend einer Schiebung von zweiter Ordnung ist, zu bestimmen, müsste man etwa von der bis auf solche Glieder der dritten Ordnung genauen und für einen jeden Werth des Winkels  $\vartheta$  giltigen Gleichung (23) für die Potentialfunction  $f$  ausgehen, deren letztes Glied sich übrigens noch in verschiedener anderer Form darstellen lässt. So ist z. B. die Summe aus den ersten vier Gliedern innerhalb der letzten Klammer

$$5\sigma^3 + 24\sigma^2 - 12\sigma\tau + 8\tau^2 = 6\sigma^2 - 16\tau^2 + 16\tau^3 \quad (36)$$

und zwar bis auf Glieder dritter Ordnung genau, wie dies die Einsetzung der Werthe (9) sofort lehrt.

Führt man nun den Werth von  $f$  aus (23), welcher ausser der Potentialconstanten  $A_0$ , die bei den auszuführenden Differentiationen aus der Rechnung hinausfällt, nur die drei Elasticitätsconstanten  $A_1, A_2, A_3$  enthält, in die allgemein giltigen Gleichungen (20) des ersten Theiles ein, so erhält man jene Werthe der Spannungscomponenten, die für einen jeden Werth des Rotationswinkels  $\vartheta$ , also auch für endliche Werthe der Verschiebungsderivationen  $\lambda_x, \mu_z, \nu_y \dots$ , jedoch nur für solche Deformationen giltig sind, für welche man bei der Berechnung der Spannungen von Gliedern absehen kann,

die bezüglich der Dilatationen und der Schiebungen von der dritten oder einer höheren Ordnung sind. Da nämlich die in der Potentialfunction  $f$  in (23) vorkommenden drei Variablen  $\sigma$ ,  $s$  und  $v$ , wie dies die Gleichungen (9) lehren, von derselben Grössenordnung sind, wie die Hauptdilatation  $\lambda_1, \lambda_2, \lambda_3$ , und da  $f$  eine rationale ganze Function dieser Variablen  $s, \sigma$  und  $v$  ist, die bis auf Glieder dritter Ordnung genau ist, so reicht der Grad der Genauigkeit der drei Ableitungen  $\frac{\partial f}{\partial \sigma}, \frac{\partial f}{\partial s}, \frac{\partial f}{\partial v}$  nur bis auf Glieder zweiten Grades, und zwar ist, wenn man den Werth aus der letztgefundenen Gleichung (36) einsetzt,

$$\left. \begin{aligned} \frac{\partial f}{\partial \sigma} &= \frac{1}{2} A_1 + \frac{1}{2} A_2 (3\sigma + 4) + \frac{1}{2} A_3 (3\sigma + 2) \\ \frac{\partial f}{\partial s} &= -A_2 - A_3 \\ \frac{\partial f}{\partial v} &= 2A_3 (3v^2 - 2v + 1) \end{aligned} \right\} \quad (37)$$

Beachtet man die strengrichtigen Werthe in (25) und (26), so ersieht man aus den gleichfalls strengrichtigen Gleichungen (6) und (3), wie  $\sigma, s$  und  $v$  durch die Verschiebungsderivationen  $\lambda_x, v_z, \mu_y \dots$  auszudrücken sind. Es lassen sich also auch  $\frac{\partial \sigma}{\partial \lambda_x}, \frac{\partial s}{\partial \lambda_x} \dots$ , sonach auch die in den Gleichungen (20) des ersten Theiles vorkommenden Differentialquotienten

$$\frac{\partial f}{\partial \lambda_x} = \frac{\partial f}{\partial \sigma} \cdot \frac{\partial \sigma}{\partial \lambda_x} + \frac{\partial f}{\partial s} \cdot \frac{\partial s}{\partial \lambda_x} + \frac{\partial f}{\partial v} \cdot \frac{\partial v}{\partial \lambda_x},$$

ebenso  $\frac{\partial f}{\partial v_z}, \frac{\partial f}{\partial \mu_y}$  u. s. w. leicht bestimmen und die derart bestimmten Grössen nach Einsetzung der bezüglich der Dilatationen nur bis auf Glieder der zweiten Ordnung genauen Werthe (37) in die allgemeinen Gleichungen (20) des ersten Theiles dieser Abhandlung die Spannungscomponenten berechnen. Man gelangt schliesslich auf diese Weise zu folgenden, für jeden Werth des Drehungswinkels  $\vartheta$ , also auch für endliche Werthe von  $\lambda_x, v_z \dots$  giltigen, jedoch bezüglich der Dilatationen nur bis auf Glieder der zweiten Ordnung genauen Gleichungen:

$$\begin{aligned}
 X_x &= [A_1 + A_2(3\sigma + 4) + A_3(3\sigma + 2)] \cdot \frac{a_{11}^2 + a_{21}^2 + a_{31}^2}{D} - \\
 &\quad - 2(A_2 + A_3) \cdot \frac{s + 3 - (A_{11}^2 + A_{21}^2 + A_{31}^2)}{D} + 2A_3(3\nu^2 - 2\nu + 1) \\
 Y_y &= [A_1 + A_2(3\sigma + 4) + A_3(3\sigma + 2)] \cdot \frac{a_{12}^2 + a_{22}^2 + a_{32}^2}{D} - \\
 &\quad - 2(A_2 + A_3) \cdot \frac{s + 3 - (A_{12}^2 + A_{22}^2 + A_{32}^2)}{D} + 2A_3(3\nu^2 - 2\nu + 1) \\
 Z_z &= [A_1 + A_2(3\sigma + 4) + A_3(3\sigma + 2)] \cdot \frac{a_{13}^2 + a_{23}^2 + a_{33}^2}{D} - \\
 &\quad - 2(A_2 + A_3) \cdot \frac{s + 3 - (A_{13}^2 + A_{23}^2 + A_{33}^2)}{D} + 2A_3(3\nu^2 - 2\nu + 1) \\
 Y_z = Z_y &= [A_1 + A_2(3\sigma + 4) + A_3(3\sigma + 2)] \cdot \frac{a_{12}a_{13} + a_{22}a_{23} + a_{32}a_{33}}{D} + \\
 &\quad + 2(A_2 + A_3) \cdot \frac{A_{12}A_{13} + A_{22}A_{23} + A_{32}A_{33}}{D} \\
 Z_x = X_z &= [A_1 + A_2(3\sigma + 4) + A_3(3\sigma + 2)] \cdot \frac{a_{13}a_{11} + a_{23}a_{21} + a_{33}a_{31}}{D} + \\
 &\quad + 2(A_2 + A_3) \cdot \frac{A_{13}A_{11} + A_{23}A_{21} + A_{33}A_{31}}{D} \\
 X_y = Y_x &= [A_1 + A_2(3\sigma + 4) + A_3(3\sigma + 2)] \cdot \frac{a_{11}a_{12} + a_{21}a_{22} + a_{31}a_{32}}{D} + \\
 &\quad + 2(A_2 + A_3) \cdot \frac{A_{11}A_{12} + A_{21}A_{22} + A_{31}A_{32}}{D}
 \end{aligned} \tag{38}$$

In diese Gleichungen sind die durch (25) und (26) bestimmten Werthe von  $a_{11}, a_{12}, \dots, A_{11}, A_{12}, \dots$  und die Werthe von  $\sigma, s, \nu$  und  $D$  aus (6) und (3) einzuführen.

Beachtenswerth ist, dass auch diese Gleichungen (38) nicht mehr Elasticitätsconstanten enthalten, als die in beschränkterem Masse giltigen Gleichungen (34), nämlich nur die drei Elasticitätsconstanten  $A_1, A_2$  und  $A_3$ .

# Über die innere Reibung der Lösungen

von

Dr. Gustav Jäger.

(Mit 1 Textfigur.)

(Vorgelegt in der Sitzung am 8. März 1894.)

In der Abhandlung »Über die kinetische Theorie der inneren Reibung der Flüssigkeiten«<sup>1</sup> habe ich gezeigt, dass der Reibungscoefficient durch die Formel

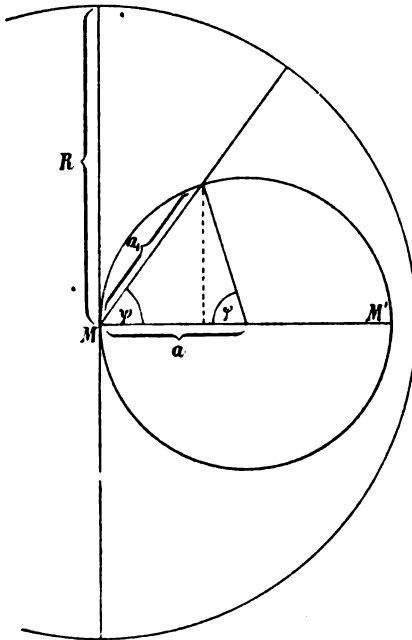
$$\mu = \frac{2r^2\rho c}{3\lambda}$$

gegeben ist, wobei  $r$  der Radius,  $c$  die Geschwindigkeit,  $\lambda$  die mittlere Weglänge einer Molekel und  $\rho$  die Dichte der Flüssigkeit ist. Um  $\lambda$  zu finden, hatten wir die mittlere Weglänge eines Punktes in einer Kugel zu suchen, welche dem zur Bewegung der Molekel freien Raum eingeschrieben ist. Wir gingen dabei so vor, dass wir annahmen, eine unendlich grosse Zahl von Punkten sei auf der Kugeloberfläche gleichmässig vertheilt, und es kommen auf die Flächeneinheit  $N_1$  Punkte. Dann ist die Zahl sämmtlicher in Betracht kommenden Punkte  $4\pi a^2 N_1$ . Die Entfernung zweier beliebiger Punkte ist gegeben durch  $a\sqrt{2(1-\cos\varphi)}$ , wenn  $a$  der Radius der Kugel und  $\varphi$  der Winkel der Radien ist, welche zu den beiden Oberflächenpunkten gehören. Wir nahmen dann weiter an, dass die Gesamtzahl der Wege, welche dieselbe Länge haben, durch die Grösse  $2\pi a^2 N_1 \sin\varphi d\varphi$  gegeben sei. Das ist aber, wie wir im Folgenden sehen werden, nicht strenge richtig, wesshalb wir den Ausdruck für die mittlere Weglänge von Neuem ableiten wollen.

<sup>1</sup> Wien. Ber. CII, S. 253 ff.



Wir müssen annehmen, dass alle Wege, welche der bewegliche Punkt von einem Punkte der Oberfläche der Kugel aus nehmen kann, nach allen Richtungen des Raumes gegen das Innere der Kugel gleich wahrscheinlich sind. Ist daher  $M$  (siehe die Figur) der Punkt, für welchen wir den mittleren Weg, den er in der Kugel vom Radius  $a$  zurücklegen wird, berechnen wollen, so haben wir sämtliche Sehnen  $a_1$ , welche von  $M$  ausgehen, bezüglich ihrer Länge zu addiren und durch die Zahl



derselben zu dividiren. Diese Sehnen müssen gleichmässig im Raume vertheilt sein, mithin die Oberfläche einer Kugel, welche wir um  $M$  als Mittelpunkt schlagen, in gleichmässig vertheilten Punkten treffen. Der Radius dieser Kugel sei  $R$ ,  $MM'$  ein Durchmesser der anderen Kugel. Der Winkel  $\psi$ , welchen eine beliebige Bewegungsrichtung mit  $MM'$  einschliesst, steht dann mit  $\varphi$  in der Beziehung  $2\psi + \varphi = \pi$ . Nennen wir nun wiederum die Zahl der Radien, welche die Flächeneinheit der

Oberfläche der Kugel vom Radius  $R$  enthält,  $N_1$ , so ist die Gesamtzahl der in Betracht kommenden Radien  $2\pi R^2 N_1$ . Die Zahl der Radien, welchen ein bestimmtes  $a_1$  zukommt, ist sodann durch  $2\pi R^2 N_1 \sin \psi d\psi$ , die Summe aller Weglängen  $a_1$  mithin durch

$$2\pi R^2 N_1 a_1 \sin \psi d\psi = 4\pi R^2 N_1 a \cos \psi \sin \psi d\psi$$

gegeben, indem ja

$$a_1 \sin \psi = a \sin \varphi,$$

also

$$a_1 = a \frac{\sin \varphi}{\sin \psi} = a \frac{\sin 2\psi}{\sin \psi} = 2a \cos \psi$$

ist. Integriren wir die Summe der  $a_1$  von  $\psi = 0$  bis  $\psi = \frac{\pi}{2}$ , so erhalten wir die Summe sämtlicher möglichen Weglängen, welche durch  $2\pi R^2 N_1$  dividirt, den mittleren Weg ergibt. Wir erhalten mithin

$$\lambda = \frac{4\pi R^2 N_1 a \int_0^{\frac{\pi}{2}} \cos \psi \sin \psi d\psi}{2\pi R^2 N_1} = 2a \left[ \frac{\sin^2 \psi}{2} \right]_0^{\frac{\pi}{2}} = a.$$

Berücksichtigen wir nun, dass alle Molekeln in Bewegung sind und führen wir dementsprechend die relative Geschwindigkeit der Molekeln gegen einander, deren Werth  $\frac{1}{3}c$  ist, ein, so ergibt sich

$$\lambda = \frac{2}{3}a$$

und, wie sich leicht weiter zeigen lässt,

$$\mu = \frac{2r^2 \rho c}{3\lambda} = \frac{8r^2 \rho c}{9a} = \frac{4r \rho c}{9 \left( 1 - \sqrt[3]{\frac{b}{v}} \right)},$$

wobei  $v$  das Volumen der in Betracht kommenden Flüssigkeit und  $b$  der in dem Volumen  $v$  wirklich mit Materie erfüllte Raum ist. Diese letzte Formel unterscheidet sich von der ursprünglich abgeleiteten nur darin, dass sie den Zahlenfactor  $\frac{4}{9}$  anstatt  $\frac{1}{3}$  enthält. Diese beiden Factoren sind aber von derselben Grössenordnung, so dass sich die seinerzeit von uns gemachten Folgerungen vollkommen aufrecht halten lassen. Ja die numerische Rechnung zeigt vielmehr, dass die neue Formel noch günstigere Resultate gibt als die frühere. Wir wollen daher auch fortan unsere Gleichung in der neuen Form gebrauchen.

In der Abhandlung »Das Gesetz der Oberflächenspannung von Lösungen«<sup>1</sup> habe ich folgenden Satz gefunden und bewiesen:

<sup>1</sup> Wien. Ber. C, S. 512.

»Die Gesamt-, sowie jede Theilenergie des Lösungsmittels wächst mit der Concentration der Lösung derart, dass für gleich viel Molekeln des Gelösten der Energiezuwachs eine constante Grösse ist.« Das hat nun für das Verhalten des Lösungsmittels denselben Effect, als würde die Temperatur in entsprechender Weise erhöht. Will man daher z. B. das Lösungsmittel zum Gefrieren bringen, so ist die Lösung so weit unter den Gefrierpunkt des Lösungsmittels abzukühlen, als eben die Energieerhöhung infolge des Zusatzes von gelöster Substanz ausmacht. Es gibt uns daher die Gefrierpunktserniedrigung unmittelbar einen Aufschluss über die Energievermehrung im Lösungsmittel. Alle Eigenschaften des Lösungsmittels nun, welche Functionen der Temperatur sind, müssen sich mit wachsender Concentration der Lösung derart ändern, als würde die Temperatur des Lösungsmittels immer um den Betrag der Gefrierpunktserniedrigung erhöht. Dabei ist nicht zu vergessen, dass sich diese Folgerung nur auf verdünnte Lösungen bezieht. Allerdings ist es nicht leicht, für die verschiedenen Eigenschaften der Flüssigkeiten, die Gefrierpunktserniedrigung ausgenommen, unseren Satz auch experimentell zu bestätigen, da die gelöste Substanz in der Regel noch andere Einflüsse hat als die Energieerhöhung des Lösungsmittels, welche die Wirkung der letzteren oft vollständig verdecken können.

Im Folgenden wollen wir nun untersuchen, inwieweit sich die Energieerhöhung des Lösungsmittels auf die innere Reibung verdünnter Lösungen geltend macht. Nehmen wir vorerst an, wir hätten es nur mit diesem Einfluss zu thun, so können wir folgendermassen schliessen. Da der Reibungscoefficient  $\mu$  eine Function der Temperatur, also

$$\mu = f(t)$$

ist, so muss der Reibungscoefficient einer Lösung, deren Gefrierpunktserniedrigung  $\Delta$  ist,

$$\mu_{\Delta} = f(t + \Delta)$$

sein. Entwickeln wir diese Function nach der Taylor'schen Reihe, so

$$f(t + \Delta) = f(t) + \Delta f'(t) + \frac{\Delta^2}{2} f''(t) + \dots, \quad (1)$$

also

$$\mu - \mu_{\Delta} = -\Delta f'(t) - \frac{\Delta^2}{2} f''(t) - \dots \quad (2)$$

Daraus können wir ohneweiters folgern: Sind die sonstigen Einflüsse der gelösten Substanz gegenüber der Energieerhöhung zu vernachlässigen, so ist der Unterschied zwischen der inneren Reibung des Lösungsmittels und der Lösung durch die Gleichung (2) gegeben. Sind z. B.  $f'(t)$ ,  $f''(t)$ ... nur positive Grössen, was zur Folge hätte, dass  $\mu$  mit der Temperatur wächst, so muss  $\mu_{\Delta} > \mu$ , die innere Reibung der Lösung immer grösser als die des Lösungsmittels sein. Sind hingegen die Differentialquotienten sämtlich negativ, so würde folgen, dass die innere Reibung der Lösung immer kleiner als die des Lösungsmittels sein muss. Im Allgemeinen werden wir natürlich sowohl positive als negative Differentialquotienten haben. Je nachdem dann das eine oder andere Glied überwiegt, muss die Reibung der Lösung grösser oder kleiner als die des Lösungsmittels sein. Da wir nur verdünnte Lösungen untersuchen, so ist  $\Delta$  nicht gross, wir können daher unsere unendliche Reihe immer auf die ersten Glieder beschränken.

Betrachten wir nun unsere eingangs erwähnte Formel

$$\mu = \frac{4r\rho c}{9\left(1 - \sqrt[3]{\frac{b}{v}}\right)},$$

welche für eine reine Flüssigkeit gilt, so können wir dieselbe in erster Annäherung für verdünnte Lösungen etwa in der Form

$$\mu = r\rho\varphi(t)$$

schreiben, in dem ja die Geschwindigkeit der Flüssigkeitsmolekeln  $c$ , sowie das Verhältniss der Volumina  $\frac{b}{v}$  Functionen der Temperatur  $t$  sind, für welche wir den Einfluss der gelösten Substanz, insofern er noch ein anderer, als der der Energieerhöhung ist, vernachlässigen können. Auch die Änderung des  $\rho$  brauchen wir in zweierlei Beziehung nicht zu berücksichtigen; einmal, weil wir es bloss mit verdünnten Lösungen, deren Dichte

sich also wenig von jener des Lösungsmittels unterscheidet, zu thun haben, dann aber auch bezüglich der Temperaturerhöhung, da die Wärmeausdehnung der Flüssigkeiten eine kleine und die Energieänderung des Lösungsmittels selbst nur einer Temperaturerhöhung um  $\Delta$  entspricht. Es bleibt uns also nur noch der Einfluss, welchen der Radius  $r$  der Molekel der gelösten Substanz auf die innere Reibung ausübt, und der ist allerdings nicht zu vernachlässigen. Bedenken wir nämlich, dass der Vorgang der Lösung seine Ursache in bedeutenden Anziehungskräften hat, welche die Molekeln des Lösungsmittels und der gelösten Substanz auf einander ausüben — es muss ja die Cohäsion des Gelösten vollständig überwunden werden — so werden wir annehmen müssen, dass sich die Molekeln des Gelösten nicht frei in der Lösung bewegen können, sondern dass sie immer von einer Schichte der Molekeln des Lösungsmittels umgeben sind, die sich mit der eingehüllten Molekel in derselben Richtung bewegen, so dass es die Wirkung hat, als hätten die Molekeln des Gelösten einen erheblich grösseren Durchmesser als jene des Lösungsmittels. Nun geht aber aus der Formel für die innere Reibung hervor, dass mit wachsendem Durchmesser der Molekeln der Reibungscoefficient proportional wächst, so dass  $\mu_1$  durch diesen Einfluss immer grösser ausfallen muss als nach der Gleichung (1) folgen würde. Wir können daher auch Gleichung (2) nicht aufrecht halten, sondern wir müssen sie in die Ungleichung

$$\mu - \mu_1 \leq -\Delta f'(t) - \frac{\Delta^2}{2} f''(t) - \dots$$

umwandeln. Je kleiner die Geschwindigkeit der Molekeln des Lösungsmittels ist, d. h. je träger sie sich bewegen, umso fester werden sie an den Molekeln des Gelösten haften, umsomehr wird  $\mu - \mu_1$  von der rechten Seite unserer Ungleichung abweichen. Dies ist demnach der Fall, je tiefer die Temperatur ist. Mit wachsender Temperatur muss sich hingegen unsere Ungleichung immer mehr einer Gleichung nähern, vorausgesetzt natürlich, dass unsere Lösung so verdünnt ist, dass der sodann noch vorhandene Einfluss der Molekeln des Gelösten auf die innere Reibung vernachlässigt werden kann. Inwieweit dieses

theoretische Resultat mit den Beobachtungen übereinstimmt, wollen wir an einer Reihe wässriger Lösungen im Folgenden nachweisen.

Um den Reibungscoefficienten des Wassers als Function der Temperatur darzustellen, benützte ich die Angaben von Sprung.<sup>1</sup> Derselbe berechnete jedoch nicht die absoluten Werthe der inneren Reibung, sondern gibt bloss die auf dieselbe Druckdifferenz reducirten Ausflusszeiten gleicher Volumina der Flüssigkeiten an, welche ein enges Rohr passiren. Was wir also im Folgenden mit  $\mu$  bezeichnen werden, sind lediglich relative Werthe. Aus den beobachteten  $\mu$  bei 0°, 10°, 30° und 50° wurde die Formel

$$\mu = 649 \cdot 2 - 21 \cdot 17 t + 0 \cdot 4079 t^2 - 0 \cdot 00326 t^3$$

abgeleitet. Aus der folgenden Tabelle ist ersichtlich, welche Abweichungen zwischen den berechneten und beobachteten Werthen der inneren Reibung vorkommen.

$t$	$\mu$ berechnet	$\mu$ beobachtet
0°	649·2	649·2
5	553·2	551·3
10	475·0	475·0
15	412·4	414·5
20	362·9	365·0
25	324·0	327·6
30	293·2	293·1
35	268·1	264·6
40	246·4	240·8
45	225·4	220·5
50	203·0	202·8

Vollkommen genau gibt also unsere Formel die Beobachtungen nicht wieder, doch genügt sie für unsere Zwecke vollkommen. Setzen wir  $\mu = f(t)$ , so wird

$$f'(t) = -21 \cdot 17 + 0 \cdot 8158 t - 0 \cdot 00978 t^2$$

$$f''(t) = 0 \cdot 8158 - 0 \cdot 01956 t$$

$$f'''(t) = -0 \cdot 01956$$

$$f^{IV}(t) = f^V(t) = \dots = f^{(n)}(t) = 0,$$

<sup>1</sup> Pogg. Ann., Bd. 159, S. 8 (1876).

mithin

$$\mu - \mu_{\Delta} \leq (21.17 - 0.8158t + 0.00978t^2) \Delta - (0.4079 - 0.00978t) \Delta^2 + 0.00326 \Delta^3$$

Ist  $\Delta$  sehr klein, d. h. nehmen wir eine verdünnte Lösung, so können wir die rechte Seite unserer Ungleichung auf's erste Glied beschränken, zumal auch der Factor von  $\Delta^2$ , den wir  $B$  nennen wollen, viel kleiner als  $A$ , der Factor von  $\Delta$ , ist.  $A$  und  $B$  nehmen für die verschiedenen Temperaturen folgende Werthe an:

$t$	$A$	$B$
0°	21.17	0.409
5	17.97	0.359
10	14.97	0.310
15	12.18	0.261
20	9.59	0.212
25	7.20	0.163
30	5.02	0.115
35	3.04	0.066
40	1.27	0.018
45	— 0.30	— 0.032
50	— 1.67	— 0.081

Ziehen wir also, wie vorausgesetzt, nur verdünnte Lösungen in Betracht, so wird die rechte Seite unserer Gleichung bei 0° immer positiv sein, sodann mit steigender Temperatur immer mehr und mehr abnehmen, zwischen 40° und 50° durch den Nullpunkt gehen und negativ werden. Für sehr verdünnte Lösungen liegt der Nullpunkt etwa bei 44°. Das heisst aber: Nur unterhalb dieser Temperatur, für welche unser Ausdruck 0 wird, kann  $\mu_{\Delta} < \mu$  sein, weil nur unterhalb dieser Temperatur  $\mu - \mu_{\Delta}$  einen positiven Werth annehmen kann. Ferner ist der Betrag, um welchen  $\mu_{\Delta}$  höchstens kleiner als  $\mu$  sein kann, durch unsere Ungleichung für jede Temperatur bestimmt. Ich halte es nun für wichtig zu untersuchen, ob thatsächlich unsere theoretischen Folgerungen mit den Beobachtungen übereinstimmen.

Wir haben demnach unser Augenmerk in erster Linie auf jene Lösungen zu richten, deren innere Reibung kleiner als jene

des reinen Wassers ist, da ja von den übrigen ohne weiters unsere Ungleichung erfüllt erscheint. Sprung gibt folgende acht Salze an, für welche er bei niedrigen Temperaturen die Zähigkeit der Lösung geringer als jene des Wassers fand:  $\text{KCl}$ ,  $\text{KBr}$ ,  $\text{KJ}$ ,  $\text{KNO}_3$ ,  $\text{NH}_4\text{Cl}$ ,  $\text{NH}_4\text{Br}$ ,  $\text{NH}_4\text{NO}_3$ ,  $\text{KClO}_3$ . Von diesen Lösungen habe ich alle mit Ausnahme des chlorsauren Kali auf meine Formel geprüft und die diesbezüglichen Resultate in den folgenden Tabellen zusammengestellt. Das chlorsaure Kali schenkte ich mir desshalb, weil seine Lösungen selbst bei den niedrigen Temperaturen eine nur wenig unter jener des Wassers liegende Zähigkeit zeigen, während dieselbe bei  $30^\circ$  schon grösser als jene des Wassers ist, so dass es zur Bestätigung unserer Regel einer besonderen Berechnung dieser Lösung nicht bedarf.

Die folgenden Tabellen enthalten in der ersten Zeile den Namen, die Formel und das Moleculargewicht des gelösten Salzes, in der zweiten den Procentgehalt, das specifische Gewicht, die im Liter gelöste Zahl der Gramme, sowie der Grammmolekeln (Mol.) und die Gefrierpunktserniedrigung  $\Delta$ . Dieselbe wurde unter der Voraussetzung berechnet, dass die Salze in der Lösung vollkommen dissociirt sind, und dass nach Raoult eine Grammmolekel im Liter den Gefrierpunkt um  $1.85^\circ \text{C}$ . herabsetzt. Die Annahme vollständiger Dissociation ist mit grosser Annäherung desshalb gestattet, weil für ein jedes Salz immer bloss die verdünnteste der von Sprung untersuchten Lösungen in Rechnung gezogen wurde. Die mit  $D$  bezeichnete letzte Spalte der Tabellen enthält den berechneten grössten Werth, welchen die Differenz  $\mu - \mu_\Delta$  annehmen kann.

Chlorammonium  $\text{NH}_4\text{Cl}$  (53.5).

$3.67\%$ ,  $s = 1.011$ ,  $37.1 \text{ g} = 1.386 \text{ Mol}$ .  $\Delta = 2^\circ 56$ .

$t$	$\mu_\Delta$	$\mu - \mu_\Delta$	$D$
$0^\circ$	613.8	35.4	51.6
5	532.0	19.3	43.7
10	463.9	11.1	36.2
20	361.8	3.2	23.2
30	292.0	1.1	17.4
40	244.0	—3.2	3.2
50	207.1	—4.3	—3.6



Bromammonium  $\text{NH}_4\text{Br}$  (98).

$15.97\%_0$ ,  $s = 1.0954$ ,  $174.8\text{ g} = 3.56\text{ Mol. } \Delta = 6^\circ 58$ .

$t$	$\mu_\lambda$	$\mu - \mu_\lambda$	$D$
$0^\circ$	540.9	108.3	122.4
5	477.5	73.8	103.5
10	423.8	51.2	86.2
15	379.0	35.5	69.6
20	340.6	24.4	54.6
25	308.5	19.1	41.2
30	281.0	12.1	28.9
40	237.2	3.6	8.4
50	205.0	— 2.2	— 6.7

Ammoniumnitrat  $\text{NH}_4\text{NO}_3$  (80).

$5.975\%_0$ ,  $s = 1.026$ ,  $61.29\text{ g} = 1.532\text{ Mol. } \Delta = 2^\circ 84$ .

$10^\circ$	452.4	22.6	40.0
20	354.1	10.9	25.6
30	287.9	5.2	13.4
40	239.8	1.0	3.5
50	205.6	— 2.8	— 3.9

Chlorkalium  $\text{KCl}$  (74.5).

$10.23\%_0$ ,  $s = 1.068$ ,  $109.2\text{ g} = 2.93\text{ Mol. } \Delta = 5^\circ 42$ .

$5^\circ$	519.8	31.5	87.7
10	454.8	20.2	75.6
15	405.3	9.2	61.8
20	362.8	2.2	49.3
25	326.4	1.2	37.8
30	299.0	— 5.9	27.4
40	252.5	— 11.7	9.9
50	215.1	— 12.3	3.2

Bromkalium KBr (119).

14·023%,  $s = 1·109$ , 155·51 g = 2·61 Mol.,  $\Delta = 4^{\circ}83$ .

$t$	$\mu_{\Delta}$	$\mu - \mu_{\Delta}$	$D$
5°	501·1	50·2	78·6
10	439·7	35·3	65·3
20	353·4	11·6	41·7
30	291·3	1·8	22·0
40	243·8	— 3·0	6·0
50	209·1	— 6·3	— 6·0

Jodkalium KJ (166).

8·419%,  $s = 1·0661$ , 89·8 g = 1·082 Mol.,  $\Delta = 2^{\circ}000$ .

5°	516·1	35·2	34·5
10	450·2	24·8	28·7
15	399·2	15·3	23·4
20	354·8	10·2	18·3
25	316·0	11·6	13·7
30	285·8	7·3	9·8
40	238·3	2·5	2·5
50	203·7	— 0·9	— 3·0

Kaliumnitrat KNO<sub>3</sub> (101).

6·316%,  $s = 1·040$ , 65·68 g = 1·30 Mol.,  $\Delta = 2^{\circ}41$ .

10°	460·0	15·0	34·2
20	360·5	4·5	21·8
30	290·1	3·0	11·4
40	242·6	— 1·8	2·9
50	206·7	— 3·9	— 3·5

Ein Blick auf unsere Tabellen zeigt uns sofort, dass besonders bei den niedrigeren Temperaturen  $\mu - \mu_{\Delta}$  immer erheblich kleiner als  $D$  ist, dass mit wachsender Temperatur diese beiden Grössen einander näher rücken und schliesslich gleich werden. Kommen irgendwo Abweichungen vor, so sind sie immer so unerheblich, dass sie vollständig innerhalb der Fehler-

grenzen liegen. Ist ja unsere Temperaturformel für die innere Reibung des Wassers nur angenähert richtig. Ferner müssen wir noch überlegen, dass auch unsere Lösungen selbst noch lange nicht das Ideal einer verdünnten Lösung repräsentieren. Enthält ja die KBr-Lösung 14% und die  $\text{NH}_4\text{Br}$ -Lösung sogar 16% an gelöster Substanz.

Alle Folgerungen, welche Sprung aus seinen Beobachtungen zieht, finden wir im Einklang mit unserer auf theoretischem Wege ermittelten Ungleichung. Als Typus der oben genannten Salzgruppe führt er das Chlorammonium an und stellt folgende drei Sätze auf:

»1. Bei niedrigen Temperaturen vermindert, bei höheren Temperaturen vergrößert das Chlorammonium die Zähigkeit des Wassers, und zwar beides in umso höherem Grade, als die Lösung concentrirter ist.

2. Die Temperatur, bei welcher Wasser und Salzlösung gleiche Zähigkeit zeigen, liegt umso höher, je geringer die Concentration der Lösung ist.

3. Es fällt das Minimum der Zähigkeit auf eine umso geringere Concentration, je höher die Temperatur ist.«

In der That folgt aus der rechten Seite unserer Ungleichung ohne weiters, dass die Verminderung der Zähigkeit bei niedrigeren Temperaturen, die Vermehrung derselben bei höheren umso grösser sein muss, je grösser  $\Delta$ , d. h. die Concentration ist.

Bezüglich des zweiten Satzes haben wir zu untersuchen, für welche Temperaturen bei abnehmendem  $\Delta$  die Differenz der inneren Reibung des Wassers und der Lösung Null wird. Vernachlässigen wir in unserer Ungleichung das Glied mit  $\Delta^3$ , so finden wir für den vorliegenden Fall

$$(21 \cdot 17 - 0 \cdot 8158t + 0 \cdot 00978t^2) \Delta - (0 \cdot 4079 - 0 \cdot 00978t) \Delta^2 = 0,$$

woraus folgt

$$\Delta = \frac{21 \cdot 17 - 0 \cdot 8158t + 0 \cdot 00978t^2}{0 \cdot 4079 - 0 \cdot 00978t} = 51 \cdot 9 - 0 \cdot 756t + 0 \cdot 0059t^2,$$

indem wir die höheren Glieder vernachlässigen können. Dieser Ausdruck nimmt mit wachsendem  $t$  bis gegen  $64^\circ$  beständig ab, was dem zweiten Satze von Sprung entspricht.

Suchen wir jene Beziehung zwischen  $t$  und  $\Delta$ , für welche  $\mu_\Delta$  ein Minimum wird, so haben wir die Gleichung (1) nach  $\Delta$  zu differenziren und den Differentialquotienten gleich Null zu setzen. Also

$$\frac{d\mu_\Delta}{d\Delta} = f'(t) + \Delta f''(t) = 0,$$

indem wir die höheren Glieder wieder vernachlässigen können. Führen wir die Zahlenwerthe ein, so ergibt dies

$$\begin{aligned} \frac{d\mu_\Delta}{d\Delta} = -21 \cdot 17 + 0 \cdot 8158 t - 0 \cdot 00978 t^2 + \\ + (0 \cdot 8158 - 0 \cdot 01956 t) \Delta = 0. \end{aligned}$$

Daraus folgt weiter

$$\Delta = 25 \cdot 95 - 0 \cdot 3778 t + 0 \cdot 00293 t^2.$$

Auch aus dieser Gleichung ergibt sich eine Abnahme des  $\Delta$  mit wachsendem  $t$  bis gegen  $64^\circ$ , so dass auch der dritte Sprung'sche Satz in unserer Theorie enthalten ist.

Es bestätigt sich also unsere Ansicht von Neuem, dass der Zusatz des Gelösten die Energie des Lösungsmittels in der Weise erhöht, dass es die Wirkung hat, als würde die Temperatur des Lösungsmittels in entsprechender Weise gesteigert.

Von einem ganz anderen Standpunkt aus beurtheilt Arrhenius die innere Reibung der Lösungen. In seiner Abhandlung »Über die innere Reibung verdünnter, wässriger Lösungen«<sup>1</sup> sagt er: »Bei der Discussion der Verhältnisse, die bei der Elektrizitätsleitung in Elektrolyten stattfinden, bin ich zu der Ansicht geführt worden, dass die Moleküle eines Elektrolyten von zwei verschiedenen Arten sind, active und inactive. (Die Moleküle eines Nichtelektrolyten sind dagegen alle inactiv.) Die activen Moleküle sind so constituirt, dass ihre Ionen dem von der Clausius-Williamson'schen Hypothese geforderten freien Bewegungszustand genügen, oder mit anderen Worten, die activen Moleküle sind factisch als dissociirt anzusehen. Da die Reibung nach aller Wahrscheinlichkeit mit der Zusammengesetztheit der reibenden Theile wächst, so dürfte es nicht mehr

<sup>1</sup> Zeitschrift für physik. Chemie, I, S. 285 ff.

befremdend erscheinen, dass active (d. h. in Ionen gespaltete) Moleküle unter Umständen eine kleinere Reibung erleiden, als inactive (nicht gespaltete). Wenn man näher nachsieht, so sind es auch nur diejenigen Salze, die am allerbesten leiten (d. h. die die relativ grösste Anzahl von activen Molekülen enthalten), welche die innere Reibung des Wassers verkleinern. In den Lösungen von diesen Salzen würde also eine so grosse Menge von activen Molekülen vorkommen, dass ihre verringernde Einwirkung auf die innere Reibung die vergrössernde Einwirkung der gleichzeitig vorkommenden inactiven Moleküle überwindet. Eine Stütze für diese Anschauung findet sich darin, dass auch Lösungen von diesen Salzen bei grösseren Concentrationen grössere innere Reibung als das Wasser selbst haben. Bei zunehmender Concentration wächst nämlich die Anzahl der inactiven Moleküle auf Kosten der activen.

Da alle Salze in äusserster Verdünnung in lauter active Moleküle zerfallen, so ist es nicht undenkbar, dass alle Salze (wenigstens diejenigen, deren Ionen ziemlich einfach sind) in äusserst kleinen Zusätzen die innere Reibung des Wassers verkleinern.\*

Ich kann mich dieser Anschauung nicht anschliessen. Einmal, weil ich nicht einsehe, wesshalb der Einfluss des Gelösten verschiedener Natur sein soll, wenn die Molekeln als Ionen oder nicht dissociirt auftreten. Die Spaltung der Molekeln in Ionen hat lediglich den Erfolg, dass die Zahl der gelösten Molekeln vergrössert erscheint und daher eindementsprechender Einfluss auf die verschiedenen Eigenschaften des Lösungsmittels (Gefrierpunktserniedrigung, Dampfspannungserniedrigung, osmotischer Druck etc.) ausgeübt wird. Wie mangelhaft die Unterscheidung von activen und inactiven Molekeln für den Fall der inneren Reibung ist, zeigt eine Anmerkung, welche Arrhenius in seiner Abhandlung S. 298 anbringt. Er sagt daselbst: »Ich habe gefunden, dass Lösungen in Äthylalkohol von kleinen Mengen von Methylalkohol, Aceton oder Äthyläther eine geringere innere Reibung als der Äthylalkohol selbst haben.« Nach unserer Betrachtungsweise kann uns ein derartiges Resultat nicht überraschen, da unsere Theorie mit der Dissociation gar nichts zu thun hat.

In zweiter Linie ist für mich das Verhalten der inneren Reibung der Lösungen bei höheren Temperaturen massgebend, Arrhenius Theorie nicht anzunehmen. Wären thatsächlich die sogenannten activen Molekeln die Ursache der Verminderung der inneren Reibung, so müsste das umso mehr der Fall sein, je höher die Temperatur der Lösung ist, da ja der Grad der Dissociation mit wachsender Temperatur zunimmt. Nun zeigt sich aber im Gegentheil, dass schon bei  $50^{\circ}$  die innere Reibung einer jeden Lösung grösser ist als jene des reinen Wassers bei derselben Temperatur.

Damit erscheint mir der Vorzug meiner Anschauungsweise zur Genüge klar gelegt.

---

# Über die Unterkühlung von Flüssigkeiten

(II. Mittheilung)

von

Prof. Dr. O. Tumlirz in Czernowitz.

(Mit 1 Textfigur.)

Es wurde schon in meiner ersten Mittheilung<sup>1</sup> hervor-  
gehoben, dass, wenn eine unterkühlte Flüssigkeit durch einen  
festen Krystall zum Erstarren gebracht wird, die Gleichgewichts-  
störung zu ihrer Ausbreitung Zeit braucht. Ich habe nun diese  
zeitliche Ausbreitung, besonders in ihrer Abhängigkeit von dem  
Grade der Unterkühlung, d. i. von der Differenz zwischen der  
Temperatur der unterkühlten Flüssigkeit und ihrem Schmelz-  
punkt, näher ins Auge gefasst, um auf diesem Wege die Natur  
der Unterkühlung näher kennen zu lernen.

Was die Wahl der Substanzen anbelangt, so sollen zu-  
nächst solche Substanzen untersucht werden, welche kein  
Krystallwasser enthalten, weil bei den krystallwasserhaltigen  
Substanzen das Krystallwasser die Erscheinung in einer uns  
noch unbekannten Weise complicirt. Da das Wasser die  
nächstliegende Substanz ist, so habe ich zuerst die Erstarrungs-  
geschwindigkeit des unterkühlten Wassers gemessen.

Der Apparat bestand im Wesentlichen aus einer dünn-  
wandigen Glasröhre, welche 595 *mm* lang, 18 *mm* weit und an  
dem einen Ende zugeschmolzen war. Der Stopfen hatte zwei  
Bohrungen; in der einen sass ein langes, in Zehntelgrade ge-  
theiltes und wohlgeprüftes Thermometer, dessen Gefäss sich  
in der Mitte der Wassersäule befand. Um die Hundertstel noch

---

<sup>1</sup> Diese Sitzungsber., Bd. C, Abth II. a, December 1891, S. 1219.

sicher schätzen zu können, wurde vor dem Thermometer eine Linse von 235 *mm* Brennweite so aufgestellt, dass das Thermometer sich gerade in der Brennebene befand, und hinter die Linse ein auf Unendlich eingestelltes Fernrohr gebracht. Die zweite Bohrung des Stopfens diente dazu, um in das unterkühlte Wasser, ohne mit dem Stopfen zu rühren, das die Unterkühlung auslösende Eisstückchen fallen zu lassen. Bedeckt war das Wasser mit einer ungefähr 4 *mm* dicken Schichte Terpentinöl.

Die beschriebene Glasröhre sass in dem Stopfen einer dickwandigen Glasröhre, welche um einige Centimeter länger und 44 *mm* weit war. Diese weitere Glasröhre war unten verschlossen und ganz mit Terpentinöl gefüllt. Der Zweck dieser Vorrichtung war der, sowohl die Temperatur der Wassersäule viel gleichmässiger zu machen, als auch die Wassersäule während des Versuches vor einer Erwärmung durch den Athem zu schützen. Die weitere Röhre war in einem eisernen Träger festgeklemmt.

An der Glasröhre, welche das Wasser enthielt, befanden sich zwei feine, kreisförmige Marken, deren Ebenen zu der Röhrenachse senkrecht waren. Die erste Marke befand sich 4 *cm* unter dem Wasserspiegel und die zweite am Ende der Röhre, so dass der Abstand = 501·0 *mm* war. Fällt nämlich auf die Oberfläche des unterkühlten Wassers ein sehr kleines Eisstückchen, so tritt dort die Erstarrung ein. Es ist nun sehr schwer, den Zeitpunkt zu bestimmen, in dem gerade die Erstarrung beginnt, verfolgt man aber die Fortpflanzung der Erstarrung, so ist es sehr leicht, den Zeitpunkt zu bestimmen, in dem die Erstarrung durch eine solche Marke hindurchtritt.

Zur Messung der Zeit benützte ich in Ermangelung eines Secundenpendels ein gut gehendes Metronom, welches so eingestellt wurde, dass die Zeit zwischen zwei aufeinanderfolgenden Schlägen (wie eine lange Beobachtungsreihe ergab) = 0·9869 Sekunden war.

Die Unterkühlung wurde ausgeführt in einem kleinen exponirt liegenden Zimmer meines Laboratoriums, welches den ganzen Winter hindurch nicht geheizt wurde. Die Zimmertemperatur nahm, als das Frostwetter eintrat, stetig, aber ausser-



ordentlich langsam ab, so dass sie, namentlich am Vormittag, durch einige Stunden hindurch constant war.

Ich hätte gern die Untersuchung bis  $-10^{\circ}$  C. ausgedehnt, aber leider erstarrte das Wasser zweimal bei etwas weniger als  $-6^{\circ}$  C. von selbst. Dieser Umstand ist mir ganz räthselhaft, da ich früher wiederholt Wasser in Glaskolben bis ungefähr  $-10^{\circ}$  C. unterkühlen konnte, worauf dann allerdings die Erstarrung von selbst eintrat. Möglicherweise ist daran die Beschaffenheit des Glases schuld.

In der folgenden Tabelle bedeuten  $t$  die Temperatur in Celsiusgraden,  $Z$  die Zeit in Sekunden, während welcher die Erstarrung von der ersten Marke bis zur zweiten fortschritt, und  $V$  die Fortpflanzungsgeschwindigkeit, ausgedrückt in Millimeter und Sekunden.

$t$	$Z$	$V$	$t$	$Z$	$V$
$-0.74$	1372	0.37	$-2.71$	86.8	5.77
$-1.12$	347.5	1.44	$-2.90$	71	7.06
$-1.40$	228	2.20	$-3.20$	67.1	7.47
$-1.54$	181.6	2.76	$-3.49$	49	10.23
$-1.62$	171.7	2.92	$-3.64$	44.4	11.28
$-2.00$	151	3.32	$-4.14$	29.6	16.93
$-2.40$	111.5	4.49	$-4.20$	27.6	18.15
$-2.54$	95.7	5.24	$-4.60$	22.7	22.07
$-2.67$	89.8	5.58			

Eine einfache empirische Formel, welche sich den Versuchswerthen in genügender Weise anschliesst, ist

$$V = (a + bt + ct^2) \cdot t^2,$$

wo

$$a = 1.3561, \quad b = 0.3766, \quad c = 0.06726$$

ist und für  $t$  die negativen Werthe einzusetzen sind:

Die Versuche führen uns also zu dem Resultate: Die Geschwindigkeit, mit welcher die Erstarrung in dem

unterkühlten Wasser fortschreitet, nimmt mit dem Grade der Unterkühlung stetig und sehr rasch zu.

Es muss erwähnt werden, dass die Fortpflanzungsgeschwindigkeit der Erstarrung auch bei einer und derselben Temperatur etwas schwanken kann, und zwar hängt dies von der Art und Weise ab, wie sich die Krystalle aneinanderreihen. In vielen Fällen schritt die Erstarrung in einer Schraubenfläche fort und dann war die Fortpflanzungsgeschwindigkeit etwas kleiner. Bei dem ersten der angeführten Versuche ( $t = -0.74^\circ \text{C.}$ ) bildeten die Krystalle eine Art Kette, welche anfangs schraubenförmig gewunden war, dann gerade verlief und sich schliesslich wieder krümmte. Dementsprechend variierte auch die Fortpflanzungsgeschwindigkeit während des ganzen Versuches.

Dass die Fortpflanzungsgeschwindigkeit der Erstarrung mit der Unterkühlung rasch zunimmt, steht mit der in meiner ersten Mittheilung durchgeführten Theorie in gutem Einklang. Nach dieser Theorie besteht eine unterkühlte Flüssigkeit aus lauter Elementarkrystallen, welche gegeneinander alle möglichen Orientirungen haben und welche die Übergangsstufe von dem flüssigen Zustand zu den festen Krystallen bilden. Wird das Wasser von  $0^\circ$  auf  $-t^\circ \text{C.}$  unterkühlt und ist  $d\mu$  die Masse eines solchen Elementarkrystalles, so hat derselbe bei der Unterkühlung die Wärmemenge

$$d\mu \int_{-t}^0 C dt,$$

oder, wenn wir berücksichtigen, dass hier  $C$  sehr nahe  $= 1$  ist, die Wärmemenge

$$td\mu$$

abgegeben. Würde das Wasser auf normalem Wege bei  $0^\circ \text{C.}$  zu Eis erstarren, dann würde das Massenelement  $d\mu$  die Wärmemenge  $\Lambda d\mu$  abgeben, wo  $\Lambda$  die Erstarrungswärme bedeutet. Es hat also der Elementarkrystall in dem unterkühlten Wasser um

$$(\Lambda - t)d\mu$$

mehr Wärme, als in dem festen Eis von  $0^\circ \text{C.}$  Die Auslösung der Unterkühlung durch ein Eisstückchen erfolgt nun in der

Weise, dass die anliegenden Elementarkrystalle gleichgerichtet werden. Indem die der Arbeit der richtenden Kräfte gleiche lebendige Kraft sich in Wärme verwandelt, werden, wie in der früheren Abhandlung ausführlich auseinandergesetzt wurde, die gerichteten Elementarkrystalle auf die Temperatur des Schmelzpunktes gehoben, wodurch zwischen ihnen und den noch ungerichteten Elementarkrystallen eine Temperaturdifferenz entsteht, welche  $t^{\circ}$  C. beträgt und zur Folge hat, dass die gerichteten Elementarkrystalle so lange Wärme verlieren, bis sie fest sind.

Die Geschwindigkeit, mit welcher die Erstarrung fortschreitet, wird also von der Geschwindigkeit abhängen, mit welcher aus dem unterkühlten Wasser neue Krystalle entstehen, und diese Geschwindigkeit wird wieder abhängen von der Geschwindigkeit, mit welcher die Elementarkrystalle gerichtet werden und von der Raschheit, mit welcher dieselben dann ihre Wärme abgeben.

Ist  $dm$  die Masse einer Schichte, welche zwischen zwei unendlich nahen Querschnitten der Röhre liegt, so wird darin bei der Auslösung der Unterkühlung die Menge

$$-\frac{C}{\Lambda} t dm, \quad \text{oder einfach:} \quad -\frac{t}{\Lambda} dm$$

erstarren. Die Menge der erstarrten Krystalle ist also der Unterkühlung  $-t^{\circ}$  proportional. Da durch diese Krystalle die Unterkühlung in der nächsten Schichte ausgelöst wird, so ist die Zahl der richtenden Kräfte proportional der Unterkühlung. Ferner werden diese Kräfte gewiss desto grösser sein, je tiefer die Unterkühlung ist. Denn da die Elementarkrystalle aus dem vollkommen flüssigen Zustand in den vollkommen festen durch allmälige Abgabe der Wärme  $\Lambda d\mu$  stetig übergehen, so werden sie dem festen Zustand desto näher liegen, je mehr sie Wärme abgegeben haben, also je grösser die Unterkühlung ist. Ferner kommt in Betracht, dass die Wärmeabgabe der gerichteten Elementarkrystalle desto rascher erfolgt, je grösser die Temperaturdifferenz derselben gegen die noch nicht alterirte unterkühlte Flüssigkeit ist, und schliesslich ist auch die Wärme, welche die gerichteten Elementarkrystalle noch abzugeben

haben, um vollkommen fest zu werden, desto kleiner, je mehr sie schon früher abgegeben hatten, d. h. je tiefer die Unterkühlung ist. Alles zusammengefasst, sehen wir, dass vier Umstände, welche alle in demselben Sinne wirken, die Erstarrung desto rascher herbeiführen, je tiefer die Unterkühlung ist.

---

Im Anschlusse an das Vorhergehende möchte ich hier noch auf das zurückkommen, was ich in meiner früheren Arbeit (§. 10) über den amorphen Zustand gesagt habe, und möchte daran einige Bemerkungen knüpfen.

Ich habe dort gesagt, dass, wenn eine flüssige Substanz den Grenzzustand der Unterkühlung erreicht hat und dann noch weiter abgekühlt wird, wir daraus einen festen amorphen Körper erhalten. Wir wollen jetzt zunächst die thermische Volumsänderung des Schwefels bei dem constanten Druck einer Atmosphäre betrachten. Der natürliche krystallisirte Schwefel dehnt sich nach Kopp (Liebig's Annalen 93, 1855) sehr ungleichmässig aus, indem die Ausdehnung für steigende Temperaturen, insbesondere in der Nähe des Schmelzpunktes, rasch zunimmt. Kopp gab zwischen  $t = 0^\circ$  und  $t = 90^\circ$  C. die Formel

$$V_t = 1 + 0.00010458t + 0.0000026588t^2 - 0.000000014673t^3.$$

Ist das Volumen des festen Schwefels bei  $0^\circ$  C. = 1, so ist es bei  $115^\circ$  C.

$$= 1.0956.$$

Beim Schmelzen erfährt das Volumen eine Vergrösserung, so dass das Volumen des flüssigen Schwefels bei  $115^\circ$  C.

$$= 1.1504$$

ist. Was die Ausdehnung des flüssigen Schwefels anbelangt, so fand Kopp dieselbe innerhalb des Temperaturintervalles  $126.0 - 151.6^\circ$  C. als gleichförmig, so dass bei  $t^\circ$  das Volumen durch

$$V'_t = 1.1504 + 0.000527(t - 115)$$

dargestellt wird. Viel genauer wurde die Ausdehnung des flüssigen Schwefels von Despretz (Compt. rend. VII.) unter-

sucht. Derselbe fand den Ausdehnungscoefficienten

zwischen	110	und	130° C.	=	0·000622
»	110	»	150	=	0·000581
»	110	»	200	=	0·000454
»	110	»	250	=	0·000428,

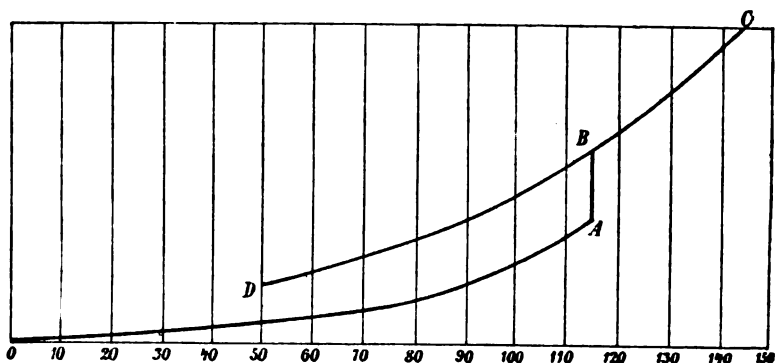
was sich durch die Formel

$$\text{Ausdehnungscoefficient} = 0\cdot001033 - 0\cdot0000035t$$

darstellen lässt. Es hat demnach der flüssige Schwefel bei  $t^{\circ}\text{C.}$  das Volumen

$$V'_t = 1\cdot04993 + 0\cdot001085t - 0\cdot00000184t^2.$$

In der beistehenden Figur stellt die Curve zwischen  $0^{\circ}$  und  $115^{\circ}$  (bis *A*) die Ausdehnung des festen und die Curve *BC*



die Ausdehnung des flüssigen Schwefels dar. Wenn wir nun den flüssigen Schwefel wieder abkühlen und dafür sorgen, dass er den unterkühlten Zustand sehr leicht annehmen kann (indem wir ihn z. B. in die Form kleiner Tröpfchen bringen), so wird das Volumen längs der Curve *CBD* abnehmen und es entsteht die Frage, ob diese Curve nicht einmal die Ausdehnungscurve des festen Schwefels schneiden wird. In einem solchen Schnittpunkt hätten dann der feste und der unterkühlte Schwefel denselben Druck, dasselbe Volumen und dieselbe Temperatur.

Wir erhalten diesen Punkt aus der Gleichung

$$V_t = V'_t$$

oder

$$0 = 0.04993 + 0.00098042t - 0.0000044988t^2 + \\ + 0.000000014673t^3,$$

welche die reelle Wurzel

$$t = -41.81$$

hat.

Diese Temperatur liegt sehr tief unter der Grenze der Unterkühlung, welche ich bei 75° C. gefunden habe (a. a. O., S. 1227). Bei der Unterkühlung von 115° bis -41.81° C. gibt die Masseneinheit des Schwefels die Wärme

$$\int_{-41.81}^{115} C \cdot dt$$

ab, wo  $C$  die spezifische Wärme bedeutet. Nach den Messungen von Person ist die mittlere spezifische Wärme des flüssigen Schwefels zwischen 119° und 147° C. gleich 0.2346. Wenden wir hier diese Zahl an, so erhalten wir die abgegebene Wärme gleich

$$0.2346 \times 156.81 = 36.79 \text{ cal.}$$

Die latente Schmelzwärme des Schwefels ist nach Person gleich

$$\Lambda = 9.368;$$

es ist also die abgegebene Wärme 3.927mal so gross als die Schmelzwärme. Nach unserer Anschauung von der Constitution einer unterkühlten Flüssigkeit muss demnach der unterkühlte Schwefel bei der Temperatur -41.81° C. schon längst in seinen kleinsten Theilchen vollkommen fest sein.

Um nun über den Zustand des unterkühlten Schwefels bei dieser Temperatur noch weiter Aufschluss zu erhalten, wollen wir die Frage erledigen, wie gross der Unterschied der Energien des festen und unterkühlten Schwefels bei dieser Temperatur ist. Erwärmen wir den natürlichen krystallisirten Schwefel, immer bei dem constanten Druck einer Atmosphäre, bis zum Schmelzpunkt, bringen wir ihn dann durch allmäliges Schmelzen in den Zustand des flüssigen Schwefels und kühlen wir ihn schliesslich bis -41.81° C. wieder ab, so wird die von Aussen

im Ganzen zugeführte Arbeit wegen des constanten Druckes gleich Null sein. Demnach ist der Energieunterschied lediglich gleich der gesammten von aussen zugeführten Wärme, also pro Masseneinheit gleich

$$A \int_{-41.81}^{115} c dt + A\Lambda - A \int_{-41.81}^{115} C dt = A\Lambda - A \int_{-41.81}^{115} (C - c) dt,$$

wo  $A$  das mechanische Äquivalent der Wärme und  $c$  die spezifische Wärme des festen Schwefels bedeutet.

Für die spezifische Wärme des festen Schwefels fanden Dulong und Petit die Zahl 0.188.

Regnault's frühere Versuche (mit geschmolzenem und erstarrtem Schwefel) lieferten 0.20259. Später erkannte derselbe den Einfluss der verschiedenen Zustände und besonders die Schwierigkeit, den Werth für den zwei- und eingliedrigen Schwefel zu bekommen. Er erhielt für

eben vorher geschmolzenen Schwefel.....	0.1844
geschmolzen, nach 2 Monaten.....	0.1803
»                    »    2 Jahren .....	0.1764
natürlich krystallisirten Schwefel .....	0.1776 (0.1764).

Die Temperaturgrenzen waren 15° und 97° C.

Bunsen fand mit dem Eiscalorimeter 0.1712.

Person wählte für sein empirisches Gesetz

$$\Lambda = (C - c)(\tau + 160),$$

in welchem  $\tau$  den Schmelzpunkt (115°) bedeutet, für  $c$  die Zahl 0.20259 und berechnete daraus

$$\Lambda = 0.03201 \times 275 = 8.803,$$

was der experimentell bestimmten Zahl 9.368 ziemlich nahe kommt. Hätte er aber die Regnault'schen Zahlen 0.1776 und 0.1764 oder den Bunsen'schen Werth 0.1712 benützt, so hätte er beziehungsweise die Zahlen 15.68, 16.00, 17.43 erhalten, welche mit dem experimentellen Ergebnisse entschieden nicht stimmen.

In dem Integral

$$\int_{-41.81}^{115} (C-c) dt$$

ist  $C-c$  eine Function der Temperatur. Da uns diese Function nicht bekannt ist, so wollen wir  $C-c$  vorläufig als constant annehmen und das Integral gleich

$$(C-c)(115+41.81) = (C-c) \times 156.81$$

setzen. Für  $C = 0.2346$  und  $c = 0.1776, 0.1764, 0.1712$  ergeben sich beziehungsweise die Werthe

$$8.938, \quad 9.126, \quad 9.942.$$

Vergleichen wir diese Zahlen mit dem experimentell gefundenen Werthe  $\Lambda = 9.368$ , so können wir sagen, dass bei der Temperatur  $-41.81^\circ \text{C.}$  der Unterschied der Energien, nämlich

$$A\Lambda - A \int_{-41.81}^{115} (C-c) dt$$

entweder  $= 0$  oder doch sehr klein ist. Wir erhalten also das folgende Resultat:

Wenn wir natürlichen krystallisirten Schwefel und unterkühlten flüssigen Schwefel bei dem constanten Druck einer Atmosphäre bis  $-41.81^\circ \text{C.}$  abkühlen, so erhalten beide das gleiche specifische Volumen und entweder gleiche oder doch sehr nahe gleiche Werthe der Energie.

Man könnte in Folge dieses Ergebnisses versucht sein, anzunehmen, dass bei  $-41.81^\circ \text{C.}$  die Zustände vollständig gleich sind, oder dass der flüssige Schwefel durch Unterkühlung bis  $-41.81^\circ \text{C.}$  allmählig in den Zustand des natürlichen krystallisirten Schwefels gebracht werden kann. Wäre diese Annahme richtig, dann wäre es möglich, nachdem der flüssige Schwefel bei der Unterkühlung die Temperatur  $-41.81^\circ \text{C.}$  erreicht hat, durch allmähliche Wärmezufuhr die Zustände des festen natürlichen Schwefels bis zum Schmelzpunkt zu erhalten, kurz, es wäre ein vollständiger Kreisprocess möglich und es müsste die bekannte Gleichung



$$\int \frac{dQ}{T} = 0$$

erfüllt sein. Diese Gleichung gibt aber

$$\Lambda = (273 + 115) \int_{-41.81}^{115} \frac{C-c}{273+t} dt.$$

Da nun die Gleichung

$$\Lambda = \int_{-41.81}^{115} (C-c) dt$$

entweder vollständig oder doch nahezu erfüllt ist, so müsste die Gleichung

$$\int_{-41.81}^{115} \frac{C-c}{273+115} dt = \int_{-41.81}^{115} \frac{C-c}{273+t} dt$$

entweder vollständig oder doch nahezu erfüllt sein, was nicht richtig ist.

Wir können also durch Unterkühlung nie die Zustände des natürlichen krystallisirten Schwefels erreichen, der aus dem flüssigen Schwefel durch die normale Erstarrung entsteht. Wird flüssiger Schwefel auf dem Wege der Unterkühlung fest, dann wird er amorph.

Ebenso wie den Schwefel könnte man auch andere Substanzen, wie Phosphor, Chlorcalcium, phosphorsaures Natron, unterschwefligsaures Natron etc. untersuchen, aber man erhält bei allen diesen Substanzen den Schnittpunkt der zwei erwähnten Curven bei Temperaturen, welche zwischen  $-100^{\circ}$  und  $-200^{\circ}$  C., also viel zu weit von jenen Temperaturintervallen liegen, in welchen die Ausdehnungsverhältnisse bestimmt worden sind. Aus diesem Grunde haben diese Temperaturzahlen gar keine Sicherheit. Auch beim Wasser ist es nicht möglich, aus den bekannten Ausdehnungsverhältnissen auf jene bei sehr tiefen Temperaturen zu schliessen.

---

## X. SITZUNG VOM 12. APRIL 1894.

---

Der Secretär legt das erschienene Heft VIII—X (October bis December 1893) des 102. Bandes, Abtheilung III der Sitzungsberichte vor, womit nun der Druck dieses Bandes in allen drei Abtheilungen vollendet ist.

Das Präsidium der Mathematischen Gesellschaft an der kaiserl. Universität in Moskau spricht den Dank aus für die Begrüßung dieser Gesellschaft zu ihrer 25jährigen Gründungsfeier.

Das c. M. Herr Director Th. Fuchs in Wien übersendet eine Abhandlung: »Über eine fossile *Halimeda* aus dem eocänen Sandsteine von Greifenstein«.

Herr Prof. Dr. L. Weinek, Director der k. k. Sternwarte in Prag, übermittelt weitere Fortsetzungen seiner neuesten Mondarbeiten.

Das w. M. Prof. Sigm. Exner legt eine Abhandlung von Herrn A. Kiesel in Wiesbaden vor, betitelt: »Untersuchungen zur Physiologie des facettirten Auges«.

---

## XI. SITZUNG VOM 19. APRIL 1894.

---

Herr Prof. Dr. Filippo Zamboni, Privatdocent an der k. k. technischen Hochschule in Wien, übersendet ein versiegeltes Schreiben behufs Wahrung der Priorität mit der Bezeichnung »Sterne«.

Das w. M. Herr Hofrath Prof. C. Toldt überreicht eine im anatomischen Institute der k. k. Universität in Wien ausgeführte Arbeit von Otto v. Aufschnaiter, betitelt: »Die Muskelhaut des menschlichen Magens«.

Das w. M. Hofrath Prof. Ad. Lieben überreicht eine in seinem Laboratorium ausgeführte Arbeit von Dr. Konrad Natterer: »Chemische Untersuchungen im östlichen Mittelmeer« (IV. Abhandlung) als ein Ergebniss der IV., während des Sommers 1893 im ägäischen Meer stattgefundenen Tiefsee-Expedition S. M. Schiffes »Pola« (Schlussbericht).

Ferner überreicht Herr Hofrath Lieben drei weitere Arbeiten aus seinem Laboratorium, und zwar:

1. »Über die Oxydation normaler fester Säuren«, von Robert Margulies.
  2. »Über eine Synthese von Chinolin«, von Dr. Victor Kulisch.
  3. »Über elektrolytische Bestimmung der Halogene«, von Dr. G. Vortmann.
-

**SITZUNGSBERICHTE**  
**DER**  
**KAISERLICHEN AKADEMIE DER WISSENSCHAFTEN.**

---

**MATHEMATISCH - NATURWISSENSCHAFTLICHE CLASSE.**

---

**CIII. BAND. V. HEFT.**

---

**ABTHEILUNG II. a.**

**ENTHÄLT DIE ABHANDLUNGEN AUS DEM GEBIETE DER MATHEMATIK, ASTRONOMIE,  
PHYSIK, METEOROLOGIE UND DER MECHANIK.**

---



## XII. SITZUNG VOM 4. MAI 1894

---

Der Secretär legt das erschienene Heft III (März 1894) des 15. Bandes der Monatshefte für Chemie vor.

Das w. M. Herr Regierungsrath Prof. E. Mach übersendet eine Abhandlung von Prof. Dr. G. Jaumann in Prag: »Zur Kenntniss des Ablaufes der Lichtemission«.

Das w. M. Herr Prof. L. Pfaundler übersendet eine Arbeit aus dem physikalischen Institute der k. k. Universität in Graz von Prof. Dr. F. Streintz: »Über die thermochemischen Vorgänge im Secundärelemente«.

Das c. M. Herr Regierungsrath Prof. C. Freiherr v. Ettingshausen in Graz übersendet eine Abhandlung: »Zur Theorie der Entwicklung der jetzigen Floren der Erde aus der Tertiärflora«.

Das c. M. Herr emerit. Prof. M. Willkomm übersendet zwei Arbeiten von Dr. Wilhelm Sigmund in Prag, betitelt:

1. »Einfluss des Magnetismus auf das Pflanzenwachsthum« (Vorläufige Mittheilung);
2. »Über die Wirkung gasförmiger, flüssiger und fester Körper auf die Keimung«.

Herr P. C. Puschl, Stiftscapitular in Seitenstetten, übersendet eine Abhandlung, betitelt: »Folgerungen aus Amagat's Versuchen«.

Herr Max Jüllig, dipl. Ingenieur und Privatdocent an der k. k. technischen Hochschule in Wien, übersendet eine Abhandlung mit dem Titel: »Über die Gestalt der Kraftlinien eines magnetischen Drehfeldes«.

Herr Alfred J. Ritter v. Dutczyński in Wien übersendet ein versiegeltes Schreiben behufs Wahrung der Priorität mit der Aufschrift: »Beschreibung und Begründung einer Neuerung an Bremsen«.

Das w. M. Herr Hofrath Prof. C. Claus überreicht eine Mittheilung: »Über die Herkunft der die Chordascheide der Haie begrenzenden äusseren Elastica«.

Das w. M. Herr Hofrath Prof. Ad. Lieben überreicht zwei von Herrn Professor Dr. Guido Goldschmiedt übersendete Arbeiten aus dem chemischen Laboratorium der k. k. deutschen Universität in Prag:

1. »Über das Scoparin.« (II. Abhandlung), von G. Goldschmiedt und F. v. Hemmelmayr.
2. »Notiz über das Verhalten des Trimethylgallussauren Calciums bei der trockenen Destillation«, von stud. phil. Hugo Arnstein.

Ferner überreicht Herr Hofrath Lieben eine in seinem Laboratorium ausgeführte Arbeit: »Synthese des Isochinolins und seiner Derivate« I., von Dr. C. Pomeranz.

Das w. M. Herr Hofrath Prof. V. v. Lang überreicht eine Abhandlung von Herrn Regierungsrath Director Dr. J. M. Eder und E. Valenta in Wien unter dem Titel: »Absorptionsspectren von farblosen und gefärbten Gläsern mit Berücksichtigung des Ultraviolett«.

Herr Prof. Dr. Ed. Lippmann in Wien überreicht eine von ihm in Gemeinschaft mit Herrn F. Fleissner ausgeführte Arbeit: »Über den Einfluss verdünnter Salzsäure auf Chinabasen.«

### XIII. SITZUNG VOM 10. MAI 1894.

---

Die Schriftleitung der 66. Versammlung deutscher Naturforscher und Ärzte zeigt an, dass diese Versammlung vom 24. bis 30. September l. J. in Wien tagen wird und laden die Mitglieder der kaiserlichen Akademie zur Theilnahme an derselben ein.

Herr Prof. Em. Czuber an der k. k. technischen Hochschule in Wien übersendet eine von dem verewigten w. M. Herrn Hofrath Prof. Emil Weyr entworfene und ihm vor dessen Ableben zur Ausfertigung übertragene Arbeit: »Über einen symbolischen Calcul auf Trägern vom Geschlechte Eins und seine Anwendung«.

Das c. M. Herr Hofrath Prof. E. Ludwig in Wien übersendet folgende zwei Arbeiten aus dem chemischen Laboratorium der k. k. technischen Hochschule in Graz:

1. »Über die Einwirkung des Stickoxydes auf einige Metalle«, von Prof. F. Emich.
2. »Über Stickstoffverbindungen des Mangans«, von O. Prelinger.

Ferner übersendet Herr Hofrath Ludwig eine von den Herren Prof. Dr. J. Mauthner und Prof. Dr. W. Suida ausgeführte Arbeit: »Beiträge zur Kenntniss des Cholesterins (II. Abhandlung)«.

Herr Prof. Dr. G. Haberlandt in Graz übersendet »Anatomisch-physiologische Untersuchungen über das tropische Laubblatt. II. Über wassersecernirende und -absorbirende Organe«.



Herr Prof. Dr. R. v. Lendenfeld in Czernowitz übersendet eine Abhandlung, betitelt: »Eine neue *Pachastrella*«.

Der Secretär legt zwei versiegelte Schreiben behufs Wahrung der Priorität von Herrn Karl Moser in Wien vor, welche folgende Aufschriften führen:

1. »Chemische Mittel zur Vertilgung der Reblaus und anderer schädlicher Insecten.«
2. »Selbstwirkender Sicherheitsbrems-Klotz bei minderm Kraftverbrauch.«

Das c. M. Herr Prof. L. Gegenbauer in Wien überreicht eine Abhandlung, betitelt: »Einige Bemerkungen zum quadratischen Reciprocitätsgesetze«.

Der k. u. k. Linienschiffslieutenant Herr August Gratzl überreicht im Auftrage des k. u. k. Reichs-Kriegs-Ministeriums (Marine-Section) einen Bericht über die im Sommer 1892 auf dem französischen Transportavisodampfer »Manche« unter dem Commando des Linienschiffscapitäns Amédée Bienaymé unternommene Reise von Edinburgh nach Jan Mayen, Spitzbergen und Tromsö, welche den Besuch der ehemaligen österreichischen arktischen Beobachtungsstation im Wilczekthale auf Jan Mayen und die wissenschaftliche Erforschung eines Theiles von Spitzbergen zum Zwecke hatte.

**Selbständige Werke oder neue, der Akademie bisher nicht zugekommene Periodica sind eingelangt:**

Haberlandt G., Eine botanische Tropenreise, indo-malayische Vegetationsbilder und Reiseskizzen. (Mit 51 Abbildungen.) Leipzig, 1893; 8<sup>o</sup>.

— Über die Ernährung der Keimlinge und die Bedeutung des Endosperms bei viviparen Mangrovepflanzen. Leyden, 1893; 8<sup>o</sup>.

# Einige Bemerkungen zum quadratischen Reciprocitätsgesetze

von

**Leopold Gegenbauer,**

c. M. k. Akad.

Da

$$[2\alpha] = 2[\alpha] + \begin{cases} 0 \\ 1 \end{cases}$$

ist, je nachdem

$$\alpha - [\alpha] < \frac{1}{2}$$

ist oder nicht, so ist die durch das verallgemeinerte Gaussische Lemma definirte charakteristische Zahl  $(m, n)$  einer ganzen Zahl  $m$  in Bezug auf eine zu derselben theilerfremde ungerade Zahl  $n$  durch die Gleichung

$$(m, n) = \sum_{x=1}^{x=\frac{n-1}{2}} \left\{ \left[ \frac{2xm}{n} \right] - 2 \left[ \frac{xm}{n} \right] \right\} \quad \text{I.)}$$

gegeben, welche sofort zu der wiederholt benützten Relation

$$\left( \frac{m}{n} \right) = (-1)^{\sum_{x=1}^{x=\frac{n-1}{2}} \left[ \frac{2xm}{n} \right]} \quad \text{II.)}$$

führt. Auf dieser Darstellung des Legendre-Jacobi'schen Symbols beruht u. A. der dritte Gaussische Beweis des quadratischen Reciprocitätsgesetzes für zwei ungerade Prim-

zahlen, welchen die Herren L. Kronecker<sup>1</sup> und E. Schering<sup>2</sup> wesentlich vereinfachten, indem sie auf dem Gaussischen Gedankengange fussend, in verschiedener Weise zeigten, dass das Zeichen  $\left(\frac{m}{n}\right)$  durch das interessante Kronecker'sche Vorzeichenproduct darstellbar ist. Die Factoren dieses, sowie mehrerer anderer von mir<sup>3</sup> zum Beweise des Reciprocitätsgesetzes benutzten Producte sind alternirende Functionen der ganzen Zahlen  $m$  und  $n$ , wesshalb die aus ihnen gebildeten Ausdrücke unmittelbar die Reciprocitätseigenschaft des Symbols erkennen lassen; man kann aber auch durch Benützung von Zeichenproducten, welche die erwähnte Eigenschaft nicht besitzen, auf einem nicht minder einfachen Wege zum Fundamentaltheorem in der Theorie der quadratischen Reste gelangen, was meines Wissens bisher noch nicht gezeigt wurde.

Der oben angeführte Ausdruck für das Symbol  $\left(\frac{m}{n}\right)$  führt nun ungemein leicht zu einem derartigen Beweise, welcher zunächst in den folgenden Zeilen mitgetheilt werden soll; hierauf werden aus der im Anfange angegebenen Darstellung der charakteristischen Zahl zwei von Herrn E. Schering in seiner im ersten Bande der Acta mathematica enthaltenen bemerkenswerthen Abhandlung »Zur Theorie der quadratischen Reste« aufgestellte Theoreme, welche von Herrn H. Schmidt bei seinem dritten Beweise des quadratischen Reciprocitätsgesetzes<sup>4</sup> neuerdings abgeleitet wurden, in sehr einfacher Weise erschlossen.

---

<sup>1</sup> »Über den dritten Gaussischen Beweis des Reciprocitätsgesetzes für die quadratischen Reste«. Sitzungsberichte der königl. preussischen Akademie der Wissenschaften zu Berlin, 1884. — »Bemerkung zu Herrn Ernst Schering's Mittheilung«. A. e. a. O., 1885.

<sup>2</sup> »Über den dritten Gaussischen Beweis des Reciprocitätssatzes für die quadratischen Reste«. A. e. a. O., 1885.

<sup>3</sup> »Über das quadratische Reciprocitätsgesetz«. Diese Sitzungsberichte, 90. Band. — »Über das Symbol  $\left(\frac{m}{n}\right)$ «. A. e. a. O., 92. Band.

<sup>4</sup> »Drei neue Beweise des Reciprocitätsgesetzes in der Theorie der quadratischen Reste«. Journal für die reine und angewandte Mathematik von L. Fuchs, 112. Band.

Zum Schlusse wird ein von Herrn J. Schröder<sup>1</sup> im vierten Hefte des dritten Bandes der Mittheilungen der mathematischen Gesellschaft in Hamburg bewiesener arithmetischer Satz durch ein äusserst einfaches Verfahren abgeleitet und vervollständigt.

1. Beachtet man, dass

$$\sum_{x=1}^{x=\frac{n-1}{2}} \left[ \frac{2xm}{n} \right] = \sum_{x,y=1}^{x=\frac{n-1}{2}, y=m-1} \varepsilon \left( \frac{2xm}{yn} \right)$$

und demnach gleich der Anzahl der ganzzahligen positiven Werthepaare  $x, y$  ist, für welche  $yn-2xm$  negativ wird, so kann man die Relation II auch in folgender Gestalt schreiben

$$\left( \frac{m}{n} \right) = \text{sign. } \overline{[x,y]} \left( \frac{y}{m} - \frac{2x}{n} \right) \quad \text{III.)}$$

$$\left( x = 1, 2, \dots, \frac{n-1}{2}; y = 1, 2, \dots, m-1 \right)$$

oder auch, falls  $m$ , wie in den folgenden Entwicklungen vorausgesetzt wird, ungerade ist

$$\left( \frac{m}{n} \right) = \text{sign. } \overline{[x,y]} \left( \frac{2x}{n} - \frac{y}{m} \right) \quad \text{IV.)}$$

$$\left( x = 1, 2, \dots, \frac{n-1}{2}; y = 1, 2, \dots, m-1 \right),$$

da in diesem Falle die Anzahl der Factoren des auf der rechten Seite der Gleichung stehenden Productes gerade ist.

Die letzte Gleichung liefert, wie hier nebenbei bemerkt werden mag, unmittelbar die von Herrn E. Lucas<sup>2</sup> für zwei ungerade Primzahlen und von mir<sup>3</sup> allgemein bewiesene Relation

<sup>1</sup> »Einige Sätze über Theileranzahlen, sowie einige Anwendungen der Geometrie auf die Zahlentheorie«.

<sup>2</sup> »Sur la loi de réciprocité des residus quadratiques«. Bulletin de l'académie impériale des sciences de St. Pétersbourg. Nouvelle série, t. I, 1890.

<sup>3</sup> »Note über das Legendre-Jacobi'sche Symbol«. Diese Sitzungsberichte, 100. Band.

$$\left(\frac{m}{n}\right) = (-1)^{\sum_{y=1}^{y=m-1} \left[\frac{yn}{2m}\right]}.$$

Schreibt man die Formel IV.) in der Gestalt

$$\begin{aligned} \left(\frac{m}{n}\right) &= \text{sign. } \overline{[x, y]} \left(\frac{2x}{n} - \frac{2y}{m}\right) \left(\frac{2x}{n} - \frac{2y-1}{m}\right) \\ &\quad \left(x = 1, 2, \dots, \frac{n-1}{2}; y = 1, 2, \dots, \frac{m-1}{2}\right) \\ &= \text{sign. } \overline{[x, y]} \left(\frac{x}{n} - \frac{2y}{m}\right). \quad \text{V.)} \\ &\quad \cdot \text{sign. } \overline{[x, y]} \left(\frac{2\xi}{n} - \frac{2y-1}{m}\right) \left(\frac{2\xi-1}{n} - \frac{2y}{m}\right) \\ &\quad \left(x = 1, 2, \dots, n-1; \xi = 1, 2, \dots, \frac{n-1}{2}; y = 1, 2, \dots, \frac{m-1}{2}\right), \end{aligned}$$

so ergibt sich aus derselben nach III.) sofort die Relation

$$\begin{aligned} \left(\frac{m}{n}\right) &= \left(\frac{n}{m}\right) \text{sign. } \overline{[x, y]} \left(\frac{2x}{n} - \frac{2y-1}{m}\right) \left(\frac{2x-1}{n} - \frac{2y}{m}\right) \\ &\quad \left(x = 1, 2, \dots, \frac{n-1}{2}; y = 1, 2, \dots, \frac{m-1}{2}\right) \end{aligned}$$

durch welche das quadratische Reciprocitätsgesetz ausgesprochen wird.

Berücksichtigt man, dass die eine der zwei Differenzen

$$\frac{2x}{n} - \frac{2y-1}{m}, \quad \frac{2x-1}{n} - \frac{2y}{m}$$

in das Negative der anderen übergeht, wenn man  $2x, 2y-1$  durch  $n-(2x-1), m-2y$ , beziehungsweise  $2x-1, 2y$  durch  $n-2x, m-(2y-1)$  ersetzt, so erkennt man, dass

$$\begin{aligned} \text{sign. } \overline{[x, y]} \left(\frac{2x}{n} - \frac{2y-1}{m}\right) \left(\frac{2x-1}{n} - \frac{2y}{m}\right) &= (-1)^{\frac{m-1}{2} \cdot \frac{n-1}{2}} \\ &\quad \left(x = 1, 2, \dots, \frac{n-1}{2}; y = 1, 2, \dots, \frac{m-1}{2}\right) \end{aligned}$$

ist, wodurch die Reciprocitätsgleichung in die gewöhnliche Form übergeführt wird.

Aus der letzten Gleichung folgt unmittelbar die Relation

$$\sum_{x=1}^{x=\frac{n-1}{2}} \left[ \frac{xm}{n} + \frac{1}{2} \right] \equiv \frac{m-1}{2} \cdot \frac{n-1}{2} + \sum_{x=1}^{x=\frac{m-1}{2}} \left[ \frac{(2x-1)n}{2m} \right] \pmod{2},$$

welche wegen der bekannten Formel

$$\sum_{x=1}^{x=\frac{n-1}{2}} \left[ \frac{xm}{n} + \frac{1}{2} \right] \equiv 0 \pmod{2}$$

zu der von Herrn Busche<sup>1</sup> ohne Beweis mitgetheilten und von den Herren A. Stern<sup>2</sup> und L. Kronecker<sup>3</sup> bewiesenen Beziehung

$$\sum_{x=1}^{x=\frac{m-1}{2}} \left[ \frac{(2x-1)n}{2m} \right] \equiv \frac{m-1}{2} \cdot \frac{n-1}{2} \pmod{2}$$

führt.

Schreibt man in dem auf der rechten Seite des ersten Theiles der Doppelgleichung V.) vorkommenden Ausdrücke  $\frac{2x}{n} - \frac{2y}{m}$  für  $2x : n - (2x-1)$  und für  $2y : m - (2y-1)$ , so entsteht die Beziehung

$$\left( \frac{m}{n} \right) = \text{sign.} \left[ x, y \right] \left( \frac{2y-1}{m} - \frac{2x-1}{n} \right) \left( \frac{2x}{n} - \frac{2y-1}{m} \right) \quad \text{VI.)}$$

$$\left( x = 1, 2, \dots, \frac{n-1}{2}; y = 1, 2, \dots, \frac{m-1}{2} \right),$$

<sup>1</sup> Festschrift, herausgegeben von der mathematischen Gesellschaft in Hamburg. Leipzig, 1890.

<sup>2</sup> »Zur Theorie der Function  $Ex\alpha$ . Journal für die reine und angewandte Mathematik von Kronecker, 106. Band.

<sup>3</sup> »Bemerkungen über die von Gauss mit  $[x]$  bezeichnete arithmetische Function einer reellen Grösse  $x\alpha$ . A. e. a. O.

welche zeigt, dass

$$\text{sign. } \prod_{x,y} \left( \frac{x}{n} - \frac{y}{m} \right) \left( \frac{2y-1}{m} - \frac{2x-1}{n} \right) = (-1)^{\frac{m-1}{2} \cdot \frac{n-1}{2}}$$

$$\left( x = 1, 2, \dots, \frac{n-1}{2}; y = 1, 2, \dots, \frac{m-1}{2} \right),$$

oder also

$$\sum_{x=1}^{x=\frac{m-1}{2}} \left[ \frac{xn}{m} \right] \equiv \frac{m-1}{2} \cdot \frac{n-1}{2} + \sum_{x=1}^{x=\frac{m-1}{2}} \left[ \frac{(2x-1)n}{2m} + \frac{1}{2} \right] \pmod{2}$$

ist, welche Relation einen neuerlichen Beweis des quadratischen Reciprocitätsgesetzes enthält.

Wird die Gleichung VI.) in der Gestalt

$$\left( \frac{m}{n} \right) = \text{sign. } \prod_{x,y} \left( \frac{y}{m} - \frac{2x-1}{n} \right) \cdot \text{sign. } \prod_{x,y} \left( \frac{2\eta}{m} - \frac{2x-1}{n} \right) \left( \frac{2x}{n} - \frac{2\eta-1}{m} \right)$$

$$\left( x = 1, 2, \dots, \frac{m-1}{2}; \eta = 1, 2, \dots, \frac{m-1}{2}; y = 1, 2, \dots, m-1 \right)$$

geschrieben, so ersieht man unmittelbar, dass

$$\left( \frac{m}{n} \right) = \text{sign. } \prod_{x,y} \left( \frac{y}{m} - \frac{2x-1}{n} \right) \left( y = 1, 2, \dots, m-1; x = 1, 2, \dots, \frac{n-1}{2} \right)$$

$$= \text{sign. } \prod_{x,y} \left( \frac{2x-1}{n} - \frac{y}{m} \right) \left( x = 1, 2, \dots, \frac{n-1}{2}; y = 1, 2, \dots, m-1 \right)$$

$$= (-1)^{\sum_{x=1}^{x=\frac{n-1}{2}} \left[ \frac{(2x-1)n}{m} \right]}$$

$$= (-1)^{\sum_{x=1}^{x=m-1} \left[ \frac{xn}{2m} + \frac{1}{2} \right]}$$

ist, welche Relationen auf einem dem oben eingeschlagenen analogen Wege zum Fundamentaltheoreme der Theorie der quadratischen Reste führen würden.

Die letzten Entwicklungen zeigen deutlich den innigen Zusammenhang, welcher zwischen einer Reihe von bekannten Darstellungen des Legendre-Jacobi'schen Symbols besteht.

2. Vereinigt man alle Glieder des auf der rechten Seite der Gleichung I.) stehenden Ausdruckes, in denen der grösste gemeinsame Theiler von  $x$  und  $n$  gleich  $\delta$  ist, so ist deren Summe offenbar gleich

$$(m, \delta)' = \sum_{\lambda} \left\{ \left[ \frac{2r_{\lambda}m}{\delta'} \right] - 2 \left[ \frac{r_{\lambda}m}{\delta'} \right] \right\},$$

wo

$$\delta\delta' = n$$

und die Summation nach  $r_{\lambda}$  über alle dem Intervalle  $1 \dots \frac{\delta'}{2}$  angehörigen, zu  $\delta'$  theilerfremden ganzen Zahlen auszudehnen ist. Die Relation I verwandelt sich daher sofort in die folgende von den Herren Schering und Schmidt ermittelte Beziehung

$$(m, n) = \sum_{\delta} (m, \delta)',$$

in welcher die Summation nach  $\delta$  über alle die Einheit übersteigenden Theiler von  $n$  zu erstrecken ist, da  $x$  in I.)  $\frac{n}{2}$  nicht überschreiten kann.

Bei ungeradem  $\delta'$  folgt aus der Gleichung

$$2r_{\lambda}m = \delta' \left[ \frac{2r_{\lambda}m}{\delta'} \right] + \varepsilon_{\lambda} \quad (0 \leq \varepsilon_{\lambda} < \delta'),$$

dass für ein gerades  $\left[ \frac{2r_{\lambda}m}{\delta'} \right]$  die Beziehung

$$\varepsilon_{\lambda} = 2r_{\mu}$$



stattfindet, während bei einem ungeraden  $\left[ \frac{2r_\lambda m}{\delta'} \right]$

$$\delta' - \varepsilon_\lambda = 2r_\mu$$

ist, so dass also allgemein

$$2r_\lambda m \equiv (-1)^{\left[ \frac{2r_\lambda m}{\delta'} \right]} 2r_\mu \pmod{\delta'} \quad \text{VII.)}$$

wird. Da aus der Verbindung dieser mit der Congruenz

$$2r_\sigma m \equiv (-1)^{\left[ \frac{2r_\sigma m}{\delta'} \right]} 2r_\mu \pmod{\delta'}$$

sich die absurde Congruenz

$$r_\lambda \pm r_\sigma \equiv 0 \pmod{\delta'}$$

ergeben würde, so folgt aus VII.) die Beziehung

$$m^{\frac{\varphi(\delta')}{2}} \equiv (-1)^{\sum_\lambda \left[ \frac{2r_\lambda m}{\delta'} \right]} \pmod{\delta'}$$

und daher nach dem verallgemeinerten Fermat'schen Satze einerseits für ein mindestens zwei Primtheiler besitzendes  $\delta'$

$$\sum_\lambda \left[ \frac{2r_\lambda m}{\delta'} \right] \equiv 0 \pmod{2},$$

andererseits für jeden ganzzahligen positiven Werth von  $\alpha$

$$\sum_\lambda \left[ \frac{2r'_\lambda m}{p^\alpha} \right] \equiv \sum_\mu \left[ \frac{2r_\mu m}{p} \right] \pmod{2},$$

wenn  $p$  eine Primzahl ist und die Zahlen  $r'_\lambda, r_\mu$  alle durch  $p$  nicht theilbaren ganzen Zahlen des Intervalles  $1 \dots \frac{p^\alpha}{2}$ , beziehungsweise  $1 \dots \frac{p}{2}$  durchlaufen.

Es ist demnach die charakteristische Zahl  $(m, n)$  nach dem Modul 2 der Anzahl derjenigen Primtheiler von  $n$  congruent, welche bei der Darstellung von  $n$  durch ein Product von Prim-

zahlpotenzen mit einem ungeraden Exponenten versehen sind und von denen überdies  $m$  quadratischer Nichtrest ist. Dies ist im Wesentlichen der zweite von den oben erwähnten Schering-Schmidt'schen Sätzen.

3. Herr J. Schröder hat in dem anfänglich citirten Aufsatze folgenden Satz durch Specialisirung aus einem allgemeineren Theoreme gewonnen.

Bezeichnet  $\psi_{vr+s}(a, b)$  die Anzahl derjenigen Theiler von  $a$ , welche grösser als  $b$  sind und einen complementären Divisor der Form  $vr+s$  besitzen, ist ferner  $\chi\left(\frac{n-\lambda r}{s}\right)$  die Anzahl derjenigen ganzzahligen nicht negativen Werthe von  $\lambda$ , für welche  $\frac{n-\lambda r}{s}$  eine positive ganze Zahl ist, so besteht die Relation

$$\sum_{\rho=0}^{\rho=\left[\frac{n}{r}\right]} \psi_{vr+s}(n-r\rho, \rho) = \chi\left(\frac{n-\lambda r}{s}\right).$$

Dieser Satz lässt sich ungemein einfach erhärten. Die Function  $\psi_{vr+s}(n-r\rho, \rho)$  kann nach ihrer Definition auch als die Anzahl derjenigen  $\rho$  überschreitenden ganzen Zahlen  $t$  aufgefasst werden, welche die Gleichung

$$n = r(vt + \rho) + ts$$

befriedigen; die auf der linken Seite der Schröder'schen Relation stehende Summe ist demnach die Anzahl derjenigen Zerlegungen von  $n$  in die zwei Elemente  $r$  und  $s$ , bei denen der Coëfficient von  $s$  von Null verschieden ist oder also gleich der Gesamtanzahl der Zerlegungen von  $n-t$  in die genannten Elemente. Dieselbe ist aber nach einem bekannten Satze aus den Elementen der Zahlentheorie gleich  $\left[\frac{n}{rs} - \frac{1}{r}\right] + \eta$ , wo  $\eta$  den Werth 1 oder 0 hat, je nachdem  $n-s-rs\left[\frac{n}{rs} - \frac{1}{r}\right]$  aus den Zahlen  $r$  und  $s$  additiv erzeugt werden kann, oder nicht. Man hat daher unmittelbar die Gleichung

$$p = \left[ \frac{n}{r} \right] \\ \sum_{r=0} \psi_{rv+s}(n-rp, p) = \left[ \frac{n}{rs} - \frac{1}{r} \right] + \eta.$$

Die von Herrn Schröder angeführten speciellen Fälle  $s = 1$ ,  $r = s = 1$ ,  $r = 1$ , welche er auch auf geometrischem Wege beweist, und deren zweiter schon vordem von Herrn Lerch ermittelt wurde, ergeben sich unmittelbar aus dieser Formel, da in diesen Fällen offenbar  $\eta = 1$  ist.

---

# Zur Theorie der partiellen Differentialgleichungen erster Ordnung

von

Prof. Emanuel Czuber.

(Vorgelegt in der Sitzung am 5. April 1894.)

Die folgenden Mittheilungen suchen die Anwendung eines neuen Begriffes in der Theorie der partiellen Differentialgleichungen erster Ordnung, zunächst zwischen drei Variabeln, zu zeigen, der sich aus naturgemässer Fortentwicklung eines Gedankens ergibt, welchen wir in einer früheren Abhandlung<sup>1</sup> für gewöhnliche Differentialgleichungen ausgeführt haben, und geeignet scheint, die Anschaulichkeit der geometrischen Interpretation oben genannter Gleichungen zu fördern. Es handelt sich um Folgendes. Einem von zwei wesentlichen Parametern abhängigen System von Flächen ist eine partielle Differentialgleichung erster Ordnung zugeordnet; wenn man in dieser die Differentialquotienten  $p, q$  als Parameter auffasst, so stellt sie wieder ein System von  $\infty^2$  Flächen dar, welches wir das abgeleitete System des ersten nennen. Der Zusammenhang beider Systeme soll nun in zweifacher Richtung verwerthet werden. Im ersten Abschnitte wird nach allgemeinen Bemerkungen ein Gedankengang skizzirt, welcher zeigt, wie man mit Hilfe jenes Begriffes die vollständigen von Darboux<sup>2</sup> gefundenen Bedingungen gewinnen kann, denen die singuläre Lösung einer vorgelegten partiellen Differentialgleichung zu

<sup>1</sup> Über Curvensysteme und die zugehörigen Differentialgleichungen. Diese Sitzungsber., Bd. 102, Abth. II. a.

<sup>2</sup> Sur les solutions singulières des équations aux dérivées partielles du premier ordre. Mém. prés. par div. savants à l'Acad. des sciences, t. XXVII. 2<sup>me</sup> sér.

genügen hat. Der zweite Abschnitt befasst sich mit der Anwendung des Begriffes des abgeleiteten Systems auf die Behandlung gewisser Formen partieller Differentialgleichungen.

Übrigens lassen sich die nachfolgenden Betrachtungen und ihre Resultate unter Benützung des Sprachgebrauches, wie er für den mehrdimensionalen Raum ausgebildet worden ist, ohne Schwierigkeit auf partielle Differentialgleichungen mit beliebig vielen Variablen ausdehnen.

## I.

## 1. Durch die Gleichung

$$V(x, y, z, a, b) = 0 \quad (1)$$

worin  $a, b$  unabhängige veränderliche Parameter bedeuten, sind  $\infty^4$  Elemente<sup>1</sup> des Raumes  $R_3$  bestimmt, deren Coordinaten  $x, y, z, p, q$  der Gleichung genügen, welche aus (1) und den beiden Gleichungen

$$\frac{\partial V}{\partial x} + \frac{\partial V}{\partial z} p = 0, \quad \frac{\partial V}{\partial y} + \frac{\partial V}{\partial z} q = 0$$

mittels Elimination von  $a, b$  erhalten wird und heissen möge

$$F(x, y, z, p, q) = 0. \quad (2)$$

Die beiden Darstellungen, welche diesen  $\infty^4$  Elementen durch die Gleichung (1) einerseits und die Gleichung (2) andererseits gegeben sind, unterscheiden sich wesentlich von einander, und zwar in folgender Weise.

In (1) sind je  $\infty^2$  Träger<sup>2</sup>  $x, y, z$  zu einer Fläche, die durch ein festes Werthepaar  $a, b$  charakterisirt ist, derart zusammengefasst, dass die zugehörigen Elemente eine Elementmannigfaltigkeit bilden, d. h. dass jede zwei benachbarte Elemente vereinigt liegen, oder der Pfaff'schen Gleichung

$$dz - p dx - q dy = 0 \quad (3)$$

genügen.

<sup>1</sup> Für diesen und andere im Folgenden angewandte Begriffe vergl. Lie, Theorie der Transformationsgruppen, Bd. II, Kap. 4.

<sup>2</sup> Wir bezeichnen den Punkt  $x, y, z$  als den Träger,  $p, q$  als die Stellscoefficienten des Elementes  $x, y, z, p, q$ .

In (2) sind je  $\infty^2$  Träger  $x, y, z$  zu einer Fläche, die durch ein festes Werthe paar  $p, q$  charakterisirt ist, derart verbunden, dass die zugehörigen Elemente parallel liegen.

Der Übergang von der ersten Anordnung zur zweiten erfordert analytisch Differentiations- und Eliminationsprocesse; geometrisch wird, wenn die Anordnung (1) gegeben ist, ein Individuum des Flächensystems (2) erhalten, indem man an die Flächen des Systems (1) alle möglichen Tangentialebenen einer bestimmten Stellung  $p, q$  legt; ihre Berührungspunkte haben als Ort eine einzelne Fläche von (2).

Der Übergang von der zweiten als gegeben vorausgesetzten Anordnung zur ersten wird als Integration der Differentialgleichung (2), die Gleichung (1) im Sinne von Lagrange als ein vollständiges Integral von (2) bezeichnet; allgemein gefasst, geht das Problem der Integration dahin, aus der durch die Gleichung (2) gegebenen Schaar von  $\infty^4$  Elementen alle Elementmannigfaltigkeiten zweifach unendlicher Ausdehnung zu finden; der Ort der Träger einer solchen Mannigfaltigkeit wird eine Integralfäche genannt.

In den folgenden Betrachtungen wollen wir den Zusammenhang der beiden Flächensysteme (1) und (2) kurz dadurch ausdrücken, dass wir das System (1) als das ursprüngliche, (2) als das abgeleitete bezeichnen.

Um ein einfaches Beispiel anzuführen, sei das ursprüngliche System jene Schaar von Kugeln, welche über den zur  $z$ -Axe parallelen Sehnen einer gegebenen Kugel vom Radius  $r$  und dem Mittelpunkte  $O$  als Durchmessern beschrieben werden; ihre Gleichung ist

$$(x-a)^2 + (y-b)^2 + z^2 = r^2 - a^2 - b^2;$$

eliminiert man zwischen dieser und den beiden Gleichungen

$$x-a+pz=0$$

$$y-b+qz=0$$

die Parameter  $a, b$ , so erhält man als Gleichung des abgeleiteten Systems

$$x^2 + y^2 + (1 + 2p^2 + 2q^2)z^2 + 2pxz + 2qyz = r^2;$$

es ist dies ein System von concentrischen Ellipsoiden, welche den Kreis  $z = 0$ ,  $x^2 + y^2 = r^2$  gemein haben.

2. Durch einen Punkt  $x, y, z$  von  $R_3$  gehen  $\infty^1$  Flächen des Systems (1), ihre Tangentialebenen in dem gedachten Punkte hüllen einen Kegel ( $T$ ) ein und bestimmen mit dem Punkte zusammen jene  $\infty^1$  Elemente, welche ihn zum gemeinsamen Träger haben.

Durch denselben Punkt gehen aber auch  $\infty^1$  Flächen des Systems (2) und die eben erwähnten Tangentialebenen vermitteln eine im Allgemeinen eindeutige Zuordnung der Flächen aus (1) und (2).

Einer Ebene  $E$ , deren Stellungscoefficienten  $p, q$  sein mögen, entspricht eine bestimmte Fläche aus dem System (2); der Schnitt beider ist eine Curve ( $C$ ), der Ort der Träger aller Elemente, deren gemeinsame Ebene  $E$  ist, mit anderen Worten gesagt, der Ort der Berührungspunkte aller die Ebene  $E$  tangirenden Integralflächen der Differentialgleichung (2).

Man kann diesen Zusammenhang auch in folgender Weise ausdrücken. Jeder Fläche des Systems (2) ist eine Stellung  $p, q$  im Raume  $R_3$  zugeordnet, und jede Ebene dieser Stellung schneidet die Fläche im Allgemeinen nach einer Curve ( $C$ ), dem Ort der Berührungspunkte aller die Ebene tangirenden Integralflächen. Geschieht es, dass die Ebene die ihr zugeordnete Fläche berührt, so reducirt sich die Curve ( $C$ ) auf einen Punkt; wir werden später gerade auf diesen Fall zurückzuweisen haben.

### 3. Existirt eine Fläche

$$\Sigma(x, y, z) = 0 \quad (4)$$

von solcher Art, dass durch jeden ihrer Punkte eine Fläche des Systems (1) geht, welche mit ihr daselbst gemeinsame Tangentialebene hat, so soll die Fläche  $\Sigma$  als Einhüllende des Systems (1) definirt werden.

Man kann (4) aus (1) hervorgehen lassen, indem man hier für  $a, b$  passend gewählte Functionen von  $x, y, z$  einträgt; welchen Bedingungen diese zu genügen haben, ergibt sich aus der eben aufgestellten Definition von  $\Sigma$ . Ist nämlich  $x, y, z$  ein Punkt von  $\Sigma$ , und  $V(a, b) = 0$  die durch ihn gehende Fläche

des Systems (1) von der in der Definition bezeichneten Art, so muss ihre Tangentialebene

$$(\xi-x) \frac{\partial V}{\partial x} + (\eta-y) \frac{\partial V}{\partial y} + (\zeta-z) \frac{\partial V}{\partial z} = 0$$

zusammenfallen mit der Tangentialebene an  $\Sigma$ , deren Gleichung lautet

$$\begin{aligned} (\xi-x) \left[ \frac{\partial V}{\partial x} + \frac{\partial V}{\partial a} \frac{\partial a}{\partial x} + \frac{\partial V}{\partial b} \frac{\partial b}{\partial x} \right] + (\eta-y) \left[ \frac{\partial V}{\partial y} + \frac{\partial V}{\partial a} \frac{\partial a}{\partial y} + \frac{\partial V}{\partial b} \frac{\partial b}{\partial y} \right] + \\ + (\zeta-z) \left[ \frac{\partial V}{\partial z} + \frac{\partial V}{\partial a} \frac{\partial a}{\partial z} + \frac{\partial V}{\partial b} \frac{\partial b}{\partial z} \right] = 0; \end{aligned}$$

dazu ist notwendig, dass

$$\frac{\partial V}{\partial a} = 0, \quad \frac{\partial V}{\partial b} = 0 \quad (5)$$

und diese Bedingungen müssen für alle Punkte von  $\Sigma$  erfüllt sein; durch sie werden also  $a, b$  als Functionen von  $x, y, z$  derart bestimmt, dass sie (1) in (4) verwandeln.

4. Wir beweisen nun den Satz: Besitzt das ursprüngliche System (1) eine Einhüllende, so ist dieselbe zugleich Einhüllende des abgeleiteten Systems (2).

Es sei  $\Sigma$  die Einhüllende von (1); man wähle auf ihr drei unendlich benachbarte Punkte  $M(x, y, z)$ ,  $M_1(x+d_1x, \dots)$ ,  $M_2(x+d_2x, \dots)$ , jedoch so, dass

$$\begin{vmatrix} d_1x & d_1y \\ d_2x & d_2y \end{vmatrix} \leq 0;$$

dann bestimmen diese Punkte eine Ebene, die Tangentialebene an  $\Sigma$  in den genannten Punkten, zugleich Tangentialebene an diejenigen Flächen des Systems (1), welche  $\Sigma$  in den Punkten  $M, M_1, M_2$  berühren; nennt man  $p, q$  die Stellungscoefficienten dieser Ebene, so sind  $M, M_1, M_2$  zugleich drei unendlich benachbarte Punkte der durch  $p, q$  charakterisirten Fläche des Systems (2), folglich hat auch diese Fläche an der betrachteten Stelle mit  $\Sigma$  eine gemeinsame Tangentialebene und daher ist  $\Sigma$  auch Einhüllende des Systems (2).



In dem Beispiele am Schlusse des Art. 1 war das ursprüngliche System eine Schaar von  $\infty^2$  Kugeln, das abgeleitete eine Schaar von  $\infty^2$  concentrischen Ellipsoiden; beide Systeme werden durch das Rotationsellipsoid

$$x^2 + y^2 + 2z^2 = 2r^2$$

eingehüllt.

5. Dem Satze in Art. 4 steht der folgende gegenüber: Hat das abgeleitete System (2) eine Einhüllende, so ist diese im Allgemeinen nicht zugleich Einhüllende des ursprünglichen Systems (1).

Es sei  $\Sigma'$  die Einhüllende des Systems (2); man wähle auf ihr einen Punkt  $M(x, y, z)$  und bestimme die Tangentialebene, deren Stellungscoefficienten mit  $P, Q$  bezeichnet seien. Durch den Punkt  $M$  gehen  $\infty^1$  Flächen des Systems (1) und die Stellungscoefficienten ihrer Tangentialebenen daselbst erfüllen die Gleichung (2); von  $P, Q$  wird diese Gleichung im Allgemeinen nicht erfüllt, daher hat keine der Flächen aus (1) mit  $\Sigma'$  eine gemeinschaftliche Tangentialebene, infolge dessen ist  $\Sigma'$  nicht auch Einhüllende des Systems (1).

Nur wenn die Function  $F$  gewissen Bedingungen, die nun entwickelt werden sollen, genügt, ist der Satz 4 auch in seiner Umkehrung richtig. Die Gleichung von  $\Sigma'$  geht dem Art. 3 zufolge aus

$$F(x, y, z, p, q) = 0 \quad (2)$$

hervor, wenn man  $p, q$  durch jene Ausdrücke in  $x, y, z$  ersetzt, welche sich dafür aus den Gleichungen

$$\frac{\partial F}{\partial p} = 0, \quad \frac{\partial F}{\partial q} = 0 \quad (6)$$

ergeben; nachdem dies geschehen, erhält man für  $P, Q$  die Werthe

$$P = -\frac{\frac{\partial F}{\partial x}}{\frac{\partial F}{\partial z}}, \quad Q = -\frac{\frac{\partial F}{\partial y}}{\frac{\partial F}{\partial z}};$$

nur wenn diese die Gleichung (2) befriedigen, ist  $\Sigma'$  auch Einhüllende des Systems (1); mit anderen Worten, die aus (6)

für  $p, q$  hervorgehenden Bestimmungen müssen mit  $P, Q$  zusammenfallen, oder es muss

$$\frac{\partial F}{\partial x} + p \frac{\partial F}{\partial z} = 0, \quad \frac{\partial F}{\partial y} + q \frac{\partial F}{\partial z} = 0 \quad (7)$$

sein.

Man kann das Ergebniss in dem Satze aussprechen: Soll das abgeleitete System eine Einhüllende haben und soll diese auch das ursprüngliche System einhüllen, so muss  $F$  eine solche Function der fünf Variabeln  $x, y, z, p, q$  sein, dass es Werthe dieser Variabeln gibt, welche den Gleichungen

$$\left. \begin{aligned} F(x, y, z, p, q) &= 0, \\ \frac{\partial F}{\partial p} &= 0, \quad \frac{\partial F}{\partial q} = 0, \quad \frac{\partial F}{\partial x} + p \frac{\partial F}{\partial z} = 0, \quad \frac{\partial F}{\partial y} + q \frac{\partial F}{\partial z} = 0 \end{aligned} \right\} \quad (8)$$

zugleich genügen; diese Werthe bestimmen die Elementmannigfaltigkeit, welche die gemeinsame Einhüllende darstellt.

Damit sind die vollständigen Bedingungen für die Existenz einer singulären Lösung der Differentialgleichung (2) gefunden.

6. Aus dem Satze zu Beginn des vorigen Artikels, dass nämlich die Einhüllende des abgeleiteten Systems, wenn eine solche existirt, im Allgemeinen nicht auch Einhüllende des ursprünglichen Systems ist, folgt, dass eine vorgelegte Differentialgleichung im Allgemeinen ein singuläres Integral nicht besitzt. Darboux hat hiefür einen analytischen Beweis gegeben, indem er zeigt, dass die Gleichungen (8), obwohl sie nicht unabhängig von einander sind, da sie sich aus Differentialquotienten einer und derselben Function zusammensetzen, doch im Allgemeinen nicht zugleich bestehen können. Hat nämlich die Differentialgleichung statt der auf Null reducirten die Form

$$F(x, y, z, p, q) = c, \quad (9)$$

wobei  $c$  zunächst eine Constante bedeutet, und bestimmt man aus ihr und den beiden Gleichungen

$$\frac{\partial F}{\partial p} = 0, \quad \frac{\partial F}{\partial q} = 0 \quad (10)$$

$z, p, q$  als Functionen von  $x, y$  und  $c$ , so müssen durch diese Ausdrücke, wenn die Gleichung (9) ein singuläres Integral haben soll, die Gleichungen

$$\frac{\partial F}{\partial x} + p \frac{\partial F}{\partial z} = 0, \quad \frac{\partial F}{\partial y} + q \frac{\partial F}{\partial z} = 0 \quad (11)$$

identisch erfüllt werden. Denkt man sich jetzt unter  $c$  eine beliebige Function von  $x, y, z$ , so erfahren die Gleichungen (10) keine Änderung und die Ausdrücke für  $z, p, q$ , die aus (9) und (10) jetzt gezogen werden, bleiben ebenso zusammengesetzt aus  $x, y, c$  wie vordem; dagegen wird

$$\frac{\partial F}{\partial x} + p \frac{\partial F}{\partial z} = \frac{\partial c}{\partial x} + p \frac{\partial c}{\partial z}, \quad \frac{\partial F}{\partial y} + q \frac{\partial F}{\partial z} = \frac{\partial c}{\partial y} + q \frac{\partial c}{\partial z}$$

und es müssten also die Gleichungen

$$\frac{\partial c}{\partial x} + p \frac{\partial c}{\partial z} = 0, \quad \frac{\partial c}{\partial y} + q \frac{\partial c}{\partial z} = 0$$

identisch erfüllt sein, wie man auch  $c$  als Function von  $x, y, z$  festsetzen möge. Aus der Ungereimtheit dieses Ergebnisses ist zu schliessen, dass (9), (10) und (11) im Allgemeinen nicht nebeneinander bestehen können.

7. Wir geben nachstehend noch eine zweite neue Ableitung der Bedingungsgleichungen (8), welche von einem anderen Gesichtspunkte ausgeht.

So lange man unter  $p, q$  die partiellen Differentialquotienten  $\frac{\partial z}{\partial x}, \frac{\partial z}{\partial y}$  versteht, stellt die Gleichung (2) dasselbe System von  $\infty^4$  Elementen dar, wie die Gleichung (1), aus welcher sie in der in Art. 1 beschriebenen Weise hervorgegangen ist. Betrachtet man dagegen  $p, q$  als veränderliche Parameter, so ist durch die Gleichung (2) ein anderes System von  $\infty^4$  Elementen bestimmt, und die Coordinaten  $x, y, z, p, q$  jedes dieser Elemente erfüllen die Gleichung, welche man erhält durch Elimination von  $p, q$  zwischen

$$F(x, y, z, p, q) = 0 \quad (2)$$

und den beiden Gleichungen

$$\frac{\partial F}{\partial x} + \frac{\partial F}{\partial z} p = 0, \quad \frac{\partial F}{\partial y} + \frac{\partial F}{\partial z} q = 0. \quad (12)$$

Es kann nun die Frage aufgeworfen werden, ob es zwischen den beiden Elementensystemen, welche die Gleichung (2) in dieser zweifachen Auffassung darstellt, gemeinsame Elemente gibt. Da für solche Elemente  $p = p$  und  $q = q$  sein muss, so hat man zu ihrer Bestimmung die Gleichungen

$$\left. \begin{aligned} F(x, y, z, p, q) &= 0 \\ \frac{\partial F}{\partial x} + \frac{\partial F}{\partial z} p &= 0, \quad \frac{\partial F}{\partial y} + \frac{\partial F}{\partial z} q = 0. \end{aligned} \right\} \quad (13)$$

Weil sich hieraus  $z, p, q$  als Functionen der unabhängig verbleibenden Variablen  $x, y$  ergeben, so gibt es der gemeinsamen Elemente  $\infty^2$ , der Ort ihrer Träger  $x, y, z$  ist eine Fläche, deren Gleichung durch Elimination von  $p, q$  zwischen den drei Gleichungen (13) erhalten wird.

Diese Fläche ist aber eine Integralfläche der Differentialgleichung (2) nur dann, wenn die durch (13) repräsentirten Elemente eine Elementmannigfaltigkeit bilden, d. h. wenn sie die genannte Fläche berühren. Nun kann diese Fläche durch die erste der Gleichungen (13) dargestellt werden, wenn man darin  $p, q$  durch die Ausdrücke in  $x, y, z$  ersetzt sich denkt, welche die beiden letzten Gleichungen liefern; die Stellungscoefficienten  $\mathfrak{P}, \mathfrak{Q}$  ihrer Tangentialebene im Punkte  $x, y, z$  ergeben sich unter diesem Gesichtspunkte aus den Gleichungen

$$\frac{\partial F}{\partial x} + \frac{\partial F}{\partial p} \frac{\partial p}{\partial x} + \frac{\partial F}{\partial q} \frac{\partial q}{\partial x} + \left\{ \frac{\partial F}{\partial z} + \frac{\partial F}{\partial p} \frac{\partial p}{\partial z} + \frac{\partial F}{\partial q} \frac{\partial q}{\partial z} \right\} \mathfrak{P} = 0$$

$$\frac{\partial F}{\partial y} + \frac{\partial F}{\partial p} \frac{\partial p}{\partial y} + \frac{\partial F}{\partial q} \frac{\partial q}{\partial y} + \left\{ \frac{\partial F}{\partial z} + \frac{\partial F}{\partial p} \frac{\partial p}{\partial z} + \frac{\partial F}{\partial q} \frac{\partial q}{\partial z} \right\} \mathfrak{Q} = 0;$$

die hieraus gerechneten  $\mathfrak{P}, \mathfrak{Q}$  sollen mit den für den nämlichen Punkt  $x, y, z$  aus (13) resultirenden Werthen  $p, q$  übereinstimmen, also  $\mathfrak{P} = p, \mathfrak{Q} = q$  sein; führt man dies ein, so reduciren sich die letzten Gleichungen vermöge (13) auf

$$\begin{aligned}\frac{\partial F}{\partial p} \left( \frac{\partial p}{\partial x} + \frac{\partial p}{\partial z} p \right) + \frac{\partial F}{\partial q} \left( \frac{\partial q}{\partial x} + \frac{\partial q}{\partial z} p \right) &= 0 \\ \frac{\partial F}{\partial p} \left( \frac{\partial p}{\partial y} + \frac{\partial p}{\partial z} q \right) + \frac{\partial F}{\partial q} \left( \frac{\partial q}{\partial y} + \frac{\partial q}{\partial z} q \right) &= 0\end{aligned}$$

und diese werden identisch erfüllt nur dann, wenn

$$\frac{\partial F}{\partial p} = 0, \quad \frac{\partial F}{\partial q} = 0. \quad (14)$$

Die gemeinsamen Elemente der beiden durch die Gleichung (2) in ihrer doppelten Auffassung dargestellten Systeme von  $\infty^4$  Elementen, durch die Gleichungen (13) bestimmt, bilden nur dann eine Elementmannigfaltigkeit, wenn sie auch den Gleichungen (14) genügen. Diese Gleichungen besagen aber nichts anderes, als dass die Träger dieser Elemente auf der Einhüllenden des abgeleiteten Systems liegen müssen.

Man hätte zu den gemeinsamen Elementen der beiden Systeme auch durch folgende Betrachtung gelangen können. Zu der Fläche

$$F(x, y, z, p, q) = 0$$

des abgeleiteten Systems gehört eine Schaar paralleler Ebenen

$$px + qy - z = M,$$

deren jede die ihr zugeordnete Curve (C) auf dieser Fläche hat. Die Curve reducirt sich auf einen Punkt, wenn Ebene und Fläche einander berühren, und augenscheinlich stellt eine solche Ebene mit ihrem Berührungspunkte ein beiden Systemen gemeinsames Element dar; dies tritt nun ein, wenn die Stellungscoefficienten der Tangentialebene an die Fläche, d. i.

$$-\frac{\partial F}{\partial x} : \frac{\partial F}{\partial z}, \quad -\frac{\partial F}{\partial y} : \frac{\partial F}{\partial z}$$

mit den Stellungscoefficienten der Ebenenschaar übereinstimmen, wenn also

$$p = -\frac{\partial F}{\partial x} : \frac{\partial F}{\partial z}, \quad q = -\frac{\partial F}{\partial y} : \frac{\partial F}{\partial z}$$

oder

$$\frac{\partial F}{\partial x} + \frac{\partial F}{\partial z} p = 0, \quad \frac{\partial F}{\partial y} + \frac{\partial F}{\partial z} q = 0$$

in Übereinstimmung mit (13).

## II.

8. Wir eröffnen die Reihe der besonderen Formen von Differentialgleichungen, an welchen der eben entwickelte Gedankengang zur Anwendung gebracht werden soll, mit der Gleichung

$$F(p, q) = 0. \quad (15)$$

In dem vorliegenden Falle existirt ein abgeleitetes Flächensystem nicht; durch jeden Punkt von  $R_3$  gehen  $\infty^1$  Ebenen, deren Stellungscoefficienten die Gleichung (15) befriedigen und jeder Punkt einer solchen Ebene in Verbindung mit ihr selbst bildet ein Element der Gleichung; letztere definirt also wie die allgemeine Gleichung (2)  $\infty^4$  Elemente, nämlich  $\infty^1$  Stellungen, zu jeder  $\infty^1$  Ebenen, in jeder Ebene  $\infty^3$  Elemente. Die Kegel ( $T$ ), zu den einzelnen Punkten von  $R_3$  gehörig, sind gleich und gleichliegend. Aus alledem folgt, dass das durch (15) bestimmte Elementensystem allen Translationen von  $R_3$  gegenüber invariant bleibt; wenn daher  $V(x, y, z) = 0$  irgend ein Integral dieser Gleichung ist, so ist auch

$$V(x-a, y-b, z-c) = 0 \quad (16)$$

ein solches, wobei  $a, b, c$  willkürliche Constanten bedeuten. Daraus ist der Schluss zu ziehen, dass die vorliegende Gleichung ein singuläres Integral nicht besitzt, denn die Gruppe der Translationen des Raumes hat keine Invariante.

Man kann das System der Elemente construiren, indem man den Kegel der Strahlen

$$\frac{x}{p} = \frac{y}{q} = \frac{z}{-1}$$

bestimmt — seine Gleichung ist

$$F\left(-\frac{x}{z}, -\frac{y}{z}\right) = 0$$

— und zu jeder seiner Erzeugenden das System normaler Ebenen legt. Ist die Gleichung (15) insbesondere linear, also

$$Ap + Bq = C, \quad (17)$$

so geht jener Kegel in die Ebene

$$Ax + By + Cz = 0$$

über und das System der Elemente ist durch alle zu ihr normalen Ebenen bestimmt.

Wählt man aus der Schaar von  $\infty^2$  Ebenen, welche solcher Art durch (15), respective (17) dargestellt sind, nach irgend einem der Stetigkeit unterliegenden Gesetze  $\infty^1$  Ebenen aus, so hüllen sie eine developpable Fläche ein, im Falle (17) insbesondere eine Cylinderfläche; diese Fläche ist eine Integralfläche nach dem üblichen Sprachgebrauche, aber mit der besonderen Massgabe, dass jede Tangentialebene mit jedem in ihr enthaltenen Punkte zusammen ein Element der Gleichung bildet.

9. Geometrisch gleichwerthig sind die drei Formen

$$F(x, p, q) = 0 \quad (18a)$$

$$F(y, p, q) = 0 \quad (18b)$$

$$F(z, p, q) = 0 \quad (18c)$$

Das durch die erste dargestellte abgeleitete System besteht in einer Schaar zur  $yz$ -Ebene paralleler Ebenen. Die zu den Punkten einer solchen gehörigen Kegel ( $T$ ) sind gleich und gleichliegend, weil durch die nämliche Gleichung (18a), in welcher  $x$  constant zu denken ist, charakterisirt. Infolge dessen ist das durch diese Gleichung bestimmte System von  $\infty^4$  Elementen allen Translationen parallel zur  $yz$ -Ebene gegenüber invariant, so dass, wenn  $V(x, y, z) = 0$  irgend ein Integral der Gleichung ist, auch die mit den willkürlichen Constanten  $b, c$  gebildete Gleichung

$$V(x, y-b, z-c) = 0 \quad (19a)$$

ein Integral vorstellt. Daraus schliesst man weiter, dass, sofern die Gleichung ein singuläres Integral besitzt, dieses nur in

einer oder mehreren zur  $yz$ -Ebene parallelen Ebenen bestehen kann.

Jede Ebene, deren Stellungscoefficienten  $p, q$  sind, enthält  $\infty^1$  Elemente, ihre Träger haben ein und dasselbe  $x$ , der Gleichung (18a) entnommen, liegen daher in einer Geraden parallel zur  $yz$ -Ebene. Man kann sich nun eine stetige Folge von  $\infty^1$  Ebenen ausgewählt denken, welche einer Geraden in der  $yz$ -Ebene parallel sind und die eingehüllte Cylinderfläche gerade längs der ihnen durch die Gleichung (18a) zugeordneten Geraden berühren; dann ist diese Cylinderfläche eine Integralfläche. Die allgemeine Form der Gleichung einer zur  $yz$ -Ebene parallelen Cylinderfläche ist

$$x = \varphi(y + Cz)$$

und setzt man vorübergehend  $y + Cz = u$ , so folgt daraus

$$1 = C \frac{dx}{du} p, \quad 0 = \frac{dx}{du} (1 + Cq)$$

und weiter

$$p = \frac{1}{C \frac{dx}{du}}, \quad q = -\frac{1}{C};$$

dies führt (18a) über in

$$F\left(x, \frac{1}{C \frac{dx}{du}}, -\frac{1}{C}\right) = 0, \quad (20a)$$

d. i. in eine gewöhnliche Differentialgleichung erster Ordnung; ist  $V(x, u, B) = 0$  ihr Integral, so ist  $V(x, y + Cz, B) = 0$  und somit auch

$$V(x, y - b + C(z - c), B) = 0 \quad (21a)$$

ein Integral von (18a);  $B, C$  sind ebenso wie  $b, c$  willkürliche Constanten.

Ganz ähnliche Erwägungen gelten für die Gleichungen (18b) und (18c). Setzt man, um ein Integral der ersten zu erhalten,

$$y = \psi(z + Ax) \quad z + Ax = v,$$



so folgt daraus

$$0 = \frac{dy}{dv} (p + A), \quad 1 = \frac{dy}{dv} q$$

und es tritt an die Stelle von (18b) die gewöhnliche Differentialgleichung

$$F\left(y, -A, \frac{1}{\frac{dy}{dv}}\right) = 0; \quad (20b)$$

ist  $V(y, v, C) = 0$  ihr Integral, so ist  $V(y, z + Ax, C) = 0$  und auch

$$V(y, z - c + A(x - a), C) = 0 \quad (21b)$$

ein Integral von (18b).

Um (18c) zu integrieren, setze man

$$z = \chi(x + By), \quad x + By = w,$$

woraus

$$p = \frac{dz}{dw}, \quad q = B \frac{dz}{dw};$$

hat man dann das Integral von

$$F\left(z, \frac{dz}{dw}, B \frac{dz}{dw}\right) = 0 \quad (20c)$$

in der Form  $V(x, w, A) = 0$  erhalten, so ist  $V(z, x + By, A) = 0$  und auch

$$V(z, x - a + B(y - b), A) = 0 \quad (21c)$$

ein Integral von (18c).

10. Die im vorigen Artikel behandelten drei Formen sind im Grunde genommen specielle Fälle der Gleichung

$$F(z - \alpha x - \beta y, p, q) = 0. \quad (22)$$

Das durch sie bestimmte abgeleitete System bildet nämlich eine Schaar zu  $z = \alpha x + \beta y$  paralleler Ebenen und lässt alle Translationen parallel zu dieser Ebene zu. Ist also  $V(x, y, z) = 0$  ein Integral dieser Gleichung, so ist auch

$$V(x - a, y - b, z - \alpha a - \beta b) = 0 \quad (23)$$

ein Integral, wenn  $a, b$  willkürliche Constanten bedeuten.

Man kann die vorliegende Gleichung auf eine der speciellen Formen, nämlich (18c), zurückführen durch die Substitution

$$x = X, \quad y = Y, \quad z - \alpha x - \beta y = Z;$$

bezeichnet man die Ableitungen von  $Z$  nach  $X, Y$ , respective mit  $P, Q$ , so hat man

$$p = P + \alpha, \quad q = Q + \beta$$

und es geht (22) über in

$$F(Z, P + \alpha, Q + \beta) = 0; \quad (24)$$

nach dem oben entwickelten Vorgange kann nun ein Integral dieser Gleichung ermittelt werden.

Die Gleichung

$$z = \alpha x + \beta y + pq \quad (22^*)$$

beispielsweise, welche unter diese Form fällt, verwandelt sich zunächst in

$$Z = (P + \alpha)(Q + \beta);$$

mit  $X + BY = W$  führt dies zu der gewöhnlichen Differentialgleichung

$$Z = \left( \frac{dZ}{dW} + \alpha \right) \left( B \frac{dZ}{dW} + \beta \right) \quad (24^*)$$

und nach Trennung der Variabeln zu

$$dW = \frac{2 B dZ}{-(\alpha B + \beta) + \sqrt{(\alpha B - \beta)^2 + 4 B Z}};$$

Integration gibt

$$W + A = \sqrt{(\alpha B - \beta)^2 + 4 B Z} + (\alpha B - \beta) l. [-(\alpha B + \beta) + \sqrt{(\alpha B - \beta)^2 + 4 B Z}],$$

demnach ist

$$x + By + A = \sqrt{(\alpha B - \beta)^2 + 4 B (z - \alpha x - \beta y)} + (\alpha B + \beta) l. [-(\alpha B + \beta) + \sqrt{(\alpha B - \beta)^2 + 4 B (z - \alpha x - \beta y)}]$$

ein Integral der Gleichung (22\*) und man erkennt leicht, dass es im Wesen unverändert bleibt, wenn man  $x, y, z$  der Reihe nach durch  $x - a, y - b, z - \alpha a - \beta b$  ersetzt.

11. Eine weitere Gruppe von Differentialgleichungen, welche geometrisch gleiche Interpretation zulassen, bilden die Formen

$$F(y, z, p, q) = 0 \quad (25a)$$

$$F(z, x, p, q) = 0 \quad (25b)$$

$$F(x, y, p, q) = 0 \quad (25c)$$

Das abgeleitete System, welches die erste bestimmt, ist eine Schaar zur  $x$ -Axe paralleler Cylinder, in allen Punkten jeder Erzeugenden eines solchen Cylinders sind die zugehörigen Kegel ( $T$ ) gleich und gleichliegend; daraus folgt, dass das durch die Gleichung bestimmte Elementensystem die Translationen parallel zur  $x$ -Axe zulässt, so dass, wenn  $V(x, y, z) = 0$  irgend ein Integral dieser Gleichung ist, auch

$$V(x-a, y, z) = 0 \quad (26a)$$

ein Integral vorstellt, wenn  $a$  eine willkürliche Constante bedeutet. Ist ein singuläres Integral vorhanden, so kann es nur einer zur  $x$ -Axe parallelen Cylinderfläche entsprechen.

Ähnliche Bemerkungen gelten bezüglich der beiden anderen Gleichungen und man kann jedem ihrer Integrale die Form

$$V(x, y-b, z) = 0 \quad (26b)$$

beziehungsweise

$$V(x, y, z-c) = 0 \quad (26c)$$

ertheilen.

12. Die obigen drei Gleichungen sind wieder specielle Fälle einer allgemeinen Differentialgleichung, nämlich

$$F(z-\alpha x, z-\beta y, p, q) = 0, \quad (27)$$

deren Elementensystem invariant bleibt bei den Translationen parallel zur Geraden

$$\alpha x = \beta y = z; \quad (28)$$

wenn daher  $V(x, y, z) = 0$  ein Integral dieser Gleichung ist, so kann ihm mittelst der willkürlichen Constanten  $a$  die Form

$$V\left(x - \frac{a}{\alpha}, y - \frac{a}{\beta}, z - a\right) = 0 \quad (29)$$

verliehen werden.

Man kann die Gleichung (27) durch Einführung neuer Variablen auf den Fall (25 c) zurückführen; als neue unabhängige Veränderliche wähle man

$$X = z - \alpha x, \quad Y = z - \beta y,$$

als neue abhängige Variable eine dem Abstände des Punktes  $x, y, z$  von der zu (28) normalen Ebene  $\frac{x}{\alpha} + \frac{y}{\beta} + z = 0$  proportionale Grösse, setze also

$$Z = \frac{x}{\alpha} + \frac{y}{\beta} + z;$$

die Auflösung dieser drei Gleichungen nach den ursprünglichen Variablen gibt

$$x = \frac{-\frac{X}{\alpha^2} + \frac{Y}{\beta^2} + Z}{\alpha\left(\frac{1}{\alpha^2} + \frac{1}{\beta^2} + 1\right)}, \quad y = \frac{\frac{X}{\alpha^2} - \frac{Y}{\beta^2} + Z}{\beta\left(\frac{1}{\alpha^2} + \frac{1}{\beta^2} + 1\right)},$$

$$z = \frac{\frac{X}{\alpha^2} + \frac{Y}{\beta^2} + Z}{\frac{1}{\alpha^2} + \frac{1}{\beta^2} + 1};$$

führt man auf dieser Grundlage die beiden Gleichungen

$$\frac{\partial z}{\partial X} = p \frac{\partial x}{\partial X} + q \frac{\partial y}{\partial X},$$

$$\frac{\partial z}{\partial Y} = p \frac{\partial x}{\partial Y} + q \frac{\partial y}{\partial Y}$$

aus und bezeichnet mit  $P, Q$  die partiellen Differentialquotienten von  $Z$  nach  $X, Y$ , so ergibt sich nach einiger Rechnung

$$p = \frac{\beta(1+\alpha^2)P}{P+Q}, \quad q = \frac{\alpha(1+\beta^2)Q}{P+Q}$$

und somit heisst die Gleichung (27) in den neuen Variabeln

$$F\left(X, Y, \frac{\beta(1+\alpha^2)P}{Q+P}, \frac{\alpha(1+\beta^2)Q}{P+Q}\right) = 0 \quad (27^*)$$

und dies ist conform mit (25c).

Als Beispiel diene die Gleichung

$$\frac{(z-\alpha x)^\mu}{(z-\beta y)^\nu} = \frac{p}{q};$$

durch Anwendung der entwickelten Substitution geht sie über in

$$\frac{X^\mu}{Y^\nu} = \frac{\beta(1+\alpha^2)P}{\alpha(1+\beta^2)Q}$$

oder

$$\frac{\alpha X^\mu}{1+\alpha^2 P} = \frac{\beta Y^\nu}{1+\beta^2 Q};$$

bezeichnet man den willkürlichen gemeinsamen Werth dieser Verhältnisse mit  $A$ , so ergibt sich

$$P = \frac{X^\mu}{\alpha A} - \frac{1}{\alpha^2}, \quad Q = \frac{Y^\nu}{\beta A} - \frac{1}{\beta^2}$$

und durch Integration der Gleichung  $dZ = PdX + QdY$ , wenn man gleich wieder die ursprünglichen Variabeln einführt, zunächst

$$\frac{\alpha}{x} + \frac{\beta}{y} + z = \frac{(z-\alpha x)^{\mu+1}}{\alpha(\mu+1)A} + \frac{(z-\beta y)^{\nu+1}}{\beta(\nu+1)A} - \frac{z-\alpha x}{\alpha^2} - \frac{z-\beta y}{\beta^2} + B,$$

nach Ausführung aller Reductionen, und wenn man schliesslich für die willkürlichen Constanten  $A, B$  neue  $C_1, C_2$  einführt mittelst der Gleichungen

$$A\left(\frac{1}{\alpha^2} + \frac{1}{\beta^2} + 1\right) = C_1, \quad AB = -C_2,$$

so ergibt sich als Integral die Gleichung

$$C_1 z + C_2 = \frac{(z - \alpha x)^{\mu+1}}{\alpha(\mu+1)} + \frac{(z - \beta y)^{\nu+1}}{\beta(\nu+1)},$$

an der man ohneweiters erkennt, dass sie im Wesen ungeändert bleibt bei der durch (29) angedeuteten Transformation.

13. Die bisher behandelten Gleichungsformen bieten die einfachsten Beispiele solcher Differentialgleichungen dar, in deren Integralen überschüssige Constanten auftreten können.<sup>1</sup> Vollständige Integrale der Gleichungen (15), dann (18) und (22), endlich (25) und (27), in den Formen (16), beziehungsweise (19) und (23), schliesslich (26) und (29) geschrieben, enthalten der Reihe nach fünf, vier, drei willkürliche Constanten. Trotzdem aber umfasst ein solches Integral nur dieselben  $\infty^4$  Elemente, welche durch die betreffende Differentialgleichung defnirt sind, diese aber in mehrfacher Zählung. Es gibt sich dieser Umstand dadurch zu erkennen, dass die Constanten, welche man wegen der Verschiebbarkeit des Elementensystems (nach  $\infty^2$ ,  $\infty^1$ , respective  $\infty^0$  Richtungen) im Integral anbringen kann, schliesslich doch nur eine Abänderung an den eigentlichen Integrationsconstanten herbeiführen, also strenge genommen keine wirkliche Verallgemeinerung des Integrals bewirken.

14. Schliesslich möge noch die verallgemeinerte Clairaut'sche Gleichung

$$z = px + qy + f(p, q) \quad (30)$$

von den hier entwickelten Gesichtspunkten aus betrachtet werden. Das abgeleitete System, welches sie darstellt, ist eine Schaar von  $\infty^2$  Ebenen; jede Ebene dieser Schaar stellt in Verbindung mit jedem ihrer Punkte ein Element der Gleichung dar, ist daher eine Integralfläche; infolge dessen bedeutet die Gleichung (30), wenn man in ihr  $p, q$  als willkürliche Constanten auffasst, ein vollständiges Integral eben dieser Gleichung,

<sup>1</sup> Jacobi, Vorlesungen über Dynamik, S. 475 f. — Mansion, Theorie der partiellen Differentialgleichungen erster Ordnung, S. 23.

wenn man sie als Differentialgleichung deutet; es ist also das zu (30) gehörige ursprüngliche Flächensystem durch

$$z = ax + by + f(a, b) \quad (31)$$

darstellbar.

Auch die folgende Schlussweise kann bei der Gleichung angewendet werden. Bringt man, unter  $p, q$  bestimmte Werthe sich denkend, die durch (30) dargestellte Fläche des abgeleiteten Systems mit irgend einer Ebene derselben Stellung, z. B.

$$z = px + qy + C \quad (32)$$

zum Schnitt, so erhält man eine unendlich ferne Gerade, die gemeinsame Stellung von (30) und (32); diese Gerade ist die zur Ebene (32) gehörige Curve ( $C$ ); im Allgemeinen wird also eine Ebene nur in den Punkten ihrer unendlich fernen Geraden von Integralfächen berührt. Nur wenn  $C = f(p, q)$ , fallen die Ebenen (30) und (32) in eine zusammen und jeder Punkt dieser Ebene wird Berührungspunkt einer sie tangirenden Integralfäche, in Folge dessen ist die Ebene selbst auch eine Integralfäche; die Curve ( $C$ ) ist in diesem Falle unbestimmt insoferne, als jede in der Ebene gezogene Linie als solche angesehen werden kann.

Wenn man, den in Art. 7 entwickelten Vorgang befolgend, die dort mit (13), (14) bezifferten Gleichungen bildet, so lauten sie wie folgt:

$$\begin{aligned} z &= px + qy + f(p, q), \\ p - p &= 0, & q - q &= 0, \\ x + \frac{\partial f}{\partial p} &= 0, & y + \frac{\partial f}{\partial q} &= 0; \end{aligned}$$

der Umstand, dass die Gleichungen der zweiten Zeile identisch, d. h. durch alle Werthe von  $x, y, z, p, q$  erfüllt sind, bedeutet, dass alle Elemente des abgeleiteten Systems zugleich Elemente des ursprünglichen Systems sind; eliminirt man also  $p, q$  zwischen den übrig bleibenden drei Gleichungen, so erhält man eine Integralfäche, das singuläre Integral als Einhüllende des abgeleiteten und zugleich des ursprünglichen Systems.

Die Clairaut'sche Gleichung ist der analytische Ansatz für ein Problem, das eine Fläche zu bestimmen verlangt aus einer Eigenschaft ihrer Tangentialebene, die von der Lage des Berührungspunktes in der Ebene unabhängig und daher von allen ihren Punkten gleichmässig erfüllt ist. Bringt man nämlich die Gleichung der Tangentialebene im Punkte  $x, y, z$  der unbekannten Fläche

$$\zeta - z = p(\xi - x) + q(\eta - y)$$

auf die Form

$$\zeta = p\xi + q\eta + z - px - qy, \quad (33)$$

so nimmt man wahr, dass der Abschnitt dieser Ebene auf der  $z$ -Axe, nämlich  $z - px - qy$ , im Allgemeinen abhängig ist von  $x, y, z, p, q$ , also von der Stellung der Ebene und der Lage des Berührungspunktes; soll er nur von der Stellung abhängig sein, so muss er sich auf eine Function von  $p, q$  allein, z. B.  $f(p, q)$  reduciren, so dass

$$z - px - qy = f(p, q) \quad (34)$$

wird. In der That erkennt man, nachdem dies in (33) eingetragen worden, dass jeder Punkt der Ebene (33) in (34) an Stelle von  $x, y, z$  gesetzt werden kann. Die Gleichung (34), welche ein derartiges Problem charakterisirt, ist aber die oben als Clairaut'sche bezeichnete.

Verlangt man beispielsweise eine Fläche zu finden derart, dass der aus dem Ursprunge nach dem Berührungspunkte der Tangentialebene gezogene Strahl mit dieser einen gegebenen Winkel  $\text{arc sin } k$  bildet, so wird diese Forderung ausgedrückt sein durch

$$\frac{z - px - qy}{\sqrt{1 + p^2 + q^2}} : \sqrt{x^2 + y^2 + z^2} = k$$

und hieraus ergibt sich als Abschnitt der Tangentialebene auf der  $z$ -Axe

$$z - px - qy = k \sqrt{(1 + p^2 + q^2)(x^2 + y^2 + z^2)}$$

ein Ausdruck, der von  $p, q$  und  $x, y, z$  abhängt.



Wird dagegen nach einer Fläche gefragt, deren Tangentialebenen einen gegebenen Abstand  $r$  vom Ursprunge haben, so drückt sich diese Forderung in der Gleichung

$$\frac{z - px - qy}{\sqrt{1 + p^2 + q^2}} = r$$

aus und der Abschnitt der Tangentialebene auf der  $z$ -Axe

$$z - px - qy = r \sqrt{1 + p^2 + q^2}$$

ist von  $p, q$  allein abhängig.

---

# Zur Kenntniss des Ablaufes der Lichtemission

von

**G. Jaumann.**

(Mit 3 Textfiguren.)

Im Folgenden wird der Nachweis erbracht 1., dass die emittirenden Schwingungen der leuchtenden Körper eine nachweisbare und messbare Dämpfung aufweisen und 2., dass sie nicht durch zufällige Impulse, sondern durch den continuirlichen Einfluss eines periodischen Vorganges excitirt werden.

## 1. Dämpfung der Emission und continuirliche Spectren.

Man betrachtet gegenwärtig ein continuirliches Spectrum wie den Grenzfall eines Linienspectrums, in welchem die Zahl der Linien unendlich gross ist. Nach Newton sind unendlich viele verschiedene Farben im weissen Licht vorhanden. Thatsächlich kann man aus diesen Farben wieder weisses Licht zusammensetzen.

Es ist nun unwahrscheinlich, dass es die beste Art ist, den Emissionsvorgang darzustellen, wenn man angibt, der weissglühende Körper sende unendlich viele Schwingungen aus. Man dürfte desshalb zu einer so complicirten Darstellung gekommen sein, weil es der Natur dieses Vorganges überhaupt nicht angemessen ist, das emittirte Licht als eine Summe von periodischen Schwingungen darzustellen. Um hingegen den Dispersionsvorgang zu verstehen, ist Newton's Darstellung die beste.

Die verschiedenen Farben eines Spectrums werden für incohärent gehalten. Dies ist ein Umstand, welcher schwerlich jemals direct bewiesen werden kann. Wohl aber kann das

Gegentheil, falls es zutrifft, indirect bewiesen werden. Wenn die Farben eines continuirlichen Spectrums cohärent sind, so lassen sie sich zusammensetzen. Das Ergebniss dieser Integration kann die untersuchte Lichtwelle als eine einfache, wenn auch nicht periodische Function darstellen. Wäre nun die Emission der so resultirenden unperiodischen Welle an sich aus anderen Gesichtspunkten verständlich, so könnte man hoffen, damit zu einem Aufschluss über die Natur der Emission gekommen zu sein und wird dann auch die Voraussetzung zugeben, dass die verschiedenen Farben des betrachteten continuirlichen Spectrums cohärent sind.

Die Intensität der Farben eines continuirlichen Spectrums ist eine Function der Schwingungsperiode  $u$ .<sup>1</sup> Bezeichne  $da$  die Amplitude einer solchen Schwingung, d. h. die Wurzel aus der Intensität der gesammten Strahlung zwischen den Perioden  $u$  und  $(u + du)$ , so wird gelten

$$da = f(u) du.$$

Die Theilschwingung selbst stellt sich durch

$$da \sin ut = f(u) du \sin ut,$$

worin  $t$  die Zeit bedeutet, dar. Sind alle diese Schwingungen cohärent und gleichphasig, so werden sie sich zu einer resultirenden Schwingung zusammensetzen, welche gegeben ist durch das Integral

$$\varphi(t) = \int_0^\infty f(u) \sin ut \, du, \quad 1)$$

welches über das ganze Spectrum zu erstrecken ist.  $\varphi(t)$  stellt dann die wahre Emission dar.

In dieser Richtung kann man jedoch nicht weiter kommen. Es fehlt an experimentellen Bestimmungen der  $f(u)$ , da nur sehr wenig bolometrische Messungen vorliegen und diese nicht für solche continuirliche Spectren, welche man für einfach halten konnte.

---

<sup>1</sup> Als Schwingungsperiode wird hier bezeichnet der Quotient  $\frac{2\pi}{\tau}$ , worin  $\tau$  die Schwingungsdauer bedeutet.

Man muss den umgekehrten Weg einschlagen, nämlich von einer Voraussetzung über die Natur der Emission, also der Function  $\varphi(t)$  ausgehen. Am nächsten liegt nun die Vermuthung, dass die Emission unter starker Dämpfung erfolge.

Die emittirende Schwingung wird dann wie alle gedämpften Schwingungen das Gesetz befolgen:

$$\left. \begin{array}{l} \varphi(t) = Ae^{-\kappa t} \sin pt \\ p^2 = u_1^2 - \kappa^2 \end{array} \right\} \quad 2)$$

und  $\kappa$  die Dämpfungsconstante, ferner  $u_1$  die Periode der ungedämpften Schwingung bedeutet.

Diese Schwingung  $\varphi(t)$  dauert von  $t = 0$  bis  $t = \infty$  ehe sie verlöscht. Eine solche Schwingung lässt sich nach dem Fourier'schen Theorem nicht in eine discrete, wenn auch unendliche Reihe von Sinusschwingungen zerlegen, sondern nur in ein Continuum derselben. Die Amplitudenvertheilung in diesem continuirlichen Spectrum findet man mittelst des Fourier'schen Integrals:

$$\varphi(t) = \frac{2}{\pi} \int_0^\infty \sin tu \, du \int_0^\infty \varphi(t) \sin ut \, dt.$$

Es ist hiebei vorausgesetzt, dass die Partialschwingungen gleichphasig mit der resultirenden Schwingung sind, welche Voraussetzung nothwendig ist, wenn man verlangt, dass das Spectrum im infrarothem und ultravioletten Theile (für  $u = 0$  und  $u = \infty$ ) verschwindende Intensität habe.

Durch den Vergleich des Fourier'schen Integrals mit Gleichung 1) ergibt sich, dass die gesuchte Amplitudenvertheilung sich darstellt durch:

$$f(u) = \frac{2}{\pi} \int_0^\infty \varphi(t) \sin ut \, dt.$$

Man erhält endlich nach Einführung der in Gleichung 2) ausgesprochenen Annahme über die Natur der Function  $\varphi(t)$  und Ausführung der Integration:

$$f(u) = \frac{4}{\pi} A \kappa p \cdot \frac{u}{(\kappa^2 + p^2 + u^2)^2 - 4p^2 u^2} \quad 3)$$

Die Periode  $U$ , für welche  $f(u)$  ein Maximum aufweist, bestimmt sich durch

$$U^2 - \frac{2}{3} (p^2 - \kappa^2) U^2 - \frac{1}{3} (p^2 + \kappa^2)^2 = 0$$

Es existirt also innerhalb des Integrationsbereiches  $u = 0$  bis  $u = \infty$  nur ein Maximum der  $f(u)$ . Dieses Maximum liegt stets zwischen  $u_1 = \sqrt{p^2 + \kappa^2}$  und  $p$ , und rückt für abnehmende Dämpfungen (beim Anglühen) näher an  $u_1$  heran. Fig. 1 stellt diese Verhältnisse dar.

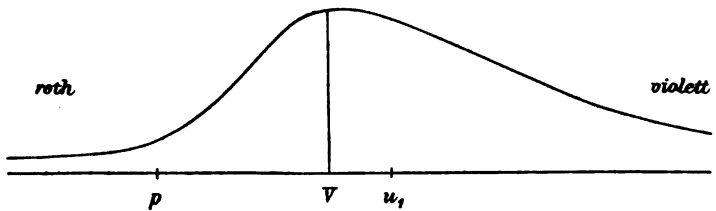


Fig. 1.

Wenn die Dämpfung nicht fast aperiodisch ist, so ist die Verschiebung des Maximums aus der ungedämpften Periode  $u_1$  also  $(u_1 - U)$  stets von zweiter Ordnung unmerklich klein.

Der Übergang von einer ungedämpften Sinusschwingung zu dieser Zerlegung einer gedämpften Schwingung entspricht so sehr dem Übergang von einer scharfen Spectrallinie in eine verbreiterte Spectrallinie, dass anzunehmen ist:

Die Verbreiterung der Spectrallinien erklärt sich durch eine Dämpfung, welche die emittirende Schwingung erfährt.

Eine verbreiterte Linie ist im wesentlichen ein continuirliches Spectrum. Das Spectrum der meisten weisssglühenden Körper dürfte bestehen aus einer Überdeckung mehrerer verbreiteter Linien.<sup>1</sup>

<sup>1</sup> Von früheren Erklärungen der Verbreiterung der Spectrallinien sind folgende zu erwähnen:

Zöllner (Pogg. Ann., 1871) nimmt an, dass die Gase immer continuirliche Spectren aussenden, deren Intensität in allen Theilen unmerklich klein ist, ausser

Die Emission eines festen oder flüssigen glühenden Körpers oder eines verdichteten Gases unterliegt also einer Dämpfung. Der Werth der Dämpfungsconstanten  $\alpha$  einer emittirten Schwingung lässt sich mit derselben Sicherheit angeben, mit welcher man die Intensitätsvertheilung in der verbreiterten Linie kennt.

Beispielsweise sei die Dämpfungsconstante für die Magnesiumlinie von der Wellenlänge  $\lambda = 2852$  angegeben. Dieselbe verbreitert sich unter Umständen so sehr, dass noch bei der Wellenlänge 2950 die Lichtstärke den vierten Theil der maximalen Lichtstärke, die Amplitude  $f(u)$  also die Hälfte der maximalen Amplitude  $f(U)$  ausmacht. Mit diesen Zahlen berechnet sich aus Gleichung 3) die Dämpfungsconstante zu:

$$\alpha = 10^{13.19} \text{ sec}^{-1},$$

d. h. die Amplitude der emittirenden Schwingung sinkt schon während fünf Schwingungen im Verhältniss  $e : 1$  ab.

Einen noch extremeren Fall von Dämpfung zeigt die Wasserstoffemission unter höherem Druck. Die für gewöhnlich beobachtbaren Verbreiterungen von Spectrallinien sind jedoch

in den Spectrallinien des Gases. Bei grösserer Dichte des Gases wird das continuirliche Spectrum merklich. Diese Meinung ist nicht unrichtig, aber im Grunde genommen inhaltslos.

Lippich, (Pogg. Ann., 1870) bringt die Verbreiterung der Linien vom Standpunkt der kinetischen Gastheorie mit der Abweichung vom Mariotte-Gay-Lussac'schen Gesetze in Beziehung.

Kayser (Winkelmann's Handb. der Phys., 1894) erklärt sie vom Standpunkt der Moleculartheorie durch die secundären Wirkungen des bei grösserer Dichte häufigeren Zusammenstosses der Moleküle.

Lockyer schliesst auf Dissociation der Elemente, aus der Verbreiterung ihrer Spectrallinien.

Ebert (Wied. Ann., 1889) erklärt die Verbreiterung durch dieschwingende Bewegung der Moleküle in der Visirlinie und das Doppler'sche Princip.

Es wurde auch die Ansicht ausgesprochen, dass es sich bei Verbreiterung von Duplets um eine Abweichung zufolge der grossen Amplitude der ausgesendeten Lichter handle, nach Art der Combinationstöne.

Das Fourier'sche Theorem wurde meines Wissens nur von Stoney (Phil. Mag., 1871) auf Spectralprobleme bezogen, aber ohne Erfolg, da er demselben nichts entnahm als die Vermuthung, dass in dem Spectrum harmonische Schwingungen vorhanden sein müssten, was nicht der Fall ist.

sehr klein, man erkennt, dass erst nach 50 bis 100 Schwingungen die Amplitude von  $\epsilon$  auf 1 absinkt.

## 2. Periode der Excitation. Die Banden und Serien.

Wenn die emittirende Schwingung gedämpft ist, so muss bei fortdauerndem Leuchten eine Ursache vorhanden sein, welche diese emittirende Schwingung von Zeit zu Zeit wieder excitirt. Diese Excitation könnte nun in ganz zufälligen und unregelmässigen Pausen, oder aber periodisch erfolgen.

Wir wollen letzteres annehmen und zusehen, zu welchen Folgerungen dies führt.

Wenn die Excitation periodisch ist, so gewinnt der Emissionsvorgang, obgleich er gedämpft ist, wieder eine Periode, nämlich die der Excitation.

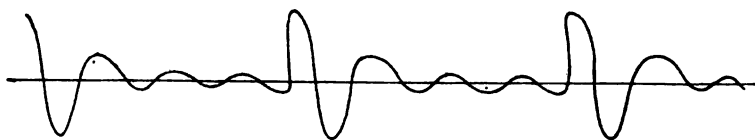


Fig. 2.

Fig. 2 stellt eine derartige Schwingung dar.

Nun als eine periodische Function zerlegt sich die Schwingung am Prisma nach Fourier in eine Summe von discreten Sinusschwingungen, deren Perioden ganzzahlige Vielfache der Functionsperiode, hier der Excitationsperiode, sind.

Eine periodisch excitirte Emission sendet also ein Linienspectrum aus. Die Schwingungszahlen dieser Linien stellen alle ganzzahligen Vielfachen der Excitationszahl dar.

Die Excitationszahl pro Secunde ist nun jedenfalls viel kleiner als die Schwingungszahl der emittirenden Schwingung, da viele gedämpfte Schwingungen der Emission vorübergehen werden, ehe wieder eine Excitation erfolgt. Desshalb liegen auch die Vielfachen der Excitationszahl einander sehr nahe und das ausgesendete Spectrum wird durch zahlreiche, der Schwingungszahl nach äquidistante Linien fein gestreift erscheinen.

Die Differenz der Schwingungszahlen zweier dieser Linien ist gleich der Excitationszahl pro Secunde.

Damit ist noch nichts über die Stärke dieser Linien ausgesagt. Aus der Convergenz der Fourier'schen Reihe ergibt sich, dass sie im äussersten Ultraviolett immer schwächer werden müssen. Im Infrarothern brauchen sie aber nicht etwa stärker zu sein als im sichtbaren Spectrum. Sie können dort auch schwächer sein oder ganz verschwinden. Ferner brauchen auch dort, wo sie stark sind, nicht alle zu erscheinen, sondern es können irgend welche gesetzmässige Auslassungen zwischen ihnen vorkommen, indem die Amplitude der so ausfallenden Schwingungen sich durch die Natur der dargestellten periodischen Function als gleich Null bestimmt.

Wie diese Amplitudenvertheilung sich nun im gegebenen Falle bestimmt, ist leicht vorauszusehen. Je länger das Excitationsintervall ist, desto feiner gestreift wird das Spectrum sein und wenn die Zeit zwischen zwei Excitationen so lang ist, dass die emittirende Schwingung Zeit hat, fast ganz abzuklingen, so wird das Spectrum fast genau continuirlich sein und eine nach dem Gesetz des vorigen Capitels vertheilte Lichtintensität aufweisen.

Bei grösseren Excitationszahlen wird es discontinuirlich, gestreift, sein, im Wesentlichen aber dieselbe Intensitätsvertheilung aufweisen. Es wird eine Spectralbande respective eine Spectralserie darstellen.

Die Schwingungszahlen  $n$  aller Linien einer Bande bestimmen sich nach Deslandres (Compt. rend. 1889, 1890) durch das Gesetz

$$n = a \pm bx^2,$$

worin  $a$  und  $b$  Constante und  $x$  die ganzen Zahlen darstellt. Die Differenz je zweier Schwingungszahlen sind also ganzzahlige Vielfache der Constanten  $b$  und deshalb ist diese die Excitationszahl pro Secunde. Die ganze oft aus hunderten von Linien bestehende Bande wird emittirt durch eine einfache, gedämpfte, periodisch excitirte Sinusschwingung.



Deslandres stellt z. B. die Schwingungszahlen der 63 Linien der Bande  $\lambda = 3914.6\text{—}3827.4$  am negativen Pol des Funkens in Stickstoff von normalem Druck dar durch

$$\frac{1}{3} 10^{-12} n = 255.45 + 0.001534(x-1)^2.$$

Es treten somit für diese Schwingung während 255450 Emissionsschwingungen etwas über anderthalb (genau 1.534) Excitationen ein.

Eine Leuchtgasbande bei  $\lambda = 3891.5\text{—}4033.8$ , welche 20 Linien aufweist, stellt Deslandres dar durch

$$\frac{1}{3} 10^{-12} n = 257.04 - 0.02078(x-1)^2.$$

Hier kommen also auf ungefähr dieselbe Zahl emittirender Schwingungen, nämlich auf 257040 nicht weniger als 20.78 Excitationen.

Dabei kann man aus der Lichtvertheilung in einer solchen Bande auch die Dämpfung der emittirenden Schwingung abschätzen, sowie im vorigen Capitel gezeigt wurde.

Die Linie Nr. 11  $\lambda = 3936.4$  der erwähnten Leuchtgasbande ist die lichtstärkste. Nach beiden Seiten nimmt die Lichtstärke ab. Sie dürfte ungefähr bei der Linie Nr. 5  $\lambda = 3902.4$  den vierten Theil erreicht haben.

Hieraus berechnet sich die Dämpfungsconstante zu

$$\kappa = 10^{13} . 3.9 \text{ sec}^{-1}$$

Das Leuchtgas emittirt also eine Schwingung von der Wellenlänge  $0.000394 \text{ mm}$ , welche so gedämpft ist, dass ihre Amplitude nach je 21 Schwingungen im Verhältniss von  $e : 1$  absinkt und welche nach je 12360 Schwingungen neu excitirt wird.

### 3. Abweichungen von der Intensitätsvertheilung und vom Deslandres'schen Gesetz.

Die Intensitätsvertheilung in den Banden, seltener in den verbreiterten Linien ist unter Umständen eine einseitige. Ich

bringe dies vorläufig in Zusammenhang mit dem Auftreten von Schwingungsduplets und Triplets, welches direct beobachtbar ist. Es sind dies simultane Schwingungen von gegebenem Amplituden verhältniss. Verbreitern sich beide, so entsteht eine einseitige Intensitätsvertheilung nach Fig. 3, welche die Intensitätsvertheilung der Componenten des Duplets gestrichelt, die resultirende Vertheilung voll ausgezogen darstellt.

Balmer (Wied. Ann., 1885) stellt die Serien genauer durch

$$n = a + b\lambda^{-2}$$

dar, während Kayser und Runge (Abhandl. d. Berl. Akad., 1890, 1891, 1892) mit der Formel

$$n = a + b\lambda^{-2} + c\lambda^{-4}$$

noch bessere Übereinstimmung erzielen. Mit erster Annäherung stimmt diese Formel mit der Deslandres'schen überein, nur muss man die Zählung am anderen Ende der Serie beginnen.

In voller Genauigkeit gilt also die Deslandres'sche Formel nicht. Es folgt hieraus, dass die Excitation zwar mit erster Annäherung periodisch genannt werden kann, es aber nicht

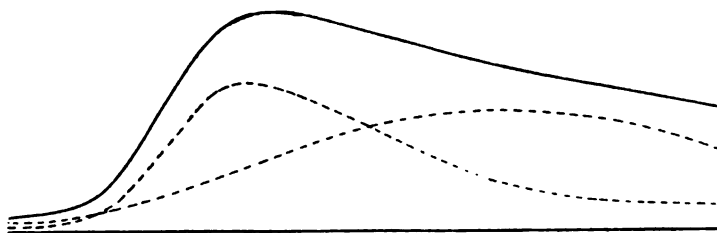


Fig. 3.

völlig ist. Da aber doch eine grosse Gesetzmässigkeit der Excitation vorhanden sein muss um die Streifung nach dem Gesetz von Kayser und Runge zu bewirken, so drängt sich mir die Vermuthung auf, dass die Excitation nicht durch periodische Anstösse, sondern durch den continuirlichen Einfluss einer excitirenden Schwingung bewirkt wird, welche fast periodisch ist, aber deshalb nicht völlig periodisch, weil sie selbst gedämpft ist.

Als Bild vergleiche man die Schwingung einer Stimmgabel, welche durch einen Fiedelbogen angestrichen wird, der nicht gleichförmig, sondern gedämpft sinusförmig bewegt wird.

Ist die excitirende Schwingung gedämpft, so braucht sie selbst wieder eine excitirende Ursache und diese Excitation zweiter Stufe kann entweder durch einen zufälligen gelegentlichen Anlass erfolgen, oder selbst wieder periodisch sein. In letzterem Falle wird ausgesendet werden statt einer Serie von Linien eine Serie von Banden wie dies beispielsweise bei der Bandengruppe von Stickstoff bei  $\lambda = 5000\text{—}2800$  der Fall ist.

---

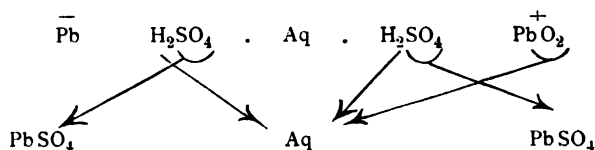
# Über die thermochemischen Vorgänge im Secundär-Elemente

von

**Franz Streintz.**

Aus dem physikalischen Institute der k. k. Universität Graz.

Die chemische Energie in einem Secundärelemente kommt dadurch zu Stande, dass auf Kosten der im Elektrolyte befindlichen Schwefelsäure an beiden Platten Bleisulfat ausgeschieden wird. Wendet man die von Pfaundler<sup>1</sup> für die Prozesse in einigen constanten Ketten gewählte übersichtliche Darstellung an, so erhält man als Ausdruck für die gemachte Behauptung das nachstehende Schema:



Dabei wird auf begleitende Nebenerscheinungen, bestehend in der Bildung der Verbindung  $\text{H}_2\text{PbO}_3$ , in der Absorption von H durch die negative Platte und endlich in der Ausscheidung von freien Gasen,<sup>2</sup> keine Rücksicht genommen. Ferner ist vorausgesetzt, dass bei der Entladung sämtliche Säure zur Salzbildung verbraucht wird.

Um die chemische Energie zu berechnen, zerlegt man sich vortheilhaft den Entladungsvorgang in drei Phasen.

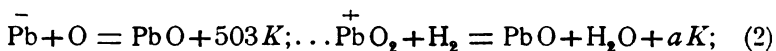
<sup>1</sup> Pfaundler, Müller-Pouillet's Lehrbuch der Physik, III, S. 578, 1888—1890.

<sup>2</sup> Streintz und Neumann, Wied. Ann., 41, 1890, S. 111 enthält die vollständigen Gleichungen.

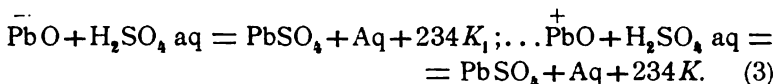
In der ersten Phase wird durch die Thätigkeit der Ionen  $2\text{H}^+$  und  $\text{SO}_4^{--}$  Wasser zerlegt; für diesen Vorgang gilt die Gleichung



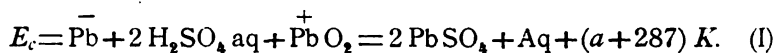
Der Sauerstoff erscheint an der negativen Platte, dieselbe oxydirend; der Wasserstoff reducirt das an der positiven Platte befindliche Superoxyd in Monoxyd unter Bildung von Wasser; es ergibt sich



da die Metalloxyde neben freier Säure nicht bestehen können, so tritt in der dritten Phase Sulfatbildung ein; die thermochemische Gleichung ist für beide Elektroden dieselbe und lautet:



Durch Addition der Gleichungen in (1), (2) und (3) erhält man für die chemische Energie



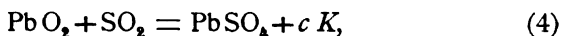
Bei Elementen mit grösserem Gehalt an Säure ist die jeweilige Verdünnungswärme derselben durch das bei der Entladung gebildete Wasser als additives Glied hinzuzufügen; auch wird die Lösungswärme des Bleisulfates in der Schwefelsäure zu berücksichtigen sein.

Sieht man von diesen Umständen zunächst ab, so beschränkt sich das thermochemische Problem auf die Aufgabe, die unbekannte Wärmetönung  $a$  direct oder indirect zu ermitteln oder mit andern Worten, das Bleisuperoxyd in irgend eine stabile Verbindung, deren potentielle chemische Energie bekannt ist,

<sup>1</sup> Die in der Abhandlung vorkommenden thermochemischen Angaben und Bezeichnungen sind dem Lehrbuch der allgemeinen Chemie (II. Band, 1893) von Ostwald entnommen. — Die Arbeit, welche gegen den Atmosphärendruck durch Entstehung von 1.5 Grammmolekülen Knallgas geleistet wird, wurde nicht berücksichtigt, da die Gase in der zweiten Phase wieder verschwinden.

unter Beobachtung der bei der Reaction auftretenden Wärme überzuführen.

Hiezu erschien ein Versuch geeignet, der in Vorlesungen über Experimentalchemie vorgeführt wird. In einem Kolben hängt ein Mousselinbeutelchen, das pulverförmiges Superoxyd enthält; leitet man einen lebhaften Strom von Schwefeldioxyd in denselben ein, so entsteht Bleisulfat unter so beträchtlicher Erhitzung der Substanz, dass das einhüllende Gewebe verbrennt. Bezeichnet man die entwickelte Wärme mit  $c$ , so ergibt sich



wobei noch die Arbeit beim Verschwinden des Gases zu berücksichtigen wäre.

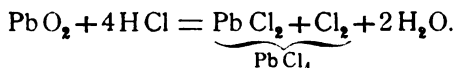
Sollen brauchbare Messungen dieser Reactionswärme angestellt werden, so musste vor Allem das organische Gewebe durch ein neutrales Behältniss für das Pulver ersetzt werden. Zu diesem Behufe dienten der Reihe nach Körbchen aus feinstmaschigem Platinnetz, Glaswolle, Glimmerplättchen.

Einige orientirende Versuche ergaben, dass der Gasstrom von  $\text{SO}_2$  nur geringe Mengen der Substanz umzusetzen im Stande ist; infolge dessen waren die zu erwartenden absoluten Wärmemengen klein; man musste demnach zum empfindlichsten Instrumente, dem Eiscalorimeter greifen.

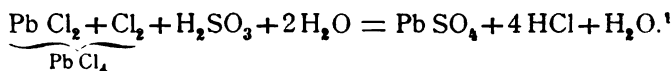
Leider stellte es sich heraus, dass die Intensität der Reaction bei der niedrigen Temperatur (der Gasstrom war selbstverständlich vor seinem Eintritte in das Reagirglas des Calorimeters auf  $0^\circ$  gekühlt worden) ganz bedeutend geschwächt wird. Es musste daher eine Vorwärmung der Substanz vorgenommen werden durch eine kleine Platinspirale, der auf galvanischem Wege eine genau gemessene Wärmemenge zugeführt wurde. Trotzdem blieb auch nunmehr der überwiegende Theil des Pulvers unverändert. Der Quecksilberfaden im Capillarrohr des Calorimeters hatte jedoch grössere Bewegungen vollzogen, so dass noch Hoffnung vorhanden war, es werde sich durch Wägungen vor und nach dem Versuche der Werth  $c$  ermitteln lassen. Die Resultate standen jedoch in keiner Übereinstimmung unter einander, so dass sich die Vermuthung aufdrängte, es sei durch die galvanische Erwärmung

ein veränderlicher Bruchtheil des Superoxydes in Monoxyd übergegangen.

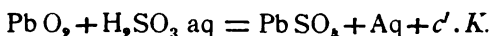
Es war daher ein anderer Weg einzuschlagen, welcher auch schliesslich zum Ziele führte. Aus Versuchen ergab sich, dass schwefelige Säure ( $\text{H}_2\text{SO}_3$  aq) allein nicht im Stande ist,  $\text{Pb O}_2$  zu verändern. Concentrirte Salzsäure jedoch zerstört das Superoxyd unter Bildung von Bleichlorid ( $\text{Pb Cl}_2$ ) Bleitetraclorid ( $\text{Pb Cl}_4$ ) und unter Entwicklung von freiem Chlor nach der Formel



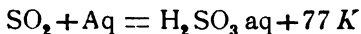
Einzeln ist somit keine von beiden Säuren für den gewünschten Zweck zu verwerthen; wohl aber, wenn man aus ihnen eine entsprechende Mischung herstellt. Dann wird das Blei an  $\text{SO}_4$ , das Chlor an H gebunden, entsprechend der Gleichung



Da der in der Mischung enthaltene Chlorwasserstoff keiner Veränderung durch den Process unterliegt, das Entstehen von einem Molekül Wasser aber mit Rücksicht auf den Überschuss von Wasser in der Lösung nicht in Betracht kommt, so kann man für beide neben einander verlaufenden Reactionen die thermochemische Gleichung aufstellen



Mit Zuhilfenahme des Werthes



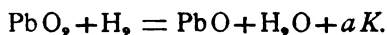
ergibt sich

$$c - c' = 77 K. \quad (5)$$

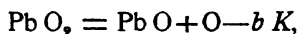
Gasförmiges  $\text{SO}_2$  tritt nicht auf; der Atmosphärendruck leistet somit keine Arbeit, noch wird eine solche gegen ihn verrichtet.

<sup>1</sup> Es ist nicht ausgeschlossen, dass ein Theil des Bleies an  $\text{Cl}_2$  gebunden bleibt. Da jedoch die Neutralisierungswärme des Chlorbleies (223 K) jener des Sulfates (234 K) nahezu gleichkommt, so ist dadurch eine Fehlerquelle nicht zu befürchten.

Um nun an Stelle von  $a$  in der Gleichung für die chemische Energie den experimentell auszumittelnden Werth  $c'$  zu erhalten, verfährt man folgendermassen. Es war



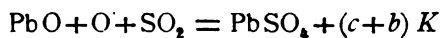
Bezeichnet man die Wärme, welche entwickelt wird, wenn Monoxyd in Superoxyd übergeführt wird mit  $b$ , also



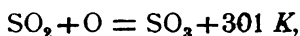
so gibt die Differenz dieser beiden Gleichungen die Bildungswärme des Wassers, d. h.

$$a + b = 684 K, \quad (6)$$

ferner lässt sich Gleichung (4) in die Form bringen



und da



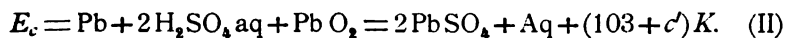
so ergibt sich



Die Wärmetönung dieses Vorganges ist zu 644  $K$  bestimmt worden; daraus folgt

$$c + b = 945 K. \quad (7)$$

Mit Hilfe der Gleichungen (5), (6) und (7) können also  $a$ ,  $b$ ,  $c$  und  $c'$  berechnet werden, sobald eine dieser vier Grössen bekannt ist. Sollen  $a$ ,  $b$  oder  $c$  für sich bestimmt werden, dann kommt noch die durch die Gase geleistete Arbeit entsprechend zu berücksichtigen. Hingegen ist bei Einführung des Werthes  $c'$  in die Gleichung für die chemische Energie an den Zahlen, welche sich für  $(a + b)$  und für  $(b + c)$  ergaben, keine Correction in diesem Sinne vorzunehmen. Es lehrt dies eine einfache Überlegung. Die Gleichung lautet nunmehr



Zur Bestimmung von  $c'$  war zunächst wieder das Eis-calorimeter ausersehen. Allein der Nachtheil einer nicht vollkommen verlaufenden Reaction trat auch hier ein und zudem war es misslich, dass man wegen der Einrichtung dieses Instrumentes nicht in der Lage war, den Verlauf des Processes mit den Augen zu verfolgen. Ich bediente mich daher einer



Einrichtung, welche von Nernst<sup>1</sup> mit Erfolg angewendet wurde. Ein kleines dünnwandiges Becherglas mit etwa 300 cm<sup>3</sup> Fassungsraum, dessen Rand abgesprengt war, stand auf drei Korkschnitten in einem weiten Batterieglass, das mit einem Holzdeckel versehen war. Der Holzdeckel enthielt zwei Ausschnitte; der eine diente dazu, die gewogenen Mengen Superoxyd einzuführen und war für gewöhnlich bedeckt; der andere seitliche hielt ein in Zehntelgrade getheiltes Thermometer, dessen Kugel bis nahe an den Boden des Becherglases reichte.

In das Becherglas wurden ungefähr 200 cm<sup>3</sup> der Mischung von Salzsäure und schwefeliger Säure gegossen. Um die entsprechende Mischung zu erhalten, gingen einige orientirende Versuche voraus, die ergaben, dass die bei gewöhnlicher Temperatur durch Absorption des SO<sub>2</sub> von Wasser hergestellte schwefelige Säure zum glatten Verlauf der Reaction nicht kräftig genug sei. Es wurde daher das Gas, das sich beim Erhitzen von Kupferspänen mit concentrirter Schwefelsäure entwickelte, zunächst in einem Schlangenrohr, welches von schmelzendem Schnee umgeben war, gekühlt und dann in einen gleichfalls gekühlten Glaskolben mit destillirtem Wasser so lange eingeleitet, bis dieses zu erstarren begann, d. h. bis sich das feste Hydrat (SO<sub>2</sub>·7 H<sub>2</sub>O) ausschied. Auf diesem Wege erhielt man Säure von 12 bis 13 Gewichtsprocenten. 40 Volumtheile davon wurden dann mit 30 Volumtheilen reiner concentrirter Salzsäure von 38·2 Gewichtsprocenten vermischt. Wenn man nun in diese Mischung das pulverförmige Pb O<sub>2</sub> tauchte, so ging der Process der Überführung in Pb SO<sub>4</sub> allerdings sehr rasch von statten, es wurden aber Nebel von SO<sub>2</sub> ausgestossen, was vermieden werden musste. Dies war dadurch zu erreichen, dass man 150 bis 160 cm<sup>3</sup> der Mischung die auf ungefähr 200 cm<sup>3</sup> ergänzende Menge Wasser zusetzte.

Das Bleisuperoxyd war aus einer Lösung von Bleiacetat und Kalilauge durch Einleiten von Chlor gefällt, dann durch Dekantation ausgewaschen, bis das Waschwasser weder Chlor- noch Bleireaction zeigte. Mit Salpetersäure gekocht gab es kein Blei ab, war somit frei von Oxyd. Es wurde, nachdem es sorg-

---

<sup>1</sup> Nernst, Theoretische Chemie, S. 468, 1893.

fältig bei einer Temperatur, die  $100^{\circ}$  nicht überstieg, getrocknet war, feingepulvert in einer Platinschale aufbewahrt, welche in einem Exsiccator stand.

Die Bestimmungen geschahen in der Weise, dass zunächst eine Wägung der Platinschale vorgenommen wurde. Dann entnahm man mittelst eines kleinen Glaslöffels der Schale eine Quantität Superoxyd und brachte dieselbe in ein Körbchen aus feinstmaschigem Platinnetz, dessen Drähte einen Durchmesser von  $0.06\text{ mm}$  besaßen. Zur Herstellung des Körbchens wurden an den vier nach aufwärts gebogenen Ecken des quadratischen Netzes Platindrähte eingehackt, welche ober der Mitte dieses vereint um einen stärkeren Platindraht, der zum Theil in ein Glasrohr eingeschmolzen war, geschlungen wurden. Das Glasrohr diente als Stiel, mit der Flüssigkeit in Berührung kam nur Platin. Eine Wägung der Schale nach dem Versuche gab die Menge des verbrauchten  $\text{PbO}_2$  an. Nach Ablauf von einer Minute war die Lösung milchig und am Boden des Becherglases begann sich schneelig weisses Sulfat niederzuschlagen. Das Körbchen hatte nunmehr durch weitere drei bis vier Minuten als Rührvorrichtung zu dienen.

Es handelte sich nun darum, die Wasserwerthe der verschiedenen Bestandtheile, an welche Wärme durch den chemischen Vorgang abgegeben worden war, zu ermitteln. Der Wasserwerth des in die Mischung tauchenden Thermometerstückes wurde aus dem Volumen desselben zu  $0.62\text{ g}$ , jener des Platinkörbchens aus dem Gewichte des Metalles zu  $0.10\text{ g}$ , endlich der des Becherglases bis zu der Höhe, die das Niveau der Flüssigkeit einnahm, aus einer Wägung des Gefäßes, dessen Rand nach Beendigung aller Versuche bis zu dieser Niveaufläche abgesprengt war, zu  $6.65\text{ g}$  bestimmt worden. Zur Ermittlung des Wasserwerthes der Mischung in der nach jedem einzelnen Versuche vorhandenen Zusammensetzung bediente man sich des Calorifers von Andrews, dessen Wärmehalt zwischen zwei festen Marken wiederholt bestimmt und im Mittel zu  $11.20\text{ K}$  gefunden wurde. Die jeweilige Mischung wurde hiezu vorher auf  $10^{\circ}\text{ C.}$  abgekühlt, so dass man, da die Erwärmung durch den Calorifer zwischen  $6^{\circ}3$  und  $6^{\circ}5$  betrug und die Zimmertemperatur bei  $18^{\circ}$  lag, bei stets steigendem Thermometer

beobachtete. Zur Anbringung der nöthigen Correcturen für den Temperaturgewinn waren die den entsprechenden Zeiten zukommenden Temperaturen zu verzeichnen.

Ganz in gleicher Weise musste verfahren werden, wenn an Stelle des Calorifers die Erwärmung das im Korbchen befindliche pulverförmige  $\text{PbO}_2$  besorgte; 3 g der Substanz erhöhten die Temperatur der Mischung um  $5^{\circ}5$  C.

Das zu den Messungen verwendete Thermometer wurde in dem Intervalle, innerhalb dessen die Ablesungen geschahen, mit einem Normalthermometer aus Jenenser Glas im Wasserbade verglichen. Darauf ermittelte man die Fundamentalpunkte des letzteren und calibrirte es nach dem Rudberg'schen Verfahren durch Ablösen und Verschieben von Quecksilberfäden in der Länge von  $50^{\circ}$ ,  $30^{\circ}3$  und  $41^{\circ}6$ . Die so erhaltenen Correctionen wurden auf die Angaben des Versuchsthermometers übertragen.

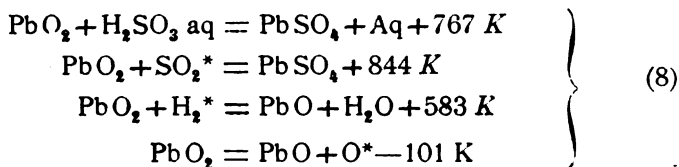
In der folgenden Tabelle sind die Ergebnisse der durchgeführten sechs Versuche zusammengestellt; sie befinden sich in genügender Übereinstimmung. Die erste Columnne enthält die Menge des umgesetzten Superoxydes in Grammen, die zweite die durch den Process hervorgerufene Temperaturerhöhung der Mischung. In der dritten ist die procentuelle Zusammensetzung von  $100 \text{ cm}^3$  Säure, in der vierten die durch den Calorifer erzeugte Steigerung der Temperatur angegeben; in der letzten Columnne endlich befinden sich die auf ein Grammmolekül  $\text{PbO}_2$  ( $238 \cdot 2 \text{ g}$ ) bezogenen Resultate in rationellen Calorien.

$\text{PbO}_2$	$\tau - t$	Concentration der Säuremischung	$\tau' - t'$	$c'$
1. 2·5081	4·60	12·2 g HCl 4·3 g $\text{SO}_2$	6·40	773·1
2. 2·2214	4·05	13·1 g HCl 4·5 g $\text{SO}_2$	6·48	759·2
3. 2·8639	5·27	12·2 g HCl 5·1 g $\text{SO}_2$	6·43	771·8
4. 3·0235	5·55	12·2 g HCl 5·1 g $\text{SO}_2$	6·38	767·4
5. 3·0178	5·47	12·2 g HCl 5·1 g $\text{SO}_2$	6·34	771·1
6. 2·9278	5·26	12·2 g HCl 5·1 g $\text{SO}_2$	6·36	761·4

Die grössten Abweichungen von einander liefern die Versuche 1 und 2, sie betragen  $1.8\%$ . Als Mittelwerth ergibt sich

$$c' = 767.3.$$

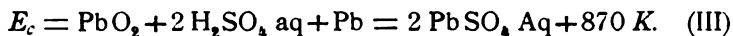
Man erhält somit nachstehende thermochemische Daten:



\* Gas.

Es darf nicht verschwiegen werden, dass die Resultate in (8) mit einem Fehler behaftet sind. Das im Wasser unlösliche Bleisulfat löst sich nämlich theilweise in Salzsäure von der angewendeten Concentration. In der Zahl 767 ist daher auch die Lösungswärme eines Bruchtheiles des entstandenen  $\text{PbSO}_4$  in  $\text{HCl}$  enthalten.<sup>1</sup>

Für die thermochemische Energie des Secundärelementes ergibt sich die Gleichung



Nimmt man die Constante des Faraday'schen Gesetzes zu 96540 Coulomb an, erwägt man ferner, dass der Einheit der elektrischen Energie  $0.00239 \text{ K}$  entsprechen, so kommen unter Berücksichtigung, dass Blei ein zweiwerthiges Metall ist,  $461.5 \text{ K}$  auf ein Volt. Die aus den thermochemischen Grössen berechnete elektromotorische Kraft des Elementes folgt daraus zu

$$1.885 \text{ Volt.}$$

Wie schon eingangs erwähnt, liegt der vorliegenden Berechnung die Annahme zu Grunde, dass sämmtliche im Elektrolyte enthaltene Säure zur Bildung des Salzes verbraucht wird.

In der Untersuchung, welche über die Abhängigkeit der elektromotorischen Kraft vom Säuregehalte angestellt wurde,<sup>2</sup>

<sup>1</sup> Man vergleiche übrigens die Anmerkung auf Seite 288.

<sup>2</sup> Streintz, Wied. Ann., 46, S. 458, 1892.

zeigte es sich, dass das Element, dessen Säure die geringste von den verwendeten Concentrationen (spec. Gew. 1·055) hatte, die elektromotorische Kraft 1·900 Volt besass.

Mit Rücksicht auf die mannigfaltigen Fehler, welche sich der thermochemischen Rechnung gemäss aus fremdem und eigenem Beobachtungsmaterial ergeben, wird man dieses nahe Zusammentreffen der Werthe für die elektromotorische Kraft zum Theile einem günstigen Zufalle zuzuschreiben haben. Immerhin aber dürfte diese Mittheilung als ein Kriterium dafür anzusehen sein, dass sich die Processe im Secundärelemente in der geschilderten, verhältnissmässig einfachen Weise abspielen.

---

#### XIV. SITZUNG VOM 25. MAI 1894.

Der Secretär legt das erschienene Heft I—III (Jänner bis März 1894) des 103. Bandes, Abtheilung II. b, der Sitzungsberichte vor.

Das c. M. Herr Prof. F. Exner übersendet eine im physikalisch-chemischen Institute der k. k. Universität in Wien ausgeführte Arbeit des Herrn M. v. Smoluchowski, betitelt: »Akustische Untersuchungen über die Elasticität weicher Körper«.

Ferner übersendet Herr Prof. F. Exner eine in demselben Laboratorium ausgeführte Arbeit des Herrn Bruno Piesch, betitelt: »Änderung des elektrischen Widerstandes wässeriger Lösungen und der galvanischen Polarisation mit dem Drucke«.

Das c. M. Herr Hofrath Prof. Dr. A. Bauer übersendet eine Arbeit aus dem Laboratorium für allgemeine und analytische Chemie an der k. k. technischen Hochschule in Wien von dem Assistenten daselbst, dipl. Chemiker Carl Mangold, betitelt: »Einige Beiträge zur Kenntniss der Ricinusöl-, Ricinelaïdin- und Ricinstearolsäure«.

Der Secretär legt eine von Prof. J. V. Janovsky und Herrn K. Hanofsky in Reichenberg eingesendete Abhandlung vor, betitelt: »Analyse des Maffersdorfer Sauerbrunnens«.

Das w. M. Herr k. u. k. Hofrath Director F. Steindachner überreicht eine ichthyologische Abhandlung unter dem Titel: »Ichthyologische Beiträge« (XVII.) und beschreibt in der-

selben einige neue Arten, deren Mehrzahl von Dr. Holub in Südafrika entdeckt wurden.

Das w. M. Herr Hofrath Director A. Kerner v. Marilaun überreicht eine Abhandlung von Dr. Eugen v. Halácsy in Wien, betitelt: »Beitrag zur Flora von Aetolien und Acarnanien«.

Herr J. Liznar, Adjunct der k. k. Centralanstalt für Meteorologie und Erdmagnetismus in Wien, überreicht eine Abhandlung betitelt: »Ein Beitrag zur Kenntniss der 26-tägigen Periode des Erdmagnetismus«.

Herr Prof. Dr. J. Schaffer, Assistent am histologischen Institute der k. k. Universität in Wien, überreicht eine zweite vorläufige Mittheilung über den feineren Bau der Thymus, betitelt: »Über die Thymusanlage bei Petromyzon Planeri«.

---

**Selbständige Werke oder neue, der Akademie bisher nicht  
zugekommene Periodica sind eingelangt:**

Chiru C., Canalisation des Rivières et les Irrigations. (Avec la charte hydrographique de la Roumanie.) — (Abhandlung in rumänischer Sprache.) Bukarest, 1893; 8°.

---

**SITZUNGSBERICHTE**  
**DER**  
**KAISERLICHEN AKADEMIE DER WISSENSCHAFTEN.**

**MATHEMATISCH-NATURWISSENSCHAFTLICHE CLASSE.**

**CIIL. BAND. VI. HEFT.**

**ABTHEILUNG II. a.**

**ENTHÄLT DIE ABHANDLUNGEN AUS DEM GEBIETE DER MATHEMATIK, ASTRONOMIE,  
PHYSIK, METEOROLOGIE UND DER MECHANIK.**





## XV. SITZUNG VOM 7. JUNI 1894.

In Verhinderung des Herrn Vicepräsidenten übernimmt Herr k. und k. Intendant Hofrath Ritter v. Hauer den Vorsitz.

Der Secretär legt das erschienene Heft I—II (Jänner und Februar 1894) des 103. Bandes, Abtheilung II. a, der Sitzungsberichte vor.

Das w. M. Herr k. u. k. Hofrath Director F. Steindachner übersendet im Auftrage Ihrer königlichen Hoheit der durchlauchtigsten Frau Prinzessin Therese in Baiern eine »Vorläufige Mittheilung über einige neue Fischarten aus den Seen von Mexico«.

Herr Prof. Dr. V. Hilber an der k. k. Universität in Graz übersendet die Ergebnisse seiner im Auftrage der kaiserl. Akademie 1893 unternommenen Reise als vorläufige Mittheilung unter dem Titel: »Reise in Nordgriechenland und Makedonien«.

Der Secretär legt folgende eingesendete Abhandlungen vor:

1. »Über das Spectrum des Kaliums, Natriums und Cadmiums bei verschiedenen Temperaturen«, von Regierungsrath Director Dr. J. M. Eder und Herrn E. Valenta in Wien.
2. »Zur Einwirkung der Anilinbasen auf Benzoin«, von Dr. Br. Lachowicz in Lemberg.

Ferner legt der Secretär zwei versiegelte Schreiben behufs Wahrung der Priorität vor, und zwar:

1. Von den Herren Adam Walcz und Henryk Olechowski in Lemberg, welches angeblich die Skizze einer Abhandlung über eine technische Erfindung enthält;
2. von Herrn Carl Moser in Wien mit der Aufschrift: »Selbstwirkende Regulatorbremse«.

Das w. M. Herr Hofrath Prof. J. Wiesner übergibt unter dem Titel: »Vergleichende physiologische Untersuchungen über die Keimung europäischer und tropischer Arten von *Viscum* und *Loranthus*« die vierte »pflanzenphysiologische Mittheilung aus Buitenzorg«.

Herr Prof. Dr. Oscar Simony überreicht eine von Herrn Dr. E. Suchanek in Wien ausgeführte Arbeit: »Über die dyadische Coordination der bis 100.000 vorkommenden Primzahlen zur Reihe der ungeraden Zahlen«.

---

## Folgerungen aus Amagat's Versuchen

von

C. Puschl.

(Vorgelegt in der Sitzung am 4. Mai 1894.)

Die Untersuchungen Amagat's über das Verhalten comprimierter Flüssigkeiten haben eine Reihe wichtiger Thatsachen kennen gelehrt, deren theoretische Bedeutung vorerst noch nicht absehbar ist.

Allgemein und als augenfälligstes Resultat ergab sich, dass die Zunahme, welche der Ausdehnungscoefficient einer Flüssigkeit mit steigender Temperatur gewöhnlich zeigt, durch Compression sich vermindert, wobei selbst der stärkste Druck noch keine Grenze erreicht, so dass jener Coefficient schliesslich mit steigender Temperatur nicht mehr zu-, sondern abnimmt, also eine völlige Umkehrung des gewöhnlichen Verhaltens eintritt. Es dürfte schwer sein, diese bedeutungsvolle Thatsache mit der kinetischen Anschauung vom Wesen der Wärme in Einklang zu bringen, und es ist bisher, wie ich glaube, auch nicht versucht worden.

Dem ausgesprochenen Satze gemäss ist für die Flüssigkeiten allgemein

$$\frac{d^2 a}{dp dt} < 0$$

oder negativ, wobei

$$a = \frac{1}{v} \cdot \frac{dv}{dt}$$

der hierdurch definirte Ausdehnungscoefficient ist und  $p$ ,  $t$ ,  $v$  die gewöhnliche Bedeutung haben.

Wenn  $\frac{d^2a}{dpdt}$ , wie es nach Amagat innerhalb der Grenzen seiner bezüglichen Versuche der Fall war, stets negativ bleibt, also der für gewöhnlich positive Quotient  $\frac{da}{dt}$  bei jeder Temperatur durch Compression beständig abnimmt und endlich negativ wird, dann muss der für gewöhnlich negative Quotient  $\frac{da}{dp}$  bei jeder Compression durch Temperaturerniedrigung beständig zunehmen und endlich positiv werden. Diese Folgerung ist theoretisch unanfechtbar; für die Wirklichkeit ist aber zu beachten, dass eine Flüssigkeit durch Erkalten zuletzt immer erstarrt, wobei ihre Substanz eine Veränderung der Structur erfährt und ihr Verhalten sich mehr oder weniger sprungweise modificirt. Man kann daher nur sagen, dass jedenfalls, je tiefer der Erstarrungspunkt einer Flüssigkeit liegt, desto mehr Aussicht vorhanden sein muss, die erwähnte Folgerung an ihr vollständig verificirt zu sehen; es wird dabei weniger auf die absolute Lage jenes Punktes, als vielmehr darauf ankommen, dass er tief genug unterhalb der kritischen Temperatur liegt, deren Höhe für den Gang der Wärmeausdehnung unter gleichen Versuchsbedingungen am meisten massgebend erscheint. In dieser Hinsicht dürfte neben dem Wasser besonders das Quecksilber in Betracht kommen.

### Halt- und Wendepunkte der Wärmeausdehnung.

Denkt man sich eine Flüssigkeit unter einem den kritischen um etwas übersteigenden Drucke stehend, so hat ihr Ausdehnungscoëfficient  $a$  bei einer Temperatur etwas ober der kritischen ein sehr starkes Maximum, wofür

$$\frac{da}{dt} = 0$$

ist. Bei einer Temperatur unterhalb seines Maximums hat  $a$  einen Wendepunkt, wo nämlich die Geschwindigkeit seiner Zunahme am grössten, also  $\frac{da}{dt}$  ein Maximum und

$$\frac{d^2 a}{dt^2} = 0$$

ist. Wie jener Werth von  $a$  wird auch dieser ähnlich starke Werth von  $\frac{da}{dt}$  durch Compression vermindert.

Es sei die Flüssigkeit unter dem vorausgesetzten Drucke bis zur Temperatur des Wendepunktes von  $a$  erwärmt. Drückt man sie dann stärker zusammen, indem man zugleich die Temperatur so regelt, dass  $a$  immer in seinem Wendepunkte und somit die bezügliche obige Bedingung erfüllt bleibt, so hat man die Gleichung

$$d \frac{da}{dt} = \frac{d^2 a}{dp dt} dp,$$

wonach  $\frac{da}{dt}$  auch in diesem Falle, wie bei constanter Temperatur, mit der Zunahme des Druckes abnimmt. Man kann so die Compression fortsetzen, bis

$$\frac{d^2 a}{dt^2} = \frac{da}{dt} = 0$$

wird. Hier ist das Maximum von  $a$  auf dessen Wendepunkt gerückt und fällt mit einem Minimum zusammen (erster Halt- und Wendepunkt). Für Drucke ober dieser Grenze ist  $\frac{da}{dt}$  im Wendepunkte und daher als Maximum negativ; das für den kritischen Zustand unendlich grosse Maximum von  $a$  ist dann vollständig unterdrückt und verschwunden.

Aus diesem Halt- und Wendepunkte von  $a$  geht, gemäss der aus  $\frac{da}{dt} = 0$  folgenden Differentialgleichung:

$$\frac{d^2 a}{dt^2} dt + \frac{d^2 a}{dp dt} dp = 0,$$

bei Abnahme des Druckes das Maximum, an Grösse zunehmend, zunächst auf höhere Temperaturen über, und es mag sein schliesslicher Verlauf bis zum kritischen Punkte vorläufig ausser Betracht bleiben; das Minimum geht gleichzeitig, ebenfalls an Grösse zunehmend, auf immer tiefere Temperaturen herab.

Nach Amagat's Versuchen wird der Quotient  $\frac{da}{dt}$ , wenn er durch Compression negativ oder Null ist, durch Abnahme des Druckes, welches auch die Temperatur sei oder wie immer sie wechseln mag, jedenfalls zuletzt positiv. Jenes mit abnehmender Compression auf tiefere Temperaturen fortschreitende Minimum von  $a$  muss daher endlich auf einen Druck fallen, welcher der kleinste ist, wobei noch  $\frac{da}{dt} = 0$  sein kann; für diesen kleinsten Druck wird in der entsprechenden obigen Gleichung das Differential  $dp = 0$  und somit ist dann auch

$$\frac{d^2a}{dt^2} = \frac{da}{dt} = 0;$$

hier trifft das Minimum von  $a$  mit einem Wendepunkte und einem Maximum zusammen (zweiter Halt- und Wendepunkt).

Von diesem Punkte aus kehrt bei Zunahme des Druckes das Minimum von  $a$  wieder auf höhere Temperaturen zurück, während das Maximum, wegen des negativen Werthes von  $\frac{da}{dp}$  an Grösse abnehmend, auf immer tiefere Temperaturen hinabgeht.

Denken wir uns jetzt eine Flüssigkeit, für welche  $\frac{da}{dp}$  positiv ist, so dass  $a$  bei einem ohnehin für gewöhnlich positiven Werthe von  $\frac{da}{dt}$  sowohl durch Erwärmung, als auch durch Compression zunimmt. Es lässt sich dann bei Erniedrigung der Temperatur durch gleichzeitigen Druck bewirken, dass  $a$  constant bleibt, wobei die Gleichung

$$\frac{da}{dt} dt + \frac{da}{dp} dp = 0$$

stattfinden muss. Da nach den erwähnten Versuchen ein positiver Werth von  $\frac{da}{dt}$  bei jeder Temperatur durch Compression endlich Null wird und das Vorzeichen wechselt, so muss man

bei einer unter der bezeichneten Bedingung fortgesetzten Compression jedenfalls zu einem Drucke kommen, welcher der grösste ist, wobei dieser Quotient noch positiv sein kann und wo derselbe also verschwinden muss. Für diesen grössten Druck wird in der vorigen Gleichung das Differential  $dp = 0$  und zugleich

$$\frac{da}{dt} = 0;$$

aus derselben Gleichung ergibt sich aber für diesen Fall

$$\frac{d^2a}{dt^2} + \frac{da}{dp} \cdot \frac{d^2p}{dt^2} = 0,$$

woraus folgt, dass hier, weil der Druck ein Maximum ist,  $\frac{d^2a}{dt^2}$  positiv und  $a$  ein Minimum sein muss. In einer Flüssigkeit, für welche  $\frac{da}{dp}$  positiv ist, gibt es demnach bei jedem Drucke eine Temperatur, bei welcher  $a$  ein Minimum wird; dasselbe geht dem Amagat'schen Satze gemäss mit steigender Compression auf höhere Temperaturen über.

In einer Flüssigkeit, für welche  $\frac{da}{dp}$  bei hohen Temperaturen negativ und bei niedrigen positiv ist, geht nach dem Gesagten bei hinreichender Compression einerseits ein Maximum von  $a$  mit negativem  $\frac{da}{dp}$  von oben her auf immer tiefere Temperaturen hinab, während anderseits ein Minimum mit positivem  $\frac{da}{dp}$  von unten her zu immer höheren Temperaturen hinaufgeht; diese zwei Punkte müssen endlich in einem Wendepunkte zusammentreffen, für welchen

$$\frac{d^2a}{dt^2} = \frac{da}{dt} = 0$$

wird (dritter Halt- und Wendepunkt). Da der Werth von  $\frac{da}{dp}$  für das Maximum negativ und für das Minimum positiv ist,



so muss derselbe im Coincidenzpunkte verschwinden und das Vorzeichen wechseln.

Für den so erreichten Punkt ist daher einerseits wegen  $\frac{da}{dt} = 0$ :

$$\frac{d^2 a}{dt^2} dt + \frac{d^2 a}{dp dt} dp = 0,$$

und anderseits wegen  $\frac{da}{dp} = 0$ :

$$\frac{d^2 a}{dp^2} dp + \frac{d^2 a}{dp dt} dt = 0;$$

durch Verbindung dieser zwei Differentialgleichungen ergibt sich:

$$\frac{d^2 a}{dp^2} dp^2 = \frac{d^2 a}{dt^2} dt^2$$

und man sieht, dass hier mit dem einen auch der andere der beiden zweiten Differentialquotienten von  $a$  verschwindet und folglich

$$\frac{d^2 a}{dp^2} = \frac{da}{dp} = 0$$

ist. Der hierdurch definirte Zustand einer Flüssigkeit ist aber derjenige, welchen ich in einer früheren Abhandlung,<sup>1</sup> wo ich denselben auf eine andere Weise erschloss, den peripetischen nannte. Man kann daher sagen: Im peripetischen Punkte einer Flüssigkeit geht ihr Ausdehnungscoëfficient sowohl als Function der Temperatur wie als Function des Druckes aus einem Maximum in ein Minimum über.

Von diesem durch Compression erreichten merkwürdigen Zustande aus kehrt bei Abnahme des Druckes das der Bedingung  $\frac{da}{dt} = 0$  entsprechende Maximum von  $a$  mit negativen Werthen von  $\frac{da}{dp}$  wieder auf höhere Temperaturen zurück,

<sup>1</sup> Diese Berichte, Bd. 98, Abth. II. a, S. 1341.

während das der gleichen Bedingung entsprechende Minimum mit positiven Werthen von  $\frac{da}{dp}$  auf immer tiefere Temperaturen fortgeht.

### **Verlauf der Wärmeausdehnung für constanten Druck.**

Im Vorigen haben sich für den Verlauf von  $\alpha$  als Function der Temperatur in einer Flüssigkeit drei Wendepunkte und vier Haltpunkte, nämlich zwei Maxima und zwei Minima, ergeben. Der erste oder obere Wendepunkt fällt für den kritischen Zustand mit dem dann unendlich grossen Maximum von  $\alpha$  zusammen; für Drücke unter dem kritischen bleiben daher zwei Wendepunkte, der mittlere und der obere, übrig; in jenem ist  $\frac{da}{dt}$  ein Minimum, in diesem ein Maximum. Der mittlere Wendepunkt scheint bei den meisten Flüssigkeiten innerhalb oder nicht weit ausserhalb des Intervalles der gewöhnlichen Versuchstemperaturen zu fallen und ist dann aus empirischen Ausdehnungsformeln, wenn sie eine hinreichende Zahl von Constanten enthalten, immer nachweisbar; er liegt bei Wasser ober 100°, bei anderen Flüssigkeiten tiefer, sehr tief bei Alkohol.

Lässt man eine Flüssigkeit von ihrem kritischen Zustande aus bei constantem Drucke erkalten, so nimmt der Quotient  $\frac{da}{dt}$  zuerst schnell, aber allmähig sich verlangsamen ab, bis er bei der Temperatur des mittleren Wendepunktes ein Minimum wird und weiterhin zunimmt. Dieses durch Compression abnehmende Minimum von  $\frac{da}{dt}$  ist nun bei dem vorausgesetzten kritischen Drucke entweder noch positiv oder schon negativ; im ersten Falle nimmt der Ausdehnungscoefficient  $\alpha$  sowohl vor wie nach Überschreitung des Wendepunktes ununterbrochen ab, im zweiten Falle hingegen hat derselbe ober dem Wendepunkte ein mehr oder weniger ausgeprägtes Minimum und unterhalb ein entsprechendes Maximum. Bei schwachen Drucken, wie der atmosphärische ist, findet fast allgemein nur das erstere Verhalten statt; verstärkt man aber dann den Druck mehr und mehr, so kommen endlich ein vom Wendepunkte aus

nach oben fortschreitendes Minimum und ein von demselben Punkte aus nach unten fortschreitendes Maximum von  $a$  zur Entwicklung. Die Versuche Amagat's lassen diesen Verlauf besonders am Äther, wo der Wendepunkt auf eine mittlere Temperatur fällt, sehr deutlich ersehen.

Wenn in Flüssigkeiten, deren kritische Temperatur mässig hoch ist, schon der mittlere Wendepunkt auf eine gewöhnliche oder auch niedrige Temperatur fällt, so muss natürlich der untere Wendepunkt, wenn nicht früher die Erstarrung eintritt, unterhalb der unteren Grenze der gewöhnlichen Versuche liegen. Nur bei Flüssigkeiten, deren kritische Temperatur besonders hoch ist, wird man erwarten dürfen, dass dieser Wendepunkt relativ hoch liegt und, wenn die Erstarrungstemperatur niedrig ist, ober derselben eintritt. Eine solche Flüssigkeit ist, wie ich glaube, das Quecksilber.

Der Werth von  $a$  nimmt bei Quecksilber<sup>1</sup> in niedriger Temperatur mit deren Erhöhung ab, bis er etwa bei 80° ein Minimum wird und dann zunimmt. In diesem Verlaufe wächst also  $\frac{da}{dt}$  vorerst. Wie andere Flüssigkeiten, z. B. das Wasser ober 100°, aber jedenfalls bei einer viel höheren Temperatur, wird nämlich auch das Quecksilber einen Wendepunkt haben, wo jener Quotient ein Minimum ist. Von da an nimmt derselbe mit sinkender Temperatur zu und muss folglich bei einem gewissen tieferen Punkte ein Maximum werden; dies ist der untere Wendepunkt und das erwähnte, unterhalb desselben fallende Minimum von  $a$  ist ein unteres Minimum, für welches daher  $\frac{da}{dp}$  positiv sein muss. Man kommt somit zu dem Schlusse, dass der Ausdehnungscoefficient des Quecksilbers in gewöhnlicher Temperatur durch Compression zunimmt. Diese Folgerung entbehrt indessen noch der experimentellen Bestätigung. Das Quecksilber würde hiernach, aber bis zu einer viel höheren Temperatur, ein ähnliches Verhalten zeigen wie das Wasser bis 63°.

---

<sup>1</sup> Nach Wüllner's Ausdehnungsformel in Poggendorf's Annalen, Bd. 153, S. 444.

Wenn diese Folgerung richtig ist, muss das bei Quecksilber vorkommende Minimum von  $a$  mit dem Drucke abnehmen. Bei der Kleinheit des gewöhnlichen Druckes hat eine solche Abnahme natürlich sehr bald eine Grenze; wenn es aber möglich wäre, die Flüssigkeit mechanisch oder durch einen allseitigen äusseren Zug stark auszudehnen, so würde man durch hinreichende Dehnung jenes Minimum von  $a$  auf Null bringen und negativ machen können.

Es lässt sich eine Flüssigkeit mit positivem  $\frac{da}{dp}$  denken, für welche das untere Minimum von  $a$  einen gleichen Werth hat wie für Quecksilber, aber nicht unter dem atmosphärischen, sondern unter einem sehr starken Drucke. Indem mit dessen Verminderung jenes Minimum abnimmt, kann dasselbe bei einem gewissen Drucke Null werden; ein noch kleinerer Druck macht es dann negativ. Diesfalls gibt es jetzt zwei Temperaturen, wobei  $a = 0$  wird: Die eine ist niedriger, die andere höher als diejenige, bei welcher  $a$  sein Minimum hat; bei ersterer ist die Dichte ein Minimum, bei letzterer ist sie ein Maximum. Mit Abnahme des Druckes geht der untere Nullwerth von  $a$  oder das Dichteminimum auf niedrigere, der obere Nullwerth oder das Dichtemaximum auf höhere Temperaturen über. Die Flüssigkeit würde also, von einer höheren Temperatur her erkaltend, zuerst ein Maximum und bei einer entsprechend niedrigen Temperatur ein Minimum ihrer Dichte erreichen. Es ist nun auch eine Flüssigkeit denkbar, welche durch Erkalten zwar ein Dichtemaximum erreicht, aber bald nach dessen Überschreitung erstarrt. Dies ist der Fall des Wassers.

Befindet sich Wasser bei dem gewöhnlichen Drucke im Dichtemaximum und ist somit für dasselbe  $a = 0$ , so kann man bei Erniedrigung der Temperatur durch Compression bewirken, dass diese Bedingung erfüllt bleibt. Da der für ein Dichtemaximum selbstverständlich positive Werth von  $\frac{da}{dt}$  bei der auf solche Weise fortgesetzten Compression jedenfalls endlich Null wird, so muss man in deren Verlauf zu einem grössten Drucke kommen, wobei noch  $a = 0$  und die Dichte ein Maximum sein kann. Für diesen Druck ist nach der bezüglichen

obigen Begründung  $\frac{d^2a}{dt^2}$  positiv und der Nullwerth von  $a$  ein Minimum. Da der genannte Quotient für  $a = 0$  bei  $4^\circ$  bekanntlich negativ ist, so muss er während des Überganges zu jenem letzten oder untersten Dichtemaximum irgendwo das Vorzeichen gewechselt haben; dies ist der untere, einem Maximum von  $\frac{da}{dt}$  entsprechende Wendepunkt, welcher dem unteren Minimum von  $a$  vorangehen muss.

Bei dem grössten für  $a = 0$  möglichen Drucke fällt das Maximum der Dichte mit dem entsprechenden, durch die Compression gleichzeitig aufwärts gerückten Minimum derselben zusammen (Halt- und Wendepunkt der Dichte). Das in diesem Punkte nullgleiche Minimum von  $a$  wird nun durch weitere Compression positiv; die Dichte der Flüssigkeit erreicht folglich dann bei keiner Temperatur mehr ein Maximum. Von einer diesbezüglichen Anomalie des Wassers kann daher nur insofern die Rede sein, als bei demselben das bei anderen Flüssigkeiten gewöhnliche Verhalten erst unter einem sehr starken Drucke eintritt. Diesen Einfluss des Druckes hat Amagat auf Grund seiner Versuche ausführlich hervorgehoben.

Ob sich Wasser bei dem dazu nöthigen Drucke bis zu der jedenfalls sehr niedrigen Temperatur des untersten Dichtemaximums flüssig erhalten lässt, muss allerdings dahingestellt bleiben; die Möglichkeit scheint aber nicht unbedingt ausgeschlossen zu sein. Dass übrigens die Druckzunahme, welche zur Verschiebung des Dichtemaximums um  $1^\circ$  nöthig ist, mit steigender Compression, der Annäherung an ein Maximum derselben gemäss, kleiner wird, ist in Amagat's bezüglichen Angaben erkennbar ausgesprochen.

Erwähnenswerth ist noch, dass, weil das untere Minimum von  $a$ , mit steigender Compression auf höhere Temperaturen verschoben, schliesslich den peripetischen Punkt trifft, für diesen die Temperatur und der Druck nothwendig höher sind als für den Halt- und Wendepunkt der Dichte und dass folglich dort der Werth von  $a$  in jedem Falle positiv sein muss.

Man denke sich zum Schlusse eine Flüssigkeit so comprimirt, dass das obere, durch den kritischen Punkt bedingte

Maximum von  $a$  im oberen Wendepunkte mit dem bezüglichen Minimum coincidire. Dann ist  $\frac{da}{dt} = 0$ ; lässt man jetzt bei constantem Drucke die Temperatur sinken, so wird dieser Quotient negativ, erreicht bei der Temperatur des mittleren Wendepunktes ein Minimum und nimmt dann zu, bis er bei einer niedrigen Temperatur wieder verschwindet; hier hat  $a$  ein Maximum und unterhalb desselben, jenseits des unteren Wendepunktes, ein Minimum. Durch stärkere Compression fallen endlich auch diese zwei Haltpunkte zusammen; der dann obwaltende Druck ist der peripetische. Für Drucke ober dieser Grenze nimmt  $a$  von einem beliebig tief liegenden Punkte an bis zu den höchsten erreichbaren Temperaturen ununterbrochen ab. Der gewöhnliche, nach der herrschenden Ansicht für selbstverständlich gehaltene Verlauf der Wärmeausdehnung erscheint dann vollständig umgekehrt. Die bisherigen Versuche Amagat's, obwohl bei den höchsten Drucken auf ein mässiges Temperaturintervall beschränkt, dürften in dieser Hinsicht schon gegenwärtig kaum einen Zweifel bestehen lassen.

#### **Verlauf der Wärmeausdehnung für constante Temperatur.**

Wenn in einer Flüssigkeit der für höhere Temperaturen stets negative Quotient  $\frac{da}{dp}$  durch Erkalten positiv wird, so ist  $a$  im Punkte des Zeichenwechsels, wie für das Wasser auch experimentell feststeht, als Function des Druckes ein Maximum. Durch Compression nimmt dann  $a$  zuerst langsam, aber sich beschleunigend, ab; bei einem gewissen Drucke, einem Wendepunkte entsprechend, ist die Abnahme am schnellsten und wird dann wieder allmählig langsamer. Schliesslich muss  $a$ , der Existenz des peripetischen Punktes gemäss, stationär und ein Minimum werden; aber ein solches hat Amagat mit dem höchsten angewendeten Drucke bisher noch bei keiner Flüssigkeit erzielt. Der für das Maximum von  $a$  positive Quotient  $\frac{da}{dt}$  wechselt, durch den genannten zweifachen Wendepunkt bedingt, bei dem Übergange das Vorzeichen und ist für das Minimum negativ.

Mit sinkender Temperatur kommen das Maximum und das Minimum, jenes auf grössere und dieses auf kleinere Drucke übergehend, einander immer näher, bis sie im peripetischen Punkte zusammenfallen; bei Temperaturen unterhalb dieses Punktes nimmt  $\alpha$  durch Compression beständig zu und es ist nur noch ein Wendepunkt übrig, wo diese Zunahme am langsamsten ist.

Geht man von einem Punkte, wo  $\alpha$  als Function des Druckes ein Maximum hat, zu dem der gleichen Temperatur entsprechenden Minimum unter der Bedingung über, dass dabei immer  $\frac{d\alpha}{dp} = 0$  bleiben soll, so nimmt  $\alpha$  zuerst, als Maximum verlaufend, verzögert ab, wird im peripetischen Punkte stationär und setzt dann, als Minimum verlaufend, seine Abnahme, nun beschleunigt, weiter fort.

Bei Quecksilber muss nach meiner betreffenden obigen Schlussfolgerung der peripetische Punkt jedenfalls höher liegen als das bei ungefähr  $80^\circ$  eintretende Minimum von  $\alpha$ ; es wird daher bei dieser Flüssigkeit der Ausdehnungscoëfficient für jede gewöhnliche Temperatur durch Compression beständig, wenn auch sehr langsam, zunehmen.

Bei Wasser nimmt  $\alpha$  für  $0^\circ$  nach Amagat sowohl mit dem Drucke wie mit der Temperatur zwar noch etwas, aber schon sehr langsam zu; hier dürfte also der peripetische Punkt, wo  $\alpha$  in beiden Beziehungen stationär ist, nicht weit von  $0^\circ$  entfernt liegen und durch einen erheblich stärkeren Druck als 3000 Atmosphären wirklich erreichbar sein.

Erhöht man die Temperatur von dem Punkte an, wo  $\alpha$  bei dem atmosphärischen Drucke sein Maximum hat, so geht dieses auf kleinere und daher negativ werdende Drucke über, wobei die Flüssigkeit nicht mehr bestandfähig ist, und endlich fällt sogar auch der Wendepunkt auf solche Drucke; dann nimmt  $\alpha$  durch Compression von Anfang an mit fortwährend sich vermindender Geschwindigkeit ab. Bei Flüssigkeiten, deren kritischer Punkt mässig hoch liegt, tritt der letztere Fall thatsächlich schon bei gewöhnlichen Temperaturen ein.

Während sonach das Maximum von  $\alpha$  von einer gewissen Temperatur an wegen der für diese Bedingung eintretenden

Instabilität der Flüssigkeit sich der Beobachtung entzieht und erst im kritischen Punkte wieder zum Vorschein kommt, geht das wegen Stärke der nöthigen Compression bisher dem Experimente gleichfalls unzugängliche Minimum mit steigender Temperatur auf höhere Drucke über, wobei, weil für dasselbe  $\frac{da}{dt}$  negativ ist,  $a$  fortwährend abnimmt. Den schliesslichen Verlauf dieses Minimums, welches, sobald dessen Existenz sicher gestellt sein wird, eine wichtige Bedeutung erlangen dürfte, habe ich bereits in der oben citirten Abhandlung erörtert. Ich erwähne hier nur, dass ein durch hohe Temperatur bedingter Nullwerth und Zeichenwechsel von  $a$  jedenfalls zuerst in einem Minimum dieser Grösse eintreten wird.

Comprimirt man eine Flüssigkeit bei ihrer kritischen Temperatur, wo  $a$  als Function des Druckes ein Maximum  $= \infty$  ist, so nimmt der diesbezügliche Werth des Productes  $pv$  zuerst ab, erreicht aber, wie man weiss, bald ein Minimum und fängt dann schnell zu wachsen an; hierbei nimmt das Product  $apv$  zuerst noch ab, muss aber ebenfalls bald ein Minimum werden, und erst nach dessen Überschreitung wird endlich auch der Eintritt des Minimums von  $a$  erfolgen. Immer aber, wenn bei Compression das Minimum von  $apv$  früher eintritt als dasjenige von  $a$ , muss letzteres noch positiv sein; sobald nämlich diese zwei Minima zusammenfallen, ist

$$a = \frac{da}{dp} = 0,$$

und die entsprechende Temperatur ist die niedrigste, wobei durch Erwärmung  $a = 0$  (die Dichte ein Minimum) werden kann. Diese Temperatur liegt jedoch, wie es nach Amagat's Versuchen scheint, jedesmal weit ober der kritischen.

### Verlauf der Zusammendrückbarkeit mit der Temperatur.

Zwischen dem Ausdehnungscoëfficienten  $a$  und der Zusammendrückbarkeit

$$c = -\frac{1}{v} \cdot \frac{dv}{dp}$$



besteht ihrer Bedeutung gemäss allgemein die einfache Beziehung

$$\frac{dc}{dt} = - \frac{da}{dp}.$$

Man sieht, dass, wenn  $a$  durch Compression abnimmt,  $c$  durch Erwärmung wächst, und dass umgekehrt, wenn  $a$  durch Compression wächst,  $c$  durch Erwärmung abnimmt. Ist  $a$  durch Druck ein Maximum, so ist, der Gleichung

$$\frac{d^2 c}{dt^2} = - \frac{d^2 a}{dp dt}$$

entsprechend,  $c$  durch Wärme ein Minimum.

Wie bei Wasser bis  $63^\circ$ , wird nach dem obigen auch bei Quecksilber, aber hier bis zu einem viel höheren Punkte, die Zusammendrückbarkeit mit steigender Temperatur abnehmen. Bisher liegt in dieser Hinsicht eine experimentelle Angabe nicht vor.

Wie für ein Maximum von  $a$  wird auch für das bei gleicher Temperatur durch hinreichende Compression zu erwartende Minimum wieder  $\frac{dc}{dt} = 0$ , wobei  $c$  gleicherweise wieder als Function der Temperatur ein Minimum ist. Beide Minima von  $c$  nähern sich mit sinkender Temperatur einander und im peripetischen Punkte fallen sie zusammen. Die hier stattfindende Temperatur ist die niedrigste, wobei die Zusammendrückbarkeit ein Minimum werden kann. Von diesem Punkte an nimmt dieselbe durch Erkalten, so lange die Flüssigkeit als solche bestehen bleibt, fortwährend zu.

### Kritische Anomalie.

Denkt man sich eine Flüssigkeit unter einem den kritischen um etwas übersteigenden Drucke stehend, so hat ihre Zusammendrückbarkeit  $c$  bei einer Temperatur etwas ober der kritischen ein starkes Maximum, wofür

$$\frac{dc}{dt} = 0$$

ist. Unterhalb ihres Maximums hat dieselbe einen Wendepunkt, wo sie am schnellsten zunimmt, und oberhalb einen zweiten Wendepunkt, wo sie am schnellsten abnimmt; für beide Wendepunkte ist

$$\frac{d^2c}{dt^2} = 0,$$

aber der Quotient  $\frac{dc}{dt}$  ist im unteren ein Maximum und im oberen, wo er negativ ist, ein Minimum.

In dem Temperaturintervalle zwischen den zwei Wendepunkten und daher auch für das Maximum von  $c$  ist der Quotient  $\frac{d^2c}{dt^2}$  negativ, wogegen derselbe unter- und oberhalb jenes Intervalles positiv ist. Vermöge der Gleichung

$$\frac{d^2c}{dt^2} = - \frac{d^2a}{dpdt}$$

ist folglich für Temperaturen innerhalb des genannten Intervalles

$$\frac{d^2a}{dpdt} > 0$$

oder positiv, während ausserhalb desselben, mit den Angaben Amagat's übereinstimmend, überall

$$\frac{d^2a}{dpdt} < 0$$

oder negativ ist. Jene durch die Existenz des kritischen Punktes bedingte Ausnahme vom gewöhnlichen Verhalten nenne ich die kritische Anomalie.

Für den kritischen Zustand fallen die zwei Wendepunkte von  $c$  mit dem dann unendlich grossen Maximum zusammen. Durch einen etwas stärkeren Druck, wie der vorausgesetzte ist, gehen die genannten drei Punkte mit ungleicher Geschwindigkeit, und daher sich von einander entfernend, alle zugleich auf höhere Temperaturen über. Die Verschiebung nach oben ist eine nothwendige Folge davon, dass im kritischen Punkte  $\frac{dp}{dv} = 0$  ist und daher in seiner Nähe  $p$  und  $t$  für jede Zustands-

änderung annähernd so wechseln, als wenn  $v$  constant wäre. Das Intervall zwischen den Wendepunkten von  $c$  muss also von Anfang an mit steigender Compression sich erweitern.

Nach dem Gesagten ist der Quotient  $\frac{d^3c}{dt^3}$  im unteren Wendepunkte negativ, im oberen positiv; zwischen beiden liegt daher eine Temperatur, bei welcher

$$\frac{d^3c}{dt^3} = 0$$

und somit der negative Werth von  $\frac{d^2c}{dt^2}$  ein Minimum ist. Für den kritischen Zustand ist dieses Minimum  $= -\infty$ ; durch Compression wird es schnell abgeschwächt, und es muss einen Druck geben, der dasselbe auf Null bringt. Lässt man bei der Compression die Temperatur so wechseln, dass  $\frac{d^2c}{dt^2}$  immer in seinem Minimum und also die entsprechende obige Bedingung erfüllt bleibt, so wird man demnach zu einem Drucke kommen, wobei

$$\frac{d^2c}{dt^2} = \frac{d^3c}{dt^3} = 0$$

ist; hier fallen die zwei Wendepunkte zusammen und die kritische Anomalie ist verschwunden. Das Temperaturintervall, in welchem der Amagat'sche Satz nicht gilt, erweitert sich also durch Compression zuerst, erreicht dabei eine grösste Erstreckung und zieht sich dann zusammen, bis es zuletzt wieder, wie im kritischen Punkte, auf Null reducirt ist und von da ab entfällt.

Mit demjenigen von  $c$  fällt für den kritischen Zustand das Maximum von  $a$  zusammen. Ein etwas stärkerer Druck verschiebt auch dieses nach oben; da es zugleich an Grösse abnimmt, ist dann für dasselbe  $\frac{da}{dp}$  negativ und somit  $\frac{dc}{dt}$  positiv, woraus folgt, dass es nun zwischen dem Maximum und dem unteren Wendepunkte von  $c$  liegt. Es zeigt also eine Tendenz, sich dem letzteren Punkte zu nähern.

Der Verschiebung des Maximums von  $a$  nach oben entspricht der kritischen Anomalie gemäss ein positiver Werth

von  $\frac{d^2 a}{dp dt}$ . Da nun dieser Quotient, wo er positiv ist, bei hinreichender Compression nach und nach überall das Vorzeichen wechselt, so muss bei einem gewissen Drucke ein solcher Wechsel auch für die Temperatur des Maximums von  $a$  erfolgen; dann hat letzteres die höchste Temperatur erreicht, auf welche es fallen kann, und zugleich fällt es dabei mit dem unteren Wendepunkte von  $c$  zusammen. Durch weitere Compression geht dasselbe, diesen Punkt hinter sich lassend, auf immer tiefere Temperaturen herab, bis es mit dem gleichzeitig von unten her kommenden Minimum in dem bezüglichen Wendepunkte zusammentrifft.

Hiermit ist die im Früheren (S. 345) offen gelassene Frage nach dem Verlaufe dieses Maximums von  $a$  erledigt. Aus dem als erster Halt- und Wendepunkt der Wärmeausdehnung bezeichneten Zustande geht dasselbe nämlich bei Abnahme des hier den kritischen weit übersteigenden Druckes zunächst auf höhere Temperaturen über, erreicht dabei eine höchste Temperatur ober der kritischen und geht sodann immer tiefer herab, bis es bei dem kritischen Drucke auf die kritische Temperatur fällt.

### **Zusammendrückbarkeit ober der kritischen Temperatur.**

Für das Maximum von  $c$  bleibt immer  $\frac{da}{dp} = 0$ , d. h. es ist bei demselben jedesmal  $a$  als Function des Druckes ein Maximum. Aus der bezüglichen Gleichung

$$\frac{d^2 c}{dt^2} dt = \frac{d^2 a}{dp^2} dp$$

ersieht man daher, dass das Maximum von  $c$ , so lange ein solches besteht, durch Compression nach oben zu gehen fortfährt.

Von jenem Zustande hoher Compression aus, wobei nach dem Vorigen die Wendepunkte von  $c$  coincidiren, geht der obere, d. h. derjenige, für welchen  $\frac{dc}{dt}$  ein Minimum ist, bei Abnahme des Druckes auf höhere Temperaturen über, wogegen derselbe

vom kritischen Zustande aus, wie erwähnt wurde, bei Zunahme des Druckes auf höhere Temperaturen übergeht. Es gibt folglich für diesen Punkt eine höchste Temperatur, auf welche er fallen kann; hat er dieselbe durch Druck erreicht, so kehrt er auf stärkeren Druck um und geht zu tieferen Temperaturen zurück, also dem gleichzeitig von unten her nach oben fortschreitenden Maximum entgegen. Diese zwei Punkte müssen daher bei einem gewissen Drucke zusammentreffen; dann ist

$$\frac{dc}{dt} = \frac{d^2c}{dt^2} = 0,$$

d. h. hier fällt das Maximum von  $c$  bei dem höchsten dafür möglichen Drucke mit einem Minimum zusammen (Halt- und Wendepunkt der Zusammendrückbarkeit). Von diesem Zustande aus geht bei Abnahme des Druckes einerseits das Maximum auf tiefere Temperaturen zurück, bis es dabei auf den kritischen Punkt trifft, während andererseits das Minimum (wie das Maximum mit der Bedingung  $\frac{da}{dp} = 0$  zusammenfallend) auf immer höhere Temperaturen fortgeht.

Für Drucke ober dem kritischen bis zu einer gewissen Grenze hat demnach die Zusammendrückbarkeit  $c$  bei einer Temperatur ober der kritischen ein Maximum und bei einer entsprechend höheren Temperatur ein Minimum; für Drucke ober jener Grenze hat dieselbe kein Maximum und kein Minimum mehr, sondern nimmt mit steigender Temperatur ununterbrochen zu.

Es sei noch hervorgehoben, dass im Zustande der Coincidenz der Wendepunkte von  $c$  der Nullwerth von  $\frac{d^2c}{dt^2}$  ein Minimum und somit  $\frac{d^3c}{dt^3}$  positiv ist. Für höhere Temperaturen sind daher die ersten vier Differentialquotienten von  $c$  sämmtlich positiv. Ich halte diese Folgerung für weittragend; sie scheint anzudeuten, dass eine comprimirte Flüssigkeit bei Temperaturen ober der kritischen, also ein Gas, bei fortgesetzter Erwärmung durch stetiges und mit Beschleunigung fortschreitendes Wachsen der Zusammendrückbarkeit einem bisher unbe-

kannten Zustände von Instabilität, der Existenz eines oberen kritischen Punktes entsprechend, zugeht.

### Wärmeausdehnung stark comprimierter Gase.

Nach vorstehender Bemerkung lässt sich jede gasförmige Substanz durch Druck und Wärme auf einen Zustand bringen, wobei dem Zusammenhange zwischen  $a$  und  $c$  gemäss die Differentialquotienten

$$\frac{da}{dp}, \frac{d^2a}{dpdt}, \frac{d^3a}{dpdt^2}, \frac{d^4a}{dpdt^3}$$

sämmtlich negativ sind. Man kann folglich dann jedesmal durch Compression bewirken, dass die Werthe von

$$\frac{da}{dt}, \frac{d^2a}{dt^2}, \frac{d^3a}{dt^3}$$

mit einander negativ ausfallen, dass also, während der Ausdehnungscoefficient mit steigender Temperatur beständig abnimmt, zugleich die Geschwindigkeit seiner Abnahme immer grösser wird. Durch solchen ersichtlich an das Verhalten stark comprimierter Flüssigkeiten sich anschliessenden Verlauf muss, wie es scheint, bei hinreichender Erwärmung nothwendig endlich  $a = 0$ , nämlich die Dichte ein Minimum werden, und zwar umso früher, je höher der ausgeübte Druck ist.

Indem ein so erreichtes Dichteminimum durch stärkeren Druck auf immer tiefere Temperaturen herabgeht, tritt zuletzt, weil  $a$  durch Compression ein Minimum wird, der schon oben erwähnte Zustand ein, für welchen

$$\frac{da}{dp} = a = 0$$

und die bezügliche Temperatur die niedrigste ist, wobei die Dichte ein Minimum werden kann. Diesen Zustand wenigstens am Wasserstoff experimentell zu verwirklichen, dürfte vielleicht nicht unausführbar sein. Vom genannten Punkte an als negativ verlaufend und in diesem Sinne beständig wachsend, würde der minimale Ausdehnungscoefficient bei einer immerhin schon

sehr hohen Temperatur den oberen kritischen Zustand, wofür  $a = -\infty$  wäre, bedingen. Temperaturen von entsprechender Höhe darf man jedenfalls in der Astrophysik für annehmbar halten.

### Das Gay-Lussac'sche Gesetz.

Bezeichnet  $T$  die absolute Temperatur, so kann der Bedeutung von  $a$  gemäss die Gleichung

$$aT = 1$$

als der Ausdruck des Gay-Lussac'schen Gesetzes gelten.

Der Ausdehnungscoefficient  $a$  ist für die Gase erfahrungsmässig auch unter gewöhnlichen Umständen vom Drucke nicht unabhängig; nach Amagat wächst er mit demselben, wird bei hinreichender Compression ein Maximum und nimmt dann ab. Angenommen also, es sei das Gay-Lussac'sche Gesetz für irgend eine Temperatur eines Gases von gewöhnlicher Dichte genau giltig und somit  $aT = 1$ , so wird durch Compression  $aT > 1$ ; setzt man dieselbe fort, bis  $a$  sein Maximum überschritten hat und abnimmt, so kommt man zu einem Drucke, wobei wieder  $aT = 1$  und daher das genannte Gesetz bei gleicher Temperatur ein zweitesmal genau giltig ist.

Den Einfluss der Temperatur betreffend, wird das Product  $aT$  für ein gewöhnliches Gas durch Erkalten nach und nach entschieden grösser und folglich umgekehrt durch Erwärmen kleiner. Bei gleichzeitiger Veränderung des Druckes und der Temperatur muss daher, wenn  $aT$  constant bleiben soll, die Gleichung

$$\frac{d(aT)}{dt} dt + T \cdot \frac{da}{dp} dp = 0$$

bestehen. Wie man sieht, geht die Erfüllung des Gay-Lussac'schen Gesetzes mit steigender Temperatur auf grössere Drucke über, bis auf solche Weise  $\frac{da}{dp} = 0$ , nämlich  $a$  ein Maximum wird; die dann stattfindende Temperatur ist die höchste, bei welcher eine Erfüllung des Gesetzes überhaupt möglich ist. Bei weiterer Compression kehrt die demselben entsprechende Bedingung, das Maximum von  $a$

überschreitend, auf tiefere Temperaturen zurück, und es gibt aus diesem Grunde für jede Temperatur unterhalb jener höchsten zwei Drucke, wobei das Gesetz genau zutrifft.

Die Möglichkeit, dass die Gase bei ihrer Ausdehnung durch die Wärme annähernd das Gay-Lussac'sche Gesetz befolgen, erscheint hiernach für Temperaturen, welche eine gewisse, von der Natur der bezüglichen Substanz abhängige Grenze weitaus übersteigen, bei jedem Drucke völlig ausgeschlossen. Nach dem Sinne der betreffenden Abweichung kann man es für wahrscheinlich halten, dass der Ausdehnungscoefficient bei weit genug gehender Erwärmung in jedem Falle endlich das Vorzeichen wechselt, wenn auch die dazu nöthige Temperatur bei einem gewöhnlichen Drucke, mit dem Vorigen übereinstimmend, eine ausserordentlich hohe sein dürfte.

- - - - -





# Über einen symbolischen Calcul auf Trägern vom Geschlechte Eins und seine Anwendung

von

**Emil Weyr,**†

w. M. k. Akad.

(Mit 7 Textfiguren.)

(Vorgelegt in der Sitzung am 10. Mai 1894.)

## I. Allgemeine Sätze über Curven dritter Ordnung vom Geschlechte Eins.

1. Es sei  $a_1 a_2 \dots a_n$  eine feste Gruppe einer Involution  $J_{n-1}^n$   $n$ ten Grades ( $n-1$ )ter Stufe (in der Folge kurz bezeichnet mit  $J^n$ ) auf einer  $C_3$ ,  $x_1 x_2 \dots x_n$  eine variable Gruppe; dann soll  $J^n$  gegeben sein durch die Gleichung

$$x_1 x_2 \dots x_n = a_1 a_2 \dots a_n$$

oder, indem man  $a_1 a_2 \dots a_n$  mit  $k$  bezeichnet, durch

$$x_1 x_2 \dots x_n = k.$$

Da jede  $J^n$   $n^2$   $n$ -fache Elemente besitzt, so hat die Gleichung  $x^n = k$   $n^2$  Lösungen.

2. Liegen  $x_1 x_2 x_3$  in einer Geraden, bilden sie also ein Tripel der fundamentalen  $J^3$ , so sei  $x_1 x_2 x_3 = k$ . Liegen  $x_1 x_2 \dots x_{3n}$  auf einer  $C_n$ , so sei  $x_1 x_2 \dots x_{3n} = k^n$ . Mit andern Worten: Sind  $abc$

---

<sup>1</sup> Der Entwurf zu dieser Arbeit ist Mitte December 1892 begonnen und im Laufe des folgenden Jahres mit mehrfachen Unterbrechungen fortgesetzt worden. Die Ausführung hat der am 25. Jänner 1894 verstorbene Verfasser kurz vorher mir übertragen. Indem ich seinem Wunsche nachkomme, bitte ich, dass Mängel in der Darstellung mir zur Last gelegt werden mögen.

drei Punkte in gerader Linie, so sind  $x_1 x_2 \dots x_{3n}$  dann auf einer  $C_n$  gelegen, wenn  $x_1 x_2 \dots x_{3n} = (abc)^n$  ist.

3. »Wenn  $abc$  und ebenso  $a'b'c'$  in gerader Linie liegen, so schneiden  $aa'$ ,  $bb'$ ,  $cc'$  die  $C_3$  zum drittenmale in Punkten  $a''b''c''$ , die ebenfalls in einer Geraden liegen.« Denn aus

$$abc = k \quad \text{und} \quad a'b'c' = k$$

folgt

$$abca'b'c' = k^2;$$

da ferner auch

$$aa'a'' = k \quad bb'b'' = k \quad cc'c'' = k,$$

so ist

$$abca'b'c'a''b''c'' = k^3;$$

aus der Verbindung beider Resultate folgt thatsächlich

$$a''b''c'' = k.$$

4. Sind  $a, b$  correspondirende Punkte,  $t$  ihr gemeinsamer Tangentialpunkt und  $t'$  der dritte Schnittpunkt ihrer Verbindungslinie, so ist

$$a^2 t = b^2 t = abt',$$

somit

$$a^2 b^2 t^2 = (abt')^2$$

oder  $t^2 = t'^2$ , d. h.  $t$  und  $t'$  sind ebenfalls correspondirende Punkte.

5. Werden zwei correspondirende Punkte  $a, b$  aus einem beliebigen Punkte ( $o$ ) der  $C_3$  auf diese nach  $a', b'$  projecirt, so hat man einerseits

$$a^2 = b^2 \quad (\text{wegen } a^2 t = b^2 t)$$

und andererseits

$$aa' = bb' \quad (\text{wegen } aa'o = bb'o);$$

aus dem zweiten Ansatz folgt  $a^2 a'^2 = b^2 b'^2$  und daraus durch Division mit dem ersten  $a'^2 = b'^2$ , womit erwiesen ist, dass auch  $a', b'$  correspondirende Punkte sind.

6. »Liegen die sechs Punkte  $abca'b'c'$  von  $C_3$  auf einer  $C_2$ , so schneiden  $aa'$ ,  $bb'$ ,  $cc'$  die Curve zum drittenmale in Punkten  $a''b''c''$  einer Geraden.« Denn es ist

$$abca'b'c' = k^2$$

und

$$aa'a'' = bb'b'' = cc'c'' = k;$$

aus dem zweiten Ansätze ergibt sich

$$abc a'b'c' a'b'c'' = k^3,$$

demnach ist  $a''b''c'' = k$ , w. z. b. w.

7. »Berührt eine  $C_2$  die  $C_3$  in den Punkten  $abc$ , so liegen die Tangentialpunkte  $a'b'c'$  von  $abc$  in einer Geraden.« Aus

$$a^2b^2c^2 = k^2$$

und

$$a^2a' = b^2b' = c^2c' = k$$

folgt nämlich zunächst  $a^2b^2c^2a'b'c' = k^3$  und daraus durch Division mit der ersten Gleichung  $a'b'c' = k$ .

8. Ist  $a$  ein Inflexionspunkt von  $C_3$ , so ist  $a^3 = k$ ; ist  $b$  ein zweiter, so ist  $b^3 = k$ ; ist  $x$  der dritte Schnittpunkt der  $\overline{ab}$ , so hat man  $abx = k$ , also  $a^3b^3x^3 = k^3$ , und da  $a^3b^3 = k^2$ , so ist  $x^3 = k$ , d. h.  $x$  ist auch ein Inflexionspunkt; es schneidet also die Verbindungslinie zweier Inflexionspunkte zum drittenmale wieder in einem solchen.

9. »Wenn  $abcd$  ein Quadrupel auf  $C_3$  ist, so gehören  $a, b$  und  $c, d$  einer  $J^2$  an.« Das Paar  $ab$  bestimmt nämlich eine  $J^2$  und ist  $x$  der in ihr dem  $c$  entsprechende Punkt, so ist  $ab = cx$ , also  $a^2b^2 = c^2x^2$ ; nun ist aber  $b^2 = c^2$ , daher auch  $a^2 = x^2$ ; es kann aber  $x$  weder mit  $a$ , noch mit  $b$  oder  $c$  identisch sein, also ist nothwendig  $x \equiv d$ , w. z. b. w. In gleicher Weise kann gezeigt werden, dass  $ac, bd$  und  $ad, bc$  je einer  $J^2$  angehören.

10. Sind  $a, b$  zwei correspondirende Punkte, so ist  $a^2 = b^2$  sind  $a', b'$  zwei correspondirende Punkte desselben Systems, so ist auch  $a'^2 = b'^2$  und überdies  $aa' = bb'$ . Aus letzterer Gleichung folgt durch Multiplication mit  $a'b'$

$$aa'^2b' = a'bb'^2,$$

und hieraus ergibt sich, wenn man die Gleichung  $a'^2 = b'^2$  beachtet,  $ab' = a'b$ , d. h. die beiden Geraden  $ab'$  und  $a'b$  schneiden sich in einem Punkte von  $C_3$ .

11. »Liegen die sechs Ecken eines vollständigen Vierseits auf  $C_3$ , so sind je zwei gegenüberliegende Ecken correspon-

dirende Punkte desselben Systems.\* Es ist nämlich vermöge der Voraussetzung (siehe Fig. 1)

$$abc = ab'c' = a'bc' = a'b'c = k;$$

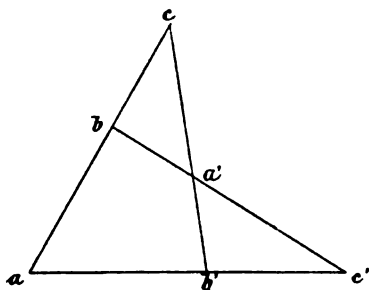


Fig. 1.

aus  $abc = k$  und  $ab'c' = k$  folgt aber  $a^2 b c b' c' = k^2$  und aus  $a' b c' = k$  und  $a' b' c = k$  ergibt sich  $a'^2 b c b' c' = k^2$ ; durch Vergleichung erhält man  $a^2 = a'^2$ ; in ähnlicher Weise findet sich  $b^2 = b'^2$  und  $c^2 = c'^2$ .

Da ferner, wie aus dem ersten Ansatz hervorgeht,  $ab = a'b'$  und  $ac = a'c'$ , so gehören thatsächlich  $aa'$ ,  $bb'$  und  $cc'$  zu demselben System.

12. Wenn die drei Punkte  $abc$  auf  $C_3$  in gerader Linie liegen, so sei  $abc = k$ ; die Gleichung  $x^3 = k$  hat die neun Inflexionspunkte als die dreifachen Punkte der fundamentalen  $J^3$ , welche die geraden Punktetripel der  $C_3$  bilden, zur Lösung.

Sind dagegen  $abc$  Berührungspunkte einer dreifach berührenden  $C_2$ , so muss  $a^2 b^2 c^2 = k^2$  oder  $(abc)^2 = k^2$ , somit  $abc = \sqrt{k^2}$  sein. Nun hat  $\sqrt{k^2}$  vier Werthe; einer davon ist  $k$ , weil aus  $abc = k$  sich  $a^2 b^2 c^2 = k^2$  ergibt; durch die drei andern  $k_1, k_2, k_3$  sind die drei  $J^3$ :

$$1) a_1 b_1 c_1 = k_1$$

$$2) a_2 b_2 c_2 = k_2$$

$$3) a_3 b_3 c_3 = k_3$$

bestimmt, welche zu den drei Systemen der dreifach berührenden Kegelschnitte führen. Die Werthe  $k, k_1, k_2, k_3$  entsprechen den vier aus der  $J^6$ :  $abcdef = k^2$  abgeleiteten  $J^3$ .<sup>1</sup>

Zwischen den  $k$  besteht die aus ihrer Definition unmittelbar fließende Beziehung

$$k^2 = k_1^2 = k_2^2 = k_3^2.$$

<sup>1</sup> Sitzungsber., Bd. CI, Abth. II. a.

Wählt man  $a, b$  beliebig, so gibt es vier  $C_2$ , welche in  $a, b$  und nochmals in einem dritten Punkte  $x$  berühren; dieser ist definirt durch  $a^2 b^2 x^2 = k^2$ , oder wenn  $c$  den dritten Schnittpunkt von  $\overline{ab}$  bezeichnet, durch  $a^2 b^2 x^2 = a^2 b^2 c^2$ , woraus  $x^2 = c^2$ ; dies gibt die vier Lösungen  $x = c, x = c_1, x = c_2, x = c_3$ .

Wenn wir also die Punkte, welche mit  $c$  gemeinsamen Tangentialpunkt haben,  $c_1 c_2 c_3$  nennen, so ist  $abc = k, abc_1 = k_1, abc_2 = k_2, abc_3 = k_3$ , wodurch  $k_1 k_2 k_3$  geometrisch definirt sind.

13. Hieraus ergeben sich die Sätze über die drei Systeme conjugirter Punkte; diese sind durch die drei Paare  $cc_1, cc_2, cc_3$  als erstes, zweites und drittes System gegeben.

Aus den beiden Gleichungen  $abc = k$  und  $abc_1 = k_1$  erhält man durch Multiplication  $abck_1 = abc_1 k$  und daraus die charakteristische Gleichung

$$ck_1 = c_1 k \text{ für das erste System,}$$

ebenso

$$ck_2 = c_2 k \text{ für das zweite System}$$

und

$$ck_3 = c_3 k \text{ für das dritte System.}$$

Auf dieser Grundlage lässt sich der folgende Satz erweisen:

• Sind  $abc$  drei Punkte in einer Geraden und  $a_i b_i c_i$  die ihnen im  $i^{\text{ten}}$  System conjugirten, so bilden diese ein Tripel der betreffenden  $J_i^3$ , sind also Berührungspunkte einer dreifach berührenden  $C_2$ . Es gelten nämlich die vier Gleichungen

$$abc = k$$

$$ak_i = a_i k$$

$$bk_i = b_i k$$

$$ck_i = c_i k;$$

die letzten drei geben durch Multiplication

$$abck_i^2 \cdot k_i = a_i b_i c_i k^2 \cdot k;$$

hieraus folgt wegen  $k_i^2 = k^2$  und mit Beachtung der ersten Gleichung

$$a_i b_i c_i = k_i, \text{ w. z. b. w.}$$

Umgekehrt: »Ist  $a_i b_i c_i$  ein Tripel der  $J_i^3$ , so liegen die conjugirten Punkte im  $i$ ten System in einer Geraden.« Sind nämlich  $aa_i, bb_i$  zwei Paare desselben Systems, so ist

$$ak_i = a_i k$$

$$bk_i = b_i k;$$

daraus ergibt sich durch Multiplication unter Beachtung von  $k_i^2 = k^2$

$$ab = a_i b_i;$$

daher schneiden sich  $\overline{ab}$  und  $\overline{a_i b_i}$  in einem Punkte der  $C_3$ , er heiße  $c$ . Aus der letzten Gleichung folgt, wenn man sie mit  $a_i$  multiplicirt,  $aa_i b = a_i^2 b_i$  und daraus wegen  $a_i^2 = a^2$

$$a_i b = ab_i,$$

so dass auch  $\overline{a_i b}$  und  $\overline{ab_i}$  sich in  $C_3$  schneiden in einem Punkte  $c'$ ; nach Artikel 11 ist  $c'$  der conjugirte Punkt zu  $c$ . Es lässt sich aber zeigen, dass  $c' \equiv c_i$  ist. Denn vermöge des Umstandes,

dass  $ab_i c'$  ein gerades Tripel bilden, ist  $c' = \frac{k}{ab_i}$ , somit weiter  $k_i c' = \frac{k k_i c_i}{ab_i c_i}$  oder, da  $b_i c_i = bc$  und  $abc = k$  ist, endlich  $k_i c' = k_i c_i$ , woraus thatsächlich  $c' \equiv c_i$  folgt.

14. Es sei  $a_i b_i c_i$  ein Tripel der  $J_i^3$ , so dass  $a_i b_i c_i = k_i$ ; ferner seien  $abc$  der Reihe nach die dritten Schnittpunkte der  $\overline{b_i c_i}, \overline{c_i a_i}, \overline{a_i b_i}$  mit  $C_3$ ; man hat dann

$$ab_i c_i = k$$

$$bc_i a_i = k$$

$$ca_i b_i = k,$$

woraus sich durch Multiplication  $abc a_i^2 b_i^2 c_i^2 = k^3$  ergibt; es ist aber  $a_i^2 b_i^2 c_i^2 = k_i^2 = k^2$ , folglich  $abc = k$ , d. h. die drei Punkte  $abc$  liegen in gerader Linie.

Bezeichnet man weiter mit  $\alpha\beta\gamma$  die dritten Schnittpunkte der Geraden  $aa_i, bb_i, cc_i$  mit der  $C_3$ , so ist

$$\alpha aa_i = k$$

$$\beta bb_i = k$$

$$\gamma cc_i = k,$$

folglich  $\alpha\beta\gamma abc a_i b_i c_i = k^3$ ; da aber  $abc = k$ , so ist weiter  $\alpha\beta\gamma a_i b_i c_i = k^2 = k_i^2$ , und wegen  $a_i b_i c_i = k_i$  ergibt sich daraus  $\alpha\beta\gamma = k_i$ , d. h. die drei Punkte  $\alpha\beta\gamma$  bilden ein Tripel des nämlichen Systems.

15. Wieder sei  $a_i b_i c_i$  ein Tripel der  $J_i^3$ ;  $\alpha\beta\gamma$  mögen die Tangentialpunkte seiner Elemente sein; dann gilt

$$a_i^2 \alpha = b_i^2 \beta = c_i^2 \gamma = k,$$

woraus  $a_i^2 b_i^2 c_i^2 \alpha\beta\gamma = k^3$ ; weil aber  $a_i^2 b_i^2 c_i^2 = k_i^2 = k^2$ , so folgt  $\alpha\beta\gamma = k$ , d. h. die Tangentialpunkte der Elemente eines Tripels der  $J_i^3$  liegen in gerader Linie.

16. Es seien  $a_i b_i c_i$  und  $a'_i b'_i c'_i$  zwei Tripel desselben Systems,  $\alpha\beta\gamma$  die dritten Schnittpunkte der  $\overline{a_i a'_i}$ ,  $\overline{b_i b'_i}$ ,  $\overline{c_i c'_i}$  mit  $C_3$ ; dann gelten die Gleichungen

$$\begin{aligned} a_i b_i c_i &= a'_i b'_i c'_i = k_i, \\ \alpha a_i a'_i &= \beta b_i b'_i = \gamma c_i c'_i = k; \end{aligned}$$

aus den drei letzten folgt  $\alpha\beta\gamma a_i b_i c_i a'_i b'_i c'_i = k^3$ , aus den zwei ersten  $a_i b_i c_i a'_i b'_i c'_i = k_i^2 = k^2$ ; daher ist  $\alpha\beta\gamma = k$ , d. h. es liegen  $\alpha\beta\gamma$  in einer Geraden.

In ähnlicher Weise lässt sich zeigen: »Sind  $a_i b_i c_i$  die Punkte eines Tripels,  $\alpha\beta\gamma$  drei Punkte in gerader Linie auf  $C_3$ ,  $a'_i b'_i c'_i$  die dritten Schnittpunkte von  $\overline{a_i \alpha}$ ,  $\overline{b_i \beta}$ ,  $\overline{c_i \gamma}$ , so sind  $a'_i b'_i c'_i$  auch die Punkte eines Tripels desselben Systems.«

17. Zwischen den vier Werthen  $kk_1 k_2 k_3$  bestehen bemerkenswerthe Relationen. Es ist (Artikel 12)

$$abc = k, \quad abc_1 = k_1, \quad abc_2 = k_2, \quad abc_3 = k_3;$$

aus dem ersten Gleichungspaar folgt

$$a^2 b^2 c c_1 = k k_1,$$

aus dem zweiten

$$k_2 k_3 = a^2 b^2 c_2 c_3,$$

daraus weiter durch Multiplication

$$k k_1 c_2 c_3 = k_2 k_3 c c_1;$$

nun bilden aber  $c c_1 c_2 c_3$  ein Quadrupel, daher ist  $c c_1 = c_2 c_3$ ; ergibt sich die erste Gleichung des Systems



$$\begin{aligned}
 kk_1 &= k_2k_3 \\
 kk_2 &= k_3k_1 \\
 kk_3 &= k_1k_2
 \end{aligned}
 \tag{1}$$

daneben bestehen die Gleichungen

$$k^2 = k_1^2 = k_2^2 = k_3^2. \tag{2}$$

Aus der zweiten der Gleichungen (1) ergibt sich durch Multiplication mit  $k_3$   $kk_2k_3 = k_3^2k_1$  und daraus wegen (2) die erste Gleichung des Systems

$$\begin{aligned}
 kk_2k_3 &= k_1^3 \\
 kk_3k_1 &= k_2^3 \\
 kk_1k_2 &= k_3^3.
 \end{aligned}
 \tag{3}$$

Es ist ferner  $kk_1^2 = kk_2^2 = kk_3^2$ , ebenso  $k_1k_2^2 = k_1k_3^2 = k_1^3$ , allgemein

$$k_ik_i^2 = k_i^3. \tag{4}$$

18. »Die Geraden, welche die Punkte zweier Tripel aus zwei verschiedenen Systemen gegenseitig verbinden, schneiden  $C_3$  in einem Tripel des dritten Systems.« Sind nämlich  $a_1b_1c_1$  und  $a_2b_2c_2$  die beiden Tripel,  $\alpha\beta\gamma$  die dritten Schnittpunkte von  $a_1a_2$ ,  $b_1b_2$ ,  $c_1c_2$ , so bestehen die Gleichungen

$$\begin{aligned}
 a_1b_1c_1 &= k_1 & a_2b_2c_2 &= k_2 \\
 a_1a_2\alpha &= b_1b_2\beta = c_1c_2\gamma = k;
 \end{aligned}$$

daraus ergibt sich zunächst  $a_1b_1c_1a_2b_2c_2\alpha\beta\gamma = k^3 = k_1k_2k_3$  und mit Rücksicht auf das erste Gleichungspaar

$$\alpha\beta\gamma = k_3, \text{ w. z. b. w.}$$

19. »Legt man durch ein Tripel  $a_ib_ic_i$  und einen Punkt  $m$  von  $C_3$  eine  $C_2$ , welche  $C_3$  weiter in  $x, x'$  schneiden möge, so ist der dritte Schnittpunkt  $o$  von  $\overline{xx'}$  der zum Punkte  $m$  im  $i$ ten System conjugirte  $m_i$ « (siehe H. Schroeter, Die Theorie der ebenen Curven dritter Ordnung, 1888, S. 62).

Es ist nämlich

$$a_ib_ic_imxx' = k^2$$

und

$$k = xx'o,$$

woraus sich durch Multiplication

$$a_i b_i c_i m = ok$$

ergibt; daraus folgt wegen  $a_i b_i c_i = k_i$

$$k_i m = ok;$$

bezeichnet man aber den zu  $m$  im  $i$ ten System conjugirten Punkt mit  $m_i$ , so ist auch (Artikel 13)

$$k_i m = m_i k,$$

folglich in der That  $o \equiv m_i$ .

20. »Liegen sechs Punkte  $abcdef$  einer  $C_3$  auf einer  $C_2$  und bestimmt man zu irgend zweien, z. B.  $ef$ , die conjugirten in irgend einem System, etwa  $e_i f_i$ , so liegen  $abcde_i f_i$  auch auf einer  $C_2$ .« (Schroeter, l. c., S. 70.) Denn es ist

$$abcdef = k^2$$

$$ke_i = k_i e$$

$$kf_i = k_i f;$$

daraus ergibt sich durch Multiplication

$$abcde_i f_i = k_i^2 = k^2, \text{ w. z. b. w.}$$

»Bestimmt man zu allen sechs Punkten die conjugirten irgend eines Systems, so liegen auch diese auf einem Kegelschnitt.« (Schroeter, l. c., S. 71). Denn aus den Beziehungen

$$ka_i = k_i a, \quad kb_i = k_i b, \dots kf_i = k_i f$$

erhält man

$$k^6 a_i b_i c_i d_i e_i f_i = k^6 abcdef$$

und da  $abcdef = k^2$  und  $k_i^6 = k^6$ , so folgt, was zu beweisen war, nämlich  $a_i b_i c_i d_i e_i f_i = k^2$ .

21. »Der Gegenpunkt  $o$  von vier Punkten  $abcd$  auf  $C_3$  ist zugleich Gegenpunkt von den conjugirten Punkten  $a_i b_i c_i d_i$  irgend eines Systems.«

Man erhält nämlich  $o$ , indem man die dritten Schnittpunkte  $\alpha, \beta$  von  $\overline{ab}$  und  $\overline{cd}$  verbindet und den weiteren Schnittpunkt dieser Geraden mit  $C_3$  bestimmt; demzufolge ist

$$o = \frac{k}{\alpha\beta},$$

und da  $ab\alpha = cd\beta = k$ , so ist  $abcd\alpha\beta = k^2$ , folglich  $\alpha\beta = \frac{k^2}{abcd}$  und daher

$$o = \frac{abcd}{k}.$$

Nun ist aber weiter

$$ka_i = k_i a$$

$$kb_i = k_i b$$

$$kc_i = k_i c$$

$$kd_i = k_i d,$$

demnach  $k^4 a_i b_i c_i d_i = k_i^4 abcd$  und wegen  $k^2 = k_i^2$  auch  $k^4 = k_i^4$ , daher  $a_i b_i c_i d_i = abcd$  und somit auch  $o = \frac{a_i b_i c_i d_i}{k}$ , wodurch der Satz bewiesen ist.

22. »Liegen die sechs Punkte  $abcdef$  von  $C_3$  auf einem Kegelschnitt, so liegen ihre Tangentialpunkte  $\alpha\beta\gamma\delta\epsilon\varphi$  ebenfalls auf einer  $C_2$ .« (Schroeter, l. c., S. 72.) Denn aus

$$a^2\alpha = b^2\beta = \dots = f^2\varphi = k$$

folgt durch Multiplication  $a^2b^2c^2d^2e^2f^2\alpha\beta\gamma\delta\epsilon\varphi = k^6$ ; weil aber voraussetzungsgemäss  $abcdef = k^2$ , so ergibt sich auch  $\alpha\beta\gamma\delta\epsilon\varphi = k^2$ , w. z. b. w.

23. »Sind  $ab\dots hj$  die neun Schnittpunkte der  $C_3$  mit einer andern Curve dritter Ordnung, so bilden auch  $ab_i\dots h_i j_i$  eine solche Gruppe von neun Punkten.« (Schroeter, l. c., S. 78.) Nach Voraussetzung ist

$$ab\dots hj = k^3;$$

ferner gelten die Beziehungen

$$kb_i = k_i b, \quad kc_i = k_i c, \quad \dots \quad kj_i = k_i j,$$

aus welchen durch Multiplication

$$k^8 b_i c_i \dots j_i = k_i^8 bc \dots j$$

erhalten wird; nun ist aber  $k_i^8 = k^8$ , daher  $b_i c_i \dots j_i = bc \dots j$  und daraus

$$ab_i c_i \dots j_i = abc \dots j = k^3, \text{ w. z. b. w.}$$

24. »Nimmt man aus den drei Tripelsystemen je ein Tripel, so erhält man eine Gruppe von neun associirten Punkten.« Denn aus

$$a_1 b_1 c_1 = k_1, \quad a_2 b_2 c_2 = k_2, \quad a_3 b_3 c_3 = k_3$$

folgt unmittelbar  $a_1 b_1 c_1 a_2 b_2 c_2 a_3 b_3 c_3 = k_1 k_2 k_3 = k^3$ , womit die Behauptung erwiesen ist.

25. »Ein Punkt  $o$  auf  $C_3$ , sein Tangentialpunkt  $t$ , die Berührungspunkte  $abcd$  der durch  $o$  an  $C_3$  gehenden vier Tangenten und die Diagonalepunkte  $pqr$  des Vierecks  $abcd$  sind neun associirte Punkte.« (Fig. 2).

Zunächst folgt aus  $ab = cd$  durch Multiplication mit  $c$ , dass

$$abc = c^2 d = d^2 d = d^3,$$

daher ist

$$abcd = d^4;$$

weiter hat man

$$p = \frac{k}{ab}, \quad q = \frac{k}{bc}, \quad r = \frac{k}{ca},$$

woraus sich

$$pqr = \frac{k^3}{a^2 b^2 c^2} = \frac{k^3}{d^6}$$

ergibt; folglich ist nun schon

$$abcdpqr = \frac{k^3}{d^2},$$

und da weiter  $o^2 t = k$ , so hat man  $ot = \frac{k}{o}$ , also

$$abcdpqrot = \frac{k^3 k}{d^2 o};$$

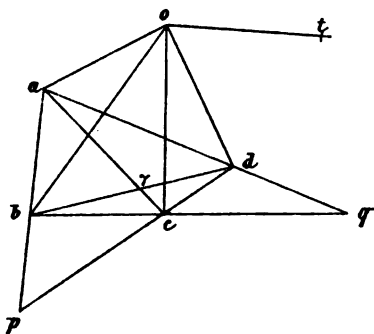


Fig. 2.

schliesslich bemerke man, dass  $d^2o = k$ , und dann ergibt sich die zu beweisende Relation

$$abcdpqrot = k^3.$$

26. Es seien  $\alpha\beta\gamma$  drei Punkte in gerader Linie auf  $C_3$ ;  $a_1a_2a_3a_4$  die Berührungspunkte der aus  $\alpha$ ,  $b_1b_2b_3b_4$  die Berührungspunkte der aus  $\beta$ , endlich  $c_1c_2c_3c_4$  die Berührungspunkte der aus  $\gamma$  an  $C_3$  gelegten Tangenten. Man verbinde  $a_i$  mit  $b_{i'}$  ( $i, i' = 1, 2, 3, 4$ ) und bezeichne mit  $x$  den dritten Schnittpunkt von  $a_ib_{i'}$ ; dann ist

$$a_ib_{i'}x = k,$$

also auch

$$a_i^2b_{i'}^2x^2 = k^2;$$

nun ist  $a_i^2 = \frac{k}{\alpha}$ ,  $b_{i'}^2 = \frac{k}{\beta}$ , daher weiter

$$\frac{k^2x^2}{\alpha\beta} = k^2$$

und weil schliesslich  $\alpha\beta\gamma = k$  ist, so ergibt sich

$$x^2\gamma = k,$$

d. h. der dritte Schnittpunkt  $x$  ist einer der vier Punkte  $c_1c_2c_3c_4$ ; es geht also jede der sechzehn Geraden, welche sich ergeben, wenn man jeden der vier Punkte  $a_i$  mit jedem der vier Punkte  $b_{i'}$  verbindet, durch einen der vier Punkte  $c_{i''}$ . »Wenn man also aus den Punkten eines geraden Tripels die Tangenten an  $C_3$  führt, so liegen die zwölf Berührungspunkte auf sechzehn Geraden derart, dass jede Gerade drei Punkte enthält und durch jeden Punkt vier Gerade gehen.« (Schroeter, l. c., S. 99.)

27. »Ist  $abcd$  das zum Punkte  $o$  gehörige Quadrupel,  $t$  der Tangentialpunkt von  $o$  und  $pqr$  das Diagonaldreieck des Vierecks  $abcd$ , so bilden  $opqr$  ebenfalls ein Quadrupel, gehörig zum Punkte  $t$ .« (Schroeter, l. c., S. 109).

Es ist nämlich  $o = \frac{k}{a^2}$ , daher  $o^2 = \frac{k^2}{a^4}$ ; ferner  $p = \frac{k}{ab}$ , folglich  $p^2 = \frac{k^2}{a^2b^2} = \frac{k^2}{a^4}$ , weil  $b^2 = a^2$ ; durch Vergleichung ergibt sich daraus  $o^2 = p^2$ ; in derselben Weise zeigt man  $o^2 = q^2 = r^2$ ;  $o^2 = p^2 = q^2 = r^2$  aber sagen aus, dass die vier

Punkte  $opqr$  einen gemeinsamen Tangentialpunkt haben, und zwar ist dies  $t$ .

28. Es seien  $a, a_1$  zwei conjugirte Punkte des ersten;  $b, b_2$  zwei conjugirte Punkte des zweiten Systems, ferner  $c$  der dritte Schnittpunkt von  $\overline{ab}$ ,  $c'$  der dritte Schnittpunkt von  $a_1\overline{b_2}$  mit der  $C_3$ . Man hat dann

$$ak_1 = a_1k$$

$$bk_2 = b_2k,$$

woraus durch Multiplication  $abk_1k_2 = a_1b_2k^2$  erhalten wird; nun ist aber  $ab = \frac{k}{c}$ ,  $a_1b_2 = \frac{k}{c'}$ , folglich weiter  $\frac{k}{c}k_1k_2 = \frac{k}{c'}k^2$  oder

$$kc' = \frac{k^3}{k_1k_2}c;$$

da aber  $k^3 = k_1k_2k_3$ , so hat man schliesslich  $kc' = k_3c$ , d. h.  $c' \equiv c_3$ , wenn  $c, c_3$  ein Paar conjugirter Punkte des dritten Systems ist (Schroeter, l. c., S. 118).

29. Die neun dreifachen Elemente einer  $J^3$  seien  $a_1b_1c_1, a_2b_2c_2, a_3b_3c_3$ ; dann ist

$$a_1^3 = b_1^3 = c_1^3 = a_2^3 = b_2^3 = c_2^3 = a_3^3 = b_3^3 = c_3^3 = k.$$

Wir wählen einen derselben, z. B.  $a_1$ , als Doppelement einer  $J^2$ , so müssen die übrigen paarweise dieser  $J^2$  angehören, beispielsweise in solcher Anordnung, dass

$$a_1^2 = b_1c_1 = a_2a_3 = b_2c_3 = b_3c_2.$$

Jedes der vier Paare rechts wird durch  $a_1$  zu einem Tripel der  $J^3$  ergänzt.

Das Paar  $a_2b_1$  wird ebenso durch eines der dreifachen Elemente zu einem Tripel ergänzt;  $a_1$  und  $c_1$  können es nicht sein, weil ja  $a_1$  mit  $b_1c_1$  und  $c_1$  mit  $b_1a_1$  bereits ein Tripel bilden;  $a_3$  ist ausgeschlossen, weil es schon mit  $a_1a_2$  ein Tripel bildet; es muss also eines der vier Elemente  $b_2c_3b_3c_2$  sein. Sei  $c_3$  dieses Element, so dass  $a_2b_1c_3$  ein Tripel der  $J^3$  ist. Dann muss  $a_3c_1$  nothwendig durch  $b_2$  ergänzt werden; denn  $a_1b_1a_2c_3$  sind wie früher ausgeschlossen, so dass nur  $b_2b_3c_2$  als möglich übrig bleiben; nun wird die  $J^3$  durch jene  $J^2$ , deren Doppelement  $a_2$  ist, in sich übergeführt, so dass das Tripel  $a_2b_1c_3$  wieder in ein

Tripel, und dieses ist  $c_1 a_3 b_2$ , übergeht; es ist also  $a_3 b_2 c_1$  ein Tripel der  $J^3$ . Das Paar  $b_1 b_2$  kann weder durch  $c_1 c_3$ , noch durch  $a_1 a_2 a_3$  ergänzt werden, sondern nur durch eines der Elemente  $c_2 b_3$ ; also möge  $b_3$  es sein, so dass  $b_1 b_2 b_3$  ein Tripel ist. Dann muss, weil durch jene  $J^2$  dieses Tripel wieder in ein Tripel verwandelt wird, auch  $c_1 c_2 c_3$  ein Tripel sein. Wir haben also im Ganzen bisher die acht Tripel

$$\begin{array}{cccc} a_1 b_1 c_1 & a_1 a_2 a_3 & a_1 b_2 c_3 & a_1 b_3 c_2 \\ a_2 b_1 c_2 & a_3 b_2 c_1 & b_1 b_2 b_3 & c_1 c_2 c_3. \end{array}$$

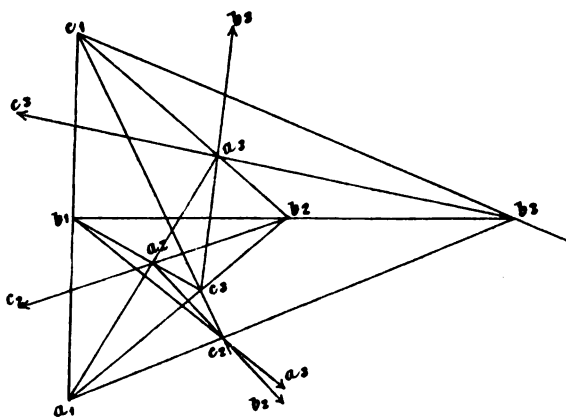


Fig. 3.

Das Paar  $b_1 c_2$  kann weder durch  $a_1$ , noch durch  $c_1 b_2$  ergänzt werden, also auch nicht durch  $c_3$  (denn es wird  $c_1 c_2$  durch  $c_3$  ergänzt) und ebenso nicht durch  $b_3$  (denn  $b_3 c_2$  wird durch  $a_1$  ergänzt); es bleiben also nur  $a_2$  oder  $a_3$ , davon ist  $a_2$  ausgeschlossen, weil  $c_3 b_1$  durch  $a_2$  ergänzt wird; folglich ist  $a_3$  das fehlende Element und  $a_3 b_1 c_2$  wieder ein Tripel der  $J^3$ . Aus diesem geht durch die  $J^2$  das Tripel  $a_2 c_1 b_3$  hervor. Endlich erkennt man genau in derselben Weise, dass das Paar  $c_2 a_2$  durch  $b_2$  ergänzt wird und dass aus diesem Tripel  $a_2 b_2 c_2$  durch  $J^2$  das Tripel  $a_3 b_3 c_3$  entsteht.

Schreiben wir

$$\begin{vmatrix} a_1 & b_1 & c_1 \\ a_2 & b_2 & c_2 \\ a_3 & b_3 & c_3 \end{vmatrix} = \Delta,$$

so sind die zwölf Tripel dargestellt durch die drei Horizontalreihen, die drei Verticalreihen und durch die sechs Glieder der Determinante  $\Delta$  (siehe die schematische Fig. 3).

Die vier Gruppen zu je drei Tripeln, welche alle neun Elemente enthalten, sind:

$$\begin{array}{lll} \text{I)} & a_1 b_1 c_1 & a_2 b_2 c_2 & a_3 b_3 c_3 \\ \text{II)} & a_1 a_2 a_3 & b_1 b_2 b_3 & c_1 c_2 c_3 \\ \text{III)} & a_1 b_2 c_3 & a_2 b_3 c_1 & a_3 b_1 c_2 \\ \text{IV)} & a_3 b_2 c_1 & a_1 b_3 c_2 & a_2 b_1 c_3; \end{array}$$

III) stellt die positiven, IV) die negativen Glieder der Determinante  $\Delta$  vor.

Man kann bei Zusammenstellung der Tripel auch in folgender Weise vorgehen. Es sei  $a_1$  Doppelement ( $a_1^2$ ) einer  $J^2$ , welcher  $b_1 c_1$ ,  $a_2 a_3$ ,  $b_2 c_3$ ,  $b_3 c_2$  als Paare angehören; dann ist

$$a_1^3 = a_1 b_1 c_1 = a_1 a_2 a_3 = a_1 b_2 c_3 = a_1 b_3 c_2 = k.$$

Das Paar  $a_2 b_1$  kann durch  $a_3$ ,  $c_1$  oder  $a_1$  nicht ergänzt werden; denn sonst müsste z. B.  $a_2 a_3 b_1 = k$  sein; da aber  $a_1 a_2 a_3 = k$  ist, so wäre  $b_1 \equiv a_1$ , was nicht angeht, da alle Elemente von einander verschieden sind u. s. w. Es kann also  $a_2 b_1$  nur durch eines der Elemente  $c_3 b_2 c_2 b_3$  ergänzt werden; wir bezeichnen das ergänzende Element mit  $c_3$ , so ist  $a_2 b_1 c_3$  ein Tripel. Nun folgt aus

$$a_1 b_1 c_1 = a_1 a_2 a_3 = a_1 c_3 b_2 = k,$$

dass  $a_1^2 \cdot a_2 b_1 c_3 \cdot a_3 b_2 c_1 = k^3$ , und da  $a_1^3 = k$  und  $a_2 b_1 c_3 = k$ , so ist auch  $a_3 b_2 c_1 = k$ , und dadurch wieder ein Tripel gefunden. In ähnlicher Weise fährt man mit dem Paare  $b_1 b_2$  fort.

Hiernach bestehen also zwischen den neun dreifachen Elementen folgende Relationen:

$$\begin{aligned} a_1^3 &= b_1^3 = c_1^3 = a_2^3 = b_2^3 = c_2^3 = a_3^3 = b_3^3 = c_3^3 \\ a_1^2 &= b_1 c_1 = a_2 a_3 = b_2 c_3 = b_3 c_2 \\ b_1^2 &= a_1 c_1 = b_2 b_3 = a_3 c_3 = a_2 c_3 \\ c_1^2 &= a_1 b_1 = c_2 c_3 = a_2 b_3 = a_3 b_2 \\ &\dots \dots \dots \\ c_3^2 &= a_3 b_3 = c_1 c_2 = a_1 b_2 = a_2 b_1. \end{aligned}$$



Die vier cyklischen  $E$ -Beziehungen mit dreielementigen Gruppen erhält man mit Hilfe folgender Sätze.

Satz I. »Wenn  $a_1 b_1 c_1$  ein Cyklus einer  $E$ -Beziehung ist, so dass also den Elementen  $a_1 b_1 c_1$  der Reihe nach die Elemente  $b_1 c_1 a_1$  entsprechen, so sind diese Elemente dreifache Elemente einer  $J^3$ .«

Denn nach Voraussetzung ist

$$a_1 c_1 = b_1^2 \quad a_1 b_1 = c_1^2 \quad b_1 c_1 = a_1^2,$$

somit

$$a_1 b_1 c_1 = a_1^3 = b_1^3 = c_1^3, \text{ w. z. b. w.}$$

Satz II. »Wenn  $a_1 b_1$  zwei dreifache Elemente einer  $J^3$  sind, so ist die durch sie gegebene  $E$ -Beziehung cyklisch.«

Es ist nämlich nach Voraussetzung  $a_1^3 = b_1^3$ ; ist  $c_1$  das dem  $b_1$  entsprechende Element, so ist  $a_1 c_1 = b_1^2$ ; das dem  $c_1$  entsprechende Element  $x$  ist gegeben durch  $b_1 x = c_1^2$  oder  $b_1 x = \left(\frac{b_1^2}{a_1}\right)^2$ , d. h.  $a_1^2 b_1 x = b_1^3 = b_1^3 b_1 = a_1^3 b_1$ , somit ist  $x \equiv a_1$ , w. z. b. w.

Satz III. »Jedem weiteren dreifachen Element von  $J^3$  entspricht in der  $E$ -Beziehung wieder ein dreifaches Element, welches von  $a_1 b_1 c_1$  verschieden ist.«

Es sei  $a_2$  ein weiteres dreifaches Element und  $x$  das ihm entsprechende; dann muss, weil  $a_1 b_1, a_2 x$  zwei Paare der  $E$  sind,  $a_1 x = a_2 b_1$  sein, also auch  $a_1^3 x^3 = a_2^3 b_1^3$ ; nun ist  $a_1^3 = a_2^3$ , daher  $x^3 = b_1^3$ , d. h.  $x$  ist ein dreifaches Element. Dass  $x$  von  $a_2$  verschieden ist, folgt sofort daraus, dass in jeder  $E$ -Beziehung einem Element ein von ihm verschiedenes entspricht; es muss aber  $x$  auch von  $a_1 b_1 c_1$  verschieden sein, weil ja diese Gruppe in sich geschlossen ist. Wir setzen also  $x = b_2$ , erhalten dann wie oben noch ein drittes Element  $c_2$ , und die Gruppe  $a_2 b_2 c_2$  ist wieder geschlossen. Die letzten drei Elemente  $a_3 b_3 c_3$  müssen natürlich auch eine geschlossene Gruppe bilden. (Weiteres siehe im nächsten Abschnitt.)

## II. $E$ -Beziehungen auf Trägern vom Geschlechte Eins ( $C_3$ ).

30. Eine allgemeine eindeutige Punktbeziehung  $E$  auf  $C_3$  sei durch  $a, a'$  gegeben; ist dann  $x, x'$  ein beliebiges Paar der-

selben, so schneiden sich die wechselweisen Verbindungslinien  $ax'$  und  $a'x$  auf  $C_3$ ,<sup>1</sup> folglich ist  $xa' = x'a$  oder aber

$$\frac{x}{x'} = \frac{a}{a'}.$$

Durch diese Gleichung ist eine  $E$ -Beziehung auf  $C_3$  charakterisirt. Man könnte sie symbolisch auch in der Form  $\frac{x}{x'} = c$ , wo  $c$  eine Constante bedeutet, darstellen.

Hieraus ergeben sich unmittelbar folgende Sätze:

I. »In einer  $E$ -Beziehung gibt es keine oder lauter Doppelpunkte«. Es kann nämlich nie  $x' = x$  werden; nur wenn  $a \equiv a'$ , so ist auch  $x \equiv x'$ , dann aber immer.

II. »Durch zwei conjugirte Punkte ist eine vertauschungsfähige  $E$ -Beziehung gegeben«. Ist  $a^2 = a'^2$ , so folgt aus  $\frac{x}{x'} = \frac{a}{a'}$  zunächst  $\frac{x^2}{x'^2} = \frac{a^2}{a'^2} = 1$ , daher  $x^2 = x'^2$ , d. h.  $x, x'$  sind auch conjugirte Punkte. Wird nun  $x' = y$  gesetzt, so ist  $x \equiv y'$ ; denn es ist  $\frac{x}{x'} = \frac{y}{y'}$  und für  $y \equiv x'$  wird  $\frac{x}{x'} = \frac{x'}{y'}$ , oder  $xy' = x'^2$ ; weil aber  $x'^2 = x^2$ , so hat man in der That  $y' \equiv x$ , wodurch die Vertauschungsfähigkeit von  $E$  erwiesen ist.

III. Aus  $\frac{x}{x'} = \frac{a}{a'}$  folgt  $x^n a'^n = x'^n a^n$ , d. h. »wenn man  $x$  und  $a'$  jeden  $n$ -fach gezählt als Gruppe einer  $J^{2n}$  deutet, so ist auch  $x'a$  eine solche Gruppe derselben  $J^{2n}$ «.

IV. Wenn  $\frac{x}{x'} = \frac{a}{a'}$  und  $a^n = a'^n$ , so ist auch  $x^n = x'^n$ , d. h. »in der durch zwei  $n$ -fache Elemente einer  $J^n$  bestimmten  $E$ -Beziehung sind jede zwei entsprechende Elemente  $n$ -fach für eine  $J^n$ «.

Im Folgenden wird die durch das Punktepaar  $aa'$  bestimmte  $E$ -Beziehung mit  $E(aa')$  bezeichnet.

31. V. »Wenn  $aa'$   $n$ -fache Elemente einer  $J^n$  sind, so ist  $E(aa')$  cyklisch«. Ist nämlich  $E(aa')$  gegeben und man con-

<sup>1</sup> »Über eindeutige Beziehungen auf einer allgemeinen ebenen Curve dritter Ordnung.« Sitzungsber. Bd. LXXXVII, 2. Abth., S. 843.

struirt die Punktreihe  $xx'x''\dots$  derart, dass jedes folgende Element dem vorausgehenden entspricht, so hat man die Relationen

$$\frac{x}{a} = \frac{x'}{a'}, \quad \frac{x'}{a} = \frac{x''}{a'}, \quad \frac{x''}{a} = \frac{x'''}{a'}, \dots \frac{x^{(k-1)}}{a} = \frac{x^{(k)}}{a'};$$

aus denselben ergibt sich durch Multiplication

$$\frac{xx'x''\dots x^{(k-1)}}{a^k} = \frac{x'x''\dots x^{(k)}}{a'^k}$$

oder aber

$$\frac{x}{a^k} = \frac{x^{(k)}}{a'^k}.$$

Ist nun  $k$  Theiler von  $n$ , also  $n = \lambda k$ , und sind  $aa'$   $k$ -fache Elemente einer der  $\lambda^2$  aus  $J^n$  abgeleiteten  $J^k$ , so sind  $aa'$  auch  $n$ -fache Elemente für  $J^n$  aber so, dass schon  $a^k = a'^k$ ; dann ist  $x^{(k)} \equiv x$  und die Gruppe  $xx'x''\dots x^{(k-1)}$  geschlossen. Sind  $aa'$  nicht Hauptelemente einer solchen abgeleiteten  $J^k$ , so muss die obige Gleichungsreihe bis  $\frac{x^{(n-1)}}{a} = \frac{x^{(n)}}{a'}$ , fortgesetzt werden und man hat  $\frac{x}{a^n} = \frac{x^{(n)}}{a'^n}$ , woraus wegen  $a^n = a'^n$  folgt, dass  $x^{(n)} \equiv x$ , und es ist der  $n$ -elementige Cyklus  $xx'\dots x^{(n-1)}$  geschlossen.

Wir wollen eine cyklische  $E$ , welche  $k$ -elementige Cyklen liefert, mit  $E_k$  bezeichnen und uns die Frage vorlegen: Wie viele  $E_k$  gibt es?

32.  $\alpha$ ) Für  $k = 2$  ist die Frage bald beantwortet; denn ist  $xx'$  ein Cyklus, so muss

$$\frac{x}{a} = \frac{x'}{a'} \quad \frac{x'}{a} = \frac{x}{a'},$$

also  $\frac{xx'}{a^2} = \frac{xx'}{a'^2}$ , d. h.  $a^2 = a'^2$  sein;  $aa'$  sind also conjugirte Punkte. Den drei Systemen conjugirter Punkte entsprechen also die drei  $E_2$  auf  $C_3$ .

33.  $\beta$ ) Für  $k = 3$  liefert der Cyklus  $xx'x''$  die Gleichungen

$$\frac{x}{a} = \frac{x'}{a'} \quad \frac{x'}{a} = \frac{x''}{a'} \quad \frac{x''}{a} = \frac{x}{a'};$$

dieselben führen zu  $\frac{xx'x''}{a^3} = \frac{xx'x''}{a'^3}$  oder zu  $a^3 = a'^3$  und zeigen, dass  $aa'$  Hauptelemente einer  $J_3^3$  sind.

Es seien nun

$$\begin{vmatrix} a_1 & b_1 & c_1 \\ a_2 & b_2 & c_2 \\ a_3 & b_3 & c_3 \end{vmatrix}$$

die neun Hauptelemente einer  $J^3$  in der Artikel 29 erörterten Anordnung. In der  $E(a_1b_1)$  entspricht dem Element  $b_1$  das Element  $c_1$  und dem  $c_1$  das  $a_1$ ; denn wird mit  $u_1$  das dem  $b_1$  entsprechende Element bezeichnet, so muss  $\frac{b_1}{a_1} = \frac{u_1}{b_1}$  oder  $\frac{b_1}{a_1c_1} = \frac{u_1}{b_1c_1}$  sein; nun ist aber  $a_1c_1 = b_1^2$ , daher hat man weiter  $\frac{1}{b_1} = \frac{u_1}{b_1c_1}$ , woraus wirklich  $u_1 \equiv c_1$  folgt u. s. w. Es ist also  $E(a_1b_1) \equiv E_1(b_1c_1) \equiv E(c_1a_1)$  und diese cyklische  $E_3$  möge mit  $E(a_1b_1c_1)$  bezeichnet werden;  $E(a_2b_2c_2)$ ,  $E(a_3b_3c_3)$  stellen die nämliche  $E_3$  dar; denn wenn  $\frac{x}{a_2} = \frac{x'}{b_2}$ , so ist auch  $\frac{x}{a_1a_2} = \frac{x'}{a_1b_2}$ , aber wegen  $a_1b_2 = a_2b_1$  gibt dies  $\frac{x}{a_1a_2} = \frac{x'}{a_2b_1}$ , d. h.  $\frac{x}{a_1} = \frac{x'}{b_1}$ , was bewiesen werden sollte. Wir haben also

$$E(a_1b_1c_1) \equiv E(a_2b_2c_2) \equiv E(a_3b_3c_3)$$

ebenso

$$E(a_1a_2a_3) \equiv E(b_1b_2b_3) \equiv E(c_1c_2c_3)$$

$$E(a_1b_2c_3) \equiv E(a_2b_3c_1) \equiv E(a_3b_1c_2)$$

$$E(a_3b_2c_1) \equiv E(a_1b_3c_2) \equiv E(a_2b_1c_3)$$

und dies sind die vier  $E_3$ . Sie sind auch als die  $E(a_1b_1)$ ,  $E(a_1b_2)$ ,  $E(a_1a_2)$  und  $E(a_1b_3)$  gegeben, und zwar sind es die einzigen vier. Dies erkennt man in folgender Weise. Man darf die Elemente eines Cyklus cyklisch permutiren; insbesondere bleibt die cyklische  $E$  auch dieselbe, wenn man den Cyklus umkehrt, also z. B. aus  $a_1b_1c_1$  macht  $c_1b_1a_1$ ; nimmt man hierauf Rücksicht, so wird man wahrnehmen, dass in den obigen vier  $E_3$  jedes der acht Elemente  $b_1c_1 \dots c_3$  als dem  $a_1$  ent-

sprechend schon vorkommt; folglich bleibt für eine weitere  $E_2$  kein Element übrig, welches dem  $a_1$  entsprechen könnte.

Es sei  $xx'x''$  irgend ein Cyklus der  $E(a_1b_1c_1)$ , so muss

$$\frac{x}{a_1} = \frac{x'}{b_1} \quad \frac{x'}{a_1} = \frac{x''}{b_1}$$

oder also  $\frac{x'}{a_1b_1} = \frac{x''}{b_1^2}$  sein; nun ist  $b_1^2 = a_1c_1$ , daher weiter  $\frac{x'}{a_1b_1} = \frac{x''}{a_1c_1}$ , d. h.  $\frac{x'}{b_1} = \frac{x''}{c_1}$ , so dass für die  $E(a_1b_1c_1)$  die Gleichungen bestehen

$$\frac{x}{a_1} = \frac{x'}{b_1} = \frac{x''}{c_1}$$

und ähnliche Gleichungen gelten für die übrigen.

34. »Wird ein Cyklus  $xx'x''$  aus einem Punkte  $z$  der  $C_3$  auf diese projicirt (die Projection ganz allgemein durch eine beliebige  $J^3$  hergestellt), so ergibt sich wieder ein Cyklus.«

Bezeichnet man die Projectionen von  $xx'x''$  der Reihe nach mit  $yy'y''$ , so ist  $xyz = x'y'z = x''y''z$ , also auch

$$xy = x'y' = x''y'',$$

woraus  $x : x' : x'' = \frac{1}{y} : \frac{1}{y'} : \frac{1}{y''}$ , und da  $\frac{x}{a_1} = \frac{x'}{b_1} = \frac{x''}{c_1}$ ,  
weiter  $\frac{1}{a_1y} = \frac{1}{b_1y'} = \frac{1}{c_1y''}$  oder

$$a_1y = b_1y' = c_1y''$$

folgt; stellt man diesen Beziehungen die bekannten

$$a_1c_1 = b_1^2 = a_1c_1$$

gegenüber, so ergibt sich durch Division

$$\frac{y}{c_1} = \frac{y'}{b_1} = \frac{y''}{a_1},$$

wodurch erwiesen ist, dass  $y''y'y$  wieder einen Cyklus von  $E(a_1b_1c_1)$  darstellen.

35. Es sei  $xx'x''$  ein Cyklus in der  $E(a_1b_1)$ , so ist

$$\frac{x}{a_1} = \frac{x'}{b_1} \quad \frac{x'}{a_1} = \frac{x''}{b_1}$$

also

$$x' = \frac{b_1}{a_1} x \quad x'' = \frac{b_1}{a_1} x' = \frac{b_1^2}{a_1^2} x.$$

Ist  $yy'y''$  ein zweiter beliebiger Cyklus derselben  $E$ , so hat man ebenso

$$y' = \frac{b_1}{a_1} y \quad y'' = \frac{b_1^2}{a_1^2} y$$

und für einen dritten Cyklus  $zz'z''$

$$z' = \frac{b_1}{a_1} z \quad z'' = \frac{b_1^2}{a_1^2} z.$$

Aus diesen drei Gleichungspaaren ergibt sich durch Multiplication

$$x'y'z' = \frac{b_1^3}{a_1^3} xyz = xyz$$

$$x''y''z'' = \frac{b_1^6}{a_1^6} xyz = xyz,$$

so dass

$$xyz = x'y'z' = x''y''z'', \quad (1)$$

d. h. die drei Tripel  $xyz$ ,  $x'y'z'$ ,  $x''y''z''$  gehören einer  $J^3$  an.

Da man nun in jedem Tripel die Elemente cyklich vertauschen darf, so ist auch (wenn die Vertauschung in dem Tripel  $xx'x''$  vorgenommen wird):

$$x'y'z = x''y'z' = x'y''z'', \quad (2)$$

dagegen erhält man durch Vertauschung der  $y$

$$xy'z = x'y''z' = x''yz'' \quad (3)$$

und durch Vertauschung der  $z$

$$xyz' = x'y'z'' = x''y''z. \quad (4)$$

Weil jedoch

$$x'yz = \frac{b_1}{a_1} xyz, \quad xy'z = \frac{b_1}{a_1} xyz, \quad xyz' = \frac{b_1}{a_1} xyz,$$

so gehören die Tripel (2), (3), (4) wieder einer  $J^3$  an.

Führt man in (2), (3), (4) mit dem  $x$ -Tripel nochmalige cyklische Vertauschung aus, so ergeben sich die Relationen

$$x''yz = xy'z' = x'y''z'' \quad (2')$$

$$x'y'z = x''y'z' = xyz'' \quad (3')$$

$$x'yz' = x''y'z'' = xy''z \quad (4')$$

und da

$$x'yz' = \frac{b_1^2}{a_1^2} xyz, \quad x'y'z = \frac{b_1^2}{a_1^2} xyz, \quad x'yz' = \frac{b_1^2}{a_1^2} xyz,$$

so gehören (2'), (3'), (4') wieder einer  $J^3$  an.

Wenn man in (3'), (4') mit der Vertauschung nochmals vorgeht, so kommt man zu

$$x''y'z = xy''z' = x'yz'' \quad (3'')$$

$$x''yz' = xy'z'' = x'y''z \quad (4'')$$

und weil

$$x''y'z = \frac{b_1^2}{a_1^2} \cdot \frac{b_1}{a_1} xyz = \frac{b_1^3}{a_1^3} xyz = xyz$$

$$x''yz' = \frac{b_1^3}{a_1^3} xyz = xyz,$$

so gehören (3''), (4'') derselben  $J^3$  an wie (1).

Die drei Cyklen  $xx'x''$ ,  $yy'y''$ ,  $zz'z''$  aus  $E(a_1b_1)$  lassen sich also dreimal in drei Tripel der Involution  $J^3 \equiv xyz$ , dreimal in drei Tripel der Involution  $J^3 \equiv \frac{b_1}{a_1} xyz$  und dreimal in drei Tripel von  $J^3 \equiv \frac{b_1^2}{a_1^2} xyz$  ordnen. Weitere  $J^3$ , die man noch herstellen kann, fallen mit den eben gefundenen zusammen: so gibt z. B.  $x''y''z = \frac{b_1^2}{a_1^2} \cdot \frac{b_1^2}{a_1^2} xyz = \frac{b_1^4}{a_1^4} xyz = \frac{b_1}{a_1} xyz$ , und das

fällt zusammen mit (2), (3), (4); ebenso liefern die reciproken Coëfficienten  $\frac{a_1}{b_1}, \frac{a_1^2}{b_1^2}$  nichts Neues, weil  $\frac{a_1}{b_1} = \frac{a_1 b_1^3}{a_1^3 b_1} = \frac{b_1^2}{a_1^2}$  und  $\frac{a_1^2}{b_1^2} = \frac{a_1^2 b_1^3}{a_1^3 b_1^2} = \frac{b_1}{a_1}$  ist.

Anmerkung. Man kann, wenn  $a_1 b_1$  Hauptpunkte einer bestimmten  $J^3$  sind, zu jeder andern gegebenen  $J^3$  zwei andere von der Form  $\frac{b_1}{a_1} J^3, \frac{b_1^2}{a_1^2} J^3$  hinzufügen, d. h. wenn diese  $J^3$  durch ein Tripel  $xyz$  gegeben ist, so sind die beiden andern durch die Tripel  $\frac{b_1}{a_1} xyz, \frac{b_1^2}{a_1^2} xyz$  bestimmt; der letzten entspricht die erste wie der zweiten die dritte und der ersten die zweite, so dass wir eine cyklische Beziehung von Tripeln der  $J^3$  vor uns haben.

Oben sind die drei von einander verschiedenen Involutionen gegeben durch die Tripel  $xyz, xyz', xyz''$ .

### III. Über eine $J_3^4$ auf $C_3$ .

36. Die Berührungspunkte der aus einem Punkte  $p$  der  $C_3$  an diese geführten Tangenten seien  $abcd$ , die Berührungspunkte

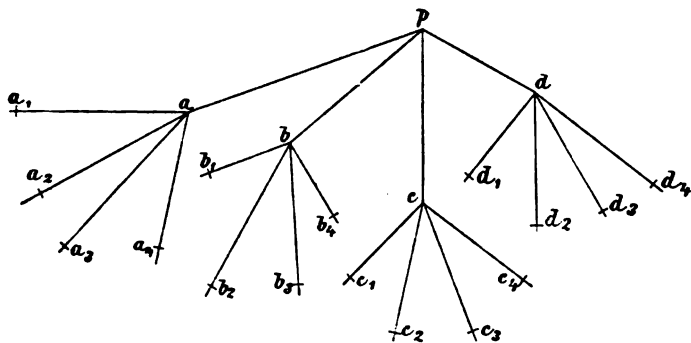


Fig. 4.

der aus  $abcd$  gelegten Tangenten seien  $a_i b_i c_i d_i$  ( $i = 1, 2, 3, 4$ ) (siehe die schematische Fig. 4). Man kann dann die  $a_i b_i c_i d_i$  durch  $a_1 b_1 c_1 d_1$  wie folgt ausdrücken:



$$\begin{array}{llll}
 a_1 = a_1 & b_1 = b_1 & c_1 = c_1 & d_1 = d_1 \\
 a_2 = \frac{b}{a} a_1 & b_2 = \frac{b}{a} b_1 & c_2 = \frac{b}{a} c_1 & d_2 = \frac{b}{a} d_1 \\
 a_3 = \frac{c}{a} a_1 & b_3 = \frac{c}{a} b_1 & c_3 = \frac{c}{a} c_1 & d_3 = \frac{c}{a} d_1 \\
 a_4 = \frac{d}{a} a_1 & b_4 = \frac{d}{a} b_1 & c_4 = \frac{d}{a} c_1 & d_4 = \frac{d}{a} d_1;
 \end{array}$$

mit andern Worten: Setzt man  $\frac{b}{a} = w_2$ ,  $\frac{c}{a} = w_3$ ,  $\frac{d}{a} = w_4$ , so sind dies die drei Functionen, mittels welcher man aus einem Punkte  $x$  die ihm in den drei Systemen conjugirten Pole erhält. Man hat bei Anwendung dieser Bezeichnungen die Relationen

$$\begin{array}{llll}
 b = w_2 a & c = w_3 a & d = w_4 a & \\
 a_1 = a_1 & b_1 = b_1 & c_1 = c_1 & d_1 = d_1 \\
 a_2 = w_2 a_1 & b_2 = w_2 b_1 & c_2 = w_2 c_1 & d_2 = w_2 d_1 \\
 a_3 = w_3 a_1 & b_3 = w_3 b_1 & c_3 = w_3 c_1 & d_3 = w_3 d_1 \\
 a_4 = w_4 a_1 & b_4 = w_4 b_1 & c_4 = w_4 c_1 & d_4 = w_4 d_1
 \end{array}$$

Es bestehen aber weiter die Beziehungen

$$\begin{array}{l}
 a^2 = b^2 = c^2 = d^2 \\
 a_1^2 = a_2^2 = a_3^2 = a_4^2 \\
 b_1^2 = b_2^2 = b_3^2 = b_4^2 \\
 c_1^2 = c_2^2 = c_3^2 = c_4^2 \\
 d_1^2 = d_2^2 = d_3^2 = d_4^2 \\
 w_2^2 = w_3^2 = w_4^2 = 1 \\
 a_1^4 = a_2^4 = \dots = b_1^4 = \dots =
 \end{array}$$

Weil ferner  $a_1 a_2 = a_3 a_4$ , so ist

$$\begin{array}{l}
 w_3 w_4 = w_2, \\
 \text{ebenso} \\
 w_4 w_2 = w_3 \\
 w_2 w_3 = w_4;
 \end{array}$$

aus der ersten dieser Gleichungen folgt, wenn man sie mit  $w_2$  multiplicirt und berücksichtigt, dass  $w_2^2 = 1$  ist,

$$w_2 w_3 w_4 = 1.$$

Hiernach ist

$$a_1 a_2 a_3 a_4 = b_1 b_2 b_3 b_4 = c_1 c_2 c_3 c_4 = d_1 d_2 d_3 d_4 = a_1^4 = \dots = d_4^4.$$

Gilt weiter für ein gerades Tripel auf  $C_3$  die Gleichung  $x_1 x_2 x_3 = k$ , so hat man

$$a^2 p = b^2 p = c^2 p = d^2 p = k.$$

$$a_i^2 a = b_i^2 b = c_i^2 c = d_i^2 d = k.$$

Weil  $w_j^2 = 1$ , so gelten die Gleichungen

$$a_1 b_1 = a_2 b_2 = a_3 b_3 = a_4 b_4$$

$$a_1 c_1 = a_2 c_2 = a_3 c_3 = a_4 c_4$$

$$a_1 d_1 = a_2 d_2 = a_3 d_3 = a_4 d_4$$

$$b_1 c_1 = b_2 c_2 = b_3 c_3 = b_4 c_4$$

$$b_1 d_1 = b_2 d_2 = b_3 d_3 = b_4 d_4$$

$$c_1 d_1 = c_2 d_2 = c_3 d_3 = c_4 d_4$$

Aus  $a_i^2 a = k$  und  $a^2 p = k$  und den analogen Gleichungen folgt

$$\frac{a_i^2}{a} = \frac{b_i^2}{b} = \frac{c_i^2}{c} = \frac{d_m^2}{d} = p.$$

Wegen der Beziehungen  $w_3 w_4 = w_2$  u. s. w. ist

$$a_1 b_2 = a_2 b_1 = a_3 b_4 = a_4 b_3 (= w_2 a_1 b_1)$$

$$a_1 c_2 = a_2 c_1 = a_3 c_4 = a_4 c_3 (= w_2 a_1 c_1)$$

$$a_1 d_2 = a_2 d_1 = a_3 d_4 = a_4 d_3 (= w_2 a_1 d_1)$$

$$b_1 c_2 = b_2 c_1 = b_3 c_4 = b_4 c_3 (= w_2 b_1 c_1)$$

$$b_1 d_2 = b_2 d_1 = b_3 d_4 = b_4 d_3 (= w_2 b_1 d_1)$$

$$c_1 d_2 = c_2 d_1 = c_3 d_4 = c_4 d_3 (= w_2 c_1 d_1)$$

ferner

$$a_1 b_3 = a_3 b_1 = a_2 b_4 = a_4 b_2 (= w_3 a_1 b_1)$$

$$a_1 c_3 = a_3 c_1 = a_2 c_4 = a_4 c_2 (= w_3 a_1 c_1)$$

$$a_1 d_3 = a_3 d_1 = a_2 d_4 = a_4 d_2 (= w_3 a_1 d_1)$$

$$b_1 c_3 = b_3 c_1 = b_2 c_4 = b_4 c_2 (= w_3 b_1 c_1)$$

$$b_1 d_3 = b_3 d_1 = b_2 d_4 = b_4 d_2 (= w_3 b_1 d_1)$$

$$c_1 d_3 = c_3 d_1 = c_2 d_4 = c_4 d_2 (= w_3 c_1 d_1)$$

endlich

$$\begin{aligned} a_1 b_4 &= a_4 b_1 = a_2 b_3 = a_3 b_2 (= w_4 a_1 b_1) \\ a_1 c_4 &= a_4 c_1 = a_2 c_3 = a_3 c_2 (= w_4 a_1 c_1) \\ a_1 d_4 &= a_4 d_1 = a_2 d_3 = a_3 d_2 (= w_4 a_1 d_1) \\ b_1 c_4 &= b_4 c_1 = b_2 c_3 = b_3 c_2 (= w_4 b_1 c_1) \\ b_1 d_4 &= b_4 d_1 = b_2 d_3 = b_3 d_2 (= w_4 b_1 d_1) \\ c_1 d_4 &= c_4 d_1 = c_2 d_3 = c_3 d_2 (= w_4 c_1 d_1) \end{aligned}$$

37. Die Involution  $J_3^4$  auf  $C_3$ , welche wir in Betracht ziehen, sei definiert durch die Gleichung

$$x_1 x_2 x_3 x_4 = kp.$$

Wir wählen aus jedem der Quadrupel  $a_i b_i c_i$  je einen Punkt, z. B.  $a_\alpha b_\beta c_\gamma$  und ergänzen dieses Tripel durch  $x$  zu einem Quadrupel der  $J_3^4$ ; dann muss der Definition gemäss

$$a_\alpha b_\beta c_\gamma x = kp,$$

somit auch  $a_\alpha^2 b_\beta^2 c_\gamma^2 x^2 = k^2 p^2$  oder  $\frac{k}{a} \frac{k}{b} \frac{k}{c} x^2 = k^3 p^2$ , also  $kx^2 = abcp^2$  sein; da aber  $bc = ad$ , so hat man auch  $kx^2 = a^2 dp$  und wegen  $a^2 = d^2$  weiter  $kx^2 = d^3 p^2$ ; nun ist  $d^2 p = k$ , somit  $x^2 = dp = \frac{k}{d} = d_i^3$ ; es ist also  $x$  einer der Punkte  $d_i$ . D. h.:

»Wählt man aus dreien der Quadrupel  $a_i b_i c_i d_i$  je ein Element, so wird ein solches Tripel jedesmal durch ein Element des vierten Quadrupels zu einem Quadrupel unserer  $J_3^4$  ergänzt.«

Wir wollen nun jenen der Punkte  $d_i$ , welcher mit  $a_1 b_1 c_1$  ein Quadrupel der  $J_3^4$  bildet, mit  $d_1$  bezeichnen, also festsetzen, dass

$$a_1 b_1 c_1 d_1 = kp$$

sei. Es handelt sich jetzt darum, alle möglichen Quadrupel aus den Elementen  $a_i b_i c_i d_i$  zu ermitteln.

Zunächst überzeugt man sich durch einen Blick auf die letzten drei Gruppen von Relationen in Artikel 36, dass  $a_\alpha b_\beta c_\gamma d_\delta$  ein Quadrupel der  $J^4$  ist, sobald  $\alpha\beta\gamma\delta$  von einander verschieden sind; folglich stellen die 24 Glieder der Determinante

$$\begin{vmatrix} a_1 & b_1 & c_1 & d_1 \\ a_2 & b_2 & c_2 & d_2 \\ a_3 & b_3 & c_3 & d_3 \\ a_4 & b_4 & c_4 & d_4 \end{vmatrix}$$

ebensoviele Quadrupel dar.

Es ist ferner jede Gruppe der Form  $a_\kappa b_\kappa c_\lambda d_\lambda$  ( $\kappa \leq \lambda$ ) ein Quadrupel der  $J^4$ ; denn es ist ja  $a_\kappa b_\kappa = n_\kappa^2 a_1 b_1$  und  $c_\lambda d_\lambda = n_\lambda^2 c_1 d_1$ , und weil  $n_\kappa^2 = n_\lambda^2 = 1$ , so kommt thatsächlich  $a_\kappa b_\kappa c_\lambda d_\lambda = a_1 b_1 c_1 d_1$ . Es sind also  $a_1 b_1 c_1 d_1, a_1 b_1 c_2 d_2, a_1 b_1 c_3 d_3, \dots$  lauter Quadrupel der  $J^4$ ; wie man bemerkt, befinden sich darunter auch die Horizontalreihen obiger Determinante. Die Abzählung dieser Formen ist leicht; aus jeder Zeile lassen sich sechs Paare bilden, und jedes dieser Paare kann mit vier andern verbunden werden; da es nun vier Zeilen gibt, so entstanden  $4 \cdot 6 \cdot 4$  Verbindungen, von denen aber jede zweimal vorkommt, so dass noch  $\frac{4 \cdot 6 \cdot 4}{2} = 48$  Combinationen blieben; aber jedes der vier Quadrupel  $a_\kappa b_\kappa c_\kappa d_\kappa$  ist dabei immer noch dreimal gezählt (nämlich von  $a_\kappa b_\kappa, a_\kappa c_\kappa, a_\kappa d_\kappa$  herrührend); es müssen daher von obiger Zahl  $2 \cdot 4 = 8$  Einheiten subtrahirt werden. Dies gibt  $48 - 8 = 40$  von einander verschiedene Quadrupel der Form  $\kappa\lambda\lambda\lambda$  (oder  $\kappa\lambda\kappa\lambda$  oder  $\lambda\lambda\kappa\kappa$ ). Dies zu den 24 Gliedern der Determinante und zu den vier Quadrupeln  $a_i, b_i, c_i, d_i$  ( $i = 1, 2, 3, 4$ ) hinzugefügt, gibt vorläufig  $24 + 4 + 40 = 68$  Quadrupel.

Um die noch übrig bleibenden zu ermitteln, stellen wir folgende Betrachtung an. Es wird  $C_3$  zum drittenmale geschnitten

$$\begin{aligned} \text{von } a_1 a_2 \text{ oder } a_3 a_4 \text{ in } & \frac{k}{a_1 a_2} = \frac{a_1^2 a}{a_1 \frac{b}{a} a_1} = \frac{a^2}{b} = \frac{b^2}{b} = b \\ & \text{» } a_1 a_3 \text{ » } a_2 a_4 \text{ » } \frac{k}{a_1 a_3} = \frac{a_1^2 a}{a_1 \frac{c}{a} a_1} = \frac{a^2}{c} = \frac{c^2}{c} = c \\ & \text{» } a_1 a_4 \text{ » } a_2 a_3 \text{ » } \frac{k}{a_1 a_4} = \frac{a_1^2 a}{a_1 \frac{d}{a} a_1} = \frac{a^2}{d} = \frac{d^2}{d} = d \end{aligned}$$

$$\text{von } b_1 b_2 \text{ oder } b_3 b_4 \text{ in } \frac{k}{b_1 b_2} = \frac{b_1^2 b}{b_1 \frac{b}{a} b_1} = a$$

$$» \quad b_1 b_3 \quad » \quad b_2 b_4 \quad » \quad \frac{k}{b_1 b_3} = \frac{b_1^2 b}{b_1 \frac{c}{a} b_1} = \frac{ab}{c} = d$$

$$» \quad b_1 b_4 \quad » \quad b_2 b_3 \quad » \quad \frac{k}{b_1 b_4} = \frac{b_1^2 b}{b_1 \frac{d}{a} b_1} = \frac{ab}{d} = c$$

$$» \quad c_1 c_2 \quad » \quad c_3 c_4 \quad » \quad \frac{k}{c_1 c_2} = \frac{c_1^2 c}{c_1 \frac{b}{a} c_1} = \frac{ac}{b} = d$$

$$» \quad c_1 c_3 \quad » \quad c_2 c_4 \quad » \quad \frac{k}{c_1 c_3} = \frac{c_1^2 c}{c_1 \frac{c}{a} c_1} = a$$

$$» \quad c_1 c_4 \quad » \quad c_2 c_3 \quad » \quad \frac{k}{c_1 c_4} = \frac{c_1^2 c}{c_1 \frac{d}{a} c_1} = \frac{ac}{d} = b$$

$$» \quad d_1 d_2 \quad » \quad d_3 d_4 \quad » \quad \frac{k}{d_1 d_2} = \frac{d_1^2 d}{d_1 \frac{b}{a} d_1} = \frac{ad}{b} = c$$

$$» \quad d_1 d_3 \quad » \quad d_2 d_4 \quad » \quad \frac{k}{d_1 d_3} = \frac{d_1^2 d}{d_1 \frac{c}{a} d_1} = \frac{ad}{c} = b$$

$$» \quad d_1 d_4 \quad » \quad d_2 d_3 \quad » \quad \frac{k}{d_1 d_4} = \frac{d_1^2 d}{d_1 \frac{d}{a} d_1} = a;$$

$$\begin{array}{l} b_1 b_2, b_3 b_4; c_1 c_3, c_2 c_4; d_1 d_4, d_2 d_3 \text{ durch } a \\ a_1 a_2, a_3 a_4; c_1 c_4, c_2 c_3; d_1 d_3, d_2 d_4 \quad » \quad b \\ a_1 a_3, a_2 a_4; b_1 b_4, b_2 b_3; d_1 d_2, d_3 d_4 \quad » \quad c \\ a_1 a_4, a_2 a_3; b_1 b_3, b_2 b_4; c_1 c_2, c_3 c_4 \quad » \quad d \end{array}$$

Man kann sich dieses Verhalten schematisch wie folgt darstellen: Es geht

$a_1 a_2$ durch $b$	$b_2 b_1$ durch $a$	$c_3 c_1$ durch $a$	$d_4 d_1$ durch $a$
$a_1 a_3$ » $c$	$b_2 b_3$ » $c$	$c_3 c_2$ » $b$	$d_4 d_2$ » $b$
$a_1 a_4$ » $d$	$b_2 b_4$ » $d$	$c_3 c_4$ » $d$	$d_4 d_3$ » $c$ ;

man bemerkt, dass der zweite Index, je nachdem er 1, 2, 3, 4 ist, auf  $a, b, c, d$  respective hindeutet; mit Hilfe dieses Schemas ist man im Stande, sofort den dritten Schnittpunkt eines beliebigen  $a_x a_\lambda$  oder  $b_x b_\lambda$  u. s. w. anzugeben.

Verknüpfen wir  $a_1 a_2$  mit irgend einem  $b_i$ , z. B. mit  $b_2$ , und ist  $x$  der vierte Quadrupelpunkt, so muss  $a_1 a_2 b_2 x = a_1 a_2 a_3 a_4$ , somit  $b_2 x = a_3 a_4 = a_1 a_2$  sein; d. h.  $b_2 x$  und  $a_1 a_2$  müssen durch denselben Punkt von  $C_3$  gehen; nun geht  $a_1 a_2$  dem obigen Schema zufolge durch  $b$ , kein  $b_2 b_n$  aber läuft durch den Punkt  $b$ , somit führt  $a_1 a_2 b_2$  zu keinem Quadrupel. Verknüpft man dagegen  $a_1 a_2$  mit einem  $c_i$ , z. B.  $c_3$ , und nennt den vierten Punkt  $x$ , so folgt aus  $a_1 a_2 c_3 x = a_1 a_2 a_3 a_4$ , dass  $c_3 x = a_3 a_4 = a_1 a_2$ ; nun läuft  $c_3 c_2$  ebenso durch  $b$  wie  $a_1 a_2$ , folglich ist  $x = c_2$  und  $a_1 a_2 c_3 c_2$  das gesuchte Quadrupel.

Allgemein: Es seien  $e' e'' e''' e^{IV}$  die Elemente irgend einer Verticalreihe; die Gerade  $e' e''$  gehe durch  $m$  (wobei  $m$  einer der Punkte  $abcd$  ist); dann sei  $e_1$  irgend ein Element einer andern Verticalreihe und  $x$  das fehlende vierte zu  $e' e'' e_1$ , so ist  $e' e'' e_1 x = e' e'' e''' e^{IV}$ , also  $e_1 x = e''' e^{IV} = e' e''$ , d. h. es ist  $x$  so zu bestimmen, dass  $\overline{e_1 x}$  durch denselben Punkt geht wie  $\overline{e' e''}$ .

Nun sind wir in der Lage, jedes Tripel zu einem Quadrupel der  $J^4$  zu vervollständigen. Wäre z. B.  $c_2 c_3 a_1$  zu ergänzen, so beachte man, dass  $c_2 c_3$  durch  $b$  geht, und da  $a_1 a_2$  auch durch  $b$  geht, so ist  $c_2 c_3 a_1 a_2$  das Quadrupel. Soll  $c_1 c_4 b_2$  vervollständigt werden, so bemerke man, dass  $c_1 c_4$  (wie  $c_2 c_3$ ) durch  $b$  geht, und weil  $b$  der Tangentialpunkt zu  $b_2$  ist, so ist  $c_1 c_4 b_2 b_2$  das Quadrupel u. s. w.

Jetzt lässt sich leicht zeigen, dass man auf dem eben entwickelten Wege noch 48 Quadrupel erhält. Wie ein Blick auf das obige Schema lehrt, liefert  $a_1 a_2$  mit  $b_i$  kein Quadrupel, dagegen mit  $c_i$  und  $d_i$  je zwei (nämlich  $c_3 c_2$  und  $c_1 c_4$ , beziehungsweise  $d_4 d_2$  und  $d_1 d_3$ ), im Ganzen vier; überhaupt gibt jedes der sechs Paare  $a_x a_\lambda$  zu vier Quadrupeln Anlass, daher stammen aus der ersten Colonne  $6 \cdot 4 = 24$ , aus allen vier

Colonnen 4.  $24 = 96$  Combinationen, deren jede aber zweimal vorkommt, so dass wirklich 48 verschiedene Quadrupel der  $J_3^*$  entstehen. Nach dem Schema geordnet sind es die folgenden:

$$\begin{aligned}
 & a_1 a_2 c_1 c_4; a_1 a_2 c_2 c_3; a_1 a_2 d_1 d_3; a_1 a_2 d_2 d_4 \\
 & a_3 a_4 c_1 c_4; a_3 a_4 c_2 c_3; a_3 a_4 d_1 d_3; a_3 a_4 d_2 d_4 \\
 & a_1 a_3 b_2 b_3; a_1 a_3 b_1 b_4; a_1 a_3 d_1 d_2; a_1 a_3 d_3 d_4 \\
 & a_2 a_4 b_2 b_3; a_2 a_4 b_1 b_4; a_2 a_4 d_1 d_2; a_2 a_4 d_3 d_4 \\
 & a_1 a_4 b_1 b_3; a_1 a_4 b_2 b_4; a_1 a_4 c_1 c_2; a_1 a_4 c_3 c_4 \\
 & a_2 a_3 b_1 b_3; a_2 a_3 b_2 b_4; a_2 a_3 c_1 c_2; a_2 a_3 c_3 c_4 \\
 & b_1 b_2 c_1 c_3; b_1 b_2 c_2 c_4; b_1 b_2 d_1 d_4; b_1 b_2 d_2 d_3 \\
 & b_3 b_4 c_1 c_3; b_3 b_4 c_2 c_4; b_3 b_4 d_1 d_4; b_3 b_4 d_2 d_3 \\
 & b_1 b_3 c_1 c_2; b_1 b_3 c_3 c_4 \\
 & b_2 b_4 c_1 c_2; b_2 b_4 c_3 c_4 \\
 & b_1 b_4 d_1 d_2; b_1 b_4 d_3 d_4 \\
 & b_2 b_3 d_1 d_2; b_2 b_3 d_3 d_4 \\
 & c_1 c_3 d_1 d_4; c_1 c_3 d_2 d_3 \\
 & c_2 c_4 d_1 d_4; c_2 c_4 d_2 d_3 \\
 & c_1 c_4 d_2 d_3; c_1 c_4 d_1 d_3 \\
 & c_2 c_3 d_2 d_4; c_2 c_3 d_1 d_4
 \end{aligned}$$

Im Ganzen gibt es also  $68 + 48 = 116$  Quadrupel der  $J_3^*$ , welche sich aus je vier von den 16 Elementen  $a_i b_i c_i d_i$  zusammensetzen. (Siehe Schroeter, Grundzüge einer rein-geometrischen Theorie der Raumcurve vierter Ordnung erster Species, 1890, S. 81 ff., die Configuration der 16 Wendeberührungspunkte einer  $R_4$  betreffend.)

#### IV. Über eine allgemeine $J^n$ auf $C_3$ .

38. »Wenn auf einer allgemeinen Curve dritter Ordnung  $C_3$  eine Involution  $J^n$   $n$ ten Grades ( $n-1$ )ter Stufe gegeben ist, so besteht für eine jede Elementengruppe die Gleichung  $x_1 x_2 \dots x_n = C$ . Man kann nun  $C$  immer in der Form  $C = k^n x$  darstellen, wobei  $k = u_1 u_2 u_3$  die Gleichung der fundamentalen

$J^3$  der geraden Tripel (oder einer beliebigen  $J^3$ ) und  $\alpha$  entweder  $= a$ , oder  $= \frac{1}{a}$  oder  $= \frac{a}{b}$  ist, wo  $a, b$  Punkte der  $C_3$  bedeuten.\*

Beweis. Für  $J^2$  hat man  $x_1 x_2 = C$ , und wenn  $x_1 x_2 a = k$ , so ist  $C = \frac{k}{a}$  (also  $\alpha = \frac{1}{a}$  und  $\mu = 1$ );  $a$  ist das Centrum der  $J^2$ .

Für  $J^3$  ist  $x_1 x_2 x_3 = C$ ; ein beliebiges aber festes Tripel dieser Involution gibt  $a_1 a_2 a_3 = C$ ; ist nun  $a_2 a_3 b_1 = k$ , so ist  $a_2 a_3 = \frac{k}{b_1}$  und somit  $C = \frac{a_1}{b_1} k$  (also  $\alpha = \frac{a_1}{b_1}$  und  $\mu = 1$ ).

Für  $J^4$  ist  $x_1 x_2 x_3 x_4 = C$  und wenn  $x_1 x_2 x_3 x_4 = k a$  gesetzt wird, so ist  $C = k a$  und es bedeutet  $a$  das Centrum der  $J^4$  oder den Gegenpunkt aller Quadrupel<sup>1</sup> ( $\alpha = a$  und  $\mu = 1$ ).

Für  $J^5$  ist  $x_1 x_2 x_3 x_4 x_5 = C$ ; wenn  $x_1 x_2 x_3 x_4 x_5 a = k^2$ , so dass, wenn  $k$  die geraden Tripel charakterisirt,  $a$  den sechsten Schnittpunkt des durch  $x_1 x_2 x_3 x_4 x_5$  gelegten Kegelschnittes bedeutet (das Centrum der Involution  $J^{5,2}$ ) so ist  $C = \frac{k^2}{a}$  ( $\alpha = \frac{1}{a}$  und  $\mu = 2$ ).

Für  $J^6$  ist  $x_1 x_2 x_3 x_4 x_5 x_6 = C$ ; für ein beliebiges aber festes Sextupel hat man  $a_1 a_2 a_3 a_4 a_5 a_6 = C$  und wenn  $a_2 a_3 a_4 a_5 a_6 b_1 = k^2$  ist, so folgt  $C = \frac{a_1}{b_1} k^2$  ( $\alpha = \frac{a_1}{b_1}$  und  $\mu = 2$ ).

Allgemein gilt Folgendes:

Wenn

$$\frac{n}{3} = \mu \quad \frac{n}{3} = \mu + \frac{1}{3} \quad \frac{n}{3} = \mu + \frac{2}{3}$$

so ist

$$C = k^\mu \frac{a}{b} \quad C = k^\mu a \quad C = \frac{k^{\mu+1}}{a}.$$

Man ersieht hieraus, dass mit einer Involution  $J^n$  ein fester Punkt ( $a$ ) der  $C_3$  verknüpft ist, sobald 3 nicht Theiler des Ord-

<sup>1</sup> Ein Beitrag zur Gruppentheorie auf Curven vom Geschlechte Eins. Sitzungsber. Bd. LXXXVIII, 2. Abth., Art. 10.

<sup>2</sup> Ibid., Art. 14.



nungsexponenten  $n$  ist, dagegen eine eindeutige Beziehung  $E(ab)$ , sobald  $n$  durch 3 theilbar ist.

### V. Einer $C_3$ gleichzeitig um- und eingeschriebene Polygone.

39. In der Reihe der Punkte  $x_1 x_2 \dots x_n x_{n+1}$  auf einer  $C_3$  soll jeder Punkt der Tangentialpunkt des vorhergehenden sein. Hat die fundamentale  $J^3$  der geraden Tripel die Gleichung  $u_1 u_2 u_3 = k$ , so bestehen zwischen jenen Punkten folgende Relationen:

$$\begin{aligned} x_1^2 x_2 &= k \\ x_2^2 x_3 &= k \\ &\dots \dots \dots \\ x_{n-1}^2 x_n &= k \\ x_n^2 x_{n+1} &= k \end{aligned} \quad (I)$$

Wir erheben diese Gleichungen der Reihe nach zu den Potenzen  $2^{n-1}, 2^{n-2} \dots 2^1, 2^0$  und schreiben sie, die Fälle eines geraden und eines ungeraden  $n$  trennend, in folgender Anordnung:

α) Für ein gerades  $n$ .

$$\begin{aligned} x_1^{2^n} x_2^{2^{n-1}} &= k^{2^{n-1}} \\ k^{2^{n-2}} &= x_2^{2^{n-1}} x_3^{2^{n-2}} \\ &\dots \dots \dots \\ x_{n-1}^{2^2} x_n^{2^1} &= k^{2^0} \\ k^{2^0} &= x_n^{2^1} x_{n+1}^{2^0} \end{aligned} \quad (II^a)$$

Aus dieser Darstellung erkennt man bald, dass das Resultat der Multiplication lautet:

$$x_1^{2^n} k^{2^{n-2} + 2^{n-3} + \dots + 2^0} = x_{n+1} k^{2^{n-1} + 2^{n-3} + \dots + 2^1}.$$

Nun ist, weil  $n$  gerad,

$$\begin{aligned} 2^{n-1} + 2^{n-3} + \dots + 2^1 &= 2 \frac{(2^2)^{\frac{n}{2}} - 1}{2^2 - 1} = \frac{2^{n+1} - 2}{3} \\ 2^{n-2} + 2^{n-4} + \dots + 2^0 &= \frac{(2^2)^{\frac{n}{2}} - 1}{2^2 - 1} = \frac{2^n - 1}{3}; \end{aligned}$$

somit hat man für gerade  $n$  endgiltig

$$x_1^{2^n} = x_{n+1} k^{\frac{2^n - 1}{3}}. \quad (\text{III}^a)$$

3) Bei einem ungeraden  $n$  ordne man die Gleichungen wie folgt:

$$\begin{aligned} x_1^{2^n} x_2^{2^{n-1}} &= k^{2^{n-1}} \\ k^{2^{n-2}} &= x_2^{2^{n-1}} x_3^{2^{n-2}} \\ &\vdots \\ x_{n-2}^{2^3} x_{n-1}^{2^2} &= k^{2^2} \\ k^{2^1} &= x_{n-1}^{2^2} x_n^{2^1} \\ x_n^{2^1} x_{n+1}^{2^0} &= k^{2^0} \end{aligned} \quad (II^3)$$

ihr Product ist

$$x_1^{2^n} x_{n+1} k^{2^{n-2} + 2^{n-3} + \dots + 2^1} = k^{2^{n-1} + 2^{n-3} + \dots + 2^0};$$

für ein ungerades  $n$  hat man aber

$$2^{n-1} + 2^{n-3} + \dots + 2^0 = \frac{(2^2)^{\frac{n+1}{2}} - 1}{2^2 - 1} = \frac{2^{n+1} - 1}{3}$$

$$2^{n-2} + 2^{n-4} + \dots + 2^1 = 2 \frac{(2^2)^{\frac{n-1}{2}} - 1}{2^2 - 1} = \frac{2^n - 2}{3};$$

folglich lautet die obige Gleichung in reducirter Form

$$x_1^{2^n} x_{n+1} = k^{\frac{2^n+1}{3}}. \quad (\text{III}^3)$$

Man kann übrigens beide Fälle in einer Formel zusammenfassen, wenn man bemerkt, dass der Exponent von  $k$  der Werth von  $\frac{2^n - (-1)^n}{3}$  und der Exponent von  $x_{n+1}$  auf der rechten Seite  $+1$  oder  $-1$  ist, je nachdem  $n$  gerad oder ungerad. Mithin hat man folgende allgemeine Relation zwischen einem beliebigen Punkte  $x_1$  einer  $C_3$  und seinem  $n$ ten Tangentialpunkt  $x_{n+1}$ :

$$x_i^{2^n} = x^{(-1)^n} k^{\frac{2^n - (-1)^n}{3}} \quad (\text{III})$$

40. Wir wollen, bevor wir auf die geschlossenen Polygone eingehen, von dieser Formel Gebrauch machen, um zu zeigen, wie man aus den aufeinanderfolgenden Tangentialpunkten eines Punktes der  $C_3$  seine Tangentialpunkte verschiedener Ordnungen ableiten kann.

Es sei  $x$  der gegebene Punkt von  $C_3$ ,  $x_1$  sein erster,  $x_2$  sein zweiter, . . .  $x_n$  sein  $n$ ter Tangentialpunkt; dann ist vermöge der Formel (III)

$$x^{2^n} = x_n^{(-1)^n} k^{\frac{2^n - (-1)^n}{3}}.$$

Hiernach ist speciell

$$\begin{aligned} x^2 x_1 &= k \\ x^4 &= k x_2 \\ x^8 x_3 &= k^3 \\ x^{16} &= k^5 x_4 \\ x^{32} x_5 &= k^{11} \\ x^{64} &= k^{21} x_6 \text{ u. s. w.} \end{aligned} \quad (\alpha)$$

Bezeichnet man ferner mit  $y_1, y_2, \dots, y_\mu$  den Tangentialpunkt 1., 2., . . .  $\mu$ ter Ordnung von  $x$ , d. i. den Punkt, in welchem  $C_3$  von der  $C_1, C_2, \dots, C_\mu$ , welche sie in  $x$  2-, 5-, . . .  $(3\mu-1)$ -punktig berührt, zum letztenmale geschnitten wird, so gelten für diese die Gleichungen

$$\begin{aligned} x^2 y_1 &= k \\ x^5 y_2 &= k^2 \\ x^8 y_3 &= k^3 \\ x^{11} y_4 &= k^4 \\ &\dots \dots \dots \\ x^{3\mu-1} y_\mu &= k^\mu. \end{aligned} \quad (\beta)$$

Durch Verbindung der Gleichungen  $(\alpha)$  und  $(\beta)$  ergeben sich nun folgende Constructionen der Punkte  $y_1, y_2, \dots$

1. Es ist  $y_1 = x_1$ .
2. Aus  $x^5 y_2 = k^2$  folgt  $x^4 x y_2 = k^2$  und wegen  $x^4 = k x_2$  weiter  $x x_2 y_2 = k$ , d. h.  $y_2$  ist der dritte Schnittpunkt von  $x x_2$ .
3.  $x^8 x_3 = k^3$  mit  $x^6 y_3 = k^3$  verglichen zeigt, dass  $y_3 = x_3$ .

4.  $x^{11}y_4 = k^4$  gibt  $x^8x^2xy_4 = k^4$ , und da  $x^8 = \frac{k^3}{x_3}$ ,  $x^2 = \frac{k}{x_1}$ ,

so folgt  $xy_4 = x_1x_3$ , d. h. man ziehe, um  $y_4$  zu erhalten, aus dem dritten Schnittpunkt von  $x_1x_3$  eine Gerade nach dem gegebenen Punkte  $x$ .

5. Aus  $x^{14}y_5 = k^5$  folgt  $x^{16}y_5 = k^5x^2$ , oder da  $x^{16} = k^5x_4$  und  $x^2 = \frac{k}{x_1}$ , so ist  $x_1x_4y_5 = k$ , d. h.  $y_5$  ergibt sich als dritter Schnittpunkt von  $x_1x_4$ .

6.  $x^{17}y_6 = k^6$  in der Form  $x^{16}xy_6 = k^6$  geschrieben gibt wegen  $x^{16} = k^5x_4$  die Relation  $xx_4y_6 = k$ , welche lehrt, dass sich  $y_6$  als dritter Schnitt von  $xx_4$  ergibt.

7. Aus  $x^{20}y_7 = k^7$  folgt, wenn man beachtet, dass  $x^{16} = k^5x_4$  und  $x^4 = kx_2$  ist,  $x_2x_4y_7 = k$ , d. h.  $y_7$  ist der dritte Schnittpunkt von  $x_2x_4$ .

8. Schreibt man  $x^{23}y_8 = k^8$  in der Gestalt  $\frac{x^{16}x^8}{x}y_8 = k^8$  und bemerkt, dass  $x^{16} = k^5x_4$  und  $x^8 = \frac{k^3}{x_3}$ , so folgt  $x_4y_8 = xx_3$ ; man hat also  $x_4$  aus dem dritten Schnittpunkt von  $xx_3$  auf  $C_3$  zu projeciren, um  $y_8$  zu erhalten.

9. Aus  $x^{26}y_9 = k^9$  oder  $x^{16}x^8x^2y_9 = k^9$  ergibt sich

$$k^5x_4 \frac{k^3}{x_3} \frac{k}{x_1} y_9 = k^9$$

und daraus  $x_4y_9 = x_1x_3$ , d. h. der dritte Schnittpunkt von  $x_1x_3$  mit  $x_4$  verbunden gibt  $y_9$ .

10. Stellt man  $x^{29}y_{10} = k^{10}$  in der Form  $\frac{x^{32}}{x^3}y_{10} = k^{10}$  dar und beachtet, dass  $x^{32} = \frac{k^{11}}{x_5}$  und  $x^2 = \frac{k}{x_1}$ , so folgt  $x_1y_{10} = xx_5$ ; man hat also  $x_1$  mit dem dritten Schnittpunkt von  $xx_5$  zu verbinden.

11. Die Vergleichung von  $x^{32}y_{11} = k^{11}$  und  $x^{32}x_5 = k^{11}$  gibt  $y_{11} = x_5$ ; die  $C_{11}$ , welche die  $C_3$  in 32-punktig berührt, schneidet sie nochmals im fünften Tangentialpunkt.

12. Auf ähnlichem Wege erhält man durch entsprechende Combination von  $(\alpha)$ ,  $(\beta)$  die Gleichungen

$$\begin{aligned}
 x y_{12} &= x_1 x_5 \\
 x_2 y_{13} &= x_1 x_5 \\
 x y_{14} &= x_3 x_5 \\
 x_2 y_{15} &= x_3 x_5 \\
 x_3 y_{16} &= x x_5 \\
 x_4 y_{17} &= x_1 x_5 \text{ u. S. W.,}
 \end{aligned}$$

aus welchen die einfachen Constructionen für  $y_{12}, y_{13}, \dots, y_{17}$  zu entnehmen sind.

41. Soll das  $n$ -Eck  $x_1 x_2 \dots x_{n+1}$  (Art. 39) geschlossen sein, so muss der  $n$ te Tangentialpunkt mit dem Ausgangspunkte zusammenfallen, also  $x_{n+1} \equiv x_1$  sein; demnach ist ein Punkt  $x$  der  $C_3$ , von welchem aus sich ein geschlossenes der  $C_3$  gleichzeitig um- und eingeschriebenes  $n$ -Eck construiren lässt, charakterisirt durch die Gleichung

$$x^{2^n-1} = k^{\frac{2^n-1}{3}} \quad \text{für ein gerades } n \quad (\text{IV}^a)$$

$$x^{2^n+1} = k^{\frac{2^n+1}{3}} \quad \text{für ein ungerades } n \quad (\text{IV}^b)$$

oder in Zusammenfassung beider Fälle durch die Gleichung

$$x^{2^n-(-1)^n} = k^{\frac{2^n-(-1)^n}{3}}. \quad (\text{IV})$$

Dies gibt den Satz: »Die Ecken der einer  $C_3$  gleichzeitig um- und eingeschriebenen  $n$ -Ecke sind die Hauptpunkte<sup>1</sup> einer Involution vom Grade  $2^n-(-1)^n$ .

Die fundamentale  $J^3$  hat die Gleichung  $x' x'' x''' = k$ ; die  $J^{3\mu}$ , welche Curven  $\mu$ ter Ordnung auf  $C_3$  bestimmen, hat die Gleichung

$$x' x'' x''' \dots x^{(3\mu-1)} x^{(3\mu-1)} x^{(3\mu)} = k^\mu,$$

ihre Hauptpunkte fliessen aus der Gleichung

$$x^{3\mu} = k^\mu;$$

---

<sup>1</sup> Wir nennen die  $n$ -fachen Elemente einer  $J^n$  ihre Hauptelemente.

vergleicht man diese mit der oben abgeleiteten (IV), so erkennt man, dass erstere in letztere übergeht, wenn gesetzt wird  $\mu = 3^n - (-1)^n$ ; es sind also die Ecken der  $n$ -Ecke unter denjenigen Punkten, in welchen die  $C_3$  von Curven  $C_\mu$ , das sind Curven  $[2^n - (-1)^n]$ ter Ordnung,  $3\mu$ -punktig geschnitten wird.

• Jeder aus der Gleichung (IV) resultirende Punkt hat die Eigenschaft, dass sein  $n$ ter Tangentialpunkt mit ihm identisch ist. • Denn nennen wir den letzteren  $x_{n+1}$ , so ist nach (III)

$$x^{2^n} = x_{n+1}^{(-1)^n} k^{\frac{2^n - (-1)^n}{3}}$$

nach Voraussetzung aber

$$x^{2^n - (-1)^n} = k^{\frac{2^n - (-1)^n}{3}};$$

daraus folgt durch Division

$$x^{(-1)^n} = x_{n+1}^{(-1)^n},$$

d. h.  $x_{n+1} \equiv x$ , was bewiesen werden sollte.

Unter den  $[2^n - (-1)^n]^2$  Hauptpunkten der Involution  $J^\mu$ , aus welchen die Ecken der um- und eingeschriebenen  $n$ -Ecke hervorgehen, befinden sich immer auch die neun Inflexionspunkte; denn ist  $x^3 = k$ , so ist auch  $x^{3[2^n - (-1)^n]} = k^{2^n - (-1)^n}$ , somit

$$x^{2^n - (-1)^n} = k^{\frac{2^n - (-1)^n}{3}}$$

der Gleichung (IV) entsprechend. Scheidet man diese neun Punkte aus, da sie als Ecken nicht auftreten können, so verbleiben noch

$$N_n = [2^n - (-1)^n]^2 - 9$$

Punkte.

Wenn nun  $n$  eine Primzahl ist, so ergibt sich als Anzahl der um- und eingeschriebenen  $n$ -Ecke

$$\tau_n = \frac{[2^n - (-1)^n]^2 - 9}{n}, \quad (V)$$

welche, da ja  $n$  ungerad ist, auch geschrieben werden kann

$$\zeta_n = \frac{8(2^{n-1}-1)(2^{n-2}+1)}{n}.$$

Wenn  $n$  nicht Primzahl, sondern aus den Primfactoren  $n_1, n_2, \dots, n_r$ , deren keiner  $= 2$ , zusammengesetzt ist derart, dass  $n = n_1 n_2 \dots n_r$ , so befinden sich unter den  $N_n$  Punkten auch die Gruppen derjenigen, welche  $n_1$ -,  $n_2$ -,  $\dots$   $n_r$ -Ecke ergeben; somit ist dann die Anzahl der  $n$ -Ecke

$$\zeta_n = \frac{[2^n - (-1)^n]^2 - 9 - n_1 \zeta_{n_1} - \dots - n_r \zeta_{n_r}}{n}$$

oder in kürzerer Schreibung

$$\zeta_n = \frac{[2^n - (-1)^n]^2 - 9 - \sum_1^r n_i \zeta_{n_i}}{n}.$$

Diese Formel bleibt auch aufrecht, wenn  $n = 2 n_1 n_2 \dots n_r$ , weil es Zweiecke nicht gibt.

Ganz allgemein gilt der Satz: »Sind  $t_1, t_2, t_3, \dots$  die sämtlichen von 2 und untereinander verschiedenen Theiler von  $n$ , so ist die Anzahl der einer  $C_3$  gleichzeitig um- und eingeschriebenen  $n$ -Ecke

$$\zeta_n = \frac{[2^n - (-1)^n]^2 - 9 - \sum t_i \zeta_{t_i}}{n}. \quad (\text{VI})$$

Anmerkung. Als Zweiecke erhält man bloss die neun Inflexionspunkte. Denn soll  $x_1^2 x_2 = k$  und  $x_2^2 x_1 = k$  sein, so hat man  $x_1^2 x_2 = x_2^2 x_1$  und daraus  $x_1 = x_2$ ; dies in  $x_1^2 x_2 = k$  gesetzt gibt  $x_1^3 = k$ , durch welche Gleichung aber die neun Inflexionspunkte definirt sind.

Nachstehend sind die Gleichungen (IV) und die Werthe  $\zeta_n$  für  $n = 3, 4, \dots, 20$  zusammengestellt.<sup>1</sup>

<sup>1</sup> Siehe auch Picquet, »Applications de la représentation des courbes du troisième degré à l'aide des fonctions elliptiques«, Journal de l'École polytechnique, cah. 54.

Eckenzahl	Charakt. Gleichung	Anzahl der Polygone
3	$x^9 = k^3$	$24 = \frac{9^2 - 9}{3}$
4	$x^{15} = k^5$	$54 = \frac{15^2 - 9}{4}$
5	$x^{33} = k^{11}$	$216 = \frac{33^2 - 9}{5}$
6	$x^{63} = k^{21}$	$648 = \frac{63^2 - 9 - 3 \cdot 24}{6}$
7	$x^{119} = k^{43}$	$2376 = \frac{129^2 - 9}{7}$
8	$x^{255} = k^{85}$	$8100 = \frac{255^2 - 9 - 4 \cdot 54}{8}$
9	$x^{513} = k^{171}$	$29232 = \frac{513^2 - 9 - 3 \cdot 24}{9}$
10	$x^{1023} = k^{341}$	$104544 = \frac{1023^2 - 9 - 5 \cdot 216}{10}$
11	$x^{2049} = k^{683}$	$381672 = \frac{2049^2 - 9}{11}$



Eckenzahl	Charakt. Gleichung	Anzahl der Polygone
12	$x^{4095} = k^{1385}$	$1397070 = \frac{4095^2 - 9 - 3 \cdot 24 - 4 \cdot 54 - 6 \cdot 648}{12}$
13	$x^{8193} = k^{2731}$	$5163480 = \frac{8193^2 - 9}{13}$
14	$x^{16383} = k^{5461}$	$19170432 = \frac{16383^2 - 9 - 7 \cdot 2376}{14}$
15	$x^{32769} = k^{10923}$	$71587080 = \frac{32769^2 - 9 - 3 \cdot 24 - 5 \cdot 216}{15}$
16	$x^{65535} = k^{21845}$	$268423200 = \frac{65535^2 - 9 - 4 \cdot 54 - 8 \cdot 8100}{16}$
17	$x^{131073} = k^{43691}$	$1010595960 = \frac{131073^2 - 9}{17}$
18	$x^{262143} = k^{87381}$	$3817704744 = \frac{262143^2 - 9 - 3 \cdot 24 - 6 \cdot 648 - 9 \cdot 29232}{18}$
19	$x^{524289} = k^{174763}$	$14467313448 = \frac{524289^2 - 9}{19}$
20	$x^{1048575} = k^{349525}$	$54975424194 = \frac{1048575^2 - 9 - 4 \cdot 54 - 5 \cdot 216 - 10 \cdot 104544}{20}$

## A. Dreiecke.

42. Es sei  $x_1 x_2 x_3$  (in kurzer Bezeichnung  $(x)$ ) ein der  $C_3$  um- und eingeschriebenes Dreieck derart, dass  $x_2$  der Tangentialpunkt von  $x_1$ ,  $x_3$  der Tangentialpunkt von  $x_2$  und  $x_1$  der Tangentialpunkt von  $x_3$  ist. In der  $E(x_1 x_2)$  entspricht, wie man unmittelbar erkennt, dem  $x_2$  der Punkt  $x_3$  und diesem wieder  $x_1$ , es ist dies also eine der vier  $E_3$  (siehe Artikel 35). Daher bestehen die Gleichungen  $\frac{x_2}{x_1} = \frac{x_3}{x_2}$ ,  $\frac{x_3}{x_1} = \frac{x_1}{x_2}$  oder

$$x_1^2 = x_2 x_3 \quad x_2^2 = x_3 x_1 \quad x_3^2 = x_1 x_2,$$

aus welchen sich

$$x_1^3 = x_2^3 = x_3^3 = x_1 x_2 x_3$$

ergibt.

Es sei nun  $i_1$  ein Inflexionspunkt und  $u$  der ihm in der  $E(x_1 x_2)$  entsprechende Punkt; dann ist  $i_1 x_2 = u x_1$ , also  $u = \frac{x_2}{x_1} i_1$  und  $u^3 = \frac{x_2^3}{x_1^3} i_1^3 = i_1^3$ , d. h. es ist  $u$  wieder ein Wendepunkt; er möge mit  $i_2$  bezeichnet werden und der ihm in derselben  $E$ -Beziehung entsprechende, welcher nothwendig wieder ein Wendepunkt sein wird, mit  $i_3$ , so ist

$$i_2 = \frac{x_2}{x_1} i_1 \quad i_3 = \frac{x_2}{x_1} i_2 = \left(\frac{x_2}{x_1}\right)^2 i_1.$$

Daraus folgt aber  $i_1 i_2 i_3 = i_1 \cdot \frac{x_2}{x_1} i_1 \cdot \left(\frac{x_2}{x_1}\right)^2 i_1 = \left(\frac{x_2}{x_1}\right)^3 i_1^3 = i_1^3 = k$ , mithin liegen die drei Wendepunkte  $i_1 i_2 i_3$  in einer Geraden. Geht man jetzt von einem weiteren Inflexionspunkte  $i_4$  aus, so führt die  $E(x_1 x_2)$  wieder zu einem Tripel  $i_4 i_5 i_6$  und von  $i_7$  gelangt man ebenso zu  $i_7 i_8 i_9$ , wobei

$$\begin{aligned} i_5 &= \frac{x_2}{x_1} i_4 & i_6 &= \left(\frac{x_2}{x_1}\right)^2 i_4 \\ i_8 &= \frac{x_2}{x_1} i_7 & i_9 &= \left(\frac{x_2}{x_1}\right)^2 i_7. \end{aligned}$$

Das betrachtete Dreieck  $x_1 x_2 x_3$  ist so in bestimmter Weise mit dem Wendepunktsdreieck, dessen Seiten  $(i_1 i_2 i_3) \equiv D_{123}$ ,  $(i_4 i_5 i_6) \equiv D_{456}$ ,  $(i_7 i_8 i_9) \equiv D_{789}$  sind, verknüpft. Im Hinblick auf das Tableau der Wendepunkte

$$\begin{array}{ccc} i_1 & i_2 & i_3 \\ i_4 & i_5 & i_6 \\ i_7 & i_8 & i_9 \end{array}$$

wollen wir  $D_{123} D_{456} D_{789}$  als das horizontale,  $D_{147} D_{258} D_{369}$  als das verticale,  $D_{159} D_{267} D_{348}$  als das positive und  $D_{357} D_{681} D_{924}$  als das negative Wendepunktsdreieck bezeichnen.

43. Wenn man das Dreieck  $(x)$  aus  $i_1$  auf  $C_3$  projicirt, so ergibt sich ein neues Dreieck  $(x^{(1)})$ , welches zu demselben Wendepunktsdreieck gehört, weil ja das Tripel  $i_1 i_2 i_3$  durch diese Projection in  $i_1 i_3 i_2$  übergeht. Die Projectionen von  $(x)$  aus  $i_2, i_3$  seien  $(x^{(2)}), (x^{(3)})$  respective, so gehören die Dreiecke  $(x), (x^{(1)}), (x^{(2)}), (x^{(3)})$  alle demselben Wendepunktsdreieck zu; es wird sich aber sogleich zeigen, dass sie nicht sämmtlich von einander verschieden sind. Man hat nämlich

$$\begin{aligned} x_1^{(1)} &= \frac{k}{i_1 x_1} = \frac{i_1^3}{i_1 x_1} = \frac{i_1^2}{x_1} \\ x_2^{(1)} &= \frac{k}{i_1 x_2} = \frac{k}{i_1 \frac{i_2}{i_1} x_1} = \frac{k}{i_2 x_1} = \frac{i_2^2}{x_1} \\ x_3^{(1)} &= \frac{k}{i_1 x_3} = \frac{k}{i_1 \frac{i_3}{i_1} x_1} = \frac{k}{i_3 x_1} = \frac{i_3^2}{x_1} \end{aligned}$$

ferner

$$\begin{aligned} x_1^{(2)} &= \frac{k}{i_2 x_1} = \frac{i_2^2}{x_1} = x_2^{(1)} \\ x_2^{(2)} &= \frac{k}{i_2 x_2} = \frac{k}{i_2 \frac{i_2}{i_1} x_1} = \frac{k i_1}{i_2^2 x_1} = \frac{i_1 i_2}{x_1} = \frac{i_3^2}{x_1} = x_3^{(1)} \\ x_3^{(2)} &= \frac{k}{i_2 x_3} = \frac{k}{i_2 \frac{i_3}{i_1} x_1} = \frac{k i_1}{i_2 i_3 x_1} = \frac{i_1^2}{x_1} = x_1^{(1)} \end{aligned}$$

endlich

$$\begin{aligned}x_1^{(3)} &= \frac{k}{i_3 x_1} = \frac{i_3^3}{i_3 x_1} = \frac{i_3^2}{x_1} = x_3^{(1)} \\x_2^{(3)} &= \frac{k}{i_3 x_2} = \frac{k}{i_3 \frac{i_2}{i_1} x_1} = \frac{k i_1}{i_2 i_3 x_1} = \frac{i_1^2}{x_1} = x_1^{(1)} \\x_3^{(3)} &= \frac{k}{i_3 x_3} = \frac{k}{i_3 \frac{i_3}{i_1} x_1} = \frac{k i_1}{i_3^2 x_1} = \frac{i_2^2}{x_1} = x_2^{(1)};\end{aligned}$$

hierbei ist von den Relationen  $i_1^3 = i_2^3 = i_3^3 = k = i_1 i_2 i_3$  Gebrauch gemacht worden.

Durch Projection von  $(x)$  aus  $i_1 i_2 i_3$  erhalten wir also nur ein Dreieck  $(x^{(1)}) \equiv (x')$  mit den Ecken

$$x'_1 = \frac{i_1^2}{x_1} \quad x'_2 = \frac{i_2^2}{x_1} \quad x'_3 = \frac{i_3^2}{x_1} \quad (1)$$

und zwar gehen die Geraden

$$\begin{aligned}x_1 x'_1, x_2 x'_2, x_3 x'_3 &\text{ durch } i_1 \\x_1 x'_2, x_2 x'_3, x_3 x'_1 &\text{ » } i_2 \\x_1 x'_3, x_2 x'_1, x_3 x'_2 &\text{ » } i_3\end{aligned}$$

Die beiden Dreiecke  $(x)$  und  $(x')$  erscheinen hiernach durch die Wendepunktsgerade  $D_{123}$  mit einander verknüpft.

In gleicher Weise liefert die Projection von  $(x)$  aus  $i_4 i_5 i_6$  ein mit der Wendepunktsgerechten  $D_{456}$  verknüpftes Dreieck  $(x'')$  mit den Ecken

$$x''_1 = \frac{i_4^2}{x_1} \quad x''_2 = \frac{i_5^2}{x_1} \quad x''_3 = \frac{i_6^2}{x_1} \quad (2)$$

und es gehen die Geraden

$$\begin{aligned}x_1 x''_1, x_2 x''_2, x_3 x''_3 &\text{ durch } i_4 \\x_1 x''_2, x_2 x''_3, x_3 x''_1 &\text{ » } i_5 \\x_1 x''_3, x_2 x''_1, x_3 x''_2 &\text{ » } i_6\end{aligned}$$

Endlich ist mit  $(x)$  durch  $D_{789}$  ein viertes Dreieck  $(x''')$  verbunden, dessen Ecken

$$x_1''' = \frac{i_7^2}{x_1} \quad x_2''' = \frac{i_8^2}{x_1} \quad x_3''' = \frac{i_9^2}{x_1} \quad (3)$$

sind; dabei gehen die Geraden

$$\begin{aligned} x_1 x_1''', x_2 x_2''', x_3 x_3''' & \text{ durch } i_7 \\ x_1 x_2''', x_2 x_3''', x_3 x_1''' & \text{ „ } i_8 \\ x_1 x_3''', x_2 x_1''', x_3 x_2''' & \text{ „ } i_9 \end{aligned}$$

Wir legen nun das Dreieck  $(x')$  zu Grunde und leiten aus demselben in der nämlichen Art Dreiecke ab; mit  $D_{123}$  combinirt ergibt  $(x')$  wieder das Dreieck  $(x)$ , dagegen liefert es mit  $D_{456}$  ein neues Dreieck  $(\xi)$ , dessen Ecken sind

$$\begin{aligned} \xi_1 &= \frac{k}{i_4 x_1'} = \frac{i_4^2}{x_1'} = \frac{i_4^2}{\frac{i_1^2}{x_1}} = \frac{i_4^2 x_1}{i_1^2} \\ \xi_2 &= \frac{k}{i_4 x_2'} = \frac{i_4^2}{x_2'} = \frac{i_4^2 x_1}{i_2^2} \\ \xi_3 &= \frac{k}{i_4 x_3'} = \frac{i_4^2}{x_3'} = \frac{i_4^2 x_1}{i_3^2} \end{aligned}$$

also

$$\xi_1 = \frac{i_4^2 x_1}{i_1^2} \quad \xi_2 = \frac{i_4^2 x_1}{i_2^2} \quad \xi_3 = \frac{i_4^2 x_1}{i_3^2} \quad (4)$$

und es gehen die Geraden

$$\begin{aligned} \xi_1 x_1', \xi_2 x_2', \xi_3 x_3' & \text{ durch } i_4 \\ \xi_1 x_2', \xi_2 x_3', \xi_3 x_1' & \text{ „ } i_5 \\ \xi_1 x_3', \xi_2 x_1', \xi_3 x_2' & \text{ „ } i_6 \end{aligned}$$

wie man durch Combination der Werthe (4) und (1) unter Berücksichtigung der zwischen den  $i$  bestehenden Relationen leicht erkennt.

Durch Verbindung von  $(x')$  mit  $D_{789}$  erhält man das Dreieck  $(\xi')$  mit den Ecken

$$\xi_1' = \frac{i_7^2 x_1}{i_1^2} \quad \xi_2' = \frac{i_7^2 x_1}{i_2^2} \quad \xi_3' = \frac{i_7^2 x_1}{i_3^2}, \quad (5)$$

und es gehen die Geraden

$$\begin{aligned}\xi'_1 x'_1, \xi'_2 x'_2, \xi'_3 x'_3 & \text{ durch } i_7 \\ \xi'_1 x'_2, \xi'_2 x'_3, \xi'_3 x'_1 & \text{ » } i_8 \\ \xi'_1 x'_3, \xi'_2 x'_1, \xi'_3 x'_2 & \text{ » } i_9\end{aligned}$$

Wir haben jetzt sechs Dreiecke  $(x), (x'), (x''), (x'''), (\xi), (\xi')$ , welche in Bezug auf das horizontale Wendepunktsdreieit eine geschlossene Gruppe bilden in dem Sinne, dass aus irgend einem derselben unter Zugrundelegung irgend einer Seite des genannten Dreieits wieder ein Dreieck dieser Gruppe sich ableitet. Wenn z. B.  $(\xi)$  mit  $D_{789}$  combinirt wird, so hat das abgeleitete Dreieck laut (3) die Ecken

$$\frac{i_7^2}{\xi_1^2}, \quad \frac{i_8^2}{\xi_2^2}, \quad \frac{i_9^2}{\xi_3^2}$$

da aber  $\xi_1 = \frac{i_3^2 x_1}{i_1^2}$ , so ist die erste Ecke  $\frac{i_7^2 i_3^2}{i_1^2 x_1} = \frac{i_3^2}{x_1} = x'_1$  (weil  $i_1 i_3 i_7 = i_3^3$ ), mithin ist  $(\xi)$  mit  $(x'')$  durch  $D_{789}$  verbunden. Man überzeugt sich durch einfache Rechnung, dass verknüpft sind

$$\begin{array}{lll} \text{durch } D_{123} & \text{die Dreieckspaare } (x)(x'); (\xi)(x'''); (\xi')(x'') \\ \text{» } D_{456} & \text{» } (x)(x''); (\xi)(x'); (\xi')(x''') \\ \text{» } D_{789} & \text{» } (x)(x'''); (\xi)(x''); (\xi')(x') \end{array}$$

Es vertheilen sich also die 24 einer  $C_3$  um- und eingeschriebenen Dreiecke in Gruppen zu je 6 auf die 4 Wendepunktsdreiseite.

44. Um weitere Beziehungen zwischen den sechs Dreiecken einer Gruppe kennen zu lernen, möge eine andere Bezeichnung eingeführt werden. Es sei die Ecke  $x'_1$  des ersten Dreiecks  $(x')$  gegeben, so ist

$$x'_1 = \frac{i_1 x'_1}{i_1}, \quad x'_2 = \frac{i_2 x'_1}{i_1}, \quad x'_3 = \frac{i_3 x'_1}{i_1}. \quad (6)$$

Aus  $(x')$  leiten wir mittels  $D_{123}$  das Dreieck  $(\xi')$  ab, so ist vermöge (1)

$$\xi'_1 = \frac{i_1^2}{x'_1}, \quad \xi'_2 = \frac{i_2^2}{x'_1}, \quad \xi'_3 = \frac{i_3^2}{x'_1}; \quad (7)$$

durch Vermittlung von  $D_{456}$  ergibt sich aus  $(x')$  das Dreieck  $(\xi'')$ , wobei nach (2)

$$\xi_1'' = \frac{i_4^2}{x_1'} \quad \xi_2'' = \frac{i_5^2}{x_1'} \quad \xi_3'' = \frac{i_6^2}{x_1'}, \quad (8)$$

endlich erhält man aus  $(x')$  mit Hilfe von  $D_{789}$  das Dreieck  $(\xi''')$ , für welches nach (3)

$$\xi_1''' = \frac{i_7^2}{x_1'} \quad \xi_2''' = \frac{i_8^2}{x_1'} \quad \xi_3''' = \frac{i_9^2}{x_1'} \quad (9)$$

Legt man jetzt  $(\xi')$  zu Grunde, so gibt  $D_{123}$  wieder  $(x')$ , dagegen  $D_{456}$  ein neues Dreieck  $(x'')$ , für welches laut (4)

$$x_1'' = \frac{i_3^2 x_1'}{i_1^2} \quad x_2'' = \frac{i_4^2 x_1'}{i_2^2} \quad x_3'' = \frac{i_5^2 x_1'}{i_3^2} \quad (10)$$

und  $D_{789}$  liefert  $(x''')$ , wobei nach (5)

$$x_1''' = \frac{i_7^2 x_1'}{i_1^2} \quad x_2''' = \frac{i_8^2 x_1'}{i_2^2} \quad x_3''' = \frac{i_9^2 x_1'}{i_3^2} \quad (11)$$

Es gehen nun die Geraden

$$\begin{array}{ll} x_1 \xi_1', x_2 \xi_2', x_3 \xi_3' \text{ durch } i_1 & x_1' \xi_1', x_2' \xi_2', x_3' \xi_3' \text{ durch } i_1 \\ x_1' \xi_2', x_2' \xi_3', x_3' \xi_1' > i_2 & x_1'' \xi_2', x_2'' \xi_3', x_3'' \xi_1' > i_2 \\ x_1 \xi_3', x_2 \xi_1', x_3 \xi_2' > i_3 & x_1' \xi_3', x_2' \xi_1', x_3' \xi_2' > i_3 \\ \\ x_1 \xi_1'', x_2 \xi_2'', x_3 \xi_3'' \text{ durch } i_4 & x_1'' \xi_1', x_2'' \xi_2', x_3'' \xi_3' \text{ durch } i_4 \\ x_1' \xi_2'', x_2' \xi_3'', x_3' \xi_1'' > i_5 & x_1'' \xi_2', x_2'' \xi_3', x_3'' \xi_1' > i_5 \\ x_1 \xi_3'', x_2 \xi_1'', x_3 \xi_2'' > i_6 & x_1'' \xi_3', x_2'' \xi_1', x_3'' \xi_2' > i_6 \end{array}$$

<sup>1</sup> Man kann diesen Ecken auch folgende Darstellung geben. Es ist  $i_1^4 i_4^2 i_5^2 = i_1^6$ , daraus  $\frac{i_4^2}{i_1^2} = \frac{i_1^2}{i_2^2} = \frac{i_1^3}{i_3^2} \cdot \frac{i_7}{i_1} = \frac{i_7}{i_1}$  u. s. w.; in gleicher Weise folgt aus  $i_1^2 i_4^2 i_5^2 = i_1^6$ , dass  $\frac{i_7^2}{i_1^2} = \frac{i_1^2}{i_4^2} = \frac{i_1^3}{i_3^2} \cdot \frac{i_4}{i_1} = \frac{i_4}{i_1}$  u. s. w., so dass man auch setzen kann:

$$\begin{array}{lll} x_1' = \frac{i_1 x_1}{i_1} & x_2' = \frac{i_3 x_1}{i_1} & x_3' = \frac{i_5 x_1}{i_1} \\ x_1'' = \frac{i_7 x_1}{i_1} & x_2'' = \frac{i_8 x_1}{i_1} & x_3'' = \frac{i_9 x_1}{i_1} \\ x_1''' = \frac{i_4 x_1}{i_1} & x_2''' = \frac{i_5 x_1}{i_1} & x_3''' = \frac{i_6 x_1}{i_1} \end{array}$$

$$\begin{array}{ll}
 x'_1 \xi'''_1, x'_2 \xi'''_2, x'_3 \xi'''_3 & \text{durch } i_7, & x'''_1 \xi'_1, x'''_2 \xi'_2, x'''_3 \xi'_3 & \text{durch } i_7, \\
 x'_1 \xi'''_2, x'_2 \xi'''_3, x'_3 \xi'''_1 & \text{» } i_8, & x'''_1 \xi'_2, x'''_2 \xi'_3, x'''_3 \xi'_1 & \text{» } i_8, \\
 x'_1 \xi'''_3, x'_2 \xi'''_1, x'_3 \xi'''_2 & \text{» } i_7, & x'''_1 \xi'_3, x'''_2 \xi'_1, x'''_3 \xi'_2 & \text{» } i_9.
 \end{array}$$

Gepaart sind die Dreiecke

$$\begin{array}{ll}
 (x')( \xi' ); (x'')( \xi''' ); (x''')( \xi'' ) & \text{durch } D_{123} \\
 (x')( \xi'' ); (x'')( \xi' ); (x''')( \xi''' ) & \text{» } D_{456} \\
 (x')( \xi''' ); (x'')( \xi'' ); (x''')( \xi' ) & \text{» } D_{789}
 \end{array}$$

Die sechs Dreiecke erscheinen so in zwei Tripel geordnet,  $(x'), (x''), (x''')$  und  $(\xi'), (\xi''), (\xi''')$ , derart, dass keine zwei Dreiecke desselben Tripels mit einander verknüpft sind, dagegen jedes Dreieck des einen Tripels mit jedem Dreieck des andern. Dass die Ecken zweier gepaarten Dreiecke auf einer  $C_2$  liegen, ist leicht zu erkennen; denn man hat beispielsweise für das erste Paar nach (6) und (7)

$$x'_1 x'_2 x'_3 \xi'_1 \xi'_2 \xi'_3 = \frac{i_1 i_2 i_3 x_1'^3}{i_1^3} \cdot \frac{i_1^2 i_2^2 i_3^2}{x_1'^3} = i_2^3 i_3^3 = k^2;$$

solcher  $C_2$  erhält man  $3 \cdot 3 = 9$ . Es lässt sich ferner der Satz nachweisen: »Wenn man die Ecken zweier Dreiecke aus der Terne  $(x')(x'')(x''')$  mit einander verbindet, so schneiden die neun Geraden die  $C_3$  in den Ecken des dritten Dreiecks.« Selbstverständlich gilt der Satz auch für die andere Terne. Es ist nämlich der dritte Schnitt von

$$\left. \begin{array}{l}
 x'_1 x''_1 \dots \frac{k}{x'_1 x''_1} = \frac{k i_1^2}{i_3^2 x_1'^2} = \frac{k i_1^2 x'_1}{i_3^2 x_1'^3} = \frac{i_1 i_2 x'_1}{i_3^2} = \frac{i_2^2 x'_1}{i_3^2} \equiv x'''_2 \\
 x'_1 x''_2 \dots \frac{k}{x'_1 x''_2} = \frac{k i_2^2}{i_3^2 x_1'^2} = \frac{k i_2^2 x'_1}{i_3^2 x_1'^3} = \frac{i_2^3 x'_1}{i_3^2 i_1} = \frac{i_2^2 x'_1}{i_3^2} = \frac{i_7^2 x'_1}{i_1^2} \equiv x'''_1 \\
 x'_1 x''_3 \dots \frac{k}{x'_1 x''_3} = \frac{k i_3^2}{i_3^2 x_1'^2} = \frac{k i_3^2 x'_1}{i_3^2 x_1'^3} = \frac{i_3^2 i_2 x'_1}{i_3^2 i_1} = \frac{i_3 i_1^2 x'_1}{i_3^2 i_1} = \frac{i_2^2 x'_1}{i_3^2} \equiv x'''_3
 \end{array} \right\} (12)$$

<sup>1</sup> Dabei wird Gebrauch gemacht von der Bemerkung, dass  $x_1'^2 x_2' = x_1'^2 \frac{i_2}{i_1} x_1' = k$ , also  $x_1'^3 = \frac{i_1}{i_2} k$  und von den Beziehungen zwischen den  $i$ -Punkten.



$$\begin{aligned}
 x_2' x_1'' \dots \frac{k}{x_2' x_1''} &= \frac{k i_1^3}{i_4^2 i_2 x_1'^2} = \frac{k i_2^2 x_1'}{i_3^2 x_1'^3} = \frac{i_2^3 x_1'}{i_4^2 i_1} = \frac{i_1^2 x_1'}{i_4^2} \equiv x_1''' \\
 x_2' x_2'' \dots \frac{k}{x_2' x_2''} &= \frac{k i_1 i_2^2}{i_4^2 i_2 x_1'^2} = \frac{i_2^2 x_1'}{i_4^2} \equiv x_3''' \\
 x_2' x_3'' \dots \frac{k}{x_2' x_3''} &\equiv x_2''' \\
 x_3' x_1'' \dots \frac{k}{x_3' x_1''} &= \frac{k i_1^3}{i_4^2 i_3 x_1'^2} = \frac{k i_3^2 x_1'}{i_4^2 x_1'^3} = \frac{i_3^2 i_2 x_1'}{i_4^2 i_1} = \frac{i_2^2 x_1'}{i_4^2} \equiv x_3''' \\
 x_3' x_2'' \dots \frac{k}{x_3' x_2''} &= \frac{k i_2^2 i_1}{i_4^2 i_3 x_1'^2} = \frac{k i_2^2 i_1 x_1'}{i_4^2 i_3 x_1'^3} = \frac{i_2^3 x_1'}{i_4^2 i_3} = \frac{i_2^2 x_1'}{i_4^2} \equiv x_2''' \\
 x_3' x_3'' \dots \frac{k}{x_3' x_3''} &\equiv x_1'''
 \end{aligned}
 \tag{12}$$

Es liegen also je in einer Geraden die Punktetripel

$$\begin{aligned}
 &x_1' x_1'' x_2'''; \quad x_1' x_2'' x_1'''; \quad x_1' x_3'' x_3''' \\
 &x_2' x_1'' x_1'''; \quad x_2' x_2'' x_3'''; \quad x_2' x_3'' x_2''' \\
 &x_3' x_1'' x_3'''; \quad x_3' x_2'' x_2'''; \quad x_3' x_3'' x_1'''
 \end{aligned}$$

Man findet ebenso, dass je in einer Geraden liegen die Punkte

$$\begin{aligned}
 &\xi_1' \xi_1'' \xi_2'''; \quad \xi_1' \xi_2'' \xi_1'''; \quad \xi_1' \xi_3'' \xi_3''' \\
 &\xi_2' \xi_1'' \xi_1'''; \quad \xi_2' \xi_2'' \xi_3'''; \quad \xi_2' \xi_3'' \xi_2''' \\
 &\xi_3' \xi_1'' \xi_3'''; \quad \xi_3' \xi_2'' \xi_2'''; \quad \xi_3' \xi_3'' \xi_1'''
 \end{aligned}$$

Die neun  $x$ , neun  $\xi$  und neun  $i$  bilden also eine solche Configuration, dass je drei  $x$ , drei  $\xi$  und drei  $i$  auf einer Geraden liegen (das gibt  $3 \cdot 12 = 36$  Gerade) und dass je ein  $x$ , ein  $\xi$  und ein  $i$  einer Geraden angehören (das gibt  $9 \cdot 9 = 81$  Gerade); im Ganzen sind also die 27 Punkte auf 117 Geraden zu je dreien vertheilt. Offenbar bilden die neun  $x$ , neun  $\xi$  und neun  $i$  drei connexe Gruppen.

45. Die vier cyclischen  $E_3$  sind gegeben durch die Verhältnisse  $\frac{i_2}{i_1}, \frac{i_4}{i_1}, \frac{i_5}{i_1}, \frac{i_6}{i_1}$ , so zwar, dass die einem Punkte  $z$  in ihnen entsprechenden Punkte der Reihe nach  $\frac{i_2}{i_1} z, \frac{i_4}{i_1} z, \frac{i_5}{i_1} z,$

$\frac{i_6}{i_1}$  z. Man erkennt leicht, dass der  $E(i_1 i_2)$  folgende Tripel angehören:

$$\begin{aligned} x'_1 x'_2 x'_3, & x''_1 x''_2 x''_3, & x'''_1 x'''_2 x'''_3 \\ \xi'_3 \xi'_2 \xi'_1, & \xi''_3 \xi''_2 \xi''_1, & \xi'''_3 \xi'''_2 \xi'''_1 \\ i_1 i_2 i_3, & i_4 i_5 i_6, & i_7 i_8 i_9. \end{aligned}$$

Betrachten wir nun die  $E(i_1 i_4)$ , so bemerken wir, dass dieselbe zunächst die Tripel  $i_1 i_4 i_7$ ,  $i_2 i_5 i_8$ ,  $i_3 i_6 i_9$  enthält. Der dem  $x'_1$  entsprechende Punkt ist  $\frac{i_4 x'_1}{i_1} \equiv x'''_1$  (s. Fussnote S. 410) und diesem wieder entspricht  $\frac{i_4^2 x'_1}{i_1^2} \equiv x''_1$ ; man findet so das folgende Tableau der Tripel in  $E(i_1 i_4)$ :

$$\begin{aligned} x'_1 x'''_1 x''_1, & x'_2 x'''_2 x''_2, & x'_3 x'''_3 x''_3 \\ \xi'_1 \xi'''_1 \xi''_1, & \xi'_2 \xi'''_2 \xi''_2, & \xi'_3 \xi'''_3 \xi''_3 \\ i_1 i_4 i_7, & i_2 i_5 i_8, & i_3 i_6 i_9. \end{aligned}$$

Ebenso erkennt man, dass der  $E(i_1 i_6)$  angehören die Tripel

$$\begin{aligned} x'_1 x'''_3 x''_2, & x''_1 x'_3 x'''_2, & x'_1 x'_3 x'_2 \\ \xi'_1 \xi'''_3 \xi''_2, & \xi''_1 \xi'_3 \xi'''_2, & \xi'_1 \xi'_3 \xi'_2 \\ i_1 i_6 i_8, & i_2 i_4 i_9, & i_3 i_5 i_7. \end{aligned}$$

Endlich kommen in der  $E(i_1 i_5)$  die Tripel vor:

$$\begin{aligned} x'_1 x'''_2 x''_3, & x''_1 x'_2 x'''_3, & x'''_1 x''_2 x'_3 \\ \xi'_1 \xi'''_2 \xi''_3, & \xi''_1 \xi'_2 \xi'''_3, & \xi'''_1 \xi''_2 \xi'_3 \\ i_1 i_5 i_9, & i_2 i_6 i_7, & i_3 i_4 i_8. \end{aligned}$$

46. Es entsteht die Frage, welche von den gefundenen Relationen bestehen bleiben, wenn der Ausgangspunkt  $x'_1$  ein beliebiger Punkt der Curve ist. Aus ihm ergeben sich durch Projection aus den neun  $i$  die neun  $\xi$ , für welche die Gleichungen (7), (8), (9) geltend bleiben; ebenso bleiben die Gleichungen (6), (10) und (11) und die darauffolgenden Tableaux aufrecht; dagegen gelten die Gleichungen (12) und die sich daran anschliessenden Bemerkungen nur, wenn  $x_1^{i/3} = \frac{i_1}{i_2} k$ . Die Betrachtungen des Art. 45 haben allgemeine Geltung.

47. Aus den Gleichungen (6) bis (12) findet man, dass

$$x_1'^3 = x_2'^3 = x_3'^3 = \frac{i_1}{i_2} k, \quad x_1''^3 = x_2''^3 = x_3''^3 = x_1'^3 = \frac{i_1}{i_2} k,$$

$$x_1'''^3 = x_2'''^3 = x_3'''^3 = x_1'^3 = \frac{i_1}{i_2} k$$

und

$$\xi_1'^3 = \xi_2'^3 = \xi_3'^3 = \frac{i_2}{i_1} k, \quad \xi_1''^3 = \xi_2''^3 = \xi_3''^3 = \frac{i_2}{i_1} k,$$

$$\xi_1'''^3 = \xi_2'''^3 = \xi_3'''^3 = \frac{i_2}{i_1} k,$$

also allgemein

$$x^3 = \frac{i_1}{i_2} k, \quad \xi^3 = \frac{i_2}{i_1} k.$$

Es sind hiernach die neun  $x$  die Wurzeln der Gleichung  $x^3 = \frac{i_1}{i_2} k$ , d. h. die dreifachen Elemente jener  $J^3$ , deren Gleichung lautet  $u_1 u_2 u_3 = \frac{i_1}{i_2} k$ , wenn  $k$  die Involution der geraden Tripel charakterisirt. Ebenso sind die neun  $\xi$  die dreifachen Elemente der Involution  $v_1 v_2 v_3 = \frac{i_2}{i_1} k$ . Diese beiden  $J^3$  sind residual,<sup>1</sup> weil  $u_1 u_2 u_3 v_1 v_2 v_3 = k^2$  ist. Wir erhalten noch drei Paare solcher  $J^3$ , entsprechend den Quotienten  $\frac{i_1}{i_4}, \frac{i_4}{i_1}; \frac{i_1}{i_5}, \frac{i_5}{i_1}; \frac{i_1}{i_6}, \frac{i_6}{i_1}$ . Im Ganzen also haben wir acht  $J^3$  in residuale Paare geordnet; es sind dies offenbar diejenigen acht  $J^3$ , welche mit der fundamentalen  $w_1 w_2 w_3 = k$  zusammen aus der  $J^9$  abgeleitet werden können, deren Gleichung lautet:  $z_1 z_2 \dots z_9 = k^3$ .

Wenn man aus drei Inflexionspunkten ein Tripel bildet, so ist durch dasselbe eine der neun  $J^3$  bestimmt; liegen die drei  $i$  in gerader Linie, so ist die  $J^3$  die Fundamentale  $x'x''x''' = k$ ; liegen sie nicht in einer Geraden, so erhält man eine der obigen acht  $J^3$ ; denn sind  $i'i''i'''$  die ausgewählten drei Inflexionspunkte und liegen sie nicht in einer Geraden, so wird beispiels-

<sup>1</sup> Sitzungsber., Bd. LXXXVIII, Abth. II a, S. 438.

weise  $i_0$  mit  $i''i'''$  in einer Geraden enthalten sein und man hat  $i'i''i''' = \frac{i' \cdot i' i'' i''' i_0}{i_0} = \frac{i'}{i_0} k$ , w. z. b. w.

Es entsteht die Frage: Wann sind die durch zwei  $i$ -Tripel bestimmten  $J^3$  residual? Wir können annehmen, dass die beiden Tripel ein Elementenpaar  $i'i''$  gemein haben; sind dann  $ii_0$  die nichtgemeinsamen Elemente, so muss, damit die  $J^3$  residual seien,  $i'i''i \cdot i'i''i_0 = k^2 = i'^2 i''^2 j^2$  (dabei bedeutet  $j$  den mit  $i'i''$  in einer Geraden liegenden Wendepunkt), also  $ii_0 = j^2$ , d. h.  $i$  und  $i_0$  müssen mit  $j$  in einer Geraden liegen. So sind z. B.  $i_1 i_2 i_4$  und  $i_1 i_2 i_8$  zwei Tripel, welche residuale  $J^3$  bestimmen.

Wir haben hiernach folgende vier Paare von Tripeln mit dem gemeinsamen Elementenpaar  $i_1 i_2$ , welche die vier Paare residualer  $J^3$  bestimmen:

$$\begin{array}{llll} i_1 i_2 i_4; i_1 i_2 i_8 & \text{entsprechend den Werthen} & \frac{i_5}{i_1} k, & \frac{i_1}{i_5} k; \\ i_1 i_2 i_5; i_1 i_2 i_7 & & \frac{i_6}{i_1} k, & \frac{i_1}{i_6} k; \\ i_1 i_2 i_6; i_1 i_2 i_9 & & \frac{i_4}{i_1} k, & \frac{i_1}{i_4} k; \\ i_1 i_2 i_1; i_1 i_2 i_2 & & \frac{i_2}{i_1} k, & \frac{i_1}{i_2} k. \end{array}$$

Anmerkung I. Dem Tripel  $i_1 i_2 i_3$  entspricht die fundamentale  $J^3(k)$ .

Anmerkung II. Jedes Paar  $i'i''$  kann auf vier verschiedene Arten durch ein anderes Paar und einmal durch ein Quadrat ersetzt werden, z. B.  $i_1 i_2 = i_4 i_8 = i_5 i_7 = i_6 i_9 = i_3^2$ . Die neun Punkte  $i$  lassen sich auf neun verschiedene Arten in 12 Tripel einer  $J^3$  ordnen. Statt des Tripels  $i_1 i_2 i_1 = i_1^2 i_2$  kann beispielsweise auch  $i_2 i_4 i_7$  (weil  $i_1^2 = i_4 i_7$ ) und statt  $i_1 i_2 i_2 = i_1 i_2^2$  auch  $i_1 i_5 i_8$  (weil  $i_2^2 = i_5 i_8$ ) geschrieben werden.

Durch jedes der obigen (oder ein ihm äquivalentes) Tripel gehen nun neun  $C_2$ , welche die  $C_3$  osculiren, und die neun Osculationspunkte sind die neun  $x$ -Punkte; dem Nebentripel entsprechen in gleicher Weise die neun  $\xi$ -Punkte; dies gibt die 24 Dreiecke und ihre Gruppierung.

Es ist (Artikel 44)

$$\begin{aligned}x'_1 x'_2 x'_3 &= x_1'^3 = \frac{i_1}{i_2} k \\x''_1 x''_2 x''_3 &= x_1'^3 = \frac{i_1}{i_2} k \\x'''_1 x'''_2 x'''_3 &= x_3'^3 = \frac{i_1}{i_2} k,\end{aligned}$$

diese drei Dreiecke gehören als Tripel der  $J^3\left(\frac{i_1}{i_2} k\right)$  an.

Weiter ist

$$\xi'_1 \xi'_2 \xi'_3 = \frac{(i_1 i_2 i_3)^2}{x_3'^3} = \frac{k^2}{\frac{i_1}{i_2} k} = \frac{i_2}{i_1} k$$

und ebenso

$$\xi''_1 \xi''_2 \xi''_3 = \xi'''_1 \xi'''_2 \xi'''_3 = \frac{i_2}{i_1} k,$$

so dass diese Tripel der residualen  $J^3\left(\frac{i_2}{i_1} k\right)$  entsprechen; es liegen also je eines der  $x$ - und der  $\xi$ -Tripel auf einer  $C_2$ .

Es ist  $\xi'_2$  der Tangentialpunkt von  $\xi'_1$ , daher  $\xi_1'^2 \xi'_2 = k$ ; dagegen ist

$$\xi_1' \xi_2'^2 = \frac{i_1^2 i_2^4}{x_1'^3} = \frac{i_1^2 i_2^4}{\frac{i_1}{i_2} k} = \frac{i_1 i_2^6}{i_2 k} = \frac{i_1}{i_2} k,$$

also ist  $\xi_1' \xi_2' \xi_2'$  auch eine Gruppe der  $J^3\left(\frac{i_1}{i_2} k\right)$  und wird daher mit irgend einem Tripel der residualen  $J^3\left(\frac{i_2}{i_1} k\right)$ , also wieder mit einem  $\xi$ -Tripel in einer  $C_2$  liegen. Das heisst: »Der Kegelschnitt, welcher durch ein  $\xi$ -Tripel und ein Elementenpaar eines zweiten  $\xi$ -Tripels hindurchgeht, berührt  $C_3$  in jenem Punkte des Paares, welcher der Tangentialpunkt des andern ist.« Dasselbe gilt von seinem  $x$ -Tripel und einem  $x$ -Paar.

Betrachten wir jetzt zwei Tripel, welche zwei verschiedenen nicht residualen  $J^3$  angehören, z. B.

$$x'_1 x'_2 x'_3 \text{ aus der } J^3\left(\frac{i_1}{i_2} k\right)$$

und

$$y'_1 y'_2 y'_3 \text{ aus der } J^3\left(\frac{i_1}{i_4} k\right);$$

so ist  $x^3 = \frac{i_1}{i_2} k$ ,  $y^3 = \frac{i_1}{i_4} k$ . Der restliche Schnitt von  $\bar{x}\bar{y}$  mit  $C_3$

sei  $z$ , so hat man  $z = \frac{k}{xy}$ , somit  $z^3 = \frac{k^3}{x^3 y^3} = \frac{i_2 i_4}{i_1^2} k = \frac{i_1 i_5}{i_1^2} k$ , also  $z^3 = \frac{i_5}{i_1}$ ; d. h. durch Verbindung der Punkte zweier Tripel, deren eines  $J^3\left(\frac{i_1}{i_2} k\right)$ , das andere  $J^3\left(\frac{i_1}{i_4} k\right)$  angehört, ergibt sich ein Tripel der  $J^3\left(\frac{i_5}{i_1} k\right)$ .

48. Um eine Übersicht über die acht Involutionen  $J^3$  zu gewinnen, wollen wir eine neue Bezeichnung derselben einführen, welche sich auf die Bemerkung gründet, dass man alle neun  $J^3$  erhält (die fundamentale mitgezählt), wenn man einen Inflexionspunkt z. B.  $i_1$  als Doppelement mit jedem der  $i$  zu einem Tripel verbindet, also von den Tripeln  $i_1^2 i_1$ ,  $i_1^2 i_2$ , ...  $i_1^2 i_9$  ausgeht; diese Involutionen sollen der Reihe nach mit  $J^3(i_1^2 i_1)$ ,  $J^3(i_1^2 i_2)$  ... oder kürzer, mit Weglassung des  $i_1^2$ , durch  $J^3(i_1)$ ,  $J^3(i_2)$ , ...  $J^3(i_9)$  bezeichnet werden.

Die erste,  $J^3(i_1)$ , ist die fundamentale Involution der geraden Tripel, weil  $i_1^3 = k$ . Für die übrigen hat man folgende Ansätze:

$$\begin{aligned} J^3(i_2) \dots u_1 u_2 u_3 &= i_1^2 i_2 = i_1^3 \frac{i_2}{i_1} = \frac{i_2}{i_1} k \text{ also } J^3(i_2) = J^3\left(\frac{i_2}{i_1} k\right) \\ J^3(i_3) \dots &= i_1^2 i_3 = \frac{i_3}{i_1} k = \frac{i_1}{i_2} k \quad \triangleright \quad J^3(i_3) = J^3\left(\frac{i_1}{i_2} k\right) \\ J^3(i_4) \dots &= i_1^2 i_4 = i_1^3 \frac{i_4}{i_1} = \frac{i_4}{i_1} k \quad \triangleright \quad J^3(i_4) = J^3\left(\frac{i_4}{i_1} k\right) \\ J^3(i_5) \dots &= i_1^2 i_5 = i_1^3 \frac{i_5}{i_1} = \frac{i_5}{i_1} k \quad \triangleright \quad J^3(i_5) = J^3\left(\frac{i_5}{i_1} k\right) \\ J^3(i_6) \dots &= i_1^2 i_6 = i_1^3 \frac{i_6}{i_1} = \frac{i_6}{i_1} k \quad \triangleright \quad J^3(i_6) = J^3\left(\frac{i_6}{i_1} k\right) \\ J^3(i_7) \dots &= i_1^2 i_7 = \frac{i_7}{i_1} k = \frac{i_1}{i_4} k \quad \triangleright \quad J^3(i_7) = J^3\left(\frac{i_1}{i_4} k\right) \\ J^3(i_8) \dots &= i_1^2 i_8 = \frac{i_8}{i_1} k = \frac{i_1}{i_6} k \quad \triangleright \quad J^3(i_8) = J^3\left(\frac{i_1}{i_6} k\right) \\ J^3(i_9) \dots &= i_1^2 i_9 = \frac{i_9}{i_1} k = \frac{i_1}{i_5} k \quad \triangleright \quad J^3(i_9) = J^3\left(\frac{i_1}{i_5} k\right) \end{aligned}$$

Die vier Paare residualer  $J^3$  sind also

$$\begin{array}{ll} J^3(i_5), & J^3(i_9) \\ J^3(i_6), & J^3(i_8) \\ J^3(i_4), & J^3(i_7) \\ J^3(i_2), & J^3(i_3). \end{array}$$

Man kann dies in folgender Weise ausdrücken: Zu einer  $J^3(i_m)$  ist eine  $J^3(i_n)$  dann residual, wenn  $i_m i_n$  mit  $i_1$  in gerader Linie liegen. Die  $J^3(i_1)$  ist sich selbst residual. Die Tripel der  $x$  gehören der  $J^3(i_3)$ , jene der  $\xi$  der  $J^3(i_2)$  an.

Der am Schlusse des vorigen Artikels erörterte Zusammenhang lässt sich jetzt in folgendem Satze aussprechen: »Wird ein Tripel, welches der  $J^3(i_m)$  angehört, mit einem Tripel der  $J^3(i_n)$  verbunden, und ist  $i_p$  der mit  $i_m$  und  $i_n$  in gerader Linie liegende Inflexionspunkt, so schneiden die neun Geraden die  $C_3$  in einem Tripel der  $J^3(i_p)$ «.

Denn ist  $x^3 = i_1^2 i_m$ ,  $y^3 = i_1^2 i_n$  und  $z = \frac{k}{xy}$ , so ist

$$z^3 = \frac{k^3}{i_1^3 i_m i_n} = \frac{k^2}{i_1 i_m i_n} = \frac{k^2 i_p}{i_1 i_m i_n i_p} = \frac{k i_p}{i_1} = \frac{i_1^3 i_p}{i_1} = i_1^2 i_p,$$

womit die Behauptung erwiesen ist.

Man kann dieses Ergebniss noch kürzer ausdrücken, wenn man die Tripel, welche der  $J^3(i_r)$  angehören, kurzweg mit  $(x_r)$  bezeichnet, nämlich wie folgt: »Aus einem Tripel  $(x_m)$  und einem Tripel  $(x_n)$  folgt ein Tripel  $(x_p)$ , wenn  $i_m i_n i_p$  in einer Geraden liegen.«

Selbstverständlich kann man aus den  $(x_m)$  und  $(x_n)$  alle drei Tripel  $(x_p)$  ableiten. Wird jedoch  $m = n$ , so erhält man das eine Tripel  $(x_p)$  dreimal.

Sind  $J^3(i_m)$ ,  $J^3(i_n)$  zwei residuale Involutionen, so ist  $i_p = i_1$  und demzufolge sind die drei Tripel  $(x_p)$  auf drei Inflexionspunkte reducirt, welche in gerader Linie, und zwar auf einer Seite desjenigen Wendepunktsdreiseits liegen, durch welches  $(x_m)$  und  $(x_n)$  verknüpft sind. Man erkennt übrigens leicht, dass die zu residualen Involutionen gehörigen Tripel  $(x_m)(x_n)$  durch jenes Dreiseit verknüpft sind, in welchem  $i_m i_n$  eine Seite ist. So sind demnach verknüpft

die sechs Dreiecke  $(x_2)$  und  $(x_3)$  durch das horizontale Wendepunktsdreieit;

die sechs Dreiecke  $(x_4)$  und  $(x_7)$  durch das verticale Wendepunktsdreieit;

die sechs Dreiecke  $(x_5)$  und  $(x_9)$  durch das positive Wendepunktsdreieit;

die sechs Dreiecke  $(x_6)$  und  $(x_8)$  durch das negative Wendepunktsdreieit.

### B. Vierecke.

49. Es sei (siehe Artikel 40)  $x_1$  ein Punkt auf  $C_3$ , welcher der Gleichung

$$x^{15} = k^5 \quad (1)$$

genügt; dann bildet er einen Eckpunkt eines der  $C_3$  um- und eingeschriebenen Vierecks, dessen Eckpunkte sind:

$$x_1 = x_1, \quad x_2 = \frac{k}{x_1^2}, \quad x_3 = \frac{k}{x_2^2} = \frac{x_1^4}{k}, \quad x_4 = \frac{k}{x_3^2} = \frac{k^3}{x_1^8}. \quad (2)$$

Der dritte Schnittpunkt der Diagonale  $x_1x_3$  mit  $C_3$  ist

$$\eta_1 = \frac{k}{x_1x_3} = \frac{k^2}{x_1^5}, \text{ woraus } \eta_1^3 = \frac{k^6}{x_1^{15}} = k; \quad (3)$$

der dritte Schnittpunkt der Diagonale  $x_2x_4$

$$\eta_2 = \frac{k}{x_2x_4} = \frac{x_1^{10}}{k^3} = \frac{x_1^{15}}{k^3x_1^5} = \frac{k^2}{x_1^5} = \eta_1, \quad (4)$$

d. h. »die beiden Diagonalen eines der  $C_3$  um- und eingeschriebenen Vierecks schneiden sich auf der Curve und zwar in einem Inflexionspunkte derselben.« Hieraus kann schon der Schluss gezogen werden, dass sich die 54 Vierecke in Gruppen zu je sechs auf die neun Inflexionspunkte vertheilen werden.

50. »Es seien  $y_1y_2y_3y_4$  die Tangentialpunkte  $\mu$ ter Ordnung von  $x_1x_2x_3x_4$ , d. h. die letzten Schnitte der die  $C_3$  in den Punkten  $x_1x_2x_3x_4$  respective  $(3\mu-1)$ -punktig berührenden  $C_\mu$ , so bilden  $y_1y_2y_3y_4$  wieder ein um- und eingeschriebenes Viereck.«

Für  $\mu = 1$  ist  $y_1 = \frac{k}{x_1^2} = x_2$ , es entsteht also das ursprüngliche Viereck.



Für  $\mu = 2$  ist  $y_1 = \frac{k^2}{x_1^5} = \eta_1$ , somit fällt  $y_1$  und mit ihm auch  $y_2 y_3 y_4$  in einen Inflexionspunkt, und zwar in denjenigen, in welchem sich die Diagonalen des ursprünglichen Vierecks schneiden.

Für  $\mu = 3$  hat man  $y_1 = \frac{k^3}{x_1^8} = x_3$ , für

$$\mu = 4 \dots y_1 = \frac{k^4}{x_1^{11}} = \frac{k^4 x_1^4}{x_1^{15}} = \frac{x_1^4}{k} = x_3,$$

für

$$\mu = 5 \dots y_1 = \frac{k^5}{x_1^{14}} = \frac{k^5 x_1}{x_1^{15}} = x_1,$$

in allen diesen Fällen kommt man also auf das nämliche Viereck zurück.

Allgemein ist der Tangentialpunkt  $\mu^{\text{ter}}$  Ordnung von  $x_1$

$$y_1 = \frac{k^\mu}{x_1^{3\mu-1}};$$

bringt man die Zahl  $\mu$  auf die Form  $\mu = 5\nu + r$ , so dass  $r$  den Rest bedeutet, welchen sie bei der Division durch fünf zurücklässt, so ist

$$y_1 = \frac{k^{5\nu+r}}{x_1^{15\nu+3r-1}} = \left(\frac{k^5}{x_1^{15}}\right)^\nu \frac{k^r}{x_1^{3r-1}} = \frac{k^r}{x_1^{3r-1}};$$

ertheilt man  $r$  der Reihe nach die möglichen Werthe 0, 1, 2, 3, 4, so ergibt sich, wie oben entwickelt wurde,

$$\begin{array}{ll} \text{für } r = 0 & y_1 = x_1 \\ \text{» } r = 1 & y_1 = x_2 \\ \text{» } r = 2 & y_1 = \eta_1 \\ \text{» } r = 3 & y_1 = x_3 \\ \text{» } r = 4 & y_1 = x_3. \end{array}$$

Man kommt auf diesem Wege immer entweder wieder in das ursprüngliche Viereck zurück oder in dem ihm entsprechenden Inflexionspunkt; neue Vierecke lassen sich also in dieser Weise nicht ableiten. Das Ergebniss aber kann man folgendermassen aussprechen: »Die im Punkte  $x_1$  die  $C_3(3\mu-1)$ -

punktig berührende  $C_\mu$  trifft sie zum letztenmale in  $x_1, x_2, \eta_1, x_3, x_3$ , je nachdem der bei der Division  $\frac{\mu}{5}$  verbleibende Rest 0, 1, 2, 3, 4 ist.\*

Die Gruppe der sechs zu einem Wendepunkt gehörigen Vierecke lässt sich ergänzen, sobald zwei dieser Vierecke bekannt sind, und zwar auf Grund folgenden Satzes: »Sind  $x_1x_2x_3x_4$  und  $x'_1x'_2x'_3x'_4$  zwei zu einem  $i$  gehörige Vierecke, so erhält man die Ecken der vier andern als dritte Schnitte der Geraden  $x'_mx_1, x'_mx_2, x'_mx_3, x'_mx_4$  ( $m = 1, 2, 3, 4$ ).« Denn, ist  $\xi_1$  der dritte Schnittpunkt von  $x'_mx_1$ , so ist

$$\xi_1 = \frac{k}{x'_mx_1},$$

daher

$$\xi_1^{15} = \frac{k^{15}}{x_m'^{15} x_1^{15}} = \frac{k^{15}}{k^{10}} = k^5,$$

also  $\xi_1$  thatsächlich Ecke eines Vierecks und der zugehörige Inflexionspunkt nach (3)

$$\eta' = \frac{k^2}{\xi_1^5} = \frac{x_m'^{15} x_1^{15}}{k^3};$$

weil aber die beiden gegebenen Vierecke zu demselben Inflexionspunkte gehören, so ist  $\frac{x_m'^{15}}{k^2} = \frac{x_1^{15}}{k^2}$ , daher weiter

$$\eta' = k \left( \frac{x_1^{15}}{k^2} \right)^2 = \frac{x_1^{10}}{k^3} = \frac{x_1^{15}}{k^3 x_1^5} = \frac{k^2}{x_1^5} = \eta_1, \text{ w. z. b. w.}$$

51. Ist  $i$  der dem Viereck  $x_1x_2x_3x_4$  adjungirte Inflexionspunkt, so findet man auf Grund der Gleichungen (3) und (2), dass

$$i = \frac{k^2}{x_1^5} = \frac{k^2}{x_2^5} = \frac{k^2}{x_3^5} = \frac{k^2}{x_4^5},$$

so dass also

$$x_1^5 = x_2^5 = x_3^5 = x_4^5 = \frac{k^2}{i} = \frac{(i^3)^2}{i} = i^5;$$

demnach sind die 24 Ecken der mit  $i$  verknüpften 6 Vierecke die weiteren 24 fünffachen Elemente jener  $J^5$ , welche  $i$  zum fünffachen Punkte hat.

Wird das Viereck, welches wir jetzt kurz ( $x$ ) nennen, aus einem zweiten Inflexionspunkt  $i_1$  auf die  $C_3$  projicirt, so entsteht ein neues Viereck ( $x'$ ), und zwar ist wegen  $x_\lambda x'_\lambda i_1 = k$

$$x'_\lambda = \frac{k}{x_\lambda i_1} = \frac{i_1^3}{x_\lambda i_1} = \frac{i_1^2}{x_\lambda},$$

so dass  $\frac{i_1^2}{x_1}, \frac{i_1^2}{x_2}, \frac{i_1^2}{x_3}, \frac{i_1^2}{x_4}$  die Ecken eines der andern 54 Vierecke darstellen.<sup>1</sup>

Wir projiciren nun ( $x'$ ) aufs Neue aus einem dritten Wendepunkt  $i_2$  nach ( $x''$ ), wobei allgemein  $x''_\lambda = \frac{i_2^2}{x'_\lambda} = \frac{i_2^2 x_\lambda}{i_1^2}$ , dann ( $x''$ ) weiter aus  $i_3$  nach ( $x'''$ ), wobei  $x'''_\lambda = \frac{i_3^2}{x''_\lambda} = \frac{i_1^2 i_3^2}{i_2^2 x_\lambda}$  und stellen uns nun die Frage, wann ( $x'''$ ) wieder mit dem ursprünglichen Inflexionspunkt  $i$  verknüpft ist. Die hiefür nothwendige Bedingung lautet  $x'''_1 x'''_3 = x_1 x_3$ , also nach Einsetzung der Werthe für  $x'''_1, x'''_3$

$$\frac{i_1^4 i_3^4}{i_2^4 x_1 x_3} = x_1 x_3,$$

oder wegen  $i_1^3 = i_2^3 = i_3^3 = k$  weiter

$$\frac{k i_1 i_3}{i_2} = (x_1 x_3)^2 = \left(\frac{k}{i}\right)^2 = \frac{k i^3}{i^2} = k i,$$

woraus  $i_1 i_3 = i i_2$ , d. h. die Geraden  $i i_2$  und  $i_1 i_3$  müssen sich auf der  $C_3$  schneiden.

52. Es sei  $i_1$  der dem Viereck  $x_1 x_2 x_3 x_4$  adjungirte Inflexionspunkt, so dass  $x_1^3 = i_1^3$  ist. In der durch  $i_1 x_1$  bestimmten eindeutigen Beziehung  $E(i_1 x_1)$  ist die Reihe der einander entsprechenden Punkte (siehe Abschnitt II)

$$i_1; \quad x_1; \quad \frac{x_1^2}{i_1} = \frac{x_1^{10}}{i_1 x_1^8} = \frac{i_1^{10}}{i_1 x_1^8} = \frac{k^3}{x_1^8} = x_4;$$

$$\frac{x_1^3}{i_1^2} = \frac{x_1^5}{i_1^2 x_1^8} = \frac{i_1^3}{x_1^2} = \frac{k}{x_1^2} = x_2; \quad \frac{x_1^4}{i_1^3} = \frac{x_1^4}{k} = x_3; \quad \frac{x_1^5}{i_1^4} = i_1;$$

<sup>1</sup> Man überzeugt sich leicht, dass jeder folgende dieser vier Punkte Tangentialpunkt des vorangehenden und der erste Tangentialpunkt des letzten ist.

es ist also  $i_1 x_1 x_2 x_3$  ein fünfgliedriger Cyklus der  $E(i_1 x_1)$ ; seine Elemente können auf Grund der eben geführten Rechnung in der Form

$$i_1, \quad x_1, \quad \frac{i_1^9}{x_1^8}, \quad \frac{i_1^3}{x_1^2}, \quad \frac{x_1^4}{i_1^3}$$

dargestellt werden.

Wir projeciren nun  $x_1$  aus  $i_2$  auf  $C_3$  und den sich ergebenden Punkt  $u$  aus  $i_3$ , wodurch  $y_1$  erhalten werden möge; dabei setzen wir voraus, dass  $i_1 i_2 i_3$  in einer Geraden liegen. Zunächst ist

$$u = \frac{k}{i_2 x_1} = \frac{i_2^3}{i_2 x_1} = \frac{i_2^2}{i_1^3}$$

und dann

$$y_1 = \frac{k}{i_3 u} = \frac{i_3^2}{u} = \frac{i_3^2}{i_2^2} x_1 = \frac{i_2}{i_3} x_1;$$

da  $y_1^5 = \frac{i_2^5}{i_3^5} x_1^5 = \frac{(i_1 i_2)^5}{i_3^5} = \frac{i_3^{10}}{i_3^5} = i_3^5$ , so ist  $y_1$  Eckpunkt eines zu  $i_3$  gehörigen Vierecks, und zu demselben Wendepunkt gehört auch das von  $u$  aus construirte Viereck, weil

$$u^5 = \frac{(i_2^2)^5}{x_1^5} = \frac{(i_1 i_2)^5}{i_1^5} = i_3^5$$

ist. Wir erhalten also den Satz: »Die Projection eines zu  $i_1$  gehörigen Vierecks aus  $i_1$  ist wieder ein zu  $i_1$  gehöriges Viereck (nämlich das ursprüngliche); die Projection desselben Vierecks aus  $i_2$  ist ein zu  $i_3$  gehöriges Viereck, wenn  $i_1 i_2 i_3$  in einer Geraden liegen.«

Die Betrachtung des Wendepunktschemas

$$\begin{vmatrix} i_1 & i_2 & i_3 \\ i_4 & i_5 & i_6 \\ i_7 & i_8 & i_9 \end{vmatrix}$$

ergibt nun, wenn man von diesem Satze Gebrauch

macht, folgenden Sachverhalt: Ist  $x_1$  ein zu  $i_1$  gehöriger Eckpunkt, so ist seine Projection aus  $i_2$  ein zu  $i_3$  gehöriger Eckpunkt

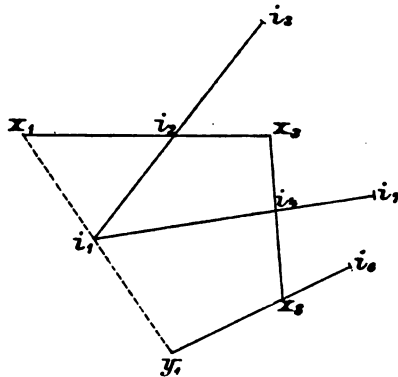


Fig. 5.

$x_3$ ; wird dieser aus  $i_4$  projicirt, so ergibt sich ein zu  $i_8$  gehöriger Eckpunkt  $x_8$ , welcher aus  $i_6$  projicirt wieder einen zu  $i_1$  gehörigen Eckpunkt  $y_1$  ergibt (siehe die schematische Figur 5).

Es ist die Frage von Interesse, in welcher Beziehung dieser letzte Punkt zum Ausgangspunkt  $x_1$  steht. Man hat

$$x_3 = \frac{i_2^2}{x_1}; \quad x_8 = \frac{i_4^2}{x_3} = \frac{i_4^2 x_1}{i_2^2} = \frac{i_2}{i_4} x_1;$$

$$y_1 = \frac{i_6^2}{x_8} = \frac{i_6^2 i_4}{i_2 x_1} = \frac{i_2 i_4 i_7}{i_2 x_1} = \frac{i_1^2}{x_1};$$

es ist also  $y_1$  die Gegenecke zu  $x_1$  in dem ursprünglichen Vierecke.

### C. Fünfecke.

53. Es sei  $x_1$  ein Punkt, welcher der Gleichung

$$x^{33} = k^{11} \quad (1)$$

genügt; dann kann er zum Ausgangspunkte für die Construction eines der  $C_3$  um- und eingeschriebenen Fünfecks genommen werden, und zwar sind die Ecken des letzteren

$$x_1 = x_1, \quad x_2 = \frac{k}{x_1^2}, \quad x_3 = \frac{x_1^3}{k}, \quad x_4 = \frac{k^3}{x_1^8}, \quad x_5 = \frac{x_1^{16}}{k^5}. \quad (2)$$

Bezeichnet man die dritten Schnittpunkte der Diagonalen  $x_1 x_3, x_2 x_4, x_3 x_5, x_4 x_1, x_5 x_2$  der Reihe nach mit  $\xi_1 \xi_2 \xi_3 \xi_4 \xi_5$  (Fig. 6), so ist

$$\begin{aligned} \xi_1 &= \frac{k}{x_1 x_3} = \frac{k^2}{x_1^5} \\ \xi_2 &= \frac{k}{x_2 x_4} = \frac{x_1^{10}}{k^3} \\ \xi_3 &= \frac{k}{x_3 x_5} = \frac{k^7}{x_1^{20}} \\ \xi_4 &= \frac{k}{x_4 x_1} = \frac{x_1^7}{k^2} \\ \xi_5 &= \frac{k}{x_5 x_2} = \frac{k^5}{x_1^{14}} \end{aligned} \quad (3)$$

oder wenn man unter Beachtung von (1) auf  $\xi_1$  zurückführt

$$\xi_1 = \xi_1, \quad \xi_2 = \frac{k}{\xi_1^2}, \quad \xi_3 = \frac{\xi_1^4}{k}, \quad \xi_4 = \frac{k^3}{\xi_1^8}, \quad \xi_5 = \frac{\xi_1^{16}}{k^5}; \quad (3^*)$$

weil überdies  $\xi_1^{33} = \frac{k^{88}}{x_1^{165}} = k^{11}$ , so ist  $\xi_1 \xi_2 \xi_3 \xi_4 \xi_5$ , wieder ein der  $C_3$  um- und eingeschriebenes Fünfeck.

Versucht man auf dieses den nämlichen Vorgang anzuwenden, so ergibt sich als erste Ecke

$$\xi_1' = \frac{k^2}{\xi_1^5} = \frac{k^2}{\left(\frac{k^2}{x_1^5}\right)^5} = \frac{x_1^{25}}{k^8} = \frac{x_1^{33}}{k^8 x_1^8} = \frac{k^8}{x_1^8} = x_4,$$

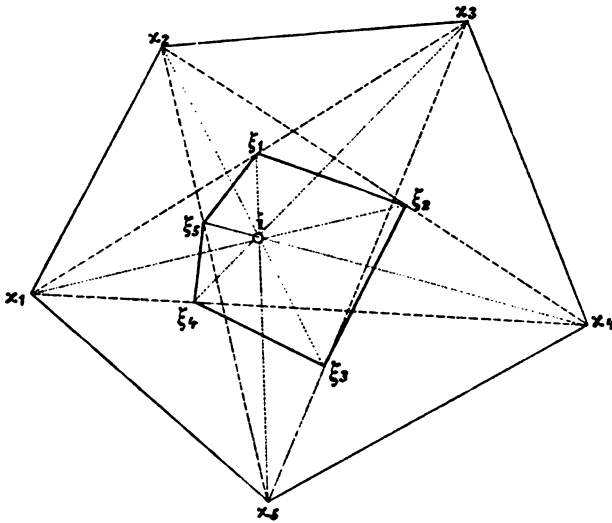


Fig. 6.

d. h. man kommt wieder auf das ursprüngliche Fünfeck zurück, so dass sich auf dem angedeuteten Wege nur ein zweites Fünfeck gewinnen lässt.

54. »Der durch die Ecken eines der  $C_3$  um- und eingeschriebenen Fünfecks gelegte Kegelschnitt schneidet die Curve zum sechstenmale in einem Inflexionspunkte.«

Erster Beweis. Wenn die sechs Punkte  $x_m$  ( $m = 1, 2, \dots, 6$ ) der  $C_3$  auf einer  $C_2$  liegen, so liegen ihre Tangentialpunkte auch auf einer  $C_2$  (siehe Artikel 22); diese beiden Kegelschnitte müssen

aber als durch die fünf Punkte  $x_1 x_2 x_3 x_4 x_5$  gehend identisch sein und  $C_3$  weiter in einem Punkte schneiden, der sein eigener Tangentialpunkt, also ein Inflexionspunkt ist.

Zweiter Beweis. Auf Grund von (2) ist der sechste Schnittpunkt

$$x_6 = \frac{k^2}{x_1 x_2 x_3 x_4 x_5} = \frac{k^4}{x_1^{11}},$$

also ist

$$x_6^3 = \frac{k^{12}}{x_1^{33}}$$

und mit Rücksicht auf (1)

$$x_6^3 = k,$$

wodurch die Behauptung ebenfalls erwiesen ist.

Für das aus dem Fünfeck  $(x)$  abgeleitete Fünfeck  $(\xi)$  ist der sechste Schnittpunkt der ihm umschriebenen  $C_2$

$$\xi_6 = \frac{k^4}{\xi_1^{11}} = \frac{k^4}{\left(\frac{k^2}{x_1^5}\right)^{11}} = \frac{x_1^{55}}{k^{18}} = \frac{x_1^{66}}{k^{18} x_1^{11}} = \frac{k^4}{x_1^{11}} = x_6;$$

es geht hienach der dem abgeleiteten Fünfeck umschriebene Kegelschnitt durch denselben Inflexionspunkt, welchen das ursprüngliche Fünfeck ergeben hat.

55. Aus dem Bisherigen ist der Schluss zu ziehen, dass die 216 Fünfecke in Gruppen von je 24 unter einander gepaarten Fünfecken auf die 9 Inflexionspunkte sich vertheilen werden, und es handelt sich darum, die 24 Fünfecke einer solchen Gruppe zu finden. Zunächst könnte der Versuch hiezu auf Grund der folgenden Sätze unternommen werden.

Satz I. \*Wenn  $x_2$  der Tangentialpunkt von  $x_1$  und  $y_2 y_1$  die Tangentialpunkte  $\mu^{\text{ter}}$  Ordnung von  $x_2 x_1$  sind, so ist auch  $y_2$  der Tangentialpunkt von  $y_1$  \*.

Denn nach Annahme ist

$$x_1^2 x_2 = k \quad x_1^{3\mu-1} y_1 = k^\mu \quad x_2^{3\mu-1} y_2 = k^\mu,$$

quadriert man die zweite Gleichung und multiplicirt sie mit der dritten, so ergibt sich

$$(x_1^2 x_2)^{3\mu-1} y_1^2 y_2 = k^{3\mu}$$

und daraus wegen der ersten Gleichung thatsächlich

$$y_1^2 y_2 = k.$$

Allgemeiner noch ist

Satz II. »Wenn  $x_2$  der Tangentialpunkt  $\nu$ ter Ordnung von  $x_1$  und  $y_2 y_1$  respective die Tangentialpunkte  $\mu$ ter Ordnung von  $x_2 x_1$  sind, so ist auch  $y_2$  der Tangentialpunkt  $\nu$ ter Ordnung von  $y_1$ «.

Laut Annahme ist nämlich

$$x_1^{3\nu-1} x_2 = k^\nu \quad x_1^{3\mu-1} y_1 = k^\mu \quad x_2^{3\mu-1} y_2 = k^\mu;$$

erhebt man die zweite Gleichung in die Potenz  $3\nu-1$  und multiplicirt dann mit der dritten, so kommt

$$(x_1^{3\nu-1} x_2)^{3\mu-1} y_1^{3\nu-1} y_2 = k^{3\mu\nu}$$

und dies gibt vermöge der ersten Gleichung

$$y_1^{3\nu-1} y_2 = k^\nu, \text{ w. z. b. w.}$$

Aus dem ersten dieser Sätze folgt weiter:

Satz III. »Ist  $x_1 x_2 \dots x_n$  ein der  $C_3$  um- und eingeschriebenes  $n$ -Eck und sind  $y_1 y_2 \dots y_n$  die Tangentialpunkte  $\mu$ ter Ordnung seiner Ecken, so ist  $y_1 y_2 \dots y_n$  auch ein um- und eingeschriebenes  $n$ -Eck«. Dazu muss jedoch bemerkt werden, dass sich dieses letztere, wenn  $p$  ein Theiler von  $n$  ist, auch auf ein  $p$ -Eck reduciren, beziehungsweise dass es in einen Inflexionspunkt übergehen kann. Das  $n$ -Eck  $y_1 y_2 \dots y_n$  soll als » $n$ -Eck der Tangentialpunkte  $\mu$ ter Ordnung« bezeichnet werden.

Wir suchen nun die auf diesem Wege aus einem gegebenen  $n$ -Eck sich ergebenden abgeleiteten  $n$ -Ecke und führen diese Betrachtung für  $n = 3$  und  $n = 5$  durch.

Es sei also  $x_1 x_2 x_3$  ein der  $C_3$  um- und eingeschriebenes Dreieck, daher

$$x_1 = x_1, \quad x_2 = \frac{k}{x_1^2}, \quad x_3 = \frac{x_1^3}{k} \text{ und } x_1^9 = k^3.$$

Für  $\mu = 1$  ergibt sich selbstverständlich immer das nämliche Polygon; für  $\mu = \mu$  ist

$$y_1 = \frac{k^\mu}{x_1^{3\mu-1}} = \frac{k^\mu x_1}{x_1^{3\mu}};$$



ist nun  $\mu$  durch 3 theilbar, also  $\mu = 3\nu$ , so hat man

$$y_1 = \frac{k^{3\nu} x_1}{(x_1^3)^{3\nu}} = \frac{k^{3\nu} x_1}{k^{3\nu}} = x_1;$$

ist dagegen  $\mu$  nicht theilbar durch 3, also  $\mu = 3\nu \pm 1$ , so ist

$$y_1 = \frac{k^{3\nu \pm 1} x_1}{x_1^{9\nu} x_1^{\pm 3}} = \frac{k^{3\nu \pm 1} x_1}{k^{3\nu} x_1^{\pm 3}} = k^{\pm 1} x_1^{1 \mp 3},$$

also entweder  $y_1 = \frac{k}{x_1^2} = x_2$  oder  $y_1 = \frac{x_1^4}{k} = x_3$ . Aus einem Dreiecke kann daher in dieser Art ein neues Dreieck nicht abgeleitet werden.

An zweiter Stelle sei  $x_1$  eine Ecke eines um- und eingeschriebenen Fünfecks und  $y_1$  ihr Tangentialpunkt  $\mu^{\text{ter}}$  Ordnung. Dann ist

$$x_1^{33} = k^{11} \text{ und } y_1 = \frac{k^\mu}{x_1^{3\mu-1}};$$

bringt man  $\mu$  auf die Form  $\mu = 11\nu + r$ , so wird

$$y_1 = \frac{k^{11\nu+3}}{x_1^{33\nu+3r-1}} = \frac{k^{11\nu+r}}{k^{11\nu} x_1^{3r-1}} = \frac{k^r}{x_1^{3r-1}},$$

worin der Reihe nach  $r = 0, 1, 2, \dots, 10$  zu setzen ist. Man erhält

$$\text{für } r = 0 \dots y_1 = x_1$$

$$» \quad = 1 \quad = \frac{k}{x_1^2} = x_2$$

$$» \quad = 3 \quad = \frac{k^3}{x_1^8} = x_4$$

$$» \quad = 6 \quad = \frac{k^6}{x_1^{17}} = \frac{k^6 x_1^{16}}{x_1^{33}} = \frac{x_1^{16}}{k^5} = x_5$$

$$» \quad = 10 \quad = \frac{k^{10}}{x_1^{29}} = \frac{k^{10} x_1^4}{x_1^{33}} = \frac{x_1^4}{k} = x_3$$

---


$$» \quad r = 4 \dots y_1 = \frac{k^4}{x_1^{11}}, \text{ daher } y_1^3 = \frac{k^{12}}{x_1^{33}} = k;$$


---

$$\begin{aligned}
 \text{für } r = 2 \dots y_1 &= \frac{k^2}{x_1^5} = \xi_1 \\
 \text{» } = 5 &= \frac{k^5}{x_1^{14}} = \xi_5 \\
 \text{» } = 7 &= \frac{k^7}{x_1^{20}} = \xi_3 \\
 \text{» } = 8 &= \frac{k^8}{x_1^{23}} = \frac{x_1^{10}}{k^3} = \xi_2 \\
 \text{» } = 9 &= \frac{k^9}{x_1^{26}} = \frac{x_1^7}{k^2} = \xi_4.
 \end{aligned}$$

Aus einem Fünfeck lässt sich also durch die Tangentialpunkte höherer Ordnungen nur ein zweites ableiten, und zwar ist es dasselbe, welches wir gleich eingangs aus den dritten Schnittpunkten der Diagonalen gebildet haben. Insbesondere entsteht aus dem Punkte  $x_1$

für  $r = 0, 1, 3, 6, 10$  respective  $x_1 x_2 x_4 x_5 x_3$

»  $r = 4$  der adjungirte Inflexionspunkt

»  $r = 2, 5, 7, 8, 9$  respective  $\xi_1 \xi_5 \xi_3 \xi_2 \xi_4$ .

56. »Die beiden Fünfecke  $x_1 x_2 x_3 x_4 x_5$  und  $\xi_1 \xi_2 \xi_3 \xi_4 \xi_5$  liegen perspectivisch in Bezug auf den Inflexionspunkt, mit welchem sie verknüpft sind.«

Dem Artikel 54 zufolge ist nämlich dieser Inflexionspunkt

$$i = \frac{k^4}{x_1^{11}}; \quad (4)$$

demnach ist, wenn wir die Projection von  $x_m$  aus  $i$  auf  $C_3$  mit  $x'_m$  bezeichnen,

$$\begin{aligned}
 x'_1 &= \frac{k}{ix_1} = \frac{x_1^{10}}{k^3} = \xi_2 \\
 x'_2 &= \frac{k}{ix_2} = \frac{x_1^{13}}{k^4} = \frac{k^7}{x_1^{20}} = \xi_3 \\
 x'_3 &= \frac{k}{ix_3} = \frac{x_1^7}{k^2} = \xi_4
 \end{aligned}$$

$$x'_4 = \frac{k}{ix_4} = \frac{x_1^{19}}{k^6} = \frac{k^5}{x_1^{14}} = \xi_5$$

$$x'_5 = \frac{k}{ix_5} = \frac{k^2}{x_1^5} = \xi_1.$$

Dadurch ist die perspektivische Lage erwiesen, und zwar gehen durch  $i$  die Geraden  $x_1\xi_2, x_2\xi_3, x_3\xi_4, x_4\xi_5, x_5\xi_1$ .

Mit Hilfe der Gleichung (4) und der aus ihr resultirenden

$$i^{11} = \frac{k^{44}}{x_1^{121}} = \frac{x_1^{132}}{x_1^{121}} = x_1^{11} \quad (= x_2^{11} = \dots = x_5^{11}) \quad (5)$$

lassen sich sämtliche Punkte  $x$  und  $\xi$  durch  $i$  und  $x_1$  darstellen; man erhält, von den Gleichungen (2) und (3) Gebrauch machend:

$$\begin{aligned} x_1 &= x_1 & \xi_1 &= \frac{k^2}{x_1^5} = \frac{k^4}{k^2 x_1^5} = \frac{ix_1^{11}}{i^6 x_1^5} = \frac{i^6}{x_1^5} \\ x_2 &= \frac{k}{x_1^2} = \frac{k^4}{k^3 x_1^2} = \frac{ix_1^{11}}{i^9 x_1^2} = \frac{i^3}{x_1^2} & \xi_2 &= \frac{x_1^{10}}{k^3} = \frac{kx_1^{10}}{k^4} = \frac{kx_1^{10}}{ix_1^{11}} = \frac{i^2}{x_1} \\ x_3 &= \frac{x_1^4}{k} = \frac{k^3 x_1^4}{k^4} = \frac{i^9 x_1^4}{ix_1^{11}} = \frac{x_1^4}{i^3} & \xi_3 &= \frac{k^7}{x_1^{20}} = \frac{k^3 ix_1^{11}}{x_1^{20}} = \frac{i^{11} x_1^{11}}{ix_1^{20}} = \frac{x_1^2}{i} \\ x_4 &= \frac{k^3}{x_1^8} = \frac{k^4}{kx_1^8} = \frac{ix_1^{11}}{i^3 x_1^8} = \frac{x_1^3}{i^2} & \xi_4 &= \frac{x_1^7}{k^2} = \frac{k^2 x_1^7}{ix_1^{11}} = \frac{i^5}{x_1^4} \\ x_5 &= \frac{x_1^{16}}{k^5} = \frac{x_1^{16}}{kix_1^{11}} = \frac{x_1^5}{i^4} & \xi_5 &= \frac{k^5}{x_1^{14}} = \frac{kix_1^{11}}{x_1^{14}} = \frac{i^4}{x_1^3} \end{aligned}$$

Auf Grund dieser Darstellung erkennt man nun leicht, dass die elf Punkte  $i, x$  und  $\xi$  einen elfgliedrigen Cyklus in der  $E$ -Beziehung  $E(ix_1)$  bilden; in der That ist in  $E(ix_1)$  die Reihenfolge der Punkte, in welcher jeder folgende dem vorangehenden entspricht, die nachstehende:

$i$	$x_1$	$\frac{x_1^2}{i}$	$\frac{x_1^3}{i^2}$	$\frac{x_1^4}{i^3}$	$\frac{x_1^5}{i^4}$	$\frac{i^6}{x_1^5}$	$\frac{i^5}{x_1^4}$	$\frac{i^4}{x_1^3}$	$\frac{i^3}{x_1^2}$	$\frac{i^2}{x_1}$	$(i)$
$\downarrow$	$\downarrow$	$\downarrow$	$\downarrow$	$\downarrow$	$\downarrow$	$\downarrow$	$\downarrow$	$\downarrow$	$\downarrow$	$\downarrow$	
$i$	$x_1$	$\xi_3$	$x_4$	$x_3$	$x_5$	$\xi_1$	$\xi_4$	$\xi_5$	$x_2$	$\xi_2$	$(i)$

Den 12 existirenden  $E_{11}$  entsprechen, von  $i$  ausgehend, 12 solche Gruppen, von denen jede  $i$  und zwei in Bezug auf

dieses perspectivische Fünfecke enthält, so dass man thatsächlich zu den  $2 \cdot 12 = 24$  mit  $i$  verknüpften Fünfecken gelangt.

#### D. Sechsecke.

57. Es sei  $x_1$  ein Punkt, welcher der Gleichung

$$x^{63} = k^{21} \quad (1)$$

genügt; dann lässt sich von ihm aus ein der  $C_3$  um- und eingeschriebenes Sechseck (oder Dreieck, weil die Gleichung (1) eine Folgerung der Gleichung  $x^9 = k^3$  ist) construiren, dessen aufeinanderfolgende Ecken sind:

$$\left. \begin{aligned} x_1 = x_1, \quad x_2 = \frac{k}{x_1^2}, \quad x_3 = \frac{x_1^4}{k}, \quad x_4 = \frac{k^3}{x_1^8}, \\ x_5 = \frac{x_1^{16}}{k^5}, \quad x_6 = \frac{k^{11}}{x_1^{32}}. \end{aligned} \right\} \quad (2)$$

Bestimmt man die dritten Schnitte der Diagonalen  $x_1x_3, x_2x_4, x_3x_5, x_4x_6, x_5x_1, x_6x_2$  mit  $C_3$ , so ergibt sich ein neues um- und eingeschriebenes Sechseck ( $\xi$ ), dessen Ecken sind:<sup>1</sup>

$$\left. \begin{aligned} \xi_1 = \frac{k}{x_1x_3} = \frac{k^2}{x_1^5}, \quad \xi_2 = \frac{x_1^{10}}{k^3}, \quad \xi_3 = \frac{k^7}{x_1^{20}}, \quad \xi_4 = \frac{x_1^{40}}{k^{18}}, \\ \xi_5 = \frac{k^6}{x_1^{17}}, \quad \xi_6 = \frac{x_1^{34}}{k^{11}}. \end{aligned} \right\} \quad (3)$$

Verfährt man mit diesem Sechseck in derselben Weise, so kommt ein drittes, ( $\xi'$ ), zu Stande, nämlich

$$\left. \begin{aligned} \xi'_1 = \frac{k}{\xi_1\xi_3} = \frac{x_1^{25}}{k^8}, \quad \xi'_2 = \frac{x_1^{13}}{k^4}, \quad \xi'_3 = \frac{k^9}{x_1^{28}}, \\ \xi'_4 = \frac{k^4}{x_1^{11}}, \quad \xi'_5 = \frac{x_1^{22}}{k^7}, \quad \xi'_6 = \frac{x_1^{19}}{k^6}. \end{aligned} \right\} \quad (4)$$

Wiederholt man denselben Vorgang auch mit diesem, so ergibt sich als erster Punkt

<sup>1</sup> Man überzeugt sich leicht, dass jeder folgende Punkt Tangentialpunkt des vorangehenden, der erste Tangentialpunkt des letzten ist.

$$\xi_1'' = \frac{k}{\xi_1 \xi_3'} = \frac{k^{21}}{x_1^{62}} = \frac{k^{21} x_1}{x_1^{63}} = x_1;$$

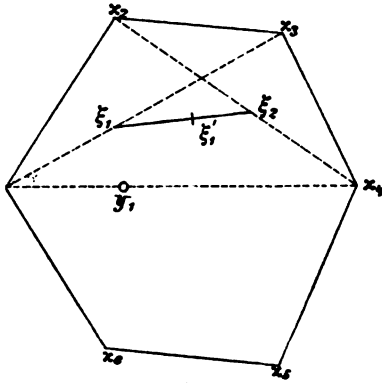


Fig. 7.

man kommt mithin wieder auf das ursprüngliche Sechseck zurück. Es lassen sich also aus jedem Sechseck noch zwei andere ableiten, so dass sich die der  $C_3$  um- und eingeschriebenen Sechsecke zu dreien gruppieren (siehe Fig. 7).

Die dritten Schnittpunkte der Diagonalen  $x_1x_4$ ,  $x_2x_5$ ,  $x_3x_6$  seien der Reihe nach  $y_1$ ,  $y_2$ ,  $y_3$ ; dann ist

$$y_1 = \frac{k}{x_1 x_4} = \frac{x_1^7}{k^2}, \quad y_2 = \frac{k}{x_2 x_5} = \frac{k^5}{x_1^{13}}, \quad y_3 = \frac{k}{x_3 x_6} = \frac{x_1^{28}}{k^9};$$

man überzeugt sich aber durch leichte Rechnung, bei welcher auf die Gleichung (1) Rücksicht zu nehmen ist, dass

$$y_1^2 y_2 = k, \quad y_2^2 y_3 = k, \quad y_3^2 y_1 = k;$$

mithin liegen die drei Punkte  $y_1 y_2 y_3$  derart, dass sie die Ecken eines der  $C_3$  um- und eingeschriebenen Dreiecks bilden.

Die analogen Punkte für das Sechseck  $(\xi)$  sind

$$\eta_1 = \frac{\xi_1^7}{k^2} = \frac{k^{12}}{x_1^{35}} = \frac{k^{12} x_1^{28}}{x_1^{63}} = \frac{x_1^{28}}{k^9} = y_3, \quad \eta_2 = y_2, \quad \eta_3 = y_1;$$

und für das Sechseck  $(\xi')$

$$\eta_1' = \frac{\xi_1'^{17}}{k^2} = \frac{k^5}{x_1^{13}} = y_2, \quad \eta_2' = y_3, \quad \eta_3' = y_1.$$

»Es gehören also die drei Sechsecke eines Tripels  $(x)$   $(\xi)$   $(\xi')$  zu einem und demselben der  $C_3$  um- und eingeschriebenen Dreiecke.«

58. Der Tangentialpunkt  $\mu$ ter Ordnung von  $x_1$  heisse  $z_1$ , und es werde  $\mu$  auf die Form  $\mu = 21\nu + r$  gebracht; dann ist wegen (1)

$$z_1 = \frac{k^\mu}{x_1^{3\mu-1}} = \frac{k^{21\nu+r}}{x_1^{63\nu} x_1^{3r-1}} = \frac{k^r}{x_1^{3r-1}},$$

worin der Reihe nach  $r = 0, 1, 2, \dots, 20$  zu setzen ist. Diese Substitutionen führen zu dem folgenden Tableau:

$r =$	$z_1 =$	$r =$	$z_1 =$
0 ...	$x_1$	11 ...	$x_6$
1 ...	$x_2$	12 ...	$y_3$
2 ...	$\xi_1$	13 ...	$\xi'_1$
3 ...	$x_3$	14 ...	$\xi'_5$
4 ...	$\xi'_3$	15 ...	$\xi'_8$
5 ...	$y_2$	16 ...	$x_5$
6 ...	$\xi_5$	17 ...	$\xi'_2$
7 ...	$\xi_3$	18 ...	$\xi_2$
8 ...	$\xi_4$	19 ...	$y_1$
9 ...	$\xi'_3$	20 ...	$x_3$
10 ...	$\xi_6$		

Es ist also

- für  $r = 0, 1, 3, 11, 16, 20 \dots z_1 \equiv x_1 x_2 x_4 x_6 x_5 x_3$   
 »  $r = 2, 6, 7, 8, 10, 18 \dots z_1 \equiv \xi_1 \xi_3 \xi_5 \xi_4 \xi_6 \xi_2$   
 »  $r = 4, 9, 13, 14, 15, 17 \dots z_1 \equiv \xi'_3 \xi'_5 \xi'_1 \xi'_5 \xi'_6 \xi'_2$   
 »  $r = 5, 12, 19 \dots z_1 \equiv y_2 y_3 y_1.$

Man erhält demnach durch Benützung der Tangentialpunkte beliebig hoher Ordnung immer nur dieselben drei Sechsecke und das mit ihnen verknüpfte Dreieck.

59. Ausser den Sechsecken der eben betrachteten Art, welche mit Dreiecken associirt sind, gibt es noch Sechsecke einer zweiten Art, welche zu Inflexionspunkten gehören. Es sind dies solche, deren Ecken nicht allein der Gleichung (1), sondern auch der engeren

$$x^{21} = x^7 \quad (5)$$

genügen, von welcher (1) eine Folgerung ist. Findet nämlich diese Gleichung statt, so ist

$$y_1 = \frac{x_1^7}{k^2}, \quad y_2 = \frac{k^5}{x_1^{14}} = \frac{k^5 x_1^7}{x_1^{21}} = \frac{x_1^7}{k^2}, \quad y_3 = \frac{x_1^{28}}{k^9} = \frac{x_1^7}{k^2},$$

also

$$y_1 = y_2 = y_3 = \frac{x_1^7}{k^2} = y$$

und

$$y^3 = \frac{x_1^{21}}{k^6} = k,$$

d. h. das Dreieck  $y_1 y_2 y_3$  reducirt sich in diesem Falle auf einen Inflexionspunkt  $i$ . Aber auch die drei oben gefundenen Sechsecke  $(x)$ ,  $(\xi)$ ,  $(\xi')$  fallen in eines zusammen, da

$$\xi_1 = \frac{k^2}{x_1^5} = \frac{k^2 x_1^{16}}{x_1^{21}} = \frac{x_1^{16}}{k^5} = x_5$$

$$\xi'_1 = \frac{x_1^{25}}{k^8} = \frac{k^7 x_1^4}{k^8} = \frac{x_1^4}{k} = x_3,$$

und dieses eine Sechseck ist in Beziehung auf den Punkt  $i$  perspectivisch; denn man hat

$$x_1 i x_4 = x_1 \cdot \frac{x_1^7}{k^2} \cdot \frac{k^3}{x_1^8} = k$$

$$x_2 i x_5 = \frac{k}{x_1^2} \cdot \frac{x_1^7}{k^2} \cdot \frac{x_1^{16}}{k^5} = k$$

$$x_3 i x_6 = \frac{x_1^4}{k} \cdot \frac{x_1^7}{k^2} \cdot \frac{k^{11}}{x_1^{32}} = k.$$

Die zu einem Inflexionspunkt  $i$  gehörigen Sechsecke ergeben sich durch Vervollständigung des siebenelementigen Cyklus in der  $E(i x_1)$ :

$$i, \quad x_1, \quad \frac{x_1^2}{i} = x_5, \quad \frac{x_1^3}{i^2} = x_6, \quad \frac{x_1^4}{i^3} = x_3, \quad \frac{x_1^5}{i^4} = x_2, \quad \frac{x_1^6}{i^5} = x_4;$$

solcher siebengliedrigen Cyklen ergeben sich  $7 + 1 = 8$ , so dass jeder Inflexionspunkt zu acht Sechsecken der zweiten Art Veranlassung gibt.

# VI. Einer Raumcurve $R_4$ vierter Ordnung erster Species gleichzeitig um- und eingeschriebene Polygone.

60. In der Reihe der Punkte  $x_1, x_2, \dots, x_n, x_{n+1}$  auf einer  $R_4$  sei jeder Punkt der Schnittpunkt der Schmiegungebene des vorangehenden Punktes. Wird die Involution  $J_3^4$  der ebenen Quadrupel durch die Gleichung  $xx'x''x''' = k$  charakterisirt, so bestehen zwischen obigen Punkten die Relationen

$$\begin{aligned} x_1^3 x_2 &= k \\ x_2^3 x_3 &= k \\ &\dots \\ x_n^3 x_{n+1} &= k. \end{aligned}$$

Erhebt man diese Gleichungen der Reihe nach zu den Potenzen  $3^{n-1}, 3^{n-2}, \dots, 3^0$ , so wird

für gerade $n$ :	für ungerade $n$ :
$x_1^{3^n} x_2^{3^{n-1}} = k^{3^{n-1}}$	$x_1^{3^n} x_2^{3^{n-1}} = k^{3^{n-1}}$
$k^{3^{n-2}} = x_2^{3^{n-1}} x_3^{3^{n-2}}$	$k^{3^{n-2}} = x_2^{3^{n-1}} x_3^{3^{n-2}}$
$\dots$	$\dots$
$x_{n-1}^3 x_n^3 = k^3$	$k^3 = x_{n-1}^3 x_n^3$
$k = x_n^3 x_{n+1}$	$x_n^3 x_{n+1} = k;$

durch Multiplication dieser Gleichungssysteme erhält man

für gerade  $n$ :  $x_1^{3^n} k^{3^{n-2}+3^{n-4}+\dots+3^0} = x_{n+1} k^{3^{n-1}+3^{n-3}+\dots+3^1}$

für ungerade  $n$ :  $x_1^{3^n} x_{n+1} k^{3^{n-2}+3^{n-4}+\dots+3^1} = k^{3^{n-1}+3^{n-3}+\dots+3^0}$

und nach Summirung der geometrischen Progressionen

$$\begin{aligned} \text{für gerade } n: \quad x_1^{3^n} &= x_{n+1} k^{\frac{3n-1}{4}} \\ \text{für ungerade } n: \quad x_{n+1} x_1^{3^n} &= k^{\frac{3n+1}{4}}; \end{aligned}$$

beide Gleichungen lassen sich in die eine zusammenfassen:

$$x_1^{3^n} = (x_{n+1})^{(-1)^n} k^{\frac{3n-(-1)^n}{4}}. \quad (1)$$



Sollen die Punkte ein geschlossenes Polygon, ein  $n$ -Eck bilden, so muss der letzte mit dem ersten zusammenfallen, also  $x_{n+1} \equiv x_1$  sein; demnach hat ein Punkt auf  $R_1$ , von welchem ausgehend sich derselben ein  $n$ -Eck um- und eingeschreiben lässt, der Gleichung

$$x^{3^n - (-1)^n} = k^{\frac{3^n - (-1)^n}{4}} \quad (2)$$

zu genügen.

Hiernach lauten die charakteristischen Gleichungen für Zwei-, Drei-, ... Siebenecke ... wie folgt:

$$\begin{aligned} n = 2 & \quad x^6 = k^2 \\ & = 3 \quad x^{28} = k^7 \\ & = 4 \quad x^{80} = k^{20} \\ & = 5 \quad x^{244} = k^{61} \\ & = 6 \quad x^{728} = k^{182} \\ & = 7 \quad x^{2188} = k^{547} \text{ u. s. w.} \end{aligned}$$

Da sich unter den  $[3^n - (-1)^n]^2$  Lösungen der Gleichung (2) (siehe Artikel 41) auch die 16 Wendeberührungspunkte als Wurzeln der Gleichung  $x^4 = k$  befinden, so bleiben nach Ausscheidung dieser, da sie als Ecken nicht auftreten können, noch

$$N_n = [3^n - (-1)^n]^2 - 16$$

Punkte übrig; daher ist die Anzahl der einer  $R_1$  um- und eingeschriebenen  $n$ -Ecke, sofern  $n$  eine Primzahl bedeutet,

$$\xi_n = \frac{[3^n - (-1)^n]^2 - 16}{n}; \quad (3)$$

hat dagegen  $n$  die von einander verschiedenen Theiler  $t_1, t_2, \dots$  (mit Einschluss von 2), so gilt die Formel

$$\zeta_n = \frac{[3^n - (-1)^n]^2 - 16 - \sum t_i \zeta_{t_i}}{n} \quad (4)$$

Für die oben angeführten speciellen Werthe von  $n$  gibt diese Formel:

Eckenzahl	Anzahl der Polygone
2	$24 = \frac{8^2 - 16}{2}$
3	$256 = \frac{28^2 - 16}{3}$
4	$1584 = \frac{80^2 - 16 - 2 \cdot 24}{4}$
5	$11904 = \frac{244^2 - 16}{5}$
6	$88192 = \frac{728^2 - 16 - 2 \cdot 24 - 3 \cdot 256}{6}$
7	$683904 = \frac{2188^2 - 16}{7}, \text{ u. s. w.}$

## VII. Die Küpper'schen Sätze über die Steiner'schen Polygone.<sup>1</sup>

61. Auf  $C_3$  sei eine Reihe fester Fundamentalpunkte  $abcde \dots$  gegeben; man ziehe von dem beliebigen Punkte 0 der  $C_3$  ausgehend nach einander die Geraden  $0a1, 1b2, 2c3, 3d4, \dots$  derart, dass die Punkte  $1, 2, 3, 4, \dots, \nu, \dots, \nu + \delta, \dots$  ebenso wie 0 auf  $C_3$  liegen. [ $\delta$  möge als Abstand des Punktes  $\nu + \delta$  von dem Punkte  $\nu$  bezeichnet werden; hiernach hat der Punkt  $\nu - \delta$  von  $\nu$  den Abstand  $-\delta$ ; unter »Abstand der Punkte  $2k$  und  $2l+1$ « soll immer der Abstand des unpaaren von dem paaren, also die Differenz  $2l+1 - 2k = 2(l-k) + 1$  verstanden sein.]

Auf Grund des Entstehungsgesetzes obiger Punktreihe gelten die Gleichungen

$$0a1 = 1b2 = 2c3 = 3d4 = \dots = k.$$

Wir betrachten nun die Punkte  $\nu$  und  $\nu + \delta$  (wobei  $\delta$  eine ungerade Zahl sein soll) und nennen die zwischenliegenden Fundamentalpunkte  $a_1 a_2 \dots a_\delta$ ; dann ist

$$\begin{aligned} \nu a_1 (\nu + 1) &= (\nu + 1) a_2 (\nu + 2) = (\nu + 2) a_3 (\nu + 3) = \dots = \\ &= (\nu + \delta - 1) a_\delta (\nu + \delta) = k; \end{aligned}$$

<sup>1</sup> Mathem. Annalen, Bd. XXIV.

daraus folgt

$$\begin{aligned} \nu(\nu+1) &= \frac{k}{a_1} \\ \frac{k}{a_2} &= (\nu+1)(\nu+2) \\ (\nu+2)(\nu+3) &= \frac{k}{a_3} \\ &\dots\dots\dots \\ (\nu+\delta-1)(\nu+\delta) &= \frac{k}{a_\delta} \end{aligned}$$

Multipliziert man diese Gleichungen mit einander, so ergibt sich

$$\nu(\nu+\delta) = \frac{a_2 a_4 \dots a_{\delta-1}}{a_1 a_3 \dots a_\delta} k;$$

bezeichnet man den dritten Schnittpunkt der Geraden  $\overline{\nu(\nu+\delta)}$  mit  $C_3$  durch  $f$ , so ist

$$f = \frac{k}{\nu(\nu+\delta)} = \frac{a_1 a_3 \dots a_\delta}{a_2 a_4 \dots a_{\delta-1}};$$

d. h. »die Gerade, welche einen bestimmten Punkt  $\nu$  mit dem um eine bestimmte ungerade Zahl  $+\delta$  von ihm entfernten Punkte verbindet, trifft die  $C_3$  in einem festen Punkte, dessen Lage nämlich von der Wahl des Ausgangspunktes 0, also von der Punktreihe, in der man sich gerade befindet, unabhängig ist.«

62. Es seien nur zwei von einander verschiedene Fundamentalepunkte  $a, b$  gegeben, welche abwechselnd der obigen Vorschrift gemäss benutzt werden, so dass die Reihe  $abcd\dots$  übergeht in  $abab\dots$ . Man hat dann die Gleichungen

$$\begin{aligned} 0a1 &= 1b2 = 2a3 = 3b4 = \dots \\ &= 2\nu a(2\nu+1) = \dots = (2\mu-1)b.2\mu = \dots = k, \end{aligned}$$

aus welchen sich ergibt

$$\begin{array}{ll}
 1 = \frac{k}{a^0} & 2 = \frac{k}{b^1} = \frac{a^0}{b} \\
 3 = \frac{k}{a^2} = \frac{kb}{a^2 0} & 4 = \frac{k}{b^3} = \frac{a^2 0}{b^3} \\
 5 = \frac{k}{a^4} = \frac{k b^2}{a^3 0} & 6 = \frac{k}{b^5} = \frac{a^3 0}{b^5} \\
 \dots & \dots
 \end{array}$$

also in zusammenfassender Darstellung:

$$\begin{array}{ll}
 1 = \frac{k}{a^0} & 2 = \frac{a}{b} 0. \\
 3 = \frac{b}{a} \frac{k}{a^0} & 4 = \left(\frac{a}{b}\right)^2 0 \\
 5 = \left(\frac{b}{a}\right)^2 \frac{k}{a^0} & 6 = \left(\frac{a}{b}\right)^3 0 \\
 \dots & \dots \\
 2\nu+1 = \left(\frac{b}{a}\right)^\nu \frac{k}{a^0} & 2\nu = \left(\frac{a}{b}\right)^\nu 0.
 \end{array}$$

Auf Grund der allgemeinen Endformeln dieser zwei Reihen lässt sich nun der folgende Satz beweisen: »Die Gerade, welche zwei Punkte verbindet, deren Abstand eine bestimmte ungerade Zahl ist, geht durch einen festen, d. i. von der Lage des Ausgangspunktes 0 unabhängigen Punkt der  $C_3$ «.

Die beiden Punkte mögen mit  $\mu$ ,  $\mu'$  bezeichnet werden. Zunächst sei  $\mu$  gerad, etwa  $\mu = 2\nu$ ; dann ist  $\mu' = 2\nu + \delta$  und daher

$$\begin{aligned}
 \mu &= 2\nu = \left(\frac{a}{b}\right)^\nu 0 \\
 \mu' &= [2\nu + (\delta - 1)] + 1 = \left(\frac{b}{a}\right)^{\nu + \frac{\delta-1}{2}} \frac{k}{a^0};
 \end{aligned}$$

somit hat man

$$\mu \mu' = \left(\frac{b}{a}\right)^{\frac{\delta-1}{2}} \frac{k}{a};$$

wird der dritte Schnittpunkt von  $\mu\mu'$  mit  $C_3$  durch  $f$  bezeichnet, so ist

$$f = \frac{k}{\mu\mu'} = \left(\frac{a}{b}\right)^{\frac{\delta-1}{2}} a,$$

also  $f$  thatsächlich ein Punkt, dessen Lage nur von  $a$ ,  $b$  und  $\delta$  abhängt.

Ist hingegen  $\mu$  ungerad  $= 2\nu - \delta$ , so ist  $\mu' = 2\nu$ , der Abstand beider Punkte  $\mu - \mu' = -\delta$  negativ. Es ist dann

$$\mu = [2\nu - (\delta + 1)] + 1 = \left(\frac{b}{a}\right)^{\nu - \frac{\delta+1}{2}} \frac{k}{a^0}$$

$$\mu' = 2\nu = \left(\frac{a}{b}\right)^{\nu} 0,$$

folglich

$$\mu\mu' = \left(\frac{b}{a}\right)^{-\frac{\delta+1}{2}} \frac{k}{a}$$

und der dritte Schnittpunkt  $f'$  von  $\overline{\mu\mu'}$  mit  $C_3$

$$f' = \frac{k}{\mu\mu'} = \left(\frac{a}{b}\right)^{-\frac{\delta+1}{2}} a$$

wieder ein fester Punkt. Die Gerade  $\overline{ff'}$  schneide  $C_3$  weiter in  $c$ , so ist

$$= \frac{k}{\overline{ff'}} = \frac{k}{\left(\frac{a}{b}\right)^{-1} a^2} = \frac{k}{a b}.$$

Da dieser Punkt von  $\delta$  nicht mehr abhängt — es ist der dritte Schnittpunkt der Verbindungslinie der Fundamentalpunkte — so gelangt man zu dem Satze:

»Die Punkte  $f$ , welche als Schnittpunkte der  $C_3$  mit den Verbindungslinien von je einem paaren und unpaaren Punkte in allen denkbaren Reihen auftreten, liegen zu je zweien auf den Strahlen eines Büschels, dessen Scheitel  $c$  auf  $C_3$  liegt.«

Soll sich das Polygon schliessen, nachdem jeder Fundamentalpunkt  $n$ -mal durchlaufen wurde, so muss  $2n \equiv 0$  werden, also

$$\left(\frac{a}{b}\right)^n 0 = 0,$$

d. h.  $\left(\frac{a}{b}\right)^n = 1$  oder  $a^n = b^n$  sein; sind also die Fundamentalpunkte  $a, b$  Hauptpunkte einer Involution  $J_{n-1}^n$   $n$ ten Grades, so schliesst sich das Steiner'sche Polygon zu einem  $2n$ -Eck, von welchem Punkte der  $C_3$  man auch ausgehen mag.

---



## Dyadische Coordination der bis 100.000 vorkommenden Primzahlen zur Reihe der ungeraden Zahlen

von

Dr. Eduard Suchanek.

Schreibt man die ungeraden Zahlen der natürlichen Zahlenreihe nach Einführung symbolischer Exponenten als sogenannte dyadische Producte, so bilden die letzteren lauter Specialisirungen des Gleichungssystems:

$$D_1 = 1^{c_1}, \quad D_2 = 1^{c_1} 0^{c_2} 1^{c_3}, \dots$$

$$D_r = 1^{c_1} 0^{c_2} 1^{c_3} \dots 0^{c_{2r-2}} 1^{c_{2r-1}} \dots$$

und begründen daher eine Eintheilung aller ungeraden Zahlen in solche erster, zweiter, ...  $r$ ter Ordnung, welche — unter  $s_k$  allgemein die Summe:

$$c_k + c_{k+1} + c_{k+2} + \dots + c_{2r-1}$$

verstanden — bekanntlich auch durch die Ausdrücke:

$$D_1 = 2^{c_1} - 1, \quad D_2 = 2^{c_1+c_2+c_3} - 2^{c_2+c_3} + 2^{c_3} - 1, \dots$$

$$D_r = 2^{s_1} - 2^{s_2} + 2^{s_3} - \dots + 2^{s_{2r-1}} - 1, \dots$$

definirbar sind.<sup>1</sup> Hierbei bedeuten  $c_1, c_2, \dots, c_{2r-1}$  nunmehr Potenzexponenten, deren jeweilige Summen direct die An-

---

<sup>1</sup> Man vergleiche hierüber Dr. O. Simony's Abhandlung: Über den Zusammenhang gewisser topologischer Thatsachen mit neuen Sätzen der höheren Arithmetik und dessen theoretische Bedeutung (Sitzb. der kais. Akad. d. Wissensch. in Wien, 96. Bd., II. Abth., S. 191—286), auf welche sich auch alle folgenden Citate beziehen. Dieselbe Arbeit enthält bereits die dyadische Coordination der bis  $2^{14} = 16384$  vorkommenden Primzahlen zur Reihe der ungeraden Zahlen.



zahlen:  $A_1, A_2, \dots A_r$  der zur vollständigen dyadischen Aufschreibung der betreffenden Zahlen erster, zweiter, ...  $r^{\text{ter}}$  Ordnung nöthigen Ziffern bestimmen. — Die Fortsetzung der Transcription von 3, 5, 7 ... in  $1^2, 101, 1^3, \dots$  bis zu irgend einer Potenz von 2, etwa  $2^n$ , liefert dann im Ganzen  $2^{n-1} - 1$  dyadische Producte und zwar in unmittelbarem Zusammenhange mit der binomischen Entwicklung von  $2^{n-1}$  speciell  $n-1$  Zahlen erster Ordnung, ferner:

$$\binom{n-1}{2} + \binom{n-1}{3} = \binom{n}{3}$$

Zahlen zweiter Ordnung und allgemein:

$$\binom{n-1}{2k-2} + \binom{n-1}{2k-1} = \binom{n}{2k-1}$$

Zahlen  $k^{\text{ter}}$  Ordnung, so dass für gerade Werthe von  $n$  im Ganzen noch  $n$  Zahlen die höchste überhaupt vorkommende Ordnungszahl  $\frac{1}{2}n$  besitzen, während für ungerade Werthe von  $n$  noch  $\frac{1}{2}n(n-1)$  Zahlen die Ordnungszahl  $\frac{1}{2}(n-1)$  aufweisen und nur einer einzigen Zahl, nämlich:

$$2^{n-1} + 2^{n-3} + \dots + 2^2 + 1 = \frac{1}{3}(2^{n+1} - 1)$$

die höchste überhaupt vertretene Ordnungszahl  $\frac{1}{2}(n+1)$  zukommt.

Die charakteristischen Exponenten:  $c_1, c_2, c_3, \dots$  der verschiedenen ungeraden Zahlen vermitteln ihrerseits eigenthümliche Kriterien für deren Theilbarkeit durch 3, sobald man aus  $c_1, c_2, c_3, \dots$  nach dem Schema:

$$I = \frac{1}{c_1 + 1} \cdot \frac{1}{c_2 + 1} \cdot \frac{1}{c_3 + 1} \dots \text{in inf.}$$

Kettenbrüche bildet und dieselben in gemeine Brüche verwandelt, welche augenscheinlich insgesamt der Reihe der

aufeinanderfolgenden Näherungsbrüche von  $I: \frac{Z_1}{N_1}, \frac{Z_2}{N_2}, \dots, \frac{Z_p}{N_p} \dots$  angehören. Es besitzen nämlich die auf solche Art abgeleiteten gemeinen Brüche gerade oder ungerade Nenner:  $N_p$ , je nachdem die erzeugenden Zahlen durch 3 theilbar sind oder nicht, in welch' letzterem Falle  $N_{p-1}$  für Zahlen von der Form  $6l-1$  gerade, hingegen für jene von der Gestalt  $6l+1$  ungerade ist.<sup>1</sup>

Anderseits treten die den Nennern:  $N_{p-1}, N_p$  zugehörigen Zähler:  $Z_{p-1}, Z_p$  in eine bisher unbekannt gebliebene Beziehung zur jeweiligen Anzahl:  $A$  der dyadischen Ziffern der erzeugenden Zahl, welcher Zusammenhang sich zunächst für beliebige Zahlen zweiter Ordnung leicht mathematisch präcisiren lässt. — Indem wir hiebei gerade und ungerade Specialisirungen von  $c_1, c_2, c_3, A_2; Z_2, Z_3; N_2, N_3$  durch Zuordnung der Buchstaben:  $g$  und  $u$  von einander sondern, ergibt sich auf Grundlage der Gleichungen:

$$\begin{aligned} Z_2 &= c_2, & N_2 &= c_1 c_2 + 1; \\ Z_3 &= c_2 c_3 + 1, & N_3 &= c_1 c_2 c_3 + c_1 + c_3 \end{aligned}$$

das alle möglichen Fälle umfassende Schema:

$c_1$	$c_2$	$c_3$	$A_2$	$Z_2$	$Z_3$	$N_2$	$N_3$	$D_2$
$g$	$g$	$g$	$g$	$g$	$u$	$u$	$g$	$3l$
$u$	$g$	$u$	$u$	$g$	$u$	$u$	$u$	$6l+1$
$u$	$u$	$g$	$u$	$u$	$u$	$u$	$g$	$3l$
$u$	$u$	$u$	$g$	$u$	$g$	$u$	$u$	$6l+1$
$u$	$g$	$g$	$u$	$g$	$u$	$u$	$u$	$6l+1$
$u$	$g$	$u$	$g$	$g$	$u$	$u$	$g$	$3l$
$u$	$u$	$g$	$g$	$u$	$u$	$g$	$u$	$6l-1$
$u$	$u$	$u$	$u$	$u$	$g$	$g$	$u$	$6l-1$

Hieraus entspringen folgende Wahrscheinlichkeitsschlüsse:

(I) Für jede durch 3 theilbare Zahl bleibt der Zähler:  $Z_p$  des ihren dyadischen Exponenten coordinirten Bruches ungerade, während dessen letzter Näherungsbruch einen geraden oder ungeraden Zähler:  $Z_{p-1}$  besitzt, je nachdem die dyadische Stellenzahl:  $A$  gerade oder ungerade ist.

<sup>1</sup> Vergl. Simony a. a. O. S. 227—230.

(II) Für jede Zahl von der Form  $6l-1$  ist  $Z_p$  eine ungerade oder gerade Zahl, je nachdem  $A$  gerade oder ungerade ist, während  $Z_{p-1}$  ungerade bleibt.

(III) Für jede Zahl von der Form  $6l+1$  ist  $Z_p$  zugleich mit  $A$  gerade oder ungerade, während  $Z_{p-1}$  ungerade oder gerade wird, je nachdem  $A$  eine gerade oder ungerade Zahl vorstellt.

Da  $2^s-1$  stets durch 3 theilbar ist, mithin

$$2^n-1 = 2(2^{n-1}-1) + 1$$

ausnahmslos die Form  $6l+1$  besitzt, und dem zu  $D_1$  gehörigen Bruche;  $\frac{Z_1}{N_1} = \frac{1}{c_1}$  im Einklange mit den Sätzen (I) und (III) die beiden fictiven Gleichungen:  $Z_0 = 0$ ,  $N_0 = 1$  coordinirt werden können, gelten die Schlüsse (I), (II), (III) offenbar auch für alle Zahlen dritter und höherer Ordnungen, sobald unter Voraussetzung ihrer Richtigkeit für Zahlen  $r^{\text{ter}}$  Ordnung:  $D_r$  dieselben Schlüsse für Zahlen  $(r+1)^{\text{ter}}$  Ordnung:  $D_{r+1}$  resultiren. — Dass das Letztere in der That der Fall ist, lässt sich leicht zeigen, wenn wir hiebei die für alle Näherungsbrüche von  $I$  giltige Relation:

$$Z_{2r-1}N_{2r-2} - Z_{2r-2}N_{2r-1} = 1$$

berücksichtigen. Vermöge dieser Beziehung kommen nämlich für  $Z_{2r-2}$ ,  $Z_{2r-1}$ ;  $N_{2r-2}$ ,  $N_{2r-1}$  überhaupt nur sechs Zahlencombinationen:

$$\begin{array}{l} g, u, u, g; \quad u, u, u, g; \quad u, u, g, u; \\ u, g, g, u; \quad u, g, u, u; \quad g, u, u, u \end{array}$$

in Betracht, welche den Zahlencharakter von  $A_r$  und  $D_r$ , sowie jenen von  $Z_{2r}$ ,  $Z_{2r+1}$ ;  $N_{2r}$ ,  $N_{2r+1}$ ;  $A_{r+1}$  und  $D_{r+1}$  unter Verwerthung der bekannten Formeln:

$$Z_p = c_p Z_{p-1} + Z_{p-2}, \quad N_p = c_p N_{p-1} + N_{p-2}$$

für jede der vier möglichen Zahlencombinationen von  $c_{2r}$ ,  $c_{2r+1}$  eindeutig feststellen lassen. Die diesbezüglichen Ergebnisse gestatten die nachstehende Gruppierung, welche die allgemeine Übertragbarkeit der Schlüsse (I), (II), (III) von  $D_r$  auf  $D_{r+1}$  klar ersichtlich macht:<sup>1</sup>

<sup>1</sup> Wie in der Rubrik von  $D_r$  ist auch in jener von  $D_{r+1}$  jede der drei Zahlenformen:  $3l$ ,  $6l-1$  und  $6l+1$  achtmal vertreten.

$Z_{2r-2}$	$Z_{2r-1}$	$N_{2r-2}$	$N_{2r-1}$	$A_r$	$D_r$	$c_{2r}$	$c_{2r+1}$	$Z_{2r}$	$Z_{2r+1}$	$N_{2r}$	$N_{2r+1}$	$A_{r+1}$	$D_{r+1}$
$g$	$u$	$u$	$g$	$g$	$3l$	$g$	$g$	$g$	$u$	$u$	$g$	$g$	$3l$
$n$	$n$	$n$	$n$	$n$	$n$	$g$	$u$	$g$	$u$	$u$	$u$	$u$	$6l+1$
$n$	$n$	$n$	$n$	$n$	$n$	$u$	$u$	$u$	$g$	$u$	$g$	$g$	$6l+1$
$u$	$u$	$u$	$g$	$u$	$3l$	$g$	$g$	$u$	$u$	$u$	$g$	$u$	$3l$
$n$	$n$	$n$	$n$	$n$	$n$	$u$	$u$	$u$	$g$	$u$	$g$	$g$	$6l+1$
$n$	$n$	$n$	$n$	$n$	$n$	$u$	$u$	$g$	$u$	$u$	$u$	$u$	$6l+1$
$u$	$u$	$g$	$u$	$g$	$6l-1$	$g$	$g$	$u$	$u$	$g$	$u$	$g$	$6l-1$
$n$	$n$	$n$	$n$	$n$	$n$	$g$	$u$	$u$	$g$	$g$	$u$	$u$	$6l-1$
$n$	$n$	$n$	$n$	$n$	$n$	$u$	$u$	$g$	$u$	$u$	$g$	$g$	$6l+1$
$u$	$g$	$g$	$u$	$u$	$6l-1$	$g$	$u$	$u$	$g$	$g$	$u$	$u$	$3l$
$n$	$n$	$n$	$n$	$n$	$n$	$u$	$g$	$u$	$g$	$u$	$u$	$g$	$6l-1$
$n$	$n$	$n$	$n$	$n$	$n$	$u$	$g$	$u$	$g$	$u$	$u$	$g$	$6l+1$
$u$	$g$	$u$	$u$	$g$	$6l+1$	$g$	$g$	$u$	$g$	$u$	$u$	$g$	$6l+1$
$n$	$n$	$n$	$n$	$n$	$n$	$u$	$u$	$u$	$u$	$u$	$g$	$u$	$3l$
$n$	$n$	$n$	$n$	$n$	$n$	$u$	$u$	$u$	$g$	$g$	$u$	$u$	$6l-1$
$g$	$u$	$u$	$u$	$u$	$6l+1$	$g$	$g$	$g$	$u$	$u$	$u$	$g$	$6l+1$
$n$	$n$	$n$	$n$	$n$	$n$	$u$	$u$	$u$	$u$	$g$	$u$	$u$	$3l$
$n$	$n$	$n$	$n$	$n$	$n$	$u$	$u$	$u$	$u$	$g$	$u$	$u$	$6l-1$

Die hier entwickelten Eigenschaften von  $N_p$ ,  $N_{p-1}$ ,  $Z_p$ ,  $Z_{p-1}$  bilden zugleich einfache qualitative Kriterien für die Richtigkeit der Rechnung, falls man zu irgend welchen ungeraden Zahlen die coordinirten Brüche aufsucht, deren Nennern:  $N_p$ , dann auch umgekehrt die erzeugenden Zahlen durch die Zähler:  $Z_p$  zugeordnet werden können.

Eine derartige Zuordnung, welche sich nach ihrem Ursprunge naturgemäss als dyadische bezeichnen lässt, ist hier auf alle bis 100.000 vorkommenden Primzahlen ( $Z$ ) von den Formen  $6l-1$  und  $6l+1$  ausgedehnt worden, wobei auch gewisse topologisch-arithmetische Inductionsschlüsse in weiterem Umfange als bisher eine empirische Bestätigung gefunden haben.

Dieselben betreffen jene stabilen Knotengruppen, welche nach wiederholter Durchschneidung ringförmig geschlossener, von einer einzigen Randcurve begrenzter Streifen längs deren Mittellinien als integrirende Bestandtheile secundärer transformirter Knotenverschlingungen auftreten und sich hinsichtlich ihrer Anordnung — unter  $U$ ,  $V$  die Typensymbole zweier nur durch ihre Windungszahlen verschiedener einfacher Knoten, unter  $a_1, a_2 \dots a_{2n-1}$  lauter positive ganze, der Einheit mindestens gleiche Zahlen verstanden — stets durch Ausdrücke von der Form:

$$P = V^{a_1} U^{a_2} V^{a_3} \dots U^{a_{2n-2}} V^{a_{2n-1}}$$

charakterisiren lassen.<sup>1</sup> Falls nämlich schon der ursprünglich gegebene Streifen speciell mit einer solchen Knotenverbindung versehen war, wie sie in einem unverdrehten, biegsamen Ringe durch einen nach  $u$ -Umläufen und  $t$ -Drehungen um je  $360^\circ$  längs dessen Mittellinie in sich selbst zurücklaufenden Schnitt erzeugt werden kann, bleiben die Anzahl und Anordnung der die Gruppe  $P$  constituirenden Knoten bei allen möglichen Drehungszahlen unverändert und bestimmen durch Vermittlung des der Gruppe  $P$  zugeordneten dyadischen Productes:

$$D_n = 1^{a_1} 0^{a_2} 1^{a_3} \dots 0^{a_{2n-2}} 1^{a_{2n-1}}$$

erfahrungsgemäss eine Primzahl von der Form  $6l-1$  oder  $6l+1$ .

<sup>1</sup> Vergl. Simony a. a. O. S. 200—206, 213 und 225.

je nachdem die primäre Umlaufszahl:  $u$  ungerade oder gerade ist. Da anderseits die Verwandlung des aus der Exponentenreihe von  $D_n$  gebildeten Kettenbruches:

$$K = \frac{1}{a_1 + \frac{1}{a_2 + \frac{1}{\ddots + \frac{1}{a_{2n-1}}}}}$$

in einen gemeinen Bruch als Nenner des letzteren im ersten Falle direct die Zahl  $u$ , im zweiten  $u-1$  liefert, erscheinen jene beiden Primzahlen einer und derselben ungeraden Zahl ( $N$ ) zugleich dyadisch coordinirt. Ausserdem werden aber der letzteren durch die Reihe der relativen Primzahlen zu  $N$  als Zähler durchgängig noch weitere Primzahlen von den Formen  $6l-1$  und  $6l+1$  dyadisch zugeordnet, an welche Thatsache sich unmittelbar die Frage knüpft, ob jene mittelbar durch topologische Experimente gewonnenen Primzahlen vielleicht auch in arithmetischer Hinsicht spezifische Merkmale besitzen?

Die vorliegende Arbeit liefert für alle bisher bekannt gewordenen stabilen Knotengruppen — 705 an der Zahl — die empirische Bestätigung, dass die denselben entsprechenden Primzahlen die kleinsten sind, welche sich den betreffenden Specialisirungen von  $N$  dyadisch coordiniren lassen.

Hieraus entspringt die Folgerung, dass umgekehrt jede Primzahl von der zuletzt angegebenen Beschaffenheit eine stabile Knotengruppe charakterisirt, welche der Umlaufszahl  $N$  oder  $N+1$  angehört, je nachdem jener Primzahl die Form  $6l-1$  oder  $6l+1$  zukommt. Es erscheint insoferne angemessen, derartige Primzahlen in der Folge durchwegs als topologische zu bezeichnen und in eine selbstständige aufsteigende Reihe zu bringen, aus welcher dann die Anzahlen:  $n_1, n_2, \dots, n_k$  aller überhaupt vorkommenden drei-, vier-,  $\dots$  ( $k+2$ )-gliedrigen stabilen Knotengruppen  $P$  durch Abzählen der bei dyadischer Schreibweise drei-, vier-,  $\dots$  ( $k+2$ )-gliedrigen topologischen Primzahlen zu gewinnen sind.

Auf solche Art ergibt sich das vorläufig bis  $n_{14}$  reichende Gleichungssystem:

$n_1 = n_2 = n_3 = 2$ ,  $n_4 = n_5 = 6$ ,  $n_6 = 9$ ,  $n_7 = 14$ ,  $n_8 = 33$ ,  
 $n_9 = 37$ ,  $n_{10} = 64$ ,  $n_{11} = 112$ ,  $n_{12} = 145$ ,  $n_{13} = 250$ ,  $n_{14} = 421$ ,  
 welches bis incl.  $n_{13}$  auch nach topologischen Untersuchungen  
 der Wirklichkeit entspricht. Ebenso hat sich das bereits bei  
 der topologischen Feststellung aller fünfzehngliedrigen stabilen  
 Knotengruppen erhaltene Resultat, dass bis zur Umlaufszahl:  
 $u = 2^{10}$  höchstens siebzehngliedrige stabile Knotengruppen  
 auftreten, deren zugehörige Primzahlen nur für

$$\begin{aligned} u = 861, \quad P &= V^2 UVU^3 V^3 UVUV^3, \\ u = 951, \quad P &= V^2 U^3 VUVU^2 VU^3 V^2 \end{aligned}$$

gemäss den Gleichungen:

$$\begin{aligned} D_3 &= 1^2 0 10^2 1^5 0 101^3 = 108503 \quad (Z_9 = 332) \\ D_3 &= 1^2 0^3 1010^2 10^4 1^2 = 100931 \quad (Z_9 = 418) \end{aligned}$$

über 100.000 liegen, nunmehr durch directe Bestimmung der  
 den Primzahlen 16411 bis 99991 dyadisch coordinirten Zahlen  
 als richtig herausgestellt.<sup>1</sup>

Die Einbeziehung weiterer Primzahlen erschien um so  
 weniger nothwendig, als gemäss den einleitenden Bemerkungen  
 schon die Reihe der ungeraden Zahlen bis 1024 neun Zahlen  
 erster Ordnung, ferner je 120 Zahlen zweiter und vierter Ordnung,  
 252 Zahlen dritter und zehn Zahlen fünfter Ordnung, nämlich:

$$\begin{aligned} 341 &= 101010101, & 597 &= 10^2 1010101, & 661 &= 1010^2 10101, \\ 677 &= 101010^2 101, & 681 &= 10101010^2 1, & 683 &= 101010101^2, \\ 685 &= 1010101^2 01, & 693 &= 10101^2 0101, & 725 &= 101^2 010101, \\ & & 853 &= 1^2 01010101 \end{aligned}$$

umfasst, welch' letzteren sich nach den Resultaten der vor-  
 liegenden Arbeit noch:

<sup>1</sup> Anlässlich zweier am 20. und 23 September 1887 in der mathematischen  
 Section der 60. Versammlung deutscher Naturforscher und Ärzte in Wiesbaden  
 abgehaltener topologischer Vorträge hat Dr. Simony, wie aus seinen dies-  
 bezüglichlichen mir zur Einsicht überlassenen Rechnungen hervorgeht, die zu 861  
 und 951 gehörigen topologischen Primzahlen, sowie jene von 2047, nämlich:

$$\begin{aligned} D_6 &= 10^2 1^3 0 120^2 1010^2 1^2 = 161363 \quad (Z_{11} = 1421) \\ D_7 &= 1010^2 1010^4 10101^2 = 169003 \quad (Z_{13} = 1296) \end{aligned}$$

mittels der charakteristischen Exponenten aller dyadischen Coordinirten  
 von 861, 951 und 2047 direct arithmetisch controlirt, wonach meinerseits  
 weitere Proberechnungen überflüssig gewesen wären.

$1109 = 10^3 1010101$ ,  $1173 = 10^2 10^2 10101$ ,  $1189 = 10^2 1010^2 101$ ,  
 $1193 = 10^2 101010^2 1$ ,  $1205 = 10^2 101^2 0101$ ,  $1237 = 10^2 1^2 010101$ ,  
 $1317 = 1010^2 10^2 101$ ,  $1321 = 1010^2 1010^2 1$ ,  $1323 = 1010^2 10101^2$ ,  
 $1325 = 1010^2 101^2 01$ ,  $1333 = 1010^2 1^2 0101$ ,  $1357 = 101010^2 1^2 01$ ,  
 $1363 = 10101010^2 1^2$ ,  $1367 = 101010101^3$ ,  $1387 = 10101^2 0101^2$ ,  
 $1397 = 10101^3 0101$ ,  $1429 = 101^2 0^2 10101$ ,  $1493 = 101^3 010101$ ,

sowie die einzige dyadisch eilfzifferige Zahl sechster Ordnung:

$$\frac{1}{3}(2^{12} - 1) = 1365 = 10101010101$$

mit ausnahmslos unter 100.000 gelegenen topologischen Primzahlen anschliessen. Sollte mithin zwischen den dyadischen Exponenten ungerader Zahlen und jenen ihrer coordinirten topologischen Primzahlen irgend ein mathematisch präcisirbarer Zusammenhang bestehen, so dürften die betreffenden Formeln durch die hier mitgetheilten empirischen Resultate bereits ausreichend controlirt werden können.

Vermöge der vollen Übereinstimmung zweier umfangreicher Reihen specieller Ergebnisse, welche scheinbar völlig heterogenen Forschungszweigen, der Lehre von den Primzahlen und jener von den möglichen Verschlingungen ringförmig geschlossener, aus gegenseitig undurchdringlichen Elementen bestehenden Gebilde angehören, gewinnt consequent die topologische Gliederung der Primzahlen in zwei Hauptgruppen von den Formen  $6l-1$  und  $6l+1$  ein hervorragendes Interesse, welches auch eine selbstständige Zählung der Glieder beider Gruppen rechtfertigt.

Im Hinblick hierauf enthält die nachstehende Exponententabelle der von  $2^{14}$  bis 100.000 vorkommenden Primzahlen, welche behufs völliger Sicherung aller numerischer Angaben einerseits von dem Verfasser anderseits auf dessen Kosten von einem langjährigen Calculator des k. k. österr. Gradmessungsbureaus, Herrn J. Strobl, separat berechnet worden ist, die jeweiligen Anzahlen:  $z'$ ,  $z''$  beider Zahlenformen bis zur nebenstehenden Zahl  $Z$  in gesonderter Numerirung, sowie schliesslich der neben jedem Bruchnenner:  $N$  angegebene Nenner:  $\bar{N}$  des letzten Näherungsbruches eine directe Controle der Form von  $Z$  ermöglicht.



$z'$	$z''$	$Z$	Exponenten	$\bar{N}$	$N$	$z'$	$z''$	$Z$	Exponenten	$\bar{N}$	$N$
—	940	16411	09, 202	31	83	—	951	16551	0594002	75	191
—	941	16417	08040	49	59	—	952	16557	0593030	129	163
960	—	16421	0802000	68	107	974	—	16601	059300000	156	251
961	—	16427	0800002	48	125	975	—	16673	0502040	128	155
962	—	16433	08, 2, 30	66	85	976	—	16691	0502, 2, 2, 2	114	275
—	942	16447	08, 6	9	55	—	953	16693	0502, 20000	181	295
963	—	16451	0704, 2	44	97	—	954	16699	0502, 302	87	241
—	943	16453	0703000	79	123	977	—	16703	0502, 6	20	127
—	944	16477	0700300	77	137	—	955	16729	0500002, 20	205	291
964	—	16481	07, 2, 40	76	93	—	956	16741	05002, 2000	191	303
—	945	16487	07, 2, 2, 3	42	143	—	957	16747	050020002	125	329
966	—	16493	07, 20200	92	159	—	958	16759	0500303	59	223
—	946	16519	0604, 3	39	125	978	—	16763	0500402	72	203
967	—	16529	0602030	116	147	979	—	16787	05, 2, 202, 2	122	289
968	—	16547	060003, 2	84	191	980	—	16811	05, 2000002	134	351
—	947	16553	060000020	160	221	981	—	16823	05, 20203	70	261
—	948	16567	0600203	53	197	—	959	16829	05, 20400	108	197
—	949	16603	060, 20202	83	151	—	960	16843	05, 3, 2002	107	277
—	950	16633	06, 5, 20	79	115	986	—	16871	05, 4, 2, 3	56	193
970	—	16607	06, 205	22	125	—	961	16879	05, 404	31	149
971	—	16619	06, 30002	80	211	984	—	16883	05, 5, 2, 2	68	167
972	—	16631	06, 403	36	137	985	—	16889	05, 6, 20	80	117
—	951	16633	06, 5, 20	79	115	986	—	16901	0406000	88	135
973	—	16649	0504020	116	157	—	962	16903	0406, 3	41	129
—	952	16921	0404, 2, 20	157	221	—	963	16951	04002030	231	293
—	953	16927	0404, 5	29	151	—	964	16957	04002003	107	383
—	954	16931	040303, 2	110	249	—	965	16979	040002002	166	395
—	955	16937	040300020	214	295	—	966	16981	0402000000	269	435
—	956	16943	0403004	52	237	—	967	16987	040200202	143	389
—	957	16953	040204, 2	109	241	—	968	16993	0402, 2, 40	177	217
—	958	16959	0402002, 2	166	395	—	969	17011	0402, 3, 2, 2	131	319
—	959	16963	0402000000	269	435	—	970	17021	0402, 500	108	199
—	960	16967	040200202	143	389	—	971	17027	040005, 2	96	209
—	961	16973	0402, 2, 40	177	217	—	972	17039	040004000	175	271
—	962	16979	0402, 3, 2, 2	131	319	—	973	17041	040003020	220	299
—	963	17011	0402, 3, 2, 2	131	319	—	974	17047	040002030	231	293
—	964	17021	0402, 500	108	199	—	975	17053	040002003	107	383
—	965	17027	040005, 2	96	209	—	976	17077	040002, 300	197	349
—	966	17039	040004000	175	271	—	977	17093	04000020000	275	449
—	967	17041	040003020	220	299	—	978	17093	040002, 3000	218	341
—	968	17047	040002030	231	293	—	979	17099	040002, 2002	162	419
—	969	17053	040002003	107	383	—	980	17107	04002002, 2	173	413
—	970	17077	0400020000	275	449	—	981	17117	040020300	184	329
—	971	17093	040002, 3000	218	341	—	982	17133	04003, 3, 2	128	295
—	972	17099	040002, 2002	162	419	—	983	17137	04004, 30	161	211

$z'$	$z''$	$Z$	Exponenten	$\bar{N}$	$N$	$z'$	$z''$	$Z$	Exponenten	$\bar{N}$	$N$	$z'$	$z''$	$Z$	Exponenten	$\bar{N}$	$N$
998	—	17159	04, 2, 5, 3	60	191	1009	—	17393	04, 6, 30	98	129	—	1005	17623	3302, 20003	157	461
—	977	17167	04, 2, 4, 4	49	207	—	991	17401	04, 7, 20	77	113	1020	—	17627	3302, 20202	174	475
999	—	17183	04, 2, 3, 5	38	201	1010	—	17417	0306020	112	151	1021	—	17657	3302, 5, 20	164	239
1000	—	17189	04, 2, 202000	244	385	—	992	17419	0306020	73	185	—	1006	17659	3302, 502	89	253
—	978	17191	04, 2, 202, 3	103	347	—	993	17431	0305003	63	223	1022	—	17669	330005000	172	265
—	979	17203	04, 2, 2, 2, 2	157	379	—	994	17443	030403, 2	111	251	1023	—	17681	330003030	246	311
1001	—	17207	04, 2, 2, 203	92	341	—	995	17449	03040020	217	299	—	1007	17683	33000302, 2	181	427
—	980	17209	04, 2, 2, 3, 20	211	303	—	996	17467	0304, 302	101	279	—	1008	17707	33000200002	237	593
1002	—	17231	04, 2002, 4	70	307	1011	—	17471	0304, 6	24	149	—	1009	17713	330002, 2, 30	301	389
—	981	17239	04, 2000003	113	409	1012	—	17477	030303000	206	321	1024	—	17729	330000050	208	245
—	982	17257	04, 2020020	263	365	1013	—	17483	030302002	158	407	—	1010	17737	330000002020	365	499
1003	—	17291	04, 3, 3002	122	313	1014	—	17489	030300030	244	311	1025	—	17747	3300000002, 2	234	605
—	983	17293	04, 3, 3, 200	175	297	—	997	17491	03030002, 2	177	421	—	1011	17749	3300000000000	411	665
984	17299	04, 3, 202, 2	143	339	—	998	17497	0303003, 20	263	373	—	1012	17761	3300002, 40	283	323	
—	985	17317	04, 3002000	227	359	—	999	17509	0303, 2, 2000	253	401	1026	—	17783	330000303	106	401
1004	—	17321	04, 3000020	248	343	1015	—	17519	0303, 204	62	291	1027	—	17789	330000500	152	281
1005	—	17327	04, 30004	58	269	—	1000	17539	030205, 2	109	237	—	1013	17791	33000007	23	175
1006	—	17333	04, 3020000	216	353	—	1001	17551	030203, 4	71	303	1028	—	17807	330003, 3, 4	78	335
—	986	17341	04, 30400	121	221	—	1002	17569	030200040	241	293	—	1014	17827	330000003, 2	197	449
1007	—	17351	04, 4, 3, 3	68	225	1016	—	17573	0302002000	326	515	1029	—	17837	3300002000	316	545
—	987	17359	04, 4, 2, 4	47	209	1017	—	17579	03020000002	222	581	—	1015	17839	330000004	87	403
—	988	17377	04, 5, 4	109	135	—	1003	17581	0302000200	307	529	—	1016	17851	330000302	151	421
—	989	17393	04, 5, 2, 3	57	197	1018	—	17597	030200040	184	335	—	1017	17863	33003, 3, 3	105	347
1008	—	17397	04, 50002	88	233	—	1004	17599	0302006	33	217	—	1018	17881	33000302, 20	269	383
—	990	17399	04, 50200	119	207	1019	—	17609	0302, 2, 2020	306	419	1030	—	17891	33004, 3, 2	152	305

$z'$	$z''$	$Z$	Exponenten	$\bar{N}$	$N$	$z'$	$z''$	$Z$	Exponenten	$\bar{N}$	$N$
1031	—	17903	0300404	50	241	—	1031	18121	03, 202, 2020	319	437
1032	—	17909	03005000	168	277	—	1032	18127	03, 202, 2, 4	83	367
—	1019	17911	0300503	59	227	1044	—	18131	03, 202002, 2	214	511
1033	—	17921	03, 2, 80	76	85	—	1033	18133	03, 202000000	345	559
—	1020	17923	03, 2, 7, 2	67	143	1045	—	18143	03, 20205	48	275
—	1021	17929	03, 2, 5020	165	223	1046	—	18149	03, 203, 2000	266	423
1034	—	17939	03, 2, 402, 2	138	325	—	1034	18169	03, 205, 20	161	235
1035	—	17957	03, 2, 302000	262	413	—	1035	18181	03, 3, 5000	151	233
—	1022	17959	03, 2, 302, 3	111	373	1047	—	18191	03, 3, 4, 4	56	237
—	1023	17971	03, 2, 3, 2, 2, 2	173	417	—	1036	18199	03, 3, 3003	99	353
—	1024	17977	03, 2, 3, 3, 20	235	337	—	1037	18211	03, 3, 203, 2	159	361
1036	—	17981	03, 2, 3, 400	164	297	—	1038	18217	03, 3, 200020	305	421
—	1037	17987	03, 2, 204, 2	146	323	—	1039	18223	03, 3, 2004	73	335
1025	17989	03, 2, 203000	261	407	—	1040	18229	03, 3, 2, 20000	279	455	
—	1026	18013	03, 2, 200300	243	433	1048	—	18233	03, 3, 2, 3, 20	236	339
1038	—	18041	03, 2, 2, 4, 20	216	313	1049	—	18251	03, 3002002	184	475
—	1027	18043	03, 2, 2, 402	119	335	—	1041	18253	03, 3002, 200	261	445
1039	—	18047	03, 2, 2, 7	22	163	1050	—	18257	03, 3000030	278	355
—	1028	18049	03, 20060	145	167	1051	—	18269	03, 3000300	218	389
1040	—	18059	03, 2003002	180	461	1052	—	18287	03, 30204	64	303
—	1029	18061	03, 2003, 200	259	439	—	1042	18289	03, 303, 30	209	273
1041	—	18077	03, 2002, 300	250	443	—	1043	18301	03, 30500	115	213
1042	—	18089	03, 20000020	390	539	—	1044	18307	03, 4, 5, 2	89	195
—	1030	18097	03, 20002, 30	311	403	1053	—	18311	03, 4, 4, 3	72	233
1043	—	18119	03, 202, 3, 3	118	389	—	1045	18313	03, 4, 3020	199	271
—	1031	18329	03, 4, 2, 2, 20	224	317	1054	—	18341	03, 4002000	232	367
—	1032	18341	03, 4002000	198	257	1055	—	18353	03, 402, 30	21	143
—	1033	18367	03, 406	88	197	1056	—	18367	03, 406	21	143
—	1034	18371	03, 5, 4, 2	88	197	1057	—	18371	03, 5, 4, 2	88	197
—	1035	18397	03, 5, 2002	113	293	—	1047	18397	03, 5, 2002	113	293
—	1036	18401	03, 50300	121	217	—	1048	18397	03, 50300	121	217
—	1037	18401	03, 6, 40	104	129	—	1048	18401	03, 6, 40	104	129
—	1038	18413	03, 60200	112	195	—	1048	18413	03, 60200	112	195
—	1039	18427	03, 802	37	107	—	1049	18427	03, 802	37	107
—	1040	18433	020100	43	47	—	1050	18433	020100	43	47
—	1041	18439	0208, 3	35	109	—	1051	18439	0208, 3	35	109
—	1042	18443	0207002	66	167	—	1051	18439	0207002	66	167
—	1043	18443	020602, 2	89	209	—	1052	18451	020602, 2	89	209
—	1044	18451	0206, 2, 20	143	201	—	1053	18457	0206, 2, 20	143	201
—	1045	18461	0205, 2, 30	112	197	—	1053	18457	0205, 2, 30	112	197
—	1046	18481	0205, 2, 30	173	223	—	1054	18481	0205, 2, 30	173	223
—	1047	18493	0205, 400	119	215	—	1055	18493	0205, 400	119	215
—	1048	18503	020403, 3	88	287	—	1055	18493	020403, 3	88	287
—	1049	18517	0204000000	279	451	—	1056	18517	0204000000	279	451
—	1050	18521	02040002, 20	256	363	—	1056	18517	02040002, 20	256	363
—	1051	18539	0204000202	149	405	—	1057	18539	0204000202	149	405
—	1052	18553	0204, 20002	164	431	—	1057	18539	0204, 20002	164	431
—	1053	18541	0204, 20200	225	389	—	1058	18541	0204, 20200	225	389
—	1054	18553	0204, 4, 20	179	259	—	1058	18541	0204, 4, 20	179	259

[illegible]

$z'$	$z''$	$Z$	Exponenten	$\bar{N}$	$N$	$z'$	$z''$	$Z$	Exponenten	$\bar{N}$	$N$	$z'$	$z''$	$Z$	Exponenten	$\bar{N}$	$N$
1106	—	19427	02005, 3, 2	124 287	1117	—	19661	02, 2, 2, 2, 2, 200	338 577	1128	—	19913	02, 203, 2020	326	447		
—	1094	19429	02005, 2000	209 333	—	1108	19681	02, 2, 2, 3, 40	249 307	1129	—	19919	02, 203, 2, 4	84	373		
1107	—	19433	020050020	216 301	—	1109	19687	02, 2, 2, 3, 2, 3	133 457	—	1122	19927	02, 2030003	131	477		
—	1095	19441	02006, 30	145 191	1118	—	19697	02, 2, 2, 4, 30	242 317	1130	—	19937	02, 204, 40	198	245		
—	1096	19447	0200603	53 205	—	1110	19699	02, 2, 2, 4, 2, 2	167 409	1131	—	19949	02, 2040200	218	379		
1108	—	19457	02, 2, 90	66 73	1119	—	19709	02, 2, 2, 600	126 235	1132	—	19961	02, 206, 20	144	211		
1109	—	19463	02, 2, 7, 3	52 163	—	1111	19717	02, 2005000	207 319	—	1123	19963	02, 20602	77	221		
1110	—	19469	02, 2, 6, 200	142 239	1120	—	19727	02, 2004, 4	78 329	1133	—	19973	02, 3, 6000	136	209		
—	1097	19471	02, 2, 6, 4	45 187	1121	—	19739	02, 2003, 202	200 539	1134	—	19979	02, 3, 5002	116	295		
—	1098	19477	02, 2, 500000	211 339	1122	—	19751	02, 200202, 3	166 559	1135	—	19991	02, 3, 4003	96	341		
—	1099	19483	02, 2, 5, 202	121 325	—	1112	19753	02, 200200020	437 603	—	1124	19993	02, 3, 4, 2, 20	235	331		
—	1100	19489	02, 2, 400	183 221	—	1113	19759	02, 2002004	105 481	1136	—	19997	02, 3, 4, 300	182	321		
—	1101	19501	02, 2, 400200	245 421	1123	—	19763	02, 2002, 2, 2, 2	254 613	—	1125	20011	02, 3, 300002	195	509		
—	1102	19507	02, 2, 4, 2, 2	169 407	—	1114	19777	02, 2000050	247 291	1137	—	20021	02, 3, 3, 20000	294	479		
—	1103	19531	02, 2, 302002	203 523	1124	—	19793	02, 200000030	416 531	—	1126	20023	02, 3, 3, 203	109	403		
1111	—	19541	02, 2, 30000000	368 595	—	1115	19801	02, 2000002, 20	443 629	—	1127	20029	02, 3, 3, 400	175	317		
—	1104	19543	02, 2, 300003	141 509	—	1116	19813	02, 20002, 2000	409 649	—	1128	20047	02, 3, 202, 4	89	389		
1112	—	19553	02, 2, 3, 2, 40	244 299	—	1117	19819	02, 200020002	267 703	1138	—	20051	02, 3, 20002, 2	234	557		
1113	—	19559	02, 2, 3, 2, 3	134 457	1125	—	19841	02, 202, 60	172 199	1139	—	20063	02, 3, 2005	56	313		
1114	—	19571	02, 2, 3, 3, 2	182 443	—	1118	19843	02, 202, 5, 2	145 317	—	1129	20071	02, 3, 2, 2, 3	135	461		
1115	—	19577	02, 2, 3, 4, 20	230 333	1126	—	19853	02, 202, 3, 200	300 509	—	1130	20089	02, 3, 2, 4, 20	227	329		
1116	—	19583	02, 2, 3, 7	24 175	—	1119	19861	02, 202, 200000	401 647	—	1131	20101	02, 3004000	233	361		
—	1105	19597	02, 2, 203, 200	291 493	—	1120	19867	02, 202, 2, 202	219 593	—	1132	20107	02, 3003002	187	479		
—	1106	19603	02, 2, 20202, 2	243 575	1127	—	19889	02, 20202, 30	340 441	—	1133	20113	02, 3002030	305	387		
—	1107	19609	02, 2, 202, 2, 20	373 527	—	1121	19891	02, 20202, 2, 2	239 579	1140	—	20117	02, 300200000	364	587		

$z'$	$z''$	$Z$	Exponenten	$\bar{N}$	$N$	$z'$	$z''$	$Z$	Exponenten	$\bar{N}$	$N$	$z'$	$z''$	$Z$	Exponenten	$\bar{N}$	$N$
1141	—	20133	02, 3, 002, 202	200	541	—	1145	20359	02, 5, 4, 3	67	217	1166	—	20639	000402, 5	48	257
1142	—	20139	02, 3, 00004	272	331	1155	—	20309	02, 5, 2030	188	239	—	1159	20641	000400040	223	271
—	1134	20143	02, 3, 000004	95	439	—	1146	20389	02, 5, 002000	213	337	1167	—	20663	0004000203	110	409
1143	—	20147	02, 3, 0002, 2, 2	226	547	1156	—	20393	02, 5, 000020	232	321	1168	—	20681	0004, 2, 2020	290	397
—	1135	20149	02, 3, 00020000	357	583	1157	—	20399	02, 5, 0004	54	251	1169	—	20693	0004, 2, 000000	318	515
—	1136	20161	02, 3, 02, 50	193	229	—	1147	20407	02, 5, 0203	73	273	—	1160	20707	0004, 3, 3, 2	149	343
—	1137	20173	02, 3, 02, 2, 200	291	497	1158	—	20411	02, 5, 0302	92	257	1170	—	20717	0004, 3, 0200	222	385
1144	—	20177	02, 3, 020030	304	389	—	1148	20431	02, 6, 2, 4	41	183	—	1161	20719	0004, 3, 004	59	281
1145	—	20183	02, 3, 020003	134	487	1159	—	20441	02, 602, 20	148	211	—	1162	20731	0004, 502	87	247
1146	—	20201	02, 3, 030020	284	395	—	1149	20443	02, 60202	85	233	—	1163	20743	000305, 3	81	257
1147	—	20219	02, 3, 0502	88	251	1160	—	20477	02, 1000	34	65	1171	—	20747	000304002	148	377
1148	—	20231	02, 4, 5, 3	68	217	—	1150	20479	02, 12	3	37	—	1164	20749	000304, 200	215	363
—	1138	20233	02, 4, 4020	191	259	1161	—	20483	00010, 2	32	67	1172	—	20753	00030300	254	321
1149	—	20249	02, 4, 3, 2, 20	236	333	1162	—	20507	0007, 302	72	193	1173	—	20759	000303003	120	427
1150	—	20261	02, 4, 202000	268	423	—	1151	20509	0007, 300	95	167	1174	—	20771	00030203, 2	198	449
—	1139	20269	02, 4, 200200	255	439	—	1152	20521	000600020	175	241	—	1165	20773	00030202000	343	541
—	1140	20287	02, 4, 2, 6	29	187	—	1153	20533	0006, 20000	169	275	1175	—	20789	000302, 20000	354	577
1151	—	20297	02, 4, 002020	280	383	1163	—	20543	0006, 6	20	123	1176	—	20807	00030003, 3	142	465
—	1141	20323	02, 402, 3, 2	151	347	1164	—	20549	000503000	174	271	—	1166	20809	00030002020	387	529
1152	—	20327	02, 402, 2, 3	106	363	—	1154	20551	000503, 3	77	251	1177	—	20849	0003003, 30	292	381
1153	—	20333	02, 4, 020200	228	395	—	1155	20563	00050002, 2	151	359	—	1167	20857	0003004, 20	253	367
—	1142	20341	02, 4, 030000	215	353	—	1156	20593	0005, 3, 30	179	233	1178	—	20873	0003, 2, 3020	308	419
—	1143	20347	02, 4, 0402	93	263	—	1157	20599	0005, 303	71	267	1179	—	20879	0003, 2, 3, 4	86	369
—	1144	20353	02, 5, 60	99	115	—	1158	20611	000405, 2	99	215	—	1168	20887	0003, 2, 2003	147	527
1154	—	20357	02, 5, 4000	150	233	1165	—	20627	00040202, 2	178	421	1180	—	20897	0003, 20040	280	341

$z'$	$z''$	$Z$	Exponenten	$\bar{N}$	$N$	$z'$	$z''$	$Z$	Exponenten	$\bar{N}$	$N$	$z'$	$z''$	$Z$	Exponenten	$\bar{N}$	$N$
—	1169	20899	0003, 2003, 2	219	499	1193	—	21143	00020000003	188	673	—	1194	21391	0002, 3, 3, 4	89	383
1181	—	20903	0003, 2002, 3	158	535	1194	—	21149	00020002, 300	346	613	—	1195	21397	0002, 3, 200000	391	631
1182	—	20921	0003, 203, 20	302	435	—	1182	21157	0002000000000	493	779	1206	—	21401	0002, 3, 2, 2, 20	364	515
—	1170	20929	0003, 3, 50	191	227	—	1183	21163	0002000000000	335	877	1207	—	21407	0002, 3, 2, 5	62	337
1183	—	20939	0003, 3, 2002	202	523	—	1184	21169	0002000002, 30	433	561	1208	—	21419	0002, 30000002	256	671
—	1171	20947	0003, 3002, 2	213	509	1195	—	21179	0002000000302	226	629	—	1196	21433	0002, 303, 20	299	431
—	1172	20959	0003, 305	47	271	—	1185	21187	0002002, 4, 2	215	479	1209	—	21467	0002, 400202	164	449
1184	—	20963	0003, 4, 3, 2	152	351	1196	—	21191	0002002, 3, 3	166	547	—	1197	21481	0002, 50020	239	333
1185	—	20981	0003, 50000	196	323	—	1186	21193	0002002, 2020	449	615	—	1198	21487	0002, 504	51	247
—	1173	20983	0003, 503	69	265	—	1187	21211	00020020202	253	691	1210	—	21491	0002, 6, 2, 2	110	271
—	1174	21001	000205020	211	285	1197	—	21221	0002003, 2000	378	601	—	1199	21493	0002, 600000	169	279
1186	—	21011	00020402, 2	178	419	1198	—	21227	00020030002	242	639	—	1200	21499	0002, 702	67	193
—	1175	21013	00020400000	293	471	—	1188	21247	0002008	19	163	1211	—	21503	0002, 10	8	83
1187	—	21017	000204, 2, 20	282	397	1199	—	21269	0002, 2, 3000000	382	615	—	1201	21517	000006, 200	167	281
—	1176	21019	000204, 202	167	449	—	1189	21277	0002, 2, 3, 300	279	493	1212	—	21521	000005030	204	257
1188	—	21023	000204, 5	52	271	—	1190	21283	0002, 2, 203, 2	241	547	—	1202	21523	00000502, 2	151	355
—	1177	21031	00020302, 3	145	487	—	1191	21313	0002, 20050	257	393	—	1203	21529	000005, 2, 20	241	339
1189	—	21059	00020204, 2	194	429	1200	—	21317	0002, 2003000	376	587	1213	—	21557	000004, 20000	320	521
1178	21061	00020203000	347	541	—	1192	21319	0002, 2003, 3	165	541	—	1204	21559	000004, 203	119	439	
—	1179	21067	00020202002	265	683	1201	—	21323	0002, 2002002	284	733	1214	—	21563	000004, 302	156	431
1190	—	21089	000202, 2, 40	314	385	1202	—	21341	0002, 2003000	338	603	1215	—	21569	000003050	214	251
1191	—	21101	000202, 20200	374	647	1203	—	21347	0002, 202, 3, 2	246	565	—	1205	21577	00000302020	383	523
1192	—	21107	000202, 3, 2, 20	232	565	1204	—	21377	0002, 3, 60	170	197	1216	—	21587	0000030002, 2	272	647
1180	21121	000200060	199	229	—	1193	21379	0002, 3, 5, 2	143	313	—	1206	21589	0000030000000	441	713	
—	1181	21139	00020000202, 2	297	703	1205	—	21383	0002, 3, 4, 3	116	375	1217	—	21599	0000030005	66	367

[illegible]



$z'$	$z''$	$Z$	Exponenten	$\bar{N}$	$N$	$z'$	$z''$	$Z$	Exponenten	$\bar{N}$	$N$	$z'$	$z''$	$Z$	Exponenten	$\bar{N}$	$N$
1255	—	22343	0003003, 3	146	479	1268	—	22619	002, 400202	174	473	1283	—	22853	002, 20003000	380	593
1256	—	22349	0003002, 200	356	607	—	1257	22621	002, 400300	223	397	1284	—	22859	002, 20002002	288	743
1257	—	22367	0003005	64	361	1269	—	22637	002, 4, 20200	262	453	—	1267	22861	002, 20002, 200	409	697
—	1245	22369	000302, 40	279	343	—	1258	22639	002, 4, 204	71	333	1285	—	22871	002, 20000003	196	709
—	1246	22381	0003020200	325	563	1270	—	22643	002, 4, 3, 2	164	399	1286	—	22877	002, 20000300	346	617
1258	—	22391	00030303	110	417	—	1259	22651	002, 4, 4, 2	115	323	1287	—	22901	002, 20030000	370	607
1259	—	22397	00030300	156	289	—	1260	22669	002, 303, 200	271	459	1288	—	22907	002, 200402	162	457
1260	—	22409	0004, 3020	268	365	1271	—	22679	002, 302003	144	515	—	1268	22921	002, 2, 2, 3020	355	483
1261	—	22433	00040040	232	283	1272	—	22691	002, 30003, 2	222	505	1289	—	22937	002, 2, 2, 2, 20	408	577
—	1247	22441	0004000020	339	469	1273	—	22697	002, 30000020	422	583	1290	—	22943	002, 2, 2, 2, 5	70	379
—	1248	22447	00040004	79	367	—	1261	22699	002, 30000002	261	683	1291	—	22961	002, 2, 202, 30	374	485
—	1249	22453	0004020000	293	479	1274	—	22709	002, 30020000	378	617	—	1269	22963	002, 2, 202, 2, 2	263	637
1262	—	22469	0005, 3000	206	323	—	1262	22717	002, 300400	217	395	1292	—	22973	002, 2, 20400	234	427
1263	—	22481	00050030	216	277	1275	—	22721	002, 3, 2, 50	212	251	—	1270	22993	002, 2, 30030	335	429
—	1250	22483	0005002, 2	155	371	1276	—	22727	002, 3, 2, 3, 3	134	441	1293	—	23003	002, 2, 30202	200	547
—	1251	22501	0006, 2000	175	279	1277	—	22739	002, 3, 2002, 2	246	587	—	1271	23011	002, 2, 4, 3, 2	171	395
1264	—	22511	000604	38	185	—	1263	22741	002, 3, 20000000	397	643	—	1272	23017	002, 2, 40020	301	419
—	1252	22531	002, 9, 2	47	99	1278	—	22751	002, 3, 205	56	319	1294	—	23021	002, 2, 40200	248	431
1265	—	22541	002, 7, 200	116	195	1279	—	22769	002, 3, 4, 30	236	309	1295	—	23027	002, 2, 5, 2	142	349
—	1253	22543	002, 7, 4	37	153	—	1264	22777	002, 3, 5, 20	197	287	—	1273	23029	002, 2, 50000	219	361
—	1254	22549	002, 600000	175	281	—	1265	22783	002, 3, 8	17	141	1296	—	23039	002, 2, 9	12	113
—	1255	22567	002, 502, 3	91	305	1280	—	22787	002, 206, 2	114	245	—	1274	23041	0020080	103	115
1266	—	22571	002, 500002	150	391	—	1266	22807	002, 203003	143	509	—	1275	23053	002005, 200	213	359
—	1256	22573	002, 500200	209	359	1281	—	22811	002, 203, 202	206	555	1297	—	23057	002004030	256	323
1267	—	22613	002, 40000000	326	527	1282	—	22817	002, 202040	298	361	—	1276	23059	00200402, 2	189	445

$z'$	$z''$	$Z$	Exponenten	$\bar{N}$	$N$	$z'$	$z''$	$Z$	Exponenten	$\bar{N}$	$N$	$z'$	$z''$	$Z$	Exponenten	$\bar{N}$	$N$
1298	—	23063	0020000003	122 433	1310	—	23327	00202, 3, 5	64 339	1324	—	23603	003, 4, 2, 2, 2	164 395			
—	1277	23071	002004, 5	55 237	1311	—	23333	00202, 202000	410 647	1325	—	23609	003, 4, 3, 20	224 321			
1299	—	23081	0020000000	404 537	1312	—	23339	00202, 200000	282 737	—	1301	23023	003, 303, 3	113 369			
1300	—	23087	002003004	98 447	1313	—	23357	00202, 2, 400	244 443	1326	—	23627	003, 302002	196 505			
1301	—	23099	002003, 302	184 599	1314	—	23309	0020200020	438 599	—	1302	23029	003, 302, 200	279 475			
1302	—	23117	00200002, 200	394 671	—	1290	23371	0020200002	277 715	1327	—	23633	003, 300030	302 385			
—	1278	23131	0020000020	265 721	1315	—	23399	0020202, 2, 3	168 575	1328	—	23663	003, 3, 204	76 357			
—	1279	23143	002002, 2, 2, 3	179 611	1316	—	23417	0020204, 20	272 395	1329	—	23669	003, 3, 30000	274 449			
1303	—	23159	002002, 303	136 513	—	1291	23431	00203, 4, 3	111 359	—	1303	23671	003, 3, 303	99 373			
—	1280	23167	002002, 7	31 229	1317	—	23447	00203, 2003	144 517	—	1304	23677	003, 3, 500	145 267			
—	1281	23173	002000004000	317 491	1318	—	23459	00203003, 2	210 479	1330	—	23687	003, 204, 3	108 347			
1304	—	23189	0020000020000	498 803	—	1292	23473	0020302, 30	309 401	—	1305	23689	003, 203020	301 409			
—	1282	23197	00200002, 300	355 629	—	1293	23497	00204, 2020	285 391	—	1306	23719	003, 20002, 3	163 551			
1305	—	23201	00200000004	374 455	—	1294	23509	0020400000	299 485	1331	—	23741	003, 200400	218 397			
—	1283	23203	0020000003, 2	293 667	1319	—	23531	002050002	134 355	—	1307	23743	003, 2006	39 257			
—	1284	23209	0020000000000	555 767	1320	—	23537	00206, 30	148 195	1332	—	23747	003, 2, 2, 4, 2	172 383			
1285	23227	00200000302	231 643	—	1295	23539	00206, 2, 2	101 249	1333	—	23753	003, 2, 2, 2020	360 493				
—	1286	23251	0020000002, 2	307 733	1321	—	23549	0020800	68 129	—	1308	23761	003, 2, 20030	337 431			
1287	23269	00200003, 2000	383 609	—	1296	23557	003, 7000	109 167	1337	—	1309	23767	003, 2, 20003	149 541			
1306	—	23279	0020000304	88 421	1322	—	23561	003, 6020	146 197	—	1310	23773	003, 2, 20300	259 463			
1307	—	23291	0020000502	126 359	—	1297	23563	003, 6002	95 241	1334	—	23789	003, 2, 30200	268 465			
—	1288	23293	0020000000	145 271	1323	—	23567	003, 6, 4	44 183	1335	—	23801	003, 2, 5, 20	190 277			
1308	—	23297	00202, 70	140 159	—	1298	23581	003, 5, 300	155 273	1336	—	23813	003005000	194 299			
—	1289	23311	00202, 4, 4	83 331	1299	23593	003, 400020	275 379	1337	—	1311	23819	003004002	162 413			
1309	—	23321	00202, 3, 2, 20	358 595	—	1300	23599	003, 4004	67 305	—	—	23827	00300302, 2	203 479			

$z'$	$z''$	Z	Exponenten	$\bar{N}$	N	$z'$	$z''$	Z	Exponenten	$\bar{N}$	N
1338	—	23831	003003003	130 463	149	1359	—	24317	004600	86	161
—	1312	23833	003003, 2, 20	317 447	56 177	1360	—	24329	005, 4020	160	217
—	1313	23857	003002, 2, 30	335 433	150 253	—	1341	24337	005, 3030	173	219
—	1314	23869	003002, 400	221 401	134	1361	—	24359	005, 202, 3	94	317
1339	—	23873	00300050	230 271	133 331	1362	—	24371	005, 2, 2, 2, 2	142	343
1340	—	23879	00300003, 3	148 485	181 219	—	1342	24373	005, 2, 20000	225	367
—	1315	23887	00300002, 4	107 469	105 353	—	1343	24379	005, 2, 302	107	297
—	1316	23893	00300000000000	453 733	172 449	—	1344	24391	005003, 3	85	279
—	1317	23899	0030000202	239 651	239 411	1363	—	24407	005000003	98	355
1341	—	23909	0030002, 2000	380 603	230 297	1364	—	24413	005000300	172	307
—	1318	23911	0030002, 2, 3	157 537	221 317	1365	—	24419	00502, 3, 2	124	285
—	1319	23917	00300020200	339 587	243 379	—	1345	24421	00502, 2000	211	335
—	1320	23929	0030004, 20	257 373	202 399	—	1346	24439	0050303	63	239
1342	—	23957	00302, 200000	370 597	137 459	1366	—	24443	0050402	76	215
—	1321	23971	00302003, 2	211 481	305 423	—	1347	24469	006, 200000	179	289
—	1322	23977	003020000020	397 549	138 385	1367	—	24473	006, 2, 2, 20	166	235
1343	—	23981	003020002000	338 583	247 405	—	1348	24481	0060040	127	155
1344	—	23993	0030203, 20	288 415	202 313	—	1349	24499	00602, 2, 2	101	245
—	1323	24001	00303, 50	179 213	162 415	1368	—	24509	0060400	88	161
—	1324	24007	00303, 3, 3	111 367	51 275	—	1350	24517	007, 3000	109	171
—	1325	24019	00303002, 2	197 471	317 501	1369	—	24527	007, 2, 4	32	143
1345	—	24023	003030003	120 437	82 379	1370	—	24533	007000000	130	211
1346	—	24029	003030300	206 369	113 431	—	1351	24547	008, 3, 2	53	123
—	1326	24043	003040002	147 389	144 401	1371	—	24551	008, 2, 3	36	125
—	1327	24049	00305, 30	165 217	272 387	—	1352	24571	001002	23	67

$z'$	$z''$	Z	Exponenten	$\bar{N}$	N	$z'$	$z''$	Z	Exponenten	$\bar{N}$	N	$z'$	$z''$	Z	Exponenten	$\bar{N}$	N
1372	—	24593	2, 8030	74	93	—	1366	24889	2, 402, 3, 20	239	343	—	1378	25153	2, 302050	195	229
1373	—	24611	2, 703, 2	66	149	—	1367	24907	2, 40002002	195	503	1397	—	25163	2, 30202002	220	567
1374	—	24623	2, 7004	32	145	1384	—	24917	2, 4000000000	348	563	1398	—	25169	2, 30200030	338	431
—	1353	24631	2, 7, 203	47	173	—	1368	24919	2, 4000000003	133	481	—	1379	25171	2, 30200002, 2	245	583
1375	—	24659	2, 60002, 2	114	271	1385	—	24933	2, 40000202	184	501	—	1380	25183	2, 3020005	59	329
1376	—	24671	2, 6005	28	155	—	1369	24943	2, 400204	71	335	—	1381	25189	2, 302, 2, 2000	345	547
1377	—	24677	2, 6, 2, 2000	166	263	1386	—	24953	2, 4004, 20	202	293	—	1382	25219	2, 30005, 2	141	307
1378	—	24683	2, 6, 20002	110	289	—	1370	24967	2, 4, 2, 4, 3	89	287	1399	—	25229	2, 30003, 200	298	505
—	1354	24691	2, 6, 3, 2, 2	95	231	1387	—	24971	2, 4, 2, 3002	158	405	—	1383	25237	2, 3000200000	405	653
—	1355	24697	2, 6, 4, 20	121	175	1388	—	24977	2, 4, 2, 2030	256	325	—	1384	25243	2, 30002, 202	223	603
—	1356	24709	2, 504000	139	215	—	1371	24979	2, 4, 2, 202, 2	187	443	1400	—	25247	2, 30002, 5	66	355
—	1357	24733	2, 502, 300	161	285	1389	—	24989	2, 4, 2, 2, 300	216	383	1401	—	25253	2, 3000002000	412	651
1379	—	24749	2, 5000200	220	379	1390	—	25013	2, 4, 202000	292	477	—	1385	25261	2, 3000002000	387	667
—	1358	24763	2, 500302	109	303	1391	—	25031	2, 4, 3, 3, 3	96	317	1402	—	25301	2, 3002000000	408	661
1380	—	24767	2, 5006	24	157	—	1372	25033	2, 4, 3, 2020	259	355	—	1386	25303	2, 30020003	155	563
—	1359	24781	2, 5, 2, 2, 200	201	343	1392	—	25037	2, 4, 3, 2, 200	230	393	1403	—	25307	2, 30020202	212	579
—	1360	24793	2, 5, 202, 20	223	317	—	1373	25057	2, 4, 4, 40	161	199	—	1387	25309	2, 30020300	269	481
—	1361	24799	2, 5, 205	35	199	1393	—	25073	2, 4, 5, 30	150	197	—	1388	25321	2, 30030020	333	463
1381	—	24809	2, 5, 30020	208	280	—	1374	25087	2, 4, 9	9	83	—	1389	25339	2, 300502	105	299
1382	—	24821	2, 5, 40000	160	263	1394	—	25097	2, 305020	174	235	1404	—	25343	2, 3008	16	137
—	1362	24841	2, 40020	181	245	—	1375	25111	2, 304003	95	337	1405	—	25349	2, 3, 2, 5000	190	293
—	1363	24847	2, 404, 4	53	223	—	1376	25117	2, 304, 300	181	319	—	1390	25357	2, 3, 2, 4, 200	229	387
1383	—	24851	2, 40302, 2	148	349	1395	—	25121	2, 303040	206	449	1406	—	25367	2, 3, 2, 3003	126	449
—	1364	24859	2, 403, 202	137	369	1396	—	25127	2, 30302, 3	120	403	1407	—	25373	2, 3, 2, 3, 300	236	417
—	1365	24877	2, 40200200	261	449	—	1377	25147	2, 303, 302	145	401	1408	—	25391	2, 3, 2, 2004	94	431



$z'$	$z''$	$Z$	Exponenten	$\bar{N}$	$N$	$z'$	$z''$	$Z$	Exponenten	$N$	$N$	$z'$	$z''$	$Z$	Exponenten	$\bar{N}$	$N$
1443	—	26171	2, 2, 2, 3, 302	176 487	151 509	—	1441	26407	2, 2, 3, 202, 3	151 509	1473	—	26687	2005, 6	28 173	28 173	
1444	—	26177	2, 2, 2, 2050	234 275	334 419	1459	—	26417	2, 2, 3, 2, 2, 30	334 419	1474	—	26693	200403000	242 377	242 377	
1445	—	26183	2, 2, 2, 203, 3	152 497	139 457	1460	—	26423	2, 2, 3, 2, 203	139 457	1475	—	26699	200402002	186 479	186 479	
1446	—	26189	2, 2, 2, 202, 200	374 637	39 251	—	1442	26431	2, 2, 3, 2, 6	39 251	—	1452	26701	200402, 200	265 451	265 451	
—	1432	26203	2, 2, 2, 200202	251 683	317 495	—	1443	26437	2, 2, 3003000	317 495	1476	—	26711	200400003	130 469	130 469	
—	1433	26209	2, 2, 2, 2, 2, 40	309 379	361 481	—	1444	26449	2, 2, 3000030	361 481	—	1453	26713	2004002, 20	311 441	311 441	
—	1434	26227	2, 2, 2, 3, 2, 2	227 553	232 605	1461	—	26459	2, 2, 3000202	232 605	1477	—	26717	2004000300	232 413	232 413	
1447	—	26237	2, 2, 2, 2, 500	186 343	83 393	—	1445	26479	2, 2, 30204	83 393	1478	—	26723	2004, 2, 3, 2	176 403	176 403	
1448	—	26249	2, 2, 2003020	370 503	232 337	1462	—	26489	2, 2, 304, 20	232 337	1479	—	26729	2004, 20020	324 449	324 449	
—	1435	26251	2, 2, 2003002	237 607	137 159	—	1446	26497	2, 2, 4, 60	137 159	—	1454	26731	2004, 20002	199 523	199 523	
1449	—	26261	2, 2, 2002000000	462 745	208 323	1463	—	26501	2, 2, 4, 4000	208 323	—	1455	26737	2004, 3, 30	245 319	245 319	
—	1436	26263	2, 2, 2002003	179 641	262 333	1464	—	26513	2, 2, 4, 2030	262 333	1480	—	26759	200304, 3	110 353	110 353	
1450	—	26267	2, 2, 2002, 202	254 687	201 527	—	1447	26539	2, 2, 4000002	201 527	—	26777	200302, 2, 20	366 517	366 517	366 517	
—	1437	26293	2, 2, 2002000000	455 743	157 287	—	1448	26557	2, 2, 40400	157 287	1482	—	26783	200302, 5	64 343	64 343	
1451	—	26297	2, 2, 20003, 20	380 547	140 167	1465	—	26561	2, 2, 5, 50	140 167	1483	—	26801	2003002, 30	356 461	356 461	
1452	—	26309	2, 2, 202, 3000	356 557	204 349	1466	—	26573	2, 2, 5, 2, 200	204 349	1484	—	26813	200300400	228 415	228 415	
—	1438	26317	2, 2, 202, 2, 200	373 637	32 187	1467	—	26591	2, 2, 505	32 187	—	1456	26821	2003, 2, 3000	323 505	323 505	
1453	—	26321	2, 2, 2020030	390 499	170 271	1468	—	26597	2, 2, 6, 2000	170 271	—	1457	26833	2003, 20030	359 459	359 459	
1454	—	26339	2, 2, 203, 3, 2	206 475	48 101	1469	—	26627	2009, 2	48 101	—	1458	26839	2003, 20003	159 577	159 577	
—	1439	26347	2, 2, 2030002	223 589	124 167	1470	—	26633	2007020	124 167	1485	—	26849	2003, 3, 40	254 313	254 313	
1455	—	26357	2, 2, 2040000	274 451	147 185	—	1449	26641	2006030	147 185	1486	—	26861	2003, 30200	290 503	290 503	
—	1440	26371	2, 2, 3, 6, 2	107 231	71 251	—	1450	26647	2006003	71 251	—	1459	26863	2003, 304	77 367	77 367	
1456	—	26387	2, 2, 3, 302, 2	202 477	216 371	1471	—	26669	200500200	216 371	1487	—	26879	2003, 8	18 149	18 149	
1457	—	26393	2, 2, 3, 3, 2, 20	314 443	206 285	1472	—	26681	2005, 3, 20	206 285	—	1460	26881	2002070	139 157	139 157	
1458	—	26399	2, 2, 3, 3, 5	56 297	117 323	—	1451	26683	2005, 302	117 323	1488	—	26891	200204002	188 479	188 479	

$z'$	$z''$	$Z$	Exponenten	$\bar{N}$	$N$	$z'$	$z''$	$Z$	Exponenten	$\bar{N}$	$N$	$z'$	$z''$	$Z$	Exponenten	$\bar{N}$	$N$
—	1461	26903	2002004, 200	273	461	1501	—	27143	200006, 3	86	271	—	1487	27457	200020050	279	329
1489	—	26903	200203003	152	541	1502	—	27179	20000300002	274	715	1513	—	27479	20002000003	208	753
1490	—	26921	20020300000	482	665	1503	—	27191	200003, 203	154	569	—	1488	27481	2000200002, 20	495	703
1491	—	26927	200202004	116	531	1504	—	27197	200003, 400	248	449	—	1489	27487	2000200005	79	445
—	1462	26947	200200004, 2	227	503	—	1474	27211	20002020002	303	781	1514	—	27509	20002030000	382	627
1492	—	26951	200200003, 3	178	583	1505	—	27239	200002, 2, 2, 3	196	669	1515	—	27527	20003, 4, 3	124	401
—	1463	26953	20020000200	485	663	—	1475	27241	200002, 20020	507	703	—	1490	27529	20003, 3020	343	467
—	1464	26959	200200002, 4	129	565	—	1476	27253	200002, 30000	413	677	1516	—	27539	20003, 202, 2	256	607
1493	—	26981	200200002, 2000	462	733	—	1477	27259	200002, 402	183	515	—	1491	27541	20003, 200000	417	673
1494	—	26987	2002000020002	302	795	—	1478	27271	20000004, 3	157	505	1517	—	27551	20003, 2, 5	66	359
1495	—	26993	20020003, 30	364	475	—	1479	27277	20000003, 200	403	683	1518	—	27581	200030400	214	391
1496	—	27011	2002, 2, 5, 2	168	367	1506	—	27281	20000002030	458	581	—	1492	27583	2000306	37	251
1497	—	27017	2002, 2, 3020	380	517	—	1480	27283	20000000202, 2	335	793	1519	—	27611	200040202	172	471
—	1465	27031	2002, 2, 2003	181	649	1507	—	27299	2000000003, 2	322	733	1520	—	27617	20005, 40	188	233
—	1466	27043	2002, 2003, 2	269	613	1508	—	27329	20000002, 50	296	351	—	1493	27631	2000504	53	257
1498	—	27059	2002, 202, 2, 2	282	683	—	1481	27337	20000002, 2020	503	689	1521	—	27647	200010	8	85
—	1467	27061	2002, 2020000	445	727	—	1482	27361	20000003, 40	325	401	1522	—	27653	202, 7000	126	193
—	1468	27067	2002, 20302	207	577	—	1483	27367	20000003, 2, 3	173	595	—	1494	27673	202, 5, 2, 20	231	325
—	1469	27073	2002, 3, 50	233	277	—	1484	27397	20002, 5000	247	381	1523	—	27689	202, 400020	320	441
1499	—	27077	2002, 3, 3000	334	523	1509	—	27407	20002, 4, 4	92	389	—	1495	27691	202, 400002	199	519
—	1470	27091	2002, 3002, 2	259	619	—	1485	27409	20002, 3030	347	439	—	1496	27697	202, 4, 2, 30	269	347
—	1471	27103	2002, 305	57	329	—	1486	27427	20002, 203, 2	263	597	1524	—	27701	202, 4, 20000	304	495
1500	—	27107	2002, 4, 3, 2	184	425	1510	—	27431	20002, 202, 3	192	647	—	1497	27733	202, 3000000	415	671
—	1472	27109	2002, 4, 2000	311	495	1511	—	27437	20002, 200200	434	747	1525	—	27737	202, 3002, 20	380	539
—	1473	27127	2002, 503	83	319	1512	—	27449	20002, 2, 3, 20	392	569	—	1498	27739	202, 300202	221	601

$z'$	$z''$	Z	Exponenten	$\bar{N}$	N	$z'$	$z''$	Z	Exponenten	$\bar{N}$	N	$z'$	$z''$	Z	Exponenten	$\bar{N}$	N	
1526	—	27743	202, 3005	62	345	1540	—	27953	202002, 2, 30	400	517	—	1524	28219	203, 3, 302	155	429	
1527	—	27749	202, 3, 2, 2000	364	577	1510	27961	202002, 3, 20	381	547	1551	—	1524	28229	203, 203000	302	471	
—	1499	27751	202, 3, 2, 1, 3	151	515	1511	27967	202002, 6	49	313	1552	—	1524	28277	203, 2, 30000	308	505	
—	1500	27753	202, 3, 3, 2, 2	205	499	1541	—	27983	20200002, 4	128	561	1525	—	28279	203, 2, 303	111	419	
1528	—	27767	202, 3, 303	116	437	1512	27997	20200000300	365	651	1553	—	1525	28283	203, 2, 402	136	383	
1529	—	27773	202, 3, 500	170	313	1542	—	28001	2020002, 40	346	425	1554	—	28289	2030060	164	189	
1530	—	27779	202, 205, 2	154	335	1543	—	28019	2020003, 2, 2	248	605	1556	—	28297	203003020	317	431	
1531	—	27791	202, 203, 4	100	427	1513	28027	202000402	169	477	1555	—	1526	28307	20300202, 2	242	573	
—	1501	27793	202, 202030	373	473	1544	—	28031	2020007	30	229	1537	—	28309	20300200000	395	637	
—	1502	27799	202, 202003	173	619	1514	28051	20202, 202, 2	273	647	1556	—	1527	28319	203002, 5	64	345	
1532	—	27803	202, 202, 202	246	665	1515	28057	20202, 2, 2, 20	415	587	1557	—	1528	28349	203000400	220	401	
1533	—	27809	202, 200040	338	411	1516	28069	20202002000	437	691	1528	—	1528	28351	2030006	39	259	
—	1503	27817	202, 2000020	503	695	1517	28081	2020202, 30	377	489	1529	—	1529	28387	20303, 3, 2	173	399	
—	1504	27823	202, 200004	119	549	1518	28087	202020203	153	571	1530	—	1530	28393	203030020	307	427	
1534	—	27827	202, 2002, 2, 2	284	687	1545	—	28097	20203, 50	216	257	1558	—	28403	20304, 2, 2	148	363	
—	1505	27847	202, 2, 2, 3, 3	157	517	1519	28099	20203, 4, 2	175	391	1559	—	1531	28409	20305, 20	176	257	
1535	—	27851	202, 2, 2, 2002	268	693	1546	—	28109	20203, 2, 200	320	547	1531	—	1531	28411	2030502	95	271
—	1506	27883	202, 2, 30002	233	615	1520	28111	20203, 2, 4	93	413	1532	—	1532	28429	204, 4, 200	191	323	
1536	—	27893	202, 2, 40000	290	477	1521	28123	202030202	197	539	1560	—	1532	28433	204, 3030	222	281	
—	1507	27901	202, 2, 600	141	203	1547	—	28151	2020503	74	285	1561	—	28439	204, 3003	104	371	
1537	—	27917	202004, 200	280	473	1548	—	28163	203, 7, 2	80	171	1533	—	1533	28447	204, 3, 5	45	239
—	1508	27919	202004, 4	87	367	1549	—	28181	203, 400000	268	431	1562	—	28463	204, 2004	76	349	
1538	—	27941	20200202000	438	691	1522	28183	203, 4003	105	373	1534	—	1534	28477	204, 2, 400	169	307	
—	1509	27943	20200202, 3	185	623	1523	28201	203, 300020	343	473	1563	—	1534	28493	204002, 200	268	457	
1539	—	27947	20200200002	302	789	1550	—	28211	203, 3, 2, 2, 2	202	487	1564	—	28499	20400002, 2	206	491	





$z'$	$z''$	$Z$	Exponenten	$\bar{N}$	$N$	$z'$	$z''$	$Z$	Exponenten	$\bar{N}$	$N$
—	1577	29209	3, 204, 2, 20	255 359	—	1611	—	29453	3, 2, 2, 4, 200	242 409	32 199
—	1578	29221	3, 203, 2000	309 487	—	1589	—	29473	3, 2, 2, 2040	273 331	185 217
1598	—	29231	3, 203004	84 383	1612	—	1583	29483	3, 2, 2, 200002	256 669	260 463
1599	—	29243	3, 203, 302	158 437	1613	—	—	29501	3, 2, 2, 400	222 403	221 581
—	1579	29251	3, 20204, 2	175 387	—	1590	—	29527	3, 2, 2000003	171 619	132 371
—	1580	29269	3, 2020000000	431 697	1614	—	—	29531	3, 2, 2000022	236 643	329 447
—	1581	29287	3, 202, 2, 2, 3	155 539	1615	—	—	29537	3, 2, 202, 40	284 349	304 515
1600	—	29297	3, 202, 3, 30	300 391	1616	—	—	29557	3, 2, 207	24 185	229 619
1601	—	29303	3, 202, 303	118 445	—	1591	—	29569	3, 2, 3, 60	151 175	179 605
—	1582	29311	3, 202, 7	27 199	1617	—	—	29573	3, 2, 3, 4000	230 357	290 759
1602	—	29327	3, 20003, 4	98 419	—	1592	—	29581	3, 2, 3, 3, 200	261 443	376 487
1603	—	29333	3, 2000200000	436 703	—	1593	—	29587	3, 2, 3, 202, 2	213 505	154 573
1604	—	29339	3, 20002, 202	240 649	—	1594	—	29599	3, 2, 3, 2, 5	55 299	351 505
—	1583	29347	3, 2000003, 2	257 585	—	1595	—	29611	3, 2, 3000002	227 595	287 513
1605	—	29363	3, 200002, 2, 2	274 663	—	1596	—	29629	3, 2, 3, 4000	179 327	262 323
—	1584	29383	3, 2002, 3, 3	149 491	1618	—	—	29633	3, 2, 4, 50	162 193	140 481
1606	—	29387	3, 2002, 2002	254 657	—	1597	—	29641	3, 2, 4, 2020	269 369	115 327
—	1585	29389	3, 2002, 2, 200	359 613	1619	—	—	29663	3, 2, 405	38 221	101 321
1607	—	29399	3, 20020003	166 603	1620	—	—	29669	3, 2, 5, 2000	204 325	65 343
—	1586	29401	3, 200202, 20	393 559	—	1598	—	29671	3, 2, 5, 2, 3	83 287	419 661
1608	—	29411	3, 2003, 3, 2	200 461	—	1599	—	29683	3, 2, 6, 2, 2	97 239	206 571
1609	—	29423	3, 200304	78 373	1621	—	—	29717	300500000	216 347	253 459
1610	—	29429	3, 20040000	268 441	1622	—	—	29723	3005, 202	124 335	416 709
—	1587	29437	3, 200600	129 241	1623	—	—	29741	300400200	252 433	76 427
—	1588	29443	3, 2, 2, 6, 2	109 235	1624	—	—	29753	3004, 3, 20	238 341	286 753

$z'$	$z''$	$Z$	Exponenten	$\bar{N}$	$N$	$z'$	$z''$	$Z$	Exponenten	$\bar{N}$	$N$	$z'$	$z''$	$Z$	Exponenten	$\bar{N}$	$N$
1638	—	30071	30000303	134	507	—	1627	30307	302, 2, 2, 3, 2	215	493	—	1640	30577	30303, 30	235	307
1639	—	30089	30002, 3020	352	479	—	1628	30313	302, 2, 2, 20020	393	545	1660	—	30593	304, 60	118	137
—	1612	30091	30002, 3002	225	577	—	1629	30319	302, 2, 204	89	419	—	1641	30631	304002, 3	107	363
—	1613	30097	30002, 2030	363	461	1648	—	30323	302, 2, 3, 2, 2	204	497	—	1642	30637	304000200	237	409
—	1614	30103	30002, 2003	107	599	1649	—	30341	302004000	264	407	—	1643	30643	304002, 2, 2	153	371
—	1615	30109	30002, 2, 300	395	541	1650	—	30347	302003002	212	543	—	1644	30649	30403, 20	199	287
1640	—	30113	300020040	316	395	—	1630	30367	302002, 5	67	361	—	1645	30661	305, 3000	169	265
1641	—	30119	30002002, 3	178	603	1651	—	30389	30200020000	406	663	1661	—	30671	305, 2, 4	50	223
—	1616	30133	30002020000	407	665	—	1631	30391	302000203	149	555	1662	—	30677	305000000	204	331
1642	—	30137	3000203, 20	338	487	—	1632	30403	30202, 4, 2	179	399	1663	—	30689	306, 40	112	139
—	1617	30139	300020302	189	527	—	1633	30427	302020202	209	571	—	1646	30697	3060020	147	205
1643	—	30161	300030030	324	415	1652	—	30431	3020205	56	321	—	1647	30703	30604	31	151
—	1618	30169	30003002, 20	335	477	1653	—	30449	302004, 30	228	299	1664	—	30707	307, 2, 2	66	163
—	1619	30181	30004, 2000	277	441	1654	—	30467	303, 6, 2	94	203	1665	—	30713	308, 20	74	109
—	1620	30187	300040002	175	463	—	1634	30469	303, 5000	173	267	—	1648	30727	4, 8, 3	93	103
1644	—	30197	300050000	208	343	1655	—	30491	303, 3, 202	162	437	—	1649	30757	4, 502000	167	263
1645	—	30203	3000602	84	241	—	1635	30493	303, 3, 300	211	373	—	1650	30763	4, 500002	117	305
—	1621	30211	302, 7, 2	81	173	1656	—	30497	303, 2040	230	279	1666	—	30773	4, 5, 20000	180	293
—	1622	30223	302, 5, 4	59	247	1657	—	30509	303, 200200	298	513	—	1651	30781	4, 5, 400	109	197
—	1623	30241	302, 3040	229	277	—	1636	30517	303, 2, 2, 0000	317	517	1667	—	30803	4, 40002, 2	156	371
—	1624	30253	302, 30200	303	521	—	1637	30529	30300050	189	223	1668	—	30809	4, 4002, 20	232	329
—	1625	30259	302, 3, 2, 2, 2	207	499	1658	—	30539	3030002002	208	537	—	1652	30817	4, 2, 40	169	207
1646	—	30269	302, 3, 400	196	355	—	1638	30553	3030002, 20	333	473	—	1653	30829	4, 4, 20200	203	351
—	1626	30271	302, 3, 6	37	233	1659	—	30557	303000300	246	439	1669	—	30839	4, 4, 303	72	271
1647	—	30293	302, 2000000	426	699	—	1639	30559	3030005	53	299	—	1654	30841	4, 4, 4, 20	161	233

$z'$	$z''$	$Z$	Exponenten	$\bar{N}$	$N$	$z'$	$z''$	$Z$	Exponenten	$\bar{N}$	$N$	$z'$	$z''$	$Z$	Exponenten	$\bar{N}$	$N$
1670	—	30851	4, 3e5, 2	98	213	1683	—	31121	4, 2, 2, 2e3e	278	353	—	1679	31321	4e2e2e2, 2e	339	481
—	1655	30853	4, 3e4e0e	179	277	—	1667	31123	4, 2, 2, 2e2, 2	203	481	—	1680	31327	4e2e2e5	55	307
—	1656	30859	4, 3e3e0e2	145	371	1684	—	31139	4, 2, 2e3, 2	190	433	—	1681	31333	4e2e2, 2, 2e0e	321	599
1671	—	30869	4, 3e2e0e0e0e	286	461	—	1668	31147	4, 2, 2e0e0e2	221	579	1696	—	31337	4e2e2, 2e2e	344	477
—	1657	30871	4, 3e2e0e3	111	397	1685	—	31151	4, 2, 2e0e4	84	389	—	1682	31357	4e2e2, 5e0	147	271
1672	—	30881	4, 3e0e0e4e	218	265	—	1669	31153	4, 2, 2e2, 3e	283	367	1697	—	31379	4e0e2e2e2, 2	226	535
1673	—	30893	4, 3e0e2e0e	278	479	—	1670	31159	4, 2, 2e2e3	115	429	—	1683	31387	4e0e2e2, 2e2	203	549
1674	—	30911	4, 3e0e6	30	197	—	1671	31177	4, 2, 3, 2e2e	275	377	1698	—	31391	4e0e2e2, 5	60	333
—	1658	30931	4, 3, 2e2e2, 2	189	451	1686	—	31181	4, 2, 3, 2, 2e0	244	417	—	1684	31393	4e0e2e2e4e	277	337
—	1659	30937	4, 3, 2e2, 2e	275	391	—	1672	31183	4, 2, 3, 2, 4	71	315	1699	—	31397	4e0e2e2e2e0e	374	591
1675	—	30941	4, 3, 2e3e0e	202	361	—	1673	31189	4, 2, 3e0e0e0e	293	475	1700	—	31469	4e0e3e2e0e	246	427
—	1660	30949	4, 3, 3, 2e0e	241	383	1687	—	31193	4, 2, 3e2, 2e	262	373	—	1685	31477	4e0e4e0e0e	223	367
1676	—	30971	4, 3, 5e2	82	233	—	1674	31219	4, 2, 5, 2, 2	107	263	1701	—	31481	4e0e5, 2e	172	251
1677	—	30977	4, 2e7e	100	113	1688	—	31223	4, 2, 5e3	58	223	—	1686	31489	4e2, 7e	103	117
1678	—	30983	4, 2e5, 3	74	235	—	1675	31231	4, 2, 9	9	85	1702	—	31511	4e2, 3e0e3	108	385
1679	—	31013	4, 2e2e2e0e	310	489	—	1676	31237	4e0e6e0e	127	195	—	1687	31513	4e2, 3, 2, 2e	263	371
1680	—	31019	4, 2e2e0e0e2	214	559	1689	—	31247	4e0e5, 4	50	209	1703	—	31517	4e2, 3, 3e0e	202	337
—	1661	31033	4, 2e2, 3, 2e	271	389	—	1677	31249	4e0e4e3e	191	241	—	1688	31531	4e2, 2e0e0e2	207	541
—	1662	31039	4, 2e2, 6	35	223	1690	—	31253	4e0e4e0e0e0e	232	373	1704	—	31541	4e2, 2, 2e0e0e	306	499
—	1663	31051	4, 2e0e2e0e2	219	565	1691	—	31259	4e0e4, 2e2	132	355	—	1689	31543	4e2, 2, 2e3	113	419
—	1664	31063	4, 2e0e0e0e3	149	539	—	1678	31267	4e0e3e3, 2	155	351	1705	—	31547	4e2, 2, 3e2	146	495
—	1665	31069	4, 2e0e0e3e0e	263	469	1692	—	31271	4e0e3e2, 3	114	383	—	1690	31567	4e2e2e2, 4	85	373
1681	—	31079	4, 2e2e2, 2, 3	136	465	1693	—	31277	4e0e3e0e2e0e	260	447	—	1691	31573	4e2e0e0e0e0e0e	359	581
—	1666	31081	4, 2e2e2e2e	351	487	1694	—	31307	4e0e2e2e0e2	206	531	1706	—	31583	4e2e0e0e5	52	293
1682	—	31091	4, 2e2e3, 2, 2	180	439	1695	—	31319	4e0e2e0e0e3	142	513	1707	—	31601	4e2e2e3, 3e	232	303

$z'$	$z''$	$Z$	Exponenten	$\bar{N}$	$N$	$z'$	$z''$	$Z$	Exponenten	$\bar{N}$	$N$	$z'$	$z''$	$Z$	Exponenten	$\bar{N}$	$N$
1708	—	31607	4020303	90	341	—	1703	31891	5, 2, 202, 2	161	381	—	1714	32173	502000200	229	395
—	1692	31627	403, 3002	143	367	1722	—	31907	5, 20003, 2	156	355	1736	—	32183	5020203	86	321
1709	—	31643	403, 2, 202	148	401	—	1704	31957	5, 2, 20000000	271	439	1737	—	32189	5020400	132	241
1710	—	31649	4030040	196	439	—	1705	31963	5, 2, 20202	141	385	—	1715	32191	50206	23	155
—	1693	31657	403000020	287	397	1723	—	31973	5, 2, 3, 2000	212	337	—	1716	32203	503, 2002	127	329
—	1694	31663	4030004	67	311	—	1706	31981	5, 2, 30200	185	321	1738	—	32213	503000000	214	347
1711	—	31667	40302, 2, 2	158	383	1724	—	31991	5, 2, 403	60	229	—	1717	32233	5040020	163	227
—	1695	31687	404, 3, 3	77	255	1725	—	32003	5006, 2	72	155	1739	—	32237	5040200	134	233
—	1696	31699	404002, 2	135	323	1726	—	32009	5004020	172	233	—	1718	32251	50602	47	135
1712	—	31721	4050020	160	223	1727	—	32027	5003, 202	128	345	—	1719	32257	6, 80	49	55
—	1697	31723	4050002	97	257	—	1707	32029	5003, 300	167	295	1740	—	32261	6, 6000	80	123
1713	—	31727	40504	34	165	1728	—	32051	5002, 2, 2	162	391	1741	—	32297	6, 300020	182	251
—	1698	31729	406, 30	107	141	1729	—	32057	5002, 3, 20	218	313	—	1720	32299	6, 300002	113	295
—	1699	31741	40800	49	93	—	1708	32059	5002, 302	123	341	1742	—	32303	6, 3004	44	201
1714	—	31751	5, 7, 3	36	113	1730	—	32063	5002, 6	28	179	1743	—	32309	6, 3, 20000	170	277
1715	—	31769	5, 5, 2, 20	140	197	1731	—	32069	500003000	230	359	1744	—	32321	6, 2050	108	127
—	1700	31771	5, 5, 202	83	223	—	1709	32077	500002, 200	247	421	—	1721	32323	6, 204, 2	89	197
1716	—	31793	5, 4, 2, 30	162	209	—	1710	32083	50000002, 2	191	455	1745	—	32327	6, 203, 3	70	229
1717	—	31799	5, 4, 203	68	251	—	1711	32089	50000002, 20	281	399	—	1722	32341	6, 20000000	217	351
1718	—	31817	5, 302020	216	295	1732	—	32099	50002, 3, 2	152	349	—	1723	32353	6, 2, 2, 40	141	173
1719	—	31847	5, 3, 2, 2, 3	90	307	1733	—	32117	500030000	220	361	—	1724	32359	6, 2, 2, 2, 3	77	263
—	1701	31849	5, 3, 20020	233	323	—	1712	32119	5000303	79	299	1746	—	32363	6, 2, 20002	122	321
1720	—	31859	5, 3, 3, 2, 2	122	297	1734	—	32141	502, 3, 200	188	310	1747	—	32369	6, 2, 3, 30	148	193
—	1702	31873	5, 2060	107	123	—	1713	32143	502, 3, 4	57	245	—	1725	32371	6, 2, 3, 2, 2	103	251
1721	—	31883	5, 203002	134	343	1735	—	32159	502, 2, 5	40	217	—	1726	32377	6, 2, 4, 20	129	187

$z'$	$z''$	$Z$	Exponenten	$\bar{N}$	$N$	$z'$	$z''$	$Z$	Exponenten	$N$	$N$	$z'$	$z''$	$Z$	Exponenten	$\bar{N}$	$N$
1748	—	32381	6, 2, 500	84	155	—	1739	32611	702, 3, 2	77	177	1772	—	32909	0703, 200	114	193
—	1727	32401	6002030	171	217	1761	—	32621	7020200	116	201	—	1753	32911	0703, 4	35	149
1749	—	32411	6002, 202	112	303	1762	—	32633	704, 20	86	125	—	1754	32917	070200000	157	253
—	1728	32413	6002, 300	145	257	—	1740	32647	8, 4, 3	33	107	1773	—	32933	070002000	164	259
1750	—	32423	600002, 3	86	291	—	1741	32653	8, 3, 200	83	141	1774	—	32939	070000002	112	293
1751	—	32429	600000200	192	331	1763	—	32687	80004	26	121	—	1755	32941	070000200	155	267
1752	—	32441	60003, 20	166	239	1764	—	32693	8020000	96	157	1775	—	32957	0700400	94	171
—	1729	32443	6000302	93	259	—	1742	32707	9, 4, 2	37	83	1776	—	32959	07, 2, 2020	160	219
—	1730	32467	600002, 2	121	289	—	1743	32713	9, 2020	75	103	—	1756	32971	07, 2, 2002	101	261
—	1731	32479	60205	27	155	1765	—	32717	9, 2, 200	66	113	—	1757	32983	07, 20003	67	243
—	1732	32491	6030002	95	251	—	1744	32719	9, 2, 4	19	85	1777	—	32987	07, 20202	92	251
—	1733	32497	604, 30	109	143	—	1745	32749	100200	43	75	1778	—	32993	07, 3, 40	108	133
—	1734	32503	60403	41	157	1766	—	32771	013, 2	14	29	1779	—	32999	07, 3, 2, 3	58	199
1753	—	32507	60502	48	137	—	1746	32779	011002	25	63	—	1758	33013	07, 40000	115	189
1754	—	32531	7, 302, 2	80	189	1767	—	32783	011, 4	12	49	1780	—	33023	07, 8	8	65
—	1735	32533	7, 300000	131	211	1768	—	32789	01000000	58	93	1781	—	33029	065000	102	157
1755	—	32537	7, 3, 2, 20	124	175	—	1747	32797	010, 300	45	79	—	1759	33037	0604, 200	125	211
1756	—	32561	7, 2, 2, 30	126	163	1769	—	32801	09040	54	65	—	1760	33049	0603, 2, 20	171	241
—	1736	32563	7, 2, 2, 2, 2	89	215	—	1748	32803	0903, 2	43	97	1782	—	33053	0603, 300	132	233
—	1737	32569	7, 2, 3, 20	119	171	1770	—	32831	09, 6	10	61	1783	—	33071	0602004	54	247
1757	—	32573	7, 2, 400	82	149	—	1749	32833	08050	59	69	—	1761	33073	0602, 2, 30	185	239
1758	—	32579	7004, 2	68	151	—	1750	32839	0803, 3	39	127	1784	—	33083	0602, 302	100	277
—	1738	32587	7002002	91	235	1771	—	32843	0802002	68	175	—	1762	33091	060004, 2	107	237
1759	—	32603	7000202	84	229	—	1751	32869	08, 2, 2000	113	179	1785	—	33107	06000002, 2	160	381
1760	—	32609	702, 40	100	123	—	1752	32887	08, 303	37	139	1786	—	33113	0600002, 20	236	335



$z'$	$z''$	$Z$	Exponenten	$\bar{N}$	$N$	$z'$	$z''$	$Z$	Exponenten	$\bar{N}$	$N$	$z'$	$z''$	$Z$	Exponenten	$\bar{N}$	$N$
1826	—	33857	0403050	168	197	—	1813	34159	0400000004	101	477	1848	—	34403	04, 2, 2, 2, 3, 2	222	509
1827	—	33863	040303, 3	110	359	—	1814	34171	0400000002	157	443	1849	—	34421	04, 2, 2, 3, 0000	330	541
—	1799	33871	040302, 4	81	353	—	1815	34183	040002, 4, 3	123	397	—	1827	34429	04, 2, 2, 500	173	319
—	1800	33889	0403, 2, 40	231	283	1837	—	34211	04000003, 2	240	547	1850	—	34439	04, 2004, 3	124	399
1828	—	33893	0403, 2, 2000	306	485	—	1816	34213	040000000000	413	653	1851	—	34457	04, 2002, 2, 20	404	571
1829	—	33911	0403, 303	98	369	1838	—	34217	040000000000	452	625	1852	—	34469	04, 2000020000	436	689
1830	—	33923	040205, 2	132	287	—	1817	34231	0400000003	145	541	—	1828	34471	04, 200002, 3	183	619
—	1801	33931	040203002	195	499	1839	—	34253	040003, 2, 200	306	523	—	1829	34483	04, 20002, 2, 2	269	651
—	1802	33937	040202030	321	407	1840	—	34259	04003002, 2	228	545	1853	—	34487	04, 2000203	156	581
1831	—	33941	040202000000	384	619	—	1818	34261	040003000000	367	595	1854	—	34499	04, 202, 4, 2	188	419
—	1803	33951	040200000000	435	601	—	1819	34267	0400030202	189	517	—	1830	34501	04, 202, 3000	333	521
1804	33967	0402000004	103	475	—	1820	34273	040004, 40	—	211	261	1855	—	34511	04, 202, 2, 4	102	451
1805	33997	0402, 2, 2, 200	331	565	1841	—	34283	040040002	—	172	455	—	1831	34513	04, 2020030	365	467
1832	—	34019	0402, 3, 3, 2	188	433	—	1821	34297	04006, 20	155	227	—	1832	34519	04, 2020003	161	595
1833	—	34031	0402, 304	74	353	1842	—	34301	04007000	94	177	—	1833	34537	04, 2030020	343	477
—	1806	34033	0402, 4, 30	239	313	—	1822	34303	04009	11	105	—	1834	34543	04, 20304	75	359
1807	34039	0402, 403	91	347	1843	—	34313	04, 2, 5020	—	202	273	—	1835	34549	04, 2040000	257	423
—	1808	34057	040004020	271	367	1844	—	34319	04, 2, 5, 4	60	251	1856	—	34583	04, 3, 3003	122	435
1834	—	34061	040004, 200	254	429	—	1823	34327	04, 2, 4003	109	387	1857	—	34589	04, 3, 3, 300	228	403
—	1809	34133	04000002002	281	725	1845	—	34337	04, 2, 3040	234	283	—	1836	34591	04, 3, 3, 5	53	281
1835	—	34157	04000002, 4	118	517	—	1824	34351	04, 2, 3004	87	397	—	1837	34603	04, 3, 200002	233	609
—	1810	34159	04000000030	427	545	1846	—	34361	04, 2, 3, 3, 20	288	413	1858	—	34607	04, 3, 2004	90	413
—	1811	34161	04000000300	337	601	1847	—	34367	04, 2, 3, 6	38	239	1859	—	34613	04, 3, 2, 20000	344	561
—	1812	34147	0400002, 3, 2	247	567	—	1825	34369	04, 2, 2050	217	255	1860	—	34631	04, 3003, 3	132	433
1836	—	34157	04000020200	376	651	—	1826	34381	04, 2, 202, 200	347	591	1861	—	34649	04, 30002, 20	364	517



$z$	$z''$	$Z$	Exponenten	$\bar{N}$	$N$	$z'$	$z''$	$Z$	Exponenten	$\bar{N}$	$N$	$z'$	$z''$	$Z$	Exponenten	$\bar{N}$	$N$
—	1838	34651	04, 3000202	211	575	1876	—	34913	0304, 2, 40	236	289	1891	—	35171	0302002, 3, 2	288	661
1862	—	34667	04, 3020002	216	569	1877	—	34919	0304, 2, 2, 3	130	443	1892	—	35201	0302, 2, 60	212	245
1863	—	34673	04, 303, 30	258	337	—	1849	34939	0304, 402	125	351	—	1859	35221	0302, 2, 200000	499	805
1864	—	34679	04, 30303	100	379	1878	—	34949	0304000	254	393	—	1860	35227	0302, 2, 2, 202	273	739
—	1839	34687	04, 307	21	163	1879	—	34961	030302030	340	431	—	1861	35251	0302, 202, 2, 2	301	729
—	1840	34693	04, 4, 4000	199	309	—	1850	34963	03030202, 2	249	589	—	1862	35257	0302, 203, 20	395	569
1865	—	34703	04, 4, 3, 4	68	293	—	1851	34981	0303000000	421	665	1893	—	35267	0302, 3, 4, 2	202	451
1866	—	34721	04, 40040	214	261	—	1852	35023	0303, 2, 2, 4	105	463	1894	—	35279	0302, 3, 2, 4	108	479
—	1841	34729	04, 4000020	313	433	1880	—	35027	0303, 2002, 2	272	649	—	1863	35281	0302, 30030	385	493
1867	—	34739	04, 402, 2, 2	172	417	1881	—	35051	0303, 30002	224	591	1895	—	35291	0302, 30202	230	629
—	1842	34747	04, 40302	125	349	—	1853	35053	0303, 30200	305	529	—	1864	35311	0302, 404	75	361
1868	—	34757	04, 5, 3000	192	301	—	1854	35059	0303, 4, 2, 2	181	443	—	1865	35317	0302, 50000	253	417
—	1843	34759	04, 5, 3, 3	83	275	1882	—	35069	0303, 600	138	257	—	1866	35323	0302, 602	103	295
1869	—	34763	04, 5, 2002	140	363	1883	—	35081	030204020	308	417	1896	—	35327	0302, 9	14	131
1870	—	34781	04, 50300	150	269	—	1855	35083	030204002	199	507	1897	—	35339	030005002	172	437
—	1844	34807	04, 703	41	159	—	1856	35089	030203030	341	431	—	1867	35353	030004, 2, 20	353	497
—	1845	34819	0309, 2	49	103	1884	—	35099	030203, 202	232	625	1898	—	35363	03000303, 2	246	557
1871	—	34841	0306, 2, 20	180	253	—	1857	35107	03020203, 2	265	601	1899	—	35381	030003, 20000	450	733
—	1846	34843	0306, 202	107	287	1885	—	35111	03020202, 3	194	653	1900	—	35393	030002050	292	343
1872	—	34847	0306, 5	34	175	1886	—	35117	0302020200	440	757	—	1868	35401	03000202020	519	709
—	1847	34849	0305040	165	199	1887	—	35129	030202, 3, 20	402	577	—	1869	35407	03000202, 4	139	607
1873	—	34871	0305, 203	92	339	1888	—	35141	03020003000	430	671	—	1870	35419	03000200202	315	857
1874	—	34877	0305, 400	150	271	—	1858	35149	03020002, 200	463	789	1901	—	35423	030002005	88	491
1875	—	34883	030404, 2	140	309	1889	—	35153	03020000030	496	633	—	1871	35437	030002, 20200	463	801
—	1848	34897	030400030	299	381	1890	—	35159	030200000003	221	803	1902	—	35447	030002, 303	162	611

$z'$	$z''$	$Z$	Exponenten	$N$	$N$	$z'$	$z''$	$Z$	Exponenten	$\bar{N}$	$\bar{N}$	$z'$	$z''$	$Z$	Exponenten	$\bar{N}$	$\bar{N}$
—	1872 35449	361 523	330002, 4, 20	361 523	1915	—	35771	330030302	196 547	1927	—	36011	33, 2, 20000002	358 937			
—	1873 35461	379 587	33000004000	379 587	—	1885	35797	33004000000	373 605	—	1898	36013	33, 2, 20000200	495 853			
—	1874 35491	351 799	330000003, 2	351 799	1916	—	35801	3300402, 20	332 473	1928	—	36017	33, 2, 2, 2002, 30	404 601			
1903	—	35507	330000002, 2, 2	374 905	—	1886	35803	330040202	191 523	—	1899	36037	33, 2, 2, 2, 3000	415 649			
—	1875 35509	591 965	33000000000	591 965	—	1887	35809	33005, 40	209 259	—	1900	36061	33, 2, 2, 20300	353 631			
—	—	—	—	—	—	—	—	—	—	—	—	—	—	—	—	—	—
—	1876 35521	323 383	33000002, 50	323 383	1917	—	35831	3300603	68 263	—	1901	36067	33, 2, 2, 3, 3, 2	247 569			
—	1877 35527	203 669	3300002, 3, 3	203 669	1918	—	35837	3300800	86 163	—	1902	36073	33, 2, 2, 30020	441 613			
1904	—	35531	33000002, 2002	346 895	—	1888	35839	330010	9 95	1929	—	36083	33, 2, 2, 4, 2, 2	216 529			
—	1878 35533	489 835	33000002, 2, 200	489 835	—	1889	35851	33, 2, 6002	125 317	—	1903	36097	33, 20070	167 189			
1905	—	35537	330000020030	512 655	—	1890	35863	33, 2, 5003	107 379	1930	—	36107	33, 2004002	224 571			
—	—	—	—	—	—	—	—	—	—	—	—	—	—	—	—	—	—
1906	—	35543	330000020003	226 821	—	1891	35869	33, 2, 5, 300	205 361	—	1904	36109	33, 2004, 200	325 549			
—	1879 35559	341 447	33000004, 30	341 447	1919	—	35879	33, 2, 402, 3	138 463	1931	—	36131	33, 200203, 2	294 667			
1907	—	35573	330000040000	364 599	1920	—	35897	33, 2, 4, 3, 20	208 427	1932	—	36137	33, 200200020	566 781			
1908	—	35591	33002, 5, 3	124 395	—	1892	35899	33, 2, 4, 302	169 467	—	1905	36151	33, 2002, 203	193 715			
—	1880 35593	349 473	33002, 4020	349 473	—	1893	35911	33, 2, 303, 3	151 493	1933	—	36161	33, 2000050	320 377			
—	—	—	—	—	—	—	—	—	—	—	—	—	—	—	—	—	—
1909	—	35597	33002, 4, 200	326 551	—	1894	35923	33, 2, 30002, 2	293 697	—	1906	36187	33, 200000202	333 907			
1910	—	35603	33002, 302, 2	280 661	1921	—	35933	33, 2, 300300	324 577	1934	—	36191	33, 2000005	92 517			
—	1881 35617	367 445	33002, 2040	367 445	1922	—	35951	33, 2, 3, 204	102 479	1935	—	36209	33, 20003, 30	416 543			
—	1882 35671	229 829	3300200003	229 829	1923	—	35963	33, 2, 3, 402	164 461	—	1907	36217	33, 20004, 20	359 521			
—	1883 35677	403 719	33002000300	403 719	1924	—	35969	33, 2, 2060	208 239	—	1908	36229	33, 202, 4000	341 529			
—	—	—	—	—	—	—	—	—	—	—	—	—	—	—	—	—	—
1911	—	35729	33003, 2030	388 493	—	1895	35977	33, 2, 203020	407 553	—	1909	36241	33, 202, 2030	437 555			
—	1884 35731	283 671	33003, 202, 2	283 671	—	1896	35983	33, 2, 203, 4	115 491	1936	—	36251	33, 202, 2, 202	284 769			
1912	—	35747	33003003, 2	260 593	1925	—	35993	33, 2, 202, 2, 20	482 681	1937	—	36263	33, 202002, 3	214 725			
1913	—	35753	33003000020	488 675	1926	—	35999	33, 2, 202, 5	84 451	1938	—	36269	33, 202000000	476 821			
1914	—	35759	330030004	114 529	—	1897	36007	33, 2, 20002, 3	221 747	—	1910	36277	33, 202000000	489 799			

$z'$	$z''$	$Z$	Exponenten	$\bar{N}$	$N$	$z'$	$z''$	$Z$	Exponenten	$\bar{N}$	$N$	$z'$	$z''$	$Z$	Exponenten	$\bar{N}$	$N$
1939	—	36293	03, 203, 3000	362	567	—	1924	36559	03, 302, 2, 4	111	491	—	1936	36787	03, 502, 2, 2	167	405
1940	—	36299	03, 203, 2002	266	689	1951	—	36563	03, 302002, 2	286	683	1964	—	36791	03, 50203	96	359
—	1911	36307	03, 203002, 2	279	667	—	1925	36571	03, 302002, 2	239	653	—	1937	36793	03, 503, 20	217	313
—	1912	36313	03, 20302, 20	401	571	—	1926	36583	03, 303, 2, 3	145	499	1965	—	36809	03, 5, 2020	212	291
—	1913	36319	03, 20305	61	353	1952	—	36587	03, 3030002	226	597	1966	—	36821	03, 6000000	220	357
1941	—	36341	03, 2050000	248	409	1953	—	36599	03, 30403	98	375	1967	—	36833	03, 7, 40	120	149
—	1914	36343	03, 20503	87	335	—	1927	36607	03, 308	17	149	—	1938	36847	03, 704	33	161
1942	—	36353	03, 3, 80	108	121	1954	—	36629	03, 4, 300000	326	525	1968	—	36857	03, 9, 20	78	115
—	1915	36373	03, 3, 400000	319	513	—	1928	36637	03, 4, 3, 300	237	419	—	1939	36871	0209, 3	39	121
1943	—	36383	03, 3, 4, 5	56	293	—	1929	36643	03, 4, 203, 2	203	461	—	1940	36877	0208 200	109	183
1944	—	36389	03, 3, 302000	366	577	1955	—	36653	03, 4, 200200	334	575	1969	—	36887	0207003	66	233
—	1916	36433	03, 3, 200030	421	537	1956	—	36671	03, 4, 2, 6	38	245	1970	—	36899	020603, 2	120	271
—	1917	36451	03, 3, 2, 2, 3, 2	249	571	1957	—	36677	03, 4003000	308	481	—	1941	36901	020602000	209	329
—	1918	36457	03, 3, 2, 20020	455	631	1958	—	36683	03, 4002002	232	590	—	1942	36913	0206, 2, 30	201	259
1945	—	36467	03, 3, 2, 3, 2, 2	236	575	—	1930	36691	03, 400002, 2	253	603	—	1943	36919	0206, 203	85	313
—	1919	36469	03, 3, 2, 30000	369	605	—	1931	36697	03, 40002, 20	371	527	1971	—	36923	0206, 302	112	309
1946	—	36473	03, 3, 2, 4, 20	296	429	—	1932	36709	03, 402, 2000	337	535	1972	—	36929	0205050	158	185
—	1920	36479	03, 3, 2, 7	30	223	1959	—	36713	03, 402020	358	497	—	1944	36931	020504, 2	131	289
—	1920	36493	03, 3003, 200	351	595	—	1933	36721	03, 403, 30	261	341	—	1945	36943	020502, 4	77	335
1948	—	36497	03, 3002030	398	505	—	1934	36739	03, 5, 5, 2	109	239	1973	—	36947	02050002, 2	204	485
—	1921	36523	03, 300000002	325	851	1960	—	36749	03, 5, 3, 200	222	377	—	1946	36973	0205, 20200	269	465
1949	—	36527	03, 3000004	124	573	1961	—	36761	03, 5, 2, 2, 20	272	385	—	1947	36979	0205, 3, 2, 2	169	411
—	1922	36529	03, 30002, 30	419	543	1962	—	36767	03, 5, 2, 5	46	251	—	1948	36997	020404000	245	379
—	1923	36541	03, 3000400	265	483	1963	—	36779	03, 5000002	188	493	—	1949	37003	020403002	199	509
1950	—	36551	03, 302, 3, 3	158	521	—	1935	36781	03, 5000200	259	447	1974	—	37013	02040200000	394	635

$z'$	$z''$	$Z$	Exponenten	$\bar{N}$	$N$	$z'$	$z''$	$Z$	Exponenten	$\bar{N}$	$N$	$z'$	$z''$	$Z$	Exponenten	$\bar{N}$	$N$
1975	—	37019	020402, 202	218 589	1987	—	37313	0203, 3, 50	260	309	—	1976	37549	0202000000000000000000	633	1091	
—	1950	37021	020402, 300	283 501	1963	37321	0203, 3, 2020	0203, 3, 2020	437 599	—	1977	37561	0202000000000000000000	551	793		
—	1951	37039	020400004	107 493	1988	—	37337	0203, 302, 20	418 505	—	1978	37567	0202000000000000000000	67	443		
1976	—	37049	0204003, 20	340 489	1964	37339	0203, 30202	0203, 30202	241 659	1999	—	37571	0202000000000000000000	294	655		
—	1952	37057	0204, 2, 50	229 271	1965	37357	0203, 40200	0203, 40200	301 523	—	1977	37573	0202000000000000000000	521	815		
1977	—	37061	0204, 2, 3000	332 519	1989	—	37361	0203, 5, 30	252	331	—	1980	37579	0202000000000000000000	387	1001	
—	1953	37087	0204, 205	61 347	1966	37363	0203, 5, 2, 2	0203, 5, 2, 2	173 425	2000	—	37589	0202000000000000000000	666	1079		
1978	—	37097	0204, 30020	362 503	1967	37369	0203, 6, 20	0203, 6, 20	203 297	—	1981	37591	0202000000000000000000	253	919		
—	1954	37117	0204, 600	137 255	1990	—	37379	020207, 2	116 247	2001	—	37607	0202000000000000000000	212	729		
—	1955	37123	020306, 2	129 277	1991	—	37397	0202040000000000000000	400 643	2002	—	37619	0202000000000000000000	264	647		
1979	—	37139	0203002, 2	254 599	1992	—	37409	020203040	340 411	—	1982	37633	0202, 2, 70	193	219		
—	1956	37159	0203002, 3	197 663	1968	37423	020203004	020203004	127 579	2003	—	37643	0202, 2, 4002	256	653		
—	1957	37171	020302, 2, 2	303 731	1969	37441	020202050	020202050	321 377	2004	—	37649	0202, 2, 3030	434	549		
1980	—	37181	020302, 400	284 515	1970	37447	02020203, 3	02020203, 3	209 683	—	1983	37657	0202, 2, 3, 2, 20	497	701		
—	1958	37189	02030003000	439 685	1993	—	37463	0202020000000000000000	250 903	—	1984	37663	0202, 2, 3, 5	89	471		
1981	—	37199	02030002, 4	140 613	1971	37483	020202, 20002	020202, 20002	373 981	2005	—	37691	0202, 2, 2, 302	278	771		
—	1959	37201	02030000030	507 647	1972	37489	020202, 3, 30	020202, 3, 30	455 593	—	1985	37693	0202, 2, 2, 400	341	619		
1982	—	37217	0203002, 40	382 469	1994	—	37493	020202, 30000	496 813	—	1986	37699	0202, 2004, 2	289	641		
1983	—	37223	0203002, 2, 3	208 711	1973	37501	020202, 500	020202, 500	261 481	—	1987	37717	0202, 2000000000000000000000	689	1115		
—	1960	37243	020300402	189 533	1974	37507	02020005, 2	02020005, 2	231 503	—	1988	37747	0202, 203, 2, 2	311	759		
1984	—	37253	0203, 2, 4000	336 521	1995	—	37511	02020004, 3	190 611	2006	—	37781	0202, 3, 200000	536	865		
—	1961	37273	0203, 2, 2, 2, 20	483 683	1996	—	37517	02020003, 200	488 827	—	1989	37783	0202, 3, 2003	207	743		
1985	—	37277	0203, 2, 2, 300	366 649	1997	—	37529	02020002, 2, 20	622 879	2007	—	37799	0202, 3002, 3	218	739		
1986	—	37307	0203, 20302	230 641	1975	37537	02020000040	02020000040	499 607	2008	—	37811	0202, 302, 2, 2	314	761		
—	1962	37309	0203, 20400	279 509	1998	—	37547	0202000000000000000000	458 1199	—	1990	37813	0202, 3020000	495	809		

$z'$	$z''$	$Z$	Exponenten	$N$	$N$	$z'$	$z''$	$Z$	Exponenten	$N$	$N$	$z'$	$z''$	$Z$	Exponenten	$N$	$N$
—	1991	37831	0202, 4, 3, 3	155	513	—	2006	38149	02000005000	355	547	—	2016	38377	02000040020	469	653
2009	—	37847	0202, 4, 0003	166	605	2019	—	38153	02000004020	460	623	2034	—	38393	0200006, 20	256	375
2010	—	37853	0202, 4, 0300	284	509	—	2007	38167	02000003003	239	851	—	2017	38431	02002, 4, 5	79	413
—	1992	37861	0202, 5, 2000	317	505	2020	—	38177	02000002040	496	601	2035	—	38447	02002, 3004	140	639
2011	—	37871	0202, 5, 04	70	339	2021	—	38183	0200000202, 3	286	963	—	2018	38449	02002, 3, 2, 30	481	621
—	1993	37879	0202, 6, 03	81	313	2022	—	38189	020000020000	648	1115	2036	—	38453	02002, 3, 20000	542	883
2012	—	37889	0200000	106	117	—	2008	38197	02000002, 20000	695	1133	2037	—	38459	02002, 3, 302	262	725
—	1994	37897	020000020	241	325	2023	—	38201	02000002, 3, 20	590	847	—	2019	38461	02002, 3, 400	323	585
2013	—	37907	02000502, 2	208	489	2024	—	38219	020000002002	474	1223	2038	—	38501	02002, 2, 2, 20000	606	961
—	1995	37951	020004, 6	51	317	2025	—	38231	0200000000003	322	1165	2039	—	38543	02002003, 4	154	659
—	1996	37957	02000303000	437	681	2026	—	38237	020000000000300	588	1013	—	2020	38557	02002002, 300	487	863
—	1997	37963	02000302002	335	863	—	2009	38239	0200000000005	123	691	2040	—	38561	020020000040	512	623
2014	—	37967	02000302, 4	142	619	2027	—	38261	020000000000000	604	991	2041	—	38567	02002000002, 3	290	981
—	1998	37987	020003, 2, 3, 2	313	717	2028	—	38273	02000002, 60	300	347	—	2021	38569	020020000000000	759	1049
2015	—	37991	020003, 2, 2, 3	222	757	—	2010	38281	02000002, 3020	571	777	—	2022	38593	02002002, 50	365	433
—	1999	37993	020003, 20020	575	797	—	2011	38287	02000002, 3, 4	159	683	2042	—	38603	02002002, 2002	390	1009
2016	—	37997	020003, 20200	484	837	—	2012	38299	02000002, 2, 202	383	1037	2043	—	38609	020020020030	576	737
—	2000	38011	020003, 402	211	593	2029	—	38303	02000002, 2, 5	112	607	—	2023	38611	02002002002, 2	415	991
2017	—	38039	0200020003	258	923	—	2013	38317	020000020000000	643	1109	—	2024	38629	02002003, 2000	515	819
—	2001	38047	02000202, 5	109	585	2030	—	38321	0200000202, 30	596	773	2044	—	38639	0200200304	118	555
—	2002	38053	020002000000	683	1079	2031	—	38327	020000020203	242	903	2045	—	38651	0200200502	168	479
2018	—	38069	02000200000000	672	1097	—	2014	38329	0200000203, 20	549	791	—	2025	38653	0200200600	193	361
—	2003	38083	020002, 2, 4, 2	305	679	2032	—	38333	020000020400	372	670	2046	—	38669	02003, 4, 200	346	595
—	2004	38113	020002, 3, 40	421	519	2033	—	38351	0200003, 2, 4	168	657	—	2026	38671	02003, 4, 4	107	453
—	2005	38119	020002, 3, 2, 3	225	773	—	2015	38371	0200004, 3, 2	267	617	—	2027	38677	02003, 300000	485	781

[illegible]

$z'$	$z''$	$Z$	Exponenten	$\bar{N}$	$N$	$z'$	$z''$	$Z$	Exponenten	$\bar{N}$	$N$
—	2066	39439	02, 2005, 4	95	397	—	2078	39727	02, 202, 2004	155711	245639
2084	—	39443	02, 200402, 2	268	631	—	2079	39733	02, 202, 1, 20000	593067	96437
—	2067	39451	02, 2004, 202	251	675	2097	—	39749	02, 202003000	522815	374609
2085	—	39461	02, 200302000	512	807	2098	—	39761	02, 202000030	596761	443605
—	2068	39499	02, 200202002	393	1013	—	2080	39769	02, 2020002, 20	633899	500681
2086	—	39503	02, 200202, 4	166	725	2099	—	39779	02, 20202, 3, 2	340781	76423
2087	—	39509	02, 2002000000	708	1145	2100	—	39791	02, 2020204	138053	446707
—	2069	39511	02, 200200003	271	979	—	2081	39799	02, 2020303	175663	185631
2088	—	39521	02, 2002, 2, 40	464	569	2101	—	39821	02, 203, 3, 200	400679	33241
—	2070	39541	02, 2002, 30000	535	877	2102	—	39827	02, 203, 202, 2	326773	211755
2089	—	39551	02, 2002, 7	44	325	—	2082	39829	02, 203, 200000	531857	389689
2090	—	39503	02, 200003002	362	927	2103	—	39839	02, 203, 2, 5	84457	323735
2091	—	39509	02, 200002030	592	751	—	2083	39841	02, 2030040	383467	145669
2092	—	39581	02, 200002, 300	504	893	—	2084	39847	02, 203002, 3	215729	257715
—	2071	39607	02, 200000203	257	957	2104	—	39857	02, 20302, 30	440571	56369
—	2072	39619	02, 20002, 4, 2	311	693	2105	—	39863	02, 2030203	178665	303359
2093	—	39623	02, 20002, 3, 3	240	791	2106	—	39869	02, 2030400	272497	214777
—	2073	39631	02, 20002, 2, 4	169	747	—	2085	39877	02, 204, 3000	349547	507721
2094	—	39659	02, 200030002	348	919	—	2086	39883	02, 204, 2002	255661	260599
—	2074	39667	02, 20004, 2, 2	277	679	2107	—	39887	02, 204, 2, 4	104403	404645
2095	—	39671	02, 2000403	152	581	—	2087	39901	02, 2040300	275493	329431
—	2075	39679	02, 20008	27	233	2108	—	39929	02, 207, 20	164241	171319
—	2076	39703	02, 202, 3003	209	745	—	2088	39937	02, 3, 90	93103	174197
—	2077	39709	02, 202, 3, 300	391	691	2109	—	39953	02, 3, 5030	242305	479771
2096	—	39719	02, 202, 202, 3	246	829	2110	—	39971	02, 3, 403, 2	202457	223751





$z'$	$z''$	$Z$	Exponenten	$\bar{N}$	$N$	$z$	$z''$	$Z$	Exponenten	$\bar{N}$	$N$	$z'$	$z''$	$Z$	Exponenten	$\bar{N}$	$N$
—	2143	41113	000502, 2, 20	325	459	—	2158	41341	000400500	203	375	2182	—	41609	00030003020	504	685
2157	—	41117	000502, 300	248	439	2167	—	41351	0004, 2, 4, 3	138	445	—	2168	41611	00030003002	323	827
—	2144	41131	000500000002	245	641	2168	—	41357	0004, 2, 3, 200	352	597	—	2169	41617	00030002030	529	671
2158	—	41141	000500020000	356	581	2169	—	41381	0004, 2002000	470	743	2183	—	41621	000300020000	632	1019
—	2145	41143	000500203	131	487	2170	—	41387	0004, 2000002	318	833	2184	—	41627	00030002, 202	348	941
—	2146	41149	000500400	205	373	—	2159	41389	0004, 2000200	439	757	—	2170	41641	0003000000020	707	977
—	2147	41161	0005, 2, 2020	347	475	2171	—	41399	0004, 20203	166	619	—	2171	41647	000300000004	167	771
2159	—	41177	0005, 202, 20	344	489	2172	—	41411	0004, 3, 4, 2	194	433	2185	—	41651	000300002, 2, 2	398	963
—	2148	41179	0005, 20202	199	543	—	2160	41413	0004, 3, 3000	343	537	—	2172	41659	00030000302	295	821
2160	—	41183	0005, 205	54	307	—	2161	41443	0004, 4, 3, 2	191	441	2186	—	41669	00030002, 3000	498	779
—	2161	—	0005, 3, 2000	304	483	2173	—	41453	0004, 40200	278	483	2187	—	41681	000300020030	548	701
2162	—	41201	0005, 4, 30	230	301	—	2162	41407	0004, 602	101	289	2188	—	41687	000300020003	242	879
—	2149	41203	0005, 4, 2, 2	159	389	—	2163	41479	000306, 3	95	399	—	2173	41719	0003000493	139	531
2163	—	41213	0005, 600	122	227	—	2164	41491	00030402, 2	229	539	2189	—	41759	0003, 2, 70	186	211
—	2150	41221	000405000	215	331	2174	—	41507	00030303, 2	254	575	—	2174	41737	0003, 2, 4020	383	519
—	2151	41227	000404002	181	461	2175	—	41513	00030300020	494	681	2190	—	41759	0003, 2, 3, 5	86	455
2164	—	41231	000404, 4	82	345	2176	—	41519	000303004	120	547	—	2175	41761	0003, 2, 2040	405	491
—	2152	41233	000403030	311	393	—	2165	41521	000303, 2, 30	413	533	2191	—	41771	0003, 2, 200002	380	993
2165	—	41243	000403, 202	212	571	—	2166	41539	00030204, 2	251	555	2192	—	41777	0003, 2, 2, 2, 30	502	649
—	2153	41257	00040200020	469	647	2177	—	41543	00030203, 3	198	647	2193	—	41801	0003, 2002020	596	815
—	2154	41263	000402004	113	517	2178	—	41549	00030202, 200	488	831	—	2176	41809	0003, 2000030	571	729
—	2155	41269	000402, 20000	435	709	2179	—	41579	000302, 20002	354	931	2194	—	41813	0003, 200000000	668	1081
—	2156	41281	000400050	271	319	—	2167	41593	000302, 4, 20	379	549	2195	—	41843	0003, 203, 2, 2	302	737
—	2157	41299	0004000002, 2	333	793	2180	—	41597	000302, 500	248	457	2196	—	41849	0003, 204, 20	374	543
2166	—	41333	00040030000	392	643	2181	—	41603	00030005, 2	220	479	—	2177	41851	0003, 20402	205	579

$z'$	$z''$	$Z$	Exponenten	$\bar{N}$	$N$	$z'$	$z''$	$Z$	Exponenten	$\bar{N}$	$N$	$z'$	$z''$	$Z$	Exponenten	$\bar{N}$	$N$
—	2178	41863	0003, 3, 4, 3	155 501	2208	—	42083	000203, 2, 3, 2	320 733	—	2202	42337	000200002, 40	561 689			
2197	—	41879	0003, 3, 2003	202 725	2209	—	42089	000203, 20020	588 815	—	2203	42340	0002000020200	659 1141			
—	2179	41887	0003, 3, 2, 5	83 451	2210	—	42101	000203, 30000	484 793	2223	—	42359	000200000303	226 855			
—	2180	41893	0003, 3002000	509 805	2211	—	42131	0002020202, 2	418 989	—	2204	42373	0002002, 4000	479 743			
2198	—	41897	0003, 3000200	556 769	—	2192	42139	00020202, 202	377 1019	—	2205	42379	0002002, 3002	381 977			
2199	—	41903	0003, 30004	130 603	—	2193	42157	000202000002000	661 1139	—	2206	42391	0002002, 2003	283 1015			
—	2181	41911	0003, 30203	177 661	—	2194	42169	000202003, 20	579 833	—	2207	42397	0002002, 2, 300	517 917			
2200	—	41927	0003, 4, 3, 3	152 503	2212	—	42179	000202, 2, 4, 2	314 699	—	2208	42403	000202003, 2	419 955			
—	2182	41941	0003, 4000000	431 699	—	2195	42181	000202, 2, 3000	557 871	2224	—	42407	0002002002, 3	302 1023			
—	2183	41947	0003, 40202	221 605	—	2196	42187	000202, 2, 2002	415 1073	—	2209	42409	0002020000020	789 1091			
—	2184	41953	0003, 5, 40	243 301	—	2197	42193	000202, 20030	617 789	—	2210	42433	0002003, 50	359 427			
2201	—	41957	0003, 5, 2000	312 497	2213	—	42197	000202, 2000000	718 1163	2225	—	42437	0002003, 3000	514 805			
—	2185	41959	0003, 5, 2, 3	127 439	2214	—	42209	000202, 3, 40	434 535	2226	—	42443	0002003, 2002	378 979			
2202	—	41969	0003, 6, 30	218 287	2215	—	42221	000202, 30200	494 857	—	2211	42451	0002003002, 2	397 949			
2203	—	41981	0003, 800	102 193	—	2198	42223	000202, 304	131 625	—	2212	42457	000200302, 20	571 813			
—	2186	41983	0003, 10	11 113	2216	—	42227	000202, 4, 2, 2	292 715	2227	—	42461	00020030300	416 745			
2204	—	41999	000206, 4	74 307	2217	—	42239	000202, 8	30 251	—	2213	42463	000200305	87 503			
—	2187	42013	000205, 300	263 463	2218	—	42257	00000003030	526 665	2228	—	42467	0002004, 3, 2	280 647			
2205	—	42017	000204040	304 367	2219	—	42281	00020000200020	782 1079	2229	—	42473	00020040020	492 685			
—	2188	42019	00020403, 2	241 545	—	2199	42283	00020000200002	485 1267	—	2214	42487	000200503	125 481			
2206	—	42023	00020402, 3	178 597	2220	—	42293	00020002, 20000	722 1177	2230	—	42491	000200602	144 413			
—	2189	42043	000204, 302	219 605	2221	—	42299	00020002, 302	346 959	—	2215	42499	0002, 2, 7, 2	141 301			
—	2190	42061	00020302, 200	487 829	—	2200	42307	000200004, 2	365 809	2231	—	42509	0002, 2, 5, 200	328 553			
2207	—	42071	0002030003	238 859	2222	—	42323	000200000002, 2	542 1291	2232	—	42533	0002, 2, 302000	550 867			
—	2191	42073	000203002, 20	569 807	—	2201	42331	00020000000202	463 1261	2233	—	42557	0002, 2, 3, 400	344 623			

$z'$	$z''$	$Z$	Exponenten	$\bar{N}$	$N$	$z'$	$z''$	$Z$	Exponenten	$\bar{N}$	$N$	$z'$	$z''$	$Z$	Exponenten	$\bar{N}$	$N$
2234	—	4259	0002, 2, 20200	658	899	2246	—	42797	0002, 3, 200200	542	933	—	2241	43063	000005, 203	143	527
—	2216	42571	0002, 2, 202002	417	1075	2247	—	4281	0002, 3003000	504	787	2259	—	43067	000005, 302	188	519
—	2217	42577	0002, 2, 200030	639	815	—	2229	42839	0002, 3002, 200	539	919	—	2242	43093	0000040000000000	545	881
—	2218	42589	0002, 2, 200300	509	907	2248	—	42839	0002, 3000003	256	927	2260	—	43103	000004005	82	455
2235	—	42611	0002, 2, 3, 2	360	877	—	2230	42841	0002, 30002, 20	609	805	—	2243	43117	000004, 20200	439	759
2236	—	42641	0002, 2002030	614	779	—	2231	42853	0002, 3002, 2000	555	881	2261	—	43133	000004, 500	230	423
—	2219	42643	0002, 200202, 2	449	1063	—	2232	42859	0002, 3020002	361	951	2262	—	43151	00000303, 4	140	597
—	2220	42649	0002, 2002, 2, 20	687	971	2249	—	42863	0002, 30204	132	635	—	2244	43159	00000302003	243	869
—	2221	42667	0002, 200000002	503	1317	2250	—	42899	0002, 4, 202, 2	304	721	—	2245	43177	00000300000020	713	985
2237	—	42677	0002, 200020000	722	1179	—	2233	42901	0002, 4, 200000	495	799	—	2246	43189	00000300200000	639	1043
2238	—	42683	0002, 2000302	338	941	2251	—	42923	0002, 40000002	320	839	—	2247	43201	000003, 2, 50	359	425
2239	—	42689	0002, 202, 50	392	465	2252	—	42929	0002, 402, 30	406	537	—	2248	43207	000003, 2, 3, 3	227	747
—	2222	42697	0002, 202, 2020	665	911	—	2234	42937	0002, 403, 20	371	535	2263	—	43223	000003, 20003	256	929
2240	—	42701	0002, 202, 2, 200	592	1011	—	2235	42943	0002, 406	43	203	—	2249	43237	000003, 3, 2000	533	847
—	2223	42703	0002, 202, 2, 4	173	765	2253	—	42953	0002, 5, 2020	368	505	—	2250	43261	000003, 600	211	393
—	2224	42709	0002, 202000000	719	1165	—	2236	42961	0002, 50030	333	427	2264	—	43271	00000205, 3	166	527
2241	—	42719	0002, 20205	100	573	—	2237	42967	0002, 50003	145	529	2265	—	43283	0000020302, 2	382	901
—	2225	42727	0002, 203, 2, 3	227	781	—	2238	42979	0002, 6, 3, 2	161	373	—	2251	43291	00000203, 202	353	951
2242	—	42737	0002, 204, 30	408	535	2254	—	42989	0002, 60200	228	397	2266	—	43313	00000202, 2, 30	640	827
2243	—	42743	0002, 20403	154	589	—	2239	43003	0002, 802	75	217	2267	—	43319	00000202, 203	266	985
—	2226	42751	0002, 208	27	235	2255	—	43013	000008000	146	223	—	2252	43321	00000202, 3, 20	611	877
2244	—	42757	0002, 3, 4	116	491	2256	—	43019	000007002	130	339	2268	—	43331	0000020004, 2	366	811
2245	—	42773	0002, 3, 30000	526	847	2257	—	43037	000006, 300	220	387	2269	—	43391	0000020007	50	379
—	2227	42787	0002, 3, 203, 2	329	747	2258	—	43049	00000500020	400	551	2270	—	43397	000002, 2, 4000	492	763
—	2228	42793	0002, 3, 200020	631	871	—	2240	43051	00000500002	249	649	—	2253	43399	000002, 2, 4, 3	221	713

[illegible]

$z'$	$z''$	$Z$	Exponenten	$\bar{N}$	$N$	$z'$	$z''$	$Z$	Exponenten	$\bar{N}$	$N$	$z'$	$z''$	$Z$	Exponenten	$\bar{N}$	$N$
—	2292	44203	00002, 2, 00000002	507	1327	2320	—	44507	00002030202	322	881	2336	—	44753	00003020030	540	691
2308	—	44207	00002, 2, 000004	194	895	2321	—	44519	0000204, 2, 3	188	649	2337	—	44771	0000303, 3, 2	284	655
—	2293	44221	00002, 2, 000400	419	763	2322	—	44531	0000205, 2, 2	224	551	—	2314	44773	0000303, 2000	481	765
2309	—	44249	00002, 2, 002, 20	680	967	—	2305	44533	00002050000	345	569	2338	—	44777	00003030020	504	701
—	2294	44257	00002, 2, 3, 40	455	561	2323	—	44537	0000206, 20	260	381	2339	—	44789	00003040000	376	619
—	2295	44263	00002, 2, 3, 2, 3	243	835	2324	—	44543	0000209	18	175	—	2315	44797	000030500	179	335
2310	—	44267	00002, 2, 30002	380	1003	2325	—	44549	00003, 6000	244	375	—	2316	44809	00004, 4020	337	457
—	2296	44269	00002, 2, 30200	517	897	—	2306	44563	00003, 402, 2	267	629	2340	—	44819	00004, 302, 2	268	633
2311	—	44273	00002, 2, 4, 30	442	579	2326	—	44579	00003, 303, 2	290	657	—	2317	44839	00004, 202, 3	199	671
2312	—	44279	00002, 2, 403	168	641	—	2307	44587	00003, 300002	349	911	2341	—	44843	00004, 200002	324	847
—	2297	44281	00002, 2, 5, 20	367	535	—	2308	44617	00003, 202020	595	813	—	2318	44851	00004, 2, 2, 2, 2	301	727
—	2298	44293	00002005000	377	581	2327	—	44621	00003, 202, 200	536	913	2342	—	44867	00004004, 2	232	515
2313	—	44351	00002002, 6	80	511	—	2309	44623	00003, 202, 4	159	695	2343	—	44879	00004002, 4	130	571
2314	—	44357	000020003000	658	1027	2328	—	44633	00003, 2002, 20	618	877	—	2319	44887	00004000003	209	757
—	2299	44371	000020000002, 2	547	1303	—	2310	44641	00003, 2, 2, 40	441	541	—	2320	44893	000040000300	367	655
2315	—	44381	0000200000300	596	1063	—	2311	44647	00003, 2, 2, 2, 3	241	823	2344	—	44909	00004020200	400	693
—	2300	44383	0000200005	129	725	2329	—	44651	00003, 2, 20002	382	1005	—	2321	44917	00004030000	377	619
—	2301	44389	000020002, 2000	743	1179	2330	—	44657	00003, 2, 3, 30	464	605	2345	—	44927	0000407	28	219
2316	—	44417	0000202, 60	312	361	—	2312	44683	00003003002	333	853	2346	—	44939	00005, 3002	206	529
—	2302	44449	00002020040	531	647	2331	—	44687	00003003, 4	146	625	—	2322	44953	00005, 2, 2, 20	361	511
2317	—	44453	0000202002000	714	1129	2332	—	44699	00003002, 202	356	963	—	2323	44959	00005, 2, 5	61	333
2318	—	44483	0000203, 4, 2	286	639	—	2313	44701	00003002, 300	461	817	2347	—	44963	00005003, 2	216	493
—	2303	44491	0000203, 2002	371	961	2333	—	44711	0000300002, 3	274	927	—	2324	44971	0000500002	249	653
—	2304	44497	00002030030	541	693	2334	—	44729	000030003, 20	530	763	—	2325	44983	000050203	127	475
2319	—	44501	0000203000000	626	1015	2335	—	44741	0000302, 3000	494	773	2348	—	44987	000050302	160	447

$z'$	$z''$	$Z$	Exponenten	$\bar{N}$	$N$	$z'$	$z''$	$Z$	Exponenten	$\bar{N}$	$N$	$z'$	$z''$	$Z$	Exponenten	$\bar{N}$	$N$
—	2326	45007	00006, 2, 4	71	317	2363	—	45317	002, 305000	276	435	—	2349	45589	002, 20400000	451	725
—	2327	45013	00006000000	289	469	—	2337	45319	002, 305, 3	127	403	—	—	45599	002, 204, 5	80	417
2349	—	45053	00001000	58	111	2364	—	45329	002, 303030	398	503	—	2350	45613	002, 20300200	509	875
—	2328	45061	002, 9000	99	151	—	2338	45337	002, 303, 2, 20	459	647	—	2351	45631	002, 203, 6	63	395
2350	—	45077	002, 700000	200	321	2365	—	45341	002, 303, 300	354	625	—	—	45641	002, 20202020	642	877
2351	—	45083	002, 7, 202	116	311	—	2339	45343	002, 303, 5	83	437	—	—	45659	002, 20200202	390	1061
2352	—	45119	002, 6, 6	32	197	—	2340	45361	002, 302, 2, 30	493	637	—	2352	45667	002, 202, 2, 3, 2	373	855
—	2329	45121	002, 5050	187	219	2366	—	45377	002, 300050	344	405	—	2353	45673	002, 202, 20020	683	947
—	2330	45127	002, 503, 3	123	401	2367	—	45389	002, 30002, 200	544	927	—	—	45677	002, 202, 20200	574	993
2353	—	45131	002, 502002	214	551	—	2341	45403	002, 30000202	361	983	—	2354	45691	002, 202, 402	247	695
2354	—	45137	002, 500030	332	423	2368	—	45413	002, 3002, 2000	578	917	—	2355	45697	002, 2000050	305	351
—	2331	45139	002, 50002, 2	241	573	—	2342	45427	002, 3003, 2, 2	317	773	—	—	45707	002, 20003002	380	973
2355	—	45161	002, 5, 20020	376	521	—	2343	45433	002, 3004, 20	395	573	—	2356	45737	002, 2000000020	830	1147
2356	—	45179	002, 5, 402	140	393	—	2344	45439	002, 3007	39	205	—	2357	45751	002, 20000203	271	1009
—	2332	45181	002, 5, 500	167	307	—	2345	45481	002, 3, 2000020	643	859	—	—	45757	002, 200000400	421	767
2357	—	45191	002, 404, 3	130	417	2369	—	45491	002, 3, 202, 2, 2	358	887	—	2358	45763	002, 2002, 4, 2	329	733
2358	—	45197	002, 403, 200	336	569	2370	—	45497	002, 3, 203, 20	470	677	—	—	45767	002, 2002, 3, 3	254	837
2359	—	45233	002, 4002, 30	424	549	2371	—	45503	002, 3, 206	56	375	—	2359	45779	002, 2002002, 2	462	1103
—	2333	45247	002, 4006	49	321	—	2346	45523	002, 3, 3002, 2	331	791	—	2359	45817	002, 2005, 20	353	515
—	2334	45259	002, 4, 2, 2002	289	747	2372	—	45533	002, 3, 30300	348	623	—	—	45821	002, 2006000	220	411
2360	—	45263	002, 4, 2, 2, 4	120	529	—	2347	45541	002, 3, 4, 2000	399	635	—	2360	45833	002, 2008	29	249
2361	—	45281	002, 4, 3, 40	306	377	—	2348	45553	002, 3, 30	287	377	—	—	45847	002, 2, 2, 6, 2	186	401
—	2335	45289	002, 4, 30020	421	585	2373	—	45557	002, 3, 50000	304	501	—	—	45833	002, 2, 2, 4020	442	599
2362	—	45293	002, 4, 30200	350	607	2374	—	45569	002, 2080	148	165	—	2361	45841	002, 2, 2, 3030	483	611
—	2336	45307	002, 4, 502	137	389	2375	—	45587	002, 20402, 2	274	645	—	—	45855	002, 2, 2, 3, 300	425	751

$z'$	$z''$	$Z$	Exponenten	$\bar{N}$	$N$	$z'$	$z''$	$Z$	Exponenten	$\bar{N}$	$N$	$z'$	$z''$	$Z$	Exponenten	$\bar{N}$	$N$
2387	—	45863	002, 2, 2, 202, 3	208	903	—	2374	46171	00200300202	349	949	2411	—	46451	0020000003, 2, 2	412	1005
2388	—	45869	002, 2, 2, 202000	606	1043	2401	—	46181	002003, 2, 2000	576	913	2412	—	46457	0020000004, 20	512	743
2389	—	45887	002, 2, 2, 6	70	449	—	2375	46183	002003, 2, 2, 3	239	815	—	2389	46471	0020002, 4, 3	219	707
2390	—	45893	002, 2, 2003000	572	893	2402	—	46187	002003, 20002	380	999	—	2390	46477	0020002, 3, 200	557	945
—	2363	45943	002, 2, 20303	193	731	2403	—	46199	002003, 303	184	693	—	2391	46489	0020002, 2, 2, 20	695	983
—	2364	45949	002, 2, 20500	275	509	—	2376	46191	00200203002	363	939	2413	—	46499	00200020003, 2	426	971
2391	—	45953	002, 2, 3, 60	228	299	2404	—	46229	0020020200000	714	1151	—	2392	46507	0020002000002	495	1297
2392	—	45959	002, 2, 3, 4, 3	176	569	—	2377	46237	00200202, 300	511	905	2414	—	46511	002000200004	188	871
2393	—	45971	002, 2, 3, 202, 2	304	863	—	2378	46261	0020020200000	721	1177	2415	—	46523	0020002000202	326	909
—	2365	45979	002, 2, 3, 2, 202	323	875	2405	—	46271	0020020006	74	487	—	2393	46549	002000300000000	647	1049
2394	—	45989	002, 2, 3, 0020000	576	911	—	2379	46273	002002, 2, 50	401	475	2416	—	46559	0020003005	88	509
—	2366	46021	002, 2, 4, 3000	335	619	—	2380	46279	002002, 2, 3, 253	833	—	2394	46567	0020004, 2, 3	195	673	
—	2367	46027	002, 2, 4, 2002	299	749	2406	—	46301	002002, 20300	494	893	—	2395	46573	002000402000	409	711
2395	—	46049	002, 2, 5, 40	272	337	2407	—	46307	002002, 3, 2, 346	797	2417	—	2396	46589	0020007000	164	309
—	2368	46051	002, 2, 5, 3, 2	207	479	—	2381	46309	002002, 3, 2000	587	933	—	2396	46591	0020009	19	183
2396	—	46061	002, 2, 50200	206	515	—	2382	46327	002002, 403	167	637	2418	—	46601	00202, 5020	344	465
2397	—	46073	002, 2, 7, 20	190	279	2408	—	46337	002000070	236	287	2419	—	46619	00202, 4, 202	208	721
2398	—	46091	0020000002	170	431	2409	—	46349	00200004, 200	460	777	—	2397	46633	00202, 300020	607	837
—	2369	46093	0020006, 200	249	419	—	2383	46351	002000004, 4	143	603	—	2398	46639	00202, 3004	147	671
—	2370	46099	00200302, 2	225	529	—	2384	46381	0020000200000	691	1189	2420	—	46643	00202, 3, 2, 2	358	863
2399	—	46103	002003003	146	517	—	2385	46399	002000002, 6	81	517	2421	—	46649	00202, 3, 3, 20	486	697
2400	—	46133	002004, 20000	476	775	—	2386	46411	00200000202	505	1303	—	2399	46663	00202, 203, 3	237	775
—	2371	46141	002004, 4000	287	519	2410	—	46439	002000002, 2, 312	1067	2422	—	2400	46679	00202, 200003	224	1019
—	2372	46147	00200304, 2	263	581	—	2387	46441	0020000020000	805	1117	—	2400	46681	00202, 2002, 20	673	955
—	2373	46153	00200302020	569	777	—	2388	46447	00200000204	181	855	—	2401	46687	00202, 2005	109	609

$z'$	$z''$	Z	Exponenten	$\bar{N}$	N	$z'$	$z''$	Z	Exponenten	$\bar{N}$	N	$z'$	$z''$	Z	Exponenten	$\bar{N}$	N
2423	—	4661	00202, 2, 3, 2	372	853	2437	—	46997	00204, 200000	464	749	—	2425	47293	003, 300400	295	537
2424	—	46703	00202, 2, 204	154	725	—	2413	47017	00204, 000020	485	671	2450	—	47297	003, 3, 2, 50	288	341
—	2402	46723	00202005, 2	251	547	—	2414	47041	00205, 50	207	247	2451	—	47303	003, 3, 2, 3, 3	182	599
2425	—	46727	00202004, 3	206	663	2438	—	47051	00205, 2002	214	555	2452	—	47309	003, 3, 2, 2, 200	440	751
—	2403	46747	00202002, 202	393	1063	2439	—	47057	002050030	308	395	—	2426	47317	003, 3, 2000000	539	873
2426	—	46751	00202002, 5	116	625	—	2415	47059	00205002, 2	221	529	2453	—	47339	003, 3, 30002	274	723
2427	—	46757	002020020000	722	1141	2440	—	47087	00206004	54	203	2454	—	47351	003, 3, 403	122	465
2428	—	46769	002020002, 30	632	819	2441	—	47093	002070000	176	291	—	2427	47353	003, 3, 5, 20	267	389
—	2404	46771	002020002, 2, 1	445	1077	2442	—	47111	003, 8, 3	58	181	2455	—	47363	003, 206, 2	154	331
—	2405	46807	00202020003	265	963	—	2416	47119	003, 7, 4	51	211	2456	—	47381	003, 20300000	494	795
2429	—	46811	00202020202	362	980	2443	—	47123	003, 602, 2	146	343	2457	—	47387	003, 203, 202	278	749
2430	—	46817	0020203, 40	414	511	2444	—	47129	003, 6, 2, 20	234	329	—	2428	47389	003, 203, 300	363	641
—	2406	46819	0020203, 3, 2	317	731	—	2417	47137	003, 5040	213	257	—	2429	47407	003, 202004	147	673
2431	—	46829	00202030200	466	809	—	2418	47143	003, 502, 3	125	419	2458	—	47417	003, 202, 3, 20	480	689
—	2407	46831	002020304	123	589	2445	—	47147	003, 500002	206	537	—	2430	47419	003, 202, 302	271	751
2432	—	46853	00203, 5000	300	463	—	2419	47149	003, 500200	287	493	—	2431	47431	003, 20003, 3	225	737
—	2408	46861	00203, 4, 200	359	607	—	2420	47161	003, 5, 3, 20	273	391	2459	—	47441	003, 20000030	590	753
—	2409	46867	00203, 302, 2	307	725	2446	—	47189	003, 40000000	446	721	2400	—	47459	003, 20002, 3, 2	342	785
2433	—	46877	00203, 3, 300	366	647	2447	—	47207	003, 4, 2, 2, 3	164	559	—	2432	47491	003, 2, 2, 5, 2	211	461
2434	—	46889	00203, 200020	602	831	—	2421	47221	003, 4, 30000	351	575	—	2433	47497	003, 2, 2, 3020	477	649
2435	—	46901	00203, 2, 20000	550	897	2448	—	47237	003, 304000	316	489	2461	—	47501	003, 2, 2, 3, 200	438	743
2436	—	46919	00203003, 3	210	680	—	2422	47251	003, 30202, 2	309	731	2462	—	47507	003, 2, 2, 202, 2	360	853
—	2410	46933	002030000000	637	1031	—	2423	47269	003, 30020000	521	823	2463	—	47513	003, 2, 2, 2, 20	548	775
—	2411	46957	00203020200	467	809	2449	—	47279	003, 300004	136	627	—	2434	47521	003, 2, 20040	431	525
—	2412	46993	00204, 2030	391	497	—	2424	47287	003, 300203	189	703	—	2435	47527	003, 2, 2002, 3	243	823





$z'$	$z''$	$Z$	Exponenten	$\bar{N}$	$N$	$z'$	$z''$	$Z$	Exponenten	$\bar{N}$	$N$	$z'$	$z''$	$Z$	Exponenten	$\bar{N}$	$N$
2500	—	48371	004, 2, 4, 2, 2	198 485	—	2484	48619	004040002	181 479	2526	—	48869	00503, 2000	276 439			
2501	—	48383	004, 2, 8	20 169	2516	—	48623	0040404	64 309	—	2499	48871	00503, 2, 3	113 389			
—	2475	48397	004004, 200	293 495	2517	—	48647	005, 6, 3	68 215	—	2500	48883	00504, 2, 2	139 341			
2502	—	48407	004003003	162 577	—	2485	48649	005, 5020	193 261	—	2501	48889	00505, 20	165 241			
—	2476	48409	004003, 2, 20	395 557	—	2486	48661	005, 400000	263 423	—	2502	48907	006, 4002	121 309			
2503	—	48413	004003, 300	304 537	—	2487	48673	005, 3040	219 265	2527	—	48947	006, 2, 2, 2, 2	166 401			
2504	—	48437	004002, 20000	468 763	2518	—	48677	005, 302000	300 473	2528	—	48953	006, 2, 3, 20	222 319			
2505	—	48449	004000050	286 337	—	2488	48679	005, 302, 3	127 427	—	2503	48973	006002, 200	241 411			
—	2477	48463	00400002, 4	133 583	2519	—	48731	005, 200202	212 577	2529	—	48989	00600300	200 357			
2506	—	48473	004000002, 20	512 727	—	2489	48733	005, 200300	271 483	—	2504	48991	00600005	43 243			
2507	—	48479	0040000005	82 481	—	2490	48751	005, 2, 204	83 391	—	2505	49003	006020002	159 419			
—	2478	48481	0040002, 40	359 441	—	2491	48757	005, 2, 30000	297 487	—	2506	49009	00603, 30	189 247			
—	2479	48487	0040002, 2, 3	195 667	2520	—	48761	005, 2, 4, 20	238 345	2530	—	49019	0060402	88 249			
2508	—	48491	00400020002	308 811	2521	—	48767	005, 2, 7	24 179	2531	—	49031	007, 4, 3	62 201			
2509	—	48497	0040003, 30	370 483	2522	—	48779	005003002	194 497	—	2507	49033	007, 3020	171 233			
—	2480	48523	00402, 3002	239 613	—	2492	48781	005003, 200	279 473	2532	—	49037	007, 3, 200	156 265			
2510	—	48527	00402, 3, 4	104 447	—	2493	48787	00500202, 2	231 547	2533	—	49043	007, 202, 2	126 299			
2511	—	48533	00402, 200000	458 739	—	2494	48799	005002, 5	61 329	—	2508	49057	0070040	145 177			
2512	—	48539	00402, 2, 202	250 677	2523	—	48809	00500000020	416 575	—	2509	49069	007000200	179 309			
—	2481	48541	00402, 2, 300	323 573	—	2495	48817	0050002, 30	331 429	—	2510	49081	00703, 20	149 215			
2513	—	48563	0040202, 2, 2	272 659	2524	—	48821	00500020000	368 601	2534	—	49103	008, 2, 4	36 161			
—	2482	48571	004020302	199 535	—	2496	48823	005000203	135 503	2535	—	49109	008000000	146 237			
—	2483	48589	00403, 2, 200	327 559	—	2497	48847	00502, 2, 4	87 385	—	2511	49117	0080300	93 167			
2514	—	48593	004030030	338 433	2525	—	48857	0050202, 20	324 461	2536	—	49121	009, 40	78 97			
2515	—	48611	00404, 3, 2	170 393	—	2498	48859	005020202	187 511	—	2512	49123	009, 3, 2	59 137			



[illegible]

$z'$	$z''$	$Z$	Exponenten	$\bar{N}$	$N$	$z'$	$z''$	$Z$	Exponenten	$\bar{N}$	$N$
—	2588	50767	2, 3, 2, 202, 4	149	651	2623	—	51047	2, 3, 302, 2, 3	196	671
—	2589	50773	2, 3, 2, 2000000000	635	1027	2624	—	51059	2, 3, 303, 2, 2	256	625
2612	—	50777	2, 3, 2, 2002, 20	580	823	—	2602	51061	2, 3, 3030000	399	635
2613	—	50789	2, 3, 2, 2, 20000	548	869	2625	—	51071	2, 3, 307	30	233
—	2590	50821	2, 3, 2004000	397	615	—	2603	51109	2, 3, 4000000	409	647
—	2591	50833	2, 3, 2002030	521	661	2626	—	51131	2, 3, 40302	178	497
—	2592	50839	2, 3, 2002003	241	863	—	2604	51133	2, 3, 40400	215	393
2614	—	50849	2, 3, 2000040	466	567	2627	—	51137	2, 3, 5, 50	192	229
—	2593	50857	2, 3, 2000000000	691	955	—	2605	51151	2, 3, 5, 2, 4	81	361
2615	—	50867	2, 3, 20002, 2, 2	388	939	—	2606	51157	2, 3, 5000000	331	537
2616	—	50873	2, 3, 20003, 20	512	737	—	2607	51169	2, 3, 6, 40	183	227
2617	—	50891	2, 3, 202, 2002	356	921	—	2608	51193	2, 3, 8, 20	123	181
—	2594	50893	2, 3, 202, 2, 200	503	859	2628	—	51197	2, 3, 900	72	137
2618	—	50909	2, 3, 2020300	402	719	—	2609	51199	2, 3, 11	7	79
—	2595	50923	2, 3, 2030002	301	795	2629	—	51203	2, 209, 2	68	143
—	2596	50929	2, 3, 204, 30	347	455	—	2610	51217	2, 206030	209	263
2619	—	50951	2, 3, 3, 5, 3	122	389	—	2611	51229	2, 206, 300	195	343
2620	—	50957	2, 3, 3, 4, 200	320	541	2630	—	51230	2, 20502, 3	134	449
2621	—	50969	2, 3, 3, 2, 20	426	601	—	2612	51241	2, 20500020	355	459
—	2597	50971	2, 3, 3, 3, 202	251	677	2631	—	51257	2, 205, 3, 20	294	421
—	2598	50989	2, 3, 3, 200200	463	797	2632	—	51263	2, 205, 6	40	247
2622	—	50993	2, 3, 2, 2, 30	440	569	—	2613	51283	2, 2040002, 2	209	711
—	2599	51001	2, 3, 3, 2, 30	417	599	2633	—	51287	2, 20400003	186	671
—	2600	51031	2, 3, 300003	210	793	—	2614	51307	2, 204, 20002	285	749
—	2601	51043	2, 3, 302, 3, 2	279	641	2634	—	51329	2, 203060	224	237

$z'$	$z''$	$Z$	Exponenten	$\bar{N}$	$N$	$z'$	$z''$	$Z$	Exponenten	$\bar{N}$	$N$	$z'$	$z''$	$Z$	Exponenten	$\bar{N}$	$N$
2650	—	51551	2, 20200005	116	651	—	2636	51817	2, 20002, 20020	745	1033	—	2651	52069	2, 200202, 20000	671	1065
2651	—	51563	2, 202000002	438	1153	2664	—	51827	2, 20002, 3, 2, 2	388	945	—	2652	52081	2, 200203, 30	523	683
—	2625	51571	2, 202004, 20	457	663	—	2637	51829	2, 20002, 30000	607	995	2674	—	52103	2, 2003, 4, 3	184	595
2652	—	51581	2, 20200500	295	547	2665	—	51839	2, 20002, 7	50	369	2675	—	52121	2, 2003, 2, 2, 20	576	815
2653	—	51593	2, 202, 2, 3020	252	751	—	2638	51853	2, 2000003, 200	593	1005	2676	—	52127	2, 2003, 2, 5	98	533
2654	—	51599	2, 202, 2, 3, 4	154	661	—	2639	51859	2, 200000202, 2	493	1167	—	2653	52147	2, 200302, 2, 2	361	875
—	2626	51607	2, 202, 2, 2003	263	943	2666	—	51869	2, 2000002, 300	574	1017	—	2654	52153	2, 200303, 20	471	679
—	2627	51613	2, 202, 2, 300	481	853	—	2640	51871	2, 2000002, 5	131	705	2677	—	52163	2, 2004, 4, 2	232	519
—	2628	51631	2, 202, 20004	173	801	2667	—	51893	2, 200000020000	798	1303	—	2655	52177	2, 20040030	433	555
—	2629	51637	2, 202, 2020000	647	1057	2668	—	51899	2, 2000000302	374	1041	2678	—	52181	2, 2004000000	500	811
2655	—	51647	2, 202, 206	64	429	—	2641	51907	2, 200002, 4, 2	355	791	—	2656	52183	2, 200400003	189	689
2656	—	51659	2, 202, 3, 2002	358	927	—	2642	51913	2, 200002, 2020	721	1015	—	2657	52189	2, 20040300	323	579
—	2630	51673	2, 202, 302, 20	543	773	2669	—	51929	2, 20000202, 20	722	1027	—	2658	52201	2, 20050020	371	517
—	2631	51679	2, 202, 395	83	479	2670	—	51941	2, 200003, 20000	622	989	2679	—	52223	2, 20010	12	127
2657	—	51683	2, 202, 4, 3, 2	268	619	—	2643	51949	2, 20000302000	541	939	—	2659	52237	2, 2, 2, 6, 200	243	409
—	2632	51691	2, 202, 40002	287	759	2671	—	51971	2, 2002, 6, 2	198	427	—	2660	52249	2, 2, 2, 5, 2, 20	349	491
2658	—	51713	2, 200080	164	183	—	2644	51973	2, 2002, 5000	305	563	2680	—	52253	2, 2, 2, 5, 300	272	479
2659	—	51719	2, 20006, 3	126	397	2672	—	51977	2, 2002, 4020	470	637	2681	—	52259	2, 2, 2, 403, 2	248	561
—	2633	51721	2, 20005020	359	485	—	2645	51991	2, 2002, 3003	241	859	—	2661	52267	2, 2, 2, 400002	301	785
2660	—	51749	2, 2000302000	578	911	—	2646	52009	2, 2002, 200020	747	1031	2682	—	52289	2, 2, 2, 3050	306	359
2661	—	51767	2, 20003, 203	226	835	—	2647	52021	2, 2002, 2, 200000	685	1117	—	2662	52291	2, 2, 2, 304, 2	253	559
—	2634	51769	2, 20003, 3, 20	521	747	—	2648	52027	2, 2002, 2, 302	327	907	2683	—	52301	2, 2, 2, 302, 200	494	841
—	2635	51787	2, 200020202	445	1147	—	2649	52051	2, 200200002, 2	499	1189	2684	—	52313	2, 2, 2, 3002, 20	576	817
2662	—	51797	2, 200020000000	802	1297	—	2650	52057	2, 20020002, 20	733	1041	—	2663	52321	2, 2, 2, 3, 2, 40	417	511
2663	—	51803	2, 2000200202	426	1159	2673	—	52067	2, 200202, 3, 2	394	905	2685	—	52361	2, 2, 2, 203020	538	731



$z'$	$z''$	$Z$	Exponenten	$\bar{N}$	$N$	$z'$	$z''$	$Z$	Exponenten	$\bar{N}$	$N$
—	2699	53173	2, 2, 5020000	337 551	—	2736	—	53453	2004, 2, 2, 200	426	727
2726	—	53189	2, 2, 6, 3000	234 367	—	2714	53479	2004, 3, 2, 3	—	171	587
—	2700	53197	2, 2, 6, 200	239 409	—	2715	53503	2004, 8	—	23	189
2727	—	53201	2, 2, 60030	244 313	2737	—	53507	200306, 2	—	156	335
2728	—	53231	2, 2, 704	42 205	—	2716	53527	20033003	—	197	701
—	2701	53233	2, 2, 8, 30	131 173	2738	—	53549	2003200200	—	540	939
—	2702	53239	2, 2, 803	47 183	—	2717	53551	200320004	—	151	691
2729	—	53267	200702, 2	124 291	—	2718	53569	200300050	—	361	435
—	2703	53269	200700000	205 329	2739	—	53591	2003000003	—	274	991
2730	—	53279	2007, 5	38 195	—	2719	53593	2003000002, 20	—	653	927
—	2704	53281	2006040	185 223	2740	—	53597	200300000300	—	484	863
—	2705	53299	2006, 2, 2, 2	175 421	2741	—	53609	200300200020	—	648	899
2731	—	53309	2006, 400	170 307	—	2720	53611	20030020002	—	397	1045
—	2706	53323	200502002	221 569	—	2721	53617	2003003, 30	—	479	625
2732	—	53327	200502, 4	94 409	—	2722	53623	200300303	—	187	707
—	2707	53353	2005, 20020	389 539	—	2723	53629	200300500	—	269	497
—	2708	53359	2005, 204	89 417	2742	—	53633	2003, 2, 60	—	264	395
—	2709	53377	2004060	191 219	2743	—	53639	2003, 2, 4, 3	—	182	587
2733	—	53381	200404000	298 461	—	2724	53653	2003, 2, 200000	—	623	1005
—	2710	53401	200402, 2, 20	451 637	2744	—	53657	2003, 2, 2, 20	—	582	823
—	2711	53407	200402, 5	79 423	2745	—	53681	2003, 204, 30	—	536	695
2734	—	53411	20040003, 2	288 655	2746	—	53693	2003, 20400	—	336	613
—	2712	53419	20040000002	339 887	2747	—	53699	2003, 3, 4, 2	—	254	597
—	2713	53437	200400400	283 515	2748	—	53717	2003, 3000000	—	562	911
2735	—	53441	2004, 2, 50	278 329	—	2725	53719	2003, 30003	—	213	775



$z'$	$z''$	$Z$	Exponenten	$\bar{N}$	$N$	$z'$	$z''$	$Z$	Exponenten	$\bar{N}$	$N$
—	2736	54001	2002004, 30	457	599	2774	—	54323	200004, 2, 2, 2	326	785
2764	—	54011	200200502	204	581	—	2751	54331	200004, 302	253	609
—	2737	54013	200200600	235	439	2775	—	54347	2000030002	394	1015
—	2738	54037	2002, 2, 300000	623	1003	—	2752	54361	200003002, 20	655	939
—	2739	54049	2002, 2, 2040	499	605	—	2753	54367	200003005	107	595
2765	—	54059	2002, 2, 200002	468	1223	2776	—	54371	200003, 2, 3, 2	368	843
2766	—	54083	2002, 2004, 2	344	763	2777	—	54377	200003, 20020	676	937
—	2740	54091	2002, 2002002	463	1195	2778	—	54401	200020600	316	363
2767	—	54101	2002, 2000000000	820	1327	—	2754	54403	2000205, 2	269	585
—	2741	54121	2002, 2020020	727	1009	—	2755	54409	2000203020	619	841
—	2742	54133	2002, 2030000	577	947	2779	—	54413	2000203, 200	572	969
—	2743	54139	2002, 20402	251	709	2780	—	54419	200020202, 2	478	1131
—	2744	54151	2002, 3, 4, 3	189	611	—	2756	54421	200020200000	781	1259
—	2745	54163	2002, 3, 202, 2	391	927	2781	—	54437	2000200020000	802	1267
2768	—	54167	2002, 3, 2003	246	883	2782	—	54443	200020000002	546	1429
—	2746	54181	2002, 3002000	619	979	2783	—	54449	20002002, 30	708	917
—	2747	54193	2002, 302, 30	531	689	—	2757	54469	20002, 2, 3000	635	993
—	2748	54217	2002, 4, 2020	495	679	—	2758	54493	20002, 20300	541	967
2769	—	54251	2002, 50002	236	625	2784	—	54497	20002, 3, 40	494	609
2770	—	54265	2002, 800	122	231	—	2759	54499	20002, 3, 3, 2	379	873
—	2749	54277	200007000	211	323	2785	—	54503	20002, 3, 2, 3	264	907
2771	—	54287	200006, 4	86	357	—	2760	54517	20002, 40000	515	847
2772	—	54293	2000050000	404	649	2786	—	54521	20002, 5, 20	400	583
2773	—	54311	20000402, 3	206	691	2787	—	54539	2000004002	348	887
—	2750	54319	200004004	133	605	—	2761	54541	20000004, 200	505	853
—	2762	54547	2000000302, 2	437	1031	—	2762	54547	2000000302, 2	437	1031
—	2763	54559	20000003, 5	123	649	—	2763	54559	20000003, 5	123	649
—	—	54593	2000000203, 2	458	1039	—	—	54593	2000000203, 2	458	1039
—	2764	54577	20000002, 2, 30	725	937	—	2764	54577	20000002, 2, 30	725	937
—	—	54581	20000002, 20000	814	1327	—	—	54581	20000002, 20000	814	1327
2765	—	54599	2002, 2, 200002	468	1223	2776	—	54371	200003, 2, 3, 2	368	843
2766	—	54083	2002, 2004, 2	344	763	2777	—	54377	200003, 20020	676	937
—	2740	54091	2002, 2002002	463	1195	2778	—	54401	200020600	316	363
2767	—	54101	2002, 2000000000	820	1327	—	2754	54403	2000205, 2	269	585
—	2741	54121	2002, 2020020	727	1009	—	2755	54409	2000203020	619	841
—	2742	54133	2002, 2030000	577	947	2779	—	54413	2000203, 200	572	969
—	2743	54139	2002, 20402	251	709	2780	—	54419	200020202, 2	478	1131
—	2744	54151	2002, 3, 4, 3	189	611	—	2756	54421	200020200000	781	1259
—	2745	54163	2002, 3, 202, 2	391	927	2781	—	54437	2000200020000	802	1267
2768	—	54167	2002, 3, 2003	246	883	2782	—	54443	200020000002	546	1429
—	2746	54181	2002, 3002000	619	979	2783	—	54449	20002002, 30	708	917
—	2747	54193	2002, 302, 30	531	689	—	2757	54469	20002, 2, 3000	635	993
—	2748	54217	2002, 4, 2020	495	679	—	2758	54493	20002, 20300	541	967
2769	—	54251	2002, 50002	236	625	2784	—	54497	20002, 3, 40	494	609
2770	—	54265	2002, 800	122	231	—	2759	54499	20002, 3, 3, 2	379	873
—	2749	54277	200007000	211	323	2785	—	54503	20002, 3, 2, 3	264	907
2771	—	54287	200006, 4	86	357	—	2760	54517	20002, 40000	515	847
2772	—	54293	2000050000	404	649	2786	—	54521	20002, 5, 20	400	583
2773	—	54311	20000402, 3	206	691	2787	—	54539	2000004002	348	887
—	2750	54319	200004004	133	605	—	2761	54541	20000004, 200	505	853

$z'$	$z''$	$Z$	Exponenten	$\bar{N}$	$N$	$z'$	$z''$	$Z$	Exponenten	$\bar{N}$	$N$	$z'$	$z''$	$Z$	Exponenten	$\bar{N}$	$N$
—	2777	54859	20002, 300200	581	999	2812	—	55109	2003003000	536	837	—	2802	55399	202, 4, 2, 2, 3	191	651
2798	—	54833	20002, 3, 2, 30	560	723	—	2788	55117	20030002, 200	573	977	—	2803	55411	202, 4, 3, 2, 2	261	635
2799	—	54851	20002, 204, 2	334	739	2813	—	55137	2003000000	272	985	2823	—	55439	202, 303, 4	132	563
2800	—	54869	20002, 2000000	818	1323	—	2789	55147	2003020000	383	1009	—	2804	55441	202, 302030	493	625
—	2778	54877	20002, 200300	555	989	2814	—	55103	200030402	214	605	2824	—	55457	202, 300040	450	547
2801	—	54881	20002, 2, 2, 40	534	655	—	2790	55171	20004, 5, 2	193	433	2825	—	55469	202, 300002000	574	989
—	2779	54907	20002, 2, 402	271	763	—	2791	55201	200040040	373	455	2826	—	55487	202, 3006	62	407
2802	—	54917	20002004000	508	787	—	2792	55207	20004002, 3	209	709	—	2805	55501	202, 3, 2, 2, 200	515	879
—	2780	54919	20002004, 3	229	737	—	2793	55213	20004000200	463	799	2827	—	55511	202, 3, 20003	240	871
2803	—	54941	20002002, 300	566	1003	2815	—	55217	2000402, 30	426	533	2828	—	55529	202, 3, 30020	526	731
—	2781	54949	2000200002000	803	1269	—	2794	55219	2000402, 2, 2	299	735	2829	—	55541	202, 3, 40000	402	661
2804	—	54959	20002000004	208	961	2816	—	55229	200040400	262	479	2830	—	55547	202, 3, 502	170	483
—	2782	54973	20002000400	445	811	—	2795	55243	20005, 2002	241	635	—	2806	55579	202, 3, 202	327	881
—	2783	54979	2000202, 4, 2	345	769	—	2796	55249	200050030	347	445	2831	—	55589	202, 202020000	646	1019
2805	—	54983	2000202, 3, 3	266	877	2817	—	55259	200050202	204	559	—	2807	55603	202, 202, 2, 2, 419	1011	—
—	2784	55001	200020202, 20	698	993	—	2797	55291	2000802	77	223	—	2808	55609	202, 202, 3, 20	565	811
2806	—	55009	200020203, 40	461	569	2818	—	55313	202, 6030	228	287	2832	—	55619	202, 20004, 2	338	749
—	2785	55021	20002030200	519	901	2819	—	55331	202, 503, 2	196	443	—	2809	55621	202, 200030000	603	941
2807	—	55049	20003, 4020	430	583	—	2798	55333	202, 502000	341	537	2833	—	55631	202, 20002, 4	192	841
—	2786	55051	20003, 4002	277	707	2820	—	55337	202, 500200	384	539	—	2810	55633	202, 20000030	695	887
—	2787	55057	30003, 3030	467	591	—	2799	55339	202, 500002	239	623	—	2811	55639	202, 20000003	311	1125
2808	—	55061	20003, 300000	562	905	2821	—	55343	202, 5004	94	427	2834	—	55661	202, 20002000	614	1063
2809	—	55073	20003, 2040	446	541	—	2800	55351	202, 5, 203	137	595	—	2812	55603	202, 2000204	165	779
2810	—	55079	20003, 202, 3	256	863	2822	—	55373	202, 402, 200	406	691	2835	—	55667	202, 2003, 2, 2	376	917
2811	—	55103	20003, 2, 6	66	425	—	2801	55381	202, 400000000	519	839	2836	—	55673	202, 2004, 20	468	679

$z'$	$z''$	$Z$	Exponenten	$\bar{N}$	$N$	$z'$	$z''$	$Z$	Exponenten	$\bar{N}$	$N$
—	2813	55681	202, 2, 4, 60	295	341	—	2824	55921	202002, 3, 30	547	713
2837	—	55691	202, 2, 2, 3002	360	923	—	2825	55927	202002, 303	215	811
2838	—	55697	202, 2, 2, 3030	582	739	2851	—	55931	202002, 402	264	743
—	2814	55711	202, 2, 2, 2, 5	111	601	—	2826	55933	202002, 500	313	577
—	2815	55717	202, 2, 2002000	685	1083	2852	—	55949	20200003, 200	580	983
2839	—	55721	202, 2, 300020	750	1037	2853	—	55957	20200002, 5	128	689
2840	—	55733	202, 2, 2020000	658	1075	—	2827	55987	202000002, 2, 2493	1193	—
2841	—	55763	202, 2, 3002, 2	382	913	2854	—	55997	20200000400	444	809
2842	—	55787	202, 2, 40002	290	767	2855	—	56003	2020002, 4, 2	346	771
2843	—	55793	202, 2, 5, 30	328	431	2856	—	56009	20200002, 2020	722	969
2844	—	55799	202, 2, 503	122	469	2857	—	56039	20200003, 2, 3	248	853
—	2816	55807	202, 2, 9	19	179	—	2828	56041	20200030020	635	883
—	2817	55813	202006000	269	413	—	2829	56053	20200040000	477	785
2845	—	55817	202005020	356	481	2858	—	56081	20202, 3030	494	625
—	2818	55819	202005002	231	587	2859	—	56087	20202, 3003	332	827
2846	—	55823	202005, 4	106	443	2860	—	56093	20202, 3, 300	434	767
2847	—	55829	2020040000	492	791	2861	—	56099	20202, 203, 2	374	849
—	2819	55837	2020004, 300	367	647	—	2830	56101	20202, 202000	647	1021
—	2820	55843	20200303, 2	329	745	—	2831	56113	20202, 2, 2, 30	587	759
—	2821	55849	20200300020	639	881	2862	—	56123	20202, 2, 302	314	871
2848	—	55871	202003, 6	68	427	—	2832	56131	20202004, 2	325	721
2849	—	55889	20200200030	672	857	—	2833	56149	20202000000000	773	1251
—	2822	55897	202002002, 20	721	1023	—	2834	56167	2020202, 2, 3	265	907
2850	—	55901	20200200300	536	955	2863	—	56171	202020200002	418	1101
—	2823	55903	2020020005	117	653	—	2835	56179	2020203, 2, 2	347	847

$z'$	$z''$	$Z$	Exponenten	$\bar{N}$	$N$	$z'$	$z''$	$Z$	Exponenten	$\bar{N}$	$N$
2873	—	56477	203, 202, 300	424	751	—	2864	56713	20302, 3020	471	641
—	2852	56479	203, 202, 5	97	521	—	2855	56731	20302, 2, 202	315	853
2874	—	56489	203, 2000000	668	923	—	2866	56737	203020040	421	513
2875	—	56501	203, 20020000	596	973	2886	—	56747	20302000002	382	1001
—	2853	56503	203, 200203	219	815	—	2867	56767	2030206	53	357
—	2854	56509	203, 200400	341	621	—	2868	56773	20303, 3000	399	625
2876	—	56519	203, 2, 2, 3, 3	208	685	—	2869	56779	20303, 3002	293	759
—	2855	56527	203, 2, 2, 2, 4	147	649	2887	—	56783	20303, 2, 4	150	533
2877	—	56531	203, 2, 2002, 2	380	907	2888	—	56807	20304, 2, 3	148	511
—	2856	56533	203, 2, 2000000	613	993	—	2870	56809	203040020	377	525
2878	—	56543	203, 2, 205	86	491	2889	—	56813	203040000	310	539
—	2857	56569	203, 2, 5, 20	297	433	—	2871	56821	203050000	271	447
2879	—	56591	203004, 4	114	481	—	2872	56827	2030602	109	313
2880	—	56597	2030030000	520	837	2890	—	56843	204, 5002	160	407
—	2858	56599	203003003	203	723	—	2873	56857	204, 4, 2, 20	323	455
—	2859	56611	20300203, 2	331	751	2891	—	56873	204, 300020	430	593
—	2860	56629	203002, 20000	587	957	2892	—	56891	204, 3, 302	194	537
2881	—	56633	203002, 3, 20	498	715	—	2874	56893	204, 3, 400	339	433
—	2861	56659	203000002, 2	437	1041	2893	—	56897	204, 2050	256	301
2882	—	56663	20300000003	270	977	2894	—	56909	204, 202, 200	408	695
—	2862	56671	203000005	103	579	—	2875	56911	204, 202, 4	121	520
2883	—	56681	2030002000	632	877	2895	—	56921	204, 2002, 20	470	667
2884	—	56687	203000204	142	671	—	2876	56923	204, 200202	273	743
—	2863	56701	203000500	259	479	—	2877	56929	204, 2, 2, 40	335	411
2885	—	56711	203002, 4, 3	170	549	—	2878	56941	204, 2, 20200	397	687

$z'$	$z''$	$Z$	Exponenten	$\bar{N}$	$N$	$z'$	$z''$	$Z$	Exponenten	$\bar{N}$	$N$
—	2886	57193	20520020	345	479	—	2900	57487	3, 503, 4	73	311
2914	—	57203	20503, 2, 2	174	425	—	2901	57493	3, 50200000	357	527
2915	—	57221	206, 4000	186	289	2925	—	57593	3, 502, 5	54	289
—	2887	57223	205, 4, 3	83	269	2926	—	57527	3, 500203	124	461
—	2888	57241	206, 2, 2, 20	255	361	—	2902	57539	3, 5003, 20	283	407
2916	—	57251	206003, 2	152	347	2927	—	57557	3, 5, 2000000	360	583
—	2889	57259	206000002	175	459	—	2903	57559	3, 5, 20003	137	497
2917	—	57269	206020000	244	399	—	2904	57571	3, 5, 3, 3, 2	169	389
—	2890	57271	2060203	89	333	2928	—	57587	3, 5, 4, 2, 2	150	367
—	2891	57283	207, 4, 2	95	213	2929	—	57593	3, 5, 5, 20	182	265
2918	—	57287	207, 3, 3	72	239	—	2905	57601	3, 4070	125	141
—	2892	57301	207000000	199	323	—	2906	57637	3, 40202000	395	623
2919	—	57329	209, 30	90	119	2930	—	57641	3, 40200020	440	607
—	2893	57331	209, 2, 2	61	151	—	2907	57649	3, 402, 2, 30	363	469
2920	—	57347	3, 11, 2	34	71	2931	—	57653	3, 402, 20000	408	665
—	2894	57349	3, 10, 000	65	99	—	2908	57667	3, 40004, 2	209	463
—	2895	57367	3, 8003	53	187	—	2909	57679	3, 40002, 4	119	521
—	2896	57373	3, 8, 300	103	181	2932	—	57689	3, 400002, 20	460	653
2921	—	57383	3, 702, 3	72	241	—	2910	57697	3, 4002, 40	325	399
2922	—	57389	3, 700200	166	285	—	2911	57709	3, 40020200	383	663
—	2897	57397	3, 7, 20000	185	301	2933	—	57713	3, 4003, 30	338	441
2923	—	57413	3, 603000	192	299	2934	—	57719	3, 400303	132	499
—	2898	57427	3, 60002, 2	167	397	—	2912	57727	3, 4007	29	219
—	2899	57457	3, 6, 30	199	259	2935	—	57731	3, 4, 2, 5, 2	158	345
2924	—	57467	3, 6, 402	98	275	2936	—	57737	3, 4, 2, 3020	358	487
—	2913	57751	3, 4, 2, 2003	171	613	—	2916	57793	3, 4, 3, 50	223	265
—	2914	57773	3, 4, 2000200	410	707	2937	—	57803	3, 4, 3, 2002	236	611
—	2915	57781	3, 4, 2020000	423	691	—	2917	57809	3, 4, 30030	346	443
—	2915	57787	3, 4, 20302	197	549	—	2917	57829	3, 4, 4, 2000	301	479
—	2915	57791	3, 4, 206	42	281	2938	—	57839	3, 4, 404	68	327
—	2916	57793	3, 4, 3, 50	223	265	—	2918	57847	3, 4, 503	81	311
—	2917	57803	3, 4, 30030	346	443	2939	—	57853	3, 4, 700	107	201
—	2917	57829	3, 4, 4, 2000	301	479	—	2920	57859	3, 307, 2	101	215
—	2917	57839	3, 4, 404	68	327	2941	—	57881	3, 304, 2, 20	336	473
—	2918	57847	3, 4, 503	81	311	—	2921	57899	3, 30300002	284	741
—	2919	57853	3, 4, 700	107	201	—	2921	57901	3, 30300200	395	679
—	2920	57859	3, 307, 2	101	215	2942	—	57917	3, 303, 400	258	467
—	2921	57881	3, 304, 2, 20	336	473	2943	—	57923	3, 30204, 2	232	513
—	2921	57899	3, 30300002	284	741	—	2922	57943	3, 30200003	219	791
—	2921	57901	3, 30300200	395	679	—	2922	57947	3, 30200202	304	827
—	2922	57917	3, 303, 400	258	467	2944	—	57973	3, 302, 30000	435	713
—	2922	57923	3, 30204, 2	232	513	—	2923	57977	3, 302, 4, 20	350	507
—	2922	57943	3, 30200003	219	791	—	2924	57991	3, 30004, 3	167	537
—	2922	57947	3, 30200202	304	827	2946	—	58013	3, 30002, 300	416	737
—	2923	57973	3, 302, 30000	435	713	—	2925	58027	3, 300000002	403	1055
—	2923	57977	3, 302, 4, 20	350	507	2947	—	58027	3, 300000002	403	1055
—	2924	57991	3, 30004, 3	167	537	—	2924	58027	3, 300000002	403	1055
—	2924	58013	3, 30002, 300	416	737	2948	—	58027	3, 300000002	403	1055
—	2924	58027	3, 300000002	403	1055	—	2925	58027	3, 300000002	403	1055

[illegible]

$z'$	$z''$	$Z$	Exponenten	$\bar{N}$	$N$	$z'$	$z''$	$Z$	Exponenten	$\bar{N}$	$N$	$z'$	$z''$	$Z$	Exponenten	$\bar{N}$	$N$
—	2964	58997	3, 2, 2, 493e	351	443	—	2974	59107	3, 2, 2e3, 3, 2	291	671	3012	—	59369	3, 2, 5ee2e	246	343
2986	—	58901	3, 2, 2, 4e000e	426	685	—	2975	59113	3, 2, 2e3ee2e	517	719	—	2988	59377	3, 2, 7, 3e	163	215
2987	—	58907	3, 2, 2, 4, 2e2	242	651	—	2976	59119	3, 2, 2e3e4	113	541	3013	—	59387	3, 2, 5e2	66	191
—	2965	58909	3, 2, 2, 4, 3ee	317	559	3001	—	59123	3, 2, 2e4, 2, 2	250	613	3014	—	59393	3ee10e	74	81
2988	—	58913	3, 2, 2, 3e4e	358	433	3002	—	59141	3, 2, 3, 5ee0e	278	429	3015	—	59399	3ee8, 3	60	187
—	2966	58921	3, 2, 2, 3ee2e	549	757	—	2977	59149	3, 2, 3, 4, 2ee	333	563	—	2989	59407	3ee7, 4	53	219
2989	—	58937	3, 2, 2, 3, 2e	440	631	3003	—	59159	3, 2, 3, 3ee3	182	649	3016	—	59417	3ee6, 2, 2e	244	343
2990	—	58943	3, 2, 2, 3, 6	58	385	—	2978	59167	3, 2, 3, 3, 5	79	419	—	2990	59419	3ee6, 2e2	145	389
—	2967	58963	3, 2, 2, 2ee2e, 2	413	983	3004	—	59183	3, 2, 3, 2ee4	134	615	3017	—	59441	3ee5, 2, 3e	294	379
2991	—	58967	3, 2, 2, 2ee0e3	256	925	—	2979	59197	3, 2, 3, 2, 4, 4ee	299	543	—	2991	59443	3ee5, 2, 2, 2	209	503
2992	—	58979	3, 2, 2, 2, 2, 3, 2	338	775	3005	—	59207	3, 2, 3, 3ee3, 3	196	643	3018	—	59447	3ee5, 2e3	124	457
2993	—	58991	3, 2, 2, 2, 2e4	140	659	—	2980	59209	3, 2, 3ee2e2e	533	729	3019	—	59453	3ee5, 4ee	202	365
2994	—	58997	3, 2, 2, 2, 3ee0e	502	833	3006	—	59219	3, 2, 3ee0e2, 2	368	877	—	2992	59467	3ee4e2e2	259	667
2295	—	59009	3, 2, 2ee6e	270	311	—	2981	59221	3, 2, 3ee0e0e0e	595	963	3020	—	59471	3ee4e2, 4	110	479
—	2968	59011	3, 2, 2ee5, 2	229	499	—	2982	59233	3, 2, 3e2, 4e	375	461	—	2993	59473	3ee4e0e3e	401	511
2996	—	59021	3, 2, 2ee3, 2ee	482	817	—	2983	59239	3, 2, 3e2, 2, 3	203	695	—	2994	59497	3ee4, 2ee2e	451	625
—	2969	59023	3, 2, 2ee3, 4	147	659	3007	—	59243	3, 2, 3ee2e2e2	320	843	—	2995	59509	3ee4, 3ee0e0e	373	611
—	2970	59029	3, 2, 2ee2ee0e0e	653	1053	—	2984	59263	3, 2, 3e7	31	241	3021	—	59513	3ee4, 4, 2e	302	437
2997	—	59051	3, 2, 2ee0e0e2e2	448	1173	3008	—	59273	3, 2, 4, 3ee2e	362	493	—	2996	59539	3ee3e2e2, 2	331	783
—	2971	59053	3, 2, 2ee0e2ee0e	619	1067	—	2985	59281	3, 2, 4, 2ee3e	369	469	—	2997	59557	3ee3ee2e0e0e	559	883
2998	—	59063	3, 2, 2ee0e2e3	236	879	3009	—	59333	3, 2, 5, 3ee0e	280	439	3022	—	59561	3ee3ee2e0e2e	616	851
2999	—	59069	3, 2, 2ee0e4e	366	667	—	2986	59341	3, 2, 5, 2, 2ee	287	491	3023	—	59567	3ee3ee0e0e4	146	673
—	2972	59077	3, 2, 2e2, 3ee0e	503	787	3010	—	59351	3, 2, 5ee0e3	128	467	—	2998	59581	3ee3ee0e4ee	317	577
—	2973	59083	3, 2, 2e2, 2ee2	373	965	3011	—	59357	3, 2, 5e3ee	218	391	—	2999	59611	3ee3, 2e2e2	303	827
3000	—	59093	3, 2, 2e2e2ee0e0e	640	1037	—	2987	59359	3, 2, 5e5	45	263	—	3000	59617	3ee3, 3, 4e	353	435

$z'$	$z''$	$Z$	Exponenten	$\bar{N}$	$N$	$z'$	$z''$	$Z$	Exponenten	$\bar{N}$	$N$	$z'$	$z''$	$Z$	Exponenten	$\bar{N}$	$N$
3024	—	59621	3003, 3, 2000	460	731	3037	—	59921	300004030	386	487	—	3022	60169	30002, 4020	439	595
3025	—	59657	3003, 3, 3002	296	781	—	3013	59929	300004, 2, 20	451	535	3053	—	60209	30002, 2, 30	570	737
—	3001	59629	3003, 3, 2000	403	699	3038	—	59951	300003004	148	675	—	3023	60217	30002, 2, 3, 20	541	777
3026	—	59551	300206, 2	168	361	3039	—	59957	300003, 20000	574	935	—	3024	60223	30002, 2, 6	69	443
—	3002	59659	300204002	261	665	—	3014	59971	30000204, 2	307	679	3054	—	60251	30002000202	396	1079
3027	—	59663	300204, 4	118	497	3040	—	59981	30000202, 200	596	1015	3055	—	60257	3000202, 40	476	585
3028	—	59669	30020300000	540	869	3041	—	59999	300002005	112	625	—	3025	60259	3000202, 3, 2	367	843
—	3003	59671	300203003	211	751	—	3015	60013	300002, 20200	589	1019	—	3026	60271	300020204	149	705
3029	—	59693	3002020200	576	991	3042	—	60017	300002, 3, 30	524	683	—	3027	60289	30003, 60	251	291
3030	—	59699	300202, 2, 2, 2	390	941	3043	—	60029	300002, 500	300	553	3056	—	60293	30003, 4000	382	593
—	3004	59707	300202, 302	297	823	—	3016	60037	30000004000	481	745	3057	—	60317	30003, 2, 300	404	717
3031	—	59723	3002002002	426	1099	3044	—	60041	3000003020	604	821	—	3028	60331	30003000002	375	983
3032	—	59729	3002000030	648	827	3045	—	60077	3000000000	720	1241	—	3029	60337	3000302, 30	477	619
—	3005	59743	300200005	111	623	3046	—	60083	300000002, 2, 2	474	1147	—	3030	60343	300030203	193	721
3033	—	59747	3002002, 3, 2	376	863	3047	—	60089	300000003, 20	626	901	3058	—	60353	30004, 50	266	317
3034	—	59753	30020020020	684	949	—	3017	60091	30000000302	351	977	—	3031	60373	30004000000	463	751
3035	—	59771	3002000402	240	677	3048	—	60101	3000002, 3000	590	923	3059	—	60383	3000405	62	361
—	3006	59779	3002, 2, 5, 2	233	599	—	3018	60103	3000002, 3, 3	257	847	—	3032	60397	300050200	281	489
—	3007	59791	3002, 2, 3, 4	147	631	3049	—	60107	3000002, 2002	438	1133	3060	—	60413	3000500	106	201
—	3008	59797	3002, 2, 200000	649	1047	—	3019	60127	3000000205	105	601	—	3033	60427	302, 6002	151	383
—	3009	59809	3002, 20040	477	581	—	3020	60133	3000003, 2000	583	927	3061	—	60443	302, 5, 202	188	505
—	3010	59833	3002, 203, 20	513	739	—	3021	60139	3000030002	373	985	3062	—	60449	302, 4040	284	343
—	3011	59863	3002, 30003	219	797	3050	—	60149	30000000000	460	757	—	3034	60457	302, 40020	439	605
3036	—	59879	3002, 4, 2, 3	176	607	3051	—	60161	30002, 70	214	243	—	3035	60493	302, 302, 200	447	761
—	3012	59887	3002, 404	97	497	3052	—	60167	30002, 5, 3	156	497	3063	—	60497	302, 300030	484	617





$z'$	$z''$	$Z$	Exponenten	$\bar{N}$	$N$	$z'$	$z''$	$Z$	Exponenten	$\bar{N}$	$N$	$z'$	$z''$	$Z$	Exponenten	$\bar{N}$	$N$
—	3074	61381	3, 6, 3, 000	197	309	3114	—	61637	4, 4, 2, 3, 000	300	469	3123	—	61949	4, 3, 7, 00	108	203
3101	—	61403	3, 6, 0, 202	120	320	3115	—	61643	4, 4, 2, 2, 002	224	579	3124	—	61961	4, 2, 0, 520	248	335
3102	—	61409	3, 7, 4, 0	128	159	—	3086	61051	4, 4, 2, 0, 2, 2	241	575	3125	—	61967	4, 2, 0, 5, 4	74	309
—	3075	61417	3, 7, 0, 2, 0	167	233	—	3087	61657	4, 4, 2, 0, 2, 2, 0	351	499	3126	—	61979	4, 2, 0, 4, 202	196	527
—	3076	61441	4, 11, 0	45	49	3116	—	61667	4, 4, 3, 3, 2	182	419	—	3102	61981	4, 2, 0, 4, 3, 00	257	453
3103	—	61453	4, 7, 0, 03	62	219	3117	—	61673	4, 4, 3, 0, 0, 2	326	453	—	3103	61987	4, 2, 0, 3, 2, 2	231	523
3104	—	61469	4, 7, 3, 00	120	211	—	3088	61681	4, 4, 4, 3, 0	233	305	3127	—	61991	4, 2, 0, 3, 0, 2, 3	170	571
—	3077	61471	4, 7, 5	29	149	—	3089	61687	4, 4, 4, 0, 3	89	339	3128	—	62003	4, 2, 0, 2, 2, 2, 2	266	641
—	3078	61483	4, 6, 0, 0, 0, 2	137	357	3118	—	61703	4, 3, 0, 5, 3	98	311	—	3104	62011	4, 2, 0, 3, 3, 0, 2	205	567
3105	—	61487	4, 6, 0, 0, 4	54	245	—	3090	61717	4, 3, 0, 3, 0, 0, 0, 0	371	597	—	3105	62017	4, 2, 0, 3, 0, 5	275	323
3106	—	61493	4, 6, 2, 0, 0, 0, 0	212	345	—	3091	61723	4, 3, 0, 3, 2, 0, 2	209	563	3129	—	62039	4, 2, 0, 2, 0, 0, 0, 0, 3	214	773
—	3079	61507	4, 5, 0, 4, 2	121	267	—	3092	61729	4, 3, 0, 2, 0, 4, 0	303	367	—	3106	62047	4, 2, 0, 2, 0, 5	83	463
3107	—	61511	4, 5, 0, 3, 3	96	313	3119	—	61751	4, 3, 0, 2, 0, 4, 2	158	585	—	3107	62053	4, 2, 0, 2, 2, 2, 0, 0, 0	485	769
—	3080	61519	4, 5, 0, 2, 4	71	309	3120	—	61757	4, 3, 0, 2, 1, 0, 0	252	457	3130	—	62057	4, 2, 0, 2, 2, 0, 0, 0, 2	530	721
—	3081	61543	4, 5, 2, 2, 3	113	385	3121	—	61781	4, 3, 0, 0, 0, 0, 0, 0, 0, 0, 0, 0	526	851	—	3108	62071	4, 2, 0, 2, 3, 0, 3	153	577
3108	—	61547	4, 5, 2, 0, 0, 0, 2	180	473	—	3093	61813	4, 3, 0, 0, 3, 0, 0, 0, 0	381	625	3131	—	62081	4, 2, 0, 0, 0, 6	232	267
3109	—	61553	4, 5, 3, 3, 0	222	289	—	3094	61819	4, 3, 0, 0, 4, 0, 2	167	471	3132	—	62099	4, 2, 0, 0, 0, 2, 0, 2, 2	346	819
3110	—	61559	4, 5, 3, 0, 3	88	331	—	3095	61837	4, 3, 2, 3, 2, 0, 0	339	575	—	3109	62119	4, 2, 0, 0, 0, 0, 0, 2, 3	241	815
—	3082	61561	4, 5, 4, 2, 0	197	285	—	3096	61843	4, 4, 2, 2, 0, 2, 2	279	661	3133	—	62129	4, 2, 0, 0, 0, 2, 3, 0	504	653
3111	—	61583	4, 4, 0, 3, 4	80	341	—	3097	61861	4, 3, 2, 0, 0, 2, 0, 0, 0	451	713	—	3110	62131	4, 2, 0, 0, 0, 2, 2, 2	355	859
—	3083	61603	4, 4, 0, 0, 0, 3, 2	215	489	3122	—	61871	4, 3, 2, 0, 0, 0, 4	116	537	—	3111	62137	4, 2, 0, 0, 0, 3, 2, 0	469	675
3104	—	61609	4, 4, 0, 0, 0, 0, 2, 0	409	585	—	3098	61879	4, 3, 2, 0, 2, 0, 3	159	593	3134	—	62141	4, 2, 0, 0, 0, 4, 0, 0, 0	320	583
3112	—	61613	4, 4, 0, 0, 0, 0, 2, 0, 0	350	603	—	3099	61909	4, 3, 3, 0, 0, 0, 0, 0	409	663	—	3112	62143	4, 2, 0, 0, 0, 6	57	377
—	3085	61627	4, 4, 0, 0, 3, 0, 2	173	481	—	3100	61927	4, 3, 4, 2, 3	125	431	3135	—	62171	4, 2, 0, 0, 2, 0, 2, 2	294	803
3113	—	61631	4, 4, 0, 0, 6	38	249	—	3101	61933	4, 3, 4, 0, 2, 0, 0	263	457	3136	—	62189	4, 2, 0, 0, 3, 0, 0, 0	382	663

$z'$	$z''$	$Z$	Exponenten	$\bar{N}$	$N$	$z'$	$z''$	$Z$	Exponenten	$\bar{N}$	$N$	$z'$	$z''$	$Z$	Exponenten	$\bar{N}$	$N$
—	3113	62191	4, 2, 2, 3, 4	101 483	—	3151	—	62501	4, 2, 2, 3, 4	332 523	—	3137	—	62791	4, 2, 2, 3, 4	217 711	—
3137	—	62201	4, 2, 2, 3, 4	268 391	3152	—	62507	4, 2, 2, 3, 4	232 605	3163	—	—	—	62801	4, 2, 2, 3, 4	568 725	—
3138	—	62207	4, 2, 2, 3, 4	22 189	—	3124	62533	4, 2, 2, 3, 4	351 547	3164	—	—	—	62819	4, 2, 2, 3, 4	328 753	—
3139	—	62213	4, 2, 2, 3, 4	260 401	—	3125	62539	4, 2, 2, 3, 4	269 693	3138	62827	—	—	62827	4, 2, 2, 3, 4	365 961	—
3140	—	62219	4, 2, 2, 3, 4	216 551	3153	—	62549	4, 2, 2, 3, 4	488 789	—	—	—	—	62851	4, 2, 2, 3, 4	199 435	—
—	3114	62233	4, 2, 2, 3, 4	419 591	—	3126	62563	4, 2, 2, 3, 4	251 575	3165	—	—	—	62861	4, 2, 2, 3, 4	412 699	—
3141	—	62273	4, 2, 2, 3, 4	296 349	—	3127	62581	4, 2, 2, 3, 4	379 621	—	—	—	—	62869	4, 2, 2, 3, 4	551 889	—
3142	—	62297	4, 2, 2, 3, 4	526 747	3154	—	62591	4, 2, 2, 3, 4	32 233	3166	—	—	—	62873	4, 2, 2, 3, 4	514 727	—
—	3115	62299	4, 2, 2, 3, 4	305 831	3155	—	62597	4, 2, 2, 3, 4	334 517	3167	—	—	—	62897	4, 2, 2, 3, 4	468 607	—
3143	—	62303	4, 2, 2, 3, 4	84 473	3156	—	62603	4, 2, 2, 3, 4	270 691	3168	—	—	—	62903	4, 2, 2, 3, 4	190 709	—
—	3116	62311	4, 2, 2, 3, 4	199 681	—	3128	62617	4, 2, 2, 3, 4	499 705	3169	—	—	—	62921	4, 2, 2, 3, 4	450 617	—
—	3117	62323	4, 2, 2, 3, 4	261 637	3157	—	62627	4, 2, 2, 3, 4	316 719	3170	—	—	—	62927	4, 2, 2, 3, 4	116 515	—
3144	—	62327	4, 2, 2, 3, 4	146 553	3158	—	62633	4, 2, 2, 3, 4	600 829	—	—	—	—	62929	4, 2, 2, 3, 4	413 529	—
—	3118	62347	4, 2, 2, 3, 4	235 603	3159	—	62639	4, 2, 2, 3, 4	142 655	3171	—	—	—	62939	4, 2, 2, 3, 4	246 673	—
3145	—	62351	4, 2, 2, 3, 4	102 439	—	3129	62653	4, 2, 2, 3, 4	307 559	3172	—	—	—	62969	4, 2, 2, 3, 4	200 293	—
—	3119	62383	4, 2, 2, 3, 4	111 515	—	3130	62659	4, 2, 2, 3, 4	243 541	—	—	—	—	62971	4, 2, 2, 3, 4	107 307	—
—	3120	62401	4, 2, 2, 3, 4	209 249	—	3131	62683	4, 2, 2, 3, 4	289 789	3173	—	—	—	62981	4, 2, 2, 3, 4	192 295	—
3146	—	62417	4, 2, 2, 3, 4	316 405	3160	—	62687	4, 2, 2, 3, 4	78 445	—	—	—	—	62983	4, 2, 2, 3, 4	89 281	—
3147	—	62423	4, 2, 2, 3, 4	138 503	—	3132	62701	4, 2, 2, 3, 4	381 661	3174	—	—	—	62987	4, 2, 2, 3, 4	164 417	—
3148	—	62439	4, 2, 2, 3, 4	76 219	3161	—	62723	4, 2, 2, 3, 4	152 327	—	—	—	—	62989	4, 2, 2, 3, 4	239 403	—
—	3121	62467	4, 2, 2, 3, 4	77 163	—	3133	62731	4, 2, 2, 3, 4	235 599	3175	—	—	—	63029	4, 2, 2, 3, 4	418 681	—
—	3122	62473	4, 2, 2, 3, 4	195 263	—	3134	62743	4, 2, 2, 3, 4	189 673	—	—	—	—	63031	4, 2, 2, 3, 4	155 573	—
3149	—	62477	4, 2, 2, 3, 4	186 313	3162	—	62753	4, 2, 2, 3, 4	392 475	3176	—	—	—	63059	4, 2, 2, 3, 4	334 795	—
3150	—	62483	4, 2, 2, 3, 4	168 395	—	3135	62761	4, 2, 2, 3, 4	595 821	—	—	—	—	63067	4, 2, 2, 3, 4	287 781	—
—	3123	62497	4, 2, 2, 3, 4	241 291	—	3136	62773	4, 2, 2, 3, 4	549 895	—	—	—	—	63073	4, 2, 2, 3, 4	353 433	—

$z'$	$z''$	$Z$	Exponenten	$\bar{N}$	$N$	$z'$	$z''$	$Z$	Exponenten	$\bar{N}$	$N$	$z'$	$z''$	$Z$	Exponenten	$\bar{N}$	$N$
—	3148	63079	4, 2, 2, 2, 2, 3	193	659	3188	—	63377	4, 4, 2, 3, 3	284	361	—	3176	63607	5, 4, 3, 3, 3	89	335
—	3149	63097	4, 2, 2, 4, 2, 2	325	471	3189	—	63389	4, 4, 2, 3, 3	236	419	—	3199	63611	5, 4, 4, 2	110	309
—	3150	63103	4, 2, 2, 7	33	245	—	3162	63391	4, 4, 2, 5	53	289	—	3200	63617	5, 3, 6, 6	142	163
3177	—	63113	4, 2, 2, 3, 2, 2	420	571	—	3163	63397	4, 4, 2, 2, 2, 2	323	511	—	3201	63629	5, 3, 3, 2, 2, 2	258	437
—	3151	63127	4, 2, 2, 2, 2, 3	203	727	—	3164	63409	4, 4, 2, 2, 3, 2	275	357	—	3202	63647	5, 3, 2, 2, 5	58	311
3178	—	63131	4, 2, 2, 2, 2, 2	288	779	3190	—	63419	4, 4, 3, 3, 2	140	391	—	3177	63649	5, 3, 2, 2, 2, 2	269	327
3179	—	63149	4, 2, 2, 2, 2, 2, 2	496	855	—	3165	63421	4, 4, 4, 2, 2	169	309	—	3203	63659	5, 3, 2, 2, 2, 2, 2	248	649
3180	—	63179	4, 2, 2, 2, 2, 2	298	771	—	3166	63439	4, 5, 2, 4	63	281	—	3178	63667	5, 3, 2, 2, 2, 2	227	549
3181	—	63197	4, 2, 2, 2, 3, 2	336	601	3191	—	63443	4, 5, 2, 2, 2	160	383	—	3204	63671	5, 3, 2, 2, 3	132	491
—	3152	63199	4, 2, 2, 2, 2, 5	71	407	—	3167	63453	4, 6, 2, 3	73	253	—	3205	63689	5, 3, 2, 2, 2, 2	344	471
—	3153	63211	4, 2, 2, 3, 2, 2	251	663	3192	—	63457	4, 6, 2, 2, 2	112	297	—	3179	63691	5, 3, 2, 2, 2, 2	217	561
—	3154	63241	4, 3, 2, 4, 2, 2	281	381	3193	—	63473	4, 6, 7, 3, 2	122	161	—	3180	63697	5, 3, 2, 2, 3, 2	323	413
—	3155	63247	4, 3, 4, 4, 4	81	343	—	3168	63487	4, 6, 11	5	59	—	3181	63703	5, 3, 2, 2, 3, 2	143	519
—	3156	63277	4, 3, 2, 2, 2, 2, 2	377	649	—	3169	63493	5, 8, 2, 2	87	133	—	3182	63709	5, 3, 2, 2, 3, 2	249	445
3182	—	63281	4, 3, 2, 2, 2, 3, 2	358	463	—	3170	63499	5, 7, 2, 2	77	195	—	3206	63719	5, 3, 3, 2, 3, 2	122	419
3183	—	63299	4, 3, 2, 2, 4	196	435	3194	—	63521	5, 5, 4, 2	150	181	—	3183	63727	5, 3, 3, 3, 4	69	329
3184	—	63311	4, 3, 2, 2, 4	110	483	3195	—	63527	5, 5, 2, 3	88	295	—	3207	63737	5, 3, 3, 3, 2	186	271
—	3157	63313	4, 3, 2, 2, 2, 3, 2	397	507	3196	—	63533	5, 5, 2, 2, 2, 2	202	347	—	3208	63743	5, 3, 3, 2	16	133
3185	—	63317	4, 3, 2, 2, 2, 2, 2, 2	464	751	—	3171	63541	5, 5, 2, 2, 2, 2	223	363	—	3209	63761	5, 2, 3, 3, 2	284	359
—	3158	63331	4, 3, 2, 2, 3, 2	225	517	—	3172	63559	5, 4, 3, 3	99	323	—	3210	63773	5, 2, 3, 3, 2, 2	252	445
—	3159	63337	4, 3, 2, 2, 2, 2, 2	407	565	—	3173	63577	5, 4, 2, 2, 2	287	407	—	3184	63781	5, 2, 2, 2, 2, 2, 2	381	601
3186	—	63347	4, 3, 3, 2, 2	206	503	3197	—	63587	5, 4, 2, 3, 2	162	371	—	3185	63793	5, 2, 2, 2, 3, 2	349	451
3187	—	63353	4, 3, 2, 4, 2	254	369	—	3174	63599	5, 4, 2, 2, 2, 2, 2	277	439	—	3186	63799	5, 2, 2, 2, 3	145	537
—	3160	63361	4, 4, 6	149	173	3198	—	63599	5, 4, 2, 4	68	319	—	3211	63803	5, 2, 2, 3, 2	188	521
—	3161	63367	4, 4, 4, 3	101	327	—	3175	63601	5, 4, 3, 3, 2	225	293	—	3212	63809	5, 2, 2, 2, 5	242	285

$z'$	$z''$	$Z$	Exponenten	$\bar{N}$	$N$	$z'$	$z''$	$Z$	Exponenten	$\bar{N}$	$N$	$z'$	$z''$	$Z$	Exponenten	$\bar{N}$	$N$
—	3187	63823	5, 2, 0, 0, 2, 4	113	495	—	3199	64153	5, 0, 0, 0, 2, 2, 0	421	595	—	3211	64483	5, 0, 5, 3, 2	111	257
3213	—	63839	5, 2, 0, 0, 0, 5	70	393	3226	—	64157	5, 0, 0, 0, 2, 3, 0, 0	320	567	—	3212	64489	5, 0, 5, 0, 2, 0	193	269
—	3188	63841	5, 2, 0, 0, 3, 4	307	377	—	3200	64171	5, 0, 0, 0, 0, 0, 2, 0	398	809	3239	—	64499	5, 0, 6, 2, 2	88	217
—	3189	63853	5, 2, 0, 0, 2, 0, 0	361	625	3227	—	64187	5, 0, 0, 0, 0, 3, 0, 2	208	579	—	3213	64513	6, 9, 0	55	61
3214	—	63857	5, 2, 0, 0, 3, 3	318	415	—	3201	64189	5, 0, 0, 0, 0, 4, 0, 0	253	461	3240	—	64553	6, 4, 0, 0, 0, 2, 0	230	317
3215	—	63863	5, 2, 0, 0, 3, 0, 3	124	469	3228	—	64217	5, 0, 0, 2, 0, 2, 2, 0	400	569	—	3214	64567	6, 4, 2, 0, 3	81	299
—	3190	63901	5, 2, 2, 2, 3, 0, 0	287	509	3229	—	64223	5, 0, 0, 2, 0, 5	62	355	3241	—	64577	6, 3, 0, 5, 0	144	169
—	3191	63907	5, 2, 2, 0, 0, 3, 2	233	531	—	3202	64231	5, 0, 0, 3, 2, 3	141	485	—	3215	64579	6, 3, 0, 4, 2	119	263
—	3192	63913	5, 2, 2, 0, 0, 0, 2, 0	439	607	—	3203	64237	5, 0, 0, 3, 2, 0, 0, 0	299	519	—	3216	64591	6, 3, 0, 2, 4	69	301
3216	—	63929	5, 2, 2, 2, 0, 3, 2, 0	320	461	3230	—	64271	5, 0, 2, 4, 4	74	313	3242	—	64601	6, 3, 0, 0, 2, 2, 0	270	383
—	3193	63949	5, 2, 3, 2, 3, 2, 0, 0	299	511	—	3204	64279	5, 0, 2, 3, 0, 0, 3	131	467	—	3217	64609	6, 3, 2, 2, 4, 0	195	239
3217	—	63977	5, 2, 4, 0, 0, 2, 0	278	387	3231	—	64283	5, 0, 3, 3, 2, 0, 2	188	507	3243	—	64613	6, 3, 2, 2, 0, 0, 0	258	409
—	3194	63997	5, 2, 2, 7, 0, 0	93	175	3232	—	64301	5, 0, 2, 2, 0, 0, 0, 0	348	599	—	3218	64621	6, 3, 2, 2, 0, 0, 0	233	403
3218	—	64007	5, 0, 6, 3	72	227	—	3205	64303	5, 0, 2, 2, 0, 0, 4	97	445	—	3219	64627	6, 3, 3, 2, 2	145	353
3219	—	64013	5, 0, 5, 2, 0, 0	194	327	3233	—	64319	5, 0, 2, 2, 6	40	257	—	3220	64633	6, 3, 2, 4, 2, 0	183	265
3220	—	64019	5, 0, 4, 0, 2, 2	172	405	—	3206	64337	5, 0, 2, 0, 0, 3, 3	143	469	3244	—	64661	6, 2, 0, 2, 0, 0, 0, 0, 0	312	503
—	3195	64033	5, 0, 3, 0, 4, 0	239	289	—	3207	64333	5, 0, 2, 0, 2, 2, 0, 0	349	595	—	3221	64663	6, 2, 0, 2, 0, 0, 3	121	433
3221	—	64037	5, 0, 3, 0, 3, 0, 0, 0	328	517	3234	—	64373	5, 0, 2, 0, 3, 0, 0, 0, 0	304	499	3245	—	64667	6, 2, 0, 2, 2, 0, 2	172	465
—	3196	64063	5, 0, 3, 6	39	245	—	3208	64381	5, 0, 2, 0, 5, 0, 0	155	287	3246	—	64679	6, 2, 0, 0, 0, 2, 3	134	453
3222	—	64067	5, 0, 2, 0, 4, 2	184	407	—	3209	64399	5, 0, 3, 3, 4	75	323	—	3222	64693	6, 2, 0, 0, 2, 0, 0	313	511
—	3197	64081	5, 0, 2, 0, 0, 0, 3, 0	385	491	3235	—	64403	5, 0, 3, 2, 0, 2, 2	202	479	3247	—	64709	6, 2, 2, 3, 0, 0, 0	250	391
3223	—	64091	5, 0, 2, 0, 2, 0, 2, 0	240	653	3236	—	64433	5, 0, 3, 2, 3, 0	272	353	—	3223	64717	6, 2, 2, 2, 2, 0, 0	263	449
3224	—	64109	5, 0, 2, 2, 2, 0, 0, 0	352	609	3237	—	64439	5, 0, 3, 0, 2, 3	110	411	3248	—	64747	6, 2, 3, 0, 0, 0, 2	161	425
—	3198	64123	5, 0, 2, 4, 0, 2	151	425	3238	—	64451	5, 0, 4, 4, 2	122	273	3249	—	64763	6, 2, 5, 0, 2	84	239
3225	—	64151	5, 0, 0, 0, 2, 0, 0, 3	174	623	—	3210	64453	5, 0, 4, 3, 0, 0, 0	215	337	—	—	64781	6, 0, 4, 2, 0, 0	190	321

$z'$	$z''$	$Z$	Exponenten	$\bar{N}$	$N$	$z'$	$z''$	$Z$	Exponenten	$\bar{N}$	$N$	$z'$	$z''$	$Z$	Exponenten	$\bar{N}$	$N$
—	3225	64783	6004, 4	59	249	—	3236	65071	7, 3004	51	233	3275	—	65327	8, 2004	42	193
3250	—	64793	6003, 2, 20	256	361	—	3237	65089	7, 2050	125	147	—	3250	65353	8002020	103	223
3251	—	64811	600200002	204	533	3264	—	65099	7, 202002	140	361	3276	—	65357	8002, 200	146	249
3252	—	64819	6002, 2, 30	270	349	—	3238	65101	7, 202, 200	199	339	—	3251	65371	8000202	95	259
—	3226	64849	600000030	311	397	3265	—	65111	7, 200003	96	347	3277	—	65381	802, 2000	148	235
3253	—	64853	60000000000	364	589	—	3239	65119	7, 2005	37	207	3278	—	65393	803, 30	114	149
3254	—	64871	60002, 2, 3	126	431	3266	—	65123	7, 2, 2, 3, 2	126	289	—	3252	65407	807	9	71
3255	—	64877	600020002	272	471	3267	—	65129	7, 2, 20000	230	319	—	3253	65413	9, 4000	83	129
—	3227	64879	6000204	73	345	3268	—	65141	7, 2, 30000	186	305	—	3254	65419	9, 3002	65	167
—	3228	64891	6000402	113	319	3269	—	65147	7, 2, 402	82	231	3279	—	65423	9, 3, 4	28	121
3256	—	64901	602, 4000	194	301	—	3240	65167	7003, 4	53	227	—	3255	65437	9, 2, 300	85	151
3257	—	64919	602, 2003	114	409	3270	—	65171	700202, 2	144	341	3280	—	65447	9002, 3	48	163
—	3229	64921	602, 2, 20	275	389	—	3241	65173	700200000	235	379	—	3256	65449	90002, 3	125	173
—	3230	64927	602, 2, 5	47	255	—	3242	65179	7002, 202	129	349	—	3257	65479	10, 3, 3	31	103
3258	—	64937	6020000020	316	437	3271	—	65183	7002, 5	38	205	—	3258	65497	1002, 20	75	107
—	3231	64951	6020203	101	377	—	3243	65203	70002, 2, 2	145	351	3281	—	65519	1104	12	59
—	3232	64969	603, 2020	237	325	3272	—	65213	7000400	130	237	—	3259	65521	12, 30	37	49
3259	—	64997	604, 2000	184	293	—	3244	65239	7020003	85	309	3282	—	65537	0150	16	17
3260	—	65003	6040002	116	307	—	3245	65257	7030020	179	249	—	3260	65539	014, 2	15	31
—	3233	65011	605, 2, 2	89	219	3273	—	65267	704, 2, 2	86	211	3283	—	65543	013, 3	14	43
3261	—	65027	7, 7, 2	50	107	—	3246	65269	7040000	133	219	—	3261	65551	011, 4	13	53
—	3234	65029	7, 6000	93	143	—	3247	65287	8, 5, 3	41	131	—	3262	65557	01100000	63	101
3262	—	65033	7, 5002	122	165	—	3248	65293	8, 4, 200	107	181	—	3263	65563	011, 202	37	99
—	3235	65053	7, 4, 300	123	217	3274	—	65309	8, 3, 300	108	191	3284	—	65579	0100002	58	151
3263	—	65063	7, 302, 3	80	269	—	3249	65323	8, 20002	109	285	—	3264	65581	01000200	81	139

$z'$	$z''$	$Z$	Exponenten	$\bar{N}$	$N$	$z'$	$z''$	$Z$	Exponenten	$\bar{N}$	$N$	$z'$	$z''$	$Z$	Exponenten	$\bar{N}$	$N$
—	3265	65587	$\mathfrak{o}_{10}, 2, 2, 2$	57	137	3296	—	65837	$\mathfrak{o}_{70000000}$	218	375	3312	—	66107	$\mathfrak{o}_{603}, 302$	132	365
—	3266	65599	$\mathfrak{o}_{10}, 6$	11	67	—	3279	65839	$\mathfrak{o}_{700004}$	61	279	—	3288	66109	$\mathfrak{o}_{603}, 400$	163	295
3285	—	65609	$\mathfrak{o}_{902020}$	118	161	3297	—	65843	$\mathfrak{o}_{702}, 2, 2, 2$	148	357	3313	—	66137	$\mathfrak{o}_{60202}, 20$	332	471
—	3267	65617	$\mathfrak{o}_{902030}$	117	149	—	3280	65851	$\mathfrak{o}_{702}, 302$	113	313	3314	—	66161	$\mathfrak{o}_{602}, 3, 0$	254	331
—	3268	65629	$\mathfrak{o}_{900300}$	95	169	3298	—	65867	$\mathfrak{o}_{70000002}$	164	423	—	3289	66169	$\mathfrak{o}_{602}, 4, 20$	223	323
3286	—	65633	$\mathfrak{o}_{9}, 2, 40$	94	115	—	3281	65881	$\mathfrak{o}_{7000002}, 20$	267	379	3315	—	66173	$\mathfrak{o}_{602}, 500$	146	269
—	3269	65647	$\mathfrak{o}_{9}, 204$	31	145	—	3282	65899	$\mathfrak{o}_{70000002}$	163	429	3316	—	66179	$\mathfrak{o}_{6005}, 2$	130	283
3287	—	65651	$\mathfrak{o}_{9}, 3, 2, 2$	72	175	3299	—	65921	$\mathfrak{o}_{7}, 2, 60$	110	127	3317	—	66191	$\mathfrak{o}_{6003}, 4$	84	359
3288	—	65657	$\mathfrak{o}_{9}, 4, 20$	92	133	3300	—	65927	$\mathfrak{o}_{7}, 2, 4, 3$	76	245	3318	—	66221	$\mathfrak{o}_{6000000000}$	358	617
—	3270	65677	$\mathfrak{o}_{803}, 200$	127	215	—	3283	65929	$\mathfrak{o}_{7}, 2, 3020$	211	287	3319	—	66239	$\mathfrak{o}_{6000006}$	38	251
3289	—	65687	$\mathfrak{o}_{802003}$	68	243	3301	—	65931	$\mathfrak{o}_{7}, 2, 2, 5$	42	227	—	3290	66271	$\mathfrak{o}_{600205}$	53	303
3290	—	65699	$\mathfrak{o}_{80003}, 2$	106	241	3302	—	65937	$\mathfrak{o}_{7}, 2002000$	260	411	3320	—	66293	$\mathfrak{o}_{600400000}$	234	385
—	3271	65701	$\mathfrak{o}_{80000000}$	183	289	3303	—	65963	$\mathfrak{o}_{7}, 20000002$	176	461	—	3291	66301	$\mathfrak{o}_{600600}$	113	211
—	3272	65707	$\mathfrak{o}_{80000002}$	125	327	3304	—	65981	$\mathfrak{o}_{7}, 20400$	142	259	—	3292	66337	$\mathfrak{o}_{6}, 2, 2040$	245	297
—	3273	65713	$\mathfrak{o}_{80002}, 30$	163	211	—	3284	65983	$\mathfrak{o}_{7}, 206$	25	167	—	3293	66343	$\mathfrak{o}_{6}, 2, 202, 3$	141	475
3291	—	65717	$\mathfrak{o}_{800000000}$	182	297	3305	—	65993	$\mathfrak{o}_{7}, 3, 2020$	224	307	3321	—	66347	$\mathfrak{o}_{6}, 2, 200002$	230	601
—	3274	65719	$\mathfrak{o}_{8000203}$	67	249	3306	—	66029	$\mathfrak{o}_{7}, 40200$	156	271	3322	—	66359	$\mathfrak{o}_{6}, 2, 2, 203$	126	467
3292	—	65729	$\mathfrak{o}_{8}, 2, 50$	104	133	—	3285	66037	$\mathfrak{o}_{7}, 50000$	139	229	—	3294	66361	$\mathfrak{o}_{6}, 2, 2, 3, 20$	289	415
—	3275	65731	$\mathfrak{o}_{8}, 2, 4, 2$	85	189	3307	—	66041	$\mathfrak{o}_{7}, 6, 20$	106	155	—	3295	66373	$\mathfrak{o}_{6}, 2003000$	303	473
—	3276	65761	$\mathfrak{o}_{8}, 3, 40$	121	149	3308	—	66047	$\mathfrak{o}_{7}, 9$	8	73	3323	—	66377	$\mathfrak{o}_{6}, 2002020$	362	495
3293	—	65777	$\mathfrak{o}_{8}, 4, 30$	120	157	—	3286	66057	$\mathfrak{o}_{6402}, 2$	133	313	3324	—	66383	$\mathfrak{o}_{6}, 2002, 4$	96	421
3294	—	65789	$\mathfrak{o}_{8}, 600$	64	119	3309	—	66071	$\mathfrak{o}_{64003}$	86	305	—	3296	66403	$\mathfrak{o}_{6}, 202, 3, 2$	199	457
3277	65809	$\mathfrak{o}_{703030}$	167	211	3310	—	66083	$\mathfrak{o}_{60303}, 2$	148	335	3325	—	66413	$\mathfrak{o}_{6}, 2020200$	302	523	
3278	65827	$\mathfrak{o}_{70203}, 2$	131	297	3311	—	66089	$\mathfrak{o}_{60300020}$	288	397	3326	—	66431	$\mathfrak{o}_{6}, 207$	22	169	
3295	—	65831	$\mathfrak{o}_{70202}, 3$	96	323	—	3287	66103	$\mathfrak{o}_{603}, 203$	101	373	3327	—	66449	$\mathfrak{o}_{6}, 3, 2030$	270	343





$z'$	$z''$	$Z$	Exponenten	$\bar{N}$	$N$	$z'$	$z''$	$Z$	Exponenten	$\bar{N}$	$N$
3366	—	67247	05, 2000004	134	619	3380	—	67511	05, 40203	118	441
—	3334	67261	05, 2000400	287	523	3381	—	67523	05, 5, 4, 2	130	291
3367	—	67271	05, 202, 3, 3	172	567	—	3345	67531	05, 5, 2002	167	433
—	3335	67273	05, 202, 2020	465	637	—	3346	67537	05, 50030	241	309
3368	—	67289	05, 20202, 20	452	643	3382	—	67547	05, 50202	142	389
3369	—	67307	05, 2030002	248	655	3383	—	67559	05, 6, 2, 3	80	277
—	3336	67339	05, 3, 4002	183	467	—	3347	67567	05, 604	43	209
3370	—	67343	05, 3, 4, 4	82	347	3384	—	67577	05, 8, 20	104	153
3371	—	67349	05, 3, 300000	372	599	—	3348	67579	05, 802	55	159
—	3337	67359	05, 3, 20020	447	617	3385	—	67589	0408000	112	171
3372	—	67391	05, 3, 2, 6	44	283	3386	—	67601	0406030	182	229
—	3338	67399	05, 3003, 3	157	515	3387	—	67607	0406000	88	311
3373	—	67409	05, 3000030	408	521	3388	—	67619	040503, 2	158	357
—	3339	67411	05, 300002, 2	295	703	3389	—	67631	0405004	76	345
3374	—	67421	05, 3000300	320	571	—	3349	67651	040404, 2	169	373
3375	—	67427	05, 302, 3, 2	232	533	3390	—	67679	0404005	64	355
—	3340	67429	05, 302, 2000	395	627	—	3350	67699	0404, 3, 2, 2	215	523
3376	—	67433	05, 3020020	420	583	3391	—	67709	0404, 500	180	331
—	3341	67447	05, 30303	119	451	—	3351	67723	040303002	249	637
3377	—	67453	05, 30500	169	313	3392	—	67733	04030200000	492	793
—	3343	67477	05, 4, 200000	355	573	—	3352	67741	040302, 300	353	625
3378	—	67481	05, 4, 2, 20	330	467	3393	—	67751	04030002, 3	214	723
—	3344	67489	05, 40040	255	311	3394	—	67757	04030000200	480	827
3379	—	67493	05, 4002000	342	541	—	3353	67759	0403000004	133	613
—	3345	67499	05, 4000002	230	603	3395	—	67763	0403002, 2, 2	318	769

$z'$	$z''$	$Z$	Exponenten	$\bar{N}$	$N$	$z'$	$z''$	$Z$	Exponenten	$\bar{N}$	$N$	$z'$	$z''$	$Z$	Exponenten	$\bar{N}$	$N$
—	3370	68041	0402, 3, 2020	507	695	—	3383	68389	04002, 202000	609	961	—	3394	68683	04, 2, 302002	321	827
—	3371	68053	0402, 3, 000000	541	877	3417	—	68399	04002, 2004	162	743	3431	—	68687	04, 2, 302, 4	136	593
—	3372	68059	0402, 3, 00202	279	763	—	3384	68437	04002, 000000	731	1183	3432	—	68699	04, 2, 300202	310	843
—	3373	68071	0402, 4, 2, 3	165	569	—	3385	68443	04002, 000202	385	1049	3433	—	68711	04, 2, 3, 2, 3	212	723
3405	—	68087	0402, 503	108	415	3418	—	68447	04002, 00005	106	597	—	3395	68713	04, 2, 3, 20020	549	761
3406	—	68099	040007, 2	130	277	—	3386	68449	04002, 2, 40	463	569	3434	—	68729	04, 2, 3, 4, 20	364	527
3407	—	68111	040005, 4	96	401	—	3387	68473	04002, 04, 20	407	591	—	3396	68737	04, 2, 2060	255	293
—	3374	68113	040004, 30	367	463	3419	—	68477	04002, 0500	262	485	—	3397	68743	04, 2, 204, 3	179	575
3408	—	68141	040003, 00200	502	863	3420	—	68483	04003, 5, 2	206	451	—	3398	68749	04, 2, 203, 300	461	781
3409	—	68147	040003, 2, 2, 2	344	829	3421	—	68489	04003, 3020	462	629	—	3399	68767	04, 2, 202, 5	103	553
—	3375	68161	040002, 050	355	417	—	3388	68491	04003, 3002	295	757	3435	—	68771	04, 2, 20003, 2	374	851
3410	—	68171	040002, 2002	400	1031	3422	—	68501	04003, 200000	562	907	3436	—	68777	04, 2, 20000020	710	981
3411	—	68207	040002, 204	152	715	3423	—	68507	04003, 2, 202	306	829	—	3400	68791	04, 2, 200203	233	867
—	3376	68209	040002, 3, 30	501	653	—	3389	68521	04003, 000020	595	823	3437	—	68813	04, 2, 2, 2, 200	536	915
3412	—	68213	040002, 30000	546	895	3424	—	68531	04003, 02, 2, 2	328	795	3438	—	68819	04, 2, 3, 002, 2	406	969
3413	—	68219	040002, 402	242	681	—	3390	68539	04003, 0302	239	667	—	3401	68821	04, 2, 2, 2000000	655	1061
—	3377	68227	0400005, 2	253	551	3425	—	68543	04003, 06	50	339	—	3402	68863	04, 2, 2, 8	27	227
—	3378	68239	0400003, 4	163	697	3426	—	68567	04004, 0003	172	627	3439	—	68879	04, 2004, 4	124	523
3414	—	68261	04000002, 000	736	1163	—	3391	68581	04005, 2000	327	521	—	3403	68881	04, 2003, 0	469	593
3415	—	68279	04000000203	264	983	3427	—	68597	04006, 0000	238	393	3440	—	68891	04, 2003, 202	318	857
—	3379	68281	040000003, 20	601	865	—	3392	68611	04, 2, 8, 2	93	197	3441	—	68897	04, 2002, 040	458	555
—	3380	68311	04000000003	275	999	3428	—	68633	04, 2, 5, 2, 20	322	453	—	3404	68899	04, 2002, 03, 2	361	819
—	3381	68329	040000030020	589	819	3429	—	68639	04, 2, 5, 5	60	311	3442	—	68903	04, 2002, 2, 3	264	889
3416	—	68351	0400008	28	241	—	3393	68659	04, 2, 4, 2, 2, 2	267	643	3443	—	68909	04, 2002, 000200	598	1029
—	3382	68371	04002, 302, 2	341	805	3430	—	68669	04, 2, 4, 400	256	463	—	3405	68917	04, 2002, 20000	641	1045



$z'$	$z''$	$Z$	Exponenten	$\bar{N}$	$N$	$z'$	$z''$	$Z$	Exponenten	$\bar{N}$	$N$	$z'$	$z''$	$Z$	Exponenten	$\bar{N}$	$N$
—	3439	69859	0304, 3, 3, 2	255	587	—	3452	70141	0303, 700	157	295	—	3465	70393	0302005, 20	401	585
—	3440	69877	0304, 40000	351	577	3498	—	70157	030205, 200	346	583	—	3466	70423	0302, 2, 3003	259	923
3486	—	69899	0304002	254	647	3499	—	70163	03020402, 2	308	725	—	3467	70429	0302, 2, 3, 300	485	857
3487	—	69911	030303003	206	733	—	3453	70177	030203040	431	521	3510	—	70439	0302, 2, 202, 3	306	1031
3488	—	69929	0302000020	656	905	3500	—	70181	03020302000	592	933	3511	—	70451	0302, 2, 2, 2, 2, 2	406	1125
—	3441	69931	0302000002	407	1063	—	3454	70183	03020302, 3	251	843	3512	—	70457	0302, 2, 2, 3, 20	626	899
3489	—	69941	03020, 20000	608	991	3501	—	70199	030203, 203	232	857	—	3468	70459	0302, 2, 2, 302	353	979
3490	—	69959	03030003, 3	244	799	—	3455	70201	030203, 3, 20	535	767	3513	—	70481	0302, 2000030	748	955
—	3442	69991	0303002, 2, 3	263	899	—	3456	70207	030203, 6	71	445	3514	—	70487	0302, 2000003	334	1209
—	3443	69997	03030020200	569	985	3502	—	70223	03020202, 4	194	847	—	3469	70489	0302, 20002, 20	795	1129
3491	—	70001	0303003, 30	502	655	3503	—	70229	0302020000000000	828	1339	—	3470	70501	0302, 202, 20000	729	1157
—	3444	70003	0303003, 2, 2	349	851	—	3457	70237	030202003000	563	1003	—	3471	70507	0302, 2020002	475	1251
—	3445	70009	0303004, 20	435	631	3504	—	70241	030202, 2, 40	544	667	3515	—	70529	0302, 3, 60	295	343
3492	—	70019	0303, 2, 5, 2	234	511	—	3458	70249	030202, 20020	771	1099	—	3472	70537	0302, 3, 3020	559	761
—	3446	70039	0303, 2, 2003	253	907	3505	—	70271	030202, 7	52	383	—	3473	70549	0302, 3, 2000000	681	1099
—	3447	70051	0303, 2003, 2	377	859	3506	—	70289	03020002030	704	893	3516	—	70571	0302, 3000002	446	1169
3493	—	70061	0303, 2000200	606	1045	—	3459	70297	03020002, 2, 20	789	1115	—	3474	70573	0302, 3000200	615	1061
3494	—	70067	0303, 202, 2, 2	396	959	—	3460	70309	0302000020000	855	1331	3517	—	70583	0302, 30203	230	859
3495	—	70079	0303, 206	62	415	3507	—	70313	0302000000000000	940	1999	3518	—	70589	0302, 30400	352	643
—	3448	70099	0303, 3002, 2	367	877	—	3461	70321	030200002, 30	751	973	3519	—	70607	0302, 4, 2, 4	136	605
—	3449	70111	0303, 305	81	467	—	3462	70327	030200000203	307	1143	3520	—	70619	0302, 40202	286	783
—	3450	70117	0303, 4, 2000	443	705	—	3463	70351	0302002, 2, 4	203	897	—	3475	70621	0302, 40300	361	647
3496	—	70121	0303, 40020	462	643	3508	—	70373	0302003, 2000	656	1043	—	3476	70627	0302, 5, 3, 2	239	553
—	3451	70123	0303, 40002	281	743	3509	—	70379	03020030002	420	1109	—	3477	70639	0302, 504	89	431
3497	—	70139	0303, 602	138	395	—	3464	70381	03020030200	571	991	—	3478	70657	030000	135	149



$z'$	$z''$	$Z$	Exponenten	$\bar{N}$	$N$	$z'$	$z''$	$Z$	Exponenten	$N$	$N$	$z'$	$z''$	$Z$	Exponenten	$\bar{N}$	$N$
—	3520	71437	03003, 4, 200	443 749	—	—	3534	71719	03, 2, 502, 3	165	553	3579	—	71987	03, 2, 202, 2, 2, 2	482	1163
—	3521	71443	03003, 302, 2	379 895	3566	—	71741	03, 2, 5, 400	254	459	3580	—	71993	03, 2, 202, 3, 20	650	933	
3555	—	71453	03003, 3, 300	452 799	—	3535	71761	03, 2, 40030	503 641	3581	—	71999	03, 2, 202, 6	84	535		
3556	—	71471	03003, 2004	178 817	3567	—	71777	03, 2, 4, 40	396 485	—	3546	72019	03, 2, 200002, 2	579	1379		
—	3522	71473	03003, 2, 300	607 785	3568	—	71789	03, 2, 4, 20200	476 823	—	3547	72031	03, 2, 200005	137	769		
—	3523	71479	03003, 2, 203	251 931	3569	—	71807	03, 2, 4, 7	40	289	—	3548	72043	03, 2, 20020002	517	1361	
3557	—	71483	03003, 2, 302	324 899	—	3536	71809	03, 2, 3060	271 311	3582	—	72047	03, 2, 200204	190	897		
—	3524	71503	03003002, 4	187 821	—	3537	71821	03, 2, 303, 200	493 835	3583	—	72053	03, 2, 20030000	676	1109		
—	3525	71527	0300302, 2, 3	269 921	3570	—	71837	03, 2, 30300	484 857	—	3549	72073	03, 2, 2, 3020	649	883		
3558	—	71537	0300303, 30	506 661	3571	—	71843	03, 2, 30003, 2	404 919	3584	—	72077	03, 2, 2, 3, 200	596	1011		
3559	—	71549	030030500	278 515	3572	—	71849	03, 2, 30000000	768 1061	3585	—	72089	03, 2, 2, 2, 2, 20	746	1055		
—	3526	71551	0300307	41 319	3573	—	71861	03, 2, 30020000	688 1123	—	3550	72091	03, 2, 2, 2, 202	437	1183		
—	3527	71563	03004, 3002	305 783	3574	—	71867	03, 2, 300302	324 901	3586	—	72101	03, 2, 2, 20020000	790	1249		
—	3528	71569	03004, 2030	487 619	3575	—	71879	03, 2, 3, 3, 3	244 803	—	3551	72103	03, 2, 2, 2002, 3	331	1121		
—	3529	71593	030040000020	605 837	—	3538	71881	03, 2, 3, 2, 2020	661 905	—	3552	72109	03, 2, 2, 20002000	737	1271		
3560	—	71597	03004000200	514 887	—	3539	71887	03, 2, 3, 2, 4	173 763	—	3553	72139	03, 2, 2, 3, 2002	419	1085		
3561	—	71633	030500030	386 495	—	3540	71899	03, 2, 3, 20202	377 1039	3587	—	72161	03, 2, 4, 40	410	507		
—	3530	71647	0305005	59 345	3576	—	71909	03, 2, 3, 3, 20000	572 909	3588	—	72167	03, 2, 4, 2, 3	216	745		
3562	—	71663	0306004	68 331	—	3541	71917	03, 2, 3, 30200	501 869	—	3554	72169	03, 2, 2, 40020	551	767		
—	3531	71671	0306703	77 299	3577	—	71933	03, 2, 3, 600	226 421	3589	—	72173	03, 2, 2, 40000	454	789		
3563	—	71693	03, 2, 7, 200	210 353	—	3542	71941	03, 2, 205000	385 593	—	3555	72211	03, 200402, 2	347	817		
3564	—	71699	03, 2, 602, 2	192 451	—	3543	71947	03, 2, 204002	323 823	3590	—	72221	03, 2004, 300	436	751		
—	3532	71707	03, 2, 6, 202	183 491	3578	—	71963	03, 2, 203, 202	376 1013	—	3556	72223	03, 2004, 5	101	527		
3565	—	71711	03, 2, 6, 5	58 299	—	3544	71971	03, 2, 20203, 2	429 973	3591	—	72227	03, 200393, 2	382	865		
—	3533	71713	03, 2, 5040	281 339	—	3545	71983	03, 2, 202004	199 911	—	3557	72229	03, 200302000	663	1045		

$z'$	$z''$	$Z$	Exponenten	$\bar{N}$	$N$	$z'$	$z''$	$Z$	Exponenten	$\bar{N}$	$N$
3592	—	72251	e3, 2003, 302	338	935	3604	—	72551	e3, 20202, 2, 3	310	1061
—	3558	72253	e3, 2003, 400	417	755	—	3571	72559	e3, 2020204	179	847
3593	—	72269	e3, 200202, 200	724	1233	—	3572	72577	e3, 203, 60	301	349
—	3559	72271	e3, 200202, 4	215	939	—	3573	72613	e3, 20302000	607	1055
—	3560	72277	e3, 200200000000	917	1483	3605	—	72617	e3, 203000020	728	1007
3594	—	72287	e3, 2002005	136	759	3606	—	72623	e3, 20300004	170	789
—	3561	72307	e3, 2002, 3, 2, 2	443	1079	—	3574	72643	e3, 204, 4, 2	257	575
—	3562	72313	e3, 2002, 4, 20	557	807	3607	—	72647	e3, 204, 3, 3	196	649
—	3563	72337	e3, 200002030	767	973	—	3575	72649	e3, 204, 202	527	723
3595	—	72341	e3, 200002000000	916	1477	—	3576	72661	e3, 204000000	553	897
3596	—	72353	e3, 2000000040	688	837	3608	—	72671	e3, 20405	74	431
—	3564	72367	e3, 2000000004	421	1113	—	3577	72673	e3, 205, 40	309	383
—	3565	72379	e3, 200000302	425	1183	—	3578	72679	e3, 205, 2, 3	161	557
3597	—	72383	e3, 2000006	92	609	3609	—	72689	e3, 206, 30	274	361
—	3566	72421	e3, 20003, 2000	705	1121	3610	—	72701	e3, 20800	126	239
3598	—	72431	e3, 2000304	162	775	3611	—	72707	e3, 3, 8, 2	108	229
3599	—	72461	e3, 202, 4, 200	494	835	3612	—	72719	e3, 3, 6, 4	82	341
3600	—	72467	e3, 202, 302, 2	424	1001	—	3579	72727	e3, 3, 503	151	535
—	3567	72469	e3, 202, 300000	695	1119	—	3580	72733	e3, 3, 5, 300	289	509
—	3568	72481	e3, 202, 2040	555	673	—	3581	72739	e3, 3, 403, 2	263	595
—	3569	72493	e3, 202, 200200	721	1241	—	3582	72763	e3, 3, 4, 302	237	655
3601	—	72497	e3, 202, 2, 2, 30	686	887	3613	—	72767	e3, 3, 4, 6	56	349
3602	—	72503	e3, 202, 2, 203	284	1053	3614	—	72797	e3, 3, 30300	452	805
3603	—	72533	e3, 202000000000	904	1463	—	3583	72817	e3, 3, 3, 30	469	611
—	3570	72547	e3, 20202, 3, 2	441	1013	—	3584	72823	e3, 3, 3, 303	185	697

$z'$	$z''$	$Z$	Exponenten	$\bar{N}$	$N$	$z'$	$z''$	$Z$	Exponenten	$\bar{N}$	$N$	$z'$	$z'$	$Z$	Exponenten	$\bar{N}$	$N$
—	3598	73063	03, 30002, 2, 3	295	1009	3638	—	73421	03, 402, 2, 200	476	813	—	3621	73681	03, 70030	219	281
3627	—	73079	03, 3000303	218	825	3639	—	73433	03, 40202, 20	518	737	—	3622	73693	03, 70300	161	289
3628	—	73091	03, 302, 5, 2	252	551	—	3612	73433	03, 4030200	383	665	—	3623	73699	03, 8, 3, 2	103	239
3629	—	73121	03, 302040	508	619	—	3613	73459	03, 404, 2, 2	223	547	3654	—	73709	03, 80200	144	251
3630	—	73127	03, 302002, 3	286	969	—	3614	73471	03, 408	21	185	3655	—	73721	03, 10, 20	86	127
3631	—	73133	03, 302002000	636	1097	—	3615	73477	03, 5, 5000	239	369	3656	—	73727	03, 13	4	53
—	3599	73141	03, 302020000	653	1067	—	3616	73483	03, 5, 4002	197	503	3657	—	73751	0208003	74	261
3632	—	73181	03, 3030300	388	695	3640	—	73517	03, 5, 200200	406	699	3658	—	73757	0208, 300	144	253
—	3600	73189	03, 304, 2000	439	699	3641	—	73523	03, 5, 2, 2, 2	272	657	—	3624	73771	020700002	167	435
—	3601	73237	03, 4, 400000	411	661	3642	—	73529	03, 5, 2, 3, 20	364	523	—	3625	73783	0207, 203	97	357
—	3602	73243	03, 4, 4, 202	233	627	3643	—	73547	03, 5002002	280	723	—	3626	73819	020600202	205	557
3633	—	73259	03, 4, 300002	326	851	3644	—	73553	03, 5000030	422	539	3659	—	73823	0206005	58	321
3634	—	73277	03, 4, 3, 400	292	529	—	3617	73561	03, 50002, 20	447	635	3660	—	73847	0206, 303	112	421
—	3603	73291	03, 4, 202002	351	905	3645	—	73571	03, 502, 3, 2	238	547	—	3627	73849	0206, 4, 20	251	363
—	3604	73303	03, 4, 200003	241	871	3646	—	73583	03, 50204	96	455	3661	—	73859	020505, 2	158	343
—	3605	73309	03, 4, 200300	427	761	3647	—	73589	03, 5030000	338	555	—	3628	73867	020503002	235	601
—	3606	73327	03, 4, 2, 204	131	617	—	3618	73597	03, 50500	171	317	3662	—	73877	02050200000	466	751
3635	—	73331	03, 4, 2, 3, 2	300	731	3648	—	73607	03, 6, 4, 3	104	337	3663	—	73883	020502, 202	258	697
—	3607	73351	03, 4004, 3	173	557	—	3619	73609	03, 6, 3020	287	391	—	3629	73897	02050000020	535	739
3636	—	73361	03, 4002030	502	637	3649	—	73613	03, 6, 3, 200	262	445	3664	—	73907	0205002, 2, 2	304	735
—	3608	73363	03, 400202, 2	367	869	3650	—	73637	03, 6002000	328	519	—	3630	73939	0205, 2002, 2	319	761
—	3609	73369	03, 4002, 2, 20	561	793	3651	—	73643	03, 6000002	220	577	3665	—	73943	0205, 20003	196	711
3637	—	73379	03, 40003, 2	350	797	—	3620	73651	03, 602, 2, 2	195	473	—	3631	73951	0205, 205	73	415
—	3610	73387	03, 40000002	409	1071	3652	—	73673	03, 7, 2020	244	335	3666	—	73961	0205, 30020	434	603
—	3611	73417	03, 402, 2020	535	733	3653	—	73679	03, 7, 2, 4	62	277	3667	—	73973	0205, 40000	334	549





$z'$	$z''$	$Z$	Exponenten	$\bar{N}$	$N$	$z'$	$z''$	$Z$	Exponenten	$\bar{N}$	$N$	$z'$	$z''$	$Z$	Exponenten	$\bar{N}$	$N$
—	3672	74797	2222242222	557	957	3715	—	75083	2222222222222	674	1739	—	3698	75367	2222, 2, 2, 2, 3	367	1253
—	3673	74821	2222233222	609	949	—	3685	75109	222222222, 2222	1009	1601	3727	—	75377	2222, 2, 2, 3, 3	708	923
—	3674	74827	2222232222	467	1203	—	3686	75133	2222222222222	443	819	3728	—	75389	2222, 2, 2, 522	404	745
3703	—	74831	22222322, 2	198	863	3716	—	75149	2222222, 3, 222	748	1269	—	3699	75391	2222, 2, 2, 7	63	467
3704	—	74843	2222232222	452	1229	3717	—	75161	2222222, 2, 22	934	1321	3729	—	75401	2222, 2222222	804	1093
—	3675	74857	222223, 22222	803	1113	3718	—	75167	2222222, 2, 5	160	867	—	3700	75403	2222, 2222222	575	1319
3705	—	74861	222223, 22222	676	1169	—	3687	75169	22222222222	733	893	3730	—	75407	2222, 2222, 4	226	967
—	3676	74869	222223, 32222	661	1083	—	3688	75181	2222222222222	919	1585	3731	—	75431	2222, 222222, 3	426	1441
3706	—	74873	222223, 4, 22	534	773	—	3689	75193	2222222223, 22	785	1131	3732	—	75437	2222, 2222222222	952	1641
—	3677	74887	222222224, 3	265	851	3719	—	75209	22222223, 2222	822	1127	3733	—	75479	2222, 22222223	374	1359
3707	—	74891	222222223222	474	1213	—	3690	75211	22222223, 2222	517	1339	3734	—	75503	2222, 22222, 4	174	833
3708	—	74897	222222222232	780	989	—	3691	75217	2222222222222	755	967	—	3701	75511	2222, 22222, 422	211	807
3709	—	74903	222222222222	362	1295	—	3692	75223	2222222222222	331	1205	3735	—	75521	2222, 3, 722	270	307
—	3678	74923	2222222222222	653	1709	3720	—	75227	2222222222222	450	1231	3736	—	75527	2222, 3, 5, 3	196	625
—	3679	74929	2222222222, 32	847	1097	3721	—	75239	222222224, 2, 3	264	911	3737	—	75533	2222, 3, 4, 222	514	869
3710	—	74933	22222222222222	944	1541	—	3693	75253	22222222222222	487	803	3738	—	75539	2222, 3, 322, 2	440	1039
—	3680	74941	22222222222222	541	985	3722	—	75269	2222, 2, 5222	360	553	—	3702	75541	2222, 3, 3222222	721	1161
—	3681	74959	222222, 2, 2, 4	235	1037	—	3694	75277	2222, 2, 5, 222	449	757	—	3703	75553	2222, 3, 2222	573	695
3711	—	75011	2222222222, 2	272	585	—	3695	75289	2222, 2, 4, 2, 22	627	883	3739	—	75557	2222, 3, 2222222	780	1231
3682	75013	22222222222222	503	775	—	3696	75307	2222, 2, 2, 32222	523	1365	—	3704	75571	2222, 3, 2, 2, 2	499	1205	
3712	—	75017	22222222222222	652	883	3723	—	75323	2222, 2, 3, 322	382	1057	—	3705	75577	2222, 3, 2, 3, 22	669	961
3713	—	75029	22222222222222	868	1397	3724	—	75329	2222, 2, 2252	508	597	—	3706	75583	2222, 3, 2, 6	85	547
—	3683	75037	222222223, 322	637	1125	—	3697	75337	2222, 2, 222222	901	1231	3740	—	75611	2222, 3222222	484	1319
3714	—	75041	22222222224	704	853	3725	—	75347	2222, 2, 22222, 2	634	1509	3741	—	75617	2222, 322, 42	580	713
—	3684	75079	22222222223, 3	391	1281	3726	—	75353	2222, 2, 2222, 22	938	1331	—	3707	75619	2222, 322, 3, 2	447	1027



[illegible]

$z'$	$z''$	$Z$	Exponenten	$\bar{N}$	$N$	$z'$	$z''$	$Z$	Exponenten	$\bar{N}$	$N$
—	3779	77359	e2e03, 3e04	189	863	3831	—	77591	e2e04, 3e03	238	849
3821	—	77369	e2e03, 3, 3, 2e	624	895	—	3794	77611	e2e04, 2e00e2	451	1179
—	3780	77377	e2e03, 2e5e	467	549	—	3795	77617	e2e04, 2, 2, 3e	593	767
—	3781	77383	e2e03, 2e3, 3	303	991	3832	—	77621	e2e04, 2, 2e00e	664	1083
3822	—	77417	e2e03, 2, 2e02e	866	1201	—	3796	77641	e2e04e2e2e	685	937
—	3782	77419	e2e03, 2, 2e02e	531	1397	—	3797	77647	e2e04e02, 4	181	795
—	3783	77431	e2e03, 2, 3e3	253	955	—	3798	77659	e2e04e0e2e2	401	1093
3823	—	77447	e2e03e04, 3	260	837	3833	—	77681	e2e04e3, 3e	486	635
3824	—	77471	e2e03e02, 5	146	787	3834	—	77687	e2e04e3e3	188	713
3825	—	77477	e2e03e00e2e0e	908	1435	—	3799	77689	e2e04e4, 2e	415	603
—	3784	77479	e2e03e00e2, 3	381	1289	3835	—	77699	e2e05, 5, 2	202	443
3826	—	77489	e2e03e0e2, 3e	794	1029	3836	—	77711	e2e05, 3, 4	124	535
—	3785	77491	e2e03e0e2, 2, 2	559	1353	—	3800	77713	e2e05, 2e3e	457	581
—	3786	77509	e2e03e2, 3e0e	687	1075	—	3801	77719	e2e05, 2e03	209	751
3827	—	77513	e2e03e2, 2e2e	808	1107	3837	—	77723	e2e05, 2, 2e2	294	797
—	3787	77521	e2e03e2e0e3e	751	961	—	3802	77731	e2e05e03, 2	301	687
—	3788	77527	e2e03e2e0e3	331	1203	—	3803	77743	e2e05e0e4	131	609
3828	—	77543	e2e03e3, 2, 3	274	943	3838	—	77747	e2e05e2, 2, 2	308	747
3829	—	77549	e2e03e3e2e0e	580	1007	—	3804	77761	e2e06, 5e	237	283
—	3789	77551	e2e03e3e4	153	733	—	3805	77773	e2e06, 2, 2e0e	343	587
—	3790	77557	e2e03e4e0e0e	523	861	3839	—	77783	e2e06e0e3	152	555
—	3791	77563	e2e03e5e2	217	619	—	3806	77797	e2e07, 2e0e	279	445
—	3792	77569	e2e04, 7e	231	263	3840	—	77801	e2e07e0e2e	286	399
3830	—	77573	e2e04, 5e0e	366	565	3841	—	77813	e2e08e0e0e	194	321
—	3793	77587	e2e04, 3e2, 2	373	881	—	3807	77839	e2, 2, 8, 4	59	243

$z'$	$z''$	$Z$	Exponenten	$\bar{N}$	$N$	$z'$	$z''$	$Z$	Exponenten	$\bar{N}$	$N$	$z'$	$z''$	$Z$	Exponenten	$\bar{N}$	$N$
3853	—	78167	02, 2, 3, 00000003	3681331	—	3833	78487	02, 2, 2, 20002003	4071457	—	3847	78781	02, 2, 2, 30400	433	791		
3854	—	78173	02, 2, 3, 00000300	6501159	3867	—	78497	02, 2, 2, 20000400	790 961	—	3848	78787	02, 2, 2, 4, 4, 2	317	709		
3855	—	78179	02, 2, 3, 002, 3, 2	4781097	3868	—	78509	02, 2, 2, 20000200	10021727	3878	—	78791	02, 2, 2, 4, 3, 3	242	801		
3856	—	78191	02, 2, 3, 00204	196 925	—	3834	78511	02, 2, 2, 20000004	2771279	3879	—	78797	02, 2, 2, 4, 2, 200	576	985		
—	3822	78193	02, 2, 3, 003, 30	643 839	—	3835	78517	02, 2, 2, 20000000	10431703	3880	—	78803	02, 2, 2, 4, 002, 2	426	1019		
3857	—	78203	02, 2, 3, 00402	306 863	3869	—	78539	02, 2, 2, 0002, 2002	6121583	3881	—	78809	02, 2, 2, 4, 02, 20	610	869		
—	3823	78229	02, 2, 3, 2, 2, 20000000	8351347	—	3836	78541	02, 2, 2, 0002, 2, 200	8651477	—	3849	78823	02, 2, 2, 5, 2, 3	201	695		
3858	—	78233	02, 2, 3, 2, 2, 2, 2, 20000000	7801103	—	3837	78553	02, 2, 2, 000202, 20	9471347	3882	—	78839	02, 2, 2, 603	126	487		
—	3824	78241	02, 2, 3, 20040	615 749	3870	—	78569	02, 2, 2, 00030020	8581193	—	3850	78853	02, 2, 2007000	275	421		
—	3825	78259	02, 2, 3, 202, 2, 2	5051223	—	3838	78571	02, 2, 2, 00030002	5231381	3883	—	78857	02, 2, 2006020	370	499		
—	3826	78277	02, 2, 3, 3, 3, 0000	601 941	—	3839	78577	02, 2, 2, 0004, 30	605 793	—	3851	78877	02, 2, 2005, 300	397	699		
—	3827	78283	02, 2, 3, 3, 2, 0002	4431147	—	3840	78583	02, 2, 2, 000403	229 875	3884	—	78887	02, 2, 200402, 3	268	899		
—	3828	78301	02, 2, 3, 3, 0300	491 879	3871	—	78593	02, 2, 2, 2, 70	304 345	—	3852	78889	02, 2, 200400020	709	977		
—	3829	78307	02, 2, 3, 4, 3, 2	333 769	—	3841	78607	02, 2, 2, 2, 4, 4	181 765	3885	—	78893	02, 2, 200400020	614	1055		
3859	—	78311	02, 2, 3, 4, 2, 3	230 793	3872	—	78623	02, 2, 2, 2, 3, 5	140 741	—	3853	78901	02, 2, 2004, 20000	675	1099		
3860	—	78317	02, 2, 3, 4, 0200	484 841	—	3842	78643	02, 2, 2, 2, 2, 2, 2, 2	5771393	—	3854	78919	02, 2, 200303, 3	295	963		
3861	—	78341	02, 2, 2, 060000	346 531	—	3843	78649	02, 2, 2, 2, 2, 3, 20	7751113	3886	—	78929	02, 2, 200300030	790	1007		
3862	—	78347	02, 2, 2, 050002	298 757	3873	—	78653	02, 2, 2, 2, 2, 400	536 973	3887	—	78941	02, 2, 200300030	634	1129		
—	3830	78367	02, 2, 2, 04, 5	113 589	—	3844	78691	02, 2, 2, 2, 02, 3, 2	5291215	3888	—	78977	02, 2, 2002000	410	471		
3863	—	78401	02, 2, 2, 02050	510 599	—	3845	78697	02, 2, 2, 2, 0200020	9591331	—	3855	78979	02, 2, 200205, 2	349	759		
—	3831	78427	02, 2, 2, 02000202	5511499	3874	—	78707	02, 2, 2, 2, 03, 2, 2	4881191	3889	—	78989	02, 2, 200203, 200	742	1257		
3864	—	78437	02, 2, 2, 02, 2, 2, 20000000	9001427	3875	—	78713	02, 2, 2, 2, 04, 20	604 877	3890	—	79031	02, 2, 200200030	376	1399		
—	3832	78439	02, 2, 2, 02, 2, 2, 3	3731273	—	3846	78721	02, 2, 2, 3, 60	365 423	—	3856	79039	02, 2, 2002000	105	691		
3865	—	78467	02, 2, 2, 0005, 2	366 797	3876	—	78737	02, 2, 2, 3, 2030	706 897	3891	—	79043	02, 2, 002, 2, 4, 2	464	1033		
3866	—	78479	02, 2, 2, 0003, 4	2361009	3877	—	78779	02, 2, 2, 3, 0302	358 999	—	3857	79063	02, 2, 002, 2, 0003	403	1403		

$z'$	$z''$	$Z$	Exponenten	$\bar{N}$	$N$	$z'$	$z''$	$Z$	Exponenten	$\bar{N}$	$N$	$z'$	$z''$	$Z$	Exponenten	$\bar{N}$	$N$
—	3858	79087	02, 2002, 304	193	921	3906	—	79349	02, 200050000	510	841	—	3881	79627	02, 203, 4002	353	901
3892	—	79103	02, 2002, 8	44	369	—	3869	79357	02, 2000700	233	439	3919	—	79631	02, 203, 4, 4	158	669
—	3859	79111	02, 20005, 3	247	785	3907	—	79367	02, 202, 6, 3	172	543	—	3882	79633	02, 203, 3030	595	753
3893	—	79133	02, 20003, 300	680	1201	3908	—	79379	02, 202, 402, 2	408	961	—	3883	79657	02, 203, 200020	857	1183
3894	—	79139	02, 20000203, 2	592	1343	—	3870	79393	02, 202, 3040	563	681	—	3884	79669	02, 203, 2, 200000	783	1277
—	3860	79147	02, 20000200002	707	1847	3909	—	79397	02, 202, 302000	772	1217	—	3885	79687	02, 203003, 3	299	981
3895	—	79151	02, 200002004	274	1255	—	3871	79399	02, 202, 302, 3	327	1099	3920	—	79691	02, 203002002	514	1327
—	3861	79153	02, 200002, 2, 30	937	1211	—	3872	79411	02, 202, 3, 2, 2	509	1227	—	3886	79693	02, 203002, 200	729	1243
—	3862	79159	02, 200002, 203	389	1441	—	3873	79423	02, 202, 3, 6	91	573	3921	—	79697	02, 203000030	776	991
3896	—	79181	02, 20000002, 200	1018	1735	3910	—	79427	02, 202, 204, 2	428	947	—	3887	79699	02, 20300002, 2	561	1337
—	79187	02, 2000000002, 2	788	1877	3911	—	79433	02, 202, 202020	920	1257	3922	—	79757	02, 204, 3, 200	500	849	
3898	—	79193	02, 200000002, 20	1160	1647	3912	—	79451	02, 202, 200202	556	1513	3923	—	79759	02, 204, 2, 2, 20	614	869
—	3863	79201	02, 200002, 40	815	1001	3913	—	79481	02, 202, 2, 4, 20	630	913	—	3888	79777	02, 2040040	473	577
3899	—	79229	02, 20000500	470	869	3914	—	79493	02, 202004000	650	1007	—	3889	79801	02, 20403, 20	493	711
—	3864	79231	02, 2000007	71	541	—	3874	79531	02, 2020000002	697	1825	3924	—	79811	02, 205, 4, 2	238	533
—	79241	02, 20002, 3020	862	1173	—	3875	79537	02, 20200002, 30	899	1165	—	3890	79813	02, 205, 3000	419	657	
3900	—	79259	02, 20002, 2, 202	578	1565	—	3876	79549	02, 202000400	559	1037	3925	—	79817	02, 205, 2020	486	667
—	3865	79273	02, 20000000020	1139	1575	3915	—	79559	02, 20202, 3, 3	340	1121	3926	—	79823	02, 205, 2, 4	124	553
—	3866	79279	02, 20000004	267	1237	—	3877	79561	02, 20202, 2020	919	1259	3927	—	79829	02, 205000000	506	821
3902	—	79283	02, 200002, 2, 2	632	1531	—	3878	79579	02, 202020202	515	1407	3928	—	79841	02, 206, 40	278	345
—	79301	02, 20003, 3000	740	1159	3916	—	79589	02, 20203, 2000	764	1215	—	3891	79843	02, 206, 3, 2	211	489	
3903	—	79309	02, 20003, 2, 200	767	1311	3917	—	79601	02, 20204, 30	562	737	3929	—	79847	02, 206, 2, 3	144	499
—	79319	02, 200030003	348	1267	—	3879	79609	02, 20205, 20	401	673	—	3892	79861	02, 2070000	251	415	
3868	79333	02, 20004, 2000	679	1081	3918	—	79613	02, 2020600	286	535	—	3893	79867	02, 20802	97	281	
3905	—	79337	02, 200040020	706	983	—	3880	79621	02, 203, 5000	427	659	—	3894	79873	02, 3, 100	103	113

$z'$	$z''$	$Z$	Exponenten	$\bar{N}$	$N$	$z'$	$z''$	$Z$	Exponenten	$\bar{N}$	$N$	$z'$	$z''$	$Z$	Exponenten	$\bar{N}$	$N$
3930	—	79889	e2, 3, 6e3e	282	355	3945	—	80177	e2, 3, 2e2, 2, 3	722	933	3956	—	80471	e2, 3, 2e2e3	354	1315
3931	—	79901	e2, 3, 6, 3e	262	461	3905	80191	e2, 3, 2e2, 6	89	567	—	3919	—	80473	e2, 3, 2e2e2, 2e	869	1233
—	3955	79903	e2, 3, 6, 5	63	325	3946	—	80207	e2, 3, 2e2e2, 4	234	1025	3957	—	80489	e2, 3, 2e2, 2e2e	882	1223
3932	—	79907	e2, 3, 5e3, 2	242	547	—	3906	80209	e2, 3, 2e2e2e3e	847	1081	—	3920	80491	e2, 3, 2e2, 2e2e2	541	1423
—	3966	79939	e2, 3, 4e4, 2	255	563	—	3907	80221	e2, 3, 2e2e2e3e	669	1193	3958	—	80513	e2, 3, 2e2e2e6	390	449
3933	—	79943	e2, 3, 4e3, 3	202	659	3947	—	80231	e2, 3, 2e2e2, 2, 3	346	1183	—	3921	80527	e2, 3, 2e2e2e3, 4	213	911
3934	—	79967	e2, 3, 4e5	96	533	—	3908	80233	e2, 3, 2e2e2e2e	893	1239	3959	—	80537	e2, 3, 2e2e2e2, 2e	888	1255
3935	—	79973	e2, 3, 4, 2, 2e2e	566	897	—	3909	80239	e2, 3, 2e2e2e4	201	949	—	3922	80557	e2, 3, 2e2e2e2e2e	901	1553
3936	—	79979	e2, 3, 4, 2e2e2	374	983	—	3910	80251	e2, 3, 2e2e4e2	313	883	3960	—	80567	e2, 3, 2e2e2e2e3	344	1281
—	3967	79987	e2, 3, 4, 3, 2, 2	321	781	—	3911	80263	e2, 3, 2, 2, 4, 3	247	797	—	3933	80599	e2, 3, 2e2e2e2e3	357	1297
3937	—	79997	e2, 3, 4, 5e	268	493	3948	—	80273	e2, 3, 2, 2, 2e3e	708	899	3961	—	80603	e2, 3, 2e2e2e2e2e	488	1333
—	3908	79999	e2, 3, 4, 7	43	311	3949	—	80279	e2, 3, 2, 2, 2e2e3	326	1169	—	3924	80611	e2, 3, 2e2e2e3, 3, 2	429	989
3938	—	80021	e2, 3, 3e2e2e2e	724	1167	—	3912	80287	e2, 3, 2, 2, 2, 5	135	731	3962	—	80621	e2, 3, 2e2e2e3e2e	632	1097
3939	—	80039	e2, 3, 3e2e2, 3	314	1061	3950	—	80309	e2, 3, 2, 2e2e2e2e	800	1307	3963	—	80627	e2, 3, 2e2e2e4, 2, 2	370	907
3940	—	80051	e2, 3, 3e2e2, 2, 2	466	1127	—	3913	80317	e2, 3, 2, 2e4e	451	823	—	3925	80629	e2, 3, 2e2e2e4e2e	573	943
—	3909	80071	e2, 3, 3, 2, 3, 3	261	859	—	3914	80329	e2, 3, 2, 3, 2e2e	701	961	3964	—	80651	e2, 3, 2e2, 4e2e2	350	893
—	3900	80077	e2, 3, 3, 2, 2, 2e2e	631	1077	—	3915	80341	e2, 3, 2, 3e2e2e2e	747	1211	3965	—	80657	e2, 3, 2e2, 3e3e	592	749
—	3901	80107	e2, 3, 3e2e2	393	1037	—	3916	80347	e2, 3, 2, 3e2e2	385	1053	3966	—	80669	e2, 3, 2e2, 3, 3e	520	919
3941	—	80111	e2, 3, 3e4	142	677	3951	—	80363	e2, 3, 2, 4e2e2	352	931	—	3926	80671	e2, 3, 2e2, 3, 5	121	641
3942	—	80141	e2, 3, 2e4, 2e	498	841	3952	—	80369	e2, 3, 2, 5, 3e	398	523	—	3927	80677	e2, 3, 2e2, 2e2e2e	775	1223
3943	—	80147	e2, 3, 2e3e2, 2	432	1019	3953	—	80387	e2, 3e27, 2	174	371	3967	—	80681	e2, 3, 2e2, 2e2e2e	860	1187
—	3902	80149	e2, 3, 2e3e2e2e	709	1141	—	3917	80407	e2, 3e4e2e3	233	827	—	3928	80683	e2, 3, 2e2, 2e2e2e2	533	1393
3944	—	80153	e2, 3, 2e3, 2, 2e	676	953	3954	—	80429	e2, 3e3e2e2e	666	1145	3968	—	80687	e2, 3, 2e2, 2e2e4	206	945
—	3903	80167	e2, 3, 2e2e2, 3	333	1121	3955	—	80447	e2, 3e3, 6	82	515	—	3929	80701	e2, 3, 2e2, 2, 4e	461	837
—	3904	80173	e2, 3, 2e2e2e2e	755	1299	—	3918	80449	e2, 3e2e2e5	469	551	—	3930	80713	e2, 3, 2e2e2e2e	827	1131



$z'$	$z''$	$Z$	Exponenten	$\bar{N}$	$N$	$z'$	$z''$	$Z$	Exponenten	$\bar{N}$	$N$	$z'$	$z''$	$Z$	Exponenten	$\bar{N}$	$N$
—	3931	80737	$02, 30202, 40$	585	719	—	3945	81001	$02, 4, 3, 20020$	611	847	3993	—	81233	$02, 400000030$	698	891
3969	—	80747	$02, 302020002$	500	1317	—	3946	81013	$02, 4, 3, 300000$	501	821	3994	—	81239	$02, 400000003$	312	1129
—	3932	80749	$02, 302020000$	683	1183	3980	—	81017	$02, 4, 3, 4, 20$	494	585	3995	—	81281	$02, 4002, 60$	286	331
—	3933	80761	$02, 30204, 20$	513	745	—	3947	81019	$02, 4, 3, 402$	223	627	—	3957	81283	$02, 402, 5, 2$	241	527
3970	—	80777	$02, 303, 3020$	578	787	3981	—	81023	$02, 4, 3, 7$	42	307	3996	—	81293	$02, 402, 3, 200$	498	845
—	3934	80779	$02, 303, 3002$	369	947	—	3948	81031	$02, 4, 204, 3$	197	633	3997	—	81299	$02, 402, 202, 2$	408	967
3971	—	80783	$02, 303, 3, 4$	160	689	3982	—	81041	$02, 4, 202030$	578	733	—	3958	81307	$02, 402, 2, 202$	363	983
3972	—	80789	$02, 303, 200000$	702	1133	—	3949	81043	$02, 4, 20202, 2$	423	1001	—	3959	81331	$02, 40202, 2, 2$	395	957
—	3935	80803	$02, 303003, 2$	395	901	3983	—	81047	$02, 4, 202003$	268	959	—	3960	81343	$02, 40206$	61	411
—	3936	80809	$02, 303000020$	741	1025	—	3950	81049	$02, 4, 202, 2, 20$	649	917	—	3961	81349	$02, 403, 3000$	459	719
3973	—	80819	$02, 30302, 2, 2$	408	989	3984	—	81071	$02, 4, 200004$	184	849	3998	—	81353	$02, 403, 2020$	536	735
3974	—	80831	$02, 30306$	62	421	3985	—	81077	$02, 4, 20020000$	694	1133	3999	—	81359	$02, 403, 2, 4$	138	613
—	3937	80833	$02, 304, 50$	323	385	3986	—	81083	$02, 4, 200302$	326	907	4000	—	81371	$02, 4030202$	292	799
3975	—	80849	$02, 3040030$	486	623	—	3951	81097	$02, 4, 2, 2020$	655	897	—	3962	81373	$02, 4030300$	369	661
—	3938	80863	$02, 30405$	75	437	3987	—	81101	$02, 4, 2, 2, 200$	584	997	4001	—	81401	$02, 406, 20$	234	343
3976	—	80897	$02, 4, 90$	120	133	3988	—	81119	$02, 4, 2, 205$	100	571	—	3963	81409	$02, 5, 80$	131	147
3977	—	80909	$02, 4, 6, 200$	256	431	3989	—	81131	$02, 4, 2, 30002$	338	945	—	3964	81421	$02, 5, 5, 200$	265	447
—	3939	80911	$02, 4, 6, 4$	81	337	—	3952	81157	$02, 4005000$	351	541	—	3965	81439	$02, 5, 4, 5$	67	351
—	3940	80917	$02, 4, 500000$	379	609	—	3953	81163	$02, 4004002$	293	747	—	3966	81457	$02, 5, 3, 2, 30$	405	523
—	3941	80923	$02, 4, 5, 202$	217	583	3990	—	81173	$02, 400300000$	602	969	—	3967	81463	$02, 5, 3, 203$	169	625
—	3942	80929	$02, 4, 4040$	327	395	—	3954	81181	$02, 4003, 300$	441	779	4002	—	81509	$02, 5, 2, 2, 2000$	500	793
3978	—	80933	$02, 4, 402000$	450	709	3991	—	81197	$02, 400200200$	634	1091	—	3968	81517	$02, 5, 2, 20200$	449	777
—	3943	80953	$02, 4, 4, 3, 20$	411	589	—	3955	81199	$02, 4002004$	177	811	4003	—	81527	$02, 5, 2, 303$	156	589
3979	—	80963	$02, 4, 304, 2$	262	579	3992	—	81203	$02, 4002, 2, 2$	428	1033	4004	—	81533	$02, 5, 2, 500$	226	417
—	3944	80989	$02, 4, 300300$	443	789	—	3956	81223	$02, 400003, 3$	267	875	—	3969	81547	$02, 5003002$	283	725

$z'$	$z''$	$Z$	Exponenten	$\bar{N}$	$N$	$z'$	$z''$	$Z$	Exponenten	$\bar{N}$	$N$	$z'$	$z''$	$Z$	Exponenten	$\bar{N}$	$N$
4005	—	81551	02, 5003, 4	124	531	—	3980	81817	02, 7, 2, 2, 20	270	395	—	3995	82051	000605, 2	135	293
—	3970	81553	02, 5002030	461	585	4020	—	81839	02, 70004	72	335	4030	—	82067	00060202, 2	244	577
—	3971	81559	02, 5002003	213	763	—	3981	81847	02, 70203	97	363	4031	—	82073	000602, 2, 20	376	531
4006	—	81503	02, 5002, 202	302	817	—	3982	81853	02, 70400	147	269	—	3996	82129	0006, 20030	381	487
4007	—	81509	02, 5000040	410	499	4021	—	81869	02, 8, 2, 200	184	315	4032	—	82139	0006, 20202	232	633
4008	—	81611	02, 502, 2002	308	797	—	3983	81883	02, 80202	109	299	—	3997	82141	0006, 20300	295	577
—	3972	81619	02, 502002, 2	327	781	4022	—	81899	02, 90002	90	239	—	3998	82153	0006, 30020	375	521
4009	—	81629	02, 5020300	346	619	—	3984	81901	02, 90200	121	211	4033	—	82163	0006, 4, 2, 2	186	455
—	3973	81637	02, 503, 2000	403	641	—	3985	81919	02, 14	3	43	—	3999	82171	0006, 502	123	349
4010	—	81647	02, 50304	92	441	4023	—	81929	00010020	102	137	—	4000	82183	000505, 3	117	371
—	3974	81649	02, 504, 30	295	387	—	3986	81931	00010002	67	169	—	4001	82189	000504, 200	311	535
—	3975	81667	02, 6, 6, 2	117	253	—	3987	81937	0009030	125	157	4034	—	82193	000503030	368	495
4011	—	81671	02, 6, 5, 3	98	313	—	3988	81943	0009003	61	215	—	4002	82207	000503, 5	77	495
4012	—	81677	02, 6, 4, 200	256	433	4024	—	81953	0008040	142	171	4035	—	82217	00050200020	556	707
4013	—	81689	02, 6, 3, 20	338	477	—	3989	81967	0008004	55	249	—	4003	82219	00050200002	345	901
4014	—	81701	02, 6, 202000	382	603	4025	—	81971	0008, 2, 2, 2	136	327	4036	—	82223	000502004	134	613
—	3976	81703	02, 6, 202, 3	161	543	—	3990	81973	0008, 20000	217	353	—	4004	82231	000502, 203	191	707
4015	—	81707	02, 6, 20002	262	685	—	3991	82003	00070002, 2	190	473	—	4005	82237	000502, 400	305	553
—	3977	81727	02, 6, 2, 6	41	265	4026	—	82007	000700003	124	447	4037	—	82241	000500050	322	379
4016	—	81737	02, 6002020	394	539	—	3992	82009	0007002, 20	297	421	—	4006	82261	0005000000000000	641	1037
4017	—	81749	02, 600000000	438	709	4027	—	82013	000700300	222	395	—	4007	82267	00050000202	339	923
4018	—	81761	02, 602, 40	274	337	—	3993	82021	0007, 2, 2000	291	461	—	4008	82279	0005002, 2, 3	225	769
—	3978	81769	02, 6020020	381	529	4028	—	82031	0007, 204	72	337	4038	—	82301	000500500	242	447
4019	—	81773	02, 6020200	318	551	4029	—	82037	0007, 30000	262	429	4039	—	82307	0005, 2, 5, 2	202	441
—	3979	81799	02, 7, 4, 3	91	295	—	3994	82039	0007, 303	95	357	—	4009	82339	0005, 2003, 2	327	745

$z'$	$z''$	$Z$	Exponenten	$\bar{N}$	$N$	$z'$	$z''$	$Z$	Exponenten	$\bar{N}$	$N$	$z'$	$z''$	$Z$	Exponenten	$\bar{N}$	$N$
4040	—	83349	0005, 2000200	526	907	—	4021	82609	000400002, 30	697	903	4068	—	82903	0004, 40003	205	747
4010	82351	—	0005, 20004	145	671	4054	—	82613	0004000020000	776	1267	4069	—	82913	0004, 5, 40	306	379
4041	—	83361	0005, 203, 20	452	651	4055	—	82614	000400003002	364	1013	—	4032	82939	0004, 702	115	331
4042	—	83373	0005, 3, 3000	412	645	—	4022	82633	00040002, 2020	725	993	—	4033	82963	00030502, 2	271	637
—	4011	82387	0005, 3002, 2	321	767	—	4023	82651	000400020202	409	1117	—	4034	82981	00030402000	539	849
—	4012	82393	0005, 302, 20	463	659	—	4024	82657	00040003, 40	471	581	4070	—	82997	000304, 20000	578	941
4043	—	82421	0005, 50000	298	491	—	4025	82699	0004, 2, 4002	307	783	4071	—	83003	000304, 302	282	779
4044	—	82457	000404, 2, 20	444	625	4056	—	82721	0004, 2, 2040	504	611	4072	—	83009	000303050	388	455
4045	—	82463	000404, 5	82	427	—	4026	82723	0004, 2, 203, 2	397	901	—	4035	83023	00030302, 4	187	815
4046	—	82469	00040302000	540	851	4057	—	82727	0004, 2, 202, 3	290	977	—	4036	83047	000303, 2, 2, 3	293	999
—	4013	82471	00040302, 3	229	769	—	4027	82729	0004, 2, 200020	763	1053	—	4037	83059	000303, 3, 2, 2	399	971
4014	82483	—	000403, 2, 2, 2	359	865	4058	—	82757	0004, 2003000	622	971	4073	—	83063	000303, 303	226	851
4047	—	82487	000403, 203	212	783	—	4028	82759	0004, 2003, 3	273	895	—	4038	83071	000303, 7	53	385
4048	—	82493	000403, 400	342	619	4059	—	82763	0004, 2002002	470	1213	—	4039	83077	00030204000	555	859
4049	—	82499	00040204, 2	308	681	4060	—	82781	0004, 2000300	560	999	—	4040	83089	00030202030	739	937
—	4015	82507	00040202002	421	1085	4061	—	82787	0004, 202, 3, 2	408	937	4074	—	83093	0003020200000	884	1425
4050	—	82529	000402, 2, 40	500	613	4062	—	82793	0004, 2020020	740	1027	—	4041	83101	00030202, 300	633	1121
—	4016	82531	000402, 2, 3, 2	387	887	4063	—	82799	0004, 20204	166	785	4075	—	83117	0003020000000	856	1475
—	4017	82549	000402, 30000	579	949	4064	—	82811	0004, 20402	256	723	—	4042	83137	000302, 2, 50	499	591
4051	—	82559	000402, 7	48	353	—	4029	82813	0004, 20500	301	557	4076	—	83177	000302, 30000	772	1073
—	4018	82561	000400060	319	367	—	4030	82837	0004, 3, 200000	655	1057	—	4043	83203	00030006, 2	259	557
—	4019	82567	00040004, 3	223	717	4065	—	82847	0004, 3, 2, 5	104	565	4077	—	83207	00030005, 3	220	699
4052	—	82571	00040003002	398	1019	4066	—	82883	0004, 4, 4, 2	250	559	4078	—	83219	0003000302, 2	504	1189
—	4020	82591	00040002, 5	127	683	4067	—	82889	0004, 4, 2020	514	705	—	4044	83221	0003000000000	827	1331
4053	—	82601	0004000000000	872	1205	—	4031	82891	0004, 4, 2002	323	837	—	4045	83227	00030003, 202	465	1253

$z'$	$z''$	$Z$	Exponenten	$\bar{N}$	$N$	$z'$	$z''$	$Z$	Exponenten	$\bar{N}$	$N$	$z'$	$z''$	$Z$	Exponenten	$\bar{N}$	$N$
4079	—	83331	0030003, 5	142	749	4090	—	83477	0003, 2, 400000	630	1013	4102	—	83813	0003, 302, 2000	744	1181
—	4046	83333	0030002040	671	813	—	4060	83497	0003, 2, 300020	813	1121	—	—	83833	0003, 304, 20	495	719
4080	—	83343	0030002000202	624	1651	4091	—	83537	0003, 2, 200030	846	1079	4103	—	83843	0003, 4, 5, 2	246	539
—	4047	83357	003000202, 3, 20	799	1147	—	4061	83557	0003, 2, 2, 2, 200000	857	1359	—	—	83857	0003, 4, 2000	501	713
4081	—	83267	003000004, 2	766	1055	4092	—	83561	0003, 2, 2, 200020	918	1273	—	—	83869	0003, 4, 2, 300	467	829
—	4048	83369	0030000003000	849	1325	—	4062	83563	0003, 2, 2, 200020	563	1481	4104	—	83873	0003, 40040	478	583
4082	—	83273	0030000000200	1016	1389	4093	—	83579	0003, 2, 2, 402	330	959	4105	—	83891	0003, 402, 2, 2	384	931
—	4049	83399	003000002, 3, 2	595	1297	4094	—	83591	0003, 2004, 3	280	901	4106	—	83903	0003, 406	158	395
—	4050	83311	00300000204	231	1091	4095	—	83597	0003, 2003, 200	718	1217	—	—	83911	0003, 5, 3, 3	185	613
4083	—	83339	0030002, 3002	498	1277	4096	—	83609	0003, 2002, 2, 20	912	1289	4107	—	83921	0003, 50030	450	577
—	4051	83341	0030002, 3, 200	715	1213	—	4063	83617	0003, 2000040	729	897	4108	—	83933	0003, 50300	334	599
4084	—	83357	0030002, 2, 300	676	1199	4097	—	83621	0003, 200020000	984	1555	4109	—	83939	0003, 6, 3, 2	218	505
—	4052	83383	00300020203	331	1235	4098	—	83639	0003, 20020203	352	1311	4110	—	83909	00020100	118	129
—	4053	83389	00300020400	599	929	—	4064	83641	0003, 200003, 20	801	1153	—	—	83983	000207, 4	85	351
4085	—	83399	0030003, 3, 3	292	965	—	4065	83653	0003, 202, 3000	751	1175	4111	—	83987	00020602, 2	244	573
—	4054	83401	0030003, 2020	787	1079	4099	—	83663	0003, 202, 2, 4	230	1017	4112	—	84011	00020500002	348	907
—	4055	83407	0030003, 2, 4	203	901	—	4066	83689	0003, 2030020	773	1075	4113	—	84017	000205, 2, 30	474	611
4086	—	83417	003000302, 20	748	1065	—	4067	83701	0003, 2040000	579	953	4114	—	84047	00020402, 4	178	775
4087	—	83423	0030003005	114	659	4100	—	83717	0003, 3, 5000	418	645	4115	—	84053	0002040000000	704	1235
—	4056	83431	0030004, 2, 3	253	873	—	4068	83719	0003, 3, 5, 3	191	609	4116	—	84059	00020400202	408	1109
—	4057	83437	00300040200	531	923	—	4069	83737	0003, 3, 2, 20	667	941	—	—	84078	00020400300	523	931
—	4058	83443	0030005, 2, 2	393	745	—	4070	83761	0003, 3, 2, 2, 30	689	891	—	—	84079	000204, 2, 3, 2	397	709
—	4059	83449	0030006, 20	353	517	—	4071	83773	0003, 3, 2, 400	451	819	4117	—	84089	000204, 4, 20	490	709
4088	—	83459	0003, 2, 7, 2	186	397	4101	—	83777	0003, 30050	462	545	—	—	84081	00020302, 2, 20	839	1171
4089	—	83471	0003, 2, 5, 4	136	569	—	4072	83791	0003, 3002, 4	213	935	—	—	84081	00020302, 5	145	777

$z'$	$z''$	Z	Exponenten	$\bar{N}$	N	$z'$	$z''$	Z	Exponenten	$\bar{N}$	N	$z'$	$z''$	Z	Exponenten	$\bar{N}$	N
4118	—	84131	000230003, 2	528	1201	4131	—	84401	000202, 202, 30	920	1193	—	4104	84673	000200002, 50	689	817
4119	—	84137	00023000000	1004	1387	4132	—	84407	000202, 20203	374	1395	—	4105	84691	000200002002, 2	787	1879
4120	—	84143	0002300004	238	1097	—	4094	84421	000202, 3, 3000	767	1201	—	4106	84697	000200002002, 20	1141	1623
—	4082	84163	00023, 2, 4, 2	413	919	4133	—	84431	000202, 3, 2, 4	232	1039	4146	—	84701	0002000020300	836	1495
4121	—	84179	000203, 2002, 2	588	1403	4134	—	84437	000202, 3000000	958	1533	4147	—	84713	0002000030000	1032	1435
—	4083	84181	000203, 2000000	949	1537	4135	—	84443	000202, 30002	494	1351	4148	—	84719	000200003004	226	1081
4122	—	84191	000203, 205	134	763	4136	—	84449	000202, 4, 40	554	685	4149	—	84731	00020000502	324	923
—	4084	84199	000203, 3, 2, 3	309	1061	—	4095	84457	000202, 40000	745	1037	4150	—	84737	00020002, 70	362	411
—	4085	84211	000203, 4, 2, 2	391	957	—	4096	84463	000202, 404	161	775	—	4107	84751	00020002, 4, 4	215	909
4123	—	84221	000203, 600	298	555	4137	—	84467	000202, 5, 2, 2	352	865	4151	—	84761	00020002, 3, 2, 20	928	1309
—	4086	84223	000203, 8	41	339	—	4097	84481	0002000080	259	289	—	4108	84787	00020002, 2, 2, 2, 2	583	1649
—	4087	84229	00020205000	511	787	—	4098	84499	0002000402, 2	477	1123	—	4109	84793	00020002, 2, 3, 20	917	1317
4124	—	84239	00020204, 4	194	817	4138	—	84503	00020004003	308	1093	4152	—	84809	0002000200200	1140	1539
—	4088	84247	00020203003	347	1235	4139	—	84509	00020004, 300	586	1033	—	4110	84811	0002000200200	721	1861
4125	—	84263	0002020202, 3	418	1407	4140	—	84521	0002000300000	1022	1409	4153	—	84827	0002000200200	672	1831
4126	—	84299	0002020002002	702	1811	—	4099	84523	0002000300000	635	1637	4154	—	84857	00020002004, 20	710	1031
—	4089	84307	00020200002, 2	773	1841	4141	—	84533	00020003, 20000	962	1567	—	4111	84859	0002000200402	389	1099
—	4090	84313	00020200002, 20	1139	1617	4142	—	84551	0002000203, 3	406	1327	4155	—	84869	00020003, 4000	650	1009
4127	—	84317	0002020000300	844	1505	—	4100	84559	0002000202, 4	297	1297	—	4112	84871	00020003, 4, 3	291	941
—	4091	84319	00020200005	183	1027	—	4101	84589	00020002, 20200	989	1711	—	4113	84913	0002000302, 30	813	1055
4128	—	84347	000202000402	396	1117	4143	—	84629	000200002000000	1272	2051	—	4114	84919	000200030203	329	1229
—	4092	84349	00020200500	467	863	—	4102	84631	0002000020003	493	1765	4156	—	84947	00020004002, 2	492	1177
4129	—	84377	000202, 2, 2, 2, 2, 2	1002	1417	—	4103	84649	00020000002019	1961	—	—	4115	84961	00020005, 40	443	549
4130	—	84389	000202, 2002000062	1679	4144	—	—	84653	00020000000000000	1212	2089	—	4116	84967	00020005, 2, 3	231	799
—	4093	84391	000202, 2002, 3	445	1507	4145	—	84659	00020000002, 2, 2	798	1931	4157	—	84977	00020006, 30	394	519

[illegible]

$z'$	$z''$	$Z$	Exponenten	$\bar{N}$	$N$	$z'$	$z''$	$Z$	Exponenten	$\bar{N}$	$N$	$z'$	$z''$	$Z$	Exponenten	$\bar{N}$	$N$	
—	4152	85831	0002, 4003, 3	277	909	—	4168	86161	0000402030	643	815	4217	—	86381	000030002000	874	1513	
—	4153	85837	0002, 4002, 2006751151	4207	—	—	86171	00004002, 202	426	1151	—	—	4183	86389	000030030000	837	1373	
—	4154	85843	0002, 400002, 25191237	—	4169	86179	000040003, 2	453	1053	4218	—	—	86399	00003007	66	499		
4198	—	85847	0002, 400003	3201159	4208	—	86183	000040003, 2	336	1135	—	—	4184	86413	00003, 2, 3, 200	747	1267	
4199	—	85853	0002, 4000300	5621003	—	4170	86197	000040020000	791	1291	4219	—	—	86423	00003, 2, 2003	388	1391	
4200	—	85889	0002, 5, 60	266	309	4209	—	86201	000040003, 20	664	955	4220	—	86441	00003, 2000020	1090	1507	
—	4155	85903	0002, 5, 3, 4	137	591	—	4171	86209	00004, 2, 50	447	529	4221	—	86453	00003, 2020000	958	1565	
—	4156	85909	0002, 5, 200000	599	967	—	4172	86239	00004, 205	119	677	—	—	4185	86461	00003, 20400	541	987
4201	—	85931	0002, 500002	3841007	4210	—	86243	00004, 3, 3, 2	394	907	—	—	4186	86467	00003, 3, 4, 2	409	913	
—	4157	85933	0002, 5000200	529	913	4211	—	86249	00004, 30020	706	981	4222	—	86477	00003, 3, 2, 200	752	1285	
4202	—	85991	0002, 7, 2, 3	126	437	—	4173	86257	00004, 4, 30	505	661	—	—	4187	86491	00003, 30202	467	1277
—	4158	85999	0002, 704	67	327	—	4174	86263	00004, 403	193	735	4223	—	86501	00003, 4, 2000	678	1079	
—	4159	86011	0002, 902	83	241	—	4175	86269	00004, 600	267	497	—	—	4188	86509	00003, 40200	583	1013
—	4160	86017	000010	93	101	—	4176	86287	0000304, 4	177	745	4224	—	86531	0000207, 2	224	477	
4203	—	86027	0000802	146	369	4212	—	86291	000030302, 2	494	1165	—	—	4189	86533	0000206000	419	643
—	4161	86029	00008, 200	215	361	—	4177	86293	000030300000	811	1305	—	—	4190	86539	0000205002	361	917
4204	—	86059	00006, 20000	448	729	4213	—	86297	0000303, 2, 20	774	1091	4225	—	86561	0000203040	656	793	
—	4162	86077	00006, 400	273	493	—	4178	86311	000030202, 3	383	1289	4226	—	86573	000020302000	872	1499	
—	4163	86083	0000504, 2	257	567	—	4179	86323	0000302, 2, 2	589	1421	4227	—	86579	0000203, 2, 2, 2	598	1441	
4205	—	86111	00005005	98	543	—	4180	86341	000030003000	853	1331	—	—	4191	86587	0000203, 302	461	1275
—	4164	86113	00005, 2, 40	437	535	4214	—	86351	000030002, 4	272	1191	—	—	4192	86599	000020203, 3	403	1317
4206	—	86117	00005, 2, 2000	580	919	—	4181	86353	00003000030	985	1257	4228	—	86627	0000202, 2, 3, 2	640	1467	
—	4165	86131	00005, 3, 2	331	805	4215	—	86357	00003000000000	1154	1867	—	—	4193	86629	0000202, 2, 2000	1093	1733
—	4166	86137	00005, 4, 20	421	609	4216	—	86369	00003002, 40	742	911	—	—	4194	86677	00002000000000	1277	2059
—	4167	86143	00005, 7	45	323	—	4182	86371	00003002, 3, 2	573	1315	—	—	4195	86689	0000200000040	961	1169

[illegible]



$z'$	$z''$	$Z$	Exponenten	$\bar{N}$	$N$	$z'$	$z''$	$Z$	Exponenten	$\bar{N}$	$N$	$z'$	$z''$	$Z$	Exponenten	$\bar{N}$	$N$
4269	—	87557	000002, 6000	468	719	4280	—	87797	000002040000	760	1251	—	4255	88093	00002, 6, 300	345	607
—	4331	87559	000002, 6, 3	217	685	4281	—	87803	0000020502	316	901	—	4256	88117	00002, 5, 20000	599	975
—	4232	87583	000002, 4, 5	149	779	—	4245	87811	000003, 6, 2	295	637	—	4257	88159	00002, 4050	407	477
4270	—	87587	000002, 303, 2	562	1273	4282	—	87833	000003, 3, 2, 20	864	1219	4295	—	88169	00002, 4, 20020	806	1117
—	4233	87589	000002, 302000	975	1537	—	4246	87853	000003, 200200	937	1613	—	4258	88177	00002, 4, 3, 30	609	793
—	4234	87613	000002, 3, 400	609	1103	4283	—	87859	000003, 2, 400	582	1057	4296	—	88211	00002, 30202, 2	588	1391
4271	—	87623	000002, 203, 3	426	1393	—	4247	87877	000003003000	869	1357	4297	—	88223	00002, 302, 5	158	847
4272	—	87629	000002, 202, 200	1048	1785	4284	—	87881	000003002020	1036	1417	—	4259	88237	00002, 3000200	935	1611
—	4235	87631	000002, 202, 4	311	1359	4285	—	87897	000003002, 4	274	1203	4298	—	88241	00002, 3002, 30	878	1137
4273	—	87641	000002, 2002, 20	1210	1717	4286	—	87911	00000302, 2, 3	394	1349	4299	—	88259	00002, 3, 2, 4, 2	448	997
—	4236	87643	000002, 200202	703	1913	4287	—	87917	000003020200	848	1469	—	4260	88261	00002, 3, 2, 3000	795	1243
4274	—	87671	000002, 2, 2, 40	865	1061	—	4248	87931	0000030402	347	981	4300	—	88289	00002, 3, 3, 40	624	769
—	4238	87679	000002, 2, 303	358	1351	—	4249	87943	000004, 4, 3	253	819	4301	—	88301	00002, 3, 30200	712	1235
—	4238	87679	000002, 2, 7	81	601	4288	—	87959	000004, 2003	326	1171	—	4261	88321	00002, 2070	339	383
4275	—	87683	000002005, 2	452	985	—	4250	87961	000004, 2, 2, 20	785	1111	—	4262	88327	00002, 205, 3	251	797
—	4239	87691	000002003002	661	1693	—	4251	87973	000004002000	811	1283	4302	—	88337	00002, 203030	784	991
—	4240	87697	000002002030	1079	1369	4289	—	87977	000004000020	884	1223	—	4263	88339	00002, 20302, 2	577	1361
4276	—	87701	00000200200000	1288	2077	—	4252	87991	0000040203	279	1043	4303	—	88379	00002, 202, 302	520	1441
4277	—	87719	00000200002, 3	546	1847	4290	—	88001	000005, 50	378	451	4304	—	88397	00002, 20002, 200	1058	1803
—	4241	87721	000002000020	1429	1975	—	4253	88003	000005, 4, 2	305	683	—	4264	88411	00002, 2000202	701	1909
—	4242	87739	000002000302	593	1651	4291	—	88007	000005, 3, 3	232	769	—	4255	88423	00002, 2002, 2, 3	463	1583
4278	—	87743	0000020006	128	849	4292	—	88019	000005002, 2	404	967	4305	—	88427	00002, 2002002	732	1927
—	4243	87751	000002002, 3, 3	431	1421	4293	—	88037	000006, 2000	456	727	4306	—	88463	00002, 2, 3, 4	256	1099
4279	—	87757	000002002003	478	1737	—	4254	88069	00002, 8000	231	353	4307	—	88469	00002, 2, 2, 00000	1130	1823
—	4244	87793	00000204, 30	713	935	4294	—	88079	00002, 7, 4	96	397	—	4266	88471	00002, 2, 2, 2003	437	1567

$z'$	$z''$	$Z$	Exponenten	$\bar{N}$	$N$	$z'$	$z''$	$Z$	Exponenten	$\bar{N}$	$N$	$z'$	$z''$	$Z$	Exponenten	$\bar{N}$	$N$
4308	—	88493	00002, 2, 2000200	1042	1797	—	4280	88807	000020003, 2, 3	405	1303	4331	—	89057	0000205, 40	430	533
4309	—	88499	00002, 2, 202, 2, 2	680	1647	4320	—	88811	0000200030002	632	1669	4332	—	89069	00002050200	406	811
—	4267	88513	00002, 2, 3, 50	561	667	—	4281	88813	0000200030200	859	1401	—	4294	89071	000020504	121	587
4310	—	88523	00002, 2, 3, 2002	592	1533	4321	—	88817	000020004, 30	730	937	—	4295	89083	000020702	157	453
4311	—	88547	00002, 2, 4, 3, 2	442	1021	—	4282	88819	000020004, 2, 2	503	1233	4333	—	89087	000020010	18	193
4312	—	88589	00002005, 200	550	927	—	4283	88843	0000202, 4002	477	1217	—	4296	89101	00003, 6, 200	357	601
—	4268	88591	00002005, 4	173	723	4322	—	88853	0000202, 30000	972	1555	—	4297	89107	00003, 502, 2	321	755
4313	—	88607	00002004, 5	142	741	—	4284	88801	0000202, 3, 300	709	1253	—	4298	89113	00003, 5, 2, 20	511	719
—	4269	88609	00002003040	679	821	—	4285	88867	0000202, 203, 2	611	1387	—	4299	89119	00003, 5, 5	95	493
4314	—	88643	0000200204, 2	524	1159	—	4286	88873	0000202, 200020	1173	1619	4334	—	89123	00003, 403, 2	362	819
—	4270	88651	0000200202002	715	1843	4323	—	88883	0000202, 2, 2, 2	678	1637	—	4300	89137	00003, 4, 2, 30	593	765
—	4271	88657	0000200200030	1007	1399	—	4287	88897	00002020050	647	753	4335	—	89153	00003, 3050	444	521
4315	—	88661	000020020000000	1288	2083	—	4288	88903	0000202003, 3	415	1301	4336	—	89189	00003, 3, 2, 2000	798	1805
—	4272	88663	0000200200003	493	1781	4324	—	88919	0000202000003	482	1745	—	4301	89203	00003, 3, 3, 2, 2	449	1093
4316	—	88667	0000200200202	684	1861	4325	—	88937	00002020200020	1116	1549	—	4302	89209	00003, 3, 4, 20	567	821
—	4273	88681	00002002, 20020	1195	1657	—	4289	88931	0000202020303	317	1201	4337	—	89213	00003, 3, 500	372	685
4317	—	88721	0000200002030	1076	1365	—	4290	88969	0000203, 3020	791	1077	—	4303	89227	00003, 203002	495	1267
—	4274	88729	0000200002, 2, 20	1205	1703	—	4291	88993	00002030040	693	845	4338	—	89231	00003, 203, 4	218	931
—	4275	88741	000020000000000	1303	2059	4326	—	88997	0000203000000	930	1471	4339	—	89237	00003, 202000000	972	1567
—	4276	88747	000020000000002	885	2317	4327	—	89003	0000203000002	626	1641	4340	—	89261	00003, 200002000	936	1813
—	4277	88771	000020002, 4, 2	565	1259	4328	—	89009	000020302, 30	796	1033	—	4304	89269	00003, 200200000	977	1595
—	4278	88789	000020000000000	1277	2069	—	4292	89017	000020303, 20	729	1051	4341	—	89273	00003, 2003, 20	818	1177
4318	—	88793	00002000202, 20	1148	1633	4329	—	89021	00002030400	492	899	—	4305	89293	00003, 2, 2, 2, 200	823	1405
4319	—	88799	00002000205	178	1019	—	4293	89041	00002040030	667	855	4342	—	89303	00003, 2, 20003	382	1387
—	4279	88801	000020003, 40	761	939	4330	—	89051	00002040202	394	1079	—	4306	89317	00003, 2, 3, 2000	787	1351



$z'$	$z''$	$Z$	Exponenten	$\bar{N}$	$N$	$z'$	$z''$	$Z$	Exponenten	$\bar{N}$	$N$
4381	—	90089	0008000	230 321	—	4355	90379	002, 404002	287	731	730 1189
4382	—	90107	00001002	58 169	—	4356	90397	002, 403, 300	439	775	271 1001
—	4344	90121	002, 9020	151 203	4395	—	90401	002, 402040	488 591	—	847 1157
—	4345	90127	002, 9, 4	47 193	—	4357	90403	002, 40203, 2	385 873	—	227 991
4383	—	90149	002, 702000	284 447	4396	—	90407	002, 40202, 3	282 949	—	969 1567
—	4346	90163	002, 7, 2, 2	195 469	4397	—	90437	002, 40003000	630 983	—	554 1457
4384	—	90173	002, 7, 400	190 343	—	4358	90439	002, 40003, 3	277 907	—	388 715
—	4347	90187	002, 602002	249 641	—	4359	90459	002, 4002, 2000	723 1147	—	583 1327
4385	—	90191	002, 602, 4	106 461	4398	—	90473	002, 40020020	772 1071	—	1105 1527
4386	—	90197	002, 60000000	456 737	—	4360	90481	002, 4003, 30	571 745	—	622 1505
—	4348	90199	002, 600003	175 631	—	4361	90499	002, 4, 2, 5, 2	267 583	—	778 1217
4387	—	90203	002, 600202	244 663	—	4362	90511	002, 4, 2, 3, 4	169 725	—	339 1117
—	4349	90217	002, 6, 20020	441 611	—	4363	90523	002, 4, 2, 2, 202	409 1107	—	856 1095
4388	—	90227	002, 6, 3, 2	234 569	4399	—	90527	002, 4, 2, 2, 5	120 649	—	895 1273
4389	—	90239	002, 6, 7	32 229	—	4364	90529	002, 4, 20040	551 671	—	139 795
—	4350	90247	002, 504, 3	155 497	4400	—	90533	002, 4, 2002000	722 1173	—	178 851
4390	—	90263	002, 502003	214 765	—	4365	90547	002, 4, 202, 2, 2	453 1097	—	212 675
—	4351	90271	002, 502, 5	91 487	—	4366	90583	002, 4, 30003	257 935	—	787 1267
4391	—	90281	002, 50000020	632 873	4401	—	90599	002, 4, 2, 3	208 717	—	441 1189
—	4352	90289	002, 5002, 30	509 659	4402	—	90617	002, 4, 6, 20	266 433	—	134 709
—	4353	90313	002, 5, 2, 2020	553 757	—	4367	90619	002, 4, 602	159 455	—	860 1357
4392	—	90353	002, 5, 4, 30	366 479	—	4368	90631	002, 306, 3	149 469	—	553 1335
4393	—	90359	002, 5, 403	140 533	4403	—	90641	002, 304030	486 613	—	436 967
4394	—	90371	002, 406, 2	184 395	4404	—	90647	002, 304003	332 823	—	548 1493
—	4354	90373	002, 405000	341 525	4405	—	90659	002, 30303, 2	398 901	—	660 811

$z'$	$z''$	$Z$	Exponenten	$\bar{N}$	$N$	$z'$	$z''$	$Z$	Exponenten	$\bar{N}$	$N$	$z'$	$z''$	$Z$	Exponenten	$\bar{N}$	$N$
4419	—	9089	002, 3, 202000	772	1337	4431	—	9153	002, 203, 30000	744	1219	4443	—	91541	002, 2002, 200000	1120	1807
—	4381	90997	002, 3, 2030000	733	1203	4432	—	9183	002, 2020202, 2	642	1519	4444	—	91571	002, 200202, 2	670	1623
—	4382	91009	002, 3, 3, 6	353	409	—	4394	91591	002, 20202, 202	579	1565	—	4407	91573	002, 2002020000	1057	1727
4420	—	91019	002, 3, 3, 3002	426	1093	—	4395	91397	002, 2020004	797	969	4445	—	91577	002, 200203, 20	878	1265
—	4383	91033	002, 3, 3, 2, 207571071	—	—	—	4396	91303	002, 2020002, 3	453	1531	4446	—	91583	002, 200206	104	699
4421	—	91079	002, 3, 4, 3, 3	236	781	—	4397	91309	002, 2020000200	1015	1749	—	4408	91591	002, 2003, 3, 3	341	1127
—	4384	91081	002, 3, 4, 2020	635	871	4433	—	91331	002, 202, 2, 4, 2	482	1073	—	4409	91621	002, 2004, 2000	723	1151
4422	—	91097	002, 3, 402, 20	596	849	4434	—	91367	002, 202, 3, 2, 3	356	1223	4447	—	91631	002, 200404	162	781
—	4385	91099	002, 3, 40202	343	939	—	4398	91309	002, 202, 30000	913	1269	—	4410	91639	002, 200503	191	735
4423	—	91121	002, 3, 6, 30	338	445	4435	—	91373	002, 202, 30200	758	1315	4448	—	91673	002, 2, 2, 4, 2, 20	698	983
4424	—	91127	002, 3, 6030	124	479	—	4399	91381	002, 202, 40000	695	1143	4449	—	91691	002, 2, 2, 300002	582	1519
—	4386	91129	002, 3, 7, 20	265	389	—	4400	91387	002, 202, 502	293	833	4450	—	91703	002, 2, 2, 3, 203	326	1205
4425	—	91139	002, 208, 2	148	313	—	4401	91393	002, 200070	351	397	—	4411	91711	002, 2, 2, 3, 6	99	623
—	4387	91141	002, 207000	279	427	4436	—	91397	002, 20005000	564	869	4451	—	91733	002, 2, 2, 2000000000	1142	1847
4426	—	91151	002, 206, 4	114	473	—	4402	91411	002, 2000302, 2	593	1399	—	4412	91753	002, 2, 2, 2, 200200551463	—	—
—	4388	91153	002, 205030	439	553	—	4403	91423	002, 20003, 5	167	881	4452	—	91757	002, 2, 2, 20200	886	1533
—	4389	91159	002, 205003	211	747	4437	—	91433	002, 2000200020	1198	1653	—	4413	91271	002, 2, 2, 2, 402	379	1067
4427	—	91163	002, 205, 202	308	827	—	4404	91453	002, 20002, 400	651	1181	4453	—	91781	002, 2, 2004000	712	1103
—	4390	91183	002, 204004	177	805	4438	—	91457	002, 20000050	680	801	—	4414	91801	002, 2, 2002, 2, 200451477	—	—
4428	—	91193	002, 204, 3, 20	594	851	—	4405	91459	002, 2000004, 2	559	1239	—	4415	91807	002, 2, 2002, 5	181	975
4429	—	91199	002, 204, 6	80	497	4439	—	91463	002, 2000003, 3	438	1435	4454	—	91811	002, 2, 200003, 2	654	1489
4430	—	91229	002, 20300300	652	1161	4440	—	91493	002, 200002, 20001301793	—	—	—	4416	91813	002, 2, 2000000000	1127	1781
—	4391	91237	002, 203, 2, 2000	841	1333	4441	—	91499	002, 2000020002	738	1943	4455	—	91823	002, 2, 2000004	292	1349
—	4392	91243	002, 203, 20002	555	1459	—	4406	91513	002, 200004, 20	767	1113	—	4417	91837	002, 2, 2000400	625	1139
—	4393	91249	002, 203, 3, 30	681	887	4442	—	91529	002, 2002, 3020	912	1241	4456	—	91841	002, 2, 202, 50	596	707

$z'$	$z''$	$Z$	Exponenten	$\bar{N}$	$N$	$z'$	$z''$	$Z$	Exponenten	$\bar{N}$	$N$	$z'$	$z''$	$Z$	Exponenten	$\bar{N}$	$N$
—	4418	91867	002, 2, 202002	567	1549	4467	—	92177	002006030	352	443	4479	—	92399	002003, 304	184	877
—	4419	91873	002, 2, 203, 40	649	801	—	4433	92179	00200602, 2	261	613	—	4446	92401	002003, 4, 30	595	779
—	4420	91909	002, 2, 3, 5000	475	733	4468	—	92189	002006, 300	328	577	—	4447	92413	002003, 600	313	539
—	4421	91921	002, 2, 3, 3030	663	839	—	4434	92203	00200500002	371	967	—	4448	92419	00200206, 2	289	621
—	4422	91939	002, 2, 3, 203, 2	499	1133	4469	—	92219	002005, 302	280	773	—	4449	92431	00200204, 4	203	855
4457	—	91943	002, 2, 3, 202, 3	364	1227	—	4435	92221	002005, 400	347	637	4480	—	92459	0020020200002	714	1865
—	4423	91951	002, 2, 3, 2004	229	1051	—	4436	92227	00200404, 2	323	713	—	4450	92461	0020020200000	991	1705
—	4424	91957	002, 2, 3, 2, 20000	875	1427	—	4437	92233	00200402020	701	1979	—	4451	92467	00200202, 2, 2	671	1619
4458	—	91961	002, 2, 3, 2, 3, 20	740	1063	4470	—	92237	00200402, 200	634	1079	—	4452	92479	00200202, 6	117	745
4459	—	91967	002, 2, 3, 2, 6	94	605	4471	—	92243	0020040002, 2	500	1189	4481	—	92489	0020020002000	1158	1583
—	4425	91969	002, 2, 30050	523	617	—	4438	92251	00200400202	433	1177	—	4453	92503	00200200000003	499	1805
4460	—	91997	002, 2, 3000300	682	1217	—	4439	92259	002004, 20200	653	1129	4482	—	92507	00200200000202	690	1879
4461	—	92003	002, 2, 302, 3, 2	494	1135	4472	—	92297	00200303020	734	997	—	4454	92551	002002, 2, 4, 3	327	1055
4462	—	92009	002, 2, 3020020	894	1241	—	4440	92311	00200302003	361	1291	—	4455	92557	002002, 2, 3, 200	833	1413
4463	—	92033	002, 2, 4, 60	330	383	—	4441	92317	00200302, 300	667	1181	4483	—	92567	002002, 2, 2003	432	1549
—	4426	92041	002, 2, 4, 3020	619	843	4473	—	92333	0020030000200	906	1561	—	4456	92569	002002, 2, 2, 20	1043	1475
4464	—	92051	002, 2, 4, 202, 2	460	1091	—	4442	92347	00200300302	447	1243	—	4457	92581	002002, 2002000	1105	1747
—	4427	92077	002, 2, 4000200	667	1151	—	4443	92353	002003, 200	533	631	—	4458	92593	002002, 202, 30	957	1241
—	4428	92083	002, 2, 402, 2, 2	431	1045	4474	—	92357	002003, 2, 3000	772	1207	—	4459	92623	002002, 3, 2, 4	241	1069
—	4429	92107	002, 2, 5, 2002	349	905	4475	—	92363	002003, 2, 2002	576	1489	4484	—	92627	002002, 3002, 2	618	1477
4465	—	92111	002, 2, 5, 2, 4	142	633	4476	—	92369	002003, 20030	858	1097	4485	—	92639	002002, 305	136	785
—	4430	92119	002, 2, 50003	219	799	—	4444	92377	002003, 202, 200	901	1281	—	4460	92641	002002, 4, 40	575	711
—	4431	92143	002, 2, 604	89	433	4477	—	92381	002003, 20300	662	1183	—	4461	92647	002002, 4, 2, 3	303	1045
4466	—	92153	002, 2, 8, 20	214	315	—	4445	92383	002003, 205	141	803	4486	—	92657	002002, 5, 30	532	699
—	4432	92173	002007, 200	285	479	4478	—	92387	002003, 3, 3, 2	466	1073	4487	—	92669	002002, 700	260	489

$z'$	$z''$	$Z$	Exponenten	$\bar{N}$	$N$	$z'$	$z''$	$Z$	Exponenten	$\bar{N}$	$N$	$z'$	$z''$	$Z$	Exponenten	$\bar{N}$	$N$
—	4462	92671	002002, 9	31	291	—	4475	92899	0020000003, 3, 2	593	1367	—	4485	93187	00202, 8, 2	159	337
4488	—	92681	00200005020	584	789	4500	—	92921	0020000005, 20	612	893	—	4486	93199	00202, 6, 4	121	503
—	4463	92683	00200005002	379	963	4501	—	92927	0020000008	50	431	—	4487	93239	00202, 400200	657	1129
4489	—	92693	0020000400000	808	1399	—	4476	92941	00200002, 4, 200	707	1195	4515	—	93259	00202, 4, 203	268	989
4490	—	92699	00200004, 202	460	1237	4502	—	92951	00200002, 3003	388	1383	—	4488	93241	00202, 4, 3, 20	619	887
—	4464	92707	0020000303, 2	541	1225	4503	—	92957	00200002, 3, 300	726	1283	4516	—	93251	00202, 304, 2	396	875
4491	—	92717	0020000300200	908	1561	—	4477	92959	00200002, 3, 5	109	895	—	4489	93253	00202, 303000	709	1105
4492	—	92733	00200003, 2, 2, 2	622	1499	4504	—	92987	00200002, 2, 302	526	1459	4517	—	93257	00202, 302020	856	1169
—	4465	92737	00200002050	641	753	4505	—	92993	002000020050	694	783	4518	—	93263	00202, 302, 4	230	1003
4493	—	92753	0020000200030	1108	1413	—	4478	93001	00200002002020	1159	1585	4519	—	93281	00202, 3, 2, 40	652	799
—	4466	92761	00200002002, 20	1189	1687	4506	—	93047	002000020303	326	1235	—	4490	93283	00202, 3, 2, 3, 2	505	1157
—	4467	92767	002000020005	193	1077	4507	—	93053	002000020300	454	859	4520	—	93287	00202, 3, 2, 2, 3	358	1221
—	4468	92779	00200002, 20002	741	1949	4508	—	93059	00200003, 5, 2	364	797	—	4491	93307	00202, 3, 402	339	953
4494	—	92789	00200002, 30000	984	1613	4509	—	93077	00200003, 200000	992	1601	—	4492	93319	00202, 204, 3	301	967
—	4469	92791	00200002, 303	355	1339	4510	—	93083	00200003, 2, 202	540	1463	4521	—	93323	00202, 203002	538	1377
4495	—	92801	00200000060	536	617	4511	—	93089	002000030040	716	873	4522	—	93329	00202, 202030	884	1121
—	4470	92809	0020000003020	1041	1415	—	4479	93097	00200003000020	1049	1451	—	4493	93337	00202, 202, 2, 200	993	1403
—	4471	92821	002000000000000	1303	2101	—	4480	93103	0020000300040	245	1137	4523	—	93371	00202, 200302	500	1391
4496	—	92831	0020000002, 5	212	1141	4512	—	93113	00200003003, 20	754	1087	4524	—	93377	00202, 2, 50	590	699
4497	—	92849	00200000002, 30	1160	1503	4513	—	93131	00200004, 2002	478	1239	4525	—	93383	00202, 2, 3, 372	1225	1225
—	4472	92857	002000000003, 20	1079	1553	—	4481	93133	00200004, 2, 200	673	1151	4526	—	93407	00202, 2, 205	154	879
4498	—	92861	00200000000400	736	1341	—	4482	93139	00200004002, 2	497	1189	4527	—	93419	00202, 2, 30002	552	1457
—	4473	92863	002000000006	131	867	—	4483	93151	0020000405	107	623	—	4494	93427	00202, 2, 4, 2	443	1085
4499	—	92867	002000002, 4, 2	574	1279	—	4484	93169	00200006, 30	397	523	—	4495	93463	00202003003	367	1307
—	4474	92893	00200000020300	855	1529	4514	—	93179	0020000702	164	473	4528	—	93479	0020200202, 3	438	1475

$z'$	$z''$	$Z$	Exponenten	$\bar{N}$	$N$	$z'$	$z''$	$Z$	Exponenten	$\bar{N}$	$N$	$z'$	$z''$	$Z$	Exponenten	$N$
—	4496	93481	002020000000	1153	1591	4540	—	93809	00203, 2, 3, 30	668	871	—	4523	94063	002040204	153 725
—	4497	93487	002020000004	277	1269	—	4510	93811	00203, 2, 3, 2, 2	465	1133	4552	—	94079	0020407	40 313
4529	—	93491	00202002, 2, 2	670	1017	4541	—	93827	00203005, 2	328	715	—	4524	94099	00205, 202, 2	341 809
—	4498	93493	00202002, 20000	1063	1733	4542	—	93851	00203002, 202	512	1385	4553	—	94109	00205, 2, 300	388 689
4530	—	93497	00202002, 3, 20	902	1295	—	4511	93871	00203000004	243	1123	—	4525	94111	00205, 2, 5	87 475
4531	—	93503	00202002, 6	116	741	4543	—	93887	002030006	92	611	—	4526	94117	00205002000	529 837
—	4499	93523	002020000002, 2	793	1889	—	4512	93889	0020302, 50	493	585	4554	—	94131	00205000020	576 797
—	4500	93529	002020000002, 20	1167	1657	4544	—	93893	0020302, 3000	710	1111	4555	—	94131	00206, 3, 3	148 491
—	4501	93553	0020200003, 30	845	1103	—	4513	93901	0020302, 2, 200	743	1269	—	4527	94153	00206, 2020	397 545
4532	—	93557	00202000030000	916	1503	4545	—	93911	00203020003	342	1243	4556	—	94169	0020602, 20	364 519
—	4502	93559	002020000303	329	1245	—	4514	93913	002030202, 20	809	1151	—	4528	94201	00209, 20	143 211
4533	—	93563	002020000402	400	1129	4546	—	93923	0020303, 3, 2	408	941	—	4529	94207	002012	7 89
4534	—	93581	00202002, 3, 200	788	1337	—	4515	93937	0020304, 30	507	665	—	4530	94219	003, 8002	123 311
—	4503	93601	0020202004	769	937	4547	—	93941	00203040000	540	889	4557	—	94229	003, 70000	276 443
—	4504	93607	0020202002, 3	433	1467	—	4516	93949	002030600	257	481	4558	—	94253	003, 600200	336 577
4535	—	93629	00202020400	556	1015	—	4517	93967	00204, 4, 4	139	589	—	4531	94261	003, 6, 20000	373 607
—	4505	93637	0020203, 3000	731	1145	4548	—	93971	00204, 302, 2	384	907	—	4532	94273	003, 5050	257 301
4536	—	93683	0020205, 4, 2	324	797	—	4518	93979	00204, 3, 202	351	947	—	4533	94291	003, 50002, 2	331 787
4537	—	93701	00203, 6000	352	541	4549	—	93983	00204, 3, 5	106	563	4559	—	94307	003, 5, 2, 3, 2	280 641
—	4506	93703	00203, 6, 3	163	515	—	4519	93997	00204, 200200	643	1107	—	4534	94309	003, 5, 2, 2000	479 759
4538	—	93719	00203, 4003	248	881	4550	—	94007	00204, 2, 203	252	935	—	4535	94321	003, 5, 3, 30	391 509
—	4507	93739	00203, 300002	503	1313	—	4520	94009	00204, 2, 3, 20	577	829	—	4536	94327	003, 5, 303	155 583
4539	—	93761	00203, 2050	484	569	—	4521	94033	00204000030	671	857	4560	—	94331	003, 5, 402	192 539
—	4508	93763	00203, 204, 2	399	883	4551	—	94049	0020402, 40	492	605	4561	—	94343	003, 404, 3	178 571
—	4509	93787	00203, 200202	517	1407	—	4522	94057	00204020020	685	951	4562	—	94349	003, 403, 200	460 779



$z'$	$z''$	$Z$	Exponenten	$\bar{N}$	$N$	$z'$	$z''$	$Z$	Exponenten	$\bar{N}$	$N$	$z'$	$z''$	$Z$	Exponenten	$\bar{N}$	$N$
—	4537	94351	003, 403, 4	141	601	4575	—	94613	003, 3, 2, 200000	804	1297	4586	—	94907	003, 2000302	466	1297
4563	—	94379	003, 4000002	446	1167	—	4550	94621	003, 3, 2, 2, 300	569	1009	—	4564	94933	003, 2002000000	1003	1635
4564	—	94397	003, 400400	372	677	4576	—	94649	003, 3, 203, 20	638	919	4587	—	94949	003, 2003, 2000	778	1237
—	4538	94399	003, 4006	67	439	—	4551	94651	003, 3, 20302	357	995	—	4565	94951	003, 2003, 2, 3	319	1007
4565	—	94421	003, 4, 2000000	686	1111	—	4552	94687	003, 3, 305	99	571	4588	—	94961	003, 2004, 30	576	735
4566	—	94427	003, 4, 20202	358	977	—	4553	94693	003, 3, 4, 2000	541	861	—	4566	94993	003, 2, 2, 3030	649	821
4567	—	94433	003, 4, 3, 40	418	515	4577	—	94709	003, 3, 50000	412	679	—	4567	94999	003, 2, 2, 3003	305	1087
4568	—	94439	003, 4, 3, 2, 3	224	769	—	4554	94723	003, 207, 2	177	377	4589	—	95003	003, 2, 2, 3, 202	438	1181
—	4539	94441	003, 4, 30020	575	799	4578	—	94727	003, 206, 3	154	485	4590	—	95009	003, 2, 2, 2040	626	759
—	4540	94447	003, 4, 304	127	605	—	4555	94747	003, 204, 202	347	933	4591	—	95021	003, 2, 2, 200200	814	1401
4569	—	94463	003, 4, 8	30	247	—	4556	94771	003, 203, 2, 2, 2	471	1135	4592	—	95027	003, 2, 2, 2, 2, 2	548	1323
—	4541	94477	003, 304, 200	459	775	—	4557	94777	003, 203, 3, 20	641	919	4593	—	95063	003, 2, 200003	392	1419
—	4542	94483	003, 30302, 2	399	941	4579	—	94781	003, 203, 400	448	811	—	4568	95071	003, 2, 20005	149	839
—	4543	94513	003, 302, 2, 30	671	867	—	4558	94789	003, 20203000	719	1121	—	4569	95083	003, 2, 202002	557	1467
4570	—	94529	003, 300050	468	551	4580	—	94793	003, 20202020	866	1183	4594	—	95087	003, 2, 20204	204	965
—	4544	94531	003, 30004, 2	385	853	4581	—	94811	003, 20200202	526	1431	—	4570	95089	003, 2, 203, 30	667	871
4571	—	94541	003, 30002, 200	740	1261	—	4559	94819	003, 202, 2, 3, 2	503	1153	4595	—	95093	003, 2, 2030000	722	1185
—	4545	94543	003, 30002, 4	219	959	4582	—	94823	003, 202, 2, 2, 3	356	1215	—	4571	95101	003, 2, 20500	369	683
4572	—	94547	003, 3000002, 2	574	1367	—	4560	94837	003, 202, 30000	751	1231	—	4572	95107	003, 2, 3, 5, 2	291	637
4573	—	94559	003, 300005	136	763	4583	—	94841	003, 202, 4, 20	604	875	4596	—	95111	003, 2, 3, 4, 3	236	763
—	4546	94561	003, 3002, 40	597	733	4584	—	94847	003, 202, 7	62	457	—	4573	95131	003, 2, 3, 2, 202	433	1173
—	4547	94573	003, 3002000	703	1217	—	4561	94849	003, 200060	411	473	—	4574	95143	003, 2, 3002, 3	323	1095
4574	—	94583	003, 300303	242	915	—	4562	94873	003, 20002, 2, 20	939	1327	4597	—	95153	003, 2, 302, 30	662	859
—	4548	94597	003, 3, 2, 4000	523	811	4585	—	94889	003, 2000000020	1118	1545	4598	—	95177	003, 2, 4, 2020	616	845
—	4549	94603	003, 3, 2, 3002	417	1069	—	4563	94903	003, 20000203	365	1359	4599	—	95189	003, 2, 4000000	648	1081

$z'$	$z''$	$Z$	Exponenten	$\bar{N}$	$N$	$z'$	$z''$	$Z$	Exponenten	$\bar{N}$	$N$	$z'$	$z''$	$Z$	Exponenten	$\bar{N}$	$N$
—	4575	95191	003, 2, 4, 0003	245	893	—	4587	95443	003002, 2002, 2	613	1463	4625	—	95723	00300040002	398	1053
—	4576	95203	003, 2, 5, 3, 2	277	641	—	4588	95461	003002, 3, 2000	777	1235	—	4600	95731	0030005, 2, 2	307	755
4600	—	95213	003, 4, 50200	396	689	—	4589	95477	003002, 30002	499	1317	—	4601	95737	0030006, 20	357	523
4601	—	95219	003, 2, 6, 2, 2	222	547	4613	—	95471	003002, 304	180	859	4626	—	95747	00302, 7, 2	184	393
4602	—	95231	003, 2, 10	16	167	—	4590	95479	003002, 403	221	843	—	4602	95773	00302, 4, 300	461	813
—	4577	95233	0030090	153	169	4614	—	95483	003002, 502	262	745	4627	—	95783	00302, 302, 3	302	1015
—	4578	95239	003007, 3	121	379	4615	—	95507	0030000302, 2	526	1241	4628	—	95789	00302, 30200	688	1183
—	4579	95257	003005, 2, 20	477	671	—	4591	95527	0030000202, 3	403	1357	—	4603	95791	00302, 3004	193	881
4603	—	95261	003005, 300	372	655	4616	—	95531	0030000200002	658	1719	4629	—	95801	00302, 3, 3, 20	638	915
4604	—	95267	00300403, 2	340	769	—	4592	95539	00300002, 2, 2, 2	617	1489	—	4604	95803	00302, 3, 302	361	999
4605	—	95273	00300400020	664	915	4617	—	95549	00300002, 400	576	1045	4630	—	95813	00302, 203000	706	1101
4606	—	95279	003004004	162	737	4618	—	95561	00300000002020	1054	1441	4631	—	95819	00302, 202002	538	1387
—	4580	95287	003004, 203	235	867	—	4593	95569	00300000000030	703	1293	—	4605	95857	00302, 2, 3, 30	665	867
—	4581	95311	00300302, 4	203	885	—	4594	95581	003000000000300	799	1425	—	4606	95869	00302, 2, 500	379	699
—	4582	95317	0030030000000	869	1405	4619	—	95597	003000000020200	890	1541	4632	—	95873	003020006	388	447
4607	—	95327	003003005	130	723	4620	—	95603	003000003, 2, 2	544	1327	—	4607	95881	00302003020	751	1021
4608	—	95339	003003, 20002	504	1325	—	4595	95617	0030002, 60	421	487	4633	—	95891	0030200202, 2	574	1359
4609	—	95369	00300203020	750	1019	4621	—	95621	0030002, 4000	644	999	—	4608	95911	0030200002, 3	397	1343
—	4583	95383	00300202003	367	1313	—	4596	95629	0030002, 3, 200	735	1247	—	4609	95917	00302000000000	887	1529
4610	—	95393	00300200040	718	873	4622	—	95633	0030002, 2030	826	1049	—	4610	95923	003020002, 2, 2	583	1411
—	4584	95401	00300200000020	1069	1477	4623	—	95651	0030002003, 2	562	1281	—	4611	95929	003020003, 20	769	1107
—	4585	95413	0030020020000	955	1559	—	4597	95701	00300030000000	853	1383	—	4612	95947	0030202, 2002	533	1379
—	4586	95419	0030020302	449	1249	—	4598	95707	00300030202	439	1201	4634	—	95957	00302020000000	914	1481
4611	—	95429	003002, 2, 3000	768	1201	—	4599	95713	0030004, 40	469	605	—	4613	95959	00302020003	347	1461
4612	—	95441	003002, 20030	850	1087	4624	—	95717	0030004, 2000	630	1003	—	4614	95971	0030203, 3, 2	415	957

$z'$	$z''$	$Z$	Exponenten	$N$	$N$	$z'$	$z''$	$Z$	Exponenten	$\bar{N}$	$N$	$z'$	$z''$	$Z$	Exponenten	$N$	$N$
4635	—	95987	0030204, 2, 2	356	873	—	4627	96289	004, 5040	271	327	4663	—	96587	004, 20002002	488	1259
—	4615	95939	00302040000	551	907	4648	—	96293	004, 502000	374	580	—	4637	96589	004, 20002, 200	693	1181
—	4616	96001	00303, 70	247	281	4649	—	96333	004, 404, 2	226	499	—	4638	96601	004, 200002, 20	791	1123
—	4617	96013	00303, 4, 200	469	793	4650	—	96339	004, 402020	490	669	—	4639	96643	004, 2, 2, 5, 2	265	579
4636	—	96017	00303, 3030	546	691	—	4628	96331	004, 402002	311	801	—	4640	96661	004, 2, 2, 200000	737	1189
—	4618	96043	00303, 200002	487	1273	—	4659	96337	004, 400030	481	613	—	4641	96667	004, 2, 2, 2, 202	403	1091
4637	—	96033	00303, 2, 200000	718	1171	4651	—	96353	004, 4, 2, 40	378	463	4664	—	96671	004, 2, 2, 2, 5	118	639
4638	—	96059	00303, 2, 302	342	949	4652	—	96377	004, 4, 4, 20	360	521	—	4642	96697	004, 2, 203, 20	581	837
—	4619	96079	0030302, 4	197	865	4653	—	96401	004, 302030	534	677	—	4643	96703	004, 2, 206	69	463
—	4620	96097	0030302, 40	523	643	4654	—	96419	004, 30003, 2	382	869	4665	—	96731	004, 2, 30202	336	919
4639	—	96137	00304, 3020	500	681	4655	—	96431	004, 300004	172	793	4666	—	96737	004, 2, 4, 40	376	465
4640	—	96149	00304, 200000	604	975	4656	—	96443	004, 300302	306	851	—	4644	96739	004, 2, 4, 3, 2	287	663
—	4621	96157	00304, 2, 300	423	751	—	4630	96451	004, 3, 2, 4, 2	297	661	4667	—	96749	004, 2, 40200	416	723
4641	—	96167	00304002, 3	242	821	—	4631	96457	004, 3, 2, 2020	623	853	—	4645	96757	004, 2, 50000	367	605
4642	—	96179	0030402, 2, 2	346	839	4657	—	96461	004, 3, 2, 2, 200	556	949	—	4646	96763	004, 2, 602	149	427
—	4622	96181	00304020000	545	891	—	4632	96469	004, 3, 2000000	681	1103	—	4647	96769	0040080	171	191
—	4623	96199	00305, 3, 3	165	547	4658	—	96479	004, 3, 205	96	547	4668	—	96779	004005002	242	615
—	4624	96211	00305002, 2	287	687	—	4633	96487	004, 3, 3, 2, 3	221	759	—	4648	96787	004004002, 2	313	737
4643	—	96221	003050300	296	531	—	4634	96493	004, 3, 30200	471	817	4669	—	96797	004004, 300	384	677
—	4625	96223	0030505	61	357	4659	—	96497	004, 3, 4, 30	404	529	—	4649	96799	004004, 5	91	475
4644	—	96233	003060020	332	463	—	4635	96517	004, 205000	359	553	4670	—	96821	004003, 20000	628	1023
—	4626	96259	004, 9, 2	83	175	4660	—	96527	004, 204, 4	136	573	—	4650	96823	004003, 203	233	861
4645	—	96263	004, 8, 3	74	231	—	4636	96553	004, 20200020	769	1061	4671	—	96827	004003, 302	304	841
4646	—	96269	004, 7, 200	204	343	4661	—	96557	004, 20200200	662	1139	—	4651	96847	00400202, 4	193	843
4647	—	96281	004, 6, 2, 20	298	419	4662	—	96581	004, 20003000	644	1005	4672	—	96851	0040020002, 2	508	1209

$z'$	$z''$	$Z$	Exponenten	$\bar{N}$	$N$	$z'$	$z''$	$Z$	Exponenten	$\bar{N}$	$N$	$z'$	$z''$	$Z$	Exponenten	$\bar{N}$	$N$
4673	—	96857	004002002, 20	752	1067	—	4663	97171	00403, 202, 2	369	875	—	4677	97501	005, 2, 20300	391	699
4674	—	96893	004002, 500	326	601	—	4664	97177	00403, 2, 2, 20	559	791	4698	—	97511	005, 2, 3, 2, 3	190	653
—	4652	96907	00400003002	419	1073	4687	—	97187	00403003, 2	338	771	4699	—	97523	005, 2, 4, 2	238	583
4675	—	96911	00400003, 4	184	787	—	4665	97213	004030400	307	561	4700	—	97547	005004002	242	617
—	4653	96931	0040000003, 2	481	1095	—	4666	97231	00404, 2, 4	117	521	—	4678	97549	005004, 200	351	593
4676	—	96953	0040000003, 20	676	973	4688	—	97241	0040402, 20	426	607	4701	—	97553	005003030	412	521
4677	—	96959	004000006	82	543	4689	—	97259	004050002	214	567	4679	—	97561	005003, 2, 20	473	667
—	4654	96973	0040002, 2, 200	667	1139	4690	—	97283	005, 8, 2	90	191	4702	—	97571	00500203, 2	316	717
—	4655	96979	0040002002, 2	503	1201	4691	—	97301	005, 500000	318	511	4703	—	97577	00500200020	608	839
4678	—	96989	004000020300	534	955	—	4667	97303	005, 5003	125	443	—	4680	97579	00500200002	377	985
—	4656	96997	00400003, 2000	627	997	—	4668	97327	005, 4004	103	469	4704	—	97583	005002004	146	669
4679	—	97001	00400030020	658	915	4692	—	97367	005, 300003	208	751	4705	—	97607	005000003, 3	220	721
—	4657	97003	00400030002	401	1059	—	4669	97369	005, 3002, 20	497	705	—	4681	97609	005000002020	599	819
4680	—	97007	004000304	144	689	4693	—	97373	005, 300300	370	659	4706	—	97613	005000002, 200	538	917
—	4658	97021	004000600	237	443	4694	—	97379	005, 3, 2, 3, 2	278	637	4707	—	97649	00500003, 30	442	577
—	4659	97039	00402, 4, 4	135	571	—	4670	97381	005, 3, 2, 2000	475	753	—	4682	97651	00500003, 2, 2	307	749
4681	—	97073	00402, 2, 2, 30	604	781	—	4671	97387	005, 3, 20002	313	823	4708	—	97673	00502, 3020	446	607
—	4660	97081	00402, 2, 3, 20	573	823	4695	—	97397	005, 3, 30000	418	685	—	4683	97687	00502, 2003	211	757
4682	—	97103	00402002, 4	188	825	—	4672	97423	005, 203, 4	129	551	—	4684	97711	005020004	137	635
—	4661	97117	00402000300	533	951	—	4673	97429	005, 20200000	575	927	—	4685	97729	00503, 50	263	313
4683	—	97127	0040202, 2, 3	272	931	—	4674	97441	005, 200040	435	529	—	4686	97771	005040002	215	569
4684	—	97151	0040207	42	325	—	4675	97453	005, 20000200	355	953	—	4687	97777	00505, 30	241	317
4685	—	97157	00403, 4000	400	621	—	4676	97459	005, 2002, 2, 2	563	883	4709	—	97787	0050602	102	293
—	4662	97159	00403, 4, 3	179	579	4696	—	97463	005, 200203	212	789	—	4688	97789	0050700	115	217
4686	—	97169	00403, 2030	506	643	4697	—	97499	005, 2, 20202	308	841	—	4689	97813	006, 400000	309	497

$z'$	$z''$	$Z$	Exponenten	$\bar{N}$	$N$	$z'$	$z''$	$Z$	Exponenten	$\bar{N}$	$N$
4710	—	97839	006, 302000	352 555	—	4700	98101	007, 2, 20000	301 491	—	123 299
4711	—	97841	006, 3, 2, 30	326 421	4725	—	98123	007002002	194 501	4735	104 191
—	4690	97843	006, 3, 2, 2, 2	231 557	4726	—	98129	007000030	292 373	—	149 381
4712	—	97847	006, 3, 203	136 503	—	4701	98143	00700005	49 277	4736	296 477
—	4691	97849	006, 3, 3, 20	313 449	—	4702	98179	008, 5, 2	87 191	4737	164 443
4713	—	97859	006, 204, 2	192 425	4727	—	98207	008, 2, 5	36 197	—	179 407
—	4692	97861	006, 203000	343 535	4728	—	98213	008002000	218 345	—	341 471
4714	—	97871	006, 202, 4	110 481	—	4703	98221	008000200	201 347	—	81 373
—	4693	97879	006, 200003	179 647	—	4704	98227	00802, 2, 2	129 313	—	145 403
4715	—	97883	006, 200202	248 675	—	4705	98251	009, 2002	99 257	—	190 491
4716	—	97919	006, 2, 7	28 209	—	4706	98257	0090030	141 181	—	126 457
—	4694	97927	006004, 3	127 409	—	4707	98269	0090300	103 185	—	265 421
4717	—	97931	006003002	226 579	4729	—	98297	0012, 20	52 77	4740	62 295
4718	—	97943	006002003	170 609	—	4708	98299	001202	27 79	4741	118 133
4719	—	97961	00600000020	484 669	—	4709	98317	2, 11, 200	71 119	—	103 221
4720	—	97967	006000004	114 527	4730	—	98321	2, 10030	90 113	4742	234 395
4721	—	97973	00600020000	428 699	—	4710	98323	2, 1002, 2	67 157	4743	376 593
—	4695	97987	00602, 4, 2	187 417	4731	—	98327	2, 10003	44 155	4744	230 417
4722	—	98009	0060202, 20	376 535	—	4711	98347	2, 900002	101 263	4745	200 443
—	4696	98011	006020202	217 593	4732	—	98369	2, 8050	112 131	4746	114 499
—	4697	98017	00603, 40	247 305	—	4712	98377	2, 802020	203 277	—	413 527
—	4698	98041	00605, 20	191 279	4733	—	98387	2, 80002, 2	146 347	4747	170 581
—	4699	98047	00608	15 133	—	4713	98389	2, 80000000	237 383	4748	368 637
4723	—	98057	007, 4020	216 293	—	4714	98407	2, 8, 2, 2, 3	89 303	—	181 209
4724	—	98081	007, 2040	220 267	4734	—	98411	2, 8, 20002	142 373	—	166 595

$z'$	$z''$	$Z$	Exponenten	$\bar{N}$	$N$	$z'$	$z''$	$Z$	Exponenten	$\bar{N}$	$N$
—	4725	98713	2, 6, 2, 2, 2, 2	401	567	—	4738	98953	2, 5, 5, 5, 3, 2	479	651
4750	—	98717	2, 6, 2, 2, 3, 5	304	539	4762	—	98963	2, 5, 5, 5, 2, 2, 2	368	871
4751	—	98729	2, 6, 2, 5, 5, 5, 5	468	647	4763	—	98981	2, 5, 5, 5, 5, 2, 2, 2	612	967
—	4726	98731	2, 6, 2, 5, 5, 5, 5, 2	289	757	4764	—	98993	2, 5, 5, 5, 5, 2, 3	538	697
—	4727	98737	2, 6, 2, 5, 2, 2, 3	371	481	4765	—	98999	2, 5, 5, 5, 5, 2, 3	220	819
—	4728	98773	2, 6, 3, 5, 5, 5, 5, 5	393	637	—	4739	99013	2, 5, 5, 5, 2, 3, 5	475	743
—	4729	98779	2, 6, 3, 5, 2, 2	203	555	4766	—	99017	2, 5, 5, 5, 2, 2, 2	560	767
4752	—	98801	2, 6, 5, 3, 5	214	281	4767	—	99023	2, 5, 5, 5, 2, 2, 4	146	645
4753	—	98807	2, 6, 5, 5, 3	80	307	4768	—	99041	2, 5, 5, 5, 3, 4	364	449
—	4730	98809	2, 6, 6, 2, 5	173	253	4769	—	99053	2, 5, 5, 5, 3, 2, 2	412	715
4754	—	98837	2, 5, 5, 5, 5, 5, 5	354	569	—	4740	99079	2, 5, 5, 2, 5, 3	131	417
4755	—	98849	2, 5, 5, 3, 5, 4	302	365	4770	—	99083	2, 5, 5, 2, 4, 5, 2	238	607
4756	—	98867	2, 5, 5, 3, 2, 2, 2	276	665	4771	—	99089	2, 5, 5, 2, 3, 5, 3	404	511
—	4731	98869	2, 5, 5, 3, 2, 5, 5, 5	439	715	—	4741	99103	2, 5, 5, 2, 3, 5	83	439
4757	—	98873	2, 5, 5, 3, 2, 5	376	539	—	4742	99109	2, 5, 5, 2, 2, 2, 5, 5	533	841
—	4732	98887	2, 5, 5, 5, 3, 3	187	611	4772	—	99119	2, 5, 5, 2, 2, 5, 4	142	651
—	4733	98893	2, 5, 5, 5, 2, 2, 5	461	785	4773	—	99131	2, 5, 5, 2, 2, 3, 5, 2	260	721
4758	—	98897	2, 5, 5, 5, 5, 3, 5	498	635	—	4743	99133	2, 5, 5, 2, 2, 4, 5	319	579
—	4734	98899	2, 5, 5, 5, 5, 2, 2	361	859	4774	—	99137	2, 5, 5, 2, 5, 5, 5	330	389
4759	—	98909	2, 5, 5, 5, 5, 3, 5	398	709	—	4744	99139	2, 5, 5, 2, 5, 2, 5, 4	271	601
—	4735	98911	2, 5, 5, 5, 5, 5	87	485	4775	—	99149	2, 5, 5, 2, 5, 2, 2, 5, 5	518	883
4760	—	98927	2, 5, 5, 2, 5, 2, 5, 4	124	583	4776	—	99173	2, 5, 5, 2, 5, 2, 2, 5, 5	540	857
—	4736	98929	2, 5, 5, 2, 3, 5, 3	409	533	—	4745	99181	2, 5, 5, 2, 5, 2, 2, 5, 5	481	833
4761	—	98939	2, 5, 5, 2, 4, 5, 2	198	557	4777	—	99191	2, 5, 5, 2, 5, 2, 5, 3	164	621
—	4737	98947	2, 5, 5, 5, 5, 2	209	455	—	4746	99223	2, 5, 5, 3, 2, 5, 5, 3	197	707

$z'$	$z''$	$Z$	Exponenten	$N$	$\bar{N}$	$z'$	$z''$	$Z$	Exponenten	$N$	$\bar{N}$
4789	—	99551	2, 4, 2, 2, 5	104	593	—	4769	99709	2, 4, 0, 0, 0, 5, 0, 0	337	623
—	4761	99559	2, 4, 2, 3, 2, 3	239	821	4796	—	99713	2, 4, 0, 0, 2, 6, 0	326	377
4790	—	99563	2, 4, 2, 3, 0, 0, 2	374	987	4797	—	99719	2, 4, 2, 0, 0, 2, 4, 3	224	723
—	4762	99571	2, 4, 2, 4, 2, 2	301	737	—	4770	99721	2, 4, 0, 0, 2, 3, 0, 2	621	845
—	4763	99577	2, 4, 2, 5, 2, 0	363	529	—	4771	99733	2, 4, 0, 0, 2, 2, 0, 0, 0, 0, 0, 0	763	1231
4791	—	99581	2, 4, 2, 6, 0, 0	228	425	4798	—	99761	2, 4, 0, 0, 2, 0, 2, 3, 0	650	843
—	4764	99607	2, 4, 0, 0, 3, 0, 0, 3	257	915	4799	—	99767	2, 4, 0, 0, 2, 0, 2, 3	264	985
4792	—	99611	2, 4, 0, 0, 3, 2, 0, 2	370	997	—	4772	99787	2, 4, 0, 0, 3, 2, 0, 0, 2	395	1023
4793	—	99623	2, 4, 0, 0, 2, 0, 2, 3	308	1037	—	4773	99793	2, 4, 0, 0, 3, 0, 0, 3, 0	577	739
—	4765	99643	2, 4, 0, 0, 2, 3, 0, 2	359	995	4800	—	99809	2, 4, 0, 0, 4, 4, 0	384	475
—	4766	99661	2, 4, 0, 0, 0, 0, 2, 2, 0, 0	727	1239	—	4774	99817	2, 4, 0, 0, 4, 0, 0, 2, 0	515	717
—	4767	99667	2, 4, 0, 0, 0, 0, 0, 0, 2, 2	563	1341	—	4775	99823	2, 4, 0, 0, 4, 0, 4	111	535
—	4768	99679	2, 4, 0, 0, 0, 0, 0, 0, 5	133	747	—	4776	99829	2, 4, 0, 0, 5, 0, 0, 0, 0, 0	373	615
4794	—	99689	2, 4, 0, 0, 0, 2, 0, 0, 2, 0	818	1135	4801	—	99833	2, 4, 0, 0, 6, 2, 0	282	413
4795	—	99707	2, 4, 0, 0, 0, 4, 0, 2	286	807	4802	—	99839	2, 4, 0, 0, 9	20	191
—	4777	99859	2, 4, 2, 4, 0, 2, 2	307	723	—	4778	99871	2, 4, 2, 4, 5	89	465
—	4779	99877	2, 4, 2, 3, 0, 2, 0, 0, 0, 0	583	919	4803	—	99881	2, 4, 2, 3, 0, 0, 0, 2, 0	652	899
—	4780	99901	2, 4, 2, 3, 4, 0, 0	365	601	—	4781	99907	2, 4, 2, 2, 0, 4, 2	325	719
—	4782	99961	2, 4, 2, 2, 4, 2, 0	481	697	4805	—	99929	2, 4, 2, 2, 0, 0, 2, 2, 0	728	1033
—	4783	99991	2, 4, 2, 0, 0, 2, 0, 0, 3	303	1085	—	4784	99991	2, 4, 2, 0, 0, 2, 0, 0, 3	303	1085

Bringt man alle Primzahlen der vorliegenden Tabelle gleich jenen der dyadischen Primzahlentabelle von 5 bis 16381 in Gruppen mit je einem gemeinsamen Werthe von  $N$  und bezeichnet die jeweiligen Zähler der mit  $N$  als Nenner versehenen Brüche mit  $N''$  oder  $N'''$ , je nachdem die Verwandlung derselben in Kettenbrüche die charakteristischen Exponenten einer Primzahl ( $Z'$ ) von der Form  $6l-1$  oder einer solchen ( $Z''$ ) von der Gestalt  $6l+1$  liefert, so ergibt sich folgendes Zahlenschema, in welchem jede gleichzeitig in zwei Rubriken auftretende Specialisirung von  $N$  mit einem Sternchen versehen ist, um hiedurch die Zusammengehörigkeit der bei solchen Zahlen räumlich getrennten Primzahlengruppen zu markiren.

N	N'	Z'	N''	Z''
3	2	5	I	7
5	3	II	2	13
4	4	17	I	31
7	4	23	5	19
2	2	29	I	127
9	5	47	2	61
8	257			
11	7	41	8	37
	3	59	9	67
13	5	53	8	43
10	71	9	79	
4	113	6	193	
11	131	I	8191	
7	191			
15	8	383	11	73
2	509			
17	10	89	7	103
3	251	6	223	
16	6537	4	241	
		8	769	
		2	1021	
*19	12	83	7	109
8	101			
15	137			
5	239			
16	263			
N	N'	Z'	N''	Z''
*19	6	449		
21	8	107	17	271
			2	4093
23	7	227	18	139
6	479	16	157	
4	503	10	199	
15	641	21	4099	
3	1019			
12	6143			
25	11	197	18	151
7	233	16	163	
22	1031	4	1009	
17	1279			
12	12289			
2	16381			
27	17	167	8	229
22	269	5	499	
16	353	20	577	
23	531			
29	21	149	6	991
17	179	25	1039	
20	317	26	2053	
22	1151	10	3583	
3	4091			
27	32771			
*31	19	173	18	181
24	281	12	211	
N	N'	Z'	N''	Z''
*31	14	389	17	379
4	2039	9	463	
		7	487	
		27	1033	
		25	1087	
		23	1153	
		5	2017	
		21	5119	
		29	95539	
33	14	401	23	313
5	1013	19	367	
29	2063	28	523	
35	19	761	27	283
		13	433	
37	26	311	29	277
14	431	23	337	
8	491	11	457	
17	773	30	541	
22	1409	24	643	
31	2111	15	1663	
		33	4111	
		9	7681	
		25	20479	
39	14	443	17	397
11	929	28	607	
5	4079	8	3967	
*41	30	293	29	307
N	N'	Z'	N''	Z''
*41	24	359	25	349
16	419	23	373	
12	461	17	409	
9	977	15	439	
28	1277	19	1543	
35	2081	34	2113	
36	4127	5	8161	
8	7937	10	15361	
27	40961	4	16369	
43	12	467	34	547
33	569	24	751	
13	911	10	997	
28	1283	8	997	
17	3329	23	1531	
11	15359	15	1789	
40	65543	37	4159	
29	81919			
45	29	647	28	673
17	863			
38	1049			
32	1217			
*47	17	881	36	571
20	1601	27	1471	
21	1567			
9	1987			
7	4073			
21	13313			



N	N'	Z	N''	Z'	N	N'	Z	N''	Z'	N	N'	Z	N''	Z'	N	N'	Z	N''	Z'	N	N'	Z	N''	Z'			
55	43	557	49	16447	63	17	947	26	823	*69	41	2819			*77	18	1931	48	10753	83*	52	21503	72	8287			
	31	743	9	32257		52	1061	23	1759		26	6011				65	2099	8	16363				66	8707			
	7	16319				29	3089	11	2011		8	8171				57	2309						75	16411			
57	13	971	47	1063				50	2179	71	45	659	50	619		53	2543						37	25087			
	20	1787						58	32779		27	857	26	877		40	98297						9	32707			
	31	3041			65	47	599	46	613		56	1097	55	1123		45	2879						85	62			
59	23	839	34	733		42	1289	18	937		40	1487	51	1213		49	677	50	661			48	1481	31	7039		
	32	1523	26	787		38	1439	23	1783		32	1559	29	1057		56	1223	30	859			36	1607	27	7177		
	16	1889	18	907		12	1997	29	6271		16	1949	38	3061		22	1871	61	1129			26	1811	19	31231		
	37	2687	27	1549		56	4157	58	8221		33	3083	28	3331		65	2129	57	1201			18	1973	9	32719		
	9	4049	21	1777		37	11777	28	12799		58	4289	8	65407		42	6131	51	1291			47	3011				
	31	12281	11	1993		44	20477				23	57347				32	6653	31	1669			74	4133				
	5	65519	46	2239		59	32801				73	32	1583	57	1117		43	12161	12	4051			22	7673			
			22	3457		57	33023				28	1697	43	1423		9	16349	19	7687			13	16193				
			7	8167		67	49	587	55	1069		47	2591	41	1489				68	8317			76	16433			
			53	16417			14	1979	53	1093		23	3593	17	1933				72	32797			66	17921			
			12	63487			12	2003	43	1297		19	3833	62	2089				34	51199			32	27647			
61	43	617	44	601		57	2087	29	1597		52	19457	54	2311				41	98299			87	64	1163	55	1327	
	39	653	36	709		51	2297	16	3847		35	49157	50	2551		81	68	4217	34	811			37	3203	53	1399	
	25	827	22	883		54	4349	10	4057		64	66047	63	4153		32	6659	62	2287			14	8069	38	3169		
	48	1103	18	919		52	4481	35	24571				51	4993		53	10247	52	2593			77	8231	73	4219		
	24	1667	19	1801		36	6113	23	28669				15	7933		23	59393	14	4027					26	14593		
	16	1913	52	2083		7	16361	61	65599		75	31	821	46	691				43	6133			*89	55	683	34	853
	53	2069	50	2143		44	20483					59	2207	53	1231				26	14341			26	1847	57	1303	
	27	3137	38	2689		*69	29	809	40	727		23	3617	41	6079				23	1873			73	2141	25	1861	
	11	4001	40	10243			19	941	56	2161		67	8219	7	32749				51	2753	32	3391	69	2243	40	3121	
	55	32831	10	64513			38	1511	47	5113		32	25601						25	14591	24	3709	61	2549	16	4003	
	51	33791					53	2273	62	32833		*77	34	1571	23	7297			15	16001	63	4603	49	3023	37	6529	

N	N'	Z	N''	Z'	N	N'	Z	N''	Z'	N	N'	Z	N''	Z'	N	N'	Z	N''	Z'
*89	39	3167	31	7159	*95	33	14321			*101	89	8243	77	4591	*109	23	3911	62	2833
	72	4337	19	7873		97	76	1109	71		1171	75	9221	69		5107	32	3631	
	14	8081	17	7951		62	1307	41	1609		59	11519	47	6163		59	5953		
	13	16253	42	12301		60	1361	74	2293		35	14337	88	8263		88	8443		
						36	1733	38	3343		40	26627	82	8041		68	10303		



N	N'	Z	N''	Z'	N	N'	Z	N''	Z'	N	N'	Z	N''	Z'	N	N'	Z	N''	Z'	N	N'	Z	N''	Z'
139	109	2213	98	2467	*143	23	16139	68	49171	*149	70	24611	88	11329	153	97	2633	112	2341	*157	129	8543	61	26881
41	3977	30	3931		126	16487	20	65029			58	26879	68	12409	55	3539	64	3259		89	11807	23	32503	
114	4283	97	4999		76	24527					20	32573	54	14083	41	3803	56	3511		73	12329	135	66553	
86	5441	33	7699		61	51203					113	36833	46	14461	94	5507	95	5407		43	15101	103	81937	
95	10211	110	8737		145	1061	4703	52	3547		101	40949	125	16879	88	5879	83	6091		134	10649	75	98323	
79	17783	76	12157		94	5147	44	3637			17	65393	91	22273	70	6197	59	6781		96	22271			
48	28661	54	13441		64	6287	122	8419			132	32911	83	24061	127	33797	35	7759		72	24767			
36	30689	24	16111		54	6917	104	9721			114	36607	114	36607	128	67577	91	12543		18	32693			
49	57089	124	32887		26	8009	82	11839			36	61471			137	33029				137	33029			
		66	49177		123	8369	131	65647			135	65617			87	48131				87	48131			
		127	65581		117	8693					133	65761			140	65777				140	65777			
141	59	3257	86	2791		33	15551								155	57	3491	68	3163					
41	3701	82	2887		19	16301									122	4409	119	4549		159	115	2393	112	2473
116	4259	115	4297		68	24623									108	5009	113	4729		97	2789	100	2677	
104	4637	91	5167		147	83	2963	64	3181	151	89	2843	92	2797	42	7559	99	5233		59	3467	88	12037	
80	5897	122	8293		53	3533	62	3229			59	3347	62	3301	34	7817	33	7879		47	3671	65	26497	
50	7121	83	22783		82	6011	65	6277			118	4493	56	3469	101	10259	118	9187		116	4721	128	34807	
38	7383	29	31729		109	9227	38	15349			104	5081	111	4657	59	13697	32	15859		98	5501	133	67579	
		17	32653		128	16529	32	15679			94	5381	57	6907	132	16673	83	24481		86	6101			
		92	41023		100	40927	100	40927			127	8423	47	7207	72	24671	27	32191		113	9743			
		44	57601		20	65089	20	65089			123	8609	128	8377	28	32003	23	32479		109	10193			
*143	83	2897	112	2221		101	181409								24	32381				103	10301			
31	3923	84	2851		*149	57	3407	108	2377		69	12401	70	12343	136	66041				101	10499			
98	5999	103	4831		41	3767	94	2659			41	15107	131	16573	126	69119				89	11969			
64	6263	27	7963		42	7433	84	2971			120	17417	125	16927						85	12251			
40	7457	11	17923		69	12347	44	3673			129	33287	90	45061	*157	111	2459	71	6217		71	12539		
30	7907	109	18367		43	14843	123	4243			99	40973	52	57331	99	2663	130	8461		140	16493			
85	11273	21	32497		118	17471	106	9733			138	65579	16	65437	91	2909	30	15901		92	23297			
															48	7247	28	16033		41	61409			



[illegible]



N	N'	Z	N''	N	N'	Z	N''	N	N'	Z	N''	N	N'	Z	N''	N	N'	Z	N''							
*227	41	64007	177	17911	*231	125	12197	95	26371	*235	41	16091	148	42751	*239	37	64763	181	73699	*243	133	12149	148	11197		
	200	65951	163	19423		53	15497				166	19709				204	66593				65	15227	136	11971		
	180	69761	145	20929		89	54269				136	24473				184	72701				55	15569	101	26119		
			39	32233		31	65147				104	25097				162	18599				67	60161	77	28723		
			186	34297		128	96263				74	28751				241	186	4523	147	5581		218	65687	214	32983	
			98	51169		89	3413	144	2731		54	30983				92	6833	141	5749			130	48991			
			30	65167		142	5591	190	8599		197	33767				189	8849	89	6967			173	77839			
			185	68863		86	6971	168	9631		153	41057				93	13553	98	13291							
						64	7541	138	11299		27	65381				57	15413	88	14071							
229	132	5861	161	4969		105	12473	90	13537		237	104	6323	145	5563		51	15791	64	15241		245	151	11003	103	6469
	50	7829	135	5683		188	17387	179	18181		98	6563	62	15319		188	17903	52	15727			192	17729	106	12781	
	129	11897	97	6427		178	18311	159	20443		175	9257	187	17539		104	25589	205	16699			172	19937	104	12839	
	67	14753	158	10141		160	20357	151	20593		167	9887	206	33991		84	28631	199	16963			144	22787	86	14293	
	84	28031	62	15121		88	27617	99	25633		196	16943	146	44029		66	30203	157	20521			193	35201	131	24499	
	42	31991	48	15817		82	28559	63	30271		182	18191				42	32189	137	23563			187	36671	111	24841	
	36	32327	40	16087		54	30971	55	30841		125	49109				171	39041	71	29437			59	61487	43	32143	
	30	32603	159	20161		42	32009	164	39679		31	65213				169	39929	53	31249			216	65927	52	63103	
	163	38921	145	21121		40	32237	124	49033		*239	168	4973	99	6553		165	40829	210	33049					44	64063
	99	51137	133	23167		173	36887	60	61417			138	5849	94	13339		77	57383	208	33223						
	190	67601	101	25153		167	38903	32	65071		66	7517	64	15317		216	65699	202	33769			203	8537	56	15559	
	176	72707	194	33529		101	51071	185	96997		188	17657	129	24439		198	68351	168	40063			201	8627	159	20731	
	136	90239	156	49903		51	62591				170	19469	85	28447				130	48889			145	11423	155	21487	
			106	49393							164	20369	69	29683				110	49633			75	14543	87	28549	
			201	66037		*235	146	5399	63	7603		50	31649	208	33073			70	59263			215	33071	77	28807	
							163	10103	184	8893		36	32441	182	36739			151	86011			207	33773	77	30223	
*231	134	5807	97	6481			149	10529	62	15289		105	34367	156	41017								181	37379	142	47041
	50	7853	190	8521			139	11321	181	18169		185	35969	72	58363								105	51263	132	49009
	169	9377	106	12379			129	12113	69	29443		83	57287	38	64609								140	5867	188	9007
	145	10739	62	15199																			157	10313	178	9349
	131	11801	107	24691																						





N	N'	Z	N''	Z''	N	N'	Z	N''	Z''	N	N'	Z	N''	Z''	N	N'	Z	N''	Z''						
269	104	6761	165	5527	*271	201	36899			*277	202	18911	174	10729	*281	86	28661	200	38923	*287	176	5531	109	6871	
	113	12959	75	7477		151	48119				170	22079	122	12601		193	40709	192	40849		227	8747	169	22777	
	71	15287	210	8941		121	50159				108	22481	84	14557		87	57791	60	62983		225	8861	167	23071	
	218	17327	156	11617		51	63737				156	23801	76	15991		130	98801	58	63439		121	12923	129	24967	
	217	34781	78	14821		238	66029				44	32309	233	16843				213	73581		61	15767	117	26557	
	175	41081	195	19009		273	100	7013	101	6949	241	33083	107	27073				197	79867		212	18503	89	28867	
	119	50207	94	57223		215	8807	80	14737		232	67559	87	28771				157	90001		206	19427	83	29071	
	37	65063	46	64480		199	9461	209	18289		228	68099	75	30241		283	221	8933	175	5449		124	25577	75	30649
	234	66173	183	81853		193	9839	187	20407		210	73679	65	30853		219	8999	208	9319		237	33923	248	33211	
						107	13367	155	23581			204	37123		205	9533	156	12073		187	41039	228	34843		
*271	196	4787	188	10099		85	14411	83	29059			239	66463		201	9749	88	14419		183	41969	50	64381		
	112	6569	118	13721		223	34313	236	33199			147	98143		127	12503	86	14533		107	55313	253	65959		
	80	7349	84	14437		71	61343					131	98377		107	13799	82	14827		101	57119	247	66541		
	221	8597	223	17029		47	64451			279	173	10847	176	10639		61	15731	62	15643		289	80	7499	209	4789
	209	9059	207	18313		194	77951				107	13577	106	13729		172	22433	234	33889		205	9767	162	11953	
	189	10007	175	20641		275	171	10781	226	8539		83	14621	221	17467		241	33347	229	69379		63	1567	179	21757
	187	10139	173	20959		234	16691	162	11383			65	15461	175	21493		231	34337	225	69661		244	16787	155	24469
	171	10631	157	22293		212	18143	102	13873			74	30497	169	22501		246	66179	203	77761		176	22397	43	32467
	111	13241	97	28411		114	26177	179	20533			163	46073	151	24391		238	67391				134	24683	250	33181
	176	20349	95	28603		96	28619	151	24223			115	52733	247	65839		285	179	10733	202	9787	132	25793	198	40801
	172	21023	59	31357		82	29201	228	33811			202	76289	149	98041		101	14249	181	21001		132	25793	198	40801
	170	21491	228	33679		87	57467	222	34759								154	24419	131	24733		90	28817	186	41467
	152	32873	200	37057		83	58337	128	49297		*281	116	6581	109	6733		124	25469	176	43777		229	34913	60	63391
	126	24659						237	66499			217	9059	162	11719		104	28151	68	61561		91	57503	259	65701
	110	26597						223	69247			159	11831	181	20719		91	57389	34	65323		91	57503	259	65701
	104	27143									101	14159	175	21517				53	63809		69	61553	219	73693	
	64	30839				*277	160	5843	171	5479		220	17789	167	22549							39	65123	183	84481
	231	33329					105	13763	161	5779												224	71807		
	215	34877					216	17909	218	8821		100	28433	228	34591		*287	178	5417	181	5323				



N	N'	Z	N''	Z''	N	N'	Z	N''	Z''	N	N'	Z	N''	Z''	N	N'	Z	N''	Z''	
*311	258	67607	177	94219	*317	139	12659	194	11119	321	203	10607	140	12697	*323					*329
	254	68639				123	13457	184	11587		133	13103	116	14107		67	31696			
313	227	9497	121	6763		67	15797	130	13219		119	13893	98	14503		61	31849			
181	11657	222	9949			242	18329	150	13789		254	17477	70	15667		124	54277			
	93	14627	220	9949		224	19697	114	14149		224	19997	101	28759		74	62017			
254	17291	138	12583			172	24359	84	15259		220	20393	89	29059		62	63559			
242	18041	132	12919			142	25031	223	19843		206	20753	59	31981		205	43959			
218	20063	197	21379			96	20123	221	20029		196	22277	190	45247		58	66169			
172	24197	191	22303			87	60353	175	24121		182	23609				201	86143			
122	26849	115	27967			51	64553	145	24793		86	30431				335	189	11549	254	8923
116	27773	97	28879			258	68993	266	33731		56	32183				119	14033	184	11821	
56	32057	258	34033					246	35851		50	32363				252	17939	124	13681	
217	40433	238	37993					230	37951		197	44159				146	24977	231	19483	
127	53501	232	36919					192	45007		191	45077				94	29669	137	25849	
75	61511	228	37879					241	73507		49	64781				281	33191	121	27673	
69	62477	112	56827					171	97777		238	73843				229	30551	236	37897	
55	64271	277	65851			319	233	9413	118	13903		330	77813			183	47609	48	04969	
214	81671	273	66067					179	11933	263	17011					99	58109	227	79903	
184	91139	263	67453					188	22751	225	19717					178	97151			
180	94079	169	97729					134	25919	161	25117					337	209	10457	95	29629
		165	98227					56	32141	125	26737					137	13007	91	29947	
315	173	12107	92	14779				271	33413	123	27127					101	57839	68	63367	
214	81869	88	14929					171	48953	260	34429					71	62723	62	63649	
184	92153	71	31183					61	63599	222	40189					59	64013	293	65707	
		268	33391					43	85129	206	41281					214	81971	205	85999	
*317	186	5717	131	6571				250	70913	48	64801							181	96289	
203	10427	250	8779					259	69127		275	33359	191	22651						
177	12011	220	10093					249	71551		199	44027	127	26683		*329	211	10391	122	13879
								197	87553		286	65831	115	28429			89	15131	279	16747



[illegible]

N	N'	Z	N''	Z''	N	N'	Z	N''	Z''	N	N'	Z	N''	Z''	N	N'	Z	N''	Z''						
*373	176	98411	234	42979	379	231	11177	268	9829	*383	138	28283	322	33703	*387	173	50129	115	29251	*391	89	62201	212	48751	
	170	99317	230	43969		147	13469	148	13399		114	29231	300	35521		71	63977	316	34327		81	63419	297	73609	
			325	66103		115	14549	309	17203		84	31271	116	58243		244	85247	265	81649		61	64709			
			309	67651		111	14747	275	18973		80	31667	104	60427		389	163	13001	321	16987		316	69473		
			231	87037		266	19949	215	23593		323	33617	295	72673		151	13451	305	17713		393	287	9419	166	12889
			175	98479		222	22943	209	24133		215	47681	235	88321		105	15149	287	18541		176	25037	152	13513	
375	103	15083	244	41077		208	24239	161	25639		101	61169	181	98389		300	18119	271	20047		311	34949	161	26479	
	236	21388	242	41341		174	24749	159	25981		79	63443				298	18369	239	22027		233	45179	256	41047	
	232	21767	172	49531		307	34679	157	26209		61	64601				270	20177	217	24043		215	48611	254	41233	
	116	28901	98	61297		235	43391	294	35863		330	66509				164	25847	89	31033		73	63839	244	43261	
	287	36599	323	66523		107	59441	280	36997		302	70271				148	27407	276	39043		322	68597	170	51133	
	271	38393				322	66821	262	40459		224	92033				88	31151	252	41203		238	90017			
	229	44549				246	82241	100	61153		385	314	17189	71	31963		275	39359	230	45307		220	95747		
	221	45503				244	82913	50	65173		282	18701	272	39409		181	49307	220	47353		*395	153	13499	233	22717
	133	56963						335	65881		248	20717	208	48847		179	49433	210	48871			326	16979	231	23011
	332	65837						213	95239		244	21089	92	61543		169	50951	122	57571			274	20201	69	32173
377	144	6827	112	14629	381	215	11867	146	13501		218	23633	267	80833		330	66947	110	59419			272	20333	232	45631
	219	11579	231	22147		107	14891	161	25759		212	24179	247	83071		326	67547	104	60919			228	23417	273	80959
	159	12917	85	31177		244	20849	145	27397		106	30113				178	99137	58	64921			224	23603	269	81817
	147	13421	320	33457		331	33107	71	31891		82	31511						309	69691			166	25889		
	242	20747	276	37441		233	44537	302	34897		293	36761										164	26141		
	148	26693	268	38959		232	89597	80	63241		334	66293										309	35591		
	321	33353	222	45553				179	98443		332	66491										281	38933		
	291	36161	86	62143	*383	161	12941	238	10789		284	74177				*391	145	13877	282	9619		309	35591		
	287	36749	70	63841		157	13229	315	17047		274	77849										281	38933		
	223	45281	56	64951		264	20297	299	17881													271	40751		
	115	58049	277	74623		216	23747	241	21391													227	47057		
	170	99713	213	94723		172	24089	89	30949													163	52673		
																						87	62483		
																						312	70139		

N	N'	Z'	N''	Z''	N	N'	Z'	N''	Z''	N	N'	Z'	N''	Z''	N	N'	Z'	N''	Z''
*395	258	82013			*399	338	67061			*405	239	45377	223	24181	*415	162	26813	112	60607
252	83903				286	77801				167	52711	308	36787		114	30161	359	66361	
234	90371				401	314	17783	282	9931	91	62417	224	48163		77	63857	307	73951	
184	98573				220	24251	246	11047		73	64019	293	76543		358	66467	291	79861	
					170	25679	317	17509		338	69371	263	82207		342	68087	251	90073	
397	281	9803	246	10867		152	27527	231	23473	407	239	11411	288	9811		328	70079		
251	10613	242	11173		144	28349	225	23869		191	49331	283	81343		417	175	12983	242	11593
245	10973	146	13963		84	31643	177	25147		71	64439				304	18917	154	13933	
151	13709	287	19183		235	45827	153	27361		362	65957				254	22391	112	15187	
292	18617	235	22621		232	47483	336	33937		260	84737				182	25373	323	17971	
256	20681	173	25411		215	48947	238	45127		351	55487	182	50119		94	31181	173	26161	
252	21017	93	30871		91	62213				145	56843	166	53089		337	34739	328	35317	
224	23741	83	31657		330	68111				73	64067	128	57529		329	35081	170	53113	
249	42989	326	34183		324	69497				86	63199				121	14741	158	13627	
167	51719	324	34351		403	255	10589	284	9883		320	17957	339	17107	247	45191	164	53359	
346	66089	280	39439		249	10937	280	10069		78	63577				245	45599	355	66721	
254	83459	274	40543		153	13751	254	10663		191	98467				89	62987	343	68161	
244	88079	126	57427		149	13913	226	11941		*409	121	14669	288	9907	352	67169	223	97987	
					111	15053	315	17839		254	20663	333	17239		335	34607	152	55813	
					178	25127	311	18097		254	21617	289	19099		269	41951	78	63697	
					158	26723	281	20023		178	25463	231	23689		261	42491	305	74047	
					122	29129	276	40819		120	29453	171	20683		125	58271			
					118	29501	238	45319		120	29034	107	30637		109	61151			
					327	34589	86	62989		315	36341	228	48109		186	99833			
					289	38891	64	64621		161	53357	170	52237		*415	261	10709	254	11113
							189	98491		65	64613	166	53197		243	11483	172	13093	
*399	292	18749	143	28387		*405	182	24971	178	12619	61	64919	124	58237		161	13463	152	14029
236	22643	107	30403		86	31547	299	18523		324	69857	321	70687		232	23993	116	14923	
220	24137	71	32089		287	39161	251	21727		298	75743	297	75793		228	24203	286	40609	
337	33563	124	57697																
325	34439																		
185	49367																		
139	57269																		
340	66683																		





N	N'	Z	N''	Z'	N	N'	Z	N''	Z'	N	N'	Z	N''	Z'	N	N'	Z	N''	Z'	N	N'	Z	N''	Z'
*443	134	29147	129 29581	*447	271 44987	340 36781	*451	370 68493	379 67447	*457	140 28949				*461	249 48857	298 41227							
351	34919	374 33577		245 48527	160 56821		350 71699			321 39839					203 59417	260 47491								
165	55331	364 34171		364 68927	377 67231		278 88001			319 39971					181 53381	134 59233								
163	55823	350 35059		292 83007	307 81421		206 99233			293 41597					163 57077	124 60679								
157	59993	324 37567		290 82351						205 50033					145 57527	82 64189								
137	57809	172 53791		266 90149						129 59447					85 63929	301 82021								
119	60737	130 48897		250 95873						107 61757					406 65963									
352	60677	122 60223		449 324 19211	284 10597					386 67121					372 69539									
318	77069	243 97021		288 20771	369 17077					358 71039					322 79901									
258	92177	241 97303		282 21467	351 17827					258 94847					274 90191									
252	94259			254 23669	325 19087					214 98519														
208	98459			248 24107	285 21019										463 287 10853	194 13003								
206	98827			196 25367	203 24877					459 332 19139	331 19249				179 13523	176 13743								
445	123 15017	341 18253		176 26729	308 40759					140 29027	283 21991				171 13931	128 15013								
132	29303	259 23059		172 27197	70 64717					211 49463	271 22669				260 23831	261 23773								
287	41351	169 27487		379 33587	359 74761					175 54779	253 24151				130 29789	203 25321								
249	47903	348 35617		263 45887	241 97849					161 57191	179 26833				359 35879	127 30187								
97	62687	246 48187		191 51239						356 71741	127 30013				325 39887	366 35023								
83	63773	168 55249		352 69767						298 41113					319 40637	294 42013								
338	73513	84 63709		312 80513						160 57259					267 46853	212 49549								
316	78017	78 64303		206 99041						337 74719					163 57107	190 52861								
262	91121	351 70207		*451	324 19403	333 18517				*461	356 18059	363 17623			97 63281	144 57667								
				186 46357	277 22039										378 68669	138 58417								
*447	322 19319	329 18583		367 34511	189 25999					286 21647	321 20071				258 96233	106 62047								
314	19813	251 23833		355 35267	177 26701					282 22259	283 22063				250 96353	181 68113								
260	23087	139 28837		349 35999	105 30931					186 26801	189 26449													
98	31277	125 29833		249 48239	288 41887					136 29411	179 26093													
277	43457	350 35569		163 56417	84 63793					108 39869	127 30097				252 23789	392 33637								
										357 35963	352 36643				106 31079	344 36973								
										253 49479	320 40351				*465	298 20807	128 15061							
															262 23789	392 33637								
															106 31079	344 36973								



N	N'	Z	Z'	N	N'	Z	Z'	N	N'	Z	Z'	N	N'	Z	Z'	N	N'	Z	Z'
*487	151	57737	317 82129	*493	147	58403	382 35911	*499	353	39293	135 30259	*503	79	64661	152 58309	*509	415	34403	299 22807
	135	59931	295 90001		143	59273	364 37039		279	47969	412 33931		270	97847	142 59443		371	37853	213 26053
	394	67389	289 90071		131	60953	346 39901		211	51461	382 36583		228	99347	409 69109		295	49559	209 26407
	344	78839	273 95617		344	79997	280 47149		155	57719	346 40439						233	49559	111 31333
489	112	31013	179 28081				307 86077		87	64373	146 59011						225	59231	376 37003
	361	37049	274 47857				301 89119		352	78857	118 61657								374 37309
	355	37907	208 51241	*495	302	22307	203 26437		350	79847	355 77863		505	313	10859	212 12973		238	45949
	317	41177	134 60397		184	27701	191 27109		342	81569			312	21881	197 28821			284 48073	
	277	47237	116 61803		428	66377	272 48397		310	86399			298	22691	193 27271			234 49459	
	173	57059	413 67129		422	66653	92 63823		276	96323			292	23321	157 28843			239 49783	
	284	92609	343 79843		386	71033			232	98639			286	23627	147 29587			142 59779	
491	208	25703	285 23173	497	206	26183	345 20173		501	226	42923	275 24229						94 63901	
	174	28499	145 29383		204	26423	209 25867			295	45557	370 37021						391 27233	
	385	35423	380 35983		152	28979	390 35353			277	48179	346 40507						289 94321	
	309	42767	376 39559		134	39323	286 46993			131	61283	320 41863							
	177	56543	314 47671		379	36713	194 53629			316	85121	206 52747							
	93	63671	204 52249		353	38993	156 57559			266	38123	152 58207							
	318	82421	142 59341		349	39869	309 86269					425 66949							
	282	94151	132 60703		317	41957	295 90247		*503	317	10667	192 13669							
	230	98507	88 64081		269	48779	267 97813			208	26249	307 22291		507	214	25799	367 19081		
			381 71707		215	51131				196	46861	227 24907							
			297 90067		193	53777				371	37097	219 25447							
			261 98101		139	59063				361	38861	213 25717							
					137	60167				321	41924	195 26947							
					292	91199				297	45329	368 37507							
										231	49481	318 42463							
*493	181	13997	302 11083	*499	191	13613	391 17737			237	45329	368 37507							
	385	37533	349 19597		278	27533	349 19597			231	49481	318 42463							
	383	35759	311 21277		206	26321	319 20899			113	62423	272 48823							
	375	36779	133 33037		106	31541	185 27763			105	93347	182 56377							
	299	44963	388 35281																
														</					



N	N'	Z	N''	Z'	N	N'	Z	N''	Z'	N	N'	Z	N''	Z'	N	N'	Z	N''	Z'	N	N'	Z	N''	Z'
*537	125	61871	304	47293																				
			242	49891																				
			232	51157																				
			200	55333																				
			194	50443																				
			164	57991																				
			100	63799																				
			245	99289																				
539	416	18089	197	28123																				
390	19121	123	31063																					
380	19739	346	41491																					
200	27737	212	53353																					
243	49871																							
241	50123																							
237	50441																							
193	56813																							
436	69401																							
422	71153																							
410	73353																							
368	81737																							
344	83843																							
306	94331																							
250	98717																							
248	98873																							
*541	376	20123	389	19381																				
210	26903	347	20773																					
441	34421	343	21061																					
235	50957	341	21319																					
								</																



N	N'	Z	N''	Z''	N	N'	Z	N''	Z''	N	N'	Z	N''	Z''	N	N'	Z	N''	Z''										
587	408	20117	329	23917	593	364	22067	465	17707	599	438	18797	165	30103	*601	330	96893	341	94351	*607	439	38303	444	37537					
370	21317	215	28057	348	22853	417	19867	346	23369	440	37321	409	35573	368	44959	603	380	21341	425	19753	359	45293	350	46861					
346	22739	460	35461	463	35747	434	37489	469	35573	368	44959	437	36683	260	51001	338	23909	265	23243	265	50723	222	56197						
248	25763	416	39157	211	56873	430	38011	417	37139	232	54001	441	37139	232	54001	178	29399	460	36691	189	57641	112	63913						
246	25907	230	53479	163	60293	138	61879	417	40163	130	62731	417	40163	130	62731	166	30119	350	45351	169	59879	491	69403						
229	53639	216	55819	484	68687	483	68881	351	45833	339	47303	339	47303	339	47303	385	41903	218	56401	131	62897	373	88093						
		178	58231	470	69809	459	71941	339	47303	339	47303	339	47303	339	47303	143	61813	136	62347	332	97241	345	94261						
		465	69859	276	98597	321	97549	335	47939	335	47939	335	47939	335	47939	506	67499	433	77689	328	97673	277	99277						
		421	77773	268	99551	317	98011	275	49499	275	49499	275	49499	275	49499	446	73961	373	87103	278	99083	275	99367						
		359	89071	595	422	19541	127	27367	105	64301	105	64301	105	64301	105	64301	412	81701			609	425	39989	353	23209				
589	435	37019	243	26347	437	37337	173	29611	510	66713	510	66713	510	66713	510	66713	474	17747	169	29863	233	54497	494	34603					
371	42743	466	34963	411	40493	488	34261	269	49757	456	36493	504	67349	436	19289	472	35797	436	19289	472	35797	109	64109	374	44089				
249	51473	364	43711	269	49757	456	36493	424	78401	382	83933	424	78401	382	83933	248	26459	464	39469	248	26459	464	39469	514	67187	352	46687		
175	58511	340	46831	249	52103	244	52879	276	98711	228	54367	276	98711	228	54367	222	28019	422	40009	222	28019	422	40009	470	72383	437	77743		
89	64853	242	52783	276	98711	228	54367	164	60169	164	60169	164	60169	164	60169	441	37847	386	41947	441	37847	386	41947	326	97943	433	77893		
486	67981	487	67783	404	81527	417	78367	106	64153	106	64153	106	64153	106	64153	369	44657	384	43043	369	44657	384	43043			421	80917		
404	81527	417	78367	106	64153	106	64153	106	64153	106	64153	106	64153	106	64153	229	55163	232	54319	229	55163	232	54319			389	83719		
326	96293	407	80953					435	38177	496	33961	435	38177	496	33961	247	53951	234	54049	247	53951	234	54049					379	86137
		339	93967	457	72739	457	72739	337	47777	494	34141	337	47777	494	34141	133	62507	164	60457	133	62507	164	60457	*611	446	18869	379	21661	
591	128	31397	482	34381	597	334	23957	227	27427	325	48821	474	35107	325	48821	474	35107	476	70807	513	67003	476	70807	513	67003	479	35447	355	23143
467	35051	244	52639	457	30587	140	61717	265	50321	426	39139	265	50321	426	39139	354	91967	367	89917	354	91967	367	89917	447	37511	358	45841		
419	39119	242	55981	385	41357	509	66643	261	50969	264	50547	261	50969	264	50547	348	94049	343	94447	348	94049	343	94447	189	57803	252	52711		
488	67853	224	55057	379	42023	433	75967	233	53891	222	55711	233	53891	222	55711	127	63197	166	60127	127	63197	166	60127	394	82721	236	54151		
350	90401	134	62233	371	43151			127	63197	166	60127	127	63197	166	60127	339	95713			339	95713			388	84017	172	59509		
		499	67141	245	52859			520	66347	112	63781	520	66347	112	63781	*607	370	22349	377	21613	*607	370	22349	377	21613	378	87071	104	60793
		485	68473	490	68447			486	69431	445	73867	486	69431	445	73867	356	22901	251	26251	356	22901	251	26251	370	90023	497	69073		
		379	83137	436	75329			442	74489	371	85769	442	74489	371	85769	230	27539	476	35407	230	27539	476	35407	352	93887	469	72817		
		373	85009	268	99971			366	89591	367	89101	366	89591	367	89101														
		371	85903																										









N	N'	Z	N''	Z''	N	N'	Z	N''	Z''	N	N'	Z	N''	Z''	N	N'	Z	N''	Z''	N	N'	Z	N''	Z''
*701	568	69317			*709	484	81749	501	78787	*715	412	93827			*723	590	68711			731	303	52361	538	37171
426	89759				450	84089	321	99397		328	99053				550	73547				271	55529	428	45943	
703	434	21911	495	19819	418	90911				406	83811				466	82811				267	56267	422	46819	
208	29333	445	21139		326	98909				717	197	60317	520	37987		406	93327			205	59621	414	47251	
		269	27241		711	523	37223	500	39727		424	90599	529	74161		398	99749			558	73331	593	69193	
		267	27481								388	97571	463	82567		326	99719					509	80287	
		398	47287		439	43793	412	46573				323	99817									433	90379	
		288	52957		319	50021	314	50263		719	509	39191	562	35677		725	448	21863	596	34123				
		254	56437		217	58031	302	51283		317	50333	298	52369		559	36263	444	44383		733	462	21323	449	22171
		591	67411		526	73943	154	62791		313	50909	210	59113		523	38459	426	45589		284	26981	425	23251	
705	514	75653	296	51871						157	62627	499	80737		511	39503	418	40867		280	27299	411	23893	
454	82889	194	60271							570	69779	495	81349		463	41879	274	55219		575	35381	307	26029	
		154	62617							504	70769	459	83833		419	46703	497	81547		465	42083	430	45763	
		557	70117		713	520	75617	443	21589	590	76607	439	89113		307	51437	429	90511		303	52541	559	73417	
		383	97369		512	77687	442	43399		444	87557	325	99323		157	62801	417	94063		197	60719	537	74779	
707	493	40037	502	39019											586	69467				580	69911	527	77551	
219	57773	488	49531							721	302	26021	419	23131		572	70163			506	81041	521	77929	
414	91841	410	46471							453	42899	502	40153		727	446	22091	281	27061				429	91909
		276	53623							417	46619	326	49747		523	38711	514	39343					415	94561
		268	55051							409	47189	264	56131		399	48473	442	44851		735	544	73907	512	40099
		519	74731							219	58151	214	58567		285	53453	328	49831		542	74219	529	77323	
		459	82231		*715	274	27179	413	23371	193	60897	198	60343		157	62873	196	60649		530	75641	457	86263	
		323	99223		453	42227	552	36151		165	62037				448	88037	154	63127		506	81353	431	91639	
*709	416	22871	556	35401						390	97607				332	99251	589	69337		*737	426	23339	530	38749
196	30029	458	41269		189	61091	314	50551		330	99131						527	76039		531	38609	508	40597	
215	58229	274	54139		588	68207	607	66889		*723	409	47339	260	56599		729	533	37607	574	35251			471	41843
153	62903	268	55207		516	76829	591	67819		295	53099	557	72049		329	49811	512	39847		321	50873	280	54919	
490	80933	577	69001		422	90749	329	98869		275	54833	443	88591		454	80669	466	41809		225	58013	405	96787	
										598	67751	325	99859							203	60209	333	99571	



N	N'	Z	N''	Z''	N	N'	Z	N''	Z''	N	N'	Z	N''	Z''	N	N'	Z	N''	Z''
771	563	37691	536	40213	779	499	41669	493	21157	*787	299	54917	230	59077	*795	347	50741	346	59923
283	56003	494	41647		491	42641	288	55663		566	77471	649	68023		169	63059	623	70921	
163	63179	625	69259		165	63131	563	76777		546	80777	499	84229		652	68531	571	77647	
548	77933				500	83003	537	81181		496	85313	447	94291				469	90847	
422	97187				442	94349	481	87583		432	96911								
773	559	38321	560	38119				453	92401	789	290	27947	622	35749	797	463	46307	578	37993
547	39239	456	45427		781	478	22229	299	27211		173	62549	500	42193		439	48341	346	50989
543	39827	326	51673		603	36137	562	38677		610	72173	172	62683		351	50411	222	59863	
471	44741	230	58477		549	39779	552	39373		608	72623	545	80989		215	60617	623	71329	
177	62039				331	51383	492	42727		458	92681				608	73379	555	80263	
598	74609				219	59627	166	63067		428	97463				576	76781	489	88327	
566	74873				460	91079	637	68749		791	557	39623	572	38329		564	78467		
486	85751				458	91631	599	72931		549	40361	466	45523		546	81611			
459	92219				428	97073	545	79987		327	52529	332	51907		462	93059			
775	451	46133	478	43951				535	81619		307	53819	242	57943		460	93683		
437	47513	448	46663		783	331	51479	344	50503		291	55829	559	78781		458	94121		
321	52433	302	53719		616	70619	220	59539		358	99431	433	97177						
227	58979	567	75013		506	82487	611	71563		793	503	42101	335	25771	799	351	50513	626	35491
598	72431	551	77899		484	87299	505	82699			656	67733	303	27283		632	69959	616	36277
492	84047	491	84463		454	92993					578	75707	580	37561		624	71453	502	42901
		459	90397		785	443	47459	346	50359		562	78311	512	41299		588	74303	494	43633
		439	94477			301	54323	326	52267		544	81509	344	51031		550	81371	448	47791
777	541	40151	562	38281				288	56053		544	81509	344	51031		550	81371	448	47791
451	46349	452	46153		572	75731					492	86561	605	73369		462	93281	302	55213
596	72911	236	58153		568	76481	613	71473		438	96431	501	78577				659	67993	
572	74297	214	60217		506	82799	553	79111				487	88177				625	71191	
352	99371	533	81517		*787	557	39227	440	47977	*795	308	26987	488	44131			467	92119	
		493	84127		495	42821	284	56473			449	47381	448	47563			453	94441	



[illegible]





[illegible]

N	N'	Z'	N''	Z''	N	N'	Z'	N''	Z''	N	N'	Z'	N''	Z''					
987	409	53391	773	71089	995	716	77351	418	51829	*1005	583	46451		*1015	281	59081	274	60589	
	265	60773	613	86461				563	94651		634	85103			586	93629			
	712	76919						449	99643		554	96581			568	95783			
	620	85829								1007	776	72617	787	71389	1017	427	51869	302	58549
	446	99563						616	43753		774	77549	743	74149		650	83663	617	89899
989	627	42131	434	50581				723	76003		710	78929			1019	653	41621	646	42139
	613	43427	376	54877				547	96997		708	79493				589	46679	282	60013
	571	46811	687	80611							632	85931				377	55589	797	71209
	415	51941						450	99611		624	86927				720	78803		
	367	55469						581	46187	380	54829					710	80147		
	363	56009						706	78779	821	68311					658	82571		
	724	74897						644	82781	725	75853					630	87281		
	686	80819						560	95621	641	83047					624	88799		
	572	93239								559	95803					572	95369		
								359	56747	732	37579				1021	626	88547	374	56101
991	717	38261	714	38611				772	72467	388	53917							571	95881
	387	53591	781	70381						705	79201				1023	647	42407	376	55897
	277	59093	713	77383						691	81043					800	71237	302	58789
	784	69941	585	90703						591	90679					632	87539	461	99787
	776	71129														562	96821		
	696	79697						615	44267	388	54037								
	608	88337						381	54941	791	70237								
								828	67883	737	74611								
993	635	41771	410	52627				630	85853						1025	303	58733	803	71023
	583	45677	380	54469				580	93263							714	80207	711	80809
	377	55001	358	56533												634	87107		
	808	60929	641	82633				562	95717										
	778	70979													1027	629	44357	448	50773
										*1015	621	44501	642	42391		431	51929	749	75619
								613	44651	392	53653					662	82793	651	84319

N	N'	Z	N''	Z'	N	N'	Z	N''	Z'	N	N'	Z	N''	Z'	N	N'	Z	N''	Z'
1029	838	68909	797	71899	1043	611	45869	648	43189	1057	437	52317	446	51637	1071	788	74381	817	73387
	760	74027			822	70373	643	87991			772	75323	811	72859		772	77069	631	91033
	740	77499			800	72923					652	87869	681	82837		634	90473		
	652	84431											653	87541					
1031	848	68171	594	46933	1045	826	70061	408	53611	1059			581	97003	1073	688	83177	680	42187
	812	70439	432	52009		586	95549	831	68917		653					652	89783	589	96907
	652	84857	394	54547				611	92083	1061	653	45059	466	50339		630	91331		
	628	89561	791	72871				607	92647		822	71849	865	68821		624	92387		
											818	72551	835	70373					
1033	810	70841	434	51817	1047						740	80039	673	84199	1075	417	53861	678	42571
	728	79043						292	59797							397	55733	773	77509
	712	81203						647	87427							676	85703	687	83689
	654	84509														666	85981		
	632	89009																	
	464	99929																	
1035			809	71353	1049	822	70937	756	38569	1063	651	44381	670	42643	1077	776	77201	622	46771
						772	74357	608	46549		393	55661	614	46747				751	80077
						588	95633	861	68443		646	89753	596	47797		659	89969	655	89653
								771	74551		622	91961	412	53923		655	89653	625	92767
													841	69931					
1037	383	55721	750	38299	1051	824	70877	643	89017	1065	682	83417	446	52069	1079	789	37589	782	38053
	303	59093	402	53899		592	95189						286	60763		683	42281	833	72307
	468	99623	759	74959	1053	812	72503	646	44179							297	60251	691	83401
						590	93723	308	59029	1067	755	39251	312	59053		846	70853		
								733	80347		619	46439	817	73141		690	83537		
								679	82729		586	96857	625	91771		678	85781		
																670	86501		
																660	89051		
1039	397	54593	737	78139	1055	733	40277	322	58227	1069	661	43613	600	47701		628	92327		
	758	75539	633	89521		816	72089	813	72013		287	60779	843	70249					
1041	437	51899	436	52057		744	78893	667	84913		770	77591	621	92623	*1081	691	41813	668	43717
			374	56659		676	83267	613	92551				605	94603		684	84719	847	70969



[illegible]



N	N'	Z'	N''	Z''	N	N'	Z'	N''	Z''	N	N'	Z'	N''	Z''
1281	890	80567	937	75079	1307	910	80309	947	78157	1329	838	85229		
	718	95651	929	75991		822	85667	755	93463	1331	972	75353	963	76519
			745	92377	1309	828	84761	963	74419		944	78167	941	78697
1283	744	92957	791	87973	1311	838	83639	923	79309				853	83221
1285	798	86477						799	89443				827	86341
1289	824	83609	935	75931	1313			757	93739	1333	1044	71081	783	91237
			927	77479				737	95383		926	80603		
			801	86311	1315	914	80471	1031	70867	1335	842	85133	841	85453
1291	817	42323	803	86197		772	91373	817	86371				787	90931
1291	930	77267	787	99371	1317	503	54629	830	42667	1337	788	90989	967	75579
	812	85643	751	92311		914	80747	833	84793		772	93581	939	79699
1293	788	89459	725	95509				817	86599	1339	1056	70229	979	75311
								739	95407				965	77137
1295	948	74903	933	77239	1319	962	75511	1031	71347				777	92791
	748	93497	817	85081		956	76091	963	75403	1341	778	92861	967	77017
1297	545	51797	752	46507		804	89399						605	99667
	940	76103	901	80599	1321	966	75161	833	85213	1343	946	79139	751	95911
	804	86813	831	83299	1323	503	54869	818	43627	1345			831	87517
	734	94613	821	84559		746	95027			1347			955	78229
	732	94907			1325	744	95339	959	76369				953	78553
1299	1024	70313	905	80173				849	83269	1349	832	87911		
	754	92693			1327	513	54101	814	44203		790	91823		
1301			1019	71059		507	54581	783	90787	1351	856	84443	1065	79309
1303	547	51893	798	44371		932	79561	749	94873		834	87671		
			756	46411		840	84551			1353			973	77491
1305			959	74587										
			941	77039										
			811	86293										



N	N'	Z'	N''	Z''	N	N'	Z	N''	Z''	N	N'	Z	N''	Z''
1383	802	92951	1003	75979	1407	892	84263	989	79579	1435	1032	77477		
			857	86923				811	93787		908	84713		
			775	95701	1409	1022	75941	1015	77269		904	85451		
1385	798	93851				892	84521				842	91463		
1387	880	84137	875	85093	1411	860	89417	1103	71317	1437	1040	76403		
	846	89303	849	88867				889	85411	1439				
	776	93819						789	95923	1441	1052	75431	1015	79159
1389	890	83273			1413	820	92753	821	92557		894	86579		
1391	864	86423			1415			1041	74413		884	88379		
	854	88211						821	92809	1451				
	804	93371			1417	898	84377	1005	78163		808	95561		
1393	860	87623	985	78643		878	86951			1457	860	90731	1031	78487
			967	80683		874	87881				842	93419		
			853	88807	1419	800	95063	1027	76387	1459	846	92987	857	91243
1395	884	84407			1421			883	86323	1463	1128	72533	1059	76333
1397	1092	71333	1005	77419				877	87751		904	87473	1031	79063
	1022	75029			1423			1115	70957		848	93083	857	91753
1399	986	79031	857	88657				989	80491				821	95443
			821	91411	1425	1028	76907	799	93581	1467	910	86627	847	93607
1401	790	95021				914	83093						827	95083
1403	1032	74453	811	93337	1427	1010	78437	882	43669	1469	906	87917		
	890	84179						835	91957	1471	900	88997	927	85363
1405	886	85193	869	87133	1429	547	54443	1117	71341				909	87433
	856	89513	837	89293		884	87083			1475	946	83117	857	92569
			789	95317	1431	808	94811				852	93479		

N	N'	Z'	N''	Z''
1517	940.	86939		
1519	892	91283		
	890.	91691		
1521	940.	87407		
1527		901	90793	
1529		887	92893	
		855	95917	
1531	1078:	79283	899	91303
1533	940	88523		
	898	91757		
1537		975	84181	
		949	87389	
1541	1128	74933	969	85717
	864	95597		
1545	872	94889		
1549	1116	77237	907	91867
	948	88937		
	900	92597		
1553	984	84437	1079	80357
			901	92857
1555	1144	74411		
	994	83691		
1559	986	84809	875	95413
1561	908	92333		
	906	92717		

N	N'	Z'	N''	Z''	N	N'	Z'	N''	Z''	N	N'	Z'	N''	Z''	N	N'	Z'	N''	Z''
1749			1027	91309	1823	1130	86837			1889			1091	93523	2059			1277	86677
1751			1269	76123		1118	88469			1909			1171	88411				1261	88741
1757	1086	87323			1825			1283	79531	1913			1181	87643	2069			1267	88789
1763	1276	76379			1829			1131	87187	1927	1182	88427			2077	1282	87701		
1765			1117	84631	1831	1158	84827			1929	1192	87443			2083	1288	87221		
1769			1097	86743	1841			1167	84307	1931	1222	84659				1276	88661		
1781			1091	88663	1843			1129	88651	1939	1222	85331			2089	1322	84653		
			1043	91813	1847	1140	87719	1301	79147	1943	1140	91499			2101		1219	92821	
1785	1102	87629				1082	91733			1949			1131	92779					
1793	1052	91493			1861	1140	88667	1177	84811	1957	1210	87251			2131		1343	85333	
1797	1102	88493			1865	1084	92459			1961			1241	84649	2141		1327	86869	
1803	1106	88397			1867	1160	86357			1969			1217	87337	2143		1325	87253	
1805			1049	92503		1154	87317			1975			1219	87721	2207	1364	87383		
1807	1120	86861			1871	1156	87509			1987	1432	77141			2309		1427	87403	
	1060	91541			1877	1322	79187			2051	1298	84629			2311		1429	87211	
1811	1148	84599			1879	1092	92507	1189	84691		1272	86693			2377		1419	88747	

Bei Beschränkung auf die unter 100.000 gelegenen Primzahlen bleiben also bis zur höchsten Coordinirten aller dyadisch  
 sechzehnstelligen Primzahlen: 1597 folgende 104 ungerade Zahlen theils unbesetzt, theils ohne  $Z'$  (letzte Ziffer besternt)  
 beziehungsweise  $Z''$  (erste Ziffer unterstrichen):

861\*, 951\*, 1035\*, 1047\*, 1059\*, 1101, 1149, 1155, 1157\*, 1191, 1195\*, 1197, 1207, 1209, 1211\*, 1221, 1247\*, 1265,  
 1285, 1287, 1301\*, 1305\*, 1313\*, 1329, 1345\*, 1347\*, 1349, 1353\*, 1355, 1361\*, 1369\*, 1371, 1373\*, 1375, 1379\*, 1381\*,  
 1385, 1389, 1391, 1395, 1401, 1415\*, 1421\*, 1423, 1431, 1433, 1435, 1437, 1439\*, 1443, 1445, 1447, 1449, 1451\*, 1453,  
 1455, 1461, 1465, 1469, 1473, 1479, 1485, 1491\*, 1495, 1497\*, 1501, 1503, 1505, 1509, 1511, 1513, 1515, 1517, 1519,  
 1521, 1523, 1525, 1527\*, 1529\*, 1533, 1535, 1537\*, 1539, 1543, 1545, 1547, 1551, 1553, 1557, 1561, 1563\*, 1569, 1571,  
 1573, 1575\*, 1577\*, 1579, 1581, 1585\*, 1587, 1589, 1593, 1595\*, 1597.

Bezeichnet man im Folgenden allgemein den Quotienten, welcher sich bei Division der Anzahl aller bis  $10^n$  vorkommenden Primzahlen von den Formen  $6l-1$  und  $6l+1$  durch die Anzahl der zu ihrer dyadischen Coordination erforderlichen ungeraden Zahlen ergibt, mit  $q_n$ , so resultiren auf Grundlage der hier berechneten Tabelle speciell für  $n = 2, 3, 4, 5$  die Gleichungen:

$$q_2 = \frac{23}{9} = 2.5555556, \quad q_3 = \frac{166}{39} = 4.2564103,$$

$$q_4 = \frac{1227}{185} = 6.6324324, \quad q_5 = \frac{9590}{860} = 11.1511628,$$

welche das theoretisch geforderte Ansteigen von  $q_n$  mit zunehmendem  $n$  deutlich ersichtlich machen. Um übrigens für die nächste Specialisirung:  $q_6$  vorläufig wenigstens einen unteren Grenzwert zu gewinnen, erwäge man, dass die 78496 innerhalb der ersten Million vorkommenden Primzahlen von der Gestalt  $6l \pm 1$  bei dyadischer Schreibweise nur je drei- bis zwanzig Ziffern beanspruchen, mithin die höchsten bei ihrer dyadischen Coordination in Betracht kommenden Zahlen—unter  $e_n$  den Nenner des  $n$ ten Näherungsbruches der Entwicklung:

$$\frac{\sqrt{5}-1}{2} = \frac{1}{1 + \frac{1}{1 + \dots}}$$

verstanden—nach einem bekannten Satze<sup>1</sup> der Nennergruppe:

$$e_{20} = 10946, \quad e_{20} - e_1 e_{15} = 9959, \quad e_{20} - e_3 e_{13} = 9815,$$

$$e_{20} - e_5 e_{11} = 9794, \quad e_{20} - e_7 e_9 = 9791, \quad e_{20} - e_8^2 = 9790,$$

$$e_{20} - e_{10} e_6 = 9789, \quad e_{20} - e_{12} e_3 = 9781, \quad e_{20} - e_{14} e_2 = 9726,$$

$$e_{20} - e_{16} = 9349$$

angehören. Hievon beziehen sich 10946, 9794, 9790 und 9726 ausnahmslos auf Zahlen der Form  $3l$ , während den sechs übrigen Nennern durch die beigesetzten Zähler folgende meist zusammengesetzte Zahlen coordinirt werden:

(1) Zu 9959 durch

$$3804 : 1^2 0101010101010101^2 = 873811 = (53) (16487),$$

$$4181 : 1^2 0^2 1010101010101^2 = 830123 = (7) (118589),$$

$$5778 : 101^2 01010101010101 = 742741 = (47) (15803),$$

$$6155 : 10101010101010101^2 01 = 699053 \text{ als Primzahl } Z',$$

<sup>1</sup> Vgl. Simony a. a. O. S. 241–245.

(2) Zu 9815 durch

$$\begin{aligned}
3749 : 1^2 01010101010101^2 &= 873803 = (7) (43) (2903), \\
3804 : 1^2 010^2 10101010101^2 &= 862891 = (23) (37517), \\
6011 : 10101^2 010101010101 &= 709973 = (11) (19) (43) (79), \\
6066 : 101010101010101^2 0101 &= 699061 = (11) (103) (617).
\end{aligned}$$

(3) Zu 9791 durch

$$\begin{aligned}
3740 : 1^2 010101010^2 1010101^2 &= 873843 \text{ als Primzahl } Z'', \\
3741 : 1^2 0101010^2 101010101^2 &= 873131 = (7^2) (103) (173), \\
6050 : 101010101^2 0101010101 &= 699733 \text{ als Primzahl } Z'', \\
6051 : 10101010101^2 01010101 &= 699221 \quad \quad \quad Z'.
\end{aligned}$$

(4) Zu 9789 durch

$$\begin{aligned}
3736 : 1^2 010101^2 0101010101^2 &= 875179 = (43) (20353), \\
3739 : 1^2 0101010101^2 010101^2 &= 873899 = (13^2) (5171), \\
6050 : 101010101010^2 1010101 &= 698965 = (5) (43) (3251), \\
6053 : 10101010^2 10101010101 &= 697685 = (5) (139537),
\end{aligned}$$

(5) Zu 9781 durch

$$\begin{aligned}
3715 : 1^2 0101^2 010101010101^2 &= 879275 = (5^2) (35171), \\
3736 : 1^2 010101010101^2 0101^2 &= 873835 = (5) (174767), \\
6045 : 10101010101010^2 10101 &= 699029 = (19) (36791), \\
6066 : 101010^2 1010101010101 &= 693589 = (13) (53353).
\end{aligned}$$

(6) Zu 9349 durch

$$\begin{aligned}
2584 : 1^2 0101010101010101^2 &= 961195 = (5) (192239), \\
3571 : 1^2 0101010101010101^3 &= 873815 = (5) (174763), \\
5778 : 101010101010101010^2 1 &= 699049 = (13) (53773), \\
6765 : 10^2 10101010101010101 &= 611669 = (113) (5413).
\end{aligned}$$

Der Quotient  $q_6$  besitzt mithin den unteren Grenzwert:

$$\frac{78496}{4675} = 16.7905882.$$

Vereinigt man schliesslich alle hier auf rein arithmetischem Wege festgestellten topologischen Primzahlen mit den früher bekannt gewordenen zu einer einzigen aufsteigenden Reihe, so ergibt sich bei gesonderter Zählung der Anzahlen:  $\zeta'$ ,  $\zeta''$  ihrer Glieder von den Formen  $6l-1$  und  $6l+1$  die nachstehende Tabelle, in welcher jede auch in der vollständigen Primzahlenreihe unmittelbar auf die vorhergehende folgende Primzahl durch ein Sternchen gekennzeichnet ist.

$\zeta'$	$\zeta''$	$P$	$\zeta'$	$\zeta''$	$P$	$\zeta'$	$\zeta''$	$P$	$\zeta'$	$\zeta''$	$P$
1	—	5	24	—	587	48	—	1367	—	67	2707
—	1	7*	25	—	593*	49	—	1373*	—	68	2713
2	—	11*	26	—	599*	—	44	1381*	70	—	2729
—	2	13*	—	23	601*	50	—	1427	—	69	2731*
—	3	19	—	24	613	—	45	1429*	71	—	2741*
3	—	23*	27	—	617*	—	46	1447	—	70	2749*
—	4	37	—	25	619*	51	—	1451*	72	—	2777
4	—	41*	28	—	647	—	47	1483	—	71	2791
—	5	43*	29	—	659	52	—	1499	—	72	2797*
5	—	47*	—	26	661*	53	—	1571	—	73	2803
6	—	53*	—	27	673*	—	48	1579*	73	—	2837
—	6	61	30	—	677*	54	—	1583*	74	—	2843*
—	7	73	31	—	683*	55	—	1619	—	74	2857
7	—	83	—	28	691*	—	49	1621*	75	—	2897
8	—	89*	—	29	727	—	50	1627*	76	—	2903*
—	8	103	—	30	733*	56	—	1637*	—	75	2917
9	—	107*	—	31	739*	—	51	1723	77	—	2957
—	9	109*	—	32	757	—	52	1741	78	—	2963*
—	10	139	32	—	761*	—	53	1831	79	—	2969*
10	—	149*	33	—	809	—	54	1873	—	76	3049
—	11	151*	—	33	811*	57	—	1907	—	77	3163
11	—	167	34	—	821*	—	55	2137	—	78	3181
12	—	173*	—	34	823*	—	56	2203	—	79	3187*
—	12	181	35	—	839	58	—	2213	80	—	3209
13	—	197	—	35	853*	—	57	2221*	—	80	3217*
14	—	227	36	—	881	—	58	2251	81	—	3221*
—	13	229*	37	—	947	59	—	2333	—	81	3253
—	14	271	38	—	971	60	—	2339*	82	—	3257*
—	15	277*	—	36	991	—	59	2341*	—	82	3271
—	16	283	—	37	1063	—	60	2347*	—	83	3307
15	—	293*	—	38	1069*	61	—	2357	—	84	3313*
—	17	307*	39	—	1109	—	61	2371*	83	—	3407
16	—	311*	—	39	1117*	—	62	2377*	84	—	3413*
—	18	313*	40	—	1163	62	—	2381*	—	85	3433*
—	19	331	—	40	1171*	—	63	2389	85	—	3491
17	—	347	41	—	1181*	63	—	2393*	—	86	3499*
18	—	383	42	—	1187*	64	—	2411	—	87	3547
—	20	397	43	—	1193*	65	—	2423	—	88	3739
19	—	401*	44	—	1229	66	—	2441	86	—	3797
20	—	443	—	41	1237*	67	—	2459	87	—	3947
21	—	467	45	—	1259	—	64	2467*	88	—	4217
—	21	547	46	—	1301	—	65	2473*	—	89	4261
22	—	557*	47	—	1319	68	—	2477*	89	—	4373
23	—	563*	—	42	1321*	69	—	2633	90	—	4397
—	22	571	—	43	1327*	—	66	2647*	—	90	4441

$\zeta'$	$\zeta''$	$P$	$\zeta'$	$\zeta''$	$P$	$\zeta'$	$\zeta''$	$P$	$\zeta'$	$\zeta''$	$P$
91	—	4457	—	114	5479	135	—	6863	—	158	9619*
92	—	4493	113	—	5483*	—	137	6949	—	159	9643
93	—	4517	—	115	5527	136	—	6959*	—	160	9649*
—	91	4519*	—	116	5557	—	138	6997	159	—	9689
94	—	4523*	—	117	5563*	137	—	7001*	—	161	9781
—	92	4639	—	118	5581	138	—	7013*	—	162	9787*
95	—	4649	—	119	5653	139	—	7019*	160	—	9803
—	93	4651*	—	120	5689	140	—	7079	—	163	9811*
—	94	4663	114	—	5711	141	—	7253	—	164	9817*
96	—	4679	115	—	5717*	—	139	7297	—	165	9829*
—	97	4691*	116	—	5741	—	140	7333	161	—	9833*
98	—	4703*	117	—	5783	142	—	7487	162	—	9851
99	—	4751	118	—	5801	143	—	7499	—	166	9883
—	95	4759*	119	—	5807*	—	141	7507	—	167	9901
—	96	4783*	120	—	5813*	144	—	7529	—	168	9907*
100	—	4787*	—	121	5821*	—	142	7603	—	169	9931
—	97	4789*	121	—	5843	145	—	7703	163	—	9941*
101	—	4793	—	122	5851	—	143	8539	164	—	10037
—	98	4813	122	—	5861	—	144	8677	165	—	10061
102	—	4889	123	—	5981	—	145	8887	166	—	10067*
—	99	4903*	—	123	6217	—	146	8923	167	—	10091
—	100	4909*	124	—	6311	146	—	8933	—	170	10099
103	—	4937	125	—	6317*	—	147	9001	168	—	10391
—	101	4951	126	—	6323*	147	—	9011	169	—	10457
—	102	4957*	127	—	6359	—	148	9013*	—	171	10459*
104	—	4967*	—	124	6361*	—	149	9043	—	172	10477
—	103	4969*	—	125	6421	—	150	9049*	—	173	10567
105	—	4973*	—	126	6469	—	151	9067	170	—	10589*
106	—	5003	—	127	6481	—	152	9127	—	174	10597*
—	104	5011	128	—	6491*	148	—	9137	171	—	10601*
—	105	5179	129	—	6551	149	—	9323	172	—	10607*
—	106	5227	—	128	6553*	150	—	9371	—	175	10639
107	—	5273	—	129	6571	—	153	9397	—	176	10651*
108	—	5303	130	—	6581	151	—	9413	173	—	10667
—	107	5323	131	—	6599*	152	—	9419*	174	—	10709
109	—	5333*	—	130	6691	—	154	9421*	—	177	10711*
—	108	5347*	—	131	6709	153	—	9431*	175	—	10733
110	—	5399	—	132	6733	—	155	9463	176	—	10781
—	109	5413	132	—	6761	154	—	9491	—	178	10789*
111	—	5417*	—	133	6763*	155	—	9497*	177	—	10799*
—	110	5419*	133	—	6803	156	—	9539	—	179	10837
—	111	5431*	—	134	6823*	—	156	9547*	178	—	10847*
—	112	5443	134	—	6827*	157	—	9551*	179	—	10853*
—	113	5449*	—	135	6829*	158	—	9587*	180	—	10859*
112	—	5471*	—	136	6841	—	157	9613	—	180	10861*

ζ'	ζ''	P	ζ'	ζ''	P	ζ'	ζ''	P	ζ'	ζ''	P
—	181	10867*	202	—	13163	226	—	17987	251	—	19403
—	182	10909	203	—	13397	227	—	18059	—	246	19531
—	183	10939	—	205	13477	—	226	18061*	252	—	19541*
181	—	10949*	204	—	13487*	228	—	18089	—	247	19543*
—	184	10957*	205	—	13499*	229	—	18131	—	248	19603
—	185	10987	—	206	13591	—	227	18133*	—	249	19609*
182	—	11003	206	—	13613	230	—	18149	253	—	19661*
183	—	11057	207	—	13619*	231	—	18233	—	250	19687
—	186	11083	208	—	13649	—	228	18253	—	251	19753
184	—	11087*	—	207	13669*	—	229	18517	—	252	19759*
—	185	—	11093*	209	—	13781	—	230	18583	254	—
—	187	—	11113*	210	—	13877	232	—	18587*	255	—
186	—	—	11117*	—	208	13879*	—	231	18637	—	253
—	188	—	11131	209	13903	233	—	18731	—	254	19813*
187	—	—	11159	211	—	13967	234	—	18749	—	255
—	188	—	11177	212	—	13997*	235	—	18773	—	256
—	189	—	11353	213	—	14009	—	232	18787*	—	257
189	—	—	11411	210	—	14011*	—	233	18793*	—	258
—	190	—	11443	—	211	14251	236	—	18797*	256	—
190	—	—	11447*	—	212	14629	237	—	18803*	257	—
—	191	—	11527	214	—	14669	—	234	18859	—	259
191	—	—	11549*	—	213	14779	238	—	18869*	258	—
—	192	—	11593	215	—	15017	239	—	18899*	259	—
192	—	—	11597*	—	214	15061	—	235	18919	—	260
193	—	—	11621	216	—	15083	240	—	19013	—	261
—	193	—	11689	—	215	15541	241	—	19031*	260	—
—	194	—	11731	217	—	15581	242	—	19037*	261	—
195	—	—	11863	—	216	16447	—	236	19051*	262	—
—	194	—	11867*	—	217	16741	—	237	19081	263	—
195	—	—	11981	—	218	16981	243	—	19139	264	—
—	196	—	12107	—	219	16987*	—	238	19141*	265	—
—	196	—	12613	218	—	17189	244	—	19157*	266	—
—	197	—	12619*	219	—	17321	245	—	19163*	—	262
—	198	—	12697	—	220	17491	246	—	19211	—	263
197	—	—	12713	220	—	17573	—	239	19213*	267	—
—	199	—	12739	221	—	17579*	—	240	19219*	—	264
—	200	—	12853	—	221	17581*	—	241	19237	268	—
—	201	—	12889*	—	222	17623	—	242	19249*	269	—
198	—	—	12941	222	—	17627*	247	—	19301	270	—
—	202	—	12973	—	223	17707	—	243	19309*	—	265
—	199	—	12983	—	224	17737	248	—	19319*	—	266
200	—	—	13001*	223	—	17747*	—	244	19333*	—	267
—	203	—	13003*	—	225	17749*	249	—	19373*	271	—
—	204	—	13033	224	—	17783	250	—	19379*	—	268
201	—	—	13109	225	—	17837	—	245	19381*	—	269



$\zeta'$	$\zeta''$	$P$	$\zeta'$	$\zeta''$	$P$	$\zeta'$	$\zeta''$	$P$	$\zeta'$	$\zeta''$	$P$
272	—	21221*	296	—	22859	—	313	26437	—	336	30103
273	—	21227*	297	—	22871	319	—	26669	341	—	30293
274	—	21269	298	—	22961	320	—	26711	342	—	30347
—	270	21283	—	291	22963*	—	314	26839	—	337	30391
275	—	21323	—	292	22993	321	—	26921	343	—	31013
276	—	21341*	—	293	23131	—	315	26953	344	—	31397
—	271	21397	299	—	23159	—	316	26959*	—	338	31963
277	—	21419	—	294	23173	322	—	26987	—	339	33013
—	272	21589	300	—	23189*	323	—	27059	345	—	33461
—	273	21613	301	—	23201	—	317	27061*	—	340	33493
—	274	21649	—	295	23203*	—	318	27091	—	341	34123
—	275	21661*	—	296	23209*	324	—	27107	—	342	34147
—	276	21673*	—	297	23269	325	—	27179	346	—	34217
278	—	21683*	302	—	23339	326	—	27191*	—	343	34381
279	—	21713	—	298	23371	—	319	27211	347	—	35117
—	277	21739	303	—	23399*	327	—	27239*	—	344	35149
—	278	21787	—	299	23719	—	320	27253	348	—	35153*
280	—	21803	—	300	23899	—	321	27259*	—	345	35227
—	279	21817*	301	—	23917	—	322	27367	—	346	35251*
281	—	21821*	304	—	23957	—	323	27427	—	347	35401
282	—	21839*	—	302	23977	328	—	27437	—	348	35419
283	—	21851	—	303	24109	329	—	27479	—	349	35437
284	—	21863	—	304	24169	330	—	27509	—	350	35491
—	280	21871*	305	—	24229	331	—	27611	349	—	35507*
285	—	21911	305	—	24923	—	324	27691	—	351	35509*
—	281	21943	306	—	24971	—	325	27817	—	352	35527
—	282	21961*	307	—	25013	332	—	27851	350	—	35531*
286	—	21977*	308	—	25163	333	—	27941	—	353	35533*
287	—	22067	309	—	25253	—	326	27943*	351	—	35537*
288	—	22091	310	—	25307	334	—	27947*	352	—	35543*
—	283	22123	311	—	25703	—	327	28081	353	—	35597
289	—	22133	—	306	25747	—	328	28123	—	354	35671
—	284	22153	—	307	25771	335	—	28307	—	355	35677*
290	—	22157*	312	—	25799	—	329	28387	354	—	35753
—	285	22159*	313	—	25931	—	330	29101	355	—	35993
—	286	22171*	—	308	25939	336	—	29339	—	356	36007
—	287	22189*	314	—	25943*	—	331	29347*	356	—	36011*
291	—	22229	315	—	26021	337	—	29363*	—	357	36013*
292	—	22283	316	—	26183	338	—	29387	357	—	36131
293	—	22307	317	—	26189*	—	332	29629	—	358	36187
294	—	22349	—	309	26227	—	333	29863	358	—	36251
—	288	22381	—	310	26263	339	—	29867*	—	359	36523
295	—	22697	318	—	26267*	—	334	29917	—	360	36529
—	289	22717	—	311	26293*	—	335	29989	359	—	36629
—	290	22741	—	312	26347	340	—	30011*	—	361	36709

$\zeta'$	$\zeta''$	$P$	$\zeta'$	$\zeta''$	$P$	$\zeta'$	$\zeta''$	$P$	$\zeta'$	$\zeta''$	$P$
360	—	37013	385	—	38237*	409	—	39659	432	—	42221
361	—	37019*	386	—	38261	—	403	39703	—	425	42283
362	—	37061	—	382	38281	410	—	39719	433	—	42293*
—	362	37171	—	383	38299	—	404	39727*	434	—	42299*
—	363	37189	—	384	38317	—	405	39733*	435	—	42323
363	—	37223	387	—	38321*	411	—	39749*	—	426	42331*
364	—	37307	—	385	38329	—	406	39769	—	427	42349
—	364	37339	388	—	38333*	—	407	39979	436	—	42359*
365	—	37463	—	386	38449	412	—	39989	—	428	42391
—	365	37483*	389	—	38501	413	—	40037	—	429	42397*
366	—	37493	390	—	38543*	—	408	40099	—	430	42403*
367	—	37517	391	—	38567	414	—	40151	437	—	42407*
368	—	37529*	—	387	38569*	415	—	40169	438	—	42443
369	—	37547	392	—	38603	—	409	40213	—	431	42451*
—	366	37549*	—	388	38611	—	410	40231*	—	432	42457*
—	367	37573	—	389	38629*	—	411	40237*	439	—	42533
—	368	37579*	393	—	38669	416	—	40277	440	—	42569
370	—	37589*	—	390	38671*	—	412	40357	—	433	42571*
—	369	37591*	394	—	38699	417	—	40787	—	434	42643
371	—	37607*	—	391	38713	—	413	41077	—	435	42649*
372	—	37649	—	392	38749	418	—	41189	—	436	42667*
—	370	37657*	—	393	38803	419	—	41387	441	—	42677*
373	—	37691	—	394	39019	—	414	41389*	—	437	42697
—	371	37717	395	—	39113	420	—	41549	442	—	42701*
—	372	37747*	396	—	39191	421	—	41579*	—	438	42703*
374	—	37781*	397	—	39227	422	—	41609	—	439	42709*
375	—	37799	—	395	39229*	423	—	41621	443	—	42797
376	—	37811*	—	396	39241	—	415	41641	—	440	42841
—	373	37813*	398	—	39251*	—	416	41659	—	441	42853*
—	374	37957	—	397	39301	424	—	41669*	—	442	42859*
—	375	37963*	399	—	39317	—	417	41719	—	443	43177
—	376	37987	400	—	39323*	425	—	41771	—	444	43189*
—	377	37993	401	—	39341*	426	—	41813	444	—	43223
377	—	37997*	402	—	39371	—	418	41941	—	445	43237*
378	—	38039	—	398	39451	427	—	42071	445	—	43283
—	378	38053	403	—	39461*	—	419	42073*	446	—	43319
379	—	38069*	—	399	39499*	428	—	42101	447	—	43331
—	379	38083*	404	—	39509	429	—	42131*	448	—	43397
—	380	38119	—	400	39511*	—	420	42139*	449	—	43403
380	—	38183	405	—	39563	—	421	42157*	—	446	43411*
381	—	38189*	406	—	39569*	—	422	42169*	—	447	43441
—	381	38197*	407	—	39581*	430	—	42179*	450	—	43499
382	—	38201*	—	401	39607*	—	423	42181*	451	—	43541
383	—	38219*	—	402	39619*	—	424	42187*	—	448	43543*
384	—	38231*	408	—	39623*	431	—	42197	—	449	43573*

$\zeta'$	$\zeta''$	$P$	$\zeta'$	$\zeta''$	$P$	$\zeta'$	$\zeta''$	$P$	$\zeta'$	$\zeta''$	$P$
452	—	43577*	—	476	45673*	—	497	50341	—	522	53593
—	450	43591	471	—	45707	—	498	50359*	—	523	53611
—	451	43597*	472	—	45737*	—	499	50461	515	—	53681
453	—	43607*	—	477	45751*	—	500	50503	516	—	53861
—	452	43609*	473	—	45779	495	—	50513*	517	—	53927
454	—	43613*	474	—	45869	—	501	50539	518	—	53939*
—	453	43627*	475	—	45971	—	502	50581	—	524	53959
455	—	43661	476	—	45989	—	503	50773	—	525	54037
—	454	43669*	—	478	46027	496	—	50867	—	526	54091
456	—	43691*	477	—	46133	—	504	50893	519	—	54101*
—	455	43717	478	—	46187	—	505	51349	520	—	54371
—	456	43753	—	479	46219	497	—	51413	—	527	54409
457	—	43853	479	—	46229*	498	—	51479	521	—	54413*
—	457	43891	—	480	46237*	—	506	51511	522	—	54419*
—	458	43933	—	481	46261*	499	—	51539	—	528	54421*
—	459	43951	480	—	46307	500	—	51563	523	—	54437*
—	460	43987	—	482	46309*	—	507	51607	524	—	54443*
—	461	44119	—	483	46381	—	508	51637	525	—	54539
—	462	44131	—	484	46441	501	—	51767	526	—	54563
458	—	44171	—	485	46477	—	509	51787	—	529	54601
—	463	44179*	481	—	46499	502	—	51797*	527	—	54617*
459	—	44189*	—	486	46507*	503	—	51803*	528	—	54629
460	—	44201*	482	—	46511*	—	510	51817*	—	530	54631*
—	464	44203*	483	—	46523*	504	—	51827*	—	531	54667
461	—	44249	—	487	46633	—	511	51829*	—	532	54679
462	—	44267	484	—	46649	—	512	51853	—	533	54709
—	465	44269*	485	—	46691	—	513	51859*	529	—	54713*
463	—	44357	486	—	46757	505	—	51869*	—	534	54829
—	466	44371*	487	—	46769*	—	514	51871*	530	—	54869
464	—	44381*	—	488	46771*	506	—	51893*	—	535	54949
—	467	44389	—	489	46807*	507	—	51899*	—	536	54979
465	—	44453	488	—	46829	—	515	51949	—	537	55603
—	468	44491	489	—	46901	—	516	52057	—	538	55621
466	—	44501	—	490	46933	—	517	52069	—	539	55639
467	—	44621	490	—	46997	508	—	52127	—	540	55717
—	469	44647	—	491	47317	509	—	52313	531	—	55721*
—	470	44893	491	—	47339*	510	—	52361	—	541	55897
—	471	45403	492	—	47459	511	—	52391	532	—	55901*
468	—	45413*	—	492	47521	512	—	52517	—	542	55987
—	472	45481	—	493	47701	513	—	52571	533	—	56099
469	—	45497	493	—	47717	—	518	52627	—	543	56101*
—	473	45541	—	494	47917	514	—	52691	—	544	56149
—	474	45613	—	495	47947	—	519	52813	534	—	56171
470	—	45659	—	496	47977	—	520	52951	—	545	56599
—	475	45667*	494	—	48299	—	521	53419	535	—	56663

ζ'	ζ''	P	ζ'	ζ''	P	ζ'	ζ''	P	ζ'	ζ''	P
536	—	56747	—	568	70891	—	593	73387	—	614	75979
—	546	58027	559	—	70937	579	—	73907	603	—	75989
—	547	58057	560	—	70949*	—	594	74323	604	—	76079
—	548	58543	—	569	70951*	580	—	74381	—	615	76123
—	549	58549*	—	570	70957*	581	—	74411	—	616	76129*
—	550	58573	—	571	70981	—	595	74413*	—	617	76147*
537	—	58679	561	—	70991*	—	596	74419*	—	618	76207
—	551	58693	562	—	70997*	582	—	74441*	—	619	76213*
—	552	58699*	—	572	70999*	—	597	74449*	605	—	76253
—	553	58711*	—	573	71011*	583	—	74453*	—	620	76261
—	554	58733	—	574	71023*	—	598	74587	—	621	76333
539	—	59051	—	575	71059	584	—	74597*	606	—	76343*
—	555	59053*	563	—	71069*	—	599	74827	—	622	76369
540	—	59561	564	—	71081*	585	—	74843	607	—	76379*
541	—	59723	—	576	71089*	586	—	74903	—	623	76387*
—	556	59753	565	—	71261	—	600	74923*	608	—	76403*
—	557	59797	577	—	71317	587	—	74933	—	624	76441
543	—	59957	566	—	71327*	—	601	75079	609	—	76463*
544	—	60077	567	—	71333	588	—	75083*	—	625	76471*
545	—	60317	568	—	71339*	—	602	75109*	610	—	76487
—	558	60761	—	578	71341*	589	—	75149	611	—	76493*
—	559	62299	—	579	71347*	590	—	75161*	—	626	76507*
—	560	62773	—	580	71353*	—	603	75181	—	627	76519
—	561	67927	569	—	71387	—	604	75193*	—	628	76579
547	—	68171	—	581	71389*	591	—	75209*	—	629	76597*
—	562	68437	—	582	71479	—	605	75211*	612	—	76631
548	—	68909	570	—	71861	—	606	75223	613	—	76649*
—	563	69031	—	583	71899	592	—	75227*	—	630	76651*
549	—	70061	—	584	72019	—	607	75253	—	631	76717
550	—	70229	—	585	72043	—	608	75307	614	—	76847
—	564	70309	571	—	72101	—	609	75337	615	—	76883
551	—	70313*	—	586	72109	593	—	75347*	616	—	76907*
552	—	70379	—	587	72139*	594	—	75353*	617	—	76943
—	565	70423	572	—	72269	—	610	75367*	618	—	76949*
553	—	70451	—	588	72277	595	—	75431	—	632	76963
—	566	70487	573	—	72341	596	—	75437*	619	—	77003
—	567	70489*	—	589	72367	597	—	75479*	—	633	77017*
—	568	70501*	—	590	72469	—	611	75541	620	—	77093
—	569	70549	—	591	72493	598	—	75611	—	634	77101*
555	—	70571*	574	—	72503	599	—	75617*	621	—	77141
—	570	70823	575	—	72533*	600	—	75629	622	—	77201
557	—	70841*	576	—	72617	601	—	75653	623	—	77213*
—	571	70843*	—	592	72997	—	612	75883	624	—	77237*
—	572	70867	577	—	73043	—	613	75931	—	635	77239*
558	—	70877*	578	—	73079	602	—	75941	625	—	77243*

$\zeta'$	$\zeta''$	$P$	$\zeta'$	$\zeta''$	$P$	$\zeta'$	$\zeta''$	$P$	$\zeta'$	$\zeta''$	$P$
—	636	77269	646	—	79397	672	—	84377	—	703	85837
626	—	77351	647	—	79451	673	—	84389*	694	—	86183
627	—	77417	—	661	79531	—	680	84391*	—	704	86197*
—	637	77419*	—	662	79579	674	—	84407	—	705	86323
628	—	77477	648	—	79589*	—	681	84421*	695	—	86357
—	638	77491	—	663	79669	675	—	84437	696	—	86423
629	—	77513	—	664	79693	676	—	84443*	697	—	86441*
630	—	77543	—	665	80173	—	682	84499	698	—	86477
—	639	77557	649	—	80231	—	683	84589	—	706	86587
631	—	77621	—	666	80233*	677	—	84629*	699	—	86627
—	632	78101	650	—	80309	—	684	84631*	—	707	86629*
—	640	78121*	651	—	80471	—	685	84649*	—	708	86677*
633	—	78137*	—	667	80473*	678	—	84653*	—	709	86689*
—	641	78139*	—	668	80557	679	—	84659*	700	—	86729
—	642	78157*	652	—	80567*	—	686	84691	—	710	86743*
—	643	78163*	653	—	80681	—	687	84697*	701	—	86771
—	644	78229	654	—	81233	680	—	84701*	702	—	86837
—	645	78259	655	—	81293	681	—	84761	—	703	86843*
—	646	78427	—	669	82981	—	688	84787*	—	711	86857
634	—	78437*	656	—	83117	682	—	84809	704	—	86861*
—	647	78439*	657	—	83177	—	689	84811*	—	712	86869*
—	648	78487	658	—	83219	683	—	84827*	705	—	86939
635	—	78509	659	—	83243	684	—	85061	—	713	87133
—	649	78511*	660	—	83273	—	690	85093	706	—	87149*
—	650	78517*	661	—	83339	685	—	85109	707	—	87179
—	636	78539*	—	670	83341*	686	—	85133	—	714	87181*
—	651	78541*	662	—	83417	—	691	85147*	—	715	87187*
—	652	78571	—	671	83557	—	692	85159*	—	716	87211*
—	653	78643	663	—	83561*	687	—	85193*	708	—	87221*
—	654	78691	—	672	83563*	—	693	85213	—	717	87223*
637	—	78707	664	—	83609	688	—	85229	709	—	87251*
638	—	78989	665	—	83639	—	694	85297	—	718	87253*
639	—	79031	—	673	83641*	—	695	85303*	710	—	87257*
640	—	79139	—	674	83653*	689	—	85331	—	719	87277*
—	655	79147*	666	—	84053	—	696	85333*	711	—	87323
641	—	79151*	—	675	84067	—	697	85363	—	720	87337*
—	656	79153*	—	676	84121	—	698	85429	712	—	87383
—	657	79159*	667	—	84137	—	699	85453	—	721	87403*
642	—	79181*	—	677	84181	690	—	85469*	713	—	87407*
643	—	79187*	668	—	84263	—	700	85549	714	—	87443
644	—	79193*	669	—	84299*	691	—	85607	—	722	87481
—	658	79273	—	678	84307*	—	701	85669	715	—	87491*
—	659	79279*	—	679	84313*	—	702	85717	716	—	87509*
645	—	79283*	670	—	84317*	692	—	85733*	—	723	87511*
—	660	79309	671	—	84347	693	—	85817	—	724	87517*

$\zeta'$	$\zeta''$	$P$	$\zeta'$	$\zeta''$	$P$	$\zeta'$	$\zeta''$	$P$	$\zeta'$	$\zeta''$	$P$
717	—	87623	—	742	88789	755	—	91499*	—	772	93337
718	—	87629*	735	—	88793*	756	—	91571	770	—	93383
719	—	87641	736	—	88811	—	757	91573*	771	—	93491
—	725	87643*	—	743	88813*	—	758	91591	—	773	93523
—	726	87691	—	744	88843	757	—	91811	—	774	93559
—	727	87697*	737	—	88883	—	759	91867	—	775	93607
720	—	87701*	738	—	88919	758	—	92333	—	776	93739
721	—	87719*	—	745	88993	759	—	92459	772	—	93851
—	728	87721*	739	—	88997*	—	760	92461*	773	—	93893
—	729	87739*	—	746	89017	—	761	92503	774	—	94541
722	—	87767	740	—	89261	760	—	92507*	775	—	94547
723	—	87797	—	747	89269*	—	762	92557	—	777	94771
724	—	87833	741	—	89381	—	763	92569	776	—	94811
—	730	87853*	742	—	89387*	—	764	92581*	777	—	94889
—	731	87877	743	—	89417	—	765	92707	—	778	94933
725	—	87911	—	748	89449	761	—	92753	778	—	95021
726	—	87917*	744	—	89459*	—	766	92761*	779	—	95063
—	732	87961	—	749	89491	—	767	92779	780	—	95339
—	733	87973*	745	—	89501*	—	768	92821	—	779	95413
—	734	88117	746	—	90281	762	—	92861	—	780	95419*
—	735	88237	—	750	90523	763	—	92867	781	—	95531
727	—	88241*	747	—	90731	—	769	92893*	—	781	95539*
728	—	88397	—	751	90793	—	770	92899*	—	782	95569
—	736	88411*	748	—	90833	764	—	92951	—	783	95581*
—	737	88423*	749	—	90917	765	—	92957*	—	784	95911
729	—	88427*	750	—	90971	766	—	92987	782	—	96557
730	—	88493	751	—	90989	767	—	93077	783	—	96587
731	—	88523	—	752	91237	768	—	93131	—	785	97003
732	—	88547*	—	753	91243*	—	771	93253	784	—	97157
—	738	88651	752	—	91283	769	—	93323	—	786	99607
—	739	88657*	—	754	91303						
—	740	88663	—	755	91309*						
733	—	88667*	753	—	91433						
734	—	88721	—	756	91453*						
—	741	88747	754	—	91493						

Hienach befinden sich unter den bis 100.000 vorkommenden Primzahlen nur 1570 topologische, von welchen 635 isolirt, dagegen 935 Primzahlen als Glieder von Zahlen-  
gruppen auftreten. Es enthält nämlich die in Rede stehende  
Zahlenreihe 192 zweigliedrige, ferner 67, 37, 18, 12 drei-, vier-,  
fünf- und sechsgliedrige Zahlengruppen, sowie ausserdem in  
19301, 19309, 19319, 19333, 19373, 19379, 19381;  
38183, 38189, 38197, 38201, 38219, 38231, 38237

zwei siebengliedrige, in

42101, 42131, 42139, 42157, 42169, 42179, 42181, 42187;  
79139, 79147, 79151, 79153, 79159, 79181, 79187, 79193

zwei achteigliedrige, endlich in

87179, 87181, 87187, 87211, 87221,  
87223, 87251, 87253, 87257, 87277

eine zehngliedrige Zahlengruppe, während bekanntlich in beiden arithmetischen Primzahlenreihen von den Formen  $6l-1$  und  $6l+1$  schon sechsgliedrige lückenlose Zahlengruppen relativ selten vorkommen.

Anderseits umgrenzen je zwei aufeinanderfolgende topologische Primzahlen, zwischen welchen irgend eine Potenz von 2—etwa  $2^p$ —gelegen ist, schon für mässige Werthe von  $p$  individuenreiche Gruppen rein arithmetischer Primzahlen, wie aus nachstehendem, deren jeweilige Anzahl:  $k_p$  nebst beiden topologischen Grenzzahlen:  $P'_p$ ,  $P''_p$  für  $p = 5, 6, \dots 16$  liefernden Schema hervorgeht:

$p$	$P'_p$	$k_p$	$P''_p$	$p$	$P'_p$	$k_p$	$P''_p$	$p$	$P'_p$	$k_p$	$P''_p$
5	23	2	37	9	467	9	547	13	7703	86	8539
6	61	2	73	10	991	11	1063	14	15581	88	16447
7	109	4	139	11	1907	29	2137	15	31963	109	33013
8	229	7	271	12	3947	28	4217	16	62773	463	67927

Hienach besitzt die Reihe der topologischen Primzahlen auch hinsichtlich ihrer Vertheilung über die vollständige Primzahlenreihe einen eigenthümlichen Charakter, ohne dass sich jedoch vorläufig die Frage entscheiden lässt, ob das einzige allen topologischen Primzahlen gemeinsame arithmetische Merkmal eine selbstständige zahlentheoretische Untersuchung derselben ermöglicht? — In diesem Sinne musste sich die vorliegende Arbeit darauf beschränken möglichst viele für weitere Forschungen verwertbare specielle Resultate festzustellen und hat ihren Zweck erfüllt, wenn sie wenigstens zur Aufsuchung mathematischer Beweise für jene topologisch-arithmetischen Inductionsschlüsse angeregt hat, deren empirische Grundlage erst durch die hier mitgetheilten numerischen Ergebnisse in allen Details verificirt worden ist.

## XVI. SITZUNG VOM 14. JUNI 1894.

Der Secretär legt das erschienene Heft I—III (Jänner bis März 1894) des 103. Bandes, Abtheilung I, der Sitzungsberichte vor.

Das w. M. Herr Hofrath Prof. V. v. Ebner übergibt eine Abhandlung: »Über eine optische Reaction der Binde-substanzen auf Phenole«.

Das w. M. Herr Director E. Weiss überreicht eine Abhandlung vom Adjuncten der Prager Sternwarte Dr. R. Spitaler unter dem Titel: »Bahnbestimmung des Kometen 1851 III«.

Der Secretär Hofrath Director J. Hann überreicht eine Abhandlung: »Die tägliche Periode der Windgeschwindigkeit auf dem Sonnblickgipfel und auf den Berggipfeln überhaupt«.



## XVII. SITZUNG VOM 21. JUNI 1894.

---

Herr Prof. H. Höfer an der k. k. Berg-Akademie in Leoben übersendet eine Abhandlung, betitelt: »Die geologischen Verhältnisse der St. Pauler Berge im östlichen Kärnten«.

Herr Prof. Dr. Karl Bobek an der k. k. deutschen Universität in Prag übersendet eine Abhandlung, betitelt: »Die Invarianten der allgemeinen Fläche dritter Ordnung«.

Das w. M. Herr Hofrath Prof. Ad. Lieben überreicht eine Arbeit unter dem Titel: »Bemerkungen über die Constitution der fetten Säuren und die Löslichkeit ihrer Salze«.

Ferner legt Herr Hofrath Lieben eine Arbeit aus seinem Laboratorium von G. Johanny vor: »Über die Einwirkungsproducte der Blausäure auf Methyläthylacrolein«.

Herr Dr. Ed. Mahler in Wien überreicht eine Abhandlung, betitelt: »Die Apisperiode der alten Ägypter«.

---

### **Selbständige Werke oder neue, der Akademie bisher nicht zugekommene Periodica sind eingelangt:**

Arnoux, G., *Essais de Psychologie et de Métaphysique positives. Arithmétique graphiques. Les espaces arithmétiques hypermagiques.* Paris, 1894; 8°.

Caruelii, Th., *Epitome florae Europae terrarumque affinium sistens plantas Europae, Barbariae, Asiae occidentalis et*

centralis et Sibiriae quoad divisiones, classes, cohortes, ordines, familias, genera ad characteres essentielles exposita. Fasc. I. Monocotyledones. Fasc. II. Dicotyledones. Florentiae, 1892 et 1894; 8<sup>o</sup>.

Physikalisch-technische Reichsanstalt in Charlottenburg, Wissenschaftliche Abhandlungen. Bd. I. Thermometrische Arbeiten. Berlin, 1894; 4<sup>o</sup>.

---



**SITZUNGSBERICHTE**  
**DER**  
**KAISERLICHEN AKADEMIE DER WISSENSCHAFTEN.**

---

**MATHEMATISCH-NATURWISSENSCHAFTLICHE CLASSE.**

---

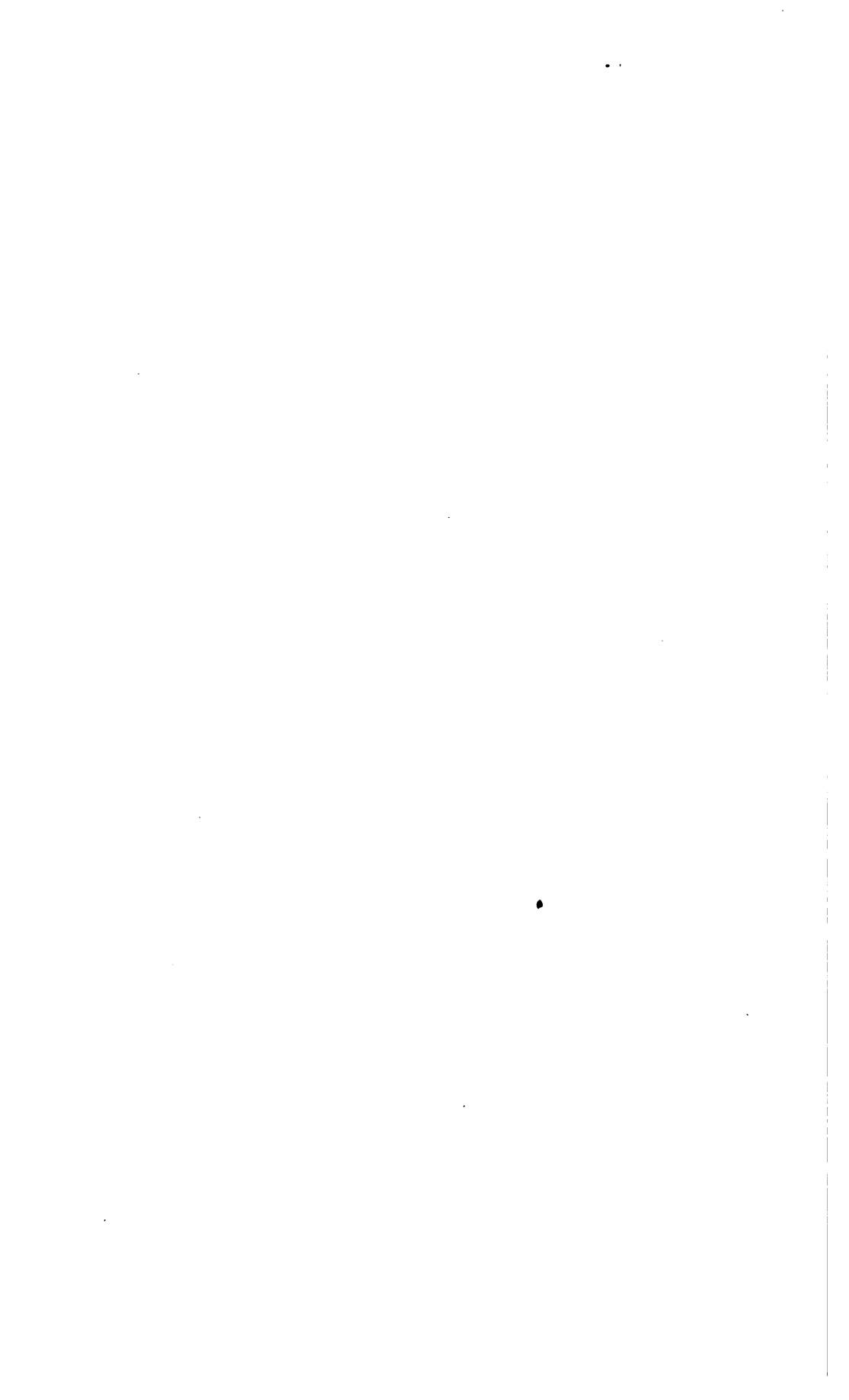
**CIII. BAND. VII. HEFT.**

---

**ABTHEILUNG II. a.**

**ENTHÄLT DIE ABHANDLUNGEN AUS DEM GEBIETE DER MATHEMATIK, ASTRONOMIE,  
PHYSIK, METEOROLOGIE UND DER MECHANIK.**

---



## XVIII. SITZUNG VOM 5. JULI 1894.

Der Secretär legt das erschienene Doppelheft IV—V (April—Mai 1894) des 15. Bandes der Monatshefte für Chemie vor.

Die königl. italienische Botschaft in Wien übermittelt ein Druckwerk von Prof. Roberto Campana an der k. Universität in Rom unter dem Titel: »Lepra«.

Das w. M. Herr Prof. L. Pfaundler übersendet eine Arbeit aus dem physikalischen Institute der k. k. Universität in Graz von Prof. Dr. Ign. Klemenčič: »Über die circulare Magnetisirung von Eisendrähten«.

Herr P. C. Puschl, Stiftscapitular in Seitenstetten, übersendet eine Abhandlung, betitelt: »Aktinische Wärmetheorie und chemische Äquivalenz«.

Das w. M. Herr Prof. H. Weidel überreicht eine im I. chemischen Laboratorium der k. k. Universität in Wien ausgeführte Arbeit von F. Wenzel, betitelt: »Synthese des Kynurins«.

Das w. M. Herr Director E. Weiss überreicht eine Abhandlung von Prof. Dr. E. Freiherr v. Haerdtl unter dem Titel: »Zur Frage der Perihelbewegung des Planeten Mercur«.

Das c. M. Herr Oberst A. v. Obermayer überreicht eine Abhandlung: »Über die Wirkung des Windes auf schwach gekrümmte Flächen«.

**Selbständige Werke oder neue, der Akademie bisher nicht  
zugekommene Periodica sind eingelangt:**

Campana, R., Lepra. (Mit Illustrationen.) Genova, 1894.

Martel, E. A., Les abîmes, les eaux souterraines, les cavernes,  
les sources, la spéléologie. Explorations souterraines  
effectuées de 1888 à 1893 en France, Belgique, Autriche  
et Grèce. (Mit Illustrationen.) Paris, 1894; 4<sup>o</sup>.

---

# Die tägliche Periode der Windstärke auf dem Sonnblickgipfel und auf Berggipfeln überhaupt

von

**J. Hann,**

w. M. k. Akad.

(Vorgelegt in der Sitzung am 14. Juni 1894.)

Die anemometrischen Aufzeichnungen auf dem Sonnblickgipfel erstrecken sich nunmehr schon auf mehr als sechs Jahre (beginnend mit September 1887). Leider war es bisher wegen Mangel an Arbeitskräften nicht möglich, dieselben vollständig zu reduciren. Bloss die zweijährigen Aufzeichnungen September 1887 bis August 1889 inclusive sind vollständig reducirt, discutirt und auch in extenso veröffentlicht worden. Es geschah dies in der Abhandlung von Herrn Dr. J. M. Pernter: »Die Windverhältnisse auf dem Sonnblick und einigen anderen Gipfelstationen« (Denkschriften, LVIII. Bd., Wien, 1891. Vorgelegt im December 1890).

Um die jetzt schon vorliegenden anemometrischen Registrirungen wenigstens nach einer Richtung hin verwerthen zu können, liess ich die Windgeschwindigkeit ohne Rücksicht auf die Richtung nach Stundenintervallen für den ganzen restirenden Zeitraum September 1889 bis December 1893 inclusive reduciren und Mittelwerthe der stündlichen Windgeschwindigkeit für die Periode September 1887 bis December 1893 ableiten (October 1888 und Juni 1890 fehlen). Diese Mittelwerthe gedachte ich zunächst einer eingehenderen Discussion zu unterziehen, da die jährliche Periode im täglichen Gange der Windstärke einige Anhaltspunkte für die Aufdeckung der wahren Ursache der letzteren zu liefern



versprach. Die eigentliche Ursache der Umkehrung im täglichen Gange der Windstärke auf hohen Berggipfeln ist ja noch immer nicht vollständig aufgedeckt, denn wenn auch die Espy-Köppen'sche Erklärung derselben für die Höhe des Eiffelthurmes (300 *m*), woselbst die Umkehrung sich bereits eingestellt hat, als vollkommen zureichend erscheint, wofür auch im Folgenden Nachweise gegeben werden, so kann dies doch nicht für die folgenden 4000 *m* mächtigen Luftschichten behauptet werden, in welchen durchwegs, nach den Aufzeichnungen auf Berggipfeln, die Umkehrung des täglichen Ganges gleichfalls eintritt.

Es ist also, wie sich derart herausstellt, die Haupterscheinung im täglichen Gange der Windstärke, dass das Minimum der letzteren um Mittag und das Maximum in der Nacht eintritt, denn so verhält es sich vom Eiffelthurm (300 *m*) aufwärts bis zum Gipfel von Pikes Peak (4308 *m*). Der früher als allgemeine Regel geltende tägliche Gang der Windstärke in der Nähe der Erdoberfläche mit einem Maximum bald nach Mittag und einem Minimum in den frühen Morgenstunden, tritt nach unseren jetzigen Erfahrungen als eine ganz untergeordnete, auf die untersten bloss etwa 200 *m* mächtigen Luftschichten beschränkte Erscheinung dagegen zurück.

So viel ich weiss, war es Herr Dr. G. Hellmann, welcher zuerst die Aufmerksamkeit der Meteorologen auf die unerwartete Thatsache hinlenkte, dass auf Berggipfeln der tägliche Gang der Windstärke der entgegengesetzte sei von jenem an der Erdoberfläche. Es geschah dies in einer Discussion der stündlichen Aufzeichnungen auf dem Mount Washington im Mai 1872 (»Ein Beitrag zur Physik der höheren Luftschichten.« Zeitschrift für Met., B. X, 1875, S. 311). Die späteren Registrirungen der Windgeschwindigkeit auf dem Säntis- und Obirgipfel, die frühesten ihrer Art (beginnend mit August, respective September 1883; jene auf Pikes Peak reichen allerdings weiter zurück, die Ergebnisse derselben sind aber erst spät bekannt geworden) haben diese ersten Andeutungen der Umkehrung des täglichen Ganges der Windstärke in der Höhe vollkommen bestätigt.<sup>1</sup>

<sup>1</sup> Zeitschrift für Met., B. XVIII, 1883, S. 416.

Der Constatirung dieser Thatsache ist aber keineswegs alsbald auch eine zureichende Erklärung derselben gefolgt, denn die ersten darüber ausgesprochenen Ansichten sind wohl bald wieder fallen gelassen worden. Man muss vielmehr gestehen, dass bis zum heutigen Tage die wahre Ursache der Abnahme der Windstärke um Mittag und deren Zunahme in der Nacht auf den Berggipfeln noch keineswegs ganz aufgeklärt ist.

Darum schien mir eine eingehende Discussion des täglichen Ganges der Windstärke auf dem Sonnblickgipfel, gegründet auf sechsjährige Registrirungen, nicht ohne wissenschaftliches Interesse zu sein.

Herr Dr. Pernter konnte den täglichen Gang der Windstärke auf dem Sonnblick nur im allgemeinen Mittel darstellen, da er bloss über zweijährige Beobachtungen verfügte. Aus den jetzt mehr als sechs Jahrgänge umfassenden Aufzeichnungen lässt sich aber der tägliche Gang auch schon für die einzelnen Monate ableiten, was zu einigen auffälligen Resultaten führte, die mir dann Veranlassung gegeben haben, die jahreszeitlichen Veränderungen im täglichen Gange der Windstärke auch in den Registrirungen auf anderen Berggipfeln aufzusuchen, um zu erfahren, ob die für den Sonnblick gefundenen Resultate eine allgemeinere Geltung beanspruchen dürfen oder nicht. So erweiterte sich mir während der Arbeit die Discussion des täglichen Ganges der Windstärke auf dem Sonnblickgipfel zu einer Discussion dieser Erscheinung auf den Berggipfeln überhaupt. Die Ergebnisse haben aber nicht ganz meinen Erwartungen entsprochen und entscheidende Resultate haben sich dabei nicht herausgestellt. Eine einheitliche Bearbeitung der jetzt von den Berggipfeln verschiedener Höhe vorliegenden mehrjährigen Registrirungen der Windstärke, wie sie im Nachfolgenden geboten wird, dürfte trotzdem ein grösseres und bleibendes Interesse haben, wie dies der wissenschaftlichen Beschreibung einer Naturerscheinung überhaupt nicht abgesprochen werden kann.

Herr Billwiller in Zürich hat mich bei dieser Arbeit in höchst dankenswerther Weise unterstützt, indem er mir handschriftlich die stündlichen Windgeschwindigkeiten nach den

anemometrischen Aufzeichnungen auf dem Säntisgipfel für die einzelnen Monate der achtjährigen Periode 1886—1893 mitgetheilt hat. Herrn Angot in Paris verdanke ich die freundliche Übermittlung eines Separatabdruckes aus dem noch nicht ausgegebenen Jahrgange 1892 der »Annales du Bureau Central Mét. de France«, die Beobachtungsergebnisse 1892 auf dem Eiffelthurme enthaltend.

Der tägliche Gang der Windgeschwindigkeit auf dem Sonnblickgipfel. Die folgende Tabelle enthält die Abweichungen der Stundenmittel der Windgeschwindigkeit (Meter pro Secunde) vom Monatsmittel nach einer ersten Ausgleichung der auch in sechsjährigen rohen Mitteln noch recht störend hervortretenden Unregelmässigkeiten. Die Ausgleichung erfolgte nach dem gewöhnlichen Schema  $\frac{1}{4}(a+2b+c)$ . Die unmittelbaren Werthe der absoluten Windgeschwindigkeit, sowie der Abweichungen der Stundenmittel von den Monatsmitteln theile ich im Anhange mit. Dort findet man auch einige weitere Erläuterungen und kritische Bemerkungen zu diesen Tabellen.

Die bemerkenswertheste Thatsache, die uns in der Tabelle A entgegentritt, ist der frühe Eintritt des Minimums der Windgeschwindigkeit. Im Jahresmittel selbst tritt das Minimum der Windgeschwindigkeit schon um 9<sup>h</sup> Vormittag ein. Nach den vorherrschenden Ansichten über die Ursache der täglichen Variation der Windstärke auf den Berggipfeln sollte der Eintritt des Minimums am Nachmittage stattfinden.

Das Maximum der Windgeschwindigkeit stellt sich in den Abend- und Nachtstunden ein, wie wir dies schon von den Berggipfeln wissen.

Selbst die ausgeglichenen Zahlenwerthe der Tabelle A zeigen noch so grosse Divergenzen des täglichen Ganges von Monat zu Monat und Unregelmässigkeiten innerhalb desselben Monates, dass man deutlich sieht, dass eine sechsjährige Periode noch zu kurz ist zu einer genaueren Darstellung des jährlichen Ganges der täglichen Variation der Windstärke. Besonders abweichend verhalten sich die Monate October und Jänner.

Um die jährliche Periode im täglichen Gange der Windstärke übersichtlicher darzustellen, so wie sie wahrscheinlich

## A. Sonnblickgipfel. Windgeschwindigkeit.

Abweichungen der Stundenmittel vom Monatsmittel. Meter pro Secunde. Ausgegliche Werthe.

	Jänner	Febr.	März	April	Mai	Juni	Juli	August	Sept.	Octob.	Nov.	Decbr.	Jahr
Mitth. — 1 <sup>h</sup> a.	— .01	.43	— .02	.00	.28	.42	.10	.19	.06	.45	— .10	.23	.09
1—2	.15	.71*	.16	.05	.04	.28	.09	.24	.16	.42	.05	.28	.13
2—3	.15	.36	— .09	.29	.21	.04	.23	.19	— .16	— .47*	.07	.01	.06
3—4	.22	.41	.06	.39	.56	— .04	.26	.39	.04	.40	.15	.03	.03
4—5	.33	.10	.13	.46	.75	.22	.25	.24	.23	.31	.14	.18	.14
5—6	.43*	.58	.28	.58	.88*	.39	.42	.22	.28	.16	.10	.30	.22
6—7	.34	.28	.46	.60*	.79	.72	.51	.15	— .27*	.17	.02	.28	.32
7—8	.29	.51	.65	.51	.66	.88	.64	.28	.27	.00	.15	.34*	.38
8—9	.01	.57	.72	.43	.54	1.03	.66*	.35	.20	.09	.13	.23	.41
9—10	— .24	.75*	.74*	.25	.31	1.03*	.62	.47*	.22	.04	— .29*	.25	.43*
10—11	.12	.71	.60	.11	.21	.94	.50	.26	.15	.05	.24	.10	.33
11—Mittag	— .03	.61	.29	.07	.03	.77	.34	.34	.29	.10	.08	.01	.21
12—1 <sup>h</sup> p.	— .14	.54	.16	.19	.01	.58	.11	.30	.15	.20	.02	.04	.13
1—2	.24	.18	.23	.28	.27	.16	.07	.08	.17	.31	.17	.17	.09
2—3	.07	.13	.11	.35	.15	.00	.27	.19	.11	.27	.27*	.16	.10
3—4	.01	.13	.28	.16	.20	.25	.20	.15	.06	.31	.14	.04	.12
4—5	.17	.15	.40	.21	.23	.42	.54	.16	.01	.46*	.24	.11	.23
5—6	.12	.15	.35	.08	.13	.53	.55	.14	.01	.31	.03	.13	.14
6—7	— .02	.32	.67	.30	.51	.66	.78*	.07	.32	.62	.14	.06	.36
7—8	.24	.06	.48*	.31	.51	.74	.62	.19	.30	.27	.06	.04	.26
8—9	— .32	.32	.56	.54*	.76	.84	.60	.28	.54*	.25	.03	.13	.37*
9—10	— .45	.27	.37	.50	.80*	.89*	.48	.36	.52	.08	.17	.13	.30
10—11	— .44	.32	.28	.40	.55	.91	.41	.40*	.39	.23	.17	.27	.26
11—Mittn.	— .24	.62	.23	.35	.54	.73	.26	.33	.37	.31	.07	.30*	.26
Mittel	.20	.36	.35	.31	.41	.56	.40	.25	.22	.26	.13	.16	.22

aus langjährigen Mitteln sich ergeben dürfte, habe ich auf die noch nicht ausgeglichenen Stundenmittel der Windgeschwindigkeit die Bessel'sche Formel angewendet, mich aber mit der Berechnung von zwei Gliedern begnügt. Es handelt sich ja nur um eine Herausschälung der einfachsten und wichtigsten Charakterzüge des täglichen Ganges der Windstärke, und diesen Zweck erreicht man am sichersten durch Berechnung der ersten Glieder einer periodischen Reihe.

Die zur Ableitung des jährlichen Ganges der Constanten der Bessel'schen Formel verwendeten Reihen, sowie die Zwischenrechnungen enthält die Tabelle III des Anhangs. Da die Berechnung der Constanten auf Grund der unmittelbar aus der Reduction der Anemogramme erhaltenen Zahlen vorgenommen worden war, mussten die numerischen Coëfficienten hinterher auf absolutes Mass (Centimeter pro Secunde) reducirt werden, wozu ich den Factor  $34 \cdot 7$  verwendete.

Die Constanten des täglichen Ganges der Windgeschwindigkeit auf dem Sonnblickgipfel (Centimeter pro Secunde.  $x = 0$  für Mitternacht).

	$a_1$	$a_2$	$A_1$	$A_2$
Jänner.....	21	19	92°6	1°5
Februar.....	33	27	114·8	325·3
März.....	45	13	142·8	348·4
April.....	63	26	158·0	105·0
Mai.....	74	26	157·2	114·3
Juni.....	75	5	147·6	351·8
Juli.....	67	13	138·7	325·6
August.....	50	6	140·5	145·6
September.....	31	15	165·6	177·8
October.....	25	12	209·5	263·5
November.....	18	16	230·1	340·3
December.....	3	21	142·5	25·4
Jahr.....	38	6	149·9	15·9

Mittelst dieser Constanten wurde der tägliche Gang der Windgeschwindigkeit in den einzelnen Monaten berechnet und die Tabelle *B* erhalten.

B. Berechneter täglicher Gang der Windgeschwindigkeit auf dem Sonblickgipfel.  
Centimeter pro Secunde.

	Jänner	Febr.	März	April	Mai	Juni	Juli	August	Sept.	Octob.	Nov.	Decbr.	Jahr
Mitternacht	21	9	25	49	52	39	37	35	8	— 24	— 19	11	21
1 <sup>h</sup> a.	30	16	21	30	25	24	29	21	— 7	— 29	— 14	18	15
2	34*	24	16	4	7	7	19	5	— 21	— 29*	7	22*	6
3	33	29*	7	— 24	— 40	— 11	6	— 10	— 31	— 26	2	19	4
4	26	28	— 5	— 52	— 66	— 30	9	— 24	— 35	— 20	1*	11	— 15
5	14	21	— 19	— 72	— 84	— 47	26	— 35	— 35*	— 14	2	0	— 25
6	— 1	7	— 34	— 84	— 92*	— 63	43	— 42	— 30	— 10	6	12	— 34
7	— 16	— 12	— 46	— 84*	— 88	— 73	59	— 46	— 24	— 7	10	— 20	— 41
8	— 28	— 31	— 55	— 75	— 75	— 79*	72	— 46*	— 17	— 5	— 14*	— 24*	— 43*
9	— 35	— 48	— 58*	— 58	— 58	— 78	78*	— 44	— 11	— 5	— 14	— 22	— 42
10	— 35*	— 58	— 54	— 37	— 38	— 71	77	— 40	— 8	— 5	— 10	— 15	— 37
11	— 29	— 59*	— 45	— 15	— 19	— 58	68	— 35	— 7	— 4	— 2	— 4	— 29
Mittag	— 20	— 50	— 30	2	5	— 41	51	— 28	— 7	7	8	7	18
1 <sup>h</sup> p.	— 10	— 34	— 13	15	5	— 20	31	— 20	— 5	— 0	— 8	16	6
2	0	14	4	22	12	1	8	— 11	— 5	14	28	21*	5
3	5	6	19	24	18	22	15	— 1	0	23	34*	20	15
4	7*	22	30	26	25	39	34	11	8	30	33	13	22
5	5	32	37	28	33	54	49	23	19	34	27	3	28
6	0	34	39*	32	45	64	58	35	29	34*	17	7	31
7	— 4	30*	38	40	58	69	61*	45	38	29	5	— 15	32
8	— 6*	22	35	49	70	71*	61	52	43*	20	8	— 18*	33*
9	— 4	13	32	58	79	68	57	55*	42	8	— 17	— 16	31
10	— 2	7	29	62*	79*	61	51	53	35	— 5	— 22	— 9	29
11	11	6*	27	60	71	52	45	47	23	— 16	— 23*	1	26
Mittel	16	25	30	42	48	48	43	32	20	17	14	13	24

Die berechneten Werthe des täglichen Ganges lassen die jährliche Periode desselben schon etwas klarer zu Tage treten. Im Jahresmittel tritt das Minimum der Windstärke schon um 8<sup>h</sup> Morgens ein, das Maximum um 8<sup>h</sup> Abends. In den Wintermonaten liegt das Minimum näher dem Mittag, im Frühjahre tritt es zeitlich am Morgen ein, im Sommer wieder näher dem Mittag und im Herbst tritt es sogar noch in der Nacht (während der ersten Morgenstunden) ein. Im October und November nähert sich der tägliche Gang jenem in der Niederung, nur mit dem Unterschiede, dass das Maximum der Windstärke erst gegen Abend statt früh am Nachmittage eintritt. Freilich ist dann überhaupt der tägliche Gang sehr schwach entwickelt, was auch für den Winter gilt, wo doppelte Maxima und Minima auftreten.

Am grössten ist die Amplitude der täglichen Variation der Windstärke von März bis August inclusive, das Maximum der täglichen Variation tritt im Mai und Juni ein.

Bei den Unregelmässigkeiten, welche selbst der berechnete tägliche Gang der Windstärke auf dem Sonnblickgipfel noch in den Monatsmitteln zeigt, erscheint es zweckmässig, Mittel für die Jahreszeiten zu bilden und einer ähnlichen Berechnung zu unterwerfen. Ich habe deshalb die unmittelbar aus den Beobachtungen folgenden stündlichen Mittel der Windgeschwindigkeiten für die vier Jahreszeiten gebildet und nach der Bessel'schen Formel berechnet.

Die Gleichungen des täglichen Ganges der Windgeschwindigkeit für die Jahreszeiten sind ( $x = 0$  für Mitternacht, Centimeter pro Secunde):

$$\text{Winter} \dots\dots\dots 20 \cdot 1 \sin (106^\circ 4 + x) + 18 \cdot 9 \sin (2^\circ 8 + 2x)$$

$$\text{Frühling} \dots\dots\dots 56 \cdot 5 \sin (159 \cdot 0 + x) + 14 \cdot 4 \sin (98 \cdot 1 + 2x)$$

$$\text{Sommer} \dots\dots\dots 61 \cdot 6 \sin (135 \cdot 8 + x) + 7 \cdot 0 \sin (331 \cdot 0 + 2x)$$

$$\text{Herbst} \dots\dots\dots 21 \cdot 7 \sin (182 \cdot 4 + x) + 13 \cdot 9 \sin (268 \cdot 3 + 2x)$$

Mittelst dieser Formeln erhält man folgende stündliche Windgeschwindigkeiten:

## Windgeschwindigkeit auf dem Sonnblickgipfel.

	Winter	Frühling	Sommer	Herbst
Mitternacht.....	20	35	39	—15
1 <sup>h</sup> a.....	27	17	30	—19
2 .....	31*	— 3	19	—19*
3 .....	29	—25	5	—16
4 .....	21	—44	—10	—13
5 .....	8	—59	—26	— 9
6 .....	— 7	—67	—41	— 8
7 .....	—21	—68*	—54	— 8
8 .....	—31	—61	—63	—11
9 .....	—37*	—50	—68*	—14
10 .....	—35	—35	—66	—17
11 .....	—29	—20	—59	—16
Mittag.....	—18	— 6	—46	—13
1 <sup>h</sup> p.....	— 7	5	—30	— 6
2 .....	3	14	—11	4
3 .....	9	21	7	16
4 .....	11*	27	24	26
5 .....	9	32	38	33
6 .....	5	38	48	35*
7 .....	0	45	54	33
8 .....	— 2	50	56*	26
9 .....	— 1	54*	55	15
10 .....	4	53	52	3
11 .....	11	47	47	— 7

Im Winter erinnert der tägliche Gang der Windstärke auf dem Sonnblickgipfel an jenen, wie ich ihn für Sturmtage in Wien gefunden habe, im Herbst ist er jenem in der Niederung ähnlich. In diesen beiden Jahreszeiten ist aber der tägliche Gang überhaupt unregelmässig und schwach entwickelt (mittlere Ordinate 16 *cm*).

Im Frühling und Sommer ist die tägliche Variation mehr als doppelt so gross (mittlere Ordinate 36 und 39 *cm*) und das Minimum fällt dann auf 8<sup>h</sup> Vormittag im Mittel, das Maximum auf 9<sup>h</sup> Abend.



Wir stehen also jedenfalls der bemerkenswerthen Thatsache gegenüber, dass das Minimum der täglichen Windstärke auf dem Sonnblickgipfel nicht am Nachmittage und auch nicht um Mittag, sondern früh am Vormittage um 8<sup>h</sup> oder 9<sup>h</sup> eintritt. Würde die Ursache der Abschwächung der Windgeschwindigkeit bei Tage auf den Berggipfeln in Übereinstimmung mit der Espy-Köppen'schen Erklärung des täglichen Ganges der Windstärke an der Erdoberfläche in der Mischung der unteren und oberen Luftschichten infolge der täglichen Erwärmung und den dadurch hervorgerufenen aufsteigenden und niedersinkenden Bewegungen der Lufttheilchen zu suchen sein, so müsste das Minimum der Windstärke im täglichen Gange sich nach oben hin verspäten und könnte auf dem Sonnblickgipfel in 3100 *m* Seehöhe jedenfalls erst ziemlich spät am Nachmittage eintreten. Ich stimme der Espy-Köppen'schen Erklärung der täglichen Periode der Windstärke an der Erdoberfläche vollkommen bei, weil alle Thatsachen für dieselbe sprechen. Ihre unmittelbare Anwendung aber auf die Erklärung des umgekehrten täglichen Ganges der Windstärke auf den hohen Berggipfeln schien mir stets unzulässig, da die Wirkung der Mischung der unteren trägen Luftmassen mit den höheren rascher bewegten sich wohl nicht zu so grossen Höhen erstrecken kann. Seitdem wir aber nun wissen, dass selbst schon in 300 *m* Höhe das Minimum der Windstärke bei Tage eintritt, und dass die tägliche Periode der Windgeschwindigkeit, wie wir sie an der Erdoberfläche überall mit grösster Gleichmässigkeit beobachten, sich nicht einmal bis zu 200 *m* über die Erdoberfläche erstreckt, kann wohl nicht mehr die Rede davon sein, dass die Abnahme der Windstärke bei Tage auf den hohen Berggipfeln ein directer Ausfluss der Espy-Köppen'schen Theorie sei.

Die kaum 200 *m* mächtigen trägeren Luftmassen in der Nähe der Erdoberfläche können doch unmöglich die mindestens 2000—3000 *m* mächtigen Schichten über sich derart beeinflussen, wobei noch zu bedenken ist, dass die Amplitude der täglichen Variation der Windstärke auf den hohen Berggipfeln mindestens eben so gross oder selbst noch grösser ist als jene der täglichen Variation an der Erdoberfläche. Ginge die Ab-

schwächung der Windstärke bei Tage von unten aus, so müsste sie nach oben hin immer kleiner werden und würde wohl in relativ geringen Höhen kaum noch merklich sein, wobei der Eintritt des Minimums nach oben sich verspäten müsste. Die Thatsachen stehen mit diesen kaum abzuweisen- den Consequenzen der erwähnten Ansicht vollkommen in Widerspruch.

Man hat für die Abschwächung der Windstärke bei Tage auf den Berggipfeln auch eine andere Ursache angeführt, die manches für sich zu haben scheint und die auch mir stets recht wahrscheinlich erschienen ist. Es ist dies die Wirkung der an den Bergseiten aufsteigenden Luftbewegung bei Tage als eine Folge der Erwärmung der Thäler und Bergabhänge.

Die an den Berghängen tagsüber aufsteigenden Thalwinde könnten wohl auf den Berggipfeln eine Abschwächung der von einem horizontal gestellten Robinson'schen Schalenkreuz gemessenen Luftbewegungen hervorbringen. Wenn aber die tägliche Periode der Windgeschwindigkeit in erster Linie durch diese aufsteigenden Luftströmungen hervorgerufen würde, dann müsste wohl das Minimum der Windgeschwindigkeit im täglichen Gange auf den Nachmittag fallen, gerade so, wie die anderen aus diesem Vorgange stammenden meteorologischen Phänomene, so z. B. die Bewölkung, die Regen- und Gewitterbildung an den Gebirgen. Das frühe Eintreten des Minimums der Windstärke schon vor dem Mittag auf dem Sonnblickgipfel steht damit nicht in Übereinstimmung. Da wir keine stündlichen Schätzungen der Bewölkung haben, so will ich an Stelle derselben die Registrirungen des Sonnenscheins anführen, wobei natürlich zu beachten ist, dass der Gang der Bewölkung der umgekehrte von jenem der Häufigkeit des Sonnenscheins ist.

Zeit												
6/7	7/8	8/9	9/10	10/11	11/Mg.	0/1	1/2	2/3	3/4	4/5	5/6	
Dauer des Sonnenscheins (Frühling und Sommer)												
8·2	12·6	13·8	13·8	13·1	11·6	10·5	9·8	9·1	8·4	7·6	5·6	
Abweichungen der Windgeschwindigkeit (Centimeter pro Secunde)												
— 56	— 70	— 66	— 57	— 50	— 33	— 7	0	22	23	10	31	

Wenn die aufsteigende Luftbewegung die Hauptursache der Abschwächung der Windstärke bei Tage auf dem Sonnblickgipfel wäre, dann müsste diese aufsteigende Luftbewegung schon ziemlich früh am Morgen zwischen 7<sup>h</sup> und 9<sup>h</sup> ihr Maximum erreichen. Das ist nun an sich schon sehr unwahrscheinlich, wird aber auch direct widerlegt durch den täglichen Gang der Bewölkung. Gerade die Stunden, welche dem von dem Gange der Windstärke geforderten Maximum der aufsteigenden Luftbewegung folgen, d. i. 8<sup>h</sup> bis 10<sup>h</sup> Vormittag, haben die grösste Frequenz des Sonnenscheins, also die geringste Bewölkung aufzuweisen. Die aufsteigende Luftbewegung kann also nicht so früh am Vormittage ihr Maximum erreichen, wie dies ja auch dem Gange der täglichen Erwärmung widerspricht. Die Bewölkung nimmt Nachmittags sehr rasch zu, die Differenz in der Dauer des Sonnenscheins in den gleich weit von Mittag (eigentlich 11<sup>1/2</sup><sup>h</sup> a. m.) abstehenden Stunden ist

$$10\frac{1}{2}^h \text{ a.} - 0\frac{1}{2}^h \text{ p.} = 2\cdot6 \text{ Stunden,}$$

$$9\frac{1}{2}^h \text{ a.} - 1\frac{1}{2}^h \text{ p.} = 4\cdot0 \quad \text{»}$$

$$8\frac{1}{2}^h \text{ a.} - 2\frac{1}{2}^h \text{ p.} = 4\cdot7 \quad \text{»}$$

$$7\frac{1}{2}^h \text{ a.} - 3\frac{1}{2}^h \text{ p.} = 4\cdot2 \quad \text{»}$$

Die Bewölkung erreicht demnach erst um 2<sup>h</sup> bis 3<sup>h</sup> Nachmittag ihr Maximum, wie dies auch dem Gange der Erwärmung der Berghänge und der Stärke der Thalwinde vollkommen entspricht.

Wenn also die aufsteigenden Bergwinde die Hauptursache des täglichen Ganges der Windstärke auf den Berggipfeln wären, dann müsste das Minimum der Windstärke erst am Nachmittage nach 3<sup>h</sup> etwa eintreten, nicht aber schon am Vormittage.

Der tägliche Gang der Windstärke auf dem Sonnblickgipfel unterstützt demnach keineswegs die Annahme, dass es der aufsteigende Thalwind sei, welcher die Abschwächung der Windstärke daselbst hervorbringt.

Es muss wohl hervorgehoben werden, dass diese Annahme auch die Voraussetzung enthalten würde, dass der auf den Berggipfeln registrirte tägliche Gang der Windstärke nur eine locale Erscheinung sei, die in der freien Atmosphäre nicht zur

Beobachtung gelangen könnte, weil die aufsteigenden Winde ja nur den Gebirgen eigenthümlich sind.

Alle Erfahrungen und desgleichen alle rationellen Vorstellungen über den täglichen verticalen Luftaustausch in der Atmosphäre infolge des täglichen Ganges der Erwärmung widersprechen der Annahme, dass in der freien Atmosphäre bis zu Höhen von mehreren tausend Metern hinauf eine Mischung der unteren und oberen Luftschichten stattfinden könne.

Nachdem wir derart gefunden haben, dass die Registrirungen der Windgeschwindigkeit auf dem Sonnblickgipfel keiner der bisherigen Ansichten über die Ursache des täglichen Ganges der Windstärke auf den hohen Berggipfeln entsprechen, müssen wir nun aber auch der Tragweite dieser Beobachtungen uns versichern. Wir müssen zunächst untersuchen, ob nicht vielleicht der tägliche Gang der Windstärke auf dem Sonnblickgipfel durch Zufälligkeiten und ganz locale Verhältnisse derart modificirt wird, dass er weder für noch gegen die bisher aufgestellten Ansichten über die Ursache der täglichen Variation der Windgeschwindigkeit auf Berggipfeln geltend gemacht werden kann. Diese Untersuchung ist aber auf keinem anderen Wege zu führen, als dadurch, dass wir den täglichen Gang der Windstärke auf anderen hohen Berggipfeln wenigstens für die vier Jahreszeiten ableiten und nachsehen, in wie weit derselbe mit den für den Sonnblick gefundenen Resultaten übereinstimmt. Eine übersichtliche Darstellung des täglichen Ganges der Windstärke auf den Berggipfeln ist meines Wissens bisher überhaupt noch nicht versucht worden und darum dürften die nachfolgenden Zusammenstellungen, bei denen auf möglichst vollständige Vergleichbarkeit das grösste Gewicht gelegt worden ist, für alle ferneren Untersuchungen über die tägliche Variation der Windgeschwindigkeit auf Berggipfeln von einigem Nutzen sein.

Natürlich suchte ich zunächst den täglichen Gang der Windstärke auf dem Säntisgipfel mit jenem auf dem Sonnblick zu vergleichen, da letzterer nach Höhe und Lage, sowie infolge der günstigen Aufstellung des Anemometers das beste Vergleichsmaterial zu liefern versprach.

Herr Director R. Billwiler in Zürich hat mir mit grösster Zuvorkommenheit die monatlichen Stundenmittel der Wind-

stärke auf dem Säntis für die ganze Periode 1886—1893 handschriftlich zur Verfügung gestellt, wofür ich ihm grossen Dank schulde. Die mittleren stündlichen Windgeschwindigkeiten aus acht Jahrgängen abgeleitet, findet man, in Meter pro Secunde ausgedrückt, in der Tabelle IV des Anhangs zu dieser Abhandlung.

Es wurden auf Grund derselben die Abweichungen der Stundenmittel von den entsprechenden Monatsmitteln gebildet und diese hierauf, um einen regelmässigeren, die Haupterscheinungen klarer zum Ausdrucke bringenden Gang zu erhalten, nach dem Schema  $\frac{1}{3}(a+2b+c)$  ausgeglichen. Ich theile nun die derart ausgeglichenen Werthe hier mit, welche man in der folgenden Tabelle C zusammengestellt findet.

Man sieht, dass auch auf dem Säntis das Minimum der Windgeschwindigkeit am Vormittage eintritt, nicht Nachmittags, wie zu erwarten wäre, wenn dasselbe ein Resultat des verticalen Luftaustausches infolge der Erwärmung der untersten Schichten sein würde.

Von einer Verspätung gegenüber dem Maximum der Windgeschwindigkeit an der Erdoberfläche, das in Zürich im Sommer um  $2\frac{1}{2}^h$  Nachmittag eintritt, kann schon gar nicht die Rede sein. Nehmen wir für die Tagesstunden die mittleren Abweichungen der Monate Mai—August, so erhalten wir folgenden Gang der Windgeschwindigkeit:

Säntis (Mai—August) Centimeter pro Secunde

6/7	7/8	8/9	9/10	10/11	11/Mg.	0/1	1/2	2/3	3/4	4/5	5/6
—6	—26	—49	—70	—83*	—80	—67	—59	—50	—33	—14	+6

Das Minimum der Windstärke tritt also schon um  $10\frac{1}{2}^h$  oder um  $11^h$  Vormittag ein, und die Nachmittagsstunden haben schon wieder eine grössere Windgeschwindigkeit als die entsprechenden vom Mittag gleich weit abstehenden Vormittagsstunden.

Die Stärke des aufsteigenden Luftstromes, des aufsteigenden Thalwindes, hat auch auf dem Säntis sicherlich sein Maximum am Nachmittage, wie dies auch der tägliche Gang der Frequenz des Sonnenscheins, der jenem auf dem Sonnblickgipfel parallel verläuft, bezeugt. Nehmen wir diesmal die mittlere Häufigkeit

C. Sántis. Täglicher Gang der Windgeschwindigkeit  
in Abweichungen von den Monatsmitteln (ausgeglichen). Achtjährige Mittel. Centimeter pro Secunde.

	Jänner	Febr.	März	April	Mai	Juni	Juli	August	Sept.	Octob.	Nov.	Decbr.
12— 1 <sup>a</sup> a.	—	27	—	19	26	51*	76	69*	75	—	5	—
1— 2	—	29*	—	28	4	45	83*	67	76*	—	7	0
2— 3	—	24	—	32	—	45	78	59	69	—	8	15
3— 4	—	18	—	36	—	45	81	54	63	—	1	—
4— 5	—	14	—	40	—	32	63	41	48	—	7	36
5— 6	—	7	—	44*	—	9	21	28	34	—	10	—
6— 7	—	8	—	27	—	9	—	16	21	—	—	44*
7— 8	23	16	—	6	—	28	—	6	—	—	2	—
8— 9	25	—	5	—	—	48	85	—	—	5	12	43
9— 10	23	8	6	—	—	66	107	39	34	—	1	—
10— 11	25*	—	9	—	—	77*	—	65	52	—	12	30
11— Mittag	20	24*	13	—	46*	70	—	81*	60	—	2	18
0— 1	—	—	20	—	—	50	—	80	40	—	0	—
1— 2	—	7	—	13	—	36	—	67	71	—	7	19
2— 3	—	3	—	6	—	38	—	63	78*	—	—	25
3— 4	16	9	7	—	—	35	—	61	79	—	23	10
4— 5	16	21	20	—	—	32	—	51	67	—	—	9
5— 6	6	25*	30	—	—	15	—	34	56	—	—	45
6— 7	0	23	34*	12	—	0	—	9	—	—	5	66*
7— 8	4	18	27	30	28	20	31	8	46	—	11	53
8— 9	—	4	17	27	50	33	55	13	21	50*	11	39
9— 10	—	10	17	24	66	37	75	26	10	45	7	23
10— 11	—	3	7	35	71*	40	79	52	38	32	9	4
11— 12	—	8	9	49*	58	40	76	61	60	24	16*	7
11— 12	—	17	—	5	41	46	69	61	66	16	14	—
Mittel	·14	·12	·19	·30	·29	·38	·72	·46	·52	·20	·10	·25

einer Wolkenhaube auf dem Säntisgipfel, die ja auch zumeist durch die aufsteigende Luftbewegung hervorgerufen wird, als Index für denselben, so finden wir folgende Zahlen:

Mittlere Häufigkeit der Nebeltage auf dem Säntis.

Stunde.....	7 <sup>h</sup> a.	10 <sup>h</sup> a.	1 <sup>h</sup> p.	4 <sup>h</sup> p.	9 <sup>h</sup> p.
Tage .....	10·8	10·8	11·8	13·5	11·9

Nach diesen Mitteln (für Mai—September) tritt die grösste Nebelfrequenz um 4<sup>h</sup> Nachmittag ein, wie dies dem Gange der aufsteigenden Luftbewegung entspricht. Um 10<sup>h</sup> Vormittag, wo das Minimum der Windstärke eintritt, ist die Nebelfrequenz dem Minimum nahe.

Es scheint also auch nach den Registrirungen der Windstärke auf dem Säntisgipfel die tägliche Variation der Windgeschwindigkeit mit dem täglichen Gange der aufsteigenden Luftbewegung an den Berghängen in keinem engeren Connex zu stehen.

Da der tägliche Gang der Windstärke in den einzelnen Monatsmitteln selbst aus achtjährigen Registrirungen abgeleitet, noch vielfach unregelmässig verläuft, so habe ich (aus den noch nicht ausgeglichenen Zahlen) Jahreszeitenmittel gerechnet und auf diese die Bessel'sche Formel angewendet. Die auf diesem Wege mittelst zweij periodischen Gliedern erhaltenen Zahlenwerthe finden sich in der folgenden kleinen Tabelle zusammengestellt.

Im Winter ist die Amplitude der täglichen Variation der Windstärke klein (mittlere Ordinate 12 *cm*) und der tägliche Gang kommt jenem in der Niederung an der Erdoberfläche fast gleich. Im Frühling fällt das Minimum auf den Mittag, das Maximum auf 9<sup>h</sup> Abends (mittlere Ordinate 20 *cm*), im Sommer, wo der tägliche Gang mehr als viermal stärker auftritt, als im Winter (mittlere Ordinate 52 *cm*), tritt das Minimum schon um 11<sup>h</sup> ein und das Maximum um 1—2<sup>h</sup> Nachts. Im Herbst verspätet sich das Minimum bis 1<sup>h</sup> p. und der Gang verläuft dann jenem in der Niederung fast entgegengesetzt, aber er ist nur schwach entwickelt, wie im Winter (mittlere Ordinate 14 *cm*).

Die absoluten Werthe der Windgeschwindigkeit im Mittel der Jahreszeiten findet man im Anhang (Tabelle X).

Berechneter täglicher Gang der Windstärke auf dem  
Säntisgipfel (Centimeter pro Secunde).

	Winter	Frühling	Sommer	Herbst
Mitternacht.....	—10	21	66	14
1 <sup>h</sup> a.....	—14	10	69*	7
2 .....	—17	1	69	2
3 .....	—18*	— 6	63	0
4 .....	—17	—11	51	— 1
5 .....	—15	—13	33	— 1
6 .....	—14	—14	9	0
7 .....	—11	—14	—19	— 2
8 .....	—10	—15	—46	— 5
9 .....	— 7	—18	—70	—10
10 .....	— 5	—22	—87	—16
11 .....	— 2	—26	—95*	—23
Mittag.....	2	—29*	—93	—28
1 <sup>h</sup> p.....	6	—29	—83	—29*
2 .....	11	—25	—64	—26
3 .....	16	—17	—43	—19
4 .....	19	— 6	—20	— 9
5 .....	22*	8	1	3
6 .....	22*	21	19	14
7 .....	19	33	32	23
8 .....	15	39	42	29
9 .....	9	42*	49	29*
10 .....	3	39	56	27
11 .....	— 4	31	61	21

Bei diesen Resultaten angelangt, schien es mir nun von Interesse, den täglichen Gang der Windstärke in den einzelnen Jahreszeiten in allen Höhenstufen zu verfolgen, so weit dies die publicirten Stundenmittel der Windstärke auf Berggipfeln gestatten, wobei natürlich nur mehrjährige Mittelwerthe Verwendung finden konnten. Um den Vergleich durch alle Höhenstufen hindurch führen zu können, berechnete ich auch den täglichen Gang der Windstärke zu Paris und auf dem Eiffel-



thurme aus der Periode Juli 1889 bis inclusive December 1892 (Sommer somit bei beiden Stationen 11 Monate, Herbst 12, Winter 10, Frühling 9). Den Jahrgang 1892 verdanke ich Herrn Alfred Angot.

Zwischen Paris und Eiffelthurm schaltet sich noch die Gipfelstation Blue Hill ein, welche um 100 *m* niedriger ist, als jene auf dem Eiffelthurm, und nur 142 *m* über die umliegende Gegend sich erhebt. Wir haben also

Paris, Bureau Central. Anemometer 54 *m* über dem Meeresniveau, 21 *m* über dem Boden (Juli 1889 bis December 1892 inclusive);

Blue Hill. Anemometer Draper 203 *m* über dem Meere und circa 142 *m* über dem umgebenden Lande (9·5 *m* über dem Berggipfel). Fünfjährige Mittel 1886 bis 1890 inclusive;<sup>1</sup>

Eiffelthurm. Anemometer 338·5 *m* über dem Meere, 305 *m* über dem Boden.

Die Registrirungen zu Paris und auf dem Eiffelthurm sind derart reducirt worden, dass die zu der betreffenden Stunde gehörige momentane Windgeschwindigkeit den Anemogrammen entnommen wurde, und nicht ein mittlerer Werth für ein ganzes Stundenintervall, wie dies bei allen anderen Stationen der Fall ist. Nur auf dem Ben Nevis, wo die Windstärke stündlich geschätzt wird, gilt gleichfalls die Windstärke für die Stunde selbst und nicht für ein Stundenintervall.

Ben Nevis. Mittel der vier Jahre 1884—1887 inclusive. Windstärke geschätzt nach Beaufort's Scala. Durch sehr häufige Vergleichen der Schätzungen mit den Registrirungen konnte aber eine Reductionsscale aufgestellt werden, die für die mittleren Stärken ziemlich genau gelten dürfte. Ich habe, um eine leichtere Vergleichung der Amplituden zu ermöglichen, nach dieser Scale die geschätzten Stärken auf Meter pro Secunden reducirt. Eine strenge Vergleichbarkeit der Amplituden ist der Natur der Sache nach auch auf diesem Wege nicht zu erreichen. (Transactions Royal Soc. of Edinburgh, vol. XXXIV, Meteorology of Ben Nevis by Alex. Buchan.)

---

<sup>1</sup> Annals of the Astron. Observ. of Harvard College, vol. XXX. P. II, Cambridge 1891.

Obir. Mittel aus den fünf Jahren 1886—1890. Seither wurde das Anemometer günstiger und höher aufgestellt<sup>1</sup> und die mittlere Windgeschwindigkeit kommt nun grösser heraus. Das Mittel der fünf Jahre 1886—1890 ist  $14\cdot59\text{ km}$  pro Stunde, das Mittel des Jahres 1893 ist aber  $19\cdot92$ . Um auch die absoluten Windgeschwindigkeiten des Obir und die Amplituden der täglichen Variation mit den übrigen Stationen besser vergleichbar zu machen, habe ich die Mittel 1886—1890 auf die neue Aufstellung reducirt und dabei auf den Charakter des Jahres 1893 gegenüber dem Mittel 1886—1890 in Bezug auf Windstärke Rücksicht genommen, soweit die vorliegenden Messungen dies gestatteten.

Die Phasenzeiten des täglichen Ganges stimmen in der fünfjährigen Reihe mit jenen der einjährigen sehr nahe überein, aber die Amplituden der täglichen Variation ergeben sich nun viel grösser, wie folgender Vergleich zeigt.

Täglicher Gang der Windgeschwindigkeit auf dem Obirgipfel im Jahresmittel (Centimeter pro Secunde).

$$\begin{aligned} 1886-1890 & \dots\dots\dots 57 \sin (83\cdot6+x) + 20 \sin (205\cdot8+2x) \\ 1893 & \dots\dots\dots 91 \sin (88\cdot4+x) + 18 \sin (279\cdot0+2x). \end{aligned}$$

Das Minimum der Windgeschwindigkeit fällt in der neuen Reihe näher auf den Mittag, wie folgende Zusammenstellung zeigt.

Obir. Mittlere Windgeschwindigkeit.  
(Centimeter pro Secunde. Abweichungen vom Jahresmittel.)

	7/8	8/9	9/10	10/11	11/Mg.	0/1	1/2	2/3	3/4	4/5	5/6	6/7
1893 ....	8	—35	—58	—95	—105*	—99	—95	—83	—71	—60	—37	0
1886/90..	—1	—13	—28	—42	—54	—68	—73*	—65	—58	—43	—13	16

Wie viel von diesem Unterschied auf Rechnung des einen Jahres 1893 kommt, muss dahingestellt bleiben. Sicher ist nur, dass die tägliche Amplitude in der neuen freieren Aufstellung viel grösser ausfällt.

<sup>1</sup> Siehe diese Sitzungsber., B. CII, Abth. II. a. Juliheft 1893.

Säntis und Sonnblick wurden schon oben behandelt, auch Pikes Peak bedarf keines Commentars. Die Mittel sind jene der Jahre 1874—1887.<sup>1</sup>

Ich lasse nun den berechneten täglichen Gang der Windstärke für die vier Jahreszeiten folgen, damit man die Änderung im Eintritt des Minimums vom Winter zum Sommer oder anderseits etwa die Unabhängigkeit der Eintrittszeiten des Minimums von der Jahreszeit leichter zu überblicken vermag.

Berechneter täglicher Gang der Windstärke.

(Centimeter pro Secunde.)

a) Paris, Bureau Central, 21 m.

	Winter	Frühling	Sommer	Herbst
Mitternacht.....	—18	—56	—58	—27
1 <sup>h</sup> a.....	—20	—63	—64	—32
2 .....	—23	—69	—69	—38
3 .....	—27	—71*	—71*	—45
4 .....	—30	—70	—69	—50*
5 .....	—31*	—62	—61	—50
6 .....	—29	—49	—48	—43
7 .....	—23	—32	—30	—30
8 .....	—13	— 9	— 7	—11
9 .....	0	16	19	11
10 .....	15	40	44	34
11 .....	28	61	65	54
Mittag.....	38	77	81	66
1 <sup>h</sup> p.....	44	86	88*	70*
2 .....	45*	86*	87	66
3 .....	40	79	79	54
4 .....	31	67	64	38
5 .....	20	48	46	20
6 .....	9	28	25	4
7 .....	— 1	9	6	— 8
8 .....	— 9	— 8	—12	—16
9 .....	—13	—24	—27	—21
10 .....	—16	—37	—39	—22
11 .....	—17	—47	—49	—24

<sup>1</sup> Man vergl. Meteorolog. Zeitschrift, Bd. XXVI, 1891, S. 219.

Das Minimum der Windgeschwindigkeit tritt im Frühling und Sommer um 2 Stunden früher ein (schon um 3<sup>h</sup> Morgens) als im Winter; das Maximum fällt im Winter und Frühling auf die Zeit zwischen 1<sup>h</sup> und 2<sup>h</sup>, im Sommer etwas näher auf 1<sup>h</sup> und im Herbst auf 1<sup>h</sup>. Es sind dies die bekannten Eigenthümlichkeiten des täglichen Ganges der Windstärke an der Erdoberfläche.

## b) Eiffelthurm, 305 m.

	Winter	Frühling	Sommer	Herbst
Mitternacht.....	46	130*	138	98
1 <sup>h</sup> a.....	36	127	143*	88
2 .....	34*	116	132	78
3 .....	40	96	106	71
4 .....	52	69	67	64
5 .....	65	36	21	55
6 .....	72*	— 1	— 28	40
7 .....	68	— 39	— 71	17
8 .....	48	— 75	— 104	— 14
9 .....	15	— 106	— 124	— 52
10 .....	— 28	— 128	— 130*	— 92
11 .....	— 73	— 139	— 123	— 127
Mittag.....	— 112	— 141*	— 108	— 151
1 <sup>h</sup> p.....	— 137	— 131	— 89	— 161*
2 .....	— 142*	— 112	— 68	— 151
3 .....	— 127	— 85	— 50	— 125
4 .....	— 94	— 55	— 34	— 84
5 .....	— 51	— 21	— 19	— 36
6 .....	— 6	12	— 2	13
7 .....	33	43	17	56
8 .....	60	71	41	87
9 .....	72*	95	68	106
10 .....	60	113	96	112*
11 .....	59	125	121	108

Auf dem Eiffelthurme tritt das Maximum der Windstärke im Winter schon um 9<sup>h</sup> ein, im Frühling um Mitternacht, im

Sommer um 1<sup>h</sup> Morgens und im Herbst um 10<sup>h</sup> p. Das Minimum der Windstärke fällt im Winter auf 2<sup>h</sup> p.; zur selben Zeit erreicht an der Erdoberfläche die Windstärke ihr Maximum. Gegen den Sommer hin weicht aber die Eintrittszeit der kleinsten Windgeschwindigkeit immer mehr gegen den Vormittag zurück und fällt im Sommer auf 10<sup>h</sup> Vormittag, d. i. fast 4 Stunden früher als die Eintrittszeit des Maximums der Windstärke unten. Im Herbst fallen die entgegengesetzten Extreme oben und unten wieder auf die gleiche Stunde, d. i. auf 1<sup>h</sup> p. Der frühe Eintritt des Minimums der Windstärke auf dem Eiffelthurm im Sommer ist eine sehr bemerkenswerthe Thatsache.

Nach der Köppen-Espy'schen Theorie der Ursache des täglichen Ganges der Windstärke an der Erdoberfläche möchte man zunächst annehmen, dass das Minimum oben mit dem Maximum unten zugleich eintreten müsste.<sup>1</sup>

---

<sup>1</sup> Es dürfte auch von Interesse sein, die Unterschiede im täglichen Gange der Windgeschwindigkeiten zu Paris und auf dem Eiffelthurme kennen zu lernen. Die folgende Tabelle enthält die berechneten Werthe dieser Geschwindigkeitsdifferenzen; aber nicht die absoluten Differenzen, die ja stets positiv sein würden, wenn man Eiffelthurm—Paris nimmt, sondern die Differenzen der Abweichungen vom Tagesmittel, in denen also der mittlere Unterschied der Windstärke oben und unten schon eliminirt ist und nur die Unterschiede im täglichen Gange zu Tage treten.

Die Gleichungen, welche den Unterschied im täglichen Gange der Windstärke auf dem Eiffelthurme und zu Paris darstellen, sind:

Unterschied im täglichen Gange der Windstärke Eiffelthurm—Paris.  
( $x = 0$  für Mitternacht, Centimeter pro Secunde).

Winter. ....	131 sin (61°7'+ $x$ )+66 sin (220°9'+2 $x$ )
Frühling .....	205 sin (80°9'+ $x$ )+16 sin (275°4'+2 $x$ )
Sommer . ....	194 sin (82°9'+ $x$ )+24 sin ( 8°4'+2 $x$ )
Herbst .....	175 sin (77°8'+ $x$ )+56 sin (235°9'+2 $x$ )
Jahr .....	172 sin (77°3'+ $x$ )+29 sin (241°1'+2 $x$ )

Es ist nicht uninteressant, aus der nachstehenden Tabelle zu ersehen, dass die Extreme der Differenzen im täglichen Gange sehr nahe auf Mitternacht und Mittag, und zwar etwas nach diesen Stunden eintreten.

Es ist gerade dieser Erscheinung gegenüber von grossem Interesse, den täglichen Gang der Windgeschwindigkeit auf einer etwas niedrigeren Gipfelstation mit jenem auf dem Eiffelthurm zu vergleichen. Diesen Vergleich ermöglichen die Registrirungen an der Station des Herrn L. Rotch auf dem Blue Hill bei Boston.

Im Sommer, wo das Minimum der absoluten Windstärke auf dem Eiffelthurm schon um 10<sup>h</sup> Vormittag eintritt, tritt das Maximum des Gangunterschiedes oben und unten erst um 11<sup>1/2</sup><sup>h</sup> a., also nahe dem Mittage ein.

Unterschiede im täglichen Gange der Windgeschwindigkeit.  
Eiffelthurm—Paris (Centimeter pro Secunde).

	Winter	Frühling	Sommer	Herbst	Jahr
Mitternacht . . .	64	186	196	125	143
1 <sup>h</sup> a. . . . .	56	<b>190</b>	<b>207</b>	120	<b>148</b>
2 . . . . .	57	185	201	116	140
3 . . . . .	67	167	177	116	132
4 . . . . .	82	139	136	114	118
5 . . . . .	96	98	82	105	95
6 . . . . .	101	48	20	83	63
7 . . . . .	91	— 7	— 41	47	22
8 . . . . .	61	— 66	— 97	— 3	— 26
9 . . . . .	15	—122	—143	— 63	— 78
10 . . . . .	— 43	—168	—174	—126	—128
11 . . . . .	—101	—200	—188*	—181	—167
Mittag . . . . .	—150	—218*	—189*	—217	—193
1 <sup>h</sup> p. . . . .	—181	—217*	—177	—231*	—201*
2 . . . . .	—187*	—198	—155	—217	—189
3 . . . . .	—167	—164	—129	—179	—160
4 . . . . .	—125	—122	— 98	—122	—117
5 . . . . .	— 71	— 69	— 65	— 56	— 65
6 . . . . .	— 15	— 16	— 27	9	— 12
7 . . . . .	34	34	11	64	36
8 . . . . .	69	79	53	103	76
9 . . . . .	85	119	95	127	106
10 . . . . .	<b>96</b>	150	135	<b>184</b>	126
11 . . . . .	76	172	170	132	237
Mittel . . . . .	87	131	124	116	111

Blue Hill, circa 142 *m* relativ (203 *m* absolut).

	Winter	Frühling	Sommer	Herbst
Mitternacht . . . . .	— 1	—22	41 *	— 3
1 <sup>h</sup> a. . . . .	— 1 *	—19	40	— 2 *
2 . . . . .	— 3	—17	32	— 5
3 . . . . .	— 7	—20	17	— 9
4 . . . . .	—11	—27	— 2	—16
5 . . . . .	—14 *	—36	—23	—20 *
6 . . . . .	—14 *	—44	—41	—21
7 . . . . .	—11	—48 *	—52	—17
8 . . . . .	— 5	—46	—56 *	— 8
9 . . . . .	3	—36	—52	5
10 . . . . .	12	—18	—41	18
11 . . . . .	19	6	—25	31
Mittag . . . . .	23 *	31	— 9	38
1 <sup>h</sup> p. . . . .	23 *	53	4	40 *
2 . . . . .	20	68	13	35
3 . . . . .	13	73 *	16 *	24
4 . . . . .	5	68	15	11
5 . . . . .	— 2	55	11	— 2
6 . . . . .	— 8	35	9	—14
7 . . . . .	—11	14	8 *	—21
8 . . . . .	—12 *	— 4	11	—22 *
9 . . . . .	— 9	—17	19	—20
10 . . . . .	— 6	—24	28	—14
11 . . . . .	— 3	—25 *	37	— 8

Der tägliche Gang der Windgeschwindigkeit auf dem Blue Hill in einer mittleren Höhe zwischen der Erdoberfläche und dem Eiffelthurm (Paris 21 *m*, Blue Hill circa 142 *m*, Eiffelthurm 305 *m*) hat in der That ganz den Charakter des Überganges von den Verhältnissen unten zu jenen oben, wo die Umkehrung des täglichen Ganges schon complet ist.

Im Winter ist der tägliche Gang jenem an der Erdoberfläche ganz gleich. Vom Winter zum Sommer verspätet sich das Minimum von 5<sup>1</sup>/<sub>2</sub> <sup>h</sup> a. bis 8<sup>h</sup> a. auf dem Eiffelthurm bis 10<sup>h</sup> a.

Es findet also eine Art Fortschreiten des Minimums der Windgeschwindigkeit von unten nach oben statt. Das Anemometer<sup>1</sup> auf dem Thurm des Post Office in Boston, 58 *m* über dem Boden, zeigt den Eintritt des Minimums im Sommer um 5<sup>h</sup> a. an, drei Stunden später tritt das Minimum in 140 *m* über dem Boden oder 84 *m* höher ein, und fünf Stunden später in 300 *m* (wenn man Eiffelthurm damit vergleichen darf). Wir hätten somit beiläufig:

Eintritt des Morgenminimums in verschiedenen  
Höhen über dem Boden im Sommer

Höhe.....	21 <i>m</i>	58 <i>m</i>	140 <i>m</i>	300 <i>m</i>
Minimum .....	3 <sup>h</sup> a.	5 <sup>h</sup> a.	8 <sup>h</sup> a.	10 <sup>h</sup> a.

Dies scheint trefflich mit der Ansicht von Espy-Köppen übereinzustimmen. Der Einfluss der Erwärmung des Erdbodens und der dadurch bedingten aufsteigenden Luftbewegung und Luftmischung schreitet von unten nach oben fort und, natürlich im gleichen Sinne, die Hemmung der Windgeschwindigkeit in den etwas höheren Schichten über dem Erdboden, die eine Consequenz davon ist.

Auch der tägliche Gang des Dampfdruckes auf dem Eiffelthurm im Vergleich mit jenem an der Erdoberfläche scheint damit in guter Übereinstimmung zu stehen. Der Dampfdruck erreicht oben in 300 *m* wie unten um 9<sup>h</sup> das Hauptmaximum, nimmt aber von 10<sup>h</sup> an oben viel rascher ab als unten, was für das nun lebhafter eintretende Herabsinken der Luftschichten oberhalb 300 *m* gedeutet werden kann. Bis 9<sup>h</sup> bringt die von unten aufsteigende Luft einen Zuwachs von Wasserdampf, sobald die Reaction aber in höhere Schichten hinaufgreift und die Luftschichte in 300 *m* nun auch mit herabsinkender trockenerer Luft von oben gemischt wird, nimmt dann der Dampfdruck auf dem Eiffelthurm rasch ab.<sup>2</sup>

<sup>1</sup> Im Mittel derselben Jahre 1886—1890 wie für Blue Hill.

<sup>2</sup> Angot hat in den Comptes rendus der Pariser Akademie, t. CXVII (1893, II) p. 1076, die Stundenmittel des Dampfdruckes in den Sommern 1890 bis 1892 für die Station beim Bureau Central und oben auf dem Eiffelthurm mitgetheilt.



Würde die Reaction der unteren Schichten auf die oberen nur bis 300 *m* hinaufreichen, dann müsste das Maximum der Windgeschwindigkeit unten an der Erdoberfläche auch schon um 10<sup>h</sup> a. eintreten, während es in der That erst nach 1<sup>h</sup> p. eintritt. Wir müssen also im Sinne dieser Theorie annehmen, dass die Mischung noch höher hinaufreicht, wogegen auch keinerlei Thatsachen oder aus anderen Erscheinungen abgeleitete Deductionen sprechen, während der eben erwähnte tägliche Gang des Dampfdruckes sehr deutlich dafür spricht. Wohl aber sprechen die Erscheinungen und Überlegungen dagegen, diesen Einfluss der Mengung der unteren und oberen Luftschichten in Folge der steigenden Erwärmung des Bodens bei Tage bis zu sehr grossen Höhen, sagen wir viel über 1000 *m* hinaufreichen zu lassen. Das Phänomen des täglichen Ganges der Windstärke auf den Berggipfeln darf darum nicht schlechthin mit jenem auf dem Eiffelthurm gleichgestellt werden.

Sonderbar erscheint der Eintritt des Minimums der Windstärke im Winter. Man möchte im Verfolg der oben angeregten Gedanken wohl glauben annehmen zu dürfen, dass im Winter bei geringer Erwärmung des Bodens die Reaction der unteren Schichten auf die oberen nur bis zu geringen Höhen hinaufreicht, und auf die Luftschichte in der Höhe des Eiffelthurms nur mehr wenig Einfluss nehmen könnte.

Die Beobachtungen stimmen aber mit diesen naheliegenden Consequenzen gar nicht.

#### Eintritt des Minimums der Windstärke im Winter.

Höhe.....	21 <i>m</i>	58 <i>m</i>	140 <i>m</i>	300 <i>m</i>
Zeit.....	5 <sup>h</sup> a.	5 <sup>1</sup> / <sub>2</sub> a.	5 <sup>1</sup> / <sub>2</sub> a.	2 <sup>h</sup> p.

Wenn man nun auch annimmt, dass uns hier die eigentlichen streng vergleichbaren Zwischenglieder fehlen, und dass wegen der spät erst beginnenden Erwärmung des Bodens im Winter die Reaction der unteren Luftschichten auf die höheren erst um 2<sup>h</sup> das Niveau von 300 *m* erreicht, und darüber wohl nicht mehr hinausgeht, was sehr plausibel scheint, so ist es doch auffällig und mit diesen Deductionen scheinbar in Widerspruch stehend, dass die Abschwächung der Windgeschwindig-

keit in 300 *m* Seehöhe im Winter nach den Beobachtungen auf dem Eiffelthurm grösser ist als im Sommer, und dass einer Abnahme der Windstärke auf dem Eiffelthurm von 142 *cm* nur eine Zunahme unten von 45 *cm*, d. i. weniger als  $\frac{1}{3}$  gegenübersteht, und doch sollte angenähert Gewinn und Verlust gleich sein, wenn sich im Winter der Luftaustausch zwischen dem Erdboden und 300 *m* abspielt. Den absoluten Werthen der Amplituden der täglichen Variation ist allerdings eine strenge Vergleichbarkeit nicht zuzuschreiben. Die grössere Abschwächung der Windstärke im Winter könnte vielleicht gerade dadurch erklärt werden, dass dann von oben keine Luft herabsinkt und wieder einen Zuwachs von Geschwindigkeit bringt.

Kehren wir nun zur Betrachtung des täglichen Ganges der Windstärke auf dem Blue Hill zurück. Das Maximum der Windstärke tritt daselbst im Herbst, Winter und Frühling am Nachmittage ein, wie an der Erdoberfläche und zwar beziehungsweise um 1<sup>h</sup> p., 0<sup>1/2</sup> <sup>h</sup> p. und 3<sup>h</sup> p., also mit zunehmender Tageslänge verspätet. Im Sommer dagegen tritt das entschieden hervortretende Maximum um Mitternacht ein, also wie auf dem Eiffelthurm; es macht sich aber daneben noch ein secundäres Maximum um 3<sup>h</sup> p. bemerkbar, so dass selbst im Sommer der tägliche Gang der Windgeschwindigkeit in 140 *m* über dem Boden noch eine Zwischenstellung einnimmt, zwischen jenem an der Erdoberfläche und jenem in 300 *m* über derselben. Eine Zunahme der Windstärke in der Nacht ist übrigens auch im Herbst, im Winter und im Frühling angedeutet.

Die Beobachtungen auf dem Blue Hill zeigen uns die interessante Thatsache, dass im Sommer das Maximum der Windstärke bei Nacht mindestens bis zum Niveau von rund 150 *m* herabreicht. Wir dürften aber hier der unteren Grenze schon ziemlich nahe sein, denn es tritt daneben noch ein secundäres Maximum um 3<sup>h</sup> Nachmittag ein, welches durch die von oben herabsinkenden stärker bewegten Luftmassen bedingt wird. Auch in 60 *m* (Boston) über dem Boden tritt das Maximum, hier aber das einzige entwickelte Maximum, zwischen 3<sup>h</sup> und 4<sup>h</sup> p. ein (die Abweichung vom Tagesmittel ist +89 *cm* pro Secunde). Im Winter ist, wie schon bemerkt, der tägliche Gang der Windgeschwindigkeit auf dem Blue Hill in 142 *m* relativer und

203 *m* absoluter Höhe ganz gleich jenem an der Erdoberfläche. Auf einem schlanken Thurme von gleicher Höhe dürfte dies nicht der Fall sein. Die, wenn auch geringe Oberfläche des Berges genügt wohl im Winter, um den täglichen Gang der Windstärke ähnlich zu beeinflussen, wie die Erdoberfläche in den Niederungen selbst. Vielleicht bringen uns Anemometer auf Thürmen, wie z. B. jenes auf dem Strassburger Münster, eine nähere Aufklärung darüber.

Die vorstehende kleine Untersuchung scheint mir demnach zu dem Resultat zu führen, dass die Mengung der unteren und oberen Luftschichten in Folge der Erwärmung des Erdbodens bei Tage und der dadurch entstehenden aufsteigenden und niedersinkenden Luftbewegungen, wie sie Espy und Köppen zur Erklärung der täglichen Periode der Windstärke an der Erdoberfläche annehmen, in der That stattfindet und im Sommer in unserem Klima bis zu 800—1000 *m* etwa hinaufreicht, im Winter kaum über 300 *m*.

Nach den Ergebnissen nächtlicher wissenschaftlicher Ballonfahrten des Münchner Vereins für Luftschiffahrt können an ruhigen, warmen Sommertagen die unteren Luftschichten bis zu mindestens 900 *m* hinauf die adiabatische Temperaturvertheilung annehmen, d. h. die aufsteigende und niedersinkende Luftbewegung in Folge der Erhitzung des Bodens erstreckt sich bis zu dieser Höhe. Dies stimmt sehr gut mit den obigen Darlegungen.

Da die Windgeschwindigkeit von der Erdoberfläche nach oben hin anfangs sehr rasch und dann immer langsamer zunimmt, und der Werth dieser Zunahme nach den Örtlichkeiten natürlich recht verschieden sein wird, so ist a priori wohl kaum möglich zu bestimmten Annahmen darüber zu gelangen, zu welchen Zeitpunkten das Minimum der Windgeschwindigkeit in Folge dieses Luftaustausches in den verschiedenen Höhen eintreten dürfte.

Die vorhin mitgetheilten Registrirungen der Windgeschwindigkeit in 21 *m*, 58 *m*, 142 *m* und 300 *m* zeigen wenigstens im Allgemeinen das zeitliche Vorrücken des Eintrittes des Minimums nach oben, und damit das Fortschreiten des Eingriffes der unteren Schichten in dieser Richtung.

Zum Schlusse will ich die Gleichungen des täglichen Ganges der Windstärke für die verschiedenen Höhen hier zusammenstellen ( $x = 0$  für Mitternacht, Centimeter pro Secunde)

Höhe	Winter
21 m	$34 \sin (236 \cdot 5 + x) + 12 \sin (57 \cdot 0 + 2x)$
58 m	$41 \sin (247 \cdot 3 + x) + 19 \sin (89 \cdot 4 + 2x)$
142 m	$12 \sin (257 \cdot 1 + x) + 11 \sin (75 \cdot 2 + 2x)$
300 m	$116 \sin (86 \cdot 0 + x) + 15 \sin (233 \cdot 4 + 2x)$

	Sommer
21 m	$78 \sin (242 \cdot 2 + x) + 12 \sin (70 \cdot 1 + 2x)$
58 m	$68 \sin (239 \cdot 0 + x) + 25 \sin (53 \cdot 1 + 2x)$
142 m	$35 \sin (134 \cdot 0 + x) + 23 \sin (44 \cdot 2 + 2x)$
300 m	$124 \sin (95 \cdot 9 + x) + 32 \sin (28 \cdot 3 + 2x)$

Auch in diesen Gleichungen tritt das Fortschreiten der Phasenzeiten, deren Verspätung von unten nach oben sehr schön zu Tage.

Höhe	Jahr
21 m	$60 \sin (240 \cdot 5 + x) + 14 \sin (69 \cdot 3 + 2x)$
58 m	$69 \sin (243 \cdot 9 + x) + 23 \sin (54 \cdot 7 + 2x)$
142 m	$19 \sin (205 \cdot 5 + x) + 18 \sin (41 \cdot 9 + 2x)$
300 m	$116 \sin (86 \cdot 0 + x) + 16 \sin (233 \cdot 4 + 2x)$

Wir sind nun bei den Gipfelstationen angelangt, welche so viel Eigenthümliches im täglichen Gange der Windstärke zeigen, dass die Erklärung derselben grosse Schwierigkeiten macht.

Das Maximum der Windstärke tritt auf dem Ben Nevis das ganze Jahr bei Nacht ein, vom Herbst bis zum Frühling um 1<sup>h</sup>, im Sommer eigenthümlicher Weise erst um 3<sup>h</sup> Morgens. Es spielt da sicherlich die tägliche Periode der stürmischen Winde mit hinein, die von jener der ruhigen Tage, in der Niederung wenigstens, wesentlich abweicht, wie ich vor einiger Zeit ausführlicher gezeigt habe.<sup>1</sup>

<sup>1</sup> Hann, Einige Resultate der anemometrischen Aufzeichnungen in Wien 1873—1892. Diese Sitzungsber., Bd. CII, Abth. II. a. Februar 1893.

Ben Nevis, 1440 *m.*

	Winter	Frühling	Sommer	Herbst
Mitternacht . . . . .	46	58	52	52
1 <sup>h</sup> a. . . . .	52*	64*	62	57*
2 . . . . .	50	62	69	56
3 . . . . .	43	55	70*	49
4 . . . . .	31	42	65	36
5 . . . . .	17	28	55	20
6 . . . . .	6	15	40	4
7 . . . . .	— 3	4	24	—11
8 . . . . .	— 8	— 4	6	—22
9 . . . . .	— 9	—10	—10	—30
10 . . . . .	— 9	—15	—25	—33
11 . . . . .	— 9	—21	—38	—34*
Mittag . . . . .	—10	—26	—49	—33
1 <sup>h</sup> p. . . . .	—15	—35	—55	—32
2 . . . . .	—22	—44	—58	—31
3 . . . . .	—30	—53	—60*	—30
4 . . . . .	—38	—56*	—57	—30
5 . . . . .	—42*	—55	—52	—27
6 . . . . .	—41	—48	—44	—23
7 . . . . .	—34	—33	—32	—14
8 . . . . .	—21	—14	—17	— 3
9 . . . . .	— 3	8	0	11
10 . . . . .	16	30	18	27
11 . . . . .	33	48	36	41

Das Minimum der Windstärke tritt auf dem Ben Nevis, den Herbst ausgenommen, auffallend spät ein, im Winter erst um 5<sup>h</sup> Nachmittag, im Frühling um 4<sup>h</sup>, im Sommer um 3<sup>h</sup> p.; im Herbste aber schon um 11<sup>h</sup> Vormittags. Im Winter stehen die Epochen des Maximums und Minimums um 16 Stunden von einander ab, im Sommer nur um 12 Stunden. Von 8<sup>h</sup> Morgens bis 8<sup>h</sup> Abends inclusive ist die Windstärke auf dem Ben Nevis unter dem Mittel, die Maxima derselben sind dementsprechend stärker ausgeprägt als die Minima. Irgend welche theoretische Consequenzen vermag ich aus der täglichen Variation der Wind-

geschwindigkeit auf dem Ben Nevis nicht zu entwickeln. Vielleicht wäre in dieser Beziehung nur das Vorrücken der Epoche des Minimums vom Winter zum Sommer hervorzuheben.

Obir, 2140 *m.*

	Winter	Frühling	Sommer	Herbst
Mitternacht . . . . .	0	45	107 *	41
1 <sup>h</sup> a. . . . .	—13	37	101	36
2 . . . . .	—22	30	91	31
3 . . . . .	—25 *	25	79	28
4 . . . . .	—21	21	64	27
5 . . . . .	—14	19	48	26
6 . . . . .	— 7	16	29	23
7 . . . . .	0	11	5	16
8 . . . . .	1	1	— 20	6
9 . . . . .	— 3	—12	— 48	— 8
10 . . . . .	—10	—28	— 76	—26
11 . . . . .	—18	—44	—101	—44
Mittag . . . . .	—25	—58	—120	—59
1 <sup>h</sup> p. . . . .	—27 *	—67	—129 *	—69
2 . . . . .	—24	—68 *	—128 *	—70 *
3 . . . . .	—15	—61	—113	—63
4 . . . . .	0	—46	— 88	—47
5 . . . . .	16	—26	— 55	—28
6 . . . . .	27	— 2	— 15	— 6
7 . . . . .	42	19	22	15
8 . . . . .	45 *	37	56	32
9 . . . . .	42	48	81	43
10 . . . . .	31	52 *	98	47 *
11 . . . . .	16	51	106	46

Auf dem Obirgipfel tritt das Maximum der Windstärke schon frühzeitig ein, am Abend zwischen 8<sup>h</sup> und 10<sup>h</sup>, nur im Sommer verspätet sich dasselbe bis gegen Mitternacht. Das Minimum tritt das ganze Jahr hindurch zwischen 1<sup>h</sup> und 2<sup>h</sup> Nachmittag ein. Im Winter zeigt sich ein secundäres Minimum um 3<sup>h</sup> Morgens und ein nur wenig hervortretendes zweites

Maximum um 8<sup>h</sup> Vormittag. Die tägliche Periode ist dann überhaupt schwach entwickelt, dagegen sehr stark im Sommer (mittl. Ordinaten im Winter 18 *cm*, Frühling und Herbst 35 *cm*, Sommer 74 *cm*). In theoretischer Beziehung bietet auch der tägliche Gang der Windstärke auf dem Obirgipfel nichts Bemerkenswerthes. Er weicht recht wesentlich ab von jenem der beiden nächsten höheren Stationen, Säntis und Sonnblick, den ich schon früher besprochen habe, und der sich durch ein frühes Auftreten des täglichen Minimums der Windstärke auszeichnet.

Pikes Peak, 4308 *m*.

	Winter	Frühling	Sommer	Herbst
Mitternacht . . . . .	39	112	75	88
1 <sup>h</sup> a. . . . .	51	133	105	103
2 . . . . .	60	148	129	115
3 . . . . .	65 *	152 *	143 *	119 *
4 . . . . .	63	143	140	111
5 . . . . .	54	119	120	92
6 . . . . .	37	83	82	59
7 . . . . .	14	33	33	17
8 . . . . .	—11	— 20	— 20	— 30
9 . . . . .	—35	— 72	— 70	— 76
10 . . . . .	—55	—115	—108	—113
11 . . . . .	—67	—146	—131	—138
Mittag. . . . .	—71 *	—163 *	—136 *	—147 *
1 <sup>h</sup> p. . . . .	—67	—159	—127	—139
2 . . . . .	—57	—144	—106	—119
3 <sup>h</sup> p. . . . .	—43	— 120	— 80	— 90
4 . . . . .	—28	— 91	— 55	— 58
5 . . . . .	—16	— 61	— 35	— 27
6 . . . . .	— 5	— 32	— 21	— 1
7 . . . . .	2	— 7	— 12	19
8 . . . . .	8	17	— 4	35
9 . . . . .	13	40	7	47
10 . . . . .	20	63	24	60
11 . . . . .	29	87	47	73

In der neuen Reihe von Windregistrirungen auf dem Obirgipfel tritt aber, wenigstens im Mittel eines Jahres (1893), das Minimum der Windstärke zwei Stunden früher ein und der tägliche Gang nähert sich dadurch etwas jenem auf dem Säntis und Sonnblick.

Von allen hohen Gipfelstationen zeichnet sich die Station auf Pikes Peak durch den regelmässigsten und am stärksten ausgeprägten täglichen Gang der Windgeschwindigkeit aus. Das Maximum tritt das ganze Jahr hindurch um 3<sup>h</sup> Morgens auf, das Minimum dessgleichen um Mittag. Die Amplituden sind sehr gross, im Frühling ist der Unterschied zwischen Maximum und Minimum über 3·1 *m*, im Sommer 2·8 *m*, im Herbst 2·7 *m* (die mittleren Ordinaten sind: Winter 38 *cm*, Frühling 94 *cm*, Sommer 75 *cm*, Herbst 78 *cm*). Die Windstärke bleibt von 8<sup>h</sup> Morgens bis gegen 7<sup>h</sup> Abends unter dem Mittel. Damit haben wir die Darstellung des täglichen Ganges der Windstärke auf den einzelnen Berggipfeln abgeschlossen.

Nachdem wir aber derart jede Station für sich in Bezug auf die tägliche Periode und deren Modification nach den Jahreszeiten einer Betrachtung unterzogen haben, empfiehlt es sich nun auch nachzusehen, in welcher Weise zu jeder Jahreszeit die Änderung der täglichen Variation der Windstärke mit der Höhe vor sich geht, da möglicher Weise dabei einige bemerkenswerthe Thatsachen sich ergeben könnten, die sich für die Theorie von einigem Werthe erweisen.

Ich habe desshalb in den folgenden fünf Tabellen den täglichen Gang der Windgeschwindigkeit für jede einzelne Jahreszeit separat zusammengestellt mit Hilfe von Gipfelstationen und einer Station an der Erdoberfläche, als welche Paris genommen worden ist. Für die vier Jahreszeiten sind die berechneten Werthe eingesetzt, nur für das Jahr wurden die unmittelbar aus den Registrirungen sich ergebenden Mittelwerthe genommen, die desshalb auch, wie man sogleich bemerken wird, noch einige Unregelmässigkeiten aufweisen, die man aber nicht mehr zu unterdrücken braucht. Wenn eine regelmässige Verschiebung der Epochen des Eintrittes der Maxima und namentlich der Minima mit zunehmender Seehöhe stattfinden würde, so müsste dies in den folgenden Tabellen zu Tage treten.



**D. Täglicher Gang der Windgeschwindigkeit im Winter.**

Ort . . . . .	Paris	Blue Hill	Eiffelthurm	Ben Nevis	Obir	Säntis	Sonnblick	Pikes Peak
Höhe abs. . .	54	203	338	1443	2140	2500	3110	4310
Höhe rel. . . .	21	140	305	(1400)	(1600)	(2000)	(2500)	(2700)
Mitternacht	— 18	— 1*	46	46	0	— 10	20	39
1	— 20	— 1	36	52*	— 13	— 14	27	51
2	— 23	— 3	34*	50	— 22	— 17	31*	60
3	— 27	— 7	40	43	— 25*	— 18*	29	65*
4	— 30	— 11	52	31	— 21	— 17	21	63
5	— 31*	— 14*	65	17	— 14	— 15	8	54
6	— 29	— 14	72*	6	— 7	— 14	— 7	37
7	— 23	— 11	68	— 3	0	— 11	— 21	14
8	— 13	— 5	48	— 8	1	— 10	— 31	— 11
9	0	3	15	— 9	— 3	— 7	— 37*	— 35
10	15	12	— 28	— 9	— 10	— 5	— 35	— 55
11	28	19	— 73	— 9	— 18	— 2	— 29	— 67
Mittag	38	23	— 112	— 10	— 25	2	— 18	— 71*
1	44	23*	— 137	— 15	— 27*	6	— 7	— 67
2	45*	20	— 142*	— 22	— 24	11	3	— 57
3	40	13	— 127	— 30	— 15	16	9	— 43
4	31	5	— 94	— 38	0	19	11*	— 28
5	20	— 2	— 51	— 42*	16	22*	9	— 16
6	9	— 8	— 6	— 41	27	22*	5	— 5
7	— 1	— 11	33	— 34	42	19	0	2
8	— 9	— 12*	60	— 21	45*	15	— 2	8
9	— 13	— 9	72*	— 3	42	9	— 1	13
10	— 16	— 6	70	16	31	3	4	20
11	— 17	— 3	59	33	16	— 4	11	29
Mittel	·22	·10	·64	·24	·18	·12	·16	·38

**E. Täglicher Gang der Windgeschwindigkeit im  
Frühlinge.**

Ort .....	Paris	Blue Hill	Eiffel- thurm	Ben Nevis	Obir	Säntis	Sonn- blick	Pikes Peak
Höhe abs. ...	54	203	338	1443	2140	2500	3110	4310
Höhe rel. ...	21	140	305	(1440)	(1600)	(2000)	(2500)	(2700)
Mitternacht	— 56	— 22	130*	58	45	21	35	112
1	— 63	— 19	127	64*	37	10	17	133
2	— 69	— 17	116	62	30	1	— 3	148
3	— 71*	— 20	96	55	25	— 6	— 25	152*
4	— 70	— 27	69	42	21	— 11	— 44	143
5	— 62	— 36	36	28	19	— 13	— 59	119
6	— 49	— 44	— 1	15	16	— 14	— 67	83
7	— 32	— 48*	— 39	4	11	— 14	— 68*	33
8	— 9	— 46	— 75	— 4	1	— 15	— 61	— 20
9	16	— 36	— 106	— 10	— 12	— 18	— 50	— 72
10	40	— 18	— 128	— 15	— 28	— 22	— 35	— 115
11	61	6	— 139	— 21	— 44	— 26	— 20	— 146
Mittag	77	31	— 141*	— 26	— 58	— 29*	— 6	— 163*
1	86	53	— 131	— 35	— 67	— 29*	5	— 159
2	86*	68	— 112	— 44	— 68*	— 25	14	— 144
3	79	73*	— 85	— 53	— 61	— 17	21	— 120
4	67	68	— 55	— 56*	— 46	— 6	27	— 91
5	48	55	— 21	— 55	— 26	8	32	— 61
6	28	35	12	— 48	— 2	21	38	— 32
7	9	14	43	— 33	19	33	45	— 7
8	— 8	— 4	71	— 14	37	39	50	17
9	— 24	— 17	95	8	48	42*	54*	40
10	— 37	— 24	113	30	52*	39	53	63
11	— 47	— 25	125	48	51	31	47	87
Mittel	50	34	86	34	34	20	36	94

F. Täglicher Gang der Windgeschwindigkeit im Sommer.

Ort .....	Paris	Blue Hill	Eiffelthurm	Ben Nevis	Obir	Säntis	Sonnblick	Pikes Peak
Höhe abs. ..	54	203	338	1443	2140	2500	3110	4310
Höhe rel. ...	21	140	305	(1440)	(1600)	(2000)	(2500)	(2700)
Mitternacht	— 58	41*	138	52	107*	66	39	75
1	— 64	40	143*	62	101	69*	30	105
2	— 69	32	132	69	91	69	19	129
3	— 71*	17	106	70*	79	63	5	143*
4	— 69	— 2	67	65	64	51	— 10	140
5	— 61	— 23	21	55	48	33	— 26	120
6	— 48	— 41	— 28	40	29	9	— 41	82
7	— 30	— 52	— 71	24	5	— 19	— 54	33
8	— 7	— 56*	— 104	6	— 20	— 46	— 63	— 20
9	19	— 52	— 124	— 10	— 48	— 70	— 68*	— 70
10	44	— 41	— 130*	— 25	— 76	— 87	— 66	— 108
11	65	— 25	— 123	— 38	— 101	— 95*	— 59	— 131
Mittag	81	— 9	— 108	— 49	— 120	— 93	— 46	— 136*
1	88*	4	— 89	— 55	— 129*	— 83	— 30	— 127
2	87	13	— 68	— 58	— 128	— 64	— 11	— 106
3	79	16	— 50	— 60*	— 113	— 43	7	— 80
4	64	15	— 34	— 57	— 88	— 20	24	— 55
5	46	11	— 19	— 52	— 55	1	38	— 35
6	25	9	— 2	— 44	— 15	19	48	— 21
7	6	8	17	— 32	22	32	54	— 12
8	— 12	11	41	— 17	56	42	56*	— 4
9	— 27	19	68	0	81	49	55	7
10	— 39	28	96	18	98	56	52	24
11	— 49	37	121	36	106	61	47	47
Mittel	50	25	79	41	74	52	39	75

## G. Täglicher Gang der Windgeschwindigkeit im Herbst.

Ort .....	Paris	Blue Hill	Eiffelthurm	Ben Nevis	Obir	Säntis	Sonnblick	Pikes Peak
Höhe abs. ...	54	203	338	1443	2140	2500	3110	4310
Höhe rel. ...	21	140	305	(1440)	(1600)	(2000)	(2500)	(2700)
Mitternacht	— 27	— 3	98	52	41	14	— 15	88
1	— 32	— 2*	88	57*	36	7	— 19	103
2	— 38	— 5	78	56	31	2	— 19*	115
3	— 45	— 9	71	49	28	0	— 16	119*
4	— 50*	— 16	64	36	27	— 1	— 13	111
5	— 50	— 20	55	20	26	— 1	— 9	92
6	— 43	— 21*	40	4	23	0	— 8	59
7	— 30	— 17	17	— 11	16	— 2	— 8	17
8	— 11	— 8	— 14	— 22	6	— 5	— 11	— 30
9	11	5	— 52	— 30	— 8	— 10	— 14	— 76
10	34	18	— 92	— 33	— 26	— 16	— 17*	— 113
11	54	31	— 127	— 34*	— 44	— 23	— 16	— 138
Mittag	66	38	— 151	— 33	— 59	— 28	— 13	— 147*
1	70*	40*	— 161*	— 32	— 69	— 29*	— 6	— 139
2	66	35	— 151	— 31	— 70*	— 26	4	— 119
3	54	24	— 125	— 30	— 63	— 19	16	— 90
4	38	11	— 84	— 30	— 47	— 9	26	— 58
5	20	— 2	— 36	— 27	— 28	3	33	— 27
6	4	— 14	13	— 23	— 6	14	35*	— 1
7	— 8	— 21	56	— 14	15	23	33	19
8	— 16	— 22*	87	— 3	32	29	26	35
9	— 21	— 20	106	11	43	29*	15	47
10	— 22	— 14	112*	27	47*	27	3	60
11	— 24	— 8	108	41	46	21	— 7	73
Mittel	35	17	83	29	35	14	16	78

*H. Täglicher Gang der Windgeschwindigkeit im  
Jahresmittel (Centimeter pro Secunde).*

Ort . . . . .	Paris	Blue Hill	Eiffel- thurm	Ben Nevis	Obir	Säntis	Sonn- blick	Pikes Peak
Höhe abs. . .	54	203	338	1443	2140	2500	3110	4310
Höhe rel. . .	21	140	305	(1440)	(1600)	(2000)	(2500)	(2700)
Mitternacht	— 39	11	100	47	42	29	20	99
1	— 45	— 7	84	47	38	23	— 2	98
2	— 50	— 4	76	59	30	9	6	109
3	— 51	— 9	75	70*	25	20	— 10	114*
4	— 52*	— 15	63	66	26	1	— 13	101
5	— 49	— 20	57	0	20	— 2	— 20	81
6	— 46	— 26	38	10	11	— 12	— 32	60
7	— 31	— 41*	6	7	— 1	— 3	— 46	7
8	— 11	— 27	— 49	— 6	— 13	— 24	— 47*	— 38
9	10	— 7	— 90	— 3	— 28	— 31	— 38	— 79
10	38	— 5	— 106	— 18	— 42	— 41*	— 42	— 118
11	55	4	— 115	— 24	— 54	— 39	— 28	— 142*
Mittag	65	33	— 112*	— 37	— 68	— 33	— 1	— 124
1	69	34	— 115	— 44*	— 73*	— 34	2	— 107
2	70*	41*	— 109	— 44	— 65	— 36	19	— 87
3	57	40	— 96	— 29	— 58	— 10	18	— 64
4	53	14	— 69	— 28	— 43	4	6	— 53
5	39	— 3	— 44	— 54*	— 13	12	28	— 37
6	19	— 13	— 8	— 48	16	26	23	— 6
7	— 2	3	30	— 45	44	26	45*	5
8	— 14	— 4	76	— 2	56	25	29	24
9	— 19	1	97	16	55*	37*	30	43
10	— 29	— 5	106	21	48	33	32	54
11	— 36	— 2	110*	34	49	24	21	69
Mittel	40	15	76	32	38	22	23	72

Indem wir diese Tabellen einer Discussion unterziehen, wollen wir uns dabei auf die höheren Gipfelstationen beschränken, da wir den Verlauf der täglichen Periode in den unteren Schichten bis zu 300 *m* hinauf schon eingehender behandelt haben.

Wir glaubten aber die Zahlenwerthe des täglichen Ganges für diese unteren Schichten in die synoptischen Tabellen doch aufnehmen zu müssen, da der Eiffelthurm das ganze Jahr hindurch, Blue Hill wenigstens im Sommer sich den hohen Schichten in Bezug auf den täglichen Gang anschliesst und man derart mit einem Blicke ersehen kann, dass dann von 140 *m* (relativ) bis zu 4300 *m* hinauf der tägliche Gang der Windstärke nahezu der gleiche ist, und nur die dem Boden nächsten Luftschichten den umgekehrten Gang zeigen. Man sieht da auch gleich, dass es nicht angeht, den täglichen Gang in den hohen oberen Schichten als das Ergebniss der Reaction der unteren Schichten auf dieselben zu betrachten, weil Ursache und Wirkung in einem schreienden Widerspruche stehen würden.

Im Allgemeinen bemerkt man zunächst in diesen Tabellen, dass je zwei oder drei Stationen mit einander übereinstimmen, während die übrigen von denselben abweichen. Es müssen also die localen Verhältnisse von grossem Einflusse sein. Nur im Sommer ist die Übereinstimmung aller fünf Gipfelstationen über 1400 *m* eine recht befriedigende.

Wir wollen desshalb auch darauf verzichten, die Tabellen im Einzelnen durchzugehen. Um nun aber doch zu einigen allgemeineren Sätzen in Bezug auf den täglichen Gang der Windgeschwindigkeit in den höheren Schichten der Atmosphäre zu gelangen, haben wir uns erlaubt, Mittelwerthe zu bilden für das Höhenintervall Ben Nevis bis Pikes Peak inclusive, d. i. für die Höhenschicht von 1400 *m* bis 4300 *m*. Da die absoluten Windgeschwindigkeiten und damit auch die Grösse der Abweichungen vom Mittel nicht strenge vergleichbar sind, können allerdings diese Mittelwerthe keine grössere Bedeutung beanspruchen. Sie mögen nur dazu dienen, Fingerzeige dafür zu geben, wie im Allgemeinen die tägliche Variation der Windstärke in diesen hohen Regionen vor sich geht.

Im Folgenden soll in diesem Sinne eine Übersicht über den täglichen Gang der Windgeschwindigkeit in den höheren Regionen der Atmosphäre gegeben werden.

#### Täglicher Gang im Winter (1400—4300 *m*).

Stunde . .	0	1	2	3	4	5	6	7	8	9	10	11
Vorm. . . .	19	21*	20	19	15	10	3	-4	-14	-18	-23	-25*
Nachm. . .	-25	-22	-18	-13	-7	-2	2	6	9	12	15	17

Mittlere Ordinate 14 *cm*, Amplitude 46 *cm*. Das Maximum tritt zwischen 1<sup>h</sup> und 2<sup>h</sup> Morgens ein, das Minimum zwischen 11<sup>h</sup> und Mittag, fällt also noch auf den Vormittag.

#### Täglicher Gang im Frühlinge (1400—4300 *m*).

Stunde . .	0	1	2	3	4	5	6	7	8	9	10	11
Vorm. . . .	54*	52	48	40	30	19	7	-7	-20	-32	-43	-51
Nachm. . .	-56	-57*	-53	-46	-34	-20	-5	11	26	38	47	53

Mittlere Ordinate 35 *cm*, Amplitude 110 *cm*. Das Maximum tritt um Mitternacht ein, das Minimum kurz vor 1<sup>h</sup> Nachmittag.

#### Täglicher Gang im Sommer (1400—4300 *m*).

Stunde . .	0	1	2	3	4	5	6	7	8	9	10	11
Vorm. . . .	68	73	75*	72	62	46	24	-2	-29	-53	-72	-85
Nachm. . .	-89*	-85	-73	-58	-39	-21	-3	13	27	38	50	59

Mittlere Ordinate 51 *cm*, Amplitude 164 *cm*. Das Maximum tritt um 2<sup>h</sup> Morgens ein, das Minimum fällt genau auf den Mittag.

Im Sommer ist der tägliche Gang der Windstärke durch das ganze Höhenintervall von 300 *m* bis 4300 *m* sehr gleichförmig und ein Mittelwerth für diese ganze Höhenschicht hat desshalb reelle Bedeutung.

Stellen wir die Gleichungen des täglichen Ganges für diese Jahreszeit in den verschiedenen Höhen zusammen, so erhalten wir:

Constanten des täglichen Ganges im Sommer<sup>1</sup>  
(Centimeter pro Sekunden).

Höhe	$x = 0$ für $11\frac{1}{2}^h$ p.				$x = 0$ für Mitternacht			
	$p_1$	$q_1$	$p_2$	$q_2$	$A_1$	$A_2$	$a_1$	$a_2$
300 <i>m</i> .. 120	—29	7	31	96	28	124	32	
1440 .. 43	48	0	5	50	17	65	5	
2140 .. 110	36	— 2	—18	79	202	115	18	
2500 .. 80	6	—15	6	94	292	80	17	
3100 .. 48	—39	— 5	5	136	331	62	7	
4300 .. 99	64	—38	22	64	316	118	44	
Mittel ... 83	14	— 9	8·5	87·8	328·4	84·5	12·4	

Für den Sommer gilt demnach von 300 *m* bis 4300 *m* sehr angenähert die Gleichung

$$84\cdot5 \sin (87\cdot8+x) + 12\cdot4 \sin (328\cdot4+2x).$$

In einer mittleren relativen Höhe von 1750 *m* circa dürfte hiernach das Minimum der Windgeschwindigkeit im Sommer noch am Vormittage zwischen 11<sup>h</sup> und Mittag eintreten, denn die Abweichungen vom Tagesmittel sind:

Täglicher Gang im Sommer (1750 *m*).

Stunde .....	9	10	11	Mittag	1	2	3 p.
Centimeter .....	—65	—82	—91*	—92*	—85	—73	—56

Im Herbste wird der tägliche Gang in den verschiedenen Höhenstufen wieder viel unregelmässiger und es ist namentlich der Sonnblick, der am meisten von den übrigen Stationen abweicht. Soweit die Mittelbildung für diese Jahreszeit gestattet sein mag, erhält man folgenden Gang:

<sup>1</sup> Die Werthe von  $A_1$  und  $A_2$  und  $a_1$  und  $a_2$  sind mit den noch nicht abgerundeten Werthen von  $p$  und  $q$  gerechnet.



Täglicher Gang im Herbste (1400—4300 *m*).

Stunde ..	0	1	2	3	4	5	6	7	8	9	10	11
Vorm....	36	35	37*	36	32	26	16	2	-12	-28	-41	-51
Nachm. .	-56*	-55	-48	-39	-24	-9	4	15	24	29	33	35

Mittlere Ordinate 30 *cm*, Amplitude 93 *cm*. Das Maximum tritt um 2<sup>h</sup> Morgens ein, das Minimum um Mittag. Der tägliche Gang im Herbste stimmt (im Mittel) mit jenem im Sommer überein.

Täglicher Gang im Jahresmittel (1400—4300 *m*).

Stunde ..	0	1	2	3	4	5	6	7	8	9	10	11
Vorm....	47*	41	43	44*	36	16	7	-7	-26	-36	-52	-57*
Nachm. .	-53	-51	-43	-29	-23	-13	2	15	26	36	38	39

Mittlere Ordinate 32 *cm*, Amplitude 104 *cm*. Das Maximum tritt im Jahresmittel bald nach Mitternacht ein. Der nicht ausgeglichene Gang zeigt in der Nacht noch einige Unregelmässigkeiten. Aber auch nach der gewöhnlichen Ausgleichung fällt das Maximum zwischen Mitternacht und 1<sup>h</sup> a. Das Minimum der Windgeschwindigkeit tritt im Jahresmittel und im Durchschnitt aus allen Stationen um 11<sup>h</sup> Vormittag ein.

Da die Epoche des Eintrittes des Minimums der täglichen Windgeschwindigkeit für die Theorie das grösste Interesse hat, so wollen wir recapitulirend constatiren, dass, den Frühling ausgenommen, dasselbe im Mittel aller Stationen in allen übrigen Jahreszeiten schon vor dem Mittage eintritt und dass dies auch für das Mittel des ganzen Jahres gilt.

Wir wollen nun zum Schlusse hier noch die Constanten der Gleichungen zusammenstellen, welche zur Berechnung der Abweichungen der Stundenmittel von den Monatsmitteln in den Tabellen *D*, *E*, *F*, *G* gedient haben. Die Abweichungen im Mittel des Jahres (Tabelle *H*) sind ohne irgend eine Ausgleichung geblieben.

Die Constanten des täglichen Ganges der Windgeschwindigkeit (Centimeter pro Secunde).

	$p_1$	$q_1$	$p_2$	$q_2$	$A_1$	$A_2$	$a_1$	$a_2$
Paris, Bureau Central								
Winter . . . . .	-28	-19	+10	+ 7	236.5	57.0	34	12
Frühling . . .	-67	-39	+11	+ 4	239.8	69.2	77	11
Sommer . . . .	-69	-37	+12	+ 4	242.0	70.1	78	12
Herbst . . . . .	-46	-24	+20	+ 5	242.8	77.1	52	20
Jahr . . . . .	-52.5	-29.7	+13.2	+ 5.0	240.5	69.3	60.3	14.1
Eiffelthurm								
Winter . . . . .	+ 79	+39	-33	-43	63.7	217.4	88	55
Frühling . . .	+135	- 7	- 5	+ 5	92.8	316.1	135	8
Sommer . . . .	+123	-13	+15	+28	95.9	28.3	124	32
Herbst . . . . .	+125	+13	-27	-27	83.9	224.7	126	38
Jahr . . . . .	+115.5	+ 8.0	-12.5	- 9.2	86.0	233.4	115.8	15.5
Blue Hill <sup>1</sup>								
Winter . . . . .	-11	- 4	+10	+ 6	257.1	75.2	12	11
Frühling . . .	-21	-43	- 3	+27	213.7	9.5	48	27
Sommer . . . .	+28	-21	+11	+20	134.0	44.2	35	23
Herbst . . . . .	-20	- 6	+15	+12	260.4	66.7	21	19
Jahr . . . . .	- 6.0	-18.5	+ 8.2	+16.2	205.5	41.9	19.4	18.2
Ben Nevis								
Winter . . . . .	+28	+24	+18	+ 6	49.9	70.8	37	19
Frühling . . .	+42	+33	+16	+ 1	51.6	86.1	54	16
Sommer . . . .	+49	+42	+ 2	+ 5	49.6	17.4	65	5
Herbst . . . . .	+43	+13	+ 9	+ 9	72.6	45.3	45	13
Jahr . . . . .	+40.5	+28.0	+11.3	+ 5.2	55.3	65.2	49.2	12.4

<sup>1</sup> Die  $p$  und  $q$  für  $x = 0$  für  $11\frac{1}{2}^h$  p., die Winkelconstanten für  $x = 0$  um Mitternacht.

	$p_1$	$q_1$	$p_2$	$q_2$	$A_1$	$A_2$	$a_1$	$a_2$
Obir* <sup>1</sup>								
Winter . . . . .	+ 14	— 17	— 7	— 22	147·4	212·2	22	23
Frühling . . . .	+ 50	+ 16	— 2	— 19	79·8	200·6	52	19
Sommer . . . . .	+ 110	+ 36	— 2	— 18	79·1	202·3	115	18
Herbst . . . . .	+ 48	+ 20	— 4	— 19	74·6	207·7	52	19
Jahr . . . . .	+ 55·5	+ 13·7	— 3·7	— 19·5	83·6	205·8	57·2	19·9
Obir* 1893 (neue Aufstellung)								
Jahr . . . . .	+ 90	+ 14	— 18	— 2	88·4	279·0	91	18
Säntis*								
Winter . . . . .	— 3	— 18	— 4	— 2	198·2	257·8	19	4
Frühling . . . .	+ 27	— 14	— 1	— 12	124·9	197·8	30	12
Sommer . . . . .	+ 80	+ 6	— 15	+ 6	93·6	291·9	80	17
Herbst . . . . .	+ 21	— 4	— 4	— 11	109·4	215·2	22	12
Jahr . . . . .	+ 31·2	— 7·5	— 6·0	— 4·7	111·0	246·9	32·1	7·6
Sonnblick*								
Winter . . . . .	+ 20	— 3	— 4	+ 19	106·4	2·8	20	19
Frühling . . . .	+ 27	— 50	+ 14	+ 2	159·0	81·9	56	14
Sommer . . . . .	+ 48	— 39	— 5	+ 5	135·8	331·0	62	7
Herbst . . . . .	+ 2	— 22	— 13	— 4	182·4	268·3	22	14
Jahr . . . . .	+ 24·2	— 28·5	— 2·0	+ 5·5	147·2	355·0	37·4	5·8

<sup>1</sup> Bei den mit \* versehenen Stationen ist für die  $p$  und  $q$  die Zeit von 11 $\frac{1}{2}$ <sup>h</sup> p. an gezählt (Stundenintervall 11<sup>h</sup> bis Mitternacht), die Winkelconstanten sind aber auf die Zählung von Mitternacht an reducirt. Bei den übrigen Stationen gelten auch die  $p$  und  $q$  für  $x = 0$  um Mitternacht.

	$p_1$	$q_1$	$p_2$	$q_2$	$A_1$	$A_2$	$a_1$	$a_2$
	Pikes Peak*							
Winter . . . . .	+ 52	+28	-18	+ 7	69·3	305·2	59	19
Frühling . . . .	+127	+74	-28	+ 9	67·2	303·1	147	29
Sommer . . . . .	+ 99	+64	-38	+22	64·0	315·6	118	44
Herbst . . . . .	+112	+45	-33	- 2	75·6	281·3	121	33
Jahr . . . . .	+97·5	+52·7	-29·2	+ 9·0	69·1	302·1	110·9	31·3

Wenn wir uns jetzt fragen, inwieweit die im Vorstehenden eingehend discutirten Beobachtungsergebnisse über die tägliche Periode der Windstärke auf den Berggipfeln von 1400 *m* bis zu 4300 *m* Seehöhe einen bestimmten Hinweis enthalten auf die derselben zu Grunde liegenden Ursachen, so müssen wir bekennen, dass wir einen solchen nicht haben finden können. Die Aussagen der vorstehenden Tabellen verhalten sich im Gegentheile negativ gegenüber den bisher geäußerten Ansichten über die Ursache der Erscheinung.

Der frühe Eintritt des Minimums der täglichen Windstärke spricht nach meinem Dafürhalten entschieden gegen die Annahme, dass es die an den Bergseiten aufsteigenden Thalwinde sind, welche die Abnahme der Windgeschwindigkeit bei Tage auf den Berggipfeln bewirken.

Es ist ferner auch die Ansicht ausgesprochen worden, dass infolge der täglichen Wanderung des Maximums der Erwärmung von Osten nach Westen in der Höhe ein wenn auch geringer, in gleicher Richtung wandernder Gradient entsteht, der in der Höhe eine Tendenz zu Ostwinden am Vormittage und eine Tendenz zu Westwinden am Nachmittage zur Folge hat. Die Ostwinde müssten hiernach das Maximum ihrer Stärke am Vormittage haben, die Westwinde am Nachmittage. In ähnlicher Weise müssten die Südwinde bei Tag verstärkt, die Nordwinde geschwächt werden.

Es ist wohl an sich recht unwahrscheinlich, dass ein merklicher derartiger Gradient entstehen kann, weil die Tempe-

raturdifferenzen zwischen Ost und West durch zu grosse Entfernungen getrennt sind, als dass ein wirksamer Temperaturgradient entstehen könnte. Aber es immer gut, in solchen Fällen auch die Erfahrung zu Rathe zu ziehen.

Herr Dr. Pernter hat sich in dankenswerther Weise der grossen Mühe unterzogen, für jede der acht Windrichtungen und für die Stationen Sonnblick, Säntis und Obir den täglichen Gang der Geschwindigkeit abzuleiten.<sup>1</sup> Ich habe mit Hilfe der von ihm auf vier Richtungen reducirten respectiven Werthe die folgende Tabelle *K* berechnet, indem ich Mittelwerthe nahm und selbe nach der Bessel'schen Formel berechnete. Wenn ein derartiger Einfluss auf die tägliche Periode der verschiedenen Windrichtungen vorhanden ist, so muss er für alle Berggipfel gelten.

Es wäre sehr zu wünschen, dass die von Dr. Pernter zuerst vorgenommenen Rechnungen auch auf die Windregistri- rungen anderer Berggipfel ausgedehnt werden möchten und dass mehrjährige Aufzeichnungen denselben zu Grunde gelegt werden.

Der Nord- und der Ostwind haben das Hauptmaximum ihrer Stärke Abends zwischen 8<sup>h</sup> und 9<sup>h</sup>, ein secundäres Maximum um 5<sup>h</sup> Morgens und das Minimum ihrer Stärke um 1<sup>h</sup> Nachmittags. Der Südwind weht am kräftigsten um 9<sup>h</sup> Abends, am schwächsten um 8<sup>h</sup> Morgens; der Westwind erreicht seine grösste Stärke um Mitternacht und ist am schwächsten um 1<sup>h</sup> Nachmittags. Ein entschiedener Gegensatz im täglichen Gange ihrer Stärke ist bei den entgegengesetzten Windrichtungen nicht vorhanden; eine Umkehrung des Ganges zwischen West und Ost, wie sie wohl bestehen müsste, wenn die erwähnte Ursache der täglichen Periode der Windstärke auf Berggipfeln zu Grunde liegen würde, ist nicht zu bemerken. West- und Ostwind erreichen das Minimum ihrer Stärke um 1<sup>h</sup> Nachmittags und das Maximum derselben in der Nacht, und beim Nordwind ist dasselbe der Fall. Der Südwind weicht am meisten von dem allgemeinen Mittel und von dem Verhalten

---

<sup>1</sup> »Die Windverhältnisse auf dem Sonnblick«. Denkschriften der Wiener Akademie, LXVIII. Bd., December 1890, S. 210.

K. Täglicher Gang der Windstärke für jede der vier Hauptwindrichtungen. Centimeter pro Secunde.

Zeit	N	E	S	W	N	E	S	W	Zeit
Beobachtet					Berechnet <sup>1</sup>				
Mittern.—1	21	1	23	45	21	5	23	48	Mittn.
1—2	23	6	9	38	18*	5*	15	41	1
2—3	21	12	— 7	24	20	9	4	30	2
3—4	24	18	—18	11	21	16	— 6	17	3
4—5	31	33	—19	— 2	25	23	—16	4	4
5—6	32	36	—26	—11	26*	28*	—26	— 7	5
6—7	25	26	—29	—15	23	27	—33	—15	6
7—8	3	10	—36	—25	13	21	—38	—21	7
8—9	—20	7	—41	—29	— 3	7	—40*	—25	8
9—10	—41	—37	—43*	—35	—20	—10	—38	—27	9
10—11	—54	—49*	—38	—27	—40	—28	—34	—28	10
11—Mittag	—57	—49*	—22	—24	—56	—44	—27	—29	11
0—1	—72*	—26	— 9	—26	—65	—53	—18	—31	Mittag
1—2	—52	—33	0	—28	—66*	—53*	— 9	—32*	1
2—3	—43	—41	5	—37*	—55	—46	0	—31	2
3—4	—27	—48	15	—33	—40	—31	9	—29	3
4—5	— 7	—26	20	—23	—19	—13	17	—23	4
5—6	9	13	22	— 6	3	5	23	—13	5
6—7	28	44	26	13	21	20	29	— 2	6
7—8	39	45*	34	24	35	28	33	12	7
8—9	43*	22	38*	32	38	30*	35	26	8
9—10	34	19	37	39	39*	25	35*	38	9
10—11	21	8	32	44	34	18	33	47	10
11—Mittern.	17	7	27	49*	27	11	29	50*	11
Mittel	31	24	27	26	30	23	24	26	Mittel

<sup>1</sup> Die Gleichungen für den täglichen Gang sind:

$$N \dots\dots 43 \sin (89 \cdot 2 + x) + 24 \sin (255 \cdot 6 + 2x)$$

$$E \dots\dots 29 \sin (82 \cdot 4 + x) + 25 \sin (252 \cdot 0 + 2x)$$

$$S \dots\dots 37 \sin (146 \cdot 4 + x) + 3 \sin (55 \cdot 9 + 2x)$$

$$W \dots\dots 40 \sin (100 \cdot 0 + x) + 10 \sin (124 \cdot 0 + 2x)$$

45\*

der anderen Winde ab durch den frühen Eintritt des Minimums seiner Stärke, schon um 8<sup>h</sup> Morgens.

Es müssten noch von mehr Berggipfeln ähnliche Berechnungen vorliegen, um der Ursache dieses frühen Minimums grössere Bedeutung beilegen zu können; Herr Dr. Pernter hat auch nur zweijährige Beobachtungen der Rechnung unterziehen können. Im Widerspruche mit der Annahme einer Verstärkung der Winde durch die infolge der täglichen Wanderung der wärmsten Erdstellen bewirkte Verlagerung der oberen Gradienten steht die Thatsache, dass der Westwind am Nachmittage mehr an Stärke einbüsst als der Ostwind; es müsste umgekehrt sich verhalten. Der Ostwind müsste das Minimum seiner Stärke am späten Nachmittage, der Westwind am frühen Vormittage haben. Das ist aber nicht der Fall, die Epoche des Minimums fällt für beide auf 1<sup>h</sup> Nachmittags. Im grossen Ganzen zeigt jede der vier Hauptwindrichtungen denselben täglichen Gang ihrer Stärke, d. i. jenen, den wir als den allgemein in der Höhe herrschenden gefunden haben. Ich glaube demnach nicht, dass man in dieser Tabelle eine Bestätigung der Ansicht finden kann, dass die oberen Gradienten für Ostwinde am Morgen, für Westwinde am Nachmittage verstärkt werden infolge der täglichen Wanderung der Richtung, nach welcher hin die wärmste Erdstelle liegt. Die Unterschiede der Erwärmung zwischen hinlänglich benachbarten Erdstellen, die aus dieser Quelle stammen, sind offenbar viel zu gering, d. h. der Temperaturgradient ist zu klein, um merkliche obere Druckgradienten hervorzubringen.

Für ganz entschieden halte ich aber die Frage doch noch nicht; man müsste, wie schon bemerkt, den bezüglichen Rechnungen eine grössere Ausdehnung geben und wohl besser nur auf den Sommer beziehen. Bemerkenswerther Weise habe ich vor langer Zeit schon aus den Windregistrirungen auf dem Dodabetta Peak in Südindien, 2643 *m* Seehöhe, ein Resultat erhalten, welches für eine Verstärkung der Ostwinde am Vormittage und der Westwinde am Nachmittage sprechen könnte. Die von November bis Mai herrschenden ENE-Winde erreichen um 9<sup>h</sup> und 10<sup>h</sup> Vormittags das Maximum ihrer Stärke, das Minimum aber in der Nacht; die westlichen Monsunwinde von

Juni bis October erreichen das Maximum ihrer Stärke am Abende, das Minimum um 1<sup>h</sup> und 2<sup>h</sup> Nachmittags. Der Ostmonsun hat einen fast entgegengesetzten täglichen Gang der Stärke, wie der Westmonsun.<sup>1</sup>

Wenn man also nicht annehmen will, und ich glaube es stehen doch manche Bedenken dieser Annahme entgegen, dass die oberen Theile des Berggipfels durch ihre Erwärmung auf das Anemometer auf dem Gipfel selbst in analoger Weise einwirken, wie die Erdoberfläche auf das Anemometer auf dem Eiffelthurm, so sehe ich zunächst keine andere plausible Erklärung des täglichen Ganges der Windstärke auf den Berggipfeln.

Für diese Annahme würde sprechen die starke Erwärmung der Bergoberfläche im Sommerhalbjahre, welche durch die grosse tägliche Temperaturamplitude bezeugt wird, die, wie ich nachgewiesen habe, viel grösser ist als jene in der freien Atmosphäre in gleicher Höhe. Man könnte über der erwärmten Bergoberfläche bei Tage ein ebensolches Spiel aufsteigender und niedersinkender Luftmassen annehmen, wie über der Niederung, nur müsste die Hauptwirkung von jenen Theilen des Berges ausgehen, die bloss einige hundert Meter unter dem Anemometer liegen, weil sonst der Eintritt des Minimums der Windstärke am Vormittage oder bald nach Mittag auf diesem Wege nicht zu Stande kommen könnte.

Wie sich aber dieser Vorgang mit dem längs der Bergseiten von den Thälern herauf aufsteigenden Luftströmen vereinigen lassen möchte, ist mir unklar. Die zunehmende Bewölkung über dem Berggipfel und die Wolkenkappen auf demselben am Nachmittage sprechen wie so manches Andere zu deutlich für die über dem Berge aufsteigenden Luftmassen. Bevor diese aufsteigende Bewegung aus den Thälern herauf den Berggipfel erreicht hat, könnte allerdings der oben erwähnte locale Vorgang Zeit und Raum zur Entwicklung finden und das frühe Eintreten des Minimums der Windstärke am Vormittage auf manchen Berggipfeln erklären.

---

<sup>1</sup> Hann, »Die tägliche Periode der Geschwindigkeit und der Richtung des Windes«. Diese Sitzungsber., Bd. LXXIX, II., Jännerheft 1879.



Die bedeutenden Unterschiede im Eintritte des Minimums der Windstärke auf den verschiedenen Berggipfeln würden unter dieser Annahme vollkommen verständlich. Ich möchte dieselbe jedoch nur als Anregung zu weiterem Nachdenken und Nachforschen hinstellen.

Eine Entscheidung über diese Frage könnten nur Wolkenbeobachtungen bringen. Consequente stündliche Aufzeichnungen selbst nur der relativen Geschwindigkeit der Wolken bei Tage würden feststellen, ob auch in der freien Atmosphäre ein Minimum der Geschwindigkeit der Luftströmungen um Mittag eintritt. Dann müsste die Ansicht definitiv aufgegeben werden, dass der tägliche Gang der Windstärke auf den Berggipfeln in seiner Gesamtheit eine locale Erscheinung sei, die von den Erhebungen der Erdoberfläche selbst bedingt wird, und es würden die Registrirungen der Windstärke auf den Berggipfeln erhöhtes Interesse gewinnen und die Frage nach deren Ursache eine grössere Tragweite erlangen.

#### **Die jährliche Periode der Windstärke auf den Berggipfeln.**

Die folgende Tabelle *L* enthält die einzelnen Monats- und Jahresmittel der Windgeschwindigkeit auf dem Sonnblick und auf dem Säntis in Meter pro Secunde.

Die Beobachtungsreihe des Sonnblick und auch jene des Säntis ist zu kurz, um die jährliche Periode der Windgeschwindigkeit genauer bestimmen zu lassen. Man sieht aber, wie zu erwarten, dass das Maximum der Windstärke auf unseren Alpengipfeln in den Wintermonaten eintritt, wie in den Niederungen. Doch hat auf den Berggipfeln auch der Sommer eine grosse Windgeschwindigkeit und die Amplitude der jährlichen Variation der Windstärke ist deshalb gering.

Auf dem Sonnblick trat das Minimum der Windstärke in den Monaten Mai bis Juli ein, auf dem Säntis von April bis Juni, der Juli hat wieder eine sehr grosse Windstärke. Bei Gegenüberstellen der gleichen Monate vermisst man fast jede Übereinstimmung im Gange der Windstärke zwischen Sonnblick und Säntis. Besonders auffallend ist die grosse Windgeschwindigkeit des Juli 1888 auf dem Säntisgipfel; auf dem Sonnblick war dieser Monat relativ ruhig. Der Februar 1891,

## L. Monats- und Jahresmittel der Windgeschwindigkeit. (Meter pro Secunde.)

	Jänner	Febr.	März	April	Mai	Juni	Juli	August	Sept.	Octob.	Nov.	Decbr.	Jahr
Sonnblick													
1887	—	8·2	10·4	6·9	8·6	6·7	6·9	—	8·5	7·7	7·9	6·7	—
1888	10·7	8·7	10·4	8·6	7·6	8·6	7·9	10·3	6·2	(9·9)	7·7	8·5	8·1
1889	13·8	9·7	11·3	10·5	9·8	(10·3)	8·4	12·3	9·1	8·8	10·4	10·4	9·1
1891	8·9	14·5	12·1	8·5	9·9	9·1	8·2	9·7	11·1	10·7	9·0	10·9	10·6
1892	11·4	10·3	9·4	9·4	8·1	9·0	7·9	9·0	8·8	10·6	10·2	10·9	10·1
1893	12·3	9·8	10·1	9·0	6·6	7·0	8·1	6·7	8·8	11·3	9·1	9·4	9·4
Mittel	10·95	10·20	10·62	8·82	8·43	8·45	7·90	9·17	8·74	9·89	9·03	9·57	9·31
Säntis													
1886	8·9	5·4	7·7	6·2	6·6	5·8	8·7	8·6	6·4	7·2	10·8	12·1	7·9
1887	6·9	8·4	7·3	7·4	8·4	6·4	6·7	7·9	7·1	6·7	7·1	8·9	7·4
1888	9·7	7·7	10·4	7·1	7·3	6·7	11·3	6·6	5·6	8·3	9·2	7·5	8·1
1889	8·7	12·7	5·9	5·5	5·1	5·3	8·0	8·6	8·5	7·8	6·5	7·9	7·5
1890	11·3	7·2	7·6	6·2	6·9	8·8	8·3	8·6	6·7	8·2	6·9	6·9	7·8
1891	8·6	7·1	9·2	5·2	6·5	7·7	8·7	8·8	5·9	7·4	8·6	11·3	7·9
1892	8·9	10·4	6·6	6·1	6·6	8·3	8·4	7·2	7·2	8·1	6·4	7·8	7·7
1893	7·3	9·1	6·3	5·2	5·3	6·4	6·7	5·8	8·8	9·4	7·0	7·9	7·1
Mittel	8·79	8·50	7·62	6·11	6·59	6·92	8·35	7·76	7·02	7·89	7·81	8·79	7·88

der dem Sonnblick das höchste Monatsmittel der Windstärke brachte, war wieder umgekehrt auf dem Säntis ruhig.

Ich habe die Monatsmittel der Windstärke für Kremsmünster und Wien aus den gleichen Monaten abgeleitet, wie für den Sonnblick. Auch hier vermisst man eine Übereinstimmung. Die folgende kleine Tabelle enthält diese Mittel, sowie jene für den Obir aus der Periode Februar 1884 bis November 1890 inclusive und Jänner bis December 1893 (also für nicht ganz acht Jahrgänge). Die Mittel für den Säntis sind zum Vergleiche beigegeben.

Jährliche Periode der Windgeschwindigkeit.  
Meter pro Secunde.

Ort .....	Obir	Säntis	Sonnblick	Kremsmünster <sup>1</sup>	Wien <sup>1</sup>
Höhe .....	2140 m	2500 m	3110 m	390 m	220 m
Jahre .....	8	8	6	6	6
Jänner .....	7·5	8·8	10·9	3·7	5·9
Februar .....	7·2	8·5	10·2	4·3	5·8
März .....	6·6	7·6	10·6	4·3	6·3
April .....	5·6	6·1*	8·8	3·7	5·4
Mai .....	5·3	6·6	8·4	3·4	4·7
Juni .....	5·4	6·9	8·4	3·5	4·9
Juli .....	4·8	8·3	7·9*	3·6	5·3
August .....	4·7*	7·8	9·2	3·2*	4·8
September .....	5·3	7·0	8·7	3·3	4·8
October .....	6·2	7·9	9·9	3·2	4·7
November .....	6·3	7·8	9·0	3·3	4·4*
December .....	6·7	8·8	9·6	3·1*	4·5
Jahr .....	6·0	7·7	9·3	3·5	5·1

<sup>1</sup> Aus genau derselben Periode abgeleitet, aus welcher die Mittel für den Sonnblick stammen.

Auf den Gipfelstationen hat der Jänner und nach ihm der Februar das Maximum der Windstärke, das Minimum fällt auf das Frühjahr oder den Sommer (zwischen April und August).

Die mit den Sonnblick-Mitteln der Zeit nach genau correspondirenden Mittel der Windgeschwindigkeit für Kremsmünster und Wien zeigen durchaus keinen parallelen Gang, weder mit dem Sonnblick, noch untereinander.

Auf die mittlere Windgeschwindigkeit nehmen locale Verhältnisse in hohem Grade Einfluss, so dass eine Übereinstimmung im jährlichen Gange der Windstärke selbst in gleichen Perioden nur wenig zur Geltung kommt. Unten trat das Maximum der Windstärke im März ein, auf denselben Monat fällt auch im vieljährigen Mittel das Maximum. Der Juli, in dem auf dem Sonnblick die kleinste Windgeschwindigkeit registriert worden ist, hatte unten in Kremsmünster und Wien ein secundäres Maximum der Windstärke.

Der Vollständigkeit der Charakterisirung der Windgeschwindigkeit auf dem Sonnblickgipfel halber will ich zum Schlusse auch noch einige Daten über die absoluten Maxima der Windgeschwindigkeit anführen. Wegen der Unsicherheit der Reduction der Aufzeichnungen auf absolutes Maass darf man bei den folgenden Zahlen keine grosse Genauigkeit voraussetzen.

Die mittleren Monatsmaxima der Windgeschwindigkeit aus der Periode September 1887 bis December 1893 sind:

Mittlere Monatsmaxima der Windgeschwindigkeit auf dem Sonnblickgipfel. Meter pro Secunde.

December.....	30	Juni .....	27
Jänner.....	35	Juli .....	27
Februar .....	32	August .....	29
März .....	33	September .....	28
April .....	28	October .....	30
Mai .....	29	November.....	31

Das mittlere Jahresmaximum ist 40 *m* pro Secunde. Die grösste Windgeschwindigkeit trat in der Nacht vom 17. zum 18. Februar 1891 ein bei einem Sturme aus NE und N. Der

Beobachter notirte um 9<sup>h</sup> Abends NE<sub>8</sub> und um 7<sup>h</sup> Morgens N<sub>10</sub> bei —13° C. Das Anemometer gibt als grösste Windgeschwindigkeit 48 *m* pro Secunde (d. i. mittlere Windgeschwindigkeit für ein ganzes Stundenintervall).

### A n h a n g.

Tabelle I und II enthalten den täglichen Gang der Windstärke auf dem Sonnblick nach den rohen Mitteln.

Die Reduction der anemometrischen Aufzeichnungen der Windgeschwindigkeit auf Meter pro Secunde erfolgte unter der Annahme der Robinson'schen Regel. Da aber von März 1889 an infolge einer Änderung am Registrirapparat die Windgeschwindigkeiten etwas kleiner ausfielen, wurden dieselben von da an mit einem empirischen Factor 1·4 multiplicirt, um sie mit den früheren unmittelbar vergleichbar zu machen.<sup>1</sup> Man darf aus diesen und anderen Gründen, die zum Theile für die Windregistrirungen überhaupt gelten, den folgenden absoluten Werthen der Windgeschwindigkeiten auf dem Sonnblickgipfel keine zu grosse Bedeutung beilegen.

Der tägliche Gang der Windgeschwindigkeit im August im Mittel der sechs Jahre 1888—1893 war so abweichend von jenem der übrigen Monate, dass ich, um den jährlichen Gang dieses Elementes, wie er sich im Mittel vieler Jahre herausstellen dürfte, etwas übersichtlicher zu erhalten, mir erlaubte, für diesen Monat nur die vierjährigen Mittel 1890 bis 1893 einzustellen. Es ergab sich nämlich, dass es die beiden ersten Jahrgänge waren, welche diese Abweichungen von den sechs- bis siebenjährigen Mitteln der anderen Monate zumeist hervorbrachten. Um jedermann ein Urtheil über die Berechtigung dieses einigermassen willkürlich scheinenden Vorganges zu gestatten, mögen die stündlichen Windgeschwindigkeiten im August nach den Mitteln der verschiedenen Perioden hier Platz finden. Die Windgeschwindigkeiten in Kilometern pro Stunde entsprechen immer jenem Stundenintervalle, das der angeschriebenen Stunde vorausgeht.

<sup>1</sup> Man sehe darüber die citirte Abhandlung von Dr. Pernter nach auf S. 36 des Separatabdruckes (S. 236 des Bandes).

## Mittlere Windgeschwindigkeit im August.

1	2	3	4	5	6	7	8	9	10	11	12
Vormittag											
25.0	24.6	25.3	25.4	25.9	24.9	24.3	23.1	23.0*	23.8	23.2	23.6
32.5	33.6	33.8	34.1	35.7	34.3	33.0	33.0	34.3	32.8	32.0	30.9
Nachmittag											
23.7	23.6	24.7	24.2	23.3	23.8	24.8	24.7	25.2	25.8	25.8	25.4
30.6	28.5	28.7	27.4	27.2*	27.9	27.8	29.3	30.7	29.2	29.1	31.3

In der ersten Reihe, den vier Jahren 1890—1893 entsprechend, fällt das Minimum der Windgeschwindigkeit etwa auf 9<sup>h</sup> Vormittags und stimmt darin mit den vorhergehenden und nachfolgenden Monaten überein; in der zweiten Reihe hingegen aus den zwei Jahrgängen 1888 und 1889 abgeleitet, tritt das Minimum erst um 5<sup>h</sup> Abends ein, wo in allen Nachbarmonaten die Windgeschwindigkeit schon wieder erheblich über dem Mittel sich befindet. Es ist nun durchaus unwahrscheinlich, dass ein Monat derart ohne jeden Übergang sich von den Nachbarmonaten unterscheidet, und es schien mir daher berechtigt, die beiden Jahrgänge 1888 und 1889 als mit grösseren Störungen behaftet, vorläufig von den Mittelwerthen für den August auszuschneiden, um den jährlichen Gang der Stundenmittel deutlicher hervortreten zu lassen. Ich zweifle nicht, dass die vierjährigen Mittel den langjährigen näher kommen dürften, als die sechsjährigen, welche auch die Jahre 1888 und 1889 einschliessen.

Die Häufigkeit der acht Hauptwindrichtungen nach den unmittelbaren dreimaligen täglichen Beobachtungen um 7<sup>h</sup>, 2<sup>h</sup> und 9<sup>h</sup> in den derart differirenden Jahrgängen war folgende:

	N	NE	E	SE	S	SW	W	NW	Calmen
1888—1889..	26	6	1	1	10	23	19	7	6
1890—1893..	13	5	2	4	10	25	14	17	3
1887—1893..	18	4	1	3	9	24	17	14	6

Die beiden Jahrgänge 1888—1889, mit der anormalen Verlegung des Minimums der Windstärke auf den Nachmittag zeichnen sich durch ein anormales Vorwiegen des Nordwindes

aus; nimmt man aber NW, N und NE zusammen, dann ist allerdings kaum ein Unterschied zu bemerken. Es bleibt demnach doch fraglich, ob das Vorwiegen gewisser Windrichtungen die Anomalie im täglichen Gange der Windstärke während der beiden ersten Jahrgänge erklären kann.

Die Tabelle III enthält die Constanten der periodischen Reihen mittelst deren der jährliche Gang der täglichen Variation berechnet worden ist, nachdem die rohen Mittel aus sechs Jahren noch zu grosse Unregelmässigkeit zeigen.

Es wurden zunächst die Constanten der Reihe

$$p_1 \cos x + q_1 \sin x + p_2 \cos 2x + q_2 \sin 2x$$

für die einzelnen Monate berechnet und dann die  $p$  und  $q$ , die eine ausgesprochene jährliche Periode zeigen, desgleichen wieder durch analoge Sinusreihen dargestellt. Da der August in dem Werthe von  $q_1$  nach den Beobachtungen eine auffallende Störung zeigt, wurde in Tabelle III der berechnete Werth von  $q_1$  (also  $-0.76$  statt  $-0.22$ , siehe S. 680) statt dessen eingestellt und die Rechnung wiederholt. So wurden die mit  $q'_1$  bezeichneten Werthe erhalten, die sich natürlich nur in den Monaten Juli, August und September merklich von den früheren unterscheiden.

Es schien mir, dass es bei den Coëfficienten der einmaligen täglichen Welle zweckmässiger sei, sich auf die Berechnung mit zwei Gliedern zu beschränken; die jährliche Periode der unmittelbar nach den Beobachtungen erhaltenen Werthe von  $p_1$  und  $q_1$  ist von einfacher Natur. Hingegen ist es bei den Coëfficienten  $p_2$ ,  $q_2$  jedenfalls erforderlich, noch ein drittes periodisches Glied zur Berechnung derselben zu verwenden, weil im jährlichen Gange derselben drei Maxima und drei Minima hervortreten.

Als Verwandlungszahl der nominellen Kilometer pro Stunde in Meter pro Secunde wurde angenommen

$$0.2777 \times 1.25 = 0.347.$$

Dies gilt für die rohen und für die berechneten reducirten Monatsmittel. Für die Mittel der Jahreszeiten wurden etwas

andere Reductionsfactoren verwendet, d. i. für den Winter 0·353, Frühling 0·344, Sommer 0·356, Herbst 0·367. Die Bearbeitung der rohen, den Anemogrammen entnommenen Windgeschwindigkeiten erfolgte in längeren Pausen mit Unterbrechungen, und so kam es, dass ich zuerst für die Tabelle der Monatsmittel einen einheitlichen Factor zur Reduction benützte, dann später etwas strenger verfahrend, zur Reduction der Jahreszeitenmittel verschiedene der ungleichen Zahl der zu reducirenden Monate genauer angepasste Factoren.<sup>1</sup> Daher stimmen die Jahreszeitenmittel nicht völlig genau mit den Monatsmitteln, wie es sein sollte. Der Unterschied ist aber für den vorliegenden Zweck und die erreichbare Genauigkeit der mittleren Windgeschwindigkeiten überhaupt völlig irrelevant.

Tabelle IV, täglicher Gang der Windgeschwindigkeit auf dem Säntisgipfel, bedarf keiner Erläuterung.

Tabelle V bis XII enthalten die Jahreszeitenmittel der Windgeschwindigkeit in Meter pro Secunde und die Abweichungen der Stundenmittel von den entsprechenden 24 stündigen Mitteln ohne irgend eine Ausgleichung.

In einigen dieser Tabellen bemerkt man durch alle vier Jahreszeiten hindurchgehende Störungen des täglichen Ganges, von denen jene, welche in die Nachtzeit fallen, sicherlich nicht durch Wechseln der Autographenpapiere und ähnliche äussere Beeinflussungen entstanden sein können. Auf dem Säntis macht sich 2—3<sup>h</sup> Morgens eine Abnahme der Windstärke zu allen Jahreszeiten geltend, von 7—8<sup>h</sup> a. eine Zunahme derselben. Sonnblick 1—2<sup>h</sup> a. Abnahme der Windstärke, desgleichen 4—5<sup>h</sup> p. auffallende Abnahme derselben in allen Jahreszeiten. Die Papiere wurden angeblich stets um Mittag ausgewechselt.

Auf dem Ben Nevis, wo die Windstärken direct geschätzt werden, ist Morgens um 5<sup>h</sup> eine erhebliche Abnahme der Windstärke in allen Jahreszeiten zu bemerken, dagegen um 3<sup>h</sup> a. eine Zunahme. Um 3<sup>h</sup> und 4<sup>h</sup> Nachmittag macht sich eine ganz auffallende Abnahme der Windstärke in allen Jahreszeiten bemerkbar.

---

<sup>1</sup> Einen Theil der Monatsmittel hatte schon Herr Dr. Pernter in seiner Abhandlung reducirt.



Diesen Störungen mögen in der That irgend welche vorübergehende Einflüsse auf den täglichen Gang der Windgeschwindigkeit zu Grunde liegen, die in der Natur der Erscheinung begründet sind und mit anderen meteorologischen Vorgängen zusammenhängen. Vorläufig genügt es, darauf aufmerksam gemacht zu haben. Es werden vieljährige Registrirungen nöthig sein, um dieselben genauer untersuchen zu können.

---

Anhang. Tabelle I. Täglicher Gang der Windgeschwindigkeit auf dem Sonblickipfel.  
Mittel aus 6 Jahren. Meter pro Secunde.

	Jänner	Febr.	März	April	Mai	Juni	Juli	August	Sept.	Octob.	Nov.	Decbr.	Jahr
12— 1 <sup>a</sup> a.	11·03	10·86	10·96	8·98	8·84	8·77	8·01	8·67	8·46	8·95	8·70	9·99	9·35
1— 2	11·17	10·65	10·51	8·64	8·70	8·29	7·66	8·53	8·08	8·84	8·74	9·68	9·12
2— 3	11·20	10·86	10·89	8·60	8·29	8·50	7·73	8·77	8·32	8·91	8·84	9·64	9·21
3— 4	11·06	10·37	10·82	8·46	7·91	8·32	7·80	8·81	8·05	8·91	8·84	9·36	9·06
4— 5	11·17	10·27	10·75	8·29	7·62	8·29	7·66	8·98	8·05	8·98	8·91	9·36	9·02
5— 6	11·52	10·13	10·44	8·29	7·62	7·94	7·62	8·64	7·94	9·16	8·88	9·33	8·95
6— 7	11·62	9·85	10·20	8·22	7·66	7·62	7·42	8·43	7·84	9·40	8·74	9·09	8·84
7— 8	11·09	9·61	10·16	8·18	7·84	7·32	7·28	8·01	7·97	9·19	8·60	9·16	8·70
8— 9	10·89	9·43	10·02	8·43	8·05	7·32	7·21	7·97	8·08	9·29	8·39	9·29	8·69
9—10	10·86	9·54	9·88	8·64	8·11	7·32	7·32	8·25	8·08	9·33	8·57	9·43	8·77
10—11	10·54	9·36	10·05	8·74	8·36	7·32	7·46	8·05	7·94	9·33	8·46	9·26	8·74
11—Mittag	10·82	9·33	10·44	8·81	8·50	7·49	7·59	8·18	8·08	9·47	8·39	9·43	8·87
12— 1	11·34	9·71	10·89	9·09	8·74	7·84	7·77	8·22	7·94	9·57	8·81	9·82	9·14
1— 2	10·82	9·88	10·75	9·26	8·57	8·05	8·11	8·18	8·08	9·64	9·01	9·71	9·17
2— 3	11·09	10·23	11·09	9·16	8·84	8·53	8·01	8·57	8·18	9·75	8·98	9·68	9·34
3— 4	11·24	10·16	10·99	9·12	8·77	8·64	8·36	8·39	8·15	9·61	8·98	9·68	9·34
4— 5	10·86	10·34	10·99	8·84	8·60	8·67	8·32	8·08	8·15	9·57	8·74	9·47	9·21
5— 6	11·03	10·44	11·34	8·95	8·74	8·91	8·64	8·25	8·29	10·02	8·95	9·61	9·43
6— 7	10·82	10·27	11·24	9·01	8·70	9·09	8·70	8·60	8·29	9·75	8·81	9·33	9·38
7— 8	10·93	10·51	11·52	9·33	9·33	9·12	8·84	8·57	8·81	9·92	8·77	9·57	9·60
8— 9	10·61	10·16	11·24	9·29	9·36	9·09	8·46	8·74	8·77	9·50	8·50	9·64	9·44
9—10	10·34	10·44	11·13	9·43	9·26	9·26	8·29	8·95	8·74	9·29	8·60	9·75	9·45
10—11	10·41	10·68	11·03	9·40	9·29	9·40	8·43	8·95	8·74	9·12	8·60	9·68	9·47
11—Mittern.	10·72	10·51	10·96	9·05	8·91	9·26	8·46	8·81	8·50	8·95	8·50	9·85	9·37
Mittel	10·96	10·15	10·76	8·84	8·52	8·35	7·96	8·48	8·23	9·35	8·72	9·53	9·15

Anhang. Tabelle II.  
Sonnblick. Abweichungen der Stundenmittel vom Monatsmittel.

	Jänner	Febr.	März	April	Mai	Juni	Juli	August	Sept.	Octob.	Nov.	Decbr.	Jahr
Mittn.— 1 <sup>h</sup> a.	·07	·71	·20	·14	·32	·42	·05	·19	·23	— ·40	— ·02	·46	·20
1— 2	·21	·50	— ·25	— ·20	·18	·06	— ·30	·05	·15	— ·51	·02	·15	— ·03
2— 3	·24	·71	·13	— ·24	— ·23	·15	— ·23	·29	·09	— ·44	·12	·11	·06
3— 4	·10	·22	·03	— ·38	— ·61	— ·03	— ·16	·33	·18	— ·44	·12	— ·17	— ·09
4— 5	·21	·12	— ·01	— ·55	— ·90	·06	— ·30	·50	·18	— ·37	·19	— ·17	— ·13
5— 6	·56	— ·02	— ·32	— ·55	— ·90	·41	— ·34	·16	·29	— ·19	·16	— ·20	— ·20
6— 7	·66	— ·30	— ·56	— ·62	— ·86	·73	— ·54	·05	·39	·05	·02	— ·44	— ·31
7— 8	·13	— ·54	— ·60	— ·66	— ·68	— 1·03	— ·68	·47	·26	— ·16	— ·12	— ·37	— ·45
8— 9	— ·07	— ·72	— ·74	— ·41	— ·47	— 1·03	— ·75	·51	·15	— ·06	— ·33	— ·24	— ·46
9— 10	— ·10	— ·61	— ·88	— ·20	— ·41	— 1·03	— ·64	·23	·15	— ·02	·15	— ·10	— ·38
10— 11	— ·42	— ·79	— ·71	— ·10	— ·16	— 1·03	— ·50	·43	·29	— ·02	·26	— ·27	— ·41
11— Mittag	— ·14	— ·82	— ·32	— ·03	— ·02	— ·86	— ·37	·30	·15	·12	·33	— ·10	— ·28

12—1 <sup>a</sup>	.36	.44	.13	.25	.22	.51	.19	.26	.29	.22	.09	.29	.01
1—2	—	.14	.27	.42	.05	.30	.15	.30	.15	.29	.29	.18	.02
2—3	.13	.08	.33	.32	.32	.18	.05	.09	.05	.40	.26	.15	.19
3—4	.28	.01	.23	.28	.25	.29	.40	.09	.08	.26	.26	.15	.19
4—5	—	.10	.19	.00	.08	.32	.36	.40	.08	.22	.02	.06	.06
5—6	.07	.29	.58	.11	.22	.56	.68	.23	.06	.67	.23	.08	.28
6—7	—	.14	.12	.17	.18	.74	.74	.12	.06	.40	.09	.20	.23
7—8	—	.03	.36	.49	.81	.77	.88	.09	.58	.57	.05	.04	.45
8—9	—	.35	.01	.45	.84	.74	.50	.26	.54	.15	.22	.11	.29
9—10	—	.62	.29	.59	.71	.91	.33	.47	.51	.06	.12	.22	.30
10—11	—	.55	.53	.56	.77	1.05	.47	.47	.51	.23	.12	.15	.32
11—Mitteln.	—	.24	.36	.21	.39	.91	.50	.33	.27	.40	.22	.32	.22
Mittel	.24	.38	.37	.33	.44	.59	.42	.28	.24	.28	.16	.20	.23



Berechnete Werthe der Constanten.

	$p_1$	$q_1$	$p_2$	$q_2$	$a_1$	$a_2$	$A_1$	$A_2$
Jänner .....	0.59	0.05	-0.13	0.54	0.59	0.55	85.1	346.5
Februar .....	0.90	-0.28	-0.59	0.50	0.94	0.77	107.3	310.3
März .....	0.91	-0.94	-0.17	0.34	1.31	0.38	135.3	333.4
April .....	0.89	-1.57	0.74	0.00	1.81	0.74	150.5	90.0
Mai .....	1.07	-1.83	0.73	-0.12	2.12	0.74	149.7	99.3
Juni .....	1.38	-1.65	-0.06	0.14	2.15	0.15	140.1	336.8
Juli .....	1.46	-1.28	-0.28	0.24	1.94	0.37	181.2	310.6
August .....	1.05	-0.98	0.14	-0.12	1.44	0.18	133.0	130.6
September .....	0.33	-0.82	0.13	-0.42	0.88	0.44	158.1	162.8
October .....	-0.27	-0.67	-0.33	-0.13	0.72	0.35	202.0	248.5
November .....	-0.35	-0.38	-0.27	0.39	0.52	0.47	222.6	325.3
December .....	0.06	-0.06	0.11	0.60	0.08	0.61	135.0	10.4
Jahr .....	0.67	-0.87	0.00	0.16	1.09	0.16	142.4	0.9

Anhang. Tabelle IV. Sântis. Täglicher Gang der Windgeschwindigkeit.  
Mittel aus acht Jahren (1886—1893). Meter pro Secunde.

	Jänner	Febr.	März	April	Mai	Juni	Juli	August	Sept.	Octob.	Nov.	Decbr.	Jahr
Mittn. — 1 <sup>ha</sup> .	8.49	8.60	7.39	6.66	6.92	7.52	9.12	8.49	7.81	7.86	7.94	8.81	7.97
1 — 2	8.49	8.66	7.36	6.51	6.59	7.31	9.21	8.43	7.90	7.80	7.90	8.66	7.90
2 — 3	8.52	8.36	7.30	6.21	6.39	7.35	9.10	8.24	7.62	7.79	7.78	8.51	7.76
3 — 4	8.66	8.72	7.26	6.29	6.56	7.50	9.24	8.36	7.84	7.84	7.78	8.48	7.88
4 — 5	8.59	8.46	7.24	6.28	6.40	7.25	8.99	8.09	7.42	7.80	7.44	8.31	7.69
5 — 6	8.75	8.28	7.20	6.25	6.56	6.96	8.61	8.01	7.42	7.71	7.73	8.36	7.65
6 — 7	8.81	8.21	7.14	6.12	6.45	6.88	7.98	7.90	7.29	7.94	7.69	8.26	7.56
7 — 8	9.15	8.39	7.74	6.05	6.66	6.60	7.71	7.74	7.05	8.00	8.09	8.62	7.65
8 — 9	9.00	8.47	7.65	5.76	6.30	6.45	7.45	7.24	6.63	7.84	7.90	8.54	7.44
9 — 10	9.01	8.36	7.70	5.65	6.11	6.25	7.31	7.08	6.51	7.92	7.86	8.59	7.36
10 — 11	9.04	8.40	7.71	5.57	6.06	6.09	6.97	6.86	6.46	7.54	7.75	8.80	7.27
11 — Mittag	9.09	8.15	7.76	5.56	6.22	6.17	6.91	6.84	6.40	7.48	7.92	9.01	7.28
12 — 1	8.72	8.25	7.81	5.64	6.25	6.45	7.16	7.14	6.31	7.46	7.75	9.18	7.34
1 — 2	8.68	8.45	7.68	5.69	6.25	6.62	7.36	7.08	6.31	7.49	7.55	8.86	7.33
2 — 3	8.80	8.36	7.62	5.74	6.04	6.54	7.55	7.06	6.14	7.66	7.51	8.72	7.31
3 — 4	9.00	8.61	7.89	5.84	6.45	6.70	8.01	7.21	6.43	7.73	7.74	9.31	7.58
4 — 5	9.03	8.70	7.90	5.84	6.38	6.74	8.45	7.34	6.52	8.15	7.92	9.70	7.72
5 — 6	8.76	8.74	8.04	6.28	6.56	6.89	8.60	7.64	6.49	8.42	7.92	9.20	7.79
6 — 7	8.85	8.74	7.89	6.50	6.89	7.16	8.92	7.89	6.86	8.36	7.98	9.29	7.94
7 — 8	8.70	8.65	7.77	6.36	7.09	7.29	9.08	7.81	7.15	8.45	7.86	9.01	7.93
8 — 9	8.75	8.59	7.76	6.30	7.25	7.26	9.06	7.90	7.45	8.12	7.86	8.85	7.93
9 — 10	8.80	8.51	7.91	6.46	7.38	7.38	9.14	8.34	7.70	8.16	8.06	8.69	8.04
10 — 11	8.69	8.60	7.68	6.60	7.16	7.25	9.15	8.38	7.73	8.10	7.95	8.72	8.00
11 — 12	8.64	8.35	7.62	6.58	6.94	7.38	8.92	8.24	7.66	7.84	7.90	8.93	7.92
Mittel	8.79	8.48	7.63	6.11	6.58	6.92	8.33	7.72	7.05	7.89	7.82	8.81	7.68

Anhang. Tabelle V. Paris, Bureau Central.

	Meter pro Secunde				Abweichung vom Mittel				
	Winter	Frühling	Sommer	Herbst	Winter	Frühling	Sommer	Herbst	Jahr
Mitternacht	2·07	1·83	1·60	1·52	—	—	—	—	—
1 <sup>a</sup> a.	2 03	1·80	1·48	1·46	—	—	—	—	—
2	2·06	1·68	1·44	1·38	—	—	—	—	—
3	2·09	1·73	1·38	1·34	—	—	—	—	—
4	2 04	1·69	1·40	1·36	—	—	—	—	—
5	2·11	1·73	1·41	1·36	—	—	—	—	—
6	2·03	1·77	1·52	1·39	—	—	—	—	—
7	2·03	1·98	1·84	1·47	—	—	—	—	—
8	2·12	2·33	2·07	1·62	—	—	—	—	—
9	2 21	2·60	2·32	1·83	—	—	—	—	—
10	2·49	2·89	2 60	2 12	—	—	—	—	—
11	2·62	3·00	2·80	2 37	—	—	—	—	—
Mittag	2·75	3·11	2·80	2·52	—	—	—	—	—
1	2·77	3·12	2·93	2·51	—	—	—	—	—
2	2·83	3·18	2 90	2 47	—	—	—	—	—
3	2·65	3·10	2·79	2·30	—	—	—	—	—
4	2·57	3·10	2·83	2·18	—	—	—	—	—
5	2·41	2·99	2·76	1·96	—	—	—	—	—
6	2·40	2·70	2·46	1·78	—	—	—	—	—
7	2·31	2·39	2·06	1·74	—	—	—	—	—
8	2·31	2·22	1·79	1·67	—	—	—	—	—
9	2·26	2·16	1·75	1·65	—	—	—	—	—
10	2·14	1·97	1·73	1·56	—	—	—	—	—
11	2·10	1·86	1·64	1·51	—	—	—	—	—
Mittel	2·31	2·37	2·10	1·79	—	—	—	—	—



Anhang. Tabelle VI. Eiffelthurm.

	Meter pro Sekunde				Abweichung vom Mittel				
	Winter	Frühling	Sommer	Herbst	Winter	Frühling	Sommer	Herbst	Jahr
Mitternacht									
1	9·62	10·16	8·94	9·44	·43	1·28	1·25	1·05	1·00
2	9·59	9·92	8·78	9·24	·40	1·04	1·09	·85	·84
3	9·55	9·76	8·78	9·09	·36	·88	1·09	·70	·76
4	9·78	9·73	8·61	9·04	·59	·85	·92	·65	·75
5	9·76	9·59	8·35	8·96	·57	·71	·66	·57	·63
6	9·82	9·49	8·32	8·80	·63	·61	·63	·41	·57
7	9·74	9·23	7·86	8·84	·55	·35	·17	·45	·38
8	9·73	8·73	7·11	8·84	·54	·15	·58	·45	·06
9	9·67	7·92	6·21	8·38	·48	·96	—	—	·49
10	9·43	7·34	6·04	7·74	·24	1·54	1·65	·65	·90
11	9·13	7·42	6·25	7·12	·06	1·46	1·44	1·27	1·06
Mittag									
1	8·46	7·53	6·60	6·97	·73	1·35	1·09	1·42	1·15
2	8·04	7·63	6·79	6·93	1·15	1·25	·90	1·46	1·12
3	7·77	7·78	6·96	7·03	1·42	1·10	·73	1·36	1·15
4	7·73	7·84	7·21	7·04	1·46	1·04	·48	1·35	1·08
5	7·83	8·14	7·12	7·24	1·36	·74	·57	1·15	·96
6	8·24	8·46	7·28	7·43	·95	·42	·41	·96	·69
7	8·69	8·34	7·44	7·92	—	·54	·25	—	·44
8	9·26	8·60	7·48	8·49	·07	·28	·21	·47	·08
9	9·57	9·26	7·58	8·97	·38	·38	·11	·58	·30
10	9·84	9·81	8·17	9·39	·65	·93	·48	1·00	·78
11	9·90	10·08	8·64	9·42	·71	1·20	·95	1·03	·97
Mittel	9·75	10·10	8·99	9·58	·56	1·22	1·30	1·19	1·06
	9·72	10·22	9·05	9·49	·53	1·40	1·36	1·10	1·10
	9·19	8·88	7·69	8·39	·64	·90	·82	·84	·76

Anhang. Tabelle VII. Blue Hill.

	Meter pro Secunde			Abweichung vom Mittel					
	Winter	Frühling	Sommer	Herbst	Winter	Frühling	Sommer	Herbst	Jahr
Mitternacht—1	10·01	8·58	7·28	8·23	·14	—	·45	—	·11
1—2	9·74	8·45	7·12	8·09	·13	·28	·29	·15	·07
2—3	9·78	8·58	6·98	8·18	·09	·15	·15	·06	—
3—4	9·83	8·54	6·84	8·09	·04	·19	·01	·15	·09
4—5	9·83	8·36	6·75	8·14	·04	·37	·08	·10	·15
5—6	9·78	8·32	6·62	8·14	·09	·41	·21	·10	·20
6—7	9·78	8·23	6·44	8·18	·09	·50	·39	·06	·26
7—8	9·69	8·18	6·21	7·96	·18	·55	·62	·28	·41
8—9	9·78	8·45	6·26	8·09	·09	·28	·57	·15	·27
9—10	10·01	8·67	6·35	8·36	·14	·06	·48	·12	·07
10—11	9·96	8·67	6·44	8·41	·09	·06	·39	·17	·05
11—Mittag	10·01	8·72	6·57	8·54	·14	·01	·26	·30	·04
12—1	10·23	9·08	6·84	8·85	·36	·35	·01	·61	·33
1—2	10·14	9·17	6·94	8·76	·27	·44	·11	·52	·34
2—3	10·19	9·53	7·03	8·54	·32	·80	·20	·30	·40
3—4	10·01	9·71	7·12	8·45	·14	·98	·29	·21	·40
4—5	9·69	9·57	6·98	8·00	·18	·84	·15	·24	·14
5—6	9·61	9·13	6·80	8·00	—	·40	—	·24	—
6—7	9·69	8·67	6·71	8·09	·18	·06	·12	·15	·13
7—8	9·92	8·72	6·89	8·27	·05	·01	·06	·03	·03
8—9	9·96	8·67	7·12	8·09	·09	·06	·29	·15	·04
9—10	9·83	8·63	7·15	8·09	·04	·10	·32	·15	·01
10—11	9·80	8·45	7·15	8·05	·07	·28	·32	·19	·05
11—12	9·65	8·58	7·24	8·14	—	·15	·41	·10	·02
Mittel	9·87	8·73	6·83	8·24	·14	·31	·26	·19	·15

Anhang. Tabelle VIII. Ben Nevis.

Meter pro Secunde				Abweichung vom Mittel					
	Winter	Frühling	Sommer	Herbst	Winter	Frühling	Sommer	Herbst	Jahr
Mitternacht									
1	11·12	8·21	5·69	8·04	·38	·48	·45	·56	·47
2	11·21	8·27	5·80	7·80	·47	·54	·56	·32	·47
3	11·21	8·39	5·96	7·98	·47	·66	·72	·50	·59
4	11·31	8·54	5·99	8·16	·57	·81	·75	·68	·70
5	11·35	8·30	6·07	8·10	·61	·57	·83	·62	·66
6	10·56	7·69	5·58	7·38	—	·07	·34	·10	·00
7	10·56	7·84	5·66	7·35	·01	·11	·42	·13	·10
8	10·72	7·81	5·52	7·41	·02	·08	·28	·07	·07
9	10·65	7·72	5·25	7·32	·09	·01	·01	·16	·06
10	10·79	7·81	5·08	7·41	·05	·08	—	·07	—
11	10·69	7·60	5·06	7·11	·05	·13	·18	·37	·18
Mittag									
1	10·69	7·60	4·92	7·02	·05	·13	·32	·46	·24
2	10·49	7·36	4·75	7·11	·25	·37	·49	·37	·37
3	10·56	7·30	4·62	6·96	·18	·43	·62	·52	·44
4	10·36	7·18	4·62	7·26	·38	·55	·62	·22	·44
5	10·69	7·33	4·73	7·26	·05	·40	·51	·22	·29
6	10·59	7·27	4·75	7·44	·15	·46	·49	·04	·28
7	10·13	7·21	4·62	7·08	·61	·52	·62	·40	·54
8	10·23	7·18	4·73	7·14	·51	·55	·51	·34	·48
9	10·16	7·15	4·86	7·20	·58	·58	·38	·28	·45
10	10·82	7·57	5·17	7·53	·08	·16	·07	·05	·02
11	10·79	8·02	5·39	7·65	·05	·29	·15	·17	·16
Mittel	10·92	7·96	5·39	7·77	·18	·23	·15	·20	·21
	10·98	8·12	5·52	7·95	·24	·39	·28	·47	·34
	10·74	7·73	5·24	7·48	·26	·36	·41	·31	·32



Anhang. Tabelle X. Sântis.

	Meter pro Secunde				Abweichung vom Mittel				
	Winter	Frühling	Sommer	Herbst	Winter	Frühling	Sommer	Herbst	Jahr
Mittn. — 1 <sup>h</sup> a.	8.63	6.99	8.38	7.87	.06	.22	.72	.28	.290
1—2	8.60	6.82	8.32	7.87	.09	.05	.66	.28	.225
2—3	8.46	6.63	8.23	7.73	.23	.14	.57	.14	.085
3—4	8.62	6.70	8.37	7.82	.07	.07	.71	.23	.200
4—5	8.45	6.64	8.11	7.56	.24	.13	.45	.03	.012
5—6	8.46	6.67	7.86	7.62	.23	.10	.20	.03	.025
6—7	8.43	6.57	7.59	7.64	.26	.20	.07	.05	.120
7—8	8.72	6.82	7.35	7.71	.03	.05	.31	.12	.027
8—9	8.67	6.57	7.05	7.46	.02	.20	.61	.13	.240
9—10	8.65	6.49	6.88	7.43	.04	.28	.78	.16	.315
10—11	8.75	6.45	6.64	7.25	.06	.32	1.02	.34	.405
11—Mittag	8.72	6.51	6.64	7.27	.03	.26	1.02	.32	.392
12—1	8.72	6.57	6.92	7.17	.03	.20	.74	.42	.332
1—2	8.66	6.54	7.02	7.12	.03	.23	.64	.47	.342
2—3	8.63	6.47	7.05	7.10	.06	.30	.61	.49	.365
3—4	8.97	6.73	7.31	7.30	.28	.04	.35	.29	.100
4—5	9.14	6.71	7.51	7.53	.45	.06	.15	.06	.045
5—6	8.90	6.96	7.71	7.61	.21	.19	.05	.02	.117
6—7	8.96	7.09	7.99	7.73	.27	.32	.33	.14	.265
7—8	8.79	7.07	8.06	7.82	.10	.30	.40	.23	.257
8—9	8.73	7.10	8.07	7.81	.04	.33	.41	.22	.250
9—10	8.67	7.25	8.29	7.97	.02	.48	.63	.38	.367
10—11	8.67	7.15	8.26	7.93	.02	.38	.60	.34	.325
11—12	8.64	7.05	8.18	7.80	.05	.28	.52	.21	.240
Mittel	8.69	6.77	7.66	7.59	.12	.21	.52	.22	.222

Anhang. Tabelle XI. Sonnblick.

	Meter pro Secunde			Abweichung vom Mittel					
	Winter	Frühling	Sommer	Herbst	Winter	Frühling	Sommer	Herbst	Jahr
Mittn.—1 <sup>a</sup> a.	10·81	9·52	8·71	9·21	·41	·22	·23	·07	·20
1—2	10·69	9·22	8·37	9·06	·29	·08	·11	·22	·02
2—3	10·76	9·18	8·55	9·20	·36	·12	·07	·08	·06
3—4	10·45	8·99	8·53	9·10	·05	·31	·05	·18	·10
4—5	10·45	8·82	8·53	9·15	·05	·48	·25	·13	·13
5—6	10·51	8·71	8·28	9·17	·11	·59	·20	·11	·20
6—7	10·37	8·62	8·03	9·17	·03	·68	·45	·11	·32
7—8	10·13	8·66	7·73	9·09	·27	·64	·75	·19	·46
8—9	10·05	8·76	7·70	9·09	·35	·54	·78	·19	·47
9—10	10·12	8·81	7·83	9·17	·28	·49	·65	·11	·38
10—11	9·90	8·98	7·81	9·08	·50	·32	·67	·20	·42
11—Mittag	10·04	9·17	7·96	9·15	·36	·13	·52	·13	·28
12—1	10·47	9·49	8·15	9·29	·07	·19	·33	·01	·01
1—2	10·32	9·45	8·33	9·43	·08	·15	·15	·15	·02
2—3	10·52	9·62	8·59	9·50	·12	·32	·11	·22	·19
3—4	10·54	9·55	8·68	9·43	·14	·25	·20	·15	·18
4—5	10·40	9·40	8·58	9·33	·00	·10	·10	·05	·06
5—6	10·54	9·59	8·82	9·62	·14	·29	·34	·34	·28
6—7	10·32	9·57	9·02	9·47	·08	·27	·54	·19	·23
7—8	10·52	9·97	9·07	9·70	—	·67	·59	·42	·45
8—9	10·32	9·88	8·99	9·44	·08	·58	·51	·16	·29
9—10	10·36	9·85	9·06	9·40	·04	·55	·58	·12	·30
10—11	10·44	9·83	9·15	9·33	·04	·53	·67	·05	·32
11—12	10·54	9·56	9·07	9·15	·14	·26	·59	·13	·21
Mittel	10·40	9·30	8·48	9·28	·17	·36	·38	·15	·23



# Über die Gestalt der Kraftlinien eines magnetischen Drehfeldes

von

**Max Jüllig,**

*dipl. Ingenieur, Docent an der k. k. technischen Hochschule in Wien, Oberingenieur der k. k. österr. Staatsbahnen.*

(Mit 4 Tafeln und 9 Textfiguren.)

(Vorgelegt in der Sitzung am 4. Mai 1894.)

Ferraris hat gezeigt,<sup>1</sup> dass man durch zwei Wechselströme von constanter Phasendifferenz, welche die Stromleiter *mn* und *op* durchfliessen (Fig. 1), eine hohle Kupfermasse *K*, die an einem dünnen Faden hängt, in rotirende Bewegung versetzen kann. Die Intensitäten der beiden Wechselströme sind durch folgende Ausdrücke gegeben:

$$J_1 = J_0 \sin \frac{2\pi t}{T}, \quad J_2 = J'_0 \sin \left( \frac{2\pi t}{T} + \varphi \right),$$

wobei

$$0 < \varphi < \pi$$

Ein ähnliches Phänomen hat Tesla durch vier Magnetpole *a, b, c, d* (Fig. 2) von variabler Intensität hervorgerufen und zur Construction eines für technische Zwecke dienlichen Motors verwendet.<sup>2</sup> Zur Erregung der Magnetpole *a, b, c, d* dienten die Wechselströme *J<sub>1</sub>* und *J<sub>2</sub>* (Fig. 2), deren Intensitäten sehr nahe den Werthen

<sup>1</sup> Rotazioni elettrodinamiche prodotto per mezzo di correnti alternate. Nota del prof. Galileo Ferraris. Atti della R. Accademia delle scienze di Torino, 1887—1888, p. 360.

<sup>2</sup> Berliner elektrotechn. Zeitschr., Bd. 9, S. 343. D. R. Patent Nr. 47885, von 1. Mai 1888 ab gültig.



$$J_1 = J_0 \cos \frac{2\pi t}{T},$$

$$J_2 = J_0 \sin \frac{2\pi t}{T}$$

entsprachen.

Die Kupfermasse <sup>1</sup> *K* (Fig. 2) rotirt um eine zur Zeichnungsfläche senkrechte Axe.

Sowohl beim Apparate von Ferraris, als bei jenem von Tesla entstehen magnetische Felder, deren Kraftlinien ihre Gestalt periodisch ändern und in unmittelbarer Nähe der Drehungsaxe der Kupfermasse *K* ein nahezu homogenes magnetisches Feld bilden, das um die Axe *qr* (Fig. 1), beziehungsweise um eine durch den Punkt *K* (Fig. 2) senkrecht zur Zeichnungsfläche gelegten Axe rotirt.

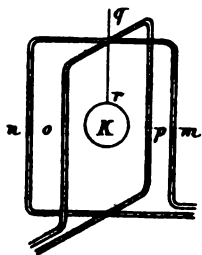


Fig. 1.

Die Einwirkung der rotirenden Kraftlinien auf die bewegliche Kupfermasse ist gleichartig mit jener eines um die Axe *yy'* (Fig. 3) rotirenden Magnetes<sup>2</sup> und die Erklärung der auftretenden Rotationserscheinungen ist identisch mit jener, welche für die Phänomene des Arago'schen Rotationsmagnetismus gegeben wurde.

In der Literatur über magnetische Drehfelder existiren keine präzisen Darstellungen der beim Ferraris'schen oder Tesla'schen Phänomen in Betracht kommenden Kraftlinien. Es würde auch kaum möglich sein, unter Berücksichtigung aller Einflüsse durch Rechnung die Gestalt der Kraftlinien zu ermitteln.

Macht man jedoch gewisse vereinfachende Annahmen, so ergeben sich übersichtliche Resultate, welche eine Beurtheilung der Beschaffenheit des Drehfeldes in allen seinen Theilen gestatten. Nehmen wir zunächst an, dass die beiden Strom-

<sup>1</sup> Beziehungsweise ein mit Kupferdraht umgebener Eisenkern.

<sup>2</sup> In Fig. 3 bedeutet *abcd* eine gläserne Schutzhülle, um Luftströme abzuhalten.

schleifen *mn* und *op* (Fig. 1) aus unendlich dünnen Drähten bestehen, die in zwei aufeinander senkrechten Ebenen liegen. Die Gestalt der beiden Leiter wird durch Fig. 4 versinnlicht.

Die geradlinigen Leiter 1 I, 2 II, 3 III, 4 IV sind zur Axe *AB* parallel und unendlich lang; die kürzesten Abstände

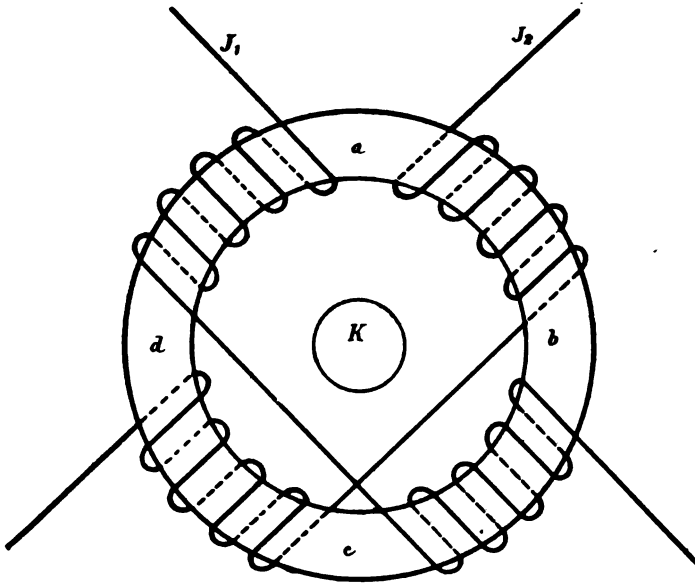


Fig. 2.

des Punktes *O* von den genannten vier unendlich langen Leitern *Oα*, *Oβ*, *Oγ*, *Oδ* seien einander gleich.

In den Schleifen 1 I II 2 und 3 III IV 4 circuliren die Ströme

$$\left. \begin{aligned} J_1 &= J_0 \cos \frac{2\pi t}{T} \\ J_2 &= J_0 \sin \frac{2\pi t}{T} \end{aligned} \right\} \quad 1)$$

und

Zunächst soll das magnetische Potential  $V_z$  des in Fig. 4 dargestellten Leiters 3 III IV 4 für einen beliebigen Punkt *G* bestimmt werden. Es ist bekanntlich  $V_z = J_z w$ , wobei *w* einen körperlichen Winkel bezeichnet, der von allen geradlinigen Leit-

strahlen, die man vom Leiter III.3.4.IV zum Punkte  $G$  ziehen kann, umschlossen wird.<sup>1</sup>

Dieser körperliche Winkel wird durch den Inhalt einer Fläche  $f$  gemessen, welche ein vom Punkte  $G$  ausgehender Fahrstrahl, während er über die Schleife III.3.4.IV gleitet, aus einer Kugeloberfläche heraus-schneidet, deren Mittelpunkt mit dem Punkte  $G$  zusammenfällt und deren Radius gleich 1 gewählt wird. Die Fläche  $f$  wird positiv gerechnet, wenn der Strom, von  $G$  aus gesehen, entgegengesetzt der Uhrzeigerbewegung verläuft.

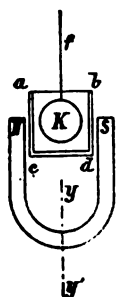


Fig. 3.

Im vorliegenden Falle ist die Fläche  $f$  ein sphärisches Zweieck (Fig. 4), da die Leit-strahlen  $G3$ ,  $G4$  und  $GIII$ ,  $GIV$  mit dem Kugeldurchmesser  $dc // AB$  zusammenfallen, wenn wir die Schleife III.3.4.IV unendlich lang machen.

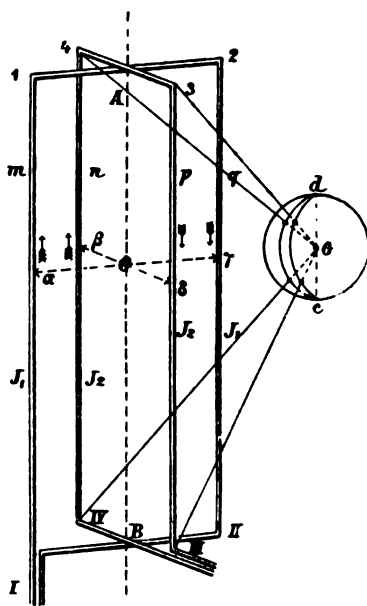


Fig. 4.

Bezeichnen wir mit  $\varphi$  den Neigungswinkel der Ebenen 3III $G$  und 4IV $G$ , so ist  $f = 2\varphi$  und somit

$$V_2 = 2J_2\varphi.$$

Bezeichnen wir ferner mit  $\psi$  den Neigungswinkel der Ebenen 2II $G$  und 1I $G$ , so ist das durch die Strom-schleife I12II im Punkte  $G$  hervorgerufene elektromagnetische Potential

$$V_1 = 2J_1\psi.$$

Fig. 5 zeigt eine orthogonale Projection des in Fig. 4 dargestellten Strom-systems, wobei die Zeich-nungsfläche mit der Ebene  $\alpha\beta\gamma\delta$  identisch ist und  $OA$  zur

<sup>1</sup> Vergl. v. Lang, Einleitung in die theoretische Physik. Braunschweig, Vieweg, 1891, 2. Aufl., S. 376, §. 186.

Zeichnungsfläche senkrecht steht. Das Zeichen + in Fig. 5 bedeutet, dass der Strom von der Zeichnungsfläche zum Be-

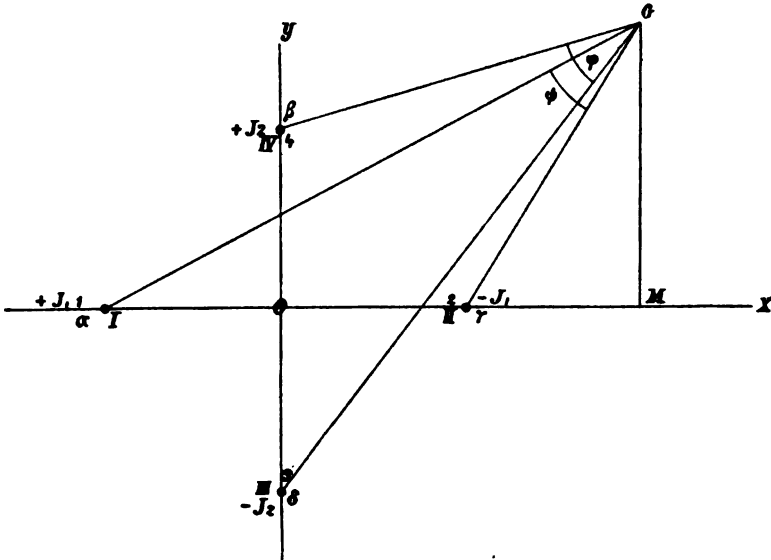


Fig. 5.

schaauer fliesse, das Zeichen — die entgegengesetzte Stromrichtung.

Wir betrachten die Geraden  $O\gamma$ ,  $O\beta$ ,  $OA$  (Fig. 4 und 5) als  $x$ -,  $y$ - und  $z$ -Aren eines rechtwinkligen Koordinatensystems.

Die Gleichung der Niveaulächen lautet:

$$V_1 + V_2 = C,$$

wobei  $C$  eine willkürliche reelle Grösse ist. Um die Gleichung der Niveaulächen in rechtwinkligen Koordinaten darzustellen, setzen wir  $OM = x$ ,  $MG = y$ ,  $O\alpha = O\beta = O\gamma = O\delta = g$  und es ergibt sich

$$\varphi = \arctg \frac{2gx}{x^2 + y^2 - g^2}; \quad \psi = \arctg \frac{2gy}{x^2 + y^2 - g^2}.$$

Bezeichnen wir das Potential im Punkte  $G$  mit  $V$ , so ist

$$V = V_1 + V_2 = 2(\varphi J_2 + \psi J_1)$$

und mit Berücksichtigung der Werthe von  $\varphi$  und  $\psi$

$$\frac{V}{2} = J_2 \operatorname{arctg} \frac{2gx}{x^2+y^2-g^2} + J_1 \operatorname{arctg} \frac{2gy}{x^2+y^2-g^2}. \quad 1a)$$

Es ist dies die Gleichung der Niveauflächen. Da in derselben die Variable  $z$  nicht erscheint, sind die Niveauflächen, wie vorausszusehen war, Cylinderflächen. Schneidet man dieselben durch eine zur  $Z$ -Axe senkrechte Ebene, so erhält man als Schnittlinien eine Schaar von Niveaulinien, deren Gleichung mit Gleichung 1a) identisch ist.

Die Kraftlinien bilden eine Schaar von Curven, welche die Niveauflächen normal schneiden. Da die ersteren Cylinderflächen bilden, deren Erzeugende sämmtlich zu einander parallel sind, so sind die Kraftlinien ebene Curven, welche in jeder beliebigen, zur  $xy$ -Ebene parallelen Ebene dargestellt werden können.

Bestimmt man aus Gleichung 1a) den Differentialquotienten

$$\frac{dy}{dx} = Q,$$

so ist die Differentialgleichung der Kraftlinien

$$\frac{dy}{dx} = -\frac{1}{Q}.$$

Durch Differentiation der Gleichung 1a) erhält man

$$Q = \frac{(s^4 + 4g^2y^2)J_2(y^2 - x^2 - g^2) - (s^4 + 4g^2x^2)J_1 \cdot 2xy}{(s^4 + 4g^2y^2)J_2 \cdot 2xy - (s^4 + 4g^2x^2)J_1(x^2 - y^2 - g^2)},$$

wobei zur Abkürzung

$$x^2 + y^2 - g^2 = s^2$$

gesetzt wurde. Die Differentialgleichung der Kraftlinien lautet somit

$$\frac{dy}{dx} = -\frac{(s^4 + 4g^2y^2)J_2 \cdot 2xy - (s^4 + 4g^2x^2)J_1(x^2 - y^2 - g^2)}{(s^4 + 4g^2y^2)J_2(y^2 - x^2 - g^2) - (s^4 + 4g^2x^2)J_1 \cdot 2xy} \quad 2)$$

Dieser Differentialgleichung genügt die endliche Gleichung

$$J_1 \log \operatorname{nat} \frac{(x+g)^2 + y^2}{(x-g)^2 + y^2} - J_2 \log \operatorname{nat} \frac{(y+g)^2 + x^2}{(y-g)^2 + x^2} = C, \quad 3)$$

wobei unter  $C$  eine willkürliche Constante zu verstehen ist.

Sind  $J_1$ ,  $J_2$  und  $C$  gegeben, so lässt sich für jede Abscisse  $x$  die zugehörige Ordinate  $y$  berechnen.

Die Gleichung 3) wurde jedoch nicht durch Integration der Differentialgleichung 2), sondern auf einem Umwege gefunden, der nun beschrieben werden soll und auch zu einer einfachen Construction der durch Gleichung 3) dargestellten Curven geführt hat.

Setzt man in Gleichung 2)

$$J_2 = 0,$$

so erhält man

$$\frac{dy}{dx} = \frac{y^2 + g^2 - x^2}{2xy}.$$

Diese Differentialgleichung lässt sich leicht integrieren und führt zur endlichen Gleichung

$$\frac{(x+g)^2 + y^2}{(x-g)^2 + y^2} = C, \quad 4)$$

wobei  $C$  eine willkürliche Constante ist.

Durch eine einfache Transformation erhält man aus Gleichung 4) die Gleichung

$$y^2 + (\gamma - x)^2 = r^2, \quad 5)$$

wobei

$$\gamma = g \frac{C+1}{C-1}; \quad r = \frac{2g\sqrt{C}}{C-1} \quad 6)$$

Gleichung 5) ist die Gleichung eines Kreises vom Radius  $r$ , dessen Mittelpunkt auf der Abscissenaxe liegt und um die Länge  $\gamma$  vom Ursprung des Coordinatensystems entfernt ist.

Zu dem gleichen Resultate kann man auf synthetischem Wege gelangen.

Lassen wir in Fig. 5  $J_2$  verschwinden, so erhalten wir nachstehende Figur 6.

Das magnetische Potential im Punkte  $M$  ist  $2\phi J_1 = V_1$ . Für jede Niveauläche (beziehungsweise Niveaulinie) ist  $V_1$  constant, somit auch  $\phi$  constant. Hieraus folgt mit Rücksicht auf einen bekannten Lehrsatz der ebenen Geometrie, dass der Kreisbogen  $IMII$  eine Niveaulinie ist.

Die Niveaulinien der Stromschleife  $J_1$  bilden eine Schaar von Kreisbögen, die sich in den Punkten I und II schneiden, und die Niveaulächen sind Kreiscylinderflächen, deren Erzeugende

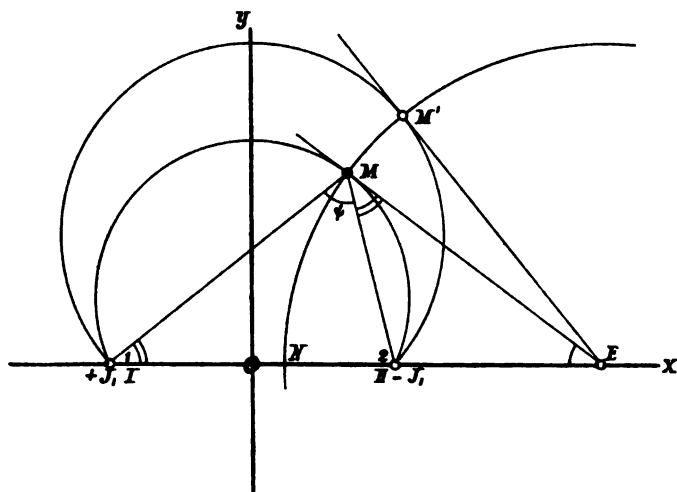


Fig. 6.

zu den Geraden I1 und II2 parallel sind und deren Mantelflächen sich in den Geraden I1 und II2 schneiden.

Behufs Ermittlung der Gestalt der Kraftlinien ziehen wir durch  $M$  (Fig. 6) eine Tangente  $ME$  und bezeichnen die Entfernung  $OE$  mit  $\Gamma$ .

Es soll zunächst die Länge  $ME$  berechnet werden. Bekanntlich ist

$$\sphericalangle EIM = \sphericalangle EMII.$$

Da ferner die Dreiecke  $MEII$  und  $MEI$  den Winkel bei  $E$  gemein haben, sind dieselben ähnlich und es besteht die Proportion

$$\overline{IE} : \overline{ME} = \overline{ME} : \overline{IE}$$

oder

$$\overline{ME}^2 = \overline{IE} \cdot \overline{IE}.$$

Setzen wir  $ME = R$  und berücksichtigen, dass  $\overline{OE} = \Gamma$ ,  $\overline{OI} = \overline{OII} = g$ , so ergibt sich

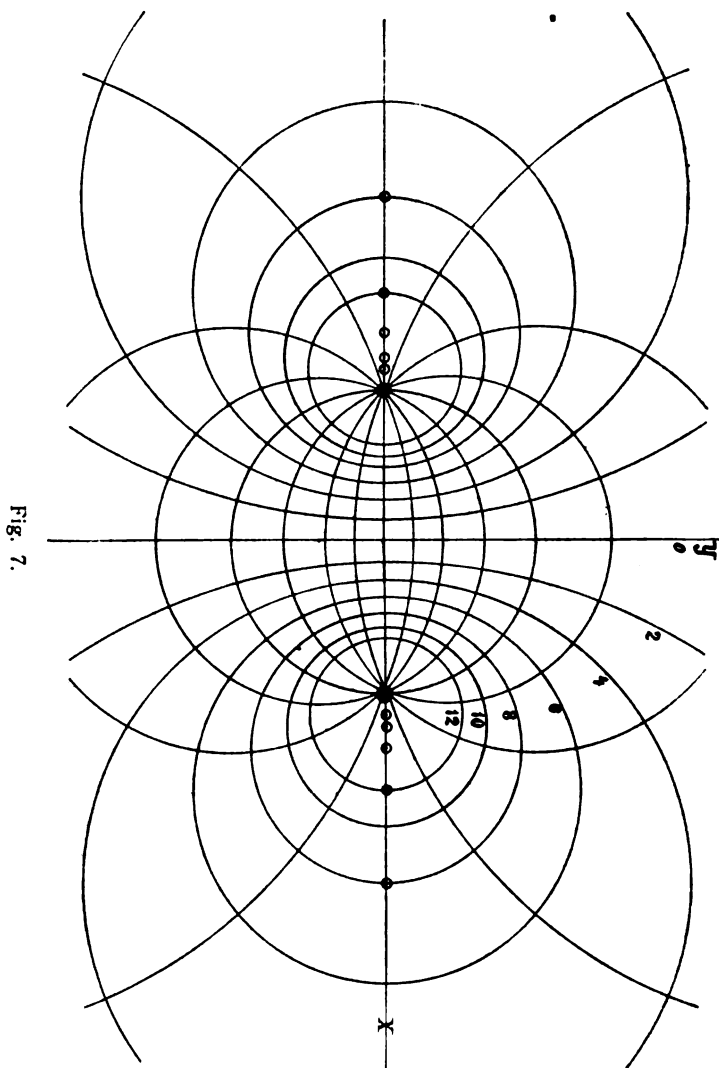
$$R^2 = (\Gamma + g)(\Gamma - g) = \Gamma^2 - g^2.$$

Ziehen wir vom Punkte  $E$  aus an eine beliebige andere Niveaulinie  $IM'II$  eine Tangente  $EM'$ , so erhalten wir für die Länge  $M'E$  immer denselben Werth  $\sqrt{\Gamma^2 - g^2} = R$ , und liegen die Punkte  $MM'...$  in der Peripherie eines Kreises, der sämtliche Niveaulinien normal schneidet und somit als eine Kraftlinie angesehen werden muss. In Fig. 7 ist ein System von Kraft- und Niveaulinien dargestellt. Die Niveaulinien entsprechen gleichen Potentialdifferenzen und die Kraftlinien sind derart angeordnet, dass die Intensität des magnetischen Feldes durch die Anzahl der Kraftlinien bestimmt wird, welche eine auf beliebiger Niveaufläche befindliche Flächeneinheit durchdringen. Sämtliche Kraftlinien liegen in parallelen Ebenen, deren Entfernung gleich 1 *cm* gewählt wurde. Legt man durch je zwei benachbarte Kraftlinien zwei zur Zeichnungsfläche senkrechte Kreiscylinder, so wird durch diese aus einer 1 *cm* hohen, zur Zeichnungsfläche parallelen Schicht eine Kraft-röhre (Sphondyloid) herausgeschnitten. Jede Einheits-Kraft-röhre<sup>1</sup> ist derart beschaffen, dass sie in einem bewegten linearen Stromleiter, welcher dieselbe in einer Secunde durchschneidet, elektromotorische Kräfte wachruft, deren Mittelwerth der absoluten elektromagnetischen Einheit der elektromotorischen Kraft gleich ist, wobei jedoch die Rückwirkung eines im besagten Leiter eventuell entstehenden Stromes auf die Gestalt der Kraftlinien unberücksichtigt bleibt. Für jedes magnetische Feld lassen sich unzählig viele verschiedene Anordnungen der Sphondyloiden finden, welche obiger Bedingung entsprechen. Es muss deshalb die Gestalt des Querschnittes der Sphondyloiden noch durch willkürliche Nebenbedingungen näher bestimmt werden. Im vorliegenden Falle wird angenommen, dass die Schnitte der Einheits-Kraft-röhren mit der Ebene 11 II 2 Rechtecke bilden, deren Höhe = 1 *cm* und deren sonstige Anordnung aus Fig. 8 zu entnehmen ist.

<sup>1</sup> Vergl. Maxwell, Lehrb. der Elektrizität und des Magnetismus, II. Bd.



Diese Figur zeigt in etwas vergrößertem Massstabe einen Schnitt des in Fig. 7 dargestellten magnetischen Feldes durch



eine Ebene, welche die  $x$ - und  $z$ -Axe in sich enthält und somit zur Zeichnungsfläche der Figur 7 senkrecht steht.

Bestimmen wir zunächst die magnetische Intensität, welche durch die Stromschleife 11 II 2 in verschiedenen Punkten der Ebene 11 II 2 erzeugt wird.

Es sei  $n$  (Fig. 8) eine nordmagnetische Masse  $= 1$ ,  $On = x$ , so wirkt der Strom 2II auf  $n$  mit der Kraft  $P_2 = 2J_1 : (g-x)$ , der Strom 1I mit der Kraft  $P_1 = 2J_1 : (g+x)$ . Somit ist die magnetische Intensität für jeden Punkt, der in der Ebene 1II2 liegt und von  $OZ$  um  $x$  absteht

$$H = 2J_1 \left( \frac{1}{g-x} + \frac{1}{g+x} \right) \quad (7)$$

Bewegt sich ein Stromleiter  $OO'$  von 1 cm Länge von  $OO'$  parallel zu sich selbst in der Ebene 1II2 nach  $a_1a'$ ,  $a_2a'_2 \dots$  u. s. w., so wird in jedem Zeitelement  $dt$ , in welchem der Strom-

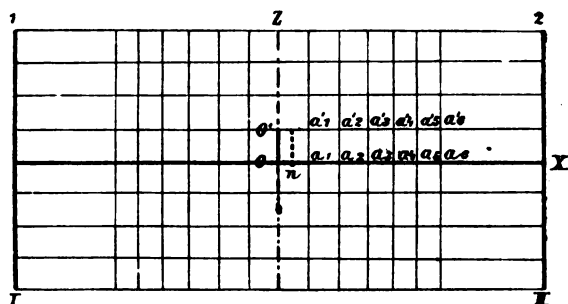


Fig. 8.

leiter das Wegelement  $dx$  zurücklegt, die im beweglichen Leiter  $OO'$  inducirte elektromotorische Kraft

$$e = H \cdot \frac{dx}{dt},$$

somit

$$edt = Hdx.$$

Der Mittelwerth von  $e$  im Verlaufe der Zeit  $t$  ist

$$e_m = \frac{1}{t} \int_0^t edt = \frac{1}{t} \int_0^x Hdx \quad (8)$$

wobei vorausgesetzt wird, dass  $O'$  nach  $t$  Secunden den Weg  $x$  zurückgelegt hat.

Es sollen nun die Strecken

$$oa_1 = x_1, oa_2 = x_2, oa_3 = x_3 \dots oa_n = x_n$$

so gewählt werden, dass für  $t = 1$  Secunde, die Mittelwerthe

$$e'_m = \int_0^{x_1} H dx = 1, \quad e''_m = \int_0^{x_2} H dx = 2, \quad e'''_m = \int_0^{x_3} H dx = 3,$$

und allgemein

$$e_m^{(n)} = \int_0^{x_n} H dx = n \quad (9)$$

sind.

Setzt man in Gleichung 8) für  $H$  den Werth aus Gleichung 7) und  $e_m^{(n)}$  statt  $e_m$ ,  $x_n$  anstatt  $x$ ,  $t = 1$ , so ergibt sich

$$e_m^{(n)} = 2J_1 \int_0^{x_n} \left( \frac{dx}{g-x} + \frac{dx}{g+x} \right) = n \quad (10)$$

und nach Durchführung der Integration

$$e_m^{(n)} = n = 2J_1 \log \text{nat} \frac{g+x_n}{g-x_n},$$

somit

$$x_n = g \frac{e^{\frac{n}{2J_1}} - 1}{e^{\frac{n}{2J_1}} + 1}$$

und wenn wir zur Abkürzung

$$e^{\frac{n}{2J_1}} = x_n$$

setzen,

$$x_n = g \frac{x_n - 1}{x_n + 1}. \quad (11)$$

Für jedes Rechteck  $oo'a'_1a_1$ ,  $a_1a'_1a'_2a_2$ ,  $a_2a'_2a'_3a_3$  u. s. w. ist das Doppelintegral

$$\int_{x=x_n}^{x=x_{n+1}} \int_{z=0}^{z=1} H dx dz = 1.$$

Die Gleichung einer Kraftlinie, welche die Abscissenaxe in der Entfernung  $ON = x_n$  (Fig. 6) schneidet, hat die Form

$$y^2 + (\gamma_n - x)^2 = r_n^2.$$

Setzen wir  $y = 0$ , so erhalten wir allgemein

$$x = \gamma_n \pm r_n.$$

Von den beiden Werthen  $x = \gamma_n + r_n$  und  $x = \gamma_n - r_n$  entspricht der kleinere dem Werthe  $x_n$  der Gleichung 11) und ist somit

$$x_n = \gamma_n - r_n = g \frac{x_n - 1}{x_n + 1}. \quad (12)$$

Da ferner (wie aus der Erläuterung zu Fig. 6 zu entnehmen ist)

$$\gamma_n^2 - g^2 = r_n^2, \quad (13)$$

erhalten wir aus den Gleichungen 12) und 13)

$$\left. \begin{aligned} \gamma_n &= g \frac{x_n^2 + 1}{x_n^2 - 1} \\ r_n &= g \frac{2x_n}{x_n^2 - 1} \end{aligned} \right\} \quad (14)$$

Aus diesen beiden Gleichungen ergibt sich unter Berücksichtigung der Gleichung 6) die physikalische Bedeutung der Constante  $C$  der Gleichung 4)

$$C = x_n^2 = e^{\frac{n}{J}},$$

wobei  $n = 1, 2, 3, \dots$

Setzen wir  $J = 4$  in absolutem elektromagnetischem Maasse gemessenen Stromeinheiten = 40 Ampère, so wird

$$x_n = e^{\frac{n}{8}} = 1.133148^n.$$

In der Tabelle A sind die Werthe für

$$\frac{x_n}{g} = \frac{x_n - 1}{x_n + 1} \quad \text{und} \quad \frac{\gamma_n}{g} = \frac{x_n^2 + 1}{x_n^2 - 1}$$

für  $n = 1$  bis  $n = 12$  zusammengestellt.

Tabelle A.

$n$	$\frac{x_n}{g} = \frac{x_n - 1}{x_n + 1}$	$\frac{\gamma_n}{g} = \frac{x_n^2 + 1}{x_n^2 - 1}$
1	0.062	8.045
2	0.124	4.083
3	0.185	2.790
4	0.245	2.164
5	0.303	1.803
6	0.358	1.574
7	0.412	1.421
8	0.462	1.313
9	0.510	1.236
10	0.555	1.179
11	0.596	1.137
12	0.635	1.105

Mit Hilfe dieser Tabelle wurden die in Fig. 7 dargestellten Kraftlinien construiert, und zwar für  $n = 2, 4, 6, 8, 10$  und  $12$ .

Als Controle für die Richtigkeit der Zeichnung dient die Thatsache, dass die Kraftlinie  $12$  den Mittelpunkt der Kraftlinie  $6$ , die Kraftlinie  $8$  den Mittelpunkt der Kraftlinie  $4$  und allgemein die Kraftlinie  $n$  den Mittelpunkt der Kraftlinie  $\frac{n}{2}$  in ihrer Peripherie enthält. Dies lässt sich aus den Gleichungen 14) leicht ersehen.

Jede Kraftlinie mit dem Index  $2n$  schneidet die positive  $x$ -Axe in zwei Punkten, deren Abscissen gleich  $\gamma_{2n} - r_{2n}$  und  $\gamma_{2n} + r_{2n}$  sind.

Nun ist aus den Gleichungen 14) zu entnehmen, dass

$$\gamma_{2n} + r_{2n} = g \frac{x_{2n} + 1}{x_{2n} - 1}$$

und da

$$x_n = e^{\frac{n}{2J_1}}, \quad x_{2n} = e^{\frac{2n}{2J_1}} = x_n^2,$$

so ergibt sich

$$\gamma_{zn} + r_{zn} = g \frac{\kappa_n^2 + 1}{\kappa_n^2 - 1} = \gamma_n.$$

Aus dieser Gleichung ist die oben angeführte geometrische Beziehung unmittelbar ersichtlich.

In Fig. 9, Taf. I sind alle der Tabelle A entsprechenden Kraftlinien gezeichnet. Fig. 10 zeigt die Kraftlinien eines magnetischen Feldes, das von den coëxistirenden Strömen

$$J_1 = 4 \cos 15^\circ, \quad J_2 = 4 \sin 15^\circ$$

erzeugt wird. Die Figuren 9 bis 15 auf Tafel I bis IV entsprechen den Strömen

Fig. 9. . . .	$J_1 = 4 \cos 0^\circ$	$J_2 = 4 \sin 0^\circ$
Fig. 10. . . .	$J_1 = 4 \cos 15$	$J_2 = 4 \sin 15$
Fig. 11. . . .	$J_1 = 4 \cos 30$	$J_2 = 4 \sin 30$
Fig. 12. . . .	$J_1 = 4 \cos 45$	$J_2 = 4 \sin 45$
Fig. 13. . . .	$J_1 = 4 \cos 60$	$J_2 = 4 \sin 60$
Fig. 14. . . .	$J_1 = 4 \cos 75$	$J_2 = 4 \sin 75$
Fig. 15. . . .	$J_1 = 4 \cos 90$	$J_2 = 4 \sin 90.$

Fig. 15 ist mit Fig. 9 congruent und aus dieser durch Drehung um  $90^\circ$  entstanden. Die übrigen Figuren zeigen die Zwischenstadien. Zur Construction der Figur 10 dienten zwei Tabellen, welche gerade so wie Tabelle A berechnet wurden. Für die eine Tabelle ist

$$\kappa_n = e^{\frac{n}{8 \sin 15^\circ}}, \quad \text{für die zweite} \quad \kappa_n = e^{\frac{n}{8 \cos 15^\circ}}.$$

Die Mittelpunkte der kreisförmigen Kraftlinien für

$$\kappa_n = e^{\frac{n}{8 \cos 15^\circ}}$$

liegen in der Geraden  $ab$  (Fig. 10), jene für

$$\kappa_n = e^{\frac{n}{8 \sin 15^\circ}}$$

in der zu  $ab$  senkrechten Geraden  $cd$ . Die resultirenden Kraftlinien erhält man durch entsprechende Verbindung der Schnittpunkte der beiden Kraftliniensysteme.<sup>1</sup>

In ähnlicher Weise wurden die übrigen Figuren gezeichnet und sind die Figuren 13 und 14 die um  $90^\circ$  gedrehten Spiegelbilder der Figuren 11 und 10.

Die Figuren auf Taf. I bis IV zeigen die successiven Veränderungen der Kraftlinien eines elektromagnetischen Drehfeldes.

Aus der angegebenen Construction lässt sich auch die Gleichung der Kraftlinien ableiten.

Wir haben eine Schaar von Kreisen, deren Gleichung durch die Formel

$$y^2 + (\gamma_n - x)^2 = r_n^2 \quad (15)$$

gegeben ist, mit einer zweiten Schaar von Kreisen zum Schnitt zu bringen, deren Gleichung lautet:

$$x^2 + (\gamma_m - y)^2 = r_m^2, \quad (16)$$

wobei für ein und dieselbe Kraftlinie

$$n - m = \text{Const.} = C. \quad (17)$$

Es ist ferner

$$\gamma_n = g \frac{x_n^2 + 1}{x_n^2 - 1}, \quad (18)$$

$$r_n^2 = \gamma_n^2 - g^2, \quad (19)$$

$$x_n = e^{\frac{n}{2J_1}}, \quad (20)$$

$$\gamma_m = g \frac{x_m^2 + 1}{x_m^2 - 1}, \quad (21)$$

$$r_m^2 = \gamma_m^2 - g^2, \quad (22)$$

$$x_m = e^{\frac{m}{2J_2}}. \quad (23)$$

<sup>1</sup> Vergl. auch Maxwell, Lehrb. der Elektrizität und des Magnetismus, I. Bd., S. 179.

Eliminirt man aus den neun Gleichungen 15) bis 23) die Grössen

$$\begin{aligned} \gamma_n, \quad r_n, \quad x_n, \quad n, \\ \gamma_m, \quad r_m, \quad x_m, \quad m, \end{aligned}$$

so ergibt sich die allgemeine Gleichung der Kraftlinien.

Zunächst erhält man aus den Gleichungen 15), 19) und 16), 22):

$$\begin{aligned} y^2 + (\gamma_n - x)^2 &= \gamma_n^2 - g^2 \\ x^2 + (\gamma_m - y)^2 &= \gamma_m^2 - g^2 \end{aligned}$$

Durch Auflösung nach  $\gamma_n$  und  $\gamma_m$  erhält man

$$\gamma_n = \frac{x^2 + y^2 + g^2}{2x} \quad (24)$$

$$\gamma_m = \frac{x^2 + y^2 + g^2}{2y} \quad (25)$$

Aus Gleichung 20) und 23) folgt

$$\begin{aligned} n &= 2J_1 \log \text{nat } x_n = J_1 \log \text{nat } x_n^2, \\ m &= 2J_2 \log \text{nat } x_m = J_2 \log \text{nat } x_m^2, \end{aligned}$$

und mit Berücksichtigung der Gleichung 17):

$$n - m = C = J_1 \log \text{nat } x_n^2 - J_2 \log \text{nat } x_m^2 \quad (26)$$

Bestimmt man  $x_n^2$  und  $x_m^2$  aus den Gleichungen 18) und 21), so erhält man

$$x_n^2 = \frac{\gamma_n + g}{\gamma_n - g}, \quad x_m^2 = \frac{\gamma_m + g}{\gamma_m - g}$$

und mit Berücksichtigung der Gleichungen 24) und 25)

$$x_n^2 = \frac{(g+x)^2 + y^2}{(g-x)^2 + y^2}, \quad x_m^2 = \frac{(g+y)^2 + x^2}{(g-y)^2 + x^2}. \quad (27)$$

Setzt man diese Werthe in Gleichung 26) ein, so ergibt sich als Schlussresultat

$$J_1 \log \text{nat } \frac{(g+x)^2 + y^2}{(g-x)^2 + y^2} - J_2 \log \text{nat } \frac{(g+y)^2 + x^2}{(g-y)^2 + x^2} = C.$$



Durch Differentiation dieser Gleichung, welche mit Gleichung 3) identisch ist, erhält man die Differentialgleichung 2) und gelangt somit auf zwei verschiedenen Wegen zum gleichen Resultate.

Jedes der in Fig. 9 bis 15 dargestellten Kraftliniensysteme wird durch eine Kraftlinie, welche durch den Mittelpunkt der betreffenden Figur geht,<sup>1</sup> in zwei congruente Hälften geteilt, von denen die eine mit der anderen durch eine Drehung um 180° zur Deckung gebracht werden kann. Alle Kraftlinien mit Ausnahme der Mittelpunktskraftlinien sind geschlossene Curven. Dieselben sind in nächster Nähe der Leiter 1 I, 2 II, 3 III, 4 IV nahezu kreisförmig, nehmen dann eine unregelmässig eiförmige Gestalt an, aus der sie in die Lemniscatenform übergehen. Die weiteren Übergangsformen sind aus den Figuren zu entnehmen. Die Mittelpunktskraftlinien sind in Fig. 9, 12 und 15 gerade Linien, in Fig. 10, 11, 13, 14 und 16 transcendente Curven, deren Gleichung lautet:

$$J_1 \log \operatorname{nat} \frac{(x+g)^2 + y^2}{(x-g)^2 + y^2} = J_2 \log \operatorname{nat} \frac{(y+g)^2 + x^2}{(y-g)^2 + x^2}. \quad (28)$$

Sucht man aus dieser Gleichung  $\frac{dy}{dx}$ , so ergibt sich Gleichung 2) und folgt aus der letzteren für  $x = y = 0$

$$\left(\frac{dy}{dx}\right)_0 = \frac{J_1}{J_2} = \frac{J_0 \cos \frac{2\pi t}{T}}{J_0 \sin \frac{2\pi t}{T}} = \operatorname{ctg} \frac{2\pi t}{T}, \quad (29)$$

das heisst: die durch die Gerade  $AB$  (Fig. 4) gehenden Kraftlinienelemente rotiren mit der constanten Winkelgeschwindigkeit  $\frac{2\pi}{T}$ .<sup>2</sup>

Um auch über die Lage der unendlich fernen Punkte der Mittelpunktskraftlinien Aufschluss zu erhalten, führen wir

<sup>1</sup> Wir wollen dieselbe der Kürze halber mit dem Namen »Mittelpunktskraftlinie« bezeichnen.

<sup>2</sup> Vergl. Gleichung 1).

Polarcoordinaten ein und setzen

$$x = \rho \sin \varepsilon, \quad y = \rho \cos \varepsilon.$$

Gleichung 28) nimmt dann folgende Form an:

$$J_1 \log \text{nat} \frac{g^2 + 2g\rho \sin \varepsilon + \rho^2}{g^2 - 2g\rho \sin \varepsilon + \rho^2} = J_2 \log \text{nat} \frac{g^2 + 2g\rho \cos \varepsilon + \rho^2}{g^2 - 2g\rho \cos \varepsilon + \rho^2}. \quad 30)$$

Dividirt man in beiden Brüchen Zähler und Nenner durch  $\rho^2$  und sagt

$$\frac{g}{\rho} = \delta,$$

so ergibt sich

$$J_1 \log \text{nat} \frac{\delta^2 + 2\delta \sin \varepsilon + 1}{\delta^2 - 2\delta \sin \varepsilon + 1} = J_2 \log \text{nat} \frac{\delta^2 + 2\delta \cos \varepsilon + 1}{\delta^2 - 2\delta \cos \varepsilon + 1}. \quad 31)$$

Für sehr grosse Werthe von  $\rho$  sind die Binome  $\delta^2 + 2\delta \sin \varepsilon$ ,  $\delta^2 - 2\delta \sin \varepsilon$ ,  $\delta^2 + 2\delta \cos \varepsilon$ ,  $\delta^2 - 2\delta \cos \varepsilon$  sehr klein und jedenfalls kleiner als 1.

Man kann somit die Logarithmen in Reihen entwickeln und erhält, wenn noch Glieder der dritten Ordnung berücksichtigt werden

$$\left. \begin{aligned} J_1 \sin \varepsilon \left[ 1 + \delta^2 \left( \frac{4}{3} \sin^2 \varepsilon - 1 \right) \right] &= \\ &= J_2 \cos \varepsilon \left[ 1 + \delta^2 \left( \frac{4}{3} \cos^2 \varepsilon - 1 \right) \right] \end{aligned} \right\} \quad 32)$$

Für  $\rho = \infty$  wird  $\delta = 0$  und

$$\text{tg } \varepsilon_\infty = \frac{J_2}{J_1} = \text{tg } \frac{2\pi t}{T}.^1$$

Es geht somit eine Tangente, welche die Mittelpunktskraftlinie im Ursprung des Coordinatensystems berührt, durch die beiden unendlich fernen Punkte dieser Curve.

Eine solche Tangente ist zugleich eine Asymptote. Dies lässt sich leicht mit Hilfe der Gleichung 2) nachweisen. Dividirt

<sup>1</sup> Vergl. Gleichung 29.

man Zähler und Nenner der rechten Seite dieser Gleichung durch  $x^2$  und setzt der Kürze halber

$$1 + \frac{y^2}{x^2} - \frac{g^2}{x^2} = \sigma^2,$$

so erhält man

$$\frac{dy}{dx} = - \frac{\left(\sigma^4 + 4g^2 \frac{y^2}{x^4}\right) J_2 \cdot 2 \frac{y}{x} - \left(\sigma^4 + 4g^2 \frac{1}{x^2}\right) J_1 \left(1 - \frac{y^2}{x^2} - \frac{g^2}{x^2}\right)}{\left(\sigma^4 + 4g^2 \frac{y^2}{x^4}\right) J_2 \left(\frac{y^2}{x^2} - 1 - \frac{g^2}{x^2}\right) - \left(\sigma^4 + 4g^2 \frac{1}{x^2}\right) J_1 \cdot 2 \frac{y}{x}} \quad 33)$$

Bezeichnen wir mit  $X, Y$  die unendlich grossen Coordinaten eines Punktes der Curve, für welchen  $\rho = \infty$ , so ist das Verhältniss

$$Y : X = \operatorname{ctg} \varepsilon_\infty = \frac{J_1}{J_2} \quad 34)$$

und wir erhalten zunächst, indem wir in Gleichung 33) für  $x$  und  $y$   $X$  und  $Y$  setzen und die Beziehung 34) berücksichtigen, unter Hinweglassung der unendlich kleinen Brüche

$$\left(\frac{dy}{dx}\right)_\infty = - \frac{2\sigma_\infty^4 J_2 \frac{J_1}{J_2} - \sigma_\infty^4 J_1 \left(1 - \frac{J_1^2}{J_2^2}\right)}{\sigma_\infty^4 J_2 \left(\frac{J_1^2}{J_2^2} - 1\right) - \sigma_\infty^4 J_1 \cdot 2 \frac{J_1}{J_2}},$$

$$\sigma_\infty^2 = 1 + \frac{J_1^2}{J_2^2}.$$

Durch entsprechende Reduction ergibt sich

$$\left(\frac{dy}{dx}\right)_\infty = \frac{J_1}{J_2}. \quad 35)$$

Da

$$\left(\frac{dy}{dx}\right)_0 = \left(\frac{dy}{dx}\right)_\infty = \operatorname{ctg} \varepsilon_\infty,$$

so ist<sup>1</sup> jeder zu einem unendlich fernen Punkt einer Mittelpunktskraftlinie gezogene Radiusvector eine Asymptote, welche die Mittelpunktskraftlinie überdies im Coordinatenursprung

<sup>1</sup> Vergl. Gleichung 29.

berührt. Unter den Kraftlinien der Fig. 12 findet sich auch eine  $\infty$ -förmige Curve und lässt sich eine solche auch in den durch Fig. 10, 11, 13, 14 und 16 dargestellten Systemen einschalten.

Für den Doppelpunkt dieser Curven nimmt der erste Differentialquotient  $\frac{dy}{dx}$  die Form  $\frac{0}{0}$  an.

Somit ist nach Gleichung 2)

$$2J_2(s^3 + 4g^2y^2)xy = J_1(s^3 + 4g^2x^2)(x^2 - y^2 - g^2) \quad (36)$$

$$J_2(s^3 + 4g^2y^2)(y^2 - x^2 - g^2) = 2J_1(s^3 + 4g^2x^2)xy, \quad (37)$$

wobei

$$s^2 = x^2 + y^2 - g^2.$$

Die Coordinaten  $x_a, y_a$  des Doppelpunktes müssen überdies der Gleichung der Curve

$$J_1 \log \text{nat} \frac{(x+g)^2 + y^2}{(x-g)^2 + y^2} - J_2 \log \text{nat} \frac{(y+g)^2 + x^2}{(y-g)^2 + x^2} = C \quad (38)$$

Genüge leisten.

Dividirt man Gleichung 36) durch Gleichung 37) und setzt  $x_a, y_a$  an Stelle von  $x$  und  $y$ , so ergibt sich

$$\frac{2x_a y_a}{y_a^2 - x_a^2 - g^2} = \frac{x_a^2 - y_a^2 - g^2}{2x_a y_a}$$

und nach weiterer Reduction

$$x_a^2 + y_a^2 = g^2, \quad (39)$$

das heisst: alle Doppelpunkte der schleifenförmigen Curven liegen in der Peripherie eines Kreises vom Radius  $g$ .

Bestimmt man  $x_a$  und  $y_a$  aus den Gleichungen 36) und 37) und substituirt deren Werthe in Gleichung 38), so erhält man für beliebige Werthe von  $J_1$  und  $J_2$  jenen Werth von  $C$ , für welchen die Gleichung 38) einer  $\infty$ -förmigen Curve angehört.

Da mit Rücksicht auf Gleichung 39) die Grösse

$$s^2 = x_a^2 + y_a^2 - g^2 = 0$$

ist, nehmen die Gleichungen 36) und 37) die einfache Form an:

$$2J_2 y_a^3 = J_1 x_a (x_a^2 - y_a^2 - g^2) = -2J_1 x_a y_a^2,$$

$$2J_1 x_a^3 = J_2 y_a (y_a^2 - x_a^2 - g^2) = -2J_2 y_a x_a^2$$

und ergibt sich mit Rücksicht auf Gleichung 1)

$$\frac{x_a}{y_a} = -\frac{J_2}{J_1} = -\operatorname{tg} \frac{2\pi t}{T}. \quad (40)$$

Hieraus folgt, dass die Bewegung des Doppelpunktes in einem Kreise vom Radius  $g$  mit constanter Geschwindigkeit erfolgt, jedoch entgegengesetzt dem Sinne der Drehung der Asymptote der Mittelpunktskraftlinie.

Zum Schlusse möge noch eines Experimentes erwähnt werden, das als eine Ergänzung der Ferraris'schen Versuche angesehen werden kann.

Lässt man durch die Windungen  $ab$  und  $cd$  (Fig. 17) Wechselströme hindurchgehen, deren Intensitäten näherungsweise durch die Ausdrücke

$$J_m = J \sin \frac{2\pi t}{T},$$

$$J_n = J \cos \frac{2\pi t}{T}$$

gegeben sind, so geräth ein an dünnen Seidenfäden  $f_1, f_2, f_3$  aufgehängter kupferner Hohlzylinder sofort in Rotation.

Bei Anstellung des Experimentes wurden nicht einfache Drahtwindungen

wie diese in der Figur dargestellt sind, sondern mit dünnem Kupferdraht bewickelte Rahmen mit je 480 Windungen benützt.

Die Erklärung des Phänomens ist durch die in den Figuren 9 bis 16 versinnlichte Bewegung der Kraftlinien unmittelbar gegeben.

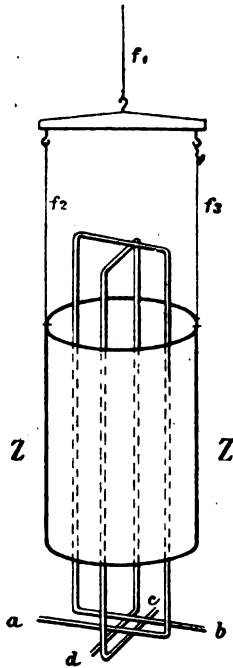
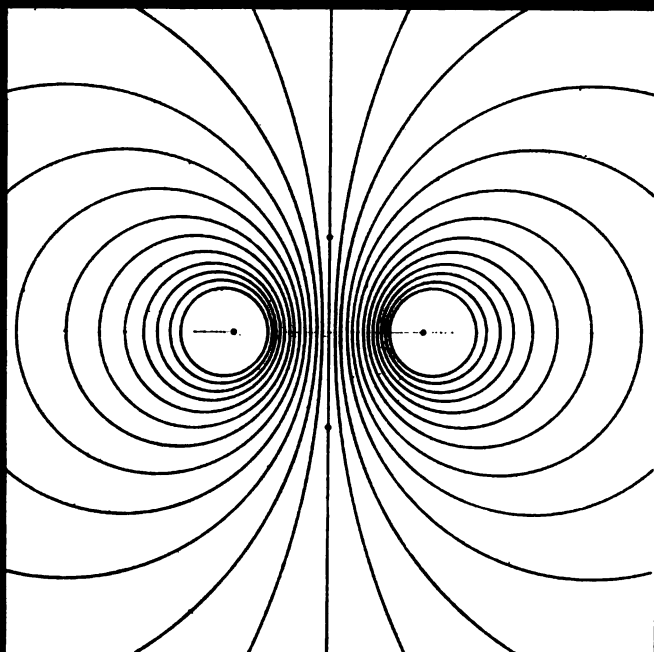


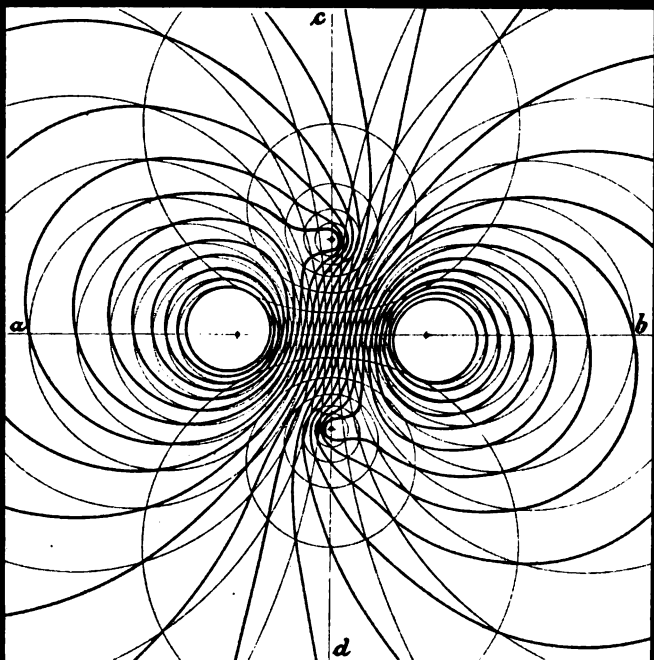
Fig. 17.

Fig.



9.

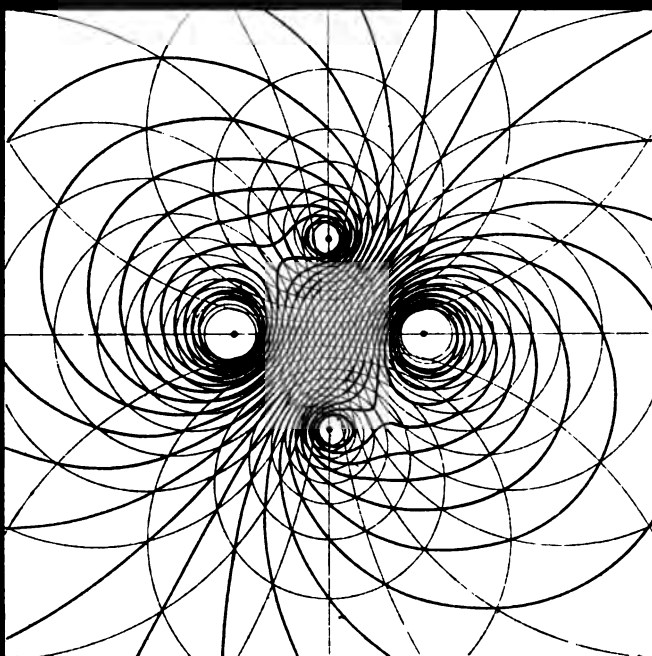
Fig.



10.

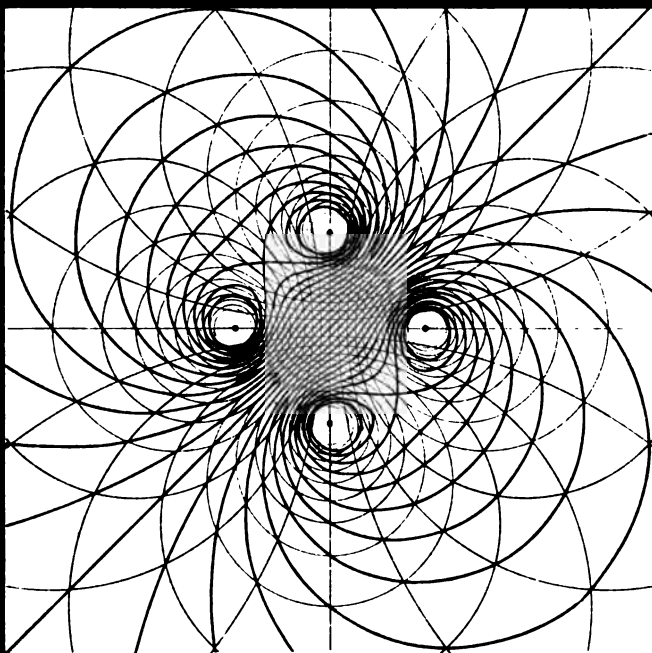


**Fig.**



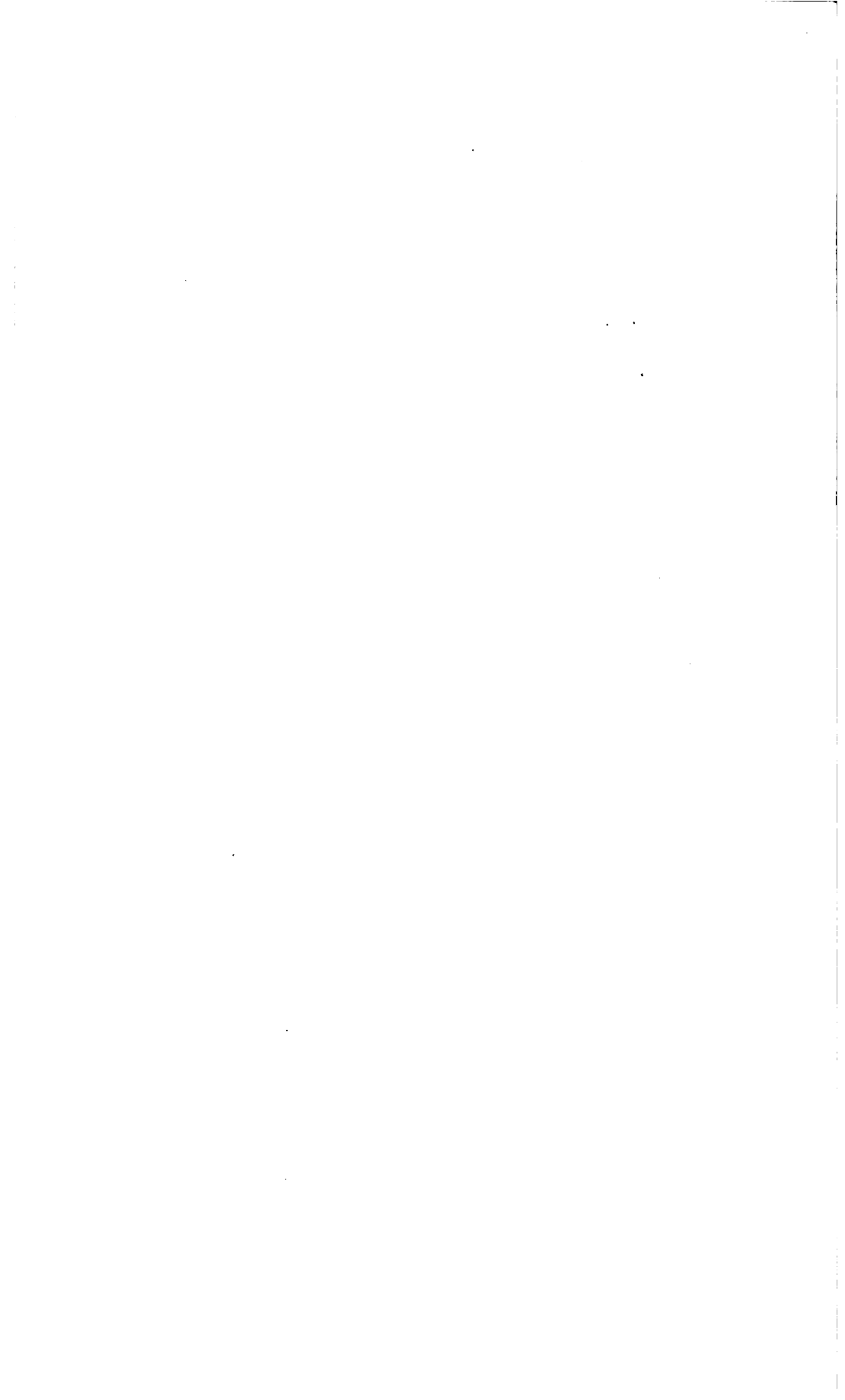
**11.**

**Fig.**

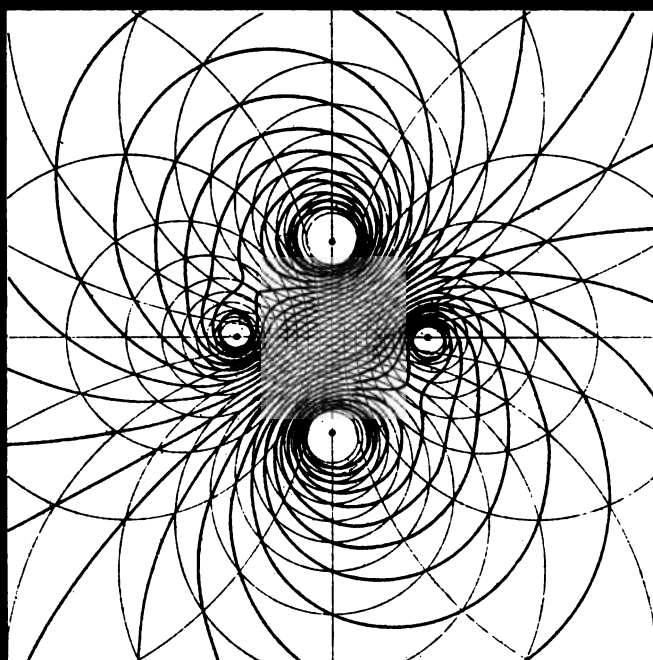


**12.**



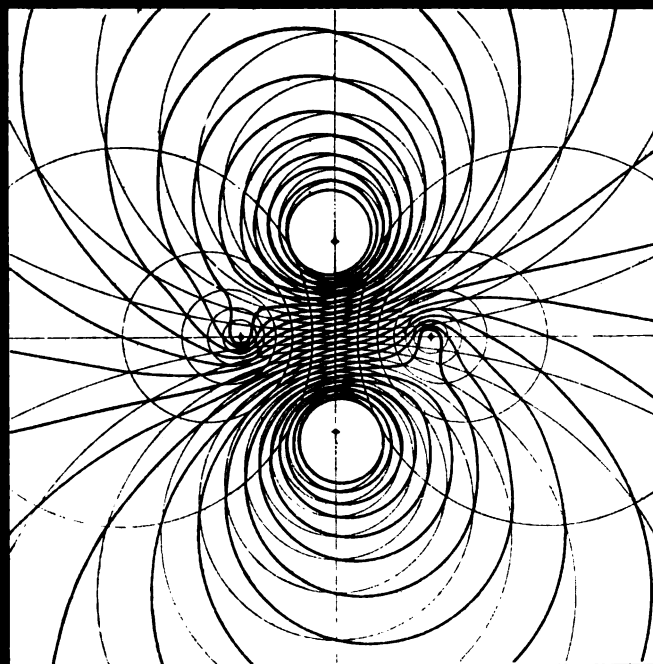


**Fig.**



**13.**

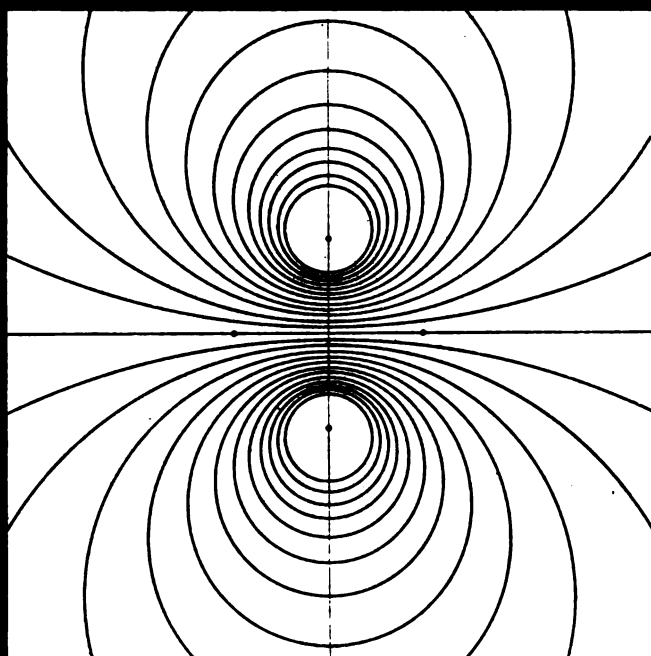
**Fig.**



**14.**

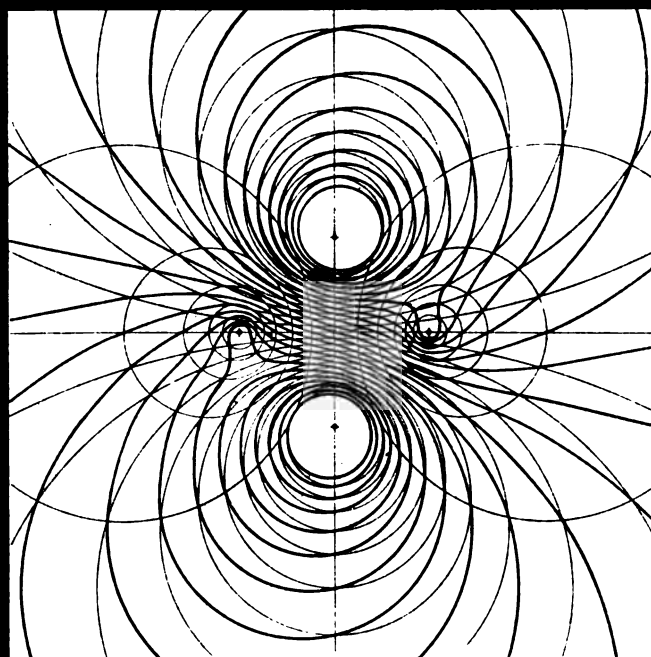


Fig.



15.

Fig.



16.



## Zur Frage der Perihelsbewegung des Planeten Mercur

von

Dr. Eduard Frh. v. Haerdtl,

*Professor an der k. k. Universität in Innsbruck.*

Durch die grossartige Thätigkeit Le Verrier's besitzen wir heute von allen grossen Planeten Tafeln, welche die Bewegung derselben mit einer Genauigkeit darstellen, die kaum etwas zu wünschen übrig lässt.

Während für alle grossen Planeten diese Tafeln ausschliesslich auf das allgemeine Attractionsgesetz basirt erscheinen, sah sich Le Verrier bei Herstellung der Mercurstafeln, um die erforderliche Genauigkeit in der Darstellung der Beobachtungen dieses Planeten zu erreichen, gezwungen, ein empirisches Glied zu Hilfe zu nehmen. Diese empirische Correction bezieht sich ausschliesslich auf die Bewegung des Perihels der Mercurbahn, und zwar erscheint die säculare Bewegung dieses Elements um 38" grösser angenommen, als jener Werth, welchen die Theorie mit den von Le Verrier adoptirten Werthen der Massen der Planeten für diese Grösse finden lässt.

Die Astronomen haben mühevollen Arbeiten nicht gescheut, diese Unvollkommenheit in der Mercurstheorie zu beseitigen. Die Rechnungen Le Verrier's sind revidirt und auf die neuesten Beobachtungen ausgedehnt worden, aber nur mit dem Erfolge, die Resultate des berühmten Astronomen zu bestätigen.

Le Verrier selbst hat schon den Versuch unternommen, mit Zuhilfenahme einer Hypothese den Widerspruch zwischen

Theorie und Beobachtungen zu lösen, und zwar suchte er die anormale Bewegung des Perihels durch die Einwirkung eines oder einer Gruppe von kleinen Planeten zwischen Mercur und der Sonne zu erklären. Die Frage, ob solche Planeten wirklich existiren, beschäftigte lange Zeit hindurch die Astronomen in intensivster Weise, doch hat das eifrigste Nachforschen nach solchen Körpern bis heute noch zu keinem Resultate geführt.

Diese zuerst von Le Verrier ausgesprochene Hypothese eines intramercuriellen störenden Körpers hat mehrfache Modificationen erfahren, indem man an die Stelle eines Planeten mehrere kleinere Planetoiden treten liess oder beziehungsweise einen Ring sehr kleiner Körper. Diese Hypothesen bilden den Gegenstand einer sehr hübschen Arbeit Bauschinger's. Ich glaube mich hier mit einem Hinweis darauf begnügen zu können (Untersuchungen über die Bewegung des Planeten Mercur, München 1884).

Wenngleich zugegeben werden muss, dass die Hypothesen eines oder mehrerer intramercurieller Planeten oder eines Planetoidenringes gewiss zu keiner offenbaren Unwahrscheinlichkeit oder Unmöglichkeit führen, so scheinen mir doch zu viele gewichtige Gründe gegen diese Hypothesen zu sprechen. Ich will hier aber auf diese Gründe nicht näher eingehen, denn in der erwähnten Arbeit Bauschinger's findet sich das Für und Wider, welches sich gegen jede dieser einzelnen Hypothesen vom theoretischen Standpunkte sagen lässt, in einer so vollständigen Weise zusammengestellt, dass ich diesen Bemerkungen nichts Neues beizufügen hätte. Was sich aber vom Standpunkte der Beobachtung noch ausserdem gegen diese Hypothesen anführen lässt, hat wieder von Newcomb in seiner »Populären Astronomie« eingehende Behandlung gefunden.

Es ist mir nicht recht erklärlich, aber es ist Thatsache, dass in allen Arbeiten, welche sich auf die Bewegung des Mercurperihels beziehen, einer Hypothese nicht einmal Erwähnung geschieht, die auf den ersten Blick die anormale Bewegung des Mercurperihels in ungezwungenster Weise zu erklären scheint. Wenngleich wir in der Folge sehen werden, dass sich gegen diese Hypothese auch ein gewichtiger Ein-

wand erheben lässt, so scheint es mir doch nicht gerechtfertigt, dass man dieselbe bisher ganz unberücksichtigt liess. Ich vermute, dass man an die folgende Hypothese überhaupt nicht gedacht habe, und dass es sich einzig daraus erklärt, dass man nicht zusah, wie sich denn die Verhältnisse bei näherem Eingehen auf diese Hypothese gestalten.

Die Hypothese, auf deren nähere Untersuchung wir im Folgenden eingehen wollen, lässt sich in vier Worte zusammenfassen: Mercur habe einen Satelliten.

Bezeichnet man mit  $M, m, m'$  die Massen beziehungsweise der Sonne, des Mercur und des hypothetischen Satelliten, mit  $\mu$  die Summe dieser drei Massen

$$\mu = M + m + m',$$

so gelten die folgenden drei Differentialgleichungen für die Bewegung des Schwerpunktes des Mercursystems

$$\frac{d^2x}{dt^2} = f\mu \frac{d\Omega}{dx}, \quad \frac{d^2y}{dt^2} = f\mu \frac{d\Omega}{dy}, \quad \frac{d^2z}{dt^2} = f\mu \frac{d\Omega}{dz}.$$

Nehmen wir an, dass die Entfernungen des Satelliten und des Mercur zu ihrem gemeinsamen Schwerpunkt klein seien im Verhältniss zur Entfernung des Mercur von der Sonne, so lässt sich  $\Omega$  nach Potenzen der Verhältnisse  $\frac{\rho}{R}$  und  $\frac{\rho'}{R}$  entwickeln. Die Entwicklung wollen wir einstweilen nur so schreiben:

$$\Omega = \frac{1}{R} + \Omega'.$$

Das erste Glied dieses Ausdruckes stellt uns jenes Glied vor, von welchem die Bewegung des gemeinsamen Schwerpunktes unter der Annahme abhängt, dass die Massen des Planeten, wie des Satelliten in demselben vereint seien.  $\Omega'$  hingegen liefert uns die Variationen der Mercurselemente, welche aus der Anwesenheit eines Satelliten resultiren würden.

Bezeichnet man mit  $a, a'$  die grossen Halbaxen der Mercurbahn und der Satellitenbahn, mit  $e, e'$  die Excentricitäten, mit  $l, l'$  die mittleren Längen, mit  $\bar{\omega}, \bar{\omega}'$  die Perihellängen, endlich mit  $\gamma$



die Neigung der Satellitenbahn, so liefert die Entwicklung von  $\Omega'$  bekanntlich den folgenden Ausdruck:<sup>1</sup>

$$\begin{aligned}\Omega' = & + \frac{mm'}{(m+m')^2} \frac{a'^2}{a^3} \left\{ \frac{1}{4} + \frac{3}{8} e^2 + \frac{3}{8} e'^2 - \frac{3}{2} \sin^2 \frac{\gamma}{2} \dots \right. \\ & + \frac{3}{4} \cos(2l' - 2l) \\ & \left. + \dots \dots \dots \right\}.\end{aligned}$$

In der ganzen Entwicklung von  $\Omega'$ , wenn wir dieselbe hingeschrieben denken, kommt kein Glied vor, welches  $\bar{\omega}'$  allein enthält. Wir schliessen demnach sofort, dass aus der Anwesenheit eines Satelliten keine säculare Variation der Excentricität der Mercursbahn resultiren kann. Dieses Resultat scheint mir desshalb erwähnenswerth, da der Versuch Le Verrier's, eine etwaige säculare Verbesserung dieser Excentricität empirisch aus dem Vergleich der Beobachtungen mit der Theorie zu ermitteln, welche Bestimmung auch scheinbar befriedigend ausfiel, doch zu solchen Consequenzen führte, dass Le Verrier schliesslich es für besser hielt, von den hiefür erhaltenen Werth lieber keinen Gebrauch zu machen.

Aber die Variation des Perihels des Mercur enthält ein säculares Glied, welches durch den Ausdruck dargestellt erscheint:

$$\begin{aligned}e \frac{d\bar{\omega}}{dt} &= \frac{f_{\mu}^{\mu}}{na^2} \sqrt{1-e^2} \frac{d\Omega'}{de} = \\ &= + \frac{3}{4} \frac{mm'}{(m+m')^2} \left( \frac{a'}{a} \right)^2 e \sqrt{1-e^2} . n\end{aligned}$$

und die Integration dieses Ausdruckes liefert sofort

$$\delta\bar{\omega} = \frac{3}{4} \frac{mm'}{(m+m')^2} \left( \frac{a'}{a} \right)^2 \sqrt{1-e^2} . nt.$$

---

<sup>1</sup> Le Verrier: Annales de l'Observatoire de Paris, t. IV, p. 45.

Setzen wir

$$\sin \frac{\gamma}{2} = \frac{\varphi}{2},$$

so geht das säculare Glied in  $\Omega'$ , welches  $\sin^2 \frac{\gamma}{2}$  enthält, über in

$$-\frac{3}{8} \frac{mm'}{(m+m')^2} \frac{a'^2}{a^3} \varphi^2$$

und hiemit findet sich für die säculare Variation des Knotens der Mercursbahn der Ausdruck

$$\delta\theta = -\frac{3}{4} \frac{mm'}{(m+m')^2} \left(\frac{a'}{a}\right)^2 nt.$$

Aus dem Vergleiche dieses Ausdruckes mit dem von  $\delta\bar{\omega}$  ergibt sich sofort, dass aus der Anwesenheit eines Satelliten eine säculare Bewegung des Knotens resultiren müsse, welche der Grösse nach gleich, dem Zeichen nach aber entgegengesetzt der säcularen Bewegung des Perihels wäre. Wir werden auf diesen Punkt erst weiter unten näher eingehen.

Nach den früheren Bemerkungen beträgt die jährliche Variation des Perihels, welche durch die Wirkung des Satelliten zu erklären wäre,  $+0.38$ . Nimmt man aber auf jene Werthe der Massen Rücksicht, welche nach dem Stande der heutigen Forschung als die wahrscheinlichsten bezeichnet werden müssen, so erhebt sich der Werth der Perihelsbewegung auf  $+0.43$ . Wir wollen diesen letzten Werth den nachfolgenden Ausführungen zu Grunde legen, da bei Annahme dieses Werthes sich die Verhältnisse durchwegs ungünstiger gestalten, als bei Zugrundelegung des kleineren Werthes.

Substituiren wir nun für die Mercurselemente sofort die bekannten numerischen Werthe und vernachlässigen gleich im obigen Ausdrucke für  $\delta\bar{\omega}$  die Masse des Satelliten gegen die Masse des Mercur, da dieselbe ja jedenfalls nur Bruchtheile der ersteren betragen kann, so geht der obige Ausdruck in die folgende Gleichung über:

$$+0.43 = +394500 \cdot \left(\frac{m'}{m}\right) \left(\frac{a'}{a}\right)^2$$

oder

$$+0.0000001089 = \left(\frac{m'}{m}\right)\left(\frac{a'}{a}\right)^2.$$

Wie man sieht, stehen rechts zwei Unbekannte, erstlich nämlich das Verhältniss der Satellitenmasse zur Masse des Mercur, zweitens das Verhältniss der grossen Halbaxe der Satellitenbahn zur grossen Halbaxe der Mercursbahn.

Macht man also über eine der Grössen eine beliebige Annahme, so gestattet uns diese Gleichung, sofort die andere Unbekannte zu bestimmen.

Nehmen wir an — ein Fall, der sich ja in der Wirklichkeit thatsächlich vorfindet, und zwar zwischen Mond und Erde — dass das Verhältniss der Satellitenmasse zur Masse des Planeten Mercur  $\frac{1}{80}$  betrage, so folgt sofort aus obiger Gleichung:

$$\frac{a'}{a} = +0.00295.$$

Das analoge Verhältniss  $\left(\frac{a'}{a}\right)$  zwischen Mond und Erde beträgt bekanntlich  $+0.00256$ . Man sieht, der obigen Gleichung kann man durch Annahmen genügen, die vollkommen plausibel sind und für die Analoga in unserem Planetensystem schon vorhanden sind.

Nach Le Verrier beträgt die jährliche analoge Variation des Erdperihels, also die durch den Mond auf die Erde ausgeübte säculare Störung des Erdperihels

$$\delta\bar{\omega} = +0.0698 \text{ } t.$$

Dieselbe ist viel kleiner als die Variation des Mercurperihels, was sich einerseits daraus erklärt, dass der Werth von  $\left(\frac{a'}{a}\right)^2$  sich ja in beiden Fällen nicht völlig deckt, anderseits aber auch daraus, dass auf der rechten Seite der Factor  $n$ , also die mittlere Bewegung des Planeten selbst, vorkommt. Dieselbe ist ja für Mercur  $n = 14732''$ , für die Erde nur  $n = 3548''$ .

Wir schliessen sofort daraus, dass für Mars und Jupiter, caeteris paribus, der Einfluss der Satelliten auf die Perihelsbewegung dieser Planeten noch kleiner sein müsse.

Ich habe das obige numerische Beispiel nur herausgegriffen, um zu zeigen, dass unsere Hypothese gewiss nicht so viel Unwahrscheinliches an sich habe, dass es gerechtfertigt erscheint, dieselbe rundweg abzulehnen. Übrigens leisten mehrere Annahmen nahezu dasselbe, wie die obige. Um einen Überblick hierüber zu ermöglichen, habe ich das folgende Täfelchen gerechnet.

Unter nachfolgenden Annahmen über das Verhältniss der Masse des Satelliten zur Masse des Mercur, welche sich in der ersten Verticalreihe angegeben finden, resultiren jene Werthe von  $a'$ , also die zugehörigen Werthe der grossen Halbaxe der Satellitenbahn, die sich in der zweiten Verticalreihe wiedergegeben finden.

In der letzten Verticalreihe theile ich endlich noch die entsprechenden Umlaufszeiten mit.

$\frac{m'}{m}$	$\log a'$ (astr. Einheiten)	$a'$ (in Einheiten des aeq. Durchmessers des Mercur)	$T$ (in Tagen)
1 : 50	6·956	28	23
1 : 80	7·058	35	33
1 : 100	7·106	40	39
1 : 150	7·194	49	53
1 : 200	7·257	56	66

Hätten wir für die jährliche Bewegung den kleineren Werth Le Verrier's statt des Werthes  $+0\cdot43$  zu Grunde gelegt, so könnte man noch die Masse des Satelliten kleiner annehmen, als es hier zulässig erscheint.

Greift man nun auf die früher gegebene Entwicklung von  $\Omega'$  zurück, so lässt eine kurze Rechnung uns sofort finden, dass bei Zugrundelegung auch des grösstmöglichen Werthes für die Masse des Satelliten, alle Ungleichheiten, welche aus den periodischen Gliedern der Function  $\Omega'$  resultiren würden, nur verschwindende Coëfficienten erreichen können.

Wie wir schon bemerkten, bedingt die Anwesenheit eines Satelliten eine säculare Bewegung der Knotenlänge, welche jener der Perihelslänge an Grösse nicht nachsteht.

Derselben scheinbaren Schwierigkeit begegnet man aber auch dann, wenn man, von der Hypothese Le Verrier's oder einer dieser ähnlichen Hypothese ausgehend, die anormale Perihelsbewegung des Mercur zu erklären versucht, denn sofern man nicht die Lage der Bahn des einzelnen Planeten oder der Planetengruppe oder des Planetoidenringes mit der Lage der Mercursbahn nahe zusammenfallend annimmt, resultirt auch hier ein sehr merkbarer Betrag für die Änderung dieses Elements. Es genügt wohl, hier diesen Umstand erwähnt zu haben.

Man könnte sofort, das Nichtvorhandensein einer Anomalie in der Bewegung des Knotens der Mercursbahn als feststehende Thatsache ansehend, zur Erklärung dieses Umstandes, welcher mit unserer Hypothese in Widerspruch zu stehen scheint, eine weitere Hypothese heranziehen, nämlich die Annahme, dass die Neigung der Bahn des Satelliten verschwindend sei. Unter dieser Annahme wird  $\sin \frac{\gamma}{2} = 0$ , es verschwindet also das säculare Glied mit der Neigung als Factor in  $\Omega'$ , mithin wird auch  $\delta\theta = 0$ .

Obwohl es sich nicht verkennen lässt, dass eine solche Annahme hier absolut nicht so viel Bedenkliches an sich trägt wie die analoge Annahme im Falle der intramercuriellen Planeten, will ich diese Annahme hier aber gar nicht ernstlich in Erwägung ziehen, denn es scheint mir, dass kein zwingender Grund besteht, der ersten Hypothese gleich mit einer zweiten zu Hilfe zu kommen.

Die diesbezügliche Frage, welche ich hier noch in Kürze behandeln will, möchte ich so formuliren: Ist es zulässig, eine Knotenbewegung der Mercursbahn ungefähr von derselben Grösse wie die Perihelsbewegung anzunehmen? Oder auch: Begegnet man bei Zugrundelegung des Beobachtungsmaterials, welches Le Verrier der Ermittlung der Constanten der Mercursbahn zu Grunde gelegt hat, schon derartigen Schwierigkeiten, dass man mit voller Berechtigung behaupten könne, die Beob-

achtungen liessen die Annahme einer derartigen Bewegung überhaupt nicht zu?

An mehreren Orten habe ich die Behauptung aufgestellt gefunden, dass die Untersuchungen Le Verrier's evident bewiesen, dass keine Abweichung zwischen dem theoretischen und beobachteten Werthe der Knotenbewegung der Mercursbahn vorhanden sei. So genau ich die schönen Arbeiten Le Verrier's auch durchgesehen habe, so habe ich trotzdem nirgends von Le Verrier selbst eine derartige Behauptung ausgesprochen gefunden. Und wie wir gleich sehen werden, sprechen viele Umstände dagegen, dass Le Verrier auch diese Ansicht überhaupt habe aussprechen können. Im Gegentheil, Le Verrier macht selbst ausdrücklich darauf aufmerksam, dass die Bestimmung der Knotenlänge sehr unsicher sei. Während z. B. sämmtliche Meridianbeobachtungen für die Knotenlänge die Correction  $\delta\theta = +12'.4$  ergeben, zeigt es sich, dass den Bedingungsgleichungen, welche Le Verrier aus den Mercursdurchgängen abgeleitet hatte, besser genügt werde, wenn man für  $\delta\theta$  einen negativen Werth annimmt. Le Verrier bemerkt hiez zu noch (p. 92): »N'ayant aucune raison de choisir entre ces deux quantités, nous accepterons la valeur moyenne  $\delta\theta = +5'.5$ .

Die Behauptung also, dass eine grössere Bewegung des Knotens ausgeschlossen erscheine, ist demnach nicht auf Le Verrier zurückzuführen und dieser Umstand allein vermindert schon wesentlich das Gewicht derselben.

Nehmen wir für die jährliche Änderung des Knotens denselben Werth an, wie für die jährliche Änderung des Perihels, also  $\delta\theta = -0'.43$  *t*, so resultiren für die folgenden Jahre, 1697, 1723... bis 1848, also jene Jahre, in welchen die Mercursdurchgänge beobachtet wurden und welche allein zur Verbesserung der Elemente dieses Planeten von Le Verrier herangezogen erscheinen, die folgenden Variationen der Position des Knotens, welche wir mit  $\delta\theta$  bezeichnen und in der zweiten Verticalreihe ansetzen wollen.

Datum	$\delta\theta$		$E$
1697 . . . . .	+65'9	+0·032 $\delta\theta$	+2'1
1723 . . . . .	+54'6	+0·012 $\delta\theta$	+0'7
1736 . . . . .	+49'0	$\left\{ \begin{array}{l} +0·045 \delta\theta \\ -0·052 \delta\theta \end{array} \right.$	$\left\{ \begin{array}{l} +2'2 \\ -2'5 \end{array} \right.$
1743 . . . . .	+46'0	$\left\{ \begin{array}{l} -0·039 \delta\theta \\ +0·024 \delta\theta \end{array} \right.$	$\left\{ \begin{array}{l} -1'8 \\ +1'1 \end{array} \right.$
1753 . . . . .	+41'7	-0·033 $\delta\theta$	-1'4
1769 . . . . .	+34'8	+0·018 $\delta\theta$	+0'6
1782 . . . . .	+29'2	$\left\{ \begin{array}{l} +0·055 \delta\theta \\ -0·056 \delta\theta \end{array} \right.$	$\left\{ \begin{array}{l} +1'6 \\ -1'6 \end{array} \right.$
1786 . . . . .	+27'5	$\left\{ \begin{array}{l} -0·085 \delta\theta \\ +0·057 \delta\theta \end{array} \right.$	$\left\{ \begin{array}{l} -2'3 \\ +1'6 \end{array} \right.$
1789 . . . . .	+26'2	$\left\{ \begin{array}{l} -0·033 \delta\theta \\ +0·018 \delta\theta \end{array} \right.$	$\left\{ \begin{array}{l} -0'9 \\ +0'5 \end{array} \right.$
1799 . . . . .	+21'9	$\left\{ \begin{array}{l} +0·020 \delta\theta \\ -0·052 \delta\theta \end{array} \right.$	$\left\{ \begin{array}{l} +0'4 \\ -1'1 \end{array} \right.$
1802 . . . . .	+20'6	-0·012 $\delta\theta$	-0'2
1832 . . . . .	+ 7'7	$\left\{ \begin{array}{l} -0·065 \delta\theta \\ +0·034 \delta\theta \end{array} \right.$	$\left\{ \begin{array}{l} -0'5 \\ +0'3 \end{array} \right.$
1845 . . . . .	+ 2'2	+0·041 $\delta\theta$	+0'1
1848 . . . . .	+ 0'9	+0·001 $\delta\theta$	0'0

Die Zahlen der dritten Verticalreihe habe ich den Untersuchungen Le Verrier's entnommen, und zwar der Zusammenstellung der Bedingungsgleichungen, welche Le Verrier aus der Discussion der Beobachtungen der Mercursdurchgänge abgeleitet hat (S. 80, Bd. V).

Multipliziert man die Zahlen dieser dritten Zeile mit den nebenanstehenden Zahlen linker Hand, so resultiren die Zahlen  $E$ , die wir in der vierten Verticalreihe angesetzt haben. Ein Blick auf diese Werthe genügt, um uns davon zu belehren, welch' ausserordentlich geringen Einfluss sogar sehr starke Variationen der Knotenlänge hier nur ausüben.

Die  $E$ -Werthe übersteigen nur in wenigen Fällen jene Fehler, welche in den Bedingungsgleichungen übrig bleiben

wenn man in demselben die von Le Verrier schliesslich adoptirten Verbesserungen der Constanten der Mercursbahn zurückschleibt. Wie mir eine vorläufige Rechnung gezeigt hat, lassen sich diese Fehler aber durch ganz geringfügige Variation der 14 Unbekannten, welche in den aus den Mercursdurchgängen abgeleiteten Bedingungsgleichungen vorkommen, noch sehr wesentlich herabdrücken.

Ich will hier auf diese Rechnung nicht näher eingehen, denn ich glaube, die wenigen Zahlen, die ich hier mitgetheilt habe, beweisen zur Genüge, dass das Beobachtungsmaterial, welches Le Verrier, so weit es die Mercursdurchgänge anlangt, herangezogen hat und heranziehen konnte, keineswegs die Behauptung stützt, dass eine der Perihelsbewegung adäquate Änderung des Knotens, als ausgeschlossen zu betrachten sei.

Zu ganz demselben Resultate haben mich meine provisoischen, die Meridianbeobachtungen betreffenden Rechnungen geführt, aus welchen Le Verrier 195 Bedingungsgleichungen aufgestellt hat, die die Form haben:

$$c_1 \delta \varphi + c_2 \delta \theta \pm C = 0.$$

Für die Meridianbeobachtungen, welche die Jahre 1801 bis 1842 umfassen, ist das Maximum von  $\delta \theta$  rund  $20''$ . Wirft man aber einen Blick auf die Bedingungsgleichungen (S. 89, Bd. V), so sieht man, dass im Mittel die Coëfficienten  $c_2$  rund  $\pm 0.05$  betragen. Wir schliessen sofort, dass hier der Einfluss einer Correction der Knotenlänge demnach auch nicht über  $1''$  steigen könne.

In vielen der untersuchten Fälle zeigte mir die Rechnung, dass bei Annahme eines der Zeit proportionalen Gliedes in dem Ausdrucke der Knotenlänge sich sogar die Darstellung der Beobachtungen besserte. In keinem einzigen Falle, obwohl ich gerade die Bedingungsgleichungen, in welchen  $c_2$  möglichst gross war, heranzog, stieg der Fehler auf einen solchen Betrag, dass die Annahme eines der Zeit proportionalen Gliedes in  $\theta$  als unzulässig bezeichnet werden könnte.

Die wenigen Bemerkungen, die ich zu dieser Frage hier mittheilte, beweisen zur Genüge, dass man bei Zugrundelegung des Beobachtungsmateriales, welches Le Verrier der Ermitt-



lung der Constanten der Mercursbahn zu Grunde legte, mit der Annahme einer der Perihelsbewegung adäquaten Bewegung des Knotens keineswegs auf derartige Schwierigkeiten stösst, dass man behaupten darf, die Beobachtungen schliessen eine derartige Annahme überhaupt aus. Ob bei Heranziehung des seither angewachsenen Beobachtungsmateriales sich nicht die Verhältnisse ungünstiger gestalten, lässt sich natürlich ohne eingehende Untersuchung nicht beurtheilen. Eine derartige Untersuchung liegt in meiner Absicht.

Vom theoretischen Standpunkte scheint sich mir, wie aus den vorstehenden Bemerkungen erhellt, wohl kein Argument deduciren zu lassen, das die Hypothese eines Mercursatelliten als unhaltbar erscheinen liesse. Wohl erübrigt es noch zu untersuchen, ob die aus der Anwesenheit eines Satelliten resultirenden periodischen Störungen kurzer Dauer nicht mit den Beobachtungen in Widerspruch gerathen. Diese Störung ist jedoch so geringfügig, dass es sehr eingehender Untersuchungen bedürfte, um hierüber ein Urtheil gewinnen zu können.

Vom Standpunkte der Beobachtung lässt sich aber gegen diese Hypothese ein sehr gewichtiger Einwand vorbringen, dem ich hier noch Platz geben will.

Die Existenz eines Satelliten ist bekanntlich nur dann möglich, wenn die Massen und Entfernungen des Satelliten wie des Planeten der Gleichung genügen:

$$\frac{m+m'}{r'^2} > \left(\frac{1}{r+r'}\right)^2 - \frac{1}{r^2}.$$

Mit Berücksichtigung einiger Vernachlässigungen, die wohl keiner näheren Rechtfertigung bedürfen, lässt sich diese Ungleichheit auf die folgende zurückführen:

$$\left(\frac{r'}{r}\right)^3 < \frac{m}{2}.$$

Nehmen wir nun die Masse des Mercur zu 1 : 5,500.000 an, so wird erst

$$\frac{r}{r'} > 220,$$

und die Substitution dieses Werthes in die Bedingungs-  
gleichung für die Perihelsbewegung ergibt für das Verhältniss  
der Massen die Bedingung

$$\frac{m'}{m} > 0.005.$$

Unter der Annahme, dass die Dichte des Satelliten gleich  
der Dichte des Merkurs sei, müssen die Oberflächen derselben  
Bedingung genügen und man ist sofort in der Lage, auch die  
Grössenklasse des Satelliten zu bestimmen. Legt man aber auch  
andere Annahmen über das Dichtenverhältniss zu Grunde, man  
gelangt durchwegs zu analogen Resultaten, dass nämlich der  
Satellit so hell wäre, dass es als nicht wahrscheinlich bezeichnet  
werden muss, dass der hypothetische Satellit bis heute sich der  
Beobachtung habe entziehen können. Um die Grössenklasse des  
Satelliten wesentlich unter die fünfte herabzudrücken, müsste  
man schon zu Annahmen greifen, die nicht mehr den Charakter  
der Ungezwungenheit an sich tragen.

Wohl könnte man durch die Annahme mehrerer Satelliten,  
durch entsprechend veränderte Annahme über die Masse des  
Merkurs, welche Constante ja heute noch keineswegs als voll-  
kommen verbürgt angesehen werden kann, endlich durch eine  
Zugrundelegung eines etwas kleineren Werthes für die Diffe-  
renz der Perihelsbewegung als jenen, von dem wir Gebrauch  
gemacht haben, es erreichen, dass die Sichtbarkeitsbedingungen  
merklich ungünstigere würden, doch glaube ich nicht, dass die  
Hypothese eines Satelliten durch solche Stützen auf schwanken-  
dem Boden an Haltbarkeit gewinne.

## Ein Beitrag zur Kenntniss der 26tägigen Periode des Erdmagnetismus

von

**J. Liznar.**

(Mit 1 Tafel)

(Vorgelegt in der Sitzung am 25. Mai 1894.)

Die Existenz einer fast 26tägigen Periode der erdmagnetischen Kraft dürfte nach den vielfachen darüber angestellten Untersuchungen als vollkommen erwiesen betrachtet werden. Alle Forscher, welche sich mit dieser Frage beschäftigt haben, suchten zunächst die Dauer der Periode zu ermitteln, ohne auf deren weitere Eigenschaften näher einzugehen. Eine periodische Änderung ist aber durch ihre Dauer allein nicht hinreichend charakterisirt, es müssen vielmehr noch die Eintrittszeiten der Extreme, sowie die Grösse der Schwankung in Betracht gezogen werden. Hiezu wäre erforderlich, dass die 26tägige Periode für verschiedene Orte aus gleichzeitigen Beobachtungen abgeleitet werde. Dies ist nur für Wien und Kremsmünster und für die zwei Polarstationen Jan Mayen und Fort Rae geschehen.<sup>1</sup> Man kann aus der graphischen Darstellung der Periode ersehen, dass der Verlauf derselben an den beiden Stationen ein ganz gleichartiger ist. Obwohl sich dieses Resultat zunächst bloß auf jene Änderungen bezieht, welche die tägliche Schwankung im Laufe der 26tägigen Periode zeigt, so ist es kaum zweifelhaft, dass auch die Richtungsänderungen an den beiden Polarstationen in ganz gleicher Weise erfolgen.

---

<sup>1</sup> Liznar, Über die 26tägige Periode der erdmagnetischen Elemente in hohen magnetischen Breiten. Diese Sitzungsberichte, XCV.

In einer im October-Heft 1893 der meteorologischen Zeitschrift veröffentlichten kleinen Abhandlung habe ich gezeigt, dass die tägliche Periode des Erdmagnetismus eine eigenthümliche Abhängigkeit von der geographischen Breite zeigt, wenn man nämlich die Bewegungen der Magnetnadel, welche sie unter dem Einflusse der die Variationen bedingenden Kraft im Raume ausführt, ins Auge fasst. Es hat sich unter Anderem ein vollkommener Gegensatz zwischen der Bewegung in mittleren und hohen Breiten ergeben, indem in mittleren Breiten die Magnetnadel im Laufe des Tages eine Kegelfläche im Sinne des Uhrzeigers, in hohen Breiten aber gegen denselben, beschreibt. Dieser Unterschied in der Bewegung gab mir Veranlassung, zu untersuchen, ob ein solcher Gegensatz auch bei der 26tägigen Periode anzutreffen sei, und wie sie sich überhaupt in mittleren und hohen Breiten zu gleicher Zeit abspielt.

Obwohl es sehr wünschenswerth gewesen wäre, Beobachtungen von mehreren Orten zu verwenden, wozu ich mich aber aus Mangel an Zeit nicht entschliessen konnte, so glaube ich doch, dass die im Nachfolgenden nur für zwei Orte dargestellte 26tägige Periode genug Interesse bietet, um eine Besprechung derselben zu rechtfertigen. Zur Berechnung der Periode habe ich die gleichzeitigen Beobachtungen von Pawlowsk und der österreichischen Polarstation Jan Mayen verwendet. Die einjährige Beobachtungsreihe der letzteren Station umfasst bloß 12 Sonnenrotationen, ich hätte also eigentlich auch für Pawlowsk die Beobachtungsdaten derselben Zeit in Rechnung ziehen sollen. Um aber die Zahlen der 26tägigen Periode für Pawlowsk genauer zu erhalten, habe ich noch die zwölf nächsten Rotationen hinzugenommen, habe hiebei jedoch die Zählung der Tage an beiden Orten mit dem 8. September 1882 begonnen.

Zur graphischen Darstellung der Periode nach der von mir beschriebenen Methode<sup>1</sup> musste diese Periode sowohl für die Declination, als auch für die Inclination berechnet werden. Nachdem für Pawlowsk die Tagesmittel der Inclination nicht veröffentlicht werden, und ich dieselben für den vorliegenden

<sup>1</sup> Liznar, Eine Methode zur graphischen Darstellung der Richtungsänderungen des Erdmagnetismus. Diese Sitzungsberichte, C.

Zweck nicht eigens berechnen wollte, so habe ich zunächst die 26 tägige Periode der Horizontal- und Verticalintensität ermittelt und aus derselben die der Inclination zukommende Periode abgeleitet.

In der nachfolgenden Tabelle findet man unter  $\Delta D$ ,  $\Delta H$  und  $\Delta V$  die 26 tägige Periode der Declination, Horizontal- und Verticalintensität durch Differenzen gegen das Mittel dargestellt.<sup>1</sup> Unter  $C_s$  stehen die Correctionen, welche an die Zahlen wegen der säcularen Änderung angebracht werden müssen und welche aus den Jahresmitteln für 1882 und 1884 berechnet wurden. Nach diesen Mittelwerthen beträgt die säculare Änderung bei der

Declination	Horizontalintensität	Verticalintensität
4'75	0.00080	0.00205

**Pawlowsk.**

	$\Delta D$	$C_s$	$d$	$\Delta H$	$C_s$	$h$	$\Delta V$	$C_s$	$v$	$i$
0	0.05	-0.17	-0.12	-3.7	+0.3	-3.4	4.4	+0.7	5.1	0.34
1	-0.20	-0.16	-0.36	-4.6	+0.3	-4.3	1.1	+0.6	1.7	0.32
2	0.22	-0.15	0.07	-1.2	+0.2	-1.0	1.1	+0.6	1.7	0.10
3	0.28	-0.13	0.15	1.7	+0.2	1.9	-0.6	+0.5	-0.1	-0.12
4	0.30	-0.12	0.18	1.9	+0.2	2.1	-1.4	+0.5	-0.9	-0.14
5	0.28	-0.10	0.18	1.1	+0.2	1.3	-0.9	+0.4	-0.5	-0.10
6	0.33	-0.09	0.22	1.6	+0.1	1.7	-1.5	+0.4	-1.1	-0.11
7	0.28	-0.08	0.20	2.3	+0.1	2.4	-1.9	+0.3	-1.6	-0.19
8	0.32	-0.06	0.26	3.4	+0.1	3.5	-0.6	+0.3	-0.3	-0.24
9	0.18	-0.05	0.13	2.8	+0.1	2.9	-1.7	+0.2	-1.5	-0.22
10	0.22	-0.03	0.19	2.6	+0.1	2.7	-1.3	+0.1	-1.2	-0.22
11	0.27	-0.02	0.25	2.4	0.0	2.4	0.6	+0.1	0.7	-0.16
12	-0.15	-0.01	-0.16	-0.7	0.0	-0.7	-2.3	0.0	-2.3	-0.01
13	-0.12	+0.01	-0.11	1.1	0.0	1.1	-2.0	0.0	-2.0	-0.08
14	0.28	+0.02	0.30	0.3	0.0	0.3	-2.1	-0.1	-2.2	-0.07
15	0.41	+0.03	0.44	0.6	-0.1	0.5	-0.7	-0.1	-0.8	-0.05
16	-0.25	+0.05	-0.20	-0.6	-0.1	-0.7	-0.9	-0.2	-1.1	0.02
17	-0.43	+0.06	-0.37	-1.6	-0.1	-1.7	0.6	-0.3	0.3	0.12
18	-0.08	+0.08	0.00	0.8	-0.1	0.7	2.6	-0.3	2.3	0.01
19	-0.33	+0.09	-0.24	-3.9	-0.1	-4.0	-1.0	-0.4	-1.4	0.23
20	-0.02	+0.10	0.08	0.3	-0.2	0.1	2.0	-0.4	1.6	0.03
21	-0.19	+0.12	-0.07	-1.0	-0.2	-1.2	1.8	-0.5	1.3	0.11
22	-0.63	+0.13	-0.50	-4.0	-0.2	-4.2	-1.0	-0.5	-1.5	0.24
23	-0.29	+0.15	-0.14	0.1	-0.2	-0.1	0.4	-0.6	-0.2	0.00
24	-0.21	+0.16	-0.05	1.7	-0.3	1.3	3.1	-0.6	2.5	-0.03
25	-0.48	+0.17	-0.31	-2.3	-0.3	-2.6	2.0	-0.7	1.3	0.20

<sup>1</sup> Bei der Horizontal- und Vertical-Intensität bedeuten die Zahlen Einheiten der 5. Decimale (Mm., Mg., Sec.).

Die Zahlen unter  $d$ ,  $h$  und  $v$  stellen demnach die von der säcularen Änderung befreite 26 tägige Periode dar, und unter  $i$  ist die aus  $h$  und  $v$  abgeleitete Periode der Inclination ersichtlich.

Für Jan Mayen sind die Tagesmittel der Inclination publicirt worden, und ich konnte also die 26 tägige Periode dieses Elementes direct ermitteln. Indem ich auch an die Daten dieser Station die früher erwähnte Correction wegen der säcularen Änderung (0'029 bei der Declination und 0'012 bei der Inclination pro Tag) anbrachte, erhielt ich die auf S. 731 unter »Beobachtung« stehenden Zahlen.

Wollte man diese Zahlen graphisch darstellen, so ergäben sich vielfach gebrochene Linien, aus welchen man eine Gesetzmässigkeit der Bewegung kaum entnehmen könnte; die Zahlen mussten daher einer Ausgleichung unterzogen werden. Um bei dieser Operation jede Willkür zu vermeiden, berechnete ich die zwei ersten Glieder der Bessel'schen Formel und erhielt:

$$\begin{array}{l} \text{Pawlowsk} \left\{ \begin{array}{l} y_d = -0.2098 \sin (148.296 + 13.846 x) - \\ \quad -0.0587 \sin (124.837 + 27.692 x) \\ y_i = 0.1779 \sin (139.743 + 13.846 x) \\ \quad + 0.0723 \sin (51.414 + 27.692 x) \end{array} \right. \\ \\ \text{Jan Mayen} \left\{ \begin{array}{l} y_d = -1.0453 \sin (157.378 + 13.846 x) + \\ \quad + 0.3547 \sin (57.373 + 27.692 x) \\ y_i = 0.7602 \sin (145.906 + 13.846 x) \\ \quad - 0.0761 \sin (49.235 + 27.692 x) \end{array} \right. \end{array}$$

wobei  $y$  den dem Tage  $x$  (vom 8. September gezählt) entsprechenden Werth der Differenz der Declination oder Inclination vorstellt, je nachdem es den Index  $d$  oder  $i$  trägt. Nach den vorstehenden Formeln habe ich die in den folgenden Tabellen unter  $d'$  und  $i'$  stehenden Werthe berechnet. Der vollkommen übereinstimmende Gang der für beide Stationen durch Rechnung erhaltenen Zahlen würde allein genügen, um das Vorhandensein einer 26 tägigen Periode ersichtlich zu machen. Auch die Eintrittszeit der Extreme zeigt eine hinreichende Übereinstimmung, wenn man die verhältnissmässig kurze Beobachtungszeit berücksichtigt. Wir sehen aber einen

sehr bedeutenden Unterschied in den Amplituden. Dieselbe beträgt:

	Declination	Inclination
Pawlowsk . . . . .	0°469	0°413
Jan Mayen . . . . .	2°212	1°521

Die Amplitude ist demnach nicht nur grösser in Jan Mayen, sondern übereinstimmend auch grösser für die Declination an beiden Orten.

### Pawlowsk.

Tag	Beobachtung		Rechnung		$d' \cos J$	$l' = 40^\circ$	
	$d$	$i$	$d'$	$i'$		$x$	$y$
0	—0°12	0°34	—0°158	0°171	—0°052	—2°1	6°8
1	—0°36	0°32	—0°091	0°150	—0°030	—1°2	6°0
2	0°07	0°10	—0°014	0°108	—0°005	—0°2	4°3
3	0°15	—0°12	0°063	0°048	0°021	0°8	1°9
4	0°18	—0°14	0°133	—0°024	0°044	1°8	—1°0
5	0°18	—0°10	0°186	—0°099	0°061	2°4	—4°0
6	0°22	—0°11	0°219	—0°165	0°072	2°9	—6°6
7	0°20	—0°19	<b>0°229</b>	—0°214	0°076	3°0	—8°6
8	0°26	—0°24	0°220	<b>—0°240</b>	0°073	2°9	—9°6
9	0°13	—0°22	0°195	—0°239	0°064	2°6	—9°6
10	0°19	—0°22	0°162	—0°214	0°053	2°1	—8°6
11	0°25	—0°16	0°126	—0°170	0°042	1°7	—6°8
12	—0°16	—0°01	0°091	—0°115	0°030	1°2	—4°6
13	—0°11	—0°08	0°062	—0°058	0°020	0°8	—2°3
14	0°30	—0°07	0°037	—0°008	0°012	0°5	—0°3
15	0°44	—0°05	0°015	0°030	0°005	0°2	1°2
16	—0°20	0°02	—0°008	0°056	—0°003	—0°1	2°2
17	—0°37	0°12	—0°036	0°068	—0°012	—0°5	2°7
18	0°00	0°01	—0°069	0°074	—0°023	—0°9	3°0
19	—0°24	0°23	—0°109	0°077	—0°036	—1°4	3°1
20	0°08	0°03	—0°152	0°083	—0°050	—2°0	3°3
21	—0°07	0°11	—0°192	0°095	—0°073	—2°5	3°8
22	—0°50	0°24	—0°224	0°115	—0°074	—3°0	4°6
23	—0°14	0°00	<b>—0°240</b>	0°138	—0°079	—3°2	5°5
24	—0°05	—0°03	—0°236	0°160	—0°078	—3°1	6°4
25	—0°31	0°20	—0°208	<b>0°178</b>	—0°069	—2°8	6°9

## Jan Mayen.

Tag	Beobachtung		Rechnung		$d' \cos J$	$1' = 10 \text{ cm}$	
	$d$	$i$	$d'$	$i'$		$x$	$y$
0	-0.26	1.01	-0.103	0.368	-0.020	-0.2	3.7
1	1.74	0.14	0.194	0.189	0.037	0.4	1.9
2	-1.71	0.68	0.420	0.011	0.080	0.8	0.1
3	0.90	-0.22	0.565	-0.155	0.107	1.1	-1.5
4	-0.80	-0.48	0.639	-0.302	0.121	1.2	-3.0
5	1.79	-0.59	0.657	-0.427	0.125	1.2	-4.3
6	0.77	-0.39	0.665	-0.529	0.126	1.3	-5.3
7	0.50	-0.98	0.671	-0.608	0.127	1.3	-6.1
8	0.64	-0.48	0.694	-0.664	0.132	1.3	-6.6
9	0.94	-0.86	0.738	-0.693	0.140	1.4	-6.9
10	1.62	-0.92	0.787	-0.694	0.150	1.5	-6.9
11	0.56	-0.55	0.817	-0.662	0.155	1.6	-6.6
12	0.63	-0.42	0.787	-0.592	0.150	1.5	-5.9
13	-0.58	-0.44	0.701	-0.484	0.133	1.3	-4.8
14	-0.88	1.41	0.513	-0.337	0.097	1.0	-3.4
15	0.84	-0.99	0.235	-0.158	0.045	0.4	-1.6
16	1.50	-1.29	-0.113	0.042	-0.021	-0.2	0.4
17	0.74	-0.69	-0.493	0.250	-0.094	-0.9	2.5
18	-1.21	1.33	-0.856	0.448	-0.163	-1.6	4.5
19	-2.86	0.95	-1.154	0.618	-0.215	-2.1	6.2
20	0.08	0.54	-1.342	0.744	-0.255	-2.5	7.4
21	-4.42	2.63	-1.895	0.816	-0.265	-2.6	8.2
22	0.08	1.17	-1.307	0.827	-0.248	-2.5	8.3
23	-1.52	-1.08	-1.095	0.779	-0.208	-2.1	7.8
24	0.18	-0.25	-0.792	0.678	-0.150	-1.5	6.8
25	-0.39	0.80	-0.436	0.536	-0.083	-0.8	5.4

Eine noch bessere Übersicht über den Verlauf der Periode erhalten wir durch die graphische Darstellung derselben. Um die Abscissen zu erhalten, müssen die Werthe  $d'$  mit dem Cosinus der Inclination multiplicirt werden. Für Pawlowsk beträgt  $J = 70^\circ 44'$  ( $\cos J = 0.33$ ), für Jan Mayen ist  $J = 79^\circ 2' 1$  ( $\cos J = 0.19$ ). Um die Curven in entsprechendem Massstab zu erhalten, wurden die unter  $d' \cos J$  und  $i'$  befindlichen Werthe bei Pawlowsk mit 40, bei Jan Mayen mit 10 multiplicirt, d. h. es wurde der Massstab für die Zeichnung so



gewählt, dass im ersten Falle  $1' = 40 \text{ cm}$ , im zweiten aber  $1' = 10 \text{ cm}$ . Diese so berechneten Coordinaten findet man unter der Überschrift  $x, y$  auf S. 733 und 734. Der Massstab entspricht bei Pawlowsk einer Entfernung der Zeichnungsfläche vom Schwerpunkte der Magnetnadel  $= 1375 \text{ m}$ , während er bei Jan Mayen auf ein Viertel reducirt ist und der Distanz  $= 344 \text{ m}$  zukommt. Die Verschiedenheit des Massstabes beider Curven hat den Nachtheil, dass man das wirkliche Flächenverhältniss derselben nicht direct ersieht. Da ich die kleine Bewegung in Pawlowsk besser zur Anschauung bringen wollte, musste ein grösserer Massstab gewählt werden, nach welchem aber die Curve für Jan Mayen den Umfang des Formats überschritten hätte, und aus diesem Grunde eine Reduction des Massstabes erheischte. Aus dem unter  $\delta' \cos J$  und  $i'$  stehenden Zahlen ist übrigens Jedermann in der Lage, die Curven in einem beliebigen Massstabe zu construiren, wenn ihn das wirkliche Flächenverhältniss interessiren sollte; ich habe durch die entworfenen Curven vornehmlich die Form derselben veranschaulichen wollen.

Die beigegebene Tafel enthält die diesen Coordinaten entsprechenden Curven. Wenn man die tägliche Bewegung der Magnetnadel an den beiden Orten graphisch darstellt, so ergeben sich Curven, welche ein gänzlich verschiedenes Aussehen haben. Während die für Pawlowsk erhaltene Curve einer Ellipse nicht unähnlich sieht, deren grössere Axe horizontal liegt, ist umgekehrt bei Jan Mayen die Curve mehr nach der Inclinationsrichtung gestreckt. Bei der 26tägigen Periode ist in der Form der beiden Curven kein wesentlicher Unterschied vorhanden, und die Formen würden vielleicht noch übereinstimmender sein, wenn ein reichhaltigeres Beobachtungsmaterial ihrer Construction zu Grunde gelegt werden könnte. Überraschend ist die vollkommen gleiche Lage der Curven gegen den mittleren magnetischen Meridian. Sieht man von dem kleinen oberen Theile der für Jan Mayen gezeichneten Curve ab, so ergibt sich auch die Richtung der Bewegung für beide Orte gleich, nämlich im Sinne des Uhrzeigers.

Die vorstehenden Darlegungen machen es höchst wahrscheinlich, dass die Bewegung der Magnetnadel wäh-

rend der 26tägigen Periode in mittleren und hohen Breiten eine vollkommen gleichartige ist.

Der ganz gleichartige Verlauf der Periode, sowie die Kleinheit ihrer Amplitude könnten die Vermuthung aufkommen lassen, dass diese periodische Änderung einem directen magnetischen Einflusse zuzuschreiben sei. In diesem Sinne äussert auch H. Wild seine diesbezügliche Ansicht in einer jüngst erschienenen Abhandlung<sup>1</sup> mit folgenden Worten: »Mit einem directen magnetischen Einfluss der Sonne auf die Erde lässt sich weiterhin wieder die von Braun und Hornstein ermittelte, der Dauer der Sonnenrotation entsprechende, circa 26tägige Periode der erdmagnetischen Elemente vereinen, die später mannigfache Bestätigungen erfahren hat. Dass deren Amplitude, die z. B. in Pawlowsk für die Declination nach Müller 0'52 beträgt, nach Liznar mit höherer Breite des Beobachtungsortes zunimmt, stimmt auch generell mit unserer Berechnung, doch weist auch da die relativ viel stärkere Zunahme auf weitere modificirende Umstände hin.«

Würden die im Verlauf der 26tägigen Periode auftretenden Abweichungen von der Mittellage von einer directen magnetischen Einwirkung der Sonne herrühren, so liesse sich die Grösse und Richtung der ablenkenden Kraft in sehr einfacher Weise berechnen. Die Richtung der ablenkenden Kraft, die ihren Sitz in der Sonne haben sollte, müsste dann stets nach der Sonne weisen.

Ich habe diese Berechnung für Pawlowsk durchgeführt und hiezu die in der folgenden Tabelle zusammengestellten Daten verwendet. Unter  $D$ ,  $H$ ,  $V$  stehen die durch directe Berechnung der 26tägigen Periode erhaltenen Zahlen, aus denen die auf S. 728 mitgetheilten Differenzen abgeleitet worden sind.

Unter  $D_1$ ,  $H_1$ ,  $V_1$  habe ich jene Zahlen eingetragen, welche durch eine Ausgleichung nach der Formel  $\frac{w_{m-1} + w_m + w_{m+1}}{3}$

erhalten worden sind, wobei  $w_m$  den Werth eines der erdmagnetischen Elemente bedeutet, der dem  $m^{\text{ten}}$  Tage der Periode

---

<sup>1</sup> Magnetische Wirkung der Gestirne auf der Erde. *Mélanges phys. et chim.*, tome XIII, p. 338.

**Pawlowsk.**

	<i>D</i>	<i>H</i>	<i>V</i>	<i>D</i> <sub>1</sub>	<i>H</i> <sub>1</sub>	<i>V</i> <sub>1</sub>
0	0°41'01	1·63752	4·68639	0°40'97	1·63752	4·68615
1	40·77	743	605	40·99	757	606
2	41·20	776	605	41·08	775	599
3	41·28	805	587	41·26	796	590
4	41·31	807	579	41·30	803	583
5	41·31	799	583	41·33	803	580
6	41·37	803	577	41·34	803	577
7	41·33	810	572	41·36	811	578
8	41·39	821	585	41·33	815	577
9	41·26	815	573	41·32	816	578
10	41·32	813	576	41·32	813	581
11	41·38	810	595	41·22	801	579
12	40·97	779	565	41·12	795	576
13	41·02	797	568	41·14	788	566
14	41·43	789	566	41·31	792	571
15	41·57	791	580	41·31	786	574
16	40·93	778	577	41·09	779	583
17	40·76	769	591	40·94	780	593
18	41·13	793	611	40·93	769	592
19	40·89	746	574	41·08	775	596
20	41·21	787	604	41·05	769	593
21	41·06	774	601	40·97	778	593
22	40·63	744	573	40·89	768	587
23	40·99	785	586	40·90	776	591
24	41·08	799	613	40·96	781	600
25	40·82	760	601	40·97	770	617
	0°41'13	1·63786	4·68588	0°41'13	1·63786	4·68588

zukommt. Bezeichnet man die am Fusse der Tabelle stehenden Mittelwerthe mit  $D_0$ ,  $H_0$ ,  $V_0$ , jene aber, die einem beliebigen Tage der Periode entsprechen, mit  $D_m$ ,  $H_m$ ,  $V_m$ , so sind die drei Componenten der ablenkenden Kraft gegeben durch die Ausdrücke:

$$x = H_m \cos D_m - H_0 \cos D_0$$

$$y = H_m \sin D_m - H_0 \sin D_0$$

$$z = V_m - V_0$$

Die Componenten  $x$  und  $y$  wirken in der Ebene des Horizonts, und zwar erstere in der Meridianebene und positiv nach N, letztere senkrecht dazu und positiv nach W. Die Kraft  $z$  steht senkrecht gegen den Horizont und ist positiv, wenn sie nach abwärts wirkt. Aus den drei Componenten folgt die ablenkende Kraft  $A = \sqrt{x^2 + y^2 + z^2}$ .

Für das Azimut  $\alpha$  und die Neigung  $u$  derselben gegen den Horizont hat man:

$$\operatorname{tg} \alpha = \frac{y}{x}^1, \quad \operatorname{tg} u = \frac{z}{\sqrt{x^2 + y^2}}.$$

Die folgende Tabelle enthält die Werthe von  $x$ ,  $y$ ,  $z$ ,  $A$ ,  $\alpha$  und  $u$ . Die Kraft ist in Einheiten der fünften Decimale des Mm. Mmg. Sec.-Systems ausgedrückt. Die Zählung des Azimuts erfolgt von N über W von  $0^\circ$ — $360^\circ$ ; die Neigung  $u$  hat das positive Vorzeichen, wenn die Kraft unter den Horizont gerichtet ist.

Nachdem sämtliche Zahlen für die 26 tägige Periode aus den Tagesmitteln abgeleitet worden sind, also für den Mittag der einzelnen Tage gelten und ausserdem als Mittelwerthe von 24 Sonnenrotationen fast derselben Höhe der Sonne entsprechen, so müsste sich vor Allem der Werth von  $u$  stets gleich ergeben, oder er dürfte nur geringe Variationen zeigen. Das Azimut müsste den Werth  $180^\circ$  und  $0^\circ$  aufweisen. Wir sehen, dass die Daten der Tabelle diesen Forderungen nicht entsprechen und müssen daraus schliessen, dass die zur Berechnung der ablenkenden Kraft benützten Formeln auf unrichtigen Voraussetzungen basiren. Wir gelangen somit zu dem Endergebniss, dass auch die verhältnissmässig kleinen Variationen, welche die 26 tägige Periode des Erdmagnetismus bilden, nicht von einer directen magnetischen Wirkung der Sonne herrühren können, sondern dass auch sie ihren Grund in einer indirecten Wirkung der Sonne haben müssen.

---

<sup>1</sup> In der in der meteorologischen Zeitschrift (October-Heft 1893) erschienenen Abhandlung steht infolge eines Druckfehlers  $\operatorname{tg} \alpha = \frac{y}{z}$ .

Tag	$x$	$y$	$z$	$A$	$\alpha$	$n$
0	—34	— 8	27	44	193°2	37°7
1	—29	— 7	18	35	193°6	31°1
2	—11	— 7	11	17	212°5	40°1
3	7	6	2	9	40°6	12°2
4	17	8	— 5	19	25°2	—14°9
5	17	10	— 8	21	30°5	—22°1
6	17	10	—11	23	30°5	—29°1
7	26	11	—10	30	22°9	—19°5
8	29	10	—11	33	19°0	—19°7
9	30	9	—10	33	16°7	—17°7
10	27	9	— 7	29	18°4	—13°8
11	16	4	— 9	19	14°0	—28°6
12	9	0	—12	15	0°0	—53°1
13	2	0	—22	22	0°0	—84°8
14	6	9	—17	20	56°3	—57°5
15	0	9	—14	17	90°0	—57°3
16	— 7	— 2	— 5	9	195°9	—34°5
17	— 6	— 9	5	12	236°3	24°8
18	—17	—10	4	20	210°5	11°5
19	—11	— 3	8	14	195°3	35°0
20	—17	— 4	5	15	193°2	16°0
21	—18	— 8	5	20	204°0	14°2
22	—18	—12	— 1	22	213°7	— 2°6
23	—10	—11	3	15	227°7	11°4
24	— 4	— 8	12	15	243°4	53°5
25	—16	— 8	29	34	206°6	62°9

Wenn man einmal das Wesen dieser indirecten Einwirkung erkannt haben wird, dürfte die Erklärung der bisher so räthselhaften Änderungen kaum grössere Schwierigkeiten darbieten. Da nach den bisherigen Untersuchungen die so ausgesprochen von der Sonne abhängigen Variationen eine directe magnetische Wirkung derselben nicht erkennen lassen, so dürfte es schon aus diesem Grunde schwer fallen, jene kleinen Variationen, welche Leyst für die verschiedene Stellung der Planeten zur Erde aus den Pawlowsker Beobachtungen abgeleitet hat,<sup>1</sup>

<sup>1</sup> Über den Magnetismus der Planeten. Repert. f. Met., XVII. Mir ist diese Arbeit noch nicht zugänglich gewesen, ich habe von ihr Kenntniss erhalten durch die oben angeführte Abhandlung von H. Wild.

auf eine magnetische Wirkung dieser Planeten zurückzuführen. Zu dieser Folgerung gelangt auch Wild in seiner früher citirten Abhandlung, und zwar auf einem ganz anderen Wege, als es der ist, den ich hier eingeschlagen habe. Die in früherer Zeit so häufig gehegte Vermuthung, dass die Sonne und möglicherweise auch die Planeten directe magnetische Wirkungen ausüben könnten, hat demnach keine Berechtigung.

Die Erkenntniss, dass alle beobachteten Variationen des Erdmagnetismus auf eine indirecte Wirkung zurückgeführt werden müssen, lässt es umso wünschenswerther erscheinen, dass auch über etwaige Verschiedenheiten der Variationen mit der Entfernung von der Erdoberfläche sorgfältige Beobachtungen angestellt werden. In dieser Beziehung ist noch fast gar nichts geschehen; denn, soviel mir bekannt, existiren aus grösseren Höhen nur die Variationsbeobachtungen der Declination vom Säntis, welche von Dr. F. Maurer und theilweise von Beyer im Herbst und Winter 1884 ausgeführt worden sind.<sup>1</sup> Aber selbst dieses spärliche Beobachtungsmaterial scheint auf eine nicht unbedeutende Verschiedenheit der Variationen in der Höhe gegen jene der Tiefe hinzudeuten. Ein Vergleich der gleichzeitigen Daten vom Säntis und von Wien ergibt für die Höhenstation eine um 0'5 grössere Amplitude, und zwar sowohl im November, als auch im December. Dieser Unterschied würde sich aber höchst wahrscheinlich für die Sommermonate noch grösser ergeben haben.

Um ein richtiges Bild der Variationen in der Höhe zu bekommen, genügt es aber durchaus nicht, nur etwa die Declinationsvariationen zu beobachten, es müssten vielmehr die drei Elemente: Declination, Horizontal- und Verticalintensität wenigstens durch ein volles Jahr regelmässig aufgezeichnet werden. Am einfachsten liesse sich das erforderliche Beobachtungsmaterial durch einen Magnetographen beschaffen, dessen Bedienung mit keinen besonderen Schwierigkeiten verbunden ist und der auch ohne Controle durch absolute Messungen ein zur Ableitung der täglichen Periode geeignetes Material liefern

---

<sup>1</sup> Maurer, Einfluss der Höhe auf die täglichen Variationen der magnetischen Declination. Met. Zeitschr., XX, S. 180.

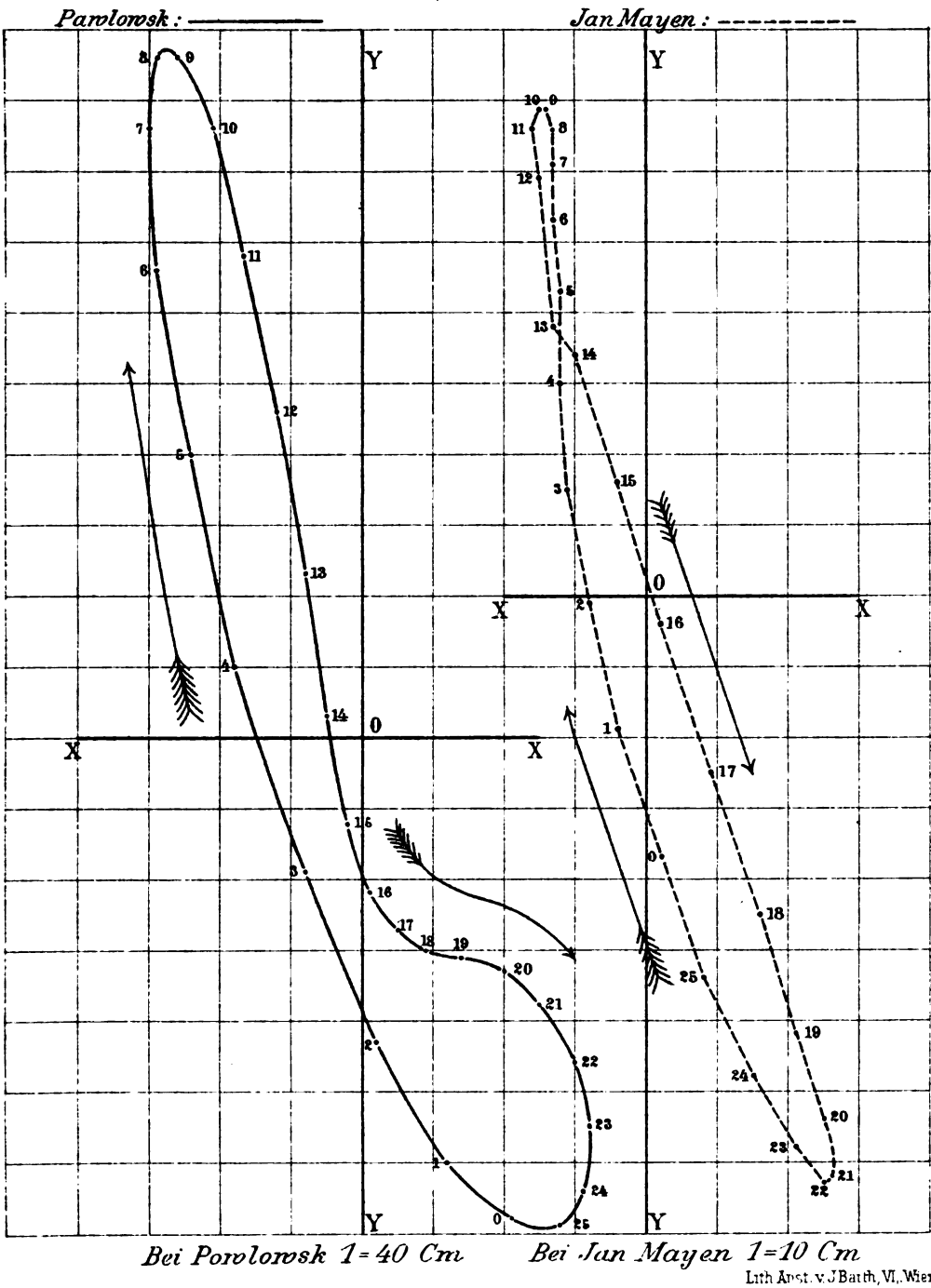
würde. Da meteorologische Observatorien auf Berggipfeln ohnehin bestehen, so kann es sich bei der hier angeregten Frage nur um jene Geldsummen handeln, welche zur Herstellung eines geeigneten Locales zur Unterbringung des Magnetographen und zur Anschaffung des letzteren nöthig sind.

Zur Aufstellung eines Magnetographen scheint mir unser höchstes Bergobservatorium am Sonnblick, dem die meteorologische Wissenschaft so manche Bereicherung verdankt, sehr geeignet zu sein, und es würde sich sehr empfehlen, an diesem Observatorium den ersten derartigen Versuch zu unternehmen. Es ist kaum zweifelhaft, dass, wenn sich hier eine Verschiedenheit der Bewegung der Magnetnadel ergeben sollte, dann auch andere Bergobservatorien dem Beispiele mit Eifer nachfolgen werden, und dass wir dann in nicht sehr langer Zeit ein hinreichendes Material besitzen werden, um uns über die Verschiedenheiten der Variationen ein richtiges Bild verschaffen zu können, während wir heute auf blosse Vermuthungen angewiesen sind, die selbstverständlich nie einer Erklärung der Variationen zur Grundlage dienen können.

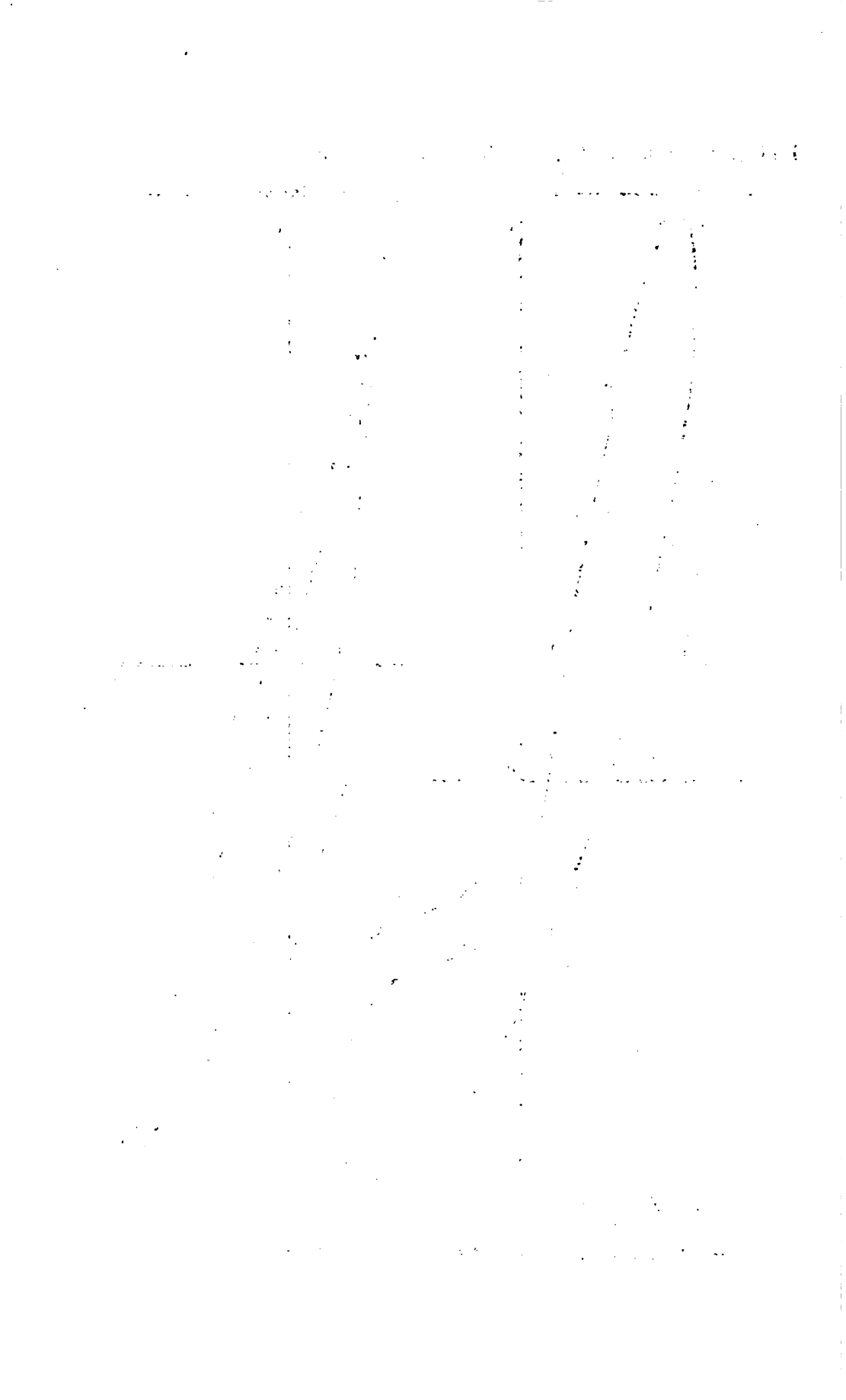
Der Umstand, dass sich zur Erhaltung des Observatoriums am Sonnblick ein eigener Verein gebildet hat, der »Sonnblick-Verein«, lässt mich hoffen, dass die von mir gegebene Anregung auch bei diesem Vereine eine entsprechende Würdigung finden werde.

---

# J. Liznar: 26 tägige Periode des Erdmagnetismus







# Akustische Untersuchungen über die Elasticität weicher Körper

von

**M. v. Smoluchowski.**

Aus dem physikalisch-chemischen Institute der k. k. Universität in Wien.

(Mit 7 Textfiguren.)

(Vorgelegt in der Sitzung am 25. Mai 1894.)

## I.

Weiche Körper, z. B. Wachs, Paraffin, Kautschuk etc. sind für die Elasticitätstheorie hauptsächlich in zweifacher Hinsicht von Interesse. Erstens nimmt der Elasticitätsmodul derselben mit steigender Temperatur in unverhältnissmässig stärkerem Masse ab, als dies bei anderen Körpern, z. B. Metallen, der Fall ist; zweitens finden sich bei ihnen die grössten Werthe der Elasticitätszahl  $\mu$  (Verhältniss der Quercontraction zur Längsdilatation).

Bezüglich des ersten Punktes liegt bisher nur eine Beobachtung von Stefan<sup>1</sup> vor, welcher, anlässlich einer Untersuchung über die Schallgeschwindigkeit in Stäben von Wachs und Unschlitt, die er nach der im Folgenden beschriebenen Methode ausführte, die grosse Veränderlichkeit derselben — also auch des Elasticitätsmoduls — bemerkte.

Für Wachs ergeben seine Versuche:

Temperatur $\theta = 17^\circ$ ,	Schallgeschwindigkeit $c' = 880$ m,
» 25	» 630
» 28	» 451

---

<sup>1</sup> Diese Sitzungsberichte, LVII, 1888.

Für Unschlitt machte er keine näheren Angaben.

Demnach würde sich bei Erhöhung der Temperatur von  $17^\circ$  auf  $28^\circ$  die Schallgeschwindigkeit  $\left[ = \sqrt{\frac{E}{\rho}} \right]$  fast auf die Hälfte, also der Elasticitätsmodul fast auf ein Viertel verringern, während bei den meisten Metallen die Abnahme des letzteren zwischen  $0^\circ$  und  $100^\circ$  nur circa  $2-4\%$  beträgt. Somit scheint hier wegen der Grösse der in Betracht kommenden Änderungen Aussicht vorhanden, jene Erscheinung genauer studiren zu können, als bei den Metallen und eher eine Beziehung zu den übrigen Eigenschaften der Körper finden zu können.

In dieser Hinsicht ist namentlich der Zusammenhang mit der Wärmeausdehnung bemerkenswerth; stellt man den Elasticitätsmodul als eine lineare Function der Temperatur dar

$$E = E_0[1 - \gamma t], \quad (1)$$

so erweist sich nämlich — nach den Beobachtungen von Katzenelsohn<sup>1</sup> und Miller<sup>2</sup> — die Reihenfolge der Metalle nach  $\gamma$  als identisch mit derjenigen nach den Werthen des Wärmeausdehnungs-Coëfficienten und verkehrt jener der Schmelzpunkte. Auch die eben besprochene Beobachtung bezüglich des Wachses stimmt damit überein, da ja auch der Ausdehnungscoëfficient desselben bei mittlerer Temperatur circa 50—100mal grösser ist als jener Metalle. Dieser Punkt musste also bei einer Untersuchung der Elasticität solcher Stoffe besonders berücksichtigt werden.

Der zweite Punkt, die Grösse der Elasticitätszahl  $\mu$ , ist namentlich im Hinblick auf die Theorien der Elasticität von Interesse. Bekanntlich fordert die Poisson'sche Moleculartheorie, dass  $\mu = 0.25$  sei; dies ist durch zahlreiche Versuche wohl genügend widerlegt worden, so z. B. schon durch die Untersuchungen von Wertheim. Dieser zog aber aus denselben den Schluss, dass  $\mu = \frac{1}{3}$  sei; in der That sind seine Zahlen für Messing, Eisen, Glas u. A. nicht weit von diesem Werthe

<sup>1</sup> Berl. In.-Diss., 1887, Winkelmann, Handb. I. S. 242.

<sup>2</sup> Münch. Ber., 1886, S. 707.

entfernt. Durch neuere genaue Beobachtungen scheint auch diese Hypothese, welche übrigens auch durch keine theoretischen Erwägungen gestützt wird, widerlegt zu sein; so fand z. B. Voigt für Glas  $0\cdot208$ — $0\cdot213$ , Kirchhoff für Stahl  $0\cdot293$  bis  $0\cdot295$ ; nach Katzenelsohn wären einige Zahlen noch kleiner, z. B. Aluminium  $0\cdot13$ , Platin  $0\cdot16$ , Gold  $0\cdot17$ .

Die grössten Abweichungen<sup>1</sup> aber, im entgegengesetzten Sinne, scheinen eben bei solchen weichen Körpern vorzukommen, allerdings sind die Angaben hierüber ziemlich schwankend, z. B. Kautschuk: Röntgen  $0\cdot37$ — $0\cdot64$ , Pulfrich  $0\cdot458$ ; Amagat  $0\cdot500$ , Gallerte aus Leim  $0\cdot500$  (Maurer), Ebonit  $0\cdot389$  (Mallock), Paraffin  $0\cdot50$  (Mallock). Auch hierüber waren also weitere Versuche wünschenswerth, umsomehr als, wie weiter unten erwähnt werden wird, diese letzteren Bestimmungen nicht ganz einwandfrei sind. Um nun zur Aufklärung dieser beiden Punkte beizutragen, unternahm ich die Versuche, welche im Folgenden beschrieben sind.

## II.

Die Methoden zur Bestimmung der Elasticitätsmoduln sind entweder statische oder dynamische. Für weiche Körper ist die Anwendung der statischen nicht empfehlenswerth, denn gerade bei ihnen ist die elastische Nachwirkung sehr gross, so dass sich je nach der Dauer der Einwirkung sehr verschiedene Moduln ergeben würden; zudem ist der Bereich der elastischen Vollkommenheit so klein, dass es kaum möglich sein dürfte, denselben bei statischen Messungen nicht zu überschreiten. Namentlich bei höherer Temperatur beginnen diese Körper schon unter Einwirkung der Schwerkraft langsam continuirlich zu fliessen, was dann eine directe Bestimmung des  $E$  ganz fehlerhaft machen würde, für das  $\mu$  aber den Werth  $0\cdot5$  wie bei Flüssigkeiten ergeben müsste.

Dies ist auch der Einwand, welchen die Anhänger der Poisson'schen Theorie gegen die früher erwähnten Mes-

---

<sup>1</sup> Nur bei manchen Legirungen kommen auch so grosse Werthe vor, z. B. Messing  $0\cdot42$  (Katzenelsohn). (Siehe auch den auf S. 15 angeführten Versuch). Vielleicht theilweise auf Äolotropie zurückzuführen.

sungen, welche auf statischen Methoden beruhen, erheben können.

Demgemäss sind hier die akustischen Methoden am Platze, welche die Schallgeschwindigkeit und hieraus den von der Nachwirkung unabhängigen Modul ergeben; allerdings ist dies nicht der isotherme, sondern der adiabatische Modul, doch ist nach den bisherigen Versuchen der Unterschied beider bei festen Körpern nur gering, und werden sich die Zahlen sehr angenähert auch auf jenen anwenden lassen.

Zur Messung der Schallgeschwindigkeiten stehen uns nur zwei Methoden zu Gebote: die Stefan'sche (l. c.) und jene von Warburg.<sup>1</sup> Erstere bildet eine Erweiterung des von Chladni eingeführten Verfahrens, nach welchem aus der Tonhöhe eines longitudinal schwingenden Stabes die Schallgeschwindigkeit berechnet wird; da nämlich Stäbe aus den besprochenen Materialien durch Reiben nicht zum Tönen gebracht werden können, befestigte Stefan ein Stück eines solchen an einen Holz- oder Glasstab; dies System gab einen Longitudinalton, der von den Schallgeschwindigkeiten beider Stücke abhängt und daher die Berechnung einer derselben ermöglicht, wenn die andere gegeben ist.

Warburg hingegen beobachtete die durch aufgestreuten Sand sichtbar gemachten Knoten bei einem auf einen Glasstreifen in der Mitte aufgesetzten, zusammen mit diesem transversal schwingenden Wachsstreifen; dann gilt die Gleichung

$$\frac{c}{c'} = \frac{l^2}{l'^2} \frac{h'}{h},$$

wobei  $c$  die Schallgeschwindigkeit,  $l$  die Abstände der Knoten,  $h$  die Dicke des einen Streifens und die gestrichenen Buchstaben die analogen Grössen für den anderen bedeuten.

Obwohl letztere Methode insoweit bequemer ist, als sie bloss Längenmessungen erfordert, zog ich hier die Stefan'sche vor, da diese sich, wie weiter unten erläutert wird, sofort auch auf Torsionsschwingungen anwenden lässt; dies gestattet dann die Berechnung der Geschwindigkeit der Torsionswellen, somit

---

<sup>1</sup> Pogg. Ann., CXXXVI.

auch des Torsionsmoduls  $T$ , woraus sich dann auch die zweite gewünschte Grösse  $\mu$  ergibt:

$$\mu = \frac{1}{2} \frac{E}{T} - 1 = \frac{1}{2} \left( \frac{c_L}{c_T} \right)^2 - 1. \quad (2)$$

Offenbar hat diese Art der Bestimmung des  $\mu$  auch den Vortheil, dass die Versuche zur Messung des  $E$  und des  $T$  an demselben Stück und unter denselben Bedingungen stattfinden was namentlich in Bezug auf die Constanterhaltung der Temperatur von Wichtigkeit ist. Diese Vortheile theilt sie mit der analogen Methode der Bestimmung des  $\mu$  aus Longitudinal- und Torsionston bei homogenen Glas- und Metallstäben, welche namentlich von Wertheim und Schneebeil angewendet wurde; ihr Nachtheil ist allen  $E$  und  $T$  benützenden Methoden gemeinsam: die Berechnung des  $\mu$  als Differenz zweier Zahlen — wodurch die Genauigkeit verringert wird; dazu kommt noch, dass schon  $c_L$  und  $c_T$  aus der Abweichung des Tones des Systems von jenem des einen Stabes für sich, also aus einer ziemlich kleinen Grösse, bestimmt wird. Ob nun die Messung von  $c_L$  und  $c_T$  sich mit solcher Genauigkeit erzielen lässt, dass eine Berechnung des  $\mu$  möglich ist, konnten nur genaue Versuche entscheiden.

### III.

Zur Erläuterung der Theorie der Longitudinalschwingungen von Stäben, die aus zwei Stücken bestehen, möge kurz Folgendes erwähnt werden.

Die Fortpflanzung fortschreitender longitudinaler Wellen in einem aus zwei verschiedenartigen Stücken bestehenden, unendlich langen Stab lässt sich leicht analytisch darstellen, da man sofort die D'Alembert'sche Form der Lösung der Differentialgleichungen für die beiden Stücke anwenden kann. Bedeutet  $u$  die Verschiebung,  $c$  die Geschwindigkeit in dem von  $-\infty$  bis 0 reichendem Stücke, die gestrichenen Buchstaben die analogen Grössen im anderen Stücke, so lauten die Gleichungen

$$\frac{\partial^2 u}{\partial t^2} = c^2 \frac{\partial^2 u}{\partial x^2}, \quad \frac{\partial^2 u'}{\partial t^2} = c'^2 \frac{\partial^2 u'}{\partial x^2} \quad (3)$$

wobei

$$c^2 = \frac{E}{\rho}, \quad c'^2 = \frac{E'}{\rho'}.$$

Diese werden durch die Lösungen

$$\begin{aligned} u &= f(x+ct) + \varphi(x-ct) & \text{für } -\infty < x < 0 \\ u' &= g(x+c't) + \chi(x-c't) & \text{für } 0 < x < +\infty \end{aligned} \quad (4)$$

befriedigt, wobei die willkürlichen Functionen  $f$  und  $\varphi$  für negative Argumente,  $g$  und  $\chi$  für positive, durch Einführung der Anfangsbedingungen für  $t = 0$ :

$$\begin{array}{c|c} x < 0 & u = U(x) \\ \frac{\partial u}{\partial t} = V(x) & \end{array} \quad \left| \quad \begin{array}{c|c} x > 0 & u' = U'(x) \\ \frac{\partial u'}{\partial t} = V'(x) & \end{array} \right. \quad (5)$$

in folgender Weise bestimmt werden:

$$\left. \begin{aligned} f(x) &= \frac{U(x)}{2} + \frac{1}{2c} \int V(x) dx \\ \varphi(x) &= \frac{U(x)}{2} - \frac{1}{2c} \int V(x) dx \end{aligned} \right\} \text{für } x < 0, \quad \left. \begin{aligned} g(x) &= \frac{U'(x)}{2} + \frac{1}{2c'} \int V'(x) dx \\ \chi(x) &= \frac{U'(x)}{2} - \frac{1}{2c'} \int V'(x) dx \end{aligned} \right\} \text{für } x > 0. \quad (6)$$

Die Werthe der Functionen für andere Werthe des Arguments ergeben sich aus den Bedingungen, welche aus dem Principe der Continuität der Verschiebungen und Spannungen folgen:

für die Trennungsstelle  $x = 0$ :  $u = u'$

$$[q = \text{Querschnitt}] \quad Eq \frac{\partial u}{\partial x} = E' q' \frac{\partial u'}{\partial x}. \quad (7)$$

Durch Einsetzen der Ausdrücke (4) in diese Gleichungen und Integration erhält man

$$\begin{aligned}
 f(ct) &= \frac{2E'q'c}{Eqc' + E'q'c} g(c't) + \frac{Eqc' - E'q'c}{Eqc' + E'q'c} \varphi(-ct) \\
 \chi(-c't) &= \frac{E'q'c - Eqc'}{Eqc' + E'q'c} g(c't) + \frac{2Eqc'}{Eqc' + E'q'c} \varphi(-ct)
 \end{aligned}
 \tag{8}$$

Die Bedeutung dieser Formeln sieht man leicht in dem Falle, dass zur Zeit  $t = 0$  der ganze Stab in Ruhe und in der Ruhelage sei, mit Ausnahme des Punktes  $-b$ , welcher eine Elongation  $U$  habe.

Die Durchführung der Rechnung zeigt dann, dass diese Verrückung zwei Wellen mit der Elongation  $\frac{U}{2}$  erzeugt, von denen die eine in der Richtung  $-\infty$  sich bewegt, während die andere gleich grosse bis zur Trennungsstelle geht und sich hier in eine gebrochene Welle von der Grösse

$$\frac{Eqc'}{Eqc' + E'q'c}, \tag{9}$$

welche in der Richtung der  $+\infty$  mit der Geschwindigkeit  $c$  weiterbewegt und in eine reflectirte spaltet, welche mit der Amplitude

$$\frac{1}{2} \frac{Eqc' - E'q'c}{Eqc' + E'q'c} \tag{10}$$

nach  $-\infty$  zurückkehrt.

Complicirter wird die Erscheinung, wenn der zusammengesetzte Körper eine endliche Ausdehnung von 0 bis  $\lambda$  und von hier bis  $\lambda + \lambda'$  hat; man kann diesen Umstand durch die Annahme ersetzen, dass er an beiden Enden wieder an Stäbe mit unendlich kleinen  $q$  (oder  $E$  oder  $\rho$ ) anstösst; dann werden an diesen nach (10) totale (positive) Reflexionen stattfinden, an der Trennungsstelle spalten sich wieder die Wellen u. s. w., es entsteht im Allgemeinen eine immer wachsende Zahl von Einzelwellen.

Zur Kenntniss der Schwingungszahl des Grundtons der so erzeugten stehenden Schwingungen gelangen wir jedoch auf diese Weise nicht. Diese ergibt sich am einfachsten aus der Betrachtung der particulären Lösungen (deren unendliche An-



zahl die allgemeine Lösung gibt), wie sie von Stefan<sup>1</sup> durchgeführt wurde.

Den Differentialgleichungen (3) und den Bedingungen für die freien Enden genügen die Lösungen

$$\left. \begin{aligned} u &= A \cos \alpha t \cos \beta x \\ u' &= A' \cos \alpha' t \cos \beta' [\lambda + \lambda' - x], \end{aligned} \right\} (11)$$

wobei

$$\alpha^2 = c^2 \beta^2 = \frac{E}{\rho} \beta^2$$

$$\alpha'^2 = c'^2 \beta'^2 = \frac{E'}{\rho'} \beta'^2.$$

Aus dem Principe der Continuität der Verschiebungen und Spannungen<sup>2</sup> folgen für die Trennungsstelle  $x = \lambda$  die Gleichungen (7). Diese erfordern

<sup>1</sup> Diese Sitzungsber., LV, 1867, LVII, 1868.

<sup>2</sup> Es ist bemerkenswerth, dass sich die zweite der Gleichungen (7), welche ausspricht, dass an der Trennungsstelle die Druckkräfte beiderseits gleich sein müssen, auch durch die Forderung, die bei unserem Stabe selbstverständlich erfüllt sein muss, dass nämlich der Schwerpunkt an derselben Stelle bleibe, ersetzen lässt. Es muss dann die Summe der Massen  $\times$  Geschwindigkeiten  $= 0$  sein, also

$$\int_0^\lambda q \rho \frac{\partial u}{\partial t} dx + \int_\lambda^{\lambda+\lambda'} q' \rho' \frac{\partial u'}{\partial t} dx = 0;$$

werden darin die Werthe aus (11) eingesetzt, so ist

$$\rho q A \alpha \sin \alpha t \int_0^\lambda \cos \beta x dx + \rho' q' A' \alpha' \sin \alpha' t \int_\lambda^{\lambda+\lambda'} \cos \beta' (\lambda + \lambda' - x) dx = 0;$$

da diese Gleichung von der Zeit unabhängig ist, muss  $\alpha = \alpha'$  sein; durch Ausföhrung der Integrationen folgt dann

$$\rho q A \frac{\sin \beta \lambda}{\beta} + \rho' q' A' \frac{\sin \beta' \lambda'}{\beta'} = 0.$$

Mit Hilfe der aus der ersten Bedingung (7) folgenden zweiten der Gleichungen (12) erhält man dann direct die Formel (14).

$$\left. \begin{aligned} \alpha &= \alpha' \\ A \cos \beta \lambda &= A' \cos \beta' \lambda' \\ E q \beta A \sin \beta \lambda &= -E' q' \beta' A' \sin \beta' \lambda' \end{aligned} \right\} (12)$$

und daraus folgt durch Elimination von  $A$  die Gleichung

$$E q \beta \sin \beta \lambda \cos \beta' \lambda' + E' q' \beta' \cos \beta \lambda \sin \beta' \lambda' = 0,$$

welche im Allgemeinen auch durch

$$q E \beta \operatorname{tg} \beta \lambda + q' E' \beta' \operatorname{tg} \beta' \lambda' = 0 \quad (13)$$

ersetzt werden kann.

Durch einige Transformationen erhält man, wenn statt  $q \lambda \rho$  und  $q' \lambda' \rho'$  die Gewichte  $p, p'$  gesetzt werden:

$$p \frac{\operatorname{tg} \beta \lambda}{\beta \lambda} + p' \frac{\operatorname{tg} \beta' \lambda'}{\beta' \lambda'} = 0. \quad (14)$$

Behufs Berechnung der Geschwindigkeit kann man diese Formel noch umgestalten, indem man die dem Tone des Systems entsprechende Monochord-Saitenlänge  $l$  und die dem Tone des Stabes  $\lambda$  allein (wenn es ohne das zweite Stück schwingt) entsprechende  $l_0$  einführt.

Stimmt die Saitenlänge  $L$  mit einer Stimmgabel, die  $N$  Schwingungen in der Secunde macht, überein, so hat man schliesslich die Formel für die Schallgeschwindigkeit der Longitudinalwellen

$$c'_L = 2\pi N L \frac{\lambda'}{l z}, \quad (15)$$

wobei die Hilfsgrösse  $z (= \beta' \lambda')$  aus der Gleichung

$$\frac{\operatorname{tg} z}{z} = - \frac{p}{p'} \frac{\operatorname{tg} \frac{\pi l_0}{l}}{\frac{\pi l_0}{l}} \quad (16)$$

bestimmt werden muss.

Zur numerischen Ausrechnung des  $z$  ist es am bequemsten, sich für  $\frac{\operatorname{tg} z}{z}$  eine Tafel von halben zu halben Graden zu entwerfen und dann dazwischen zu interpoliren.

Die Lage der Knotenpunkte der Schwingung erhält man nach Formel (11) durch Nullsetzen von  $\cos \beta x$  und  $\cos \beta'(\lambda + \lambda - x)$ ; im ersten Stücke sind ihre Abstände vom Nullpunkt

$$x_k = \frac{\pi}{2\beta}, \frac{3\pi}{2\beta} \dots = \frac{l_0}{l} \frac{1}{2\lambda}, \frac{l_0}{l} \cdot \frac{3}{2\lambda} \dots, \quad (17)$$

im zweiten Stücke die Abstände vom anderen Ende des zusammengesetzten Stabes

$$x'_k = \frac{\pi}{2\beta'}, \frac{3\pi}{2\beta'} \dots = \frac{c'}{c} x_k. \quad (18)$$

Eine anschauliche Vorstellung von dem Zusammenhange zwischen  $c'$  und der Tonhöhe gewinnt man mittelst einer graphischen Methode.

Werden z. B. wie auf Fig. 1 die Curven  $y = \operatorname{tg} x$  gezeichnet, und schneidet man diese durch eine Gerade

$$y = -\frac{p}{p'} \frac{\operatorname{tg} \frac{\pi l_0}{l}}{\frac{\pi l_0}{l}},$$

so geben die Abscissen der Schnittpunkte die Werthe von  $z$ , welche, in Formel (15) eingesetzt, die Wurzeln der Geschwindigkeiten bestimmen, welche dem durch die Neigung der Geraden definirten Tone entsprechen. Der Schnittpunkt mit der durch 0 hindurchgehenden Tangentencurve gibt den kleinsten Werth von  $z$ , also die grösste Geschwindigkeit, welche bei der betreffenden Tonhöhe noch möglich ist; diese entspricht also dem Grundton des Stabes.

Dieselbe Tonhöhe kann auch durch eine geringere Geschwindigkeit erzeugt werden, wenn sie nämlich dem ersten Obertone eines Systemes entspricht; diese Geschwindigkeit ist dann gegeben durch den Schnittpunkt mit der zweiten Tangentencurve. Analog für die höheren Obertöne.

Wenn wir nun — bei constantem  $\lambda'$  und  $p'$  — die Geschwindigkeit  $c'$  und dementsprechend die Tonhöhe ändern, ergibt sich Folgendes.

Der höchste Werth, welchen der Grundton erreichen kann, also die geringste Neigung der Geraden, entspricht der Lösung  $z = 0$ , somit  $c' = \infty$ ; da diese Neigung der Geraden gleich ist der Tangente im 0-Punkte, so hat man mithin

$$1 = -\frac{p}{p'} \frac{\operatorname{tg} \frac{\pi l_0}{l}}{\frac{\pi l_0}{l}} \quad (19)$$

zur Bestimmung des Tones, welchen das System in dem Falle gibt, wenn die Schallgeschwindigkeit in dem angesetzten Stücke unendlich ist; weil  $\operatorname{tg} \frac{\pi l_0}{l} < 0$ , also  $l > l_0$ , so ist dieser immer tiefer als jener, welchen der Stab ohne das angefügte Stück schwingt. (Die übrigen Wurzeln der Gleichung entsprechen den Obertönen.) Für jede endliche Geschwindigkeit ist der Ton aber noch tiefer, denn ein je kleineres  $c'$ , also grösseres  $z$  man erhalten will, desto grösser muss man die Neigung der Geraden machen.

(Wenn  $z > \frac{\pi}{2}$ , also

$c' < \frac{4NL\lambda'}{l}$  wird, so muss

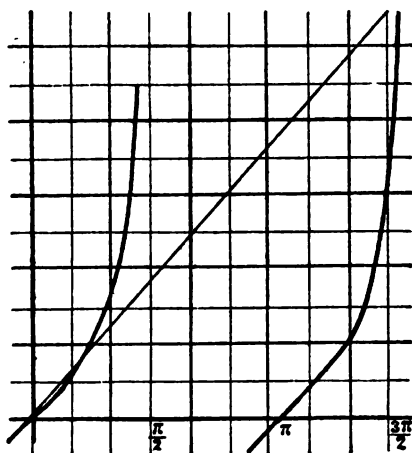


Fig. 1.

die Gerade entgegen dem Sinne des Uhrzeigers noch weiter gedreht werden, so dass sie die zweite Tangentenlinie, welche nun dem tiefsten Tone entspricht, schneidet u. s. w.)

Ähnliche Überlegungen gelten für die Obertöne; diese sind im Allgemeinen unharmonisch.

Um die günstigsten Versuchsbedingungen zu finden, muss man sich über den Einfluss von  $p'$  und  $\lambda'$ , die man ja beliebig variiren kann, klar werden. Dazu dient die Figur 2. Hier sind

(immer bei constantem  $p$  und  $\lambda$ ) für einige bestimmte Verhältnisse der Gewichte und Längen des angesetzten Stückes die Curven  $\frac{c_L}{A}$  gezeichnet, welche die Abhängigkeit der berechneten

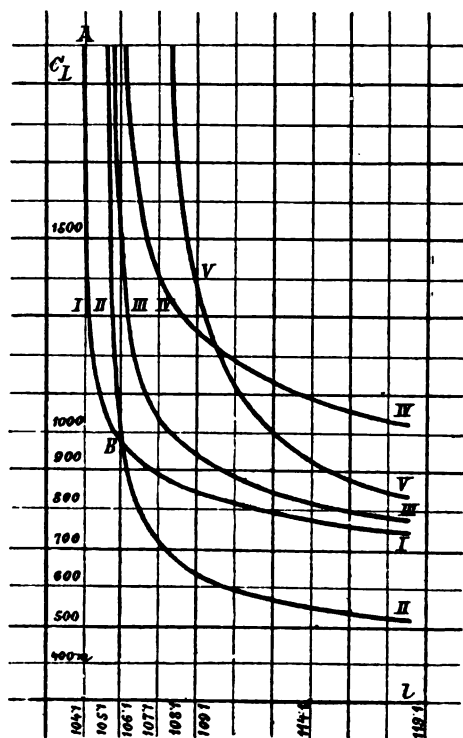


Fig. 2.

Geschwindigkeit  $c_L$  (Ordinate) von der zugehörigen Länge der Monochordsaite (Abscisse) darstellen.

Für I	ist $p' = 8.92 \text{ g}$ ,	$\lambda' = 120 \text{ mm}$
II	17.83	80
III	17.83	120
IV	17.83	160
V	35.66	120

Dabei ist

$$p = 765.5 \text{ g}, \quad \lambda = 1495.5, \quad l_0 = 104.1, \quad L = 417, \quad N = 435.$$

Daraus ergibt sich Folgendes:

Der Einfluss, welchen ein Fehler der Tonbestimmung auf die Zahl für die Geschwindigkeit hat, ist desto grösser, je grösser die Neigung der Curve in dem betreffenden Punkte ist; solange also z. B. der Punkt auf dem Stücke zwischen *A* und *B* der Linie liegt, wird die Messung sehr ungenau werden, dagegen ist in einiger Entfernung rechts von *B* eine ziemliche Genauigkeit erreichbar; man wird also trachten, die Dimensionen der Stäbe so zu wählen, dass die durch die Töne bestimmten Punkte auf diesen Theilen der Curven liegen.

Die Genauigkeit bei einer gegebenen Geschwindigkeit, z. B. 1000 *m*, ist durch die Neigung der Curven in den Punkten bestimmt, wo sie durch eine in der betreffenden Höhe gezogene Horizontale geschnitten werden. Aus dem Vergleiche von I, III, V ersieht man, dass es vortheilhaft ist, grössere Gewichte der zu messenden Stücke zu verwenden, aus dem Vergleiche von II, III und IV aber, dass insbesondere die Länge möglichst gross zu machen ist. Wie später ausgeführt werden wird, erfordert dies, damit überhaupt eine Tonerzeugung möglich werde, eine Vermehrung des Gewichtes. Andererseits aber ist bei grossen Tonvertiefungen, wie sich zeigte, der Klang merklich unreiner, so dass eine mittlere Lage die beste sein dürfte.

Die Gleichungen für die Torsionstöne ergeben sich nun aus dem Vorstehenden ganz leicht; die Differentialgleichung für drehende Schwingungen

( $\delta$  = Winkelverschiebung)

$$\frac{\partial^2 \delta}{\partial t^2} = \frac{E}{2(\mu+1)\rho} \frac{\partial^2 \delta}{\partial x^2} = \frac{T}{\rho} \frac{\partial^2 \delta}{\partial x^2} \quad (20)$$

ist vollständig der Gleichung (3) analog, und die Gleichungen (7) sind durch die ähnlichen

$$\delta = \delta' \\ D \frac{\partial \delta}{\partial x} = D' \frac{\partial \delta'}{\partial x}$$

zu ersetzen, welche aussprechen, dass die Drehungswinkel  $\delta$  und die Drehungsmomente *D* an der Trennungsstelle continuirlich in einander übergehen.

$D$  haben wir gleichzusetzen

$$= \frac{E\theta}{2(\mu+1)} = T\theta,$$

wobei  $\theta$  das Trägheitsmoment des Querschnittes mit der Flächendichte 1 bedeutet.

Mithin gelten auch für diesen Fall die früher abgeleiteten Formeln, wenn man  $E$  durch  $T$  und  $q$  durch  $\theta$  ersetzt. Gleichung (14) wird demnach

$$\theta\lambda\rho\frac{\operatorname{tg}\beta\lambda}{\beta\lambda} + \theta'\lambda'\rho'\frac{\operatorname{tg}\beta'\lambda'}{\beta'\lambda'} = 0.$$

Ist der Stab ein Hohlcyylinder, also der Querschnitt ein Kreisring mit den Radien  $R, r$ , so ist

$$\theta = \frac{\pi}{2}(R^4 - r^4) = \frac{\pi}{2}(R^2 - r^2)(R^2 + r^2); \quad (21)$$

wenn man wieder  $(R^2 - r^2)\pi\lambda\rho$  gleich dem Gewichte  $p$  setzt, so hat man endlich

$$p(R^2 + r^2)\frac{\operatorname{tg}\beta\lambda}{\beta\lambda} + p'(R'^2 + r'^2)\frac{\operatorname{tg}\beta'\lambda'}{\beta'\lambda'} = 0. \quad (22)$$

zur Bestimmung der Tonhöhe; die zur Berechnung der Geschwindigkeit der Torsionswellen geeignetste Formel ist analog (15) und (16)

$$c_T' = 2\pi NL \frac{\lambda'}{l_T z_T}, \quad (23)$$

wobei das  $z_T$  aus der Gleichung

$$\frac{\operatorname{tg} z_T}{z_T} = \frac{p(R^2 + r^2)}{p'(R'^2 + r'^2)} \frac{\operatorname{tg} \frac{\pi l_0 T}{l_T}}{\frac{\pi l_0 T}{l_T}}, \quad (24)$$

zu berechnen ist.

---

<sup>1</sup> Hierbei ist also die Kenntniss von  $R$  und  $r$  nöthig;  $2R$  wurde mit einem Dickenmesser bestimmt,  $r$  meistens aus dem Gewichte, dem specifischen Gewichte und dem  $R$  berechnet.

Kennt man  $c'_L$  und  $c'_T$ , so folgt daraus

$$E = \rho c_L'^2; \quad T = \rho c_T'^2 = 2(\mu + 1)E;$$

$$\mu = \frac{1}{2} \left( \frac{E}{T} \right) - 1 = \frac{1}{2} \left( \frac{c_L}{c_T} \right)^2 - 1.$$

Da Torsionsschwingungen zusammengesetzter Stäbe noch nicht untersucht waren, so war eine experimentelle Bestätigung der Formeln wünschenswerth. Als solche will ich die Resultate eines Versuches anführen, wobei eine Messingröhre, mit den Rändern etwas übergreifend, an eine Glasröhre angesiegelt wurde.

Es waren

- $\lambda' = 305 \text{ mm}$
- $p' = 150 \text{ g}$
- $l_L = 126.6 \text{ mm}$
- $l_T = 218.6 \text{ „}$
- $R = 14.45 \text{ mm}$
- $r = 13.79 \text{ mm.}$

(Die hiebei verwendete Glasröhre ist die auf S. 25 als *B* bezeichnete, daselbst sind auch *N* und *L* angeführt.)

Aus diesen Daten wurde berechnet

$$c'_L = 3144 \text{ m}, \quad c'_T = 1872 \text{ m}, \quad \mu = 0.411,$$

während die directe Bestimmung aus Longitudinal- und Transversalton eines längeren Stückes derselben Messingröhre

$$c_L = 3180 \text{ m}, \quad c_T = 1881 \text{ m}, \quad \mu = 0.429$$

ergab, was in Anbetracht dessen, dass gemäss dem früher Gesagten die Genauigkeit bei so grossen Geschwindigkeiten überhaupt geringer ist, als genügende Übereinstimmung angesehen werden kann.

#### IV.

Stefan hatte bei seinen Versuchen als tonerregenden Theil fast ausschliesslich Holzstäbe benützt. Für longitudinale Töne sind diese auch ganz gut anwendbar, nicht aber für Torsionstöne.



Infolge der verschiedenen Elasticität in der Richtung senkrecht und parallel zu den Faserflächen, sowie infolge der Inhomogenität des Materials gibt ein solcher Stab je nach der Art des Anreibens ganz verschiedene Torsionstöne. (Bei einem Versuche gab ein 995 *mm* langer Stab aus weichem Holz einen Longitudinalton von 2669 Schwingungen und Torsionstöne, welche zwischen 709 und 762 schwankten, was für die Schallgeschwindigkeit der Longitudinalwellen  $c_L = 5310 \text{ m}$  und für die Torsionswellen  $c_T = 1410\text{—}1517 \text{ m}$  ergibt.) Am besten entsprach der Anforderung auf Reinheit und Gleichmässigkeit der Töne eine ziemlich dickwandige Glasröhre, welche daher bei den im Folgenden angeführten Versuchen ausschliesslich benützt wurde.

Auch der zu untersuchende Körper wurde in Röhrenform gegossen, einerseits weil die Theorie voraussetzt, dass die Kräfte auf den ganzen Querschnitt vertheilt sind, während sie, falls man an die Glasröhre ein massives Stück anfügt, bloss an der Mantelfläche des letzteren angreifen würden, anderseits weil in einem röhrenförmigen Stücke sich viel rascher eine gleichförmige Temperatur herstellen lässt, als in einem massiven, was in Anbetracht des schlechten Wärmeleitungsvermögens solcher Körper sehr wichtig ist.

Die Befestigung des Stückes geschah auf die Weise, dass die Glasröhre bis über die Schmelztemperatur des Materiales erwärmt und dann das Stück darangefügt wurde; beim Erkalten hielt es infolge der Adhäsion meist genügend fest.

Der Ton wurde durch Reiben des Glases mittelst eines weichen, mit Wasser gut durchfeuchteten, mit Flanell überzogenen Filzlappens erregt.

Das Hauptaugenmerk musste bei den Versuchen auf die Constanterhaltung auf einer beliebigen Temperatur gerichtet werden.

Stefan hatte einfach den Stab längere Zeit an einem Orte von wenig veränderlicher Temperatur neben einem Thermometer gelassen, bevor der Ton bestimmt wurde; um grössere Temperaturunterschiede zu ermöglichen und eine grössere Genauigkeit zu erzielen, wurde bei diesen Versuchen folgende Anordnung getroffen: es wurde ein doppelwandiger paral-

lelopipedischer Kasten aus Zinkblech hergestellt, der oben durch einen gut passenden Holzdeckel verschliessbar war, in welchem sich zwei Löcher zum Durchstecken der Thermometer befanden, während an einer der Schmalseiten des Kastens eine kreisförmige Öffnung ausgeschnitten war, durch welche das Ende der Glasröhre (bis zu einer Marke) mit dem daran befestigten (z. B. Wachs-) Stücke hineinragte. In den Raum zwischen den Doppelwänden konnte mittelst zweier Röhrenansätze Wasser eingeleitet werden. Damit das Innere des Kastens von der äusseren Luft möglichst abgesperrt werde, wurde der Zwischenraum zwischen der Glasröhre und der Wand der Öffnung mit Watta ausgefüllt, welche durch zwei eingeschobene Korkringe beiderseits festgehalten wurde. Ebenso wurde ein Wattapfropfen in die Röhre gesteckt. Dass dies auf die Tönhöhe keinen irgend merkbaren Einfluss habe, wurde durch Versuche constatirt. Mittelst Durchleiten von Eiswasser konnte die Temperatur erniedrigt werden, durch Erwärmen mit einem untergestellten Bunsen-Brenner beliebig erhöht werden; die Flammenhöhe konnte so regulirt werden, dass die Temperaturschwankung im Inneren während einer Stunde  $0.2-0.3^{\circ}$  nicht überstieg. So lange wurde auch jedesmal abgewartet, bevor der Versuch begonnen wurde, damit in dem (Wachs-) Stücke eine gleichmässige Temperaturvertheilung eintrete.

Diese Anordnung der Versuche hat zugleich den Vortheil, dass, falls die äussere Temperatur gleich bleibt, der Einfluss der thermischen Änderung der Elasticität des Glases auf die Tonhöhe des Systems nur sehr klein ist, da bloss das in den Kasten hineinragende Stück diesbezüglich in Betracht kommt. Wenn man die Rechnung ganz exact durchführen will, kann man die von Stefan abgeleitete Formel für einen aus drei Stücken bestehenden Stab anwenden.<sup>1</sup> Diese Stücke wären in diesem Falle:

- I. Glasröhre auf Zimmertemperatur,
- II. Glasröhre auf Temperatur des Kastens,
- III. Wachsröhre.

Bei den im Folgenden angeführten Versuchen war aber die Länge des Stückes II nur  $\frac{1}{30}$  von I, so dass in Anbetracht

<sup>1</sup> Diese Sitzungsber., LV, 1867.

des geringen Unterschiedes von  $c_1$  und  $c_2$  der Einfluss der Erwärmung desselben ganz vernachlässigt werden konnte.

Bei Anstellung der Experimente muss auch der Umstand berücksichtigt werden, dass der Knotenpunkt, in welchem der Stab festgeklemmt wird, von der jeweiligen Tonhöhe abhängt, dass daher seine Lage jedesmal aus der übereinstimmenden Saitenlänge am Monochord nach Formel (17) berechnet werden muss. Praktisch ist es, behufs Verschiebung des Einklemmungspunktes von vornherein eine Scala auf der Glasröhre einzuzätzen. (Als Klemmbacken dienten zwei 1.5 cm breite, etwas ausgehöhlte Korkstücke, welche auf Brettchen aufgeleimt waren, die mit einer Schraubenzwinge zusammengedrückt wurden).

Man könnte sich von dieser Complication ganz befreien, indem man auch an der anderen Seite der Röhre ein Wachstück befestigt, so dass das System symmetrisch wird. Dann hätte man die Rechnung für einen einseitig befestigten Stab von der halben Länge der Glasröhre mit angefügtem Wachstück durchzuführen. Da aber in diesem Fall ein zweiter Kasten erforderlich ist, und auch die Herstellung gleicher Röhrenstücke nicht ganz leicht ist, zog ich es vor, bei der beschriebenen Anordnung zu bleiben.

Die Messung der Tonhöhe geschah, wie früher erwähnt wurde, mittelst eines Monochordes. Um bei der Abgrenzung des schwingenden Saitenstückes möglichste Genauigkeit zu erreichen, wurde die Kante des verschiebbaren Steges zugeschärft und auch eine Vorrichtung angebracht, dass die Saite von oben niedergedrückt wurde, so dass ein Schwanken derselben an den Endpunkten, welches eine Tonvertiefung zur Folge hat, vermieden wurde. Die Stahlsaite wurde durch Gewichte gespannt; die Tonhöhe blieb sehr constant; auch die Correction infolge der Steifheit der Saite war zu vernachlässigen, so dass die direct abgelesenen Saitenlängen den Schwingungszahlen verkehrt proportional gesetzt werden konnten.

Die Vergleichung der Tonhöhen der Saite und des Stabes geschah nach dem Gehör, Schwebungen konnten nicht wahrgenommen werden, aber trotzdem war eine ziemliche Genauig-

keit der Einstellung möglich, da Unterschiede von  $0.1 \text{ mm} = 1$  Schwingung auf 1500 noch merklich waren. Allerdings war diese Fehlergrenze bei Unreinheit der Töne etwas höher.

## V.

Bei der Durchführung der Messungen zeigten sich besonders zwei störende Umstände, und die dadurch hervorgerufenen Fehler waren die Ursache, dass namentlich die Bestimmung des  $\mu$  nicht die gewünschte Genauigkeit erlangte. So zeigt es sich nämlich, dass nur wenn die Länge des angesetzten Stückes eine gewisse Grösse nicht überschreitet, der Grundton des Systems ertönt; will man den Ton noch vertiefen, indem man ein längeres Stück ansetzt oder die Temperatur erhöht, so spricht der Grundton nicht mehr an, meist aber tritt jetzt der erste Oberton hervor. Dies hat den Effect, dass die Tonvertiefung, mit welcher nach dem auf S. 751 Gesagten die Genauigkeit wächst, nur eine gewisse Grenze erreichen kann. Oft ist es nicht einmal vortheilhaft, so weit zu gehen, da zuweilen schon vorher die Klarheit des Tones merklich getrübt ist. Insbesondere ist die Beobachtung des Torsionstones erschwert, da die durch die ruckweisen drehenden Bewegungen der Hand hervorgebrachten Töne nicht so gut charakterisirt sind, als die Longitudinaltöne, bei denen es leichter ist, je nach der Art des Reibens den Grund- oder Oberton festzuhalten.

Da das Verschwinden des Grundtones bei der grössten erreichbaren Tonvertiefung einzutreten beginnt, also wenn der Knotenpunkt des Glasstabes am meisten gegen die Trennstelle zu verschoben ist, meint Stefan, welcher diese Erscheinung auch beobachtete, dass ihre Ursache in der Vertheilung der Verdünnungen und Verdichtungen im schwingenden Stabe liegen müsse, welche in der Nähe der Knoten am stärksten, in der Nähe der Schwingungsbäuche am geringsten seien.

Vielleicht bietet aber folgende Überlegung eine befriedigendere Erklärung.

Man kann die Schwingungen des Wachsstückes auch als eine Art von durch die Glasröhre erzwungenen Schwingungen betrachten; für sich allein tönt das Wachsstück nicht. Unter

sonst gleichen Verhältnissen werden sich diese leichter erzeugen lassen, wenn ihre Amplitude im Vergleich zur Amplitude der Glasschwingungen klein, als wenn sie gross ist. Nun ergehen die Gleichungen (12) für das Verhältniss der Amplituden

$$\frac{A'}{A} = \frac{\cos \beta \lambda}{\cos \beta' \lambda'} = - \frac{E q \beta \sin \beta \lambda}{E' q' \beta' \sin \beta' \lambda'}$$

oder noch leichter Transformation, wenn wieder zur Abkürzung  $\beta' \lambda' = z$  gesetzt wird

$$\frac{A'}{A} = \frac{\cos \frac{\pi l_0}{l}}{\cos z} = - \frac{p}{p'} \frac{\sin \frac{\pi l_0}{l}}{\frac{\pi l_0}{l}} \frac{z}{\sin z}.$$

Betrachten wir nun die Grenzfälle, wo

1. der Knoten der Mitte der Glasröhre am nächsten liegt, also der Ton der höchst mögliche wird, nämlich gemäss dem auf S. 749 Gesagten gleich jenem, welcher der Gleichung (19) entspricht; dann ist  $z = 0$ , also nach der ersten der obigen Formeln  $\frac{A'}{A}$  dem absoluten Betrage nach höchstens gleich Eins, und zwar desto kleiner, je mehr  $\frac{\pi l_0}{l}$  sich von 180 entfernt, also je grösser  $\frac{p'}{p}$ .

2. Wenn der Knoten an der Verbindungsstelle selbst liegt, ist nach Formel (17)

$$\lambda = \frac{\pi}{2\beta}, \text{ also } \beta \lambda = \frac{\pi l_0}{l} = \frac{\pi}{2}, \text{ also auch } \beta' \lambda' = z = \frac{\pi}{2},$$

somit nach der zweiten der obigen Formeln

$$\frac{A'}{A} = - \frac{p}{p'}.$$

In der Regel wird nun  $p'$  bei weitem kleiner sein als  $p$ , mithin im zweiten Falle die Amplitude der Wachsschwingungen  $A'$  viel grösser sein müssen als jene der Glasschwingungen  $A$ , daher wird der Ton nur sehr schwer erzeugt werden können, während im Falle 1) das Gegentheil stattfindet.

Dies ist auch von vornherein ersichtlich, da wir im Anfange bewiesen haben, dass sich die Gleichung (14) auch aus dem Principe der Erhaltung des Schwerpunktes ableiten lässt, so dass also im Falle 2) die Amplituden der Wachsschwingungen unverhältnissmässig grösser sein müssen als jene der erregenden Glasröhre, um diesen Gleichgewicht zu halten. Zugleich ergibt sich, dass tiefe Töne desto leichter ansprechen werden, je grösser  $\frac{p'}{p}$  ist; dies stimmt mit der Erfahrung überein, z. B. ein Wachsstück vom Gewichte  $58.97\text{ g}$ , welches an die später noch zu beschreibende Glasröhre  $A$  befestigt war, erzeugte noch einen Ton von  $130\text{ mm}$  Saitenlänge, dagegen ein sehr dünnes vom Gewichte  $17.83\text{ g}$  war schon bei  $116\text{ mm}$  kaum zum Tönen zu bringen.

Es würde daraus hervorgehen, dass man  $p'$  möglichst gross machen soll, doch ist dann, wie schon früher bemerkt, die Klangreinheit beeinträchtigt. Will man dann doch Töne hervorbringen, so springen die Stücke ab — eben wegen der grossen Amplituden.

Der erste Oberton dagegen hat dann meist seinen Knoten in der Nähe der Mitte des Glasstückes, daher nach Formel (17)

$$\frac{\lambda}{2} = \frac{\pi}{2\beta}, \quad \beta\lambda = \pi,$$

daher auch

$$\beta'\lambda' = \pi,$$

also

$$\frac{A'}{A} = +1,$$

er wird also gerade dann leicht ansprechen.

Der zweite störende Umstand ist der, dass die Tonhöhe nicht ganz unabhängig ist von der Art des Anreibens; wenn das Reibzeug ziemlich trocken ist, daher die Reibung gross, die Töne laut, so erscheinen sie meist tiefer, als wenn man, mit ganz nassem Reibzeug, mit geringer Reibung leisere Töne erregt. Dies bildet nicht eine Eigenthümlichkeit der zusammengesetzten Stäbe, es ist auch recht deutlich an Torsionstönen (weniger gut an Longitudinaltönen) von Metallröhren, nament-

lich wenn sie mit Colophoniumlappen gerieben werden und, wie früher erwähnt, an Holzstäben bemerkbar.

Eine diesbezügliche Bemerkung fand ich bei Wertheim (Ann. chim. et phys. III), welcher dies darauf zurückführt, dass bei lauterem Tönen, also grösseren Verschiebungen, die Elastizitätskräfte nicht mehr proportional denselben, sondern langsamer wachsen.

Es wäre ganz plausibel, dass dies bei Wachs etc., wo die Elasticitätsgrenze weit niedriger ist, mehr hervortritt als bei anderen Körpern. Es ist aber nicht ausgeschlossen, dass auch die Reibung selbst, welche in der einen frei schwingenden Stab voraussetzenden Theorie nicht berücksichtigt wird, einen Einfluss hat.

Eine analoge Erscheinung wäre die, dass gestrichene Saiten einen etwas tieferen Ton geben als gezupfte. Um diese Fehlerquelle möglichst zu verringern, wurde das Reibzeug möglichst nass gemacht, und wurden meist ziemlich leise Töne erregt. Die dabei vorkommenden Schwankungen blieben meist unter  $0.1$ — $0.2$  mm Saitenlänge (bei geringer Tonvertiefung weniger).

Zur Untersuchung gelangten gelbes Bienenwachs, Paraffin, Spermacet, Kerzenstearin und weisser Schellack. Hierbei waren die Röhren durch Giessen in Formen erzeugt worden, nur jene aus Schellack musste, da dieses auch bei hoher Temperatur nicht ganz dünnflüssig wird, durch Überkleben eines geölten Messingstabes hergestellt werden.

Die Versuche konnten leider nicht bis in unmittelbare Nähe des Schmelzpunktes festgesetzt werden, denn entweder wurden die Körper schliesslich schon so weich, dass sie sich infolge der Schwerkraft zu rasch verbogen (Paraffin, Wachs, Schellack), oder sie wollten an der Glasröhre nicht mehr haften (Spermacet, Stearin).

## VI.

Die Resultate der Messungen sind in der nachfolgenden Tabelle zusammengestellt. Die Bezeichnungen sind übereinstimmend mit dem Früheren:  $t$  = Temperatur,  $\lambda'$  = Länge der angesetzten Stücker:  $p'$  = dessen Gewicht;  $R'$ ,  $r'$  = äusserer

und innerer Radius;  $l_L$  = die dem Longitudinalton des ganzen Systems entsprechende Saitenlänge;  $l_T$  = analog dem Torsionston;  $c'_L$  = die daraus berechnete Geschwindigkeit der Longitudinalwellen in dem Versuchsstücke;  $c'_T$  = jene der Torsionswellen;  $\mu$  = das hieraus sich ergebende Verhältniss der Quervertraction zur Längsdilatation.

Bei allen Versuchen war

$$N = 435 \quad R = 1.2306$$

$$L = 417.1 \quad r = 0.9362.$$

(Gelbes) Wachs.

$$l_{0L} = 104.0, \quad p = 765.5, \quad \lambda = 1495.5, \quad l_{0T} = 165.7.$$

(Glasröhre A)

$t$	$\lambda'$	$p'$	$R'$	$r'$	$l_L$	$l_T$	$c'_L$	$c'_T$	$\mu$
5.7	167	88.74	1.53025	0.7639	136.4		1032		
7.3	150.6	79.8			130.3	214.6	1010	615	0.356
16.4	151	79.73			135.98	225.8	922	552	0.394
16.6	130	68.0			126.75	209.5	900	540	0.389
25.7	111.5	58.97			127.6	210.9	737	443	0.381
26.1	95	50.19			119.08	196.05	735	438	0.408
30.6	130.9	68.0			98.95 <sup>1</sup>		670		
30.7	152	79.73			101.42 <sup>1</sup>		660		
31.6	95	50.19			123.1	205.4	662	388	0.454
36.6	78.5	41.8			120.6	199.9	556	329	0.424
Mittel. . . .									0.401

Paraffin.

$$l_{0L} = 104.0, \quad \lambda = 1495.5, \quad p = 765.5, \quad l_{0T} = 165.7.$$

$t$	$\lambda'$	$p'$	$R'$	$r'$	$l_L$	$l_T$	$c'_L$	$c'_T$	$\mu$
6.1	204.4	54.75	1.244	0.77	121.26	194.0	1522	916	0.379
6.2	148.3	36.0	1.214	0.77	111.59	177.1	1501	886	0.434
6.5	117.7	28.9			109.1		1500		

<sup>1</sup> Erster Oberton.



$t$	$\lambda'$	$p'$	$R'$	$r'$	$l_L$	$l_T$	$c'_L$	$c'_T$	$\mu$
17.3	205	54.75	1.244	0.77	124.5	199.55	1414	858	0.359
17.3	129	35.73	1.258	0.77	110.93	176.6	1414	828	0.459
17.3	159.3	38.05	1.214	0.77	113.34	180.46	1430	842	0.443
21.6	118.4	28.9	1.214	0.77	109.7	174.6	1300	733	0.574
21.7	129.4	35.73			111.3		1349		
24.6	160.1	38.25	1.214	0.77	116.0	185.05	1259	757	0.383
25.2	206.0	54.75			136.4		1194		
25.2	206.0	54.75			96.85 <sup>1</sup>		1189		
27.8	118.9	28.9			111.8		1035		
28.6	207	54.75			101.0 <sup>1</sup>		984		
29.3	103.3	25.4			111.9		851		
30.2	93.5	22.95			112.0		744		
30.8	159.3	38.05	1.214	0.77	101.9 <sup>1</sup>	163.75	751	437	0.473
32.9	56.0	14.15			108.6		470		
35.3	42.9	10.55			110.6		261		
35.3	42.9	10.55			102.4 <sup>1</sup>		240		
Mittel . . . .									0.438

## Spermacet.

$$l_{0L} = 104.0, p = 765.5, \lambda = 1495.5, l_{0T} = 165.7.$$

$t$	$\lambda'$	$p'$	$R'$	$r'$	$l_L$	$l_T$	$c'_L$	$c'_T$	$\mu$
4.9	166.6	62.45	1.366	0.773	117.7	189.4	1517	909	0.394
14.5	166.9	62.45			118.8		1432		
18.9	167	62.45			118.9		1426		
19.9	167	62.45			119.25	191.45	1403	859	0.334
24.7	167.2	62.45			121.05		1311		
27.5	167.4	62.45			121.37	196.1	1298	782	0.378
28.4	167.4	62.45			122.4	197.9	1258	759	0.373
32.6	167.8	62.45			127.2	212.6	1129	645	0.533
32.9	167.8	62.45			129.1		1092		
33.1	149.7	55.40			122.2	201.6	1091	628	0.506
Mittel . . . .									0.420

<sup>1</sup> Erster Oberton.

**Weisser Schellack.**

$$l_{0L} = 102.2, \quad p' = 751.0, \quad \lambda = 1468.5.$$

(Glasröhre B)

$t$	$\lambda'$	$p'$	$l_L$	$c'_L$
8.7	171.5	40.77	96.4 <sup>1</sup>	1009
19.4	136.5	34.32	117.7	970
25.5	104	28.42	109.5	948
26.3	136.5	34.32	124	869
30.8	104	28.42	110.1	865
35.3	104	28.42	111.4	821
40.0	98	23.71	111.4	762

**Stearin.**

$$l_{0L} = 104.0, \quad \lambda = 1495.5, \quad p = 765.5.$$

$t$	$\lambda'$	$p'$	$l_L$	$c'_L$
16.1	159.5	62.84	119.1	1354
17.3	188	56.9	120.8	1313
17.3	180.5	53.95	118.5	1396
18.1	185.3	78.18	126.16	1354
26.4	185.8	78.18	128.5	1284
33.6	186.2	78.18	133.25	1181
37.3	160.5	62.84	123.4	1177
38.5	186.5	78.18	135.4	1145
38.5	186.5	78.18	93.18 <sup>1</sup>	1138
40.8	121.3	37.32	113.36	1076
41.5	160.6	62.84	127.5	1077
49.2	122.0	37.32	117.6	911

Der besseren Übersicht wegen sind die erhaltenen Werthe der Fortpflanzungsgeschwindigkeit in den Figuren 3, 4, 5 und 6 als Punkte graphisch eingetragen; man sieht sofort, dass eine

<sup>1</sup> Erster Oberton.

lineare Formel die Abhängigkeit derselben von der Temperatur nicht darstellen könne; man muss hiezu eine Function von der Form  $c = a + bx + cx^2$  verwenden, bei Paraffin müsste sogar noch ein Glied  $+dx^3$  hinzukommen.

Die Werthe dieser Constanten wurden für die Longitudinalwellen nach der Methode der kleinsten Quadrate berechnet; anstatt bei Paraffin die vierte Constante hinzuzunehmen, zog ich es vor, die Curve in drei Stücke zu theilen und für jedes

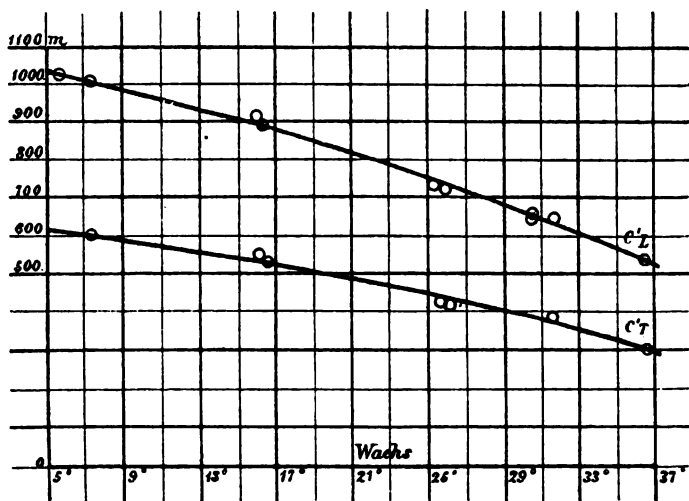


Fig. 3.

die quadratische Formel zu berechnen. Die durch diese Gleichungen dargestellten Curven sind in jenen Figuren eingetragen. Wo die Werthe des  $\mu$  bestimmt waren,<sup>1</sup> wurde daraus das Mittel genommen, mit dieser Zahl die Torsionswellengeschwindigkeit berechnet und die so erhaltene Curve gleichfalls eingezeichnet. Hierbei ist allerdings die Änderung des  $\mu$

<sup>1</sup> Bei Stearin gelangte ich zu keinen brauchbaren Resultaten. Wahrscheinlich liegt der Grund in der stark krystallinischen Structur und der Sprödigkeit desselben; es wird leicht von kleinen Sprüngen durchzogen, welche kaum sichtbar sind und sich nur durch Änderung des Tones bemerkbar machen.

Ebenso war bei Schellack wegen der Ungleichmässigkeit der Röhre eine Berechnung des  $\mu$  nicht möglich.

mit der Temperatur nicht berücksichtigt, doch sind dazu die Beobachtungen nicht genügend genau, ihre Zahl zu gering, und würden die Correcturen bei der Torsionsgeschwindigkeit überhaupt nicht sehr gross sein.

Die Werthe der Constanten sind:

	Longitudinal- wellengeschwindigkeit			Torsions- wellengeschwindigkeit		
	<i>a</i>	<i>b</i>	<i>c</i>	<i>a</i>	<i>b</i>	<i>c</i>
Wachs 6—37° ..	1092·9	—9·417	—0·1464	652·9	—5·626	—0·0874
Spermacet 5—33° ..	1479·8	+7·526	—0·5675	878·1	+4·466	—0·3367
Stearin 16—49° ..	1352·7	+4·9012	—0·2786			
Schellack 9—40° ..	1022·4	+0·1455	—0·1673			
Paraffin 6—25° ..	1465·8	+12·390	—0·8774	864·3	+7·306	—0·5174
25—30° ..	—3816·7	+438·986	—9·4892	—2250·6	+258·86	—5·5955
30—35° ..	9326·2	—434·826	+5·0347	5499·3	—256·40	+2·9688

Die mit Hilfe dieser Constanten für einige Temperaturen berechneten Schallgeschwindigkeiten und die daraus folgenden Elasticitätsmoduln sind in folgender Tabelle zusammengestellt.

	Schallgeschwindigkeit					Elasticitätsmodul				
	Wachs	Sper- macet	Paraf- fin	Stearin	Schel- lack	Wachs	Sper- macet	Paraf- fin	Stearin	
10°	984	1498	1502		1007	95·8	214	207		Dehnungsm.
20	846	1403	1363	1339	958	70·2	187	168	181	
30	679	1195	813	1249	876	44·6	134	58·6	157	
40				1103	761				121	
50				901					87·8	
10	588	889	886			34·2	75·5	71·9		Tors.-M.
20	505	833	804			25·0	65·8	58·5		
30	405	709	479			15·9	47·2	20·4		

Wenden wir uns nun zur Discussion der Resultate.

In Betreff der Übereinstimmung der einzelnen Beobachtungen untereinander ergibt sich Folgendes.

Die Longitudinalgeschwindigkeiten stimmen untereinander ziemlich gut überein; die durchschnittlichen Abweichungen betragen  $1-1\frac{1}{2}\%$ , also eine für derartige Versuche befriedigende Genauigkeit. Bei den Torsionsgeschwindigkeiten sind die Fehler etwas grösser. Bemerkenswerth ist, dass auch die

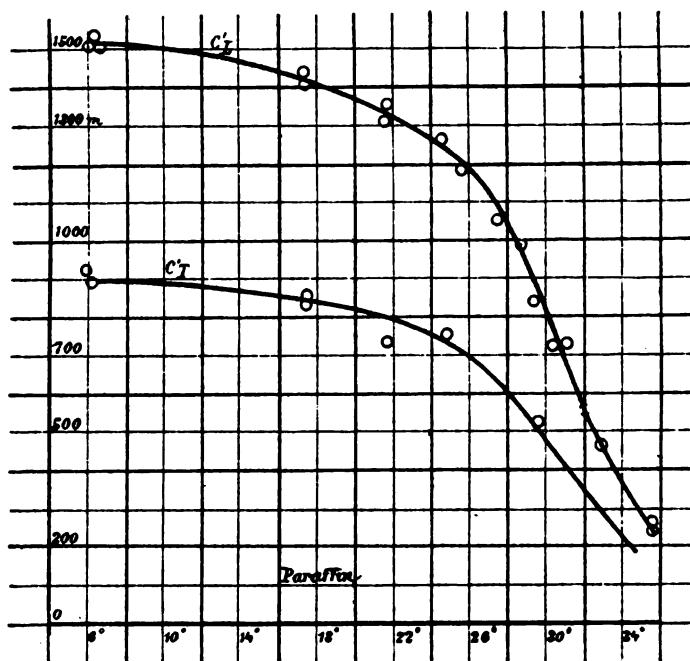


Fig. 4.

Beobachtungen bei verschiedenen Längen der Stücke und auch jene der Obertöne keine bedeutenden Differenzen zeigen — was auch als Bestätigung der Theorie gelten kann (vergl. z. B. Paraffin bei  $17^{\circ}3$  oder bei  $25^{\circ}2$ ).

Bezüglich des Wachses muss bemerkt werden, dass Stefan zu einem etwas anderen Resultate gelangte; den in der Einleitung erwähnten Zahlen zufolge fand er bei gewöhnlicher Temperatur die Geschwindigkeit allerdings fast gleich, aber die Abnahme derselben mit wachsender Temperatur ist nach seinen

Messungen noch bedeutend rascher. Vielleicht lässt sich dies dadurch erklären, dass hier gelbes Bienenwachs verwendet wurde, während er weisses Wachs gebrauchte, welches zumeist mit anderen Stoffen, namentlich Talg, versetzt wird. Auch die Differenz des Werthes für Stearin von der aus Warburg's Beobachtungen folgenden Zahl 1437 *m* wird sich auf eine kleine Verschiedenheit des Materials zurückführen lassen.

Allen zur Untersuchung gelangten Stoffen ist die bedeutende Abnahme der Elasticität mit wachsender Temperatur gemeinsam und bei allen erfolgt sie mit zunehmender Tempe-

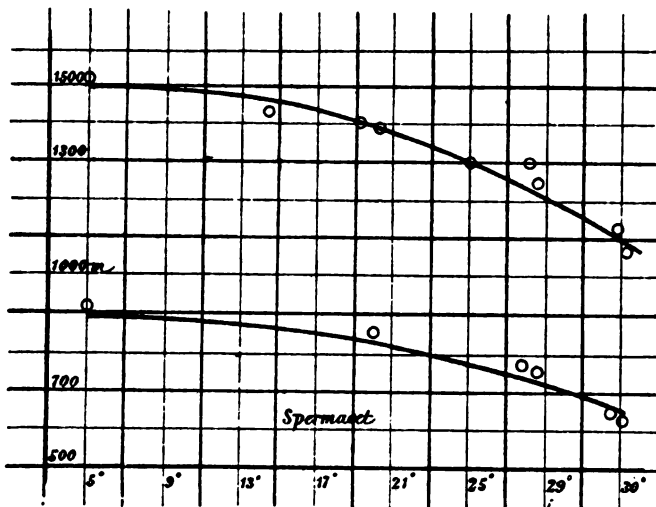


Fig. 5.

ratur immer rascher, nur das Paraffin bildet hievon eine Ausnahme; seine Curve weist in der Nähe von 30° einen Wendepunkt auf und wird oberhalb dieser Abscisse wieder convex. Ob dies bloss eine Eigenthümlichkeit dieses Körpers ist, lässt sich nicht entscheiden; es wäre möglich, dass auch die anderen Stoffe bei noch höherer Temperatur eine solche Erscheinung zeigen; leider liess sich dies aus früher genannten Gründen nicht mehr untersuchen.

Es scheint ferner, dass, wenigstens beim Paraffin, die Curve sich continuirlich der Ordinate 0 nähert, um sie vielleicht beim Schmelzpunkte zu erreichen; auch bei den anderen

Stoffen ist dies nicht unwahrscheinlich, da bei den höchsten Temperaturen die Neigung besonders gross ist. Es wäre nun sehr merkwürdig, wenn die wirkliche Schallgeschwindigkeit bis 0 abnehmen würde, während sie ja in den meisten Flüssigkeiten Werthe zwischen 1000 und 1500 *m* hat. Diese Erscheinung wird aber durch den Umstand erklärt, auf welchen zuerst Wertheim aufmerksam gemacht hat, dass nämlich diese Fortpflanzungsgeschwindigkeit der Longitudinalwellen in

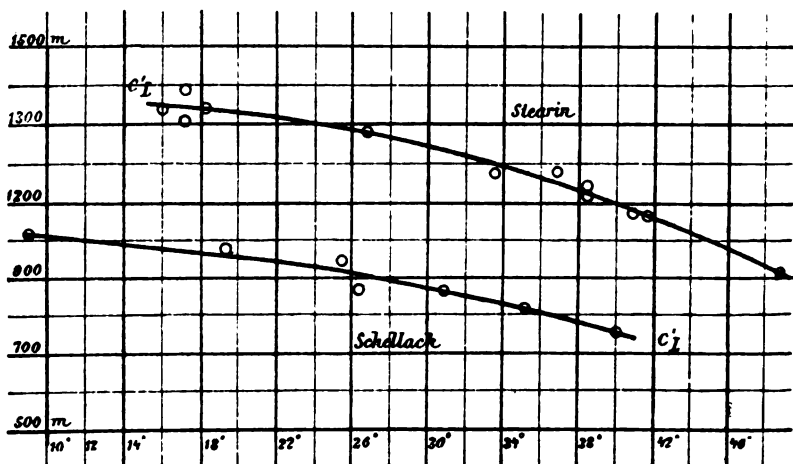


Fig. 6.

Stäben nicht identisch ist mit jener in Körpern, welche nach drei Dimensionen ausgedehnt sind.

Wird ein Stab gedehnt, so kann er sich ungehindert in der Quere zusammenziehen; in einem massiven, nach allen Richtungen des Raumes ausgedehnten Körper ist dies dagegen nicht möglich, daher ergibt sich auch hier als Fortpflanzungsgeschwindigkeit nicht  $\sqrt{\frac{E}{\rho}}$ , sondern

$$\begin{aligned}
 (c') &= \sqrt{\frac{1-\mu}{1-2\mu} \frac{E}{(1+\mu)\rho}} = \sqrt{\frac{2(1-\mu)}{1-2\mu} \frac{T}{\rho}} = \\
 &= c'_L \sqrt{\frac{1-\mu}{(1+\mu)(1-2\mu)}} = c'_T \sqrt{\frac{2-2\mu}{1-2\mu}}.
 \end{aligned}$$

Diese Geschwindigkeit braucht auch für  $c'_L$  oder  $c'_T = 0$  nicht gleich Null zu sein, wenn nämlich  $\mu = 0.5$  wird — wie dies ja bei Flüssigkeiten der Fall ist. Diese Geschwindigkeit ( $c'$ ) ist es auch, welche bei flüssigen Körpern beobachtet wird; das  $c'$ , welches den Longitudinalwellen eines Flüssigkeitsstabes (welcher seitlich durch keine festen Wände begrenzt ist) entspricht, ist gleich Null. Es folgt somit, dass unsere Curve, welche das  $c'$  in festen Körpern darstellt, bei der Schmelztemperatur die Abscissenaxe erreichen muss, und zwar scheint es eben nach dem Gesagten, dass sie hierbei keinen Sprung macht, sondern continuirlich verläuft. Um das ( $c'$ ) in ausgedehnten Körpern direct zu messen, haben wir bis jetzt kein Mittel; man könnte es bei Kenntniss von  $\mu$  berechnen, doch ist dazu die Bestimmung dieser Grösse zu unsicher, da die kleine Differenz  $1 - 2\mu$  im Nenner vorkommt.

Um die in der Einleitung berührte Frage des Zusammenhanges zwischen der thermischen Änderung der Elasticität und dem Ausdehnungscoefficienten zu untersuchen, machte ich einige Messungen des specifischen Gewichtes der Körper bei verschiedenen Temperaturen. (Diese Zahlen wurden schon in den vorhergehenden Berechnungen theilweise benützt.) Diese Werthe, welche in Fig. 7 graphisch dargestellt sind, sind zugleich der Massstab für die Ausdehnung.

$t$	Wachs	$t$	Paraffin	$t$	Spermacet	$t$	Stearin
1.6	$\rho = 0.9774$	0.7	$\rho = 0.9055$	1.3	0.9423	1.0	1.0017
17.7	0.9646	17.9	0.8928	17.8	0.9322	17.7	0.9931
29.7	0.9500	29.6	0.8719	29.8	0.9213	29.6	0.9849
39.5	0.9193	39.4	0.8452	34.7	0.9148	39.3	0.9748
47.2	0.8778					47.2	0.9605

Der Anblick der Curven lehrt nun, dass allerdings Paraffin und Wachs, welche sich am meisten ausdehnen, auch ihre Elasticität am meisten ändern und dass ebenso beim Stearin die Kleinheit der thermischen Coefficienten übereinstimmt,



doch fehlt in den Details die Ähnlichkeit; so hat namentlich die merkwürdige Curve der Schallgeschwindigkeit des Paraffins gar keine Analogie mit dessen Wärmeausdehnungscurve. Auch würde man beim Spermacet, welches seine Elasticität ziemlich rasch ändert, einen grösseren Ausdehnungscoefficienten erwarten können. Es scheint somit, dass zwischen diesen Grössen nur ein mittelbarer Zusammenhang besteht. Von vornherein ist ja auch eher ein solcher zwischen dem Widerstande, welchen der Körper einer allseitigen Zusammendrückung entgegenstellt, also dem Volums-Elasticitätsmodul und der allseitigen thermischen Ausdehnung anzunehmen; man könnte

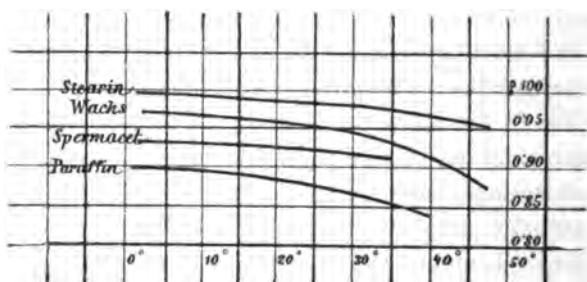


Fig. 7.

erwarten, dass nämlich die Änderung der elastischen Kräfte mit der Temperatur eben von der Vergrösserung der Distanzen zwischen den Molekülen herrührt. Der Längsmodul  $E$  folgt aus dem Volumsmodul  $k$  mit Hilfe der Formel

$$E = 3(1 - 2\mu)k,$$

also

$$\delta E = 3(1 - 2\mu)\delta k - 6k\delta\mu.$$

Da somit die Änderung des  $E$  auch durch die Änderung des  $\mu$  beeinflusst wird, ist es immerhin noch nicht ausgeschlossen, dass zwischen  $k$  und dem Ausdehnungscoefficienten eine directe Beziehung herrscht und die Abweichungen davon bei  $E$  bei Annäherung an die Schmelztemperatur auf Rechnung des  $\mu$  zu setzen sind, welches sich dann gerade rasch ändert. Hierüber ist vorderhand eine Entscheidung nicht möglich.

In Betreff des zweiten, im Abschnitte I erwähnten Punktes, der Grösse des  $\mu$ , ist zu bemerken: In der That zeigen sich bei diesen weichen Körpern die  $\mu$ , auch nach der dynamischen Methode bestimmt, verhältnissmässig gross; allerdings bleiben sie immerhin beträchtlich unterhalb der Zahl 0·5 von Mallock für Paraffin und dürfte dieser Werth (welcher auch  $(c) = \infty$  involviren würde) in den früher erwähnten Mängeln der statischen Methode begründet sein. Im Übrigen möchte ich den hier gefundenen Mittelwerthen auch keine sehr grosse Genauigkeit beimessen, da ja die einzelnen Messungen ziemlich grosse Abweichungen zeigen. Ein Theil von ihnen lässt sich — bei Spermacet und Wachs — wohl auf die Änderung des  $\mu$  mit der Temperatur zurückführen, doch bleiben auch dann noch beträchtliche Differenzen — namentlich bei Paraffin. Dies ist bei der Grösse des Einflusses, welchen geringe Fehler bei der Tonbestimmung etc. haben, leicht begreiflich.

Immerhin ist die Anwendung dieser Methode bei weichen Körpern gerechtfertigt, da zu erwarten ist, dass sich die Fehler der Gewichtsbestimmung, Messung der Radian, Messung des Tones bei einem Mittelwerthe gegenseitig aufheben, und da eben eine andere dynamische Methode zur Bestimmung des  $\mu$  in solchen Stoffen nicht vorhanden ist.

## VII.

Die allgemeinen Ergebnisse der Untersuchung sind also — um sie zum Schlusse noch kurz zusammenzufassen:

### 1. Bezüglich der Anwendbarkeit der Methoden überhaupt:

Die Schwingungen zusammengesetzter Stäbe sind ein gutes Mittel zur Bestimmung der Fortpflanzungsgeschwindigkeit von Longitudinal- und Torsionswellen in Stäben von weichen Körpern (Paraffine, Schellack etc.) und somit auch des adiabatischen  $E$ ; sie gestatten auch die Bestimmung des  $\mu$ , allerdings wird sich dabei keine grosse Genauigkeit erzielen lassen.

### 2. Bezüglich der Änderung der Elasticität mit der Temperatur:

Die Geschwindigkeit  $c'_L$  und  $c'_T$ , somit auch  $E$  und  $T$ , nehmen mit wachsender Temperatur bei solchen Körpern sehr

rasch ab, und zwar nicht derselben proportional, sondern immer rascher; ob zum Schlusse immer wieder ein Wendepunkt eintritt — wie beim Paraffin — liess sich nicht entscheiden. Die Curven dürften bei der Schmelztemperatur die Abscissenaxe berühren. Ein unmittelbarer Zusammenhang zwischen dieser Abnahme und dem thermischen Ausdehnungscoëfficienten existirt nicht, doch ist damit noch nicht ausgeschlossen, dass ein solcher zwischen letzterem und dem Volumsmodul besteht, was dann die scheinbare Übereinstimmung zwischen den obigen Grössen bei Stoffen, die weit von ihrem Schmelzpunkte entfernt sind, erklären würde.

### 3. Bezüglich der Grösse des $\mu$ :

Dasselbe schwankt bei den untersuchten Stoffen (Wachs, Spermacet, Paraffin) — den Versuchen zufolge — zwischen 0·4 und 0·44, ist somit relativ gross, wenn auch nicht so, wie es die statischen Methoden zu ergeben scheinen. Bei Wachs und Spermacet war eine Zunahme mit steigender Temperatur bemerkbar.

## XIX. SITZUNG VOM 12. JULI 1894.

---

Der Secretär legt das erschienene Heft IV und V (April und Mai 1894) des 103. Bandes, Abtheilung II. b. der Sitzungsberichte vor.

Herr Prof. Dr. Ign. Klemenčič in Graz dankt für die ihm zur Durchführung seiner Untersuchung über die Magnetisirung durch elektrische Oscillationen bewilligte Subvention.

Das w. M. Herr Hofrath Prof. V. v. Lang überreicht folgende zwei Arbeiten aus dem physikalischen Institute der k. k. Universität zu Innsbruck:

1. »Eine Studie über unipolare Induction«, von Prof. Dr. Ernst Lecher.
2. »Experimentelle Darstellung von Magnetfeldern«, von Joh. Zuchristian.

Das c. M. Herr Hofrath Prof. E. Ludwig übersendet eine Arbeit der Herren k. u. k. Oberstabsarzt Prof. Dr. F. Kratschmer und k. u. k. Regimentsarzt Dr. E. Wiener in Wien, betitelt: »Grundzüge einer neuen Bestimmungsmethode der Kohlensäure in der Luft«.

Das c. M. Herr Hofrath Prof. A. Bauer übersendet eine Arbeit aus dem Laboratorium für allgemeine und analytische Chemie an der k. k. technischen Hochschule in Wien: »Zur Kenntniss der Überwallungsharze« (II. Abhandlung), von Dr. Max Bamberger.

Das c. M. Herr Prof. Zd. H. Skraup überreicht folgende vier im chemischen Institut der k. k. Universität in Graz ausgeführte Arbeiten:

1. »Über die Constitution der Verbindungen von Chinaalkaloiden mit Äthyljodid«, von Zd. H. Skraup.
2. »Über das Verhalten von Hydrojodcinchonin zu Wasser«, von Dr. G. Pum.
3. »Mangantrichlorid und Chlorokupfersäure«, von G. Neumann.
4. »Quantitative Analyse von Schwermetallen durch Titiren mit Natriumsulfid«, von G. Neumann.

Das c. M. Prof. Franz Exner übersendet eine Arbeit, betitelt: »Elektrochemische Untersuchungen« (IV. Mittheilung).

Ferner übersendet derselbe eine in seinem Laboratorium ausgeführte Arbeit des Herrn J. G. Garvanoff: »Über die innere Reibung in Ölen und deren Änderung mit der Temperatur.«

Herr Dr. Alfred Nalepa, Professor am k. k. Staatsgymnasium in Wien (IV. Bezirk), übersendet eine vorläufige Mittheilung über »Neue Gallmilben« (10. Fortsetzung).

Herr Dr. Wilhelm Kaiser, k. k. Polizei-Commissär in Floridsdorf, übersendet ein versiegeltes Schreiben behufs Wahrung der Priorität, welches angeblich die Beschreibung einer in verhältnissmässig beschränktem Raume (bei grosser Stromstärke) untergebrachten transportablen Quellenbatterie enthält.

Das w. M. Herr Hofrath Prof. G. Tschermak legt eine für die Denkschriften bestimmte Abhandlung über gewundene Bergkrystalle vor.

Das w. M. Herr Hofrath Prof. Ad. Lieben überreicht eine in seinem Laboratorium ausgeführte Arbeit von E. Bryk: »Über die Einwirkung von Jod und Kalilauge auf Harnsäure«;

ferner eine von Prof. R. Přibram aus Czernowitz eingesendete Abhandlung von G. Gregor: »Über die Einwirkung von Jodmethyl auf Resacetophenonkalium«.

Das w. M. Herr Hofrath Director A. Kerner v. Marilaun überreicht zwei weitere Berichte von Dr. Eugen v. Halácsy in Wien: III. »Beitrag zur Flora von Thessalien« und IV. »Beitrag zur Flora von Achaia und Arcadien«, welche den Schluss der botanischen Ergebnisse einer von demselben im Auftrage der kaiserl. Akademie der Wissenschaften unternommenen Forschungsreise nach Griechenland bilden.

Das w. M. Herr Prof. Friedr. Brauer überreicht den IV. Theil der in Verbindung mit Ed. Edl. v. Bergenstamm verfassten Vorarbeiten zu einer Monographie der *Muscaria Schizometopa*, welcher ein Verzeichniss der bis jetzt gezogenen Parasiten und ihrer Wirthe und eine ebensolche alphabetische Aufzählung der Wirthe und ihrer Parasiten, ferner Nachträge zu den früheren Theilen enthält.

Das w. M. Herr Prof. H. Weidel überreicht eine im I. chemischen Universitäts-Laboratorium von Herrn Fritz Pollak durchgeführte Untersuchung: »Studien über die synthetische Bildung von Mesoweinsäure und Traubensäure«.

Das w. M. Herr Vicepräsident Prof. E. Suess übergibt eine für die Denkschriften bestimmte Abhandlung, betitelt »Beiträge zur Stratigraphie Centralasiens«.

Herr Dr. J. Sahulka, Docent an der k. k. technischen Hochschule in Wien, überreicht eine Abhandlung, betitelt: »Neue Untersuchungen über den elektrischen Lichtbogen«.

---

**Selbständige Werke oder neue, der Akademie bisher nicht zugekommene Periodica sind eingelangt:**

Kaiserliche Universität in Kasan, Jubiläumsschrift zur hundertjährigen Geburtstagsfeier N. Lobatschewski's. Kasan, 1894; 4<sup>o</sup>.

Wilde, H. Über den Ursprung der elementaren Körper und über einige neue Beziehungen ihrer Atomgewichte. London, 1892; 4<sup>o</sup>.



SITZUNGSBERICHTE  
DER  
KAISERLICHEN AKADEMIE DER WISSENSCHAFTEN.

---

MATHEMATISCH-NATURWISSENSCHAFTLICHE CLASSE.

---

CIII. BAND. VIII. HEFT.

---

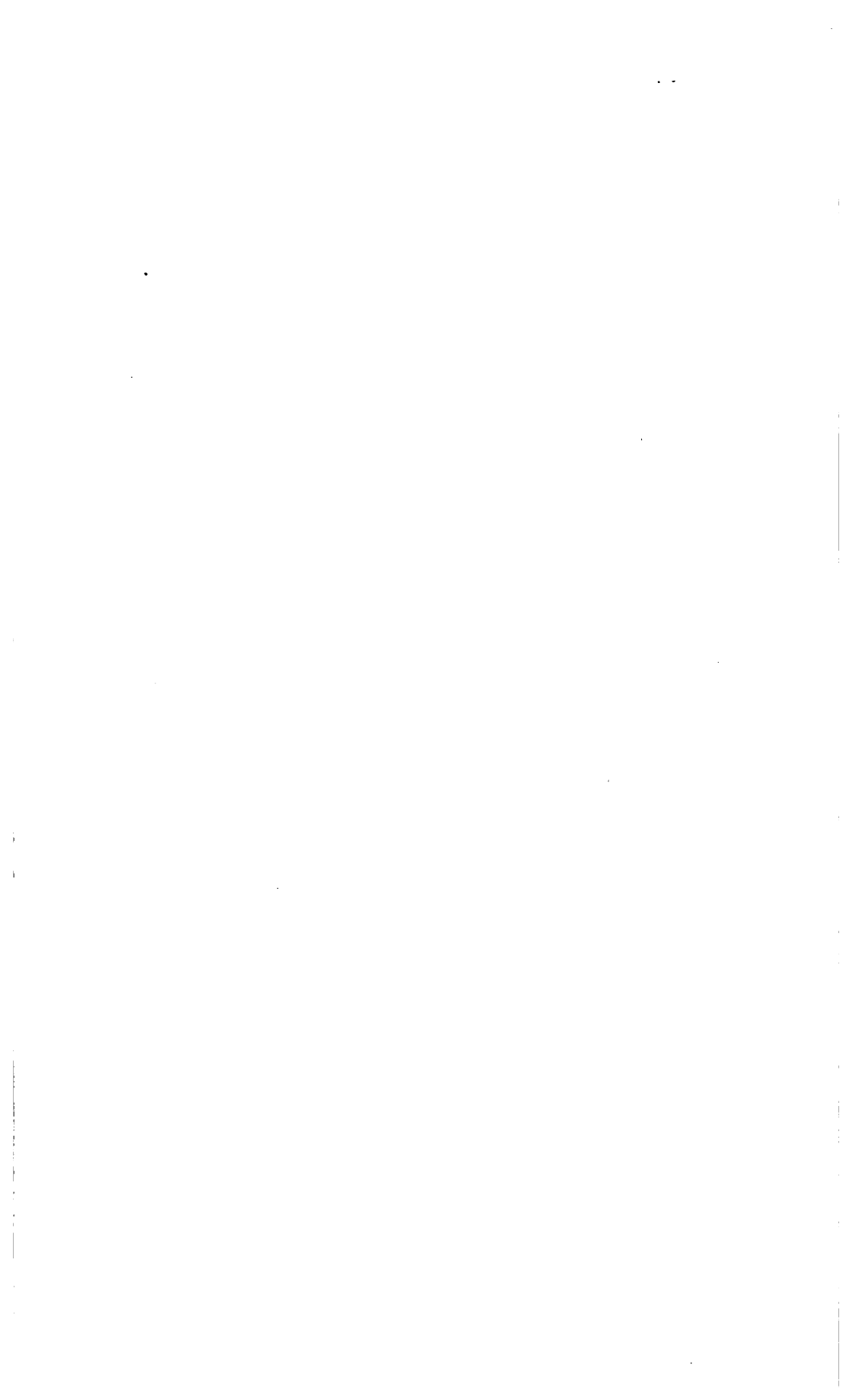
ABTHEILUNG II. a.

---

ENTHÄLT DIE ABHANDLUNGEN AUS DEM GEBIETE DER MATHEMATIK, ASTRONOMIE,  
PHYSIK, METEOROLOGIE UND DER MECHANIK.

---





## XX. SITZUNG VOM 11. OCTOBER 1894.

---

Der Vorsitzende, Herr Vicepräsident Prof. E. Suess, begrüsst die Classe bei Wiederaufnahme der Sitzungen nach den Ferien und heisst das neueingetretene Mitglied Herrn Prof. A. Weichselbaum herzlich willkommen.

Hierauf gedenkt der Vorsitzende der Verluste, welche die kaiserliche Akademie und speciell diese Classe seit der letzten Sitzung durch den Tod zweier hervorragender Männer der Wissenschaft erlitten hat.

Am 17. Juli verschied in Perchtoldsdorf bei Wien der Senior der Akademie Hofrath Dr. Joseph Hyrtl, emerit. Professor der Wiener Universität, im 83. Lebensjahre. Hyrtl war das letzte noch lebende wirkliche Mitglied aus der Reihe der bei Gründung der Akademie (1847) von Sr. Majestät Kaiser Ferdinand I. ernannten vierzig Akademiker.

Die anwesenden Mitglieder geben ihrem Beileide durch Erheben von den Sitzen Ausdruck.

Am 8. September erfolgte zu Charlottenburg bei Berlin das Ableben des ausländischen Ehrenmitgliedes wirkl. geh. Rath und Universitätsprofessor Dr. Hermann von Helmholtz.

Die Mitglieder erheben sich gleichfalls zum Zeichen des Beileids von den Sitzen.

Ferner bringt der Vorsitzende folgende an Se. Excellenz den Herrn Präsidenten der Akademie gelangte Mittheilungen zur Kenntniss, und zwar:

Ein Schreiben Sr. Excellenz des w. M. Herrn Dr. Cajetan Freiherrn von Felder, worin derselbe der kaiserl. Akademie den

Dank ausspricht für die ihm zu seinem 80. Geburtstage am 19. September l. J. dargebrachten Glückwünsche.

Ein Schreiben von Dr. A. Friedlowsky in Kreisbach, in welchem derselbe im Namen der Frau Hofrathswitwe Auguste Hyrtl der kaiserl. Akademie für die Theilnahme an der Leichenfeier ihres verewigten Gatten und für die gleichzeitige Kranzspende herzlich dankt; — desgleichen ein Dankschreiben Ihrer Excellenz Frau von Helmholtz in Charlottenburg für das ihr aus Anlass des Ablebens ihres Gemals von der kaiserl. Akademie übersandte Beileidstelegramm.

Der Secretär legt das im Auftrage Sr. k. u. k. Hoheit des durchlauchtigsten Herrn Erzherzog Ludwig Salvator, Ehrenmitgliedes der kaiserl. Akademie, von der Buchdruckerei Heinrich Mercy in Prag übersendete Werk: »Die Liparischen Inseln. III. Lipari« vor.

Im Laufe der Ferien sind folgende Publicationen der Classe erschienen:

Sitzungsberichte, Bd. 103. (1894), Abtheilung I, Heft IV bis V (April—Mai); Abtheilung II. a., Heft III—V (März—Mai), Heft VI (Juni) und VII (Juli); Abtheilung III, Heft I—IV (Jänner bis April).

Monatshefte für Chemie, Bd. 15. (1894), Heft VI (Juni), Heft VII (Juli) und Heft VIII (August); — ferner das General-Register zu den Bänden I—X dieser Monatshefte.

Für die diesjährigen Wahlen sprechen ihren Dank aus, und zwar:

Die Herren Dr. J. Breuer in Wien, Prof. Dr. G. Goldschmiedt und Prof. Dr. H. Molisch in Prag für die Wahl zu inländischen correspondirenden Mitgliedern — und

Herr A. Auwers, ständiger Secretär der königl. Akademie der Wissenschaften in Berlin für die Wahl zum ausländischen correspondirenden Mitgliede.

Herr Dr. Sigm. Fuchs, Assistent am physiologischen Institute der k. k. Universität in Wien, dankt für die ihm zur Vollendung seiner Untersuchungen über den Erregungsvorgang in den marklosen Nervenfasern der Wirbellosen bewilligte Subvention.

Der Secretär berichtet, dass die im laufenden Jahre unter der wissenschaftlichen Leitung des Herrn k. und k. Hofrathes Director Steindachner auf S. M. Schiff »Pola« unternommenen geologischen Forschungen in den grossen Tiefen der Adria erfolgreich durchgeführt wurden und dass das Expeditions-schiff unter Commando des k. und k. Fregatten-Capitän Mörth nach neunwöchentlicher Fahrt am 1. August wieder glücklich in den Hafen von Pola eingelaufen ist; — ferner dass auch die im Monate Mai l. J. von Herrn Dr. K. Natterer auf S. M. Schiff »Taurus« ausgeführten chemischen Untersuchungen im Marmara-Meere ganz entsprechende Resultate ergeben haben.

Das c. M. Herr Prof. Dr. Hans Molisch an der k. k. deutschen Universität in Prag übersendet eine Arbeit: »Die mineralische Nahrung der Pilze« (I. Abhandlung).

Der Secretär legt folgende eingesendete Abhandlungen vor:

1. »Über die allgemeinen Beziehungen zwischen endlichen Deformationen und den zugehörigen Spannungen in äolotropen und isotropen Substanzen« — und
2. »Über das Kriterion der Connexialität zweier Mittelpunktsflächen zweiter Ordnung«, beide vorgenannten Arbeiten von Prof. Dr. J. Finger an der k. k. technischen Hochschule in Wien.
3. »Bemerkungen über Wärmeleitung«, von P. C. Puschl, Stiftscapitular in Seitenstetten.
4. »Über die zeitweilig verloren gehende elektrische Durchlässigkeit (Leitungsfähigkeit) unserer Metalle für Ströme von ganz geringer Spannung«, von Dr. A. Vietrzycki, k. k. Bezirksarzt in Brzesko (Galizien).

Ferner legt der Secretär folgende behufs Wahrung der Priorität eingesendete versiegelte Schreiben vor:

1. Von Dr. Isidor Altschul, k. Bezirksarzt in Stretraia (Rumänien), mit der Aufschrift: »Zwei Abhandlungen. I. Über das chemische Verhältniss des schlagenden Wetters; II. Über constantes Licht durch Influenz-Elektricität«.

2. Von Herrn Gustav Hirsch in Wien, mit der Aufschrift: »Vindex«, angeblich ein Mittel gegen die Reblaus.
3. Von Herrn Franz Müller, Schulleiter in Siegenfeld (Niederösterreich), mit der Aufschrift: »Leseapparat«.
4. Von Herrn Oswald Liss, Bauingenieur in Wien, mit der Aufschrift: »Sempre avanti«. Der Inhalt betrifft angeblich einen neuen Eisenbahn-Oberbau.
5. Von Dr. Norbert Herz in Wien, mit der Aufschrift: »Physik 744«. Dasselbe enthält angeblich die Principien einer Lösung des Problems des lenkbaren Luftschiffes.
6. Von den Herren Franz B. Smolik und Emil Plechawski in Wien, mit der Aufschrift: »Karte der Eisenbahn-routen zur Ermittlung der Entfernungen beliebiger Stationsverbindungen«.

Das w. M. Herr Hofrath Prof. Ad. Lieben überreicht eine Arbeit aus dem chemischen Laboratorium der k. k. Universität in Czernowitz: »Über die Bildung von Naphtoldithiocarbonsäuren« von Prof. Dr. R. Přibram und C. Glücksmann.

Herr J. Liznar, Adjunct der k. k. Centralanstalt für Meteorologie und Erdmagnetismus, überreicht eine Abhandlung unter dem Titel: »Die Vertheilung der erdmagnetischen Kraft in Österreich-Ungarn zur Epoche 1890·0 nach den in den Jahren 1889 bis 1894 im Auftrage der kaiserl. Akademie ausgeführten Messungen« (I. Theil).

Herr Dr. Sigm. Fuchs, Assistent am physiologischen Institute der k. k. Universität in Wien, überreicht eine Abhandlung: »Über den zeitlichen Verlauf des Erregungsvorganges im marklosen Nerven«.

Schliesslich überreicht der Secretär, Hofrath Director J. Hann, eine Abhandlung des Herrn Eduard Mazelle, Adjunct am astronomisch-meteorologischen Observatorium in Triest, unter dem Titel: »Beziehungen zwischen den mittleren und wahrscheinlichsten Werthen der Lufttemperatur«.

---

**Selbständige Werke oder neue, der Akademie bisher nicht  
zugekommene Periodica sind eingelangt:**

Erzherzog Ludwig Salvator, Die Liparischen Inseln. III.  
»Lipari«, Prag, 1894; Folio.

Le Prince Albert I<sup>er</sup>, Prince de Monaco, Résultats des  
Campagnes Scientifiques accomplies sur Son Yacht »l'Hiron-  
delle«. Publiés sous la direction avec le concours du  
Baron Jules de Guerne, chargé des Travaux zoolo-  
giques à bord. Fascicule VII. Crustacés décapodes pro-  
venant des Campagnes 1886, 1887, 1888 par A. Milne-  
Edwards et E. L. Bouvier. I<sup>ère</sup> Partie. »Brachyures  
et Anomoures«. Imprimerie de Monaco, 1894; Folio.

Instituto Agronomico do Estado de São Paulo (Brazil)  
em Campinas, Relatorio Annual 1893. S. Paulo, 1894; 4°.

Liverpool Biological Society, Report upon the Fauna of  
Liverpool Bay. Vol. I. (with 10 plantes and 2 maps). London  
1886; 8°. — Vol. II. (with 12 plantes and 1 chart). Liver-  
pool, 1892; 8°.

Prinz W., Agrandissements des Photographies Lunaires. Publié  
sous les Auspices de M. E. Solvay. Observatoire Royal  
de Belgique. Partie d'un cliché obtenu au foyer du grand  
Réfracteur de Lick Observatory. Planche I. Agrandis-  
sement à 8 diametres; Planche II. Agrandissement à 24 dia-  
metres; Planche III. Agrandissement à 33 diametres.

---

# Änderungen des elektrischen Widerstandes wässriger Lösungen und der galvanischen Polarisation mit dem Drucke

von

**Bruno Piesch.**

Aus dem physikalisch-chemischen Institute der k. k. Universität in Wien.

(Mit 2 Textfiguren.)

(Vorgelegt in der Sitzung am 25. Mai 1894.)

Die Frage, inwiefern eine Änderung des Druckes einen Einfluss auf den elektrischen Leitungswiderstand einer Flüssigkeit ausübt, wurde bereits in mehrfacher Weise behandelt, aber die meisten dieser Untersuchungen, welche nur mit geringen Druckänderungen ausgeführt wurden, haben keine nennenswerthen Ergebnisse geliefert. Dieselben sind grösstentheils in der Abhandlung des Herrn Fink<sup>1</sup> angeführt, welcher sich bisher am eingehendsten in dieser Richtung beschäftigt hat. Er hat durch eine grössere Reihe von Versuchen mit Salzsäure, Chlornatrium- und Zinksulfatlösungen unter Anwendung hoher Drucke gezeigt, dass im Allgemeinen mit Zunahme des Druckes eine Abnahme des Leitungswiderstandes dieser Flüssigkeiten erfolgt. Ich werde wohl noch öfter Gelegenheit haben, auf diese Arbeit Fink's zurückzukommen. Von späteren Untersuchungen sind nur die von Fousserau<sup>2</sup> hervorzuheben, welcher fand, dass sich der Widerstand sehr verdünnter Lösungen von Eisenchlorid und Chloraluminium bei einer Druckzunahme von 175 Atm. um 5—6% des ursprünglichen Werthes verringert, aber

<sup>1</sup> Wied. Ann., XXVI, S. 481 (1888).

<sup>2</sup> Beibl., 11, S. 723.

nach tagelangem Stehenlassen diesen wieder erreicht. Die Stärke der Änderung nahm mit der Concentration der Lösung zu. Alle diese Versuche, vor Allem diejenigen Fink's haben gezeigt, dass nur bei Anwendung geeigneter Methoden und Apparate, welche grosse Druckänderungen zulassen, genaue und brauchbare Resultate zu erzielen sind.

Ich stellte mir nun die Aufgabe, die Untersuchungen, die Herr Fink an den drei Elektrolyten ausgeführt hat, mit wesentlich verschiedenen Versuchsanordnungen auf eine grössere Reihe wässriger Lösungen auszudehnen, und ich will gleich hier erwähnen, dass die im Folgenden mitgetheilten Untersuchungsergebnisse mit dem oben angeführten allgemeinen Resultate Fink's vollkommen übereinstimmen.

Eine andere Frage war die, ob nicht eine Druckänderung auch auf die chemischen Erscheinungen, welche der elektrische Strom beim Durchgang durch einen Elektrolyten hervorruft, von Einfluss ist. Diese chemischen Erscheinungen bestehen bekanntlich erstens in der Zersetzung des Elektrolyten, anderseits in der Rückbildung desselben unter gleichzeitigem Verschwinden der ausgeschiedenen Ionen. Dieser zweite chemische Vorgang wird nach den neueren Theorien als die Ursache jener elektromotorischen Kraft angesehen, welche mit dem Namen galvanische Polarisation bezeichnet wird. Die obige Frage wird daher ihre Beantwortung erhalten, wenn wir untersuchen, ob sich die galvanische Polarisation mit dem Drucke ändert. Diese Frage hat Herr F. Exner<sup>1</sup> in seinen »Elektrochemischen Untersuchungen« aufgeworfen und daselbst auch die Vermuthung ausgesprochen, dass ähnlich wie die Temperatur auch der Druck auf die Polarisation von Einfluss sein müsse.

### Methoden und Apparate.

Bei der Wahl der Methode der Widerstandsbestimmung hat es sich vor Allem darum gehandelt, eine möglichst grosse Genauigkeit der Messungen zu erzielen, da es ja aus den früheren Versuchen hervorgeht, dass die Widerstandsände-

---

<sup>1</sup> Diese Sitzungsberichte, Bd. 100 (1891).



rungen oft nur geringe sind. Mit der Telephonmethode, welche bei Flüssigkeitswiderständen am häufigsten angewendet wird, konnte ich die gewünschte Genauigkeit nicht erreichen, denn die Versuche, die ich damit anstellte, ergaben eine solche von nur 2%. Ich wendete daher eine Methode an, welche einerseits eine gleichzeitige Messung des Widerstandes und der Polarisation gestattet, anderseits auch einen Anspruch auf grosse Genauigkeit macht. Eine ähnliche Art, den Widerstand und Polarisation gleichzeitig zu bestimmen, ist auch bereits von Neumann (Wiedem. Galv.) angegeben worden.

Das Wesen dieser Methode besteht in Folgendem: Der Strom einer Batterie von der elektromotorischen Kraft  $E$  theilt sich in zwei Zweige; in den einen derselben wird der zu bestimmende Flüssigkeitswiderstand ( $x$ ) eingeschaltet, ein Widerstandskasten und die eine Rolle eines Differentialgalvanometers, der andere Zweigstrom geht durch einen zweiten Stöpselrheostaten und in entgegengesetzter Richtung durch die andere Galvanometerrolle und vereinigt sich dann wieder mit dem ersten Zweig, um zur Batterie zurückzukehren. Sobald der Strom geschlossen wird, beginnt sich die Polarisation ( $p$ ) zu entwickeln, und es wird nun im zweiten Rheostaten soviel Widerstand ( $w$ ) eingeschaltet, bis die Stromintensität in beiden Zweigen dieselbe ist, die Nadel also dauernd auf Null einsteht. Dass dazu immer eine längere Zeit nöthig war, geht aus einigen Ursachen hervor, auf die ich noch später zu sprechen komme. Nun wird in den ersten Zweig ein Zusatzwiderstand ( $g$ ) geschaltet und die Stromgleichheit durch Zuschalten eines Widerstandes  $g_1$  in den anderen Zweig wiederhergestellt. Mache ich den Flüssigkeitswiderstand genügend gross, woraus sich auch für  $w$  ein entsprechend hoher Werth ergibt, so kann ich den Widerstand der Batterie und der Zuleitungsdrähte dagegen vernachlässigen. Bezeichnet nun  $i$  die Stromstärke eines Zweigstromes und  $a$  den Widerstand einer Galvanometerrolle (dass dieser Werth für beide Rollen derselbe ist, ist durch einen Versuch bestätigt worden), so folgt aus der ersten Einstellung nach den Gesetzen der Stromverzweigung:  $E - p = i(x + a)$ ,  $E = i(w + a)$  und daraus  $\frac{E - p}{E} = \frac{a + x}{a + w}$ .

Nach Einschaltung der Zusatzwiderstände erhält man auf dieselbe Weise:  $\frac{E-p}{E} = \frac{a+x+g}{a+n+g_1}$ . Daraus ergibt sich für den zu bestimmenden Widerstand  $x = \frac{(a+n)g}{g'} - a$  und für den Werth der Polarisation  $p = E\left(1 - \frac{g}{g_1}\right)$ . Man kann also aus den zwei Einstellungen die gesuchten Grössen bestimmen. Jedoch eine Voraussetzung wurde bei dieser Methode gemacht, deren Richtigkeit man von vorneherein wohl nicht annehmen kann. Es ist dies die Voraussetzung, dass die Polarisation nach Zuschalten des Widerstandes  $g$ , also mit der Änderung der Stromstärke dieselbe bleibt. Im Allgemeinen wird dies auch gewiss nicht der Fall sein. Der Umstand jedoch, dass der Flüssigkeitswiderstand — schon aus oben angeführten Gründen — sehr gross gewählt wird und der Zusatzwiderstand im Verhältniss dazu genügend klein gemacht werden kann, lässt vermuthen, dass eine Änderung der Polarisation innerhalb so geringer Stromintensitätsunterschiede nicht eintreten wird. Dies wurde natürlich durch eine Reihe von Versuchen auch nachgewiesen, von denen ich hier einige anführen will. Als Flüssigkeit wurde eine verdünnte Kupfersulfatlösung verwendet, in welche Platinelektroden eintauchten. Der Widerstand  $n$  wurde nun regulirt, bis die Nadel sich auf Null einstellte, dann verschiedene Zusatzwiderstände  $g, g', g'' \dots$  eingeschaltet, welche wieder durch Widerstände  $g_1, g'_1, g''_1 \dots$  compensirt wurden. Ändert sich die Polarisation nicht, so muss sich verhalten  $g : g' : g'' = g_1 : g'_1 : g''_1$ .

$g$	$n+g_1$	$g_1$	$g$	$n+g_1$	$g_1$	$g$	$n+g_1$	$g_1$	$g$	$n+g_1$	$g_1$
0	541.5	0	0	1582	0	0	2260	0	0	3910	0
20	581.0	39.5	50	1647	65	50	2360	100	50	3980	70
40	622.0	80.5	100	1712	130	100	2460	200	100	4050	140
60	666.5	125.0	150	1772	190	150	2570	310	150	4120	210

Diese Resultate zeigen nun, dass bei genügend grossem  $n$  und geringen Zusatzwiderständen  $g$  die Proportionalität zwischen den  $g$  und  $g_1$  besteht, also eine geringe Intensitätsände-

rung des Stromes keinen merkbaren Einfluss auf die Polarisation ausübt. Nehmen die Werthe des  $g$  zu, so sehen wir, dass sich die Werthe der  $g_1$  nicht mehr proportional mit diesen ändern. Bei grösseren Widerständen  $w$  können wir natürlich auch entsprechend höhere Zusatzwiderstände einschalten, und dies ist ja auch für die Genauigkeit der Messungen von grossem Vortheil.

Eine Schwierigkeit, die sich bei dieser Methode darbietet, und welche auch die Ursache davon ist, dass einige Messungen nur näherungsweise ausgeführt werden konnten, muss hier noch erwähnt werden. Bekanntlich erreicht nach dem Schliessen des primären Stromes der Polarisationsstrom nicht momentan seinen vollen Werth, sondern es ist dazu immer eine längere Zeit nöthig. Man muss daher lange warten, bis die Galvanometernadel zur Ruhe kommt und die erste Einstellung gemacht werden kann. Die Erfahrung zeigte, dass bei grösseren Flüssigkeitswiderständen das Maximum der Polarisation schneller erreicht wurde. Bei einigen Flüssigkeiten konnte aber ein stationärer Zustand überhaupt nicht beobachtet werden; die Nadel bewegte sich entweder continuirlich nach einer Richtung oder war beständig in schwingender Bewegung begriffen. In diesem Falle musste man eben auf ein genaues Resultat verzichten und zufrieden sein, überhaupt eine Änderung des Widerstandes mit dem Druck feststellen zu können. Die Ursache dieser Erscheinung lag wahrscheinlich in grösseren Concentrationsänderungen der Flüssigkeit; denn die Zersetzung der Elektrolyten erfolgt ja immer rascher als die gleichzeitige Wiedervereinigung der ausgeschiedenen Ionen, sobald nur die elektromotorische Kraft des primären Stromes grösser ist als die der Polarisation. Und dies letztere war ja bei allen Messungen der Fall. Ich will noch erwähnen, dass zur Stromerzeugung eine Anzahl Accumulatoren diente, welche eine genügend constant bleibende elektromotorische Kraft hatten. Die Grösse derselben war natürlich bei den einzelnen Versuchen verschieden und richtete sich immer nach der Grösse des Flüssigkeitswiderstandes. Die Werthe wechselten zwischen 3—8 Volt. Da ja zur Berechnung der Polarisation die elektromotorische Kraft der Kette bekannt sein muss, so musste dieselbe nach jedem Versuche gemessen

werden, und zwar geschah dies mittelst eines Siemens'schen Torsionsgalvanometers, welches die Klemmen der Accumulatoren zu einem Nebenkreis verband. Dieses Instrument gestattete eine genaue Ablesung von Hunderteln Volt. Was die Genauigkeit der Messungen überhaupt anlangt, muss ich hervorheben, dass eine Änderung des Widerstandes  $w$  um  $0.03\%$  noch einen merkbaren Ausschlag der Galvanometernadel ergab.

Druckapparat und Widerstandsgefäss. Zur Erzeugung des Druckes diente ein Cailletet'scher Druckapparat (wie er auch von Fink bei seinen Untersuchungen verwendet wurde), den Herr Hofrath v. Lang in gütigster Weise zur Verfügung stellte, und wofür ich an dieser Stelle meinen besten Dank zum Ausdruck bringe. Auf die Beschreibung des Apparates will ich nicht näher eingehen, sondern nur bemerken, dass man mit demselben mit Leichtigkeit einen Druck von 700 Atmosphären erreichen konnte. Bei meinen Versuchen ging ich jedoch nur bis zu einem Druck von 500 und nur einmal bis 600 Atmosphären. Die Messung des Druckes geschah mittelst eines an die Pumpe angebrachten Bourdon'schen Manometers.

Die grössten Schwierigkeiten machte die Herstellung des Widerstandsgefässes, und zwar die luftdichte Abschliessung nach Aussen und die Einführung des Zuleitungsdrahtes. Meine anfänglichen Versuche, die Glasröhre, wie sie zur Verflüssigung von Gasen verwendet wird, als Widerstandsgefäss zu benützen, indem man den Zuleitungsdraht oben einschmilzt, missglückten insofern, als die Glasröhren oberhalb des Wulstes, der an die Metallhülse angepresst wird, sprangen. Ich traf daher eine wesentlich andere Anordnung, die sich äusserst vortheilhaft erwies. In die Metallhülse (A) (Fig. 1) wurde ein Ebonitcylinder (E) eingekittet, der sich gegen das untere Ende erweiterte, um dort einen Abschluss nach Aussen herzustellen. Der Cylinder war

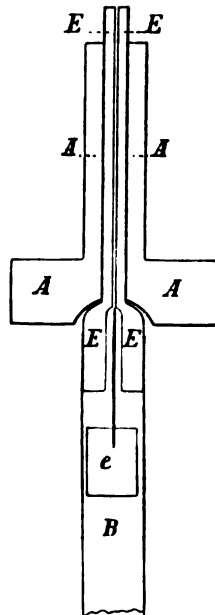


Fig. 1.

in der Richtung seiner Axe durchbohrt, damit der Kupferdraht hindurchgeführt werden konnte. An denselben wurde ein Platindraht angelöthet, der dann die eine Elektrode ( $e$ ) trug. Als Elektroden benützte ich rechteckige Platinbleche, die an die Platindrähte angenietet waren. Die Bohröffnung wurde ganz mit Kitt ausgefüllt, so dass auch die Löthstelle, die in dem unteren weiteren Theil der Bohrung lag, mit Kitt umgeben war und mit der Flüssigkeit keineswegs in Berührung kommen konnte. Ich muss bemerken, dass der Dubois'sche Kitt (eine Mischung von gleichen Theilen Colophonium und gelbem Wachs), welchen ich dabei verwendete, selbst bei den höchsten Drucken vollkommen dicht gehalten hat; erst nach einer längeren Reihe von Versuchen musste er wieder erneuert werden.

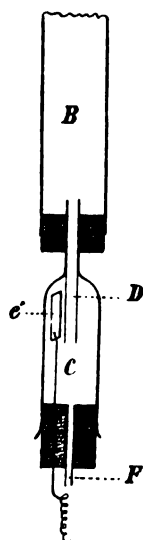


Fig. 2.

Zur Aufnahme der Flüssigkeit dienten zwei Glasröhren, von denen die eine ( $B$ ) auf den unteren weiteren Theil des Ebonitcylinders aufgekittet war, wie es in Fig. 1 dargestellt ist. Sie ist durch einen Kautschukpfropfen nach unten geschlossen. Die zweite Glasröhre  $C$  (Fig. 2) hat einen engeren Theil, mit dem sie durch den Pfropfen in die erste Röhre hineinragt, und einen weiteren, der ebenfalls mit einem Kautschukstöpsel versehen ist. Durch den letzteren geht eine kurze Glasröhre ( $F$ ), welche die Verbindung nach Aussen herstellt. Ausserdem wurde durch diesen Pfropfen der Platindraht geführt, der die zweite Elektrode ( $e'$ ) trägt und unten in eine Spirale endigt. Zu erwähnen ist noch die kleine Röhre  $D$ , welche in den engeren Theil von  $C$  eingeschoben wurde und verhindern sollte, dass die Gasblasen, welche sich bei der Zersetzung an den Elektroden bilden, in diesen Theil der Röhre gelangen und dadurch eine Unterbrechung des Stromes verursachen. Diese Zusammenstellung des Widerstandsgefäßes, besonders die Anwendung einer engen Verbindungsröhre hatte lediglich den Zweck, den Widerstand aus den oben angeführten Gründen zu vergrössern. Bei gut leitenden Flüssigkeiten war es nöthig, noch engere Röhren anzuwenden, bei einigen sehr schlecht

leitenden dagegen musste man den Pfropfen mit der zweiten Elektrode direct in die Röhre *B* einsetzen.

Sobald alle Theile des Widerstandsgefässes bis zum äussersten Rande der kleinen Röhre *F* gefüllt sind, wird dasselbe nun in den eisernen Cylinder des Druckapparates eingesetzt. Auf dem Boden desselben befindet sich eine Schichte Quecksilber, in welches die Platindrahtspirale hineintaucht, so dass dadurch eine leitende Verbindung zwischen der unteren Elektrode (*e'*) und dem Eisencylinder hergestellt ist. Ein starker Kupferdraht, der um denselben gewunden ist, leitet den Strom weiter. Der Widerstand aller dieser Leitungen ist, wie die Versuche ergeben haben, ein so geringer im Vergleich mit dem Flüssigkeitswiderstand, dass er überhaupt nicht in Betracht gezogen zu werden braucht.

Da das Quecksilber zur Leitung des Stromes benützt wurde, durfte dasselbe keineswegs mit dem Elektrolyten in Berührung kommen. Denn auf diese Weise würde es ebenfalls die Stelle einer Elektrode einnehmen, und ausserdem würde die Berührung des Quecksilbers mit dem Platindrahte einerseits und die Anwesenheit des Elektrolyten anderseits die Ursache zur Bildung eines störenden elektrischen Stromes sein. Es wurde daher die zu untersuchende Flüssigkeit unten durch eine nicht leitende Flüssigkeit, Schwefelkohlenstoff, abgeschlossen, dessen specifisches Gewicht grösser ist als das des Wassers und der untersuchten Flüssigkeiten. Der übrige Theil des Eisencylinders wurde mit Wasser angefüllt. Der Schwefelkohlenstoff musste natürlich nach einigen Versuchsreihen immer erneuert werden, da er durch die Berührung mit dem Quecksilber sehr rasch verunreinigt wurde.

Die untere Elektrode *e'* wurde in einer entsprechenden Höhe angebracht, so dass sie von dem Schwefelkohlenstoff, der etwa durch den hohen Druck in die Röhre *C* eingedrungen war, nicht bedeckt werden konnte. Anderseits durfte sie auch nicht zu hoch angebracht werden, da der obere Theil dieser Röhre zur Ansammlung der ausgeschiedenen Gase bestimmt war. Aus demselben Grunde musste auch zwischen der oberen Elektrode *e* und dem Ebonitcylinder ein freier Raum gelassen werden. Die Menge der ausgeschiedenen Gase war allerdings

eine sehr geringe, und durch den Druck wurde ihr Volumen noch bedeutend reducirt. Es wäre noch zu bemerken, dass die Stromrichtung bei allen Versuchen dieselbe blieb, und zwar wurde dieselbe so gewählt, dass die untere Elektrode ( $e'$ ) mit dem Zinkpol der Batterie in Verbindung stand, dass sich also das Metall des Elektrolyten immer auf dieser Elektrode absetzte. Diese Einrichtung wurde getroffen, weil die untere Elektrode mit grosser Leichtigkeit gereinigt werden konnte. Die Reinigung geschah durch Lösung des niedergeschlagenen Metalls in Salpetersäure und Abwaschen mit Soda und Wasser. Ausserdem wurden die Elektroden noch ausgeglüht, um sie auch von den absorbirten Gasen zu befreien. Trotzdem konnte ein gänzlich Verschwinden des Polarisationsstromes nicht erreicht werden, das sehr empfindliche Galvanometer zeigte stets einen wenn auch sehr schwachen Strom an.

### Die Beobachtungen.

Wie ich schon eingangs erwähnt habe, war es mir darum zu thun, die Beobachtungen an einer grösseren Reihe von Flüssigkeiten anzustellen, und ich will daher an dieser Stelle vor Allem Einiges über die verwendeten Flüssigkeiten hervorheben. Es gelangten sowohl verdünnte Säuren, als auch Salzlösungen zur Untersuchung, und zwar von ersteren die Schwefelsäure, Salpetersäure, Chlorwasserstoffsäure und zwei organische, die Essig- und Oxalsäure. Anschliessend an jede derselben wurde dann eine Reihe von Salzen untersucht, und zwar die Kupfer-, Eisen-, Zink-, Nickel- und Magnesiumsalze, nur bei der Schwefelsäure an Stelle des letztgenannten das Natriumsulfat. Ausserdem konnte von den Salzen der beiden organischen Säuren das Eisenacetat, sowie sämtliche eben genannten Salze der Oxalsäure infolge ihrer Unlöslichkeit in kaltem Wasser zur Untersuchung nicht verwendet werden.

Um auch einen gleichzeitigen Einfluss der Concentration auf die Widerstandsänderung der Lösung feststellen zu können, wurden die meisten der Flüssigkeiten bei zwei verschiedenen Concentrationen beobachtet. Dabei standen die Procentgehalte der Salzlösungen und der entsprechenden Säuren in einem ganz bestimmten Verhältniss, so dass in gleichen Mengen der

Lösungen auch gleiche Mengen der Säureradicale enthalten waren, oder mit anderen Worten, dass in der Gewichtseinheit der beiden Lösungen sich eine gleich grosse Anzahl elektrolytischer Molekeln befand. Weiter folgt daraus, dass sich die Anzahl der in der Volumeinheit enthaltenen elektrolytischen Molekeln der beiden Lösungen verhalten müssen wie die specifischen Gewichte derselben. Bezeichnet nämlich  $p$  das in der Gewichtseinheit enthaltene Gewicht der gelösten Substanz,  $A$  das Äquivalentgewicht der Lösung, d. h. das Moleculargewicht dividirt durch die Anzahl der Säureradicale, so ist die

in der Gewichtseinheit enthaltene Molekelanzahl  $g = \frac{p}{A}$ , für

eine zweite Lösung ist  $g' = \frac{p'}{A'}$ , soll nun  $g = g'$  sein, so muss

sich verhalten:  $p : p' = A : A'$ , wenn daher der Procentgehalt

( $P = 100 p$ ) der Säure gegeben ist, so folgt daraus  $P' = \frac{PA'}{A}$

für den Procentgehalt der Salzlösung.

Ist ferner  $m$  die Anzahl der elektrolytischen Molekeln in der Volumeinheit und  $s$  das specifische Gewicht der Lösung, so ist  $m = sg$  und für die zweite Lösung  $m' = s'g'$ , und da  $g = g'$ , so verhalten sich:  $m : m' = s : s'$ , was bereits oben ausgesprochen wurde.

Zwei Salze, Kupfer- und Magnesiumacetat, konnten infolge ihrer sehr geringen Löslichkeit in den entsprechenden Concentrationen nicht untersucht werden, sie wurden daher ebenso wie das Nickelacetat auch nur bei einer einzigen Concentration beobachtet. Die Herstellung der Lösungen von bestimmter Concentration geschah entweder auf die Weise, dass die nöthige Menge der Substanz abgewogen und in der dazu gehörigen Menge destillirten Wassers gelöst wurde, oder es wurde aus Tabellen das dem gewünschten Procentgehalt entsprechende specifische Gewicht entnommen und nach diesem die Lösung hergestellt. Im ersteren Falle wurde das specifische Gewicht nachträglich vermittelst eines Aräometers bestimmt.

Eine grosse Rolle sowohl bei Widerstands- als auch bei Polarisationsmessungen spielt auch die Temperatur, und es ist bekannt, dass die Flüssigkeiten bei Erhöhung der Temperatur



besser leiten, dass dagegen die Polarisaton eine Abnahme der Werthe zeigt. Die Frage, ob der Druck bei verschiedenen Temperaturen auch den Widerstand oder die Polarisaton in verschiedener Weise beeinflusst, habe ich bei der vorliegenden Arbeit gar nicht in Betracht gezogen, da es mir ja vor Allem nur darum zu thun war, festzustellen, ob überhaupt der Druck eine Änderung dieser Erscheinungen hervorruft.

Die Messungen wurden daher alle bei Zimmertemperatur vorgenommen, und die Hauptsache war, dass dieselbe während einer Versuchsreihe möglichst constant blieb. Den Eisencylinder, in welchen das Widerstandsgefäss eingeschlossen war, mit einem Wasserbad zu umgeben, schien mir überflüssig, da ja bei der grossen Wanddicke dieses Cylinders äussere Temperaturschwankungen, die während einer Versuchsreihe nur sehr gering sein konnten, nicht leicht in das Innere des Gefässes dringen konnten. Bei weitem grösser und störender sind die Temperaturunterschiede, welche durch die Zu- und Abnahme des Druckes hervorgerufen werden. Dadurch entstehende Fehler konnte man nur dadurch vermeiden, dass man nach der Erhöhung oder Erniedrigung des Druckes bis zur Ablesung am Galvanometer ungefähr 10—15 Minuten verstreichen liess. Übrigens zeigte das Galvanometer selbst den Rückgang der Temperatur an. Die Druck- und Temperaturerhöhung vermindert den Widerstand, es erfolgt ein starker Ausschlag in diesem Sinne, der aber bald mit der Temperatur zurückzugehen anfängt, bis die Nadel gänzlich zur Ruhe gelangt. Da auch die Beobachtungen bei abnehmendem Drucke gemacht wurden, so konnte ein Fehler durch die beiden entsprechenden Messungen ebenfalls ausgeglichen werden.

Ich will nun noch kurz den Gang einer Versuchsreihe beschreiben. Nachdem auf die oben angeführte Weise die zu untersuchende Lösung hergestellt war, was immer längere Zeit vor Beginn des Versuches geschah, wurde das Widerstandsgefäss gefüllt und in dem Eisencylinder des Druckapparates luftdicht verschraubt. (Die nöthigen Dichtungsleder mussten öfters erneuert werden.) Dann wurde der Strom geschlossen und so lange gewartet, bis die Nadel möglichst zur Ruhe gekommen war. Jetzt konnte erst die Nulleinstellung der Nadel

erfolgen, und es wurde nun die erste Ablesung gemacht, dann nach Einschalten des Zusatzwiderstandes die zweite und eine dritte Ablesung wieder ohne den Zusatzwiderstand. Aus der ersten und dritten Ablesung wurde dann immer das arithmetische Mittel genommen. Nun erhöhte ich den Druck auf 250 Atmosphären und liess wieder 10—15 Minuten verstreichen, bis ich die drei Ablesungen machen konnte. Dasselbe geschah dann bei 500 Atmosphären und bei den absteigenden Drucken. Es muss noch bemerkt werden, dass die Pumpe während einer Zeit von 15 Minuten selbst bei 500 Atmosphären in den meisten Fällen vollkommen dicht hielt.

Aus diesen Ablesungen berechnete ich nach den zu Beginn entwickelten Formeln die Werthe für die Widerstände und die Polarisation, welche ich nun in eine Tabelle zusammengestellt im Folgenden mittheilen will. Die erste Spalte der Tabelle enthält die fortlaufenden Nummern der Versuche, die zweite Spalte die Namen und chemischen Formeln der untersuchten Substanzen, dann ist weiters das specifische Gewicht ( $s$ ) angegeben, der Procentgehalt ( $P$ ), worunter die Anzahl der Gewichtstheile wasserfreien Salzes in 100 Gewichtstheilen Lösung verstanden ist, in der fünften Reihe stehen die Drucke ( $\Pi$ ) und in der sechsten die berechneten Widerstände ( $W$ ), dann sind die Mittelwerthe derselben für die gleichen Drucke angegeben und weiters die Änderungen des Widerstandes bei einer Druckerhöhung um  $\Pi$  Atmosphären, ausgedrückt in Procenten ( $q$ ) des Anfangswiderstandes bei 0 Atmosphären. Die Widerstände sind in Siemens-Einheiten, die Polarisationswerthe in Volt ausgedrückt. Die drei letzten Columnen enthalten die beobachteten Polarisationswerthe ( $p$ ), die berechneten Mittelwerthe und die Quotienten aus den Polarisationsänderungen und den entsprechenden Drucken  $\left(\frac{dp}{\Pi}\right)$ .

Nr.	Sub- stanz	s	P	Π	Widerstand		—q	Polarisation		$\frac{dp}{\Pi}$
					beob- achtet	Mittel- werthe		beob- achtet	Mittel- werthe	
I. Schwefelsäure und Sulfate.										
1	Schwefelsäure H <sub>2</sub> SO <sub>4</sub>	1·040	5·96	0	415·5	421·3		2·11	2·12	0·00012 00
				250	373·7	361·8	14·12 <sup>0</sup> / <sub>0</sub>	2·16	2·15	
				500	319·3	315·4	25·13	2·13	2·15	
				500	311·5			2·17		
				250	350·0			2·14		
				0	427·1			2·13		
2	Schwefelsäure H <sub>2</sub> SO <sub>4</sub>	1·020	3·03	0	743·5	747·7		1·86	1·80	0·00012 00
				250	670·5	663·6	11·24 <sup>0</sup> / <sub>0</sub>	1·83	1·83	
				500	622·0	623·7	16·57	1·83	1·83	
				500	625·5			1·83		
				250	656·8			1·84		
				0	752·0			1·74		
3	Kupfersulfat CuSO <sub>4</sub>	1·076	7·47	0	1114	1099		1·53	1·56	0·00024 12
				250	996	992	9·73 <sup>0</sup> / <sub>0</sub>	1·62	1·62	
				500	910	914	16·87	1·66	1·65	
				500	918			1·65		
				250	989			1·62		
				0	1084			1·60		
4	Kupfersulfat CuSO <sub>4</sub>	1·032	3·24	0	3620	3575		1·54	1·54	0·00048 00
				250	3252	3222	9·87 <sup>0</sup> / <sub>0</sub>	1·66	1·66	
				500	2996	2998	16·14	1·66	1·66	
				500	3000			1·66		
				250	3192			1·66		
				0	3531			1·54		
5	Eisensulfat FeSO <sub>4</sub>	1·100	9·88	0	2755	2742		1·08	1·07	0·00036 32
				250	2528	2528	7·80 <sup>0</sup> / <sub>0</sub>	1·19	1·16	
				500	2376	2376	13·34	1·24	1·24	
				250	2528			1·13		
				0	2729			1·07		
6	Eisensulfat FeSO <sub>4</sub>	1·049	5·02	0	4863	4832		1·00	0·99	0·00032 36
				250	4189	4173	13·64 <sup>0</sup> / <sub>0</sub>	1·16	1·07	
				500	3714	3716	23·10	1·16	1·16	
				500	3718			1·16		
				250	4158			0·99		
				0	4802			0·98		

Nr.	Substanz	s	P	II	Widerstand		—q	Polarisation		$\frac{dp}{II}$
					beob. achtet	Mittel- werthe		beob. achtet	Mittel- werthe	
7	Zinksulfat $ZnSO_4$	1·107	9·79	0	2853	2849		2·43	2·40	0·00028 24
				250	2276	2288	20·39 <sup>0</sup> / <sub>0</sub>	2·50	2·47	
				500	2025	2032	28 67	2·55	2·53	
				500	2040			2·51		
				250	2260			2·44		
				0	2846			2·37		
8	Zinksulfat $ZnSO_4$	1·052	4·97	0	4594	4591		2·30	2·32	0·00056 20
				250	3487	3505	23·66 <sup>0</sup> / <sub>0</sub>	2·46	2·46	
				500	3193	3170	30·96	2·51	2·51	
				500	3147			2·51		
				250	3523			2·46		
				0	4589			2·34		
9	Nickelsulfat $NiSO_4$	1·128	9·40	0	2656	2668		1·95	1·94	0·00008 12
				250	1958	1972	26·08 <sup>0</sup> / <sub>0</sub>	1·98	1·96	
				500	1805	1805	32·34	1 99	1·99	
				500	1806			2·00		
				250	1986			1·95		
				0	2680			1·93		
10	Nickelsulfat $NiSO_4$	1·053	4·78	0	4405	4423		2·07	1·99	0·00028 24
				250	3864	3904	11·73 <sup>0</sup> / <sub>0</sub>	2·07	2·06	
				500	3697	3712	16·05	2·12	2·12	
				500	3729			2·12		
				250	3944			2·05		
				0	4442			1·91		
11	Natriumsulfat $Na_2SO_4$	1·080	8·63	0	1613	1594		2·31	2·34	0·00016 04
				250	1429	1443	9·47 <sup>0</sup> / <sub>0</sub>	2·38	2·38	
				500	1405	1414	11·30	2·40	2·39	
				500	1424			2·39		
				250	1457			2·38		
				0	1575			2·37		
12	Natriumsulfat $Na_2SO_4$	1·040	4·39	0	2690	2645		2·46	2·45	0·00020 12
				250	2400	2395	9·45 <sup>0</sup> / <sub>0</sub>	2·51	2·50	
				500	2328	2328	11·98	2·53	2·53	
				500	2328			2·53		
				250	2391			2·50		
				0	2600			2·45		

Nr.	Substanz	s	P	II	Widerstand		-q	Polarisation		$\frac{dp}{II}$
					beobachtet	Mittelwerthe		beobachtet	Mittelwerthe	
II. Salpetersäure und Nitrate.										
13	Salpetersäure $\text{HNO}_3$	1·050	8·99	0	2097	2107	38·35% 51·59	2·01	1·97	0·00056 20
				250	1244	1299		2·17	2·11	
				500	1036	1020		2·01	2·06	
				500	1005			2·11		
				250	1354			2·05		
				0	2117			1·93		
14	Kupfernitrat $\text{Cu}(\text{NO}_3)_2$	1·127	13·30	0	986	956	8·78% 10·14	1·39	1·40	0·00016 04
				250	871	872		1·45	1·44	
				500	868	859		1·43	1·45	
				500	850			1·47		
				250	874			1·44		
				0	926			1·42		
15	Kupfernitrat $\text{Cu}(\text{NO}_3)_2$	1·064	6·92	0	1586	1518	18·25% 19·30	1·35	1·39	0·00036 08
				250	1267	1241		1·46	1·48	
				500	1242	1225		1·47	1·50	
				500	1209			1·54		
				250	1216			1·51		
				0	1450			1·43		
16	Eisennitrat $\text{Fe}_2(\text{NO}_3)_6$	1·090	11·51	0	1317	1301	18·44% 30·35	0·94	0·99	0·00104 084
				250	1036	1061		1·29	1·25	
				500	914	906		1·43	1·46	
				500	898			1·49		
				250	1086			1·21		
				0	1286			1·04		
17	Eisennitrat $\text{Fe}_2(\text{NO}_3)_6$	1·046	5·89	0	1935	1900	8·89% 15·05	1·03	1·03	0·00048 44
				250	1727	1731		1·15	1·15	
				500	1607	1612		1·26	1·26	
				500	1617			1·26		
				250	1735			1·15		
				0	1865			1·03		
18	Zinknitrat $\text{Zn}(\text{NO}_3)_2$	1·131	13·42	0	1368	1367	8·12% 13·24	2·55	2·55	0·00048 40
				250	1251	1256		2·67	2·67	
				500	1185	1186		2·77	2·77	
				500	1187			2·77		
				250	1261			2·67		
				0	1366			2·55		

Nr.	Sub- stanz	s	P	II	Widerstand		—q	Polarisation		$\frac{dp}{II}$
					beob- achtet	Mittel- werthe		beob- achtet	Mittel- werthe	
19	Zinknitrat $Zn(NO_3)_2$	1·068	6 99	0	2483	2500		2·46	2·53	0·00080 24
				250	2162	2181	12·76 $\frac{0}{0}$	2·73	2·73	
				500	2118	2109	15·64	2·73	2·79	
				500	2100			2·86		
				250	2200			2·73		
20	Nickelnitrat $Ni(NO_3)_2$	1·120	13·00	0	1116	1105		1·94	1·88	0·00048 04
				250	987	984	10·95 $\frac{0}{0}$	2·01	2·00	
				500	955	956	13·48	2·01	2·01	
				500	957			2·01		
				250	981			2·00		
21	Nickelnitrat $Ni(NO_3)_2$	1·062	6·76	0	1580	1568		1·89	1·87	0·00000 08
				250	1445	1424	9·18 $\frac{0}{0}$	1·89	1·87	
				500	1306	1303	16·89	1·89	1·89	
				500	1301			1·89		
				250	1404			1·85		
22	Magnesiumnitrat $Mg(NO_3)_2$	1·080	10·51	0	1405	1415		2·56	2·56	0·00000 00
				250	1246	1181	16·53 $\frac{0}{0}$	2·56	2·56	
				500	1090	1091	22·89	2·56	2·56	
				500	1092			2·56		
				250	1116			2·56		
23	Magnesiumnitrat $Mg(NO_3)_2$	1·041	5·47	0	2649	2620		1·42	1·42	0·00000 00
				250	2333	2271	13·32 $\frac{0}{0}$	1·42	1·42	
				500	2140	2142	18·24	1·42	1·42	
				500	2144			1·42		
				250	2209			1·42		
24	Ammoniumnitrat $NH_4NO_3$	1·024	5·84	0	1776	1787		2·40	2·44	0·00024 16
				250	1642	1645	7·94 $\frac{0}{0}$	2·50	2·50	
				500	1553	1555	12·97	2·54	2·54	
				500	1557			2·54		
				250	1648			2·50		
				0	1798			2·48		

Nr.	Sub- stanz	s	P	II	Widerstand		—q	Polarisation		$\frac{dp}{II}$
					beob- achtet	Mittel- werthe		beob- achtet	Mittel- werthe	
III. Chlorwasserstoffsäure und Chloride.										
25	Salzsäure HCl	1·050	10·17	0 250 500 250 0	1140 335 291 385 1286	—	—	1·46 1·45 1·40 1·38 1·48	—	—
26	Kupferchlorid Cu Cl <sub>2</sub>	1·206	18·78	0 250 500 500 250 0	1351 1233 1197 1212 1245 1275	1313 1239 1204	5·63 <sup>0</sup> / <sub>10</sub> 8·29	0·69 0·75 0·77 0·75 0·75 0·75	0·72 0·75 0·76	0·00012 04
27	Kupferchlorid Cu Cl <sub>2</sub>	1·066	7·20	0 250 500 500 250 0	2518 2310 2270 2234 2318 2482	2500 2314 2252	7·44 <sup>0</sup> / <sub>10</sub> 9·92	0·80 0·87 0·80(?) 0·87 0·84 0·80	0·80 0·85 0·83	0·00020 —0·00008
28	Eisenchlorid Fe <sub>2</sub> Cl <sub>6</sub>	1·133	15·16	0 250 500 500 250 0	1516 1413 1342 1391 1441 1494	1505 1427 1366	5·18 <sup>0</sup> / <sub>10</sub> 9·23	0·52 0·60 0·74 0·60 0·56 0·52	0·52 0·58 0·67	0·00024 36
29	Eisenchlorid Fe <sub>2</sub> Cl <sub>6</sub>	1·049	5·81	0 250 500 500 250 0	2211 1706 1569 1543 1735 2143	2177 1720 1536	20·99 <sup>0</sup> / <sub>10</sub> 28·54	0·52 0·88 0·88 0·94 0·88 0·67	0·59 0·88 0·91	0·00116 012
30	Zinkchlorid Zn Cl <sub>2</sub>	1·177	19·07	0 250 500 500 250 0	1433 1320 1263 1268 1338 1451	1442 1329 1265	7·83 <sup>0</sup> / <sub>10</sub> 12·26	2·08 2·05 2·05 2·05 2·04 2·04	2·06 2·04 2·05	—0·00008 +0·00004

Nr.	Sub- stanz	s	P	II	Widerstand		—q	Polarisation		$\frac{dp}{II}$
					beob- achtet	Mittel- werthe		beob- achtet	Mittel- werthe	
31	Zinkchlorid ZnCl <sub>2</sub>	1·066	7·31	0	1998	1995	21·55%	2·08	2·06	—0·00020 —0·00012
				250	1594	1565		2·02	2·01	
				500	1420	1420		1·98	1·98	
				500	1420			1·98		
				250	1536			2·00		
0	1992			2·05						
32	Nickelchlorid NiCl <sub>2</sub>	1·200	18·16	0	1120	1116	5·02%	1·55	1·56	0·00016 04
				250	1057	1060		1·60	1·60	
				500	1031	1031		1·61	1·61	
				500	—					
				250	1063			1·60		
0	1113			1·58						
33	Nickelchlorid NiCl <sub>2</sub>	1·069	7·00	0	2007	2025	5·38%	1·69	1·72	0·00012 —0·00008
				250	1897	1916		1·77	1·75	
				500	1887	1887		1·73	1·73	
				250	1935			1·73		
				0	2043			1·75		
34	Magnesium- chlorid MgCl <sub>2</sub>	1·100	13·27	0	1060	1020	8·53%	1·81	1·89	0·00008 —0·00012
				250	934	933		1·86	1·91	
				500	917	919		1·86	1·87	
				500	921			1·89		
				250	932			1·96		
0	980			1·97						
35	Magnesium- chlorid MgCl <sub>2</sub>	1·038	5·09	0	2064	2026	15·94%	2·00	2·07	0·00020 04
				250	1755	1703		2·13	2·12	
				500	1538	1538		2·13	2·13	
				500	1538			2·13		
				250	1652			2·12		
0	1988			2·15						
IV. Essigsäure, Acetate und Oxalsäure.										
36	Essigsäure C <sub>2</sub> H <sub>4</sub> O <sub>2</sub>	1·014	10·00	0	915	918	15·14%	2·09	2·10	0·00020 04
				250	758	779		2·15	2·15	
				500	717	713		2·15	2·16	
				500	709			2·17		
				250	801			2·15		
0	921			2·11						



Nr.	Sub- stanz	s	P	II	Widerstand		—q	Polarisation		$\frac{dp}{II}$
					beob- achtet	Mittel- werthe		beob- achtet	Mittel- werthe	
37	Essigsäure $C_2H_4O_2$	1·005	4·00	0	1136	1204		2·27	2·29	0·00040 00
				250	1040	1085	9·88 <sup>0</sup> / <sub>10</sub>	2·39	2·39	
				500	906	998	17·10	2·39	2·39	
				500	1001			2·39		
				250	1131			2·39		
				0	1273			2·32		
38	Kupferacetat $(Cu(C_2H_3O_2)_2)$	1·028	5·02	0	2770	2695		0·90	1·08	0·00108 064
				250	2309	2312	14·21 <sup>0</sup> / <sub>10</sub>	1·35	1·35	
				500	2107	2107	21·81	1·51	1·51	
				500	2108			1·51		
				250	2316			1·35		
				0	2620			1·26		
39	Zinkacetat $Zn(C_2H_3O_2)_2$	1·115	15·25	0	4017	4100		2·37	2·31	0·00040 16
				250	3742	3756	8·39 <sup>0</sup> / <sub>10</sub>	2·41	2·41	
				500	3467	3477	15·19	2·45	2·45	
				500	3487			2·45		
				250	3770			2·41		
				0	4183			2·25		
40	Zinkacetat $Zn(C_2H_3O_2)_2$	1·050	6·10	0	1213	1209		2·22	2·23	0·00012 40
				250	1071	1084	10·33 <sup>0</sup> / <sub>10</sub>	2·29	2·26	
				500	984	985	18·52	2·36	2·36	
				500	986			2·36		
				250	1098			2·24		
				0	1205			2·24		
41	Nickelacetat $Ni(C_2H_3O_2)_2$	1·043	5·88	0	1844	1820		1·67	1·67	0·00052 44
				250	1690	1683	7·52 <sup>0</sup> / <sub>10</sub>	1·80	1·80	
				500	1563	1564	14·05	1·91	1·91	
				500	1565			1·91		
				250	1676			1·80		
				0	1796			1·67		
42	Magnesium- acetat $Mg(C_2H_3O_2)_2$	0·008	1·00	0	294·5	302·1		2·45	2·45	0·00000 00
				250	290·0	295·6	2·15 <sup>0</sup> / <sub>10</sub>	2·45	2·45	
				500	287·1	287·5	24·83	2·45	2·45	
				500	288·0			2·45		
				250	301·3			2·45		
				0	309·7			2·45		

Nr.	Substanz	s	P	II	Widerstand		-q	Polarisation		$\frac{dp}{II}$
					beobachtet	Mittelwerthe		beobachtet	Mittelwerthe	
43	Oxalsäure $C_2H_2O_4$	1·035	7·14	0	1495	1538		1·31	1·31	
				250	1303	1329	13·59%	1·31	1·31	0·00000
				500	1165	1166	24·18	1·31	1·31	00
				500	1167			1·31		
				250	1355			1·31		
				0	1581			1·31		
44	Oxalsäure $C_2H_2O_4$	1·014	2·86	0	2584	2586		1·36	1·36	
				250	2056	2094	19·03%	1·36	1·36	0·00000
				500	1900	1898	26·60	1·26	1·26	-0·00040
				500	1897			1·26		
				250	2132			1·36		
				0	2588			1·36		

In diesen Tabellen sind die Widerstandsänderungen in Procenten des Anfangswiderstandes bei 0 Atmosphären angegeben; schon aus diesen Zahlen ersieht man, dass, wenn man die Drucke als Abscissen und als zugehörige Ordinaten die Widerstände aufträgt, die Verbindungslinien der erhaltenen Punkte nicht linear verlaufen werden, sondern dass die Abhängigkeit des Widerstandes vom Druck durch eine Gleichung  $w = w_0 + ax + bx^2 = w_0(1 + \alpha x + \beta x^2)$  ausgedrückt werden muss. Ich habe aus den drei Mittelwerthen die einzelnen Coëfficienten nach diesen Gleichungen berechnet und will dieselben für die verschiedenen Substanzen in der folgenden Tabelle angeben.

Nr.	Substanz	a	b	$\alpha$	$\beta$
1	Schwefelsäure ..	-0·263	+0·000103	-0 0006242	+0·0000002445
2	Schwefelsäure ..	0·424	0353	05670	04721
3	Kupfersulfat ....	0·482	0224	04386	02038
4	Kupfersulfat ....	1·840	1370	05146	03831
5	Eisensulfat .....	0·980	0496	03574	01809
6	Eisensulfat .....	3·046	1624	06302	03360
7	Zinksulfat .....	3·019	2771	10594	09724
8	Zinksulfat ..	5·852	6017	12744	13103
9	Nickelsulfat ....	3 844	4240	14407	15892

Nr.	Substanz	<i>a</i>	<i>b</i>	$\alpha$	$\beta$
10	Nickelsulfat . . . .	-2.735	+0.002629	-0.0006183	+0.0000005943
11	Natriumsulfat . . .	0.849	0980	05326	06148
12	Natriumsulfat . . .	1.362	1458	05153	05512
13	Salpetersäure . . .	4 290	4232	20360	20085
14	Kupfernitrat . . . .	0.474	0560	04958	05858
15	Kupfernitrat . . . .	1.627	2084	10718	13730
16	Eisennitrat . . . .	1.133	0684	08705	05255
17	Eisennitrat . . . .	0.766	0400	04084	02105
18	Zinknitrat . . . . .	0.526	0328	03847	02399
19	Zinknitrat . . . . .	1.770	1976	07080	07904
20	Nickelnitrat . . . .	0.670	0744	06063	06733
21	Nickelnitrat . . . .	0.620	0184	03954	01173
22	Magnesiumnitrat	1.227	1156	08668	08166
23	Magnesiumnitrat	1.839	1764	07017	06731
24	Ammoniumnitrat	0.673	0416	03766	02328
25	Salzsäure . . . . .	—	—	—	—
26	Kupferchlorid . . .	0.375	0316	02856	02407
27	Kupferchlorid . . .	0.992	0992	03968	03968
28	Eisenchlorid . . . .	0.347	0140	02305	00909
29	Eisenchlorid . . . .	2.410	2336	11070	10730
30	Zinkchlorid . . . . .	0.551	0396	03821	02746
31	Zinkchlorid . . . . .	2.290	2280	11478	11428
32	Nickelchlorid . . . .	0.281	0220	02517	01970
33	Nickelchlorid . . . .	0.596	0640	02943	03160
34	Magnesiumchlorid . . . . .	0.494	0584	04843	05725
35	Magnesiumchlorid . . . . .	1.604	1256	07917	06199
36	Essigsäure . . . . .	0.698	0576	07603	06274
37	Essigsäure . . . . .	0.540	0256	04483	02125
38	Kupferacetat . . . .	1.885	1420	06994	05269
39	Zinkacetat . . . . .	1.506	0520	03673	01268
40	Zinkacetat . . . . .	0.548	0200	04532	01654
41	Nickelacetat . . . .	0.584	0144	03209	00791
42	Magnesiumacetat	0.023	-0.000013	00761	— 00430
43	Oxalsäure . . . . .	0.928	+0.000368	06034	+ 02392
44	Oxalsäure . . . . .	2.561	2372	09903	09172

Fasst man die erhaltenen Beobachtungsergebnisse zusammen, so lässt sich vor Allem feststellen, dass bei allen untersuchten Flüssigkeiten ohne Ausnahme mit zunehmendem Drucke eine

Verminderung des Widerstandes eintrat. Wie die Procentzahlen und ebenso die berechneten Coëfficienten ergeben, geht die Abnahme des Widerstandes nicht dem Drucke proportional vor sich, sondern wir finden, dass die Änderungen desselben zwischen 0 und 250 Atmosphären immer grösser sind als zwischen 250 und 500 Atmosphären. Eine Ausnahme davon scheint nur das Magnesiumacetat zu machen, welches bei höheren Drucken eine stärkere Änderung zeigte als bei niederen; jedoch kann ich gerade den Messungen dieser Substanz keine Genauigkeit zusprechen; sie gehört zu jenen Substanzen, bei welchen, wie schon früher erwähnt wurde, ein Stillstehen der Nadel nicht erwartet werden konnte. Ich will hier auch die übrigen Flüssigkeiten angeben, deren Messungen aus demselben Grunde keinen Anspruch auf Genauigkeit machen können; es sind dies die Salpeter- und Chlorwasserstoffsäure und das Natriumsulfat. Bei letzterem wirkte besonders die Bildung von NaOH störend, wesshalb nachher an Stelle der Natrium- die Magnesiumverbindungen untersucht wurden. Bei der Salzsäure habe ich nur die beobachteten Werthe angegeben. Man ersieht daraus, dass die anfängliche Änderung sehr bedeutend ist, die Änderung zwischen 250 und 500 Atmosphären dagegen sehr gering; eine Angabe der Procentzahlen und Coëfficienten schien mir überflüssig. Eine grössere Wahrscheinlichkeit der Richtigkeit haben wohl die Messungen der Salpetersäure; auch sie zeigen grössere Änderungen des Widerstandes als alle anderen Substanzen. Im Allgemeinen kann ich sagen, dass die Elektrolyte, bei welchen an der Kathode eine Gasentwicklung stattfand, wie dies eben bei den genannten Substanzen und auch bei den anderen Säuren der Fall war, schwieriger zu untersuchen waren. Die Ursache hievon liegt wohl in complicirten secundären chemischen Vorgängen, die den Werth der Polarisation fortwährend ändern und dadurch ein Schwanken der Galvanometernadel hervorrufen.

Was den Einfluss der Concentration der Lösung betrifft, so haben die gemachten Beobachtungen kein einheitliches Resultat ergeben. Es zeigte sich nämlich, dass nur bei einem Theil, und zwar bei der Mehrzahl der untersuchten Flüssigkeiten die weniger concentrirte Lösung bei einer Druck-

erhöhung um 500 Atmosphären eine stärkere Abnahme des Leitungswiderstandes aufwies. Dieses Ergebniss hatte auch Fink bei den drei Substanzen gefunden, die er untersucht hat, nämlich bei der Salzsäure, dem Chlornatrium und dem Zinksulfat.

Ich habe zwar von diesen nur das letztere bei zwei verschiedenen Concentrationen beobachtet, aber ich glaube, meine weiteren Resultate lassen sich mit diesen theilweise ganz gut in Zusammenhang bringen.

Es hat sich nämlich ergeben, dass alle vier untersuchten Zinksalze diese Eigenschaft besitzen, ausserdem sämmtliche Chloride, nur mit Ausnahme des Chlornickels; aber auch dieses zeigte zwischen 0 und 250 Atmosphären in geringerer Concentration eine stärkere Änderung des Widerstandes, erst über 250 Atmosphären trat das Umgekehrte ein. Bei den anderen Substanzen kann eine gewisse Regelmässigkeit in ihrem Verhalten nicht gefunden werden; von den Kupfersalzen z. B. verhielten sich nur das Nitrat und Chlorid nach der obigen Regel, das Sulfat dagegen nur bis zu 250 Atmosphären. Bei höheren Drucken nahm der Widerstand der concentrirteren Lösung stärker ab als der der weniger concentrirten.

Ich muss hier noch hervorheben, dass ich im Allgemeinen bedeutend grössere Werthe für die Widerstandsänderungen erhielt als Fink. Die grössten von Fink gefundenen Werthe von  $q$  betrugen nicht ganz 7% (für  $\text{ZnSO}_4$ ), während ich für diese Substanz eine Abnahme von 30·96% fand. Andere Flüssigkeiten ergaben noch grössere Werthe. Den kleinsten Werth von  $q$  erhielt ich beim Chlornickel, dessen Widerstandsänderung für 500 Atmosphären nur 6·81% betrug.

Wenn wir jetzt die Resultate, die sich aus den Polarisationsbeobachtungen ergeben haben, ins Auge fassen, so finden wir hier eine noch grössere Unregelmässigkeit in dem Verhalten der einzelnen Substanzen wie bei den Widerstandsmessungen. Am wichtigsten ist daher das allgemeine Ergebniss dieser Beobachtungen, dass nämlich eine Druckänderung auch eine Änderung der Polarisation zur Folge hat. Die vorhandenen Unregelmässigkeiten sind wohl erklärlich; denn abgesehen davon, dass Polarisationsmessungen

überhaupt schwer auszuführen sind (besonders bei einigen dieser Substanzen), so haben wir es doch hier in den meisten Fällen mit sehr geringen Änderungen der Polarisationswerthe zu thun, deren Bestimmung auch nur einen geringen Grad von Genauigkeit beanspruchen kann. Ja es ist wahrscheinlich, dass bei einigen Flüssigkeiten, die gar keine Änderung der Werthe zeigten, doch solche vorhanden waren, die sich jedoch infolge ihrer Kleinheit der Beobachtung am Galvanometer entzogen haben.

Wenn man die einzelnen beobachteten Polarisationswerthe betrachtet, so findet man, dass mit Ausnahme weniger Flüssigkeiten immer ein Steigen der Polarisation mit dem Drucke stattfindet. Ein regelmässiges Sinken wurde nur beim Zinkchlorid und bei der verdünnteren Oxalsäure bemerkt, ausserdem bei den ungenauen Beobachtungen der Salzsäure. Bei der weniger concentrirten Schwefelsäure ist ebenfalls ein Fallen der Polarisation zu verzeichnen, welches sich aber bei der darauffolgenden Druckerniedrigung fortsetzt. Das Entgegengesetzte davon trat beim Magnesiumchlorid ein: Die Werthe stiegen sowohl bei der Zunahme, als auch bei der Abnahme des Druckes continuirlich. Das Magnesiumnitrat zeigte gar keine Änderung, ebenso das Magnesiumacetat und die concentrirtere Oxalsäure. Bei einigen Flüssigkeiten wieder änderten sich die Polarisationswerthe nur bis 250 Atmosphären, weiterhin nicht mehr; im Allgemeinen kann gesagt werden, dass die Änderungen mit zunehmenden Drucken kleiner wurden; bei einigen Substanzen werden sie Null, bei einigen sogar negativ.

Die grössten Unregelmässigkeiten in den Änderungen der Polarisation wurden bei der Salpetersäure beobachtet. Es ist dies eine Substanz, deren elektrolytische Zersetzung von einer Reihe secundärer Reactionen begleitet ist, die vielleicht im Laufe der Zeit oder bei der Druckänderung wechseln und daher unregelmässige Änderungen der Polarisation hervorrufen. Dies wären die auffallendsten Erscheinungen, die sich bei den Beobachtungen ergeben haben.

Wenn wir die Einflüsse, welche die Temperatur und der Druck auf die Leitungsfähigkeit von Flüssigkeiten und die Polarisation ausüben, mit einander vergleichen, so lässt sich

Folgendes sagen: Sowohl Temperatur als Druck bewirken eine Vergrösserung der Leitungsfähigkeit, dagegen wirken sie beide in entgegengesetzter Weise auf die galvanische Polarisation. Wie die Messungen von Herrn Fr. Exner ergeben haben, hat eine Temperaturerhöhung ein Sinken der Polarisation zur Folge, während aus den vorliegenden Untersuchungen im Allgemeinen eine Zunahme der Polarisation mit dem Drucke ersichtlich ist.

Im ersteren Falle wurde die Erscheinung auf die im Elektrolyten vor sich gehenden chemischen Reactionen zurückgeführt, und auch im letzteren Falle ist dies wohl möglich. Aus den Beobachtungen lässt sich unmittelbar schliessen, dass der Wärmewerth, welcher der Rückbildung des zersetzten Elektrolyten entspricht, mit zunehmendem Drucke eine Änderung erfahren muss, denn durch die Grösse desselben ist ja die elektromotorische Kraft der Polarisation gegeben. Schon unter gewöhnlichen Umständen werden für manche Substanzen grössere Polarisationswerthe gefunden als die thermischen Werthe der einfachen chemischen Reactionen ergeben; dieselben lassen sich dann immer auf secundäre chemische Vorgänge zurückführen, bei welchen ein Wärmeverbrauch stattfindet. Ein solcher secundärer Process ist z. B. die Bildung von Wasserstoffsuperoxyd oder anderen Superoxyden.

Zum Schlusse will ich noch einen Versuch erwähnen, den ich mit einer vierprocentigen alkoholischen Lösung von Ammoniumnitrat ausgeführt habe. Die Beobachtungen waren aber infolge des stetigen Wachsens des Ausschlages der Nadel so schwierig, dass ich gar keine Zahlenwerthe angeben kann. Es liess sich nur feststellen, dass auch diese Lösung eine Änderung des Widerstandes in demselben Sinne, also eine Abnahme, zeigte. Dieselbe betrug bei einer Druckerhöhung um 500 Atmosphären ungefähr 5%, wie die beiläufigen Messungen ergeben haben. Eine wässrige Lösung desselben Salzes, die ich zum Vergleich untersuchte, verhielt sich ganz regelmässig, wie aus der Tabelle (Nr. 24) zu ersehen ist.

---

# Aktinische Wärmetheorie und chemische Äquivalenz

von

C. Puschl.

(Vorgelegt in der Sitzung am 5. Juli 1894.)

§. 1. In einer kürzlich erschienenen Abhandlung von W. Wien<sup>1</sup> fand ich die Angabe, dass nach Maxwell's Lichttheorie eine ebene Ätherwelle auf die getroffene Flächeneinheit, welche sie zurückwirft, einen Druck ausübe, gleich dem doppelten Betrage der Energie in der Volumeinheit der einfallenden Welle. Dies gibt mir Veranlassung, auf die in früheren Publicationen erwähnte Vorstellung zurückzukommen, welche ich mir vom Wärmezustande der Körper überhaupt und insbesondere der Gase gebildet habe.

Ich nehme an, ein Körper bestehe aus unzähligen Atomen, welche durch Leere, d. h. nur mit Äther erfüllte Zwischenräume von einander getrennt sind. Ein Atom ist kein blosser Punkt, sondern nimmt einen Raum ein und hat eine gewisse Gestalt und innere Structur; dasselbe ist aus kleineren Theilen zusammengefügt, unterscheidet sich aber von einem Körper dadurch, dass es dem Äther gegenüber sich als ein Continuum verhält und nur an der Aussenfläche mit diesem in Contact steht. Ein Körper, dessen Atome unter sich gleich sind, ist ein Grundstoff. Die Atome können im Allgemeinen Licht- und Wärmestrahlen durch ihre Substanz hindurch, ähnlich wie es der Äther thut, mit einer durch ihre innere Structur bedingten Geschwindigkeit fortpflanzen; für den weitaus grössten Theil der bei gewöhnlicher Temperatur zwischen den Körpern aus-

---

<sup>1</sup> Wiedemann's Annalen, Bd. 52, S. 147.



getauschten Wärmestrahlen aber sind die Atome undurchlässig oder opak, d. h. sie reflectiren dieselben an ihren Aussenflächen fast vollständig.

Indem die in einen Körper eindringenden Wärmestrahlen durch zahllose Reflexionen an den Aussenflächen der getroffenen Atome nach allen Richtungen in demselben diffundirt werden, muss er in seinem Volumen beständig eine gewisse, zwischen seinen Atomen hin- und hergeworfene und hiedurch bis zu einem entsprechenden Betrage angesammelte Strahlenmenge enthalten, welche nach meiner Anschauung den wesentlichen Theil seiner Wärmemenge ausmacht.

Denkt man sich einen Körper in einem leeren Raume befindlich und gleichmässig von allen Seiten her Strahlen empfangend, für welche seine Atome opak sind, dann muss derselbe, sobald er bereits durch und durch mit Strahlen gesättigt ist, fortwährend ebensoviel davon nach aussen abgeben, als er gleichzeitig von aussen empfängt; er hat in diesem Falle eine constante Temperatur. Hienach wird die absolute Temperatur des Körpers durch die Strahlenmenge gemessen, welche in einer bestimmten Zeit normal durch die Einheit seiner Grenzfläche aus- und eintritt und welche daher auch in seinem Volumen in der gleichen Zeit normal durch jede darin angenommene Flächeneinheit gehen muss.

§. 2. Bei einer gegebenen Temperatur wird nach dem Gesagten die Volumeinheit eines Körpers eine desto grössere Strahlenmenge enthalten, je kleiner die Diffusionsgeschwindigkeit der dieselbe ausmachenden Strahlen ist. Diese Geschwindigkeit ist aber, nach einer der kinetischen Gastheorie entlehnten Bezeichnung, der mittleren Weglänge der hin- und hergeworfenen Strahlen proportional. Bedeutet  $r$  den mittleren Abstand der unter sich gleichen Atome und  $e$  die Aussenfläche eines solchen, so ist, die Atome als kugelförmig gedacht, die mittlere Weglänge und also die Diffusionsgeschwindigkeit der Strahlen proportional mit  $\frac{r^3}{e}$ , folglich die in der Volumeinheit angesammelte Strahlenmenge proportional mit  $\frac{e}{r^3}$ , und man kann für die absolute Temperatur  $T$  diese Menge

$$= \frac{CeT}{r^3}$$

setzen, wo  $C$  ein constanter Factor ist. Das Volumen  $v$  muss dann eine Strahlenmenge

$$= \frac{CevT}{r^3}$$

oder, wenn  $n$  die Zahl der Atome in  $v$  und daher  $nr^3 = v$  ist,

$$= CneT$$

enthalten. Entspricht das Volumen  $v$  der Gewichtseinheit, so stellt  $Cne$  die spezifische Strahlenwärme des bezüglichen Stoffes vor; bezeichnen wir diese mit  $c$ , so haben wir die Gleichung

$$c = Cne.$$

Ist  $c'$  die spezifische Strahlenwärme eines zweiten Stoffes und haben  $n'$  und  $e'$  die entsprechende Bedeutung, so besteht die Proportion

$$c : c' = ne : n'e',$$

d. h. die specifischen Strahlenwärmen beider Stoffe verhalten sich wie die Summen der Aussenflächen der in der Gewichtseinheit vorhandenen Atome.

Hat ein Atom des einen Stoffes die Masse  $m$ , ein Atom des anderen die Masse  $m'$ , so ist  $nm = n'm'$  und daher

$$c : c' = \frac{e}{m} : \frac{e'}{m'}.$$

Nimmt man von beiden Stoffen solche Gewichtsmengen  $a$  und  $a'$ , welche gleich viel Atomaussenfläche, also bei derselben Temperatur auch gleich viel Strahlenwärme enthalten und insofern thermisch äquivalent sind, so hat man

$$a : a' = \frac{m}{e} : \frac{m'}{e'}$$

und hiemit ergibt sich nach dem Vorigen:

$$c : c' = a' : a,$$

d. h. die specifischen Strahlenwärmen beider Stoffe verhalten sich wie umgekehrt ihre thermischen Äquivalentgewichte. Es ist daher

$$ac = a'c',$$

d. h. das Product aus dem thermischen Äquivalentgewichte und der specifischen Strahlenwärme hat für jeden den gleichen Stoff Werth.

§. 3. Wenn ein Wärmestrahle, wie Maxwell annimmt und andere Physiker für wahrscheinlich zu halten geneigt scheinen, an einem getroffenen und ihn reflectirenden Flächenstücke einen seiner Intensität proportionalen Druck erzeugt, so müssen die Atome eines warmen Körpers vermöge der zwischen ihnen diffundirten Strahlenmenge einen ihrer Intensität entsprechenden Druck auf einander ausüben, gerade so, als wären sie mit einer Repulsivkraft begabt. In einem gewöhnlichen Gase sind dann die Atome nicht mehr, wie man in der kinetischen Theorie postulirt, vollkommen frei beweglich; es erscheint denkbar, dass sie, anstatt wie hin- und hergeworfene elastische Kugeln unmittelbar auf einander oder auf die einschliessenden Wände zu stossen, unter dem Einflusse ihrer gegenseitigen Bestrahlung in mittleren Abständen von einander sich zu erhalten suchen, ähnlich wie man dies für die Atome flüssiger und fester Körper auf Grund der gangbaren Hypothesen allgemein annimmt.

Einen von Wärmestrahlen ausgeübten Druck kann man sich nun in der Art erzeugt denken, dass man sich vorstellt, sie seien die Wege sehr kleiner, von warmen Körpern ausgesendeter Theilchen, welche mit grosser constanter Geschwindigkeit geradlinig fortfliegen, bis sie auf ein Hinderniss treffen, von dem sie zurückprallen. Die in einem Körper bei der Temperatur  $T$  angesammelte Strahlenmenge  $cT$  ist dann nichts Anderes, als die Summe der lebendigen Kräfte solcher hypothetisch zwischen seinen Atomen hin- und hergeworfenen Theilchen. Nach den Grundsätzen der kinetischen Gastheorie muss in diesem Falle, wenn  $v$  das Körpervolumen,  $x$  den darin von der Substanz der Atome erfüllten Raum, also  $v-x$  die Summe der leeren Zwischenräume und  $p$  den Strahlendruck bedeutet, die Gleichung

$$p(v-x) = \frac{2}{3} cT$$

bestehen; denkt man sich aber die Strahlenmenge  $cT$  in Wärmeeinheiten ausgedrückt und ist  $A$  der Verwandlungsfactor, so hat man

$$p(v-x) = \frac{2}{3} A c T.$$

Für die gewöhnlichen Gase kann der von der Substanz der Atome eingenommene Raum  $x$  gegen das Gesamtvolumen  $v$  als sehr klein vernachlässigt werden; für solche erhält man daher

$$pv = \frac{2}{3} A c T$$

und sonach lässt sich, wenn  $v$  die Gewichtseinheit enthält, die im gewöhnlichen Wärmemass ausgedrückte spezifische Strahlenwärme auf die einfachste Weise aus der Formel

$$c = \frac{3pv}{2AT}$$

berechnen. Setzt man  $A = 426$  und  $T = 273$ , so folgt für die atmosphärische Luft mit den bekannten Werthen von  $p$  und  $v$ :

$$c = 0.1030;$$

wir werden von diesem Resultate in der Folge Gebrauch machen.

Unter dem Einflusse der gegenseitigen Bestrahlung können die Atome eines Körpers natürlich nicht in absoluter Ruhe sein, sondern müssen sich gleichfalls bewegen und daher eine entsprechende Summe lebendiger Kräfte besitzen; diese wird, wenn  $n$  die Zahl der Atome der Gewichtseinheit,  $m$  die Masse und  $\gamma^2$  das maximale Geschwindigkeitsquadrat eines Atoms bedeutet, durch

$$\frac{n m \gamma^2}{2} = \frac{\gamma^2}{2g}$$

ausgedrückt, wo  $g$  die Beschleunigung der Schwere und folglich  $nmg = 1$  ist.

Die Gesamtwärme  $w$  eines Körpers wird nach dem Gesagten neben seiner Strahlenwärme  $cT$  noch das thermische

Äquivalent der lebendigen Kräfte seiner Atome umfassen, und es ergibt sich daher die Gleichung<sup>1</sup>

$$w = cT + \frac{nm\gamma^2}{2A}.$$

Für ein ideales Gas kann man, wenn  $s$  dessen specifische Wärme bei constantem Volumen ist,

$$w = sT$$

setzen. Hiemit erhält man

$$s = c + \frac{nm\gamma^2}{2AT}$$

oder, wenn man für  $c$  den oben gefundenen Werth einsetzt:

$$s = \frac{3pv + nm\gamma^2}{2AT}.$$

Die specifische Wärme bei constantem Drucke ist für ein solches Gas

$$= s + \frac{pv}{AT};$$

bezeichnet  $k$  das Verhältniss beider specifischen Wärmen, so wird demnach:

$$k = \frac{5pv + nm\gamma^2}{3pv + nm\gamma^2}.$$

Für Luft, Stickstoff, Sauerstoff und Wasserstoff ist mit grosser und schwerlich zufälliger Annäherung

---

<sup>1</sup> Da die Atome ohne Zweifel nicht absolut starr sind, sondern unter der Einwirkung der zwischen ihnen diffundirten Strahlenmenge sich im Zustande einer inneren Erschütterung befinden, so müssen sie aus diesem Grunde eine absorbirte Summe lebendiger Kräfte in sich enthalten; diese scheint aber nach Allem immer sehr klein zu sein und ist in obiger Gleichung ausser Betracht gelassen. Übrigens ist anzunehmen, dass die Atome vermöge jener inneren Erschütterung ihrer Substanz selbständig Strahlen aussenden, also ein eigenes Emissionsvermögen besitzen, und es liegt dann nahe, zwischen dem eigenthümlichen Licht- und Wärmespectrum jedes Stoffes und der besonderen inneren Structur seiner Atome einen ursächlichen Zusammenhang zu vermuthen.

$$k = 1.4 = \frac{7}{5},$$

und mit diesem Werthe ergibt sich aus der vorstehenden Gleichung:

$$\frac{nm\gamma^2}{2} = pv;$$

der Druck  $p$  ist also für die genannten Gase gleichbedeutend mit der Dichte ihrer kinetischen Energie, und man hat für dieselben die einfachen Ausdrücke:

$$w = cT + \frac{pv}{A} = \frac{5pv}{2A},$$

$$s = c + \frac{pv}{AT} = \frac{5pv}{2AT},$$

und zur Bestimmung ihrer Atomgeschwindigkeit folgt nach dem Vorigen:

$$\gamma^2 = 2gpv.$$

Dass der Druck  $p$  eines idealen Gases identisch sei mit der Dichte seiner kinetischen Energie, erscheint mir bei der zu Grunde liegenden Anschauung als nothwendig. Wenn sie im Wesen richtig ist, kann das Verhältniss  $k$  für ein unmittelbar aus Atomen in dem oben bezeichneten Sinne gebildetes ideales Gas keinen anderen Werth als 1.4 haben,<sup>1</sup> und es muss dann

---

<sup>1</sup> Für den Quecksilberdampf haben zwar Kundt und Warburg durch Schallversuche  $k = \frac{5}{3}$  gefunden, und man hat darin einen glänzenden Beweis der Richtigkeit der kinetischen Theorie erblicken zu können geglaubt. Allein diese Theorie verlangt bei diesem Werthe den Zustand eines idealen Gases, und als ein solches kann man einen schon ganz oder nahe gesättigten Dampf nicht ohne Beweis ansehen. Eine nahe Befolgung des Mariotte'schen Gesetzes ist in dieser Hinsicht für sich allein nicht entscheidend. Würde man in obiger Gleichung für  $k$  den Werth  $\frac{5}{3}$  setzen, so ergäbe sich die kinetische Energie

$$\frac{nm\gamma^2}{2} = 0,$$

ein Resultat, welches sich von selbst ausschliesst.

die Constitution der vorhin genannten Gase jener Bedingung wirklich entsprechen. Wir werden eine Bestätigung dessen weiterhin in ihrer specifischen Wärme finden.

§. 4. Im Bisherigen war vorausgesetzt, dass die einen Körper constituirenden, durch leere Zwischenräume getrennten Partikeln eben schon seine Atome seien, und dies dürfte für die freien Grundstoffe im Allgemeinen zutreffen. Es ist aber auch und insbesondere bei Gasen der Fall denkbar, dass die nächsten constituirenden Bestandtheile eines Körpervolumens keine Atome, sondern selbst noch kleine Körperchen sind und als solche nicht nur an ihrer äusseren Begrenzung, sondern auch in ihrem Inneren dem Äther Berührungspunkte und also den eindringenden Strahlen Angriffspunkte darbieten. Derartige kleine Körperchen mögen Molekeln, die aus solchen aufgebauten Körper thermisch zusammengesetzte und dagegen jene, welche unmittelbar aus Atomen gebildet sind, thermisch einfache heissen.

Nach dem Gesagten hat jede Molekel eine bestrahlte Aussenfläche und eine Summe bestrahlter Innenflächen. Bezeichnen wir für einen Körper, dessen Temperatur  $T$  sei, mit  $cT$  die zwischen den Aussenflächen und mit  $c_0T$  die zwischen den Innenflächen seiner Molekeln hin- und hergeworfene Strahlenmenge, so enthält er im Ganzen eine Strahlenmenge

$$= (c + c_0)T,$$

und  $c + c_0$  ist seine specifische Strahlenwärme.

Ist der gedachte Körper ein Gas und kann man dasselbe vermöge der gegenseitigen Abstände seiner Molekeln als ein ideales betrachten, so ist nach dem Vorigen die kinetische Energie der als Ganze bewegten Molekeln  $= pv$  und daher die Gesamtwärme des Gases

$$w = (c + c_0)T + \frac{pv}{A},$$

wobei angenommen ist, dass die Summe der lebendigen Kräfte der Atome innerhalb der Molekeln gegen diejenige der als Ganze bewegten Molekeln als unbedeutend zu vernachlässigen sei. Diese Annahme erscheint als zulässig, weil in gegenwärtiger

Hypothese von heftigen Zusammenstößen der Molekeln ohne hin nicht die Rede sein kann.

Demnach ist jetzt die spezifische Wärme des Gases bei constantem Volumen

$$s = c + c_0 + \frac{pv}{AT}$$

und das Verhältniss der beiden specifischen Wärmen

$$k = \frac{A(c + c_0) + 2pv}{A(c + c_0) + pv};$$

setzt man hier der Bedeutung von  $c$  gemäss wieder

$$c = \frac{3pv}{2AT},$$

so ergibt sich die bemerkenswerthe Gleichung

$$k = \frac{7 + 3 \frac{c_0}{c}}{5 + 3 \frac{c_0}{c}},$$

und sonach kann man, wenn  $k$  bekannt ist, den Werth des Quotienten

$$\frac{c_0}{c} = \frac{7 - 5k}{3(k - 1)},$$

nämlich das Verhältniss der Summe der Aussenflächen zur Summe der Innenflächen aller Molekeln des Gases, folglich, wenn sie unter sich gleich sind, für eine Molekel bestimmen.

Zunächst möge hier die folgende Bemerkung Platz finden. Wenn ein ideales Gas unmittelbar aus Atomen besteht, so darf man erwarten, dass seine spezifische Wärme und daher auch  $k$  von der Temperatur unabhängig sei. Dies haben die Versuche Regnault's und anderer Physiker für die oben genannten Gase, bei welchen  $k = \frac{7}{5}$  und  $c_0 = 0$  ist, in der That ergeben

Ist hingegen das Gas thermisch zusammengesetzt, d. h. besteht es aus Molekeln, die man als kleine feste Körperchen ansehen kann, so sind die Atome innerhalb einer Molekel



gegenseitig bewegt und insofern im Besitze einer Summe lebendiger Kräfte, welche vorhin vernachlässigt wurde; dieselbe ist aber nicht nothwendig verschwindend klein und wird jedenfalls mit der Temperatur zunehmen, die spezifische Wärme und  $k$  werden daher nicht völlig constant, sondern mehr oder weniger mit der Temperatur veränderlich sein. Dies ist der Erfahrung gemäss bei Gasen, für welche  $k$  bedeutend kleiner als  $\frac{7}{5}$  und folglich  $c_0$  nicht Null ist, wirklich der Fall.

§. 5. Bezeichnet man für zwei thermisch zusammengesetzte Körper, analog wie für einfache, als thermisch äquivalent solche Gewichtsmengen  $a$  und  $a'$ , in welchen die Summe der Aussenflächen der Molekeln gleich gross ist, so besteht für dieselben, wie für thermisch einfache Körper, die bereits aufgestellte Proportion:

$$a : a' = c' : c.$$

Sind beide Körper Gase, welche vom idealen Zustande nicht erheblich abweichen, so hat man für gleiche Temperatur und Spannung:

$$c : c' = v : v'$$

und somit ergibt sich für gewöhnliche Gase überhaupt, sie mögen thermisch einfach oder zusammengesetzt sein,

$$a : a' = \frac{1}{v} : \frac{1}{v'},$$

d. h. die thermischen Äquivalentgewichte der Gase verhalten sich allgemein wie ihre Dichten. In der Chemie gilt der Satz, dass die chemischen Äquivalentgewichte der Gase ihren Dichten proportional sind; man muss also schliessen: Thermisch äquivalente Gewichtsmengen verschiedener Stoffe sind auch chemisch äquivalent.

Die demnach thatsächlich bestehende Proportionalität zwischen thermischem Äquivalentgewicht und Dichte der Gase, welche sich hier unter der Annahme ergab, dass die lebendige Kraft der Atome innerhalb der Molekeln gegen diejenige der als Ganze bewegten Molekeln und um so mehr gegen die im Volumen diffundirte Strahlenmenge nur klein sei, kann als

Beweis gelten, dass diese an sich wahrscheinliche Annahme der Wirklichkeit entspricht. Dies führt aber zu dem Schlusse, dass auch für einen gewöhnlichen festen Körper die Summe der lebendigen Kräfte seiner Atome gegen die in ihm diffundirte Strahlenmenge, also der Überschuss der experimentellen specifischen Wärme, welche  $S$  heisse, über die specifische Strahlungswärme nur klein sei und dass man demnach für thermisch einfache feste Körper annähernd

$$S = c$$

setzen kann. Da das Product  $ac$  für alle Körper gleich gross sein muss, so ist hiermit die annähernde Gleichheit von  $aS$  für die festen Grundstoffe (durchschnittlich nahe  $= 6$ ), nämlich das Gesetz von Dulong und Petit, hinreichend erklärt.

Für thermisch zusammengesetzte feste Körper ist annähernd

$$S = c + c_0 = c(1 + \frac{c_0}{c}),$$

wobei, wenn  $a$  das Äquivalentgewicht eines solchen bedeutet,  $ac$  für alle den gleichen Werth wie bei den festen Grundstoffen haben muss. Setzt man demnach  $ac = 6$ , so wird

$$aS = 6(1 + \frac{c_0}{c});$$

der Werth von  $aS$  wird daher für thermisch zusammengesetzte Körper um so grösser ausfallen müssen, je grösser  $c_0$  gegen  $c$  und also die Summe der Innenflächen der Molekeln des bezüglichen Körpers gegen die Summe ihrer Aussenflächen ist.

Da der Erfahrung gemäss  $aS$  für ähnlich constituirte Körper annähernd gleich gross ist, so folgt, dass die Ähnlichkeit der Constitution auf der Übereinstimmung in dem Werthe von

$\frac{c_0}{c}$  beruht.

§. 6. Nach dem Vorigen kann die chemische Äquivalenz zweier Stoffmengen, welche miteinander eine chemische Verbindung bilden, nur durch die Gleichheit der strahlenden Flächensumme, welche beide gegen einander ins Spiel setzen, bedingt sein. Haben also zwei Grundstoffe die Äquivalent-

gewichte  $a$  und  $a'$  und sind sie im Verhältniss von  $a : a'$  in einer Verbindung enthalten, so muss nach der in §. 2 aufgestellten Definition der thermischen Äquivalenz, mit der dort angegebenen Bedeutung der Buchstaben, die Proportion

$$a : a' = \frac{m}{e} : \frac{m'}{e'}$$

bestehen. Enthält die Verbindung  $N$  Atome des einen und  $N'$  Atome des anderen, und bezeichnet  $a_1$  ihr Äquivalentgewicht, so hat man

$$a_1 : a : a' = \frac{Nm + N'm'}{Ne + N'e'} : \frac{m}{e} : \frac{m'}{e'};$$

da nun hier der Bedingung der Äquivalenz gemäss  $Ne = N'e'$  sein muss, so wird

$$a_1 : a : a' = \frac{1}{2} \left( \frac{m}{e} + \frac{m'}{e'} \right) : \frac{m}{e} : \frac{m'}{e'}$$

und hieraus folgt:

$$a_1 = \frac{a + a'}{2},$$

d. h. das Äquivalentgewicht der Verbindung ist die halbe Summe der Äquivalentgewichte der Bestandtheile.

So ist z. B. das Äquivalentgewicht von Chlornatrium nicht die ganze, sondern die halbe Summe der Äquivalentgewichte von Chlor und Natrium, also  $= 29.25$ ; da dieser Werth, mit der specifischen Wärme der Verbindung multiplicirt, dem Gesetze von Dulong und Petit sich sehr gut anschliesst, so ist  $c_0 = 0$ , d. h. Chlornatrium ist, obwohl chemisch zusammengesetzt, thermisch einfach. Eine Zusammenlagerung von Atomen zu Molekeln findet also hier nicht statt.<sup>1</sup> Dies gilt in gleicher Weise für alle ähnlich construirten Verbindungen.

Sollen  $\nu$  Äquivalente eines Stoffes mit 1 Äquivalent eines anderen sich chemisch verbinden, so muss hierzu die Summe

<sup>1</sup> Man könnte insofern sagen, dass Chlornatrium nicht nur, wie viele Chemiker bereits annehmen, in wässriger Lösung, sondern auch in der festen Aggregatform dissociirt ist.

der strahlenden Aussenflächen für beide Stoffe gleich gross werden. Dies kann am einfachsten so geschehen, dass durch Zusammenlagerung seiner Atome zu Molekeln und entsprechende Bildung von Innenflächen die Summe der Aussenflächen des ersteren Stoffes sich im Verhältniss von  $\nu : 1$  reducirt; dann sind beide Stoffmengen thermisch und chemisch äquivalent. Demnach hat die Verbindung das Äquivalentgewicht

$$a_1 = \frac{\nu a + a'}{2},$$

d. h. das Äquivalentgewicht der Verbindung ist die halbe Summe der verbundenen Äquivalentgewichte und als Verhältniss der Summe der Innenflächen zur Summe der Aussenflächen ergibt sich für dieselbe:

$$\frac{c_0}{c} = \frac{\nu - 1}{2},$$

wo  $\nu$  immer eine ganze Zahl ist.

So hat z. B. Wasser das Äquivalentgewicht

$$\frac{2 + 16}{2} = 9;$$

das Product dieser Zahl mit der specifischen Wärme ist

$$9 = 6 \left(1 + \frac{1}{2}\right)$$

und folglich ist  $c_0 = \frac{1}{2} c$ , d. h. die Summe der strahlenden Innenflächen der im Wasser vorhandenen Molekeln verhält sich zur Summe der strahlenden Aussenflächen wie 1 : 2 und zur Gesamtsumme der strahlenden Flächen wie 1 : 3.

Wenn  $\nu$  Äquivalente eines Stoffes mit  $\nu'$  Äquivalenten eines anderen sich chemisch verbinden sollen, so muss wieder die Summe der Aussenflächen für beide gleich gross werden. Dies geschieht am einfachsten so, dass durch Zusammenlagerung der Atome zu Molekeln und Bildung von Innenflächen die Summe der Aussenflächen bei dem ersten Stoffe im Verhältniss von  $\nu : 1$ , bei dem anderen im Verhältniss von  $\nu' : 1$  sich reducirt,

wodurch beide Stoffmengen thermisch und chemisch äquivalent werden. Die Verbindung hat sodann das Äquivalentgewicht

$$a_1 = \frac{va + v'a'}{2},$$

während in derselben das Verhältniss der Summe der Innenflächen zur Summe der Aussenflächen:

$$\frac{c_0}{c} = \frac{v + v' - 2}{2}$$

ist, wo  $v$  und  $v'$  immer ganze Zahlen bedeuten.

Wie man sieht, können hiernach die Werthe von  $\frac{c_0}{c}$  mit der Zusammengesetztheit der Stoffe, von  $c_0 = 0$  angefangen, nicht anders als die Zahlen der Reihe

$$0, \frac{1}{2}, 1, \frac{3}{2}, 2, \dots$$

fortschreiten, und es muss daher das Product  $aS$  aus Äquivalentgewicht und specifischer Wärme bei binären Verbindungen nach Verhältniss der Zahlen

$$6, 9, 12, 15, 18, \dots$$

an Grösse zunehmen, wie es annähernd wirklich der Fall ist. Durch die in dieser Hinsicht thatsächlich herrschende Einfachheit der Verhältnisse erscheint die Annahme einer Zusammenlagerung von ungleichartigen Atomen zu Molekeln gänzlich ausgeschlossen.

§. 7. Wir kehren jetzt zu der in §. 4 erhaltenen Formel zurück, welche für Gase die Beziehung zwischen  $\frac{c_0}{c}$  und  $k$  ausdrückt. Weil  $k$  meistens nicht hinreichend genau bekannt ist, um daraus mit Sicherheit auf das genannte Verhältniss schliessen zu können, wollen wir zu den einfachsten dafür möglichen Werthen die entsprechenden Werthe von  $k$  suchen.

Für  $c_0 = 0$  wird  $k = 1.4$ . Dieser Werth kommt bei den permanent gasförmigen Grundstoffen, aber auch bei Stickstoffoxyd, Kohlenoxyd und Chlorwasserstoff vor. Letztere drei Gase

sind daher, obwohl chemisch zusammengesetzt, thermisch einfach, d. h. eine Zusammenlagerung von Atomen zu Molekeln hat darin nicht statt. In dieser Hinsicht ist also z. B. zwischen Stickstoffoxyd und einem blossen Gemenge der gleichen Bestandtheile kein Unterschied, und es kann sonach der wirklich bestehende Unterschied nicht durch eine Verschiedenheit der Positionen der Atome bedingt sein.

Für  $c_0 = \frac{1}{2} c$ , der ersten Stufe thermischer Zusammensetzung entsprechend, wird

$$k = \frac{17}{13} = 1.3077;$$

dieser oder ein nahe gleicher Werth kommt bei Wasserdampf, Ammoniak, Schwefelwasserstoff, Sumpfgas, Kohlensäure, Stickstoffoxydul, ferner bei den Elementen Chlor, Brom und Jod vor. Letztere drei Stoffe sind daher in ihrer Gasform, obwohl chemisch einfach, thermisch zusammengesetzt, d. h. sie enthalten Molekeln mit strahlenden Innenflächen.

Ich hebe zunächst hervor, dass der Werth von  $\frac{c_0}{c}$  für den Wasserdampf genau denselben Werth hat wie für das Wasser, eine Übereinstimmung, welche, auf zwei ganz verschiedenen Wegen erhalten, nicht zufällig sein kann. Bei dem Übergange von Wasser in Dampf bleibt sonach das Verhältniss der Summe der strahlenden Innenflächen zur Summe der strahlenden Aussenflächen ganz unverändert.

Chlorgas betreffend, muss dasselbe zu gleichen Raumtheilen aus zwei verschiedenen gleich dichten Chlorarten bestehen; für die eine ist  $c_0 = 0$ , wie für den Sauerstoff des Wasserdampfes, für die andere ist  $c_0 = c$ , wie für den Wasserstoff dieses Dampfes, und daher wird für die Verbindung beider

$c_0 = \frac{1}{2} c$ . Bemerkenswerth ist, dass das Chlor durch die Verbindung mit Wasserstoff seine thermische Zusammensetzung verliert und, ohne seine Dichte zu ändern, thermisch einfach wird. Hier tritt also ein wirklicher Verlust an strahlender Fläche ein, indem einfach  $c_0$  in der Summe

$c + c_0$  verschwindet. Derartige Vorgänge sind überhaupt sehr gewöhnlich und sollen weiter unten eine nähere Deutung finden.

Für  $c_0 = c$ , als zweite Stufe thermischer Zusammensetzung, wird

$$k = \frac{5}{4} = 1.25;$$

dieser oder ein nahe gleicher Werth kommt bei einer Anzahl von Gasen und Dämpfen mit etwas mehr complicirter Zusammensetzung vor. Für  $c_0 = \frac{3}{2}c$  ist bereits  $k = 1.211$ .

Je grösser  $c_0$  gegen  $c$  wird, desto mehr vermindert sich der Werth von  $k$ , bis endlich bei sehr complicirter Zusammensetzung oder sehr grossen Molekeln, ähnlich wie bei festen oder flüssigen Körpern, annähernd  $k = 1$  wird.

§. 8. Fragt es sich nun, wie die allseitige Einfachheit der betrachteten chemisch-physikalischen Verhältnisse zu Stande kommen könne, so ist von vornherein klar, dass sie jedenfalls in einem eigenthümlichen und einfachen Gesetze der Zusammenlagerung der Atome ihren Grund haben muss. Meine Ansicht hierüber ist diese.

In §. 2 wurde Kürze halber vorausgesetzt, die Atome der Elemente seien kugelförmig. Es ist aber wahrscheinlicher, dass sie Polyeder sind, und man kann sich einfach vorstellen, sie seien Würfel. Tritt nun eine Anzahl Atome eines Grundstoffes zu einer Gruppe zusammen, so wird unter ihnen, wie man annehmen kann, das Bestreben herrschen, wieder einen Würfel zu bilden. Ein so entstandenes, eine Summe strahlender Innenflächen enthaltendes Körperchen — eine Molekel — ist wesentlich ein kleiner Krystall. Es ist dabei möglich, dass die Dicke der zwischen den Atomflächen übrig bleibenden und sie trennenden Ätherschichten gegen die Dicke der Atome nur klein ist. Die kleinste Zahl würfelförmiger Atome, welche sich zu einer gleichfalls würfelförmigen Molekel gruppieren können, ist 8. Die Masse einer solchen Molekel ist 8mal, die Summe ihrer Aussenflächen 4mal grösser als für ein Atom. Da nun nach §. 2 das Äquivalentgewicht eines Stoffes dem Quotienten

$\frac{m}{e}$  aus Masse und Aussenfläche proportional ist, so sieht man, dass, wenn alle Atome einer bestimmten Stoffmenge sich zu je acht in Molekeln zusammenlagern, das Äquivalentgewicht des bezüglichen Stoffes sich verdoppelt hat, d. h. zu einer gleichen Summe von Aussenflächen wird jetzt die doppelte Gewichtsmenge erfordert. Treten die so entstanden Molekeln wieder zu je acht zur Bildung grösserer Molekeln zusammen, so ist das Äquivalentgewicht vervierfacht, und so fort. Die möglichen Äquivalentgewichte eines Stoffes sind daher ganze Multipla des kleinsten derselben, und es hat die meiste Wahrscheinlichkeit für sich, dass ihre Grösse nach Verhältniss der Potenzen von zwei fortschreiten muss.

Bei der gedachten Zusammenlagerung der Atome bleibt, weil dabei nur eine Verwandlung strahlender Aussenflächen in strahlende Innenflächen eintritt, die spezifische Strahlenwärme unverändert. Bei festen oder flüssigen Körpern wird daher durch eine solche Gruppierung der Atome die experimentelle spezifische Wärme, wie auch das Volumen, nur wenig beeinflusst. Ist aber der Körper ein Gas, so wird dessen Volumen, weil es nur durch die Summe der Aussenflächen der Molekeln bedingt ist, durch Verdoppelung des Äquivalentgewichtes auf die Hälfte reducirt; Äquivalentgewicht und Dichte wechseln also proportional. Während die spezifische Strahlenwärme des Gases constant bleibt, ändern sich mit seiner Dichte zugleich dessen spezifische Wärmen bei constantem Volumen und bei constantem Drucke; beide (und mit ihnen  $k$ ) werden kleiner, sind dann aber für ein gleiches Volumen grösser als bei einem thermisch einfachen Gase.

Bei der Bildung von Wasserdampf reduciren sich zwei Volume Wasserstoff durch Zusammenlagerung seiner Atome zu Molekeln und Verdoppelung seines Äquivalentgewichtes auf ein Volum, welches mit dem gleichen Volum Sauerstoff äquivalent ist und mit diesem zwei Volume Wasserdampf gibt. Eine Zusammenlagerung der ungleichartigen Atome ist bei der Einfachheit der Verhältnisse nicht annehmbar.

Die spezifische Strahlenwärme des Knallgases, aus derjenigen der Bestandtheile nach der Formel in §. 3 berechnet,



ist 0·248. Als spezifische Strahlenwärme des Wasserdampfes, dem Werthe von  $k$  gemäss  $c_0 = \frac{1}{2} c$  gesetzt, ergibt sich nach der genannten Formel, mit vorigem Resultate fast zusammenfallend,

$$c + c_0 = 0\cdot249;$$

aus Regnault's Bestimmung der specifischen Wärme des Dampfes bei constantem Drucke folgt dieselbe  $= 0\cdot254$ .

§. 9. Die im vorigen beschriebene Art der Zusammenlagerung gleichartiger Atome lässt eine sehr einfache Modification zu. Es ist ohne Schwierigkeit denkbar, dass die zur Bildung eines grösseren Würfels zusammentretenden würfelförmigen Atome, anstatt zwischen sich noch dünne Ätherschichten übrigzulassen, sich unmittelbar, d. h. bei völligem Ausschluss des Äthers, mit ihren Würfelflächen aneinander legen. Ein so entstehendes Gebilde enthält nicht, wie ein festes Körperchen, eine Summe strahlender Innenflächen, dasselbe ist insoferne keine Molekel, sondern, indem es dem Äther gegenüber ein Continuum ausmacht, ein — nur grösseres — Atom; es mag ein Synatom heissen. Legen sich alle Atome einer Stoffmenge auf diese Weise zu je acht zusammen, so ist, wie im früheren Falle, das Äquivalentgewicht verdoppelt, aber es ist jetzt zugleich die strahlende Flächensumme der Atome und somit die spezifische Strahlenwärme des Stoffes auf die Hälfte vermindert, das Product aus Äquivalentgewicht und specifischer Strahlenwärme bleibt also unverändert. Dass Zusammenlagerungen dieser Art wirklich vorkommen, scheint nicht zweifelhaft.

Das schönste Beispiel bietet das Wasser in seinen drei Aggregatformen dar. Die spezifische Wärme des Eises ist sehr nahe die Hälfte von der des Wassers; dies erklärt sich, wenn man annimmt, dass beim Erstarren der Flüssigkeit die gleichartigen Atome eines jeden ihrer zwei Elemente sich zur Bildung der nächst grösseren Synatome zusammenlegen, während das Verhältniss  $c_0 : c$  und somit die Art der thermischen Zusammengesetztheit des Wasserstoffs und die thermische Einfachheit des Sauerstoffs bestehen bleibt. Das Äquivalentgewicht des

Eises ist dann = 18, dasjenige des Wasserstoffs ist darin im Ganzen vervierfacht, das des Sauerstoffs verdoppelt.

Die specifische Strahlenwärme des Wasserdampfes ist, wie gefunden wurde, nahe  $0.250$  oder  $\frac{1}{4}$  von der des Wassers und die Hälfte von der des Eises. Man muss daher annehmen, dass beim Verdampfen das Äquivalentgewicht des Eises von neuem durch Bildung der nächst grösseren Synatome sich verdoppelt, das des Wassers aber sich sogleich vervierfacht, wobei wieder das Verhältniss  $c_0 : c$  unverändert fortbesteht. Das Äquivalentgewicht des Dampfes ist dann = 36, dasjenige des thermisch zusammengesetzten Wasserstoffs in demselben ist im Ganzen verachtfacht und das des thermisch einfachen Sauerstoffs vervierfacht. Die specifischen Strahlenwärmen von Wasser, Eis und Dampf verhalten sich wie  $1 : \frac{1}{2} : \frac{1}{4}$  und ihre Äquivalentgewichte wie  $9 : 18 : 36$ , das Product aus Äquivalentgewicht und specifischer Strahlenwärme bleibt daher in allen drei Aggregatformen unverändert = 9.

Aus der specifischen Wärme des Wassers berechnet sich diejenige des flüssigen Wasserstoffs = 6, die des flüssigen Sauerstoffs =  $\frac{3}{8}$ , welche Zahlen auch dem Gesetze von Dulong und Petit entsprechen. Nimmt man dies auch bei flüssigem Stickstoff an, so ist dessen specifische Wärme =  $\frac{3}{7}$  und hieraus folgt diejenige der flüssigen Luft =  $0.4161$ . Nun ist aber

$$\frac{0.4161}{4} = 0.1040$$

sehr nahe dem Werthe  $0.1030$  gleich, der sich in §. 3 für die specifische Strahlenwärme der atmosphärischen Luft ergab; man muss daher schliessen, dass Stickstoff, Sauerstoff und Wasserstoff bei dem Übergange aus der flüssigen in die Gasform ihr Äquivalentgewicht durch unmittelbare Aneinanderlagerung ihrer Atome vervierfachen, wobei ihre specifische Strahlenwärme sich auf den vierten Theil reducirt. Dann entspricht aber für die permanent gasförmigen Grundstoffe das

Product aus Äquivalentgewicht und specifischer Strahlenwärme (mit welcher bei den festen Grundstoffen die experimentelle nahe zusammenfällt) dem Gesetze von Dulong und Petit vollkommen und die Ausnahme, welche man diesbezüglich bisher statuiren musste, verschwindet gänzlich.<sup>1</sup>

Da die Äquivalentgewichte der Gase allgemein ihren Dichten proportional sind, so müssen Quecksilber und Cadmium beim Verdampfen ihr Äquivalentgewicht verdoppeln, während Phosphor und Arsen es verachtfachen, und es gibt wahrscheinlich keinen einzigen Grundstoff, welcher ohne Vergrösserung seines Äquivalentgewichtes aus der festen oder flüssigen in die Gasform übergehen könnte. Die Existenz einatomiger Gase im Sinne der kinetischen Theorie erscheint hierdurch ausgeschlossen.

Schon oben wurde erwähnt, dass Chlorgas durch chemische Verbindung mit Wasserstoff einen Verlust an strahlender Fläche,  $\frac{1}{3}$  der ganzen Summe betragend, erfährt; nach dem Vorigen ist dies leicht verständlich. Der wichtigste Fall solcher Art betrifft das Ammoniakgas. Dem Werthe von  $k$  gemäss ist für dasselbe, wie für Wasserdampf,  $c_0 = \frac{1}{2} c$ . Hieraus folgt aber, dass  $\frac{1}{4}$  der ganzen strahlenden Flächensumme seiner Bestandtheile im freien Zustande durch ihre Verbindung verschwindet, und in der That verhält sich die specifische Strahlenwärme eines Gemenges der Bestandtheile zu derjenigen des Ammoniaks wie 4 : 3. Man kann sich von der Constitution dieses Gases, wie ich hier der Kürze wegen nur andeute, vollkommen Rechenschaft geben, wenn man annimmt, dass in demselben das Wasserstoffgas zu einem Drittel sein Äquivalentgewicht verdoppelt und zu zwei Dritteln es vervierfacht hat. Eine Verdreifachung des Äquivalentgewichtes scheint also nicht leicht zu Stande kommen zu können. Starre Verbindungen führen zu ähnlichen Schlüssen.

<sup>1</sup> Als Ausnahmen vom genannten Gesetze erscheinen dann nur noch einige, durch die Kleinheit der specifischen Wärme auffallende feste Grundstoffe (Kohlenstoff, Bor, Silicium); ihr Verhalten dürfte aber nach dem Obigen durch eine in denselben mit Abnahme der Temperatur fortschreitende Synatombildung vollständig erklärbar sein.

Der Nachweis, dass ein Grundstoff sein Äquivalentgewicht vervielfachen kann, ohne dass er deswegen aufhört, das Gesetz von Dulong und Petit zu erfüllen, ist auch für die Hypothese von Prout von grosser Bedeutung. In der gleichen Beziehung ist zu bemerken, dass das Äquivalentgewicht eines Stoffes, als Quotient aus Masse und Aussenfläche seiner Atome, nicht nothwendig unter allen Umständen völlig constant bleiben muss, und dass daher die Äquivalentgewichte, welche ein Stoff durch Zusammenlagerung seiner Atome annehmen kann, nicht nothwendig genau ganze Vielfache des kleinsten sind.

§. 10. Bei einem Überblicke der vorliegenden Abhandlung mag vielleicht am meisten die unerwartete Folgerung auffallen, dass in chemischen Verbindungen zwar sehr gewöhnlich die gleichartigen, aber in keinem Falle die ungleichartigen Atome zu engeren für sich bestehenden Systemen associirt sind, und dass es chemische Verbindungen gibt, welche sich bezüglich der Positionen der sie constituirenden Atome von einem blossen Gemenge der gleichen Bestandtheile durchaus nicht unterscheiden. Wenn diese Folgerung feststeht, so bleibt zur Erklärung des thatsächlich bestehenden Unterschiedes nur die Annahme übrig, dass der Übergang eines Gemenges zweier oder mehrerer Stoffe in den Zustand einer chemischen Verbindung wesentlich nicht durch eine Veränderung der Atompositionen, sondern durch eine Veränderung der Atome selbst bedingt sei, d. h. dass jedes Element, wenn es mit einem anderen sich chemisch verbindet, die innere Structur seiner Atome wechselt. Wirklich erklärt sich auf solche Weise am einfachsten der durch die Erfahrung bewiesene Satz, dass die Elemente, wenn sie in Verbindungen eingehen, ihr eigenthümliches Licht- und Wärmespectrum und ihr specifisches Refractionsvermögen in keinem Falle unverändert beibehalten. Man kann dabei sich die Vorstellung machen, dass die miteinander verbundenen Stoffe sich gegenseitig in einem die Substanz ihrer Atome betreffenden Zwangszustande erhalten, aus welchem nur die Lösung der Verbindung sie wieder befreit. Es ist dann auch voraus zu erwarten, dass, wenn ein Atom unter dem Zwange eines äusseren Einflusses seine Structur wechselt, dies nicht geschehen kann, ohne dass zugleich ein

Quantum Wärme entweder erzeugt oder verbraucht wird, und in der That gibt es keine chemische Verbindung, bei deren directer oder indirecter Herstellung nicht eine bestimmte charakteristische Wärmemenge entweder entwickelt oder verschluckt wird.

Die kaum zu bezweifelnde Identität der thermischen und der chemischen Äquivalenz dürfte beweisen, dass die chemisch wirksamen Kräfte der Atome ihre Ausgangs- und Angriffspunkte nicht in deren Massen, sondern an deren Aussenflächen haben, und dies würde zu der Vermuthung berechtigen, dass es andere chemisch wirksame Kräfte zwischen den Atomen, als die Strahlen, welche sie einander zusenden, nicht gibt. Für diese Auffassung spricht es auch, dass die chemischen Wechselwirkungen der Stoffe mit Abnahme der Temperatur im Allgemeinen schwächer werden und dass nach den diesbezüglich entscheidenden Versuchen von R. Pictet bei einer niedrigen Temperatur von ungefähr  $-125^{\circ}$  selbst die gewöhnlich stärksten Reactionen ganz aufhören.

#### Schlussbemerkung.

Wie ich im Eingange dieser Darlegung erwähnte, hat mich zu derselben die Aufstellung und Verwerthung des Satzes veranlasst, dass eine Ätherwelle an einer sie auffangenden Fläche einen Druck erzeuge. Ich halte es nun zwar für zweifellos, dass eine solche Welle als fortbewegende Kraft wirken kann, dem aber, dass diese Kraft ein Druck sei, stimme ich keineswegs bei. Ich gestehe, mir nicht vorstellen zu können, wie in Wirklichkeit ein solcher Druck zu Stande kommen soll. Dagegen scheint mir nach naheliegenden Analogien die Anschauung begründet, dass transversale Ätherschwingungen in ihrer Fortpflanzungsrichtung naturgemäss einen Zug, d. h. eine ihrer Intensität proportionale Verminderung des Ätherdruckes erzeugen müssen. Dass man an die Möglichkeit eines Zuges nicht denkt, einen Druck aber für annehmbar hält, hat seinen Grund vielleicht in der Thatsache, dass Erwärmung der Körper fast immer deren Volumen auszudehnen strebt; ich glaube aber, dass diese Wirkung diffundirter Wärmestrahlen der Annahme einer

ziehenden Kraft derselben durchaus nicht widerspricht. Dies lässt sich leicht anschaulich machen.

Denkt man sich eine für Wärmestrahlen opake Platte beiderseits gleich stark bestrahlt, so halten die entsprechenden Ätherkräfte sich das Gleichgewicht. Bringt man aber neben diese Platte und zu ihr parallel eine zweite, so werfen beide einen Schatten aufeinander; beide sind dann auf den einander zugewendeten Seiten weniger stark bestrahlt als auf den Gegenseiten, sie werden folglich durch den an ersteren überwiegenden Ätherdruck auseinander, d. h. nach der Seite der stärkeren Bestrahlung getrieben.

In einem Gase gibt es für jedes Atom zwischen den übrigen eine Lage, in welcher es auf allen Seiten gleich stark bestrahlt ist; aus dieser verschoben, empfängt es auf Seite der momentan näheren Atome, welche ihm nun vermöge ihrer Opacität einen grösseren Theil der von weiterher kommenden Strahlen interceptiren, eine geringere Strahlenmenge als auf Seite der momentan fernerer Atome, dasselbe wird also durch die resultirende Kraft nach einer mittleren Lage zurückgetrieben, welche demgemäss eine Lage stabilen Gleichgewichtes ist. Alle Atome des Gases fliehen auf solche Weise einander; sie üben gegenseitig einen durch die allgemeine Strahlendiffusion und also durch den Äther vermittelten Druck aus, welcher mit Erhöhung der Temperatur und mit Verminderung des Gasvolumens an Stärke zunimmt.

Bezüglich der Resultate dieser Abhandlung scheint es mir zunächst und wesentlich auf den Fundamentalsatz, dass Wärmestrahlen als fortbewegende Kräfte wirken, nicht aber darauf anzukommen, ob diese Kräfte aus einer Vermehrung oder einer Verminderung des Ätherdruckes an ihren Angriffspunkten hervorgehen.

---

## Die Apisperiode der alten Ägypter

von

Dr. Eduard Mahler.

(Vorgelegt in der Sitzung am 21. Juni 1894.)

Die Literatur, welche sich die Untersuchung der uns vom classischen Alterthume her überlieferten grösseren Zeitkreise der Ägypter zur Aufgabe macht, ist seit den enormen Fortschritten, welche die Entzifferung der Hieroglyphentexte gemacht, und insbesondere seit der Entdeckung des Serapeums durch den französischen Forscher Mariette zu einer sehr umfangreichen geworden. Eine eingehendere Untersuchung haben namentlich Brugsch und Lepsius diesem Gegenstande gewidmet, und es war gewiss erfreulich, dass auch diese hervorragenden Ägyptologen auf Grund der Denkmälerberichte zu den Resultaten gelangten, welche lange Zeit vordem schon Ideler aus rein astronomisch-chronologischen Gründen annehmen zu müssen glaubte. Die 25jährige Apisperiode soll nach Annahme dieser Forscher keine andere sein, als die Periode von 25 Jahren zu 365 Tagen, nach deren Ablauf die Mondphasen an den nämlichen Tagen des Jahres in gleicher Ordnung periodisch wiederkehren. Welch' hohen Grad von Wahrscheinlichkeit diese Hypothese hat, beweist der Umstand, dass  $25 \times 365 = 9125$  Tage, und 309 synodische Monate  $= 309 \times 29 \cdot 53059 = 9124 \cdot 952$  Tage sind.

Warum hiess aber dann diese 25jährige Periode die »Apisperiode«? Warum haben die Ägypter eine Periode, die einen rein astronomischen Charakter hatte, mit dem heiligen Apisstiere in Verbindung gebracht?

Diese Fragen blieben bisher noch unbeantwortet und auch die Hypothese selber ist noch von keiner Seite näher begründet

worden, wiewohl sie durch mehrere dieses Gebiet berührende Untersuchungen in die Ägyptologie aufgenommen wurde.

Ideler war von der Richtigkeit seiner Annahme, dass die von den Classikern des Alterthums berichtete 25jährige Lebensdauer des Apis sich nur auf die 25jährige Mondperiode von 9125 Tagen beziehe, so durchdrungen, dass er, ohne zu ahnen, dass er gerade damit der Wahrheit am nächsten kam, den heiligen Apisstier als ein lebendiges Symbol des Mondes und seiner Periode bezeichnete. Freilich haben die ägyptologischen Forschungen, die man zur Zeit Ideler's noch nicht kannte, ergeben, dass die Berichte der Griechen bezüglich der Lebensdauer des Apis der Wahrheit nicht entsprechen, denn wir haben z. B. Apise mit 7, 16, 17, 18, 23 und 26 Lebensjahren (siehe: Lepsius, Sitzungsber. der königl. Akad. Berlin, 1856, S. 316—317). Es kann sonach die Lebensdauer des Apis gewiss nicht der Grund gewesen sein für die Benennung der 25jährigen Mondperiode als »Apisperiode«. Woher also dieser Name?

Im Folgenden wird nun diese Frage beantwortet und zugleich der erste wissenschaftliche Nachweis für den rein astronomischen Charakter dieser Periode gegeben. Indem ich von dem festen Siriusjahre, welches ich auf Grund zahlreicher Belege als die alleinige Grundlage des im alten Ägypterreiche üblich gewesenen Kalenders annehme und welches selbst zur Zeit der Ptolemäer noch den Tempelinschriften und religiösen Datirungen als Normaljahr zu Grunde lag (siehe Decret von Kanopus), ausging, reconstruirte ich mehrere von Lepsius und Brugsch uns mitgetheilte Apisdaten derart, dass ich das für den Tag der Inthronisation der heiligen Apisthiere überlieferte ägyptische Datum auf das julianische reducirte; dabei ergibt sich die merkwürdige Erscheinung, dass diese heiligen Thiere stets am Vollmondstage inthronisirt wurden. Nachdem dann noch auf Grund des uns bekannten inschriftlichen Materials der Nachweis geführt wird, dass man den Gott Osiris, als dessen lebendiges Symbol der Apis erachtet wurde, mit dem Vollmond identificirt hat, und wir sonach zufolge der vorliegenden inschriftlichen Urkunden folgern müssen, Apis = Osiris = Vollmond, so war damit nicht nur die



schon von Ideler vermuthete Thatsache gefunden, dass die Apisperiode einen rein astronomischen Charakter hatte und die 25jährige Mondperiode von 9125 Tagen bezeichnete, sondern auch die Erklärung gefunden, warum man dieselbe »Apisperiode« genannt hatte.

Bei dem historischen Entwicklungsgange, welchen die Jahrform der alten Ägypter zufolge ihres scharfen Beobachtungstriebes in naturgemässer Weise befolgen musste (zuerst das reine Mondjahr, dann das Jahr mit 12 dreissigtägigen Monaten, später das Sonnenjahr mit 12 dreissigtägigen Monaten +5 Zusatztagen und endlich das Siriusjahr mit  $365\frac{1}{4}$  Tagen), ist es wohl selbstverständlich, dass ihnen die Thatsache nicht entgehen konnte, dass nach je 25 Jahren in der Dauer von 365 Tagen die einzelnen Mondphasen wieder auf denselben Tag des Jahres periodisch wiederkehren. Denn es ist:  $25 \times 365 = 9125$  Tagen und  $309 \times 29.53059 = 9124.95231$  Tagen, so dass erst nach 20 solchen 25jährigen Perioden, d. i. nach 500 Jahren die Differenz 1 Tag ausmacht.<sup>1</sup> Es ist unter solchen Umständen leicht erklärlich, dass die Ägypter auch in der späteren Epoche ihrer Reichsgeschichte, wo schon die Dauer des festen Siriusjahres nicht nur gekannt, sondern auch praktisch verwerthet wurde, ihren astronomischen Rechnungen diese Periode und ein Jahr von 365 Tagen zu Grunde legten.

Besonders gute Dienste leistete diese 25jährige Periode zur Berechnung und Controlirung der einzelnen Mondtage und namentlich des Vollmondtages, an dem nach ägyptischer Auffassung der Mond sich erneute oder verjüngte.

So lesen wir (Brugsch, Thesaurus, I. Abth.):

1. (S. 30): »Leben und Erneuerung findet in Ewigkeit hin statt; der Mond kehrt zurück an seine Stelle und das Vollmondauge ist ausgestattet mit seiner Herrlichkeit«.

2. (S. 34): »das sind die Götter, welche verherrlichen das Mondauge, wenn es erneut seinen Kreislauf am 15. Tage des Mondmonates«.

<sup>1</sup> Es ist daher die Möglichkeit nicht ausgeschlossen, dass gerade dieser 500jährige Zeitraum die sogenannte »Phönixperiode« bildete.

3. (S. 35): »das Mondauge (der Vollmond) ist unverseht und es ist ausgestattet mit seinen Herrlichkeiten zum Segen; es ist gefeit und es verjüngt sich allmonatlich.

4. (S. 38): »Der Himmel ist in Festesfreude, indem er die Gestalt des Vollmondes trägt«.

5. (S. 45): »Ausgefüllt ist das Vollmondauge am 15. Tage des Mondmonates« u. s. w.

Der Vollmondtag war aber auch einem anderen religiösen Feste gewidmet. Die Einführung des heiligen Apisstieres in das Apieum zu Memphis, also die Inthronisation dieses heiligen Thieres als lebendes Symbol der Seele des Gottes Osiris auf Erden, fand stets am Vollmondtag statt. Diese Thatsache, welche trotz der bezüglichen Berichte der Denkmäler bisher noch nicht erkannt wurde, findet ihre Bestätigung durch Belege, welche sich vermöge der uns erhaltenen Apisdaten durch die Rechnung leicht reconstruiren und prüfen lassen.

A. Das erste Datum, mit dem wir uns hier beschäftigen wollen, ist das der Einführung des Apisstieres im 31. Regierungsjahre Königs Ptolemäus Euergetes II. Seine näheren Daten sind:<sup>1</sup>

Jahr	Monat	Tag	König
		Geburt:	
XXVIII	Tybi	24	Ptol. Euergetes II.
		Einführung in Memphis:	
XXXI	Thoth	23	Ptol. Euergetes II.

Es war also:

24. Tybi d. J. XXVIII bis 24. Tybi d. J. XXIX = Jahr I des Apis  
 24. Tybi d. J. XXIX bis 24. Tybi d. J. XXX = Jahr II des Apis  
 24. Tybi d. J. XXX bis 24. Tybi d. J. XXXI = Jahr III des Apis  
 . . . . .

<sup>1</sup> Diese sowie die folgenden hier erörterten Apisdaten sind entnommen der Arbeit von Lepsius in den Abhandlungen der königl. preuss. Akad. der Wissensch. zu Berlin vom Jahre 1856, betitelt: »Über die XXII. ägyptische Königsdynastie...«.

Nachdem aber selbst in der Ptolemäerzeit noch den Tempelinschriften und religiösen Datirungen das Sothisjahr als Normaljahr zu Grunde lag, so erhält man als entsprechende Daten im julianischen Kalender:

10. December d. J. 143 v. Chr. bis 10. December 142 v. Chr. =  
= Jahr I des Apis = Jahr 28/29 Ptol. Euergetes II.

10. December d. J. 142 v. Chr. bis 10. December 141 v. Chr. =  
= Jahr II des Apis = Jahr 29/30 Ptol. Euergetes II.

10. December d. J. 141 v. Chr. bis 10. December 140 v. Chr. =  
= Jahr III des Apis = Jahr 30/31 Ptol. Euergetes II.

Es ist daher das Datum der Einführung des Apisthieres in Memphis:

23. Thoth d. J. XXXI Ptol. Euergetes II. = 11. August 140 v. Chr.

Nun wissen wir, dass zur Zeit der Ptolemäerherrschaft der graeco-macedonische Einfluss in Ägypten so mächtig war, dass sogar die Könige, um sich beim Volke verständlich zu machen, in ihren Decreten nach dem graeco-macedonischen Kalender datiren mussten. Daher auch die Doppeldaten aus dieser Epoche. (Siehe z. B. Decret von Kanopus).

Diesem Kalender zufolge fiel im Jahre 140 v. Chr. der 29. Juli julianisch auf den  $\left\{ \begin{array}{l} 1. \text{ Metageitnon} \\ = 1. \text{ Lous} \end{array} \right\}$  Ol. 160, I, und daher entsprach der 11. August (= 42. Juli) dieses Jahres dem 14. Metageitnon = 14. Lous. Da aber der Metageitnon dieses Jahres ein hohler Monat, d. i. 29tägig war, so fiel die Dichomenie auf den 14. Tag, d. h. »der 11. August des Jahres 140 v. Chr. = 23. Thoth des Jahres XXXI Ptol. Euerg. II. der Tag der Einführung des Apis in das Apieum zu Memphis, war ein Vollmondtag«.

B. Eine andere Stele berichtet von der Inthronisation eines Apis im:

Jahr	Monat	Tag	des Königs
V	Payni	18	Amasis

Amasis regierte bekanntlich 570—526 v. Chr. Es ist daher  
Jahr V = 566/5 v. Chr. und sonach

Jahr V, Payni 18 (im Normaljahr) = 565 v. Chr., Mai 3.

Am 2. Mai 565 v. Chr., um  $14^h 9 \cdot 6^m$  mittlere bürgerliche Greenwicher Zeit, d. i. etwa  $4\frac{1}{4}^h$  Nachmittag mittlere Memphiser Zeit trat die Vollmondsphase ein; es war also am Abend dieses 2. Mai die Vollmondscheibe sichtbar, und der mit diesem Abende beginnende Montag, welcher dem julianischen 3. Mai, dem Tage der Einführung des heiligen Apis in den Tempel zu Memphis entsprach, war sonach in der That ein Vollmondtag.

C. Eine dritte Stele erzählt uns die Inthronisation eines Apis im

Jahr	Monat	Tag	des Königs
I	Epiphi	9	Psametik II.

Jahr I des Königs Psametik II ist das Jahr 595/4 v. Chr.  
Es ist daher

Jahr I, Epiphi 9 Königs Psam. II. = 594 v. Chr., Mai 24.

Nun zeigt die Rechnung, dass am 23. Mai des Jahres 594 v. Chr. um  $19^h 26 \cdot 4^m$  mittlere bürgerliche Greenwicher Zeit, d. i. in der Nacht vom 23. Mai auf den 24. Mai, etwa  $2\frac{1}{2}$  Stunden vor der mittleren Memphiser Mitternacht die Vollmondsphase eingetreten war; es war somit der 24. Mai des Jahres 594 v. Chr. in der That der Vollmondtag.

D. Eine andere Stele berichtet von der Einführung eines Apis in das Heiligthum zu Memphis im

Jahr	Monat	Tag	des Königs
XXIV	Pharmuthi	9	Taharka.

Wir wissen bereits, dass

das Jahr 595/4 v. Chr. = Jahr I Psametik II.,  
also ist das Jahr 596/5 v. Chr. = Jahr XVI Nekau II.,  
und daher das Jahr 611/0 v. Chr. =  $\left\{ \begin{array}{l} \text{Jahr I Nekau II.,} \\ \text{Jahr LIV Psametik I.} \end{array} \right.$

Dann war aber:<sup>1</sup>

das Jahr 664/3 v. Chr. = Jahr I Psametik I.

das Jahr 665/4 v. Chr. = Regierungsjahr Königs Rut-Amunmi.

das Jahr 666/5 v. Chr. = Jahr XXVIII oder letztes Jahr von  
Taharka


und daher

das Jahr 668/7 v. Chr. = Jahr XXVI Taharka.

Der 1. Thoth des in diesem Jahre (668 v. Chr.) beginnenden Siriusjahres fiel (siehe weiter unten, Anhang S. 844) auf den 19. Juli julianisch. Auch war das betreffende Siriusjahr ein Schaltjahr von 12 dreissigtägigen Monaten +6 Ergänzungstagen. Dem 9. Pharmuthi des XXVI. Regierungsjahres Königs Taharka entsprach daher der 22. Februar des Jahres 667 v. Chr.

Um 8<sup>h</sup> 24<sup>m</sup> mittlere bürgerliche Greenwicher Zeit, d. h. etwa 10<sup>h</sup> 30<sup>m</sup> Vormittag Memphiser Zeit des 21. Februar 667 v. Chr. traf die Vollmondsphase ein, am Abende dieses Tages zeigte sich daher die Vollmondscheibe und es war sonach der folgende Tag, d. i. der 22. Februar, der Tag der Inthronisation des Apis, der Vollmondtag.

E. Besondere Beachtung verdient die folgende Thatsache. Der Apis, welcher im Jahre XXXI Königs Ptol. Euergetes II. zu Memphis inthronisirt wurde, ist nach dem Zeugnisse mehrerer Steleninschriften in Memphis geboren worden. Mit dem Tempel des heiligen Apisstieres war bekanntlich auch ein

»Zeugungshaus«,  genannt, verbunden. Aus diesem war der im Jahre XXXI Königs Ptol. Euergetes II. gekrönte Apis als Sohn der Kuh Kerka (siehe Zeitschr. für ägypt. Sprache, 1884) hervorgegangen, und zwar im

Jahr	Monat	Tag	des Königs
XXVIII	Tybi	24	Ptol. Euergetes II.

Selbstverständlich musste die Geburt eines Apis im Tempel zu Memphis den Ägyptern als ein besonderes glückliches

<sup>1</sup> Diese Angaben stimmen auch vollkommen mit Haigh (Egyptian genealogis, Zeitschr. für ägypt. Sprache, 1869, S. 47).

Ereigniss erscheinen, und es ist nur natürlich, wenn sie in einem solchen Falle die Geburt dieses Apis als seine erste Einführung in den Tempel erachteten. Dann aber musste das vermerkte Datum der Geburt einem Vollmontage entsprechen, und dies ist auch wirklich der Fall. Das XXVIII. Regierungsjahr Ptol. Euergetes II. ist das Jahr 143/2 v. Chr., der 24. Tybi (Normaljahr) ist der 10. December, es ist also

Jahr XXVIII, Tybi 24 = 143 v. Chr., December 10,

und in der That ein Tag der Vollmondsphase.

F. Es wird ferner von der Inthronisation eines Stieres berichtet, welche statthatte in Memphis im<sup>1</sup>

Jahr	Monat	Tag	des Königs
XXI	Thoth	20	Ptol. V. Epiphanes.

Wird auch diesem Datum das feste Siriusjahr zu Grunde gelegt, dann ist

- 1. Thoth d. J. I Königs Epiphanes = 20. Juli 203 v. Chr.,
- 1. Thoth d. J. XXI Königs Epiphanes = 20. Juli 183 v. Chr.,

und daher

20. Thoth d. J. XXI Königs Epiphanes = 8. August 183 v. Chr.

Da aber der 23. August dieses Jahres dem graeco-macedonischen 1. Gorpiäus (1. Boëdromion Ol. 149 II) entsprach, so war der 8. August, der Tag der Inthronisation des heiligen Apis, 15 Tage vor der Numenie des Monates Gorpiäus, und daher ein Vollmontag.

(Damit findet eine höchst scharfsinnige Correctur Prof. Brugsch's ihre Bestätigung. Auf S. 136 des 22. Jahrganges der Zeitschrift für ägyptische Sprache, woselbst Brugsch den »Apiskreis aus der Zeit der Ptolemäer« eingehend erörtert, macht unser Grossmeister auf dem Gebiete ägyptologischer Forschung folgende Bemerkung: »In dem Datum vom Jahre XXI (Lin. 8) ist die Zahl des Monatstages  $\bullet \overline{\overline{\text{nn}}}$  incorrect geschrieben.

<sup>1</sup> Siehe Brugsch's »Der Apiskreis unter den Ptolemäern«, Zeitschr. für ägypt. Sprache, 1884, S. 136.

Wir ergänzen die beiden Striche wiederum zu einem I und lesen nn »Tag 20«).

G. Eine andere Stele berichtet von der Einführung eines Apis in das Heiligthum von Memphis im

Jahr	Monat	Tag	des Königs
XXIX	Paophi	1	Šešonk III.

Šešonk III. war der Nachfolger von Thakelat II. Am 25. Mese des Jahres XV dieses Königs fand eine in Ägypten sichtbare totale Mondfinsterniss statt; es ist dies (siehe des Verfassers Untersuchungen in den Denkschriften der Wiener Akad., 1887) die Finsterniss vom 9. Juli des Jahres 829 v. Chr. Thakelat II. regierte 15 Jahre; Šešonk III. kam sonach im Jahre 828 v. Chr. zur Regierung.<sup>1</sup> Es ist also

1. Paophi d. J. XXIX Šešonk III. = 1. Paophi d. J. 800 v. Chr.

Der 1. Thoth des in diesem Jahre beginnenden Siriusjahres fiel (siehe Seite 844) auf den 19. Juli. Dann war aber der 1. Paophi dieses Jahres, d. i. der Tag der Inthronisation des Apis = 18. August des Jahres 800 v. Chr. Und nachdem am Abende des 17. August dieses Jahres die Vollmondscheibe sichtbar war, so musste der mit diesem Abende beginnende Montag als Vollmondtag bezeichnet werden. Es war daher in der That der 1. Paophi des Jahres XXIX Königs Šešonk III., entsprechend dem 18. August des Jahres 800 v. Chr., ein Vollmondtag.

Aber auch den Denkmälerberichten ist diese für die Culturgeschichte Altägyptens gewiss bedeutungsvolle Thatsache direct zu entnehmen.

Es ist ja bekannt, dass der Apis allenthalben in Ägypten als das lebende Symbol des Osiris aufgefasst wurde und dass der Cult der Osirisseele mit dem des Apis eng verknüpft war.

<sup>1</sup> Zum gleichen Resultate kommt auf anderem Wege Dr. Haigh (siehe dessen Aufsatz: »Egyptian genealogies« in Zeitschr. für ägypt. Sprache, 1866, S. 46, Zeile 2 von unten).

Plutarch (de Iside C. 29) sagt:

»Die meisten der Priester sagen übereinstimmend aus, dass der Osiris und der Apis eng verbunden seien, indem sie ausführen und lehren, dass wir den Apis als das Ebenbild der Seele des Osiris halten müssen«.


Eine zehnzeilige Hieroglypheninschrift (die bilingue Stele des Châhap im ägyptischen Museum zu Berlin, Zeitschrift für ägyptische Sprache, 1884, S. 102) beginnt also:

»Die königliche Opfergabe, wohlgefällig dem Ptah-Sokaris-Osiris, dem grossen Gotte, dem Herrn der Krypte, dem Apis-Osiris, dem Xent der Amenthes, dem Herrn der Ewigkeit...«

Nun bezeugen aber die astronomischen Inschriften, die wir in der vortrefflichsten Übersicht in Brugsch's »Thesaurus inscriptionum aegypticarum« zusammengestellt finden, dass der »Osiris« mit dem »Vollmond« in innigster Verbindung war.

Wir lesen daselbst (p. 30):

»In einer anderen Barke (an der Nordseite der Decke im Pronaos des Tempels von Dendera), welche unmittelbar dem Sonnenschiffe folgt, zeigt sich das Auge des Vollmondes in

der Gestalt , dem der ibisköpfige Thuti-Thot seine Huldigung auszudrücken scheint. Vor dem Schiffe des Mondes befindet sich folgende Inschrift: „Leben und Erneuerung findet in Ewigkeit hin statt; der Mond kehrt zurück an seine Stelle und das Vollmondauge ist ausgestattet mit seiner Herrlichkeit“. Ein drittes Schiff zeigt das Bild des thronenden Osiris mit Krone und Scepter. Vor ihm fünf Sterne. Ein vierzeiliger Text belehrt darüber: „Osiris-Onnophris, der Triumphator, er hat sich vereint mit dem Vollmondauge“.

Ein anderer Text (p. 38 daselbst) lautet in Übersetzung also:

»Der Himmel ist in Festesfreude, indem er die Gestalt des Vollmondes trägt. Die Seelen der Götter treten in ihm zum Vorschein und Osiris geht leuchtend auf in ihm als Mondgott«.

Eine andere Stelle (p. 40 in Thesaurus von Brugsch) erzählt uns, dass die Stadt Tentyra sich der Freude hingibt



wenn »die herrliche Seele des Gottes Osiris sich allmonatlich verjüngt, um den Vollmond in Besitz zu nehmen«.

Gleichfalls an der Nordseite der Decke im Pronaos des Tempels von Dendera zeigt ein Bild eine Apotheose des Osiris als Mondgott. Osiris thront in einem Schiffe und über ihm ist folgende Inschrift:

»Osiris-Onnophris, der Triumphator, ist eingetreten in das Mondauge am 15. Tage des Mondmonates« u. s. f.

Es ist also nicht erst die Rechnung, welche uns das wichtige Resultat verkündet, dass die Krönungsfeierlichkeit des heiligen Apisstieres in Memphis zur Zeit des Vollmondes erfolgte, schon die monumental beglaubigten Inschriften weisen in beredter Sprache darauf hin.

Es ist wohl bekannt, dass die Ägypter mit besonderer Vorliebe nicht nur ihre religiösen Satzungen, sondern auch ihre wissenschaftlichen Thesen, mögen diese die Mathematik, Medicin oder Astronomie betroffen haben, in gewisse mysteriöse Formeln zu fassen beliebten, die nicht für jedermann verständlich waren. Wer nicht mit den Eigenheiten der ägyptischen Denk- und Sprachweise vollkommen vertraut war, konnte da sehr leicht auf Irrwege gerathen. Und daher kommt es auch, dass selbst ein Herodot uns über Dinge zu berichten weiss, die in den uns erhaltenen Denkmälerinschriften nirgends Bestätigung finden. Die Priester haben den nach Ägypten gekommenen Fremden zweifellos Einiges vom Apiscult berichtet, ihre Aussagen aber in wohlerwogene Formeln gekleidet, die dann, in wörtlicher Bedeutung genommen, für den mit ägyptischer Cultur und ägyptischen Sitten völlig Unvertrauten noch immer unverständlich waren. Gar Vieles ist also über den Apiscult in den Schriften der Griechen und Römer überliefert worden, was mit den Berichten der Denkmäler in directem Widerspruche ist. Nirgends finden wir die 25-jährige Apisperiode als solche chronologisch verwerthet, denn Niemand hat nach Jahren einer solchen Periode datirt. Und wenn Ideler in ihr eine astronomische Periode erblickte, so hat er wohl das Richtige getroffen; aber auch er

irrte noch, indem er meinte, der Name »Apisperiode« käme daher, weil man die Lebensdauer des Apisstieres nach ihr festsetzte. Die ganze Periode ist einfach eine rein astronomische, welche 25 damals in der rechnenden Astronomie gebräuchliche 365tägige Jahre umfasste, nach deren Ablauf in periodischer Wiederkehr mehrere Jahrhunderte hindurch die einzelnen Mondphasen auf denselben Tag dieses 365tägigen astronomischen Jahres trafen.

Diese Thatsache haben die alten Ägypter, welche den Himmel mit peinlichster Sorgfalt beobachteten, frühzeitig wahrgenommen und haben die so entstandene Periode von  $25 \times 365$  Tagen dazu benutzt, um nach ihr die Apisvollmonde, an denen — wie oben gezeigt wurde — die Inthronisation der Apisstiere statthaben sollte, zu regeln und zu bestimmen. Daher also der Name »Apisperiode« = »Mondperiode«.

## A n h a n g.

Zur näheren Erläuterung einiger hier vorgebrachten Daten sehe ich mich veranlasst, auf die schon anderweitig (Transactions of the IX. Congress of the Orientalist's, vol. II, p. 323) angedeutete Thatsache hinzuweisen, dass zufolge unserer heutigen astronomischen Anschauungen innerhalb der im Jahre 1318 v. Chr. beginnenden Sothisperiode eine viermalige Reorganisation des Sothiskalenders nöthig war und wir daher innerhalb dieser Zeit fünf verschiedene Kalender in Betracht ziehen müssen.

### I.

#### Von —1317 bis —893 inclusive.

In den Jahren	Datum des heliak. Siriusaufganges	Gattung des eben beginnenden Sothisjahres
— $4n$	Juli 19	Gemeinjahr
— $(4n+3)$	19	Gemeinjahr
— $(4n+2)$	19	Schaltjahr
— $(4n+1)$	20	Gemeinjahr

## II.

## Von —892 bis —537 inclusive.

In den Jahren	Datum des heliak. Siriusaufganges	Gattung des eben beginnenden Siriusjahres
— $4n$	Juli 19	Gemeinjahr
— $(4n+3)$	19	Schaltjahr
— $(4n+2)$	20	Gemeinjahr
— $(4n+1)$	20	Gemeinjahr

## III.

## Von —536 bis —236 inclusive.

In den Jahren	Datum des heliak. Siriusaufganges	Gattung des eben beginnenden Siriusjahres
— $4n$	Juli 19	Schaltjahr
— $(4n+3)$	20	Gemeinjahr
— $(4n+2)$	20	Gemeinjahr
— $(4n+1)$	20	Gemeinjahr

## IV.

## Von —235 bis +36.

In den Jahren	Datum des heliak. Siriusaufganges	Gattung des eben beginnenden Siriusjahres
— $4n$ und + $4n$	Juli 20	Gemeinjahr
— $(4n+3)$ u. + $(4n+1)$	20	Gemeinjahr
— $(4n+2)$ u. + $(4n+2)$	20	Gemeinjahr
— $(4n+1)$ u. + $(4n+3)$	20	Schaltjahr

## V.

In den Jahren	Datum des heliak. Siriusaufganges	Gattung des eben beginnenden Sothisjahres
$4n$	Juli 20	Gemeinjahr
$4n+1$	20	Gemeinjahr
$4n+2$	20	Schaltjahr
$4n+3$	21	Gemeinjahr

---

# Elektrochemische Untersuchungen

(IV. Mittheilung)

von

Prof. **Franz Exner**,

c. M. k. Akad.

(Mit 3 Textfiguren.)

(Vorgelegt in der Sitzung am 12. Juli 1894.)

## §. 14. Über Concentrationsströme.

Aus den Tabellen der vorangegangenen Mittheilungen,<sup>1</sup> welche sich auf die Potentialdifferenzen zwischen Metallen und Lösungen einerseits und zwischen verschieden concentrirten Lösungen anderseits beziehen, lassen sich alle jene Werthe entnehmen, die zur Charakteristik der sogenannten Concentrationselemente nöthig sind; unter letzteren sind im Allgemeinen solche Combinationen verstanden, bei welchen zwei Elektroden aus dem gleichen Metall in verschieden concentrirte Lösungen ein und desselben Salzes tauchen, abgesehen davon, ob letzteres das Elektrodenmetall, oder ein anderes als Kation enthält. Bezeichnen  $F_1$  und  $F_2$  die beiden Lösungen, so ist die ganze elektromotorische Kraft eines solchen Elementes durch die Summe  $M|F_1 + F_1|F_2 + F_2|M$  gegeben und diese Summe lässt sich aus den oben erwähnten Tabellen entnehmen.

Dabei zeigt sich, dass diese Summe sehr wesentlich durch die Grössen  $M|F_1$ , respective  $F_2|M$  bedingt ist, d. h. dass die Kraft einer solchen Combination keineswegs, wie dies häufig angenommen wird,<sup>2</sup> in erster Linie oder gar ausschliesslich vom Werthe  $F_1|F_2$  abhängt; ändert man die Concentration

<sup>1</sup> Diese Sitzber., Bd. C, S. 607, und CI, S. 627 und 1436.

<sup>2</sup> Vergl. z. B. J. Moser, Monatshefte für Chemie, Bd. VI.

von  $F_1$ , so ändert man damit nicht nur die Grösse  $F_1|F_2$ , sondern auch  $M|F_1$ . Aus der beobachteten Gesamtkraft eines solchen Elementes kann man somit durchaus keinen Schluss auf den Werth  $F_1|F_2$  ziehen, und es ist klar, dass eine Berechnung dieses Werthes sich durch Beobachtung der Gesamtkraft nicht controliren lässt. Es kann vorkommen, dass der Werth  $F_1|F_2$  kleiner, oder dass er grösser ist als letzterer; auch kann das Vorzeichen ein entgegengesetztes sein, so dass durch eine derartige Bestimmung selbst der Sinn des Concentrationsstromes falsch ermittelt wird.

Ich gebe im Folgenden drei typische Beispiele dieses Verhaltens, für welche die Zahlen aus §. 8 der II. Mittheilung entnommen sind.

1. **Zn in  $\text{ZnSO}_4$ .** Die beiden Lösungen waren die an obiger Stelle mit I und III bezeichneten und enthielten  $18.4\%$ , resp.

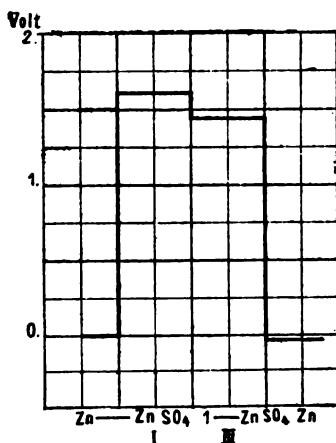


Fig. 1.

$1\%$  des negativen Ions ( $\text{SO}_4$ ). Fig. 1 stellt das Diagramm des offenen Elementes dar; es wirkte hier die Kraft  $F_1|F_2$  in gleichem Sinne, wie die Gesamtkraft  $E$ , doch ist letztere sehr viel kleiner als erstere.

In Zahlen ausgedrückt ergibt sich Folgendes:

$$E = \text{Zn}|I + I|III + III|Zn$$

und da nach dem Früheren in Volt

$$\text{Zn}|\text{I} = 1.61$$

$$\text{I}|\text{III} = -0.15$$

$$\text{III}|\text{Zn} = -1.48$$

ist, so folgt  $E = -0.02$  Volt; die thatsächliche Kraft  $F_1|F_2$  ist also hier siebenmal so gross als die beobachtete Gesamtkraft des Elementes.

Ein aus zwei Gefässen  $a$  und  $b$ , die mit den Lösungen I und III gefüllt und durch einen capillaren Bügel verbunden waren, zusammengestelltes Element wurde zum Vergleiche mit obigen untersucht, und zwar sowohl im offenen, wie im geschlossenen Zustande; in letzterem Falle wurden die beiden Zn-Elektroden direct mit einander metallisch verbunden. Es ergab sich offen (am Elektrometer)  $E = -0.025$ , in genügender Übereinstimmung mit obigem Werthe.

Um das Element auch in geschlossenem Zustande zu untersuchen, wurde der die Elektroden verbindende Bügel an's Elektrometer, und die Flüssigkeiten in  $a$  und  $b$  durch das System  $\text{Cu}|\text{CuSO}_4|\text{H}_2\text{O}$  (wie bei vielen früheren Messungen) zur Erde geleitet.

Es ergaben sich so die Werthe

$$\text{wenn } a \text{ abgeleitet} \dots\dots\dots -1.065$$

$$\text{wenn } b \text{ abgeleitet} \dots\dots\dots -1.091.$$

Die Differenz — also in diesem Falle die ganz in den capillaren Bügel fallende Gesamtkraft  $E$  — betrug  $-0.026$ .

Berechnet man diese Einzelwerthe nach den früher gefundenen Zahlen, so ergibt sich für  $a$ :

$$\left. \begin{array}{l} \text{Cu}|\text{CuSO}_4|\text{H}_2\text{O}|\text{I} = 0.54 \\ \text{I}|\text{Zn} = -1.61 \end{array} \right\} = -1.07$$

und für das Gefäss  $b$ :

$$\left. \begin{array}{l} \text{Cu}|\text{CuSO}_4|\text{H}_2\text{O}|\text{III} = 0.39 \\ \text{III}|\text{Zn} = -1.48 \end{array} \right\} = -1.09,$$

also wieder in Übereinstimmung mit den für  $a$  und  $b$  direct beobachteten Werthen; die Gesamtdifferenz beträgt auch hier wieder  $-0.02$  Volt.

2. **Mg in  $\text{MgSO}_4$**  (Fig. 2). Die hier verwendeten Lösungen I und III enthielten denselben Procentgehalt an  $\text{SO}_4$ , wie die früheren; wie Fig. 2 zeigt, ist aber jetzt die Kraft  $F_1|F_2$  der Gesamtkraft  $E$  entgegengesetzt gerichtet, so dass man aus Beobachtung der letzteren allein einen ganz falschen Schluss auf die Richtung der ersteren ziehen würde.

Bei directer Messung des offenen Elementes wurde gefunden:

$$E = 0.221.$$

Die Berechnung nach den Zahlen des §. 8 ergibt dafür:

$$\text{Mg}|I = 2.44$$

$$I|III = -0.08$$

$$III|\text{Mg} = -2.12$$

oder  $E = 0.24$ , was mit obigem Werth in Anbetracht des Umstandes genügend übereinstimmt, dass einzelne dieser Werthe

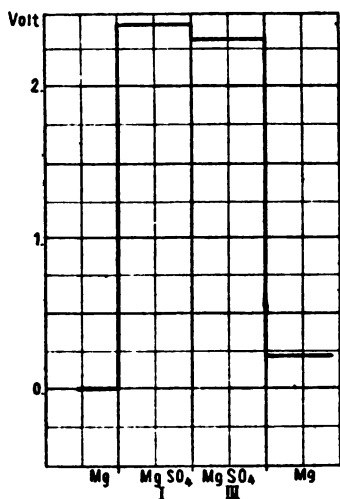


Fig. 2.

nur durch Beobachtung mit einer frei tropfenden Quecksilber-electrode gewonnen werden können, bei welcher Methode Fehler von einigen Hunderteln Volt kaum zu vermeiden sind.

Für den Fall des geschlossenen Elementes wurde nach derselben Methode wie beim  $\text{ZnSO}_4$ , gefunden:

wenn das Gefäß  $a$  abgeleitet war  $-1.868$ ,

wenn das Gefäß  $b$  abgeleitet war  $-1.657$ .

Die Differenz von  $0.211$  Volt steht mit dem direct beobachteten Werth  $0.221$  und dem berechneten  $E = 0.24$  zwar nicht in guter, aber immerhin in genügender Übereinstimmung.

Die Einzelpotentiale bei Ableitung der Gefäße  $a$  und  $b$  berechnen sich nach den Zahlen des §. 8 wie folgt.

Für  $a$ :

$$\left. \begin{array}{l} \text{Cu}|\text{CuSO}_4|\text{H}_2\text{O}|\text{I} = 0.47 \\ \text{I}|\text{Mg} = -2.44 \end{array} \right\} = -1.97.$$

Für  $b$ :

$$\left. \begin{array}{l} \text{Cu}|\text{CuSO}_4|\text{H}_2\text{O}|\text{III} = 0.39 \\ \text{III}|\text{Mg} = -2.12 \end{array} \right\} = -1.73$$

oder  $E = 0.24$  wie oben; es stimmen diese Einzelwerthe hier weniger gut mit den beobachteten, als bei  $\text{ZnSO}_4$ .

Dass der Hauptgrund dieser Fehler wie schon erwähnt in der schwierigen, mit der freien Tropfelektrode ausgeführten Messung der Werthe  $\text{I}|\text{III}$  zu suchen sei, das beweist die viel bessere Übereinstimmung in Fällen, wo die Werthe  $F_1|F_2$  gegen die anderen verschwindend sind, wie aus den folgenden Zahlen erhellt, die sich auf die Lösungen II ( $8\%$   $\text{SO}_4$ ) und III des  $\text{MgSO}_4$  mit Mg-Elektroden beziehen.

In diesem Falle gab das offene Element direct  $0.191$  Volt, während die Berechnung aus den Zahlen des §. 8 dafür liefert:

$$\begin{array}{l} \text{Mg}|\text{II} = 2.32 \\ \text{II}|\text{III} = 0.00 \\ \text{III}|\text{Mg} = -2.12 \end{array}$$

oder  $E = 0.20$ .

Für das geschlossene Element wurde gefunden:

bei Ableitung in  $a$   $-1.914$ ,

bei Ableitung in  $b$   $-1.716$ .



Die Differenz ist  $0.198$ . Für die Einzelwerthe von  $a$  und  $b$  berechnet sich:

$$\left. \begin{array}{l} \text{Cu}|\text{CuSO}_4|\text{H}_2\text{O}|\text{II} = 0.39 \\ \text{II}|\text{Mg} = -2.32 \end{array} \right\} = -1.93$$

und

$$\left. \begin{array}{l} \text{Cu}|\text{CuSO}_4|\text{H}_2\text{O}|\text{III} = 0.39 \\ \text{III}|\text{Mg} = -2.12 \end{array} \right\} = -1.73$$

und daraus der obige Werth  $E = 0.20$ .

3. **Zn in  $\text{Na}_2\text{CO}_3$**  (Fig. 3). Als dritten Typus endlich wähle ich Zn in verschieden concentrirten Lösungen von  $\text{Na}_2\text{CO}_3$ ; hier stimmt die Richtung des eigentlichen Concentrationsstromes  $F_1|F_2$  mit der des Gesamtstromes  $E$  überein, aber an

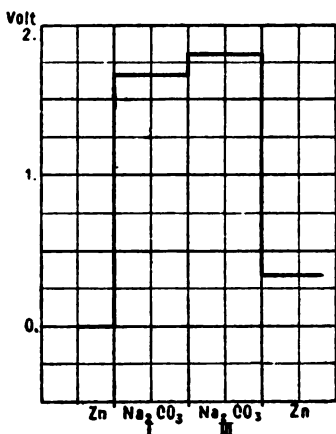


Fig. 3.

Grösse bleibt derselbe wesentlich hinter letzterem zurück. Die Lösungen I und III enthielten  $5\%$ , beziehungsweise  $0.02\%$   $\text{CO}_3$ . Das offene Element gab  $E = 0.30$  Volt. Berechnet man  $E$  aus den Einzelwerthen, so erhält man:

$$\text{Zn}|\text{I} = 1.68$$

$$\text{I}|\text{III} = 0.12$$

$$\text{III}|\text{Zn} = -1.46$$

oder  $E = 0.34$ .

Als Einzelwerthe im geschlossenen Elemente wurde gefunden:

bei Ableitung in *a* . . . . .  $-1.350$

bei Ableitung in *b* . . . . .  $-1.070$ ,

was einen Werth  $E = 0.28$  ergeben würde.

Die Berechnung obiger Einzelwerthe ergibt:

$$\left. \begin{array}{l} \text{Cu}|\text{CuSO}_4|\text{H}_2\text{O}|\text{I} = 0.27 \\ \text{I}|\text{Zn} = -1.68 \end{array} \right\} = -1.41$$

und

$$\left. \begin{array}{l} \text{Cu}|\text{CuSO}_4|\text{H}_2\text{O}|\text{III} = 0.39 \\ \text{III}|\text{Zn} = -1.46 \end{array} \right\} = -1.07,$$

welche Werthe mit den direct beobachteten Potentialen bei Ableitung in *a* und *b* genügend übereinstimmen.

Aus dem Vorstehenden ersieht man, dass aus der Gesamtkraft eines Concentrationselementes durchaus kein Schluss, nicht einmal ein qualitativer, auf die Potentialdifferenz der beiden Flüssigkeiten gezogen werden kann.

## §. 15. Über die Temperaturcoefficienten galvanischer Elemente.

In meinen Untersuchungen über die Natur der galvanischen Polarisation<sup>1</sup> habe ich den Nachweis geliefert, dass die elektromotorische Kraft der Polarisation sich mit der Wärmetönung des elektrolytischen Processes deckt, mit anderen Worten, dass dieselbe ihren Grund in der Wiedervereinigung der ausgeschiedenen Ionen hat; diese Ansicht, die der damals herrschenden von einer Änderung der Contactkraft an den Elektroden zuwiderlief, ist jetzt allgemein angenommen und es ergeben sich aus derselben einige Consequenzen, auf die im Folgenden noch kurz eingegangen werden soll.

Wenn die Polarisation durch die Wärmetönung des elektrolytischen Processes bestimmt und gemessen ist — wie dies bei allen glatt verlaufenden Reactionen zutrifft — so muss zur Zersetzung eines Elektrolyten auch eine bestimmte Kraft erforderlich sein; diese, das sogenannte Polarisationsmaximum, zeigt

<sup>1</sup> Diese Sitzungsber., Bd. 78 (1878).

sich im Allgemeinen veränderlich je nach den Versuchsbedingungen, schliesst man aber die secundären Vorgänge möglichst aus, so kommt man auf den gesuchten constanten Werth, wie ich dies speciell für die Polarisation von Platin in Schwefelsäure nachgewiesen habe.<sup>1</sup>

In jüngster Zeit ist auch Le Blanc<sup>2</sup> durch ganz identische Versuche zu dem gleichen Resultate gekommen; er nennt den betreffenden Punkt den »Zersetzungspunkt«.

Es ist ferner unmittelbar klar, dass in einem Gemisch verschiedener Elektrolyte, z. B. Salzlösungen, durch eine bestimmte elektromotorische Kraft immer nur jene Salze zersetzt werden können, deren Wärmetönung unterhalb der verwendeten elektromotorischen Kraft liegen; dass es auf diese sehr einfache Weise möglich ist, durch Anwendung passender Kräfte elektrolytische Trennungen vorzunehmen, ist vor Kurzem durch eine Untersuchung von Freudenberg<sup>3</sup> gezeigt worden.

Ferner ist klar, dass die Temperatur auf den Werth der Polarisation einen wesentlichen Einfluss haben muss; denn steigern wir dieselbe bis zur Dissociationstemperatur des Elektrolytes, so muss, da dann die Verbindungswärme desselben gleich Null wird, auch die Polarisation den Werth Null annehmen.

Auch diese Folgerung hat eine vollständige Bestätigung gefunden durch die Untersuchungen von Poincaré,<sup>4</sup> welcher in geschmolzenen Salzen die Polarisation bei der Dissociationstemperatur in der That auf Null sinken sah.

Aber auch wenn wir mit der Temperatur nicht bis zum Dissociationspunkte gehen, werden wir stets eine Abnahme der Polarisation erwarten müssen — und die später folgenden Beobachtungen bestätigen dies — denn es kann kaum einem Zweifel unterliegen, dass die Stabilität einer chemischen Verbindung, wenn secundäre Einflüsse ausgeschlossen sind, mit steigender Temperatur abnehmen muss.

---

<sup>1</sup> Diese Sitzungsber., Bd. 77 (1878).

<sup>2</sup> Zeitschr für phys. Chem., Bd. 8 (1891). Vergl. auch Nourisson, C. R. Bd. 118, S. 189 (1894).

<sup>3</sup> Chem. Ber. Bd. 25 (1892).

<sup>4</sup> C. R. Bd. 110 (1890).

Wenn wir ferner berücksichtigen, dass in den galvanischen Elementen die einzelnen Potentialdifferenzen an den Polen mit den dort sich abspielenden chemischen Processen in innigem Zusammenhange stehen, ja durch dieselben geradezu bedingt sind, so werden wir erwarten müssen, dass jeder Einfluss, der den Wärmewerth dieser Processe ändert, auch für die elektromotorische Kraft des Elementes massgebend sein wird; durch diesen Umstand scheinen mir die Temperaturcoefficienten der Elemente wenn nicht ausschliesslich, so doch in allererster Linie bestimmt.

Betrachten wir z. B. das Daniell'sche Element; die beiden in Betracht kommenden Reactionen sind hier die Bildung des  $\text{ZnSO}_4$  und die Zersetzung des  $\text{CuSO}_4$ ; erstere trägt im positiven, letztere im negativen Sinne zur Bildung der elektromotorischen Kraft des Elementes bei. Wären die Temperaturcoefficienten dieser beiden Reactionen gleich, d. h. wäre die Differenz der Bildungswärme (und Lösungswärme in Wasser) dieser beiden Salze bei allen Temperaturen constant, so wäre auch der Temperaturcoefficient des Elementes gleich Null; nun trifft diese Voraussetzung aber nicht allgemein zu, es hängt der Temperaturcoefficient dieser Reactionen sehr wesentlich von den Concentrationen der Lösungen ab und mit diesen variirt daher auch der Temperaturcoefficient des Elementes.

Eine Erwärmung des Daniell'schen Elementes als Ganzes hat unter allen Umständen eine Verminderung des Potentialgewinnes am Zn-Pol, und eine Verminderung des Potentialverlustes am Cu-Pol zur Folge; von dem Grössenverhältnisse beider hängt der Temperaturcoefficient des Elementes ab.

Speciell für das Daniell'sche Element ist der Einfluss der Concentrationen auf den Temperaturcoefficienten durch die Untersuchungen von Ebeling,<sup>1</sup> Meyer<sup>2</sup> und Gockel<sup>3</sup> ausser Zweifel gesetzt und für eine Reihe von Concentrationen auch für die beiden Pole einzeln bestimmt.

---

<sup>1</sup> Wied. Ann. Bd. 30 (1887).

<sup>2</sup> Wied. Ann. Bd. 33 (1888).

<sup>3</sup> Wied. Ann. Bd. 40 (1890).

Das Voller'sche Normaldaniell, charakterisirt durch eine  $\text{ZnSO}_4$ -Lösung vom spec. Gew.  $1\cdot20$  und eine  $\text{CuSO}_4$ -Lösung vom spec. Gew.  $1\cdot102$ , zeichnet sich bekanntlich durch seine ausserordentliche Unempfindlichkeit gegen Temperaturschwankungen aus; nach dem Vorstehenden müsste man diese darauf zurückführen, dass bei den gewählten Concentrationen sich die beiden Temperaturcoëfficienten der Pole gerade compensiren. Da in den obcitirten Arbeiten sich die eben genannten Concentrationen nicht finden, so habe ich dieselben speciell untersucht; es wurde zu diesem Zwecke ein Daniell aus drei getrennten Gefässen *a*, *b*, *c* hergestellt, dieselben untereinander durch Heber verbunden, *a* und *b* mit  $\text{ZnSO}_4$  und *c* mit  $\text{CuSO}_4$  von den genannten Concentrationen gefüllt. In *a* tauchte eine Zn-, in *c* eine Cu-Elektrode; sowohl *a* als *c* konnten separat erwärmt, respective abgekühlt werden, während gleichzeitig die elektromotorische Kraft des Elementes an einem Elektrometer gemessen wurde. Es ergaben sich so die Resultate der folgenden Tabelle, in welcher  $\Delta_c$  und  $\Delta_z$  die Differenzen der bei  $T^\circ$  des einen Polcs beobachteten Kraft des Elementes mit jener bei beiderseits  $20^\circ$  darstellen.

<i>T</i>	Zn ZnSO <sub>4</sub> auf $T^\circ$ Cu CuSO <sub>4</sub> auf $20^\circ$	$\Delta_z$	Zn ZnSO <sub>4</sub> auf $20^\circ$ Cu CuSO <sub>4</sub> auf $T^\circ$	$\Delta_c$
20	1·000		1·000	
95	0·937	—0·063	1·055	+0·055
90	0·943	—0·057	1·049	+0·049
85	0·949	—0·051	1·045	+0·045
80	0·954	—0·046	1·042	+0·042
75	0·958	—0·042	1·039	+0·039
70	0·962	—0·038	1·037	+0·037
65	0·966	—0·034	1·033	+0·033
60	0·969	—0·031	1·030	+0·030
55	0·972	—0·028	1·028	+0·028
50	0·976	—0·024	1·023	+0·023
45	0·980	—0·020	1·020	+0·020
40	0·984	—0·016	1·016	+0·016

$T$	Zn ZnSO <sub>4</sub> auf $T^\circ$ Cu CuSO <sub>4</sub> auf $20^\circ$	$\Delta_z$	Zn ZnSO <sub>4</sub> auf $20^\circ$ Cu CuSO <sub>4</sub> auf $T^\circ$	$\Delta_c$
35	0·989	—0·011	1·012	+0·012
30	0·993	—0·007	1·008	+0·008
25	0·997	—0·003	1·004	+0·004
20	1·000	$\pm 0\ 000$	1·000	$\pm 0\ 000$
15	1·004	+0·004	0·997	—0·003
10	1·008	+0·008	0·994	—0·006
5	1·012	+0·012	0·991	—0·009
0	1·015	+0·015	0·987	—0 013
—5	1·017	+0·017	0·984	—0·016

Man sieht aus dieser Tabelle, dass die beiden Temperaturcoefficienten sich in dem Intervall von  $20^\circ$ — $70^\circ$  in der That vollständig compensiren, obwohl jeder für sich eine Änderung der Kraft des Elements von fast 4% hervorbringen würde; selbst bei  $95^\circ$  ist der Unterschied beider noch gering und beträgt nur 0·008  $D$  im Sinne einer Abnahme der Gesamtkraft.

Dem Vorstehenden entsprechend müssen alle Potentialdifferenzen zwischen Metallen und Flüssigkeiten einen Temperaturcoefficienten aufweisen, der durch den Temperaturcoefficienten der zugehörigen Wärmetönung gegeben ist; beständen alle auftretenden Reactionen nur einfach in Verbindungen vorher isolirter Stoffe, so wären zweifellos sämtliche Coefficienten negativ. So einfache Reactionen kommen aber wohl nur in vereinzeltten Fällen vor, im Allgemeinen sind die auftretenden Verbindungen von gleichzeitigen Zersetzungen, Lösungen, Absorptionen etc. begleitet, so dass der thatsächlich der Beobachtung zugängliche Temperaturcoefficient als die Summe mehrerer einzelner zu betrachten ist, die sich auf verschiedene, sehr oft nicht einmal der Art nach angebbare Reactionen beziehen.

Ich gebe im Folgenden die Änderungen der Potentialdifferenz zwischen Metallen und einigen Flüssigkeiten mit der Temperatur an. Dieselben wurden in der Weise erhalten, dass die Flüssigkeit in zwei durch einen Bügel verbundene Gefässe

gefüllt, in jeder derselben eine Elektrode aus dem zu untersuchenden Metall getaucht, die eine derselben zur Erde und die andere zum Elektrometer geleitet wurde. Bei gleicher Temperatur in beiden Gefäßen ist der Ausschlag Null, erwärmt man aber die Flüssigkeit in einem der beiden Gefäße — es war dies immer das mit dem Elektrometer verbundene, — so zeigt sich im Allgemeinen ein Ausschlag. Da die Metalle in den Flüssigkeiten negativ werden, so bedeutet ein positives Vorzeichen in den folgenden Tabellen, dass die Potentialdifferenz zwischen Metall und Flüssigkeit am erwärmten Pol kleiner ist als am kalten. Die Temperatur des letzteren war durchwegs  $25^{\circ}$ , die des ersteren  $92^{\circ}$  C.

Die der Untersuchung unterzogenen Flüssigkeiten waren die Säuren  $\text{H}_2\text{SO}_4$  (1%),  $\text{HNO}_3$  (0.6%),  $\text{C}_2\text{H}_4\text{O}_2$  (0.6%) und  $\text{C}_2\text{H}_2\text{O}_4$  (7%); ferner KOH (5%) und NaOH (0.3%).

#### Metalle in Säuren.

Metall	$\text{H}_2\text{SO}_4$	$\text{HNO}_3$	$\text{C}_2\text{H}_4\text{O}$	$\text{C}_2\text{H}_2\text{O}_4$
Mg .....	—0.11	—0.10	—0.16	—0.11
Al .....	—0.17	+0.06 <sup>1</sup>	—0.16	—0.20
Fe .....	—0.02	—0.05	—0.05	+0.03
Ni .....	—0.08	—0.10	—0.11	—0.05
Cu .....	+0.04	+0.04	+0.03	—0.01
Zn .....	+0.01	—0.05	+0.05	+0.03
Ag .....	+0.01	+0.04	+0.04	+0.02
Cd .....	+0.005	+0.05	+0.06	+0.005
Sn .....	—0.01	+0.02	+0.02	0
Pb .....	—0.02	—0.02	+0.05	0

<sup>1</sup> Zuerst — dann +.

**Metalle in Basen.**

Metall	KOH	Na OH
Mg .....	-0·15	-0·38
Al .....	+0·24	+0·35
Fe .....	-0·20	-0·18
Ni .....	-0·20	-0·24
Cu .....	--0·10	-0·20
Zn .....	-0·16	-0·10
Ag .....	-0·21	- 0·13
Cd .....	-0·11	-0·10
Sn .....	-0·12	-0·30
Pb .....	-0·12	-0·13

Im Gang der Zahlen dieser beiden Tabellen lässt sich eine gewisse Regelmässigkeit nicht verkennen; gewisse Metalle, wie Mg, Al, Fe, Ni zeigen in den Säuren fast durchwegs einen negativen Temperaturcoefficienten, d. h. die Erwärmung wirkt in dem Sinne, dass die Summe der Wärmetönungen der Reactionen am erwärmten Pol grösser wird, als am kalten. Das umgekehrte Verhalten zeigen Cu, Zn, Ag und Cd, während Sn und Pb überhaupt nur sehr kleine und unbestimmte Änderungen erkennen lassen. In KOH und NaOH wurden sämmtliche Metalle mit Ausnahme des Al bei höherer Temperatur stärker negativ als bei tiefer.

Während man bei der vorstehenden Anordnung über die Änderung der Reactionswärmen mit der Temperatur nicht viel aussagen kann, da die betreffenden Reactionen sich nicht übersehen lassen, gelingt dies besser bei Untersuchung der Polarisationen bei höherer Temperatur. Da die Polarisation quantitativ durch die Wärmetönung der auftretenden Reactionen bestimmt, diese Wärmetönung aber stets positiv ist, so lässt sich auch ohne strenge Kenntniss dieser Reactionen voraussagen, dass die Polarisation mit der Temperatur abnehmen muss; je näher diese dem Dissociationspunkte der zu zersetzenden Verbindung kommt, desto mehr wird sich die Polarisation



dem Werthe Null nähern und erreicht diesen, wie schon oben gezeigt wurde, bei der Dissociationstemperatur selbst.

Über den Einfluss der Temperatur auf die Polarisation liegen bisher nur einige vereinzelte Messungen vor; so hat für Platinelektroden in angesäuertem Wasser schon Beetz vor langer Zeit eine Abnahme der Polarisation mit steigender Temperatur constatirt; auch Bartoli<sup>1</sup> fand in concentrirter  $\text{H}_2\text{SO}_4$  eine Abnahme der Polarisation von 2·80 bis 1·13 Volt zwischen 5° und 250° C. Um diese Verhältnisse genauer zu studiren, habe ich die im Folgenden mitgetheilten Messungen der Polarisation in Säuren, Basen und Salzlösungen bei verschiedenen Temperaturen ausgeführt; als Elektroden dienten Platinbleche bei allen Versuchen, nur bei den Chlorverbindungen wurden Kohlenplatten verwendet.

Der Strom eines Accumulators von der elektromotorischen Kraft  $E$  wurde durch einen grossen Widerstand  $W$  und die Zelle geschlossen; die Dimensionen der letzteren waren derartige, dass ihr Widerstand gegen den übrigen der Schliessung zu vernachlässigen war. Von den beiden Elektroden wurde dann der Strom durch ein Siemens'sches Torsionsgalvanometer mit 1000  $\Omega$  Widerstand abgezweigt und an letzterem die Polarisation während des Durchganges des primären Stromes direct abgelesen. Die Grössen  $E$  und  $W$ , von denen ja bei grossen Elektroden die Polarisation zum Theile abhängt, sind im Folgenden bei jedem Versuche angegeben; die Ablesungen erfolgten von 10 zu 10 Graden sowohl bei Erwärmung, als bei Abkühlung der Zelle, um einen etwaigen Einfluss des Nachbleibens der Thermometer thunlichst zu eliminiren.

Die betreffenden Polarisationen  $P_E$  und  $P_A$  sind in Volts angegeben.

---

<sup>1</sup> Nuovo Cim. (3) Bd. 7 (1880).

1. Pt in  $\text{H}_2\text{SO}_4$  (1:10) $E = 3.68$  Volt,  $W = 1000 \Omega$ .

$T$	$P_E$	$P_A$	Mittel
20	1.82	1.82	1.820
30	1.80	1.80	1.800
40	1.78	1.77	1.775
50	1.73	1.71	1.720
60	1.70	1.66	1.680
70	1.61	1.62	1.615
80	1.56	1.55	1.555
90	1.41	1.42	1.415

2. C in  $\text{HCl}$  (12%) $E = 5.48$ ,  $W = 600$ .

$T$	$P_E$	$P_A$	Mittel
20	1.70	1.65	1.675
30	1.64	1.58	1.610
40	1.58	1.53	1.555
50	1.54	1.51	1.525
60	1.49	1.48	1.485
70	1.44	1.43	1.435
80	1.40	1.39	1.395
90	1.35	1.35	1.350

3. Pt in  $\text{HNO}_3$  (20%) $E = 5.5$ ,  $W = 600$ .

$T$	$P_E$	$P_A$	Mittel
20	1.16	1.18	1.170
30	1.10	1.12	1.110
40	1.08	1.08	1.080
50	1.02	1.03	1.025
60	0.99	0.98	0.985
70	0.95	0.94	0.945
80	0.92	0.92	0.920
90	0.90	0.90	0.900

4. Pt in  $\text{C}_2\text{H}_4\text{O}_2$  (25%) $E = 5.5$ ,  $W = 1000$ .

$T$	$P_E$	$P_A$	Mittel
20	1.98	2.04	2.010
30	1.92	2.00	1.960
40	1.87	1.95	1.910
50	1.81	1.90	1.855
60	1.77	1.86	1.815
70	1.70	1.80	1.750
80	1.60	1.69	1.645
90	1.54	1.54	1.540

## 5. Pt in NaOH (5%)

 $E = 5.6$ ,  $W = 1000$ .

$T$	$P_E$	$P_A$	Mittel
20	1.92	1.93	1.925
30	1.86	1.88	1.870
40	1.82	1.83	1.825
50	1.77	1.77	1.770
60	1.73	1.72	1.725
70	1.67	1.66	1.665
80	1.64	1.63	1.635
90	1.60	1.60	1.600

## 6. Pt in KOH (0.3%)

 $E = 5.6$ ,  $W = 1000$ .

$T$	$P_E$	$P_A$	Mittel
20	1.90	1.95	1.925
30	1.78	1.78	1.780
40	1.72	1.72	1.720
50	1.67	1.69	1.680
60	1.62	1.64	1.630
70	1.60	1.60	1.600
80	1.58	1.57	1.575
90	1.56	1.56	1.560

Bei den folgenden Salzlösungen bedeuten die Procente den Gehalt an wasserfreiem Salze.

7. Pt in  $\text{CuSO}_4$  (concentrirt) $E = 3.70$ ,  $W = 1000$ .

$T$	$P_E$	$P_A$	Mittel
20	1.42	1.43	1.425
30	1.40	1.40	1.400
40	1.35	1.34	1.345
50	1.30	1.30	1.300
60	1.25	1.24	1.245
70	1.18	1.18	1.180
80	1.13	1.15	1.140
90	1.10	1.10	1.100

Die folgende Beobachtung bezieht sich auf ein anderes  $E$  und  $W$ ; es ändern sich dadurch die Werthe von  $P$  etwas, der allgemeine Gang mit der Temperatur jedoch nicht.

8. Pt in  $\text{CuSO}_4$  (concentrirt) $E = 1.90$ ,  $W = 500$ .

$T$	$P_E$	$P_A$	Mittel
20	1.22	1.22	1.220
30	1.20	1.20	1.200
40	1.19	1.19	1.190
50	1.14	1.14	1.140
60	1.10	1.10	1.100
70	1.08	1.08	1.070
80	1.02	1.03	1.025
90	1.00	1.00	1.000

9. Pt in  $\text{ZnSO}_4$  (17%; spec.

Gew. 1.20)

 $E = 5.5$ ,  $W = 1000$ .

$T$	$P_E$	$P_A$	Mittel
20	2.42	2.43	2.425
30	2.40	2.41	2.405
40	2.38	2.39	2.385
50	2.33	2.32	2.325
60	2.30	2.30	2.300
70	2.27	2.28	2.275
80	2.25	2.02	2.135
90	2.21	1.95	2.080

10. Pt in  $\text{NiSO}_4$  (8.4%) $E = 5.48$ ,  $W = 1000$ .

$T$	$P_E$	$P_A$	Mittel
20	2.12	2.08	2.100
30	2.08	1.98	2.030
40	2.00	1.92	1.960
50	1.86	1.87	1.865
60	1.78	1.80	1.790
70	1.72	1.74	1.730
80	1.66	1.68	1.670
90	1.61	1.62	1.615

11. C in  $\text{CuCl}_2$  (18·8%) $E = 5\cdot48$ ,  $W = 600$ .

$T$	$P_E$
20	0·80
30	0·78
40	0·75
50	0·72
60	0·68
70	0·65
80	0·62
90	0·59

12. C in  $\text{NiCl}_2$  (18·2%) $E = 5\cdot48$ ,  $W = 600$ .

$T$	$P_E$	$P_A$
20	1·35	1·83
30	1·32	1·68
40	1·30	1·58
50	1·28	1·51
60	1·28	1·51
70	1·28	1·50
80	1·27	1·48
90	1·28	1·37

13. C in  $\text{ZnCl}_2$  (9·5%) $E = 5\cdot5$ ,  $W = 600$ .

$T$	$P_E$	$P_A$
20	2·13 <sup>1</sup>	2·32
30	2·08	2·22
40	2·00	2·18
50	1·92	1·99
60	1·84	1·95
70	1·80	1·91
80	1·73	1·83
90	1·69	1·71

<sup>1</sup> Steigt allmählig von 0·9 bis zu obigem Werthe.

Der unregelmässige Gang in Nr. 11 bis 13, sowie die abnorm tiefen Werthe in Beobachtung 11 haben ihren Grund ohne Zweifel in dem Umstande, dass bei Anwendung von Kohlenplatten als Elektroden die Ausbildung der Polarisation geraume Zeit erfordert; in Nr. 12 und 13 bleiben daher die Werthe bei Erwärmung wesentlich hinter jenen bei Abkühlung zurück, da bei letzteren der Stromschluss schon ein länger-dauernder war.

Es geht daher auch nicht an, Mittelwerthe aus  $P_E$  und  $P_A$  zu bilden; jedenfalls sind die Werthe unter  $P_A$  die zuverlässigeren.

Bei den folgenden Messungen mit C-Elektroden wurde bei jeder Temperatur das Constantwerden der Einstellung abgewartet.

14. C in  $\text{Fe}_2\text{Cl}_6$  ( $15\cdot2\%$ ) $E = 5\cdot5$ ,  $W = 600$ .

$T$	$P_E$	$P_A$	Mittel
20	0·85	0·87	0·860
30	0·82	0·81	0·815
40	0·77	0·75	0·760
50	0·71	0·68	0·695
60	0·64	0·63	0·635
70	0·61	0·61	0·610
80	0·55	0·56	0·555
90	0·51	0·51	0·510

15. C in  $\text{MgCl}_2$  ( $13\cdot3\%$ ) $E = 5\cdot5$ ,  $W = 600$ .

$T$	$P_E$	$P_A$	Mittel
20	2·32	2·30	2·310
30	2·24	2·20	2·220
40	2·16	2·12	2·140
50	2·08	2·04	2·060
60	1·97	1·95	1·960
70	1·89	1·88	1·885
80	1·83	1·83	1·830
90	1·78	1·78	1·780

16. Pt in  $\text{Fe}_2(\text{NO}_3)_6$  (11·5%) $E = 5\cdot5$ ,  $W = 600$ .

$T$	$P_E$	$P_A$	Mittel
20	1·40	1·36	1·380
30	1·30	1·28	1·290
40	1·20	1·18	1·190
50	1·13	1·12	1·125
60	1·09	1·04	1·065
70	1·02	0·98	1·000
80	0·96	0·93	0·945
90	0·92	0·90	0·910

17. Pt in  $\text{Cu}(\text{NO}_3)_2$  (13·3%) $E = 3\cdot68$ ,  $W = 1000$ .

$T$	$P_E$	$P_A$	Mittel
20	1·50	1·51	1·505
30	1·50	1·51	1·505
40	1·45	1·42	1·435
50	1·42	1·38	1·400
60	1·40	1·32	1·340
70	1·35	1·27	1·310
80	1·30	1·24	1·270
90	1·24	1·22	1·230

18. Pt in  $\text{Ni}(\text{NO}_3)_2$  (13·0%) $E = 3\cdot68$ ,  $W = 1000$ .

$T$	$P_E$	$P_A$	Mittel
20	1·68	1·72	1·700
30	1·64	1·66	1·650
40	1·60	1·62	1·610
50	1·55	1·57	1·560
60	1·50	1·52	1·510
70	1·44	1·45	1·445
80	1·38	1·38	1·380
90	1·31	1·32	1·315

19. Pt in  $\text{Zn}(\text{NO}_3)_2$  (13·4%) $E = 5\cdot6$ ,  $W = 1000$ .

$T$	$P_E$	$P_A$	Mittel
20	2·22	2·25	2·235
30	2·16	2·22	2·190
40	2·10	2·15	2·125
50	2·06	2·08	2·070
60	1·95	1·96	1·955
70	1·90	1·90	1·900
80	1·86	1·88	1·870
90	1·84	1·84	1·840

20. Pt in  $\text{Mg}(\text{NO}_3)_2$  (10·5%) $E = 5\cdot5$ ,  $W = 600$ .

$T$	$P_E$	$P_A$	Mittel
20	2·20	2·38	2·290
30	2·10	2·28	2·190
40	2·01	2·13	2·070
50	1·78	1·98	1·880
60	1·68	1·75	1·715
70	1·51	1·62	1·565
80	1·40	1·53	1·465
90	1·35	1·38	1·365

21. Pt in  $\text{Na}_2(\text{NO}_3)_2$  (12·1%) $E = 5\cdot5$ ,  $W = 600$ .

$T$	$P_E$	$P_A$	Mittel
20	2·40	2·50	2·450
30	2·30	2·40	2·350
40	2·22	2·34	2·280
50	2·14	2·25	2·195
60	2·05	2·12	2·085
70	1·93	2·02	1·975
80	1·88	1·92	1·900
90	1·82	1·82	1·820

22. Pt in  $\text{Cu}(\text{C}_2\text{H}_3\text{O}_2)_2$  (5%) $E = 3\cdot7$ ,  $W = 1000$ .

$T$	$P_E$	$P_A$	Mittel
20	1·14	1·16	1·150
30	1·10	1·10	1·100
40	1·00	1·03	1·015
50	0·96	0·97	0·965
60	0·91	0·90	0·905
70	0·85	0·83	0·840
80	0·80	0·78	0·790
90	0·74	0·74	0·740

23. Pt in  $\text{Ni}(\text{C}_2\text{H}_3\text{O}_2)_2$  (5·9%) $E = 5\cdot48$ ,  $W = 1000$ .

$T$	$P_E$	$P_A$	Mittel
20	1·80	1·75	1·775
30	1·72	1·69	1·705
40	1·65	1·63	1·640
50	1·57	1·57	1·570
60	1·50	1·49	1·495
70	1·43	1·41	1·420
80	1·33	1·32	1·325
90	1·27	1·27	1·270



24. Pt in  $\text{Zn}(\text{C}_2\text{H}_3\text{O}_2)_2$  (5%) $E = 5.5$ ,  $W = 1000$ .25. Pt in  $\text{Mg}(\text{C}_2\text{H}_3\text{O}_2)_2$  (1%) $E = 5.5$ ,  $W = 600$ .

$T$	$P_E$	$P_A$	Mittel
20	2.33	2.35	2.340
30	2.27	2.32	2.295
40	2.21	2.28	2.245
50	2.15	2.22	2.185
60	2.08	2.16	2.120
70	1.98	2.07	2.025
80	1.86	1.92	1.890
90	1.81	1.81	1.810

$T$	$P_E$	$P_A$	Mittel
20	2.50	2.55	2.525
30	2.40	2.46	2.430
40	2.31	2.37	2.340
50	2.25	2.28	2.265
60	2.20	2.24	2.220
70	2.15	2.17	2.160
80	2.09	2.10	2.095
90	2.02	2.00	2.010

Wie aus den Zahlen der vorstehenden Tabellen erhellt, nimmt, ganz unserer Voraussetzung gemäss, der Wärmewerth aller untersuchten Verbindungen mit steigender Temperatur ab und zwar in den meisten Fällen sehr bedeutend; drückt man die Abnahme der Polarisation zwischen 20° und 90° in Procenten des Werthes bei 20° aus, so ergeben sich die folgenden Zahlen:

Zersetzte Verbindung	$100 \frac{P_{20} - P_{90}}{P_{20}}$
1. $\text{H}_2\text{SO}_4$ .....	22.4%
2. $\text{HCl}$ .....	19.4
3. $\text{HNO}_3$ .....	23.1
4. $\text{C}_2\text{H}_4\text{O}_2$ .....	23.0
5. $\text{NaOH}$ .....	16.6%
6. $\text{KOH}$ .....	18.7
7. $\text{CuSO}_4$ .....	22.5%
8. $\text{CuSO}_4$ .....	18.0
9. $\text{ZnSO}_4$ .....	14.0
10. $\text{NiSO}_4$ .....	23.3

Zersetzte Verbindung	$100 \frac{P_{20} - P_{90}}{P_{20}}$
11. $\text{CuCl}_2$ .....	$26 \cdot 2^0/0$
12. $\text{NiCl}_2$ .....	$25 \cdot 1$
13. $\text{ZnCl}_2$ .....	$26 \cdot 3$
14. $\text{Fe}_2\text{Cl}_6$ .....	$40 \cdot 8$
15. $\text{MgCl}_2$ .....	$23 \cdot 0$
16. $\text{Fe}_2(\text{NO}_3)_6$ .....	$34 \cdot 0^0/0$
17. $\text{Cu}(\text{NO}_3)_2$ .....	$18 \cdot 0$
18. $\text{Ni}(\text{NO}_3)_2$ .....	$23 \cdot 0$
19. $\text{Zn}(\text{NO}_3)_2$ .....	$17 \cdot 4$
20. $\text{Mg}(\text{NO}_3)_2$ .....	$40 \cdot 6$
21. $\text{NaNO}_3$ .....	$25 \cdot 7$
22. $\text{Cu}(\text{C}_2\text{H}_3\text{O}_2)_2$ .....	$35 \cdot 0^0/0$
23. $\text{Ni}(\text{C}_2\text{H}_3\text{O}_2)_2$ .....	$28 \cdot 8$
24. $\text{Zn}(\text{C}_2\text{H}_3\text{O}_2)_2$ .....	$22 \cdot 6$
25. $\text{Mg}(\text{C}_2\text{H}_3\text{O}_2)_2$ .....	$20 \cdot 2$

Eine Gesetzmässigkeit innerhalb der einzelnen Gruppen lässt sich hier nicht erkennen, ist auch kaum zu erwarten, da man es hier nicht mit den einfachen Verbindungen, sondern auch mit den Lösungen der Producte zu thun hat; welchen Gang aber die Temperaturcoefficienten der Lösungswärmen einschlagen, das lässt sich vorläufig nicht übersehen.

Dass die Änderung der Polarisation von  $\text{ZnSO}_4$  und  $\text{CuSO}_4$  mit der Temperatur hier sehr viel grösser resultirt als bei der Untersuchung des Daniell, wo die Änderung an jedem Pol zwischen  $20^\circ$  und  $90^\circ$  nur circa  $0 \cdot 06$  Volt betrug, dürfte seinen Grund darin haben, dass es sich hier um die Reactionen  $(\text{Zn}, \text{O}, \text{SO}_3)$  und  $(\text{Cu}, \text{O}, \text{SO}_3)$  handelt, im Daniell'schen Elemente dagegen aller Wahrscheinlichkeit nach um die Reactionen  $(\text{Zn}, \text{SO}_4)$  und  $(\text{Cu}, \text{SO}_4)$ . Dafür spricht auch der Umstand, dass den Polarisationen die Werthe  $2 \cdot 34$ , respective  $1 \cdot 43$  zukommen, den Potentialdifferenzen zwischen den Polen und den Flüssigkeiten im Daniell aber nur die Werthe  $1 \cdot 34$ , respective  $0 \cdot 34$ .

Wollte man die Temperaturcoefficienten chemischer Reactionen auf dem eingeschlagenen Wege in ihrer Reinheit unter-

suchen, so müsste man dafür sorgen, dass ausser der gewünschten Reaction kein weiterer Vorgang, wie z. B. Lösung des Productes, eintritt; das stösst aber auf erhebliche Schwierigkeiten, indem die Producte der Elektrolyse, sobald sie nicht gelöst werden, sondern sich an den Elektroden absetzen, zu Störungen Veranlassung geben. (Die Elektrolyse geschmolzener Salze würde vielleicht ein geeignetes Mittel sein.)

Hätte ein galvanisches Element nur einen einzigen Potentialsprung und dementsprechend auch nur eine Reaction, so würde der Temperaturcoefficient eines solchen Elementes zugleich der Coefficient der betreffenden Reaction sein, d. h. da letzterer immer negativ ist, so müsste ein solches Element auch stets einen negativen Temperaturcoefficienten aufweisen. Ich habe nun solche Elemente mit nur einem Potentialsprung angegeben,<sup>1</sup> es sind das solche, die nur aus Grundstoffen bestehen und deren einer Pol durch Kohle gebildet wird, z. B.  $C|Br|M$ , wo M irgend ein durch Brom angreifbares Metall bezeichnet. Hier findet nur an der Stelle  $Br|M$  ein Potentialsprung statt entsprechend dem Wärmewerth (Br, M), und wird ein derartiges Element erwärmt, so müsste seine elektromotorische Kraft sinken.

Leider sind derartige Messungen für die meisten Metalle sehr ungenau wegen der Unlöslichkeit der gebildeten Bromverbindung, doch liess sich bei allen untersuchten Combinationen entweder eine deutliche Abnahme der elektromotorischen Kraft mit der Temperatur oder ein Constantbleiben derselben innerhalb der Grenzen der Beobachtungsfehler constatiren; in keinem Falle aber zeigte sich eine Zunahme. So zeigte z. B. das Element  $Zn|Br|C$  bei den Temperaturen 2°, 20° und 50° die Werthe 1·57, 1·52 und 1·42 als Mittel mehrerer Versuche.

Bei Ag, Cd, Pb und Cu konnte ein deutlicher Effect nicht wahrgenommen werden, bei Ni dagegen sank der Werth zwischen 20° und 50° von 0·53 auf 0·45; ebenso bei Fe zwischen denselben Temperaturen von 0·51 auf 0·34.

Soweit somit gegenwärtig diesbezügliche Beobachtungen vorliegen, wird man sagen müssen, dass der Wärmewerth einer

---

<sup>1</sup> Diese Sitzungsber., Bd. 74 (1881).

chemischen Reaction mit steigender Temperatur abnimmt; die Temperaturcoefficienten der galvanischen Elemente aber können als der Ausdruck dieses Effectes angesehen werden.

### §. 16. Über Verbindungswärmen.

In der Einleitung zur ersten Mittheilung<sup>1</sup> habe ich schon auf den Zusammenhang zwischen der elektrischen Energie einer Molekel und deren Bildungswärme im allgemeinen hingewiesen und den Satz ausgesprochen, »dass die bei der Bildung von HCl aus H und Cl resultirende Wärme nichts anderes ist, als das Äquivalent der Arbeit, welche von den elektrischen Ladungen der Ionen bei Annäherung derselben bis auf Moleculardistanz geleistet wird«.

Eine analoge Anschauungsweise ist theils gleichzeitig, theils später von Richarz<sup>2</sup> und von Ebert<sup>3</sup> ausgesprochen worden mit dem Unterschiede, dass von diesen nicht die Bildungswärme der chemischen Verbindungen, sondern die der Moleküle eines Grundstoffes aus den Atomen der Rechnung unterzogen wird; die Dissociationswärme, die für  $H_2$  und  $J_2$  angenähert bekannt ist, soll danach identisch sein mit der elektrischen Energie der betreffenden Molekeln. Was die dieser Rechnung zu Grunde liegende Vorstellung anlangt, dass z. B. die beiden Atome einer Wasserstoff oder einer Chlormolekel entgegengesetzte Ladungen im Molekül besitzen, so kann ich mich derselben nicht anschliessen; es scheinen mir dagegen sowohl chemische als physikalische Bedenken obzuwalten, die bisher, wie mir scheint, zu wenig berücksichtigt wurden. So ist es z. B. schwer verständlich, dass die positiv und die negativ geladenen Atome desselben Stoffes sich chemisch vollkommen gleich verhalten sollen. Oder, dass in einer Verbindung wie HCl sich doch immer H positiv und Cl negativ geladen findet; erzeugt man HCl aus  $H_2$  und  $Cl_2$ , so müssten nach obiger Vorstellung HCl-Moleküle entstehen nach dem Schema  $H_+Cl_-$ .

---

<sup>1</sup> Diese Berichte. Bd, 100, Mai 1891.

<sup>2</sup> Sitzungsber. der Niederrh. Gesellsch. 1890 und 1891, Verh. der phys. Gesellsch. zu Berlin 1891 und Wied. Ann., Bd. 52 (1894).

<sup>3</sup> Wied. Ann., Bd. 50 (1893).

und ebensoviele  $H-Cl_+$ . Eine  $HCl$ -Lösung, der Elektrolyse unterworfen, müsste demnach an jedem Pol sowohl  $H$  als  $Cl$  liefern. Auch F. Braun<sup>1</sup> hat jüngst auf derartige Schwierigkeiten aufmerksam gemacht, die jedenfalls zu einer sehr vorsichtigen Anwendung dieser Vorstellungsweise mahnen.

Dass dagegen die Ionen eines Elektrolyten mit entgegengesetzten Ladungen behaftet sind, wird gegenwärtig kaum mehr in Zweifel gezogen werden; um nun die elektrische Arbeit zu berechnen, die bei der Bildung einer Molekel geleistet wird, ist die Kenntniss dreier Grössen erforderlich: erstens der Ladung die mit einem Atom verbunden ist, der sogenannten Valenzladung im Falle eines einwerthigen Atoms, zweitens der Moleculargrösse und drittens der Anzahl Moleküle in der Masseneinheit. Die erste Grösse folgt aus dem Faraday'schen Gesetze der Elektrolyse, die zweite und dritte aus der kinetischen Gastheorie. Besonders die dritte Grösse ist dabei mit einer beträchtlichen Unsicherheit behaftet, indem die aus der Querschnittssumme resultirenden Werthe dafür um Hunderte von Procenten variiren. Ich habe darum zur Berechnung der letzteren einen anderen Weg eingeschlagen,<sup>2</sup> der sich aus der Bestimmung des wahren specifischen Gewichtes der Substanzen mit Hilfe der Dielektricitätsconstanten oder der Brechungsexponenten ergibt. Es hat dieses Verfahren auch den Vortheil, dass dadurch die fragliche, gewöhnlich mit  $N$  bezeichnete Zahl für jede Substanz unabhängig von den anderen bestimmt wird.

Ich gebe im Folgenden die Berechnung der Bildungswärme der  $HCl$  und des  $H_2O$  unter der Voraussetzung, dass nur die elektrischen Kräfte dabei thätig sind, welche von Atom zu Atom wirken. Die elektrische Energie des Systems ist dabei gegeben durch das Product der Atomladungen, dividirt durch die Moleculardistanz, und diese Energie müsste der Wärmestörung

<sup>1</sup> Zeitschr. für physikal. Chemie, Bd. 13 (1894).

<sup>2</sup> Diese Berichte, Bd. 91 (1885). Ich ergreife die erste Gelegenheit die sich bietet, um zu constatiren, dass die in dieser Arbeit durchgeführte Idee der Bestimmung molecularer Grössen aus den Dielektricitätsconstanten schon früher von Dorn (Wied. Ann. XIII, [1881]) ausgesprochen wurde; das Übersehen dieser Arbeit war dadurch bedingt, dass sich dieselbe in den »Beiblättern« nicht citirt findet.

quivalent sein. Als sicher kann angenommen werden, dassä 1 Cb. 0·01 *mg* H<sub>2</sub> ausscheidet, oder dass diese Menge H<sub>2</sub> mit 3·10<sup>9</sup> E. E. geladen ist.

**H<sub>2</sub>O.** Zur Ermittlung der Zahl *N* Moleküle, welche in 0·01 *mg* H<sub>2</sub> enthalten sind oder welche die Ladung 3·10<sup>9</sup> E. E. besitzen, dient, unter Voraussetzung kugelförmiger Moleküle, die Gleichung:  $N \frac{4}{3} \pi \rho^3 \sigma = 0\cdot01 \text{ mg} = 10^{-5} \text{ g}$ . Es ist ferner:<sup>1</sup>  $\rho = 5 \cdot 10^{-9} \text{ cm}$  und  $\sigma = 1$ , somit  $N = 2 \cdot 10^{19}$ . Ein H<sub>2</sub> Molekül erscheint somit geladen mit  $\frac{3}{2} \cdot 10^{-10}$  E. E. Die Energie einer H<sub>2</sub>O Molekel wird demnach 10<sup>-12</sup> Erg. und die von 0·01 *mg* H<sub>2</sub> in Form von H<sub>2</sub>O = 2·10<sup>7</sup> Erg. 1 *g* H<sub>2</sub> in dieser Form repräsentirt somit 2·10<sup>12</sup> Erg. = 2·10<sup>9</sup> *g*·*cm* = 2·10<sup>4</sup> *kg*·*m* oder 47 Calorien. Die thermochemischen Bestimmungen dagegen liefern für die Verbrennung von 1 *g* H<sub>2</sub> 34 Calorien, also einen Werth, der mit obigem sehr nahe übereinstimmt.

Es sind bei dieser Berechnung die Moleculargrössen des H<sub>2</sub> zu Grunde gelegt, man könnte ebensogut auch von jenem des O<sub>2</sub> ausgehen; man hätte dann zu berücksichtigen, dass 3·10<sup>9</sup> E. E. an 0·08 *mg* O<sub>2</sub> haften und dass für  $\rho = 8 \cdot 10^{-9} \text{ cm}$  und  $\sigma = 8$  zu setzen ist. Man erhält so die Ladung von 1 Atom O<sub>2</sub> = 3·10<sup>-10</sup> E. E. und die Arbeit bei Annäherung von H<sub>2</sub> an O aus dem Unendlichen bis in Moleculardistanz gleich 90 Calorien statt der beobachteten 34. Unter Berücksichtigung der mannigfachen zweifelhaften Grössen und Voraussetzungen, welche in die Rechnung eingehen, wird man eine derartige Übereinstimmung immerhin befriedigend nennen müssen.

**HCl.** Für die Verbindungswärme der Salzsäure sind folgende Grössen massgebend: 3·10<sup>9</sup> E. E. haften an 0·35 *mg* Cl; ferner ist für Cl  $\rho = 10^{-8}$  und  $\sigma = 6\cdot2$  zu setzen; die mit 3·10<sup>9</sup> E. E. geladene Zahl Cl-Atome beträgt somit  $N = 14 \cdot 10^{18}$ , oder die Ladung eines Atoms Cl = 2·10<sup>-10</sup>. Daraus berechnet sich die Verbindungswärme von 1 *g* H<sub>2</sub> mit Cl zu 77 Calorien, statt 40 Calorien, wie die thermochemischen Untersuchungen liefern. Geht man bei der Berechnung nicht von Cl, sondern

<sup>1</sup> Diese Berichte, Bd. 91 (1883).

von H aus, so gelangt man zu dem Werthe 47 Calorien, also auch hier zeigt sich wieder eine gute Übereinstimmung.

Die Valenzladungen, welche sich für Cl, H und O auf von einander ganz unabhängigen Wegen ergeben, stimmen untereinander recht gut überein, sie sind für  $H = \frac{3}{4} \cdot 10^{-10}$ , für  $O = 1.5 \cdot 10^{-10}$  und für  $Cl = 2 \cdot 10^{-10}$ ; von Richarz<sup>1</sup> wurde auf ganz anderem Wege dafür der Werth  $1.29 \cdot 10^{-10}$  erhalten.

Es folgt aus dem Vorstehenden, dass man, vorläufig für die gegebenen Beispiele, die chemische Energie ganz als den Effect elektrischer Kräfte ansehen kann, welche von den Ladungen der Ionen ausgehen.

Da alle einwerthigen Atome dieselben Ladungen besitzen, so wären auch die Verbindungswärmen aller binären Verbindungen gleich, wenn die Durchmesser der entstehenden Moleküle dieselben wären, und es ist vielleicht bezeichnend für die Richtigkeit dieser Anschauung, dass die Differenzen dieser Verbindungswärmen mit den Differenzen der Molecular-durchmesser von gleicher Grössenordnung sind. Die Fähigkeit, möglichst nahe aneinander zu gelangen, d. h. eine möglichst grosse Arbeit zu entwickeln, wird man im Allgemeinen den kleinsten Atomen im höchsten Maasse zuschreiben müssen, und damit mag es wohl in Einklang stehen, dass die Reactionsfähigkeit der Stoffe in so entschiedener Weise mit dem Atomgewichte abnimmt.

Schliesslich sei noch erwähnt, dass die Vorstellung, als stammen die Verbindungswärmen vom Falle der Atome gegeneinander, sei also mechanischen Ursprungs, nicht haltbar ist, wenigstens nicht wenn das Gravitationsgesetz bis zu molecularen Distanzen als angenähert gültig vorausgesetzt wird. Die Gravitationsenergie bei der Verbrennung von 1 g  $H_2$  würde nur  $\frac{1}{2} \cdot 10^{-23}$  Cal. liefern, also eine absolut verschwindende Grösse.

---

<sup>1</sup> l. c.

# Über die innere Reibung in Ölen und deren Änderung mit der Temperatur

von

**J. G. Garvanoff.**

Aus dem physikalisch-chemischen Institute der k. k. Universität in Wien.

(Mit 2 Textfiguren.)

(Vorgelegt in der Sitzung am 12. Juli 1894.)

In Folgendem sind die Resultate einer Reihe von Versuchen mitgetheilt, die sich auf die innere Reibung in fetten und ätherischen Ölen beziehen. Die Methode, welche zur Anwendung kam, war die von Poiseuille, bei welcher die Ausflusszeit aus Capillaren gemessen wird.

Um bei höheren Temperaturen beobachten zu können, musste die Capillare in ein Wasserbad eingebaut werden. Da dieselbe in verticaler Stellung verwendet wurde, so wurde sie am unteren Ende vertical nach aufwärts gebogen und endigte sowohl am unteren, als oberen Ende in eine Glaskugel. Während des Versuches wurde die Flüssigkeit aus der oberen in die untere Kugel strömen gelassen und nach Beendigung des Versuches wieder in die obere zurückgesaugt. Selbstverständlich wurde auf die Reinigung der Capillare vor jedem Versuche besondere Sorgfalt verwendet. Auch war durch zwei Thermometer dafür gesorgt, dass in jedem Momente die Temperatur, sowohl des Bades, als der zu untersuchenden Flüssigkeit selbst abgelesen werden konnte. Zur Ermittlung der absoluten Werthe des Reibungscoefficienten wurde eine besondere geradlinige Capillare verwendet. Es wurde zunächst mit deren Hilfe der absolute Werth des Reibungscoefficienten des Wassers bei einer bestimmten Temperatur, nämlich  $20.7^{\circ}\text{C.}$ , ermittelt und gefunden,  $\eta = 0.01045$ . Dieser Werth stimmt sehr gut mit dem



von O. E. Meyer<sup>1</sup> gefundenen, aus dessen Zahlen sich durch Interpolation für dieselbe Temperatur der Werth  $\eta_1 = 0.01041$  ergibt. Durch Beobachtung der Ausflusszeiten der Öle durch dieselbe Capillare konnten die absoluten Werthe der Reibungscoëfficienten der Öle durch Reduction auf den Wasserwerth ermittelt werden. (Im Folgenden wird der Reibungscoëfficient des Wassers bei 0° gleich 100 gesetzt). Um die Reibungscoëfficienten bei der höheren Temperatur zu bestimmen, musste Ausflusszeit und Dichte für diese letztere ermittelt werden; die Druckhöhe dagegen blieb bei allen Versuchen constant. Bezeichnet  $z$  die Ausflusszeit in Secunden und  $\delta$  die Dichte der Flüssigkeit, so gelten für zwei Temperaturen  $t_1$  und  $t_2$  die Formeln  $\eta_1 = a \cdot z_1 \delta_1$  und  $\eta_2 = a z_2 \delta_2$ ; hier bedeutet  $a$  eine Constante der im Wasserbad verwendeten Capillare, die durch einmaligen Vergleich mit der geraden Capillare bei einer bestimmten Temperatur ermittelt wurde und so die Reduction aller Werthe auf absolutes Mass gestattet.

Die Beobachtungen erstreckten sich über ein Temperaturintervall von 20—80°; wird der Reibungscoëfficient des Wassers bei 0° gleich 100 gesetzt, so ergibt sich derselbe bei 20° im Mittel aus den verlässlichsten bisherigen Angaben zu 56.15 und auf diesen Werth sind auch die Resultate der folgenden Tabellen reducirt. In diesen bedeutet  $T$  die Temperatur der untersuchten Flüssigkeit und zwar ist jedesmal unter  $A$  und  $E$  die Temperatur am Anfang und Ende eines jeden Versuches angegeben. (Bei jeder Temperatur wurden drei Versuche ausgeführt). Unter  $Z$  findet sich die Ausflusszeit in Secunden; unter  $\delta$  die jeweilig ermittelte Dichte angegeben.  $T'$  bedeutet das Mittel für eine jede Temperaturgruppe und  $\eta$  den zugehörigen, auf Wasser reducirten Reibungscoëfficienten. (Der letztere für 0° gleich 100 gesetzt). Es folgen nun die Beobachtungen, und zwar an fünf ätherischen und drei fetten Ölen.

---

<sup>1</sup> O. E. Meyer, Wied. Ann., Bd. 32 (1887).

Tabelle I.

## Citronenöl.

T° C.		Z	$\delta$	T'	$\eta$
A.	E.				
20·8	20·6	110	0·8559	20°6 C.	66·77
20·5	20·5	110			
20·5	20·5	110			
30·8	30·5	96·5	0·8498	30·6	58·45
30·5	30·3	97·5			
30·1	30·1	97·5			
40·2	40·5	85·5	0·8422	40·2	51·72
40·8	40·5	86			
40	39	88·5			
51	51	77	0·835	50·3	46·19
50·2	50	78			
50	49·9	79			
61	61	69·5	0·8272	60·4	41·47
60·5	60·2	71			
60	59·6	71·7			
71	71·2	63·5	0 818	70·4	37·7
70·5	70·1	65			
70	69·4	66·2			
80	79·8	61	0·8101	80	34·64
80·1	80·1	60			
80·1	80·1	60			

## Tabelle II.

## Bergamottenöl.

$T^{\circ}$		$Z$	$\delta$	$T'$	$\eta$
A.	E.				
20°5	21	151	0·8718	20°3 C.	94·21
20	20	156			
20·1	20·1	155			
31·1	31·1	125·5	0·864	30·5	77·36
30·5	30·2	128·5			
30	30	129			
40·6	40·8	107·5	0·8558	40·4	65·22
40·5	40·4	108·5			
40	40	110			
50·8	51	94	0·848	50·4	56·53
50·4	50·4	95·5			
50	49·8	95			
60·2	60·1	84·5	0·8398	60·2	49·3
60	59·8	84·5			
60·4	61	82			
71	71	75	0·831	70	44·37
70·1	69·8	76			
69·5	68·8	77·5			
80·6	80·6	86	0·8258	79·6	40·56
80·2	79·2	69			
79	78	73			

Tabelle III.

## Terpentinöl.

$T^{\circ}$		$Z$	$\delta$	$T'$	$\eta$
A.	E.				
21° C.	20·8	126·5	0·862	20°5 C.	77·11
20·5	20·5	128			
20	20	130			
30·8	30·5	110	0·8538	30·3	65·59
30·4	30·2	110·5			
30·1	30	110			
40·8	40·4	97·5	0·8462	40·2	57·79
40·2	40	97·5			
40	39·8	98·5			
51°	51°	86·5	0·8376	50·4	51·24
50·5	50·1	88			
50	49·8	88·5			
60	60·2	78·5	0·83	59·9	45·96
60	60	79·5			
60	59·2	80			
71	70	72·5	0·8214	70	41·7
70·2	70	72·7			
70	69·1	73			
80·1	80	66·5	0·8132	79·9	38·04
79·8	79	66			
80·2	80·2	66·5			

Tabelle IV.

## Nelkenöl.

$T^{\circ}$		$Z$	$\delta$	$T'$	$\eta$
A.	E.				
20	20	684			
20	20·1	671	1·53	20°	705·1
20	20·1	667			
31°	30·5	430			
30·5	30·3	434	1·45	30·4	430·3
30·2	30	438			
40·4	40·1	303			
40	39·6	310	1·363	39·9	285·5
39·5	39·8	306			
51	50	230			
51	51	221	1·25	50·5	194
50·5	50	230			
60·5	61	172			
61	60·1	177	1·19	60·2	144·8
60	59	185			
71·5	71	139			
70·5	69·5	144	1·106	69·9	108·9
69·1	68	148			
80	80·2	115			
80·2	79	119	1·04	79·8	83·2

Tabelle V.

## Kümmelöl.

$T^{\circ}$		$Z$	$\delta$	$T'$	$\eta$
A.	E.				
21	21	120			
20·5	20·2	122	0·8972	20·3	75·12
20·1	20	124			
31°	31°	103			
30·4	30	105	0·891	30·2	63·96
29·9	29·8	106			
41°7	41°	91			
40·8	40·3	91·5	0·8834	40·5	55·42
40·1	40	91·5			
50·6	50·6	82			
50·5	50·1	82	0·876	50·3	49·36
50	49·8	82·5			
61	61	73·5			
60·2	60	73·5	0·8683	60·2	44·1
60	59·4	75			
70·5	70·5	68			
70	69·9	68	0·8618	69·9	40·52
69·6	69	69·5			
81·5	81·5	62			
80·5	79·5	63·5	0·8555	79·9	37·05
79·5	78·5	64			

Tabelle VI.

## Olivenöl.

$T^{\circ}$		$Z$	$\delta$	$T'$	$\eta$
A.	E.				
20·5	20·6	771·5	0·9139	20·3	4339
20·8	21·1	760·5			
21·1	21·1	758·7			
31·4	31·2	495	0·9057	31	2819
31·2	30·9	502			
30·8	30·5	509·3			
41·1	41	340	0·893	40·5	1931
40·9	40·3	349·5			
40·2	39·8	357·5			
50	49·2	255	0·889	50	1347
50	50	244·5			
51·1	50	244·5			
60	60	185·5	0·8859	60·3	1010
60	61·1	179·5			
61	60	187			
69·5	70	143·5	0·8828	70·1	766
70	70	138·5			
71	70	138			
80	80·1	111	0·8797	79·5	623·2
80	79	116			
79	78·9	116			

Tabelle VII.

## Mandelöl.

$T^{\circ}$		$Z$	$\delta$	$T'$	$\eta$
A.	E.				
21	20·4	665	0·9989	20 alt	3539·3
20	20	673			
20	20·1	671·5			
30·8	30·4	437·5	0·9129	30·2	2315
30·4	30·1	443			
30	30	449			
41	41	300	0·906	40·4	1592·3
40·5	40	308·5			
40	39·9	313			
51	51·5	215	0·8977	50·5	1142
51	50	225			
50	49·8	230·5			
61	60·5	170	0·893	60·4	865·2
60·6	60·5	169·5			
60	60	168·5			
71	69	136·5	0·888	70·3	680·9
71	70·8	130			
70·5	69·8	135			
80	80	105·5	0·883	79·2	547·2
79·7	79·5	108·5			
78	78	111			



Tabelle VIII.

## Vaselinöl.

$T^{\circ}$		$Z$	$\delta$	$T'$	$\eta$
A.	E.				
20·6	20·6	981·5			
20·9	20·9	971	0·874	20·9	4685
21·2	21·2	960			
30·2	29·7	586·5			
30	29·9	576·5	0·870	30	2753
30	30	575			
40·2	40	345			
39·8	39·8	353	0·866	40	1663
39·8	39	363			
49·7	49·8	220			
49·7	49·3	227	0·8595	49·5	1074
49·6	49·6	222			
60·5	60	159·5			
59·5	59	163	0·853	60·4	753·4
60·3	60·3	159			
71	70·1	112			
70	69	118	0·8478	70·1	527·2
70·1	70·7	108			
80	80	81			
80	80	85	0·8402	79·9	389·6
79·9	79·4	87			

Tabelle IX.

T	Citronenöl		Bergamottenöl		Terpentinöl		Nelkenöl		Kümmelöl	
	$\eta$ relativ	$\eta$ absolut	$\eta_r$	$\eta_a$	$\eta_r$	$\eta_a$	$\eta_r$	$\eta_a$	$\eta_r$	$\eta_a$
20°	67·27	0·01264	94·69	0·01781	77·70	0·01481	705·1	0·13261	75·45	0·01429
30	58·94	0·01108	78·16	0·01470	66·18	0·01245	440·86	0·08292	64·18	0·01207
40	51·86	0·00975	65·71	0·01235	57·95	0·01088	284	0·05341	55·84	0·01050
50	46·35	0·00871	56·88	0·01067	51·5	0·00968	198·3	0·03729	49·55	0·00932
60	41·65	0·00783	49·45	0·00930	45·9	0·00863	145·8	0·02742	44·21	0·00831
70	37·85	0·00711	44·37	0·00834	41·7	0·00784	108·5	0·02040	40·48	0·00761
80	34·64	0·00651	40·32	0·00758	38·08	0·00716	82·6	0·01553	37·01	0·00696

Tabelle X.

T	Olivenöl		Mandelöl		Vaselinöl	
	$\eta$ relativ	$\eta$ absolut	$\eta_r$	$\eta_a$	$\eta_r$	$\eta_a$
20°	4296	0·80800	3539	0·66561	4844	0·91102
30	2961	0·55684	2339	0·43988	2753	0·51774
40	1977	0·37190	1620	0·30467	1663	0·31275
50	1347	0·25333	1164	0·21894	1038	0·19521
60	1019	0·19179	876	0·16482	765	0·14391
70	768	0·14452	686	0·12909	529	0·0995
80	615	0·11579	535	0·10065	388	0·07301

Die Tabellen I bis V umfassen die Beobachtungen mit ätherischen Ölen, die Tabellen VI bis VIII jene mit fetten Ölen.

Da es bei den einzelnen Beobachtungen nicht möglich war, vorgeschriebene Temperaturen genau einzuhalten, so wurden für die Temperaturen 20°, 30° u. s. w. die Werthe durch lineare Interpolation aus den Nachbarwerthen ermittelt. Dieselben finden sich für die ätherischen Öle in Tabelle IX, für

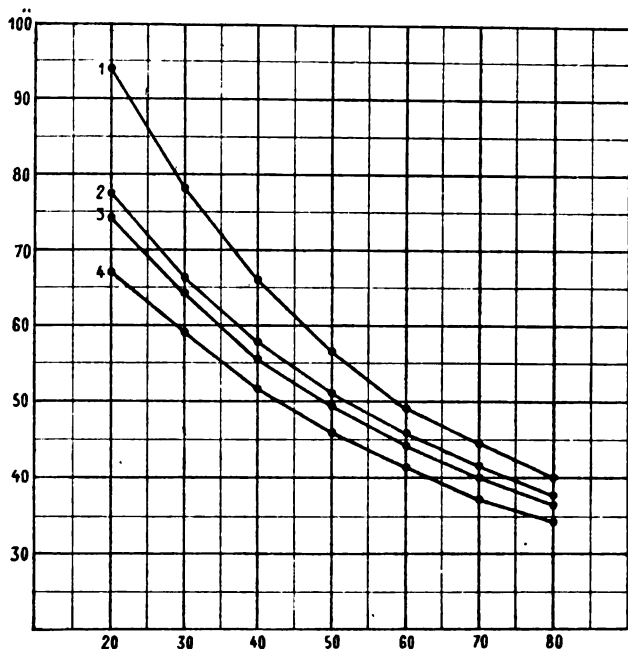


Fig. 1.

die fetten Öle in Tabelle X aufgeführt. In beiden Tabellen sind nebst den auf Wasser bezogenen relativen Reibungscoefficienten  $\eta_r$  auch die absoluten auf (cgs) bezogenen  $\eta_{ia}$  angeführt.

Die Werthe  $\eta_r$  dieser beiden Tabellen sind in den Fig. 1 und 2 graphisch dargestellt. Abscissen sind dabei die Temperaturen, Ordinaten die  $\eta_r$ . In Fig. 1 bezieht sich die Curve 1 auf Bergamottenöl, 2 auf Terpentinöl, 3 auf Kümmelöl und 4 auf Citronenöl. In Fig. 2 bezieht sich die Curve 5 auf Vaselineöl, 6 auf Olivenöl, 7 auf Mandelöl und 8 auf Nelkenöl. Die Curven zeigen sämtlich einen vollkommen regelmässigen

Verlauf, der durch eine sehr bedeutende Abnahme des Reibungscoëfficienten mit der Temperatur charakterisirt ist.

In Tabelle XI ist diese Abnahme ersichtlich gemacht durch die percentuelle Änderung  $\Delta\eta$  des Reibungscoëfficienten  $\eta_{120}$  bei

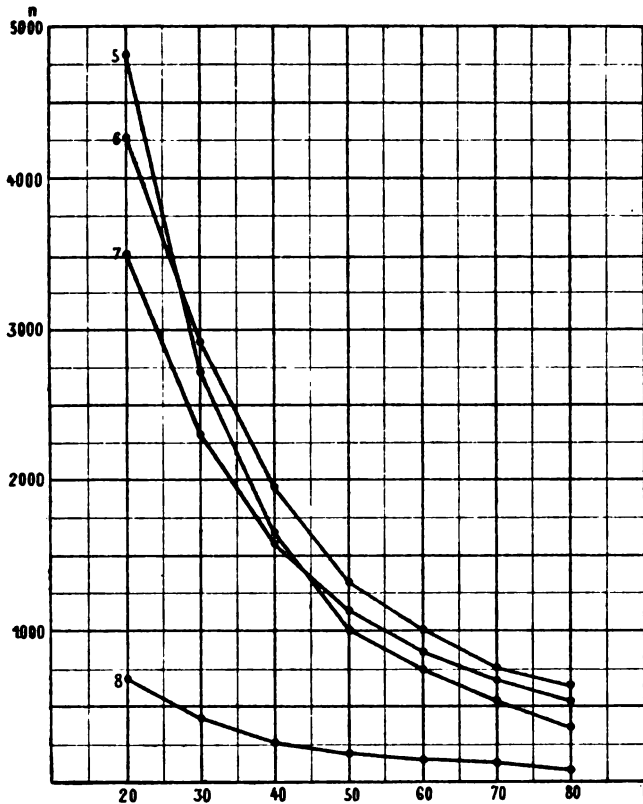


Fig. 2.

20° C. zwischen den Temperaturen 20° und 80°. Es ist demnach in Tabelle XI:

$$\Delta\eta = \frac{100(\eta_{120} - \eta_{180})}{\eta_{120}}.$$

Bei den fetten Ölen ist diese Änderung im Allgemeinen viel stärker als bei den ätherischen und erreicht bis 92% des ursprünglichen Werthes. Es stehen diese Resultate in gutem Einklange mit den wenigen Beobachtungen, welche über diesen

Gegenstand vorliegen; es sind dies Messungen von Koller<sup>1</sup> an einigen Ölen, bei denen jedoch nicht die absoluten Werthe der Reibungscoefficienten ermittelt, sondern nur eine starke Abnahme derselben mit der Temperatur constatirt wurde.

Tabelle XI.

Substanz	$\Delta\eta$
Citronenöl . . . . .	48·7
Terpentinöl . . . . .	50·9
Kümmelöl . . . . .	50 9
Bergamottenöl . . .	57·4
Nelkenöl . . . . .	88·3
Mandelöl . . . . .	84·8
Olivenöl . . . . .	85·5
Vaselinöl . . . . .	91·9

Über die Änderung des Reibungscoefficienten mit der Temperatur bei Walrathöl liegen Messungen von Perry, Graham und Heath vor,<sup>2</sup> welche eine Abnormität desselben bei der Temperatur 40° ergaben; eine Untersuchung der gleichzeitigen Änderung der Dichte liess bei derselben Temperatur gleichfalls einen Sprung erkennen; von derartigen Unregelmässigkeiten war bei den im Vorstehenden untersuchten Substanzen durchaus nichts zu bemerken.

<sup>1</sup> Diese Ber., Bd. 98 (1889).

<sup>2</sup> Phil. Mag. (5), 35 (1893).

# Die Invarianten der allgemeinen Fläche dritter Ordnung

von

Karl Bobek in Prag.

(Vorgelegt in der Sitzung am 21. Juni 1894.)

Die allgemeine Fläche dritter Ordnung besitzt vier Invarianten. Dieselben bleiben bei den  $\infty^{15}$  Collineationen des Raumes erhalten. Haben zwei Flächen  $F^3$  und  $F^3$  dieselben Invarianten, dann gibt es eine und nur eine bestimmte Collineation, welche die Flächen in einander überführen; denn die allgemeine Fläche dritter Ordnung lässt keine collineare Umformung in sich zu. Im Folgenden ist eine geometrische Deutung der vier Invarianten gegeben.

Ist  $a$  eine Gerade der Fläche  $F^3$ , so gehen durch dieselbe fünf Tritangentialebenen,  $\mathfrak{E}_1, \mathfrak{E}_2, \mathfrak{E}_3, \mathfrak{E}_4, \mathfrak{E}_5$ , welche noch je ein Paar Geraden  $b_1c_1, b_2c_2, b_3c_3, b_4c_4, b_5c_5$  von  $F^3$  enthalten. Die Ebenen durch  $a$  schneiden  $F^3$  in Kegelschnitten, welche auf  $a$  eine Punktinvolution ausscheiden, deren Deckpunkte  $D_1, D_2$  seien und die Ebenen, welche die in  $D_1$  respective  $D_2$  die  $a$  berührenden Kegelschnitte von  $F^3$  enthalten, seien mit  $\mathfrak{D}_1, \mathfrak{D}_2$  bezeichnet.  $D_1$  und  $D_2$  sind die parabolischen Punkte von  $F^3$ , die auf  $a$  liegen,  $\mathfrak{D}_1, \mathfrak{D}_2$  die Tangentialebenen von  $F^3$  in diesen Punkten.

Bezeichnet man nun mit  $(\mathfrak{E}_1 \mathfrak{E}_2 \mathfrak{E}_3 \mathfrak{E}_4)$  das Doppelverhältniss der vier Ebenen  $\mathfrak{E}_1, \mathfrak{E}_2, \mathfrak{E}_3, \mathfrak{E}_4$ , so sind die vier Doppelverhältnisse  $(\mathfrak{E}_1 \mathfrak{E}_2 \mathfrak{E}_3 \mathfrak{E}_4), (\mathfrak{E}_1 \mathfrak{E}_2 \mathfrak{E}_3 \mathfrak{E}_5), (\mathfrak{E}_1 \mathfrak{E}_2 \mathfrak{E}_3 \mathfrak{D}_1), (\mathfrak{E}_1 \mathfrak{E}_2 \mathfrak{E}_3 \mathfrak{D}_2)$  die vier Invarianten der Fläche dritter Ordnung.

Dass dieselben bei collinearer Umformung von  $F^3$  erhalten bleiben ist klar, dass ihre Gleichheit aber auch genügt, um zwei Flächen durch Collineation in einander zu überführen, soll gezeigt werden.

Vorher möge ein Hilfssatz für die  $F^3$  bewiesen werden.

Sind  $E_1 E_2 E_3 E_4 E_5$  die Schnittpunkte der Geradenpaare von  $F^3$  in den durch  $a$  gehenden fünf Ebenen und projicirt man aus  $E_1$  die Punktpaare  $E_2 E_3$  und  $E_4 E_5$  durch zwei Ebenen, so schneiden diese  $a$  in einem Punktpaare  $M, N$ , welches durch die Schnittpunkte des Geradenpaares  $b_1 c_1$  harmonisch getrennt wird.

Man kann  $F^3$  erzeugen durch ein Flächenbüschel zweiter Ordnung ( $F^2$ ), an dessen Flächen man von  $E_1$  die Berührungskegel legt.  $F^3$  ist der Ort der Berührungskegelschnitte. Die Ebenen derselben gehen durch die Gerade  $a$ , in welcher sich die Polarebenen von  $E_1$  für die  $F^2$  des Büschels schneiden. Die Fläche  $F_0^2$ , welche durch  $E_1$  geht, schneidet die Ebene  $\mathcal{G}_1$  in dem Geradenpaare  $b_1 c_1$  von  $F^3$ . Die Ecken  $E_2 E_3 E_4 E_5$  des allen  $F^2$  conjugirten Tetraeders sind die Schnittpunkte der noch übrigen vier Geradenpaare, die in den Ebenen durch  $a$  liegen. Da die Geraden  $E_2 E_3$  und  $E_4 E_5$  conjugirte Polaren für  $F_0^2$  sind, so schneiden die sie aus  $E_1$  projicirenden Ebenen, die  $\mathcal{G}_1$  in einem Strahlenpaare, welches  $b_1 c_1$  harmonisch trennt. Hiemit ist der Satz bewiesen.

Man erhält auf diese Art zehn Punkte auf  $a$  ausgeschnitten durch die zehn Ebenen, welche durch je drei der fünf Punkte  $E_i$  gehen. Durch jeden Punkt  $E_i$  gehen sechs der Ebenen, welche  $a$  in drei Paaren einer Involution schneiden, deren Deckpunkte aus  $E_i$  durch das Geradenpaar  $b_i c_i$  projicirt werden. Die fünf so erhaltenen Involutionen haben alle das Paar  $D_1, D_2$  gemeinschaftlich. Denn  $D_1, D_2$  sind die Deckpunkte der Involution, welche die Kegelschnitte von  $F^3$  auf  $a$  ausscheiden, zu denen auch die fünf Geradenpaare gehören.

Die Pole von  $a$  für die Kegelschnitte von  $F^3$  liegen auf einer Curve dritter Ordnung  $c^3$ , welche durch die fünf Punkte  $E_i$  und durch  $D_1, D_2$  geht, in letzteren Punkten die  $F^3$ , also auch  $\mathfrak{D}_1$  respective  $\mathfrak{D}_2$  berührt. Beachtet man, dass die  $c^3$  aus  $E_1$  etwa durch einen Kegel  $\mathfrak{K}^2$  projicirt wird, welcher dem Kegelbüschel durch die vier Geraden  $E_1 E_2, E_1 E_3, E_1 E_4, E_1 E_5$  angehört, so erkennt man, dass  $\mathfrak{K}^2$  die Gerade  $a$  in einem Paare derjenigen Involution schneiden muss, welche durch die drei Ebenenpaare des obigen Kegelbüschels bestimmt ist. Hieraus ergibt sich wieder, dass  $D_1, D_2$  ein Paar aller fünf Involutionen ist.

Es möge bemerkt werden, dass die Doppelverhältnisse  $(E_1E_2E_3E_4)$ ,  $(E_1E_2E_3E_5)$ ,  $(E_1E_2E_3D_1)$ ,  $(E_1E_2E_3D_2)$  auf der Raumcurve  $c^3$  gleich sind den oben hingeschriebenen Doppelverhältnissen der entsprechenden Ebenen.

Es seien nun  $F^3$  und  $F^{3'}$  zwei Flächen dritter Ordnung, welche gleiche Invarianten für die Gerade  $a$  und  $a'$  besitzen.

Es existirt eine ganz bestimmte Raumcollineation, welche die Raumcurve  $c^3$  in die entsprechende  $c^{3'}$  für  $F^{3'}$  in der Weise überführt, dass den Punkten  $E_1, E_2, E_3$  die Punkte  $E'_1, E'_2, E'_3$  entsprechen. Zu Folge der Beziehungen

$$\begin{aligned}(E_1E_2E_3E_4) &= (E'_1E'_2E'_3E'_4) & (E_1E_2E_3E_5) &= (E'_1E'_2E'_3E'_5), \\ (E_1E_2E_3D_1) &= (E'_1E'_2E'_3D'_1) & (E_1E_2E_3D_2) &= (E'_1E'_2E'_3D'_2)\end{aligned}$$

werden durch dieselbe Raumcollineation die Punkte  $E_4, E_5, D_1, D_2$  von  $c^3$  in die Punkte  $E'_4, E'_5, D'_1, D'_2$  von  $c^{3'}$  übergehen, so dass der Geraden  $a = D_1D_2$  die Gerade  $a' = D'_1D'_2$  entsprechen wird. Daher sind den fünf Ebenen  $\mathbb{E}_i$  durch  $a$  die fünf Ebenen  $\mathbb{E}'_i$  durch  $a'$  zugeordnet. Da ferner dem Ebenenpaare durch  $E_1E_2E_3$  und  $E_1E_4E_5$ , welches  $a$  in  $MN$  trifft das Ebenenpaar durch  $E'_1E'_2E'_3$  und  $E'_1E'_4E'_5$  entspricht, welches  $a'$  in  $M', N'$  schneiden möge, so sind  $M, M'$  und  $N, N'$  homologe Punkte der collinearen Räume.

Zu Folge des Hilfssatzes trennt das Geradenpaar  $b_1c_1$  die beiden Strahlenpaare  $E_1D_1, E_1D_2$  und  $E_1M, E_1N$  harmonisch, und dasselbe thut auch  $b'_1c'_1$  bezüglich der Strahlenpaare  $E'_1D'_1, E'_1D'_2$  und  $E'_1M', E'_1N'$ , daher muss durch die Raumcollineation das Geradenpaar  $(b_1c_1)$  von  $F^3$  in das Geradenpaar  $b'_1c'_1$  von  $F^{3'}$  übergehen. Da dasselbe von jedem der fünf Geradenpaare in den Ebenen  $\mathbb{E}_i$  und  $\mathbb{E}'_i$  gilt, so ist klar, dass die oben angegebene Raumcollineation  $F^3$  in  $F^{3'}$  überführt.

Die Gleichheit der eingangs hingeschriebenen vier Doppelverhältnisse für zwei Flächen dritter Ordnung ist also die nothwendige und hinreichende Bedingung dafür, dass die Flächen durch eine Raumcollineation in einander überführbar sind.

---

Sind die vier Invarianten einer Fläche dritter Ordnung gegeben, so kann man noch 15 Constanten zur Bestimmung



der Fläche willkürlich annehmen. Zur Construction der nothwendigen Elemente der Fläche kann man folgendermassen verfahren. Man nehme eine Gerade  $a$  willkürlich an (vier Bedingungen für die durchgehende  $F^3$ ) durch diese drei beliebige Ebenen  $\mathfrak{E}_1, \mathfrak{E}_2, \mathfrak{E}_3$  (drei Constanten), dann sind zu Folge der vier gegebenen Invarianten auch  $\mathfrak{E}_4, \mathfrak{E}_5$  und  $\mathfrak{D}_1, \mathfrak{D}_2$  bestimmt. In  $\mathfrak{E}_1, \mathfrak{E}_2$  wähle man je einen Punkt  $E_1, E_2$  (vier Constanten) und in  $\mathfrak{D}_1, \mathfrak{D}_2$  je eine Gerade  $t_1$  respective  $t_2$  (vier Constanten) beliebig aus, wodurch der Schnittpunkt der Geradenpaare  $b_1c_1$  respective  $b_2c_2$  und die parabolischen Punkte  $D_1$  respective  $D_2$  als Schnittpunkte der  $t_1$  respective  $t_2$  mit  $a$  gegeben sind. Durch diese Annahme ist  $F^3$  eindeutig bestimmt. Denn durch  $E_1, E_2, D_1, D_2$  geht eine Raumcurve dritter Ordnung  $c^3$ , welche  $t_1$  und  $t_2$  berührt. Sie möge  $\mathfrak{E}_3, \mathfrak{E}_4, \mathfrak{E}_5$  in  $E_3, E_4, E_5$  schneiden.

Es ist nun ein Kegel  $\mathfrak{R}_2^2$  bestimmt, welcher  $E_2$  zur Spitze hat, für den  $E_2E_3, E_2E_4, E_2E_5$  ein Tripel conjugirter Strahlen ist, und dessen Polarebene von  $E_1$  die Ebene  $\mathfrak{E}_2$  ist. Desgleichen ist ein Kegel  $\mathfrak{R}_3^2$  bestimmt, für den  $E_3E_2, E_3E_4, E_3E_5$  ein Tripel conjugirter Strahlen und  $\mathfrak{E}_3$  die Polarebene von  $E_1$  ist.  $\mathfrak{R}_2^2$  und  $\mathfrak{R}_3^2$  bestimmen einen Flächenbüschel zweiter Ordnung für den  $E_2, E_3, E_4, E_5$  das gemeinschaftliche Poltetraeder aller Flächen, und  $a$  die Schnittgerade der Polarebenen von  $E_1$  für die Flächen des Büschels ist. Es erzeugt daher  $E_1$  mit dem Flächenbüschel in der oben auseinandergesetzten Weise eine  $F^3$ , welche den gestellten Bedingungen genügt.  $F^3$  ist, wie man sieht, die einzige Fläche dritter Ordnung, da die fünf Geradenpaare in den  $\mathfrak{E}_i$  durch die fünf Punkte  $E_i$  zu Folge des Hilfssatzes bestimmt sind.

Auf Flächen mit conischen oder biplanaren Doppelpunkten, welche speciellen Werthen der Invarianten oder Gleichheiten zwischen denselben entsprechen, möge hier nicht weiter eingegangen werden.

# Über die circulare Magnetisirung von Eisendrähten

von

**Ignaz Klemenčič.**

Aus dem physikalischen Institute der k. k. Universität in Graz.

(Mit 6 Textfiguren.)

(Vorgelegt in der Sitzung am 5. Juli 1894.)

In einem vom Strom durchflossenen Eisendrahte üben die einzelnen, der Drahtaxe parallelen Fäden, in welche man sich den Strom zerlegt denken kann, eine Richtkraft auf die Molecularmagnete aus, welche dieselben rings um die Axe des Drahtes kreisförmig anzuordnen strebt; sie sucht die Molecularmagnete transversal gegen die Stromfäden zu stellen. Ein solcher Draht befindet sich also in einem magnetischen Zustande, welchen man als circular oder transversal bezeichnet.<sup>1</sup> Das Entstehen und Verschwinden dieses Zustandes äussert sich in der gleichen Weise wie die gegenseitige Induction der Stromfäden; es werden also die beiden Extraströme in geraden Leitern aus magnetisirbaren Metallen viel stärker auftreten als in nicht magnetisirbaren Drähten. Ein Theil dieses magnetischen Zustandes kann auch remanent bleiben. Dieser Theil ist es, welcher die von Villari<sup>2</sup> entdeckten und als »mechanische oder Erschütterungsströme transversal magnetisirter Eisenstäbe« bezeichneten Erscheinungen liefert. Villari selbst und

<sup>1</sup> Nachfolgend soll für diese Art der Magnetisirung durchwegs die von Herwig eingeführte Bezeichnung »circular« gebraucht werden. Der Ausdruck »transversal magnetisirt« ist nicht eindeutig.

<sup>2</sup> Villari, Pogg. Ann., Bd. 126, S. 85, 1865 und Bd. 137, S. 569, 1869.

nach ihm H. Streintz<sup>1</sup> studirten die Erschütterungsströme an dicken Eisen- und Stahlstäben und untersuchten dieselben hauptsächlich in ihrer Abhängigkeit von der Intensität des Primärstromes, von der Stärke der Erschütterung und von der Zahl der vorausgegangenen Stösse. Während diese Untersuchungen nur den remanenten Theil betrafen, hat Herwig<sup>2</sup> mittelst der Wheatstone'schen Brückenordnung direct das Auftreten starker Schliessungs- und Öffnungsextraströme constatirt, wenn ein Zweig der Brücke aus einem dicken Eisen- oder Stahlstabe gebildet war. Später hat Lorenz<sup>3</sup> mit Brücke und Telephon den Selbstinductionscoefficienten zweier 31 m langer Eisendrähte gemessen und die Susceptibilität der Eisensorte zu ungefähr 10 bestimmt. Im Allgemeinen waren alle diese Versuche mehr qualitativer Natur und auch gar nicht so eingerichtet, um genauere Messungen über das Verhalten der Eisendrähte bei circularer Magnetisirung zu gestatten. Es sind vor Allem zwei Fragen, welche in dieser Hinsicht gestellt werden können. Die erste Frage ist dieselbe, welche auch bezüglich der axialen Magnetisirung immer gestellt wird, sie bezieht sich auf den Zusammenhang zwischen Permeabilität und der Stärke der magnetisirenden Kraft. Die zweite Frage betrifft das Verhältniss der Permeabilität bei axialer und circularer Magnetisirung für ein und dasselbe Individuum. Bezüglich der ersten Frage kann man wohl vermuthen, dass sich der Verlauf der Magnetisirung auch in circularer Richtung ungefähr so abspielen dürfte wie in der axialen; allein hinsichtlich des zweiten Punktes hat man kaum Erfahrungsthatsachen oder theoretische Erwägungen, auf welche gestützt, man das Resultat des Versuches auch nur qualitativ angeben könnte.

Ein Umstand allerdings vereitelt die völlig exacte Beantwortung der beiden oben aufgeworfenen Fragen, und das ist die Thatsache, dass wir in einem vom Strom durchflossenen Drahte rings um die Axe magnetisirende Kräfte haben, welche in der Axe selbst gleich Null sind und gegen die Peripherie zu

---

<sup>1</sup> H. Streintz, diese Sitzungsber., Bd. 76, S. 946, 1877.

<sup>2</sup> Pogg. Ann., Bd. 153, S. 115, 1874.

<sup>3</sup> Wied. Ann., Bd. VII, 1879.

stetig wachsen. Wir können daher nur von einem Mittelwerth der magnetisirenden Kräfte sprechen. Nun wächst insbesondere bei weichen Eisendrähten die Susceptibilität zum Theile viel rascher wie die magnetisirende Kraft; der beobachtete Werth der Susceptibilität entspricht daher, mit Ausnahme der magnetisch sehr harten Drähte, nicht ganz dem Mittelwerthe der magnetisirenden Kraft. Doch ist es immerhin möglich, aus dem Verlaufe der Magnetisirungscurven selbst beim weichen Eisen Schlüsse über den Unterschied in der axialen und circularen Richtung zu ziehen.

Mit der Frage bezüglich der Magnetisirbarkeit des Eisens nach verschiedenen Richtungen hat sich Herwig<sup>1</sup> ebenfalls schon beschäftigt. Er untersuchte Eisenröhren (Gasleitungsröhren aus weichem Walzeisen gezogen) sowohl in axialer, als auch circularer Richtung. Die Magnetisirung in axialer Richtung erfolgte durch einen in der Axe der Röhre gelegten vom Strom durchflossenen Draht, die Stärke der Magnetisirung wurde durch den in der Richtung der Axe inducirten Strom gemessen. Die Resultate dieser Versuche werden weiter unten besprochen.

Mit Rücksicht auf die genaue Berechnung der Werthe der Susceptibilität und der magnetisirenden Kräfte bietet die Röhrenform grosse Vortheile; die Verhältnisse liegen da nahezu wie bei einem gleichmässig bewickelten Ringe, und die Röhre stellt uns eigentlich einen Ring mit rechteckigem Querschnitt vor. Vom praktischen Standpunkte aber empfiehlt es sich, solche Untersuchungen an Drähten zu machen, und an solchen wurden die hier beschriebenen Messungen auch gemacht. Nach Erwägung mehrerer Umstände wurden folgende Drähte für die Untersuchung gewählt.

1. Ein gut ausgeglühter, weicher Eisendraht, 0·21 *cm* dick. Der Draht wurde in einer Eisenhandlung, schon ausgeglüht gekauft und wird nachfolgend als »Eisen weich« bezeichnet.

2. Ein 0·20 *cm* dicker Frischeisendraht, bezogen von der Drahtzieherei der Alpinen Montangesellschaft in Graz. Das

---

<sup>1</sup> Pogg. Ann., Bd. 156, S. 430, 1875.

Friseisen ist das reinste Eisen,<sup>1</sup> welches fabrikmässig hergestellt wird. Dieser Draht wurde durch Zug gehärtet, und zwar wurde er ohne Ausglühen durch zwei Zuglöcher von 0·25 auf 0·20 *cm* gezogen. Diese Sorte wird unter »Eisen hart« angeführt.

3. Ein Bessemerstahldraht Nr. 4, 0·20 *cm* dick, ohne Ausglühen gezogen in drei Zügen von 0·28 *cm*, geliefert ebenfalls von der genannten Drahtzieherei. Dieser Draht wird kurzweg »Bessemerstahl« genannt.

Für die Wahl der Dicke war zum Theile der Umstand massgebend, dass zu dünne Drähte beim Durchgange der constanten Ströme zu stark erwärmt worden wären, anderseits war die Anwendung dickerer Drähte für die Untersuchung der axialen Magnetisirung wegen des Axenverhältnisses nicht günstig.

### Die Versuchsanordnung.

Für die Beobachtung der circularen Magnetisirung, respective der Extrastrome stehen zwei Methoden zur Verfügung, die mit dem Differentialgalvanometer und die mit der Wheatstone'schen Brücke. Die erste, bei welcher die Galvanometerrollen mit ihren verhältnissmässig hohen Selbstinductionscoëfficienten direct in den primären Stromkreis eingeschaltet werden, eignet sich weniger gut zu solchen Beobachtungen wie die zweite, welche ich gewählt habe. Die Brückenverzweigung war, wie folgt, hergestellt. Der zu untersuchende Eisendraht, ungefähr 1 *m* lang und in der Mitte stimmgabelförmig gebogen, bildete den einen Zweig *AC* (Fig. 1). Für die übrigen Zweige habe ich einen Messingdraht von entsprechender Dicke gewählt, dessen Widerstand pro Längeneinheit nahe mit jenem des Eisendrahtes übereinstimmte. Der Zweig *BC*, gleich lang wie *AC*, war also aus Messingdraht und so gebogen wie der Eisendraht. *AC* und *BC* waren an die beiden Seiten eines Brettes ganz symmetrisch befestigt und standen vertical in einem hohen, mit Wasser gefüllten Glasgefässe. An die beiden

---

<sup>1</sup> Auch die erste Drahtsorte war ein ziemlich reines Eisen, was ein Vergleich mit einem gut ausgeglühten Draht aus Friseisen zeigte.

Punkte *A* und *B* wurde ein etwas über 2 *m* langer Draht (von derselben Dicke wie in *BC*) angelöthet und in der aus der Figur ersichtlichen Weise am Beobachtungstische horizontal festgelegt. Zwischen *A* und *B* kam das Galvanometer, mit langsam schwingender Magnetnadel (8 Sec.); ein ziemlich empfindliches Instrument von Hartmann und Braun, dessen Rollen parallel geschaltet waren.

Der Batteriezweig, enthaltend das Element *E* und einen Widerstandskasten *W*, war mit einem Ende an *C* angeschlossen; das andere wurde in bekannter Weise am Messingdrahte hin- und hergeschoben und der Punkt *D* aufgesucht, bei welchem das Galvanometer keinen Strom anzeigte; an diesem Punkte wurde es sodann angelöthet.

Da die Compensation nur bei einer bestimmten Temperatur vorhanden war, so musste für alle Fälle noch ein grösserer Nebenschlusswiderstand *w* zwischen *A* und *D*, respective *B* und *D* angebracht werden, um die Nadel in allen Fällen auf 0 zu bringen. Zur Messung der Stromstärke im Batteriezweige diente ein Gal-

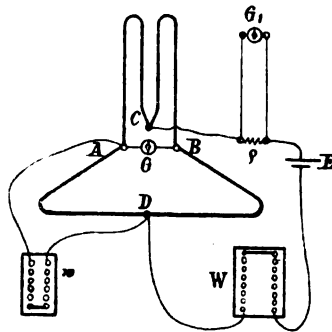


Fig. 1.

vanometer, dessen Enden an den kleinen Widerstand  $\rho$  (0.05 Ohm) gelegt waren. Die Angaben dieses Galvanometers wurden empirisch geacht. Die Zweige *AC* und *BC* befanden sich wie gesagt in Wasser und waren dadurch vor raschen Temperaturschwankungen geschützt. Für den Theil *ADB* war eine grössere Vorsicht nicht nothwendig, denn eine kleine gleichmässige Erwärmung des ganzen Theiles hatte durchaus keine Störung zur Folge; nur einseitige Temperaturänderungen, wie sie etwa durch Bestrahlung oder Luftströmungen bedingt sind, mussten vermieden werden. Um solche hintanzuhalten, habe ich diesen Theil mit Papier und Tüchern gut zugedeckt.

In den Batteriezweig war auch ein Commutator eingeschaltet, und es wurde immer so eingestellt, dass sich beim Commutiren keine Stellungsänderung der Nadel zeigte.

Die elektrodynamische Induction der einzelnen Brückenzweige auf sich selbst ist hier sehr klein und hebt sich in der Wirkung auf die Galvanometernadel nahezu auf (ein eventueller kleiner Überschuss in der einen Richtung wurde in Rechnung gezogen); nur der Eisendraht *AC* liefert infolge der circularen Magnetisirung einen starken Extrastrom, und wir bekommen beim Commutiren, insbesondere bei intensiveren Strömen, sehr kräftige Ausschläge der Galvanometernadel. Die Widerstände in den Brückenzweigen sind gegenüber dem Galvanometerwiderstande ziemlich klein, und mit Rücksicht darauf wäre es besser gewesen, längere Eisendrähte zu nehmen; doch wären dann wieder Schwierigkeiten wegen der Constanthaltung der Temperatur entstanden; aus gleichen Gründen habe ich es vermieden, dem Eisendrahte gegenüber wieder einen Eisendraht als Brückenzweig anzubringen, wodurch der Ausschlag verdoppelt worden wäre.

Zur Bestimmung der axialen Magnetisirung wurde der gerade, ebenfalls ungefähr 1 *m* lange Draht<sup>1</sup> in eine 121·5 *cm* lange Magnetisirungsspule (äusserer Durchmesser 3·5 *cm*) gebracht und nach der ballistischen Methode untersucht. Die Spule hatte zwei Lagen und 11·34 Windungen pro Längeneinheit. Die secundäre Rolle war auf ein Glasrohr gewickelt und hatte 150 Windungen. Sie befand sich in der Mitte der Magnetisirungsspule und ober der Mitte des zu untersuchenden Drahtes. Ein in die Leitung des Primärstromes geschalteter Widerstandskasten gestattete die Anwendung verschiedener Stromstärken. Als Galvanometer diente dasselbe Instrument wie bei der Untersuchung der circularen Magnetisirung, nur waren die Rollen diesmal hinter einander geschaltet.

Wegen des sogenannten Kriechens eignet sich die ballistische Methode weniger gut zur Bestimmung von Magnetisirungscurven weicher Eisendrähte wie die magnetometrische.<sup>2</sup> Für die Beantwortung der ersten Frage wäre das in Betracht

<sup>1</sup> Ging die axiale der circularen Magnetisirung voraus, so wurde der wirksame Theil des Drahtes durch das Anlöthen an die Punkte *A* und *C* ein wenig verkürzt.

<sup>2</sup> Ewing, J. A., Magnetische Induction in Eisen und verwandten Metallen, S. 120 der deutschen Ausgabe.

zu ziehen, für die zweite ist es kaum von Belang, weil die Schwingungsdauer der Galvanometernadel dieselbe ist sowohl bei der Beobachtung der axialen, als auch der circularen Magnetisirung und daher der gemachte Fehler in beiden Fällen gleich gross ausfällt.<sup>1</sup>

## Die Beobachtungsergebnisse.

### 1. Circular.

Das magnetische Verhalten eines Drahtes ist durch die Curve, welche man bei einem vollen Magnetisirungscyclus erhält, vollständig charakterisirt. Die Beobachtungen werden in solchen Fällen bekanntlich so gemacht, dass man die magnetisierende Kraft in kleinen Sprüngen wachsen, respective abnehmen lässt, und zwar im positiven und negativen Sinne. Bei jedem Sprung wird der Zuwachs der Magnetisirungsintensität nach der ballistischen oder magnetometrischen Methode bestimmt. Diese Beobachtungsmethode ist nun allerdings auch bei der circularen Magnetisirung nicht ausgeschlossen; allein sie würde bedeutende Vorkehrungen erfordern, um die Widerstände in den Brückenweigen während der Dauer eines ganzen Cyclus constant zu erhalten. Bei der hier gewählten Anordnung musste man von der cyclischen Beobachtung absehen, und ich habe daher immer den Ausschlag beim Commutiren beobachtet. Vor jeder Messung musste die Compensation der Zweigwiderstände durch Veränderungen am Nebenschlusswiderstand hergestellt werden. Die Beobachtungen waren ausserordentlich mühsam, da eine kleine Störung in der Temperaturvertheilung der Drähte gleich eine Änderung der Ruhelage der Nadel zur Folge hatte. Auch die Thermoströme bildeten ein Hinderniss, welches sich manchmal recht bemerkbar machte. Bei grösseren

---

<sup>1</sup> Bezüglich der axialen Magnetisirung des weichen Eisendrahtes in schwachen Feldern habe ich Versuche mit einem Thomson-Carpentier-Galvanometer bei zwei verschiedenen Schwingungsdauern (3 und 12 Sec.) gemacht, und es hat sich herausgestellt, dass die Magnetisirung bei »Eisen weich« in einer Zeit ablaufen muss, welche auch gegen 3 Secunden kurz ist. Die der Magnetisirung entsprechenden Ausschläge wurden mit denen, welche eine bestimmte Condensatorentladung ergab, verglichen.



Stromstärken wurden in den Zweigdrähten schon ziemlich beträchtliche Wärmemengen degagirt, und man musste jedesmal nach Einsetzen des stärkeren Stromes einige Zeit warten, bis sich ein stationärer Zustand einstellte. Die stärksten Ströme, welche bei der circularen Magnetisirung in Anwendung kamen, hatten ungefähr 6.5 Amp. im Batteriezweig. Es schien mir nicht angezeigt, noch kräftigere anzuwenden.

Aus dem beim Commutiren erhaltenen halben Ausschlag des Galvanometers  $\frac{\alpha}{2}$  wurde zunächst der Integralwerth der im Eisen inducirten elektromotorischen Kraft nach der Formel

$$\int e dt = A \frac{RT}{\pi} \frac{\alpha}{2} e^{\frac{\lambda}{\pi} \arctg \frac{\pi}{\lambda}} \quad 1)$$

berechnet. Dabei ist

$$A = \frac{(w_3 + w_4)(w_1 + w_2) + (w_1 + w_2 + w_3 + w_4)\rho}{w_3 + w_4}.$$

Der Widerstand des Eisens ist hiebei mit  $w_1$ , der des benachbarten im Wasser befindlichen Messingdrahtes mit  $w_2$  bezeichnet.  $R$ ,  $T$ ,  $\lambda$ ,  $\rho$  bedeuten bekanntlich den Reductions-factor, die Schwingungsdauer, das log. Decrement und den Widerstand des Galvanometers. Der Reductions-factor wurde mit Hilfe eines Clark'schen Elementes und eines bekannten Widerstandes bestimmt. Das Auftreten oder Verschwinden der circularen Magnetisirung wirkt so wie eine Selbstinduction in dem betreffenden Zweige. Bezeichne ich mit  $S$  den Coëfficienten dieser Selbstinduction, so bestimmt sich dessen Werth aus der Gleichung

$$Si_1 = \int e dt, \quad 2)$$

wo

$$i_1 = \frac{w_2 + w_3}{w_1 + w_2 + w_3 + w_4} \cdot i.$$

$i$  bedeutet die Stromstärke im Batterie-,  $i_1$  die im Eisen-drahtzweige.

Der weitaus grösste Theil des beim Commutiren erhaltenen Ausschlages entspricht der Induction durch die circulare Magnetisirung. Wären alle Batteriezweige gleich lang und

gleich dick, so würden sich die elektrodynamischen Inductionen gegenseitig aufheben. In unserem Falle traf dies nicht ganz zu, und es musste mit Rücksicht auf die nicht ganz gleiche Länge der Brückenweige und auf die Stromstärkeverhältnisse in denselben an  $S$  eine kleine Correctur (insbesondere bei Bessemerstahl und Frischeisen) angebracht werden, deren Berechnung die theoretische Formel für den Selbstinductionscoefficienten  $s$  eines geradlinig gespannten Drahtes

$$s = 2l \left( \log \frac{2l}{rc} - \frac{1}{4} \right)$$

zu Grunde gelegt wurde.  $l$  ist dabei die Länge,  $r$  der Radius des Drahtes;  $c = e^{3/2}$ , wo  $e$  die Basis der natürlichen Logarithmen. Die so corrigirten Werthe von  $S$  sind in den Tabellen unter  $\bar{S}$  eingetragen. Aus diesem Werthe lässt sich nun die Susceptibilität  $\kappa$  berechnen, und zwar mit Hilfe einer Formel, welche von Kirchhoff<sup>1</sup> entwickelt wurde. Kirchhoff zeigte, dass durch die circulare Magnetisirung der Selbstinductionscoefficient des Drahtes um  $2\pi\kappa l$  vergrößert wird. Wir setzen also

$$\bar{S} = 2\pi\kappa l. \quad 3)$$

Berechnet man auf diese Weise  $\kappa$ , so findet man, dass es insbesondere für weiches Eisen mit der Stromstärke (innerhalb der Versuchsgrenzen) bedeutend ansteigt. Bei den Messungen über die Magnetisirung in axialer Richtung gibt man zu jedem Werthe der magnetisirenden Kraft oder Feldstärke den entsprechenden Werth von  $\kappa$  an. Um die circulare mit der axialen Magnetisirung zu vergleichen, müsste man auch hier das gleiche thun; allein hier bietet sich insofern eine Schwierigkeit dar, als die circular wirkende magnetisirende Kraft bei einem vom Strom durchflossenen Drahte nur in gleichen Abständen von der Axe constant ist; sie steigt von der Axe, wo sie den Werth 0 hat bis zur Peripherie, und ist hier ein Maximum, und zwar gleich  $\frac{2i}{r}$ , wo  $r$  den Radius des Drahtes und  $i$  die

---

<sup>1</sup> Pogg. Ann., Ergbd. V, S. 1. Später hat auch Lorenz (Wied. Ann., Bd. VII) diese Formel abgeleitet und zur Berechnung von  $\kappa$  benützt.

Stromstärke bedeutet. Bezeichnen wir mit  $H$  die magnetisirende Kraft an irgend einer Stelle des Drahtquerschnittes, mit  $a$  die Entfernung dieser Stelle von der Axe und mit  $u$  die Stromdichtigkeit, so ist

$$H = 2\pi a u. \quad 4)$$

Rechnet man nun aus der Formel 3) die Suszeptibilität, so entspricht diese einer magnetisirenden Kraft, welche sicher zwischen 0 und  $\frac{2i}{r}$  liegt; allein den genauen Werth von  $H$ , welcher zum berechneten  $\kappa$  gehört, kann man kaum angeben. Für hartes Eisen und für Stahl, bei welchen  $\kappa$  nur langsam ansteigt, wird der zum berechneten Werthe von  $\kappa$  gehörige Werth der magnetisirenden Kraft nahezu durch den Mittelwerth von  $H$  gegeben sein. Dieser Mittelwerth ergibt sich, wenn man alle  $H$  über den ganzen kreisförmigen Drahtquerschnitt summirt und durch den Querschnitt dividirt. In den Curven sind die Werthe von  $\kappa$  überall auf den Mittelwerth von  $H$  bezogen.

In den nachfolgenden Tabellen bedeutet:

$i$  die Stromstärke im Batteriezweige } in abs. E.,  
 $i_1$  » » » Eisendraht }

$\alpha$  den Galvanometerausschlag beim Commutiren,

$\beta$  den Galvanometerausschlag beim Öffnen des Primärstromes,

$H_{\max}$  und  $H_{\text{mit}}$  den maximalen und den mittleren Werth der circularen magnetisirenden Kraft. Es ist  $H_{\text{mit}} = 0.666 H_{\max}$ .

$\int edt$  den Integralwerth der elektromotorischen Kraft, entsprechend dem Galvanometerausschlag  $\frac{\alpha}{2}$ ,

$S$  und  $\bar{S}$  den nicht corrigirten und corrigirten Werth des Selbstinductionscoëfficienten,

$\frac{\alpha}{2} - \beta$  entspricht dem remanenten Theil des circularen

Magnetismus,

$\frac{\alpha - 2\beta}{\alpha}$  das Verhältniss des remanenten zum temporären

Magnetismus.

Jeder der unter  $\alpha$  eingetragenen Werthe ist das Mittel aus vier Beobachtungen; dasselbe gilt von  $\beta$ ; in die Tabellen wurde jedoch nur der Mittelwerth eingetragen. Unter jeder Tabelle sind die Widerstände der Brückenzeige und die Galvanometerconstanten angegeben. Den Beobachtungen bei niederen Stromstärken (insbesondere für Bessemerstahl) darf kein grosses Gewicht beigelegt werden, da die Ausschläge sehr klein waren. Ich glaubte jedoch, diese Werthe nicht unberücksichtigt lassen zu müssen, da sie sich den weiteren Messungen ziemlich gut anschliessen.

Tabelle I und II beziehen sich auf »Eisen weich«. Von dieser Sorte wurden zwei Proben untersucht, welche derselben Drahtrolle entstammten. Die erste Probe wurde zuerst circular, dann axial untersucht. Bei der zweiten Probe war die Reihenfolge axial, circular und wieder axial.

Tabelle III und IV geben die Resultate für »Eisen hart«. Es waren ebenfalls zwei Proben und die Reihenfolge hinsichtlich der axialen und circularen Magnetisirung dieselbe wie oben.

Tabelle V gilt für den Bessemerstahldraht. Nur eine Probe. Die circularre Magnetisirung ging der axialen voraus.

Zu den Beobachtungen ist noch Folgendes zu bemerken. Die Messungen wurden mit der niedersten Stromstärke angefangen und bis zur höchsten fortgesetzt; bei dieser wurde der Draht hierauf mehrmals (hundertmal und darüber) ummagnetisirt, dann durch Stromschwächung und Wechsel entmagnetisirt und schliesslich die zweite und dritte Beobachtungsreihe gemacht. Die Mittelwerthe  $\frac{\alpha}{2}$  sind in allen diesen Fällen den zwei letzten Reihen entnommen. Nur bei den Messungen in Tabelle I wurde die Probe gleich zu Beginn bei der höchsten Stromstärke mehrmals ummagnetisirt.



0.230	120.0	63.6	30.4	2.40	1.60	3873	30710	30450	46.8	33.2	0.52
	126.5										
	135.0										
	191.0										
	191.5										
0.265	190.0	95.4	38.6	2.77	1.85	5810	40000	39740	61.2	56.8	0.59
	517.4										
	533.2										
0.436	535.8	264.5	69.2	4.56	3.04	16110	67300	67040	103.5	195.3	0.70
	890										
	866										
0.659	862	436.5	98.5	6.90	4.60	26580	73370	73110	112.9	338.0	0.77

$w_1 = 0.0387$ ;  $w_2 = 0.0464$ ;  $w_3 = 0.0533$ ;  $w_4 = 0.0455 \times 10^9$   
 $R = 0.409 \times 10^7$ ;  $\rho = 0.187 \times 10^9$ ;  $\tau = 8.21 \text{ Sec.}$ ;  $\lambda = 0.277$ .

Tabelle II.

Eisen, weich — 2. Probe, Länge = 104 cm.

$i$	$i_1$	$\alpha$	$\frac{\alpha}{2}$	$\beta$	$H_{\max}$	$H_{\text{mit}}$	$\int_{eat}$	$S$	$\kappa$	$\frac{\alpha}{2} - \beta$	$\frac{\alpha - 2\beta}{\alpha}$
0.024	0.012	5.1	2.7	2.5	0.23	0.16	134	10890	16.3	0.2	0.08
		5.3									
		5.3									
		9.4									
0.041	0.021	11.5	5.6	4.3	0.40	0.27	283	13480	20.2	1.3	0.24
		10.8									
		24.3									
		26.4									
0.084	0.043	25.3	12.9	10.2	0.81	0.54	655	15340	23.0	2.7	0.21
		54.8									
		66.3									
		66.0									
0.155	0.079		33.1	21.3	1.50	1.00	1678	21290	31.9	11.8	0.36

0.229	0 116	126.8 146.0 145.5	72.9	37.0	2.22	1.48	3696	31760	47.5	35.9	0.49
0.264	0.134	180.5 202.5 198.2	100.1	44.0	2.56	1.71	5072	37770	56.5	56.1	0.56
0.428	0.218	598.0 607.5 630.3	309.4	86.3	4.15	2.76	15690	72090	107.9	223.1	0.72
0.633	0.322	1029 1006 1004	502.5	123.9	6.14	4.09	25480	79060	118.3	378.6	0.75

$$w_1 = 0.0388; w_2 = 0.0402; w_3 = 0.0653; w_4 = 0.0640 \times 10^9$$

$$R = 0.409 \times 10^{-7}; \rho = 187 \times 10^9; \tau = 8.21 \text{ Sec.}; \lambda = 0.277.$$



Tabelle III.

Eisen, hart — 1. Probe — Länge = 104 cm.

$i$	$i_1$	$\alpha$	$\frac{\alpha}{2}$	$\beta$	$H_{\max}$	$H_{\text{mit}}$	$\int cat$	$S$	$\bar{S}$	$\kappa$	$\frac{\alpha}{2} - \beta$	$\frac{\alpha - 2\beta}{\alpha}$
0.022	0.012	2.2 2.6 2.5	1.2	0.9	0.24	0.16	73	6140	5860	9.0	0.3	0.25
0.040	0.022	4.1 5.4 5.6	2.5	1.6	0.44	0.29	152	6920	6641	10.2	0.9	0.36
0.081	0.045	10.8 15.0 11.5	6.2	4.1	0.90	0.60	375	8340	8060	12.3	2.1	0.34
0.151	0.084	25.4 31.8 27.7	14.1	8.9	1.67	1.11	852	10200	9920	15.2	5.2	0.37

0.225	52.0	0.124	57.0	27.4	15.9	2.48	1.65	1655	13340	13060	20.0	11.5	0.42
	55.2		62.0										
	73.5		72.2	34.6	19.3	2.86	1.91	2090	14020	14340	22.0	15.3	0.44
0.260	237.0	0.143	260.0										
	251.0		251.0	124.7	49.2	4.72	3.15	7530	31910	31630	48.4	75.5	0.61
0.427	585.6	0.236	582.9										
	545.3		545.3	285.5	76.2	7.08	4.72	17240	48710	48430	74.2	209.0	0.73
0.641		0.354											

$$w_1 = 0.0385; w_2 = 0.0476; w_3 = 0.0525; w_4 = 0.0425 \times 10^9$$

$$R = 0.423 \times 10^{-7}; \rho = 0.187 \times 10^9; \tau = 7.87 \text{ Sec.}; \lambda = 0.267.$$

Tabelle IV.

Eisen, hart. — 2. Probe. Länge = 106 cm.

$i$	$i_1$	$\alpha$	$\frac{\alpha}{2}$	$\beta$	$H_{\max}$	$H_{\text{mit}}$	$\int_{\text{cat}}$	$S$	$\bar{S}$	$\kappa$	$\frac{\alpha}{2} - \beta$	$\frac{\alpha - 2\beta}{\alpha}$
0·024	0·013	2·4										
		2·8										
		2·7	1·4	1·0	0·26	0·17	70	5470	5330	8·0	0·4	0·26
0·041	0·022	4·3										
		5·5										
		5·2	2·7	1·9	0·44	0·29	138	6270	6140	9·2	0·8	0·29
0·084	0·044	13·1										
		14·5										
		14·7	7·3	5·0	0·90	0·60	376	8470	8340	12·5	2·3	0·32
0·155	0·082	26·2										
		30·8										
		31·6	15·6	10·5	1·65	1·10	803	9820	9690	14·4	5·1	0·33

0.229	52.4	28.1	17.7	2.44	1.63	1447	11970	11840	17.8	10.4	0.37
	56.5										
	56.1										
	60.4										
	70.0										
0.264	69.4	34.8	21.2	2.82	1.88	1792	12860	12730	19.1	13.6	0.39
	184.7										
	209.5										
0.427	210.0	104.9	48.0	4.56	3.04	5402	23940	23810	35.8	58.9	0.54
	538.6										
	519.6										
0.632	517.2	259.2	83.8	6.74	4.49	13350	40000	39870	59.9	175.4	0.67

$n_1 = 0.0384$ ;  $n_2 = 0.0430$ ;  $n_3 = 0.0675$ ;  $n_4 = 0.0603 \times 10^9$   
 $R = 0.432 \times 10^{-7}$ ;  $\rho = 0.171 \times 10^9$ ;  $\tau = 8.01$  Sec.;  $\lambda = 0.276$ .

Tabelle V.

Bessemerstahl. — Länge = 99·3 cm.

$i$	$i_1$	$\alpha$	$\frac{\alpha}{2}$	$\beta$	$H_{\max}$	$H_{\text{mit}}$	$\int cat$	$S$	$\bar{S}$	$\kappa$	$\frac{\alpha}{2} - \beta$	$\frac{\alpha - 2\beta}{\alpha}$
0·021	0·011	1·2 1·4 1·4	0·7	0·6	0·23	0·15	50	4420	4320	6·9	0·1	0·14
0·039	0·021	2·8 2·7 3·1	1·4	1·3	0·42	0·28	100	4820	4720	7·6	0·1	0·07
0·078	0·042	5·3 5·9 6·0	2·9	2·5	0·85	0·57	207	4920	4820	7·7	0·4	0·14
0·142	0·077	11·2 11·2 11·2	5·6	4·4	1·55	1·03	400	5220	5120	8·2	1·2	0·21

0.205	16.9	8.6	7.3	2.23	1.49	614	5560	5460	8.7	1.3	0.15
	17.6										
	19.2										
	18.8										
0.236	20.2	9.7	7.5	2.57	1.71	693	5445	5345	8.6	2.2	0.23
	31.5										
	36.3										
0.372	34.5	17.0	14.2	4.05	2.70	1214	6070	5970	9.6	2.8	0.16
	52.0										
	50.5										
0.541	52.0	25.7	22.4	5.89	3.93	1835	6293	6193	9.9	3.3	0.12

$w_1 = 0.0761$ ;  $w_2 = 0.088$ ;  $w_3 = 0.1016$ ;  $w_4 = 0.0870 \times 10^9$   
 $R = 0.428 \times 10^{-7}$ ;  $p = 0.184 \times 10^9$ ;  $\tau = 8.00 \text{ Sec.}$ ;  $\lambda = 0.267$ .

## 2. Axial.

Die Bedeutung der Buchstaben ist in diesen Tabellen dieselbe wie vorher,  $H$  bedeutet jetzt die Feldstärke überhaupt,  $J$  die Intensität der Magnetisirung. Der Reductionsfactor des Galvanometers, bestimmt wie vorher, war in diesem Falle  $= 0.1072 \times 10^{-7}$  abs. E.,  $T = 7.89$  Sec. Der Widerstand des Galvanometers, der Zuleitung und der Secundärrolle  $= 3.24 \times 10^9$ ;  $\lambda = 0.272$  (brig.). Bei niederen Feldstärken, insbesondere für die Beobachtungen an Bessemerstahl habe ich statt des Hartmann-Galvanometers ein solches von Thomson-Carpentier benützt, welches ungefähr zehnmal grössere Ausschläge lieferte wie das erste. Die Beobachtungen wurden dann für die Verhältnisse des Hartmann-Galvanometers umgerechnet und in die Tabellen eingetragen.

Den Tabellen ist ein »vor circ.« oder »nach circ.« beigefügt. Dies bedeutet, dass die in der Tabelle angeführten Messungen vor oder nach der Untersuchung der circularen Magnetisirung gemacht wurden.

In den meisten Fällen sind zwei Reihen beobachtet worden: eine vor und die andere nach mehrmaliger Ummagnetisirung bei der höchsten Stromstärke; für den Vergleich wurden immer nur die letzteren benützt.

Für die Untersuchung der circularen Magnetisirung musste der Draht, wie erwähnt, stimmgabelförmig abgebogen werden. Der Bug kam gerade in die Mitte des Drahtes zu liegen. Zur Messung in der axialen Richtung ist der Draht wieder gerade gerichtet worden und die Secundärspule lag eben über der deformirten Stelle. Solche Deformationen ändern aber bei weichen Drähten die Susceptibilität ganz erheblich. Thatsächlich wurde diese in den, nach der circularen Magnetisirung ausgeführten Beobachtungen durchwegs kleiner gefunden wie vorher. Der Grund kann in der vorausgegangenen circularen Magnetisirung oder auch in den Deformationen, wahrscheinlich aber in beiden liegen.

Mit »Eisen weich« (zweite Probe) habe ich noch folgenden Versuch gemacht. Der Draht wurde in zwei, je 53 cm lange Hälften geschnitten und diese in der axialen Richtung untersucht.

**Tabelle VI.**

Eisen weich. — 1. Probe, Länge = 101·5 cm (nach circ.).

$i$	$\alpha$	$\frac{\alpha}{2}$	$\beta$	$J$	$H$	$x$	$\frac{\alpha}{2} - \beta$	$\frac{\alpha - 2\beta}{\alpha}$
0 00085	2·2	1·1	1·0	1·9	0 12	15·8	0·1	0·09
0·0022	6·5	3·2	2·9	5·6	0·31	17·9	0·3	0·11
0·0041	14·8	7·4	5·9	12·8	0·58	21·9	1·5	0·20
0·0067	30·1	15·0	11·0	25·9	0·95	27·1	4·0	0·27
0·0108	69·9	34·9	21·3	60·3	1·54	39·2	13·6	0·39
0·0128	105·7	52·8	28·0	91·2	1·82	50·0	24·0	0·45
0·0203	418 7	209 3	47·5	381·7	2·89	132	161·8	0·77
0·0311	761·9	380·9	63·3	658·2	4·43	149	317·6	0·83

**Tabelle VII.**

Eisen, weich. — 2. Probe, Länge = 109 cm (vor circ.).

$i$	$\alpha$	$\frac{\alpha}{2}$	$\beta$	$J$	$H$	$x$	$\frac{\alpha}{2} - \beta$	$\frac{\alpha - 2\beta}{\alpha}$
0·00083	2·8	1·4	1 3	2 7	0·12	22·7	0·1	0·07
	3·1	1·5	1·4				0·1	0·07
0·0022	8·2	4·1	3·7	8·1	0·31	26·0	0·4	0·10
	9·4	4·7	4·1				0·6	0·13
0·0044	18·7	9·4	8·1	19·9	0·63	31·6	1·3	0·14
	23·0	11·5	9·4				2·1	0 18
0·0067	34·6	17·3	13·8	37·0	0·95	38·9	3·5	0 20
	42·8	21·4	15·8				5·6	0·26
0·0108	86·5	43·2	27·0	93·1	1·54	60·6	16·2	0·37
	107·8	53·9	29·7				24·2	0·45
0·0130	149·3	74·7	36·1	156·6	1·85	84·8	38·6	0·52
	181·2	90·6	39·3				51·3	0·57
0·0204	577·2	288·6	63·8	504·2	2·91	173	225	0·78
	583·6	291·6	63·2				229	0·78
0·0312	930·6	465·3	82·4	787·1	4·45	177	383	0·82
	910·8	455·5	81·7				374	0·82



Tabelle VIII.

Eisen, weich. — 2. Probe, Länge = 106·5 *cm* (nach circ.).

$i$	$\alpha$	$\frac{\alpha}{2}$	$\beta$	$J$	$H$	$\kappa$	$\frac{\alpha}{2} - \beta$	$\frac{\alpha - 2\beta}{\alpha}$
0·00084	2·2	1·1	1·1	2·0	0·12	17·1	0·0	0·03
	2·4	1·2	1·1				0·1	0·03
0·0022	6·6	3·3	3·0	6·6	0·31	21·2	0·3	0·09
	7·5	3·8	3·3				0·5	0·13
0·0044	15·7	7·9	6·6	16·6	0·62	26·8	1·3	0·17
	19·1	9·6	7·6				2·0	0·21
0·0067	28·6	14·3	11·2	30·1	0·95	31·6	3·1	0·22
	34·8	17·4	12·6				4·8	0·28
0·0108	67·2	33·6	21·6	71·0	1·53	46·3	12·0	0·36
	82·2	41·1	24·5				16·6	0·40
0·0129	103·6	51·8	29·0	111·8	1·83	61·0	22·8	0·44
	129·4	64·7	31·6				33·1	0·51
0·0202	463·3	231·6	51·8	412·1	2·88	143	179·8	0·78
	477·1	238·5	51·3				187·2	0·78
0·0308	807·7	403·8	67·4	681·0	4·39	155	336·4	0·83
	788·2	394·1	67·8				326·3	0·83

Tabelle IX.

Eisen, hart. — 1. Probe, Länge = 101·5 *cm* (nach circ.).

$i$	$\alpha$	$\frac{\alpha}{2}$	$\beta$	$J$	$H$	$\kappa$	$\frac{\alpha}{2} - \beta$	$\frac{\alpha - 2\beta}{\alpha}$
0·00085	1·1			1·0	0·12	8·7		
0·0022	2·9	1·5	1·3	2·8	0·31	9·0	0·2	0·12
0·0041	6·9	3·5	2·8	6·6	0·58	11·3	0·7	0·20
0·0067	14·2	7·1	5·5	13·7	0·94	14·5	1·6	0·23
0·0108	30·8	15·4	10·6	29·8	1·55	19·3	4·8	0·31
0·0128	42·4	21·2	13·3	41·0	1·84	22·3	7·9	0·37
0·0203	118·7	59·3	25·2	114·7	2·90	39·6	34·1	0·57
0·0311	293·2	146·6	47·8	283·7	4·43	64·0	96·8	0·66

**Tabelle X.**

Eisen, hart. — 2. Probe, Länge = 110 cm (vor circ.).

$i$	$\alpha$	$\frac{\alpha}{2}$	$\beta$	$J$	$H$	$\kappa$	$\frac{\alpha}{2} - \beta$	$\frac{\alpha - 2\beta}{\alpha}$
0·00087	0·90	0·45	0·43	0·9	0·12	7·4	0·02	0·04
	0·94	0·47	0·47				0·00	0·00
0·0022	2·7	1·3	1·2	2·7	0·31	8·8	0·09	0·07
	2·8	1·4	1·3				0·1	0·07
0·0044	6·0	3·0	2·7	6·4	0·62	10·3	0·3	0·10
	6·6	3·3	2·8				0·5	0·15
0·0067	10·8	5·4	4·4	11·2	0·96	11·7	1·0	0·19
	11·6	5·8	4·6				1·2	0·21
0·0108	21·8	10·9	8·2	22·5	1·54	14·6	2·7	0·25
	23·2	11·6	8·6				3·0	0·26
0·0129	28·7	14·4	10·7	30·1	1·83	16·4	3·7	0·26
	31·1	15·6	10·5				5·1	0·33
0·0204	69·4	34·7	20·7	71·9	2·91	24·7	14·0	0·40
	74·3	37·2	22·4				14·8	0·40
0·0312	197·4	98·7	37·2	180·0	4·44	40·5	61·5	0·62
	186·1	93·1	36·8				56·3	0·60

**Tabelle XI.**

Eisen, hart. — 2. Probe, Länge = 104·8 cm (nach circ.).

$i$	$\alpha$	$\frac{\alpha}{2}$	$\beta$	$J$	$H$	$\kappa$	$\frac{\alpha}{2} - \beta$	$\frac{\alpha - 2\beta}{\alpha}$
0·00081	0·93	0·46	0·44	0·9	0·12	7·8	0·02	0·04
	0·93	0·46	0·46				0·00	0·00
0·0022	2·7	1·35	1·25	2·6	0·31	8·6	0·09	0·07
	2·7	1·36	1·27				0·09	0·07
0·0043	6·2	3·1	2·8	6·1	0·61	10·0	0·3	0·10
	6·3	3·1	2·8				0·3	0·10
0·0066	11·2	5·6	4·5	11·0	0·94	11·8	1·1	0·20
	11·4	5·7	4·6				1·1	0·19
0·0107	22·6	11·3	8·8	22·2	1·52	14·6	2·5	0·22
	22·9	11·5	8·7				2·8	0·24
0·0128	30·0	15·0	11·0	29·8	1·82	16·4	4·0	0·27
	30·8	15·4	11·2				4·2	0·27
0·0201	71·7	35·8	22·2	72·6	2·87	25·3	13·6	0·37
	75·0	37·5	22·4				15·1	0·40
0·0307	217·5	108·7	39·8	196·2	4·37	44·9	68·9	0·63
	202·9	101·4	39·3				62·1	0·61

Tabelle XII.

Bessemerstahl. — Länge = 97 cm (nach circ.).

$i$	$\alpha$	$\frac{\alpha}{2}$	$\beta$	$J$	$H$	$\kappa$	$\frac{\alpha}{2} - \beta$	$\frac{\alpha - 2\beta}{\alpha}$
0·00085	0·78	0·39		0·75	0·12	6·2		
0·0022	1·9	0·95	0·95	1·84	0·31	5·9	0	0·00
0·0041	3·6	1·8	1·8	3·5	0·58	6·0	0	0·00
0·0067	6·1	3·05	2·9	5·9	0·94	6·2	0·15	0·05
0·0108	10·0	5·0	4·8	9·6	1·55	6·2	0·2	0·04
0·0128	12·0	6·0	5·7	11·6	1·84	6·3	0·3	0·05
0·0203	19·8	9·9	9·4	19·1	2·90	6·6	0·5	0·05
0·0311	32·7	16·4	14·7	31·6	4·43	7·1	1·7	0·10

Tabelle XIII.

Eisen, weich. — 2. Probe. — Die Hälften, je 53 cm lang.

$i$	$\alpha$	$\frac{\alpha}{2}$	$\beta$	$J$	$H$	$\kappa$	$\frac{\alpha}{2} - \beta$	$\frac{\alpha - 2\beta}{2}$
0·00079	2·9	1·45	1·4	2·5		22·5	0·05	0·04
	2·4	1·20	1·1	2·1	0·11	18·6	0·1	0·08
0·0021	8·7	4·35	3·9	7·6		25·5	0·45	0·10
	7·3	3·65	3·3	6·4	0·30	21·3	0·35	0·10
0·0042	21·0	10·5	8·6	18·1		30·7	1·9	0·18
	17·6	8·8	7·4	15·2	0·59	25·7	1·4	0·16
0·0065	39·1	19·6	14·4	33·9		37·3	5·2	0·27
	32·4	16·2	12·2	28·0	0·91	30·7	4·0	0·24
0·0105	92·6	46·3	27·2	80·0		55·2	19·1	0·41
	73·8	36·9	23·0	63·8	1·45	43·8	13·9	0·38
0·0125	140·1	70·0	35·3	120·8		70·2	34·7	0·50
	107·7	54·3	30·0	93·8	1·72	54·1	24·3	0·44
0·0197	461·0	230·5	53·9	398·3		153·8	176·6	0·77
	375·0	187·5	52·6	324·0	2·61	123·2	135·6	0·72
0·0301	808·0	404·0	85·5	698·1		178·3	318·5	0·79
	697·5	348·7	74·2	602·6	3·95	152·0	274·5	0·79

Die Resultate sind in Tabelle XIII verzeichnet. Die Werthe von  $H$  sind mit Rücksicht auf die entmagnetisirende Wirkung der Enden corrigirt.<sup>1</sup> Vergleicht man die Werthe von Tabelle XIII mit jenen von Tabelle VIII, so findet man, dass eine Hälfte bedeutend grössere, die andere eine etwas kleinere Werthe der Susceptibilität ergibt als die Mitte. Der Draht war also wahrscheinlich schon von allem Anfang an magnetisch nicht ganz homogen. Für den Vergleich mit der circularen Magnetisirung habe ich die mit dem ungetheilten Drahte erhaltenen Zahlen benützt.

### Discussion der Resultate.

Wir wollen zunächst den Extrastrom oder den Integralwerth der elektromotorischen Kraft  $\int edt$ , welche durch die circularre Magnetisirung inducirt wird, in Betracht ziehen. In Tabelle XIV sind die Werthe von  $\int edt$  und die entsprechenden Stromstärken für die einzelnen Drahtsorten zusammengefasst und in der Curventafel Fig. 2 graphisch dargestellt. Die Werthe von  $\int edt$  steigen insgesamt mit der Stromstärke, am stärksten beim weichen, dann weniger stark beim harten Eisen, sehr mässig und nahezu in einer geraden Linie beim Bessemerstahl. Der Verlauf von  $\int edt$  ist zu vergleichen mit der Magnetisirungsintensität bei der axialen Magnetisirung; bei dieser Versuchsanordnung muss  $\int edt$  bei zunehmender Stromstärke einem constanten Werthe zustreben. Die zwei Curven des weichen Eisens verlaufen ganz ähnlich, nur sind sie quantitativ ein wenig verschieden, was zum Theile in der nicht ganz gleichen materiellen Beschaffenheit, zum Theile aber auch in der etwas verschiedenen Länge der beiden Probestücke seinen Grund hat. Dasselbe gilt für die beiden Curven des harten Eisens.

Aus den Werthen von  $\int edt$ , respective den Selbstinductionscoëfficienten sind die Werthe der Susceptibilität berechnet worden.

Der Verlauf ist ähnlich wie bei der axialen Magnetisirung, das Maximum der Susceptibilität scheint auch beim weichen

---

<sup>1</sup> Nach H. du Bois, Magnetische Kreise, deren Theorie und Anwendung, S. 45.

Tabelle XIV.

Eisen, weich 1. Probe		Eisen, weich 2. Probe		Eisen, hart 1. Probe		Eisen, hart 2. Probe		Bessemer- stahl	
$i_1$	$\int edt$	$i_1$	$\int edt$	$i_1$	$\int edt$	$i_1$	$\int edt$	$i_1$	$\int edt$
0·012	116	0·012	134	0·012	73	0·013	70	0·011	50
0·023	250	0·021	283	0·022	152	0·022	138	0·021	100
0·046	615	0·043	655	0·045	375	0·044	376	0·042	207
0·085	1608	0·079	1678	0·084	852	0·082	803	0·077	400
0·126	3873	0·116	3696	0·124	1655	0·121	1447	0·111	614
0·145	5810	0·134	5072	0·143	2090	0·139	1792	0·127	693
0·239	16110	0·218	15690	0·236	7532	0·226	5402	0·201	1214
0·362	26580	0·322	25480	0·354	17240	0·334	13350	0·292	1835

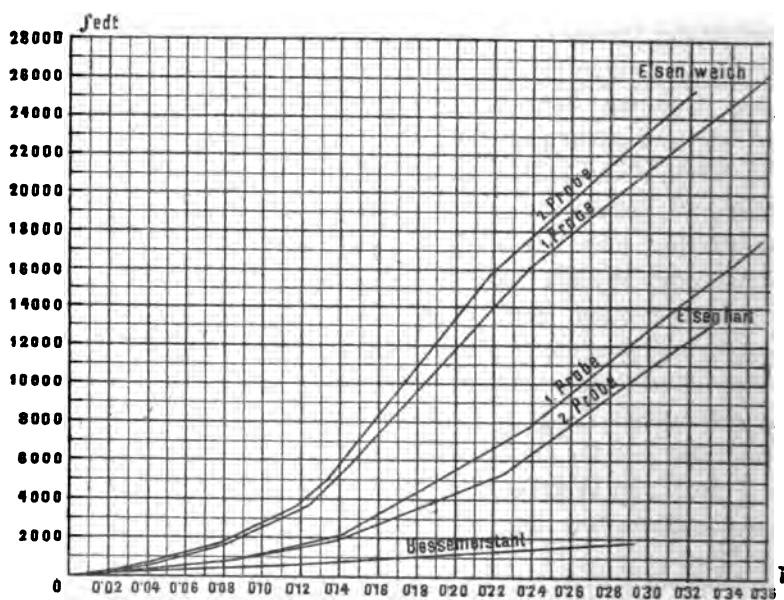


Fig. 2.

Eisen noch nicht erreicht zu sein; kräftigere Ströme, bei denen das Maximum erreicht und überschritten worden wäre, konnten

eben nicht angewendet werden. In den Curvenfiguren 3 und 4 sind die Werthe von  $\alpha$  und die dazu gehörigen Feldstärken

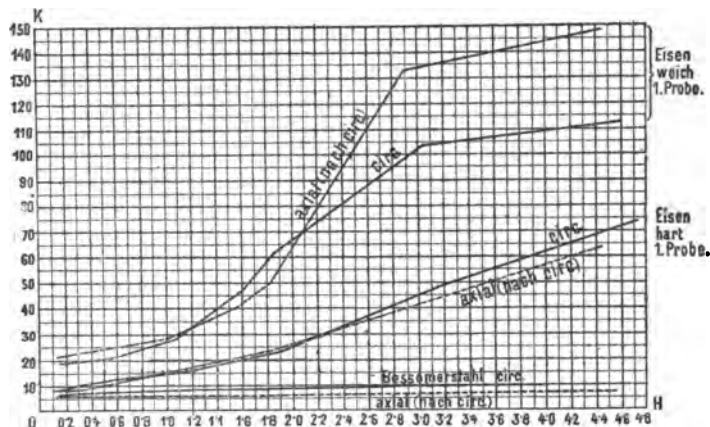


Fig. 3.

sowohl für die circulare, als auch axiale Magnetisirung eingetragen.

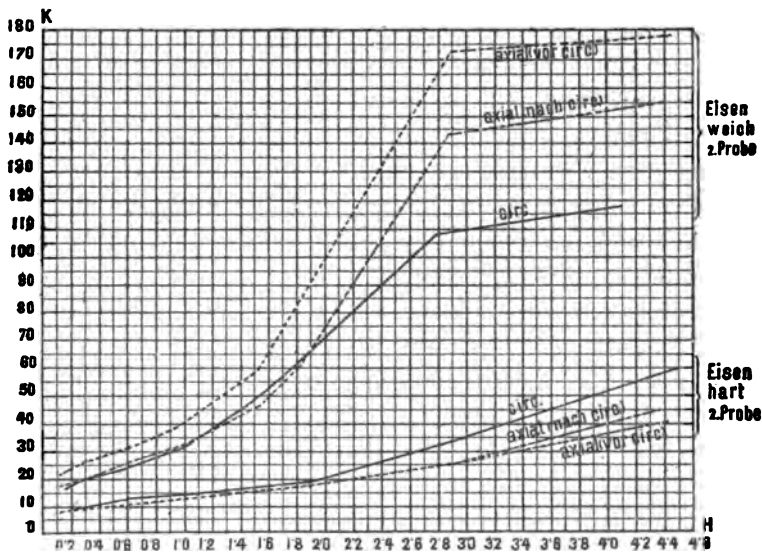


Fig. 4.

Nun kommen wir zur zweiten Frage, deren Lösung wir uns gestellt haben, und diese lautet: Wie ist das

Verhältniss der Permeabilität in axialer und circularer Richtung?

H. Herwig (l. c.) hat für Gasleitungsröhren gefunden, dass die Curve der circularen Magnetisirungsfunktionen von ungefähr demselben Anfangspunkt mit der Curve der axialen Functionen beginnend, später bedeutend steiler ansteigt. Herwig konnte bei den Versuchen über die circular Magnetisirung die zusammengehörigen Werthe der Feldstärke und der Susceptibilität ziemlich genau angeben; weniger gut war dies bei der axialen Magnetisirung möglich; wegen der Röhrenform und des kleinen Axenverhältnisses war die wirkliche Feldstärke kaum sicher zu ermitteln. Bei den vorliegenden Versuchen ist es umgekehrt. Wie schon oben erwähnt, ist die circular wirksame magnetisirende Kraft in einem vom Strom durchflossenen Drahte in der Axe  $= 0$  und in der Peripherie ein Maximum; dem entsprechend wird auch die Susceptibilität an verschiedenen Stellen des Querschnittes verschieden sein, und der aus dem Extrastrom gerechnete setzt sich aus einer Summe von ungleichen Werthen zusammen. Für Drähte mit geringer, langsam ansteigender Susceptibilität wird das aus dem Extrastrom gerechnete ziemlich richtig dem Mittelwerth der magnetisirenden Kraft entsprechen. Für weiches Eisen, bei dem die Susceptibilität anfangs langsam, dann aber rasch ansteigt, bekommen wir jedoch auf diese Weise einen Werth von  $\alpha$ , welcher für den Mittelwerth der magnetisirenden Kraft zu gross ist. Bei der Beantwortung der zweiten Frage muss man sich daher diese Erwägungen vor Augen halten.

Betrachten wir zunächst die auf das weiche Eisen bezüglichen Daten und Curven (Fig. 4 und 5). In den Curven sind die Werthe von  $\alpha$  und die zugehörigen  $H$  (für die circular Magnetisirung die Mittelwerthe) eingetragen. Sieht man zunächst von der einen auf die axiale Magnetisirung bezüglichen Curve der Probe 2 ab, welche vor der circularen erhalten wurde, so zeigen beide Proben einen fast gleichen Verlauf. Die Axialcurve liegt bei kleinen Werthen der Feldstärken über der circularen, dann schneidet sie diese und erhebt sich schliesslich bei höheren magnetisirenden Kräften wieder ganz beträchlich über dieselbe. Die Axialcurve in Fig. 5, welche mit dem ganz frischen

weichen Eisendraht, vor den Messungen über die circularare Magnetisirung erhalten wurde, liegt jedoch ganz beträchtlich über der Circularcurve. Berücksichtigt man, dass die Werthe von  $\alpha$  für die circularare Magnetisirung gegenüber dem Mittelwerth von  $H$  sicher zu hoch sind, so folgt daraus, dass für weiches Eisen die Susceptibilität rings um die Axe durchwegs kleiner ist als in der Richtung der Axe.

Beim harten Eisen hat die Probe 1 für beide Magnetisirungsarten etwas grössere Werthe von  $\alpha$  geliefert als Probe 2. Letztere war magnetisch härter als erstere, obwohl beide derselben Drahtrolle entnommen wurden. Auch das Verhältniss der beiden Curven ist bei diesen zwei Proben etwas verschieden. Bei der härteren Probe 2 liegt die Axialcurve durchwegs unter der circularen. Bei Probe 1 verlaufen sie anfänglich zusammen, dann erst nehmen sie den Verlauf so wie bei Probe 2, ohne sich jedoch so weit von einander zu entfernen wie bei dieser. Die Versuche von Herwig mit gezogenen Gasleitungsröhren gehören in diese Rubrik und stimmen, wie man sieht, qualitativ mit den hier gemachten Beobachtungen überein. Ein Vergleich der für weiches und hartes Eisen erhaltenen Resultate lehrt also, dass durch den Zug die Susceptibilität sowohl in axialer, als auch circularer Richtung heruntergesetzt wird, jedoch stärker in der axialen als in der circularen, so dass für Eisen, welches durch Zug gehärtet wird, die Susceptibilität in der axialen Richtung kleiner werden kann als in der circularen.

Beim Bessemerstahl liegt die Axialcurve ganz unter der circularen; hier ist die Susceptibilität rings um die Axe entschieden grösser als in der Richtung derselben.

Bei allen Versuchen wurden auch Messungen über den remanenten Magnetismus vorgenommen. Ich habe einige der Resultate in den Figuren 5 und 6 graphisch dargestellt. Es bezieht sich, wie vorher, die ausgezogene Curve auf die circularare, die gestrichelte aber auf die axiale Magnetisirung. Hiebei muss noch erwähnt werden, dass die Daten, welche sich auf den remanenten Magnetismus in schwachen Feldern (insbesondere bei circularer Magnetisirung) beziehen, ziemlich unsicher sind und daher den entsprechenden Curven in diesem Gebiete nur ein qualitativer Werth beizulegen ist. Die Curven geben einer-



seits den remanenten Magnetismus in Procenten des temporären, anderseits die Feldstärke. Beim weichen Eisen durchschlingen sich die beiden Curven, schliesslich bleibt die Axialcurve etwas ober der circularen. Der remanente Magnetismus beginnt bei beiden Arten der Magnetisirung mit niederen

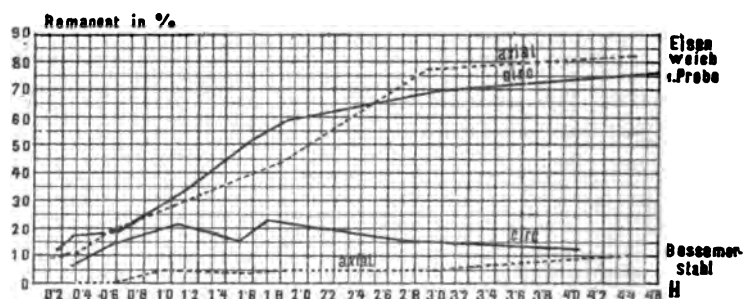


Fig. 5.

Werthen und erreicht bei den höchsten hier angewendeten Feldern circa 70% des temporären.

Für hartes Eisen und Bessemerstahl sind die Werthe des remanenten Magnetismus für die circular Magnetisirung durchwegs grösser als für die axiale. Der unregelmässige Verlauf der Circularcurve für Bessemerstahl ist jedenfalls Beobachtungs-

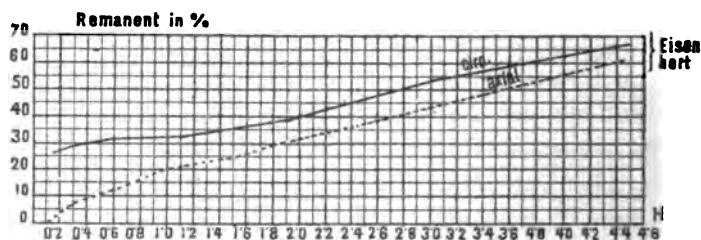


Fig. 6.

fehlern zuzuschreiben. Auffallend ist der Umstand, dass die Circularcurven bei diesen zwei Drähten schon ziemlich hohe Werthe anzeigen, wo die Axialcurven noch den Werth Null angeben. Auch Herwig hat bei den Eisenröhren gefunden, dass der remanente Magnetismus bei der circularen Magnetisirung durchwegs grösser ist als bei der circularen; bei seinen

Versuchen war jedoch dieses Ergebniss, wegen der beträchtlichen entmagnetisirenden Wirkung der Röhrenenden, vorauszusehen.

Schliesslich lässt sich den Beobachtungen noch Einiges über den Einfluss mehrmaliger Ummagnetisirung bei stärkeren Feldern auf die Susceptibilität in schwachen Feldern entnehmen.

Ein hundertmaliger Magnetisirungswechsel bei der höchsten hier angewendeten Feldstärke hatte beim weichen und harten Eisen in allen Fällen eine grössere Susceptibilität in niederen Feldern zur Folge. Bei der Maximalfeldstärke selbst, wurde die Susceptibilität durch diesen Wechsel jedoch herungesetzt. Mit 100 Wechseln war schon ein constanter Zustand erreicht, weitere 100 Ummagnetisirungen übten keine Veränderung mehr aus. Beim Bessemerstahl konnte jedoch ein solcher Einfluss in keinem Falle constatirt werden.

Die Frage, ob ein Einfluss der axialen auf die circular Magnetisirung und umgekehrt vorhanden ist, lässt sich aus diesen Beobachtungen schwer beantworten, weil die Messungen bei circularer und axialer Magnetisirung nicht hinter einander gemacht werden konnten, ohne den Draht zu deformiren. Der Unterschied in den Axialcurven für weiches Eisen, welche vor und nach der circularen Magnetisirung erhalten wurden (Fig. 4), kann sowohl der circularen Magnetisirung, als auch den Deformationen zugeschrieben werden.

Die Resultate dieser Untersuchung lassen sich, wie folgt, zusammenfassen:

Schickt man durch Eisendrähte einen Strom, so entstehen beim Schliessen und Öffnen des Stromes infolge der circularen Magnetisirung kräftige Extraströme, aus welchen man mit Hilfe einer von Kirchhoff entwickelten Formel die Susceptibilität der betreffenden Drahtsorte berechnen kann. Es wurden nun an demselben Drahte Bestimmungen der Susceptibilität in circularer und axialer Richtung vorgenommen. Die Beobachtungen ergaben bei den untersuchten Drahtsorten in qualitativer Beziehung einen gleichen Verlauf der Susceptibilität in beiden Richtungen; in quantitativer Hinsicht ist jedoch ein bemerkenswerther Unterschied zu constatiren.

Beim weichen, ausgeglühten Eisen ist die Susceptibilität rings um die Axe kleiner als in der Richtung derselben. Wird

der Eisendraht durch Zug gehärtet, so vermindert sich die Suszeptibilität in der Längsrichtung rascher als in der circularen und das für das weiche Eisen beobachtete Verhältniss kann sich sogar umkehren.

Beim Bessemerstahl ist die circulare Suszeptibilität entschieden grösser als die axiale.

Der remanente Magnetismus verläuft beim weichen Eisen ziemlich gleich in beiden Richtungen. Beim harten Eisen und Bessemerstahl ist er grösser bei der circularen Magnetisierung als bei der axialen und der Unterschied ist insbesondere in schwachen Feldern sehr gross.

Ein mehrmaliges Ummagnetisieren bei grösseren Feldstärken erhöht die Suszeptibilität in niedereren Feldern.

---

# Untersuchungen über den elektrischen Lichtbogen

von

**J. Sahulka.**

(Mit 3 Textfiguren.)

Aus dem elektrotechnischen Institute der k. k. technischen Hochschule in Wien.

(Vorgelegt in der Sitzung am 12. Juli 1894.)

Erzeugt man einen Lichtbogen zwischen gleichartigen Elektroden durch Anwendung von Gleichstrom, so beobachtet man bekanntlich zwischen der positiven Elektrode und dem Lichtbogen einen grossen, zwischen dem Lichtbogen und der negativen Elektrode einen kleinen Spannungsunterschied. Diese Erscheinung lässt sich am einfachsten unter der Annahme von elektromotorischen Gegenkräften erklären. Erzeugt man den Lichtbogen mit Wechselstrom, so beobachtet man mit einem zur Messung alternirender Spannungsdifferenzen dienenden Voltmeter zwischen jeder Elektrode und dem Lichtbogen einen gleich grossen Spannungsunterschied.

Im Folgenden sind in dem ersten Abschnitte einige Versuchsergebnisse mitgetheilt, welche an einem mit Wechselstrom zwischen Eisen und Kohle erzeugten Lichtbogen erhalten wurden. Der Lichtbogen verhält sich wie die Quelle einer gleichgerichteten elektromotorischen Kraft, doch konnte ich einige Erscheinungen weder unter der Annahme von elektromotorischen Gegenkräften, noch unter der Annahme von Übergangswiderständen erklären. Vielleicht sind diese Erscheinungen dadurch bedingt, dass der Lichtbogen eine disruptive Entladung ist, wie schon G. Wiedemann<sup>1</sup> annahm und E. Lecher<sup>2</sup> an

<sup>1</sup> G. Wiedemann, Elektrizität 1885, Bd. 4, S. 835 und 855.

<sup>2</sup> E. Lecher, Neue Versuche über den galvanischen Lichtbogen. Diese Sitzungsber., 1887, II, S. 1007.

dem mit Gleichstrom zwischen Eisenelektroden erzeugten Lichtbogen experimentell bewies. Der zweite Abschnitt handelt über den mit Wechselstrom zwischen zwei Kohlenelektroden erzeugten Lichtbogen. In diesem Falle besteht zwischen jeder Elektrode und dem Lichtbogen eine gleichgerichtete Spannungsdifferenz. Im dritten Abschnitte sind einige Versuchsergebnisse mitgeteilt, welche an einem Gleichstromlichtbogen zwischen Kohlenelektroden erhalten wurden; aus diesen Versuchen ging nur hervor, dass die Aureole des Lichtbogens einen sehr grossen Widerstand hat.

Bei meinen Versuchen wurde ich von meinen Kollegen H. Eisler und Dr. M. Reithoffer, sowie von Herrn Oberingenieur Böhm-Raffay in sehr werkhätiger Weise unterstützt, wofür ich denselben an dieser Stelle bestens danke.

#### **Wechselstromlichtbogen zwischen Eisen und Kohle.**

Der zu den Versuchen verwendete Wechselstrom wurde aus dem Kabelnetze der Internationalen Elektrizitäts-Gesellschaft in Wien entnommen und mit Hilfe eines Transformators auf 100 Volt Spannungsdifferenz im secundären Kreise transformiert. Die Periodenzahl des verwendeten Wechselstromes ist 2500 pro Minute. Die eine Elektrode des Lichtbogens bestand aus einem 4 *mm* dicken Stäbchen aus weichem Eisen, die andere aus einer 10 *mm* dicken Dochkohle. Eine homogene Kohle erwies sich für die Versuche als ungeeignet, weil sich dann der Lichtbogen nur sehr schwer bilden liess und nur kurze Zeit andauerte. Die leichte Zerstäubbarkeit der Kohle schien eine nothwendige Bedingung zu sein, dass der Lichtbogen dauernd erhalten bleibe. Die Elektroden wurden in vertikaler Stellung verwendet, das Eisenstäbchen als obere Elektrode; an demselben bildet sich während der Dauer der Versuche ein Tropfen von flüssigem Eisen. Von demselben gehen Dämpfe in der Form eines blauen Kegels aus, welcher die Spitze an der Oberfläche des Eisentropfens hat. Der Kegel ist von rothen Dämpfen umgeben. Das Eisenstäbchen und die Kohle überziehen sich nach kurzer Zeit mit Rost, welcher jedoch nicht haftet. Legt man an die Elektroden ein Galvanometer an, so wird die Magnetnadel abgelenkt; eine in den

Stromkreis eingeschaltete Tangentenboussole zeigt ebenfalls an, dass im Stromkreise ein Gleichstrom oder gleichgerichteter Strom fließt, welcher eine Componente des gesamten Stromes bildet. Der Wechselstromlichtbogen zwischen Eisen und Kohle verhält sich daher wie die Quelle einer gleichgerichteten elektromotorischen Kraft, und zwar bildet die Kohle den positiven, das Eisen den negativen Pol, indem im Lichtbogen der Gleichstrom vom Eisen zur Kohle fließt. Verbindet man das Galvanometer mit den Secundärklemmen des Transformators, so bekommt man einen

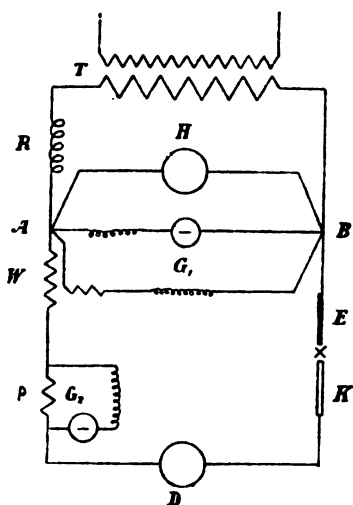


Fig. 1.

sehr kleinen Ausschlag, der nur dem Spannungsverluste des Gleichstromes in der Secundärwicklung entspricht. Für die in der Secundärwicklung des Transformators *T* (Fig. 1) erzeugte periodisch veränderliche elektromotorische Kraft bildet der Lichtbogen und der demselben vorgeschaltete Regulirwiderstand *R* den äusseren Kreis, während für die im Lichtbogen erzeugte elektromotorische Kraft von constantem Vorzeichen der Widerstand *R* und die Secundärwicklung des Transformators den äusseren Kreis bilden.

Das Schema der Versuchsanordnung ist aus der Figur ersichtlich: *EK* ist der Lichtbogen; *D* ist ein Torsions-Elektrodynamometer von Siemens & Halske zur Messung der

gesamten Stromstärke  $J$ ;  $\rho$  ist ein in den Stromkreis eingeschalteter inductionsloser Widerstand, an dessen Enden ein Torsionsgalvanometer  $G_2$  von Siemens & Halske von  $1\Omega$  Widerstand nebst einem Vorschaltwiderstande von  $9\Omega$  angeschlossen war;  $W$  ist die dickdrahtige Spule eines Wattmeters von Ganz & Co., dessen dünn Drahtige Spule nebst einem vorgeschalteten, inductionslosen Widerstande von  $1000\Omega$  zwischen die Punkte  $AB$  geschaltet war; mit  $H$  ist ein Hitzdraht-Voltmeter von Hartmann & Braun bezeichnet, mit welchem die gesamte zwischen den Punkten  $AB$  herrschende Spannungsdifferenz  $\Delta$  gemessen wurde;  $G_1$  ist ein Torsionsgalvanometer von Siemens & Halske von  $1\Omega$  Widerstand, welchem ein inductionsloser Widerstand von  $999\Omega$  vorgeschaltet war. Die Spulen eines jeden der Galvanometer  $G_1$ ,  $G_2$  haben nur circa 150 Windungen von kleiner Windungsfläche; bei diesen Instrumenten entspricht einer Drehung der Spiralfeder um  $1^\circ$  eine Stromstärke von  $0.001 A$ . Mit dem Galvanometer  $G_1$  wird die zwischen den Punkten  $AB$  herrschende gleichgerichtete Spannungsdifferenz  $\Delta_1$  gemessen, welche eine Componente der gesamten Spannungsdifferenz  $\Delta$  bildet. Aus den Angaben des Galvanometers  $G_2$  findet man die Stärke  $J_1$  des im Stromkreise fließenden gleichgerichteten Stromes, welcher eine Componente des Gesamtstromes  $J$  bildet.

Der Reductionsfactor des Elektrodynamometers war bei den in der folgenden Tabelle mit Nummer 1 bis 4 bezeichneten Versuchen  $0.78$ , bei den mit Nummer 5 bis 7 bezeichneten Versuchen  $2.56$ ; der Reductionsfactor des Wattmeters war  $0.00344$ .

Zwischen den Punkten  $AB$  besteht ausser  $\Delta_1$  noch eine periodisch veränderliche Spannungsdifferenz  $\delta_2 \sin \omega t$ ; die resultirende Spannungsdifferenz ist

$$\delta = \Delta_1 + \delta_2 \sin \omega t.$$

Die Angaben des Voltmeters  $H$  hängen von dem mittleren Quadrate der Grösse  $\delta$  ab:

$$\Delta^2 = \frac{1}{T} \int_0^T (\Delta_1 + \delta_2 \sin \omega t)^2 dt = \Delta_1^2 + \frac{\delta_2^2}{2}.$$

Setzt man

$$\Delta_2^2 = \frac{\delta_2^2}{2},$$

so erhält man

$$\Delta = \sqrt{\Delta_1^2 + \Delta_2^2}. \quad 1)$$

Die Grösse  $\Delta_2^2$  ist das mittlere Quadrat der periodisch veränderlichen Spannungsdifferenz; die Formel bleibt auch richtig, wenn die periodisch veränderliche Componente nicht nach dem einfachen Sinusgesetze variirt.

Der Strom setzt sich in analoger Weise aus  $J_1$  und einer periodisch veränderlichen Componente zusammen:

$$i = -J_1 + i_2 \sin(\omega t - \varphi).$$

Dem Werthe  $J_1$  musste das Vorzeichen — gegeben werden, denn wenn die Componenten  $\Delta_1$  und  $\delta_2 \sin \omega t$  gleiches Vorzeichen haben und sich addiren, so erzeugen sie entgegengesetzt gerichtete Ströme, weil die eine Componente der elektromotorischen Kraft im Transformator, die andere im Lichtbogen erzeugt wird. Die Phasendifferenz zwischen der periodisch veränderlichen Stromcomponente und der Spannungsdifferenz  $\delta_2 \sin \omega t$  ist mit  $\varphi$  bezeichnet. Die Angaben des Elektrodynamometers  $D$  hängen vom mittleren Quadrate des resultirenden Stromes ab:

$$J^2 = \frac{1}{T} \int_0^T [-J_1 + i_2 \sin(\omega t - \varphi)]^2 dt = J_1^2 + \frac{i_2^2}{2}.$$

Setzt man

$$J_2^2 = \frac{i_2^2}{2},$$

so erhält man

$$J = \sqrt{J_1^2 + J_2^2} \quad 2)$$

$J_2^2$  ist das mittlere Quadrat der periodisch veränderlichen Stromcomponente.

Die Angaben des Wattmeters hängen von dem Werthe ab:

$$W = \frac{1}{T} \int_0^T \delta i dt = J_2 \Delta_2 \cos \varphi - J_1 \Delta_1. \quad 3)$$



Die Grösse

$$W_2 = J_2 \Delta_2 \cos \varphi$$

stellt die Arbeit dar, welche dem Wechselstrom entspricht und zwischen den Punkten  $AB$  auf der Seite des Lichtbogens verbraucht wird, d. i. die Wechselstromarbeit im Lichtbogen.

Die Grösse

$$W_1 = J_1 \Delta_1$$

stellt die Arbeit vor, welche dem Gleichstrom  $J_1$  entspricht und zwischen den Punkten  $AB$  auf Seite des Transformators verbraucht wird. Das Wattmeter gibt die Differenz dieser Grössen an:

$$W = W_2 - W_1. \quad 3)$$

Da nun die Arbeit  $W_1$  auf Kosten der Arbeit  $W_2$  entsteht, stellt diese Differenz den Arbeitsverlust im Lichtbogen dar.

In der folgenden Tabelle sind die Resultate einer Versuchsreihe mitgetheilt, welche dadurch erhalten wurde, dass der Vorschaltwiderstand  $R$  und somit auch die Stromstärke geändert wurde. Die einzelnen Grössen sind in den Einheiten Ampère, Volt, Ohm, Watt ausgedrückt. Die Grössen  $J_2$ ,  $\Delta_2$ ,  $W_2$  sind entsprechend den Formeln 1), 2), 3) durch Rechnung gefunden. Jeder einzelne Werth ist ein Mittelwerth von 3 bis 5 Ablesungen. Die einzelnen Ablesungen haben gewöhnlich nur in den Zehnteln differirt. Bemerkenswerth ist, dass der Werth des  $\Delta$  während der ganzen Versuchsreihe nur zwischen den Grenzen  $74\cdot5$  und  $75\cdot5$  schwankte. Nur dann, wenn man die Elektroden sehr weit von einander entfernte, so dass der Lichtbogen abbriss, dann stieg  $\Delta$  bis 80 Volt, während  $\Delta_1$  bis 23 Volt sank. Bei sehr kurzer Lichtbogenlänge war  $\Delta_1$  etwas grösser als der in der Tabelle stehende Werth. Die Kohle war während der Versuche in einer Holzzwinge befestigt, welche ohne Anwendung einer Mikrometerschraube mit der Hand in die entsprechende Distanz gezogen wurde.

Nr.	$\Delta_1$	$\Delta$	$\Delta_2$	$J$	$J_1$	$J_2$	$W$	$W_1$	$W_2$	$\cos \varphi$	$r$	$E$
1	28.8	75.0	69.3	5.64	2.76	4.92	91.5	79.5	171.0	0.501	2.89	36.8
2	28.9	75.0	69.2	6.38	3.12	5.56	117.7	90.2	207.9	0.540	2.89	37.9
3	28.6	75.3	69.7	9.08	4.64	7.80	168.2	132.7	300.9	0.554	2.04	38.1
4	28.3	75.5	70.0	9.50	4.93	8.12	183.7	139.5	323.2	0.569	2.04	38.4
5	28.7	75.2	69.5	10.78	5.45	9.30	190.2	156.4	346.6	0.536	1.64	37.6
6	27.5	75.8	70.6	11.65	5.71	10.15	222.9	157.1	380.0	0.530	1.64	36.9
7	29.9	74.5	68.2	13.67	6.94	11.78	214.3	207.5	421.8	0.525	1.15	37.9

Der im Stromkreise fließende Gleichstrom variierte, wie aus der Tabelle ersichtlich ist, zwischen 2.76 und 6.94 A.; über diesen Werth konnte man nicht hinausgehen, weil sonst eine zu grosse Menge des Eisenstäbchens schmolz und abtropfte. Die beobachtete gleichgerichtete Spannungsdifferenz  $\Delta_1$  variierte innerhalb der Grenzen 27.5 bis 29.9 Volt. In der Tabelle ist noch der Werth für den Cosinus der Phasenverschiebung angegeben; derselbe ist berechnet entsprechend der Formel

$$\cos \varphi = \frac{W_2}{J_2 \Delta_2}.$$

Ausserdem ist der effective Widerstand  $r$  des Lichtbogens in der Weise gerechnet, dass der Arbeitsverlust  $W$  im Lichtbogen durch das Quadrat der gesammten Stromstärke  $J$  dividirt wurde. In dem Werthe  $r$  ist aber auch der Widerstand  $\rho = 0.1 \Omega$ , sowie der Widerstand des Elektrodynamometers  $D$ , der dicken Spule des Wattmeters  $W$  und der Zuleitungen enthalten; die letzteren Widerstände betragen zusammen auch circa  $0.1 \Omega$ , so dass der effective Widerstand des Lichtbogens um circa  $0.2 \Omega$  kleiner ist als der in der Tabelle stehende Werth. Endlich ist noch die Grösse  $E$  gerechnet entsprechend der Formel

$$E = \Delta_1 + rJ_1.$$

Die Grösse  $E$  könnte man als die im Lichtbogen erzeugte gleichgerichtete elektromotorische Kraft ansehen; wie aus der Tabelle ersichtlich ist, weichen die einzelnen Werthe nicht viel von dem Mittelwerthe  $37.7$  Volt ab.

Das Auftreten des gleichgerichteten Stromes  $J_1$  und der gleichgerichteten Spannungsdifferenz  $\Delta_1$  könnte auch durch die Annahme von Widerstandsänderungen im Lichtbogen erklärt werden. Es wird nämlich während der einen halben Periode des Wechselstromes hauptsächlich das Eisen, während der nächsten halben Periode hauptsächlich die Kohle zerstäubt.

Dies kann zur Folge haben, dass der Widerstand des Lichtbogens in den aufeinanderfolgenden halben Perioden ungleich gross ist. In den halben Perioden, in welchen der Widerstand verkleinert wird, tritt ein Anwachsen der Stromstärke ein, so dass der gesammte Strom eine gleichgerichtete Stromcomponente enthalten muss. Erzeugt man den Lichtbogen zwischen Eisen und Kohle mit Gleichstrom, und wählt man einmal die Kohle, das anderemal das Eisen als Anode, so sieht man an dem mit einer Linse erzeugten Bilde des Lichtbogens, dass hauptsächlich die Kathode zerstäubt wird; ist das Eisen die Anode, so bläht sich der flüssige Eisentropfen häufig auf und platzt, welche Erscheinung wahrscheinlich durch die von den Kohlentheilchen mitgerissene Luft bedingt ist. Wird der Lichtbogen zwischen Eisen und Kohle mit Wechselstrom erzeugt, so müsste der Widerstand des Lichtbogens abnehmen, wenn die

Kohle die Kathode ist, damit der entstehende gleichgerichtete Strom die beobachtete Richtung hat.

An dem mit Wechselstrom erzeugten Lichtbogen wurden auch die Spannungsdifferenzen zwischen den Elektroden und dem Lichtbogen mit Hilfe eines aperiodischen Spiegelgalvanometers von Siemens & Halske gemessen, welchem ein Widerstand von  $10^7 \Omega$  vorgeschaltet war; die Spulen des Galvanometers hatten circa 31000 Windungen. Das in den Lichtbogen eingeführte Stäbchen bestand aus Kohle und war 3 mm dick. Bei diesen Versuchen wurde der Lichtbogen als positiv elektrisch im Vergleiche zu beiden Elektroden gefunden. Bei einem Versuche (Fig. 2) waren die Spannungsdifferenzen in Volt ausgedrückt:  $LE = 32.8$ ,  $LK = 4.6$ ,  $KE = 28.3$ . Bei einem anderen Versuche mit sehr kurzem Lichtbogen war

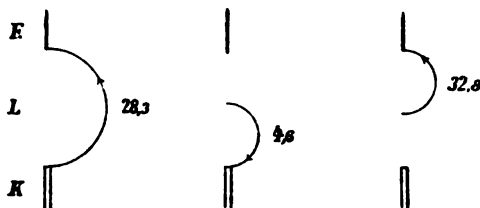


Fig. 2.

$LE = 34.5$ ,  $LK = 3.9$ ,  $KE = 30.6$ . Wenn der Lichtbogen nicht sehr kurz war, hatte die Spannungsdifferenz  $KE$  immer die in der früheren Tabelle angegebenen Werthe. Die Ablesungen wurden nur gemacht, wenn das in den Lichtbogen eingeführte Stäbchen selbst weissglühend war. Wenn sich während der Dauer des Versuches die Lichtbogenlänge beträchtlich änderte, so war die Beziehung

$$KE = LE - LK$$

nicht ganz genau erfüllt.

Es mögen nun die Erscheinungen mitgetheilt werden, welche an dem mit Wechselstrom erzeugten Lichtbogen beobachtet wurden und weder durch die Annahme von elektromotorischen Kräften, noch durch die Annahme von Übergangswiderständen oder Widerstandsänderungen im Lichtbogen erklärt werden konnten.

1. Beobachtet man die Spannungsdifferenzen mit Hilfe der früher angeführten Torsionsgalvanometer von  $1\ \Omega$  Widerstand, welchen ein Widerstand von  $999\ \Omega$  vorgeschaltet ist, so findet man ganz andere Spannungsdifferenzen als in dem Falle, wenn der Galvanometerkreis einen Widerstand von  $10^7\ \Omega$  hatte. Die bei einer Versuchsreihe erhaltenen Resultate sind in der Fig. 3 dargestellt.

Zu den Versuchen wurden drei Torsionsgalvanometer mit Vorschaltwiderständen verwendet. Es wurden, wie dies in der Figur angedeutet ist, entweder nur ein oder zwei oder alle drei Galvanometer eingeschaltet; die Richtungen der Spannungsdifferenzen und ihre Werthe, in Volt ausgedrückt, sind in der Figur angegeben. Werden die Spannungsdifferenzen  $KL$  und  $LE$  gleichzeitig gemessen, so ergibt sich die gesamte Spannungs-

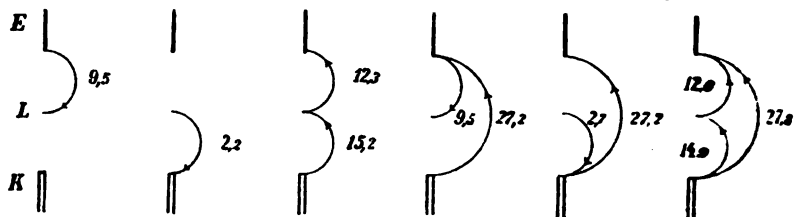


Fig. 3.

differenz  $KE$  als Summe der beiden Theile. Misst man aber eine der Spannungsdifferenzen  $EL$  oder  $LK$  allein oder eventuell gleichzeitig mit  $KE$ , so hat jede der beobachteten Spannungsdifferenzen  $EL$  oder  $LK$  das entgegengesetzte Zeichen im Vergleiche zur Spannungsdifferenz  $KE$ . Die Versuche wurden mehrfach wiederholt, doch wurde stets bezüglich der Richtung der gemessenen Spannungsdifferenzen das gleiche merkwürdige Resultat erhalten.

Die für die Spannungsdifferenz  $EL$  gefundenen Werthe variirten von  $5,4$  bis  $10,7$  Volt; die Werthe für  $LK$  variirten zwischen  $2,2$  und  $3,8$  Volt. Die Versuche wurden noch in der Weise ausgeführt, dass das Spiegelgalvanometer mit vorgeschaltetem Widerstande von  $10^7\ \Omega$  und ein Torsionsgalvanometer mit vorgeschaltetem Widerstande von  $999\ \Omega$  gleichzeitig zwischen die Eisenelektrode und den Lichtbogen geschaltet wurden; an  $LK$  war kein Galvanometer angelegt. Man konnte

nun sehen, dass beim Schliessen und Unterbrechen des Zweiges des Torsionsgalvanometers sich die Richtung des Ausschlages am Spiegelgalvanometer augenblicklich änderte. Die bei einem Versuche erhaltenen Resultate sind in der Tabelle A enthalten. Die Buchstaben *a*, *e* bedeuten, dass das Torsionsgalvanometer ausgeschaltet, respective eingeschaltet ist. Unter *TG* sind die Angaben des Torsionsgalvanometers, unter *SG* die des Spiegelgalvanometers, in Volt ausgedrückt, mitgetheilt; das Zeichen + ist beige setzt, wenn die beobachtete Spannungsdifferenz dasselbe Vorzeichen hat wie die dem *KE* entsprechende. Es machte keinen Unterschied, wenn statt des Zweiges des Torsionsgalvanometers ein einfacher Widerstand von 1000  $\Omega$  ver-

Tabelle A.

	<i>TG</i>	<i>SG</i>
<i>a</i> .....	.	+32.7
<i>e</i> .....	-6	- 6.2
<i>a</i> .....	.	+32.3
<i>e</i> .....	-7.7	- 8.1
<i>a</i> .....	.	+31.1

wendet wurde. Die Angaben der beiden Galvanometer stimmen nicht genau überein, weil es schwer ist, am Torsionsgalvanometer sehr rasch abzulesen. Der Versuch wurde noch in der Weise abgeändert, dass das Spiegelgalvanometer zwischen *LK* geschaltet wurde, während das Torsionsgalvanometer zwischen *EL* geschaltet blieb. Beim raschen Einschalten und Ausschalten des Zweiges des Torsionsgalvanometers wurden die in der Tabelle B enthaltenen Werthe abgelesen; die Angaben des Torsionsgalvanometers wurden nicht beobachtet. Aus den Versuchen geht hervor, dass die zwischen den Elektroden und dem Lichtbogen gemessenen Potentialdifferenzen sich ändern, wenn man zu *KL* oder *LE* allein, oder zu beiden gleichzeitig Nebenschlüsse von 1000  $\Omega$  Widerstand anbringt, obwohl diese Wider-

stände beträchtlich gross sind im Vergleich zu dem scheinbaren Widerstände des Lichtbogens. Die Potentialdifferenzen ändern sogar das Vorzeichen, doch behält ihre Summe  $EL + LK$  stets denselben Werth. Vielleicht ist die Änderung der Potentialdifferenzen durch elektromotorische Kräfte bewirkt, welche am Mittelstäbchen infolge der schwachen Messströme entstehen.

Tabelle B.

	SG
$a \dots\dots\dots$	— 3·1
$e \dots\dots\dots$	+34·0
$a \dots\dots\dots$	— 2·8
$e \dots\dots\dots$	+35·2

2. Ein merkwürdiges Verhalten zeigte der Lichtbogen, wenn der Versuch gemacht wurde, die in ihm entstehende gleichgerichtete elektromotorische Kraft zu compensiren, um dadurch ihren wahren Werth zu ermitteln. Zunächst wurde der Versuch mit einer Accumulatorenatterie gemacht, welche eine elektromotorische Kraft von circa 60 Volt hatte. Es war nicht möglich, die Compensation auszuführen. Je schwächer der gleichgerichtete Strom war, welchen die in den Stromkreis eingeschaltete Tangentenboussole anzeigte, desto kleiner wurde der Lichtbogen; derselbe verlöschte, bevor der gleichgerichtete Strom zum Verschwinden gebracht werden konnte. Auf Rath des Herrn Böhm-Raffay transformirte ich hierauf den Wechselstrom auf 200 Volt und schaltete in den Stromkreis zwei Lichtbögen Eisen—Kohle ein, damit sich ihre gleichgerichteten elektromotorischen Kräfte gegenseitig compensiren. Auch in dieser Weise konnte die Compensation nicht erreicht werden. Die Stärke des im Stromkreise fliessenden gleichgerichteten Stromes  $J_1$  und die an einem Lichtbogen gemessene gleichgerichtete Spannungsdifferenz  $\Delta_1$  waren in einem labilen Zustande. Je schwächer  $J_1$  war, desto kleiner wurde  $\Delta_1$ ; der kleinste beobachtete Werth war 9 Volt. Wenn die in einem der Lichtbögen erzeugte gleichgerichtete elektro-

motorische Kraft das Übergewicht erlangte, dann stieg  $\Delta$ , rasch auf 20, 40, ja selbst 65 Volt, wobei dann der Versuch infolge Abtropfens der Eisenelektrode ein Ende hatte. Der Wechselstromlichtbogen zwischen Eisen und Kohle zeigt demnach das merkwürdige Verhalten, dass die beobachtete gleichgerichtete Spannungsdifferenz desto kleiner wird, je mehr der Gleichstrom zum Verschwinden gebracht wird. Wenn der gleichgerichtete Strom sehr schwach war, dann war auch die gesammte Spannungsdifferenz  $\Delta$  an dem Lichtbogen beträchtlich kleiner als die in der ersten Tabelle angegebenen Werthe; der kleinste beobachtete Werth war 40 Volt.

3. An die Elektroden des Lichtbogens wurde ein Telephon angelegt, welchem ein Condensator von  $2\frac{1}{2}$  Mikrofaraad vorgeschaltet war. Zieht man die Elektroden auseinander, so dass der Lichtbogen unterbrochen wird, so hört man im Telephon einen Ton, welcher der Periodenzahl des verwendeten Stromes entspricht. Wird der Lichtbogen gebildet, so hört man einen stärkeren und höheren Ton, der vielleicht durch eine discontinuirliche Entladung bedingt ist. Wenn man den Lichtbogen mit Gleichstrom erzeugt, so hört man im Telephon ein starkes Sausen.

### Wechselstromlichtbogen zwischen Kohlenelektroden.

Die zu den Versuchen verwendeten Kohlen waren 7 mm dicke Dochkohlen, das in den Lichtbogen eingeführte Kohlenstäbchen war 3 mm dick. Wenn der Lichtbogen zwischen den vertical gestellten Elektroden erzeugt wurde, so war die obere Kohle negativ elektrisch im Vergleich zur unteren, gleichgiltig welche Kohle als obere Elektrode verwendet wurde. Der mit einem Torsionsgalvanometer beobachtete Spannungsunterschied war von der Stromstärke abhängig und stieg bis 2.8 Volt an. Wurden die beiden Kohlen horizontal angeordnet, so zeigte das Torsionsgalvanometer keinen Spannungsunterschied an. Um zu prüfen, ob das in den Lichtbogen eingeführte Kohlenstäbchen das Potential verändern könne, wurde dasselbe und eine der dicken Kohlen als Elektroden für den Lichtbogen verwendet. In diesem Falle war stets das dünne



Stäbchen positiv elektrisch im Vergleich zur dicken Kohle, doch betrug die gemessene Spannungsdifferenz im Maximum 3 Volt. Dieser Umstand kann die im Folgenden beschriebenen Erscheinungen nicht wesentlich beeinflusst haben. Bei den Versuchen waren die Elektroden horizontal gestellt, das Mittelstäbchen war von oben in den Lichtbogen eingeführt. Misst man mit einem Galvanometer die Spannungsdifferenzen, so findet man, dass zwischen dem Lichtbogen und den Elektroden eine gleichgerichtete Spannungsdifferenz besteht; dieselbe ist von der Stromstärke und Lichtbogenlänge abhängig und betrug bei den angestellten Versuchen im Maximum 7 Volt. Der Lichtbogen ist dabei negativ elektrisch im Vergleich zu den Kohlenelektroden. Das Vorhandensein einer solchen Spannungsdifferenz kann nicht überraschen. Während einer halben Periode des Wechselstromes ist die Kohlenelektrode die positive Elektrode, in der nächsten halben Periode ist sie die negative Elektrode; nun ist in der ersten halben Periode der Spannungsunterschied zwischen der Kohlenelektrode und dem Lichtbogen grösser als in der zweiten; daher muss sich eine resultierende gleichgerichtete Spannungsdifferenz ergeben. Ein merkwürdiges Verhalten zeigten die beobachteten Spannungsdifferenzen, wenn zwischen eine Elektrode und den Lichtbogen ein entsprechend grosser Widerstand ( $1000\ \Omega$ ) eingeschaltet wurde und das Mittelstäbchen nicht bis in den Kern des Lichtbogens reichte. Eine Versuchsreihe ist in der folgenden Tabelle zusammengestellt. Zwischen die linke Kohle und den Lichtbogen war ein Torsionsgalvanometer I nebst  $999\ \Omega$  Vorschaltwiderstand geschaltet, zwischen den Lichtbogen und die rechte Kohle ein gleiches Torsionsgalvanometer II nebst Vorschaltwiderstand  $999\ \Omega$ . Zum Torsionsgalvanometer I war das aperiodische Spiegelgalvanometer nebst dem Vorschaltwiderstand von  $10^7\ \Omega$  parallel geschaltet. Um nicht unter verschiedenen Verhältnissen zu beobachten, wurde der Lichtbogen gar nicht reguliert; auch das Mittelstäbchen, welches abbrannte, wurde nicht nachgeschoben. Der Lichtbogen, welcher anfangs sehr kurz war, verlängerte sich allmähig bis zu einer Länge von  $14\text{ mm}$ , worauf er verlöschte. Das Mittelstäbchen, welches anfangs fast in den

Kern des Lichtbogens reichte, brannte dabei um mehr als 1 *cm* ab. Die Zweige der beiden Torsionsgalvanometer wurden rasch aus- und eingeschaltet, und die Ablesungen an den Instrumenten ausgeführt. In der Tabelle bedeutet der Buchstabe *a*, dass der Zweig des Torsionsgalvanometers ausgeschaltet war; unter *SG* stehen die Angaben des Spiegelgalvanometers. Alle Zahlen haben die Benennung Volt. Die Angaben der beiden

I	II	SG
5·4	4·9	5·5
<i>a</i>	10·7	11·5
10·8	<i>a</i>	10·8
<i>a</i>	<i>a</i>	5·7
4·3	3·3	4·4
<i>a</i>	10·9	11·7
11·1	<i>a</i>	11·1
<i>a</i>	<i>a</i>	4·3
3·8	3·5	3·9
<i>a</i>	11·7	12·0
12·7	<i>a</i>	12·4
<i>a</i>	12·3	12·9

Torsionsgalvanometer sollten eigentlich stets gleich gross sein, da zwischen den beiden Elektroden keine gleichgerichtete Spannungsdifferenz bestand. Die Zahlwerthe stimmen nicht genau überein, weil nicht ganz gleichzeitig und sehr rasch abgelesen wurde, damit sich der Zustand des Lichtbogens nicht zu sehr verändere; auch waren bei den kleinen Spannungsdifferenzen die Torsionswinkel sehr klein, da einem Torsionswinkel von 1° eine Spannungsdifferenz von 1 Volt entspricht. Wie aus der Tabelle ersichtlich ist, ergeben sich ungefähr die gleichen Spannungsdifferenzen, ob beide Torsionsgalvanometer eingeschaltet oder ausgeschaltet waren. Dagegen sieht man das merkwürdige Resultat, dass die zwischen den Kohlenelektroden und dem Lichtbogen gemessene Spannungsdifferenz beträchtlich anwächst, wenn

zwischen eine der Kohlen und den Lichtbogen ein Widerstand von 1000  $\Omega$  eingeschaltet wird und das Mittelstäbchen nicht bis in den Kern des Lichtbogens reicht. Kurz nach Stromschluss waren die beobachteten Spannungsdifferenzen sehr klein oder hatten sogar anfangs das entgegengesetzte Zeichen; dieselben wuchsen aber rasch zu dem Werthe von einigen Volt an. Die anfänglichen Beobachtungen sind in der Tabelle nicht aufgenommen. Bei dem Versuche sank die Stromstärke von 8·4 A. successive bis 4·5 A. Das Mittelstäbchen befand sich immer in guter Berührung mit dem Lichtbogen, weil dieser durch die Luftströmung nach aufwärts bewegt wurde. Bei einigen anderen Versuchen brannte das Mittelstäbchen stärker ab; dann sank die mit den Torsionsgalvanometern gemessene Spannungsdifferenz bis auf 1 Volt herab, stieg jedoch trotzdem bis circa 10 Volt an, wenn nur ein Torsionsgalvanometer eingeschaltet war. Wenn das Mittelstäbchen, nachdem der Lichtbogen schon eine Länge von 10 *mm* erreicht hatte und die Stromstärke auf 5·5 A. gesunken war, wieder so weit gesenkt wurde, dass es fast in den Kern des Lichtbogens reichte, so stieg die Spannungsdifferenz zwischen jeder Elektrode und dem Lichtbogen auf 5·5 Volt, wenn beide Torsionsgalvanometer eingeschaltet oder ausgeschaltet waren; wurde jedoch nur ein Torsionsgalvanometer eingeschaltet, so stieg die Spannungsdifferenz wieder auf 12·5 Volt an. Wenn das Mittelstäbchen bis in den Kern des Lichtbogens eintauchte, dann wurde stets dieselbe Spannungsdifferenz abgelesen, gleichgiltig ob nur das eine oder beide Torsionsgalvanometer eingeschaltet waren. Aus den Versuchen scheint hervorzugehen, dass sowohl an den Elektroden, als auch am Mittelstäbchen elektromotorische Kräfte auftreten.

Zum Schlusse wurde noch zwischen die linke Kohle und den Lichtbogen ein Regulirwiderstand und eine Tangentenboussole eingeschaltet. Die Boussole zeigt einen gleichgerichteten Strom an, dessen Stärke durch Änderung des Regulirwiderstandes verändert werden kann. Solange der Gleichstrom nur einige Zehntel oder 1 Ampère betrug, hatte er stets die Richtung von der Kohle zum Lichtbogen, wie auch zu erwarten

war. Wenn aber der Widerstand des Zweiges, in welchen die Tangentenboussole eingeschaltet war, sehr verkleinert wurde, so ereignete es sich häufig, dass der gesammte Strom von der linken Kohle durch den Regulirwiderstand zum Mittelstäbchen und von diesem zur rechten Kohle floss. In diesem Falle wurde das Mittelstäbchen zur Elektrode, und da dasselbe, wie früher erwähnt wurde, im Vergleich zur anderen Kohle schwach positiv elektrisch ist, so änderte der von der Tangentenboussole angezeigte gleichgerichtete Strom die Richtung. Wenn bei den Versuchen das Mittelstäbchen vom Kerne des Lichtbogens weit entfernt war, so verhielt sich die Aureole wie ein grosser Widerstand.

#### **Gleichstrom-Lichtbogen zwischen Kohlenelektroden.**

Zum Schlusse wurde am Gleichstrom-Lichtbogen zwischen Kohlenelektroden untersucht, ob sich die Vertheilung des Potentials im Lichtbogen ändert, wenn man zwischen die Elektroden und den Lichtbogen Widerstände von  $1000\ \Omega$  schaltet. Wenn das Mittelstäbchen in den Lichtbogen gut eingeführt ist, macht es keinen Unterschied, ob die beiden Torsionsgalvanometer ( $1000\ \Omega$ ) zugleich oder einzeln eingeschaltet oder ausgeschaltet werden; es wurde stets dieselbe Spannungsdifferenz erhalten. Wenn man jedoch das Mittelstäbchen aus dem eigentlichen Lichtbogen in die denselben umgebende Aureole schob, änderten sich die mit den Torsionsgalvanometern gemessenen Spannungsdifferenzen, wenn diese Instrumente eingeschaltet oder ausgeschaltet wurden. Die Ergebnisse lassen sich aber leicht erklären, wenn man annimmt, dass die Aureole einen beträchtlichen Widerstand hat. Wenn das Stäbchen aus dem Lichtbogen weit herausgeschoben war, so zeigten die beiden Torsionsgalvanometer, wenn sie gleichzeitig eingeschaltet waren, fast gleiche Spannungsdifferenzen an; wurde das eine Torsionsgalvanometer ausgeschaltet, so zeigte das andere eine sehr kleine Spannungsdifferenz an, etc. Der Widerstand der Aureole hatte desto mehr Einfluss, je weiter das Stäbchen aus dem Lichtbogen herausgeschoben wurde. Wurde zur Messung der Spannungsdifferenzen das aperiodische Spiegelgalvanometer verwendet, so hatte der Widerstand der Aureole einen

geringen Einfluss. In der Tabelle sind die Resultate einer Versuchsreihe angegeben. Zwischen die positive Kohle und den Lichtbogen war ein Widerstand  $I = 1000 \Omega$  geschaltet, zwischen die negative Kohle und den Lichtbogen ein gleicher Widerstand  $II = 1000 \Omega$ . Zum Widerstande I war das aperiodische Spiegelgalvanometer nebst einem Vorschaltwiderstande von  $10^7 \Omega$  parallel geschaltet. Das Mittelstäbchen reichte in die Aureole. Während der Dauer des Versuches änderte sich die

I	II	SG
<i>a</i>	<i>a</i>	38·0
<i>e</i>	<i>a</i>	36·8
<i>a</i>	<i>e</i>	48·8
<i>e</i>	<i>e</i>	39·3
<i>e</i>	<i>a</i>	38·9
<i>a</i>	<i>e</i>	51·7
<i>a</i>	<i>a</i>	42·3
<i>e</i>	<i>e</i>	40·5
<i>e</i>	<i>a</i>	39·2
<i>a</i>	<i>e</i>	56·9
<i>e</i>	<i>e</i>	42·0
<i>a</i>	<i>a</i>	46·5

gesamte Spannungsdifferenz am Lichtbogen, welcher nicht regulirt wurde, von 45 bis 58 Volt, die Stromstärke von 4·7 bis 3·5 A. Das Mittelstäbchen brannte während der Dauer des Versuches allmählig ab. Wenn die Widerstände I, II ein- und ausgeschaltet wurden, ergaben sich am Spiegelgalvanometer die in der Tabelle angegebenen Ablesungen, welche in Volt ausgedrückt sind. Die bei dem Versuche verwendeten Kohlen waren Homogenkohlen von 8 und 13 *mm* Dicke.

# Experimentelle Darstellung von Magnetfeldern

von

**Joh. Zuchristian.**

(Mit 1 Tafel und 3 Textfiguren.)

Aus dem physikalischen Institut der k. k. Universität in Innsbruck.

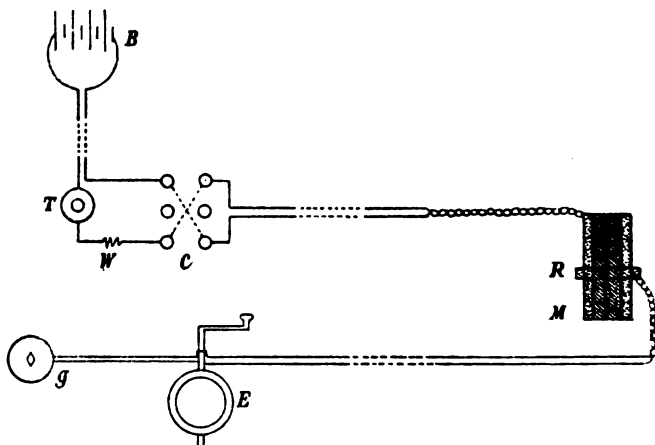
(Vorgelegt in der Sitzung am 12. Juli 1894.)

Im Folgenden ist ein Verfahren angegeben, welches den Verlauf von Magnet-Kraftlinien sowohl ihrer Richtung als auch ihrer Anzahl nach rasch zu bestimmen gestattet. Durch Streuen von Eisenpulver auf ein Cartonblatt ist die Richtung der Kraftlinien, und gleichzeitig durch die Bestimmung der gewöhnlichen Inductionswirkung die Anzahl derselben gegeben. Ein eingeschalteter Erdinductor ermöglicht die Reduction auf absolutes Mass. Diese Combination längst bekannter Methoden dürfte, wie aus Folgendem ersichtlich ist, vielleicht einiges Interesse gewähren, indem die von mir gewählten Beispiele zeigen werden, dass die in vielen unserer Lehrbücher gegebenen Darstellungen der Kraftlinien in Bezug auf deren Anzahl und Dichtigkeit an bestimmten Stellen eines Magnets nicht immer der Wahrheit entsprechen und daher diese einfache Methode zur Klärung der Vorstellung über Kraftlinien oft nicht unwichtige Beiträge liefern könnte.

Bei den Versuchen, die ich hier schildern will habe ich zwei Eisencylinder verwendet, von denen jeder 14 *cm* lang war und einen Durchmesser von 3·6 *cm* hatte. Dieselben wurden mit 2 *mm* dickem Kupferdraht in drei Lagen umwickelt. Die Zahl der auf jedem Cylinder vorhandenen Windungen, welche einen mittleren Durchmesser von 4·28 *cm* besaßen, war 163.

Auf diesen Cylindern verschiebbar war ein Inductionsring, der in zwei Lagen übereinander sieben Windungen eines  $0.86\text{ mm}$  starken Kupferdrahtes hatte; der mittlere Durchmesser dieser Windungen war  $5.8\text{ cm}$ .

Die Versuchsanordnung war nun folgende: Eine Batterie  $B$  von 3—4 Bunsen-Elementen schickte den primären Strom durch eine Tangenten-Bussole  $T$ , einen Rheostaten  $W$  und einen Commutator  $C$  in den zu untersuchenden Elektromagneten  $M$ , beziehungsweise in die zu untersuchende Elektromagneten-Combination; der secundäre Strom ging vom Inductionsring  $R$  aus durch einen Erdinductor  $E$  zum Spiegel-Galvanometer  $g$ .



Aus der Windungsfläche  $F$  des Erdinductors und der Verticalcomponente des Erdmagnetismus  $V$ , d. i. der Anzahl derjenigen Kraftlinien des magnetischen Feldes der Erde, die durch eine horizontale Fläche von  $1\text{ cm}^2$  hindurchgehen, einerseits und der Anzahl der Windungen des Inductionsringes andererseits erhält man die Zahl der Kraftlinien in absolutem Masse, da die Galvanometer-Constanten und der Widerstand der Inductionsleitung immer gleich bleiben.

Der Ausschlag  $\Delta$ , den das Galvanometer bei einmaliger Umdrehung des Erdinductors um  $180^\circ$  gibt, ist proportional

$2VF$ . Daraus ergibt sich die Anzahl der geschnittenen Kraftlinien

$$2VF = \kappa \cdot \Delta.$$

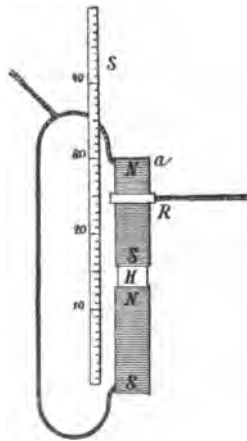
An der Stelle wo sich der Induktionsring befindet, werden nun durch Commutiren des primären Stromes die vorhandenen  $z$  Kraftlinien verschwinden und gleichzeitig die nämliche Anzahl der entgegengesetzt gerichteten entstehen, und der Ausschlag  $\delta$ , den der Induktionsstrom hervorruft, entspricht daher  $2z$ , d. i. der doppelten Anzahl der bei Erregung des Magnetfeldes auftretenden Kraftlinien. Wir erhalten in Folge dessen, wenn  $n$  die Zahl der Windungen des Induktionsringes ist

$$z = \kappa \cdot \frac{\delta}{2n}.$$

Daraus ergibt sich schliesslich

$$z = \frac{VF}{n} \cdot \frac{\delta}{\Delta}.$$

Die Durchführung der Versuche ist nun sehr einfach. Der Induktionsring  $R$  wird an eine bestimmte Stelle des aufrechtstehenden Elektromagnetes  $M$  geschoben, welche man mittels eines daneben befindlichen Massstabes ablesen kann. Darauf schliesst man den Primärstrom und ertheilt ihm mit Hilfe des Rheostaten  $W$  eine gewisse Stromstärke, bestimmt den Nullpunkt des Galvanometers, commutirt den Primärstrom und erhält einen Ausschlag  $\delta$ . Dabei ist noch zu bemerken, dass man bei grösseren Stromstärken das Galvanometer mit einem Shunt versehen muss, um allzu grosse Ausschläge zu vermeiden. Dann wird noch  $\Delta$  bestimmt durch Umdrehen des Erdinductors.



Ich werde nun als Beispiel jenen Versuch hier ausführlicher darstellen, wo zwei Elektromagnete mit den ungleichen Polen



einander zugekehrt waren; zwischen denselben war ein Holzcylinder  $H$  von 28  $mm$  Höhe.

Für  $V$  habe ich den von Liznar im Jahre 1890 für Innsbruck ermittelten Werth von  $0.40381$  ( $cm^{-1/2} g^{1/2} sec^{-1}$ ) zu Grunde gelegt; das  $F$  des Erdinductors war  $133017.6 cm^2$  und  $n$  die Windungszahl des Inductionsringes 7.

Ich benützte somit die Formel

$$z = 7673 \frac{\delta}{\Delta}.$$

Der verwendete Primärstrom hatte vier Ampère, der Erdinductor gab bei wiederholten Messungen während des Versuches stets den Ausschlag  $\Delta = 7.65 cm$ . Wegen der Symmetrie der Zusammenstellung habe ich bloss die obere Hälfte untersucht. Der Massstab  $S$  war so aufgestellt, dass die oberste Fläche  $a$  bei 30 stand.

In der folgenden Tabelle ist in der ersten Rubrik die Lage des Inductionsringes, in der zweiten der aus mehreren Messungen erhaltene mittlere Ausschlag  $\delta$  angegeben; die dritte Rubrik enthält die wirkliche Anzahl der Kraftlinien, die vierte die in der Abbildung 948 auf einer Seite eingezeichneten.

Ind.-Ring $cm$	$\delta$ $cm$	$z$	$N$	Ind.-Ring $cm$	$\delta$ $cm$	$z$	$N$
33	0.85	852	1	26	9.69	9720	11 12
32	1.32	1324	2	25	10.34	10372	13
31	2.00	2006	3	24	10.90	10933	14
30	3.53	3541	4	23	11.26	11295	14
29	5.45	5467	5	22	11.23	11264	14
			6	21	11.08	11114	13
28	7.20	7222	7	20	10.10	10131	12
			8	19	9.45	9479	11
27	8.66	8686	9	18	8.45	8476	
			10				

Ind.-Ring <i>cm</i>	$\delta$ <i>cm</i>	$z$	$N$	Ind.-Ring <i>cm</i>	$\delta$ <i>cm</i>	$z$	$N$
			10				6
17	7·15	7172	9	15	3·93	3942	5
			8				
16	4·90	4915	7	14	4·04	4052	5

Nach der Berechnung dieser Tabelle habe ich dann in bekannter Weise, und wie aus den Abbildungen der folgenden Tafel ersichtlich ist, durch Streuen von Eisenfeile auf weissen Carton die Richtung der Kraftlinien bestimmt und für je 800 berechnete Kraftlinien auf beiden Seiten des Magnetes eine eingezeichnet, und zwar in der Weise, dass in der Entfernung 4 *cm* vom oberen  $N$  noch keine Kraftlinie den Inductionsring schneidet, in 3 *cm* Abstand auf jeder Seite eine, in ungefähr 2 *cm* Entfernung auf beiden Seiten noch eine zweite mehr u. s. w. Zur leichteren Verkleinerung des so erhaltenen Bildes wurde dann eine photographische Aufnahme gemacht, welche nun im Lichtdruck als Fig. 7 folgt.

Analog erhielt ich auch die folgenden Resultate (siehe beiliegende Tafel):

Die Figuren 1 und 2 geben die Intensitätsverhältnisse bei einem Elektromagnet für 2, beziehungsweise 4 Ampère.

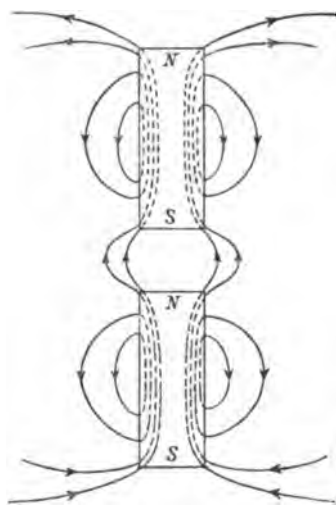
Die Figuren 3, 4 und 5 stellen zwei Elektromagnete dar, die mit den gleichen Polen einander zugewendet sind, in den Entfernungen 0·28 und 41 *mm* bei 4 Ampère Stromstärke.

Die Figuren 6, 7 und 8 zwei Elektromagnete mit den ungleichen Polen einander zugekehrt, in den Abständen 0·28 und 41 *mm* und gleichfalls 4 Ampère.

Die Figuren 9 und 10 zeigen einen Elektromagneten über einem Parallelepiped aus Eisen von den Dimensionen 5, 6 und 17 *cm* in den Entfernungen 0 und 41 *mm* (4 Ampère).

Für die Nützlichkeit solcher Messungen glaube ich die Fälle, dargestellt in den Figuren 6, 7 und 8, besonders erwähnen zu dürfen, die über den Verlauf der Kraftlinien nicht uninteressante Aufschlüsse geben. Sind die beiden Elektro-

magnete zur Berührung gebracht, so verhalten sie sich nahezu wie ein einziger von doppelter Länge. Zieht man dieselben etwas auseinander, so reissen einige der inneren Kraftlinien ab, und jede derselben theilt sich in zwei für jeden der beiden Magnete in sich geschlossene Linien; der Rest dagegen ist noch beiden Magneten gemeinschaftlich. Dabei tritt eine eigenthümliche Ausbuchtung der Kraftlinien an der Unterbrechungsstelle



auf, wie es nebenstehendes Schema zur Darstellung bringt. Jener Theil der Kraftlinien, welcher durch die Mitte der Magnete geht, ist weggelassen, um die Figur nicht übervoll zu machen.

Für diesen Verlauf der Kraftlinien spricht sowohl das Bild, welches das gestreute Eisenpulver gibt, als auch die Messung. Wie könnte es sonst wohl möglich sein, dass, wie in dem hier durchgeführten Beispiele, an der Trennungsstelle bloss  $5 \times 800$  Kraftlinien berechnet werden können, während doch nach der Fig. 7  $8 \times 800$  beiden Magneten

gemeinsam sind und den Inductionsring bei ihrem Entstehen durchschneiden müssen. Es wird eben letzterer von einigen Kraftlinien zweimal geschnitten, und zwar in verschiedenen Richtungen, so dass sich ihre Wirkungen gegenseitig aufheben.

Es wäre wohl sehr wünschenswerth, wenn Zeichnungen von Kraftlinien immer in der angegebenen Weise in Bezug auf alle ihre Verhältnisse richtig wiedergegeben würden.

7.

Fig. 1.

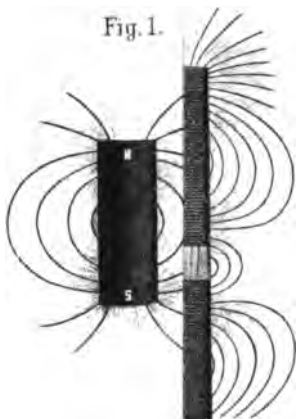


Fig. 8.

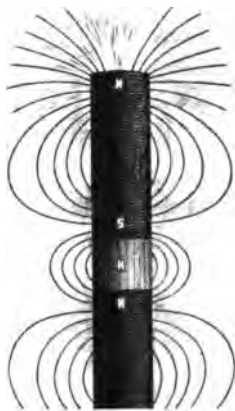


Fig. 3.

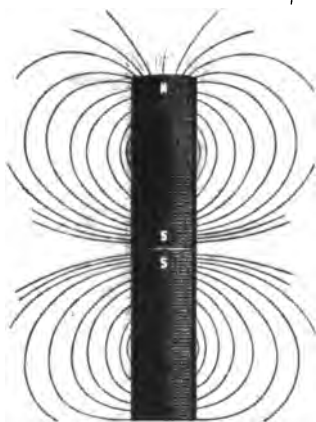
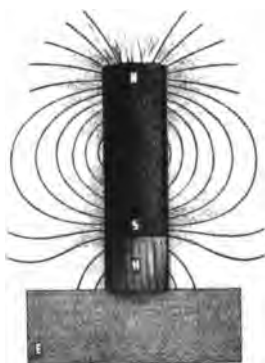


Fig. 10.





# Eine Studie über unipolare Induction

von

Prof. Dr. Ernst Lecher.

Aus dem physikalischen Institute der k. k. Universität in Innsbruck.

(Mit 17 Textfiguren.)

(Vorgelegt in der Sitzung am 12. Juli 1894.)

Die folgende Abhandlung sucht die Entscheidung der Frage, ob bei einem um seine Axe rotirenden, cylindrischen Magneten die Kraftlinien feststehen oder mitrotiren.

Die erste Abtheilung enthält allgemeine und historische Bemerkungen und zeigt, dass weder die bisher angestellten Versuche, noch einige neue Abänderungen derselben diese Frage entscheiden können. Dabei stellt sich heraus, dass die Biot-Savart'sche Vorstellung über die Einwirkung eines geradlinigen Leiters auf einen Magnetpol den experimentellen That-sachen nicht immer entspricht.

Die zweite Abtheilung enthält einen gedrängten Bericht über elektrometrische Versuche, deren Schlussresultat aber nicht einwurfsfrei ist.

Die dritte Abtheilung enthält das Experimentum crucis und die Entscheidung der angeregten Frage.

## I. Allgemeine Bemerkungen.

Faraday. Faraday ging bei Entdeckung jener Inductionserscheinungen, welche W. Weber<sup>1</sup> später unipolare Induction nannte, von der Vorstellung seiner Kraftlinien aus; die späteren Forscher aber führten die Erklärung mit Hilfe des Begriffes der

---

<sup>1</sup> Pogg. Ann., 52, 1841.

magnetischen Pole durch, und so entstand eine nicht immer glückliche Mischung der Anschauungen.

Als man in neuerer Zeit wieder den Begriff der Kraftlinie in Verwendung zog, wurde oft die ursprüngliche Anschauung Faraday's über die unipolare Induction unrichtig dargestellt. Faraday ist nämlich der Meinung, dass ein rotirender Magnet sein Feld nicht mitrotiren lasse, dass die Kraftlinien feststehen, während in vielen unserer besten Lehrbücher angegeben ist, dass Faraday der entgegengesetzten Ansicht gewesen sei. Faraday sagt:<sup>1</sup>

»Wenn von Kraftlinien gesprochen wird, insofern sie einen leitenden Kreis schneiden, so muss man sich dies durch die Fortbewegung eines Magneten bewirkt denken. Eine blosse Rotation eines Magnetstabes um seine eigene Axe bewirkt keine Induction in äusseren Kreisen, da in diesem Falle die oben angegebenen Bedingungen nicht erfüllt sind. Das den Magnet umgebende Kräftesystem braucht man sich nicht nothwendig mit dem Magneten rotiren zu denken, so wenig wie man annimmt, dass die Lichtstrahlen, welche von der Sonne ausgehen, mit dieser rotiren. Man kann sich sogar in gewissen Fällen denken, dass der Magnet zwischen seinen eigenen Kräften rotire, während er dennoch einen am Galvanometer nachweisbaren vollen elektrischen Effect hervorbringt«. In den folgenden Paragraphen begünstigt Faraday auch stets den Standpunkt, dass bei einem um seine Längensaxe rotirenden Magneten das magnetische Feld feststeht.<sup>2</sup>

Translatorische und rotatorische Bewegung. Der Unterschied zwischen dem Fortbewegen der Kraftlinien bei translatorisch bewegten Magneten und dem Feststehen der Kraftlinien eines rotirenden Magneten ist Faraday auffallend: »a singular independence of the magnetism and the bar in which it resides«.

Dieser befremdende Unterschied dürfte aber nur ein scheinbarer sein. Das Kraftfeld besteht in irgend einem Energie-

<sup>1</sup> Exp. Untersuchungen über Elektrizität, deutsch von Kalischer, Bd. III, S. 3090.

<sup>2</sup> Plücker, Pogg. Ann., 87, S. 353, 1852 vertritt ähnliche Anschauungen, aber ohne Verwendung des Begriffes der Kraftlinien.

zustand des Äthers, veranlasst durch den Magneten. Es erscheint nun wohl nicht nothwendig, anzunehmen, dass jeder Magnet bei einer Bewegung seinen Äther soweit mitschleppt, als seine Kraftwirkung reicht. Wir können uns auch die Idee bilden, dass der Äther feststeht, und dass bei einer Bewegung des Magneten jene Veränderung des Äthers, deren Richtung und Grösse wir durch den Begriff der Kraftlinien symbolisiren, verschiedene Partien des Äthers ergreift. Bei einer translatorischen Bewegung des Magneten kann man nun selbstverständlich von einem Bewegen der Kraftlinien nur im figürlichen Sinne sprechen. Wenn man einen Lichtpunkt bewegt, so gehen die Lichtstrahlen des Punktes auch nur im figürlichen Sinne mit, indem ja an den Orten, wo der Lichtpunkt im Laufe seiner Bewegung hinkommt, immer wieder neue Strahlen entstehen, während die alten verschwinden.

Wenn ein symmetrischer Magnet um seine eigene Axe rotirt, so ändert sich das äussere Feld gar nicht, es ist daher a priori absolut kein zwingender Grund vorhanden, sich dieses Feld als rotirend zu denken.

Preston. Mit dieser Überlegung fällt einer der Hauptgründe von Tolwer Preston,<sup>1</sup> welcher wohl zuerst gegen Faraday die Ansicht ausgesprochen, dass bei einem rotirenden Magneten das magnetische Feld mitrotire; indirect (ohne Rücksicht auf die Begriffe »magnetisches Feld« oder »Kraftlinien«) hat diese Frage natürlich schon bei allen früheren Versuchen mitgespielt. Da sowohl W. Weber, als Lord Rayleigh in zwei Briefen, die Preston am Schlusse der citirten Arbeit gibt, sich vollständig auf Seite Preston's stellen,<sup>2</sup> so dürfte es vielleicht nicht überflüssig sein, zu zeigen, dass die Überlegungen Preston's für unsere Frage absolut keine Entscheidung treffen. Der eine Einwand Preston's ist eben widerlegt; ein weiterer

---

<sup>1</sup> On some Electromagnetic Experiments of Faraday and Plücker. Phil. Mag. (5), 19, S. 131, 1885. Einen ähnlichen Schluss macht A. Föppl in der eben erschienenen Einleitung in die Maxwell'sche Theorie, Teubner 1894, S. 328.

<sup>2</sup> Weber schreibt: Ich habe die Arbeit mit grösstem Interesse gelesen und mich gefreut, dass die Frage über unipolare Induction dadurch endlich zur definitiven Entscheidung gelangen werde.



ist folgender: Nach Faraday muss ein Leiter, der gleich schnell mit dem Magneten rotirt, statisch geladen werden. Das erscheint nun Preston aus dem Grunde unmöglich, weil wir hier keine relative Bewegung der rotirenden Massen hätten. Dieser Schluss ist unrichtig. Nach Faraday steht ja das Feld still, die Bewegung ist relativ gegen die feststehenden Kraftlinien.<sup>1</sup>

Nur in einem Punkte hat Preston recht, dass es nämlich Faraday nicht gelungen sei, für seine Anschauung einen experimentellen Beweis zu erbringen. Eine Entscheidung zwischen den beiden Fragen ist überhaupt durch einfache galvanometrische Messungen an einem einzigen rotirenden Magneten nicht möglich, wie sich durch folgende Beispiele zeigen lässt.

Unmöglichkeit der galvanometrischen Entscheidung mit Einem Magneten. Es sei  $NS$  ein Magnet, den wir uns in der Mitte durch eine schmale Luftschichte unter-

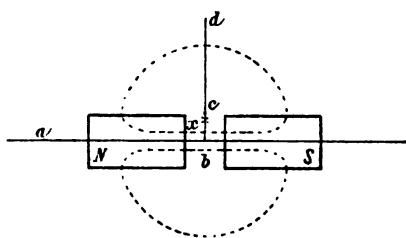


Fig. 1.

brochen denken wollen (wie dies auch Faraday, §. 3098 thut), die punktierten Linien stellen typisch den Gang zweier Kraftlinien dar.  $abxcd$  sei die zum Galvanometer führende Leitung (Fig. 1).

$abx$  rotire mit dem Magneten, während  $xd$  feststehe,  $x$  sei der Schleifcontact.

Nehmen wir zuerst an, der Punkt  $x$  falle mit  $d$  zusammen, d. h. es rotire der ganze Draht  $bcd$  mit. Nach der Anschauung Preston's, die heute wohl die allgemein beliebtere sein dürfte, rotiren die Kraftlinien mit dem Magneten: wir haben also keinen Strom zu erwarten, da der Draht  $cd$  mit den Kraftlinien mitrotirt. Nach der Anschauung Faraday's aber bekommen wir zwei

<sup>1</sup> Ähnliche Schlüsse macht z. B. Clausius, Pogg. Ann., 156, S. 657, 1875. »Wenn man von der Vorstellung ausgeht, dass die elektrodynamische Einwirkung zweier Elektricitätstheilchen auf einander durch einen zwischen ihnen befindlichen Stoff vermittelt werde, so braucht man von ihr nicht anzunehmen, dass sie nur von der relativen Bewegung der Theilchen abhängt, sondern kann auch den absoluten Bewegungen der beiden Theilchen einen Einfluss auf sie zuschreiben.«

elektromotorische Kräfte, nämlich die Wirkung von  $bc$ , sie sei  $E_i(bc)$ , und von  $cd$ , sie sei  $E_a(cd)$ . Jede Kraftlinie, die aussen geht, muss durch den Magneten selbst geschlossen sein; wir haben daher aussen ebensoviel Kraftlinien wie innen. Das Schneiden aller Kraftlinien aussen und innen hebt sich auf, weil die Richtung der Kraftlinien durch  $bc$  die umgekehrte ist, wie durch  $cd$ . Der Effect nach Faraday ist  $E_i(bc) - E_a(cd) = 0$ .

Würde die Linie  $bd$  feststehen, während aber der Magnet rotirt, so kehrt sich diese Betrachtung für die beiden Theorien um. Wir erhalten keinen Strom, weil nach Faraday keine elektromotorische Kraft auftritt, oder weil, nach Preston, zwei einander gleichgerichtete elektromotorische Kräfte sich aufheben.

Rücken wir nun mit  $x$  an den in der Zeichnung fixirten Punkt, so rotirt  $bx$  mit dem Magneten,  $xd$  steht aber fest. Es gibt jetzt die Theorie Faraday's eine elektromotorische Kraft  $E_i(bx)$ , da ja  $bx$ , mit dem Magneten rotirend, die feststehenden Kraftlinien schneidet. Die Theorie Preston's aber liefert als elektromotorische Kraft  $E_a(cd) - E_i(cx)$ , da  $cd$  und  $cx$  feststehen und durch die mit dem Magneten rotirenden Kraftlinien geschnitten werden. Die beiden Werthe müssen subtrahirt werden, weil die Richtung der Kraftlinien im Innern des Magneten ( $xc$ ) die entgegengesetzte Richtung haben, wie aussen ( $cd$ ). Nun ist

$$E_i(bx) + E_i(xc) = E_i(bc) = E_a(cd),$$

woraus folgt, dass  $E_i(bx) = E_a(cd) - E_i(cx)$ .

Wir erhalten somit nach beiden Anschauungen, wo immer der Punkt  $x$  auch liegen möge, stets das gleiche galvanometrische Resultat, wiewohl die erzeugten elektromotorischen Kräfte an ganz verschiedenen Stellen ihren Sitz haben.

Ebensowenig kann man durch Zweigschaltung, durch Einschaltung von Condensatoren und ähnlichen Kunstgriffen an einem einzigen rotirenden Magneten galvanometrisch eine Entscheidung treffen. Damit sind alle Versuche pro und contra gemeint und die Ergebnisse von Plücker,<sup>1</sup> Edlund,<sup>2</sup> Exner

<sup>1</sup> Pogg. Ann., 87, S. 352, 1852.

<sup>2</sup> Ann. de chim. et de phys. (5), 16, S. 49, 1879.

und Czermak,<sup>1</sup> Budde,<sup>2</sup> Hoppe<sup>3</sup> u. s. w. können meines Erachtens alle nach beiden Theorien gleich befriedigend erklärt werden.

Versuche von Hoppe. Ich will dies an den Experimenten von Hoppe zeigen, da dieselben zu Gunsten einer Mitrotation der Kraftlinien gedeutet wurden. Ich habe diese Versuche in etwas veränderter Gestalt wiederholt und will die Deutung der Resultate unter consequenter Beibehaltung des Begriffes der Kraftlinien besprechen.

Hoppe arbeitet mit einer Eisenröhre, die durch eine feststehende Drahtspule magnetisirt wurde. Da aber ein grosser Theil der Kraftlinien durch den inneren Hohlraum einer solchen

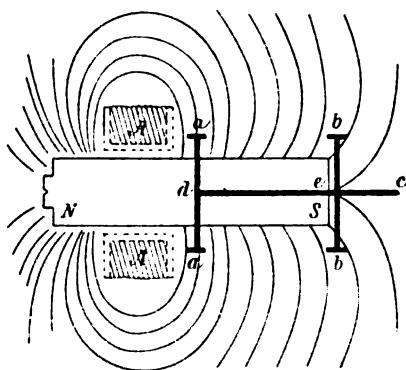


Fig. 2.

Eisenröhre geht,<sup>4</sup> änderte ich den Versuch dahin ab, dass ich mit einem möglichst massiven Magneten arbeitete.

Fig. 2 stellt schematisch die Anordnung meiner Versuche in etwa  $\frac{1}{3}$  natürlicher Grösse dar. NS ist ein um eine Horizontalaxe drehbarer Eisenkern, welcher, wie bei Hoppe, durch die feststehende Spule A

magnetisirt wurde. Zur einen Hälfte geht in die Axe des Magneten der Kupferdraht  $dc$ , vom Magneten gut isolirt;  $a$  und  $b$  sind zwei Cylinderflächen, welche mit  $dc$  leitend verbunden, vom Magneten aber vollständig isolirt sind.  $a$ ,  $b$ ,  $cd$  sind fix mit dem Magneten verbunden und rotiren mit demselben pro Secunde  $13 \cdot 5$  mal. Es sind diese für die unipolare Induction dienenden und vom Magneten gut isolirten Leitungen

<sup>1</sup> Diese Sitzungsberichte, 94, S. 357, 1886.

<sup>2</sup> Wied. Ann., 30, S. 358, 1887.

<sup>3</sup> Wied. Ann., 28, S. 483, 1886.

<sup>4</sup> So verstärkt Faraday die Drehung der Polarisationssebene des Lichtes dadurch, dass er eine Eisenröhre in das Innere des Solenoides (um den drehenden Körper herum) einschob. L. c. §. 2209.

in der Fig. 2 dick gezeichnet. Die Enden einer Galvanometerleitung schleifen auf *a*, *b* oder *c*. Der unipolare Ausschlag wird erzeugt durch Commutiren des magnetisirenden Stromes in der Spule *A*, um den Effect des Thermostromes zu eliminiren.

Die angegebenen Resultate sind Mittel aus je 10 Beobachtungen. Schleifen die Galvanometerdrahtenden auf *ac*, *bc*, respective *ab*, so ist der unipolare Strom  $12\cdot8$ ,  $2\cdot5$ ,  $10\cdot3$ .<sup>1</sup> Fig. 2 stellt auch den wirklichen Verlauf der Kraftlinien (in willkürlichem Masssystem) dar.<sup>2</sup> Es ist selbstverständlich, dass die Kraftlinien im Innern des Eisens wieder in sich zurückkehren müssen.

Die Übereinstimmung der Werthe der unipolaren Induction mit der Anzahl der geschnittenen Kraftlinien ist eine sehr schöne, wobei aber natürlich wieder nicht ein Unterschied zwischen der Theorie Faraday's und Preston's getroffen werden kann.

Nach Preston schneidet die feststehende Galvanometerverbindung *ab* ausserhalb des Magneten 7 rotirende Kraftlinien, *bc* aber 2 und *ac* schliesslich 9. Nach Faraday schneidet, wenn *ac* zum Galvanometer führt, das rotirende Leiterstück *ad* 9 feststehende Kraftlinien, die ja im Innern des Magneten (in der Figur nicht gezeichnet) in sich zurückkehren müssen; schleift aber die Galvanometerleitung in *b* und *c*, so schneidet *eb* 2 Kraftlinien, während bei Ableitung von *a* und *b* 2 entgegengesetzte elektromotorische Kräfte in *da* ( $= 9$ ) und *eb* ( $= 2$ ) in Wirkung treten. Die Verhältnisse von 9, 7, 2 entsprechen aber innerhalb der Versuchsgrenzen den Verhältnissen der gefundenen Galvanometerausschläge  $12\cdot8$ ,  $10\cdot3$ ,  $2\cdot5$ .

<sup>1</sup> Um die Arbeit nicht zu umfangreich zu machen, gebe ich hier und später immer nur die Mittel, wie ich auch aus dem gleichen Grunde meine Zeichnungen nur schematisch mache.

<sup>2</sup> Diese Zeichnung wurde dadurch gewonnen, dass eine mit einem Galvanometer verbundene Drahtschleife an bestimmten Stellen des Feldes sich befand und durch Commutiren des magnetisirenden Stromes Inductionswirkung gemessen wurde. Hat man vorher mittelst Eisenfeile die Richtung der Kraftlinien fixirt, so genügen einige solche Messungen, um quantitativ die Zahl der Kraftlinien an einzelnen Stellen des Feldes zu bestimmen. Siehe darüber Näheres in der gleichzeitig (in diesen Sitzungsberichten) erscheinenden Arbeit von J. Zuchristian, der einige solche Bestimmungen im absoluten Masse ausgeführt hat.

Es wurde schliesslich, um auch in diesem Punkte die Versuchsanlage Hoppe's zu imitiren, *a* und *b* durch eine aufgelöthete Kupferlamelle leitend verbunden. Die Resultate waren, wie es nach beiden Theorien zu erwarten war, mit den vorausgehenden identisch, nämlich es gaben die Schleifcontacte *ac*  $12 \cdot 7$ , *bc*  $2 \cdot 4$ , *ab*  $10 \cdot 9$ .

Auf die elektrometrischen Versuche Hoppe's einzugehen, erscheint mir überflüssig, da ihre Auslegung nichts für unseren Fall Entscheidendes bringen würde.<sup>1</sup>

Rotationsversuch von J. Weber. Ebenso wenig lässt sich eine Entscheidung treffen durch Einleitung von Rotationen durch einen Strom. Auch hier sind eine Reihe von Trugschlüssen in der Literatur anzutreffen, von denen ich wieder als typisches Beispiel einen herausgreifen will, den von J. Weber.<sup>2</sup>

*NS* ist der Magnet, der an seinem Äquator die Quecksilberrinne *g* trägt. Der bewegende Strom geht durch das Quecksilbernäpfchen *h* in den Magneten zum Quecksilbernäpfchen *a*, durch den Bügel *abc* zur Quecksilberrinne *g*, welche vom Magneten isolirt ist und durch den feststehenden Draht *ed* zurück. Wird der Magnet festgehalten (Versuch 1), so rotirt der Bügel *abc*, weil er (nach beiden Theorien) einen Druck gegen die Kraftlinien, wovon eine punktirt gezeichnet ist, erfährt. Wird jetzt der Magnet mit dem Bügel mechanisch verbunden und an einem Faden aufgehängt (Versuch 2), so dass beide rotiren können, so rotirt Magnet und Bügel. Nach der Theorie Fara-

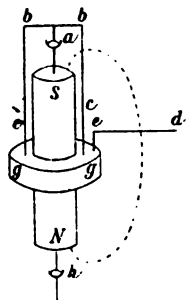


Fig. 3.

<sup>1</sup> Wied. Ann., 29, S. 544, 1866; 32, S. 297, 1887. Nicht unerwähnt möchte ich lassen, dass meine Vorstellung über Verwendung des Elektrometers bei Messungen an ungeschlossenen Leitungen von denen Hoppe's stark abweicht. Er sagt in der letzteren Arbeit z. B. S. 298: »Für die  $2\frac{1}{2}$  m lange feste Leitung bis zum Elektrometer tritt wegen des höheren Widerstandes eine erhebliche Einbusse auf«; S. 304: »Da der Draht sehr lang, wird eine Verzögerung in der Ladung eintreten«. Oder, Hoppe will durch eine Kugel von 15 mm Durchmesser, die isolirt aufgehängt, zuerst mit dem rotirenden Magneten und dann mit einem Elektrometer von Edlmann in Berührung gebracht wird, die eventuellen minimalen Ladungen des Magneten nachweisen u. s. w.

<sup>2</sup> Zeitschr. für Elektrotechnik, Kareis, Wien, VII, S. 445, 1889.

day's muss man jetzt sagen, da das Feld ja stillsteht, dass der rotirende Bügel den Magnet mitnimmt, nach der entgegengesetzten Anschauung aber, und das hat J. Weber übersehen, ist die bewegende Kraft in  $ed$ , dorten wird die Kraftlinie weggedrückt, und mit der rotirenden Kraftlinie muss der Magnet mitrotiren, da Kraftlinie und Magnet fix verbunden sind. Hätte aber Weber in Versuch 2 Magnet und Bügel, jeden für sich rotirbar gemacht, so müsste der Magnet nach beiden Theorien ruhig bleiben. Nach Faraday ist das unmittelbar ersichtlich. Nach Preston drücken aber  $bc$  und  $ed$  in entgegengesetzter Richtung auf die mit dem Magneten fest verbundenen Kraftlinien, und die Wirkung hebt sich auf, da, wie S. 961 gezeigt werden wird, ein rotirendes  $bc$  denselben Druck ausübt wie ruhendes  $bc$ .

Wirkung eines geraden Stromes auf einen sogenannten Pol. Auch mit nebenstehendem Apparat, der so oft zur Entscheidung in verschiedenen Modificationen herbeigezogen wurde, kommt man nicht weiter.<sup>1</sup> Ich erwähne diesen, in den meisten Lehrbüchern beschriebenen Versuch, weil fast immer eine, wenn auch naheliegende, so doch falsche Deutung desselben gegeben wird. Die Kraftlinie wird oft definirt als die Richtung, in der sich ein Nordpol bewegt. Die Ursache der Rotation in diesem Versuche soll darin bestehen, dass die Magnetpole  $N$  durch den stromdurchflossenen Leiter  $ab$  um diesen herumgedreht werden. Diese Biot-Savart'sche Vorstellungsweise

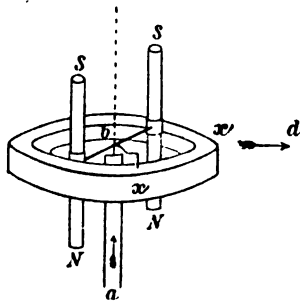


Fig. 4.

<sup>1</sup> Die diesbezügliche Arbeit von Plücker, Pogg. Ann., 87, S. 352, 1852, geht zwar, aber leider ohne Verwendung des Begriffes »Kraftlinien«, von jenen Anschauungen aus, welche ich die Faraday'schen nannte. Plücker gibt jedoch keinen Beweis für diese Prämisse, er stellt sie als selbstverständlich hin. Siehe z. B. S. 354, Abschnitt 4: »Wenn hiebei auch die Nachweisung dieser elektrischen Vertheilung am Elektrometer durch mich nicht versucht worden ist, so ist dieses doch in analogen Fällen, wie z. B. beim Arago'schen Rotations-Magnetismus geschehen und daher als unzweifelhaft anzusehen«. Dieser Arago'sche Rotations-Magnetismus ist aber doch ganz etwas anderes.

scheint mir aber ebenso unphysikalisch wie die Vorstellung eines einzigen Poles, der für sich allein nie existiren kann oder die Vorstellung eines isolirten Stromelementes. Ferner muss auch die Ampère'sche Regel erhalten; die in *ab* gedachte bekannte Figur weist dem Nordpol den Weg nach links. Um die Unrichtigkeit dieser Anschauung zu zeigen, braucht man nur *bx* sehr gross zu machen. Diesem Versuche gab ich, da dann die Reibung der grossen Quecksilberrinne zu bedeutend würde, folgende Form:

*ab* ist derselbe Leiter wie früher. Der Strom geht dann durch das Quecksilbernäpfchen *b* nach *x*, wo er sich theilt, durch den Rahmen *xdef* und schliesslich durch den Draht *fi* in die Quecksilberrinne *g*. Dieser ganze Rahmen hängt an einem Seidenfaden *ih* und ist daher sehr leicht beweglich. Die Zeichnung ist der Deutlichkeit halber nicht in den richtigen Dimensionen gezeichnet. Die Magnete sind zu gross und zu weit aus einander gezeichnet; sie sind in Wirklichkeit quadratische Stäbe von 12·5 *cm* Länge, die beiden Mittelpunkte *N* stehen nur 2·3 *cm* von einander. Der Rahmen war sehr gross, *xd* war 30 *cm* und *dc* war 28 *cm*. *g* hingegen war wieder möglichst klein.

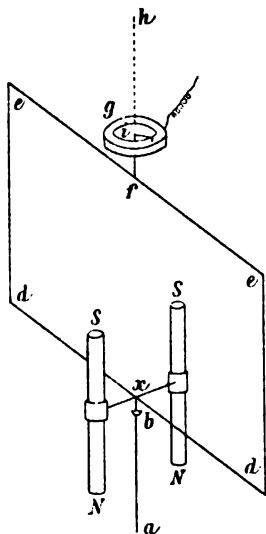


Fig. 5.

Trotz Anwendung starker Ströme von circa 15 Ampère konnte keine Spur einer drehenden Kraft entdeckt werden. Das Resultat war vielmehr, dass der Leiter *ab* die beiden Nordpole *N* nicht längs seiner kreisförmigen Kraftlinien dreht und dass auch die Ampère'sche Regel sich hier nicht in der einfachen, oft beliebten Form anwenden lässt. *xd* ist natürlich nach Biot-Savart ohne Einfluss, da ja um die Drehungsaxe *xd* keine Rotation möglich ist, da auch in den symmetrischen Theilen des Rahmens der Strom in entgegengesetzter Richtung fließt und da überdies die beiden Pole *S* und *N* gleich weit entfernt sind: drei Gründe, von denen jeder einzelne allein schon

genügen würde. Ähnliche Gründe und in erster Linie die grosse Entfernung schliessen einen Einfluss von  $de$  und  $ef$  aus.

Der Sitz der bewegenden Kraft in dem Versuche Fig. 4 liegt im feststehenden Leiter  $xd$ . Dies zeigt folgender Versuch.

Die beiden Magnete (Fig. 6) hängen mittelst des Drahtbügels  $r$  an einem Seidenfadcn, währenddem der Strom  $abd$  fixirt ist, dann dreht sich das Magnetsystem bis zum Anstoss, weil die Fläche  $abd$  einen anziehenden Magneten vorstellt.

Umgekehrt habe ich bei dem Versuche Fig. 5 die mechanische Befestigung der Magneten von dem Rahmen  $xdef$  weggegeben. Die Magnete sind an derselben Stelle wie in Fig. 5,

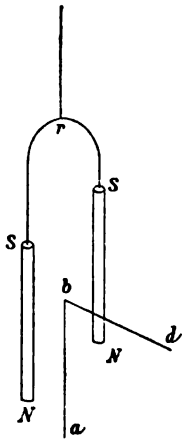


Fig. 6.

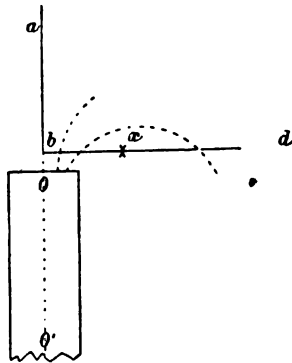


Fig. 7.

aber an einem Stativ befestigt, der dieselben verbindende Draht fehlt.  $ab$  und der Rahmen  $xdef$  waren unverändert. Dann dreht sich dieser Rahmen gleichfalls bis zum Anstoss; wir haben jetzt die *reactio* der in Fig. 6 geschilderten *actio*.

Es ist die Versuchsanordnung Fig. 4, welche von Plücker, Edlund u. A. mit Vorliebe für die Erklärung der unipolaren Induction herbeigezogen wurde, zu diesem Zwecke sehr ungeeignet. Es hat aber Beer<sup>1</sup> diesem Versuche eine übersichtlichere Form gegeben, die (in etwas veränderter Weise) durch obenstehende Fig. 7 angedeutet ist. Es sei  $OO'$  ein sehr grosser

<sup>1</sup> Pogg. Ann., 94, S. 178, 1855.



Magnet, dessen unterer Pol in unendlicher Entfernung sich befindet.  $abx$  rotirt mit dem Magneten,  $xd$  steht fest. Ob wir nun für  $OO'$  einen Vollmagneten oder einen um die Axe symmetrischen Hohlmagneten nehmen, so wird bei Einleiten eines Stromes durch  $abxd$  immer  $abx$  und der mit demselben fest verbundene Magnet rotiren, nach Faraday, weil die feststehenden Kraftlinien auf  $bx$  drücken, nach Preston, weil das feststehende  $xd$  auf die mit dem Magneten fest verbundenen Kraftlinien drückt. Wir haben hier eine Umkehrung der Betrachtungen von S. 952. In gleicher Weise hat auch Beer gezeigt, dass sowohl die Laplace'sche Ansicht, welche zur Plücker'schen Anschauung, von mir als die Faraday's bezeichnet, führt, als auch die Ampère'schen Ideen, welche zur Neumann'schen Theorie, respective mit Berücksichtigung des Begriffes Kraftlinien zur Vorstellung Preston's führen, in gleicher Weise diesen Versuch erklären.

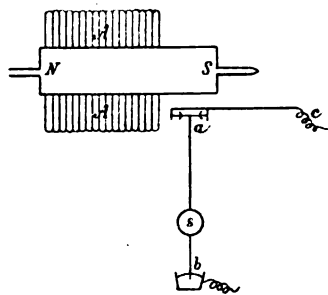


Fig. 8.

 $\frac{1}{4}$  natürl. Grösse.

Ponderomotorische Wirkung eines rotirenden Magneten. Im weiteren Verfolge dieser Ideen machte ich zwei neue Versuche, die vielleicht von einigem Interesse sein dürften. NS (Fig. 7) ist ein horizontal liegender Elektromagnet, AA die magnetisirende Spule, welche gleichzeitig mit dem Magneten um

eine horizontale Axe gedreht werden kann, die Stromzuführung geschieht durch nicht gezeichnete Schleifcontacte;  $ab$  ist ein kleines, 24 cm langes Pendelchen (in der Figur zu kurz gezeichnet), das in keinerlei mechanischer Verbindung mit dem Magneten steht. Das untere Ende des Pendelchen  $b$  taucht in Quecksilber und ein starker Hilfsstrom kann durch  $cab$  hindurchgeleitet werden. Geschieht dies, während der Elektromagnet magnetisch ist, so wird das Pendelchen aus der Ruhelage herausgedrückt und die Ablenkung kann mittelst des kleinen Spiegelchens  $s$  bestimmt werden. Diese Ablenkung war nun gleich gross, ob der Magnet in Ruhe war, oder etwa 80mal in der Secunde gedreht wurde. Durch Commutiren des magne-

tisirenden Stromes oder des Stromes im Pendelchen oder durch Änderung der Rotationsrichtung wurde dieser Versuch in mannigfacher Weise variirt, das Resultat blieb aber immer das gleiche.

Nach Faraday ist das selbstverständlich, denn die Kraftlinien stehen trotz der Rotation fest, das Feld bleibt physikalisch ganz unverändert. Nehmen wir aber an, dass die Kraftlinien mit dem Magneten rotiren, so haben wir schon eine gewisse Einschränkung, wonach der Druck eines stromdurchflossenen Leiters gegen magnetische Kraftlinien von einer Eigenbewegung dieser Kraftlinien ganz unabhängig ist.

Diese Differenz beider Anschauungen tritt vielleicht in folgendem Versuche noch klarer zu Tage. Es handelt sich um Beantwortung der Frage, ob das bekannte Faraday'sche Pendel,<sup>1</sup> das, wenn es stromführend ist, um einen Magneten herumrotirt, in seiner Rotationsgeschwindigkeit sich ändere, wenn man den Magneten selbst mechanisch in derselben Richtung oder in entgegengesetzter dreht. Aus technischen Gründen wurde dieser Versuch in folgender Form, gleichsam auf den Kopf gestellt, ausgeführt.

NS (Fig. 9) ist der Eisenkern mit der Spule; er steckt in einer verkehrt aufgestellten Centrifugalmaschine nach abwärts; der magnetisirende Strom wird durch Schleifcontacte zugeleitet, damit auch hier die magnetisirende Spule mitrotire. *ab* ist ein Metallständer mit einem Quecksilbernäpfchen *b*; *eg* sind zwei feststehende, concentrische, kreisförmige Quecksilberrinnen, die miteinander (durch Überbrückung von zahlreichen Eisendrähthchen) in leitender Verbindung stehen; der Draht *fh* ist fest mit dem Magneten verbunden und rotirt mit demselben; *r* sind Gegengewichte, damit das Drahtsystem *cde* auf der Spitze *c* stabil stehe. Der Strom, der durch das Faraday'sche Pendelchen *cde*

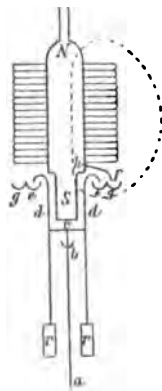


Fig. 9.  
<sup>1</sup>/<sub>4</sub> natürl. Grösse.

<sup>1</sup> Siehe z. B. Pfaundler, Lehrbuch der Physik, III, S. 702—704, 1888 bis 1890 oder Wüllner, Lehrbuch der Physik, IV, S. 895, 1886.

geht, nimmt im Ganzen den Verlauf durch den Leiter  $ab$ , der fix ist, weiter durch  $cde$ , welcher durch elektromagnetische Einwirkung rotiren kann; der Strom geht dann aus der feststehenden Quecksilberrinne  $e$  in die feststehende Nachbarrinne  $g$ ; in diese taucht der mit dem Magneten verbundene Draht  $fh$ , durch welchen der Strom in den Magneten eintritt, um durch einen (nicht gezeichneten) Schleifcontact bei  $N$  wieder zur Batterie zurückzukehren.

Steht der Elektromagnet fest, so rotirt das Drahtsystem  $cde$ , ich kann aber auch den wirkenden Elektromagneten mechanisch in Rotation versetzen. Weil gleichzeitig mit dem Magneten  $fh$  rotirt, muss  $fh$  in eine zweite Quecksilberrinne tauchen, um nicht durch Reibung die Rotation des eigentlichen Pendelchens zu beeinflussen. Stand der Elektromagnet ruhig, so fanden etwa 60 Umdrehungen des Pendelchens in 30 Sekunden statt; genau dieselben Zahlenverhältnisse wurden aber auch gefunden, wenn man den Elektromagneten mit beliebigen Geschwindigkeiten in gleicher oder entgegengesetzter Richtung rotirte.

Steht der Magnet ruhig, so geben beide Theorien das gleiche Resultat. Sowie durch den Leiter im Felde Strom fließt, wird derselbe gegen die Kraftlinien gedrückt und rotirt immer rascher, bis seiner weiteren Beschleunigung durch die Reibung und Inductionsströme ein Ziel gesetzt wird. Die Energie dieser Rotation entsteht nach beiden Theorien durch den elektrischen Strom, der die durch die Rotation entstehende elektromotorische Gegenkraft überwinden muss.

Lassen wir nun durch mechanische Kraft den Magneten ebenso rasch rotiren, als es der Leiter unter dem Einflusse des Stromes thut, so verlangen wieder beide Theorien dasselbe, dass nämlich jetzt die Energie der Pendelrotation nicht mehr durch den Strom, sondern durch die mechanische Energie der Rotation des Magneten geliefert werde. Nur aus verschiedenen Gründen. — Nach Faraday stehen auch jetzt die Kraftlinien fest. Es entstehen sowohl einerseits in  $cde$ , als auch anderseits in der Strombahn im Magneten  $hN$  elektromotorische Gegenkräfte, die sich aber gegenseitig aufheben. (Das wird aus der Betrachtung der einen, in der Figur punktirt gezeichneten Kraft-

linie unmittelbar ersichtlich.  $hf$  kann nach Belieben klein gemacht werden, es ist daher seine Wirkung zu vernachlässigen.) Nach Preston bewegen sich Kraftlinien und Leiter gleich schnell, es findet also auch hier keine Schwächung des ursprünglichen Stromes statt, somit kommt die Rotationsenergie des Pendelchens von der Rotationsenergie des Magneten.

Nach Maxwell sucht ein vom Strome durchflossener Leiter im magnetischen Felde jene Lage einzunehmen, bei welcher er die möglichst grösste Anzahl von Kraftlinien umschliesst. Das gilt aber in unserem Falle nicht, weil hier der Magnet sich bewegt.<sup>1</sup>

Somit liefert dieser Versuch auch keine Entscheidung.

Unipolare Induction in einem Eisenrahmen. Folgender Versuch wäre vom Standpunkte der Theorie Faraday's sehr leicht zu erklären, während er nach der Preston's eine eigenthümliche Schwierigkeit bietet. Diese Schwierigkeit tritt aber auch bei Beibehaltung der Idee Faraday's, wiewohl an anderer Stelle (siehe S. 979) auf.

Es wurde die Änderung der unipolaren Induction eines Magneten untersucht, wenn man die magnetischen Kraftlinien durch feststehende massive Eisenmassen gehen liess; der Magnet rotirte in einem Eisenrahmen oder aber ausserhalb desselben.

In nachstehender Fig. 10 sehen wir in *a* den verticalen Längsdurchschnitt, der die magnetische Axe enthält, in *b* eine perspectivische Ansicht des Eisenrahmens ohne Magneten und endlich in *c* einen auf die magnetische Axe senkrechten Verticalschnitt durch die Äquatorebene des Magneten. Es sei *NS* der Elektromagnet, der durch die Axenverlängerungen *e* und *i* in rasche Rotationen versetzt werden kann. Die Axe *ei*

---

<sup>1</sup> Ein analoger Fall auf mechanischem Gebiete wäre folgender: Es sei eine feststehende Kugel *a*, welche eine Kugel *b* mit der Newton'schen Gravitation anzieht. Die Kugel *b* fällt, indem sie von Orten minderen Potentials zu solchen höheren Potentials fortschreitet. Bewege ich aber die anziehende Kugel *a* mit einer Geschwindigkeit, welche ebenso gross ist und gleich gerichtet wie die von *b*, so ändert sich die Entfernung der beiden Kugeln nicht, die Kugel *b* bleibt stets auf Orten gleichen Potentials und die Bewegungsenergie des gesamten Systemes rührt her von jener Energie, welche von aussen her in die Kugel *a* hineingesteckt wird.

geht ohne Berührung durch die Löcher des Rahmens und die Dimensionen des Magneten sind so gewählt, dass der Rahmen (Fig. 10 a) sowohl von oben und unten, als auch von rechts und links möglichst dicht an den Magneten heranreicht. Die

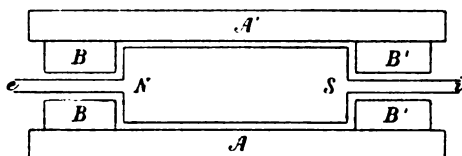


Fig. 10 a.

$\frac{1}{3}$  natürl. Grösse.

(nicht gezeichneten) Windungen des Elektromagneten rotiren mit demselben; der magnetisirende Strom wurde mittelst zweier

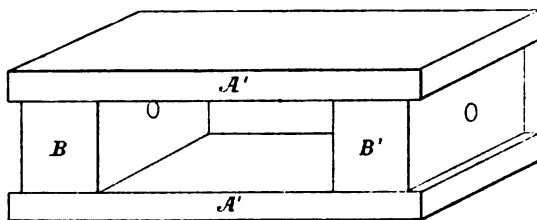


Fig. 10 b.

Schleifcontacte zugeführt und war auf das Sorgfältigste vom Magneten isolirt. Der Eisenrahmen, welchen man um diesen Magneten herum bauen konnte, bestand aus zwei Eisenplatten

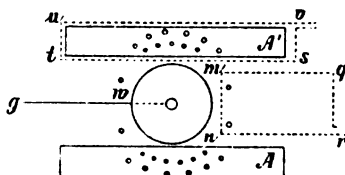


Fig. 10 c.

$A$  und  $A'$  und aus zwei durchbohrten Eisenparallelepipeden  $B$  und  $B'$ .

Bevor ein Versuch über unipolare Induction gemacht wurde, untersuchte ich zuerst das Feld durch gewöhnliche Induction. Eine einfache, mit einem Galvanometer verbundene Drahtschlinge umgibt den Äquator des Magneten und man erhält, nach Anbringung aller Correctionen beim Commutiren des magnetisirenden Stromes einen Ausschlag von  $2 \cdot 21$  ohne

Eisenrahmen und 7·37 mit Eisenrahmen, es ist somit die Gesamtanzahl aller Kraftlinien in Folge der Anwesenheit des Eisens 3·34mal so gross geworden. Die Mehrzahl der Kraftlinien wird aber im zweiten Falle durch das Eisen hindurchgehen. Um das zu constatiren, wurde eine zweite rechteckige Schlinge *stuv* um die Eisenplatte *A* gelegt (siehe Fig. 10 *c*). Die Induction in diesem Rechtecke war 3·01, somit gehen von 7·37 Kraftlinien  $2 \times 3\cdot01$  oder 6·02 durchs Eisen. Ich füge noch hinzu, dass eine Rotation des Magneten während dieser Messung keinen Einfluss hatte, es gingen also die Kraftlinien vom rotirenden Magneten gerade so weg, wie vom ruhenden.

Des Späteren wegen erwähne ich noch folgende Inductionsmessung. Eine rechteckige Spule *qmnr* (Fig. 10 *c*) ist in dem Luftraume des Eisenrahmens in der Äquatorebene eingeschoben. Beim Commutiren des magnetisirenden Stromes erhält man ohne Eisenrahmen 0·99 und mit Eisenrahmen 0·21, d. h. es wurde das Feld an der Stelle des Äquators durch Anbringung des Eisenrahmens 4·75mal so schwach. Diese Zahl kann mit den vorigen nicht unmittelbar verglichen werden, weil diese Spule aus mehreren Windungen bestand und auch keine für die spätere Überlegung überflüssige Messungen der Dimensionen dieser Spule ausgeführt wurden.

Jetzt erst wurde zur Bestimmung der unipolaren Induction geschritten. Ein Schleifcontact *wg* (Fig. 10 *c*) und die Axe *e* (Fig. 10 *a*) führen zum Galvanometer; die unipolare Induction beträgt 12·6 im Eisenrahmen und 3·6 ohne Eisenrahmen. Es ist somit die unipolare Induction durch Anwendung des Eisens 3·5mal vergrössert worden. Nach Faraday's Theorie ist die Erklärung sehr einfach. Alle Kraftlinien gehen durch das Innere des Magneten. Der Sitz der elektromotorischen Kraft liegt in *ow* (Fig. 10 *c*), wo durch den rotirenden Magneten die im Innern des Magneten liegenden feststehenden Kraftlinien geschnitten werden. Alles was aussen im magnetischen Felde die Anzahl der Kraftlinien ändert, muss auch die Anzahl der Kraftlinien innerhalb des Magneten und daher auch den Betrag der unipolaren Induction um gleich viel verändern. Durch den Eisenrahmen erhielten wir eine 3·34fache Vermehrung der

Kraftlinien und eine 3·5fache Vergrösserung der unipolaren Induction. Diese beiden Zahlen sind mit Rücksicht auf die Fehlerquellen an den Schleifcontacten u. dgl. als gleich anzusehen.

Viel complicirter wird die Erklärung, wenn wir uns auf die Anschauungsweise stellen, dass die Kraftlinien mitrotiren. Der Sitz der elektromotorischen Kraft ist dann im feststehenden Draht *gn* zu suchen (Fig. 10 c). Wir haben aber früher gesehen, dass durch Anbringung des Eisenrahmens die Anzahl der

Kraftlinien an der Stelle *gn* auf den etwa fünften Theil  $\left(\frac{0\cdot99}{0\cdot21}\right)$

verkleinert wird und trotzdem ist die unipolare Induction an dieser Stelle 2·5mal so gross. Es stellen in Fig. 10 c die Punkte den Äquatorialdurchschnitt der Kraftlinien dar, von je 7·37 gehen nach den früheren Messungen 6·02 durch das Eisen, nur 20% gehen durch den Luftraum. Gleichwohl müssen bei einer Umdrehung alle Kraftlinien die Strecke *gn* passiren, da ja die unipolare Induction in *gn* ihrer Grösse nach dem Schneiden aller Kraftlinien entspricht. Daraus folgt, dass die Kraftlinien mit sehr grosser Geschwindigkeit rotiren; sie werden im oberen *A* längere Zeit verweilen und dann plötzlich mit einer Geschwindigkeit, die viel grösser ist, als die Rotationsgeschwindigkeit des Magneten, in das untere *A* hinunterspringen, um die versäumte Rotation nachzuholen. Nur so glaube ich vom Standpunkte Preston's aus meine Resultate erklären zu können.

Diese Rotationsversuche im Eisenrahmen lassen sich nach Faraday viel ungezwungener erklären; es wäre aber voreilig, dies zu Gunsten dieser Theorie deuten zu wollen, da wir eben dasselbe »Springen der Kraftlinien« bei Erklärung einer anderen Thatsache (S. 979) vom Standpunkte Faraday's nicht werden entbehren können.

Eine ähnliche Schwierigkeit wird auch von Ermacora<sup>1</sup> angegeben. Er kommt zur Ansicht, dass in solchen eisen-

<sup>1</sup> Ermacora, Ein fundamentaler Punkt der elektrodynamischen und Inductionstheorie und die wahrscheinliche Existenz eines vierten elektrischen Feldes. (Rend. della Soc. Ital. di Elettricità pel progresso degli studi e delle applic. I. Mai 1891. Übersetzt in Zeitschr. für Elektrotechnik, Kareis, Wien, IX. S. 424, 1891.)

geschirmten Räumen die durch Schwingungen einer Magnetnadel und dergl. bestimmte Feldstärke für die durch das Schneiden derselben Kraftlinien hervorgebrachte Induction nicht massgebend sei. Ich werde auf diesen interessanten Fall am Schlusse der Arbeit noch einmal kurz zurückkommen.

## II. Elektrometrische Versuche.

Die bis jetzt geschilderten Überlegungen haben keine Entscheidung geliefert. Nach der Ansicht Faraday's muss ein unipolar gedrehter Magnet elektrische Spannungen aufweisen, und es liegt daher die Idee nahe, diese Spannungen elektrometrisch nachzuweisen, wie dies wohl zuerst Beer verlangt hat.<sup>1</sup> Wiewohl ich auf diese Weise durchaus keine einwurfsfreien Resultate erhielt, möchte ich mir doch erlauben, einige Worte über meine diesbezüglichen, oft sehr complicirten Versuche zu sagen.

Die Schwierigkeit bei allen derlei Versuchen liegt natürlich darin, dass man an dem rotirenden Magneten keine Erdleitung anbringen kann und daher zu Tropfelektroden und ähnlichen Hilfsmitteln greifen muss.

Potentialverschiebung in einem ruhenden Leiter. Am einfachsten erschiene es, die eventuelle Ladung oder Nichtladung eines dem rotirenden Magneten benachbarten feststehenden Leiters zu constatiren. Es sei  $NS$  (Fig. 11) ein um eine verticale Axe rotirender Magnet, der in der Axenrichtung  $SO$  zur Erde abgeleitet sei,  $ab$  sei ein Leiter, der nach der Theorie Preston's Spannungsdifferenzen zwischen  $a$  und  $b$  aufweisen muss. Der obere Theil des Leiters sei durch  $E$  zum Elektrometer abgeleitet. Wegen der grossen Capacität des Elektrometers würde der ganze Potentialanstieg an dem Punkte  $b$  sitzen. Wir können nun aber durch einen Draht, der vom Punkte  $b$  zur Erde führt, keine Ableitung vornehmen, da ja dieser Draht durch dieselben Kraftlinien wie  $Eb$ , aber im entgegengesetzten Sinne

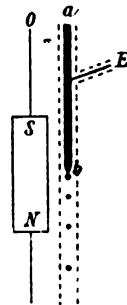


Fig. 11.

<sup>1</sup> Pogg. Ann. 94, S. 192, 1855.



geschnitten würde. Es liegt nun die Idee nahe, in *b* eine Tropfelektrode anzubringen. Die Potentialdifferenzen, mit welchen ich im günstigsten Falle arbeiten konnte, waren  $\frac{1}{100}$  Volt; es wäre daher nothwendig, um die Elektrisirung der Tropfelektrode durch Reibung der Luft, und um die Influencirung der Tropfelektrode, welche nach der Faraday'schen Theorie vom rotirenden Magneten ausströmen würde, zu vermeiden, die Tropfelektrode mit einer zur Erde abgeleiteten Röhre (in der Figur punktirt gezeichnet) zu umgeben. Diese Röhre unterliegt aber nach der Theorie Preston's gleichfalls durch das Schneiden der rotirenden Kraftlinien einer magnetischen Induction, die Tropfelektrode tropft von allem Anfange an in einem Gehäuse, welches genau jenes Potentiale im Innern erzeugt, das die Tropfelektrode von allem Anfange an gehabt hat. Eine Ableitung findet daher nicht statt. Ich weiss nicht, durch welche Art von Kunstgriffen man dieses Hinderniss umgehen könnte.

Potentialverschiebung im rotirenden Magneten. Ich habe in Folge dessen die Spannung des rotirenden Magneten selbst nachzuweisen versucht, wobei ich zunächst die Idee verfolgte, die Tropfelektroden mitrotiren zu lassen. Ein grosser, isolirter Elektromagnet rotirte um eine horizontale Axe, ein Draht führte in der Richtung der Axe zum Elektrometer. Nach der anderen Richtung war die Axe hohl und stand mit einem isolirten Wasserreservoir in Verbindung, der Wasserkanal ging bis in die Mitte des Magneten und bog dort senkrecht gegen den Äquator des Magneten ab, wo das Wasser bei einer raschen Rotation des Magneten in Form eines feinen Sprühregens herausgeschleudert wurde. Der ganze Magnet befand sich in einem Metallkasten von 1.5 m im Gevierte, der zur Erde abgeleitet war. Ich dachte so eine Ableitung jener Elektricitäten, die am Äquator sich anhäuften, bewerkstelligen zu können. Bei raschen Rotationen war aber die Reibung des ausströmenden Wassers viel zu gross, der Magnet wurde so stark negativ elektrisch, dass das Elektrometer weit über die Scala hinausging.

Ich liess nun an derselben Axe zwei in der eben geschilderten Art construirte Magnete rotiren, der magnetisirende

Strom wurde aber in beiden Magneten nach entgegengesetzter Richtung herumgeführt. Die Axe des einen Magneten war mit dem einen Quadrantenpaar, die Axe des zweiten Magneten mit dem zweiten Quadrantenpaar des Elektrometers verbunden. Ich hatte so gehofft, dass die Elektrisirung durch die Reibung des ausspritzenden Wassers sich compensiren würde, während durch die Anwendung der zwei Magnete die Wirkung der unipolaren Induction beim Commutiren sich verdoppeln würde. Das Elektrometer blieb zwar innerhalb des Gesichtsfeldes, war aber so unruhig, dass die grosse Mühe, die ich mir mit diesem Versuche gegeben, leider resultatlos blieb. Gleichwohl glaube

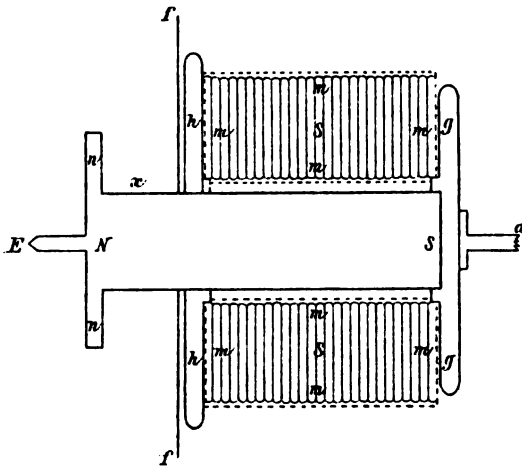


Fig. 12.

 $\frac{1}{2}$  natürl. Grösse.

ich, dass diese Anordnung bei Anwendung besserer Hilfsmittel noch am ehesten Aussicht auf Erfolg hätte. Ich habe mich nicht weiter mit derselben bemüht, weil mir inzwischen die auf S. 976 zu schildernden Versuche entscheidend zu sein schienen.

Nur noch einen elektrometrischen Versuch will ich beschreiben, der unter einer gewissen Annahme zu Gunsten der Faraday'schen Hypothese spricht und bei dessen Schilderung ich einige der Fehlerquellen, die auf diesem Gebiete auftreten, erwähnen kann. NS (Fig. 12) ist der Eisenkern eines Elektromagneten. Dieser Eisenkern hat nach links eine Polscheibe *nn*; die Axe *E* führt zum Elektrometer. *hh* und *gg* sind zwei Hartgummischeiben. Die Axe *a* ist durch die Hartgummischeibe *gg*

vom Magneten isolirt;  $m \dots m$  ist eine zur Erde abgeleitete Metallhülle, in welcher die magnetisirende Spule  $s, s$  aufgewickelt ist. Diese Spule wird durch zwei nicht gezeichnete Schleifcontacte mit dem magnetisirenden Strom versehen. Die zur Erde abgeleitete Einhüllung  $m$  der Spule ist nothwendig, weil der magnetisirende Strom sonst durch statische Influenz auf den Eisenkern und das Elektrometer wirkt. Das Ganze befindet sich in einem grossen, zur Erde abgeleiteten Kasten von  $1.5 m$  im Gevierte. Die Verlängerung der Axe  $a$  führt durch die Wand des Kastens hindurch, der Schnurlauf zum Antrieb des Magneten befindet sich so natürlich ausserhalb des Kastens, da die Reibung der Schnur viel zu viel Elektrizität erzeugen würde.  $f$  ist eine dünne Eisenplatte, um den Punkt  $x$ , wo die Ableitung der Elektrizität stattfinden soll, vor dem Einflusse der Hartgummiplatte  $hh$  zu schützen. Dieses ganze, eben beschriebene und in der Figur dargestellte System rotirt circa 80mal in der Secunde.

Lässt man bei  $x$  einen zur Erde abgeleiteten Draht schleifen, so zeigt das Elektrometer beim Commutiren Spannungsänderungen von circa  $\frac{1}{40}$  Volt. Die Frage ist jetzt natürlich, ob diese elektromotorische Kraft im Magneten oder in dem bei  $x$  schleifenden Drahte ihren Sitz hat. Um das zu entscheiden, muss an Stelle des schleifenden Drahtes eine andere discontinuirliche Ableitung ersonnen werden.

Auch hier versuchte ich es zunächst mit Tropfen, welche von oben her auf  $x$  auffielen; es waren aber die störenden Ursachen zu vorwiegend und selbst ein Doppelsystem mit Gegen-schaltung (analog dem oben geschilderten) hatte keinen Erfolg. Nun wurde um  $x$  ein Papierstreifen so gewickelt, dass, mit Hilfe zweier unterlegter Drahttringe, zwischen dem Magneten und dem Papierstreifen etwa  $1 mm$  Luftschichte war. Die Oberfläche des Papiers war berusst und stand in leitender Verbindung mit dem Magneten. Wurden nun die Strahlen einer kräftigen Wechselstrombogenlampe mit Hilfe eines vergoldeten Hohlspiegels so auf  $x$  concentrirt, dass  $x$  den Brennpunkt des Lichtkegels bildete, so trat beim Rotiren und Commutiren ein Ausschlag von derselben Grössenordnung auf, wie wenn auf  $x$  ein zur Erde abgeleiteter Draht schleifte. Ich verhehle mir aber

nicht, dass ich mit diesem Versuche keine einwurfsfreie Stütze der Anschauung Faraday's geschaffen. Abgesehen von der Elektrisirung durch die Bestrahlung, welche bald —, bald + war, der Unruhe des Elektrometers und sonstiger Fehlerquellen geschieht hier die Ableitung durch Wärmewirkung, und man könnte immerhin annehmen, dass nach Preston eine Induction in dem aufsteigenden warmen Luftstrom stattgefunden habe.

Ich habe die Ergebnisse dieses Capitels, in welchem eine fast zweijährige, angestrengte experimentelle Arbeit steckt, nur desswegen kurz mitgetheilt, um die Schwierigkeiten einer Entscheidung der aufgeworfenen Frage mittelst elektrometrischer Messung darzuthun.

### III. Entscheidende Versuche.

Folgende Versuche scheinen mir aber nur im Sinne einer Entscheidung der untersuchten Frage zu Gunsten der ursprünglich Faraday'schen Theorie gedeutet werden zu können. Ein

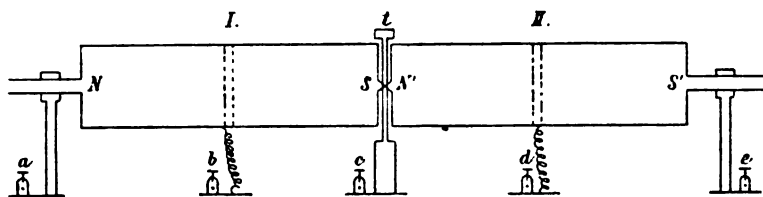


Fig. 13.

$\frac{1}{4}$  natürl. Grösse.

Magnet ist im Äquator durch einen zur Axe senkrechten Schnitt gleichsam in zwei Theile getheilt und es kann jetzt jeder dieser zwei Theile für sich allein gedreht werden. In Fig. 13 sind NS und N'S' zwei Elektromagnete, deren ungleichnamige Pole S und N' möglichst knapp aneinanderstossen. Die Entfernung der beiden Magnete betrug 9 mm, weil ja die Stütze t zwischen denselben eine gewisse Festigkeit haben musste; die Länge jedes Magnetes war 16 cm. Die (in der Figur nicht gezeichnete) Drahtwicklung war fest mit den Magneten verbunden und rotirte mit denselben. Jeder der Magnete besass zwei Schleifcontacts zur Zuführung des magnetisirenden Stromes, der aber von dem Eisenkerne selbst sehr sorgfältig isolirt war. Die beiden Magnete wurden stets in derselben Richtung erregt,

indem der magnetisierende Strom zuerst um I und dann in derselben Richtung um II herumfloss. Beim Commutiren kehrte sich die Richtung in beiden um, so dass immer zwei ungleichnamige Pole zusammenstiessen, das Ganze somit gleichsam einen einzigen Magneten darstellte. Fig. 14 gibt den experimentell gefundenen Verlauf der Kraftlinien in quantitativ richtiger Weise (willkürliches Masssystem).<sup>1</sup>

Zur Untersuchung der Unipolar-Induction dienen die Klemmen *abcde* (Fig. 13); *b* und *d* führen zu zwei Schleifcontacten am Äquator der beiden Magnete, metallisch verbunden

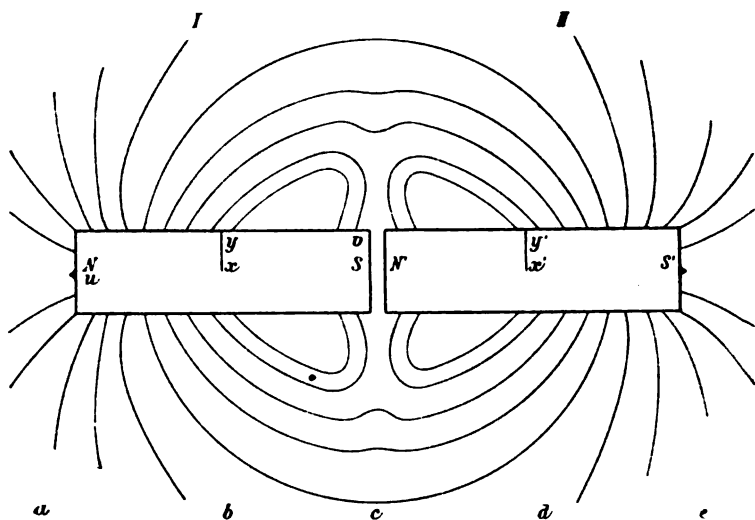


Fig. 14.

mit den Eisenkernen und wohl isolirt von der magnetisierenden Spule; die Klemme *c* ist in Verbindung mit der Axe *S* und *N'*, *a* mit der Axe *N*, *e* mit der Axe *S'*.

Es sei nun zunächst *c* und *d* mit dem Galvanometer verbunden, Magnet I steht fest, II rotirt einmal per Sekunde (directer Antrieb ohne Übersetzung). Wir erhalten nach Anbringung aller Correctionen im Mittel einen Ausschlag von 38. Ist hingegen *de* mit dem Galvanometer verbunden, so haben

<sup>1</sup> Siehe Anmerk. S. 955. In der citirten Arbeit von Zuchristian ist auch die eigenthümliche Knickung der Kraftlinien in der Mitte begründet. In Fig. 14 sind die Kraftlinien zwischen *S* und *N'* weggelassen, weil der Raum *SN'* für eine Beobachtung zu schmal war.

wir einen Ausschlag von 39, in beiden Fällen fliesst der Strom vom Äquator gegen die Axe (oder bei Rotations- respective Stromwechsel umgekehrt). Diese beiden Zahlen sind gleich, da ja der Magnet II in beiden Fällen ganz symmetrisch abgeleitet wird.

Nach Faraday sitzt die elektromotorische Kraft in beiden Fällen in der Strecke  $x'y'$  (Fig. 14). Eine genaue Besichtigung dieser Zeichnung zeigt aber, dass diese beobachtete Gleichheit nach Preston schon schwer zu erklären wäre. Des Ferneren aber sollen die Kraftlinien an den Magneten festgebunden sein. Ich frage nun: an dem rotirenden Magneten II oder an den feststehendem I? Ja ich kann bei diesen beiden Versuchen, währenddem II gleichmässig fortrotirt, I in derselben oder in entgegengesetzter Richtung rotiren lassen, ohne dass das Resultat sich ändert.

Folgender Versuch ist nur eine Art von Wiederholung und Erweiterung des vorhergehenden. Es rotire I, Galvanometerleitung sei  $bc$  und II sei ruhig, so erhalte ich einen Strom von der Grösse 40. Diese Zahl ist etwas grösser als die oben gefundene analoge 38, weil die Schleifcontacte nicht absolut gleich aufsitzen u. s. w. Jetzt verbinde ich  $b$  und  $d$  mit dem Galvanometer. Rotire ich II, während I ruhig ist, erhalte ich einen Strom 38, rotirt hingegen I, und II ist ruhig, erhalte ich einen Strom von 40. Das ist wieder nur eine Wiederholung der bereits gemachten Versuche. Jetzt lasse ich aber beide Magnete entgegengesetzt rotiren und erhalte einen Ausschlag von 79 (fast gleich  $38 + 40$ ). Dieser merkwürdige Versuch erklärt sich nach Faraday sehr einfach. Alle Kraftlinien, die wir aussen haben, gehen durch das Innere der Magneten so ziemlich parallel der Axe, die Kraftlinien stehen aber fest; durch das Drehen des Magneten II werden die Kraftlinien in  $x'y'$  geschnitten, durch die entgegengesetzte Drehung des Magneten I die Kraftlinien in  $xy$ , und diese beiden gleichgerichteten Ströme können nun, wenn die beiden Magnete sich einzeln drehen, einzeln hervorgerufen werden; drehen sich jedoch beide Magnete gleichzeitig, aber entgegengesetzt, so summiren sie sich; drehen sich beide Magnete in gleichem Sinne, so heben sie sich auf.

Wollen wir diesen Versuch nach Preston erklären, so müssen wir zu einer ziemlich gezwungenen Annahme unsere Zuflucht nehmen. Sehen wir zunächst von der Zeichnung Fig. 14 ab, so wirken, nach den wirklichen Versuchsergebnissen beurtheilt, die Magnete I und II ungefähr so, wie wenn sie ganz weit von einander wären; die Kraftlinien des Magneten II drehen sich nach Preston mit diesem Magneten, ebenso sind die Kraftlinien des Magneten I an dem Magneten I fixirt. Nun sind aber in facto die Magnete ja nebeneinander; die in Fig. 14 wiedergegebenen experimentellen Resultate zeigen uns ja ein Ineinanderfliessen der Kraftlinien; wir müssen da folgerichtig, wollen wir die Preston'sche Anschauung beibehalten, dieses

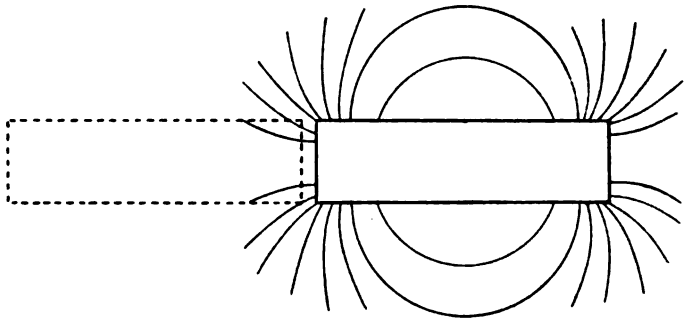


Fig. 15.

Ineinanderfliessen als eine secundäre Erscheinung auffassen und müssen etwa folgendermassen schliessen: Es seien die wirklichen Kraftlinien, deren Rotation die unipolare Induction verursacht, einerseits und jene Kraftlinien, welche die gewöhnliche Induction und das Ausrichten der Eisenfeile bewirken, anderseits, etwas Verschiedenes. Wir hätten es im letzteren Falle bereits mit einer resultirenden Wirkung beider Systeme zu thun, welche die Einzelwirkung des einzelnen Magneten verdeckt, während bei der Unipolarinduction gerade diese Einzelwirkung in Thätigkeit tritt.

Trotz diesem etwas gezwungenen Erklärungsversuche bleibt aber noch immer eine Schwierigkeit übrig. Wenn wir den einen Magneten in grosser Entfernung vom zweiten untersuchen, so gibt er für sich allein das in Fig. 15 dargestellte Feld.

Die Kraftlinien sind jetzt weniger geworden; es gibt auch die unipolare Induction  $dc$  statt 38 nur 33. Wenn wir nun auch annehmen, dass, was unipolare Wirkung anlangt, das Feld jedes Magneten so für sich bestünde, wie wenn der zweite Magnet nicht da wäre, so müssten wir auch noch ganz eigenthümliche Annahmen machen, weil durch Hinzufügen des zweiten Magneten ja die Anzahl der Kraftlinien vermehrt wurde und sich diese Vermehrung in der unipolaren Induction der nebeneinander rotirenden Magneten zeigte. Wir müssten also etwa so schliessen: Die Anwesenheit des zweiten Magneten vermehrt die Kraftlinien des ersten, welche Kraftlinien aber dann unabhängig vom zweiten Magneten mit dem ersten rotiren und vice versa.<sup>1</sup>

Aber selbst dieser Rattenschwanz von Ausflüchten scheint mir folgendem Experimentum crucis nicht Stand zu halten.

Es wurde an dem Apparat Fig. 13 folgende Änderung vor-

genommen. Fig. 16 stellt in  $\frac{1}{2}$  der natürl. Grösse (doppelter Massstab der Fig. 13) jene Stelle dar, wo die Magnete I und II einander gegenüberstehen, es sind in  $S$  und  $N'$  die Hartgummispitzen  $r$  und  $r'$  eingedreht und die Magnete liegen jetzt auf der mittleren Stütze  $t$  mit Hilfe dieser isolirenden Spitzen

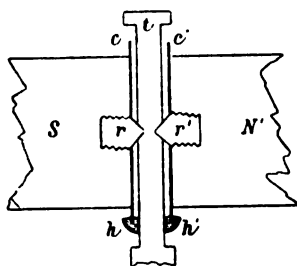


Fig. 16.

auf. Ferner ist an diese beiden Endflächen  $S$  und  $N'$  der Magneten je eine Kupferplatte  $c$ , respective  $c'$  aufgelöthet, deren Durchmesser den des Eisen-cylinders und seiner Umwicklung um Weniges überragt, so dass die Platte  $c$  unten in eine Quecksilberrinne  $h$  eintauchen kann, respective  $c'$  in  $h'$ . Während also in den früheren Versuchen die Axen der beiden Magneten in leitender Verbindung waren, muss jetzt der inducirte Strom aus dem Magneten  $S$  durch  $c$  in das Quecksilbernäpfchen  $h$  gelangen; dies ist in

<sup>1</sup> Schaltet man die Magnete so, dass gleichnamige Pole einander gegenüberstehen, so lassen sich auch verschiedene interessante Combinationen der Ableitungen treffen, die aber dann, wo ja jedes Feld für sich existirt, zur Klärung obiger Frage nichts beitragen können.



metallischer Verbindung mit  $h'$  und von hier geht der Strom über  $c'$  nach  $N'$ , sonst ist der Apparat und die Bezeichnung der einzelnen Theile dieselbe wie früher;  $h$  und  $h'$  stehen in leitender Verbindung mit der Klemme  $c$  der Figuren 13 und 14.

Zur einleitenden Orientirung zunächst folgende Versuche:  $ab$  ist mit dem Galvanometer verbunden, wir erhalten einen Ausschlag 40, ob nun II mitrotirt oder ruhig ist,  $cb$  gibt einen Ausschlag von 7 nach entgegengesetzter Richtung, wobei es wieder gleichgiltig ist, ob II mitrotirt oder nicht.  $ac$  gibt uns die Differenz dieser beiden Werthe 32. Dass diese Ergebnisse jetzt anders aussehen müssen wie früher, zeigt eine einfache Überlegung der in Fig. 16 dargelegten Verhältnisse, da jetzt die Kupferplatte  $cc$  mitrotirt. Nach Faraday stammen diese elektromotorischen Kräfte von dem Durchschneiden der Kraftlinien entlang der Mantelfläche  $uy$ , respective  $uv$ . Ob wir das Schneiden durch die Mantelflächen oder durch Linien, welche senkrecht auf den Axen stehen, uns bewerkstelligt denken, ist gleichgiltig, da es ja immer nur auf die Endpunkte des Leiters  $u$  und  $y$ , respective  $y$  und  $v$  ankommt.  $yv$  wirkt in entgegengesetztem Sinne, weil hier die Kraftlinien zum grössten Theil wieder zurückgehen, während  $u(y)v$  durch die Differenz dieser beiden Werthe bedingt ist. Selbst das Verhältniss 32 : 7 lässt sich innerhalb der Fehlergrenzen (der Schleifcontact bei  $x$  war so breit, dass er etwa zwei Kraftlinien umfasste) aus den Kraftlinien mit 8 : 2 wiederfinden. Ich will die Schwierigkeit, welche die Anschauung Preston's bei Erklärung dieser Resultate mit sich bringt, nicht auseinander setzen, da folgender analoge Hauptversuch noch geeigneter zu diesem Zwecke erscheint.

Ich verbinde nämlich  $a$  und  $e$  mit dem Galvanometer, die Galvanometerleitungen sind so geführt, dass sie die Verlängerungen der magnetischen Axen bilden. Rotirt jetzt I allein (Versuch 1), erhalte ich einen Strom von 33, rotirt II allein und in entgegengesetzter Richtung (Versuch 2) erhalte ich wieder einen Strom 33·5 von derselben Richtung. Rotiren aber beide Magnete gleichzeitig und nach entgegengesetzten Richtungen (Versuch 3), erhalte ich die Summe der beiden Ausschläge, nämlich 66. Findet die Rotation nach gleichen Richtungen statt, so tritt kein Strom auf.

Nach Faraday ist die Erklärung sehr einfach. Die Kraftlinien stehen fest, die Mantelfläche des einen Magneten schneidet sie in der einen Richtung, die Mantelfläche des zweiten Magneten in entgegengesetzter Richtung, und wir können wieder nach Belieben jede dieser elektromotorischen Kräfte einzeln oder auch ihre Summe oder ihre Differenz in Thätigkeit treten lassen.

Stellen wir uns aber auf den Standpunkt, dass jeder Magnet mit seinem eigenen Kräftesystem, trotz Fig. 14 rotire; es war dies das letzte Auskunftsmittel, unter dem wir die Preston'sche Theorie — und das nicht befriedigend — halten konnten. Die Kraftlinien des einen Magneten II ohne Anwesenheit von I stellt Fig. 15 dar. Denken wir uns nun, dass in Bezug auf die unipolare Wirkung die Anwesenheit von I das Feld II, wenigstens was die Richtung der Kraftlinien anbelangt, nicht ändere. Wenn nur II allein rotirt, haben wir einen Ausschlag von 33. Soll die Induction in einem feststehenden Leiter stattfinden, so steht uns nur die Mantelfläche *ab* zur Verfügung und die daselbst geschnittenen Kraftlinien sind viel zu wenig, um unsere Resultate erklären zu können. Statt 33 hätten wir etwa 5—10 bekommen müssen.

Um vollständig objectiv zu bleiben, wollen wir noch einen letzten Rettungsversuch der Theorien Preston's überlegen.

Aus den eben geschilderten Versuchen 1, 2 und 3 müssen wir folgern, dass die Kraftlinien trotz der Rotation der Magneten feststehen. Man könnte nun dieses Fixiren der Kraftlinien als ausnahmsweise und bedingt durch die Anwesenheit des zweiten Magneten hinstellen. In dem Falle z. B. wo beide Magnete mit gleicher Geschwindigkeit nach entgegengesetzter Seite rotiren, erschien es ja ganz plausibel, anzunehmen, dass die Kraftlinien gleich grosse, aber entgegengesetzte Drehungsimpulse erführen und daher in Ruhe blieben. Da aber müsste, sowie wir den einen Magneten immer langsamer rotiren und schliesslich sogar stille stehen lassen, der Einfluss des rotirenden Magneten auf die Kraftlinien immer steigen, und dieselben, wenigstens theilweise, mit diesem rotiren. Dem widerspricht aber vollständig, dass Versuch 3 uns die Summe der Versuche 1 und 2 gibt.

### Schlussbemerkung.

In consequenter Überlegung aller mitgetheilten Versuche erscheint mir die Thatsache kaum abzuweisen, dass bei unipolarer Induction das Kraftfeld eines rotirenden Magneten feststeht, dass die erste Anschauung Faraday's somit die richtige war.

Daraus ergeben sich aber einige Folgerungen, die ich noch kurz erwähnen will. Es muss, wie schon Plücker<sup>1</sup> behauptet, die Erde als ein Magnet, der durch die eigenen feststehenden Kraftlinien rotirt, am Nordpol positive und am Äquator negative Elektricität zeigen.

Ebenso hat jeder mit der Erde rotirende Leiter Potentialdifferenzen. Denken wir uns in irgend einem Punkte des mittleren Deutschland, senkrecht auf der Tangente der Erdrotation und senkrecht zu den magnetischen Kraftlinien der Erde einen 1 m langen Draht in (gegen die Erde relativer) Ruhe, so wird derselbe Potentialdifferenzen von 0·013 Volt haben. Der Nachweis dieser Potentialdifferenzen ist aber in Folge derselben Schwierigkeiten, mit denen ich in Abschnitt II kämpfte, fast kaum zu erbringen. Abgesehen von der Kleinheit ist weder eine directe galvanometrische, noch eine elektrometrische Messung möglich; erstere weil jeder geschlossene Leitungsdraht von jeder (geschlossenen) Kraftlinie zweimal in entgegengesetztem Sinne geschnitten wird, letztere weil eine Ableitung des einen Potentials mittelst Tropfelektrode oder dergl. darum nicht zum Ziele führt, weil die Leiter, die gegen einen Punkt hingehen, alle an derselben Stelle dieselben Potentiale haben müssen, die Tropfelektrode also stets in einer Umgebung arbeitet, welche von allem Anfange an eben dasselbe Potentiale hat, welches sie ableiten soll.

Theoretisch möglich erschiene mir nur folgende Methode. Wir drehen einen Leiter um eine Axe, welche in der Richtung der Erdbewegung senkrecht steht auf den Kraftlinien. Dann werden an den beiden Drahtenden die Potentialdifferenzen bei jeder Umdrehung um 180° wechseln und wir haben in diesem ungeschlossenen Drahte einen minimalen Wechselstrom. Es ist

---

<sup>1</sup> Pogg. Ann. 87, S. 357, 1852.

unmöglich, die Capacitäten der Drahtenden durch condensatorische Wirkung gegenüberstehender Leiter zu verstärken, weil in Folge der Ableitung dieser feststehenden Leiter, welche ja auch von den Kraftlinien geschnitten werden, dieselben von allem Anfange an gleichen Potentiale haben, wie die gegenüberstehenden Drahtenden.

Schliesslich möchte ich noch einen nebensächlichen Punkt erörtern, auf den bereits S. 963 hingewiesen wurde. Es geschieht dies erst an dieser Stelle, weil kraft der gewonnenen Vorstellungen dieser Punkt jetzt rascher erörtert werden kann. Es sei  $d$  der Durchschnitt eines Leiters, der auf der Richtung der Erdbewegung  $e$  senkrecht steht.  $d$  ist auch senkrecht auf die

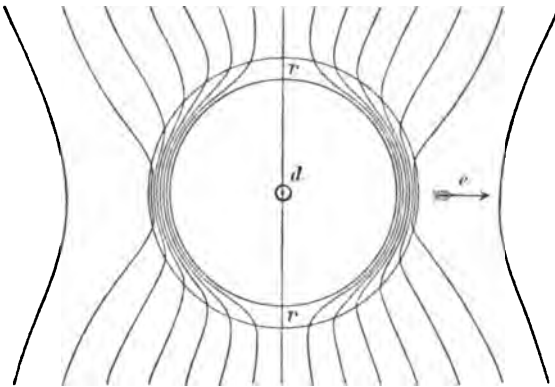


Fig. 17.

Richtung der Kraftlinien und muss bei seiner Rotation mit der Erde alle feststehenden Kraftlinien schneiden. Denken wir uns nun um  $d$  herum einen Eisencylinder  $r$ , so gehen die Kraftlinien, wie die Figur zeigt, zum grössten Theil durch den Eisenring. Da nun eine Kraftlinie nie reissen kann, sondern stets eine in sich selbst geschlossene Curve darstellt, so müssen wir uns bei der Bewegung von  $d$  und  $r$  gegen die Kraftlinien folgende Vorstellung bilden. Die Kraftlinien, die rechts durch den Ring gehen, werden, wenn Ring und Draht sich nach rechts bewegt, aus dem Ring herauspringen,  $d$  sehr rasch schneiden und dann auf der andern Seite links in  $r$  hineinspringen, so dass  $d$ , ob es nun im Eisencylinder ist oder ausserhalb desselben, immer von gleich viel Kraftlinien geschnitten werden muss;

nur werden im ersteren Falle die Kraftlinien  $d$  mit grösserer Geschwindigkeit, wenn auch in gleichen Zeitintervallen passiren. Durch diese raschere Bewegung innerhalb des Eisenringes wird aber bewirkt, dass in der inneren Lichte des Ringes de facto weniger Linien sind, als im homogenen Feld ausserhalb des Eisenringes. So erklärt sich die bereits erwähnte von Ermacora als Curiosum hingestellte Thatsache, dass die Inductionswirkung in derartigen Fällen von der durch magnetische Messungen (Schwingungen einer Magnetnadel und dergl.) bestimmten Feldstärke scheinbar unabhängig ist; nach obiger Auffassung ist aber auch in unserem Falle einerseits die Inductionswirkung abhängig von der Anzahl der geschnittenen Kraftlinien und anderseits die Feldstärke von der Anzahl der wirklich vorhandenen Kraftlinien. Die von Ermacora vorgeschlagene Änderung elektromagnetischer Grundbegriffe erscheint somit überflüssig.

---

## XXI. SITZUNG VOM 18. OCTOBER 1894.

---

Se. Excellenz der Herr Curator-Stellvertreter übermittelt einen Abdruck der Regierungsvorlage des Staatsvoranschlages für das Jahr 1894, Capitel IX, »Ministerium für Cultus und Unterricht«, Abtheilung *A, B, C* und *D*, ferner ein Exemplar des Finanzgesetzes vom 29. Mai 1894, mit dem Beifügen, dass die ordentlichen, sowie die ausserordentlichen Ausgaben der kaiserlichen Akademie der Wissenschaften unverändert nach der Regierungsvorlage des Staatsvoranschlages genehmigt worden sind.

Das k. k. Ministerium für Cultus und Unterricht übermittelt ein im Wege des k. italienischen Ministeriums des Äussern für die kaiserl. Akademie eingelangtes Exemplar des IV. Bandes des Werkes: »Le Opere di Galileo Galilei«.

Herr Prof. Dr. V. Uhlig in Prag dankt für seine Wahl zum inländischen correspondirenden Mitgliede dieser Classe.

Das c. M. Herr Regierungsrath Prof. C. Freiherr v. Ettingshausen in Graz übersendet eine Abhandlung für die Denkschriften, betitelt: »Beiträge zur Kenntniss der Kreideflora Australiens«.

Herr Regierungsrath emerit. Prof. J. Luksch übersendet den in Gemeinschaft mit Prof. J. Wolf an der k. k. Marine-Akademie in Fiume verfassten Bericht über die auf der IV. Reise S. M. Schiffes »Pola« im Jahre 1893 ausgeführten physikalischen Untersuchungen im östlichen Mittelmeer und im Ägäischen Meer.

Herr Stefan v. Heinrich in Wien übermittelt ein versiegeltes Schreiben behufs Wahrung der Priorität mit der Aufschrift: »Über Kräfte im Raume«.

Das w. M. Herr Prof. A. Schrauf überreicht eine im mineralogischen Museum der k. k. Universität in Wien ausgeführte Arbeit des Herrn Dr. P. Philipp Heberdey, Capitularpriester des Stiftes Schotten in Wien, unter dem Titel: »Krystallmessungen«.

---

**Selbständige Werke oder neue, der Akademie bisher nicht zugekommene Periodica sind eingelangt:**

Le Opere di Galileo Galilei. Edizione nazionale sotto gli auspicii Sua Maestà il Re d'Italia. Vol. IV. Firenze 1894; 4<sup>o</sup>.

Berard, E., Trois ans de séjour à la Clinique Ophthalmologique Universitaire de M. le Professeur Fuchs à Vienne. Rapport adressé à M. le Ministre de l'Intérieur et de l'Instruction publique. Bruxelles, 1892; 8<sup>o</sup>.

---







SITZUNGSBERICHTE  
DER  
KAISERLICHEN AKADEMIE DER WISSENSCHAFTEN.

MATHEMATISCH-NATURWISSENSCHAFTLICHE CLASSE.

---

CIII. BAND. IX. HEFT.

ABTHEILUNG II. a.

ENTHÄLT DIE ABHANDLUNGEN AUS DEM GEBIETE DER MATHEMATIK, ASTRONOMIE,  
PHYSIK, METEOROLOGIE UND DER MECHANIK.

---



## XXII. SITZUNG VOM 2. NOVEMBER 1894.

Der Secretär legt das erschienene Heft VI—VII (Juni und Juli 1894), Abtheilung I und das Heft VI—VII (Juni und Juli 1894), Abtheilung II. b. des 103. Bandes der Sitzungsberichte vor.

Das w. M. Herr Prof. H. Weidel überreicht eine im I. chemischen Laboratorium der k. k. Universität in Wien von den Herren J. Herzig und H. Meyer ausgeführte Untersuchung: »Über den Nachweis und die Bestimmung des am Stickstoff gebundenen Alkyls«.

Das w. M. Herr Hofrath Prof. C. Claus überreicht für die Publicationen der Tiefseeforschungen in den Denkschriften eine von Herrn Anton König in Wien ausgeführte Untersuchung, betitelt: »Die Sergestiden des östlichen Mittelmeeres, gesammelt in den Jahren 1890, 1891, 1892 und 1893«.

Herr Dr. Wilh. Trabert in Wien überreicht eine Abhandlung unter dem Titel: »Zur Theorie der elektrischen Erscheinungen unserer Atmosphäre«.

**Selbständige Werke oder neue, der Akademie bisher nicht zugekommene Periodica sind eingelangt:**

Museo de la Plata, Anales, T. I (1890—1891); Seccion Geologica y Mineralogica. P. I (1892); Seccion de Arqueologia. P. II y III (1892); Seccion de Historia General (Fotografia). P. I (1892); Seccion Zoologica. P. I (1893); Paleontologia Argentina (1893). La Plata; Folio. — Revista, T. I (1890—1891); T. II (1891); T. III (1892); T. IV (1893). La Plata; 8<sup>o</sup>.

## XXIII. SITZUNG VOM 8. NOVEMBER 1894.

Herr Prof. Dr. Ph. Knoll in Prag übersendet eine Abhandlung unter dem Titel: »Graphische Versuche an den vier Abtheilungen des Säugethierherzens«.

Der Secretär legt folgende eingesendete Abhandlungen vor:

1. »Beiträge zur Kenntniss der regenscheuen Blüten, nebst Nachträgen zu meinen phytodynamischen Untersuchungen«, von Prof. Dr. Anton Hansgirg an der k. k. böhm. Universität in Prag.
2. »Über Curven fünfter Ordnung mit vier Doppelpunkten«, von Dr. Jan de Vries, Docent an der polytechnischen Schule in Delft.

Herr Dr. Norbert Herz in Wien überreicht eine Abhandlung: »Über eine unter den Ausgrabungen auf Rhodus gefundene astronomische Inschrift«.

Der Vorsitzende, Herr Vicepräsident Prof. E. Suess, überreicht einen vorläufigen Bericht von Prof. Dr. V. Hilber in Graz über seine im Auftrage der kaiserl. Akademie unternommene geologische Reise in Nordgriechenland und Makedonien 1894.

Das w. M. Herr Regierungsrath Prof. F. Mertens überreicht folgende zwei Abhandlungen:

1. »Über die Äquivalenz der reducirten binären quadratischen Formen von positiver Determinante«.

2. »Über den quadratischen Reciprocitätssatz und die Summen von Gauss«.

---

**Selbständige Werke oder neue, der Akademie bisher nicht  
zugekommene Periodica sind eingelangt:**

Institut Botanico-Géologique Colonial de Marseille,  
Annales. 1<sup>ère</sup> Série, 1<sup>ère</sup> Année, 1<sup>er</sup> Vol. (1893). Publiées  
sous la direction de M. Le Professeur Ed. Heckel. Paris,  
1893; 8°.

---



## Bemerkungen über Wärmeleitung

von

C. Puschl.

(Vorgelegt in der Sitzung am 11. October 1894.)

Entgegen der gewöhnlichen Annahme, dass die Wärme der Körper in einer gegenseitigen Bewegung ihrer Atome bestehe, bei welcher man die Existenz des Äthers ganz ausser Betracht lassen könne, habe ich vor Kurzem<sup>1</sup> die Vermuthung ausgesprochen, die in einem Körper enthaltene Wärmemenge bestehe ihrem wesentlichen Theile nach aus einer zwischen seinen Atomen durch diffuse Reflexion angesammelten Strahlenmenge. Diese aktinische oder Strahlenwärme ist es dann, welche bei den festen Grundstoffen das Gesetz von Dulong und Petit bedingt; die hier zugleich obwaltende Atombewegung macht von der Gesamtwärme nur einen kleinen Theil aus, wodurch das Product aus Äquivalentgewicht und specifischer Wärme um einen mehr oder weniger geringen Betrag grösser erscheint, als es sein müsste, wenn keine Atombewegung stattfände.

Die sogenannte Leitung der Wärme oder deren Fortbewegung im Inneren eines Körpers von Schichten höherer zu solchen von niedrigerer Temperatur wird nach dieser Anschauung durch zwei sehr verschiedene Vorgänge bewerkstelligt: erstens durch Übertragung von Ätherbewegung oder aktinischer Wärme, zweitens durch Übertragung von Atombewegung oder kinetischer Wärme. Es ist klar, dass die Gesetze der Wärmeleitung sich sehr verschieden gestalten können, je nachdem bei derselben entweder der eine oder der andere der zwei genannten Vorgänge sich überwiegend betheiligt. Dass es unzulässig sei, die Wärmeleitung ganz allgemein als eine ledig-

<sup>1</sup> Diese Berichte, Bd. CIII, Abth. II. a, S. 809—831.



lich durch Atombewegung bewirkte Erscheinung aufzufassen. wird durch die Thatsache bewiesen, dass zwischen dem Wärmeleitungsvermögen und der inneren Reibung der Flüssigkeiten sich kein oder nur ein sehr schwacher Zusammenhang zeigt. In seiner diesbezüglich grundlegenden Arbeit<sup>1</sup> spricht H. F. Weber, ohne sie näher zu erörtern, die Ansicht aus, die Wärmeleitung geschehe in durchsichtigen, nichtmetallischen Flüssigkeiten durch Atombewegung, in Metallen dagegen und namentlich im Quecksilber durch innere Strahlung. Bei dem auf diesem Gebiete noch herrschenden Dunkel könnte es aber immerhin sein, dass es sich gerade umgekehrt verhält.

Denken wir uns einen Körper, dessen Atome durch genügend starke Kräfte in Gleichgewichtslagen unbeweglich festgehalten seien. Nach der kinetischen Theorie würde ein solcher Körper keine Temperatur haben; nach meiner Hypothese ist seine Temperatur durch die zwischen seinen zahllosen Atomen hin- und hergeworfene Strahlenmenge bestimmt, vermöge welcher derselbe auch beständig durch seine Oberfläche Wärme ausstrahlt und deren Abgang daher, wenn seine Temperatur constant bleiben soll, durch gleichzeitige Einstrahlung von aussen ersetzt werden muss. Hat der Körper die Dichte  $\rho$  und ist  $c$  seine spezifische Strahlenwärme, so enthält er bei der absoluten Temperatur  $T$  in der Gewichtseinheit die Strahlenmenge  $cT$  und in der Volumeinheit die Strahlenmenge  $\rho cT$ , welche man als dessen Strahlendichte bezeichnen kann. Für eine in diesem Körper angenommene Schicht von unendlich kleiner Dicke  $dz$  herrsche auf einer Seite die Temperatur  $T$  und auf der anderen die Temperatur  $T-dt$ ; dann wird durch die Flächeneinheit derselben während einer bestimmten Zeit bei constant erhaltener Temperaturdifferenz  $dt$  um eine gewisse Strahlenmenge mehr von der wärmeren nach der kälteren Seite, als umgekehrt übergehen, und dieser Mehrabfluss wird die einzige im gedachten Körper mögliche Art der Wärmeleitung bilden.

Die durch diesen Wärmestrom in der Zeiteinheit durch die Flächeneinheit geführte Wärmemenge kann man dem Unter-

---

<sup>1</sup> Wiedemann's Annalen, Bd. X, S. 103.

schiede der beiderseits der angenommenen Schicht herrschenden Strahlendichten, bezogen auf die Schichtdicke  $dz$ , proportional setzen und also durch den Ausdruck

$$\eta \rho c \frac{dt}{dz},$$

wo  $\eta$  eine von der chemischen Natur des Körpers unabhängige Constante ist, vorstellen, und somit hat man für das Wärmeleitungsvermögen  $k$  seiner Bedeutung gemäss die Gleichung:

$$k = \eta \rho c,$$

unter  $c$ , wie erwähnt, die specifische Strahlenwärme verstanden, welche nach meiner Hypothese in festen oder flüssigen Körpern immer nur wenig von ihrer wirklichen specifischen Wärme verschieden ist und daher für solche Körper mit letzterer ohne besonderen Fehler identificirt werden kann.

Nach voriger Gleichung müsste der Quotient  $\frac{k}{\rho c}$  für Körper, in welchen die Wärmeleitung nur durch innere Strahlung vermittelt wäre, einen gleichen Werth haben. Man wird sonach, wenn für eine Classe von Körpern dieser Quotient sich thatsächlich nahe gleich ergibt, schliessen dürfen, dass die Wärmeleitung in denselben weit überwiegend durch innere Strahlung und nur zu einem geringen Theile durch Atombewegung vor sich geht. Eine solche Körperclasse scheinen nach den Versuchen von Weber die durchsichtigen, nichtmetallischen Flüssigkeiten zu bilden.

Für Körper, in welchen die Wärmeleitung mehr durch Atombewegung als durch innere Strahlung vermittelt wird, muss demnach der Werth von  $\frac{k}{\rho c}$  entsprechend grösser sein, als in durchsichtigen Flüssigkeiten. Derselbe ist in der That sowohl bei den Metallen, als auch bei den Gasen viel und sehr ungleich grösser; man muss daher annehmen, dass in diesen zwei Classen von Körpern die Wärmeleitung weit überwiegend durch Atombewegung vor sich geht, was bezüglich der Gase, wo die innere Strahlendichte verhältnissmässig klein ist, während die kinetische Wärme einen grossen Theil (bei der

Luft  $\frac{2}{5}$ ) der Gesamtwärme ausmacht, ohnehin keinem Zweifel unterliegt.

In den Metallen ist dem Gesetze von Dulong und Petit gemäss die lebendige Kraft der Atome, wie in festen oder flüssigen Körpern überhaupt, gegen die in ihrem Volumen diffundirte Strahlenmenge nur gering. Es scheint mir aber, dass, wenn die Summe der leeren Räume zwischen den Atomen vom Körpervolumen bloss einen kleinen Theil beträgt, die Übertragung kinetischer Wärme von Atom zu Atom viel ausgiebiger vor sich gehen muss, als wenn die Summe der leeren Zwischenräume gegen den von der Substanz der Atome erfüllten Raum gross ist. Wie ich glaube, ist letzteres in den gewöhnlichen Flüssigkeiten, ersteres aber in den Metallen der Fall und bedingt deren vergleichsweise gute Wärmeleitung.

Wenn dieser Grund der richtige ist, so muss man erwarten, dass bei den Metallen schon eine geringe Volumvergrösserung, wie sie durch Erwärmung eintritt, eine verhältnissmässig sehr starke Verminderung des Wärmeleitungsvermögens zur Folge habe. Dies trifft denn auch thatsächlich zu. Nach Stewart<sup>1</sup> lässt sich für Eisen der Verlauf von  $k$  als Function der Temperatur  $t$  zwischen  $15^\circ$  und  $220^\circ$  durch die Formel

$$k = k_0(1 - 0.0011t)$$

ausdrücken; es nimmt also  $k$  für dieses Metall durch Erwärmung in einem 32mal stärkeren Verhältnisse ab als die Dichte. Man kann diese Abnahme eine rapide nennen; sie wird sich weiterhin natürlich mehr und mehr verlangsamen. Bei Kupfer nimmt  $k$  nur halb so schnell als bei Eisen, aber immer noch 11mal schneller als seine Dichte ab. Durch Ausdehnung bei constanter Temperatur würde für beide Metalle die Abnahme von  $k$  wahrscheinlich eine noch etwas stärkere sein.

Dass in Metallen die Atome einander mit ihren Oberflächen bereits nahe kommen, geht aus meiner Hypothese auch auf einem ganz anderen Erscheinungsgebiete hervor. Nach derselben wird nämlich ein Lichtstrahl in einem durchsichtigen

<sup>1</sup> Wiedemann's Beiblätter, Bd. 18, S. 742.

Körper nicht durch den Äther allein, sondern auch durch die Substanz der getroffenen Atome hindurch fortgepflanzt, und hieraus ergibt sich, wenn  $d$  die Dichte und  $n$  den Brechungsindex des Körpers,  $\delta$  die Dichte und  $\nu$  den Brechungsindex der Atomsubstanz bedeutet, die einfache Beziehung:<sup>1</sup>

$$\frac{n-1}{d} = \frac{\nu-1}{\delta}.$$

Für gewöhnlich ist  $n > 1$ , wobei  $\nu > n$  sein muss. Bei einigen Metallen (Silber, Gold, Kupfer) fand aber Kundt<sup>2</sup>  $n < 1$ , woraus für dieselben  $\nu < n$ , daher

$$\frac{d}{\delta} > 1 - n$$

und als Verhältniss des für den Äther freibleibenden Theiles zum ganzen Körpervolumen

$$\frac{\delta - d}{\delta} < n$$

folgt. Bei Silber ist für weisses Licht im Mittel aus vielen Bestimmungen

$$n = 0.27;$$

man sieht also, dass bei diesem bestleitenden Metalle die Summe der leeren Räume zwischen den Atomen jedenfalls weniger als 0.27 des Körpervolumens beträgt. Bei so geringer Dicke der zwischen den Atomflächen übrig bleibenden Ätherschichten würde es begreiflich sein, dass eine locale Wärmedifferenz weit schneller durch Atombewegung als durch innere Strahlung sich ausgleicht.

Die oben abgeleitete, von Weber empirisch für durchsichtige Flüssigkeiten von gewöhnlicher Temperatur aufgestellte Formel betreffend, erlaube ich mir noch die folgende Bemerkung beizufügen.

<sup>1</sup> Die Schlüsse, welche sich aus dieser Gleichung ergeben, sind in mehrfacher Hinsicht von Interesse. Ihr gemäss erklärt sich auf einfache Weise auch die Mitbewegung des Lichtes in einem bewegten durchsichtigen Mittel.

<sup>2</sup> Wiedemann's Annalen, Bd. 34, S. 469.

Das Wärmeleitungsvermögen der Flüssigkeiten scheint im Allgemeinen durch ihre Erstarrung sich nur wenig zu ändern. Wenn dem wirklich so ist, dann wird die genannte Formel mit einiger Annäherung auch für nichtmetallische feste Körper gelten, und es dürfte bei solchen, weil hier Strömungen absolut ausgeschlossen sind, die diesfalls noch offene Frage nach dem Einflusse der Temperatur auf das Wärmeleitungsvermögen, welcher nach Weber bei Flüssigkeiten auffallend gross wäre, am sichersten eine definitive Lösung finden. Da übrigens dieses Vermögen, es mag wie immer bedingt sein, durch Abnahme der Temperatur selbstverständlich in keinem Falle Null werden kann, so ist, wie ich glaube, eine erheblich starke Veränderlichkeit desselben mit der Temperatur bei nichtmetallischen festen Körpern und bei den entsprechenden Flüssigkeiten, wenn sie von ihrem Erstarrungspunkte nicht allzu weit entfernt sind, von vornherein unwahrscheinlich.

# Über die Äquivalenz der reducirten binären quadratischen Formen von positiver Determinante

von

**F. Mertens,**

w. M. k. Akad.

In dem Folgenden soll ein einfacher Beweis für den Hauptsatz der Lehre von den reducirten binären quadratischen Formen positiver Determinante — dass zwei reducirte Formen nur dann äquivalent sein können, wenn sie derselben Periode angehören — gegeben werden. Dieser Satz wird in den *Disquisitiones arithmeticae*<sup>1</sup> von Gauss etwas umständlich bewiesen, so dass Dirichlet<sup>2</sup> sich veranlasst sah, einen einfacheren Beweis zu suchen.

## 1.

Man kann eine reducirte Form von positiver nicht quadratischer Determinante  $D$  folgendermassen definiren. Bezeichnet  $d$  die grösste in  $\sqrt{D}$  enthaltene ganze Zahl und  $\bar{a}$  den Zahlenwerth von  $a$ , so wird die Form  $(a, b, c)$  reducirt genannt, wenn

$$0 \leq d - b < \bar{a} \leq d + b$$

ist.

Die äusseren Coëfficienten  $a, c$  einer reducirten Form  $(a, b, c)$  haben der Gleichung

$$a \cdot c = b^2 - D$$

zufolge immer entgegengesetzte Vorzeichen.

<sup>1</sup> Art. 193.

<sup>2</sup> Vereinfachung der Theorie der binären quadratischen Formen von positiver Determinante (Berliner Akad. 1854.).

Wenn  $(a, b, c)$  eine reducirte Form ist, so ist  $(c, b, a)$  ebenfalls eine solche. Denn man hat

$$\bar{a} \cdot \bar{c} = D - b^2$$

und daher einerseits

$$\bar{a} \cdot \bar{c} < (d+1)^2 - b^2 = (d-b+1)(d+b+1);$$

da aber  $d-b < \bar{a}$  ist, so folgt

$$d-b+1 \leq \bar{a}$$

$$\bar{a} \cdot \bar{c} < \bar{a}(d+b+1),$$

also

$$\bar{c} < d+b+1$$

$$\leq d+b.$$

Andererseits ist

$$\bar{a} \bar{c} > d^2 - b^2 = (d-b)(d+b);$$

da aber  $d+b \geq \bar{a}$  ist, so folgt

$$\bar{a} \cdot \bar{c} > (d-b)\bar{a},$$

also

$$\bar{c} > d-b.$$

Es ist demnach

$$0 \leq d-b < \bar{c} \leq d+b.$$

## 2.

Jede reducirte Form  $(a, b, c)$  besitzt eine und nur eine nach rechts benachbarte reducirte Form und ebenso eine einzige nach links benachbarte reducirte Form.

Soll nämlich  $(a', b', c')$  eine nach rechts benachbarte Form von  $(a, b, c)$  sein, so muss

$$a' = c \quad b' + b \equiv 0 \pmod{c}$$

sein. Soll überdies  $(a', b', c')$  reducirt sein, so muss

$$0 \leq d-b' < \bar{c}$$

sein. Da aber

$$d-b' \equiv d+b \pmod{c}$$

ist, so muss  $d-b'$  der echte, d. h. nicht negative und den Zahlenwerth des Moduls nicht erreichende Rest von  $d+b$  in Bezug auf  $c$  sein. Diese Bedingung genügt aber auch, da die Form  $\left(c, b', -\frac{b'^2-D}{c}\right)$  dann eine reducirte ist. Denn man hat zunächst

$$0 \leq d-b' < \bar{c}.$$

Da ferner  $\bar{c} \leq d+b$  ist, so folgt

$$d+b-(d-b') = b+b' > 0$$

und  $b+b'$  muss als Vielfaches von  $c$  wenigstens  $= \bar{c}$  sein. Man hat also

$$\bar{c} \leq b+b' \leq d+b'.$$

Da jede nach links benachbarte reducirte Form von  $(a, b, c)$  durch Vertauschung der äusseren Coëfficienten in eine nach rechts benachbarte reducirte Form von  $(c, b, a)$  übergeht, so gibt es also auch nur eine nach links benachbarte reducirte Form von  $(a, b, c)$  und dieselbe geht aus der nach rechts benachbarten reducirten Form von  $(c, b, a)$  durch Vertauschung der äusseren Coëfficienten hervor.

Geht man von irgend einer reducirten Form  $f$  aus, bestimmt ihre nach rechts benachbarte reducirte Form  $f_1$ , hierauf wieder die nach rechts benachbarte reducirte Form  $f_2$  von  $f_1$ , dann die nach rechts benachbarte reducirte Form  $f_3$  von  $f_2$  und fährt so fort, so ergibt sich eine beliebig weit fortsetzbare Reihe von Formen

$$f, f_1, f_2, f_3, \dots,$$

welche die Formenreihe der Form  $f$  genannt wird. Setzt man diese Reihe so weit fort, dass die Anzahl ihrer Glieder die Anzahl aller reducirten Formen übersteigt, so muss sich wenigstens eine Form wiederholen haben. Die erste sich wiederholende Form  $f_n$  kann nur  $f$  sein, da sich sonst  $f_{n-1}$  als nach links benachbarte reducirte Form von  $f_n$  auch schon wiederholt haben müsste. Von  $f_n$  an wiederholen sich dann alle Formen in derselben Reihenfolge, so dass allgemein  $f_i = f_\mu$  ist, wenn  $\mu = \nu \pmod{n}$ . Man nennt den Inbegriff der Formen

$$f, f_1, f_2, \dots, f_{n-1},$$



welche alle unter einander verschieden sind, eine Periode, und zwar die Periode der Form  $f$ . Die Anzahl der Formen einer Periode ist immer gerade, da die ersten Coëfficienten der Formen  $f, f_1, f_2, \dots$  abwechselnde Vorzeichen haben. Jede der Formen  $f, f_1, f_2, \dots$  hat dieselbe Periode, wenn man von der Reihenfolge absieht.

Alle reducirten Formen einer positiven Determinante bilden eine oder mehrere getrennte Perioden.

Man gehe von irgend einer reducirten Form aus und stelle ihre Periode  $P$  auf. Umfasst dieselbe noch nicht alle reducirten Formen, so stelle man wieder die Periode  $Q$  irgend einer nicht in  $P$  enthaltenen reducirten Form auf. Die Perioden  $P, Q$  haben dann keine Form gemein und können entweder alle reducirten Formen umfassen oder nicht. Im zweiten Falle würde man eine dritte Periode aufstellen und so fortfahren, bis alle reducirten Formen erschöpft sind.

### 3.

Alle Formen einer Periode sind untereinander äquivalent, da je zwei benachbarte reducirte Formen es sind.

Umgekehrt gehören zwei äquivalente reducirte Formen immer derselben Periode an.

Der Beweis dieses Satzes soll hier mittelst folgender Hilfsätze geführt werden.

I. Wenn zwei Formen  $(a, b, -c)$  und  $(a', b', -c')$  mit positiven ersten und negativen dritten Coëfficienten äquivalent sind und die erste durch die Substitution

$$x = \alpha x' + \beta y' \qquad y = \gamma x' + \delta y'$$

in die zweite übergeht, so ist das Product  $\alpha\delta$  immer positiv.

Multiplicirt man die zweite und dritte Transformationsgleichung

$$\begin{aligned} b' &= a\alpha\beta + b(\alpha\delta + \beta\gamma) - c\gamma\delta \\ -c' &= a\beta^2 + 2b\beta\delta - c\delta^2 \end{aligned}$$

beziehungsweise mit  $\beta$ ,  $-\alpha$  und addirt, so ergibt sich der Gleichung

$$\alpha\delta - \beta\gamma = 1$$

zufolge

$$b'\beta + c'\alpha = c\delta - b\beta. \quad (1)$$

Anderseits lässt sich die dritte Transformationsgleichung in der Gestalt

$$2(c\delta - b\beta)\delta = c' + a\beta^2 + c\delta^2 \quad (2)$$

schreiben. Da aber auch  $(a', b', -c')$  durch die reciproke Substitution

$$x' = \delta x - \beta y, \quad y' = -\gamma x + \alpha y$$

in  $(a, b, -c)$  übergeht, so lässt sich der auf diese Substitution sich beziehenden dritten Transformationsgleichung

$$-c = a'\beta^2 - 2b'\beta\alpha - c'\alpha^2$$

in ähnlicher Weise die Gestalt

$$2(c'\alpha + b'\beta)\alpha = c + a'\beta^2 + c'\alpha^2 \quad (3)$$

geben.

Durch Multiplication der Gleichungen (2), (3) ergibt sich

$$4(c\delta - b\beta)(b'\beta + c'\alpha)\alpha\delta = (c' + a\beta^2 + c\delta^2)(c + a'\beta^2 + c'\alpha^2)$$

und es wird nach (1)

$$4(c\delta - b\beta)^2\alpha\delta = (c' + a\beta^2 + c\delta^2)(c + a'\beta^2 + c'\alpha^2) > 0.$$

Hieraus folgt aber

$$\alpha\delta > 0.$$

II. Es sei

$$f_0 = (a_0, b_0, -a_1)$$

eine reducirte Form mit positivem ersten Coëfficienten,

$$f_{i-1} = ((-1)^{i-1}a_{i-1}, b_{i-1}, (-1)^ia_i)$$

die  $i$ te Form in der Formenreihe von  $f_0$ ,  $h_i$  die ganze positive Zahl

$$h_i = \frac{b_i + b_{i+1}}{a_{i+1}}.$$

und  $A_i, B_i$  Zähler und Nenner des  $i$ ten Näherungswerthes des regelmässigen Kettenbruches

$$(h_0, h_1, h_2, \dots).$$

Bezeichnet man die Substitution

$$x = \alpha x' + \beta y' \quad y = \gamma x' + \delta y'$$

ohne Rücksicht auf die Unbestimmten  $x, y, x', y'$  mit  $(\alpha, \beta; \gamma, \delta)$  und setzt zur Abkürzung

$$S_m = ((-1)^m B_{m-1}, B_m; (-1)^m A_{m-1}, A_m),$$

so haben die Substitutionen

$$\tilde{S}_0, S_1, S_2, S_3, \dots$$

folgende Eigenschaften.

Die Substitution  $S_m$  verwandelt  $f_0$  in  $f_m$  und hat die Determinante 1.

Jede Substitution :

$$\mathfrak{S} = (\alpha, \beta; \gamma, \delta)$$

von der Determinante 1, welche keinen negativen Coëfficienten enthält und  $f_0$  in eine reducirte Form

$$F = (A, B, -A')$$

mit positivem ersten Coëfficienten verwandelt, muss mit einer der Substitutionen  $S_0, S_2, S_4, \dots$  von geradem Stellenzeiger zusammenfallen.

Wird in üblicher Weise

$$\begin{aligned} A_{-1} &= 0, & B_{-1} &= 1, \\ A_0 &= 1, & B_0 &= 0 \end{aligned}$$

gesetzt, so verwandelt die Substitution

$$S_0 = (1, 0; 0, 1)$$

in der That  $f_0$  in  $f_0$ . Es genügt daher noch darzuthun, dass  $S_{m+1}$  die Form  $f_0$  in  $f_{m+1}$  verwandelt, wenn  $S_m$  dieselbe in  $f_m$  überführt.

Da  $f_m$  in  $f_{m+1}$  durch die Substitution

$$(0, (-1)^m; (-1)^{m+1}, h_m)$$

übergeht, so verwandelt die zusammengesetzte Substitution

$$\begin{aligned} S_m(0, (-1)^m; (-1)^{m+1}, h_m) = \\ = ((-1)^{m+1} B_m, B_{m-1} + h_m B_m; (-1)^{m+1} A_m, A_{m-1} + h_m A_m) \end{aligned}$$

$f_0$  in  $f_{m+1}$ ; diese zusammengesetzte Substitution fällt aber den Gleichungen

$$\begin{aligned} A_{m+1} &= h_m A_m + A_{m-1} \\ B_{m+1} &= h_m B_m + B_{m-1} \end{aligned}$$

zufolge mit  $S_{m+1}$  zusammen.

Hieraus folgt zugleich, dass die Determinante von  $S_{m+1}$  mit der von  $S_m$  und daher die Determinanten aller Substitutionen  $S_1, S_2, S_3, \dots$  mit der von  $S_0$  zusammenfallen, welche  $= 1$  ist.

Versteht man unter  $S_m^{-1}$  die reciproke Substitution von  $S_m$  und setzt

$$\begin{aligned} S_m^{-1} \mathfrak{S} &= \mathfrak{S}_m \\ \mathfrak{S}_{2m} &= (\alpha_m, \beta_m; \gamma_m, \delta_m), \end{aligned}$$

so verwandelt  $\mathfrak{S}_m$  die Form  $f_m$  in  $F$  und es wird

$$\begin{aligned} \mathfrak{S}_{2m-1} &= (-\gamma_m, -\delta_m; \alpha_{m-1}, \beta_{m-1}) \\ \gamma_m &= \gamma B_{2m-1} - \alpha A_{2m-1} \\ \alpha_m &= \alpha A_{2m} - \gamma B_{2m}. \end{aligned} \tag{4}$$

Da  $\mathfrak{S}_{2m}$  die Form  $f_{2m}$  in  $F$  verwandelt und die ersten Coëfficienten dieser Formen positiv, die dritten negativ sind, so ist  $\alpha_m \delta_m$  nach I positiv. Aus demselben Grunde ist  $\alpha_m \delta_{m+1}$  positiv, weil  $\mathfrak{S}_{2m+1}$  die Form

$$f_{2m+1} = (-a_{2m+1}, b_{2m+1}, a_{2m+2})$$

in  $F$ , also die Substitution

$$(0, 1; -1, 0) \mathfrak{S}_{2m+1} = (\alpha_m, \beta_m; \gamma_{m+1}, \delta_{m+1})$$

die Form  $(a_{2m+2}, -b_{2m+1}, -a_{2m+1})$  in  $F$  verwandelt. Die Zahlen

$$\alpha_0, \delta_0, \alpha_1, \delta_1, \alpha_2, \delta_2, \dots$$

sind also alle von Null verschieden und besitzen dasselbe Vorzeichen, und zwar das positive, weil  $\alpha_0 = \alpha$  positiv ist.

Hieraus folgt, dass die Differenz  $\gamma_m - \gamma_{m+1}$ , welche nach (4), (5) die Gestalt

$$\begin{aligned} (A_{2m+1} - A_{2m-1})\alpha - (B_{2m+1} - B_{2m-1})\gamma &= \\ &= h_{2m}(A_{2m}\alpha - B_{2m}\gamma) = h_{2m}z_m \end{aligned}$$

annimmt, positiv ist. Man hat also

$$\gamma_0 > \gamma_1 > \gamma_2 > \dots$$

Da überdies  $\gamma_0 = \gamma$  nach der Annahme nicht negativ ist, so gibt es in der Zahlenreihe

$$\gamma_0, \gamma_1, \gamma_2, \dots$$

eine letzte nicht negative Zahl  $\gamma_\lambda$ .

Das Product  $\gamma_{\lambda+1}\beta_\lambda\gamma_\lambda$  ist dann sowohl in der Gestalt  $\gamma_{\lambda+1}(\alpha_\lambda\delta_\lambda - 1)$ , als auch in der Gestalt  $\gamma_\lambda(\alpha_\lambda\delta_{\lambda+1} - 1)$  darstellbar und kann daher weder positiv noch negativ sein, weil einerseits  $\gamma_{\lambda+1}$  negativ und  $\alpha_\lambda\delta_\lambda - 1$  nicht negativ, und anderseits weder  $\gamma_\lambda$  noch  $\alpha_\lambda\delta_{\lambda+1} - 1$  negativ ist. Es muss also  $\gamma_{\lambda+1}\beta_\lambda\gamma_\lambda$  und daher auch  $\beta_\lambda\gamma_\lambda = 0$  sein.

Dann muss aber

$$\beta_\lambda = \gamma_\lambda = 0, \quad \alpha_\lambda = \delta_\lambda = 1$$

sein. Denn es ist  $\alpha_\lambda\delta_\lambda = 1$ , also  $\alpha_\lambda = \delta_\lambda = 1$  und die zweite Transformationsgleichung, welche sich auf die Umwandlung von  $f_{2\lambda}$  durch  $\mathfrak{S}_{2\lambda}$  in  $F$  bezieht, lautet:

$$\begin{aligned} B &= a_{2\lambda}\alpha_\lambda\beta_\lambda + b_{2\lambda}(\alpha_\lambda\delta_\lambda + \beta_\lambda\gamma_\lambda) - a_{2\lambda+1}\gamma_\lambda\delta_\lambda \\ &= a_{2\lambda}\beta_\lambda + b_{2\lambda} - a_{2\lambda+1}\gamma_\lambda, \end{aligned}$$

oder

$$d - b_{2\lambda} - (d - B) = a_{2\lambda}\beta_\lambda - a_{2\lambda+1}\gamma_\lambda.$$

Da nun  $\beta_\lambda\gamma_\lambda = 0$  ist, so muss entweder  $\beta_\lambda = 0$  oder  $\gamma_\lambda = 0$  sein. Ist  $\beta_\lambda = 0$ , so wird

$$\begin{aligned} A' &= a_{2\lambda+1}, \\ d - b_{2\lambda} - (d - B) &= -a_{2\lambda+1}\gamma_\lambda; \end{aligned}$$

weil aber die Zahlen  $d - b_{2\lambda}$ ,  $d - B$  beide nicht negativ und kleiner als  $a_{2\lambda+1}$  oder  $A'$  sind, so kann ihre Differenz nur durch  $a_{2\lambda+1}$  theilbar sein, wenn sie  $= 0$  ist, und es muss also  $\gamma_\lambda = 0$  sein. Ist  $\gamma_\lambda = 0$ , so folgt ähnlich

$$A = a_{2\lambda}$$

$$d - b_{2\lambda} - (d - B) = a_{2\lambda} \beta_\lambda = 0,$$

weil die Zahlen  $d - b_{2\lambda}$ ,  $d - B$  beide nicht negativ und kleiner als  $a_{2\lambda}$  oder  $A$  sind und ihre Differenz durch  $A$  theilbar ist, und es muss  $\beta_\lambda = 0$  sein.

Wenn aber die Substitution  $\mathfrak{S}_{2\lambda} = S_{2\lambda}^{-1} \mathfrak{S}$  mit  $(1, 0; 0, 1)$  zusammenfällt, so ist

$$\mathfrak{S} = S_{2\lambda}.$$

Hieraus folgt unmittelbar

$$F = f_{2\lambda}$$

und die Form  $F$  ist also eine der Formen der Periode von  $f_0$ .

Insbesondere sind alle Substitutionen  $\mathfrak{S}$ , welche keinen negativen Coëfficienten enthalten und eine reducirte Form  $f_0$  mit positivem ersten Coëfficienten in sich selbst verwandeln, durch die Formel

$$\mathfrak{S} = S_{kn} = (B_{kn-1}, B_{kn}; A_{kn-1}, A_{kn})$$

gegeben, wo  $n$  die Anzahl der Formen der Periode von  $f_0$  bezeichnet und  $k$  alle Werthe  $0, 1, 2, 3, \dots$  annehmen kann. Denn eine solche Substitution verwandelt  $f_0$  in eine reducirte Form  $f_0$  mit positivem ersten Coëfficienten und es muss daher  $\mathfrak{S} = S_{2\lambda}$  sein. Ist aber  $\rho$  der echte Rest von  $2\lambda$  in Bezug auf den Modul  $n$ , so verwandelt  $S_{2\lambda}$  die Form  $f_0$  in  $f_{2\lambda} = f_\rho$  und es muss also  $\rho = 0$ ,  $2\lambda = kn$  sein.

Dies vorausgeschickt, seien irgend zwei äquivalente reducirte Formen  $f$  und  $F$  gegeben und es gehe  $f$  in  $F$  durch die Substitution  $(\alpha, \beta; \gamma, \delta)$  über. Um darzuthun, dass diese Formen derselben Periode angehören, darf unbeschadet der Allgemeinheit angenommen werden, dass dieselben positive erste Coëfficienten besitzen, da man andernfalls, ohne an dem Inhalte des zu beweisenden Satzes etwas zu ändern,  $f$  oder  $F$ , oder  $f$  und  $F$

durch ihre benachbarten reducirten Formen ersetzen könnte. Das Product  $\alpha\delta$  ist dann positiv und man darf  $\alpha, \delta$  positiv annehmen, da im Falle eines negativen  $\alpha$  und  $\delta$  die Substitution  $(-\alpha, -\beta; -\gamma, -\delta)$  ebenfalls  $f$  in  $F$  verwandelt.

Ist nun keine der Zahlen  $\beta, \gamma$  negativ, so enthält die Substitution  $(\alpha, \beta; \gamma, \delta)$  keinen negativen Coëfficienten und es muss daher  $F$  nach II mit einer Form der Periode von  $f$  zusammenfallen.

Ist dagegen eine der Zahlen  $\beta, \gamma$  negativ, so kann die andere, der Gleichung  $\beta\gamma = \alpha\delta - 1$  zufolge, nicht positiv sein und die reciproke Substitution  $(\delta, -\beta; -\gamma, \alpha)$  enthält keinen negativen Coëfficienten. Da dieselbe  $F$  in  $f$  verwandelt, so muss  $f$  nach II in der Periode von  $F$  vorkommen.

---

# Über den quadratischen Reciprocitätssatz und die Summen von Gauss

von

**F. Mertens,**  
w. M. k. Akad.

## 1.

Bezeichnet  $p$  eine ungerade Primzahl,  $a$  eine nicht durch  $p$  theilbare Zahl und  $\mu$  die Anzahl derjenigen echten, d. h. nicht negativen und  $p$  nicht erreichenden Reste der Zahlen

$$a, 2a, 3a, \dots, \frac{p-1}{2}a$$

in Bezug auf den Modul  $p$ , welche  $> \frac{1}{2}p$  sind, so besteht der Hilfssatz, welchen Gauss<sup>1</sup> zum Beweise des quadratischen Reciprocitätssatzes aufgestellt hat, bekanntlich in der Gleichung

$$\left(\frac{a}{p}\right) = (-1)^\mu.$$

Ein Hilfssatz von gleicher Verwendbarkeit ist der folgende.  
Sind

$$r_a, r_{2a}, r_{3a}, \dots, r_{(p-1)a}$$

die echten Reste der Zahlen

$$a, 2a, 3a, \dots, (p-1)a$$

in Bezug auf den Modul  $p$  und  $\Pi(x_1, x_2, \dots, x_{p-1})$  das Differenzenproduct

---

<sup>1</sup> Theorematis arithmetici demonstratio nova 1808.



$$\begin{array}{c}
 (x_2 - x_1)(x_3 - x_1) \dots (x_{p-1} - x_1) \\
 (x_3 - x_2) \dots (x_{p-1} - x_2) \\
 \dots \dots \dots \\
 (x_{p-1} - x_{p-2}),
 \end{array}$$

so ist

$$\left(\frac{a}{p}\right) = \frac{\Pi(r_a, r_{2a}, \dots, r_{(p-1)a})}{\Pi(1, 2, \dots, p-1)}. \quad (1)$$

Um diesen Satz zu beweisen, ist zunächst zu bemerken, dass die Zahlen  $r_a, r_{2a}, \dots, r_{(p-1)a}$  bis auf die Reihenfolge mit den Zahlen  $1, 2, \dots, p-1$  zusammenfallen und die Producte

$$\Pi(r_a, r_{2a}, \dots, r_{(p-1)a}), \quad \Pi(1, 2, \dots, p-1)$$

demzufolge sich nur durch das Vorzeichen unterscheiden können. Es ist also

$$\frac{\Pi(r_a, r_{2a}, \dots, r_{(p-1)a})}{\Pi(1, 2, \dots, p-1)} = \epsilon, \quad (2)$$

wo  $\epsilon$  den Werth  $+1$  oder  $-1$  hat.

Anderseits ist den Congruenzen

$$\begin{array}{l}
 r_a \equiv a \\
 r_{2a} \equiv 2a \\
 \dots \dots \dots \\
 r_{(p-1)a} \equiv (p-1)a \pmod{p}
 \end{array}$$

zufolge

$$\Pi(r_a, r_{2a}, \dots, r_{(p-1)a}) \equiv \Pi(a, 2a, \dots, (p-1)a) \pmod{p};$$

es ist aber

$$\begin{aligned}
 \Pi(a, 2a, \dots, (p-1)a) &= a^{\frac{1}{2}p(p-1)} \Pi(1, 2, \dots, p-1) \\
 a^p &\equiv a \pmod{p}
 \end{aligned}$$

also

$$a^{\frac{1}{2}p(p-1)} \equiv a^{\frac{p-1}{2}} \equiv \left(\frac{a}{p}\right) \pmod{p}$$

und

$$\Pi(a, 2a, \dots, (p-1)a) \equiv \left(\frac{a}{p}\right) \Pi(1, 2, \dots, p-1) \pmod{p}.$$

Man hat demnach

$$\Pi(r_a, r_{2a}, \dots, r_{(p-1)a}) \equiv \left(\frac{a}{p}\right) \Pi(1, 2, \dots, p-1) \pmod{p}.$$

Nach (2) folgt hieraus

$$\Pi(1, 2, \dots, p-1) \left( \varepsilon - \left(\frac{a}{p}\right) \right) \equiv 0 \pmod{p}.$$

Da aber  $\Pi(1, 2, \dots, p-1)$  nicht durch  $p$  theilbar ist, so muss

$$\varepsilon - \left(\frac{a}{p}\right) \equiv 0 \pmod{p}$$

und daher

$$\varepsilon - \left(\frac{a}{p}\right) = 0$$

sein, weil  $\varepsilon - \left(\frac{a}{p}\right)$  ohne Rücksicht auf das Vorzeichen  $< p$  ist.

Man kann die Gleichung (1) auch so aussprechen:

Ist  $\nu$  die Anzahl der negativen Factoren des Productes  $\Pi(r_a, r_{2a}, \dots, r_{(p-1)a})$ , so ist

$$\left(\frac{a}{p}\right) = (-1)^\nu.$$

Die Substitution (Permutation)  $\begin{pmatrix} r_a, r_{2a}, \dots, r_{(p-1)a} \\ 1, 2, \dots, p-1 \end{pmatrix}$  ist positiv oder negativ, je nachdem  $\left(\frac{a}{p}\right) = +1$  oder  $= -1$  ist.

## 2.

Bezeichnet  $a$  eine positive Zahl und  $E(y)$  die grösste in  $y$  enthaltene ganze Zahl, so ist

$$r_{ma} = ma - pE\left(\frac{ma}{p}\right).$$

Ist daher  $m > n$ , so wird

$$r_{ma} = ma - pE\left(\frac{ma}{p}\right)$$

$$r_{na} = na - pE\left(\frac{na}{p}\right)$$

$$r_{(m-n)a} = (m-n)a - pE\left(\frac{(m-n)a}{p}\right)$$

und man hat

$$r_{ma} - r_{na} = r_{(m-n)a} - p\left(E\left(\frac{ma}{p}\right) - E\left(\frac{na}{p}\right) - E\left(\frac{(m-n)a}{p}\right)\right).$$

Hienach hat der Ausdruck

$$E\left(\frac{ma}{p}\right) - E\left(\frac{na}{p}\right) - E\left(\frac{(m-n)a}{p}\right)$$

den Werth 0 oder 1, je nachdem die Differenz  $r_{ma} - r_{na}$  positiv oder negativ ist, und die Anzahl  $\nu$  aller negativen Factoren des Productes  $\Pi(r_a, r_{2a}, \dots, r_{(p-1)a})$  ist die Summe der Ausdrücke

$$E\left(\frac{ma}{p}\right) - E\left(\frac{na}{p}\right) - E\left(\frac{(m-n)a}{p}\right), \quad (3)$$

welche allen Zahlenpaaren  $m, n$  entsprechen, die sich aus den Zahlen  $1, 2, \dots, p-1$  bilden lassen und in denen  $m > n$  ist.

Da die Zahl  $E\left(\frac{ma}{p}\right)$  die Grenze  $a-1$  nicht überschreitet, wenn  $m < p$  ist, so kann dieselbe in bekannter Weise als Anzahl der negativen Factoren des Productes

$$(p-ma)(2p-ma) \dots ((a-1)p-ma) = \Pi(sp-ma)$$

aufgefasst werden, wo  $s$  von 1 bis  $a-1$  läuft. Ähnliches gilt von  $E\left(\frac{na}{p}\right)$  und  $E\left(\frac{(m-n)a}{p}\right)$ . Der Ausdruck (3) ist demnach bis auf ein Vielfaches von 2 die Anzahl der negativen Factoren des Productes

$$\Pi(sp-ma) \cdot \Pi(sp-na) \cdot \Pi(sp-(m-n)a)$$

und  $\nu$  fällt demzufolge bis auf ein Vielfaches von 2 mit der Anzahl der negativen Factoren des Productes

$$\Pi(sp-2a)^1 \cdot \Pi(sp-3a)^2 \dots \Pi(sp-(p-1)a)^{p-2} \\ \times \Pi(sp-a)^{2(p-2)} \cdot \Pi(sp-2a)^{2(p-3)} \dots \Pi(sp-(p-2)a)^2$$

zusammen.

Das Vorzeichen des Legendre'schen Symbols  $\left(\frac{a}{p}\right)$  stimmt also mit dem Vorzeichen des Productes

$$\Pi(sp-2a) \cdot \Pi(sp-4a) \dots \Pi(sp-(p-1)a)$$

oder des Productes

$$\Pi(sp-2ta)$$

überein, in welchem  $s$  von 1 bis  $a-1$  und  $t$  von 1 bis  $\frac{p-1}{2}$  laufen.

Setzt man  $a=2$ , so fällt das Vorzeichen von  $\left(\frac{2}{p}\right)$  mit dem des Productes

$$(p-4)(p-8) \dots \left(p-4 \cdot \frac{p-1}{2}\right)$$

zusammen. Dieses Product hat  $\frac{p-1}{2} - E\left(\frac{p}{4}\right)$  negative Factoren. Da aber

$$\frac{p-1}{2} - E\left(\frac{p}{4}\right) = \frac{p - (-1)^{\frac{p-1}{2}}}{4} \\ 1 \equiv \frac{p + (-1)^{\frac{p-1}{2}}}{2} \pmod{2}$$

ist, so ergibt sich durch Multiplication

$$\frac{p-1}{2} - E\left(\frac{p}{4}\right) \equiv \frac{1}{8} (p^2 - 1) \pmod{2}$$

und es wird

$$\left(\frac{2}{p}\right) = (-1)^{\frac{p^2-1}{8}}.$$

Ist  $q$  eine von  $p$  verschiedene ungerade Primzahl und trennt man die Factoren des Productes  $\Pi(sp-2tq)$ , in welchen  $s$  gerade ist, von denen, in welchen  $s$  ungerade ist, indem man, einmal  $s = 2u$ , einmal  $s = q-2u$ , setzt, so ergibt sich

$$\Pi(sp-2tq) = \Pi(2up-2tq) \cdot \Pi(pq-2up-2tq),$$

wo  $t$  die Werthe  $1, 2, \dots, \frac{1}{2}(p-1)$  und  $u$  die Werthe  $1, 2, \dots, \frac{1}{2}(q-1)$  durchläuft, und das Vorzeichen von  $\left(\frac{q}{p}\right)$  fällt mit dem des Productes

$$\Pi(2up-2tq) \cdot \Pi(pq-2up-2tq)$$

zusammen.

Vertauscht man  $p$  mit  $q$ , so stimmt das Vorzeichen von  $\left(\frac{p}{q}\right)$  mit dem des Productes

$$\Pi(2tq-2up) \cdot \Pi(pq-2tq-2up)$$

überein, in welchem  $t$  und  $u$  dieselben Werthe durchlaufen,

Das Product  $\left(\frac{q}{p}\right)\left(\frac{p}{q}\right)$  hat daher das Vorzeichen des Productes

$$\begin{aligned} & \Pi(2np-2tq) \cdot \Pi(2tq-2up) \cdot \Pi(pq-2tq-2up)^2 \\ &= (-1)^{\frac{p-1}{2} \frac{q-1}{2}} \cdot \Pi(2up-2tq)^2 \Pi(pq-2tq-2up)^2, \end{aligned}$$

und es wird

$$\left(\frac{p}{q}\right)\left(\frac{q}{p}\right) = (-1)^{\frac{p-1}{2} \frac{q-1}{2}}.$$

### 3.

Es seien  $x, z$  Veränderliche und man setze

$$\begin{aligned} (z-x)(z-x^2) \dots (z-x^{p-1}) - (1+z+z^2+\dots+z^{p-1}) &= F(x) \\ 1+x+x^2+\dots+x^{p-1} &= X. \end{aligned}$$

Wird der Rest, welcher bei der Division einer ganzen Function  $\varphi$  von  $x$  durch eine andere,  $f$ , bleibt und den Grad von  $f$  in  $x$  nicht erreicht, als echter Rest von  $\varphi$  in Bezug auf  $f$

und eine durch  $f$  theilbare ganze Function von  $x$  kurz mit  $[f]$  bezeichnet, so ist der echte Rest von  $F(x)$  in Bezug auf  $X$  bekanntlich  $= 0$ .

Ist nämlich  $m$  eine der Zahlen  $1, 2, \dots, p-1$ , so stimmen die echten Reste

$$\alpha, \beta, \dots, \varepsilon$$

der Zahlen

$$m, 2m, \dots, (p-1)m$$

bis auf die Reihenfolge mit den Zahlen  $1, 2, \dots, p-1$  überein und es ist

$$\begin{aligned} x^m &= x^\alpha + [x^p - 1] \\ x^{2m} &= x^\beta + [x^p - 1] \\ &\dots \dots \dots \\ x^{(p-1)m} &= x^\varepsilon + [x^{p-1} - 1]. \end{aligned} \quad (4)$$

Hieraus folgt

$$F(x^m) = F(x) + [x^p - 1] \quad (5)$$

Ist nun

$$a_0 + a_1 x + a_2 x^2 + \dots + a_{p-1} x^{p-1}$$

der echte Rest von  $F(x)$  in Bezug auf  $x^p - 1$ , so hat man

$$F(x) = a_0 + a_1 x + a_2 x^2 + \dots + a_{p-1} x^{p-1} + [x^p - 1] \quad (6)$$

und daher

$$F(x^m) = a_0 + a_1 x^m + a_2 x^{2m} + \dots + a_{p-1} x^{(p-1)m} + [x^{mp} - 1].$$

Nach (4), (5) ist also auch

$$F(x) = a_0 + a_1 x^\alpha + a_2 x^\beta + \dots + a_\varepsilon x^\varepsilon + [x^p - 1]. \quad (7)$$

Zieht man die Identität (7) von (6) ab, so ergibt sich

$$(a_\alpha - a_1)x^\alpha + (a_\beta - a_2)x^\beta + \dots + (a_\varepsilon - a_{p-1})x^\varepsilon = [x^p - 1]$$

und hieraus

$$a_\alpha - a_1 = a_\beta - a_2 = \dots = a_\varepsilon - a_{p-1} = 0.$$

Insbesondere ist also für jedes  $m$

$$a_\alpha = a_m = a_1$$



Da ferner

$$\begin{aligned} P_m &= (-x)(1-x^{p-1})(-x^2)(1-x^{p-2}) \dots (-x^m)(1-x^{p-m}) + [X] \\ &= (-1)^m x^{\frac{1}{2}m(m+1)} (1-x^{p-1})(1-x^{p-2}) \dots (1-x^{p-m}) + [X] \end{aligned}$$

ist, so wird nach (8)

$$\begin{aligned} P_m P_{p-1-m} &= (-1)^m x^{\frac{1}{2}m(m+1)} P_{p-1} + [X] \\ &= (-1)^m p x^{\frac{1}{2}m(m+1)} + [X] \end{aligned} \quad (9)$$

und man hat

$$\begin{aligned} P_1 P_2 \dots P_{p-2} &= P_1 P_{p-2} \cdot P_2 P_{p-3} \dots P_{\frac{p-3}{2}} P_{\frac{p+1}{2}} \cdot P_{\frac{p-1}{2}} \\ &= (-1)^{\frac{(p-1)(p-3)}{8}} p^{\frac{p-3}{2}} x^{\frac{1}{48}(p^2-1)(p-3)} P_{\frac{p-1}{2}} + [X]. \end{aligned}$$

Überdies ist

$$\begin{aligned} \frac{1}{2}(p-1)(p-2) + \frac{1}{8}(p-1)(p-3) &\equiv \frac{1}{2}(p-1) + \\ &+ \frac{1}{8}(p-1)(p-3) \pmod{2} \\ &\equiv \frac{1}{8}(p^2-1) \pmod{2} \\ \frac{1}{6}p(p-1)(p-2) + \frac{1}{48}(p^2-1)(p-3) &= \frac{(p-1)(p^2-1)}{16} + \\ &+ \frac{(p-1)(p-3)}{8} \cdot p \\ &\equiv \frac{1}{2}(p-1) \cdot \frac{1}{8}(p^2-1) \pmod{p}. \end{aligned}$$

Es wird also

$$f(x) = (-1)^{\frac{p^2-1}{8}} p^{\frac{1}{2}(p-3)} x^{\frac{1}{2}(p-1) \cdot \frac{1}{8}(p^2-1)} P_{\frac{p-1}{2}} + [X]. \quad (10)$$



Aus (9) folgt dann

$$\begin{aligned} f(x)^2 &= p^{p-3} x^{(p-1) \cdot \frac{1}{8} (p^2-1)} P^{\frac{p-1}{2}} + [X] \\ &= (-1)^{\frac{(p-1)}{2}} p^{p-2} + [X]. \end{aligned} \quad (11)$$

Ferner ist, wenn  $m$  eine nicht durch  $p$  theilbare Zahl bezeichnet,

$$\begin{aligned} f(x^m) &= \Pi(x^m, x^{2m}, \dots, x^{(p-1)m}) \\ &= \Pi(x^\alpha, x^\beta, \dots, x^\varepsilon) + [X], \end{aligned}$$

wo  $\alpha, \beta, \dots, \varepsilon$  die echten Reste von  $m, 2m, \dots, (p-1)m$  in Bezug auf  $p$  bedeuten.

Es ist aber nach 1

$$\Pi(x^\alpha, x^\beta, \dots, x^\varepsilon) = \left(\frac{m}{p}\right) \Pi(x, x^2, \dots, x^{p-1})$$

und sonach

$$f(x^m) = \left(\frac{m}{p}\right) f(x) + [X]. \quad (12)$$

## 5.

Mit Hilfe der Function  $f(x)$  lässt sich der quadratische Reciprocitätssatz ähnlich wie bei Gauss beweisen.

Man hat

$$f(x)^q - f(x^q) = qG,$$

wo  $G$  in  $x$  ganz und ganzzahlig ist. Nach (12) folgt hieraus

$$f(x)^q - \left(\frac{q}{p}\right) f(x) = qG + [X].$$

Wird mit  $(-1)^{\frac{p-1}{2}} f(x)$  multiplicirt, so ergibt sich

$$(-1)^{\frac{p-1}{2}} f^2(x) \left( f(x)^{2 \cdot \frac{q-1}{2}} - \left(\frac{q}{p}\right) \right) = \pm qfG + [X],$$

welche Identität nach (11) die Form

$$p^{p-2} \left( (-1)^{\frac{p-1}{2} \cdot \frac{q-1}{2}} p^{\frac{1}{2} (q-1)(p-2)} - \left(\frac{q}{p}\right) \right) = \pm qfG + [X]$$

annimmt. Da hienach der echte Rest der Zahl

$$p^{p-2} \left( (-1)^{\frac{p-1}{2} \frac{q-1}{2}} p^{\frac{1}{2}(q-1)(p-2)} - \left( \frac{q}{p} \right) \right)$$

in Bezug auf  $X$  durch  $q$  theilbar ist, so gilt dasselbe von dieser Zahl selbst. Dann ist aber auch

$$(-1)^{\frac{p-1}{2} \frac{q-1}{2}} p^{\frac{1}{2}(q-1)(p-2)} - \left( \frac{q}{p} \right) \equiv 0 \pmod{q}.$$

Da ferner

$$p^{\frac{q-1}{2}} \equiv \left( \frac{p}{q} \right) \pmod{q},$$

also

$$p^{\frac{1}{2}(q-1)(p-2)} \equiv \left( \frac{p}{q} \right)^{p-2} - \left( \frac{p}{q} \right) \pmod{q}$$

ist, so wird

$$(-1)^{\frac{p-1}{2} \frac{q-1}{2}} \left( \frac{p}{q} \right) - \left( \frac{q}{p} \right) \equiv 0 \pmod{q}$$

und daher auch

$$(-1)^{\frac{p-1}{2} \frac{q-1}{2}} \left( \frac{p}{q} \right) - \left( \frac{q}{p} \right) = 0.$$

## 6.

Man kann aber auch die Summen von Gauss mit Hilfe der Function  $f(x)$  ermitteln.

Ist

$$b_0 + b_1 x + b_2 x^2 + \dots$$

der echte Rest der Function

$$x^{\frac{1}{2}(p-1)} \frac{1}{8} (p^2 - 1) P_{\frac{p-1}{2}}$$

in Bezug auf  $X$ , so wird

$$b_0 + b_1 x + b_2 x^2 + \dots = (b_1 - b_0) x + (b_2 - b_0) x^2 + \dots + b_0 X$$

und  $f(x)$  nimmt nach (10) die Gestalt

$$f(x) = (-1)^{\frac{p^2-1}{8}} p^{\frac{1}{2}(p-3)} (c_1 x + c_2 x^2 + \dots + c_{p-1} x^{p-1}) + [X]$$

an. Ersetzt man  $x$  durch  $x^m$ , wo  $m$  eine der Zahlen  $1, 2, \dots, p-1$  ist, und bezeichnet die echten Reste der Zahlen

$$m, 2m, \dots, (p-1)m$$

in Bezug auf den Modul  $p$  mit

$$\alpha, \beta, \dots, \varepsilon,$$

so ergibt sich

$$1 + x^m + x^{2m} + \dots + x^{(p-1)m} = 1 + x^\alpha + x^\beta + \dots + x^\varepsilon + [X] \\ = [X]$$

$$c_1 x^m + c_2 x^{2m} + \dots + c_{p-1} x^{(p-1)m} = c_1 x^\alpha + c_2 x^\beta + \dots + c_{p-1} x^\varepsilon + [X]$$

und demzufolge

$$f(x^m) = (-1)^{\frac{p^2-1}{8}} p^{\frac{1}{2}(p-3)} (c_1 x^\alpha + c_2 x^\beta + \dots + c_{p-1} x^\varepsilon) + [X].$$

Zieht man von dieser Identität die Identität

$$\left(\frac{m}{p}\right) f(x) = (-1)^{\frac{p^2-1}{8}} p^{\frac{1}{2}(p-3)} \left( \left(\frac{m}{p}\right) c_\alpha x^\alpha + \left(\frac{m}{p}\right) c_\beta x^\beta + \dots \right) + [X]$$

ab, so ergibt sich nach (12)

$$(-1)^{\frac{p^2-1}{8}} p^{\frac{1}{2}(p-3)} \left( \left( c_1 - \left(\frac{m}{p}\right) c_\alpha \right) x^\alpha + \left( c_2 - \left(\frac{m}{p}\right) c_\beta \right) x^\beta + \dots \right) = [X] \\ = [X].$$

Es ist also auch

$$\left( c_1 - \left(\frac{m}{p}\right) c_\alpha \right) x^{\alpha-1} + \left( c_2 - \left(\frac{m}{p}\right) c_\beta \right) x^{\beta-1} + \dots = [X].$$

Hieraus folgt aber

$$c_1 - \left(\frac{m}{p}\right) c_\alpha = c_2 - \left(\frac{m}{p}\right) c_\beta = \dots = 0.$$

Insbesondere ist

$$\left(\frac{m}{p}\right)c_a = \left(\frac{m}{p}\right)c_m = c_1$$

oder für jedes  $m$

$$c_m = \left(\frac{m}{p}\right)c_1.$$

Setzt man also

$$\left(\frac{1}{p}\right)x + \left(\frac{2}{p}\right)x^2 + \dots + \left(\frac{p-1}{p}\right)x^{p-1} = \omega(x),$$

so wird

$$f(x) = (-1)^{\frac{p^2-1}{8}} p^{\frac{1}{2}(p-3)} c_1 \omega(x) + [X]. \quad (13)$$

Um  $c_1$  zu bestimmen, entwickle man  $\omega(x)$  nach Potenzen von  $x-1$ . Man hat

$$\begin{aligned} \omega(x) = \omega(1) + \frac{\omega'(1)}{1!}(x-1) + \frac{\omega''(1)}{2!}(x-1)^2 + \dots \\ + \frac{\omega^{(p-1)}(1)}{(p-1)!}(x-1)^{p-1}. \end{aligned}$$

Nun ist, wenn  $m$  von 1 bis  $p-1$  läuft,

$$\omega(x) \equiv \sum m^{\frac{p-1}{2}} x^m \pmod{p}$$

also

$$\begin{aligned} \omega'(x) &= \sum m^{\frac{p-1}{2}} m x^{m-1} \\ \omega''(x) &\equiv \sum m^{\frac{p-1}{2}} m(m-1) x^{m-2} \\ &\dots \dots \dots \\ \omega^{(\mu)}(x) &= \sum m^{\frac{p-1}{2}} m(m-1) \dots (m-\mu+1) x^{m-\mu} \pmod{p}. \end{aligned}$$

Man hat daher, wenn

$$1^k + 2^k + \dots + (p-1)^k = s_k$$

gesetzt wird,

$$\omega(1) \equiv s_{\frac{1}{2}(p-1)} \equiv 0 \pmod{p}$$

$$\omega'(1) \equiv s_{\frac{1}{2}(p-1)+1} \equiv 0 \pmod{p}$$

$$\omega''(1) \equiv s_{\frac{1}{2}(p-1)+2} - s_{\frac{1}{2}(p-1)+1} \equiv 0 \pmod{p}.$$

. . . . .

Allgemein wird

$$\omega^{(\mu)}(1) \equiv s_{\frac{1}{2}(p-1)+\mu} + \lambda_1 s_{\frac{1}{2}(p-1)+\mu-1} + \dots + \lambda_{\mu} s_{\frac{1}{2}(p-1)} \pmod{p},$$

wo  $\lambda_1, \lambda_2, \dots$  ganze Zahlen bezeichnen. Ist also  $\mu < \frac{1}{2}(p-1)$ , so ergibt sich

$$\omega^{(\mu)}(1) \equiv 0 \pmod{p},$$

also auch

$$\frac{\omega^{(\mu)}(1)}{\mu!} \equiv 0 \pmod{p}.$$

Für  $\mu = \frac{1}{2}(p-1)$  dagegen wird

$$\omega^{\frac{(p-1)}{2}}(1) \equiv s_{p-1} \equiv -1 \pmod{p}.$$

Multipliziert man dann die Congruenz

$$\left(\frac{p-1}{2}\right)! \frac{\omega\left(\frac{p-1}{2}\right)(1)}{\left(\frac{p-1}{2}\right)!} \equiv -1 \pmod{p}$$

mit  $-(-1)^{\frac{p-1}{2}}\left(\frac{p-1}{2}\right)!$  und beachtet, dass nach dem Wilson'schen Satze

$$-(-1)^{\frac{p-1}{2}}\left(\frac{p-1}{2}\right)!\left(\frac{p-1}{2}\right)! = -(p-1)! \equiv 1 \pmod{p}$$

ist, so ergibt sich

$$\frac{\omega\left(\frac{p-1}{2}\right)(1)}{\left(\frac{p-1}{2}\right)!} \equiv (-1)^{\frac{p-1}{2}} \left(\frac{p-1}{2}\right)! \pmod{p}.$$

Es wird also

$$\omega(x) = \left(\frac{p-1}{2}\right)! (1-x)^{\frac{p-1}{2}} + a_1(1-x)^{\frac{1}{2}(p+1)} + \\ + a_2(1-x)^{\frac{1}{2}(p+3)} + \dots \pmod{p},$$

wo  $a_1, a_2, \dots$  ganze Zahlen bezeichnen.

Setzt man

$$P_{p-1} = (1-x)^{p-1} \varphi,$$

so nimmt  $(1-x)^{\frac{1}{2}(p-1)} \varphi \cdot \omega(x)$  die Gestalt

$$P_{p-1} \left( \left(\frac{p-1}{2}\right)! + a_1(1-x) + a_2(1-x)^2 + \dots \right) + p(1-x)^{\frac{p-1}{2}} G$$

an, wo  $G$  ganzzahlige Coëfficienten besitzt, und man kann nach (8)

$$(1-x)^{\frac{p-1}{2}} \varphi \cdot \omega(x) = p \left( \left(\frac{p-1}{2}\right)! + Q(1-x) \right) + [X] \quad (14)$$

setzen, wo  $Q$  ebenfalls ganzzahlig ist.

Da ferner

$$P_{\frac{p-1}{2}} = (1-x)^{\frac{p-1}{2}} (1+x)(1+x+x^2) \dots (1+x+\dots+x^{\frac{p-3}{2}})$$

ist und der Ausdruck

$$x^{\frac{1}{2}(p-1)} \frac{1}{8} (p^2-1) (1+x)(1+x+x^2) \dots (1+x+\dots+x^{\frac{p-3}{2}}) - \left(\frac{p-1}{2}\right)!$$

für  $x=1$  verschwindet, so nimmt

$$x^{\frac{1}{2}(p-1)} \frac{1}{8} (p^2-1) P_{\frac{p-1}{2}}$$

die Gestalt

$$(1-x)^{\frac{p-1}{2}} \left( \left( \frac{p-1}{2} \right)! + Q'(1-x) \right)$$

an, wo  $Q'$  eine ganze ganzzahlige Function von  $x$  bezeichnet, und man hat

$$(1-x)^{\frac{1}{2}(p-1)} \varphi f(x) = (-1)^{\frac{p^2-1}{8}} p^{\frac{1}{2}(p-1)} \left( \left( \frac{p-1}{2} \right)! + Q'(1-x) \right) + [X] \quad (15)$$

Aus den Identitäten (13), (14), (15) folgt nun

$$(-1)^{\frac{p^2-1}{8}} p^{\frac{1}{2}(p-1)} \left( \left( \frac{p-1}{2} \right)! (c_1-1) + (c_1 Q - Q')(1-x) \right) = [X].$$

Es muss also auch die Function

$$\left( \frac{p-1}{2} \right)! (c_1-1) + (c_1 Q - Q')(1-x)$$

durch  $X$  theilbar sein und man hat

$$\left( \frac{p-1}{2} \right)! (c_1-1) + (c_1 Q - Q')(1-x) = LX,$$

wo  $L$  ganzzahlig ist. Für  $x=1$  wird dann

$$\left( \frac{p-1}{2} \right)! (c_1-1) \equiv 0 \pmod{p}$$

und daher

$$c_1-1 \equiv 0 \pmod{p}. \quad (16)$$

Anderseits kann  $c_1$  aber nur den Werth  $\pm 1$  haben. Denn aus (13) folgt

$$\begin{aligned} f(x)^2 &= (-1)^{\frac{p-1}{2}} p^{p-2} + [X] \\ &= p^{p-3} c_1^2 \omega^2(x) + [X]. \end{aligned}$$

Bezeichnet daher  $a + a_1 x + \dots$  den echten Rest von  $\omega^2(x)$  in Bezug auf  $X$ , so wird

$$a_0 p^{p-3} c_1^2 = (-1)^{\frac{p-1}{2}} p^{p-2}$$

oder

$$a_0 c_1^2 = (-1)^{\frac{p-1}{2}} p.$$

$c_1^2$  kann also als quadratischer Theiler von  $p$  nur den Werth 1 haben, und  $c_1$  muss  $= \pm 1$  sein. Dann folgt aber aus (16)  $c_1 = 1$  und man hat

$$\begin{aligned} f(x) &= (-1)^{\frac{p^2-1}{8}} p^{\frac{1}{2}(p-3)} \omega(x) + [X], \\ \omega(x) &= x^{\frac{1}{2}(p-1)} \frac{1}{8}(p^2-1) P_{\frac{p-1}{2}} + [X]. \end{aligned} \quad (17)$$

Für  $x = e^{\frac{2\pi i}{p}}$  ergibt sich hieraus die Gauss'sche Formel.  
Man hat

$$\begin{aligned} \omega(e^{\frac{2\pi i}{p}}) &= e^{\frac{(p-1)(p^2-1)\pi i}{8p}} (1 - e^{\frac{2\pi i}{p}})(1 - e^{\frac{4\pi i}{p}}) \dots (1 - e^{\frac{(p-1)\pi i}{p}}) \\ &= e^{\frac{(p-1)(p^2-1)\pi i}{8p}} \left( -2ie^{\frac{\pi i}{p}} \sin \frac{\pi}{p} \right) \cdot \left( -2ie^{\frac{2\pi i}{p}} \sin \frac{2\pi}{p} \right) \dots \\ &\quad \dots \left( -2ie^{\frac{(p-1)\pi i}{p}} \sin \frac{(p-1)\pi}{2p} \right) \\ &= (-1)^{\frac{p^2-1}{8}} (-i)^{\frac{p-1}{2}} 2^{\frac{p-1}{2}} \sin \frac{\pi}{p} \sin \frac{2\pi}{p} \dots \sin \frac{(p-1)\pi}{2p}; \end{aligned}$$

es ist aber

$$(-1)^{\frac{p^2-1}{8}} (-i)^{\frac{p-1}{2}} = i^{\frac{p^2-1}{4}} i^{\frac{p-1}{2}} = i^{\left(\frac{p-1}{2}\right)^2}$$

und daher

$$\omega(e^{\frac{2\pi i}{p}}) = i^{\left(\frac{p-1}{2}\right)^2} 2^{\frac{p-1}{2}} \sin \frac{\pi}{p} \sin \frac{2\pi}{p} \dots \sin \frac{(p-1)\pi}{2p}.$$

Anderseits folgt aus (17), (11)

$$\begin{aligned} f(c^{\frac{2\pi i}{p}})^2 &= p^{p-3} \omega^2(c^{\frac{2\pi i}{p}}) \\ &= (-1)^{\frac{p-1}{2}} p^{p-2} \end{aligned}$$



Hienach wird

$$\begin{aligned}\omega^2(e^{\frac{2\pi i}{p}}) &= (-1)^{\left(\frac{p-1}{2}\right)^2} \left(2^{\frac{p-1}{2}} \sin \frac{\pi}{p} \sin \frac{2\pi}{p} \dots \sin \frac{(p-1)\pi}{2p}\right)^2 \\ &= (-1)^{\frac{p-1}{2}} p\end{aligned}$$

und es ergibt sich

$$\begin{aligned}2^{\frac{p-1}{2}} \sin \frac{\pi}{p} \sin \frac{2\pi}{p} \dots \sin \frac{(p-1)\pi}{2p} &= \sqrt{p} \\ \omega(e^{\frac{2\pi i}{p}}) &= i^{\left(\frac{p-1}{2}\right)^2} \sqrt{p}.\end{aligned}$$

# Zur Theorie der elektrischen Erscheinungen unserer Atmosphäre

von

**Dr. Wilhelm Trabert,**

*Docent an der Universität und Assistent der k. k. Centralanstalt für Meteorologie  
in Wien.*

(Mit 2 Textfiguren.)

## **I. Allgemeinster Ausdruck für die Abhängigkeit des Potentialgefälles von den äusseren Massen.**

So viele »Theorien« zur Erklärung der elektrischen Erscheinungen unserer Atmosphäre auch aufgestellt worden sind, so vermochten wir bisher doch nur zu sehr wenigen sicheren Ergebnissen der Forschung zu gelangen. Es hat dies einerseits seinen Grund darin, dass überhaupt erst in neuerer Zeit — und da nur spärlich — in systematischer Weise und nach absolutem Masse Messungen des Potentialgefälles an der Erdoberfläche angestellt worden sind, anderseits liegt aber doch wohl auch vielfach die Ursache darin, dass man sich zur Lösung des hier vorliegenden Problems nur sehr selten und öfters auf wenig exacter Grundlage des mathematischen Calculs bediente. Gerade dieser letztere bietet aber das Mittel, das Problem vollkommen klar und präcis zu formuliren und dadurch die Fragestellung für den Physiker zu erleichtern.

In dem Vorliegenden soll der Versuch gemacht werden, die allgemeinste Darstellung einer Theorie der »Schönwetterelektricität« zu geben, soweit dies ohne specielle Annahmen geschehen kann, und damit in Form einer allgemeinen Gleichung einen Rahmen zu entwerfen, in welchen

sich jede specielle Theorie einordnen muss, solange sie den Anspruch erheben will, nicht mit den Thatsachen in Widerspruch zu stehen.

Die Beobachtungen lehren, dass wir unsere Atmosphäre jedenfalls als ein elektrisches Feld anzusehen haben. Wir messen dasselbe durch die Änderung des Potentials und speciell an der Erdoberfläche durch den Unterschied des Potentials in ein Meter Höhe gegen das überall constante Potential des Erdkörpers selbst.

Wenn wir uns erinnern, dass für jede Oberfläche eines Leiters ganz allgemein die Gleichung

$$\frac{dV}{dn} = -4\pi\sigma$$

gilt, in welcher  $\frac{dV}{dn}$  das Potentialgefälle längs der Normalen auf die Oberfläche und  $\sigma$  die elektrische Dichte in dem betreffenden Punkte bedeutet, so können wir auch sagen, wir messen durch das Potentialgefälle die Dichte, welche die elektrische Ladung der Erdoberfläche in dem betreffenden Punkte besitzt. Wir brauchen nur das Potentialgefälle in den entsprechenden Einheiten auszudrücken und durch  $-4\pi$  zu dividieren.

Hätten wir es nur mit einer Ladung des festen Erdkörpers zu thun, so wäre die Dichte allein von der Gestalt der Erdoberfläche abhängig, wobei wir aber unter »Erdoberfläche« auch die in die Atmosphäre ragenden Theile der Oberfläche jedes mit der Erde leitend verbundenen Körpers zu verstehen haben. Es wäre dann — und die Beobachtungen bestätigen dies ja auch — die Dichte in hohem Grade abhängig von den zufälligen Erhebungen und Krümmungen, und es versteht sich ganz von selbst, dass wir, wenn wir das Problem in seiner Wesenheit auffassen wollen, von diesen Zufälligkeiten absehen müssen.

Es hat deshalb auch F. Exner die selbst heute noch leider so wenig berücksichtigte und doch so wesentliche Forderung erhoben, alle Beobachtungen über Luftelektricität entweder auf einer vollkommenen Ebene anzustellen oder doch — da dies

ja selten möglich oder doch höchst umständlich wäre — auf die Ebene durch einmalige Feststellung des Reductionsfactors zu beziehen. Ist bei dem Beobachtungsmaterial diese Bedingung erfüllt, so haben wir es mit der Gestalt der Erdoberfläche im grossen Ganzen zu thun, und da auch die Abplattung der Erde so gering ist, dass dadurch, wie die Rechnung lehrt, die Dichtenvertheilung nicht wesentlich beeinflusst wird, so können wir bei allen unseren Betrachtungen, wenn, wie gesagt, das Beobachtungsmaterial, auf welches wir uns stützen können, auf die Ebene reducirt ist, die Erdoberfläche als eine Kugeloberfläche auffassen.

Auf einer Kugel aber wäre, wenn wir es nur mit einer Ladung derselben zu thun hätten, die Dichte überall dieselbe. Die Beobachtungen beweisen, dass dies nicht der Fall ist, dass vielmehr die Dichte der elektrischen Ladung der Erdoberfläche sowohl örtlich als auch zeitlich höchst veränderlich und von der Witterung abhängig ist.

Eine systematische Bearbeitung setzt deshalb voraus — auch diese Forderung wurde zuerst von Exner erhoben — dass die Beobachtungen bei schönem Wetter zunächst von den durch Wolken gestörten Beobachtungen getrennt werden. Es versteht sich von selbst, dass zuerst die ungestörte Erscheinung, die »Schönwetter-Elektricität«, studirt werden muss.

Auch die Schönwetter-Elektricität zeigt nun aber eine örtliche und zeitliche Veränderlichkeit. Die Dichte der Ladung nimmt von den höheren Breiten gegen den Äquator hin ab, sie zeigt eine Schwankung im Laufe des Tages, sowie auch im Laufe des Jahres, und vor Allem — hierin hat ja die Abnahme gegen den Äquator ihren Grund — sie nimmt ab mit dem zunehmenden Dampfgehalte der Luft und, wie Elster und Geitel neuerdings gezeigt haben, mit der Zunahme der ultravioletten Strahlung.

Es folgt aus dieser örtlichen und zeitlichen Verschiedenheit des Potentialgefälles an der Erdoberfläche oder, wie wir ja auch sagen können, der elektrischen Dichtigkeit, dass wir es ausser der Erdladung noch mit anderen Ladungen zu thun haben, welche influenzierend auf den Erdkörper wirken und dadurch die örtliche und zeitliche Verschiedenheit der Dichte

an der Erdoberfläche hervorbringen, und es ist die Hauptfrage in dem Problem, das die atmosphärische Elektrizität darbietet, welches ist der Sitz dieser die jeweilige elektrische Dichte eines Punktes der Erdoberfläche bestimmenden Massen?

Es bedarf keiner weiteren Auseinandersetzung, dass die Beantwortung dieser Frage wesentlich erleichtert oder doch ein Anhaltspunkt für die weitere Fragestellung gewonnen wird, wenn man den Einfluss äusserer elektrischer Massen in seiner allgemeinsten Form ermittelt, d. h. durch eine ganz allgemeine Formel den Zusammenhang zwischen der Dichte in jedem Punkte der Erdoberfläche und dem Potential der äusseren, influenzierend wirkenden Massen aufstellt. Da thatsächlich die Dichte durch das Potential dieser Massen eindeutig bestimmt ist, so bietet die Aufstellung einer solchen Formel keine Schwierigkeit.

Die allgemeinste Annahme, welche wir machen können, ist offenbar die, dass erstlich die Erde selbst mit einer gewissen Elektrizität  $E$  geladen sei und dass sie zweitens unter dem Einflusse irgendwelcher elektrischer Massen stehe, deren Potential in irgend einem Punkte wir ganz allgemein mit  $W$  bezeichnen wollen, von welchen wir es aber vorläufig unentschieden lassen wollen, ob sie ihren Sitz im Weltraum oder im Innern der Atmosphäre haben. Es wird, wenn wir die allgemeinste Formel entwickelt haben und wenn wir dieselbe den Beobachtungsthatfachen gegenüberstellen, sich dann schon von selbst ergeben, inwieweit die allgemeine Annahme modificirt werden muss, wenn sie nicht den Beobachtungen widerstreiten soll.

Wir bezeichnen die Dichte, welche in einem bestimmten Punkte der Erdoberfläche, die wir als Kugel auffassen, herrscht, mit  $\sigma$  und stellen uns die Aufgabe, diese Grösse auszudrücken durch die Ladung  $E$  der Erde und das Potential der äusseren elektrischen Massen. Auch die auf der Erdoberfläche ausgebreiteten elektrischen Massen werden für sich ein Potential haben, und wir nennen dieses  $U$ .

Ist  $dO$  ein Oberflächenelement der Erde an der Stelle, an welcher die Dichte  $\sigma$  herrscht, und ist  $u$  die Distanz des Oberflächenelementes von einem Punkte, für welchen wir das

Potential der Erdladung für sich berechnen wollen, so ist für diesen Punkt:

$$U = \int \frac{\sigma dO}{u},$$

wobei das Integral über die ganze Erdoberfläche auszu-dehnen ist.

Wenn für eben diesen Punkt das Potential der äusseren elektrischen Massen  $W$  heisst, dann ist das Gesamtpotential  $V$ , das hier herrscht, das sich also zusammensetzt aus dem Potential der Erdladung für sich ( $U$ ) und dem Potential der äusseren Massen für sich ( $W$ ), gegeben durch den Ausdruck

$$V = U + W.$$

Wir nennen für einen Punkt im Innern der Erdkugel diese Grössen  $V_i$ ,  $U_i$  und  $W_i$ ; für einen äusseren Punkt  $V_e$ ,  $U_e$  und  $W_e$ ; für einen Punkt der Erdoberfläche, deren Radius wir  $a$  nennen wollen,  $V_a$ ,  $U_a$  und  $W_a$  und endlich für den Erdmittelpunkt  $V_0$ ,  $U_0$  und  $W_0$ .

Nachdem wir diese Bezeichnungen ein für allemal festgesetzt haben, können wir darangehen, einen geeigneten Ausdruck für  $\sigma$  zu gewinnen.

Für eine Kugeloberfläche gilt ganz allgemein, welches auch das Potential der äusseren wirkenden Massen sein möge,

$$4\pi\sigma = \frac{U_a}{a} + 2\left(\frac{dU_i}{dr}\right)_{r=a} \quad 1)$$

(Es möge, da diese Gleichung auch dem Physiker nicht immer geläufig sein wird, gestattet sein, ihre Ableitung hier kurz anzudeuten.

Wenn wir den Radius der Erdkugel mit  $a$  bezeichnen und die Distanz des Punktes, für welchen wir das Potential ins Auge gefasst haben, vom Erdmittelpunkte  $r$  nennen, und wenn der Winkel, welchen die beiden Radien  $a$  und  $r$  einschliessen,  $\theta$  heisst, dann ist

$$u = \sqrt{a^2 + r^2 - 2ar \cos \theta}.$$

Führen wir diesen Ausdruck in die Gleichung für  $U$  ein, so haben wir

$$U = \int \frac{\sigma dO}{a \sqrt{1 - \frac{2r}{a} \cos \theta + \frac{r^2}{a^2}}} \quad \text{oder} \quad = \int \frac{\sigma dO}{r \sqrt{1 - \frac{2a}{r} \cos \theta + \frac{a^2}{r^2}}}$$

Den ersten Ausdruck werden wir anwenden für innere Punkte ( $r < a$ ), den zweiten Ausdruck für äussere Punkte ( $r > a$ ).

Wir können beide Ausdrücke nach Kugelfunctionen entwickeln und erhalten dann für den ersten Ausdruck

$$\frac{1}{a} \int \sigma dO \left\{ P_0 + \frac{r}{a} P_1 + \frac{r^2}{a^2} P_2 + \dots \right\}$$

und für den zweiten Ausdruck

$$\frac{1}{r} \int \sigma dO \left\{ P_0 + \frac{a}{r} P_1 + \frac{a^2}{r^2} P_2 + \dots \right\}.$$

Nennen wir ganz allgemein den Ausdruck

$$\int \sigma dO \{ P_0 + x P_1 + x^2 P_2 + \dots \}$$

kurz  $f(x)$ , dann können wir auch schreiben

$$U_i = \frac{1}{a} f\left(\frac{r}{a}\right) \quad \text{und} \quad U_e = \frac{1}{r} f\left(\frac{a}{r}\right).$$

Für  $r = a$  gehen beide Ausdrücke in einander über

$$U_a = \frac{1}{a} f(1).$$

Nun gilt bekanntlich ganz allgemein für die Oberfläche eines Leiters (Theorem von Poisson):

$$\left(\frac{dU_e}{dr}\right)_a - \left(\frac{dU_i}{dr}\right)_a = -4\pi\sigma.$$

Differenziren wir nun aber die oben gefundenen allgemeinen Ausdrücke für  $U_e$  und  $U_i$  nach  $r$  und setzen wir zum Schlusse  $r = a$ , so haben

$$\left(\frac{dU_e}{dr}\right)_{r=a} - \left(\frac{dU_i}{dr}\right)_{r=a} = -\frac{1}{a^2} f(1) - \frac{2}{a^2} f'(1);$$

statt dessen können wir aber auch schreiben:

$$\left(\frac{dU_e}{dr}\right)_a - \left(\frac{dU_i}{dr}\right)_a = -\frac{U_a}{a} - 2\left(\frac{dU_i}{dr}\right)_a.$$

Führen wir  $4\pi\sigma$  ein, so folgt die obige Gleichung 1).

Es ist nun offenbar unsere Aufgabe,  $U_a$  und  $\left(\frac{dU_i}{dr}\right)_a$  durch Werthe von  $W$  auszudrücken.

Im Innern eines Leiters ist das Potential constant, d. h.

$$V_i = U_i + W_i = U_0 + W_0 = \text{constans.}$$

Dieser Satz gilt aber auch noch für die Oberfläche, es ist somit auch

$$U_a + W_a = U_0 + W_0,$$

also, da

$$U_0 = \frac{E}{a},$$

$$U_a = \frac{E}{a} + W_0 - W_a. \quad 2)$$

Wir hätten somit einen Theil unserer Aufgabe gelöst.  $U_a$  ist ausgedrückt durch die Ladung der Erde, den Werth des Potentials der äusseren Massen in dem Punkte, für welchen wir  $\sigma$  kennen wollen, und endlich durch den Werth des Potentials der äusseren Massen im Erdmittelpunkte.

Es bleibt uns noch übrig,  $\left(\frac{dU_i}{dr}\right)_{r=a}$  durch das Potential der äusseren Massen auszudrücken. Da  $U_i + W_i$  eine Constante, folgt sofort:

$$\left(\frac{dU_i}{dr}\right)_a = -\left(\frac{dW_i}{dr}\right)_a. \quad 3)$$

Also, wenn wir die Werthe aus Gleichung 2) und 3) in die Gleichung 1) einsetzen:

$$4\pi\sigma = \frac{E}{a^2} - \frac{W_a - W_0}{a} - 2\left(\frac{dW}{dr}\right)_{r=a}. \quad 4)$$

Wir brauchen somit nur die auf der Erdoberfläche aufgespeicherte Elektrizitätsmenge und von den äusseren influenzirend wirkenden Massen nur das Potential im Erdmittelpunkt und jenem Punkte der Erdoberfläche, für welchen wir die Dichte  $\sigma$  bestimmen wollen, sowie die Änderung des Potentials längs der Normalen in diesem Punkte zu kennen, um die Dichte zu berechnen.

Da wir gewöhnlich nicht die Dichte, sondern  $-4\pi\sigma$ , d. h. das Potentialgefälle  $\left(\frac{dV}{dh}\right)_0$  für die Erdoberfläche unmittelbar



messen, so werden wir besser thun, auch in die Gleichung 4) das Potentialgefälle einzuführen und können dann schreiben:

$$\left(\frac{dV}{dh}\right)_0 = -\frac{E}{a^2} + \frac{W_a - W_0}{a} + 2\left(\frac{dW}{dr}\right)_a. \quad 1)$$

Da, wie die Beobachtungen gelehrt haben, bei schönem Wetter die Potentialniveaulächen der Erdoberfläche parallel sind, so ist es leicht auch für einen Punkt, in einer beliebigen Höhe  $h$  über der Erdoberfläche, das Potentialgefälle  $\frac{dV}{dh}$  zu ermitteln. Wir brauchen zu diesem Zwecke nur zu wissen, welche Elektrizitätsmenge in der verticalen Luftschichte vom Querschnitte eins und der Höhe  $h$  unterhalb des Punktes, für welchen wir  $\frac{dV}{dh}$  rechnen wollen, zu kennen.

Nennen wir diese Elektrizitätsmenge  $\eta$ , so wissen wir, dass bei Parallellagerung der Potentialniveaux der Unterschied des Potentialgefälles in zwei beliebigen Niveaux bestimmt ist durch die eingeschlossenen Massen, multiplicirt mit  $-4\pi$ .

Wir haben also

$$\frac{dV}{dh} - \left(\frac{dV}{dh}\right)_0 = -4\pi\eta,^1$$

somit

$$\frac{dV}{dh} = -\frac{E}{a^2} + \frac{W_a - W_0}{a} + 2\left(\frac{dW}{dr}\right)_a - 4\pi\eta. \quad 11)$$

Wir haben hiemit für einen beliebigen Punkt unserer Atmosphäre das in ihm herrschende Potentialgefälle ausgedrückt

<sup>1</sup> In dieser Formel ist nur die Höhe  $h$  gegenüber dem Erdradius  $a$  vernachlässigt. Da die Formel nur eine specielle Anwendung des Gauss'schen Satzes

$$\int \frac{dV}{dn} dO = -4\pi\eta$$

ist, so hat man streng genommen, weil die obere Grenzfläche nicht gleich eins, sondern  $\left(\frac{a+h}{a}\right)^2$  zu setzen ist,

$$\left(\frac{a+h}{a}\right)^2 \frac{dV}{dh} - \left(\frac{dV}{dh}\right)_0 = -4\pi\eta.$$

durch die schon oben näher bezeichneten Grössen  $E$ ,  $W_a$ ,  $W_0$  und  $\left(\frac{dW}{dr}\right)_a$ , sowie die noch neu hinzugekommene Grösse  $\eta$ .

Diese Formel ist, wofern in der Lagerung der Potentialniveauflächen am Beobachtungsorte keine Störungen vorkommen, d. h. bei schönem Wetter, vollkommen exact. Sie wurde ohne Voraussetzungen und ohne Vernachlässigungen abgeleitet und stellt die Grundgleichung dar, von welcher man bei jeder Theorie, wenn dieselbe exact begründet werden soll, ausgehen muss. Es ist übrigens bemerkenswerth, dass für die Gleichung I, welche den Specialfall der Gleichung II für  $h = 0$ , d. h. für die Erdoberfläche darstellt, auch die beschränkende Bedingung, dass die Potentialniveaux der Atmosphäre parallel seien, nicht nöthig ist, dass dieselbe vielmehr ganz allgemein und vollkommen streng das Potentialgefälle in seiner Abhängigkeit von den äusseren Massen ausdrückt, somit auch für die »Störungen« des »normalen« Potentialgefälles gilt.

Da wir, wenn wir uns auf den Boden einer speciellen Theorie stellen, die Werthe von  $W_a$ ,  $W_0$  und  $\left(\frac{dW}{dr}\right)_a$  auf Grund der dieser Theorie zu Grunde liegenden Annahme leicht werden berechnen können, so wird es uns leicht sein, alle speciellen Theorien an der Hand dieser allgemeinen Gleichung zu discutiren und zu untersuchen, ob und inwiefern nicht vielleicht ihre Annahme zu Consequenzen führen würde, welche den Beobachtungsthaten widerstreiten.

## II. Discussion der allgemeinen Gleichung.

1. Die Grösse  $E$ . Wir beschränken uns vorläufig darauf, die als (I) bezeichnete Gleichung für das Potentialgefälle an der Erdoberfläche, also die Gleichung

$$\left(\frac{dV}{dh}\right)_0 = -\frac{E}{a^2} + \frac{W_a - W_0}{a} + 2\left(\frac{dW}{dr}\right)_a$$

einer näheren Discussion zu unterziehen und beschäftigen uns vor Allem mit der Grösse  $E$ .

$E$  bedeutete die Ladung des leitenden Erdkörpers, d. h. die auf der Erdoberfläche vorhandene freie Elektrizität. Da, wie die Beobachtungen nicht bloss in unseren Breiten, sondern auch in den Tropen und auf dem Ocean gezeigt haben, auf der ganzen Erde das Potentialgefälle bei normalem Wetter einen positiven Werth besitzt, so folgt mit Sicherheit, dass die Erde überall (bei normalem Wetter) mit negativer Elektrizität belegt ist, dass also die jeweilig an einem Orte beobachtete elektrische Dichte der Erdoberfläche nicht allein auf Rechnung der Influenz äusserer Massen zu setzen ist, sondern dass wirklich freie negative Elektrizität auf der Erde vorhanden ist, dass also  $E$  einen bestimmten negativen Werth hat.

Diese Annahme, welche zuerst von Ermann und Peltier aufgestellt wurde, ist heute keine Hypothese mehr, sie ist eine Thatsache, welche sich unmittelbar aus den Beobachtungen ergibt.

Es fragt sich nun: Sind wir etwa im Stande, die Änderungen des Potentialgefälles, wenigstens zum Theile, durch die Annahme einer Änderung dieser Grösse  $E$  zu erklären? Da nicht bloss Exner annimmt, dass mit dem Wasserdampfe ein Theil der Ladung der Erdoberfläche in die Atmosphäre entweiche, sondern auch Elster und Geitel durch ihre Versuche nachgewiesen haben, dass die Erdrinde Bestandtheile enthalte, welche negativ geladen, unter dem Einflusse der ultravioletten Strahlung einen Theil ihrer Ladung an die Atmosphäre abgeben, so wird local gewiss ein Theil der Erdladung von der Oberfläche in die Atmosphäre entweichen, gerade so wie anderwärts theils durch Blitzentladungen, theils durch den Niederschlag diese negative Elektrizität dem Erdkörper wieder zugeführt werden wird.

Ist es möglich, wenn wir die gesammte Erdladung ins Auge fassen, eine Änderung dieser Grösse anzunehmen? Wenn wir beachten, dass sowohl die Verdampfung, als auch die Insolation nur local sehr verschieden sind, dass aber, wenn wir das Mittel für die ganze Erde ins Auge fassen, dieses gewiss für eine grössere Epoche constant ist, sicher aber keine tägliche Schwankung von nennenswerthem Betrage zeigt, so kann wohl nicht davon die Rede sein, die tägliche Periode oder die

Schwankungen des Potentialgefälles mit dem Dampfdruck oder der Insolation durch Veränderungen von  $E$  erklären zu wollen. Die localen Elektricitätsübergänge von der Erde zur Atmosphäre und umgekehrt, verschwinden gewiss für die gesammte Erdoberfläche.

Wohl aber wäre es möglich, eine jährliche Schwankung von  $E$  anzunehmen, da sich Sommer und Winter der beiden Hemisphären bekanntlich nicht ausgleichen, vielmehr die Jahreszeit der Nordhemisphäre ausschlaggebend ist, so dass die gesammte Erde im Laufe eines Jahres einen Sommer und einen Winter hat, welcher mit jenem der Nordhemisphäre gleichzeitig ist. Da somit auch die Verdampfungs- und Insolationsverhältnisse der gesammten Erde einen jährlichen Gang zeigen müssen, welcher ein Maximum im Sommer der Nordhemisphäre, ein Minimum im Winter derselben hat, so wäre es allerdings gar nicht ausgeschlossen, dass auch  $E$ , die Ladung der Erde, eine jährliche Periode besässe, welche ein Minimum im Sommer und ein Maximum im Winter der Nordhemisphäre aufweist.

Diese Möglichkeit müssen wir jedenfalls zugestehen und im Auge behalten. Ebenso gewiss ist es aber, dass wir durch eine derartige Schwankung von  $E$  allein den jährlichen Gang der Lufterlektricität nicht erklären können, da sonst die Südhemisphäre nicht, wie dies Melbourne zeigt, einen umgekehrten jährlichen Gang aufweisen dürfte, wie die Nordhemisphäre. Jede Änderung von  $E$  müssten ja alle Erdpunkte streng gleichzeitig zeigen. Wir werden übrigens später sehen (das möge hier nur nebenbei bemerkt werden), dass wir gar nicht im Stande sind, an einem einzelnen Beobachtungsorte Änderungen von  $E$  zu constatiren.

Fassen wir diese Erwägungen kurz zusammen, so müssen wir sagen, dass die Ladung der Erde  $E$  im Allgemeinen als eine Constante angesehen werden muss und dass sie höchstens einen kleinen jährlichen Gang mit einem Maximum in unserem Winter und einem Minimum in unserem Sommer aufweisen könnte, dass also gewiss alle nicht periodischen zeitlichen Schwankungen des Potentialgefälles und dessen tägliche Periode, dann aber auch die jährliche Periode zum grösseren Theile durch Veränderungen der Grössen  $W$ , d. h. durch den

influenzirenden Einfluss äusserer Massen auf die Erdoberfläche zu erklären seien.

2. Einfluss elektrischer Massen im Weltraume. Nachdem wir gesehen haben, dass in erster Linie die Änderungen des Potentialgefälles an einem Punkte der Erdoberfläche oder, wie wir auch sagen können, der elektrischen Dichte daselbst eine Influenzwirkung ausserhalb der Erdoberfläche befindlicher Massen sind, können wir einen Schritt weiter gehen und die Frage aufstellen: Wo sind diese Massen?

Hier gibt es nun offenbar nur zwei Möglichkeiten, entweder diese Massen liegen ausserhalb unserer Atmosphäre irgendwo im Weltraume oder aber in unserer Atmosphäre selbst. Wir discutiren zunächst die erstere Möglichkeit.

Wenn die Erde, wie die Beobachtungen lehren, eine negative Ladung besitzt, dann ist es mehr als wahrscheinlich, dass auch die anderen Himmelskörper als elektrisch geladene Körper aufzufassen sind. In diesem Falle würde natürlich in erster Linie unsere Sonne in Betracht kommen, und es wäre die Möglichkeit zu erwägen, ob nicht ein Theil der Erscheinungen luftelektrischer Natur durch die Influenzwirkung der Sonne seine Erklärung fände. Wir untersuchen desshalb zunächst den Einfluss einer ausserhalb der Atmosphäre im Weltraume befindlichen elektrischen Masse, ohne zunächst anzunehmen, dass diese auf der Sonne ihren Sitz habe.

Wo immer aber auch diese elektrischen Massen ihren Sitz haben mögen, das eine ist klar, dass bei der Kleinheit des Erdkörpers im Vergleich zu cosmischen Verhältnissen für den Raum, welchen die Erde einnimmt, die Potentialniveaux dieser äusseren Massen als Ebenen und einander parallel angesehen werden dürfen. Wir wollen das Gefälle dieses Potentials  $C$  nennen.

In nebenstehender Figur repräsentire  $MN$  jenes Potentialniveau, welches die Erdoberfläche in  $M$  tangirt. Wenn das Potentialniveau pro Längeneinheit in der Richtung von  $M$  gegen  $O$  (Erdmittelpunkt) um den Betrag  $C$  wächst, und wenn wir das Potential der in Frage stehenden äusseren Massen in  $O$ , d. h. also das durch den Erdmittelpunkt hindurchgehende Potentialniveau mit  $W_0$  bezeichnen, dann hat die Tangential-

ebene  $MN$  offenbar das Potential  $W_0 - Ca$ , wobei unter  $a$  der Erdradius  $MO$  zu verstehen ist. Wir nennen die Declination der Richtung, in welcher die elektrischen Massen ihren Sitz haben,  $\delta$ .

Unsere Aufgabe ist nun die, das jeweilig durch den Punkt  $A$ , welcher die geographische Breite  $AD = \varphi$  haben möge, hindurchgehende Potentialniveau zu berechnen.

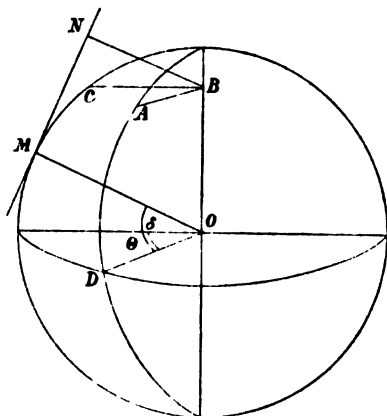


Fig. 1.

Wenn wir den senkrechten Abstand des Punktes  $A$  von der Tangentialebene  $MN$  mit  $p$  bezeichnen, dann ist offenbar dieses Niveau

$$W_a = W_0 - Ca + Cp.$$

Nun ist weiter

$$p = BN - \text{Projection von } AB \text{ auf } BN;$$

da nun, wie man leicht findet,

$$BN = a - a \sin \varphi \sin \delta$$

und die Projection von  $AB$  auf  $BN$  gleich ist

$$a \cos \varphi \cos \theta \cos \delta,$$

wenn  $\theta$  den Stundenwinkel des Punktes  $A$ , von dem Meridian  $MC$  aus gezählt bedeutet, so ist

$$W_a = W_0 - Ca (\sin \varphi \sin \delta + \cos \varphi \cos \delta \cos \theta).$$

Da bekanntlich der Klammerausdruck nichts anderes ist als  $\sin h$ , wenn wir unter  $h$  die Höhe jenes Punktes verstehen, in welchem die elektrischen Massen ihren Sitz haben, also die Sonnenhöhe, wenn wir die specielle Annahme machen, dass die äusseren Massen auf der Sonne gelegen seien, so können wir auch schreiben

$$W_a = W_0 - Ca \sin h.$$

Würden wir statt des Punktes  $A$  auf der Erdoberfläche einen Punkt in der Distanz  $r$  vom Erdmittelpunkt betrachten haben, so hätten wir für diesen erhalten

$$W = W_0 - Cr \sin h,$$

somit

$$\frac{dW}{dr} = -C \sin h.$$

Wir kennen nunmehr  $W_0$ ,  $W_a$  und  $\left(\frac{dW}{dr}\right)$ , sind also in der Lage, den influenzirenden Einfluss einer im Weltraume befindlichen Elektrizitätsmenge allein durch das von ihr im Gebiete der Erde hervorgebrachte Potentialgefälle  $C$  und als Function ihrer Zenithdistanz oder ihrer Höhe auszudrücken.

Wir erhalten

$$\frac{W_a - W_0}{a} + 2 \left( \frac{dW}{dr} \right)_0 = -3C \sin h.$$

Wären somit andere äussere Massen nicht vorhanden und kämen nur die eben besprochenen in Betracht, also etwa nur die Ladung der Sonne, dann wäre das Potentialgefälle auszudrücken durch

$$\left( \frac{dV}{dh} \right)_0 = -\frac{E}{a^2} - 3C \sin h.$$

Wir würden durch diese Annahme z. B. den jährlichen Gang recht gut erklären können. Hätte die Sonne auch eine negative Ladung, so wäre das Potentialgefälle, das letztere hervorbringt, positiv, also  $C$  positiv; wir würden also im Sommer ( $h$  gross) einen kleinen Werth für  $\left(\frac{dV}{dh}\right)_0$ , im Winter ( $h$  klein)

dagegen einen grossen Werth für das Potentialgefälle an der Erdoberfläche erhalten.

Trotzdem muss diese Annahme entschieden verworfen werden, denn wäre sie richtig, so müsste das Potentialgefälle an der Erdoberfläche eine einfache tägliche Schwankung zeigen, welche viel beträchtlicher wäre, als die jährliche. Diese tägliche Periode würde durch das Glied  $3 C \cos \varphi \cos \delta \cos \theta$  bestimmt werden, also eine Amplitude

$$6 C \cos \varphi \cos \delta$$

zeigen. Für die Tropen würde sich zur Zeit der Äquinoccien  $6 C$  ergeben!

Wenn also die Sonne eine elektrische Ladung besitzen sollte, so ist dieselbe gewiss nur so gross, dass das Gefälle  $C$ , welches sie hervorbringt, eine kleine Grösse ist, welche gegen den jährlichen Gang gewiss verschwindet, aber möglicherweise zur Erklärung des täglichen Ganges des Potentialgefälles beitragen könnte, bei welchem ja bekanntlich die Schwankung nur sehr gering ist.

Es ist unter diesen Umständen wohl sehr unwahrscheinlich, dass noch etwa eine Ladung des Mondes in Frage kommen sollte. Trotzdem ist erst jüngst von N. Ekholm und Sv. Arrhenius der Versuch gemacht worden, den influenzirenden Einfluss einer Mondladung nachzuweisen.<sup>1</sup>

Da der Mond bereits der Erde so nahe ist, dass die Potentialniveaux nicht mehr als parallele Ebenen angesehen werden dürfen, muss zu dem Gliede  $-3 C \sin h$ , welches die Influenzwirkung ausdrückt, mindestens noch ein Glied

$$-\frac{5}{2} p C (3 \sin^2 h - 1)$$

hinzutreten (man vergl. die unten citirte Abhandlung), worin  $p$  die Parallaxe des Mondes bedeutet.

Es gilt selbstverständlich auch hier, dass vor Allem die mondtägliche Periode sich zeigen müsste. Das von den beiden

---

<sup>1</sup> Über den Einfluss des Mondes auf den elektrischen Zustand der Erde. Bihang till K. Svenska Vet. Akad. Handlingar. Bd. 19, Afd. I, Nr. 8.



Verfassern discutirte Material zeigt aber, dass die monatliche Periode viel deutlicher ausgesprochen sei; woraus wohl unbedingt folgt, dass der aus diesen Beobachtungen folgende Mondeinfluss keine Influenzwirkung sein kann, sondern wohl als ein indirecter Einfluss aufgefasst werden muss, der erst einer weiteren Klarstellung bedarf.

Für diese Annahme spricht wohl auch das Resultat, zu welchem Ekholm und Arrhenius kommen, dass die untersuchte Erscheinung recht bedeutende Zeit zu ihrer Entwicklung nöthig hat. Wenn dies der Fall ist, kann wohl von einem Influenzvorgang nicht die Rede sein.

Zur Erklärung der grösseren Schwankungen ist also auch die Annahme von elektrischen Massen im Weltraume ausserhalb unserer Atmosphäre ungeeignet; es bleibt somit nur die eine Annahme übrig, dass die Schwankungen im Potentialgefälle an der Erdoberfläche durch den influenzirenden Einfluss von elektrischen Massen in der Atmosphäre selbst hervorgebracht werden.

3. Einfluss elektrischer Massen in der Atmosphäre. Wir haben somit das Gebiet, in welchem jene elektrischen Massen zu suchen sind, durch deren Influenzwirkung die wesentlicheren Schwankungen des Potentialgefälles hervorgerufen werden, ziemlich eng umgrenzt. Sie können ihren Sitz nur in unserer Atmosphäre haben.

Es gibt auch bekanntlich eine ganze Reihe von Theorien, welche den Sitz der wirkenden elektrischen Massen in der Atmosphäre suchen. Auch Thomson nimmt in den oberen Schichten der Atmosphäre eine positive Ladung an. Mag dieselbe nun vorhanden sein oder nicht, gewiss ist, dass, wenn sie auch vorhanden ist, im Innern des Raumes, welchen diese oberen Schichten einschliessen, das Potential einer derartigen gleichförmig elektrisirten Kugelschichte ein constantes ist, d. h.

$W_a = W_0$  und  $\left(\frac{dW}{dr}\right)_a = 0$ . Eine solche Ladung vermag somit nicht das Potentialgefälle  $\left(\frac{dV}{dh}\right)_0$  zu beeinflussen.

Andere Theorien, wie die von Sohncke und Luvini, nehmen desshalb ein Heben und Senken einer positiv geladenen

Fläche (Isothermenfläche Null) und wohl auch einen wechselnden Betrag ihrer Ladung an. Und noch andere Theorien verlegen den Sitz der äusseren elektrischen Massen nicht in eine Fläche, sondern lassen dieselben sich über die ganze Atmosphäre ausbreiten, sei es nun, dass sie, wie Exner, annehmen, die elektrischen Massen hätten ihren Sitz auf den Wasserdampfmolekülen, sei es, dass sie, wie Elster und Geitel in ihrer Umgestaltung der Arrhenius'schen Theorie, annehmen, es werde die Elektrizität von der Erdoberfläche unter dem Einflusse der ultravioletten Strahlung weggeführt, und den eigentlichen Sitz vorläufig unerörtert lassen. Sicher befindet sich derselbe ja auf Theilchen der Atmosphäre.

Auch diese Theorien, wie alle, welche den Sitz der influenzirenden Elektrizität in der Atmosphäre suchen, müssen sich in den Rahmen einer allgemeinen Formel einordnen, welche wir auf sehr einfache Weise ableiten können und welche es gestattet, die einzelnen Theorien an den Beobachtungsthatsachen zu prüfen.

Nennen wir die gesammte in der Atmosphäre befindliche Elektrizität  $e$  und bezeichnen wir die Summe aus dieser letzteren und der Ladung  $E$  der Erdoberfläche kurz mit  $E_0$ , also

$$E_0 = E + e,$$

dann sind in einer genügend grossen Entfernung  $h$  von der Erdoberfläche die Potentialniveaux unter allen Umständen ja gewiss wieder Kugelflächen und das dort herrschende Potential ist

$$V = \frac{E_0}{a+h}.$$

Das Potentialgefälle in dieser Entfernung ist dann

$$\frac{dV}{dh} = - \frac{E_0}{(a+h)^2}.$$

Wir können nun wieder auf das Potentialniveau, welches die Erdoberfläche repräsentirt, und das Niveau mit dem Potentiale  $V$  den schon einmal verwendeten Satz anwenden, welcher das Gefälle in beiden Niveaux und die Elektrizitätsmenge in

Beziehung bringt, welche in der zwischen beiden Niveaux über dem Querschnitt Eins errichteten verticalen Luftsäule enthalten ist. Nennen wir letztere, also die in der ganzen über der Flächeneinheit lagernden Luftsäule enthaltene Elektricität  $\varepsilon_0$ , so haben wir demnach<sup>1</sup>

$$\left(\frac{a+h}{a}\right)^2 \frac{dV}{dh} - \left(\frac{dV}{dh}\right)_0 = -4\pi\varepsilon_0$$

oder, wenn wir für  $\frac{dV}{dh}$  den obigen Werth einführen,

$$\left(\frac{dV}{dh}\right)_0 = -\frac{E_0}{a^2} + 4\pi\varepsilon_0. \quad \text{III)}$$

Wir ersehen aus dieser Gleichung, dass, wenn lediglich die in der Atmosphäre enthaltenen Massen in Betracht kommen, das Potentialgefälle an der Erdoberfläche allein abhängt von der gewiss constanten gesammten Elektricitätsmenge unseres Erdballes (Ladung der Oberfläche + Ladung der Atmosphäre) und jenen elektrischen Massen, welche unmittelbar über dem Beobachtungsort in der über der Flächeneinheit lagernden Luftsäule enthalten sind.<sup>2</sup>

Wäre die in der Atmosphäre vorhandene Elektricität nach Breite und Länge gleichförmig vertheilt, dann wäre  $c = 4\pi a^2 \varepsilon_0$ , also

$$\left(\frac{dV}{dh}\right)_0 = -\frac{E}{a^2} - 4\pi\varepsilon_0 + 4\pi\varepsilon_0 = -\frac{E}{a^2}.$$

<sup>1</sup> Man vergl. die Anmerkung auf S. 8.

<sup>2</sup> Wir hätten auch wieder  $W_a$ ,  $W_0$  und  $\left(\frac{dW}{dr}\right)_a$  für die in der Atmosphäre befindlichen Massen rechnen können und hätten dann gesehen, dass sich

$$\frac{W_a - W_0}{a} + 2\left(\frac{dW}{dr}\right)_a \text{ auf } -\frac{c}{a^2} + 4\pi\varepsilon_0$$

reducirt, womit wir gleichfalls zur Gleichung III) geführt worden wären. Dieser Weg wäre aber ein umständlicherer gewesen und darum schien es gestattet, jene Gleichung auf einem anderen, einfacheren Wege abzuleiten. Der letztere ist ja auch bei Parallellagerung der Potentialniveaux über dem Beobachtungsort — und das ist ja bei schönem Wetter der Fall — vollkommen streng.

Es würde dann, was ja auch selbstverständlich ist, und was wir schon bei der Thomson'schen Theorie ersahen, die in der Atmosphäre enthaltene Elektricität auf das Potentialgefälle gar keinen Einfluss haben. Schwankungen des letzteren können wir somit allein durch die Annahme erklären, dass die in der Atmosphäre enthaltenen elektrischen Massen ungleichförmig vertheilt sind, wobei speciell die über dem Beobachtungsort befindlichen Massen allein massgebend sind.

Halten wir dieses Ergebniss mit der früher besprochenen Möglichkeit einer Veränderlichkeit der Erdoberflächenladung zusammen, so zeigt sich, dass, wenn auch eine solche vorhanden sein sollte, dieselbe jedenfalls von uns an einem einzelnen Beobachtungsort nie bemerkt oder nachgewiesen werden könnte, da eben allein die Gesamtmenge der Elektricität unserer Erde und die Massen über dem Beobachtungsort für den Werth seines Potentialgefälles bestimmend sind.

Auch für einen beliebigen Punkt in der Atmosphäre können wir nun sehr einfach das Potentialgefälle ausdrücken. Nennen wir die über dem Punkte, welchen wir uns in der Höhe  $h$  denken, in der gesammten darüber befindlichen Luftsäule (vom Querschnitte Eins) enthaltene Elektricitätsmenge  $\varepsilon$ , dann ist die früher (auf S. 8)  $\eta$  bezeichnete Grösse

$$\eta = \varepsilon_0 - \varepsilon,$$

also ist für einen Punkt in der Höhe  $h$

$$\frac{dV}{dh} = -\frac{E_0}{a^2} + 4\pi\varepsilon_0 - 4\pi\eta$$

oder

$$\frac{dV}{dh} = -\frac{E_0}{a^2} + 4\pi\varepsilon. \quad \text{IV)}$$

Für das Potentialgefälle in beliebiger Höhe entscheidet somit allein die in der Luftsäule (vom Querschnitte Eins) über dem betreffenden Punkte enthaltene Elektricitätsmenge.

### III. Der Sitz der elektrischen Massen.

Fassen wir die Ergebnisse des vorigen Kapitels kurz zusammen, so hat sich als vollkommen sicher herausgestellt, dass

eine freie elektrische Ladung der Erdoberfläche vorhanden ist. Aus einzelnen Beobachtungen vermögen wir dieselbe indessen niemals abzuleiten; wohl aber könnten wir ihren Betrag angeben, wenn uns ein über die ganze Erde sich erstreckendes Beobachtungsmateriale zur Verfügung stünde. Würden wir für jede geographische Breite den Betrag von  $\left(\frac{dV}{dh}\right)_0$  kennen, dann würden wir auch einen Mittelwerth dieses Potentialgefälles ableiten können. Es ist aber

$$\begin{aligned}\frac{1}{O} \int \left(\frac{dV}{dh}\right)_0 dO &= -\frac{1}{O} \int \frac{E+e}{a^2} dO + \frac{1}{O} \int 4\pi e dO \\ &= -\frac{E+e}{a^2} + \frac{4\pi e}{O} = -\frac{E}{a^2}.\end{aligned}$$

Das heisst, wenn wir den Mittelwerth des Potentialgefälles für die Erdoberfläche  $\left(\frac{dV}{dh}\right)_m$  nennen, so ist die Ladung der Erdoberfläche

$$E = -\left(\frac{dV}{dh}\right)_m \cdot a^2.$$

Exner hat den Versuch gemacht,<sup>1</sup> das Potentialgefälle für verschiedene Breiten auf Grund seines umfangreichen Beobachtungsmateriales zu berechnen.

Acceptirt man seine Zahlen und berechnet mit Berücksichtigung der Grösse der einzelnen Kugelzonen den Mittelwerth, so ergibt sich

$$\left(\frac{dV}{dh}\right)_m = 130 \text{ Volt/Meter.}$$

Als einen ersten Näherungswerth wird man diesen Werth gewiss ansehen dürfen; dann ergibt sich für die Erdoberflächenladung

$$E = -21 \cdot 10^{14} \text{ statische Einheiten.}$$

---

<sup>1</sup> Wiener Sitzungsber., Bd. 96, IIa. [1887], S. 459. (Auch Exner's Repertorium für Physik, Bd. XXIV, S. 276).

Eine jährliche Schwankung von  $E$  wäre, wie wir sahen, möglich, aber sie liesse sich nur dann nachweisen, wenn wir den Mittelwerth des Potentialgefälles aus einem über die ganze Erde sich erstreckenden Beobachtungsmateriale von Monat zu Monat berechnen könnten.

Zur Erklärung von Schwankungen des Potentialgefälles an einzelnen Orten (das war ein weiteres Resultat) können wir Änderungen von  $E$  jedenfalls nicht herbeiziehen.

Wir sind somit zu der Annahme gezwungen, dass die Schwankungen des Potentialgefälles in erster Linie durch den influenzirenden Einfluss äusserer Massen hervorgerufen werden. Als wir nun aber wieder die Möglichkeit ins Auge fassten, dass diese Massen im Weltraume, also etwa auf der Sonne, zu suchen seien, zeigte sich, dass dann vor Allem der tägliche Gang diesen Einfluss verrathen müsse.

Wenn die Sonne eine elektrische Ladung  $L$  besitzen würde, so wäre in der Distanz der Erde  $R$  das Potential dieser Ladung  $V = \frac{L}{R}$ , also das Potentialgefälle, welches wir mit  $C$  bezeichneten,

$$C = \frac{dV}{dR} = -\frac{L}{R^2}.$$

Bei einer Declinationsstellung  $\delta$  würde nun ein Ort in der geographischen Breite  $\varphi$  eine tägliche Amplitude des Potentialgefälles

$$6 C \cos \varphi \cos \delta$$

aufweisen.

Über den täglichen Gang liegen nur sehr wenige Messungen vor, und von den vorliegenden beziehen sich nur wenige auf die freie Ebene; so viel ist aber gewiss, dass die tägliche Schwankung überhaupt gering ist. Wenn wir als Beispiel den Gang von Perpignan<sup>1</sup> verwenden dürften, so hätten wir im Mittel aus Frühjahr und Herbst überhaupt nur eine Schwankung zwischen 39 und 73 Volt. Das Hauptminimum um 3<sup>h</sup> a., das Hauptmaximum um 7<sup>h</sup> p.

---

<sup>1</sup> Meteorolog. Zeitschrift, Bd. 26 (1891), S. 113.

Da die Sonne die extremen Werthe zu Mittag und Mitternacht verursachen würde, so hätten wir eigentlich nur die Beobachtungsdaten dieser Stunden in Betracht zu ziehen. Es beträgt nun um Mitternacht das Potentialgefälle 45, zu Mittag 52 Volt. Das sind wenig verschiedene Werthe, die wohl zeigen, dass, wenn eine Ladung der Sonne vorhanden ist, dieselbe sehr klein ist.

Wenn wir auch

$$6 C \cos \varphi \cos \delta = 20 \text{ Volt (für } \delta = 0)$$

annehmen würden, hätten wir, da  $\varphi = 42\frac{1}{2}^\circ$ ,

$$C = 4.5 \text{ Volt pro Meter,}$$

somit das Potentialgefälle an der Sonnenoberfläche

$$C_0 = 208000 \text{ Volt/Meter.}$$

Ein so hoher Werth des Potentialgefälles an der Sonnenoberfläche ist auch gewiss nicht zu erwarten, denn er würde besagen, dass die elektrische Dichte an der Sonnenoberfläche 1600mal so gross wäre, wie die an der Erdoberfläche. Exner hat auch schon gezeigt,<sup>1</sup> dass selbst dann, wenn die Sonnenladung zur Erdladung wie ihre Massen zu einander sich verhielten, das Gefälle im Gebiete der Erde, also unsere Grösse  $C$  nur 0.4 Volt pro Meter betragen würde.

Es ist also wohl zweifellos, dass der Einfluss der Sonne, wenn er vorhanden ist, ein nur sehr kleiner ist.

Ausschlaggebend für das Potentialgefälle an der Erdoberfläche sind somit gewiss nur die in der Atmosphäre enthaltenen Massen, und da wurde gezeigt, dass sich das Potentialgefälle stets darstellen lasse durch die Formel

$$\frac{dV}{dh} = -\frac{E_0}{a^2} + 4\pi\varepsilon.$$

Diese Formel schliesst die Grösse  $E$  und somit auch deren eventuelle Schwankungen bereits ein. Die Grösse  $E_0$ , welche sich aus  $E$  und der Gesamtladung  $e$  der Atmosphäre zu-

---

<sup>1</sup> Diese Sitzungsberichte, Bd. 93, II. a. S. 284.

sammensetzt, ist gewiss eine Constante; die einzig variable Grösse ist somit nur die Grösse  $\epsilon$ .

Wenn nun aber durch diese Formel das Potentialgefälle bis auf die geringen, eventuell vorhandenen Schwankungen, welche ihren Grund in einer Sonnenladung hätten, vollkommen genau dargestellt wird, dann ist ein Heben oder Senken der in der Atmosphäre vorhandenen elektrischen Massen vollkommen gleichgiltig, nur die Menge, welche sich über dem Beobachtungsorte befindet, ist massgebend; wo sie sich befindet, ist gleichgiltig.

Es ist hiermit aber auch der unwiderlegliche Beweis erbracht, dass elektrische Massen sich jederzeit, auch bei schönem Wetter, in der Atmosphäre befinden müssen; und es erübrigt dann nur noch die eine Frage: An welche Bestandtheile unserer Atmosphäre sind diese elektrischen Massen gebunden? Sind es Wassertröpfchen, Eiskrystalle, der Wasserdampf, der Staub oder vielleicht die Luft selbst?

Sowohl Wassertröpfchen, als auch Eisnadeln sind gewiss Träger von Elektrizität. Das beweisen nicht nur die directen Beobachtungen dieser Thatsache, sondern auch der störende Einfluss, den Wolken auf den normalen Verlauf des Potentialgefälles ausüben. Für die Verschiedenheiten dieser letzteren Grösse bei schönem Wetter, wo gewiss Wassertröpfchen und Eisnadeln, wenn sie schon unsichtbar vorhanden sein sollten, gewiss nur eine sehr untergeordnete Rolle spielen würden, müssen jedenfalls anderswo vorhandene Massen herbeigezogen werden.

Die Exner'sche Theorie, nach welcher der Wasserdampf der Sitz der elektrischen Massen wäre, schien bis in die neueste Zeit wohl als die am besten begründete. War auch die physikalische Grundlage, ob von einer geladenen Wasserfläche der Wasserdampf Elektrizität mitführe, bisher noch eine Streitfrage, so konnte Exner doch auf den thatsächlich bestehenden Zusammenhang zwischen Potentialgefälle und Dampfgehalt der Luft hinweisen, ein Zusammenhang, welcher sich sogar durch eine empirische Formel darstellen liess:

$$\left(\frac{dV}{dh}\right)_0 = \frac{A}{1 + 4\pi k p_0},$$



wobei  $A$  und  $k$  Constanten,  $p_0$  aber den Wasserdampfgehalt an dem Beobachtungsorte bedeutet.

Diese Formel würde sich sehr wohl in den Rahmen der Formel

$$\left(\frac{dV}{dh}\right)_0 = -\frac{E_0}{a^2} + 4\pi\varepsilon_0$$

einordnen, wir brauchten nur anzunehmen, es wäre  $\varepsilon_0$  die über dem Beobachtungsorte befindliche Elektrizitätsmenge proportional dem Dampfgehalte  $p_0$  und der Dichte der Erdladung am Beobachtungsorte, d. h. dem  $-\left(\frac{dV}{dh}\right)_0$ . Dann wäre

$$\left(\frac{dV}{dh}\right)_0 = -\frac{E_0}{a^2} - 4\pi k p_0 \left(\frac{dV}{dh}\right)_0,$$

woraus sich die Exner'sche Formel ergibt, wenn wir die Constante  $-\frac{E_0}{a^2} = A$  setzen.

In jüngster Zeit zeigten nun Elster und Geitel,<sup>1</sup> dass sich eine ganz ebenso gut begründete Beziehung zwischen dem Potentialgefälle und dem Betrage der ultravioletten Strahlung nachweisen lasse, und dass auch diese sich durch eine, ebenso vortrefflich stimmende empirische Formel darstellen lasse, welche dieselbe Gestalt hat

$$\left(\frac{dV}{dh}\right)_0 = \frac{A}{1 + 4\pi KJ},$$

wobei unter  $J$  die Intensität der ultravioletten Strahlung zu verstehen ist. Selbstverständlich ordnet sich auch diese Formel in den Rahmen unserer Formel III) ein unter der Annahme

$$\varepsilon_0 = -KJ \cdot \left(\frac{dV}{dh}\right)_0.$$

Physikalisch ist diese Annahme sehr gut begründet. Die Erdoberfläche besitzt wirklich Substanzen, welche unter dem Einflusse ultravioletter Strahlung ihre negative Ladung abgeben.

<sup>1</sup> Diese Sitzungsberichte, Bd. 101, II. a. (1893).

Dann aber ist es auch sehr plausibel, dass die Menge der über dem Beobachtungsorte befindlichen Elektricität proportional ist erstlich der Intensität der Strahlung und zweitens der Dichte der Ladung.

Höchst merkwürdig bleibt übrigens das Nebeneinanderbestehen dieser beiden Beziehungen. Elster und Geitel legten sich desshalb auch in der citirten Arbeit die Frage vor, ob nicht etwa ein Zusammenhang zwischen Wasserdampfgehalt und ultravioletter Strahlung bestehe. Die diesbezüglichen Beobachtungen zeigten denn auch in der That einen derartigen Zusammenhang, und Elster und Geitel versuchten auch eine Erklärung für denselben zu geben.

Die Untersuchungen Aitken's haben gezeigt, dass dem Staube eine grosse Wichtigkeit bei der Wolkenbildung zukomme. Zur Wolkenbildung sind somit zwei Elemente nöthig: ein beträchtlicher Wasserdampfgehalt der Luft und ein gewisser Staubgehalt. Wenn nun bei grösserem Wasserdampfgehalt doch eine Condensation nicht eintritt, so liegt dies offenbar am Fehlen des zweiten Factors. Bei wolkenlosem Wetter wird somit der Staubgehalt umso geringer sein, je grösser die absolute Feuchtigkeit ist. Da nun besonders der Staub die ultraviolette Strahlung aufhält, so wird auch die ultraviolette Strahlung umso grösser sein, je grösser die Feuchtigkeit ist.

Wenn übrigens auch die von Elster und Geitel festgestellte Beziehung zwischen Potentialgefälle und ultravioletter Strahlung die ursprüngliche sein sollte, so bleibt damit doch noch die Frage offen, ob die von der Erdoberfläche weggeführte Elektricität auf die Luft oder etwa den Staub übergehe.

Da zwischen Wasserdampfgehalt, Staubgehalt und ultravioletter Strahlung eine so enge Beziehung besteht, ist diese Frage schwer zu entscheiden, doch wäre es unter verschiedenen klimatischen Verhältnissen wohl möglich festzustellen, von welcher Grösse eigentlich der Betrag von  $\epsilon_0$  unmittelbar abhängt.

Übrigens versprechen auch Beobachtungen in den höheren Schichten der Atmosphäre hier vielleicht einige Aufklärung zu geben. Die Beobachtungen auf Berggipfeln leiden an dem Übelstande, dass sie nicht in absolutem Maasse angestellt werden

können; doch bieten mitunter auch nur relative Messungen schon einiges Interesse.

Elster und Geitel haben bei ihrer Bearbeitung der luftelektrischen Messungen auf dem Sonnblick gezeigt, dass der jährliche Gang in dieser Höhe fast verschwindet. Sie fanden<sup>1</sup>

Oct.	Nov.	Dec.	Jänner	Februar	März	April	Mai	Juni
0·87	0·84	1·05	0·98	1·13	1·00	1·06	1·07	1·01

Ein ausgesprochener Gang wie an den Stationen der Niederung ist hier nicht mehr zu ersehen. Da allgemein

$$\frac{dV}{dh} = -\frac{E_0}{a^2} + 4\pi\varepsilon,$$

so würde aus diesen Daten folgen, dass sich über der Höhe des Sonnblicks fast keine elektrischen Massen mehr befinden, durch deren wechselnden Betrag noch ein jährlicher Gang hervorgerufen werden könnte. Es würden somit nach diesen Beobachtungen die den jährlichen Gang des Potentialgefälles hervorgerufenen Massen zum grössten Theile in der unterhalb 3000 *m* liegenden Luftschichte zu suchen sein.

Interessante Ergebnisse würden auch systematische Beobachtungen im Ballon versprechen. Man wäre wohl geneigt anzunehmen, dass bei heiterem Wetter derartige Beobachtungen in grösseren Höhen  $\frac{dV}{dh}$  constant ergeben dürften.

Das so ermittelte  $\frac{dV}{dh}$  wäre dann, wenn  $\varepsilon$  verschwindet, der Betrag von

$$-\frac{E_0}{a^2}.$$

Wir würden so den Betrag von  $E_0$  leicht ermitteln können.

Wären wir sicher, dass wirklich der Betrag von  $\varepsilon_0$  durch den Ausdruck  $-kp_0 \left( \frac{dV}{dh} \right)_0$  dargestellt würde,<sup>2</sup> so wäre die Constante  $A$  in der Exner'schen Formel, wie wir bereits sahen,

<sup>1</sup> Diese Sitzungsberichte, Bd. 102, II. a. (1893), S. 1311.

<sup>2</sup> Vergl. S. 1048.

gleich  $-\frac{E_0}{a^2}$ . Diese Voraussetzung ist aber, wenn wir auch an der Geltung der Exner'schen Gleichung festhalten, keineswegs selbstverständlich.

Auch dann, wenn  $\varepsilon$  durch die Gleichung

$$\varepsilon = C_0 - kp_0 \left( \frac{dV}{dh} \right)_0$$

dargestellt wäre, worin  $C_0$  eine Constante bedeutet, würden wir zu der Exner'schen Formel gelangen, nur dass dann  $A$  eben eine andere physikalische Bedeutung hätte, nämlich durch den Ausdruck

$$A = -\frac{E_0}{a^2} + 4\pi C_0$$

gegeben wäre. Wir hätten dann, um  $E_0$  zu finden, von der Constanten  $A$  erst den Betrag  $4\pi C_0$  abzuziehen. Da wir nun nicht angeben können, wie gross die Constante  $C_0$  in der Gleichung

$$\varepsilon = C_0 - kp_0 \left( \frac{dV}{dh} \right)_0$$

oder, wenn wir auf dem Standpunkte der Theorie von Elster und Geitel stehen, wie gross  $C'_0$  in der Gleichung

$$\varepsilon = C'_0 - KJ \left( \frac{dV}{dh} \right)_0$$

ist, und nicht a priori annehmen können, dass sie Null sei, so ist es nicht gestattet, die Exner'sche Constante  $A$  (oder die entsprechende in der Gleichung von Elster und Geitel) als jene Ladung anzusehen, welche die Erdoberfläche besitzen würde, wenn alle Elektricität auf derselben niedergeschlagen wäre.

Die Grösse  $E_0$  können wir somit allein durch Ballonfahrten ermitteln, und zwar durch Messungen in grossen Höhen. Da übrigens sowohl die Formel von Exner, als auch die von Elster und Geitel nur aus Beobachtungen an der Erdoberfläche abgeleitet wurde, so können wir nicht einmal sagen, ob die Constante  $C_0$  oder  $C'_0$  nicht etwa eine Function der Höhe sei.

Es ist ja auch das noch eine Streitfrage, ob die Luft selbst elektrisirbar sei oder nicht. Wenn der Luft selbst eine gewisse Ladung zukäme, würde ja sicher ein für dasselbe Niveau constanter, aber mit der Höhe abnehmender Betrag in dem Ausdrücke für  $\epsilon$  enthalten sein müssen.

Über all' diese Fragen versprechen Messungen im Ballon bei schönem Wetter interessante Ergebnisse. Vor Allem ist aber zu beachten, dass unter allen Umständen

$$\frac{dV}{dh} = -\frac{E_0}{a^2} + 4\pi\epsilon$$

und es handelt sich nun darum, den Betrag von  $E_0$  und jenen von  $\epsilon$  in seiner Abhängigkeit von Wasserdampfgehalt und ultravioletter Strahlung festzustellen.

Dr. Less hat kürzlich in der Zeitschrift für Luftschiffahrt<sup>1</sup> eine kleine Zusammenstellung der luftelektrischen Messungen im Ballon aus der jüngsten Zeit zusammengestellt. Wie sich aus diesen mit ziemlicher Übereinstimmung ergibt, besitzt das Potentialgefälle in den unteren Schichten ziemlich wechselnde Werthe. Nach einigen Beobachtungsreihen nimmt es in den unteren Schichten mit der Höhe zu, nach anderen ab; übereinstimmend aber zeigt sich in den höheren Schichten eine Abnahme des Potentialgefälles. In den Schichten 2500–3000 *m* fanden Börnstein, Le Cadet und Baschin Werthe von rund 15 Volt pro Meter!

Derartige Ergebnisse zeigen bereits, dass die Exner'sche Theorie mit den Thatsachen nicht ohne Weiteres in Einklang zu bringen ist. Nach der Theorie von Exner würden wir, wenn aller Wasserdampf niedergeschlagen wäre, ein Potentialgefälle von etwa 1400 Volt pro Meter beobachten, und zwar nicht bloss an der Erdoberfläche, sondern auch in den höheren Schichten. Ebenso würden wir bei Erhebung über die Wasserdampfatosphäre nothwendigerweise zu immer grösseren Werthen gelangen und in solchen Atmosphärenhöhen, in welchen der Wasserdampfgehalt der Luft nur mehr sehr gering ist, würden wir diesem Potentialgefälle von etwa 1400 Volt sehr nahe kommen.

<sup>1</sup> Zeitschrift für Luftschiffahrt, XIII (1894), S. 190.

Da thatsächlich in den höheren Schichten kleinere Werthe beobachtet werden, als an der Erdoberfläche, müssen ausser den Elektrizitätsmengen, welche eventuell ja auf dem Wasserdampfgehalt ihren Sitz haben könnten, sicherlich noch andere, und zwar sehr beträchtliche Elektrizitätsmengen vorhanden sein, welche vom Wasserdampfgehalt unabhängig sind.

Wenn wir also auch noch den Wasserdampf als Träger der Elektrizität anerkennen wollten, so ist doch nach den Ergebnissen dieser Ballonfahrten gewiss, dass in der Grösse  $\epsilon$  noch ein anderes vom Wasserdampf unabhängiges Glied wirklich vorkommt. Es wäre in der That

$$\epsilon = C_0 - kp_0 \left( \frac{dV}{dh} \right)_0$$

und  $C_0$  hätte einen positiven, mit der Höhe abnehmenden Werth.

Es folgt zugleich aber auch aus diesen Betrachtungen, dass aus der Abnahme des Potentialgefälles mit der Höhe nicht gefolgert werden darf, dass die Exner'sche Theorie ganz und gar unrichtig ist. Es wäre, wie wir sahen, noch immer möglich, eine Ladung des Wasserdampfes anzunehmen, aber insoferne ist Exner's Theorie gewiss unrichtig, als sie den Wasserdampf zum alleinigen Träger der atmosphärischen Elektrizität macht. Es müssen ausser den möglicherweise vorhandenen negativen Massen auf dem Wasserdampf noch viel beträchtlichere positive Massen in der Atmosphäre vorhanden sein, die, wie es scheint, einen sehr constanten Betrag ausmachen und desshalb wohl einer Ladung der Luft selbst zugeschrieben werden müssen.

Wäre aller Wasserdampf aus der Luft ausgeschieden, so würden wir nach Exner an der Erdoberfläche ein Potentialgefälle von etwa 1410 Volt beobachten. Nach unserer Formel wäre also

$$\left( \frac{dV}{dh} \right)_0 = -\frac{E_0}{a^2} + 4\pi C_0 = 1410 \text{ Volt,}$$

worin  $C$  die Elektrizitätsmenge in der über der Flächeneinheit aufruhenden verticalen Luftsäule bedeuten würde, wenn aller

Wasserdampf ausgeschieden wäre. Da nun in Höhen von 3000 *m* der Wasserdampfgehalt der Luft ohnehin sehr gering ist, so dass auf dem Wasserdampfe in der Luftsäule über dem Niveau von 3000 *m* auch nur mehr sehr wenig Elektrizität sitzen kann, so würden wir in grossen Höhen, auch wenn aller Wasserdampf niedergeschlagen wäre, nicht viel andere Werthe beobachten.

Wenn wir aber in 3000 *m*

$$\frac{dV}{dh} = -\frac{E_0}{a^2} + 4\pi C = 15 \text{ Volt}$$

beobachten, wobei unter *C* die Elektrizitätsmenge in der Luftsäule über dem Niveau von 3000 *m* zu verstehen wäre, so hätten wir offenbar rund

$$4\pi(C_0 - C) = 1400 \text{ Volt/Meter.}$$

$C_0 - C$  ist aber nichts anderes, als die nicht an den Wasserdampf gebundene, sondern sonst wo sitzende Elektrizität, welche in einer nur 3000 *m* hohen verticalen Luftsäule vom Querschnitte Eins enthalten ist, d. h. es ist in dieser Luftsäule beinahe ebensoviel positive Elektrizität vorhanden, als nach Exner (bei Abwesenheit des Wasserdampfes) auf der Flächeneinheit der Erdoberfläche negative Elektrizität sitzen würde. Exner nimmt ja an

$$\left(\frac{dV}{dh}\right)_0 = -\frac{E_0}{a^2} = -4\pi\sigma = 1410 \text{ Volt/Meter,}$$

wobei unter  $\sigma$  die Dichte der Erdoberflächenladung zu verstehen ist.

Wenn sich in grösseren Höhen noch eine weitere Abnahme des Potentialgefälles mit der Höhe zeigen sollte, dann wäre es höchst wahrscheinlich, dass wir an der Grenze der Atmosphäre einen Werth Null beobachten würden, was besagen würde, dass, wie dies von Lord Kelvin ja auch behauptet wurde, die negative Ladung der Erdoberfläche und eventuelle negative elektrische Massen in den unteren Schichten der Atmosphäre vollkommen ausgeglichen würden durch eine entsprechende positive Ladung der Luft. In unserer Gleichung IV) würde in

diesem Falle  $E_0$  verschwinden, d. h. es wäre das Potentialgefälle allein abhängig von der Elektrizitätsmenge  $\varepsilon$  über dem Beobachtungspunkt. Es wäre

$$\frac{dV}{dh} = 4\pi\varepsilon$$

und für die Erdoberfläche

$$\left(\frac{dV}{dh}\right)_0 = 4\pi\varepsilon_0.$$

Würden wir mit Exner dem Wasserdampfe eine negative Ladung zuschreiben, so würde sich  $\varepsilon_0$  zusammensetzen aus einer wohl ziemlich constanten positiven Ladung  $C_0$  der Luft (wir wollen diese Menge, um im Einklang mit der Exner'schen Formel zu bleiben,  $C_0 = \frac{A}{4\pi}$  nennen), und einer negativen, vom Potentialgefälle und dem Dampfdrucke  $p_0$  abhängigen Ladung  $-kp_0 \left(\frac{dV}{dh}\right)_0$ . Das heisst, es wäre

$$\varepsilon_0 = \frac{A}{4\pi} - kp_0 \left(\frac{dV}{dh}\right)_0$$

oder

$$\left(\frac{dV}{dh}\right)_0 = \frac{A}{1 + 4\pi kp_0}.$$

Würden wir dagegen auf dem Standpunkte von Elster und Geitel stehen, dann würden wir wohl die Versuche, nach welchen gewisse negativ geladene Conductoren unter dem Einflusse ultravioletter Strahlen ihre Ladung verlieren, so deuten, dass wir annehmen, es finde unter dem Einflusse der ultravioletten Strahlung ein Ausgleich statt zwischen den negativ geladenen Conductoren und den positiv geladenen Luftmolekülen, so dass von der Luftladung ein, der ultravioletten Strahlung und der Dichte der Ladung des Conductors proportionaler Antheil ausgeglichen würde.

Wir hätten wieder

$$\varepsilon_0 = \frac{A}{4\pi} - KJ \left(\frac{dV}{dh}\right)_0$$



oder

$$\left(\frac{dV}{dh}\right)_0 = \frac{A}{1+4\pi KJ}.$$

Letzteres wäre aber die Formel, durch welche Elster und Geitel ihre Beobachtungen darstellen konnten.

Zu beantworten wäre dann nur noch die Frage: Wie erlangt die Luft wieder ihre normale Ladung? Steht man auf dem Standpunkt der Exner'schen Theorie, erledigt sich diese Frage wohl leicht, die von der Erde im Wasserdampfe weggeführte negative Elektrizität würde im Niederschlag wieder herabkommen.

Nimmt man dagegen eine theilweise Entladung der positiv geladenen Luft unter dem Einfluss ultravioletter Strahlen an, dann können wir vorläufig auf die Frage: Wie ladet sich die Luft neu? Wieso kommt es, dass neuerliche Scheidung der Elektrizität (die negative zur Erde, die positive zur Luft) eintritt?, keine Antwort geben.

#### IV. Störungen des normalen Potentialgefälles.

Die mit I bezeichnete Gleichung gilt für das Potentialgefälle an der Erdoberfläche ganz allgemein. Wir können sie somit auch auf Störungen anwenden und den influenzirenden Einfluss einer Wolke oder Staubschichte durch den Ausdruck

$$\frac{W_a - W_0}{a} + 2 \left(\frac{dW}{dr}\right)_a$$

leicht berechnen.

Da, wie wir sahen, das ungestörte Potentialgefälle durch den Ausdruck

$$\left(\frac{dV}{dh}\right)_0 = -\frac{E_0}{a^2} + 4\pi\epsilon_0$$

dargestellt ist, so erhalten wir ganz allgemein für das Potentialgefälle an der Erdoberfläche, unter dem Einfluss störender Massen

$$\left(\frac{dV}{dh}\right)_0 = -\frac{E_0}{a^2} + 4\pi\epsilon_0 + \frac{W_a - W_0}{a} + 2 \left(\frac{dW}{dr}\right)_a.$$

Unsere Aufgabe ist somit allein die, wiederum für die störenden Massen das Potential  $W$  und  $W_0$  zu berechnen. Wir wollen dies nur ganz allgemein für das Volumselement einer Wolke, welches die elektrische Dichte  $\rho$  haben möge, ausführen.

$M$  sei jener Punkt der Atmosphäre, in welchem sich das Volumenelement  $dv$  befindet,  $A$  sei der Punkt der Erdoberfläche, für welchen wir den influenzirenden Einfluss berechnen wollen,  $h$  sei die Höhe des Punktes  $M$  über der Erdoberfläche,  $z$  sei seine Zenithdistanz.

Dann ist im Punkte  $A$  das Potential  $W_a = \frac{\rho dv}{u}$ .

In einem Punkte  $B$  in der Distanz  $r$  vom Erdmittelpunkte allgemein:

$$W = \frac{\rho dv}{\sqrt{r^2 + (a+h)^2 - 2r(a+h) \cos \vartheta}},$$

somit

$$\frac{dW}{dr} \text{ für } r = a$$

$$\left(\frac{dW}{dr}\right)_a = -\frac{\rho dv}{u^3} \{a - (a+h) \cos \vartheta\}$$

und, da  $(a+h) \cos \vartheta - a = u \cos z$ ,

$$\left(\frac{dW}{dr}\right)_a = \frac{\cos z}{u^2} \rho dv$$

also

$$\frac{W_a - W_0}{a} + 2 \left(\frac{dW}{dr}\right)_a = \left(\frac{1}{au} - \frac{1}{a^2} + \frac{2 \cos z}{u^2}\right) \rho dv.$$

Da im Allgemeinen  $u$  gegen  $a$  sehr klein ist, so kann das zweite Glied unberücksichtigt bleiben und wir erhalten somit

$$\left(\frac{dV}{dh}\right)_0 = -\frac{E_0}{a^2} + 4\pi\varepsilon_0 + \left(\frac{2 \cos z}{u} + \frac{1}{a}\right) \frac{\rho dv}{u}.$$

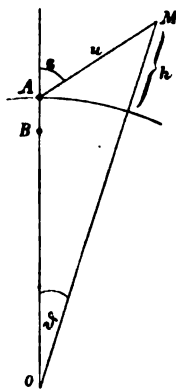


Fig. 2.

Solange der betreffende Punkt nahe dem Zenith ist, kann das Glied  $\frac{1}{a}$  unbedingt vernachlässigt werden, wenn der Punkt nahe dem Horizont liegt, dann wird  $\frac{2 \cos z}{u}$  von derselben Grössenordnung sein, wie  $\frac{1}{a}$ .

Wollen wir den Einfluss einer Wolke haben, brauchen wir bloss über ihre ganze Ausdehnung zu integrieren, erhalten also

$$\left(\frac{dV}{dh}\right)_0 = -\frac{E_0}{a^2} + 4\pi\epsilon_0 + \int \left(2 \frac{\cos z}{u} + \frac{1}{a}\right) \frac{\rho dv}{u}. \quad \text{V)}$$

Diese Gleichung kann unter Umständen gestatten, den Werth der Ladung einer Wolke zu ermitteln.

### V. Zusammenfassung.

Die mathematische Behandlung eines Problems bietet den grossen Vortheil, dass sie die Consequenzen irgend einer Annahme mit absoluter Sicherheit festzustellen gestattet. Aus diesem Grunde war es wohl auch erwünscht, das Potentialgefälle an der Erdoberfläche in seiner Abhängigkeit von der Vertheilung der elektrischen Massen mathematisch zu behandeln, um so eine sichere Entscheidung darüber zu ermöglichen, was bei dem Problem, welches die luftelektrischen Erscheinungen darbieten, als unbedingt sicher anzunehmen sei, was dagegen nur möglich ist, und was endlich unbedingt verworfen werden muss, weil es zu Consequenzen führt, die nicht mit den Erfahrungen in Einklang zu bringen sind.

Unzweifelhaft fest steht, wie wir sahen, die Thatsache, dass unsere Erdoberfläche eine negative Ladung besitzt. Aus dem Mittelwerthe des Potentialgefälles  $\left(\frac{dV}{dh}\right)_m$  können wir sie berechnen nach der Formel

$$E = -\left(\frac{dV}{dh}\right)_m \cdot a^2 \quad (a \text{ Erdradius}).$$

(Wir dürfen das mittlere Potentialgefälle zu etwa 130 Volt-Meter annehmen, also  $E$  auf  $-21 \cdot 10^{14}$  st. Einh. schätzen.)

Diese Ladung der Erdoberfläche ist als eine gewiss ziemlich unveränderliche Grösse anzusehen; doch ist es möglich, dass sie eine kleine jährliche Schwankung zeigt. Jedenfalls dürfen wir die Schwankungen des Potentialgefälles in ihren wesentlichsten Punkten nicht Änderungen in der Erdoberflächenladung zuschreiben.

Die Schwankungen des Potentialgefälles an der Erdoberfläche sind vielmehr, auch das ist sicher, auf den influenzirenden Einfluss ausserhalb der Erdoberfläche befindlicher Massen zurückzuführen. Wenn wir von diesen äusseren Massen das Potential im Erdmittelpunkt ( $W_0$ ) und am Beobachtungspunkt ( $W_a$ ), sowie das Gefälle im letzteren  $\left(\frac{dW}{dr}\right)_{r=a}$  kennen, dann ist, wo immer die äusseren Massen ihren Sitz haben mögen, das Potentialgefälle an der Erdoberfläche gegeben durch den Ausdruck

$$\left(\frac{dV}{dh}\right)_0 = -\frac{E}{a^2} + \frac{W_a - W_0}{a} + 2\left(\frac{dW}{dr}\right)_a. \quad \text{I)}$$

Bei ungestörtem Potentialgefälle (Potentialniveaux parallel der Erdoberfläche) ist in einer beliebigen Höhe das Potentialgefälle

$$\frac{dV}{dh} = \left(\frac{dV}{dh}\right)_0 - 4\pi\eta, \quad \text{II)}$$

wenn  $\eta$  die Elektrizitätsmenge darstellt, welche in der zwischen beiden Niveaux liegenden Luftsäule vom Querschnitt eins enthalten ist.

Aus dieser Formel I folgt, dass die äusseren Massen nicht im Kosmos ihren Sitz haben können, sonst müssten sie sich vor allem in der täglichen Periode äussern, was aber nicht der Fall ist, nachdem letztere überhaupt nur einen sehr kleinen Gang aufweist.

Die elektrischen Massen, durch deren Influenzwirkung die Änderungen des Potentialgefälles zustande kommen, sind somit sicher in der Atmosphäre enthalten. Wenn dies aber der Fall ist, dann lässt sich der Influenzeinfluss sehr einfach darstellen, dann ist unter allen Umständen (bei normalem Wetter):

$$\frac{W_a - W_0}{a} + 2 \left( \frac{dW}{dr} \right)_a = -\frac{e}{a^2} + 4\pi\epsilon_0,$$

worin  $e$  die gesammte, in der Atmosphäre vorhandene Elektrizität,  $\epsilon_0$  aber nur jener Theil ist, welcher in der über der Flächeneinheit (am Beobachtungsort) aufruhenden Luftsäule enthalten ist.

Es ist dann, wenn man  $E+e$ , also die Gesamtelektrizität des Erdballs  $E_0$  nennt, ganz allgemein das Potentialgefälle an der Erdoberfläche durch die viel einfachere Gleichung dargestellt

$$\left( \frac{dV}{dh} \right)_0 = -\frac{E_0}{a^2} + 4\pi\epsilon_0 \quad \text{III)}$$

und das Potentialgefälle in einer beliebigen Höhe

$$\frac{dV}{dh} = -\frac{E_0}{a^2} + 4\pi\epsilon, \quad \text{IV)}$$

wenn  $\epsilon$  die Elektrizitätsmenge in der entsprechenden Luftsäule über dem Niveau, in welchem sich der Beobachtungsort befindet, bedeutet.

Die Änderungen des Potentialgefälles werden somit allein hervorgebracht durch die influenzirenden Elektrizitätsmengen, welche in der über dem Beobachtungsort befindlichen Luftsäule vom Querschnitt eins enthalten sind.

Hiernach vermögen sowohl die Theorie von F. Exner, welche den Sitz dieser Elektrizität auf dem Wasserdampf sucht, als auch die Theorie von Elster und Geitel, nach welcher ein Theil der negativen Erdoberflächenladung in die Atmosphäre zerstreut wird, den Thatsachen gerecht zu werden.

Es darf aber nicht a priori angenommen werden, dass ausser der auf dem Wasserdampf eventuell vorhandenen Elektrizität (nach Exner), oder ausser der vom Erdboden unter dem Einfluss der ultravioletten Strahlen entwichenen Elektrizität (nach Elster und Geitel), keine anderen Elektrizitätsmengen in der Atmosphäre enthalten seien.

Nach Exner würde, wenn aller Wasserdampf niedergeschlagen wäre, an der Erdoberfläche ein Potentialgefälle 1410 Volt/Meter herrschen

$$\left(\frac{dV}{dh}\right)_0 = -\frac{E_0}{a^2} + 4\pi\epsilon'_0 = 1410.$$

$\epsilon'_0$  wäre die Elektrizitätsmenge in der Luftsäule über dem Beobachtungsort, wenn aller Wasserdampf niedergeschlagen wäre.

Da nun nach Ballonbeobachtungen in einer Höhe von nur 3000 *m* ein Potentialgefälle von nur etwa 15 Volt/Meter herrscht, so hätte man

$$\frac{dV}{dh} = -\frac{E_0}{a^2} + 4\pi\epsilon' = 15.$$

Es ist also  $\epsilon'_0 - \epsilon$  ein ziemlich beträchtlicher positiver Werth, d. h. wenn auch aller Wasserdampf niedergeschlagen wäre, hätten wir noch eine beträchtliche positive Elektrizitätsmenge in der Atmosphäre anzunehmen, vermuthlich auf der Luft selbst.

Es ist somit wahrscheinlich, dass eine der negativen Erdoberflächenladung entsprechende positive Luftladung vorhanden ist, derart, dass die Gesamt-Elektrizität  $E_0$  gleich Null wäre.

Auch nach der Theorie von Elster und Geitel müssten wir, um den Beobachtungen im Ballon gerecht zu werden, neben der von der Erdoberfläche entweichenden negativen Elektrizität eine positive Ladung der Luft annehmen, würden also wohl die Thatsache der lichtelektrischen Zerstreuung so deuten, dass die positiv geladene Luft unter dem Einfluss der ultravioletten Strahlung befähigt werde, sich gegen gewisse negativ geladene Conductoren zu entladen und dadurch diesen ihre Elektrizität zu entziehen. Sollte diese Auffassung durch das Experiment als richtig bewiesen werden, dann könnte wohl nur mehr die Theorie von Elster und Geitel zur Erklärung der luftelektrischen Erscheinungen herangezogen werden und die schöne Übereinstimmung der Exner'schen Formel mit den Beobachtungen, wäre allein durch den — man möchte fast sagen — zufälligen Zusammenhang zwischen ultravioletter Strahlung und Wasserdampfgehalt der Atmosphäre zu erklären.

Vorläufig steht wohl nur fest, dass wir es mit einer positiven, überall, wie es scheint, constanten Ladung der Atmosphäre zu thun haben, welche entweder superponirt ist von einer nega-

tiven Ladung, die auf dem Wasserdampf ihren Sitz hätte (proportional der Dichte der Erdoberflächenladung und dem Dampfgehalte der Luft); oder superponirt, beziehungsweise ausgeglichen wird, durch die unter dem Einfluss der ultravioletten Strahlung von der Erdoberfläche entweichenden negativen Elektrizität (proportional gleichfalls der Dichte der Erdoberflächenladung und der Intensität der ultravioletten Strahlung).

Beide Annahmen ergeben die gleiche Formel

$$\left(\frac{dV}{dh}\right)_0 = \frac{A}{1 + 4\pi k p_0}, \text{ beziehungsweise } \left(\frac{dV}{dh}\right)_0 = \frac{A}{1 + 4\pi k J},$$

deren jede auch den Thatsachen der Beobachtung entspricht.

Hier vermag nur eine Erweiterung unseres Erfahrungswissens zu entscheiden; aber eine, den Umfang einer Annahme genau abgrenzende Formel kann hiebei sehr wesentliche Dienste thun.

Es liegt in der Natur der Sache, dass eine theoretische Erörterung sachlich wenig Neues bietet; ihre Hauptaufgabe ist die klare und präzise Zusammenfassung unseres bisherigen Erfahrungswissens und dessen, was mit Nothwendigkeit aus ihm folgt.

# Über das Kriterion der Coaxialität zweier Mittelpunktsflächen zweiter Ordnung

von

**Jos. Finger.**

(Vorgelegt in der Sitzung am 11. October 1894.)

Bei Gelegenheit meiner theoretischen Untersuchungen der Elasticitätsverhältnisse aëlotroper Substanzen<sup>1</sup> ergab sich behufs Entscheidung der wichtigen Frage, wann in krystallinischen Substanzen die Deformationshauptaxen mit den Hauptdruckaxen übereinstimmen, die Nothwendigkeit, für zwei Mittelpunktsflächen zweiter Ordnung, deren allgemeine Gleichungen gegeben sind, jene Beziehungen zwischen den Coëfficienten dieser Gleichung aufzustellen, die in dem Falle nothwendig und hinreichend sind, wenn die Hauptaxen der einen Fläche mit jenen der anderen gleichgerichtet sind. Da nun, soweit dies mir bekannt ist, dieses Problem in den Handbüchern der analytischen Geometrie nicht behandelt ist, so erlaube ich mir, das von mir gefundene Kriterion der Coaxialität zweier Mittelpunktsflächen, deren auf irgend ein rechtwinkeliges Coordinatensystem bezogene Mittelpunktsgleichungen

$$\begin{aligned} a_x x^2 + a_y y^2 + a_z z^2 + 2b_{xy} yz + 2b_{yz} zx + 2b_{zx} xy &= d \\ a'_x x^2 + a'_y y^2 + a'_z z^2 + 2b'_{xy} yz + 2b'_{yz} zx + 2b'_{zx} xy &= d' \end{aligned} \quad (1)$$

sind, hier bekannt zu machen.

Dieses Kriterion findet seinen Ausdruck in den drei Gleichungen

---

<sup>1</sup> •Über die allgemeinsten Beziehungen endlicher Deformationen zu den zugehörigen Spannungen in anisotropen und isotropen Substanzen. Diese Sitzungsber., 1894 (Octoberheft).



$$\left. \begin{aligned} u &= \left| \begin{array}{cc} a_y - a_z & b_x \\ a'_y - a'_z & b'_x \end{array} \right| - \left| \begin{array}{cc} b_y & b_z \\ b'_y & b'_z \end{array} \right| = 0 \\ v &= \left| \begin{array}{cc} a_z - a_x & b_y \\ a'_z - a'_x & b'_y \end{array} \right| - \left| \begin{array}{cc} b_z & b_x \\ b'_z & b'_x \end{array} \right| = 0 \\ w &= \left| \begin{array}{cc} a_x - a_y & b_z \\ a'_x - a'_y & b'_z \end{array} \right| - \left| \begin{array}{cc} b_x & b_y \\ b'_x & b'_y \end{array} \right| = 0 \end{aligned} \right\} \quad (2)$$

Um zunächst nachzuweisen, dass diese drei Gleichungen für die Coaxialität der beiden Flächen (1) nothwendig sind, hat man nur etwa auszugehen von den auf die Hauptaxen  $\xi, \eta, \zeta$  dieser Flächen bezogenen Gleichungen derselben, welche auf die Form

$$\left. \begin{aligned} a\xi^2 + b\eta^2 + c\zeta^2 &= d \\ a'\xi^2 + b'\eta^2 + c'\zeta^2 &= d' \end{aligned} \right\} \quad (3)$$

gebracht werden können, wo, wenn  $(\alpha_x \alpha_y \alpha_z)$ ,  $(\beta_x \beta_y \beta_z)$ ,  $(\gamma_x \gamma_y \gamma_z)$  die Richtungscosinus der der Annahme zufolge beiden Flächen gemeinsamen Axenrichtungen  $\xi, \eta, \zeta$  bezeichnen,

$$\left. \begin{aligned} a_x &= a\alpha_x^2 + b\beta_x^2 + c\gamma_x^2, & b_x &= a\alpha_y\alpha_z + b\beta_y\beta_z + c\gamma_y\gamma_z \\ a_y &= a\alpha_y^2 + b\beta_y^2 + c\gamma_y^2, & b_y &= a\alpha_z\alpha_x + b\beta_z\beta_x + c\gamma_z\gamma_x \\ a_z &= a\alpha_z^2 + b\beta_z^2 + c\gamma_z^2, & b_z &= a\alpha_x\alpha_y + b\beta_x\beta_y + c\gamma_x\gamma_y \end{aligned} \right\} \quad (4)$$

ferner

$$\left. \begin{aligned} a'_x &= a'\alpha_x^2 + b'\beta_x^2 + c'\gamma_x^2, & b'_x &= a'\alpha_y\alpha_z + b'\beta_y\beta_z + c'\gamma_y\gamma_z \\ a'_y &= a'\alpha_y^2 + b'\beta_y^2 + c'\gamma_y^2, & b'_y &= a'\alpha_z\alpha_x + b'\beta_z\beta_x + c'\gamma_z\gamma_x \\ a'_z &= a'\alpha_z^2 + b'\beta_z^2 + c'\gamma_z^2, & b'_z &= a'\alpha_x\alpha_y + b'\beta_x\beta_y + c'\gamma_x\gamma_y \end{aligned} \right\} \quad (5)$$

ist.

Aus diesen Werthen (4) und (5) ergibt sich nach einer einfachen Reduction, dass, wenn durch  $s$  die Summe

$$s = a'(b-c) + b'(c-a) + c'(a-b)$$

bezeichnet wird,

$$\begin{aligned} (a_y - a_z) \cdot b'_x - b_x(a'_y - a'_z) &= s \cdot \alpha_x \beta_x \gamma_x = b_y b'_z - b_z b'_y \\ (a_z - a_x) \cdot b'_y - b_y(a'_z - a'_x) &= s \cdot \alpha_y \beta_y \gamma_y = b_z b'_x - b_x b'_z \\ (a_x - a_y) \cdot b'_z - b_z(a'_x - a'_y) &= s \cdot \alpha_z \beta_z \gamma_z = b_x b'_y - b_y b'_x \end{aligned}$$

ist, wodurch die Nothwendigkeit der Gleichungen (2) nachgewiesen ist.

Um auch nachzuweisen, dass die Voraussetzung der Bedingungsgleichungen (2) für die Coaxialität der Flächen (1) hinreichend ist, benütze man die Gleichungen (4), welche ausdrücken, dass  $(\alpha_x \alpha_y \alpha_z)$ ,  $(\beta_x \beta_y \beta_z)$ ,  $(\gamma_x \gamma_y \gamma_z)$  die Richtungs-cosinus der Axenrichtungen  $\xi \eta \zeta$  der ersten der beiden Flächen (1) sind, wofern die erste der Gleichungen (3) die auf diese Axen  $\xi \eta \zeta$  bezogene Gleichung dieser Fläche ist.

Aus diesen Gleichungen (4) folgt zunächst

$$\left. \begin{aligned} A_x &= a_y a_z - b_x^2 = bc \cdot \alpha_x^2 + ca \cdot \beta_x^2 + ab \cdot \gamma_x^2 \\ A_y &= a_z a_x - b_y^2 = bc \cdot \alpha_y^2 + ca \cdot \beta_y^2 + ab \cdot \gamma_y^2 \\ A_z &= a_x a_y - b_z^2 = bc \cdot \alpha_z^2 + ca \cdot \beta_z^2 + ab \cdot \gamma_z^2 \\ B_x &= b_y b_z - a_x b_x = bc \cdot \alpha_y \alpha_z + ca \cdot \beta_y \beta_z + ab \cdot \gamma_y \gamma_z \\ B_y &= b_z b_x - a_y b_y = bc \cdot \alpha_z \alpha_x + ca \cdot \beta_z \beta_x + ab \cdot \gamma_z \gamma_x \\ B_z &= b_x b_y - a_z b_z = bc \cdot \alpha_x \alpha_y + ca \cdot \beta_x \beta_y + ab \cdot \gamma_x \gamma_y \end{aligned} \right\} \quad (6)$$

Bildet man mit Zuhilfenahme der Gleichungen (2) die Summen  $a_x u + b_z v + b_y \cdot n$ ,  $b_z u + a_y v + b_x n$ ,  $b_y u + b_x v + a_z n$ , so gelangt man, da  $A_x = a_y a_z - b_x^2$ ,  $A_y = a_z a_x - b_y^2$ , ... ist, zu den mit (2) ähnlich lautenden Gleichungen

$$\left. \begin{aligned} U &= \left| \begin{array}{cc} A_y - A_z, B_x \\ a'_y - a'_z, b'_x \end{array} \right| - \left| \begin{array}{cc} B_y B_z \\ b'_y b'_z \end{array} \right| = 0 \\ V &= \left| \begin{array}{cc} A_z - A_x, B_y \\ a'_z - a'_x, b'_y \end{array} \right| - \left| \begin{array}{cc} B_z B_x \\ b'_z b'_x \end{array} \right| = 0 \\ W &= \left| \begin{array}{cc} A_x - A_y, B_z \\ a'_x - a'_y, b'_z \end{array} \right| - \left| \begin{array}{cc} B_x B_y \\ b'_x b'_y \end{array} \right| = 0 \end{aligned} \right\} \quad (7)$$

Werden nun durch  $u_a$ ,  $u_b$ ,  $u_c$ ,  $v_a$  ... kürzshalber die Ausdrücke

$$\left. \begin{aligned} u_a &= -\alpha_y \alpha_z (a'_y - a'_z) + (\alpha_y^2 - \alpha_z^2) b'_x + \alpha_x \alpha_y b'_y - \alpha_z \alpha_x b'_z \\ u_b &= -\beta_y \beta_z (a'_y - a'_z) + (\beta_y^2 - \beta_z^2) b'_x + \beta_x \beta_y b'_y - \beta_z \beta_x b'_z \\ u_c &= -\gamma_y \gamma_z (a'_y - a'_z) + (\gamma_y^2 - \gamma_z^2) b'_x + \gamma_x \gamma_y b'_y - \gamma_z \gamma_x b'_z \\ v_a &= -\alpha_z \alpha_x (a'_z - a'_x) + (\alpha_z^2 - \alpha_x^2) b'_y + \alpha_y \alpha_z b'_z - \alpha_x \alpha_y b'_x \\ &\dots \dots \dots \end{aligned} \right\} \quad (8)$$

bezeichnet, welche ähnlich gebildet sind, wie die Ausdrücke (2) und (7), so ersieht man aus denselben und aus den Werthen (4) und (6), dass

$$\begin{aligned}u &= au_a + bu_b + cu_c, & v &= av_a + bv_b + cv_c, \\w &= aw_a + bw_b + cw_c; \\U &= bcu_a + cau_b + abu_c, & V &= bcv_a + cav_b + abv_c, \\W &= bcw_a + caw_b + abw_c.\end{aligned}$$

ist. Demgemäss ist den Gleichungen (8), (7) und (2) zufolge

$$\left. \begin{aligned}u_a + u_b + u_c &= 0 \\a \cdot u_a + b \cdot u_b + c \cdot u_c &= 0 \\bc \cdot u_a + ca \cdot u_b + ab \cdot u_c &= 0\end{aligned} \right\} \quad (9)$$

und dieselben Gleichungen (9) bestehen auch, wenn  $u_r$  durch  $v_r$  oder durch  $w_r$  ersetzt wird.

Sind nun  $abc$  von einander verschieden, so folgt aus diesen Gleichungen, dass nothwendigerweise alle  $u_r$ ,  $v_r$  und  $w_r$  verschwinden müssen, also z. B.  $u_a = 0$ ,  $v_a = 0$  und  $w_a = 0$ , daher nach (8)

$$\begin{aligned}\frac{\alpha_x a'_x + \alpha_y b'_z + \alpha_z b'_y}{\alpha_x} &= \frac{\alpha_x b'_z + \alpha_y a'_y + \alpha_z \cdot b'_x}{\alpha_y} = \\&= \frac{\alpha_x b'_y + \alpha_y \cdot b'_x + \alpha_z \cdot a'_z}{\alpha_z}\end{aligned} \quad (10)$$

ist, welche bekannte Beziehung sofort erkennen lässt, dass die Axe  $\xi$ , deren Richtungscosinus  $(\alpha_x \alpha_y \alpha_z)$  sind, auch eine Axe der zweiten Fläche (1) ist — und in gleicher Weise folgt aus  $u_b = v_b = w_b = 0$ , beziehungsweise aus  $u_c = v_c = w_c = 0$ , dass auch  $\eta$ , beziehungsweise  $\zeta$  eine Hauptaxe derselben Fläche ist.

Sind dagegen zwei von den Grössen  $abc$  einander gleich, etwa  $b = c$ , also die erste der Flächen (1) eine Rotationsfläche, deren Rotationsaxe  $\xi$  ist, so folgt aus den Gleichungen (9) unmittelbar, dass entweder  $a = b = c$ , also die letztere Fläche eine Kugelfläche ist, in welchem Falle jedenfalls eine Co-

axialität der beiden Flächen (1) besteht, oder dass  $u_a = 0$  und in gleicher Weise  $v_a = 0$ ,  $w_a = 0$  ist, demnach die Doppelgleichung (10) statthat, aus welcher Doppelgleichung zu folgern ist, dass diese Rotationsaxe  $\xi$  mit einer Axe der zweiten Fläche (1) gleichgerichtet ist und daher die beiden anderen Axen dieser letzteren Fläche in die Richtung zweier Äquatorialdurchmesser der ersteren Rotationsfläche fallen, so dass auch in diesem Falle die beiden Flächen (1) coaxial sind.

---

## XXIV. SITZUNG VOM 16. NOVEMBER 1894.

Das c. M. Herr Prof. G. Goldschmiedt übersendet eine im Laboratorium der k. k. deutschen Universität in Prag begonnene, im Universitätslaboratorium in Göttingen zu Ende geführte Arbeit des seither verstorbenen Dr. Heinrich Mach, betitelt: »Untersuchungen über Abietinsäure« (II. Mittheilung).

Herr Ingenieur H. Guzmann, Professor an der k. k. Staatsgewerbeschule in Bielitz, übermittelt ein versiegeltes Schreiben behufs Wahrung der Priorität mit der Aufschrift: »Beschreibung und zugehörige Skizzen eines neuen Grundprincipes der Construction von Schiffsrädern und Schiffsschrauben«.

Das w. M. Herr Hofrath Prof. J. Wiesner überreicht den fünften Theil seiner Pflanzenphysiologischen Mittheilungen aus Buitenzorg unter dem Titel: »Studien über die Anisophyllie tropischer Gewächse«.

Das w. M. Herr Hofrath Prof. C. Toldt überreicht eine Abhandlung von Dr. Josef Lartschneider, em. Assistent der II. anatomischen Lehrkanzel an der k. k. Universität in Wien, betitelt: »Die Steissbeinmuskeln des Menschen und ihre Beziehungen zum M. Levator ani und zur Beckenfascie (eine vergleichend anatomische Studie)«.

Herr Prof. Dr. Ed. Lippmann überreicht eine im III. chemischen Laboratorium der k. k. Universität in Wien ausgeführte Arbeit des Herrn Paul Cohn: »Über einige Derivate des Phenylindoxazens«.

---

## XXV. SITZUNG VOM 29. NOVEMBER 1894.

---

Der Secretär legt das im Auftrage Sr. k. u. k. Hoheit des durchlauchtigsten Herrn Erzherzog Ludwig Salvators, Ehrenmitgliedes der kaiserl. Akademie, von der Buchdruckerei Heinrich Mercy in Prag übermittelte Druckwerk: »Die Liparischen Inseln. VIII. Allgemeiner Theil« vor.

Ferner legt der Secretär den 44. Jahrgang des Almanach der kaiserl. Akademie für das Jahr 1894 und das erschienene Heft VIII (October 1894), Abtheilung II. a. des 103. Bandes der Sitzungsberichte vor.

Herr Prof. Dr. V. Hilber in Graz dankt für die ihm zur Fortsetzung seiner geologischen Forschungen in der südlichen europäischen Türkei aus den Erträgnissen der Boué-Stiftung bewilligte Reisesubvention; desgleichen dankt Herr Prof. Dr. Ed. Richter in Graz für eine ihm zum Zwecke des Studiums der Terrainformen in der Hochregion des scandinavischen Gebirges von der Akademie gewährte Reisesubvention.

Das c. M. Herr Hofrath Prof. Alexander Bauer übersendet eine Arbeit aus dem chemischen Laboratorium der k. k. Staatsgewerbeschule in Bielitz von Dr. G. v. Georgievics: »Über das Wesen des Färbeprocesses.«

Der Secretär legt folgende eingesendete Abhandlungen vor:

1. »Beiträge zur Kenntniss der Laubmoosflora des Hochgebirgstheiles der Sierra Nevada in Spanien«, von Prof. Dr. F. v. Höhnelt an der k. k. technischen Hochschule in Wien.

2. »Die Wirkungsweise der Condensatoren im Wechselstromkreise«, von Dr. Gustav Benischke in Innsbruck.
3. Einige Bemerkungen zu J. Finger's Abhandlung: »Das Potential der inneren Kräfte etc. (I.)«, von Prof. Dr. Waldemar Voigt in Göttingen.

Das w. M. Herr Prof. H. Weidel überreicht folgende zwei im I. chemischen Laboratorium der k. k. Universität in Wien ausgeführte Arbeiten:

1. »Studien über Quercetin und seine Derivate« (X. Abhandlung), von Dr. J. Herzig.
2. »Über die Einwirkung von Alkalien auf bromirte Phloroglucinderivate«, von J. Herzig und J. Pollak.

Das w. M. Herr Hofrath Prof. Ad. Lieben überreicht eine in seinem Laboratorium ausgeführte Arbeit von Herrn Ernst Roithner: »Zur Kenntniss des Äthylenoxydes«.

**Selbständige Werke oder neue, der Akademie bisher nicht zugekommene Periodica sind eingelangt:**

- Erzherzog Ludwig Salvator, Die Liparischen Inseln. VIII. Allgemeiner Theil. Prag, 1894; Folio.
- Le Musée Bohême, Système silurien du centre de la Bohême par Joachim Barrande. I<sup>ère</sup> Partie: Recherches Paléontologiques. Continuation éditée par le Musée Bohême. Vol. VIII. Tome I<sup>er</sup>. *Bryozoaires, Hydrozoaires* et partie des *Anthozoaires* par Ph. Počta. (Text et 21 Planches.) (De la part du Musée Bohême conformément au désir exprimé par Joachim Barrande dans son testament.) Prague, 1894; 4°.
- Haeckel, E., Systematische Phylogenie der Protisten und Pflanzen. I. Theil des Entwurfs einer systematischen Phylogenie. Berlin, 1894; 8°.

# Einige Bemerkungen zu Herrn Jos. Finger's Abhandlung „Das Potential der inneren Kräfte etc.“

von

**W. Voigt.**

Die von Herrn J. O. Thompson im Jahre 1891 veröffentlichten Beobachtungen<sup>1</sup> über die elastischen Dehnungen von Drähten haben mehrfache Aufmerksamkeit dadurch erregt, dass der Verfasser schon bei sehr kleinen Dehnungen — sie betrugen im Maximum noch nicht 67 *mm* bei einer Gesamtlänge der Drähte von 22700 *mm* — bedeutende Abweichungen von der Proportionalität zwischen der Grösse der Dehnung und derjenigen des streckenden Gewichtes erhielt. Da ich bei zahlreichen elastischen Messungen, die sich auf Biegung und Torsion von Prismen — auch von Metallen — bezogen, der Frage der Proportionalität grosse Aufmerksamkeit zugewandt, aber Abweichungen von irgend welchem Belang nicht erhalten hatte, so bot sich mir naturgemäss die Frage nach der Ursache der Abweichungen zwischen den von Herrn Thompson und den von mir erhaltenen Beobachtungsergebnissen. Die Behandlung dieser Aufgabe habe ich in zwei im Juli 1893<sup>2</sup> und Januar 1894<sup>3</sup> verfassten Arbeiten geliefert und den Inhalt dieser Abhandlungen später zusammengefasst an einer anderen Stelle<sup>4</sup> publicirt.

---

<sup>1</sup> Wied. Ann. Bd. 44, S. 555, 1891.

<sup>2</sup> Götting. Nachr. 1893, Nr. 13.

<sup>3</sup> Götting. Nachr. 1894, Nr. 1.

<sup>4</sup> Wied. Ann. Bd. 52, S. 536, 1894.



Gegen den Inhalt der ersten dieser Arbeiten hat Herr Jos. Finger,<sup>1</sup> der etwa gleichzeitig mit mir dieselbe Frage in Angriff genommen hat, schwere Bedenken erhoben, und ich sehe mich genöthigt, auf dieselben kurz einzugehen. Ein Theil der gemachten Einwände ist allerdings durch meine oben genannte zweite Abhandlung, die Herr Finger nicht kennen konnte, da sie fast genau zu derselben Zeit publicirt ist, wie die seinige, im Voraus erledigt worden; andere beruhen auf leicht erkennbarem Missverstehen meiner Worte; immerhin bleibt bestehen, dass Herr Finger für die Componenten der elastischen Drucke wesentlich complicirtere Ausdrücke erhält, als ich, und die seinigen als richtig, die meinigen als falsch bezeichnet.

Eine einfache Überlegung zeigt nun aber, dass die Aufgabe, die sich Herr Finger gestellt hat, überhaupt eine andere ist, als die, um deren Lösung ich mich bemüht habe.

Die ältere Elasticitätstheorie setzt Deformationen von solcher Kleinheit voraus, dass die Differentialquotienten der Verrückungen nach den Coordinaten — welche reine Zahlen sind — neben Eins vernachlässigt werden können. Es versteht sich also von selbst, dass bei Beobachtungen, deren Genauigkeit grösser ist, als der Werth der Deformationsgrössen, die Resultate der Theorie, vor allem die Proportionalität zwischen den wirkenden Kräften und den erzielten Deformationsgrössen, durch die Beobachtung nicht bestätigt werden können. Diese Abweichungen will ich daher die nothwendigen nennen.

Was mich an den Thompson'schen Resultaten besonders interessirte, weil es scheinbar im Widerspruch mit den Erwartungen und mit den Resultaten meiner zahlreichen und mühsamen Beobachtungen stand, war indessen etwas anderes: die Abweichungen von der Proportionalität zwischen Deformationen und Kräften unter Umständen, wo die Deformationsgrössen neben Eins vernachlässigt werden durften. Auf solche Verhältnisse bezogen sich nämlich alle meine Beobachtungen, die — schon unter dem Zwang der Zerbrechlichkeit der Krystallstäbchen — Deformationen unterhalb  $1/1000$  und eine Genauigkeit von etwa demselben Betrag benutzten. Diese

<sup>1</sup> Wiener Ber. Bd. 103, Abth. II a, S. 163, 1894.

Abweichungen könnte man als unerwartete bezeichnen, und auf ihre Untersuchung beziehen sich ersichtlicher Weise ganz allein meine Abhandlungen. So sage ich in der Einleitung: »Nachdem durch neuere Beobachtungen gezeigt ist, dass man unter Umständen, wo man früher die Giltigkeit der alten Formeln für selbstverständlich hielt, bereits erhebliche Abweichungen von der Proportionalität.... findet, scheint es angemessen, die Erweiterungen zu untersuchen, welche die ältere Theorie erfahren muss, um mit jenen Resultaten in Einklang zu kommen.« Die (erst hier) gesperrt gedruckten Worte charakterisiren vielleicht zu kurz, aber doch ziemlich deutlich das gestellte Problem, womit übereinstimmt, dass bei der Entwicklung desselben Resultate benutzt werden, in denen die Deformationsgrössen selbst neben Eins vernachlässigt sind.

Hiermit steht aber keineswegs im Widerspruch, dass ich in dem elastischen Potential die Glieder dritten Grades neben denen zweiten Grades eingeführt habe; denn die ersteren sind mit Constanten multiplicirt, welche von den Factoren der letzteren unabhängig sind und jedenfalls bei den Thompson'schen Beobachtungen eine solche Grösse gehabt haben, dass jene Glieder eine merkliche Wirkung äussern konnten.

Um dies hervortreten zu lassen, will ich aus den auf Messing bezüglichen Beobachtungsreihen, die übrigens den andern völlig gleichwerthig sind, einige Resultate zusammenstellen. Die erste Columne enthielt die angewandten Belastungen, die zweite die Mittelwerthe der beobachteten Dehnungen, die dritte die Differenzen der aufeinander folgenden Werthe der letzteren, d. h. also, die bei den verschiedenen Anfangsbelastungen bei 0.2 *kg* Übergewicht eintretenden Dehnungen.

0.2 <i>kg</i>	7.111 <i>mm</i>	7.111 <i>mm</i>
0.4	14.269	7.158
0.6	21.489	7.220
0.8	28.772	7.283
1.0	36.124	7.352 u. s. f.

Beachtet man, dass die Gesamtlänge des benutzten Drahtes 22700 *mm* war, so erkennt man, dass bei den vor-

stehenden Beobachtungen die Abweichungen von der Proportionalität um das Vielfache grösser waren, als die Beträge der Dilatationen, woraus die Berechtigung der von mir gewählten Fragestellung offenbar folgt.

Nachdem somit die specielle, aber in sich völlig abgeschlossene Aufgabe charakterisirt ist, die ich mir gestellt hatte, ist der Unterschied gegenüber der von Herrn Finger in Angriff genommenen leicht auszusprechen; am kürzesten in der Form, dass Herr Finger die Gesetze nicht nur jener unerwarteten, sondern auch der oben als nothwendig bezeichneten Abweichungen zum Ziel seiner Entwicklung gewählt hat. In der That geht er von der Annahme von Deformationen aus, die neben der Einheit nicht zu vernachlässigen sind.

Dass diese umfassendere Aufgabe zu complicirteren Resultaten führen muss, als die von mir behandelte speciellere, ist klar; jedenfalls müssen die von Herrn Finger abgeleiteten Werthe der Druckkräfte in die meinigen übergehen, wenn man die Differentialquotienten der Verrückungen nach den Coordinaten neben Eins vernachlässigt. Dies findet wirklich statt, und damit ist die Vereinbarkeit unserer beiderseitigen Resultate jedenfalls erwiesen.

Göttingen im November 1894.

# Über die allgemeinsten Beziehungen zwischen endlichen Deformationen und den zugehörigen Spannungen in aeolotropen und isotropen Substanzen<sup>1</sup>

von

**Jos. Finger.**

(Vorgelegt in der Sitzung am 11. October 1894.)

Bei einer jeden homogenen Deformation irgend eines Punktsystems ist, wenn man von dessen translatorischer Bewegung absieht,

$$\left. \begin{aligned} x_t &= a_{11}x_0 + a_{21}y_0 + a_{31}z_0 \\ y_t &= a_{12}x_0 + a_{22}y_0 + a_{32}z_0 \\ z_t &= a_{13}x_0 + a_{23}y_0 + a_{33}z_0 \end{aligned} \right\} \quad (1)$$

wofern durch  $(x_0 y_0 z_0)$  die anfänglichen und durch  $(x_t y_t z_t)$  die zur beliebigen Zeit  $t$  bestehenden, auf ein an der translatorischen Bewegung des Punktsystems theilnehmendes Axensystem bezogenen Coordinaten irgend eines Punktes dieses Punktsystems bezeichnet sind und wofern die Coëfficienten

---

<sup>1</sup> Da sich in dieser Abhandlung öfter die Nothwendigkeit ergibt, auf zwei frühere Abhandlungen desselben Verfassers, nämlich

Finger, Über die gegenseitigen Beziehungen gewisser in der Mechanik mit Vortheil anwendbarer Flächen zweiter Ordnung (diese Sitzungsber., Bd. CI, Abth. II. a, Mai 1892, S. 1105—1142) und

Finger, Das Potential der inneren Kräfte u. s. w., I. und II. Theil (diese Sitzungsber., Bd. CIII, Abth. II. a, Februar 1894, S. 163—200 und April 1894, S. 231—250),

hinzuweisen, so soll kürzshalber für die erste dieser Abhandlungen stets das Citat W. S. 1892, für die letztere W. S. 1894 zur Anwendung kommen.

$a_{11}a_{21} \dots$  irgend welche Functionen der Zeit sind, die jedoch von  $x_0 y_0 z_0$  nicht abhängen.

Bekanntlich kann nun eine jede Deformation eines beliebigen unendlich kleinen Körperelementes, dessen anfängliches Volum durch  $dv$  bezeichnet sei, als eine homogene angesehen werden, wofern die anfänglichen — auf ein an der Bewegung des Körpers nicht theilnehmendes orthogonales Axensystem sich beziehenden — Coordinaten  $(xyz)$  irgend eines Punktes  $m$  dieses Körperelementes durch diese Deformation, durch welche  $m$  zur Zeit  $t$  nach  $M$  gelangen möge, stets nur solche Werthe  $X = x + \xi$ ,  $Y = y + \eta$ ,  $Z = z + \zeta$  erlangen, für welche die Componenten  $\xi, \eta, \zeta$  der stattgefundenen Verschiebung  $mM$  dauernd stetige Functionen der anfänglichen Lage  $(xyz)$  und der Zeit  $t$  sind — und zwar ist dann, wie bekannt, in (1)  $(x_0 y_0 z_0)$  durch  $(dx, dy, dz)$ , ferner  $(x_t y_t z_t)$  durch  $(dX, dY, dZ)$  zu ersetzen<sup>1</sup> und die Coëfficienten  $a_{11}a_{21} \dots$  haben dann die Werthe:

$$\left. \begin{aligned} a_{11} &= 1 + \frac{\partial \xi}{\partial x} = 1 + \lambda_x, & a_{21} &= \frac{\partial \xi}{\partial y} = \nu_z, & a_{31} &= \frac{\partial \xi}{\partial z} = \mu_y \\ a_{12} &= \frac{\partial \eta}{\partial x} = \mu_z, & a_{22} &= 1 + \frac{\partial \eta}{\partial y} = 1 + \lambda_y, & a_{32} &= \frac{\partial \eta}{\partial z} = \nu_x \\ a_{13} &= \frac{\partial \zeta}{\partial x} = \nu_y, & a_{23} &= \frac{\partial \zeta}{\partial y} = \mu_x, & a_{33} &= 1 + \frac{\partial \zeta}{\partial z} = 1 + \lambda_z \end{aligned} \right\} \quad (2)$$

wo durch  $\lambda_x \mu_x \nu_x \dots$  kürzshalber die entsprechenden Verschiebungsderivationen, d. i. die partiellen Differentialquotienten der Componenten  $\xi \eta \zeta$  der Verschiebung bezeichnet sind.

In der allgemeinen Elasticitätstheorie sind von ganz hervorragender Bedeutung sechs Functionen  $(a_x a_y a_z b_x b_y b_z)$ , beziehungsweise  $(a_x a_y a_z b_x b_y b_z)$  der eben betrachteten neun Coëfficienten  $a_{11} \dots a_{33}$  der Grundgleichungen (1), nämlich:

$$\left. \begin{aligned} a_x &= a_{11}^2 + a_{12}^2 + a_{13}^2 = 1 + 2a_x \\ a_y &= a_{21}^2 + a_{22}^2 + a_{23}^2 = 1 + 2a_y \\ a_z &= a_{31}^2 + a_{32}^2 + a_{33}^2 = 1 + 2a_z \\ b_x &= a_{21}a_{31} + a_{22}a_{32} + a_{23}a_{33} \\ b_y &= a_{31}a_{11} + a_{32}a_{12} + a_{33}a_{13} \\ b_z &= a_{11}a_{21} + a_{12}a_{22} + a_{13}a_{23} \end{aligned} \right\} \quad (3)$$

<sup>1</sup> Siehe Finger, W. S. 1894, S. 165 und 166.

George Green<sup>1</sup> war der erste, der diese sechs Functionen  $a_x \dots b_z$  in Betracht gezogen und nicht nur gezeigt hat, dass die Deformation eines Körperelementes (abgesehen von dessen Drehung) in jedem Falle durch diese sechs Grössen (die Green durch  $a^2 b^2 c^2 \alpha' \beta' \gamma'$  bezeichnet) vollständig bestimmt ist, sondern der auch klar erkannt hat, dass das Potential  $dU$  der inneren Kräfte (das »elastische Potential«) bei einer jeden Deformation irgend eines Körperelementes  $dv$  durch

$$dU = f \cdot dv \quad (4)$$

ausgedrückt ist, wobei die Potentialfunction<sup>2</sup>  $f$  (von Green durch  $\varphi$  bezeichnet), mag die Deformation und das Körperelement welcher Art auch immer sein, stets nur eine Function dieser sechs Grössen  $a_x a_y a_z b_x b_y b_z$  ist.

In Kürze sei auch auf die ferneren Untersuchungen über denselben Gegenstand, welche von Saint Vénant<sup>3</sup> — dessen Behauptung, dass durch  $a_x = \frac{1}{2} (a_x - 1)$ ,  $a_y = \frac{1}{2} (a_y - 1)$ ,  $a_z = \frac{1}{2} (a_z - 1)$  die linearen Dilatationen in den zu den Coordinatenachsen parallelen Richtungen und durch  $b_x b_y b_z$  die entsprechenden Masse der Schiebungen (fr. glissements, engl.

<sup>1</sup> George Green, On the propagation of light in crystallized media (Transactions of the Cambridge Philosophical Society 1839). — Green, On the laws of reflexion and refraction of light (Transactions of the Cambridge Philosophical Society 1838). — Siehe auch Mathematical Papers of George Green, edited by N. M. Ferrers (London 1871), p. 249, 296, 297.

<sup>2</sup> Es muss ausdrücklich bemerkt werden, dass hier und auch späterhin stets als »Potential«  $dU$  jene Function bezeichnet ist, deren dem Zeitelemente  $dt$  entsprechendes Differential  $df \cdot dv$  die von den inneren Kräften in diesem Zeitelemente  $dt$  geleistete mechanische Arbeit ausdrückt. Wird dagegen, wie dies häufig geschieht, das Potential  $U = \int f \cdot dv$  mit »potenzieller Energie« identificirt, so ist in den folgenden Gleichungen, besonders in (15), (17) u. s. w. statt  $f$  überall zu setzen  $(-f)$ .

<sup>3</sup> Saint Vénant, Mémoire sur l'équilibre des corps solides dans les limites de leur élasticité et sur les conditions de leur résistance, quand les déplacements éprouvés par leur points ne sont pas très-petites. Comptes rendus, vol. XXIV (1847), p. 260—263.

slides) bestimmt sind, nur eine beschränkte Giltigkeit hat,<sup>1</sup> nämlich nur für den besonderen Fall, dass die zweiten und die höheren Potenzen der Verschiebungsderivationen  $\lambda_x \mu_z \dots$  vernachlässigt werden — ferner von Lord Kelvin (W. Thomson),<sup>2</sup> Boussinesq<sup>3</sup> herrühren, hingewiesen.

Die geometrische Bedeutung dieser sechs Grössen  $a_x \dots b_z$  erhellt aus folgender Betrachtung:

Es seien durch  $A_{11} A_{12} \dots A_{33}$  die zu  $a_{11} a_{12} \dots a_{33}$  adjungirten Unterdeterminanten der Determinante

$$D = \begin{vmatrix} a_{11} & a_{12} & a_{13} \\ a_{21} & a_{22} & a_{23} \\ a_{31} & a_{32} & a_{33} \end{vmatrix} = \begin{vmatrix} 1 + \lambda_x & \mu_z & \nu_y \\ \nu_z & 1 + \lambda_y & \mu_x \\ \mu_y & \nu_x & 1 + \lambda_z \end{vmatrix} \quad (5)$$

bezeichnet. Wie aus (1) unmittelbar zu ersehen ist, liegen bekanntlich jene Punkte, welche anfänglich auf einer Kugel-  
fläche gelegen sind, deren Mittelpunkt  $m$  und deren Radius 1 ist, zur Zeit  $t$  in jenem Ellipsoid — dem sogenannten Deformationsellipsoid —, dessen Mittelpunkt  $M$  und dessen Gleichung ist

$$(A_{11}x + A_{12}y + A_{13}z)^2 + (A_{21}x + A_{22}y + A_{23}z)^2 + (A_{31}x + A_{32}y + A_{33}z)^2 = D^2, \quad (6)$$

wofern diese Gleichung bezogen wird auf die durch den Punkt  $M$  parallel zu den früheren Coordinatenaxen gelegten Axen.

Die Halbaxen  $a, b, c$  dieses Ellipsoids, welche die Richtungen  $\xi', \eta', \zeta'$  der sogenannten Deformationshauptaxen

<sup>1</sup> Siehe Todhunter and Pearson, A History of the Theory of Elasticity (Cambridge 1886—1893), vol. I, p. 865—867.

<sup>2</sup> W. Thomson, Equations of Equilibrium of an elastic solid deduced from the Principle of Energy. Appendix to Dynamical Problems regarding Elastic Spheroidal Shells and Spheroids of incompressible liquid (Philos. Transactions, 1863, vol. 153, p. 610). — Sir Will. Thomson, Mathematical and Physical Papers (vol. III, p. 386—394). — Thomson and Tait, Treatise on Natural Philosophy, II. Edit., part. II, p. 462.

<sup>3</sup> Boussinesq, Théorie des ondes liquides périodiques (Mém. prés. à l'Acad. des Sciences, tome XX, Paris 1872, p. 592).

haben, genügen, wenn  $\lambda_1, \lambda_2, \lambda_3$  die Hauptdilatationen bedeuten, den Gleichungen

$$a = 1 + \lambda_1, \quad b = 1 + \lambda_2, \quad c = 1 + \lambda_3. \quad (7)$$

Das dem Deformationsellipsoid (6) adjungirte<sup>1</sup> Ellipsoid, dessen Halbaxen mit den Axen  $\xi', \eta', \zeta'$  gleichgerichtet sind und die Längen  $\frac{1}{1+\lambda_1}, \frac{1}{1+\lambda_2}, \frac{1}{1+\lambda_3}$  besitzen, ist jenes, dessen auf dieselben Axen bezogene Gleichung lautet:

$$(a_{11}x + a_{12}y + a_{13}z)^2 + (a_{21}x + a_{22}y + a_{23}z)^2 + (a_{31}x + a_{32}y + a_{33}z)^2 = 1. \quad (8)$$

Das dieser Fläche (8) congruente und derselben conjugirte<sup>2</sup> Ellipsoid ist in Bezug auf dieselben Axen durch die Gleichung bestimmt:

$$(a_{11}x + a_{21}y + a_{31}z)^2 + (a_{12}x + a_{22}y + a_{32}z)^2 + (a_{13}x + a_{23}y + a_{33}z)^2 = 1. \quad (9)$$

Es ist dies — den Gleichungen (1) zufolge — jenes Ellipsoid, welches anfänglich alle jene Punkte in sich enthält, die zur Zeit  $t$  in einer Kugelfläche gelegen sind, deren Mittelpunkt  $M$  und deren Halbmesser 1 ist. Beachtet man die Werthe (3) der sechs Grössen  $a_x \dots b_z$ , so ersieht man, dass die Gleichung des letzten Ellipsoids (9), dessen Axenrichtungen durch  $\xi, \eta, \zeta$  bezeichnet seien, auch die Form annehmen kann:

$$a_x \cdot x^2 + a_y \cdot y^2 + a_z \cdot z^2 + 2b_x \cdot yz + 2b_y \cdot zx + 2b_z \cdot xy = 1, \quad (9')$$

woraus sofort die geometrische Bedeutung der Grössen  $a_x \dots b_z$  ersichtlich ist.

Die cubische Dilatation  $v$  des betrachteten Körperelementes, dessen Volum zur Zeit  $t$  durch  $dV$  bezeichnet sei, ist<sup>3</sup>

<sup>1</sup> Siehe Finger, W. S. 1892, S. 1107 und 1112.

<sup>2</sup> Siehe Finger, W. S. 1892, S. 1116.

<sup>3</sup> Siehe Finger, W. S. 1894, S. 167 und 184.



$$\nu = \frac{dV-dv}{dv} = D - 1 = (1+\lambda_1)(1+\lambda_2)(1+\lambda_3) - 1 = abc - 1 \quad (10)$$

und die aus den Coëfficienten der Gleichung (9') gebildete Determinante <sup>1</sup>

$$A = \begin{vmatrix} a_x & b_z & b_y \\ b_z & a_y & b_x \\ b_y & b_x & a_z \end{vmatrix} = D^2 = a^2 b^2 c^2 = (1+\lambda_1)^2 (1+\lambda_2)^2 (1+\lambda_3)^2 = (1+\nu)^2. \quad (11)$$

Die den einzelnen Gliedern  $a_x \dots b_z$  dieser Determinante entsprechenden, denselben adjungirten Unterdeterminanten  $A_x \dots B_z$  entsprechen zufolge (3) den Gleichungen

$$\left. \begin{aligned} A_x &= a_y a_z - b_x^2 = A_{11}^2 + A_{12}^2 + A_{13}^2 \\ A_y &= a_z a_x - b_y^2 = A_{21}^2 + A_{22}^2 + A_{23}^2 \\ A_z &= a_x a_y - b_z^2 = A_{31}^2 + A_{32}^2 + A_{33}^2 \\ B_x &= b_y b_z - b_x a_x = A_{21} A_{31} + A_{22} A_{32} + A_{23} A_{33} \\ B_y &= b_z b_x - b_y a_y = A_{31} A_{11} + A_{32} A_{12} + A_{33} A_{13} \\ B_z &= b_x b_y - b_z a_z = A_{11} A_{21} + A_{12} A_{22} + A_{13} A_{23} \end{aligned} \right\} \quad (12)$$

und zwar sind dies die Coëfficienten der Gleichung des dem Deformationsellipsoid (6) congruenten und demselben conjugirten Ellipsoids:

$$A_x \cdot x^2 + A_y \cdot y^2 + A_z \cdot z^2 + 2 B_x \cdot yz + 2 B_y \cdot zx + 2 B_z \cdot xy = D^2, \quad (13)$$

dessen Halbaxen  $abc$  in die Richtungen der Axen  $\xi\eta\zeta$  fallen.

Die in Betracht gezogene, durch die Gleichungen (1) bestimmte Deformation kann man bekanntlich zerlegen in eine reine Deformation, bei welcher nur eine einfache Dilatation (beziehungsweise Contraction) im Betrage  $\lambda_1 \lambda_2 \lambda_3$  nach den Richtungen der drei Axen  $\xi\eta\zeta$  stattfindet und durch welche die Kugel fläche vom Radius 1 die Form des Ellipsoids (13) annimmt, und in eine Rotation um irgend eine Axe  $C$ , deren Richtungscosinus durch  $\varphi_x \varphi_y \varphi_z$  bezeichnet seien, durch

<sup>1</sup> Siehe Finger, W. S. 1892, S. 1106 und 1112.

welche Rotation das Ellipsoid (13) nach einer Drehung  $\vartheta$  in die schliessliche Lage des Deformationsellipsoids (6), das Ellipsoid (9) oder (9') in die Lage (8), kurz das Axensystem  $\xi\eta\zeta$  in die Lage des Axensystems  $\xi'\eta'\zeta'$  gelangt.

Noch anschaulicher wird die geometrische Bedeutung der sechs in Betracht kommenden Grössen  $a_x \dots b_z$  durch die Betrachtung jenes Tetraäders, dessen anfänglich vom Punkte  $m$  ausgehenden Kanten  $mm_1, mm_2, mm_3$  mit den Axen  $xyz$  gleichgerichtet und der Längeneinheit gleich sind. Die Eckpunkte  $m, m_1, m_2, m_3$  dieses Tetraäders gelangen durch die ins Auge gefasste Deformation zur Zeit  $t$  in solche Lagen  $MM_1, M_2, M_3$ , für welche die relativen Coordinaten der Punkte  $M_1$ , beziehungsweise  $M_2$ , beziehungsweise  $M_3$  in Bezug auf ein durch  $M$  parallel zu  $xyz$  gelegtes Axensystem den Gleichungen (1) zufolge die Werthe  $(a_{11}, a_{12}, a_{13})$ , beziehungsweise  $(a_{21}, a_{22}, a_{23})$ , beziehungsweise  $(a_{31}, a_{32}, a_{33})$  besitzen, so dass für die nunmehrigen Kanten  $\overline{MM_1} = R_1, \overline{MM_2} = R_2, \overline{MM_3} = R_3$  und ihre Neigungswinkel  $(R_2, R_3), (R_3, R_1), (R_1, R_2)$  sich aus (3) folgende Werthe ergeben:

$$\left. \begin{aligned} a_x &= R_1^2, & a_y &= R_2^2, & a_z &= R_3^2 \\ b_x &= R_2 R_3 \cos(R_2 R_3), & b_y &= R_3 R_1 \cos(R_3 R_1), \\ b_z &= R_1 R_2 \cos(R_1 R_2) \end{aligned} \right\} \quad (14)$$

Es sind somit durch die Längen und gegenseitigen Lagen der Kanten des durch die betrachtete Deformation aus dem ursprünglichen Tetraeder  $mm_1m_2m_3$  entstandenen Tetraäders  $MM_1M_2M_3$ , dessen Volum nach (5)  $\frac{1}{6} D$  ist, die sechs Grössen  $a_x \dots b_z$  bestimmt und umgekehrt.

Um nun die der betrachteten Deformation entsprechenden Componenten  $X_x Y_y \dots Z_z$  der Spannung zu ermitteln, hat man auszugehen von den allgemein giltigen Gleichungen:<sup>1</sup>

<sup>1</sup> Diese neun Gleichungen wurden zuerst von Carl Neumann aufgestellt. Siehe C. Neumann, Zur Theorie der Elasticität (Borchardt's Journal für reine und angewandte Mathematik, 1860, S. 281—318). Diese Gleichungen wurden auch vom Verfasser in einer einfachen, von Neumann's Deduction völlig verschiedenen Weise abgeleitet. Siehe Finger, W. S. 1894, S. 174.

$$\begin{aligned}
 D.X_x &= a_{11} \frac{\partial f}{\partial a_{11}} + a_{21} \frac{\partial f}{\partial a_{21}} + a_{31} \frac{\partial f}{\partial a_{31}} & D.Y_x &= a_{11} \frac{\partial f}{\partial a_{12}} + a_{21} \frac{\partial f}{\partial a_{22}} + a_{31} \frac{\partial f}{\partial a_{32}} \\
 D.X_y &= a_{12} \frac{\partial f}{\partial a_{11}} + a_{22} \frac{\partial f}{\partial a_{21}} + a_{32} \frac{\partial f}{\partial a_{31}} & D.Y_y &= a_{12} \frac{\partial f}{\partial a_{12}} + a_{22} \frac{\partial f}{\partial a_{22}} + a_{32} \frac{\partial f}{\partial a_{32}} \\
 D.X_z &= a_{13} \frac{\partial f}{\partial a_{11}} + a_{23} \frac{\partial f}{\partial a_{21}} + a_{33} \frac{\partial f}{\partial a_{31}} & D.Y_z &= a_{13} \frac{\partial f}{\partial a_{12}} + a_{23} \frac{\partial f}{\partial a_{22}} + a_{33} \frac{\partial f}{\partial a_{32}} \\
 D.Z_x &= a_{11} \frac{\partial f}{\partial a_{13}} + a_{21} \frac{\partial f}{\partial a_{23}} + a_{31} \frac{\partial f}{\partial a_{33}} \\
 D.Z_y &= a_{12} \frac{\partial f}{\partial a_{13}} + a_{22} \frac{\partial f}{\partial a_{23}} + a_{32} \frac{\partial f}{\partial a_{33}} \\
 D.Z_z &= a_{13} \frac{\partial f}{\partial a_{13}} + a_{23} \frac{\partial f}{\partial a_{23}} + a_{33} \frac{\partial f}{\partial a_{33}}
 \end{aligned}
 \tag{15}$$

Da  $f$  als eine Function der sechs Grössen  $a_x, a_y, \dots, b_z$  oder, was sich hier mehr empfiehlt, als eine Function der sechs Grössen  $a_x = \frac{1}{2}(a_x - 1)$ ,  $a_y = \frac{1}{2}(a_y - 1)$ ,  $a_z = \frac{1}{2}(a_z - 1)$ ,  $b_x, b_y, b_z$  anzusehen ist, so ist den Gleichungen (3) zufolge

$$\begin{aligned}
 \frac{\partial f}{\partial a_{11}} &= \frac{\partial f}{\partial a_x} a_{11} + \frac{\partial f}{\partial b_z} a_{21} + \frac{\partial f}{\partial b_y} a_{31} \\
 \frac{\partial f}{\partial a_{12}} &= \frac{\partial f}{\partial a_x} a_{12} + \frac{\partial f}{\partial b_z} a_{22} + \frac{\partial f}{\partial b_y} a_{32} \\
 &\vdots \quad \quad \quad \vdots \quad \quad \quad \vdots \quad \quad \quad \vdots
 \end{aligned}
 \tag{16}$$

u. s. w. Führt man diese Werthe in (15) ein, so findet man:

$$\begin{aligned}
 D \cdot X_x &= a_{11}^2 \cdot \frac{\partial f}{\partial a_x} + a_{21}^2 \cdot \frac{\partial f}{\partial a_y} + a_{31}^2 \cdot \frac{\partial f}{\partial a_z} + 2a_{21}a_{31} \cdot \frac{\partial f}{\partial b_x} + 2a_{11}a_{21} \cdot \frac{\partial f}{\partial b_z} \\
 D \cdot Y_y &= a_{12}^2 \cdot \frac{\partial f}{\partial a_x} + a_{22}^2 \cdot \frac{\partial f}{\partial a_y} + a_{32}^2 \cdot \frac{\partial f}{\partial a_z} + 2a_{22}a_{32} \cdot \frac{\partial f}{\partial b_x} + 2a_{12}a_{22} \cdot \frac{\partial f}{\partial b_z} \\
 D \cdot Z_z &= a_{13}^2 \cdot \frac{\partial f}{\partial a_x} + a_{23}^2 \cdot \frac{\partial f}{\partial a_y} + a_{33}^2 \cdot \frac{\partial f}{\partial a_z} + 2a_{23}a_{33} \cdot \frac{\partial f}{\partial b_x} + 2a_{13}a_{23} \cdot \frac{\partial f}{\partial b_z} \\
 D \cdot Y_z &= a_{12}a_{13} \cdot \frac{\partial f}{\partial a_x} + a_{22}a_{23} \cdot \frac{\partial f}{\partial a_y} + a_{32}a_{33} \cdot \frac{\partial f}{\partial a_z} + (a_{22}a_{33} + a_{23}a_{32}) \cdot \frac{\partial f}{\partial b_x} + (a_{23}a_{13} + a_{33}a_{12}) \cdot \frac{\partial f}{\partial b_y} + \\
 &\quad + (a_{12}a_{23} + a_{13}a_{22}) \cdot \frac{\partial f}{\partial b_z} = D \cdot Z_y \\
 D \cdot Z_x &= a_{13}a_{11} \cdot \frac{\partial f}{\partial a_x} + a_{23}a_{21} \cdot \frac{\partial f}{\partial a_y} + a_{33}a_{31} \cdot \frac{\partial f}{\partial a_z} + (a_{23}a_{31} + a_{31}a_{23}) \cdot \frac{\partial f}{\partial b_x} + (a_{33}a_{11} + a_{31}a_{13}) \cdot \frac{\partial f}{\partial b_y} + \\
 &\quad + (a_{13}a_{21} + a_{21}a_{13}) \cdot \frac{\partial f}{\partial b_z} = D \cdot X_z \\
 D \cdot X_y &= a_{11}a_{12} \cdot \frac{\partial f}{\partial a_x} + a_{21}a_{22} \cdot \frac{\partial f}{\partial a_y} + a_{31}a_{32} \cdot \frac{\partial f}{\partial a_z} + (a_{21}a_{32} + a_{32}a_{21}) \cdot \frac{\partial f}{\partial b_x} + (a_{31}a_{12} + a_{32}a_{11}) \cdot \frac{\partial f}{\partial b_y} + \\
 &\quad + (a_{11}a_{22} + a_{12}a_{21}) \cdot \frac{\partial f}{\partial b_z} = D \cdot Y_x
 \end{aligned}
 \tag{17}^1$$

<sup>1</sup> Diese Formeln wurden schon von Boussinesq gefunden. Siehe Boussinesq, Théorie des ondes liquides périodiques (Mémoires présentés à l'Acad. des Sciences, t. XX, Paris 1872, p. 594).

Es mögen nunmehr zunächst auf Grund dieser Gleichungen (17) die im Punkte  $M$  herrschenden Hauptdrucke (Hauptspannungen)  $S_1 S_2 S_3$  der Betrachtung unterzogen werden. Bekanntlich sind die Grössen derselben stets durch die drei Wurzeln der bezüglich  $S$  cubischen Gleichung

$$\begin{vmatrix} X_x - S & X_y & X_z \\ Y_x & Y_y - S & Y_z \\ Z_x & Z_y & Z_z - S \end{vmatrix} = 0$$

bestimmt. Demgemäss ist

$$\left. \begin{aligned} S_1 + S_2 + S_3 &= X_x + Y_y + Z_z \\ S_2 S_3 + S_3 S_1 + S_1 S_2 &= Y_y Z_z + Z_z X_x + X_x Y_y - Y_z^2 - Z_x^2 - X_y^2 \\ S_1 S_2 S_3 &= \begin{vmatrix} X_x & X_y & X_z \\ Y_x & Y_y & Y_z \\ Z_x & Z_y & Z_z \end{vmatrix} \end{aligned} \right\} \quad (18)$$

Führt man in diese drei Gleichungen die Werthe (17) ein und bezeichnet man kürzshalber durch  $\alpha_x \alpha_y \dots \beta_z$  die partiellen Derivationen der Potentialfunction  $f$ , nämlich

$$\left. \begin{aligned} \alpha_x &= \frac{\partial f}{\partial a_x} = 2 \frac{\partial f}{\partial a_x}, \quad \alpha_y = \frac{\partial f}{\partial a_y} = 2 \frac{\partial f}{\partial a_y}, \quad \alpha_z = \frac{\partial f}{\partial a_z} = 2 \frac{\partial f}{\partial a_z} \\ \beta_x &= \frac{\partial f}{\partial b_x}, \quad \beta_y = \frac{\partial f}{\partial b_y}, \quad \beta_z = \frac{\partial f}{\partial b_z} \end{aligned} \right\} \quad (19)$$

und bezeichnet man schliesslich durch  $A_x A_y A_z B_x B_y B_z$  die den gleichbezeichneten Gliedern  $\alpha_x \alpha_y \alpha_z \beta_x \beta_y \beta_z$  adjungirten Unterdeterminanten der symmetrischen Determinante

$$A = \begin{vmatrix} \alpha_x & \beta_z & \beta_y \\ \beta_z & \alpha_y & \beta_x \\ \beta_y & \beta_x & \alpha_z \end{vmatrix} = \begin{vmatrix} \frac{\partial f}{\partial a_x} & \frac{\partial f}{\partial b_z} & \frac{\partial f}{\partial b_y} \\ \frac{\partial f}{\partial b_z} & \frac{\partial f}{\partial a_y} & \frac{\partial f}{\partial b_x} \\ \frac{\partial f}{\partial b_y} & \frac{\partial f}{\partial b_x} & \frac{\partial f}{\partial a_z} \end{vmatrix} \quad (20)$$

so findet man mit Hilfe der Relationen (18), (17) und (3)

$$\left. \begin{aligned} S_1 + S_2 + S_3 &= \frac{1}{D} \cdot [a_x a_x + a_y a_y + a_z a_z + \\ &\quad + 2 b_x \beta_x + 2 b_y \beta_y + 2 b_z \beta_z] \\ S_2 S_3 + S_3 S_1 + S_1 S_2 &= \frac{1}{D^2} \cdot [A_x A_x + A_y A_y + A_z A_z + \\ &\quad + 2 B_x B_x + 2 B_y B_y + 2 B_z B_z] \\ S_1 S_2 S_3 &= \frac{1}{D} \cdot A = \frac{1}{D^3} \cdot AA \end{aligned} \right\} (21)$$

Die letzte dieser Gleichungen ergibt sich in einfacher Weise aus der letzten Gleichung (18), wenn man diese mit  $D^3$  multiplicirt und berücksichtigt, dass den Gleichungen (15) gemäss die Glieder  $D \cdot X_x$ ,  $D \cdot X_y \dots$  sich bei der Bildung des Productes aus der Determinante (5) und der Determinante

$$\begin{vmatrix} \frac{\partial f}{\partial a_{11}} & \frac{\partial f}{\partial a_{12}} & \frac{\partial f}{\partial a_{13}} \\ \frac{\partial f}{\partial a_{21}} & \frac{\partial f}{\partial a_{22}} & \frac{\partial f}{\partial a_{23}} \\ \frac{\partial f}{\partial a_{31}} & \frac{\partial f}{\partial a_{32}} & \frac{\partial f}{\partial a_{33}} \end{vmatrix}$$

nach dem Multiplicationstheorem ergeben und dass ebenso den Gleichungen (16) zufolge die Glieder dieser letzten Determinante bei der Multiplication der Determinanten (5) und (20) erhalten werden.

Da nun sämtliche Grössen der rechten Theile der Gleichung (21) nach (11), (12), (19), (20), sofern die Potentialfunction  $f$  als eine bekannte Function der sechs Grössen  $a_x \dots b_z$  vorausgesetzt wird, bestimmbare Functionen dieser sechs Grössen sind, so lässt sich aus (21) folgern, dass auch die Grössen der Hauptspannungen (Hauptdrucke)  $S_1 S_2 S_3$ , gleich wie die Potentialfunction  $f$ , stets nur Functionen der sechs Grössen  $a_x a_y a_z b_x b_y b_z$  sind.

Die Richtungen dieser Hauptspannungen, die wohl ausserdem auch von den Richtungscosinus  $\varphi_x \varphi_y \varphi_z$  der Rotationsaxe  $C$  und von dem Rotationswinkel  $\vartheta$  abhängen, sind bekanntlich identisch mit den Axenrichtungen der Fläche

$$X_x x^2 + Y_y y^2 + Z_z z^2 + 2 Y_z yz + 2 Z_x zx + 2 X_y xy = k, \quad (22)$$

in welcher Gleichung  $k$  eine beliebige Constante bedeutet und mittelst welcher Fläche man in bekannter Weise für eine jede Lage des Flächenelementes, für welches die Spannung ermittelt werden soll, die Grösse und Richtung der letzteren ermitteln kann.

Substituiert man in (22) die Werthe der Spannungscomponenten aus (17), so nimmt die Gleichung der Fläche (22) die Form an:

$$\left. \begin{aligned} & (a_{11}x + a_{12}y + a_{13}z)^2 \cdot \frac{\partial f}{\partial a_x} + (a_{21}x + a_{22}y + a_{23}z)^2 \cdot \frac{\partial f}{\partial a_y} + \\ & \quad + (a_{31}x + a_{32}y + a_{33}z)^2 \cdot \frac{\partial f}{\partial a_z} + \\ & + 2(a_{21}x + a_{22}y + a_{23}z)(a_{31}x + a_{32}y + a_{33}z) \cdot \frac{\partial f}{\partial b_x} + \\ & + 2(a_{31}x + a_{32}y + a_{33}z)(a_{11}x + a_{12}y + a_{13}z) \cdot \frac{\partial f}{\partial b_y} + \\ & + 2(a_{11}x + a_{12}y + a_{13}z)(a_{21}x + a_{22}y + a_{23}z) \cdot \frac{\partial f}{\partial b_z} = D \cdot k \end{aligned} \right\} \quad (23)$$

Um zu einer einfacheren Darstellung dieser wichtigen Fläche zweiter Ordnung, welche die Spannungen in allen Raumrichtungen in übersichtlicher Weise geometrisch anschaulich zu machen gestattet, zu gelangen, denke man sich diese Fläche (23) derart transformirt, dass durch diese Transformation die Coordinaten  $xyz$  eines beliebigen Punktes dieser Fläche die Werthe

$$\left. \begin{aligned} X &= a_{11}x + a_{12}y + a_{13}z \\ Y &= a_{21}x + a_{22}y + a_{23}z \\ Z &= a_{31}x + a_{32}y + a_{33}z \end{aligned} \right\} \quad (24)$$

annehmen, so dass dadurch aus der Fläche (23) jene neue Fläche zweiter Ordnung entsteht, deren auf die Axen  $xyz$  bezogene Gleichung bei Anwendung der durch (19) bestimmten Bezeichnungsweise lautet:

$$\alpha_x \cdot X^2 + \alpha_y \cdot Y^2 + \alpha_z \cdot Z^2 + 2\beta_x \cdot YZ + 2\beta_y \cdot ZX + 2\beta_z \cdot XY = D \cdot k. \quad (25)$$

Vergleicht man die Transformationsgleichungen (24) mit den die thatsächliche Deformation des betrachteten Körper-

elementes charakterisierenden Gleichungen (1), so ersieht man, dass zwischen der Transformation (24) und der thatsächlichen Deformation lediglich derselbe Unterschied stattfindet, der auch den conjugirten congruenten Flächen (8) und (9) zu Grunde liegt, die sich blos dadurch unterscheiden, dass die Axenrichtungen  $\xi'\eta'\zeta'$  durch die Axenrichtungen  $\xi\eta\zeta$  — und umgekehrt — ersetzt sind. Es beruht demnach diese der Deformation (1) conjugirte (blos durch die Permutation der Indices der Coëfficienten sich unterscheidende) Transformation (24) darin, dass eine Ausdehnung mit der linearen Dilatation  $\lambda_1\lambda_2\lambda_3$  nach den Richtungen der drei Axen  $\xi'\eta'\zeta'$  stattfindet und zugleich eine Rotation um die Axe  $(\varphi_x\varphi_y\varphi_z)$ , durch welche nach einer Drehung  $(-\vartheta)$  die Axen  $\xi'\eta'\zeta'$  in die Lage  $\xi\eta\zeta$  gelangen. Es muss sonach umgekehrt aus der Fläche (25) die Fläche (23) dann entstehen, wenn die erste eine Drehung um die Axe  $(\varphi_x\varphi_y\varphi_z)$  vollzieht, durch welche nach der Drehung  $\vartheta$  die Axen  $\xi\eta\zeta$  in die Lage  $\xi'\eta'\zeta'$  gelangen, und wenn hierauf eine Ausdehnung dieser Fläche in den Richtungen  $\xi'\eta'\zeta'$  erfolgt, deren lineare Dilatation, beziehungsweise  $(1+\lambda_1)^{-1}-1$ ,  $(1+\lambda_2)^{-1}-1$ ,  $(1+\lambda_3)^{-1}-1$  ist.

Sind nun die Flächen (9') und (25) coaxial, also die Axen  $\xi\eta\zeta$  der Fläche (9'), beziehungsweise (9) gleichgerichtet mit den Axen der Fläche (25), so müssen die Axen dieser letzteren Fläche nach der Drehung  $\vartheta$  die Richtungen  $\xi'\eta'\zeta'$  haben, und da sich durch die letztbetrachtete Ausdehnung in den zu den Hauptaxen parallelen Richtungen zwar die Gestalt, aber nicht die Axenrichtungen einer Fläche zweiter Ordnung ändern können, so müssen  $\xi'\eta'\zeta'$  auch die Richtungen der Axen der Fläche (23) sein, es muss also auch diese Fläche (23) mit dem Deformationsellipsoid (6) und mit dem Ellipsoid (8) coaxial sein — und ebenso lässt sich umgekehrt aus der Coaxialität der Flächen (23) und (6) die Coaxialität der Flächen (25) und (9') folgern. Nun sind diese beiden letztgenannten Flächen dann, und zwar nur dann coaxial, wenn folgende drei Bedingungsgleichungen bestehen:<sup>1</sup>

<sup>1</sup> Siehe J. Finger, Über das Kriterion der Coaxialität zweier Mittelpunktsflächen zweiter Ordnung. Diese Sitzungsber., 1894, Bd. CIII, S. 1061 bis 1065.



$$\left. \begin{aligned} \begin{vmatrix} a_y - a_z & b_x \\ a_y - a_x & \beta_x \end{vmatrix} &= \begin{vmatrix} b_y & b_z \\ \beta_y & \beta_z \end{vmatrix} \\ \begin{vmatrix} a_z - a_x & b_y \\ a_z - a_y & \beta_y \end{vmatrix} &= \begin{vmatrix} b_z & b_x \\ \beta_z & \beta_x \end{vmatrix} \\ \begin{vmatrix} a_x - a_y & b_z \\ a_x - a_z & \beta_z \end{vmatrix} &= \begin{vmatrix} b_x & b_y \\ \beta_x & \beta_y \end{vmatrix} \end{aligned} \right\} \quad (26)$$

Diese drei bedeutsamen Gleichungen drücken demnach auch die nothwendige und hinreichende Bedingung dafür aus, dass die Axen  $\xi'\eta'\zeta'$  des Deformationsellipsoids (6), kurz die Deformationshauptaxen identisch sind mit den Axen der Fläche (23), d. i. mit den Hauptdruckaxen.

Wofern die drei Bedingungsgleichungen (26) bei irgend einer Deformation irgend eines Körperelementes nicht erfüllt sind, sind die kinematischen Hauptaxen verschieden von den dynamischen.

Bei der Anwendung der Grundgleichungen (17) für die Bestimmung der Spannungen darf nicht ausser Acht gelassen werden, dass  $(X_x Y_x Z_x)$ , beziehungsweise  $(X_y Y_y Z_y)$ , beziehungsweise  $(X_z Y_z Z_z)$  die Componenten der Spannung für jenes Flächenelement sind, welches im deformirten Körperelement, d. i. zur Zeit  $t$  zu der unveränderlichen  $(yz)$ -Ebene, beziehungsweise  $(zx)$ -Ebene, beziehungsweise  $(xy)$ -Ebene parallel ist, und nur unter dieser Voraussetzung ist  $Y_z = Z_y$ ,  $Z_x = X_z$ ,  $X_y = Y_x$ .

Will man, wie dies in besonderen Fällen Kirchhoff<sup>1</sup> und Andere gethan haben, die Componenten  $(x_x y_x z_x)$ , beziehungsweise  $(x_y y_y z_y)$ , beziehungsweise  $(x_z y_z z_z)$  der Spannung in jenem Flächenelemente bestimmen, welches vor der hier betrachteten Deformation zur  $(yz)$ -Ebene, beziehungsweise  $(zx)$ -Ebene, beziehungsweise  $(xy)$ -Ebene parallel war, welches demgemäss zur Zeit  $t$  die Lage der Seitenebene  $(MM_2 M_3)$ , beziehungsweise  $(MM_3 M_1)$ , beziehungsweise  $(MM_1 M_2)$  des

<sup>1</sup> Siehe Kirchhoff, Über die Bedingungen des Gleichgewichtes eines elastischen Körpers bei nicht unendlich kleinen Verschiebungen seiner Theile. Diese Sitzungsber., Bd. IX (1852), S. 762—773.

früher betrachteten Tetraëders hat, so hat man zu beachten, dass die Richtungscosinus  $(a_1 b_1 c_1)$ , beziehungsweise  $(a_2 b_2 c_2)$ , beziehungsweise  $(a_3 b_3 c_3)$  der nach dem Inneren des Tetraëders gerichteten Normalen  $N_1$ , beziehungsweise  $N_2$ , beziehungsweise  $N_3$  durch die Gleichungen: <sup>1</sup>

$$\begin{aligned}\frac{a_1}{A_{11}} &= \frac{b_1}{A_{12}} = \frac{c_1}{A_{13}} = \frac{1}{+\sqrt{A_{11}^2 + A_{12}^2 + A_{13}^2}} = \frac{1}{+\sqrt{A_x}} \\ \frac{a_2}{A_{21}} &= \frac{b_2}{A_{22}} = \frac{c_2}{A_{23}} = \frac{1}{+\sqrt{A_y}} \\ \frac{a_3}{A_{31}} &= \frac{b_3}{A_{32}} = \frac{c_3}{A_{33}} = \frac{1}{+\sqrt{A_z}}\end{aligned}$$

bestimmt sind und dass demgemäss einer bekannten allgemein gültigen Relation zufolge

$$\begin{aligned}x_x &= X_x a_1 + X_y b_1 + X_z c_1 = \frac{X_x \cdot A_{11} + X_y \cdot A_{12} + X_z \cdot A_{13}}{\sqrt{A_x}} \\ y_x &= Y_x a_1 + Y_y b_1 + Y_z c_1 = \frac{Y_x \cdot A_{11} + Y_y \cdot A_{12} + Y_z \cdot A_{13}}{\sqrt{A_x}} \\ z_x &= Z_x a_1 + Z_y b_1 + Z_z c_1 = \frac{Z_x \cdot A_{11} + Z_y \cdot A_{12} + Z_z \cdot A_{13}}{\sqrt{A_x}} \\ x_y &= X_x a_2 + X_y b_2 + X_z c_2 = \frac{X_x \cdot A_{21} + X_y \cdot A_{22} + X_z \cdot A_{23}}{\sqrt{A_y}}\end{aligned}$$

u. s. w. ist.

Setzt man in diese Gleichungen die Werthe der Componenten  $X_x X_y \dots$  aus (15) oder jene aus (17) ein und berücksichtigt die Gleichungen (16), so findet man folgende allgemein gültige, besonders einfache Beziehungen:

$$\left. \begin{aligned}\frac{x_x}{\frac{\partial f}{\partial a_{11}}} &= \frac{y_x}{\frac{\partial f}{\partial a_{12}}} = \frac{z_x}{\frac{\partial f}{\partial a_{13}}} = \frac{1}{\sqrt{A_x}} = \frac{1}{\sqrt{a_y a_z - b_x^2}} = \frac{1}{R_2 R_3 \sin(R_2 R_3)} \\ \frac{x_y}{\frac{\partial f}{\partial a_{21}}} &= \frac{y_y}{\frac{\partial f}{\partial a_{22}}} = \frac{z_y}{\frac{\partial f}{\partial a_{23}}} = \frac{1}{\sqrt{A_y}} = \frac{1}{\sqrt{a_z a_x - b_y^2}} = \frac{1}{R_3 R_1 \sin(R_3 R_1)} \\ \frac{x_z}{\frac{\partial f}{\partial a_{31}}} &= \frac{y_z}{\frac{\partial f}{\partial a_{32}}} = \frac{z_z}{\frac{\partial f}{\partial a_{33}}} = \frac{1}{\sqrt{A_z}} = \frac{1}{\sqrt{a_x a_y - b_z^2}} = \frac{1}{R_1 R_2 \sin(R_1 R_2)}\end{aligned}\right\} (27)$$

<sup>1</sup> Siehe Finger, W. S. 1892, S. 1109.

Diese Gleichungen, aus welchen sich  $x_x x_y \dots z_z$  in einfacher Weise bestimmen lassen, lehren, dass die Differenzen  $y_z - z_y$ ,  $z_x - x_z$ ,  $x_y - y_x$  im Allgemeinen von Null verschieden sind.<sup>1</sup>

• In der bisherigen Untersuchung wurde das betrachtete Körperelement  $dv$  als Theil eines beliebigen Körpers betrachtet, also im Allgemeinen als anisotrop (aeolotrop) angenommen.

Ist nun dieses Körperelement, wie dies von nun an stets vorausgesetzt werden soll, isotrop, so muss die lediglich von den sechs Grössen  $a_x a_y a_z b_x b_y b_z$  abhängige Potentialfunction  $f$  in Folge der Isotropie von der Lage der Axen des Ellipsoids (9) vollkommen unabhängig sein. Es können daher für die Potentialfunction  $f$  von den sechs genannten Grössen, welche in ihrer Gesamtheit sowohl die Längen, als auch die Lagen der drei Hauptaxen dieses Ellipsoids eindeutig zu bestimmen gestatten und welche auch umgekehrt aus diesen Lagen und Längen in bekannter Weise vollkommen bestimmbar sind, nur jene Functionen dieser sechs Grössen massgebend sein, durch welche die Grössen der Halbaxen dieses Ellipsoids bestimmt sind.<sup>2</sup>

Diese Halbaxen  $\frac{1}{a}$ ,  $\frac{1}{b}$ ,  $\frac{1}{c}$  sind aber bekanntlich genau bestimmt durch die drei Functionen

$$\begin{aligned} \sigma &= a^2 + b^2 + c^2 - 3 = a_x + a_y + a_z - 3 \\ s &= b^2 c^2 + c^2 a^2 + a^2 b^2 - 3 = a_y a_z + a_z a_x + a_x a_y - \\ &\quad - b_x^2 - b_y^2 - b_z^2 - 3 = A_x + A_y + A_z - 3 \\ A &= a^2 b^2 c^2 = a_x a_y a_z - a_x b_x^2 - a_y b_y^2 - a_z b_z^2 + \\ &\quad + 2 b_x b_y b_z = D^2 = (1 + \nu)^2 \end{aligned} \quad (28)$$

Es ist sonach, wenn das betrachtete Körperelement isotrop ist,  $f$  blos eine Function dieser drei Grössen

<sup>1</sup> Vergl. H. Poincaré, Über die Elasticitätstheorie (Comptes rendus, 112 1891], S. 914 und 915).

<sup>2</sup> W. Thomson und P. G. Tait, Treatise on Natural Philosophy, 1883, vol. I, part II, Appendix C (k), p. 466.

$\sigma$ ,  $s$  und  $A = D^2$ , beziehungsweise eine Function von  $\sigma$ ,  $s$  und der cubischen Dilatation  $v$ .<sup>1</sup>

Für die partiellen Differentialquotienten (19) ergeben sich daher bei Beachtung der Gleichungen (28) nunmehr folgende Werthe:

$$\left. \begin{aligned} \alpha_x &= \frac{\partial f}{\partial a_x} = 2 \frac{\partial f}{\partial a_x} = 2 \cdot \left[ \frac{\partial f}{\partial \sigma} + \frac{\partial f}{\partial s} (3 + \sigma - a_x) + \frac{\partial f}{\partial A} (a_y a_z - b_x^2) \right] \\ \alpha_y &= \frac{\partial f}{\partial a_y} = 2 \frac{\partial f}{\partial a_y} = 2 \cdot \left[ \frac{\partial f}{\partial \sigma} + \frac{\partial f}{\partial s} (3 + \sigma - a_y) + \frac{\partial f}{\partial A} (a_z a_x - b_y^2) \right] \\ \alpha_z &= \frac{\partial f}{\partial a_z} = 2 \frac{\partial f}{\partial a_z} = 2 \cdot \left[ \frac{\partial f}{\partial \sigma} + \frac{\partial f}{\partial s} (3 + \sigma - a_z) + \frac{\partial f}{\partial A} (a_x a_y - b_z^2) \right] \\ \beta_x &= \frac{\partial f}{\partial b_x} = 2 \cdot \left[ -\frac{\partial f}{\partial s} \cdot b_x + \frac{\partial f}{\partial A} (b_y b_z - b_x a_x) \right] \\ \beta_y &= \frac{\partial f}{\partial b_y} = 2 \cdot \left[ -\frac{\partial f}{\partial s} \cdot b_y + \frac{\partial f}{\partial A} (b_z b_x - b_y a_y) \right] \\ \beta_z &= \frac{\partial f}{\partial b_z} = 2 \cdot \left[ -\frac{\partial f}{\partial s} \cdot b_z + \frac{\partial f}{\partial A} (b_x b_y - b_z a_z) \right] \end{aligned} \right\} \quad (29)$$

Demgemäss ist

$$\begin{aligned} \left| \begin{array}{cc} a_y - a_z, & b_x \\ \alpha_y - \alpha_z, & \alpha_x \end{array} \right| &= 2 \cdot \frac{\partial f}{\partial A} [b_y (b_x b_y - b_z a_z) - b_z (b_z b_x - b_y a_y)] = \\ &= 2 \frac{\partial f}{\partial A} \cdot \left| \begin{array}{cc} b_y & b_z \\ \beta_y & \beta_z \end{array} \right| \end{aligned}$$

und denselben Werth findet man für  $\left| \begin{array}{cc} b_y & b_z \\ \beta_y & \beta_z \end{array} \right|$ . Es werden daher die erste und, wie sich in gleicher Weise zeigen lässt, auch die zweite und dritte der Bedingungsgleichungen (26) erfüllt, wodurch nachgewiesen ist, dass bei isotropen Substanzen stets die Deformationshauptaxen in ihrer schliesslichen Lage mit den Hauptdruckaxen zusammenfallen.

<sup>1</sup> Es empfiehlt sich,  $f$  nicht, wie dies Thomson thut, als Function der Quadrate  $a^2 b^2 c^2$  der reciproken Halbaxen der Fläche (9), sondern als Function der Grössen  $\sigma$ ,  $s$  und  $v$  zu betrachten, da es nur dadurch dem Verfasser gelang, auch die allgemeinen Ausdrücke für die Spannungscomponenten zu erhalten.

Um einen möglichst einfachen Ausdruck für die Spannungscomponenten (17) in isotropen Substanzen zu erhalten, sollen auch die Coëfficienten der auf die Form

$$a'_x \cdot x^2 + a'_y \cdot y^2 + a'_z \cdot z^2 + 2b'_x \cdot yz + 2b'_y \cdot zx + 2b'_z \cdot xy = 1 \quad (30)$$

gebrachten Gleichung des dem Deformationsellipsoid (6) adjungirten Ellipsoids (8) in Rechnung gezogen werden, nämlich

$$\left. \begin{aligned} a'_x &= a_{11}^2 + a_{21}^2 + a_{31}^2, & b'_x &= a_{12}a_{13} + a_{22}a_{23} + a_{32}a_{33} \\ a'_y &= a_{12}^2 + a_{22}^2 + a_{32}^2, & b'_y &= a_{13}a_{11} + a_{23}a_{21} + a_{33}a_{31} \\ a'_z &= a_{13}^2 + a_{23}^2 + a_{33}^2, & b'_z &= a_{11}a_{12} + a_{21}a_{22} + a_{31}a_{32} \end{aligned} \right\} \quad (31)$$

und ebenso die diesen Grössen adjungirten Coëfficienten  $A'_x \dots B'_z$  des Deformationsellipsoids (6), dessen Gleichung (6) die Form annimmt:

$$A'_x \cdot x^2 + A'_y \cdot y^2 + A'_z \cdot z^2 + 2B'_x \cdot yz + 2B'_y \cdot zx + 2B'_z \cdot xy = D^2, \quad (32)$$

wo

$$\left. \begin{aligned} A'_x &= a'_y a'_z - b'^2_x = A_{11}^2 + A_{21}^2 + A_{31}^2 \\ A'_y &= a'_x a'_z - b'^2_y = A_{12}^2 + A_{22}^2 + A_{32}^2 \\ A'_z &= a'_x a'_y - b'^2_z = A_{13}^2 + A_{23}^2 + A_{33}^2 \\ B'_x &= b'_y b'_z - b'_x a'_x = A_{12}A_{13} + A_{22}A_{23} + A_{32}A_{33} \\ B'_y &= b'_z b'_x - b'_y a'_y = A_{13}A_{11} + A_{23}A_{21} + A_{33}A_{31} \\ B'_z &= b'_x b'_y - b'_z a'_z = A_{11}A_{12} + A_{21}A_{22} + A_{31}A_{32} \end{aligned} \right\} \quad (33)$$

Aus diesen Werthen der Coëfficienten (31) und (33) und aus den Gleichungen (3), (12) und (28) lassen sich zunächst folgende für unsere Zwecke wichtige identische Relationen folgern:

$$\begin{aligned}
 a_{11}^2 a_x + a_{21}^2 a_y + a_{31}^2 a_z + 2a_{21} a_{31} b_x + 2a_{31} a_{11} b_y + 2a_{11} a_{21} b_z &= (\sigma + 3) a'_x + A'_x - (s + 3) \\
 a_{12}^2 a_x + a_{22}^2 a_y + a_{32}^2 a_z + 2a_{22} a_{32} b_x + 2a_{32} a_{12} b_y + 2a_{12} a_{22} b_z &= (\sigma + 3) a'_y + A'_y - (s + 3) \\
 a_{13}^2 a_x + a_{23}^2 a_y + a_{33}^2 a_z + 2a_{23} a_{33} b_x + 2a_{33} a_{13} b_y + 2a_{13} a_{23} b_z &= (\sigma + 3) a'_z + A'_z - (s + 3) \\
 a_{12} a_{13} a_x + a_{22} a_{23} a_y + a_{32} a_{33} a_z + (a_{22} a_{33} + a_{32} a_{23}) b_x + (a_{32} a_{13} + a_{12} a_{33}) b_y + (a_{12} a_{23} + a_{22} a_{13}) b_z &= (\sigma + 3) b'_x + B'_x \\
 a_{13} a_{11} a_x + a_{23} a_{21} a_y + a_{33} a_{31} a_z + (a_{23} a_{31} + a_{33} a_{21}) b_x + (a_{33} a_{11} + a_{13} a_{31}) b_y + (a_{13} a_{21} + a_{23} a_{11}) b_z &= (\sigma + 3) b'_y + B'_y \\
 a_{11} a_{12} a_x + a_{21} a_{22} a_y + a_{31} a_{32} a_z + (a_{21} a_{32} + a_{31} a_{22}) b_x + (a_{31} a_{12} + a_{11} a_{32}) b_y + (a_{11} a_{22} + a_{21} a_{12}) b_z &= (\sigma + 3) b'_z + B'_z \\
 a_{11}^2 A_x + a_{21}^2 A_y + a_{31}^2 A_z + 2a_{21} a_{31} B_x + 2a_{31} a_{11} B_y + 2a_{11} a_{21} B_z &= A \\
 a_{12}^2 A_x + a_{22}^2 A_y + a_{32}^2 A_z + 2a_{22} a_{32} B_x + 2a_{32} a_{12} B_y + 2a_{12} a_{22} B_z &= A \\
 a_{13}^2 A_x + a_{23}^2 A_y + a_{33}^2 A_z + 2a_{23} a_{33} B_x + 2a_{33} a_{13} B_y + 2a_{13} a_{23} B_z &= A \\
 a_{12} a_{13} A_x + a_{22} a_{23} A_y + a_{32} a_{33} A_z + (a_{22} a_{33} + a_{32} a_{23}) B_x + (a_{32} a_{13} + a_{12} a_{33}) B_y + (a_{12} a_{23} + a_{22} a_{13}) B_z &= 0 \\
 a_{13} a_{11} A_x + a_{23} a_{21} A_y + a_{33} a_{31} A_z + (a_{23} a_{31} + a_{33} a_{21}) B_x + (a_{33} a_{11} + a_{13} a_{31}) B_y + (a_{13} a_{21} + a_{23} a_{11}) B_z &= 0 \\
 a_{11} a_{12} A_x + a_{21} a_{22} A_y + a_{31} a_{32} A_z + (a_{21} a_{32} + a_{31} a_{22}) B_x + (a_{31} a_{12} + a_{11} a_{32}) B_y + (a_{11} a_{22} + a_{21} a_{12}) B_z &= 0
 \end{aligned}
 \tag{34}$$

Die Einsetzung der Werthe aus (29) in (17) führt bei Berücksichtigung von (34), (31) und (12) zu den gesuchten Grössen der Spannungscomponenten, nämlich zu den einfachen, allgemein gültigen Gleichungen für isotrope Substanzen

$$\left. \begin{aligned} D \cdot X_x &= 2 \cdot \left[ a'_x \cdot \frac{\partial f}{\partial \sigma} + (s+3-A'_x) \cdot \frac{\partial f}{\partial s} + A \frac{\partial f}{\partial A} \right] \\ D \cdot Y_y &= 2 \cdot \left[ a'_y \cdot \frac{\partial f}{\partial \sigma} + (s+3-A'_y) \cdot \frac{\partial f}{\partial s} + A \frac{\partial f}{\partial A} \right] \\ D \cdot Z_z &= 2 \cdot \left[ a'_z \cdot \frac{\partial f}{\partial \sigma} + (s+3-A'_z) \cdot \frac{\partial f}{\partial s} + A \frac{\partial f}{\partial A} \right] \\ D \cdot Y_z &= 2 \cdot \left[ b'_x \cdot \frac{\partial f}{\partial \sigma} - B'_x \cdot \frac{\partial f}{\partial s} \right] = D \cdot Z_y \\ D \cdot Z_x &= 2 \cdot \left[ b'_y \cdot \frac{\partial f}{\partial \sigma} - B'_y \cdot \frac{\partial f}{\partial s} \right] = D \cdot X_z \\ D \cdot X_y &= 2 \cdot \left[ b'_z \cdot \frac{\partial f}{\partial \sigma} - B'_z \cdot \frac{\partial f}{\partial s} \right] = D \cdot Y_x \end{aligned} \right\} \quad (35)$$

Da  $A = D^2$  und  $D = 1 + \nu$  ist, so kann auch  $A \frac{\partial f}{\partial A} = \frac{1}{2} D \cdot \frac{\partial f}{\partial D} = \frac{1}{2} D \cdot \frac{\partial f}{\partial \nu}$  gesetzt werden; es können demnach die drei ersten Gleichungen (35) auch lauten:

$$\left. \begin{aligned} X_x &= \frac{\partial f}{\partial \nu} + 2 \cdot \frac{a'_x}{1+\nu} \cdot \frac{\partial f}{\partial \sigma} + 2 \cdot \frac{s+3-A'_x}{1+\nu} \cdot \frac{\partial f}{\partial s} \\ Y_y &= \frac{\partial f}{\partial \nu} + 2 \cdot \frac{a'_y}{1+\nu} \cdot \frac{\partial f}{\partial \sigma} + 2 \cdot \frac{s+3-A'_y}{1+\nu} \cdot \frac{\partial f}{\partial s} \\ Z_z &= \frac{\partial f}{\partial \nu} + 2 \cdot \frac{a'_z}{1+\nu} \cdot \frac{\partial f}{\partial \sigma} + 2 \cdot \frac{s+3-A'_z}{1+\nu} \cdot \frac{\partial f}{\partial s} \end{aligned} \right\} \quad (36)$$

In einfacherer Weise lassen sich die allgemeinen und meines Wissens hier zum erstenmale aufgestellten Gleichungen (35) und (36) unmittelbar aus den Gleichungen (15) ableiten, wofür berücksichtigt wird, dass bei isotropen Substanzen die Potentialfunction  $f$  bloß eine Function von  $s$ ,  $\sigma$  und  $D$  ist und dass wegen der Congruenz der Ellipsoide (30) und (9') und in Folge der durch (28) bestimmten Bedeutung von  $s$  und  $\sigma$  auch

$$\left. \begin{aligned} \sigma &= a'_x + a'_y + a'_z - 3 \\ s &= a'_y a'_z + a'_z a'_x + a'_x a'_y - b'^2_x - b'^2_y - b'^2_z - 3 \end{aligned} \right\} \quad (37)$$

ist.

Wie nämlich aus diesen Gleichungen und aus (31) und (5) zu ersehen ist, ist

$$\frac{\partial \sigma}{\partial a_{11}} = 2a_{11}, \quad \frac{\partial \sigma}{\partial a_{21}} = 2a_{21}, \quad \frac{\partial \sigma}{\partial a_{31}} = 2a_{31}$$

$$\frac{\partial D}{\partial a_{11}} = A_{11}, \quad \frac{\partial D}{\partial a_{21}} = A_{21}, \quad \frac{\partial D}{\partial a_{31}} = A_{31}$$

ferner

$$\begin{aligned} \frac{\partial s}{\partial a_{11}} &= (a'_y + a'_z) \cdot \frac{\partial a'_x}{\partial a_{11}} - 2b'_z \cdot \frac{\partial b'_z}{\partial a_{11}} - 2b'_y \cdot \frac{\partial b'_y}{\partial a_{11}} \\ &= [\sigma + 3 - a'_x] \cdot 2a_{11} - 2b'_z \cdot a_{12} - 2b'_y \cdot a_{13} \\ &= 2 \cdot [a_{11}(\sigma + 3) - (a_{11}a'_x + a_{12}b'_z + a_{13}b'_y)] \end{aligned}$$

und analog

$$\begin{aligned} \frac{\partial s}{\partial a_{21}} &= 2[a_{21}(\sigma + 3) - (a_{21}a'_x + a_{22}b'_z + a_{23}b'_y)] \\ \frac{\partial s}{\partial a_{31}} &= 2[a_{31}(\sigma + 3) - (a_{31}a'_x + a_{32}b'_z + a_{33}b'_y)] \end{aligned}$$

Setzt man diese Werthe ein in die Gleichungen

$$\begin{aligned} \frac{\partial f}{\partial a_{11}} &= \frac{\partial f}{\partial \sigma} \cdot \frac{\partial \sigma}{\partial a_{11}} + \frac{\partial f}{\partial s} \cdot \frac{\partial s}{\partial a_{11}} + \frac{\partial f}{\partial D} \cdot \frac{\partial D}{\partial a_{11}} \\ \frac{\partial f}{\partial a_{21}} &= \frac{\partial f}{\partial \sigma} \cdot \frac{\partial \sigma}{\partial a_{21}} + \frac{\partial f}{\partial s} \cdot \frac{\partial s}{\partial a_{21}} + \frac{\partial f}{\partial D} \cdot \frac{\partial D}{\partial a_{21}} \\ \frac{\partial f}{\partial a_{31}} &= \frac{\partial f}{\partial \sigma} \cdot \frac{\partial \sigma}{\partial a_{31}} + \frac{\partial f}{\partial s} \cdot \frac{\partial s}{\partial a_{31}} + \frac{\partial f}{\partial D} \cdot \frac{\partial D}{\partial a_{31}} \end{aligned}$$

und führt die so erhaltenen Werthe in die ersten drei Gleichungen (15) ein, so erhält man sofort bei Berücksichtigung von (31), (37) und (33) wiederum die früheren Werthe (35) von  $X_x$ ,  $X_y$ ,  $X_z$  und analog die übrigen Spannungscomponenten.

Ist also die Potentialfunction  $f$  als Function der in Folge der Gleichungen  $a = 1 + \lambda_1$ ,  $b = 1 + \lambda_2$ ,  $c = 1 + \lambda_3$  bloss von den Hauptdilatationen  $\lambda_1, \lambda_2, \lambda_3$  abhängigen Grössen (28), nämlich der Grössen  $\sigma = a^2 + b^2 + c^2 - 3$ ,  $s = b^2c^2 + c^2a^2 + a^2b^2 - 3$ ,  $A = D^2 = a^2b^2c^2$  gegeben, so sind nach (35) und (36) sämmtliche den drei willkürlichen Coordinatenebenen zugehörigen Spannungscomponenten durch die Coëfficienten der Gleichung des Ellipsoids (30) und durch die aus diesen Coëfficienten mittelst (33) leicht zu berechnenden Grössen  $A'_x \dots B'_z$  vollkommen bestimmt.



Diese Spannungen hängen daher ausser von der durch die Hauptdilatationen vollkommen bestimmten Gestalt dieses Ellipsoids auch von der relativen Lage der Haupttaxen derselben, d. i. der schliesslichen Lage der Deformationshaupttaxen  $\xi'\eta'\zeta'$  in Bezug zu den Coordinatenachsen ab.

Übrigens empfiehlt es sich, das Deformationsellipsoid (32) selbst, dessen Halbaxen  $a, b, c$  mit den letzteren Axen  $\xi'\eta'\zeta'$  gleichgerichtet sind, zur Bestimmung dieser Coëfficienten und daher auch der Spannungen zu verwenden. Bringt man nämlich die Gleichung (32) des Deformationsellipsoids (in seiner schliesslichen Lage) auf die gebräuchliche Form

$$\alpha'_x \cdot x^2 + \alpha'_y \cdot y^2 + \alpha'_z \cdot z^2 + 2\beta'_x \cdot yz + 2\beta'_y \cdot zx + 2\beta'_z \cdot xy = 1, \quad (38)$$

so ist, wie die Vergleichung mit (32) lehrt, zunächst

$$\begin{aligned} A'_x &= D^2 \cdot \alpha'_x, & A'_y &= D^2 \cdot \alpha'_y, & A'_z &= D^2 \cdot \alpha'_z \\ B'_x &= D^2 \cdot \beta'_x, & B'_y &= D^2 \cdot \beta'_y, & B'_z &= D^2 \cdot \beta'_z, \end{aligned}$$

sonach den Gleichungen (33) zufolge

$$\begin{aligned} a'_x &= D^2 \cdot [\alpha'_y \alpha'_z - \beta'^2_{xz}], & a'_y &= D^2 \cdot [\alpha'_z \alpha'_x - \beta'^2_{xy}], & a'_z &= D^2 \cdot [\alpha'_x \alpha'_y - \beta'^2_{yz}] \\ b'_x &= D^2 \cdot [\beta'_y \beta'_z - \beta'_x \alpha'_x], & b'_y &= D^2 \cdot [\beta'_z \beta'_x - \beta'_y \alpha'_y], & b'_z &= D^2 \cdot [\beta'_x \beta'_y - \beta'_z \alpha'_z], \end{aligned}$$

so dass dadurch sämtliche Coëfficienten in (35) durch die Coëfficienten der Gleichung (38) des Deformationsellipsoids bestimmt sind.

Um die Grössen der Hauptspannungen  $S_1, S_2, S_3$  zu ermitteln, hat man nur die bisher willkürlich gewählten Coordinatenachsen mit den Hauptdruckachsen, also auch mit den Axen  $\xi'\eta'\zeta'$  des Ellipsoids (30) oder (38) zu identificiren, also  $a'_x = a^2 = (1 + \lambda_1)^2$ ,  $a'_y = b^2 = (1 + \lambda_2)^2$ ,  $a'_z = c^2 = (1 + \lambda_3)^2$ ,  $b'_x = b'_y = b'_z = 0$  zu setzen, wodurch nach (33)  $A'_x = b^2 c^2$ ,  $A'_y = c^2 a^2$ ,  $A'_z = a^2 b^2$ ,  $B'_x = B'_y = B'_z = 0$  wird. Demgemäss ergibt sich aus (36)

$$\left. \begin{aligned} S_1 &= \frac{\partial f}{\partial \nu} + 2 \frac{(1 + \lambda_1)^2}{1 + \nu} \cdot \frac{\partial f}{\partial \sigma} + 2 \cdot (1 + \lambda_1)^2 \frac{(1 + \lambda_2)^2 + (1 + \lambda_3)^2}{1 + \nu} \cdot \frac{\partial f}{\partial s} \\ S_2 &= \frac{\partial f}{\partial \nu} + 2 \frac{(1 + \lambda_2)^2}{1 + \nu} \cdot \frac{\partial f}{\partial \sigma} + 2 \cdot (1 + \lambda_2)^2 \frac{(1 + \lambda_3)^2 + (1 + \lambda_1)^2}{1 + \nu} \cdot \frac{\partial f}{\partial s} \\ S_3 &= \frac{\partial f}{\partial \nu} + 2 \frac{(1 + \lambda_3)^2}{1 + \nu} \cdot \frac{\partial f}{\partial \sigma} + 2 \cdot (1 + \lambda_3)^2 \frac{(1 + \lambda_1)^2 + (1 + \lambda_2)^2}{1 + \nu} \cdot \frac{\partial f}{\partial s} \end{aligned} \right\} \quad (39)$$

wo nach (10)  $1 + \nu = (1 + \lambda_1)(1 + \lambda_2)(1 + \lambda_3)$  ist.

Aus diesen Gleichungen ist zu ersehen, dass bei isotropen Körpern nicht nur die Potentialfunction  $f$ , sondern auch die Hauptdrucke lediglich von den Hauptdilatationen  $\lambda_1 \lambda_2 \lambda_3$ , beziehungsweise von den drei Grössen  $s$ ,  $\sigma$  und  $\nu$  abhängen.

Die Gleichung der die einzelnen Spannungen für die verschiedenen Raumrichtungen darstellenden Fläche (22), deren Axen  $\xi' \eta' \zeta'$  mit den Axen der Ellipsoide (38), (32), (30) gleichgerichtet sind, nimmt für isotrope Substanzen, wie die Substitution von (35) in (22) lehrt, und wofern kürzshalber durch  $u'$  und  $U'$  die Summen

$$\begin{aligned} u' &= a'_x \cdot x^2 + a'_y \cdot y^2 + a'_z \cdot z^2 + 2b'_x \cdot yz + 2b'_y \cdot zx + 2b'_z \cdot xy \\ U' &= A'_x \cdot x^2 + A'_y \cdot y^2 + A'_z \cdot z^2 + 2B'_x \cdot yz + 2B'_y \cdot zx + 2B'_z \cdot xy \end{aligned}$$

bezeichnet werden, folgende Gestalt an:

$$\left[ D \cdot \frac{\partial f}{\partial D} + 2(s+3) \frac{\partial f}{\partial s} \right] (x^2 + y^2 + z^2) + 2u' \cdot \frac{\partial f}{\partial \sigma} - 2U' \cdot \frac{\partial f}{\partial s} = k \cdot D.$$

Durch  $A_1$  sei die vor der betrachteten Deformation stattfindende Normalspannung bezeichnet, die wegen der im ursprünglichen Zustande vorausgesetzten Isotropie nach allen Raumrichtungen dieselbe sein muss und die ebenso wie  $X_x Y_y Z_z$  positiv oder negativ in Rechnung gebracht sei, je nachdem dieselbe eine Druckspannung oder eine Zugspannung ist. Da nun im primitiven Zustande  $\lambda_1 = \lambda_2 = \lambda_3 = \nu = 0$  zu setzen ist, so ist zufolge (39), wenn durch  $\left(\frac{\partial f}{\partial \nu}\right)_0$ ,  $\left(\frac{\partial f}{\partial \sigma}\right)_0$ ,  $\left(\frac{\partial f}{\partial s}\right)_0$  die für diesen Zustand bestehenden Werthe der betreffenden Differentialquotienten bezeichnet werden,

$$A_1 = \left(\frac{\partial f}{\partial \nu}\right)_0 + 2 \left(\frac{\partial f}{\partial \sigma}\right)_0 + 4 \left(\frac{\partial f}{\partial s}\right)_0, \quad (40)$$

so dass die durch die Deformation allein hervorgerufene Spannung die Componenten  $(X_x - A_1)$ ,  $(Y_y - A_1)$ ,  $(Z_z - A_1)$ ,  $Y_z$ ,  $Z_x$ ,  $X_y$  hat.

Beschränkt man sich bei der Potentialfunction  $f$  auf Glieder, die bezüglich der Verschiebungsderivationen  $\frac{\partial \xi}{\partial x}$ ,  $\frac{\partial \eta}{\partial x}$ , ... ,

also auch zufolge (28), (5), (3) und (2) bezüglich  $\sigma$ ,  $s$  und  $\nu$  von nicht höherer Ordnung sind als der dritten, so kann  $f$  stets in folgender Form dargestellt werden:

$$f = A_0 + a_1 \nu + a_2 \nu^2 + a_3 \nu^3 + b_1 \sigma + b_2 \sigma^2 + c_1 s, \quad (41)$$

indem alle anderen Glieder bis zur dritten Ordnung durch  $\nu$ ,  $\nu^2$ ,  $\nu^3$ ,  $\sigma$ ,  $\sigma^2$  und  $s$  ausgedrückt werden können, da, wie die früheren Werthe von  $\nu$ ,  $s$ ,  $\sigma$  sofort lehren, bei Vernachlässigung von Gliedern höherer Ordnung als der dritten,

$$s^2 = 8\nu^2 + 8\nu^3 + 2\sigma^2, \quad \nu \cdot \sigma = \nu^2 + \frac{1}{4} \sigma^2$$

$$\nu \cdot s = 3\nu^2 + \nu^3 + \frac{1}{4} \sigma^2, \quad \sigma \cdot s = 2\nu^2 + 2\nu^3 + \frac{3}{2} \sigma^2$$

$$\frac{\sigma^3}{8} = \frac{s^3}{64} = \frac{\nu \sigma^2}{4} = \frac{\nu s^2}{16} = \frac{\nu^2 \sigma}{2} = \frac{\nu^2 s}{4} = \frac{\sigma^2 s}{16} = \frac{\sigma s^2}{32} = \frac{\nu \sigma s}{8} = \nu^3$$

ist.

Führt man nun statt der sechs Coëfficienten  $a_1 a_2 a_3 b_1 b_2 c_1$  der Gleichung (41), welche lediglich von der Art und dem Zustande der der Untersuchung zu Grunde gelegten isotropen Substanz abhängen, andere sechs Elasticitätsconstanten  $A_1$   $C_1$   $B_2$   $A'_1$   $A_{21}$  und  $B_{21}$  ein, die mit den früheren durch die Gleichungen

$$a_1 = A_1 - 2B_2 + B_{21} - A_{21}$$

$$a_2 = \frac{1}{2} (C_1 - A_1 + 2B_2 - B_{21} - A_{21})$$

$$a_3 = A'_1 - B_{21}$$

$$b_1 = \frac{1}{2} (2B_2 + B_{21} - A_{21})$$

$$b_2 = \frac{1}{4} B_{21}$$

$$c_1 = \frac{1}{2} (A_{21} - B_{21})$$

zusammenhängen, so ergeben sich auf Grund der früheren Werthe von  $D = 1 + \nu$ ,  $\sigma$ ,  $s$  u. s. w. und der Gleichungen (35) und (36) nach einer einfachen Rechnung und wofern man bei der Berechnung von  $f$  von Gliedern, die von höherer Ordnung

als der dritten und bei der Berechnung der Spannungscom-  
ponenten von Gliedern, die von höherer Ordnung als der  
zweiten sind, absieht und kürzshalber  $a_{23} + a_{32} = \mu_x + \nu_x = \varepsilon_x$ ,  
 $a_{31} + a_{13} = \mu_y + \nu_y = \varepsilon_y$ ,  $a_{12} + a_{21} = \mu_z + \nu_z = \varepsilon_z$  setzt, folgende  
Gleichungen:<sup>1</sup>

$$\begin{aligned}
 f = & A_0 + A_1(\lambda_x + \lambda_y + \lambda_z) + \frac{C_1 - A_1}{2} \cdot (\lambda_x + \lambda_y + \lambda_z)^2 \\
 & + A_1(\lambda_y \lambda_z + \lambda_z \lambda_x + \lambda_x \lambda_y - \mu_x \nu_x - \mu_y \nu_y - \mu_z \nu_z) \\
 & + 2B_2[\lambda_x^2 + \lambda_y^2 + \lambda_z^2 + \frac{1}{2}(\varepsilon_x^2 + \varepsilon_y^2 + \varepsilon_z^2)] \\
 & + A'_1(\lambda_x + \lambda_y + \lambda_z)^3 \\
 & + (A_1 - 2B_2)[-(\lambda_y + \lambda_z)(\lambda_z + \lambda_x)(\lambda_x + \lambda_y) + \mu_x \mu_y \mu_z + \\
 & + \nu_x \nu_y \nu_z + \mu_x \nu_x(\lambda_y + \lambda_z) + \mu_y \nu_y(\lambda_z + \lambda_x) + \mu_z \nu_z(\lambda_x + \lambda_y)] \\
 & + C_1(\lambda_x + \lambda_y + \lambda_z)(\lambda_y \lambda_z + \lambda_z \lambda_x + \lambda_x \lambda_y - \mu_x \nu_x - \mu_y \nu_y - \mu_z \nu_z) \\
 & + A_{21}(\lambda_x \varepsilon_x^2 + \lambda_y \varepsilon_y^2 + \lambda_z \varepsilon_z^2 - \varepsilon_x \varepsilon_y \varepsilon_z - 4\lambda_x \lambda_y \lambda_z) \\
 & + B_{21}[(\lambda_y + \lambda_z)\varepsilon_x^2 + (\lambda_z + \lambda_x)\varepsilon_y^2 + (\lambda_x + \lambda_y)\varepsilon_z^2 \\
 & + \varepsilon_x \varepsilon_y \varepsilon_z - 4(\lambda_y + \lambda_z)(\lambda_z + \lambda_x)(\lambda_x + \lambda_y)]
 \end{aligned} \quad (42)$$

$$\begin{aligned}
 X_x = & A_1 + 4B_2\lambda_x + (C_1 - A_1)(\lambda_x + \lambda_y + \lambda_z) \\
 & + (3A'_1 - 4B_{21})(\lambda_x + \lambda_y + \lambda_z)^2 + 2B_2[(\lambda_y + \lambda_z)^2 + \nu_y^2 + \mu_y^2] \\
 & + (C_1 - A_1)(\lambda_y \lambda_z + \lambda_z \lambda_x + \lambda_x \lambda_y - \mu_x \nu_x - \mu_y \nu_y - \mu_z \nu_z) \\
 & - A_{21}(4\lambda_y \lambda_z - \varepsilon_x^2) + B_{21}(4\lambda_x^2 + \varepsilon_z^2 + \varepsilon_y^2) \\
 Y_z = & 2B_2 \cdot \varepsilon_x + 2B_2[\mu_z \nu_y - (\lambda_z + \lambda_x) \cdot \mu_x - \nu_x(\lambda_x + \lambda_y)] \\
 & - A_{21}(\varepsilon_y \varepsilon_z - 2\lambda_x \varepsilon_x) + B_{21}[\varepsilon_y \varepsilon_z + 2(\lambda_y + \lambda_z)\varepsilon_x]
 \end{aligned} \quad (43)$$

Die übrigen Spannungscomponenten ergeben sich durch  
cyclische Permutation.

Besonders einfach gestalten sich die allgemeinen Glei-  
chungen (35), wenn die Deformation der isotropen Substanz  
eine andauernd reine ist, d. i. von keiner Rotation des be-  
trachteten Körperelementes begleitet ist. Da bei einer solchen  
Deformation bekanntlich die Grunddeterminante (5) andauernd  
eine symmetrische, also  $a_{23} = a_{32}$ ,  $a_{31} = a_{13}$ ,  $a_{12} = a_{21}$ , d. h.

<sup>1</sup> Dieselben Gleichungen wurden vom Verfasser auch auf einem ganz  
anderen Wege abgeleitet. Siehe Finger, diese Sitzungsber., 1894, S. 189  
und 192.

$\frac{\partial \eta}{\partial z} = \frac{\partial \zeta}{\partial y}, \frac{\partial \zeta}{\partial x} = \frac{\partial \xi}{\partial z}, \frac{\partial \xi}{\partial y} = \frac{\partial \eta}{\partial x}$  ist, so besteht eine Function  $F$  von  $xyz$  — das Deformationspotential — das so beschaffen ist, dass  $\xi = \frac{\partial F}{\partial x}, \eta = \frac{\partial F}{\partial y}, \zeta = \frac{\partial F}{\partial z}$ . Es ist dann die Bewegung des Körperelementes eine sogenannte Potentialbewegung, welcher ein Geschwindigkeitspotential zukommt. In diesem Falle sind die Flächen (8) und (9) identisch. Die den letzteren Flächen subjungirte Fläche, deren mit den Hauptdruckaxen gleichgerichtete Halbachsen den Quadratwurzeln der Halbachsen der Flächen (8) und (9) gleich sind, also die Längen  $\sqrt{\frac{1}{1+\lambda_1}} = \frac{1}{\sqrt{a}}, \sqrt{\frac{1}{1+\lambda_2}} = \frac{1}{\sqrt{b}}, \sqrt{\frac{1}{1+\lambda_3}} = \frac{1}{\sqrt{c}}$  haben, hat in diesem Falle die Gleichung<sup>1</sup>

$$a_{11}x^2 + a_{22}y^2 + a_{33}z^2 + 2a_{23}yz + 2a_{31}zx + 2a_{12}xy = \pm 1,$$

und es ist sonach, wenn durch  $\delta, \varepsilon$  die Summen  $a+b+c-3$   $bc+ca+ab-3$  bezeichnet werden

$$\left. \begin{aligned} \delta &= a+b+c-3 = \lambda_1 + \lambda_2 + \lambda_3 = a_{11} + a_{22} + a_{33} - 3 \\ \varepsilon &= bc+ca+ab-3 = A_{11} + A_{22} + A_{33} - 3 = \\ &= a_{22}a_{33} + a_{33}a_{11} + a_{11}a_{22} - a_{23}a_{32} - a_{31}a_{13} - a_{12}a_{21} - 3 \\ \nu &= abc-1 = a_{11}a_{22}a_{33} + a_{23}a_{31}a_{12} + a_{21}a_{13}a_{32} - \\ &\quad - a_{11}a_{23}a_{32} - a_{22}a_{31}a_{13} - a_{33}a_{12}a_{21} - 1 \end{aligned} \right\} \quad (44)$$

wo  $a_{23} = a_{32}, a_{31} = a_{13}, a_{12} = a_{21}$  zu setzen ist.

Da nun den Gleichungen (28) und den letzteren Gleichungen gemäss

$$\left. \begin{aligned} \sigma &= \delta^2 + 6\delta - 2\varepsilon \\ s &= \varepsilon^2 + 6\varepsilon - 2\delta - 6\nu - 2\delta\nu \end{aligned} \right\} \quad (45)$$

ist, so kann die Potentialfunction  $f$  statt als eine Function  $f(s, \sigma, \nu)$  der Variablen  $s, \sigma$  und  $\nu$  auch als Function  $\varphi(\delta, \varepsilon, \nu)$  der drei Variablen  $\delta, \varepsilon$  und der cubischen Dilatation  $\nu$ , deren Werthe bei reinen Deformationen nach (44) aus den Verschiebungsderivationen (2) unmittelbar bestimmbar sind, angesehen werden.

<sup>1</sup> Siehe Finger, W. S. 1892, S. 1118 und 1119.

Nebenbei sei bemerkt, dass bei reinen Deformationen (aber nur bei diesen) die Potentialfunction auch als Function der drei Grössen

$$\delta = \lambda_x + \lambda_y + \lambda_z$$

$$\eta = \lambda_y \lambda_z + \lambda_z \lambda_x + \lambda_x \lambda_y - \mu_x \nu_x - \mu_y \nu_y - \mu_z \nu_z$$

$$\zeta = \lambda_x \lambda_y \lambda_z + \mu_x \mu_y \mu_z + \nu_x \nu_y \nu_z - \lambda_x \mu_x \nu_x - \lambda_y \mu_y \nu_y - \lambda_z \mu_z \nu_z$$

wo  $\mu_x = \nu_x$ ,  $\mu_y = \nu_y$  und  $\mu_z = \nu_z$  ist, betrachtet werden kann,<sup>1</sup> indem nach (44)  $\varepsilon = 2\delta + \eta$ ,  $\nu = \delta + \eta + \zeta$ , ferner (jedoch nur) in diesem Falle auch  $\delta = \lambda_1 + \lambda_2 + \lambda_3$ ,  $\eta = \lambda_2 \lambda_3 + \lambda_3 \lambda_1 + \lambda_1 \lambda_2$ ,  $\zeta = \lambda_1 \lambda_2 \lambda_3$  ist; oder es kann  $f$  etwa auch als Function von  $\nu$ ,  $\eta$  und  $\zeta$  angenommen werden — es ist jedoch behufs Vereinfachung der Formeln für die Spannungscomponenten empfehlenswerther, die Potentialfunction im vorliegenden Falle als eine Function von  $\delta$ ,  $\varepsilon$  und  $\nu$  anzusehen. Es ist nämlich, wenn man die Potentialfunction  $f$  nunmehr durch  $\varphi$  bezeichnet, zufolge (44) und da auch  $A_{21} = A_{12}$  u. s. w. ist

$$\begin{aligned} \frac{\partial \varphi}{\partial a_{11}} &= \frac{\partial \varphi}{\partial \delta} + \frac{\partial \varphi}{\partial \varepsilon} (a_{22} + a_{33}) + \frac{\partial \varphi}{\partial \nu} A_{11} = \frac{\partial \varphi}{\partial \delta} + \\ &\quad + \frac{\partial \varphi}{\partial \varepsilon} (3 + \delta) - a_{11} \frac{\partial \varphi}{\partial \varepsilon} + A_{11} \frac{\partial \varphi}{\partial \nu} \\ \frac{\partial \varphi}{\partial a_{21}} &= -a_{12} \frac{\partial \varphi}{\partial \varepsilon} + A_{21} \frac{\partial \varphi}{\partial \nu} \\ \frac{\partial \varphi}{\partial a_{31}} &= -a_{13} \frac{\partial \varphi}{\partial \varepsilon} + A_{31} \frac{\partial \varphi}{\partial \nu} \end{aligned}$$

sonach den Gleichungen (15), (5) und (3) zufolge

$$\left. \begin{aligned} D.X_x &= a_{11} \cdot \left[ \frac{\partial \varphi}{\partial \delta} + \frac{\partial \varphi}{\partial \varepsilon} (3 + \delta) \right] - a_x \cdot \frac{\partial \varphi}{\partial \varepsilon} + D \cdot \frac{\partial \varphi}{\partial \nu} \\ D.X_y &= a_{12} \cdot \left[ \frac{\partial \varphi}{\partial \delta} + \frac{\partial \varphi}{\partial \varepsilon} (3 + \delta) \right] - b_x \cdot \frac{\partial \varphi}{\partial \varepsilon} \\ D.X_z &= a_{13} \cdot \left[ \frac{\partial \varphi}{\partial \delta} + \frac{\partial \varphi}{\partial \varepsilon} (3 + \delta) \right] - b_y \cdot \frac{\partial \varphi}{\partial \varepsilon} \end{aligned} \right\} \quad (46)$$

<sup>1</sup> Siehe George Green, Mathematical Papers (London 1871, Appendix, p. 332. W. Voigt, Über eine anscheinend nothwendige Erweiterung der Theorie der Elasticität. Wiedemann's Annalen 1894, Bd. 52, S. 538.

und analog lauten auch die anderen Gleichungen. Man kann übrigens diese Gleichungen in einfacherer Form darstellen. Es ist nämlich

$$\begin{aligned} a_{11}(3+\delta)-a_x &= a_{11}(a_{11}+a_{22}+a_{33})-a_{11}^2-a_{12}^2-a_{13}^2 = \\ &= (a_{33}a_{11}-a_{31}a_{13})+(a_{11}a_{22}-a_{12}a_{21})=A_{22}+A_{33}=\varepsilon+3-A_{11} \\ a_{12}(3+\delta)-b_z &= a_{12}(a_{11}+a_{22}+a_{33})-a_{11}a_{21}-a_{12}a_{22}-a_{13}a_{23} = \\ &= -(a_{23}a_{31}-a_{21}a_{33})=-A_{12} \\ a_{13}(3+\delta)-b_y &= a_{13}(a_{11}+a_{22}+a_{33})-a_{31}a_{11}-a_{32}a_{12}-a_{33}a_{13} = \\ &= -(a_{21}a_{32}-a_{22}a_{31})=-A_{13} \end{aligned}$$

so dass nach (46) und den diesen analogen Gleichungen sich für alle Potentialbewegungen isotroper Substanzen folgende allgemein gültige Werthe der Spannungscomponenten ergeben:

$$\left. \begin{aligned} X_x &= \frac{\partial \varphi}{\partial v} + \frac{3+\varepsilon}{1+\nu} \cdot \frac{\partial \varphi}{\partial \varepsilon} + \frac{a_{11}}{1+\nu} \cdot \frac{\partial \varphi}{\partial \delta} - \frac{A_{11}}{1+\nu} \cdot \frac{\partial \varphi}{\partial \varepsilon} \\ Y_y &= \frac{\partial \varphi}{\partial v} + \frac{3+\varepsilon}{1+\nu} \cdot \frac{\partial \varphi}{\partial \varepsilon} + \frac{a_{22}}{1+\nu} \cdot \frac{\partial \varphi}{\partial \delta} - \frac{A_{22}}{1+\nu} \cdot \frac{\partial \varphi}{\partial \varepsilon} \\ Z_z &= \frac{\partial \varphi}{\partial v} + \frac{3+\varepsilon}{1+\nu} \cdot \frac{\partial \varphi}{\partial \varepsilon} + \frac{a_{33}}{1+\nu} \cdot \frac{\partial \varphi}{\partial \delta} - \frac{A_{33}}{1+\nu} \cdot \frac{\partial \varphi}{\partial \varepsilon} \\ Y_z &= \frac{a_{23}}{1+\nu} \cdot \frac{\partial \varphi}{\partial \delta} - \frac{A_{23}}{1+\nu} \cdot \frac{\partial \varphi}{\partial \varepsilon} = Z_y \\ Z_x &= \frac{a_{31}}{1+\nu} \cdot \frac{\partial \varphi}{\partial \delta} - \frac{A_{31}}{1+\nu} \cdot \frac{\partial \varphi}{\partial \varepsilon} = X_z \\ X_y &= \frac{a_{12}}{1+\nu} \cdot \frac{\partial \varphi}{\partial \delta} - \frac{A_{12}}{1+\nu} \cdot \frac{\partial \varphi}{\partial \varepsilon} = Y_x \end{aligned} \right\} \quad (47)$$

Dieselben Gleichungen lassen sich übrigens leicht auch aus (35) und (36) ableiten, wofern man die aus der Gleichung  $f(\sigma, s, \nu) = \varphi(\delta, \varepsilon, \nu)$  und den Gleichungen (45) zu folgernden Relationen

$$\begin{aligned} \frac{\partial \varphi}{\partial \delta} &= \frac{\partial f}{\partial \sigma} \cdot \frac{\partial \sigma}{\partial \delta} + \frac{\partial f}{\partial s} \cdot \frac{\partial s}{\partial \delta} = \frac{\partial f}{\partial \sigma} \cdot (2\delta+6) + \frac{\partial f}{\partial s} \cdot (-2-2\nu) \\ \frac{\partial \varphi}{\partial \varepsilon} &= \frac{\partial f}{\partial \sigma} \cdot \frac{\partial \sigma}{\partial \varepsilon} + \frac{\partial f}{\partial s} \cdot \frac{\partial s}{\partial \varepsilon} = \frac{\partial f}{\partial \sigma} \cdot (-2) + \frac{\partial f}{\partial s} \cdot (2\varepsilon+6) \\ \frac{\partial \varphi}{\partial \nu} &= \frac{\partial f}{\partial \sigma} \cdot \frac{\partial \sigma}{\partial \nu} + \frac{\partial f}{\partial s} \cdot \frac{\partial s}{\partial \nu} = \frac{\partial f}{\partial \sigma} \cdot (-6-2\delta) + \frac{\partial f}{\partial \nu} \end{aligned}$$

in Anwendung bringt.

SITZUNGSBERICHTE  
DER  
KAISERLICHEN AKADEMIE DER WISSENSCHAFTEN.

MATHEMATISCH - NATURWISSENSCHAFTLICHE CLASSE.

CIII. BAND. X. HEFT.

ABTHEILUNG II. a.

ENTHÄLT DIE ABHANDLUNGEN AUS DEM GEBIETE DER MATHEMATIK, ASTRONOMIE,  
PHYSIK, METEOROLOGIE UND DER MECHANIK.





XXVI. SITZUNG VOM 6. DECEMBER 1894.

---

Der Vorsitzende, Herr Vicepräsident Prof. E. Suess, gedenkt des Verlustes, welchen die kaiserliche Akademie und speciell diese Classe durch das am 30. November l. J. erfolgte Ableben ihres wirklichen Mitgliedes Sr. Excellenz des Herrn geheimen Rathes Dr. Cajetan Freiherrn von Felder in Wien erlitten hat.

Die anwesenden Mitglieder geben ihrem Beileide über diesen Verlust durch Erheben von den Sitzen Ausdruck.

Das c. M. Herr Prof. G. Goldschmiedt übersendet zwei Arbeiten aus dem chemischen Laboratorium der k. k. deutschen Universität in Prag:

1. »Bildung von Propyltartronsäuren aus den Dibutyryldicyaniden«, von Prof. Karl Brunner.
2. »Über das Verhalten der Kalksalze einiger aromatischer Äthersäuren bei der trockenen Destillation«, von stud. phil. Eduard Hübner.

Herr Gejza v. Bukowski in Wien übersendet eine vorläufige Notiz über den zweiten abschliessenden Theil seiner Arbeit: »Die levantinische Molluskenfauna der Insel Rhodus«.

Das w. M. Herr Hofrath Prof. Ad. Lieben überreicht eine in seinem Laboratorium ausgeführte Arbeit: »Über den Phenyläther des Glycolaldehyds«, von Dr. C. Pomeranz.

---

**Selbständige Werke oder neue, der Akademie bisher nicht  
zugekommene Periodica sind eingelangt:**

Foreau de Courmelles, V. De la vaginite et de son traitement. Paris, 1888; 8°. — Le magnétisme devant la loi. Paris, 1890; 8°. — Précis d'électricité médicale. Technique opératoire des applications médicales. Paris, 1892; 8°. — Revue illustrée de polитеchnique médicale et chirurgicale. Paris, No. 7, 1892; No. 3, 4, 6, 9, 1893; 8°.

---

## XXVII. SITZUNG VOM 13. DECEMBER 1894.

---

Der Secretär legt den 61. Band (Jahrgang 1894) der Denkschriften, ferner die aus denselben veranstaltete Collectiv-Ausgabe der Berichte der Commission für Erforschung des östlichen Mittelmeeres (III. Reise) vor.

Herr Prof. Dr. Anton Fritsch in Prag übermittelt die Pflichtexemplare des III. Heftes zum III. Bande (in der Reihe Heft XI) seines mit Unterstützung der kaiserlichen Akademie herausgegebenen Werkes: »Fauna der Gaskohle und der Kalksteine der Permformation Böhmens«. *Paleoniscidae*. I. (Mit Taf. 113—122.)

Das w. M. Herr Hofrath Prof. J. Wiesner übersendet eine Abhandlung von Dr. Julius Pohl, Privatdocent an der k. k. deutschen Universität in Prag: »Über Variationsweite der *Oenothera Lamarckiana*«.

Das w. M. Herr Prof. L. Pfaundler übersendet eine Abhandlung des Herrn Dr. P. Czermak in Graz: »Über die Temperaturvertheilung längs eines dünnen Drahtes, der von einem constanten Strome durchflossen wird«.

Das c. M. Herr Prof. Zd. H. Skraup übersendet folgende zwei Arbeiten aus dem chemischen Institute der k. k. Universität in Graz:

1. »Über die Affinität einiger Basen in alkoholischer Lösung«, von Prof. Zd. H. Skraup.
2. »Über das Cinchotenin«, von Dr. Florian Ratz.

Das c. M. Herr Prof. G. Goldschmiedt übersendet folgende zwei Arbeiten aus dem chemischen Laboratorium der k. k. deutschen Universität in Prag:

1. »Über das Verhalten des äthylglycolsauren Kal-  
kes bei der trockenen Destillation«, von Dr. Wil-  
helm Heinrich Gintl.
2. »Über ein Cyanid und eine Carbonsäure des Iso-  
chinolins«, von stud. phil. Berthold Jeiteles.

Der Secretär legt eine von Herrn Victor Lutschaunig, Professor der Schiffbaukunde an der k. k. Akademie für Handel und Nautik in Triest, eingesendete Abhandlung vor, betitelt: »Der Mittelpunkt des hydrostatischen Auftriebes«.

Das w. M. Herr Intendant Hofrath F. Ritter v. Hauer über-  
reicht eine Abhandlung des c. M. Herrn Director Th. Fuchs  
in Wien: »Über die Natur und Entstehung der Stylo-  
lithen«.

Das c. M. Herr Hofrath Prof. L. Boltzmann in Wien  
überreicht eine vorläufige Mittheilung über eine von ihm  
und Herrn G. H. Bryan ausgeführte Arbeit: »Über eine  
mechanische Analogie des Wärmegleichgewichtes  
zweier sich berührender Körper«.

Herr Dr. Carl Graf Attems in Wien überreicht eine  
Abhandlung unter dem Titel: »Die Myriopoden Steier-  
marks«.

Schliesslich spricht Herr Vicepräsident Prof. E. Suess  
über den Mond und seine geologische Beschaffenheit.

**Selbständige Werke oder neue, der Akademie bisher nicht  
zugekommene Periodica sind eingelangt:**

Lutschaunig, V., Die Definitionen und Fundamentalsätze der  
Theorie des Gleichgewichtes schwimmender Körper. Eine  
kritische Besprechung der Stabilitätstheorie der Schiffe.  
(Mit 11 Tafeln.) Triest, 1894; 8°.

---

# Über die Temperaturvertheilung längs eines dünnen Drahtes, der von einem constanten Strome durchflossen wird

von

**Dr. P. Czermak,**

*Privatdocent in Graz.*

(Mit 1 Tafel und 1 Textfigur.)

## **Zweck der Untersuchung.**

Bei physikalischen Arbeiten kommt nicht selten das Bedürfniss vor, die Vertheilung der Temperatur in dünnen Drähten zu kennen, die an den Enden durch Verbindung mit gut leitenden dicken Zuleitungen auf constanter Temperatur erhalten und der Erwärmung durch einen elektrischen Strom ausgesetzt sind. Hängt ja doch der Widerstand eines so ausgespannten Drahtes von dieser Temperaturvertheilung ab. Von Glühversuchen mit dünnen Platindrähten her ist man gewohnt anzunehmen, dass nur die unmittelbar an den Enden gelegenen Theile des Drahtes schwächer oder gar nicht erheblich erwärmt werden, während man aus dem gleichmässig hellen Leuchten des übrigen Drahtes auf constante Temperaturerhöhung desselben schliesst. Genauere Versuche mit schwach erwärmten Drähten lassen aber erkennen, dass sich der abkühlende Einfluss der Zuleitungen viel weiter erstreckt, so dass man überrascht ist, wie lange man den Draht nehmen muss, um überhaupt noch in der Mitte desselben eine Strecke constanter Temperatur vorzufinden.

Zweck dieser Untersuchung ist es nun den genauen Verlauf der Temperaturen insbesondere bei sehr dünnen Drähten experimentell festzustellen, da bisher meist nur relativ dicke Stangen untersucht wurden. Die dünnen Drähte bieten dabei

den Vortheil, dass sie ungemein rasch den stationären Zustand annehmen.

Die an dünnen Drähten verschiedenen Materiales erhaltenen Daten sollen dann mit der Theorie verglichen und berechnet werden.

### Methode.

Dieselbe stimmt im Wesentlichen mit der von J. Klemenčič<sup>1</sup> überein, welche derselbe an Drähten, die durch elektrische Oscillationen oder durch constante Ströme erwärmt wurden, mit Erfolg angewendet hat. Ein sehr dünnes Thermoelement wird sehr nahe und senkrecht zu dem zu untersuchenden Drahte angebracht und durch die strahlende Wärme des letzteren mit erwärmt, ohne dass dasselbe durch directe Ableitung eine Störung des Temperaturverlaufes verursachen kann. Der durch das Thermoelement erzeugte Scalenausschlag gilt als Mass der Temperaturerhöhung des stromdurchflossenen Drahtes.

### Der Apparat.

Die zu untersuchenden Drähte, welche alle durch dasselbe Zieheisen bis auf 0.2 *mm* Durchmesser ausgezogen waren, wurden zuerst an durchbohrte viereckige Kupferplättchen gelöthet und mit diesen in die 1 *cm* dicken Kupferstangen *K*, *K*, (siehe Tafel) eingespannt. Die Kupferstangen selbst waren in massive Messinglager geklemmt, welche gestatteten die Lage des Drahtes etwas zu corrigiren. An diese Lager waren die Zuleitungen für den constanten Strom angelöthet, welcher den Draht zu erwärmen hatte und der von einem Accumulator *A* und einem Widerstande *W* auf der gewünschten Stärke erhalten wurde.

Das Thermoelement war zwischen den 3 *mm* dicken Kupferdrahtenden *a b* ausgespannt und dessen Löthstelle so nahe als möglich an den Draht herangeführt, ohne aber denselben zu berühren. Es war auf einen mit Blei ausgegossenen Holzklotz *C* montirt, welcher mit zwei metallenen Gleitstücken 1, 2 auf einer abgedrehten Messingstange *M* und einer Schraube 3

<sup>1</sup> Diese Sitzungsber. Bd. 101, 1892; Bd. 102, 1893; Bd. 103, 1894.

auf einer Spiegelglasplatte  $G$  parallel zu dem Drahte geführt werden konnte.

Der Abstand des Thermoelementes vom Drahte konnte durch Heben und Senken an der Schraube 3 regulirt werden und ausserdem war das Element noch in der Richtung  $a\ b$  verschiebbar, so dass man die Löthstelle stets genau unter den Draht stellen konnte.

Der ganze Klotz wurde durch eine lange Schraube  $S$  von Aussen weitergeschoben. Der Kopf der Schraube war in 100 Theile getheilt und ging neben einer Theilung  $T$  für die ganzen Umgänge. Das conisch abgerundete andere Ende der Schraube drückte gegen ein Spiegelglasstück  $s$ , welches auf den Klotz gekittet war.

So konnte der Klotz nach einer Richtung geschoben werden und für den Rückweg wurde er einfach durch eine Schnur nachgezogen. Die beiden Enden der dicken Kupferdrähte, an welche das Thermoelement gelöthet war, standen mit einem Galvanometer von Carpentier in Verbindung, und zwar ging die eine Zuleitung durch die Messingstange  $M$  über die Gleitstellen 1 und 2 zu dem Punkte  $b$  und vom Punkte  $a$  tauchte der dicke Draht in eine Quecksilberrinne  $R$ , die zum Galvanometer zurückführte.

Über den ganzen Apparat war natürlich ein Pappdeckelkasten gestürzt, der ganz mit Watte ausgekleidet war, um alle störenden Einflüsse der Strahlung und der Luftströmungen abzuhalten. Obwohl der von mir selbst angefertigte Apparat wohl nicht auf die grösste Präcision Anspruch machen konnte, zeigten trotzdem die erhaltenen Resultate eine grosse Regelmässigkeit und Übereinstimmung mit der Rechnung, die sich mit einem präciser construirten Apparate noch weiter steigern liesse.

Der schwierigste Punkt bei dieser Beobachtungsweise ist wohl die Bedingung, dass die Löthstelle des Thermoelementes immer parallel und in constantem Abstände vom Drahte geführt wird. Eigens dazu angestellte Versuche zeigten aber, dass die Empfindlichkeit für kleinere Änderungen des Abstandes nicht sehr gross ist, so dass es genügte, die Einhaltung dieser Bedingungen an dem vorliegenden Apparate nur nach dem Augenmaasse vorzunehmen.



Die grösste Drahtlänge, welche eingespannt werden konnte, betrug gegen 18 *cm* und erwies sich dies schon für das Kupfer kaum mehr hinreichend, für Silber war dieselbe entschieden zu gering.

Die Versuche wurden nun in folgender Weise gemacht. Nachdem der Draht eingespannt und justirt war, wurde der Strom so regulirt, dass das Galvanometer, wenn sich das Thermoelement an der Mitte des Drahtes befand, einen Ausschlag von ungefähr 120—150 Scalentheilen gab. Dies entsprach einer Erwärmung des Drahtes von rund 0·1—0·2 Graden und waren die dazu erforderlichen Stromstärken je nach dem untersuchten Materiale zwischen 0·1 und 0·01 Ampère gelegen.

Man sieht also, dass man auf diese Art im Stande ist, den Temperaturverlauf bei einem minimalen Unterschiede gegen die Umgebungstemperatur zu ermitteln. Wäre der Apparat etwas anders construirt, so wäre es nicht schwierig, die Verhältnisse der äusseren und inneren Wärmeleitungsconstanten der verschiedenen Materialien untereinander für bestimmte Temperaturen, ja sogar deren absolute Grössen zu bestimmen. Eine solche Empfindlichkeit wird wohl mit keiner anderen bisherigen Methode erreichbar sein.

Bezüglich der Erwärmung ist noch anzuführen, dass es leider nicht anging, den Strom zu schliessen und dann dem Drahte entlang das Temperaturgefälle abzusuchen. In der Galvanometerleitung war stets ein so grosser constanter Thermostrom, dass die Leitung geschlossen bleiben und die Ablenkung durch einen Magnet compensirt werden musste. Da die Schwingungsdauer der Galvanometernadel gegen 15 Secunden betrug, so wurde einfach der Erwärmungsstrom an jeder neuen Stelle durch 10 Secunden lang geschlossen und der Ausschlag beobachtet. Controlversuche ergaben, dass in dieser Zeit der stationäre Zustand im Drahte nahezu erreicht war, so dass der Verlauf der Temperaturcurve längs des Drahtes nicht wesentlich beeinflusst sein konnte.

Um die verschiedenen Drähte untereinander leichter vergleichen zu können, wurden die Ausschläge stets so reducirt, dass in der Mitte der Werth 100 angenommen wurde. Nun

wurde das Thermoelement dem ganzen Draht entlang verschoben, und zwar stets von einem bis zum anderen Ende und wieder retour; aus den gleichweit von der Mitte abstehenden Werthen und den beim Hin- und Hergange erhaltenen wurde dann das Mittel genommen.

### Theorie und Berechnung der Versuche.

Beim Eintragen der Beobachtungen in ein Coordinatenpapier zeigte sich eine solche Regelmässigkeit in denselben, dass es der Mühe werth schien, dieselben auch mit der Theorie zu prüfen, obwohl die ganze Untersuchung mehr in qualitativer als in quantitativer Hinsicht unternommen wurde.

Die allgemeine Theorie des vorliegenden Problemes ist von J. Linde<sup>1</sup> durchgeführt worden und zwar für einen constanten Strom. In der Arbeit selbst sind zwei Fälle unterschieden: »1. die Stromstärke  $i$  ist constant, 2.  $i$  ist variabel mit der Zeit, und zwar soll  $i$  eine einfache Function der Zeit darstellen, also  $i = i_0 \sin 2\pi ut$ .«<sup>2</sup>

Da für den vorliegenden Fall nur der stationäre Zustand in Betracht kommt, wodurch sich die Rechnung wesentlich vereinfacht und die Arbeit von J. Linde weniger bekannt sein dürfte, so will ich die hier nöthigen Gleichungen direct ableiten.

Die Differentialgleichung für die Wärmebewegung in einem dünnen Stabe mit Berücksichtigung der Ausstrahlung an die Umgebung ist bekanntlich:

$$cpq \frac{\partial u}{\partial t} dx dt = \left( kq \frac{\partial^2 u}{\partial x^2} - hp u \right) dx dt.$$

Darin bedeuten  $k$  das innere Wärmeleitungsvermögen,  $h$  den Coëfficienten der äusseren Wärmeleitung,  $q$  den Querschnitt,  $p$  den Umfang,  $\rho$  die Dichte und  $c$  die specifische Wärme des Drahtes.

<sup>1</sup> »Über die Temperaturbestimmung eines Drahtes, wenn durch denselben ein galvanischer Strom fliesst« von J. Linde. Exner's Rep. Bd. 27, 1891, S. 401.

<sup>2</sup> Der zweite Fall ist aber nirgends zu finden und ist überhaupt der Abhandlung eine gewisse Flüchtigkeit nicht abzusprechen, da dieselbe auf sieben Seiten an 60 Druckfehler enthält.

Die Gleichung sagt also, dass die Wärmemenge, welche zur Temperaturerhöhung eines Drahtstückes von der Länge  $dx$ , während der Zeit  $dt$ , nothwendig ist, gleich sein muss der im Innern von  $dx$  an der einen Seite mehr eintretenden, als an der andern austretenden Wärmemenge, vermindert um die durch Strahlung nach aussen während dieser Zeit gelangenden Menge.

Durchfließt nun noch ein constanter Strom von der Stärke  $i$  den Draht, so wird in der betrachteten Zeit  $dt$  in dem Drahtstücke von der Länge  $dx$  auch noch eine Wärmemenge  $\frac{i^2 w}{Aq} dx dt$  entwickelt, wenn  $w$  den specifischen Widerstand des Drahtes und  $A$  das mechanische Wärmeäquivalent bedeutet. Ein Theil der eingetretenen Temperaturerhöhung des Drahtes wird daher auch noch von dieser Wärmemenge veranlasst werden, so dass wir für diesen Fall und nach passender Abkürzung die Gleichung erhalten:

$$cpq \frac{\partial u}{\partial t} = kq \frac{\partial^2 u}{\partial x^2} - hp u + \frac{i^2 w}{Aq}$$

oder

$$\frac{\partial u}{\partial t} = \frac{k}{cp} \frac{\partial^2 u}{\partial x^2} - \frac{hp}{cpq} u + \frac{i^2 w}{cpq^2 A}. \quad 1)$$

Für den stationären Zustand muss dann gelten:

$$0 = \frac{\partial^2 u}{\partial x^2} - \frac{hp}{kq} u + \frac{i^2 w}{kq^2 A}; \quad 2)$$

setzt man

$$u = v + \frac{i^2 w}{hpqA},$$

so bekommt die Gleichung 2) die einfachere Form

$$\frac{\partial^2 v}{\partial x^2} = \frac{hp}{kq} v, \quad 3)$$

deren Integral dann ist:

$$v = C_1 e^{\lambda x} + C_2 e^{-\lambda x},$$

wenn abkürzungsweise gesetzt wird:

$$\lambda^2 = \frac{hp}{kq}.$$

Zur Bestimmung der Constanten  $C_1$  und  $C_2$  dienen die Grenzbedingungen. Da der hier betrachtete Draht zwischen zwei sehr gut leitenden, dicken Metallbacken ausgespannt ist, so wird er erstens zu beiden Seiten seiner Mitte einen ganz symmetrischen Verlauf der Temperaturen zeigen müssen und an den beiden Enden die Temperatur der Umgebung besitzen. Nehmen wir diese als 0 an und legen den Coordinatenanfangspunkt in den einen Endpunkt des Drahtes, welcher selbst die  $x$ -Axe darstellt, so werden die Grenzbedingungen bei einer Länge des Drahtes gleich  $l$  sein:

für  $x = 0$  muss  $u = 0$  sein,

für  $x = l$  muss  $u = 0$  sein.

Daraus folgen zur Bestimmung der Constanten  $C_1$  und  $C_2$  die beiden Gleichungen

$$0 = C_1 + C_2 + M,$$

$$0 = C_1 e^{\lambda l} + C_2 e^{-\lambda l} + M,$$

welche ergeben:

$$C_1 = -M \frac{1 - e^{-\lambda l}}{e^{\lambda l} - e^{-\lambda l}};$$

$$C_2 = M \frac{1 - e^{\lambda l}}{e^{\lambda l} - e^{-\lambda l}},$$

so dass schliesslich der Ausdruck für die Temperatur die Form erhält:

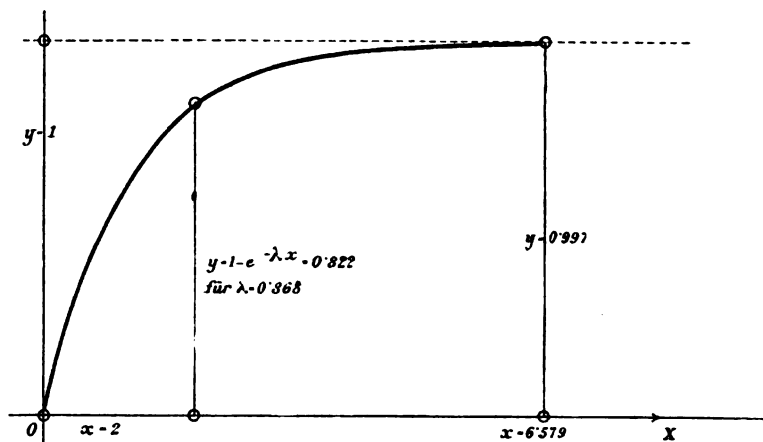
$$u = M \left[ 1 - \frac{1 - e^{-\lambda l}}{e^{\lambda l} - e^{-\lambda l}} e^{\lambda x} + \frac{1 - e^{\lambda l}}{e^{\lambda l} - e^{-\lambda l}} e^{-\lambda x} \right] \quad 4)$$

Man sieht, dass mit wachsendem  $l$  der Werth des Coëfficienten von  $e^{\lambda x}$  immer kleiner wird und der von  $e^{-\lambda x}$  sich immer mehr dem Werthe  $-1$  nähert. Für  $l = \infty$  aber folgt unmittelbar der erstere Coëfficient  $= 0$  und der zweite  $= -1$  als Grenzwert. Es erhält dann die Formel 4) die einfache Gestalt

$$u = M[1 - e^{-\lambda x}] \quad \text{für } l = \infty. \quad 5)$$

Es ist dies die Gleichung einer Curve, welche ziemlich rasch, je nach dem Werthe von  $\lambda$ , ansteigt und sich dann asymptotisch der Geraden  $y = M$  nähert, also ungefähr wie die folgende Figur zeigt.

Wenn man daher die Drahtlängen so gross wählt, dass sich bei der Erwärmung durch den Strom in der Mitte ein Intervall findet, wo die Temperatur constant bleibt, so wird die Anwendung dieser Formel bereits gestattet sein oder wenigstens



als grosse Annäherung an den wirklichen Temperaturverlauf gelten können.

Setzen wir daher wieder die ursprünglichen Werthe für die Grössen  $M$  und  $\lambda$  ein, so bekommt die hier benützte Formel die Gestalt

$$u = \frac{i^2 w}{h p q A} \left[ 1 - e^{-\sqrt{\frac{h p}{k q}} x} \right] \quad (6)$$

und die Galvanometeraussschläge, welche diesen Temperaturen proportional sind, werden einer Curve angehören müssen von der Form

$$y = a u = 1 - e^{-\lambda x}. \quad (7)$$

Ist der Draht nicht lange genug, so dass die allgemeine Formel 4) gilt, so wäre

$$y = 1 - \frac{1 - e^{-\lambda l}}{e^{\lambda l} - e^{-\lambda l}} e^{\lambda x} + \frac{1 - e^{\lambda l}}{e^{\lambda l} - e^{-\lambda l}} e^{-\lambda x}. \quad 8)$$

Die Coëfficienten des zweiten und dritten Gliedes kann man aber auch anders schreiben; es ist

$$\frac{1 - e^{-\lambda l}}{e^{\lambda l} - e^{-\lambda l}} = \frac{e^{\lambda l} - 1}{e^{2\lambda l} - 1} \quad \text{und} \quad \frac{1 - e^{\lambda l}}{e^{\lambda l} - e^{-\lambda l}} = \frac{e^{\lambda l} - e^{2\lambda l}}{e^{2\lambda l} - 1}.$$

Bei nur etwas grösserem  $l$  sind dann die Grössen  $e^{\lambda l}$  und noch mehr  $e^{2\lambda l}$  so gross, dass ihnen gegenüber die Einheit von sehr geringem Einflusse wird. Es wird dann

$$y = 1 - e^{-\lambda l} e^{\lambda x} + (e^{-\lambda l} - 1) e^{-\lambda x},$$

oder

$$y = 1 - e^{-\lambda x} - e^{-\lambda l} (e^{\lambda x} - e^{-\lambda x}). \quad 9)$$

Dies würde eine etwas genauere Formel als Gleichung 7) darstellen. Beim Eintragen der Beobachtungen in ein Coordinatenpapier stellte sich aber eine Schwierigkeit heraus. Die genaue Lage des Anfangs- und Endpunktes der Drähte gegenüber der Theilung, welche die Schraube bestimmte, konnte nicht genau ermittelt werden. Wegen der dicken Ableitungstangen konnte das Thermoelement nie bis ganz an die Enden der Drähte, wo der Werth 0 herrschen sollte, gebracht werden, sondern man musste in einer Entfernung von einem durch Schätzung ermittelten Bruchtheile eines Millimeters beginnen. Die so beobachteten Ordinatenwerthe gehören dann einer Curve an, welche gegen das Coordinatensystem parallel der Abscissenaxe um ein kleines Stück  $\delta$  verschoben ist. Um nun aus den zahlreichen Beobachtungen sowohl einen Werth für  $\lambda$  als auch  $\delta$  nach der Methode der kleinsten Quadrate zu berechnen, musste von der Anwendung der genauen Formel 8) und selbst der Formel 9) Abstand genommen werden. Es wurde Formel 7) verwendet und war selbst bei dieser die Berechnung, da mit zwei genäherten Werthen für  $\lambda$  und  $\delta$  begonnen und die Rechnung zwei- bis dreimal wiederholt werden musste, eine sehr zeitraubende.

Ist also der Anfangspunkt um das kleine Stück  $\delta$  verschoben und wird Formel 7) benützt, so haben die Beobachtungen der Gleichung

$$y = 1 - e^{-\lambda(x-\delta)}$$

zu genügen.

Die Bestimmung von  $\delta$  aber war sehr wichtig, da beim Eintragen der verschiedenen Curven, wenn dieselben nicht alle von demselben Coordinatenanfangspunkte begonnen hätten, dieselben sich durchkreuzt hätten. Da die Steilheit der Curven bei schlechter leitenden Substanzen aber gerade vom Nullpunkte aus immer bedeutender wird, so wäre eine Übersicht, wie sich die Curven nacheinander durch die Änderung des Werthes von  $\lambda$  anordnen, ganz unmöglich gewesen.

### Die Versuchsergebnisse.

In den folgenden Tabellen sind die auch in das Coordinatennetz eingetragenen Werthe der Messungen zusammengestellt, und zwar wurden mehr Ordinaten berechnet als beobachtet, damit die Curven sicherer gezogen werden können. Die beobachteten Werthe sind dann als einzelne Marken eingetragen. Als Maasstab wurde für die Ordinaten die Hälfte des Maasstabes der Abscissen genommen.

Constantan.

Länge = 83·8 mm

 $\lambda = 2\cdot3195$ 

Dicke = 0·2

Nr.	$x$	$y =$ $= 100(1 - e^{-\lambda x})$	$y =$ beobachtet	Differenz
1	0·3	7·4	7·5	-0·1
2	0·8	16·2		
3	1·2	23·9	23·7	+0·2
4	1·6	31·0		
5	2·0	37·6	36·7	+0·9
6	2·9	49·0		
7	3·7	57·9	57·5	+0·4
8	4·6	65·6		
9	5·4	71·6	71·5	+0·1
10	6·7	78·9		
11	8·0	84·3	84·3	$\pm 0\cdot0$
12	9·3	88·4		
13	10·5	91·3	91·3	$\pm 0\cdot0$
14	12·2	94·1		
15	13·9	96·6	96·5	+0·1
16	15·6	97·3		
17	17·3	98·2	98·1	+0·1
18	19·0	98·8		
19	20·7	99·2	99·2	$\pm 0\cdot0$
20	22·9	99·5		
21	25·0	99·7	99·8	-0·1
22	27·1	99·8		
23	29·2	99·9	100·0	-0·1
24	31·4	99·9 <sub>3</sub>		
25	33·5	99·9 <sub>6</sub>	100·1	-0·2
26	35·6	99·9 <sub>7</sub>		
27	37·7	99·9 <sub>8</sub>	100·1	-0·2
28	39·8	99·9 <sub>9</sub>		
29	41·9	99·9 <sub>9</sub>	100·0	-0·1



## Patentnickel.

Länge = 82.2 mm

 $\lambda = 2.1702$ 

Dicke = 0.2

Nr.	$x$	$y =$ $= 100 (1 - e^{-\lambda x})$	$y =$ beobachtet	Differenz
1	0.7	14.1	13.1	+1.0
2	1.1	21.2		
3	1.6	28.6	29.1	-0.5
4	2.0	35.2		
5	2.4	40.6	41.5	-0.9
6	3.3	51.1		
7	4.1	58.9	59.2	-0.3
8	4.5	62.3		
9	5.8	71.6	71.5	+0.1
10	7.1	78.6		
11	8.4	83.7	83.2	+0.5
12	9.6	87.6		
13	10.9	90.6	90.1	+0.5
14	12.6	93.5		
15	14.3	95.5	95.4	+0.1
16	16.0	96.9		
17	17.7	97.9	97.6	+0.3
18	19.4	98.5		
19	21.1	99.0	98.4	+0.6
20	23.2	99.3		
21	25.4	99.6	99.5	+0.1
22	27.5	99.7		
23	29.6	99.8	99.7	+0.1
24	31.7	99.9		
25	33.9	99.9 <sub>4</sub>	99.9	$\pm 0.0$
26	36.0	99.9 <sub>6</sub>		
27	38.1	99.9 <sub>7</sub>	100.3	-0.4
28	39.6	99.9 <sub>8</sub>		
29	41.1	99.9 <sub>9</sub>	100.0	-0.1

Platin.

Länge = 100·4 mm

 $\lambda = 1\cdot9841$ 

Dicke = 0·2

Nr.	$x$	$y =$ $= 100(1 - e^{-\lambda x})$	$y =$ beobachtet	Differenz
1	0·5	8·7	8·7	$\pm 0\cdot0$
2	0·9	16·4		
3	1·3	22·9	22·6	+0·3
4	2·2	35·4		
5	3·0	45·0	44·8	+0·2
6	3·9	53·9		
7	4·7	60·7	61·0	-0·3
8	6·0	69·6		
9	7·3	76·3	76·6	-0·3
10	8·5	81·1		
11	9·8	85·7	85·8	-0·1
12	11·5	89·8		
13	13·2	92·7	92·8	-0·1
14	14·9	94·8		
15	16·6	96·3	95·8	+0·5
16	18·3	97·4		
17	20·0	98·1	98·1	$\pm 0\cdot0$
18	21·7	98·7		
19	23·4	99·0	98·9	+0·1
20	25·5	99·4		
21	27·7	99·6	99·9	-0·3
22	29·8	99·7		
23	31·9	99·8	99·9	-0·1
24	36·2	99·9 <sub>2</sub>		
25	40·4	99·9 <sub>7</sub>	99·9	$\pm 0\cdot0$
26	45·3	99·9 <sub>9</sub>		
27	50·2	99·9 <sub>9</sub>	100·0	-0·1

## Eisen.

Länge = 118.4 mm

 $\lambda = 1.4000$ 

Dicke = 0.2

Nr.	$x$	$y =$ $= 100(1 - e^{-\lambda x})$	$y =$ beobachtet	Differenz
1	0.8	10.0	9.6	+0.4
2	1.6	20.1		
3	2.5	29.0	29.8	-0.8
4	3.2	36.1		
5	4.2	44.1	43.2	+0.9
6	5.4	53.0		
7	6.7	60.9	60.4	+0.5
8	8.0	67.4		
9	9.3	72.6	72.6	$\pm 0.0$
10	11.0	78.6		
11	12.7	83.0	83.0	$\pm 0.0$
12	14.4	86.7		
13	16.1	89.4	89.4	$\pm 0.0$
14	18.2	92.2		
15	20.3	94.2	93.4	+0.8
16	22.2	95.5		
17	24.6	96.8	96.8	$\pm 0.0$
18	26.7	97.6		
19	28.8	98.2	98.2	$\pm 0.0$
20	31.0	98.7		
21	33.1	99.0	98.9	+0.1
22	35.2	99.3		
23	37.3	99.5	99.4	+0.1
24	39.4	99.6		
25	41.6	99.7	99.7	$\pm 0.0$
26	45.8	99.8		
27	50.1	99.9	99.9	$\pm 0.0$
28	54.6	99.9		
29	59.2	99.9	100.0	-0.1

## Aluminium.

Länge = 131·6 mm

 $\lambda = 0\cdot8654$ 

Dicke = 0·2

Nr.	$x$	$y =$ $= 100(1 - e^{-\lambda x})$	$y =$ beobachtet	Differenz
1	0·8	6·4	6·1	+0·3
2	1·5	12·2		
3	2·5	19·2	19·1	+0·1
4	4·0	29·3		
5	5·0	35·2	35·6	-0·4
6	6·0	40·5		
7	7·6	48·1	48·5	-0·4
8	9·0	54·1		
9	11·0	61·3	61·5	-0·2
10	12·0	64·6		
11	14·4	71·2	71·1	+0·1
12	16·0	75·0		
13	17·8	78·5	78·2	+0·3
14	20·0	82·3		
15	22·0	85·1	84·9	+0·2
16	24·0	87·5		
17	26·3	89·7	89·0	+0·7
18	28·0	91·1		
19	30·5	92·9	92·6	+0·3
20	32·0	93·7		
21	34·8	95·1	95·1	$\pm 0\cdot0$
22	37·0	95·7		
23	39·0	96·6	96·6	$\pm 0\cdot0$
24	41·0	97·1		
25	43·3	97·6	98·3	-0·7
26	45·0	98·0		
27	47·5	98·4	98·8	-0·4
28	52·0	98·9		
29	56·0	99·2	99·6	-0·4
30	61·0	99·5		
31	65·8	99·7	100·0	-0·3

## Kupfer.

Länge = 165.5 mm

 $\lambda = 0.6606$ 

Dicke = 0.2

Nr.	$x$	$y =$ $= 100(1 - e^{-\lambda x})$	$x =$ beobachtet	Differenz
1	0.5	3.3	3.4	-0.1
2	0.9	6.0		
3	1.4	8.6	9.0	-0.4
4	2.2	13.5		
5	3.1	18.3	18.6	-0.3
6	4.8	27.2		
7	6.5	34.7	34.0	+0.7
8	8.2	41.8		
9	9.9	47.9	47.7	+0.2
10	11.6	53.5		
11	13.3	58.4	58.1	+0.3
12	15.0	62.9		
13	16.7	66.7	66.0	+0.7
14	18.4	70.3		
15	20.1	73.4	73.2	+0.2
16	21.8	76.3		
17	23.5	78.8	78.7	+0.1
18	25.2	81.1		
19	26.9	83.0	82.9	+0.1
20	28.6	84.9		
21	30.3	86.5	86.8	-0.3
22	32.0	87.9		
23	33.7	89.2	89.3	-0.1
24	35.4	90.4		
25	37.1	91.4	92.0	-0.6
26	38.8	92.3		
27	40.5	93.1	93.3	-0.2
28	42.2	93.8		
29	43.9	94.5	95.3	-0.8
30	47.3	95.6		
31	50.7	96.5	97.1	-0.6
32	54.1	97.2		
33	57.5	97.8	98.6	-0.8
34	60.9	98.2		
35	64.3	98.6	99.6	-1.0
36	67.7	98.9		
37	71.1	99.1	99.7	-0.6
38	74.5	99.3		
39	77.9	99.4	99.8	-0.4
40	80.3	99.5		
41	82.8	99.6	100.0	-0.4

Man sieht nun zunächst deutlich den grossen Einfluss der Abkühlung bei Metallen, welche eine bessere Wärmeleitung besitzen. Die Reihenfolge der Curven ist auch geradezu jene der Wärmeleitungsfähigkeiten.

Könnte man die äussere Wärmeleitung bei allen Drähten als gleich voraussetzen, wie es für so dünne Drähte, die einer ganz gleichartigen Behandlungsweise unterworfen waren, von manchen Beobachtern behauptet wird, so würden die Verhältnisse der  $\lambda$  direct die Verhältnisse der  $k$  darstellen.

Die Reihenfolge der  $\lambda$  ist aber auch hier dieselbe wie jene der elektrischen Leitfähigkeiten. Es wurden desshalb auch die specifischen Widerstände der untersuchten Drähte bestimmt.

Da aber von Beginn der Untersuchung auf eine genaue quantitative Übereinstimmung nicht gerechnet wurde und dem entsprechend die Anordnung nicht gewählt war, so ist auch den Zahlen, welche diese Verhältnisse ausdrücken sollen, kein definitiver Werth beizumessen. In qualitativer Hinsicht aber ist das Ergebnis gewiss massgebend. Stellt man also in diesem Sinne die Werthe zusammen, so erhält man folgende Reihenfolge:

	$\lambda$	$\lambda^2$ von Kupfer	$\mu$ von Kupfer
Constantan .....	2·320	12·32	30·28
Patentnickel .....	2·170	10·78	18·74
Platin .....	1·984	9·01	14·67
Eisen .....	1·400	4·49	5·89
Aluminium .....	0·865	1·71	1·84
Kupfer .....	0·661	1·00	1·00

Die Curven gestatten auch leicht eine Schätzung anzugeben für den Antheil, welcher durch Leitung an die Zuleitung verloren geht. Würden die Enden der Drähte gar keine Wärme verlieren, so müsste der Temperaturverlauf durch eine zur Abscissenaxe im Abstände 1. verlaufende Gerade dargestellt sein. Das Verhältniss von 1. zum Mittelwerthe aller Ordinaten wird daher angeben, welcher Antheil auf die Ableitung entfällt.

Dieser Mittelwerth wird sein:

$$y_m = \frac{1}{l} \int_0^l y dx = \frac{1}{l} \int_0^l \left( 1 - \frac{e^{\lambda l} - 1}{e^{2\lambda l} - 1} e^{\lambda x} + \frac{e^{\lambda l} - e^{2\lambda l}}{e^{2\lambda l} - 1} e^{-\lambda x} \right) dx =$$

$$= 1 - \frac{2}{\lambda l} \frac{e^{\lambda l} - 1}{e^{\lambda l} + 1}.$$

Im Allgemeinen wird man den Coëfficienten von  $2/\lambda l$  der Einheit gleichsetzen können, so dass

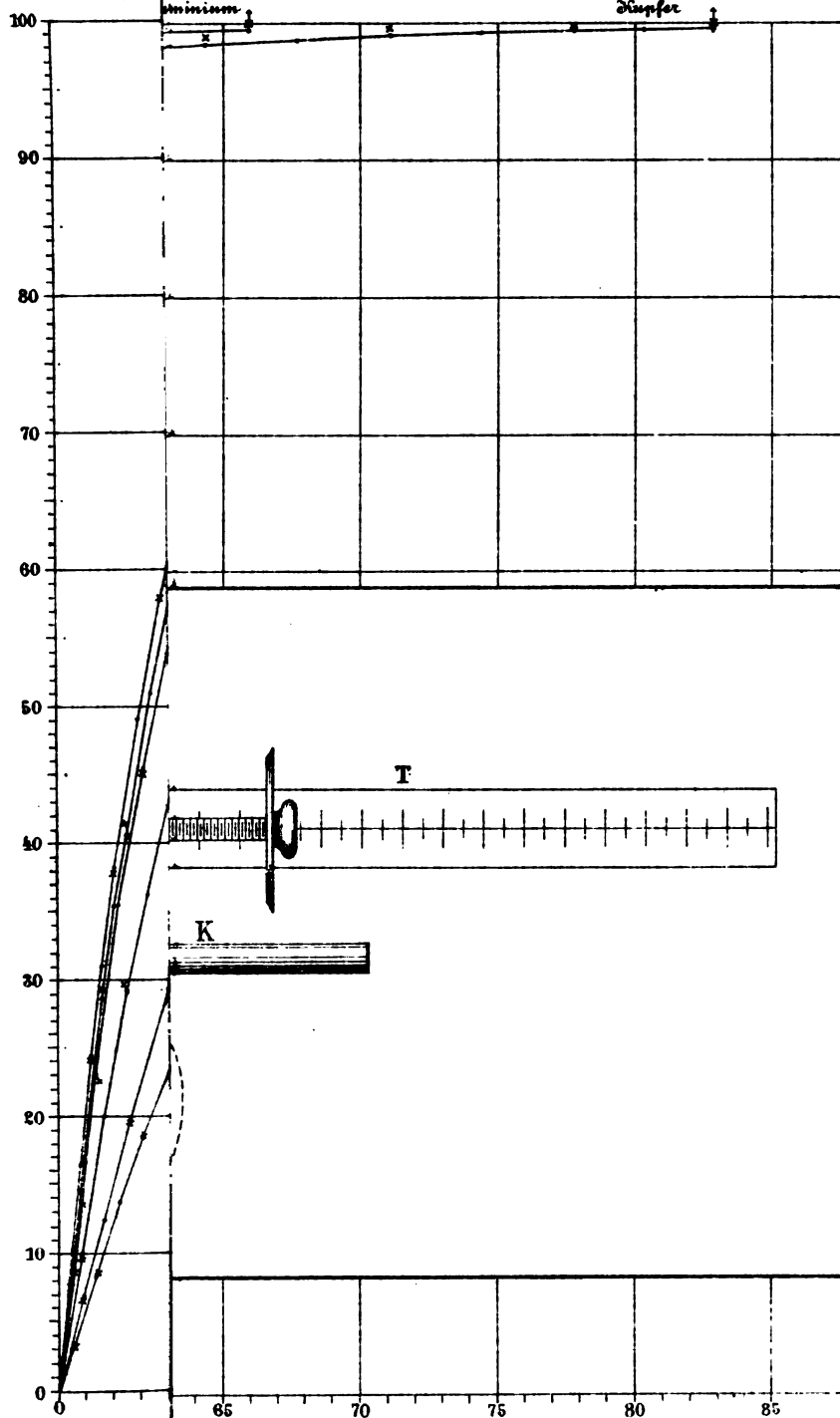
$$\frac{2}{\lambda l}$$

den abgeleiteten Antheil darstellt. Darauf wäre bei Bestimmung der Temperatur von Widerständen Rücksicht zu nehmen.

---

P. Czer

dupfer



Lith v J. Barth W. Wien.





# Über die mechanische Analogie des Wärmegleichgewichtes zweier sich berührender Körper

von

**G. H. Bryan und L. Boltzmann.**

(Mit 1 Textfigur.)

§. 1. Die fundamentalste Eigenschaft der Temperatur besteht darin, dass zwei Körper von gleicher Temperatur mit einander in Berührung gebracht, sich im Wärmegleichgewichte befinden. Aus dieser Eigenschaft konnte bisher die gastheoretische Definition der Temperatur nicht abgeleitet werden. Es konnte nur der Beweis geliefert werden,<sup>1</sup> dass in einem Gemische mehrerer Gase die Bedingung des Wärmegleichgewichtes erfordert, dass die mittlere lebendige Kraft der fortschreitenden Bewegung für jede Gattung von Gasmolekülen dieselbe sei. Aus dieser Thatsache kann dann unter Zuziehung des gastheoretischen Beweises des zweiten Hauptsatzes der Wärmetheorie indirect der Schluss gezogen werden, dass in der kinetischen Gastheorie die Temperatur der mittleren lebendigen Kraft der fortschreitenden Bewegung eines Moleküls proportional gesetzt werden muss.

Allein alle unsere experimentellen Kenntnisse von den Eigenschaften der Temperatur sind von der Manipulation mit Körpern abgeleitet, welche sich nicht mischen und es ist nicht möglich, in einem Gemische von Gasen die Temperatur jedes einzelnen der Bestandtheile gesondert durch das Experiment

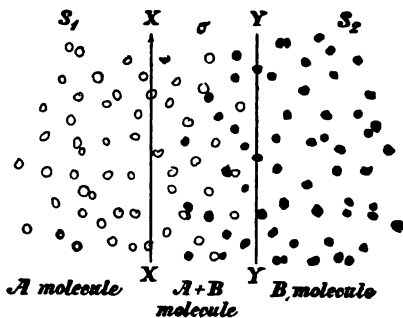
---

<sup>1</sup> Diese Sitzungsber. Bd. 63, 1871; Bd. 66, 1872; Bd. 94, 1886; Bd. 95, 1887.

zu definiren. Wir können zwar die Temperatur der ganzen Mischung messen, aber wir haben kein Mittel, irgend eine thermometrische Substanz der Wirkung eines der Bestandtheile allein auszusetzen. Ja selbst der Begriff der Temperatur eines der Bestandtheile für sich wird schwankend.

§. 2. Unter diesen Umständen muss jedes mechanische Bild, welches die Mittheilung der Wärme von einem Körper zum andern ohne gleichzeitige Vermischung der beiden Körper durch Diffusion zu versinnlichen vermag, von hohem Interesse sein. Ein derartiges mechanisches Bild soll im Folgenden beschrieben werden. Die Idee dazu wurde von Herrn Bryan angegeben.

Es seien  $X$  und  $Y$  (siehe beistehende Figur) zwei unendliche, parallele Ebenen, die sich in geringer Entfernung von



einander befinden und den ganzen von Gas erfüllten Raum in drei Regionen theilen,  $S_1$ ,  $S_2$  und  $\sigma$ . Unter  $S_1$  verstehen wir den gesammten Raum links von  $X$ , unter  $S_2$  den Raum rechts von  $Y$ , unter  $\sigma$  den sehr dünn gedachten Raum zwischen  $X$  und  $Y$ . Übrigens würden die folgenden Schlüsse nicht an Beweiskraft verlieren, wenn  $X$  und  $Y$  zwei beliebige, allseitig sich bis zur Grenze des vom Gase erfüllten Raumes erstreckende oder auch in sich geschlossene Flächen wären, welche ohne sich zu treffen überall sehr nahe aneinander verlaufen.

Es seien nun zwei verschiedene Gattungen ( $A$  und  $B$ ) von Gasmolekülen gegeben, von denen die ersteren in der Figur durch weisse, die letzteren durch schwarze Punkte dargestellt sind. Die Ebene  $Y$  soll die Moleküle  $A$  mit einer Kraft abstossen, welche links von  $X$  überall verschwindet, zwischen  $X$

und  $Y$  aber eine Function der Entfernung des betreffenden Moleküles von der Ebene  $Y$  ist. Diese Function soll für Entfernungen, die sehr klein sind im Vergleiche zur Entfernung der Ebenen  $X$  und  $Y$ , unendlich gross werden, so dass nach der Region  $S_2$ , die sich rechts von  $Y$  befindet, niemals ein Molekül  $A$  gelangen kann. Ganz analog soll die Ebene  $X$  auf die Moleküle  $B$  mit einer Kraft abstossend wirken, welche unendlich nahe an  $X$  unendlich gross, rechts von  $Y$  aber gleich Null ist, so dass in den Raum  $S_1$ , der sich links von  $X$  befindet, niemals Moleküle  $B$  gelangen. Es soll im Übrigen weder die Ebene  $Y$  auf die Moleküle  $B$ , noch die Ebene  $X$  auf die Moleküle  $A$  eine Kraft ausüben.

Dann haben wir in  $S_1$  ein einfaches Gas, das nur Moleküle  $A$  enthält, ebenso in  $S_2$  ein anderes einfaches Gas, das nur Moleküle  $B$  enthält, in  $\sigma$  aber ein Gemisch beider Gase. Im letzteren Raume stossen fortwährend Moleküle  $A$  mit Molekülen  $B$  zusammen, so dass daselbst Wärmeaustausch stattfinden kann, wie zwischen zwei sich berührenden Körpern.

§. 3. Der hier zu betrachtende Fall ist lediglich ein Specialfall davon, dass auf ein beliebiges Gasgemisch beliebige äussere Kräfte wirken. Es handelt sich daher nur darum, die im allgemeinen Falle geltenden Formeln<sup>1</sup> dem speciellen Probleme anzupassen.

Es ist da gut, von generalisirten Coordinaten Gebrauch zu machen. Seien  $q_1, q_2 \dots q_m$  die generalisirten Coordinaten eines Moleküls von der Gattung  $A$  (sagen wir kurz eines  $A$ -Moleküls)  $p_1, p_2 \dots p_m$  die dazu gehörigen Momente,  $T_1$  die lebendige Kraft,  $\chi_1$  die gesammte potentielle Energie, daher  $E_1 = T_1 + \chi_1$  die totale Energie dieses Moleküls.

Ferner seien  $Q_1, Q_2 \dots Q_n$  die Coordinaten eines Moleküls von der Gattung  $B$  ( $B$ -Moleküls),  $P_1, P_2 \dots P_n$  die dazugehörigen Momente,  $T_2$  die lebendige Kraft,  $\chi_2$  die potentielle Energie und  $E_2 = \chi_2 + T_2$  die gesammte Energie desselben.  $\chi_1$  und  $\chi_2$  können völlig verschiedene Functionen der betreffenden Coordinaten sein, so dass also auf die  $B$ -Moleküle ganz andere Kräfte als auf die  $A$ -Moleküle wirken können. Nun wurde in

<sup>1</sup> Diese Sitzungsber., Bd. 72, Oct. 1875; Bd. 78, 1878; Bd. 96, 1887.

den auf S. 1125 citirten Abhandlungen bereits Folgendes bewiesen:

Wenn die Anzahl der *A*-Moleküle, für welche die Coordinaten und Momente zwischen den durch das Differentialproduct

$$dp_1 \dots dp_m dq_1 \dots dq_m$$

bestimmten Grenzen liegen, gleich

$$Ae^{-h_1 E_1} dp_1 \dots dp_m dq_1 \dots dq_m \quad 1)$$

ist, so wird diese Zustandsvertheilung weder durch die Fortbewegung der *A*-Moleküle, noch durch die Zusammenstösse derselben untereinander verändert; sie ist also stationär, sobald man von den Zusammenstössen mit den *B*-Molekülen absieht. Für die letzteren gilt der analoge Satz. Abgesehen von ihren Zusammenstössen mit den *A*-Molekülen bleibt ihre Zustandsvertheilung sicher stationär, wenn die Zahl der Moleküle, für welche Coordinaten und Momente zwischen den durch das Differentialproduct

$$dP_1 \dots dP_n dQ_1 \dots dQ_n$$

bestimmten Grenzen liegen, gleich

$$Be^{-h_2 E_2} dP_1 \dots dP_n dQ_1 \dots dQ_n \quad 2)$$

ist. *A*, *B*, *h*<sub>1</sub> und *h*<sub>2</sub> sind Constanten.

§. 4. Wir haben nun noch den Effect der Zusammenstösse der *A*- und *B*-Moleküle im Raume *σ* zu betrachten. Wir betrachten da zuerst den Fall, dass die Zeitdauer eines derartigen Zusammenstosses so ausserordentlich kurz ist, dass die Coordinaten eines jeden der zusammenstossenden Moleküle im Momente des Endes des Zusammenstosses nahezu dieselben Werthe, wie im Momente des Beginnes, haben.

Wenn wir daher bloss diejenigen Zusammenstösse hervorheben, für welche die Coordinaten gegebene Werthe haben, so sind *χ*<sub>1</sub> und *χ*<sub>2</sub> constant und die Wahrscheinlichkeit der verschiedenen Momente ist für die beiden zusammenstossenden Moleküle

$$A_1 e^{-h_1 T_1} dp_1 \dots dp_m,$$

respective

$$B_1 e^{-h_2 T_2} dP_1 \dots dP_n,$$

wobei  $A_1$  und  $B_1$  für die betrachteten Zusammenstöße constant sind. Wenn wir nun setzen

$$f = A_1 e^{-h_1 T_1}, \quad F = B_1 e^{-h_2 T_2},$$

und mit  $f'$  und  $F'$  die Werthe derselben Functionen im Momente des Endes des betreffenden Zusammenstoßes bezeichnen, so tritt<sup>1</sup> Wärmegleichgewicht zwischen den  $A$ - und  $B$ -Molekülen ein, wenn allgemein die Gleichung besteht

$$fF = f'F', \quad 3)$$

welche sich wegen der Constanz von  $A_1$  und  $B_1$  reducirt auf

$$e^{-(h_1 T_1 + h_2 T_2)} = e^{-(h_1 T'_1 + h_2 T'_2)},$$

woraus folgt

$$h_1 T_1 + h_2 T_2 = h_1 T'_1 + h_2 T'_2.$$

Wegen der Erhaltung der Energie hat man

$$T_1 + T_2 = T'_1 + T'_2.$$

Multiplicirt man diese Gleichung mit  $h_2$  und subtrahirt sie von der vorigen, so folgt

$$(h_1 - h_2) T_1 = (h_1 - h_2) T'_1,$$

was für alle Zusammenstöße nur erfüllt sein kann, wenn

$$h_1 = h_2 \quad 4)$$

ist. Die mittlere lebendige Kraft der fortschreitenden Bewegung ist für die  $A$ -Moleküle  $3/2 h_1$ , für die  $B$ -Moleküle  $3/2 h_2$ ; beide Werthe müssen daher gleich sein

§. 5. Herr Bryan schlug in seinem, in der »British association« zu Oxford 1894 vorgelegten Referate vor, diejenige Zustandsvertheilung unter gleich- oder verschiedenartigen Molekülen, welche für jede Molekülgattung durch die

<sup>1</sup> Vergl. Boltzmann, diese Sitzungsberichte, Bd. 66, 1872, letzter Abschnitt.

Formel 1), respective 2) bestimmt ist, die Boltzmann-Maxwell'sche zu nennen, wenn die Constante  $h$  für alle Gattungen von Molekülen denselben Werth hat, ferner das Gesetz, wonach diese Zustandsvertheilung in jedem speciellen Falle stationär ist, das Boltzmann-Maxwell'sche Gesetz zu nennen. Wenn wir uns dieser Bezeichnung bedienen, so können wir das Resultat unserer Untersuchung dahin aussprechen, dass das Boltzmann-Maxwell'sche Gesetz für eine Mischung verschiedener Gase auch dann gilt, wenn auf die verschiedenen Gase ganz verschiedene äussere Kräfte wirken, sobald sich nur in einem beliebig kleinen Raume je zwei zu mischen vermögen.

Wenn wir  $h_1$  und  $h_2$  als verschieden voraussetzen, so könnten wir vielleicht, sei es mit Hilfe des Boltzmann'schen Minimumtheorems, sei es in anderer Weise, die Geschwindigkeit berechnen, mit welcher in irgend einem Volumelemente des den beiden Gasen gemeinsamen Bezirks, Energie von dem einen zum anderen übergeht und durch Integration dieses Betrages über den gesammten gemeinsamen Bezirk könnten wir die Geschwindigkeit der gesammten Energieübertragung berechnen, welche wir als die Flächenleitfähigkeit der beiden Gase an ihrer gemeinsamen Berührungsfläche bezeichnen könnten.

§. 6. Die Dichten der beiden Gasarten  $A$  und  $B$  sind den Factoren

$$Ae^{-h_1\chi_1} \quad \text{und} \quad Be^{-h_2\chi_2} \quad 5)$$

der Formeln 1) und 2) proportional. In  $\chi_1$  und  $\chi_2$  sind die Potentiale der von den Ebenen  $X$  und  $Y$  ausgeübten Kräfte einbezogen. Diese werden unendlich, sobald man eine Fläche unendlicher Abstossung passirt und bleiben jenseits derselben unendlich. In dieser Weise wird durch unsere Formel ausgedrückt, dass der Raum  $S_1$  frei von  $B$ -Molekülen, der Raum  $S_2$  frei von  $A$ -Molekülen ist und nur der Raum  $\sigma$ , wo  $\chi_1$  und  $\chi_2$  endlich ist, von Molekülen beider Gattung erfüllt ist.

Anstatt der Annahmen des §. 2 könnten wir auch voraussetzen, dass die  $A$ -Moleküle positiv und die  $B$ -Moleküle negativ elektrisch sind. Wenn die Ladung eines  $A$ -Moleküles  $q$ , die eines  $B$ -Moleküles  $q'$  ist und die beiden Ebenen  $X$  und  $Y$  au

der constanten Potentialdifferenz  $V$  erhalten werden, so verhält sich die Dichte des Gases von der Gattung  $A$ , respective  $B$  in den Räumen  $S_1$  und  $S_2$  wie  $1 : e^{-hq'V}$ , respective  $e^{-hq'V} : 1$ , und wenn man  $V$  so gross voraussetzt, dass die beiden Exponentiellen gegen die Einheit fast verschwinden, so werden wieder die beiden Räume  $S_1$  und  $S_2$ , deren Potential gleich dem der Begrenzungsflächen  $X$ , respective  $Y$  vorausgesetzt wird, fast nur je eine Gasart enthalten. Diese letztere Annahme hat ihr Analogon in den bekannten, durch Contact heterogener Körper erzeugten elektrischen Doppelschichten.

§. 7. Wenn an Stelle der bisher vorausgesetzten Zusammenstösse von unendlich kurzer Zeitdauer, solche von endlicher, wenn auch noch immer gegen die Zwischenzeit zweier Zusammenstösse, die dasselbe Molekül nacheinander erfährt, kurzer Zeitdauer vorausgesetzt werden, welche durch beliebige anziehende oder abstossende Kräfte bewirkt werden, so kann dasselbe Resultat mittelst der Methode bewiesen werden, welche in den Berichten der British Association unter dem Titel: »On the application, of the determinantal-relation to the kinetic theory of polyatomic gases« auseinandergesetzt ist.

Diese Gleichung zwischen den Producten der Differentiale der Coordinaten und Momente eines beliebigen conservativen Systems, welche sich einestheils auf den Beginn, anderentheils auf das Ende einer beliebigen Bewegung während einer beliebigen Zeit  $t'-t$  bezieht, hat die Form

$$\frac{\partial(p'_1 \dots p'_m, q'_1 \dots q'_m)}{\partial(p_1 \dots p_m, q_1 \dots q_m)} = 1. \quad 6)$$

1. Wenn wir diese Gleichung auf ein beliebiges einzelnes Molekül anwenden, das sich in einem beliebigen Felde äusserer Kräfte bewegt, ohne mit anderen zusammenzustossen, so sehen wir Folgendes: Für jedes derartige Molekül ist sowohl die gesammte Energie, als auch das Product der Differentiale  $dp_1 \dots dp_m dq_1 \dots dq_m$  constant.

Wenn wir daher eine sehr grosse Zahl gleichbeschaffener Moleküle haben, und wenn

$$f_1(E_1) dp_1 \dots dq_m$$



die Zahl derjenigen bezeichnet, für welche zu einer beliebigen Zeit die Coordinaten und Momente zwischen den durch das Differentialproduct

$$dp_1 \dots dq_m$$

gegebenen Grenzen liegen, so kann die Zustandsvertheilung durch die Bewegung der Atome in den Molekülen und die fortschreitende Bewegung der letzteren nicht verändert werden. Dabei ist  $f_1(E_1)$  eine beliebige Function von  $E_1$  allein. Auf die Zusammenstösse der Moleküle untereinander oder mit anderen Molekülen ist jedoch noch keine Rücksicht genommen. Setzen wir hier

$$f_1(E_1) = Ae^{-h_1 E_1},$$

so sehen wir sofort, dass, so lange wir auf die Zusammenstösse keine Rücksicht nehmen, die durch die Formel 1) gegebene Zustandsvertheilung unter den  $A$ -Molekülen nicht verändert. Dasselbe folgt bezüglich der durch die Formel 2) gegebenen Zustandsvertheilung für die  $B$ -Moleküle.

2. Wir verstehen nun unter unserem conservativen System ein Paar zusammenstossender Moleküle, welche beide der Gattung  $A$  oder  $B$ , oder wovon eines der einen, das andere der anderen Gattung angehören können. Es wird vorausgesetzt, dass die während eines Zusammenstosses wirkenden Kräfte endliche sind und dass die Anzahl der zusammenstossenden Paare eine so grosse ist, dass man überhaupt von Mittelwerthen sprechen kann. Dann muss das Differentialproduct die Coordinaten und Momente beider Moleküle umfassen und auch unter  $E$  ist die Gesamtenergie beider Moleküle zu verstehen. Sobald daher die Anzahl der im Zusammenstosse begriffenen Molekülpaare durch den Ausdruck

$$f(E) dp_1 \dots dp_m dq_1 \dots dq_m dP_1 \dots dP_n dQ_1 \dots dQ_n$$

gegeben ist, wird diese Vertheilung ebenfalls ungeändert bleiben, so lange kein Molekül mit einem nicht dem stossenden Paare angehörigen Moleküle zusammentrifft. Aber in einem Gase wird jedes Molekül der Reihe nach mit verschiedenen Molekülen zusammenstossen, so dass nicht immer dieselben Paare als zusammengehörig betrachtet werden können. Da nun die

Grösse  $f$  eine Function der Energie allein sein soll, so muss es die wohlbekannte Form  $e^{-hE}$  haben. Denn bevor zwei Moleküle zusammenstossen, muss die Wahrscheinlichkeit des Zustandes eines jeden derselben vollkommen unabhängig von dem des anderen sein. Es muss also  $f(E) = f_1 \times f_2$  sein, wobei  $f_1$  nur vom Zustande des einen,  $f_2$  von dem des anderen der stossenden Moleküle abhängen kann.

Wir können nun schreiben:

$$E = T_1 + T_2 + \chi_1 + \chi_2 + \chi_{12};$$

dabei sind  $T_1$  und  $T_2$  die lebendigen Kräfte,  $\chi_1$  und  $\chi_2$  die potentiellen Energien der Moleküle, wegen der von der Anwesenheit des anderen Moleküls unabhängigen Kräfte, endlich ist  $\chi_{12}$  die potentielle Energie vermöge der Wechselwirkung beider Moleküle.

Nun müssen dieselben Gleichungen auch vor dem Zusammenstosse gelten, wo bei passender Constantenbestimmung  $\chi_{12} = 0$  und  $E = E_1 + E_2$  ist, wenn  $E_1$  und  $E_2$  die Einzelenergien der Moleküle sind. Daher folgt

$$f_1 f_2 = f(E_1 + E_2),$$

was nur erfüllt sein kann, wenn

$$f_1 = e^{-hE_1}, \quad f_2 = e^{-hE_2}, \quad f = e^{-hE}$$

ist. Daher gelten vor und nach dem Zusammenstosse die Formeln 1) und 2). Während eines Zusammenstosses aber können die beiden zusammenstossenden Moleküle nicht separat betrachtet werden und es ist die Wahrscheinlichkeit irgend einer Constellation beider Moleküle proportional  $e^{-hE}$ . Schreiben wir wie früher

$$f = e^{-h(T_1 + \chi_1 + T_2 + \chi_2 + \chi_{12})} = e^{-hT_1} e^{-hT_2} e^{-h(\chi_1 + \chi_2 + \chi_{12})},$$

so sehen wir, dass für eine gegebene Position aller Theile der beiden stossenden Moleküle die kinetische Energie eines jeden derselben noch immer proportional  $e^{-hT_1}$ , respective  $e^{-hT_2}$  ist. Dagegen ist die Wahrscheinlichkeit gewisser Werthe der Coordinaten des einen Moleküls nicht unabhängig von der Position des anderen vermöge des Factors  $e^{-h\chi_{12}}$ . Wenn jedoch der

Zusammenstoss vorüber, verschwindet  $\chi_{12}$  und die Wahrscheinlichkeit gewisser Werthe der Coordinaten wird wieder für beide Moleküle unabhängig und von der Form 1), respective 2).

Da bisher unter  $\chi_1$  und  $\chi_2$  ganz beliebige Functionen verstanden wurden, so sind unsere Schlüsse ohneweiters anwendbar auf die specielle in §. 2 vorausgesetzte Form der Kräfte. Wo  $\chi_1$  oder  $\chi_2$  unendlich ist, ist die Anzahl der Moleküle der betreffenden Gattung gleich Null.

Die gleiche Schlussweise ist anwendbar auf die Zusammenstösse zwischen *A*-Molekülen unter sich oder *B*-Molekülen unter sich oder auch zwischen mehr als zwei Molekülen. Doch ist natürlich bei unseren Schlüssen immer vorausgesetzt, dass die betreffenden Zusammenstösse so häufig sind, dass überhaupt von einem Vertheilungsgesetz gesprochen werden kann. Natürlich können momentane Zusammenstösse immer als Grenzfälle von Zusammenstössen aufgefasst werden, die eine endliche, aber sehr kurze Dauer haben.

Die obige kurze Auseinandersetzung dürfte genügen, um die Anwendbarkeit der Functionaldeterminantengleichung sowohl auf die Zusammenstösse, als auch auf die Bewegung der Moleküle zwischen zwei Zusammenstössen zu zeigen.

Dieser Gegenstand wurde hier hauptsächlich deshalb so ausführlich behandelt, um zu zeigen, dass es bei Anwendung dieser Methode nicht nöthig ist, von vornherein anzunehmen, dass die die Vertheilung bestimmende Function  $f$  die Form  $e^{-hE}$  hat, sondern dass es genügt vorauszusetzen, dass  $f$  irgend eine Function von  $E$  ist. Es kann dann bewiesen werden, dass die Form  $f = e^{-hE}$  sowohl nothwendig als auch genügend ist, was den einfachsten, leichtesten und besten Beweis des Boltzmann-Maxwell'schen Gesetzes liefert.

# Über eine unter den Ausgrabungen auf Rhodos gefundene astronomische Inschrift

von

Dr. Norbert Herz.

(Mit 1 Tafel.)

(Vorgelegt in der Sitzung am 8. November 1894.)

In den von Dr. Fr. Freiherrn Hiller v. Gaertringen publicirten *Inscriptiones Graecae insularum maris Aegaei I*,<sup>1</sup> findet sich unter Nr. 913 eine für den Astronomen hochinteressante Inschrift, deren Entstehungszeit v. Hiller auf 100 v. Chr. Geb. fixirt. Die Tafel enthält in 2 Columnen *D* und *H* Zahlen für die Planeten Mercur, Mars, Jupiter, Saturn, und zwar nach dem Texte der Columnen *A, B, C, E, F, G*:<sup>2</sup>

κατὰ μῆκος ζωδιακοὶ  
κατὰ πλάτος τροπικοὶ  
κατὰ βᾶθος περιδρομαὶ  
κατὰ σχῆμα διέξοδοι.

Eine Discussion der Zahlen auf Grund meiner »Geschichte der Bahnbestimmung von Planeten und Kometen, I. Theil,« ergab dem Verfasser die Möglichkeit, die Zahlen als Orte der Apsiden auszulegen.<sup>3</sup> Der Verfasser hatte die Güte, mir von dieser Inschrift brieflich Mittheilung zu machen, und erlaube ich mir im Folgenden meine ihm bereits brieflich mitgetheilte Meinung hierüber mit seiner Zustimmung zu veröffentlichen.

<sup>1</sup> Corpus inscriptionum graecarum; consilio et auctoritate academiae litterarum borussicae editum.

<sup>2</sup> Bezüglich der Details muss ich auf die erwähnte Publication verweisen, deren Bezeichnungen ich im Folgenden auch zu Grunde lege.

<sup>3</sup> l. c. S. 149.

Der grösseren Deutlichkeit wegen theile ich zunächst die Zahlen, wie sie aus dem Originale folgen,<sup>1</sup> mit.

	<i>D</i>	<i>H</i>
8 Στῖλβοντος κατὰ σχῆμα διέξοδοι	—	98
Πυρόεντος κατὰ μῆκος ζωιδιακοὶ	3074.2	174920
10 Πυρόεντος κατὰ πλάτος τροπικοὶ	309436	134360
Πυρόεντος κατὰ βάθος περιδρομαὶ	3. . . . .	401680
Πυρόεντος κατὰ σχῆμα διέξοδοι	3. . . . .	136480
Φαέθοντος κατὰ μῆκος ζωιδιακοὶ	—	21570
Φαέθοντος κατὰ πλάτος τροπικοὶ	. . . 16	21560
15 Φαέθοντος κατὰ βάθος περιδρομαὶ	24260	242200
Φαέθοντος κατὰ σχῆμα διέξοδοι	26690	26. . . 0
Φαίνοντος κατὰ μῆκος ζωιδιακοὶ	910000	—
Φαίνοντος κατὰ πλάτος τροπικοὶ	919216	9810
Φαίνοντος κατὰ βάθος περιδρομαὶ	1007176	.1760
20 Φαίνοντος κατὰ σχῆμα διέξοδοι	1008148	881460

Hiezu theilte mir Herr Dr. v. Hiller die folgenden als wahrscheinlich erkannten Correcturen mit:<sup>2</sup>

Zeile 9 und 10, Colonne <i>D</i> :	$\overset{A}{M}$	statt	$\overset{A}{M}$	daher	174.2 und 19436
» 15	»	<i>H</i> : X	»	$\Sigma$	» 242600 statt 242200
» 19 und 20	»	<i>D</i> : $\overset{B}{M}$	»	$\overset{P}{M}$	» 27176 und 28148
» 20	»	<i>H</i> : $\overset{KH}{M} \overset{\Gamma}{A} \overset{\Gamma}{\Gamma}$	statt	$\overset{\Gamma}{M} \overset{\Gamma}{A} \overset{\Gamma}{\Gamma}$	daher 281480

<sup>1</sup> Herr v. Hiller hatte die Güte für die vorliegende Publication den Lichtdruck anfertigen zu lassen, der den Schriftcharakter und theilweise auch den Grad der Zuverlässigkeit der Lesungen zu ermassen gestattet. In letzterer Richtung ist zu bemerken, dass dieser Lichtdruck nach den mir zugegangenen Mittheilungen des Herrn v. Hiller nach einem Abklatsch hergestellt ist, den der schon aus E. Löwy's Veröffentlichungen bekannte Diakonos Adelphiu in Lindos auf Rhodos Herrn P. Wolters nach Athen gebracht hat, der ihn an Herrn v. Hiller sandte. Es soll eine Tafel aus grauem Marmor sein, 0.78 lang, 0.30 hoch, 0.29 tief, gefunden in dem Orte Κίσκιντος, etwa 2 km westlich von Lartos. Der Lichtdruck ist nach einer Photographie der Rückseite des Abklatsches hergestellt, da die Vorderseite stellenweise durch die Bürste verdorben war.

<sup>2</sup> Die Gründe werden aus dem Folgenden klar.

Hiezu schlug ich noch die folgenden Correcturen vor, falls diese Lesarten sich als zulässig erweisen sollten:

Zeile 11 und 12, Colonne *D*:  $\overset{\Delta}{M}$  statt  $\overset{\Delta}{\bar{M}}$ ; und Zeile 12, Colonne *H*:  $\overset{M}{M}$  statt  $\overset{II}{\bar{M}}$ .

v. Hiller ergänzt zunächst die fehlenden Zeilen für Venus und Mercur, so dass im Ganzen 20 Zeilen entstehen, von denen die ersten vier auf Venus, die nächsten vier auf Mercur u. s. w., je vier für die übrigen Planeten entfallen (die ersten 7 Zeilen fehlen daher in der Tafel).

Vergleicht man die Zahlen der Colonne *H*, u. zw. der Zeilen 10, 14, 18,

134360,      21560,      9810

mit den mittleren siderischen Bewegungen in einem Julianischen Jahre nach den jetzt bekannten Werthen:

689051'',      109257'',      43996'',

so erhält man die Verhältnisszahlen:

5·13,      5·06,      4·48.

Sollte das Verhältniss für Saturn auch 5 werden, so müsste es allerdings 8810, also *H* statt *Θ* gelesen werden, was aber nicht sehr wahrscheinlich ist.

Nimmt man nun die Zahlen der 11., 15. und 20. Zeile

401680,      242600,      231480,

und vergleicht sie mit den siderischen Bewegungen von Venus und Erde:

2103641,      1295977,

so ergeben sich die Verhältnisszahlen

5·24,      5·34,      4·60.

Liest man daher in Zeile 9  $\overset{v}{\mu}$  und in Zeile 12  $\overset{\mu}{\mu}$ , und beachtet, dass dann die übereinanderstehenden Zahlen zu je zweien nahe gleich sind, so lassen sich hieraus die folgenden Schlüsse ziehen: Die Zahlen der Colonne *H* verhalten sich wie die mittleren Bewegungen, oder geben direkt die mittleren

Bewegungen für eine gewisse Zeit (etwa  $\frac{1}{5}$  Jahr), und zwar die Zeilen 9 und 10 für Mars, 11 und 12 für Venus, 13 und 14 für Jupiter, 15 und 16 für die Sonne, 17 und 18 für Saturn, 19 und 20 für die Sonne.

Da aber für die oberen Planeten die Bewegungen des Epicykelmittelpunktes gleich der siderischen Bewegung und die Bewegung im Epicykel (das Spiegelbild der Erdbahn) gleich der Sonnenbewegung ist, so werden für Jupiter und Saturn die ersten zwei Zeilen die Bewegungen des Epicykelmittelpunktes im Deferenten, die letzten beiden die Bewegung des Planeten im Epicykel darstellen. Ebenso wären die Zahlen der 9. und 10. Zeile die Bewegungen des Marsepicykels auf dem Deferenten, während man annehmen müsste, dass die Zahlen der 11. und 12. Zeile nur irrthümlich die Bewegungen der Venus im Epicykel enthalten. Ich habe zwar noch zwei andere Auslegungen versucht, welche ich aber hier nur der Vollständigkeit wegen anführe, da dieselben nur wenig Wahrscheinlichkeit haben. Man kann annehmen, dass die Reihenfolge der Planeten Mercur, Mars, Venus wäre, und die Zeilen 7, 8 sich auf die mittleren Bewegungen des Mercur, die Zeilen 9, 10 auf diejenigen des Mars, die Zeilen 11, 12 auf diejenigen der Venus beziehen, und zwar auf die Bewegungen im Epicykel, während die noch vorangehenden zwei Zeilen (5 und 6) die Bewegung des gemeinsamen Epicykelmittelpunktes der drei Planeten im Deferenten, also wieder die mittlere Bewegung der Sonne enthalten. In diesem Falle würde die Tafel 4 Zeilen weniger, also nur 16 Zeilen enthalten haben, und die drei Planeten Mercur, Mars, Venus würden dem Schema der unteren Planeten folgen: Bewegung des Epicykelmittelpunktes im Deferenten gleich der Sonnenbewegung; Bewegung des Planeten im Epicykel gleich der siderischen Bewegung des Planeten. Die Annahme, dass in dieser Anordnung die Marsbahn innerhalb der Venusbahn liegen sollte, wäre mit Rücksicht auf den Umstand, dass Mars in Opposition kommen kann, Venus jedoch nur bis zu einem gewissen Abstände von der Sonne gelangen kann, sehr unwahrscheinlich. Da weiters in diesem Falle der Text vor den Zahlen nicht stimmen würde, so erscheint diese Auslegung zum mindesten zweifelhaft.

Eine weitere noch mögliche Auslegung wäre die, dass für Mars die Bewegung des Epicykelmittelpunktes im Deferenten verdoppelt worden wäre, wie dies z. B. in der Eudox'schen Theorie der homocentrischen Sphären sich als nöthig herausstellte. Diese Annahme wird aber durch den Umstand widerlegt, dass in der Theorie der Epicykeln eine derartige Beschleunigung der Rotation unnöthig wird, und weiteres dass die Hälfte der angegebenen Zahl (200840) von den für Jupiter und Saturn angegebenen Zahlen beträchtlich abweicht, wenngleich die Zahlen für Jupiter und Saturn selbst ebenfalls nicht identisch sind, was aber, wie noch später erwähnt wird, auf einen Rechenfehler zurückgeführt werden kann.

Dass die Zahlen nicht etwa der Eudox'schen Theorie angehören können, ist leicht zu sehen; für die 4 Sphären muss zunächst die eine, äusserste der täglichen Bewegung folgen, die andere, innerste der siderischen Bewegung des Planeten, die Bewegung der mittleren beiden muss genau gleich sein, da sonst, wie man leicht sieht, periodisch ansteigende Breitenbewegungen in der Art erfolgen müssten, dass der Planet selbst in die Nähe des Poles der Ekliptik gelangen könnte.

Was die Zahlen der Colonne *D* betrifft, so hatte P. Tannery durch Vergleichung der beiden Columnen *D* und *H* die Vermuthung ausgesprochen, dass die Zahlen der Colonne *H* das zehnfache der Colonne *D* wären.<sup>1</sup> Wie die in den »Nachträgen« von v. Hiller gegebenen Lesarten andeuten, ist diese Annahme zulässig, und schloss ich mich derselben an. Für die Zeilen 17 und 18 wäre dann nach Tannery in Colonne *D* einfach  $\varpi$  zu lesen; doch könnte besser  $\varpi\mu$  und  $\varpi\mu\vartheta$ , also 940 und 949 gelesen, also die  $\mu$  als Zahl und nicht als Stellenzeiger aufgefasst werden, wofür ich in noch besserer Übereinstimmung  $\varpi\pi$  vorschlage; die Bedeutung des in der 18. Zeile folgenden  $\alpha\varsigma$  bleibt dabei allerdings unaufgeklärt. In Zeile 11 und 12 müsste

es weiters  $\mu$  an Stelle von  $\mu$  gelesen werden, was aber mit Rücksicht auf die Ähnlichkeit der Typen  $\Lambda\Lambda\Delta$ , deren Unterscheidung auf dem Steine im Laufe der Zeiten vollständig verschwinden kann, sehr leicht möglich ist.

<sup>1</sup> Schriftliche Mittheilung von v. Hiller an mich.



Es dürfte hier der Ort sein, einiges über die Kreistheilung zu erwähnen. Es scheint mir als ein sonderbarer Zufall, dass in der Schlussbemerkung

ὁ κύκλος μο τξ' στιγμῶν θφκ' ἢ μοῖρα στιγμῶν . . .

θφκ' durch τξ' theilbar ist; die hieraus resultirende frühere Hiller'sche Annahme  $1^\circ = 27'$  hat jedoch für sich wenig Wahrscheinlichkeit, da eine derartige Kreiseintheilung der griechischen Astronomie völlig fremd ist. v. Hiller fand eine Bestätigung seiner Ansicht in der Übereinstimmung des Ortes der oberen Apse des Saturn mit der unter der Annahme dieser Kreistheilung berechneten Angabe der Tafel. So bestechend dieser Schluss ist, ist er doch kaum haltbar und bin ich der Meinung, dass  $1^\circ$  nicht in  $3600''$ , sondern in 720 Theile getheilt erscheint. Nimmt man nämlich  $1^\circ = 720''$  und drückt die mittleren Bewegungen  $\mu''$  in solchen Theilen aus, so erhält man sofort die in Colonne *H* angegebenen Zahlen *z*; denn es ist

$$z = \frac{\mu''}{5} = \frac{\mu^\circ \cdot 60 \cdot 60}{5} \mu'' \cdot 720.$$

Die nicht völlige Übereinstimmung kann nicht wundernehmen, da die angenommenen Zahlen für das Julianische Jahr ( $365 \cdot 25$  Tage) gelten, die Zahlen der Tafel aber wahrscheinlich für das ägyptische Jahr (365 Tage) und andererseits die Bewegungen selbst in jener Zeit als nicht genügend genau bekannt anzusehen sind. Damit wäre denn auch für den Unterschied der Zahlen in den Zeilen 15 und 16 einerseits und 19, 20 andererseits eine Erklärung gegeben. Wenn auch der Unterschied dieser Zahlen viel zu gross ist, um direkt auf diese Art erklärt zu werden, so ist es nicht unmöglich, dass die Zahlen aus Beobachtungen einiger Jahre (eines relativ kurzen Zeitraumes) gewonnen wurden, und dabei für Saturn ein Rechenfehler vorfiel, wodurch alle Zahlen gleichmässig vergrößert erscheinen. Daher kommt dann die Übereinstimmung der von den übrigen beträchtlich abweichenden Verhältnisszahlen  $4 \cdot 48$  und  $4 \cdot 60$ .

Von meinen diesbezüglichen Wahrnehmungen verständigte ich ungesäumt Herrn Baron v. Hiller. Dieser hatte nun seinerseits die Güte, mir weitere Details über die Ansichten Tannery's

mitzutheilen, aus denen ich ersah, dass wir auf demselben Standpunkte stehen. Auch er verwirft die Eintheilung  $1^\circ = 27'$ , nimmt aber an, dass  $\Theta\phi\kappa'$  als 720 Sonnendurchmesser zu lesen sind.<sup>1</sup> Die Zahlen in den Colonnen *D* und *H* legt er als die Anzahl der Umläufe in einer gewissen Periode aus, welche für die Zahlen der Colonne *D* genähert 25000 Jahre (zufällig nahe der Periode der Präcession) für die Colonne *H* das zehnfache dieser Periode bedeutet.

Im Grunde genommen mit meinen Erörterungen identisch drängt sich jedoch hier die Frage auf, warum eine an und für sich so bedeutende Periode noch verzehnfacht wurde. Sind aber die Zahlen der Colonne *H* die jährlichen Bewegungen in gewissen Theilen, so werden ja durch dieselben Zahlen die Umläufe angegeben, welche in einer gewissen Zeit stattfinden, und zwar in so viel Jahren, als ein Theil im Umkreise enthalten ist, d. h. in  $360 \times 720$ , oder  $720 \times 360 = 259200$  Jahren, also zufällig nahe in der zehnfachen Periode der Präcession. Auch die Abweichung der Zahl in der 18. Zeile der Colonne *H* führt Tannery auf einen Fehler in der angenommenen Dauer der Periode zurück, was sich im Wesen mit meiner Annahme für die Zeilen 17 bis 20 deckt.

Liegt in der Verzehnfachung der an und für sich sehr grossen Präcessionsperiode ein nicht zu unterschätzender Einwurf gegen die Tannery'sche Form der Annahme (in merito sind ja, wie ich bereits erwähnt, unsere beiden Suppositionen gleichbedeutend), so ist hingegen noch darauf hinzuweisen, dass in der von mir adoptirten Annahme eine Verwandlung von Graden, Minuten und Secunden, eventuell Grade und 720-teln desselben oder Sonnendurchmessern und 360-teln desselben in Zahlen der kleineren Einheit auftritt, ein Vorgang, der im Alterthum nicht üblich war, da die Darstellung dieser Zahlen im dekadischen Systeme eben durch die Sexagesimaltheilung ersetzt

---

<sup>1</sup> Das zuerst von Tannery hervorgehobene Fehlen des Zeichens für die Tausende vor  $\Theta$  erscheint mir nicht massgebend, da auch in den Zeilen 9, 10 und 15, Colonne *D* und in den Zeilen 18 und 19, Colonne *H* dieses Zeichen weglieb, oder im Laufe der Zeiten verschwand. Hingegen spricht die Tannery'sche Bemerkung, dass daselbst die Type  $\Theta$  sich durch ihre Grösse von den anderen unterscheidet, für seine Annahme.

wurde. Aus diesem Grunde würde ich eine Combination beider Annahmen für nicht unwahrscheinlich halten. Die Zahlen der Colonne *D* könnten wohl Umläufe in einer Epoche von 25920 Jahren bedeuten und die in der Colonne *H* befindlichen Zahlen, die aus jenen durch Multiplication mit 10 erhalten wurden, geben sofort die jährlichen Bewegungen in Theilen, von denen  $360 \times 720$  auf den Umkreis gehen.

Tannery nimmt an, dass sich diese 4 Zahlen auf den siderischen Umlauf (in Länge), den draconitischen Umlauf (in Bezug auf die Knoten) den anomalistischen Umlauf (im Epicykel) und eine zweite Anomalie (abhängig von der Stellung der Sonne) bezieht. Dagegen ist eine sehr wichtige Bemerkung zu machen: Eine siderische Bewegung der Knoten war im Alterthum nur für den Mond bekannt; auch verträgt sich eine supponirte Bewegung der Knotenlinie etwa so, wie sie beim Monde angenommen wurde, nicht mit der Art und Weise, wie die Breitenbewegungen von Ptolomäus, von den Arabern und noch in den Alfonsinischen Tafeln angenommen worden waren.<sup>1</sup> Ebenso hypothetisch erscheint die Annahme, dass man es mit siderischen und tropischen Bewegungen zu thun hat; denn dann müsste die Differenz in einem Jahre constant 50'' oder 10' sein.<sup>2</sup>

Hingegen hat die Tannery'sche Annahme über die Zahlen der letzten beiden Zeilen eine grosse Wahrscheinlichkeit; könnte man *κατὰ σχῆμα διεξοδοι* (oder aber, was ebenfalls nicht ausgeschlossen zu werden braucht, *κατὰ βάνος περιδρομῆς*), als eine vom Sonnenorte abhängige Anomalie ansehen, so wäre die naheliegendste Annahme die folgende: Die Bewegungen im Epicykel wurden bekanntlich immer vom instantanen Apogäum aus gezählt; addirt man zu dieser Bewegung die Bewegung des Epicykelmittelpunktes, so erhält man die Bewegung von einer festen Richtung im Raume, also gewissermassen eine siderische Bewegung im Epicykel; dann müsste also die

<sup>1</sup> Siehe meine Geschichte der Bahnbestimmung von Planeten und Kometen; I. Theil, IV. Capitel und II. Theil, I. Capitel.

<sup>2</sup> Der Unterschied der Bewegung in einem tropischen und siderischen Jahre wäre nicht constant, aber ebenfalls sehr klein.

Summe der Zahlen der ersten oder zweiten und der dritten Zeile die Zahlen der vierten Zeile ergeben. Diese Beziehung findet sich thatsächlich für den Jupiter in Colonne *D* und *H* und für den Saturn in Colonne *D*, wenn daselbst, wie früher erwähnt,  $\mu$  nicht als Stellenzeiger aufgefasst wird, wodurch einerseits ein indirecter Nachweis für die Richtigkeit dieser Lesart gegeben ist, andererseits aber auch in Folge der Übereinstimmung dieser Beziehungen in den Colonnen *D* und *H* die Richtigkeit der Annahme, dass man es in beiden Fällen mit mittleren Bewegungen oder mit Umläufen in einer gewissen Periode zu thun hat, dargethan ist.

Zieht man aus den von Ptolemäus im Almagest mitgetheilten Hipparch'schen Werthen für die Verhältnisse der Umlaufszeiten<sup>1</sup> die jährlichen Bewegungen, so erhält man in der hier angenommenen Einheit die folgenden Zahlen:

für Venus	421365 <sup>r</sup>	für Jupiter	21860 <sup>r</sup>
für Mars	137818	für Saturn	8807

Hiezu kommt dann die Bewegung der Erde 259200<sup>r</sup>. Die beste Übereinstimmung findet sich bei Jupiter, bei welchem auch die vierte Zahl sehr nahe die siderische Bewegung der Erde gibt, so dass die dritte Zahl mit der von der oberen Apside gezählten Bewegung übereinstimmt.

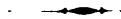
Einer letzten Mittheilung von Tannery entnehme ich noch folgendes: Tannery nimmt an, dass die 4. Zeile für jeden Planeten als Bewegung in Elongation aufzufassen ist; dann müsste die Summe der 1. und 4. Zeile eine Constante (die Bewegung der Sonne) geben; hiefür spricht allerdings die übliche Bedeutung des  $\kappa\alpha\tau\alpha\ \sigma\chi\eta\mu\alpha$ ; hingegen wären die Lesungen noch in folgender Weise zu corrigiren:

	Mars	Jupiter	Saturn
Erste Zeile . . . . .	154920	24500	9920
Vierte Zeile . . . . .	136480	266900	281480

<sup>1</sup> Siehe meine Geschichte der Bahnbestimmung von Planeten und Kometen; I. Theil, S. 73.

Hier ist zunächst zu bemerken: die Correctur von A in  $\Delta$  in der ersten Zeile des Jupiter kann leicht adoptirt werden; die von mir vor Kenntniss der Tafel vorgeschlagene Correctur von  $\overset{\text{II}}{\text{M}}$  in  $\overset{\text{M}}{\text{M}}$  bei der vierten Zeile des Mars erscheint nunmehr als zweifelhaft, und würde in diesem Falle die Tannery'sche Erklärung für zulässiger zu halten sein. Hingegen bleibt in dieser die Lesung  $\overset{\text{M}}{\text{M}}$ , welche keinesfalls durch  $\overset{\text{II}}{\text{M}}$  ersetzt werden kann völlig unaufgeklärt, und wenn man daselbst auch mit Tannery  $\overset{\text{IH}}{\text{M}}$ , also 182680 lesen wollte, so tritt diese Zahl vollständig aus dem Rahmen der übrigen heraus. Es bleibt daher noch manches für die Auslegung der vorliegenden hochinteressanten Inschrift zu thun.

Nachdem v. Hiller aus archäologischen Gründen das Alter des Steines auf etwa 100 vor Christi Geburt setzte, hielt ich anfangs dafür, dass der Stein eine Darlegung Hipparch'scher Astronomie gibt. Da jedoch bekanntlich die von Ptolemäus angegebenen Zahlen direct Hipparch zugeschrieben werden, und diesem daher eine weit genauere Kenntniss der mittleren Bewegungen zugeschrieben werden muss, so dürfte der Stein wohl eher anderen Ursprunges sein, worüber sich allerdings in Ermangelung jeglichen Anhaltspunktes nichts weiter angeben lässt.



a Berlin.)



ALBERT FRISTY, Kalksteinblock in Berlin



1 199.1  
JAN 8 1895

/32

# SITZUNGSBERICHTE

DER KAISERLICHEN

## AKADEMIE DER WISSENSCHAFTEN.

---

MATHEMATISCH-NATURWISSENSCHAFTLICHE CLASSE.

---

CIII. BAND. I. UND II. HEFT.

JAHRGANG 1894. — JÄNNER UND FEBRUAR.

---

ABTHEILUNG II. a.

ENTHÄLT DIE ABHANDLUNGEN AUS DEM GEBIETE DER MATHEMATIK,  
ASTRONOMIE, PHYSIK, METEOROLOGIE UND DER MECHANIK.

---

(MIT 4 TEXTFIGUREN.)



WIEN, 1894.

AUS DER KAISERLICH-KÖNIGLICHEN HOF- UND STAATSDRUCKEREI.

---

IN COMMISSION BEI F. TEMPSKY,

BUCHHÄNDLER DER KAISERLICHEN AKADEMIE DER WISSENSCHAFTEN.



# INHALT

des 1. und 2. Heftes Jänner und Februar 1894 des CIII. Bandes,  
Abtheilung II. a. der Sitzungsberichte der mathem.-naturw. Classe.

	Seite
I. Sitzung vom 4. Jänner 1894: Übersicht . . . . .	2
<i>Merlens F.</i> , Über die Fundamentalgleichung eines Gattungsbereiches algebraischer Zahlen [Preis: 35 kr. = 70 Pfg.] . . . . .	5
II. Sitzung vom 11. Jänner 1894: Übersicht . . . . .	41
<i>Liznar J.</i> , Eine neue magnetische Aufnahme Österreichs (V. und letzter vorläufiger Bericht) [Preis: 10 kr. = 20 Pfg.] . . . . .	43
<i>Hann J.</i> , Beiträge zum täglichen Gange der meteorologischen Elemente in den höheren Luftschichten [Preis: 45 kr. = 90 Pfg.] . . . . .	51
<i>Streintz F.</i> , Über eine Beziehung zwischen der elektromotorischen Kraft des Daniell-Elementes und dem Verhältnisse des Salzgehaltes seiner Lösungen [Preis: 10 kr. = 20 Pfg.] . . . . .	98
III. Sitzung vom 18. Jänner 1894: Übersicht . . . . .	105
<i>Obermayer A. v. und Schindler A.</i> , Die trigonometrische Höhenbestimmung des Hohen Sonnblicks in der Goldberggruppe der Hohen Tauern [Preis: 10 kr. = 20 Pfg.] . . . . .	107
<i>Gegenbauer L.</i> , Über die Anzahl der Darstellungen einer ganzen Zahl durch gewisse Formen [Preis: 15 kr. = 30 Pfg.] . . . . .	115
IV. Sitzung vom 1. Februar 1894: Übersicht . . . . .	129
V. Sitzung vom 8. Februar 1894: Übersicht . . . . .	131
VI. Sitzung vom 15. Februar 1894: Übersicht . . . . .	133
<i>Zsigmondy K.</i> , Über die Anzahl derjenigen ganzen ganzzahligen Functionen $n$ ten Grades von $x$ , welche in Bezug auf einen gegebenen Primzahlmodul eine vorgeschriebene Anzahl von Wurzeln besitzen [Preis: 15 kr. = 30 Pfg.] . . . . .	135
<i>Jäger G.</i> , Über die Beziehung zwischen Helligkeit und Eigenbewegung der Fixsterne. (Mit 4 Textfiguren.) [Preis: 20 kr. = 40 Pfg.] . . . . .	145

	Seite
<i>Finger J.</i> , Das Potential der inneren Kräfte und die Beziehungen zwischen den Deformationen und den Spannungen in elastisch isotropen Körpern bei Berücksichtigung von Gliedern, die bezüglich der Deformationselemente von dritter, beziehungsweise zweiter Ordnung sind. [Preis: 40 kr. = 80 Pfg.] . . . . .	163

Preis des ganzen Heftes: 1 fl. 60 kr. = 3 Mk. 20 Pfg.



Die Sitzungsberichte der mathem.-naturw. Classe erscheinen vom Jahre 1888 (Band XCVII) an in folgenden vier gesonderten **Abtheilungen**, welche auch einzeln bezogen werden können:

Abtheilung I. Enthält die Abhandlungen aus dem Gebiete der Mineralogie, Krystallographie, Botanik, Physiologie der Pflanzen, Zoologie, Paläontologie, Geologie, Physischen Geographie und Reisen.

Abtheilung II. a. Die Abhandlungen aus dem Gebiete der Mathematik, Astronomie, Physik, Meteorologie und Mechanik.

Abtheilung II. b. Die Abhandlungen aus dem Gebiete der Chemie.

Abtheilung III. Die Abhandlungen aus dem Gebiete der Anatomie und Physiologie des Menschen und der Thiere, sowie aus jenem der theoretischen Medicin.

Dem Berichte über jede Sitzung geht eine Übersicht aller in derselben vorgelegten Manuscripte voran.

Von jenen in den Sitzungsberichten enthaltenen Abhandlungen, zu deren Titel im Inhaltsverzeichniss ein Preis beigesetzt ist, kommen Separatabdrücke in den Buchhandel und können durch die akademische Buchhandlung F. Tempsky (Wien, I., Wollzeile 15) zu dem angegebenen Preise bezogen werden.

Die dem Gebiete der Chemie und verwandter Theile anderer Wissenschaften angehörigen Abhandlungen werden auch in besonderen Heften unter dem Titel: »Monatshefte für Chemie und verwandte Theile anderer Wissenschaften« herausgegeben. Der Pränumerationspreis für einen Jahrgang dieser Monatshefte beträgt 5 fl. oder 10 Mark.

Der akademische Anzeiger, welcher nur Original-Auszüge, oder, wo diese fehlen, die Titel der vorgelegten Abhandlungen enthält, wird, wie bisher, acht Tage nach jeder Sitzung ausgegeben. Der Preis des Jahrganges ist 1 fl. 50 kr. oder 3 Mark.

3  
199.1  
JAN 8 1895

132

# SITZUNGSBERICHTE

DER KAISERLICHEN

# AKADEMIE DER WISSENSCHAFTEN.

---

MATHEMATISCH-NATURWISSENSCHAFTLICHE CLASSE.

---

CIII. BAND. III. BIS V. HEFT.

JAHRGANG 1894. — MÄRZ BIS MAI.

---

ABTHEILUNG II. a.

ENTHÄLT DIE ABHANDLUNGEN AUS DEM GEBIETE DER MATHEMATIK,  
ASTRONOMIE, PHYSIK, METEOROLOGIE UND DER MECHANIK.

---

(MIT 5 TEXTFIGUREN.)



WIEN, 1894.

AUS DER KAISERLICH-KÖNIGLICHEN HOF- UND STAATSDRUCKEREL

IN COMMISSION BEI F. TEMPSKY,

BUCHHÄNDLER DER KAISERLICHEN AKADEMIE DER WISSENSCHAFTEN.



# INHALT

des 3. bis 5. Heftes März bis Mai 1894 des CIII. Bandes, Abtheilung II. a.  
der Sitzungsberichte der mathem.-naturw. Classe.

	Seite
VII. Sitzung vom 1. März 1894: Übersicht . . . . .	203
<i>Klemenčič I.</i> , Über die Magnetisirung von Eisen- und Nickeldraht durch schnelle elektrische Schwingungen. [Preis: 20 kr. = 40 Pfg.] . . . . .	205
VIII. Sitzung vom 8. März 1894: Übersicht . . . . .	223
IX. Sitzung vom 5. April 1894: Übersicht . . . . .	227
<i>Finger J.</i> , Das Potential der inneren Kräfte und die Beziehungen zwischen den Deformationen und den Spannungen in elastisch isotropen Körpern bei Berücksichtigung von Gliedern, die bezüglich der Deformationselemente von dritter, beziehungsweise zweiter Ordnung sind. (II. Theil.) [Preis: 25 kr. = 50 Pfg.] . . . . .	231
<i>Jäger G.</i> , Über die innere Reibung der Lösungen. (Mit 1 Textfigur.) [Preis: 25 kr. = 50 Pfg.] . . . . .	251
<i>Tumlirz O.</i> , Über die Unterkühlung von Flüssigkeiten. (II. Mit- theilung.) (Mit 1 Textfigur.) [Preis: 20 kr. = 40 Pf.] . . . .	266
X. Sitzung vom 12. April 1894: Übersicht . . . . .	277
XI. Sitzung vom 15. April 1894: Übersicht . . . . .	278
XII. Sitzung vom 4. Mai 1894: Übersicht . . . . .	281
XIII. Sitzung vom 10. Mai 1894: Übersicht . . . . .	283
<i>Gegenbauer L.</i> , Einige Bemerkungen zum quadratischen Recipro- citätsgesetze. [Preis: 15 kr. = 30 Pf.] . . . . .	285
<i>Czuber E.</i> , Zur Theorie der partiellen Differentialgleichungen erster Ordnung. [Preis 25 kr. = 50 Pfg.] . . . . .	295
<i>Jaumann G.</i> , Zur Kenntniss des Ablaufes der Lichtemission. (Mit 3 Textfiguren.) [Preis: 15 kr. = 30 Pfg.] . . . . .	317
<i>Streintz F.</i> , Über die thermochemischen Vorgänge im Secundär- Elemente. [Preis: 15 kr. = 30 Pfg.] . . . . .	327
XIV. Sitzung vom 25. Mai 1894: Übersicht . . . . .	337

Preis des ganzen Heftes: 1 fl. 20 kr. = 2 Mk. 40 Pfg.

OCT 28 1895

132

# SITZUNGSBERICHTE

DER KAISERLICHEN

# AKADEMIE DER WISSENSCHAFTEN.

MATHEMATISCH-NATURWISSENSCHAFTLICHE CLASSE.

CIII. BAND. VI. HEFT.

JAHRGANG 1894. — JUNI.

ABTHEILUNG II. a.

ENTHÄLT DIE ABHANDLUNGEN AUS DEM GEBIETE DER MATHEMATIK,  
ASTRONOMIE, PHYSIK, METEOROLOGIE UND DER MECHANIK.

(MIT 7 TEXTFIGUREN.)



WIEN, 1894.

AUS DER KAISERLICH-KÖNIGLICHEN HOF- UND STAATSDRUCKEREI.

IN COMMISSION BEI F. TEMPSKY,

BUCHHÄNDLER DER KAISERLICHEN AKADEMIE DER WISSENSCHAFTEN.

## INHALT

des 6. Heftes Juni 1894 des CIII. Bandes, Abtheilung II. a. der Sitzungs-  
berichte der mathem.-naturw. Classe.

	Seite
<b>XV. Sitzung</b> vom 7. Juni 1894: Übersicht . . . . .	341
<i>Puschl C.</i> , Folgerungen aus Amagat's Versuchen. [Preis: 25 kr. = 50 Pfg.] . . . . .	343
<i>Weyr E.</i> , Über einen symbolischen Calcul auf Trägern vom Ge- schlechte Eins und seine Anwendung. (Mit 7 Textfiguren.) [Preis: 70 kr. = 1 Mk. 40 Pfg.] . . . . .	365
<i>Suchanek E.</i> , Dyadische Coordination der bis 100,000 vorkommen- den Primzahlen zur Reihe der ungeraden Zahlen. [Preis: 1 fl. 30 kr. = 2 Mk. 60 Pfg.] . . . . .	443
<b>XVI. Sitzung</b> vom 14. Juni 1894: Übersicht . . . . .	611
<b>XVII. Sitzung</b> vom 21. Juni 1894: Übersicht . . . . .	612

Preis des ganzen Heftes: 2 fl. 20 kr. = 4 Mk. 40 Pfg.